

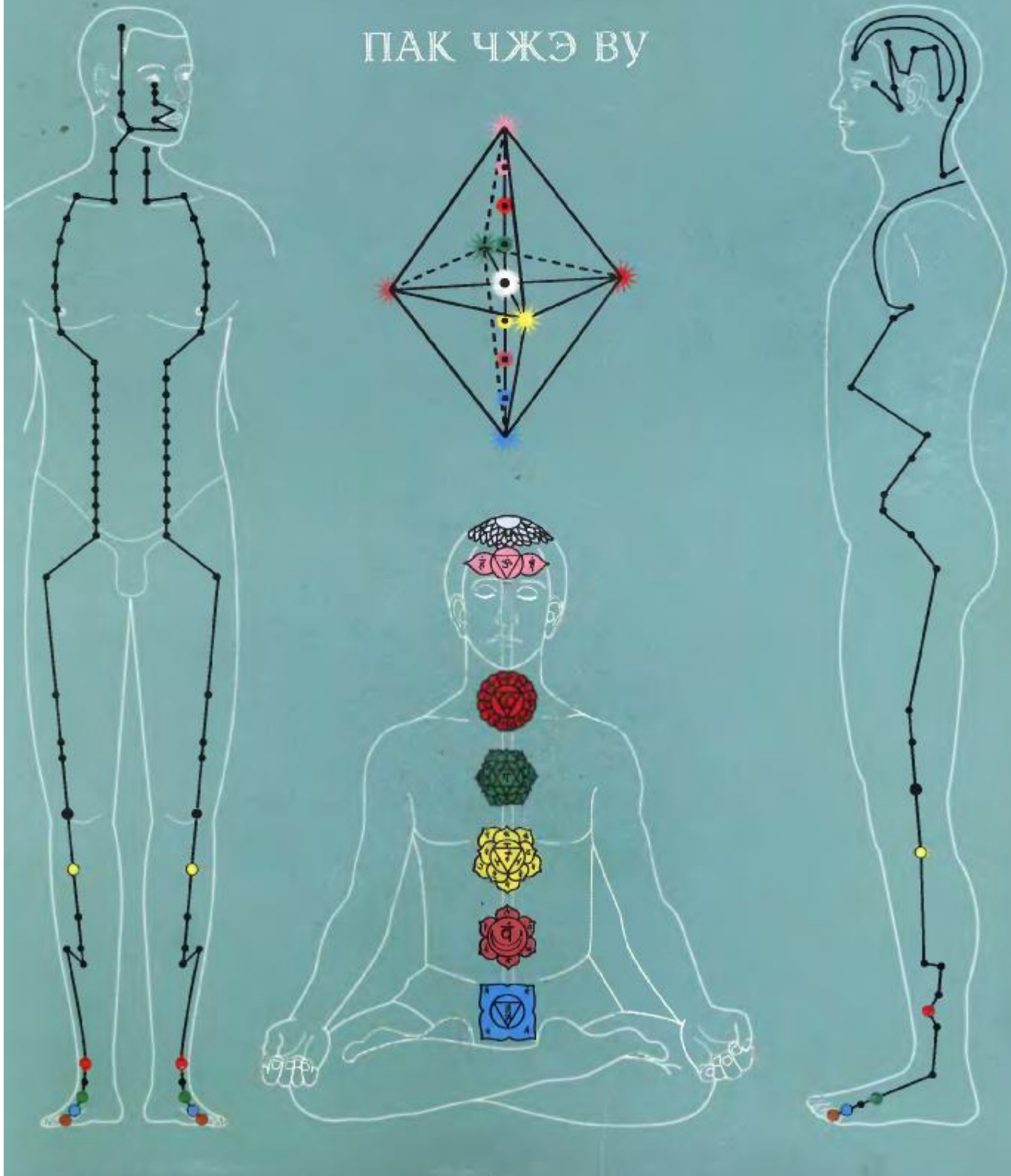
ОННУРИ АКУПУНКТУРА

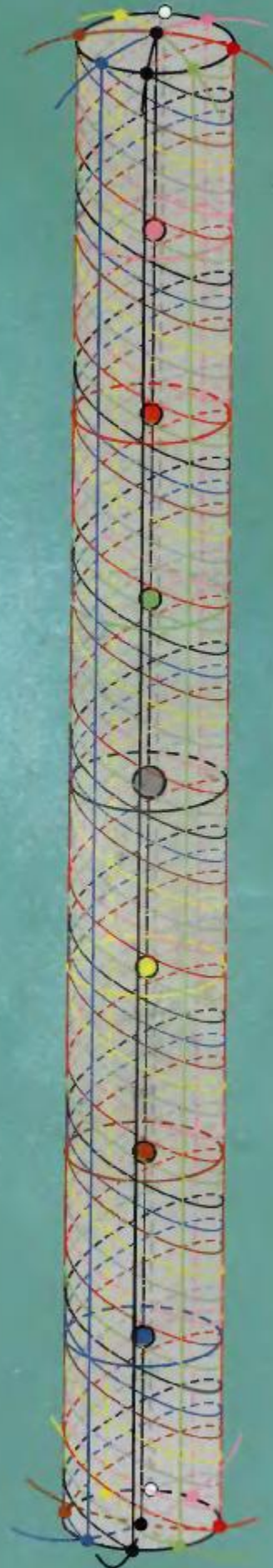
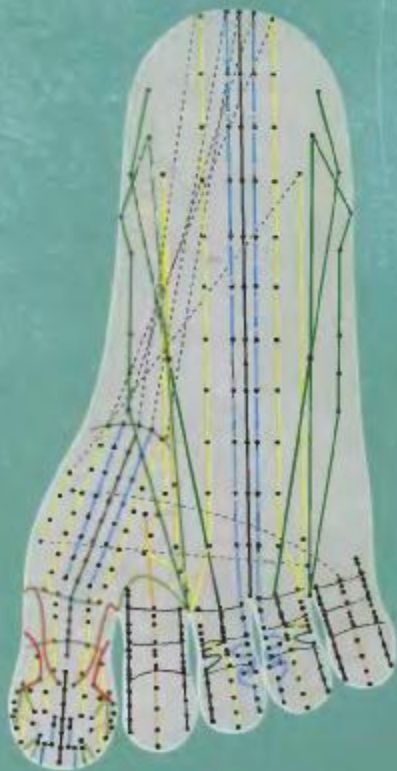
# АТЛАС

ЭНЕРГЕТИЧЕСКОЙ СИСТЕМЫ

ТЕЛА ЧЕЛОВЕКА

ПАК ЧЖЭ ВУ





N 5-900810-51-8





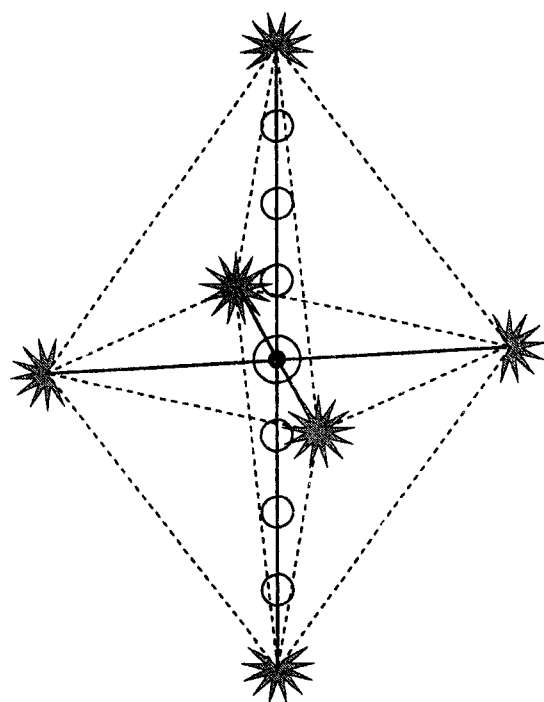
ОННУРИ АКУПУНКТУРА

Пак Чжэ Ву

# АТЛАС

## энергетической системы

### тела человека



Издательство «Су Джок Академия»  
Москва, 2000

**Пак Чжэ Ву**

АТЛАС энергетической системы тела человека. — М.: Су Джок Академия, 9 октября 2000. — 446 с.: ил., 2-е издание — дополненное и переработанное (28 апреля 2000 — 1-е издание)

ISBN 5-900810-51-8

Атлас представляет собой детальный обзор структуры и принципов функционирования единой многоуровневой энергетической системы тела человека. Автор рассматривает источники ее возникновения и основные этапы развития на пути эволюции. В книге представлена новая классификация элементов энергетической системы тела человека, основанной на универсальных философских концепциях Триначалия, Восьми Начал и Шести Энергий.

Значительное внимание уделено рассмотрению многочисленных циклов циркуляции энергии, существующих в теле человека, с подробным описанием топографии энергетических структур (чакр и меридианов) и направления потоков энергии в них.

Являясь закономерным результатом развития традиционных представлений об энергии и ее роли в процессе жизнедеятельности организма, Атлас открывает новые возможности для использования этих знаний в диагностике и лечении заболеваний.

Книга предназначена для иглотерапевтов, врачей различных специальностей, биологов, философов, специалистов в области альтернативной медицины, студентов естественнонаучных и медицинских факультетов вузов.

*Редакционная группа:*

*Борисова Н.В., Михайлова В.В.,  
Николаева В.Л., Петракова Т.А.,  
Рябова Е.А., Соколова Т.Е.,  
Шарапкова Л.М.*

*Художник:*

*Пак Чжэ Ву*

*Оформление обложки:*

*Пак Чжэ Ву, Коледа Ф.В.*

*Компьютерная верстка:*

*Коледа Ф.В., Мальцев К.А.,  
Николаева И.А.*

ISBN 5-900810-51-8

© Су Джок Академия



## *Предисловие*

Все единицы существования находятся в постоянном движении, ибо движение означает жизнь. Все движется благодаря определенному виду энергии, источником которой служит са-осущая Нейтро-сила.

Первыми в ненулевом реальном мире появляются частицы, близкие к нулевому состоянию. И только возникнув, они уже движутся. Движение этих частиц есть проявление основополагающих тенденций к поиску способов стабилизации путем формирования модельных закономерностей в существующем мире или к возврату в мир нулевого состояния. Модельная закономерность обладает способностью обеспечивать каждой единице существования стабильность и гармонию, которыми они обладали изначально, находясь в нулевом состоянии.

Из-за своей незавершенности каждая сущность постоянно стремится к безопасности и габильности и продолжает двигаться, формируя идеальную модельную закономерность, вплоть до последней минуты своей жизни. Это в одинаковой степени характерно для всех разноуровневых единиц существования. Следовательно, все сущности должны двигаться, причем двигаются они самостоятельно и спонтанно.

Энергия представляет собой движение различных частиц. Энергетическими частицами являются материальные и антиматериальные частицы физического уровня, а также парные им иррон- и антимиррон-частицы метафизического уровня. Движения, совершаемые этими группами частиц, могут быть определены как «энергия» или «волновое излучение». В этом явлении принимают участие силы Триначалия: Гомо, Гетеро и Нейтро.

Если же говорить о чрезвычайно малых частицах, то они обладают Нейтро-свойствами, поскольку находятся практически в нулевом состоянии. А миррон-частицы, вовсе не имеющие массы, обладают всей полнотой Нейтро-свойств и принимают участие во всех существующих явлениях, включая сферу разума.

В живых организмах эти Нейтро-частицы особенно активны, по степени своего развития значительно опережают неорганическую материю и формируют так называемую биоэнергетическую систему.

Энергетическая система человеческого тела представляет собой результат систематизированной активности этих Нейтро-частиц, благодаря которым Нейтро-дух находит свое воплощение, давая начало явлениям жизни и поддерживая их существование.

Будучи фундаментальными составляющими жизни, Нейтро-частицы обладают способностью к самосозиданию и саморазрушению в соответствии с потребностями живых систем и циркулируют в них, поддерживая цикличность их развития.

Нейтро-частицы обладают стабильностью благодаря тому, что служат воплощением определенной модельной закономерности. Таким образом, и энергетическая система в основе своей имеет эту модельную закономерность, сформированную законами Триначалия и Восьми Начал.

Движение каждой сущности по пути достижения стабильности определяется принципом наибольшей эффективности, что находит свое выражение в определенных схемах двигательных реакций. Подобно тому как маршрут самолета в небе определяется эффективностью затрат времени и топлива, энергетические пути в человеческом теле, известные как система меридианов и чакр, следуют оптимальной модельной закономерности, основанной на эффективности процессов жизнедеятельности.

Нейтро-особенности энергетической системы человеческого тела ограничивают возможности ее исследования физическими методами. Согласно принципу Гомо-взаимодействий ее присутствие можно ощутить, лишь находясь в Нейтро-состоянии или с использованием Нейтро-подходов.

Представители древних цивилизаций, пребывая в Нейтро-состоянии, обнаружили в природе множество важнейших модельных закономерностей, которые могут быть с успехом применены и к современным системам знаний. Так в Древнем Китае были открыты системы 12 главных и 8 чудесных меридианов, а в Древней Индии — системы чакр и нади. Видимо, еще много ценных сведений, полученных в древности, к настоящему времени недостаточно хорошо изучены и остаются нетронутыми.

Поскольку человеческий разум обладает Нейтро-свойствами, мы способны открывать новые модельные закономерности, присущие Нейтро-факторам, при условии гармонии логического и абстрактного мышления даже без участия трансцендентальной интуиции. Именно таким образом была обнаружена Алмазная энергетическая система.

Энергетическая система жизненно необходима любой сущности для стабильности и развития. Принадлежа силе Нейтро по своей природе, со свойственной ей невидимостью, она объединяет все системы, органы и участки тела и активизирует их для полноценного существования. Энергетическая система, обеспечивающая благодаря непрерывной циркуляции энергии совершенство функций всех остальных систем тела, безусловно является самой важной среди них.

В данном Атласе собраны все соответствующие материалы из моих лекций и семинаров за последние несколько лет. Его публикация несомненно является одним из значительных и прогрессивных событий.

В работе над книгой принимали участие многие сотрудники и врачи Су Джок Академии, благодаря их усилиям книга была создана и опубликована в короткие сроки. Я искренне благодарен всем тем, кто помогал материализовать эту систему Нейтро-знаний в наглядной форме Атласа и надеюсь, что проделанная работа будет способствовать дальнейшему развитию исследований в данном направлении.

*Проф. Пак Чжэ Ву  
Москва,  
апрель, 2000*



*Часть I*

***ЭНЕРГЕТИЧЕСКАЯ СИСТЕМА  
ТЕЛА ЧЕЛОВЕКА***

Постижение единых фундаментальных законов, лежащих в основе существования, приводит не только к систематизации эмпирических фактов, но и служит источником наиболее быстрого накопления новых знаний.

В основе Оннури медицины лежат общеполитические представления: теория Гомо-Гетеро, теория Триначалия (Нейтро, Гетеро и Гомо), теория Шести Начал (теория Шести Ки, теория эмоций и психики), теория Восьми Начал и теория М-частиц. Слово «Оннури» означает «весь мир», Оннури медицина включает в себя множество различных подходов к лечению.

С точки зрения закона Гомо-Гетеро первой формой, появляющейся из неопределенного и неизменного вечного Гомо, должен быть октаэдр — геометрическая фигура с восемью гранями, ориентированными в разные стороны. Каждая из граней октаэдра одновременно принадлежит одному из составляющих его тетраэдров. Восемь тетраэдров образуют один октаэдр, располагаясь в пространстве так, что три угла каждого тетраэдра обращены наружу, а один — внутрь. Каждый из этих восьми тетраэдров символизирует одно из Восьми Начал, являющихся основой мира (рис. 1).

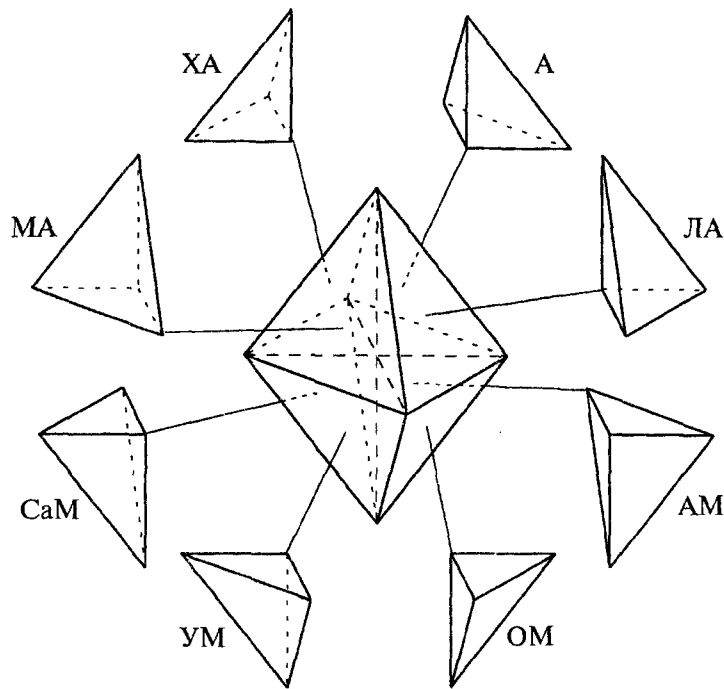
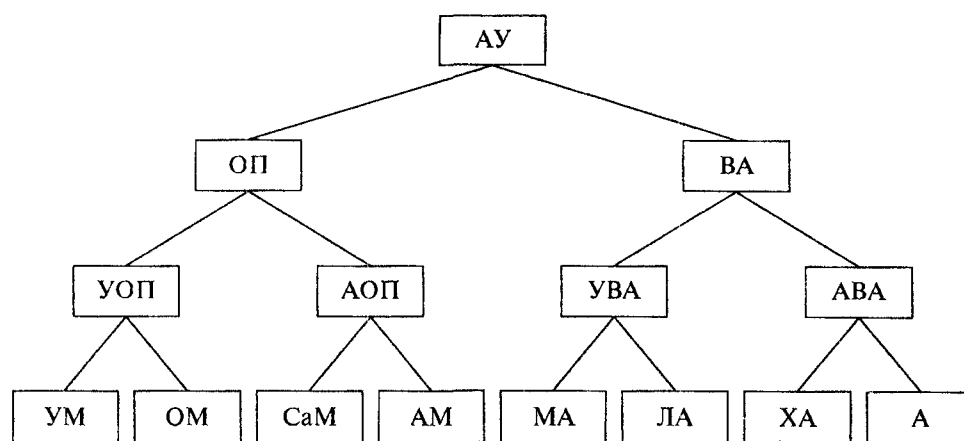


Рис. 1. Восемь тетраэдров октаэдра, символизирующие Восьмь Начал

Формирование Восьми Начал из исходной точки Нейтро происходит в три этапа (рис. 2). Вначале из единого Нейтро (АУ) берут начало Две Полярности — ВА (Гетеро) и ОП (Гомо). На стадии Четырех Соединений из ВА образуется два Соединения с Гетеро-свойствами: АВА (Гетеро) и УВА (Гомо), из ОП — два Соединения с Гомо-свойствами: АОП (Гетеро) и УОП (Гомо). На третьем этапе появляются Начала МА, ЛА, ХА, А (Гетеро-группа) и АМ, СаМ, ОМ, УМ (Гомо-группа).





с. 2. Восьминачальная последовательность

Таким образом, процесс формирования Восьми Начал, или Восьминачальная последовательность, описывается соотношением 1 — 2 — 4 — 8.

В процессе эволюции всех единиц существования во Вселенной каждое вновь образующее явление становится исходной точкой следующей Восьминачальной последовательности. Таким образом формируется единая упорядоченная система Восьми Начал. Она лежит в основе Гомо-системы Вселенной, заключая в себе еще один фундаментальный закон — порядок иначалия: Нейтро, Гетеро, Гомо (рис. 3).

Триначалие представляет собой не только основной принцип, присущий Восьминачальной последовательности, но также и ее базовую структуру, что проявляется в тройной разветвленной последовательности, образующей Триначальный набор. Место одной из ветвей в этой системе занимает Гетеро-последовательность, другой — Гомо-последовательность, третьей — Нейтро-последовательность Восьми Начал (рис. 4).

Тройная Восьминачальная последовательность находит свое отражение в тройной триграммной последовательности, имеющей собственную независимую систему символов (рис. 5). Символы элементов данной системы служат абстрактной формой закономерностей мира во всем его разнообразии и содержат значительное количество систематизированной информации. Являясь одним из фундаментальных законов, тройная триграммная последовательность находит свое отражение в строении кисти человека. Нейтро-элементы тройной триграммной последовательности соотносятся с суставами, выполняющими функцию связующих звеньев, а ладонь представляет собой Нейтрион — источник, содержащий линии Триначалия (рис. 6).

Под влиянием Нейтро-силы формируется тройная система Нейтро-триграмм, состоящая только из завершенных триграмм: трех чистых триграмм, восемнадцати Нейтро-триграмм и одной исходной Нейтро-монограммы (рис. 7). Каждая триграмма имеет свое собственное функциональное и уровневое положение в рамках фундаментального закона, имеющего такую же следовательную структуру, как у тройной триграммной последовательности. Существует также и другой вид Триначальной последовательности — тройная последовательность Триначалия, которая может быть описана символическим языком последовательности Триначальных три-



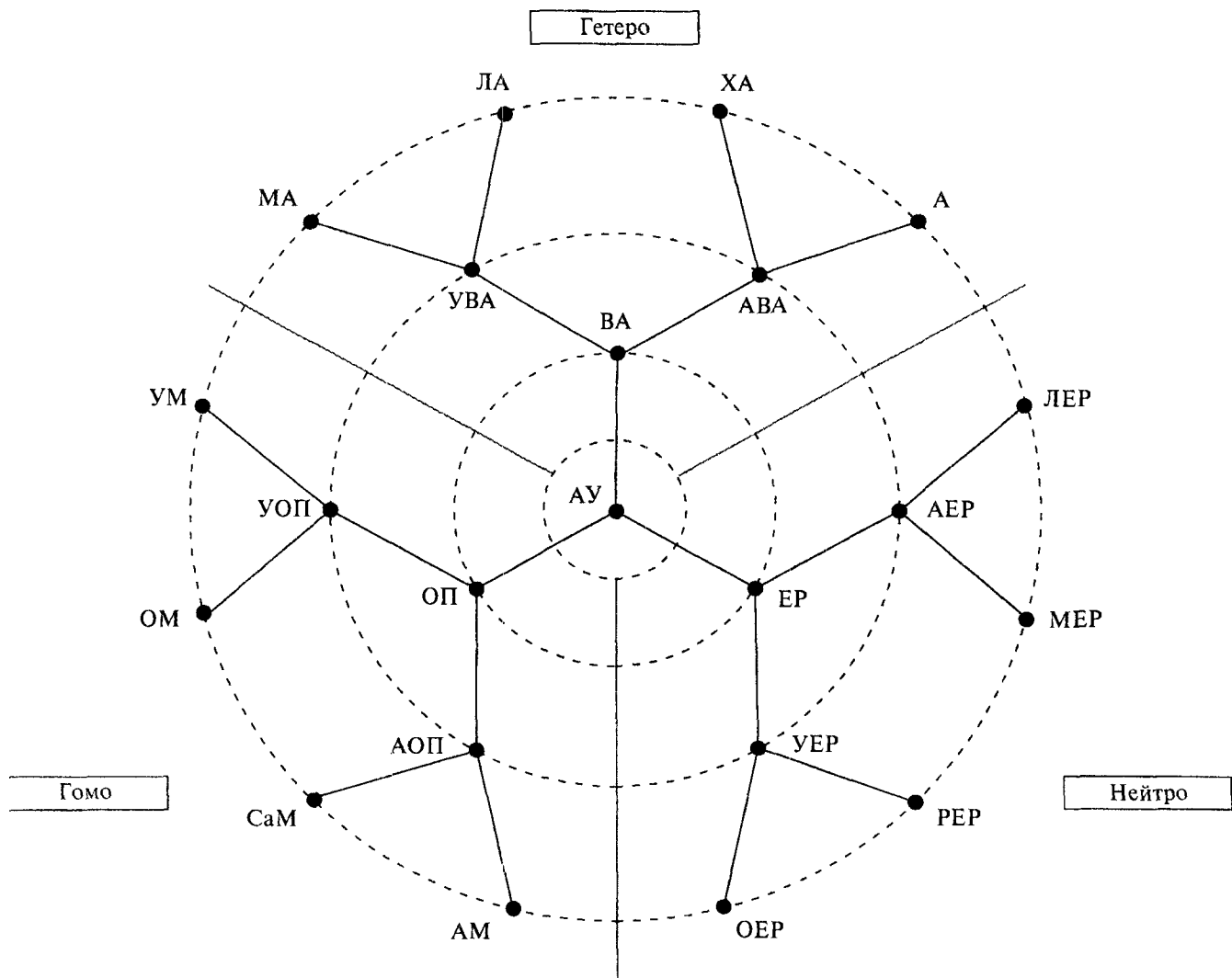


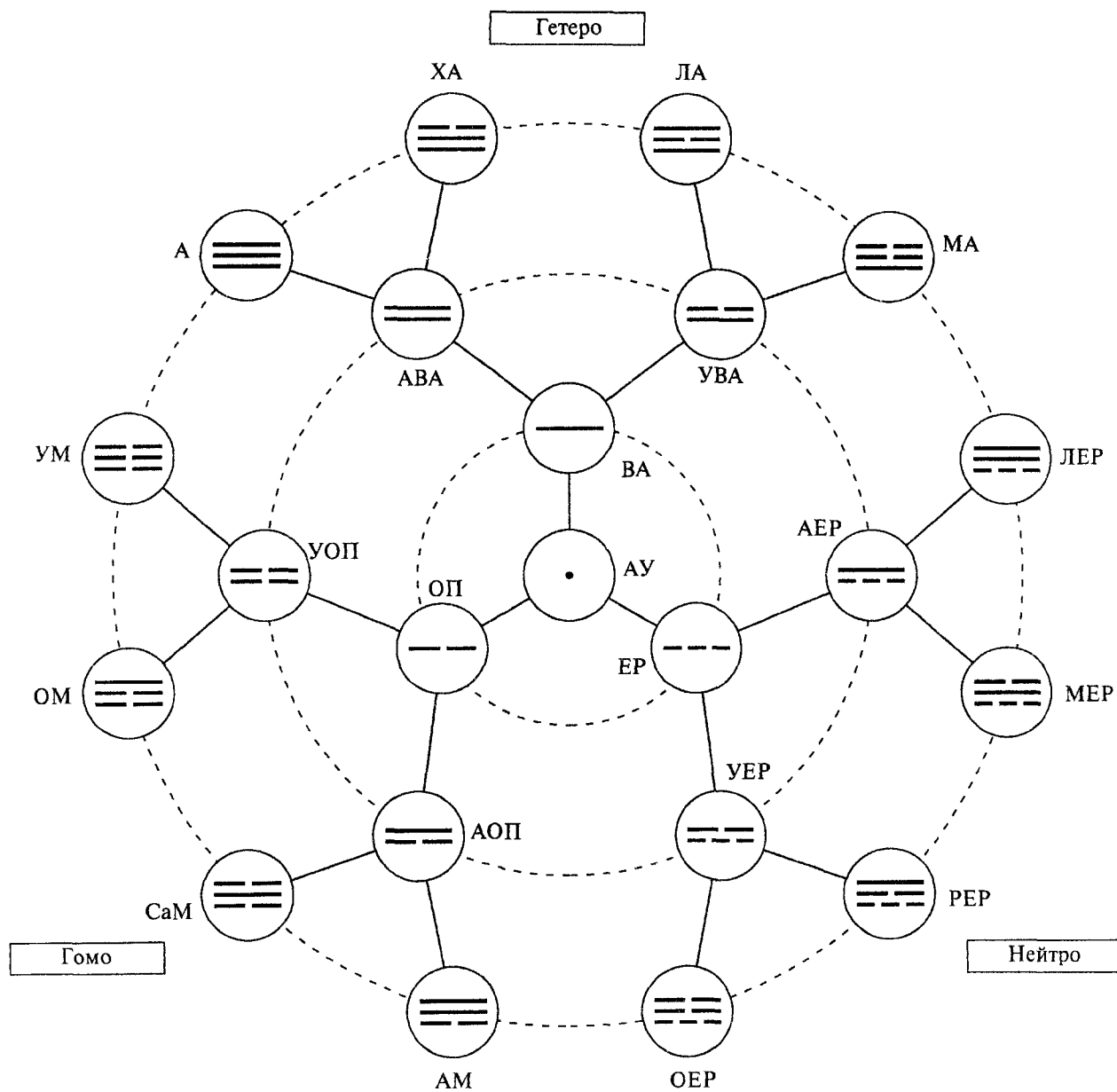
Рис. 4. Тройная Восьминачальная последовательность (циркуляторное распределение)

грамм (рис. 8). В данной последовательности находит свое отражение процесс эволюции наиболее фундаментальных из всех существующих законов — основных законов Триначалия. Каждая из трех первичных монограмм этой последовательности проходит все стадии собственной эволюции на пути достижения состояния триграммы.

Восемь Начал очень близки абсолютному Гомо, проявляя свойства гармонии, простоты и стабильности, устойчивости и способности сохраняться в неизменном виде. Поэтому все существующие в настоящее время предметы и явления содержат структуру Восьми Начал или развиваются в направлении ее достижения.

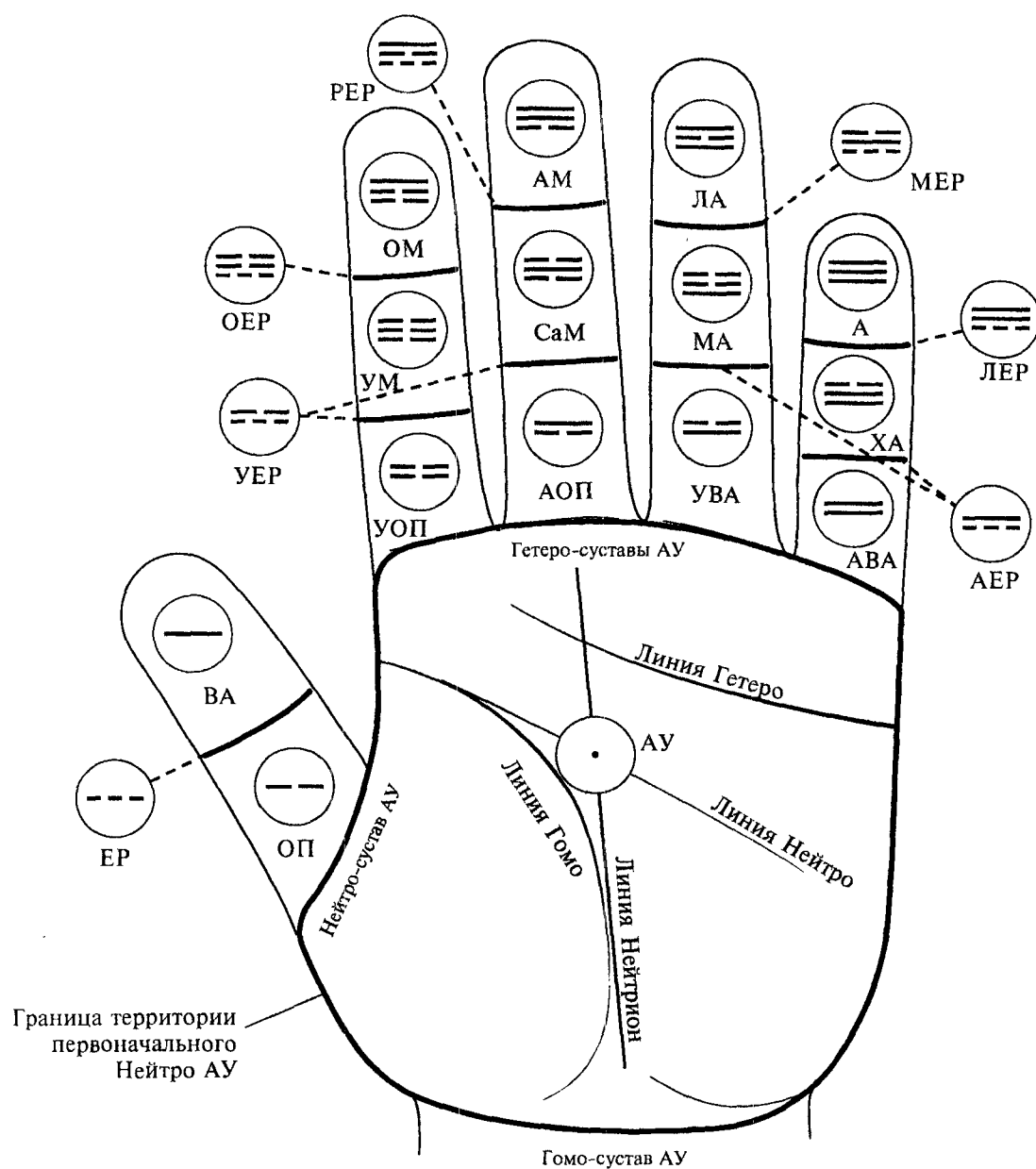
Восемь Начал составляют целостную систему и всегда присутствуют вместе, но каждому из них присущи свои индивидуальные свойства (рис. 9).

Определение категорий различных изучаемых явлений и их элементов в соответствии с теорией Восьми Начал позволяет не только выявить недостающие элементы в цепи познания, но и создать оптимальные условия для установления связей или оказания влияния.



- — Гетеро-код
- — Гомо-код
- ..... — Нейтро-код

Рис. 5. Схема тройной триграммной последовательности Восьми Начал (Гомо-Гетеро распределение)



Все суставы кисти (суставы пальцев и лучезапястный) соотносятся с Нейтро-элементами этой последовательности

Рис. 6. Один из вариантов распределения элементов тройной триграммной последовательности в структуре кисти



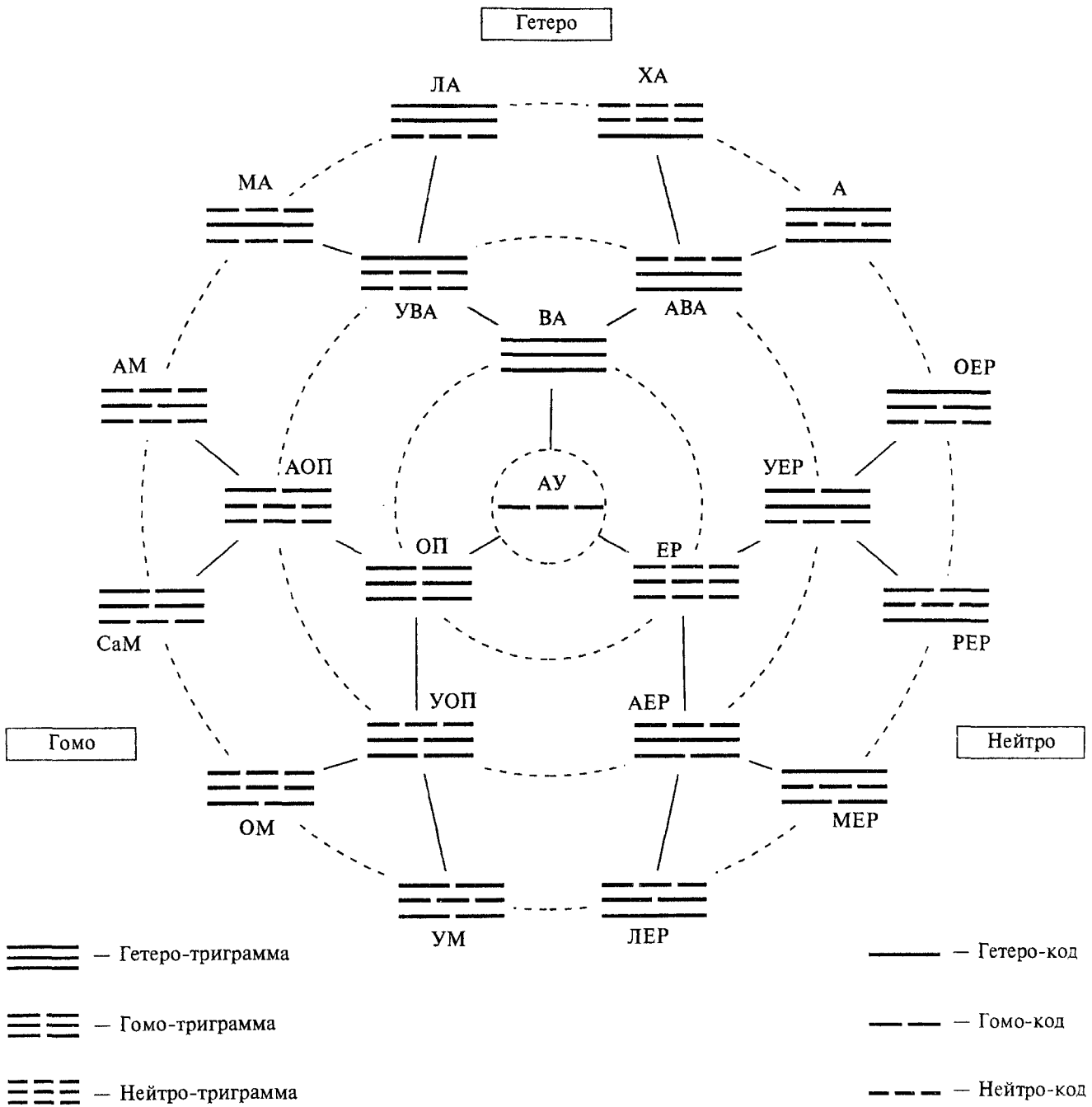


Рис. 7. Диаграмма воплощенной Тринальной системы триграмм с тройной Восьминальной последовательностью (осевое распределение)

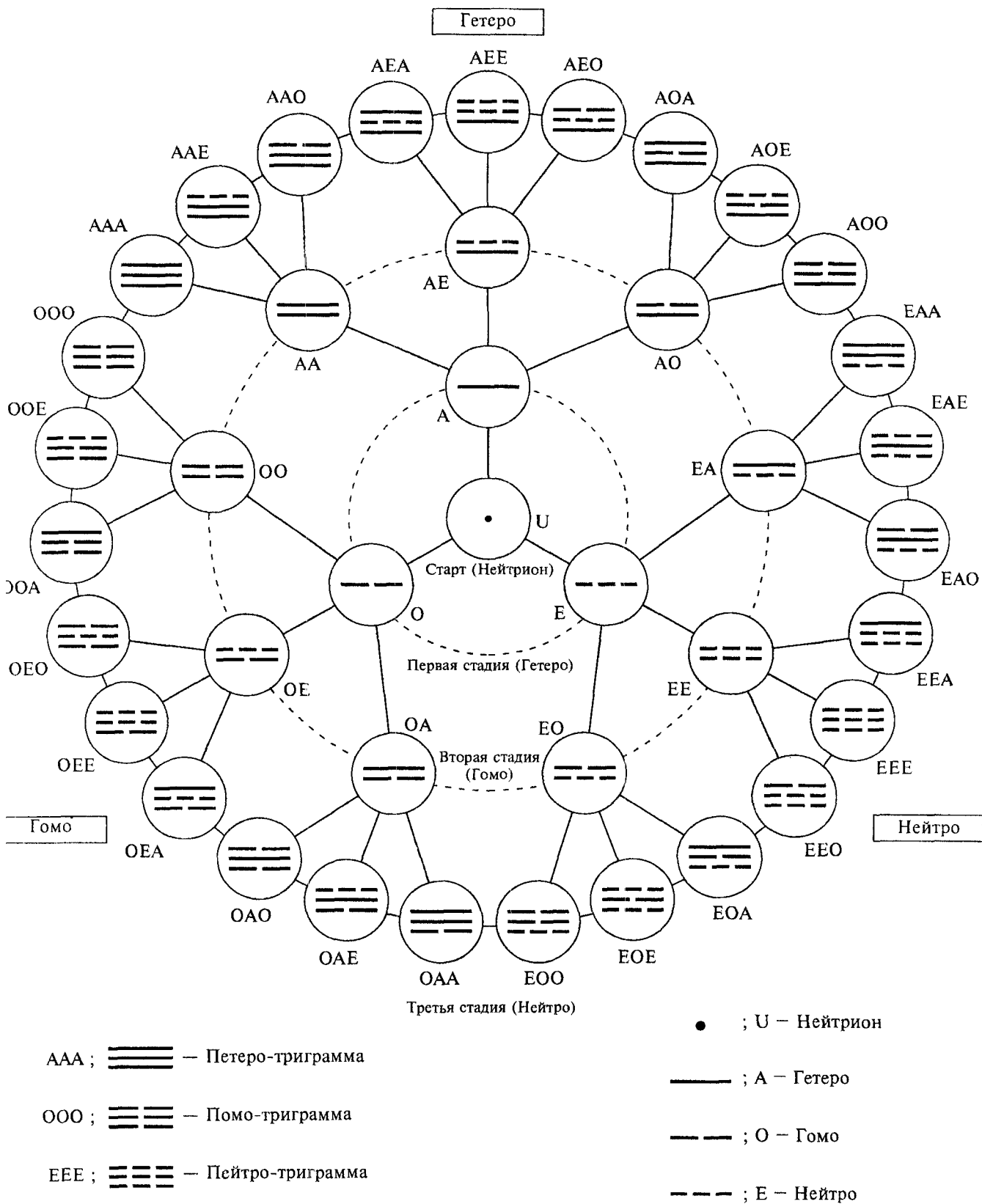


Рис. 8. Последовательность Триначных триграмм

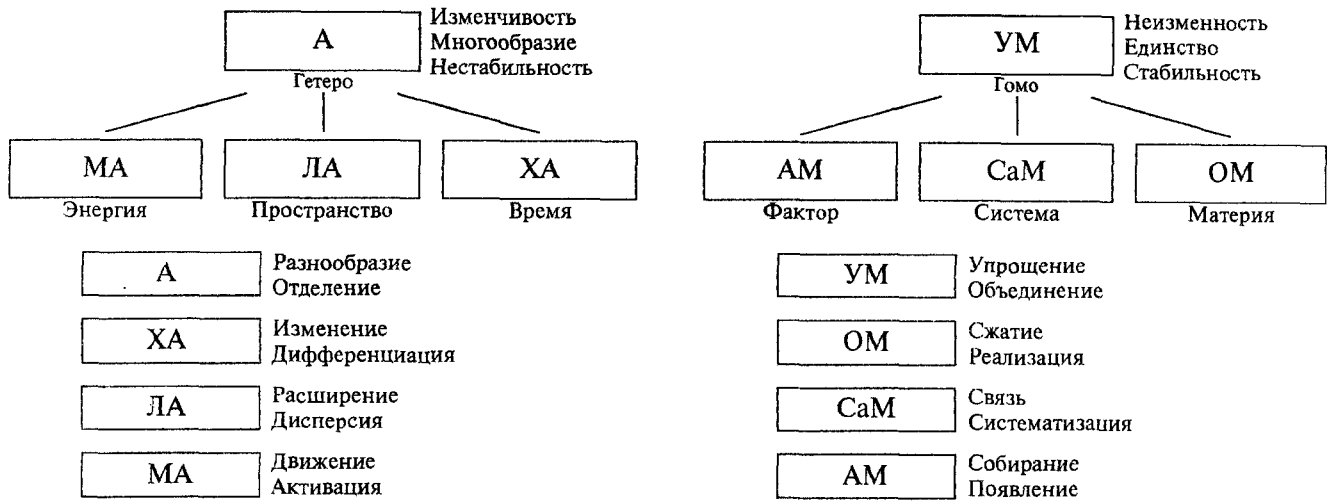


Рис. 9. Свойства Восьми Начал

В человеческом организме части тела, функциональные системы, органы, клетки, молекулы и атомы, относящиеся к категории одного и того же Начала, «говорят на одном языке» и поэтому особенно связаны друг с другом, а также со всеми элементами окружающего мира (табл. 1).

В классификации функциональных систем тела, согласно теории Восьми Начал, энергетическая система является производным Начала А и соотносится с энергией света. В иерархической структуре всех функциональных систем организма она занимает наивысшее положение, что делает ее уникальной по силе лечебного воздействия и возможностям контролирующего влияния (рис. 10).

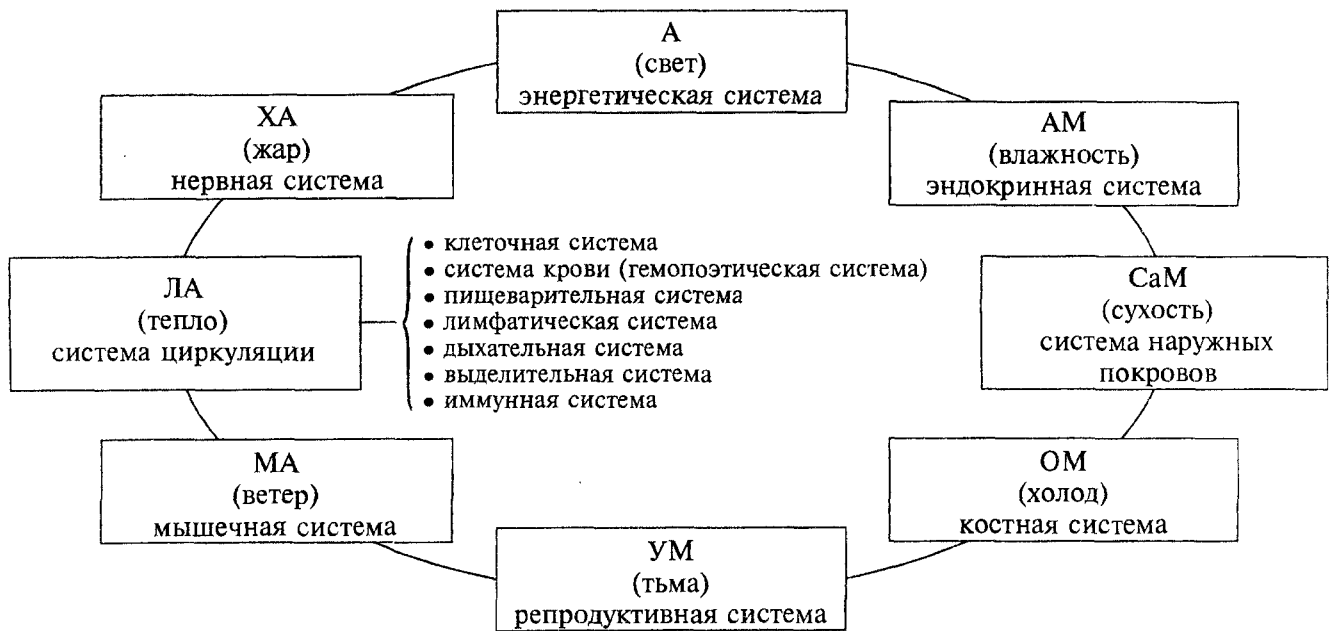


Рис. 10. Классификация функциональных систем тела по теории Восьми Начал

Таблица 1. Проявление Восьми Начал в организме челове

Объекты		Начала	А	ХА	ЛА	МА	АМ	СаМ
Тяги энергий	Жизненные		свет	жар	тепло	ветер	влажность	сухост
	Эмоциональные		любовь	счастье	радость	гнев	тревога	печал
	Ментальные		дух	намеренис	желанис	оригинальность	сознание	воля
Энергетич. система	Меридиан		погранич. (GV, CV)	TF, PC	SI, HT	GB, LR	ST, SP	LI, LU
	Погран. мерид.		верхнезадний	верхнелевый	верхнеправый	верхнепередний	нижнезадний	нижнелс
	Сердцисв. мерид.		энергетич. ворота	верхн. вертик.	левый фронтальн.	задн. сагиттал.	передн. сагиттал.	правый фро
	Чакра (внутр.)		Агни солнечная (Сахасрара)	Аджна	Вишудха	Анахата	Манипура	Свадхист
Системы тела			энергетическая	нервная	кровоснабжения	мышечная	эндокринная	покров
Нервная система			мозг	нервы груди. клетки	н. левой руки	н. левой ноги	н. правой руки	н. правой
	Головной мозг		лобные доли	теменные доли	височные доли	затылочные доли	лимбический отдел	мозжеч
	Чувства		ментальное	зрение	слух	обоняние	вкус	осязан
Эндокринная система			гипоталамус	гипофиз	щитовидн. железа	тимус	поджел. железа	надпочеч
Система кровообращения			клеточная	пищеварительная (2)	система крови	пищеварительная (1)	лимфатическая	дыхатель
	Инь-органы		Гомо-клетки	поджелудочная железа	сердце	печень	селезенка	легки
	Ян-органы		Гетеро-клетки	12-перстн. кишка (спинной мозг)	тонкая кишка	желчный пузырь	желудок	толстая к
Мышечная система			м. головы	м. груди	м. левой руки	м. левой ноги	м. правой руки	м. правой
Сист. покровов (оболочек)			п. головы	п. груди	п. левой руки	п. левой ноги	п. правой руки	п. правой
Скелет			череп	к. грудной клетки	к. левой руки	к. левой ноги	к. правой руки	к. правой
	Кости черепа		лобная	верхняя челюсть	левая теменная	левая височная левая клиновидная	правая теменная	правая вис правая клин
Репродукт. система	Мужская		головка полового члена	тело полового члена	корень полового члена	предстат. железа эякуляторный канал	семенные канатики	семявывод прото
	Женская		клитор	половые губы	преддверис влагалища	влагалище	матка	маточные т
Сердце	Строение		сообщающиеся с сердцем сосуды	левый желудочек	предсердие	левое ушко	правый желудочек	предсерд
	Кровообращ.		капиллярная сеть (пищевар. органов)	аорта, полые вены	левый желудочек	предсердие	правос предсердие	правый желудоч
Легкие	Строение		нос	трахея, бронхи	левая верхняя доля	левая нижняя доля	правая верхняя доля	правая сре доля
	Воздухоносные пути		альвеолы	альвеолярные протоки	респираторные бронхиолы	конечные бронхиолы	бронхиолы	бронхи
Печень			портальная вена	ворота печени	правая доля	левая доля	квадратная доля	хвостатая
Почка			почечная артерия, почечная вена	нефрон (нерв)	сосуды почки	доля почки	мозговое вещество	корковое вег и капсул
Система желудка			губы	рот	глотка	пищевод	кардия	тело желу
Ротовая полость			верхняя челюсть	нёбо, язычок	язык	губы	слюнные железы (дно)	щёки, дёсны
Ухо			слуховой центр	слуховой нерв	улитка	вестибулярные каналы	среднее ухо	барабан перепон

На основании теории Восьми Начал оказалось возможным объединить древнейшие представления об энергетической системе тела как о единой системе чакр и меридианов. Кроме того, зная алмазную структуру Восьми Начал, мы смогли обнаружить сердцевинные меридианы тела, обладающие Гомо-свойствами, а также пограничные меридианы тела, имеющие выраженные Гетеро-свойства. Вместе они составляют метафизическую Алмазную систему тела, существование которой получило убедительное подтверждение на практике.

Поскольку октаэдр, воплощающий систему Восьми Начал, имеет сильно выраженные Гомо-свойства, то в виде энергетического алмаза он проявляется во всех единицах существования.

Алмазная энергетическая система тела, представляющая собой двойную пирамидальную структуру, является первичным и наиболее фундаментальным элементом энергетической системы человека, связывает все остальные структуры разных уровней в единую сеть и обеспечивает процессы циркуляции, обмена и самовоспроизводства энергии. Ей присуща простота, упорядоченность строения, первичность и фундаментальность организации (рис. 11).

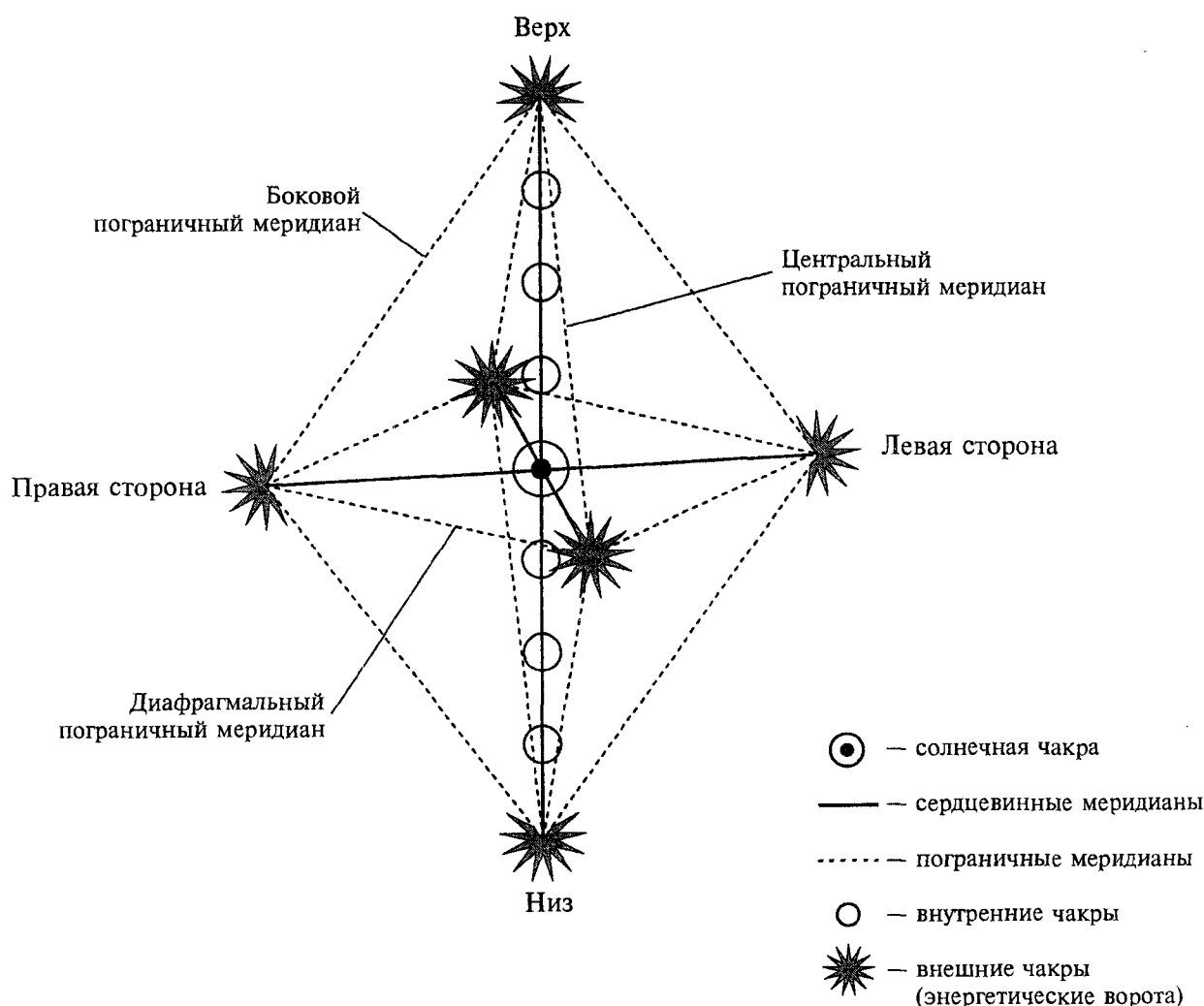


Рис. 11. Алмазная энергетическая система тела человека





рис. 12. Строение энергетической системы тела

Алмазная энергетическая система является центральной частью энергетической системы тела, имеющей достаточно сложное и разветвленное строение. Периферическую часть энергетической системы тела составляют три группы меридианов тела (Гомо, Гетеро и Нейтро), описанные еще в древнекитайских источниках. Схематическое строение энергетической системы тела представлено на рис. 12.

# Глава 1. Центральная энергетическая система тела

## 1.1. Эволюция Алмазной энергетической системы тела

Алмазная энергетическая система, как и любое существующее явление, проходит этапы последовательного развития. Первичный алмаз тела, возникающий под влиянием Восьми Начал, является наиболее энергоемкой структурой, оказывающей сильное влияние на тело. С каждым последующим этапом развития вновь образующиеся структуры становятся все более разветвленными, пока не превратятся в сплошную мелкую энергетическую сеть.

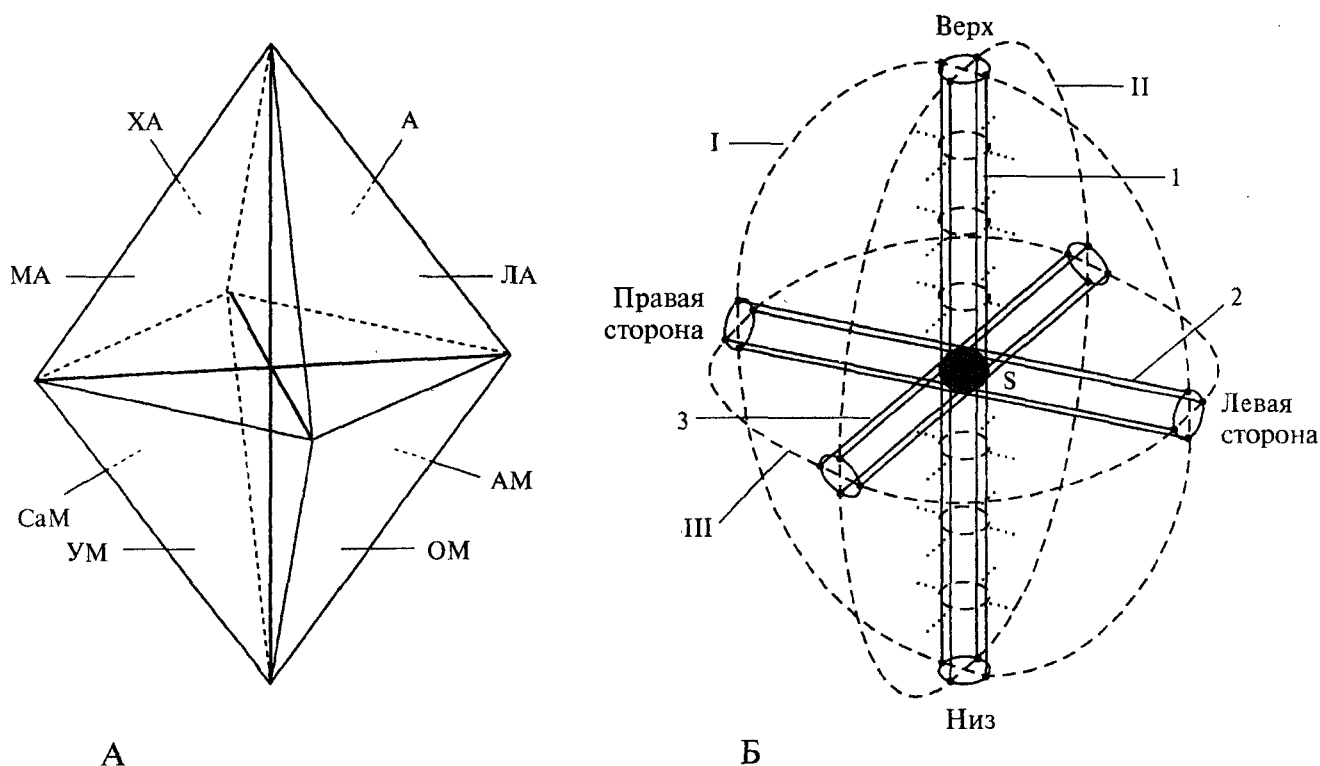
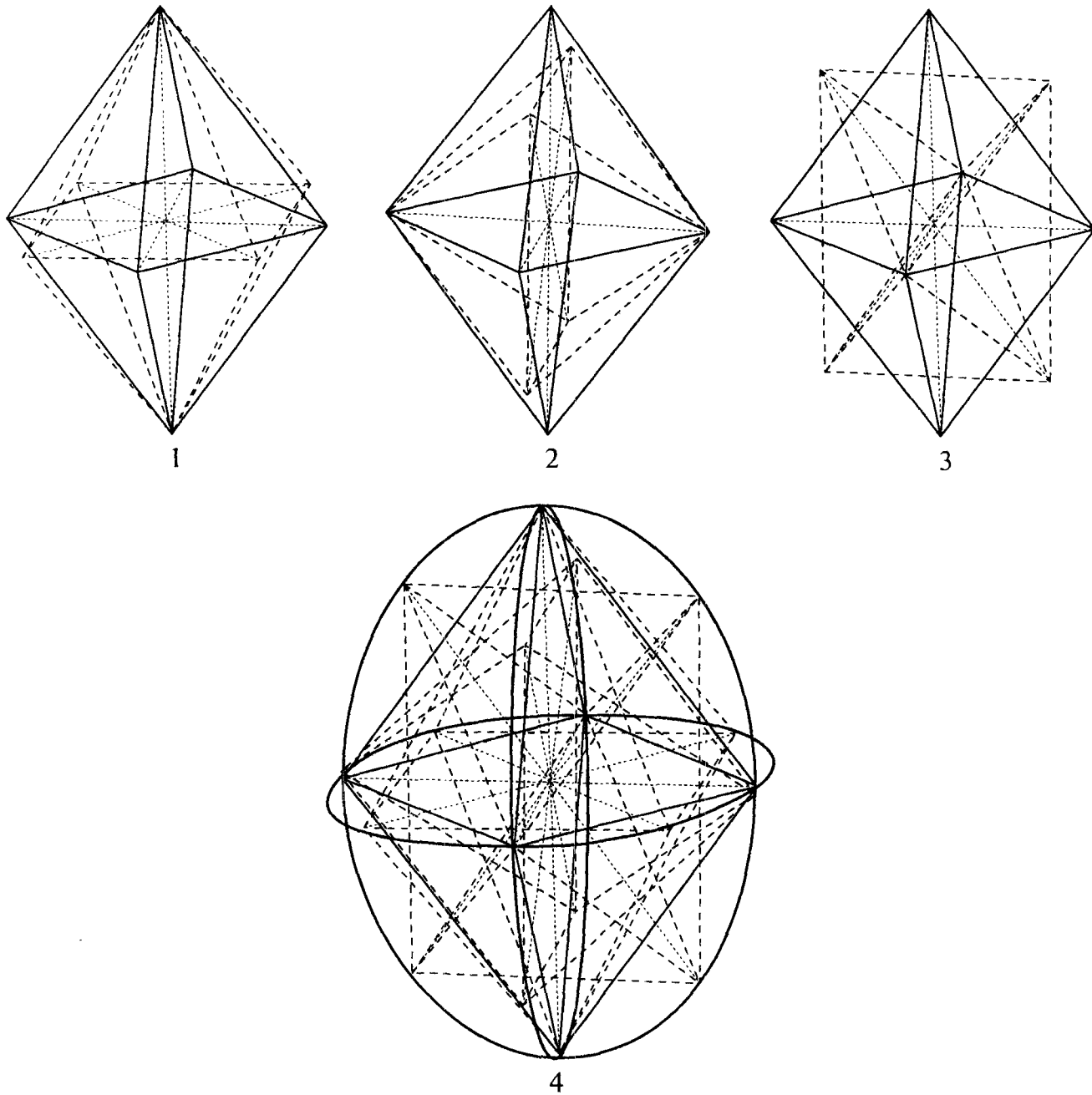


Рис. 13. Первый этап эволюции. Первичный энергетический алмаз тела.

Каждая из граней алмаза является производным одного из Восьми Начал (А). В человеческом теле энергетическая структура первичного алмаза проявляется в виде трех пограничных меридианов, трех сердцевинных меридианов, внутренних и внешних чакр (Б).

- I — боковой пограничный меридиан
- II — центральный пограничный меридиан
- III — диафрагмальный пограничный меридиан
- 1 — вертикальный сердцевинный меридиан
- 2 — фронтальный сердцевинный меридиан
- 3 — сагиттальный сердцевинный меридиан
- S — солнечная чакра
- ⊖ — внутренние чакры
- — внешние чакры (энергетические ворота)

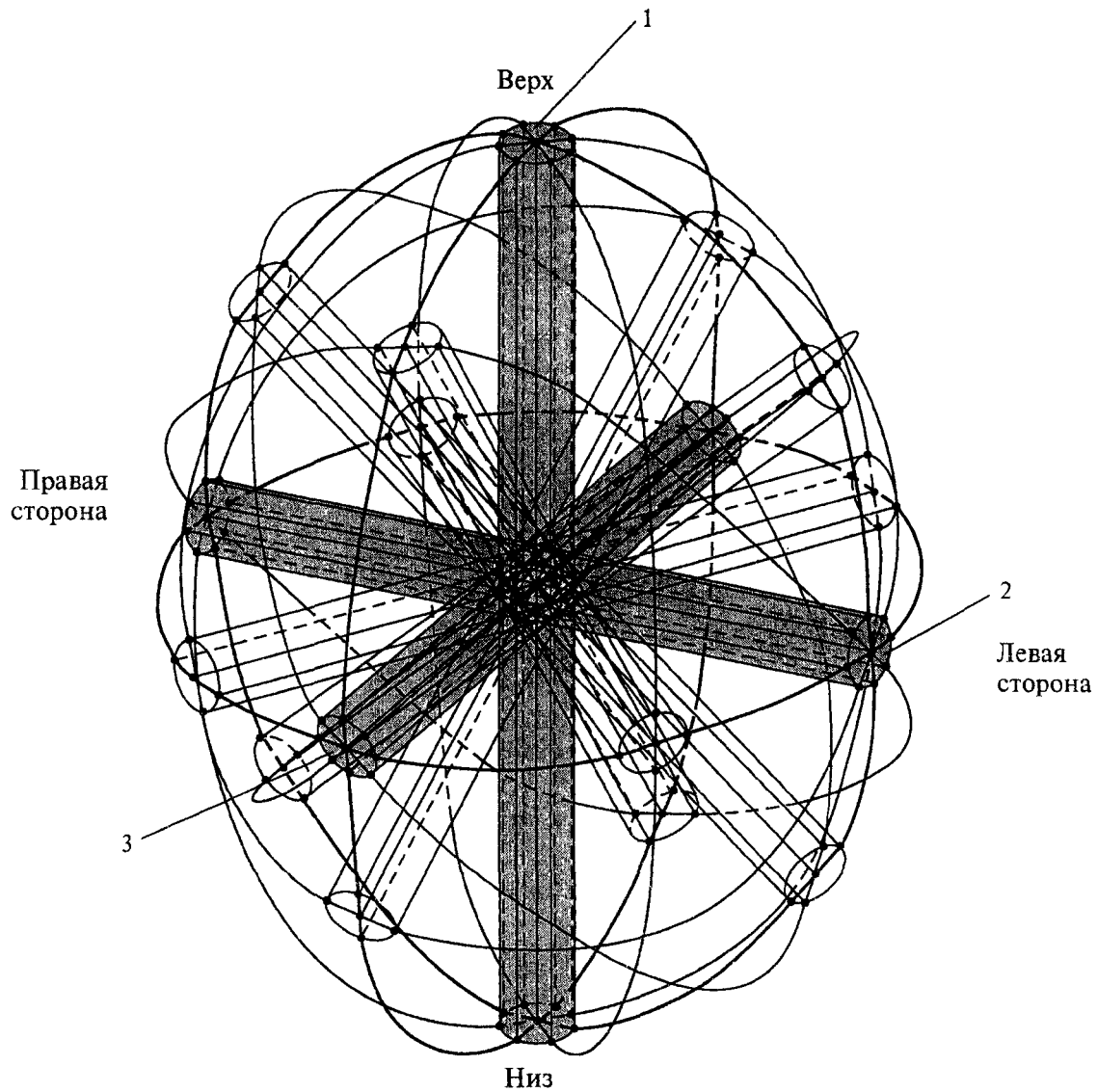


ис. 14. Второй этап эволюции. Формирование вторичных алмазов тела.

На втором этапе развития из первичного энергетического алмаза в результате поворота каждой из внутренних осей на  $45^\circ$  формируются вторичные алмазы (1, 2, 3). Вследствие этого образуется система из четырех алмазов, включающая один первичный (первый этап эволюции) и три вторичных (второй этап эволюции).

- 1 — формирование вторичного алмаза вдоль вертикальной оси
- 2 — формирование вторичного алмаза вдоль фронтальной оси
- 3 — формирование вторичного алмаза вдоль сагиттальной оси
- 4 — система четырех алмазов человеческого тела

- — грани первичного алмаза
- - - — грани вторичных алмазов
- ..... — сердцевинные оси алмазов
- — боковой, центральный и диафрагмальный пограничные меридианы



*Рис. 15. Второй этап эволюции. Энергетические пути в системе четырех алмазов человеческого тела. Выделена структура первичного алмаза.  
1 — вертикальный сердцевинный меридиан  
2 — фронтальный сердцевинный меридиан  
3 — сагиттальный сердцевинный меридиан  
○ — внешние чакры*

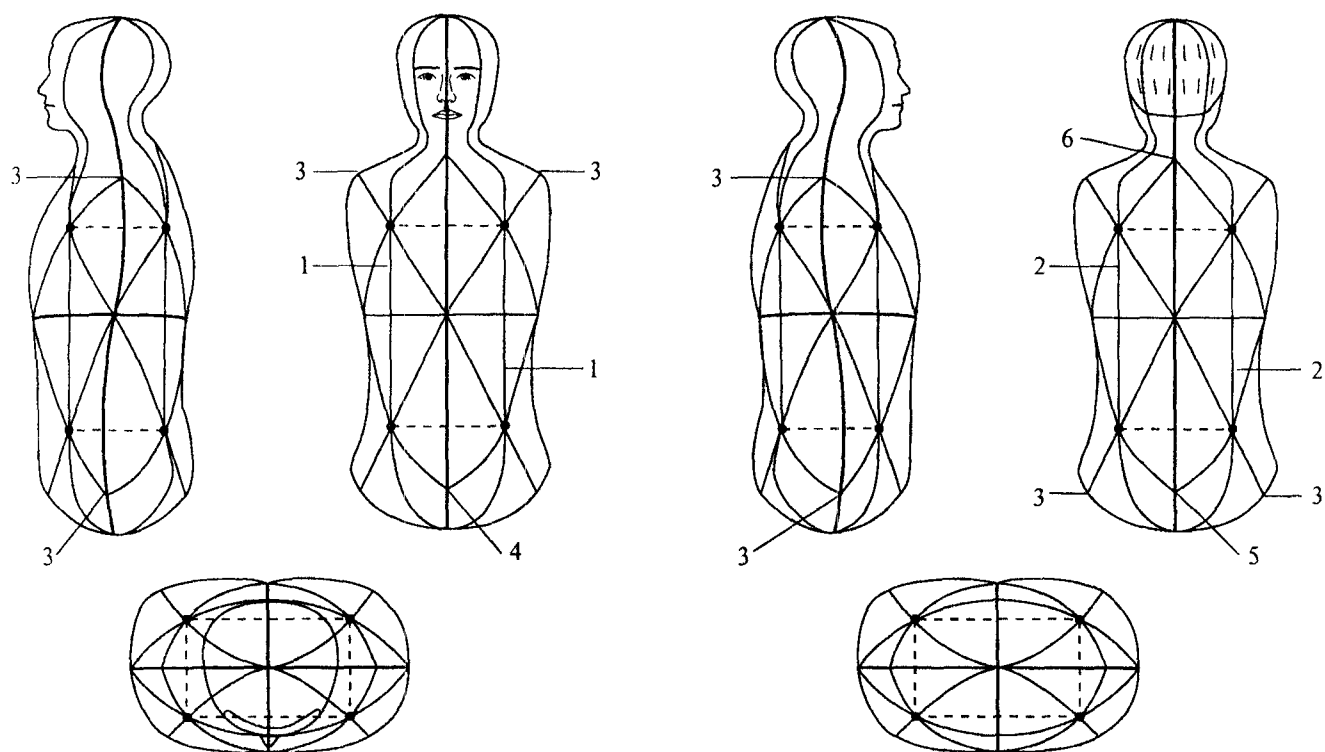


рис. 16. Второй этап эволюции. Проявление системы четырех алмазов в строении человеческого тела.

Физические проявления вторичного вертикального алмаза:

1 — среднеключичные линии тела

2 — средлопаточные линии тела

Физические проявления вторичного сагиттального алмаза:

3 — точки формирования конечностей

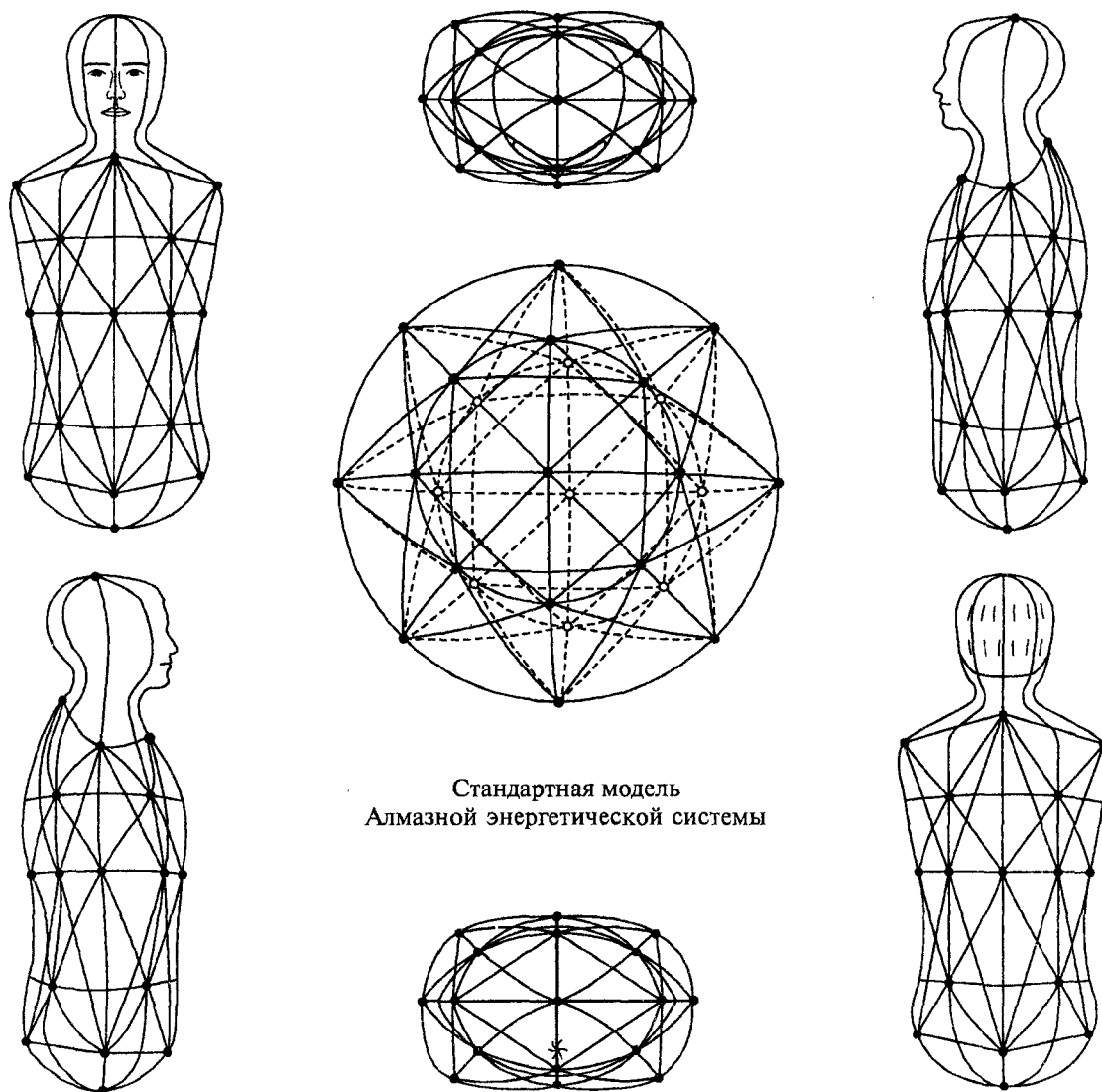
Физические проявления вторичного фронтального алмаза:

4 — лобок

5 — копчик (хвост)

6 — седьмой шейный позвонок





Стандартная модель  
Алмазной энергетической системы

*Рис. 17. Третий этап эволюции. Проявление третьего этапа эволюции энергетической системы в строении человеческого тела. Стандартная модель Алмазной энергетической системы. Третий этап эволюции приводит к появлению более мелких по размеру энергетических путей, в результате чего Алмазная энергетическая система становится хорошо сгармонизированной и в полной мере воплощающей в себе систему Восьми Начал. Этот этап развития отражен в стандартной модели Алмазной энергетической системы.*

## 1.2. Система контролирующих меридианов тела человека

Вдоль границ Инь-Ян тела, существующих между его верхней и нижней, передней и задней, левой и правой половинами, создаются особо благоприятные условия для движения энергии. В этих областях проходят круговые энергетические каналы, получившие название пограничных меридианов, — центральный, диафрагмальный и боковой. Сердцевинные меридианы — вертикальный, фронтальный и сагиттальный — соединяют точки пересечения пограничных меридианов и проходят вдоль трех основных осей тела.

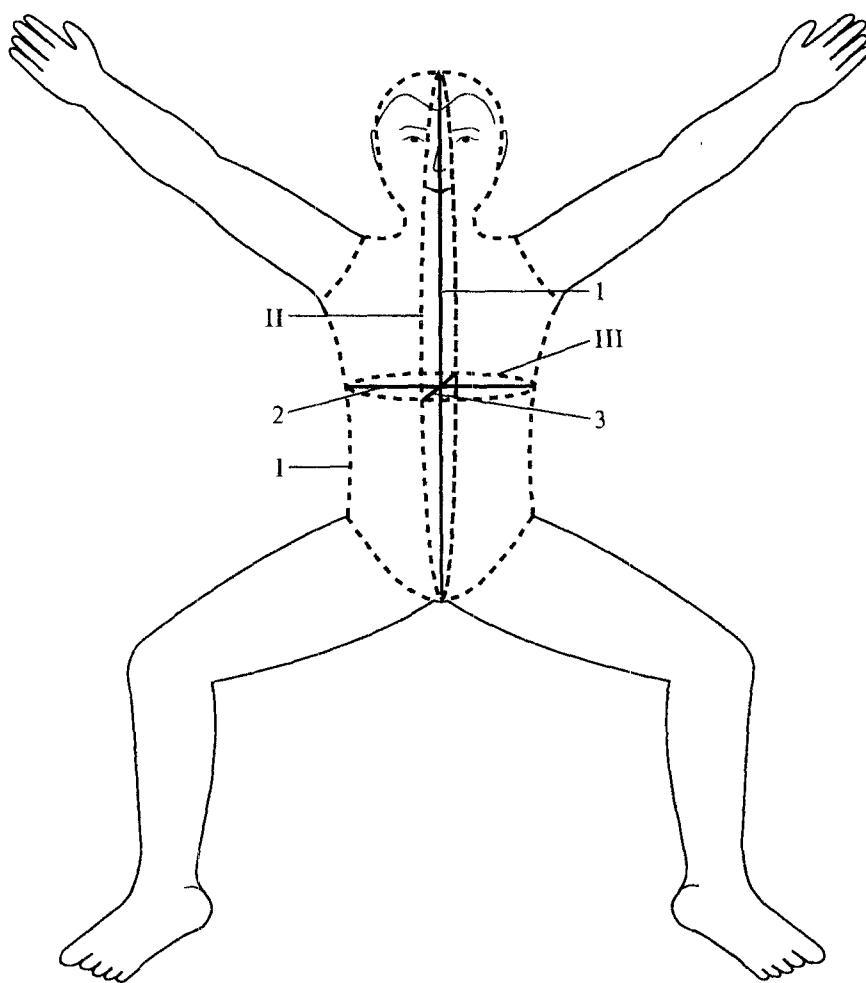


Рис. 18. Система контролирующих меридианов тела человека (пограничные и сердцевинные меридианы).

- 1 — вертикальный сердцевинный меридиан
- 2 — фронтальный сердцевинный меридиан
- 3 — сагиттальный сердцевинный меридиан
- I — боковой пограничный меридиан
- II — центральный пограничный меридиан
- III — диафрагмальный пограничный меридиан

По каждому пограничному меридиану, как по замкнутому круговому контуру, происходит интенсивное движение энергии, оказывающей влияние на все области тела, расположенные по ходу меридиана. Самый длинный боковой пограничный меридиан несет энергию с наиболее выраженными Гетеро-свойствами. Самый короткий диафрагмальный пограничный меридиан несет энергию с наиболее выраженными Гомо-свойствами. По центральному пограничному меридиану течет энергия с Нейтро-свойствами.

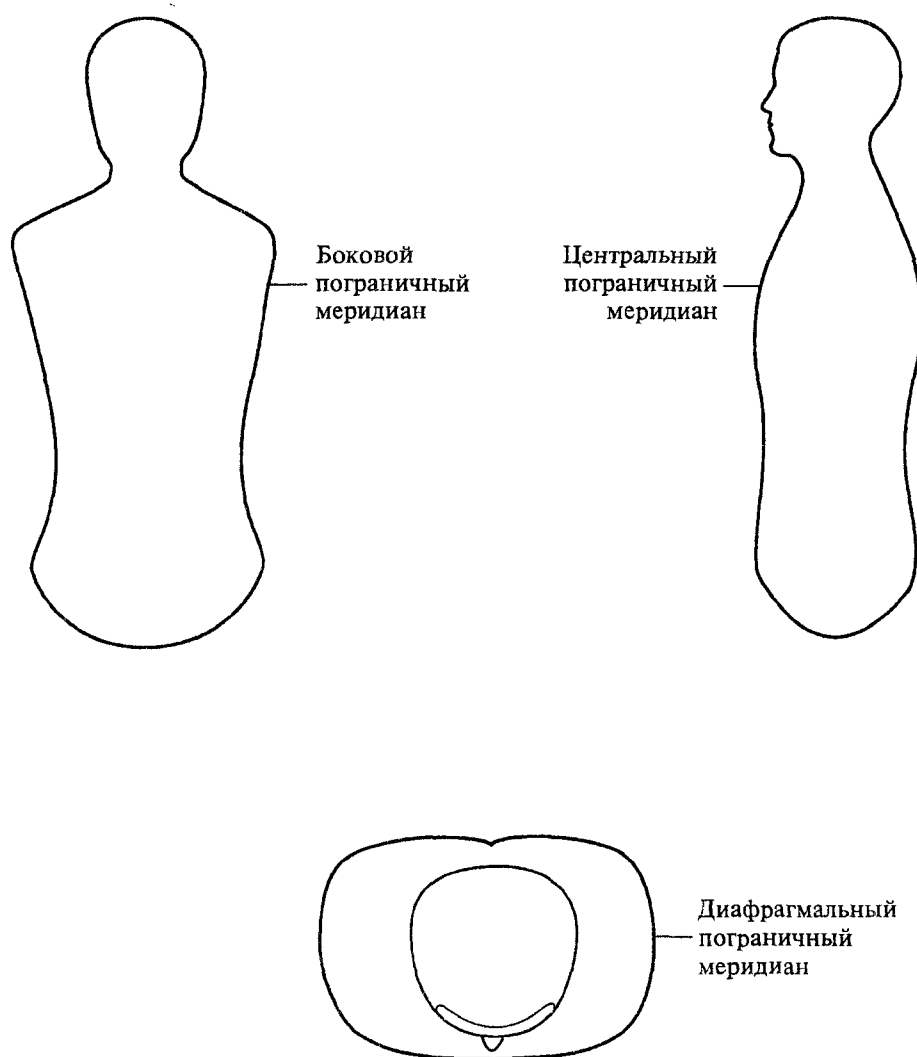


Рис. 19. Пограничные меридианы тела.

Существование внутренних осей тела приводит к тому, что поток энергии в пограничном меридиане может разделиться, проходя по половине пограничного меридиана и связанному с ним сердцевинному меридиану. Это приводит к появлению независимой циркуляции энергии половине пограничного меридиана. Такие участки называются индивидуальными пограничными меридианами. В каждом едином пограничном меридиане можно выделить четыре индивидуальных в зависимости от доминирования внутренней оси тела.

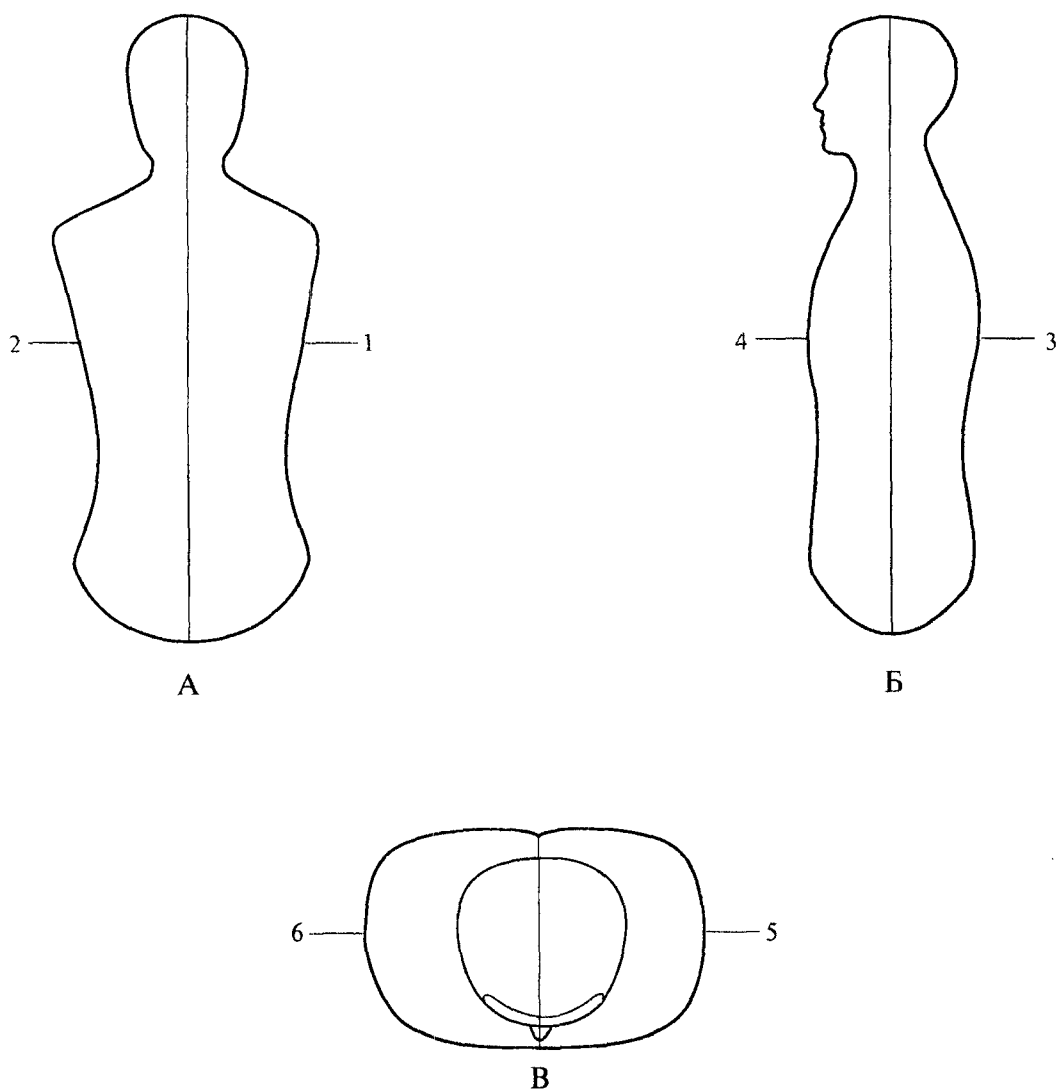
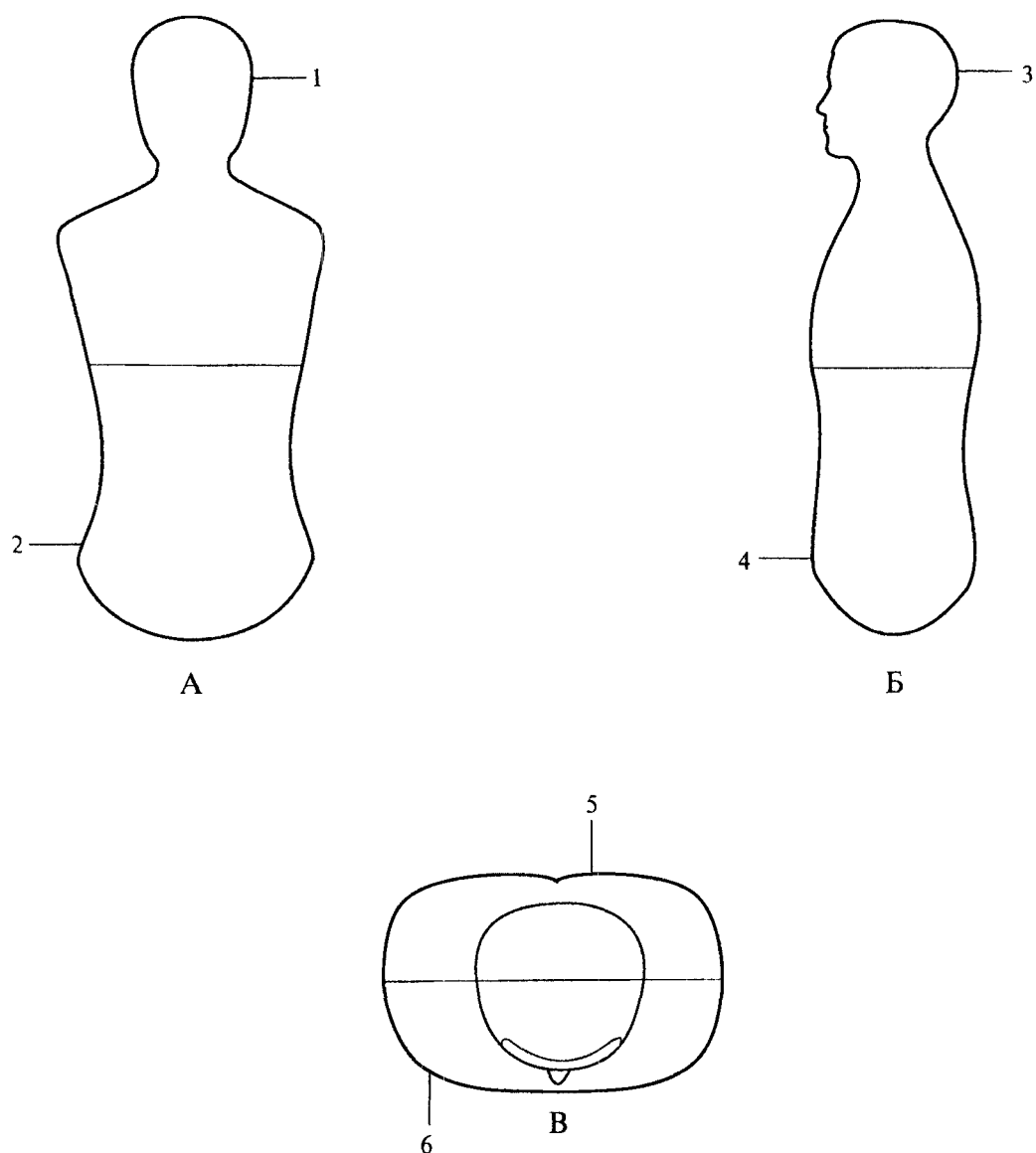


рис. 20. Индивидуальные пограничные меридианы тела по отношению к вертикальной (А, Б) и сагиттальной (В) осям.

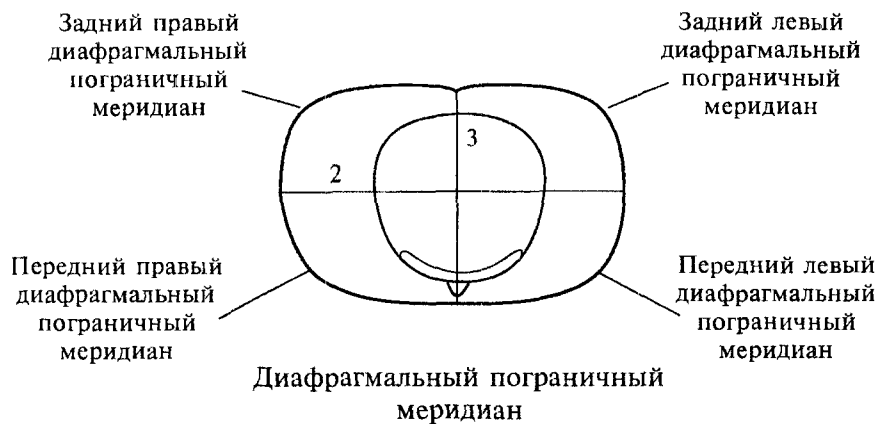
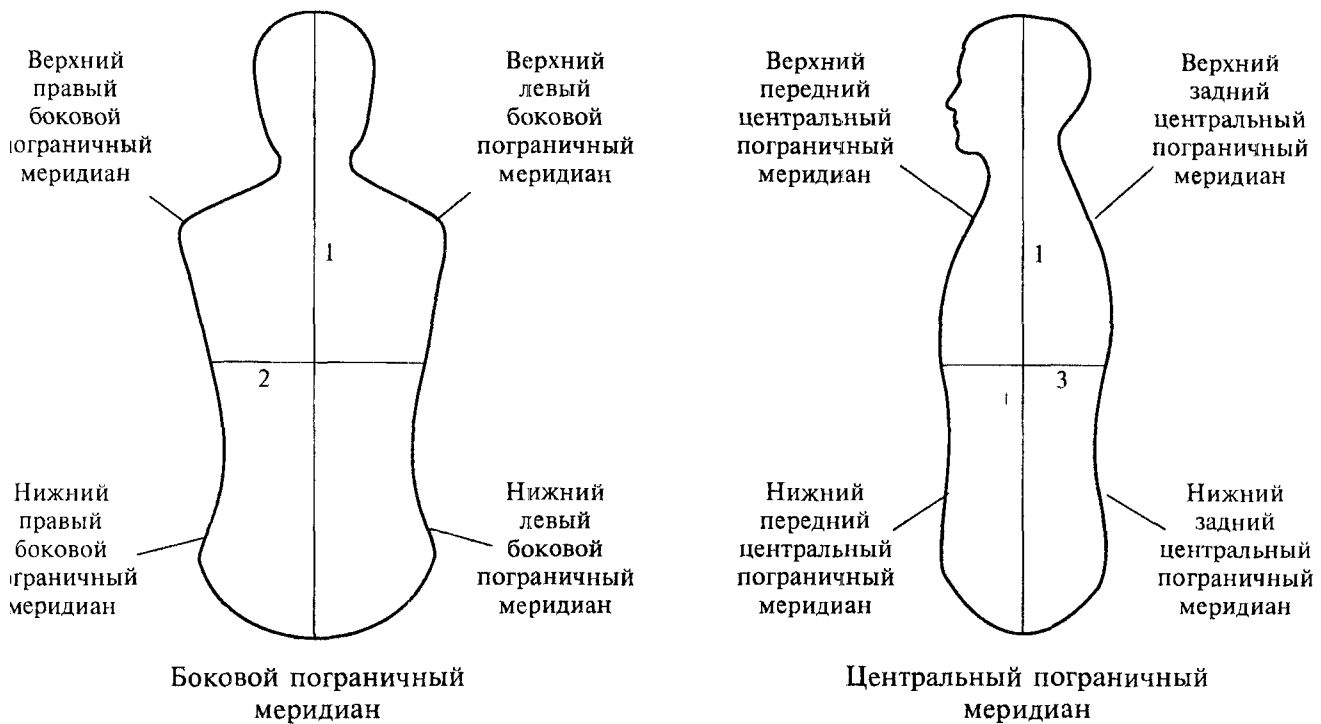
- 1— левый боковой пограничный меридиан
- 2— правый боковой пограничный меридиан
- 3— задний центральный пограничный меридиан
- 4— передний центральный пограничный меридиан
- 5— левый диафрагмальный пограничный меридиан
- 6— правый диафрагмальный пограничный меридиан



**Рис. 21.** Индивидуальные пограничные меридианы тела по отношению к фронтальной (А, В) и сагиттальной (Б) осям.

- 1— верхний боковой пограничный меридиан
- 2— нижний боковой пограничный меридиан
- 3— верхний центральный пограничный меридиан
- 4— нижний центральный пограничный меридиан
- 5— задний диафрагмальный пограничный меридиан
- 6— передний диафрагмальный пограничный меридиан

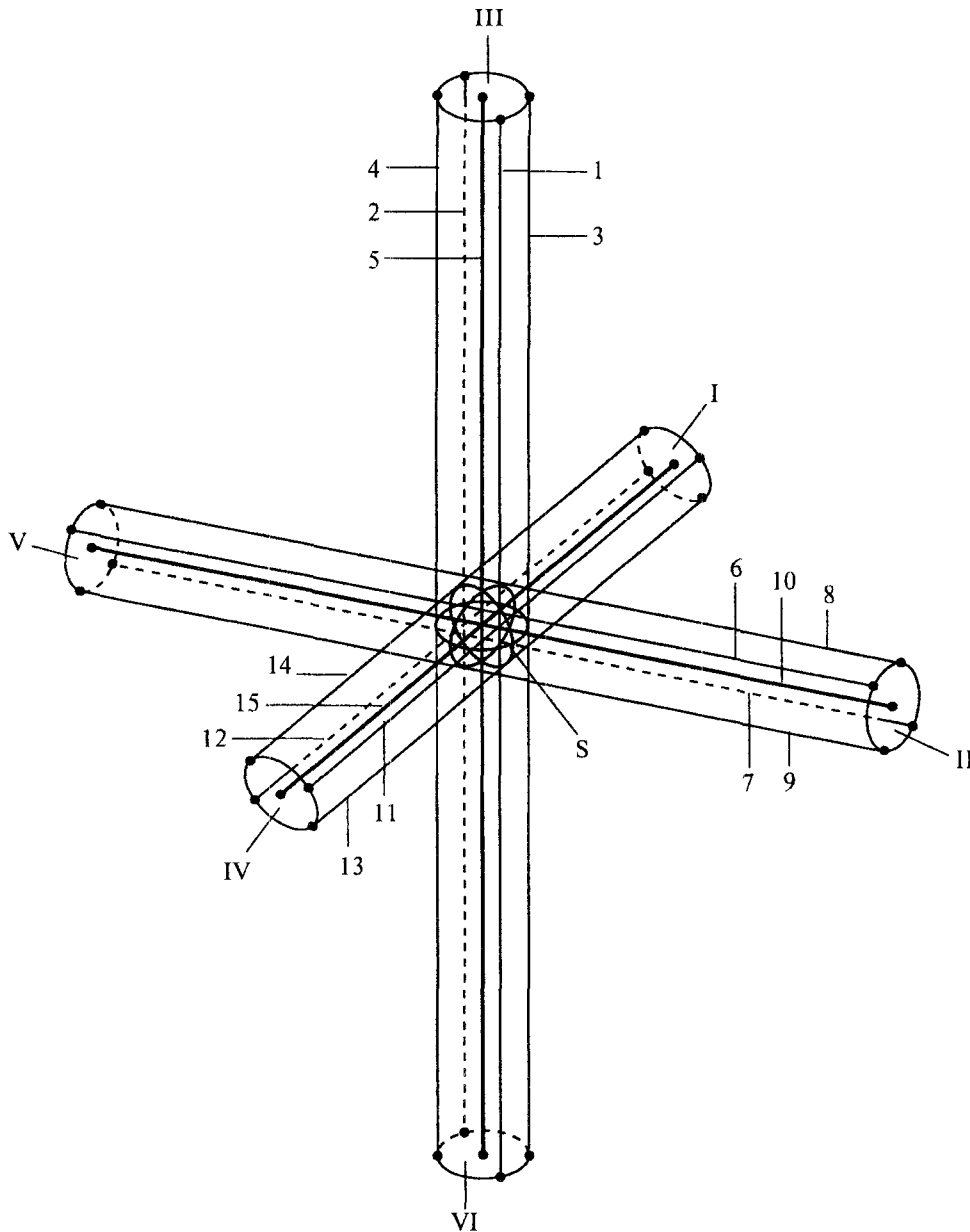




**ис. 22. Региональные пограничные меридианы тела.**

В плоскости каждого пограничного меридиана проходит два сердцевинных меридиана тела. Они делят пограничный меридиан на четыре участка. Энергетический поток в каждом из пограничных меридианов, замыкаясь на сердцевинные меридианы, может создавать цикл независимой циркуляции в каждой из четвертей тела. Эти участки — 1/4 части пограничного меридиана — называются региональными пограничными меридианами.

- 1 — вертикальный сердцевинный меридиан
- 2 — фронтальный сердцевинный меридиан
- 3 — сагиттальный сердцевинный меридиан



**Рис. 23.** Система сердцевинных меридианов.

Каждый сердцевинный меридиан в системе первичного алмаза представляет собой пять энергетических потоков. Параллельно сердцевинным Гомо-меридианам, соответствующим определенной оси тела, проходят четыре энергетических потока.

Вдоль вертикального сердцевинного Гомо-меридиана (5) — передний (1), задний (2), левый (3) и правый (4) индивидуальные меридианы.

Вдоль фронтального сердцевинного Гомо-меридиана (10) — передний (6), задний (7), верхний (8) и нижний (9) индивидуальные меридианы.

Вдоль сагиттального сердцевинного Гомо-меридиана (15) — верхний (11), нижний (12), левый (13) и правый (14) индивидуальные меридианы.

S — солнечная чакра

IV — передняя внешняя чакра

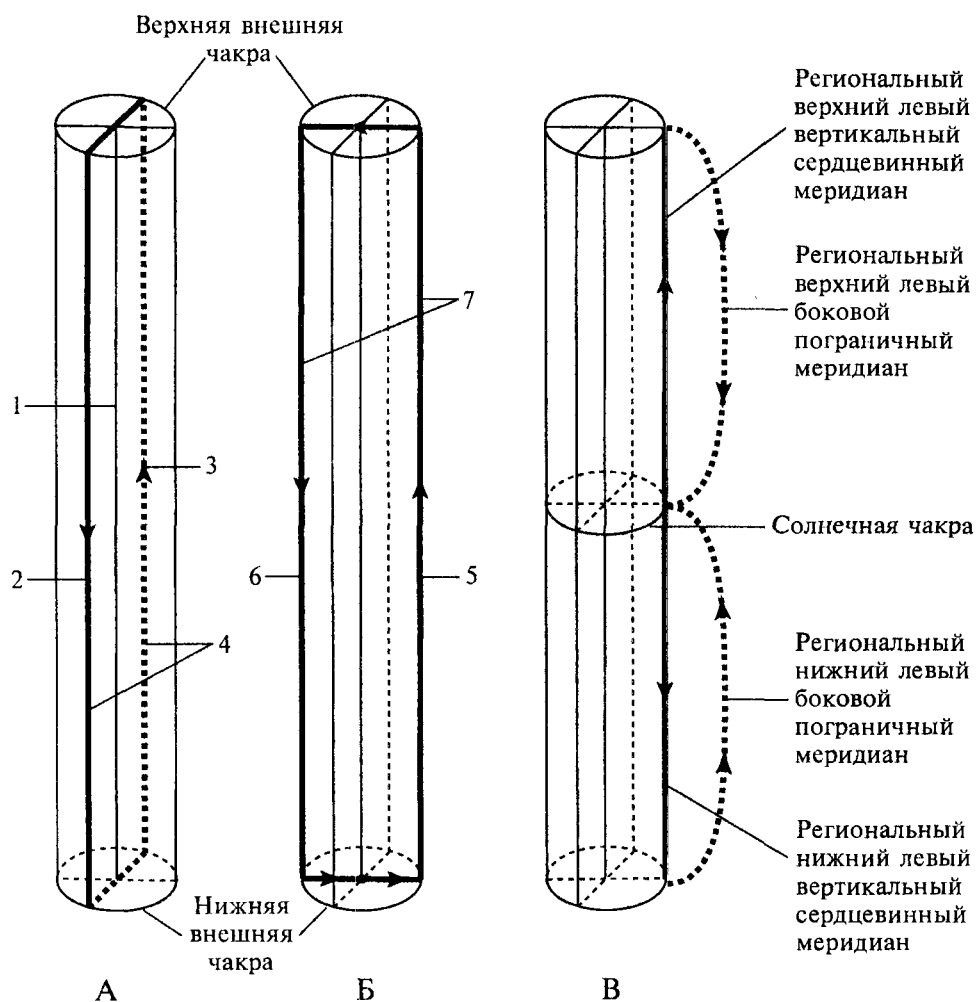
I — задняя внешняя чакра

V — правая внешняя чакра

II — левая внешняя чакра

VI — нижняя внешняя чакра

III — верхняя внешняя чакра



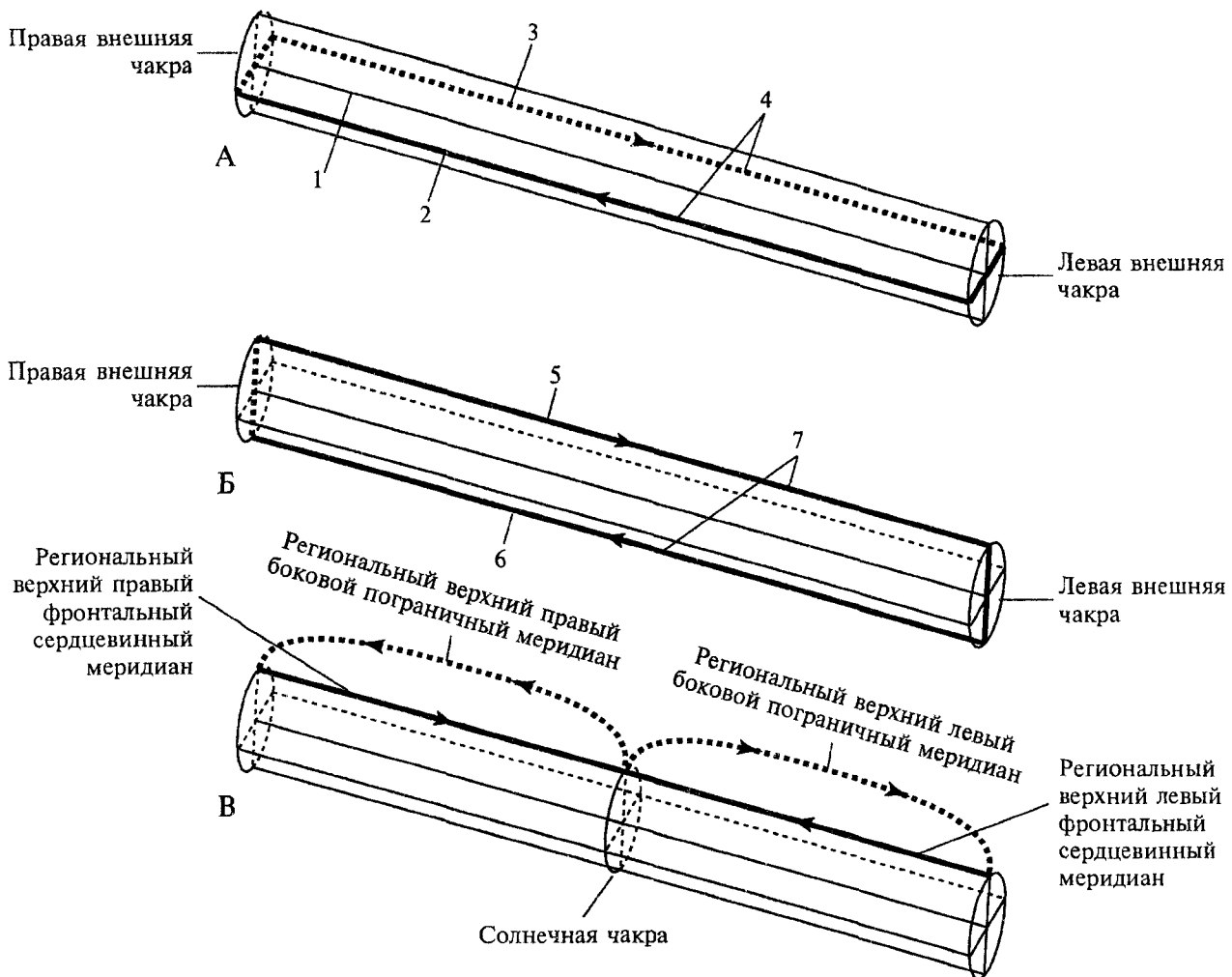
∴ 24. Вертикальный сердцевинный канал.

Вдоль вертикальной оси тела проходит вертикальный сердцевинный Гомо-меридиан (1).

А — передний (2) и задний (3) индивидуальные сердцевинные меридианы образуют объединенный центральный сердцевинный меридиан (4).

Б — левый (5) и правый (6) индивидуальные сердцевинные меридианы образуют объединенный боковой сердцевинный меридиан (7).

В — каждый индивидуальный меридиан состоит из верхнего и нижнего региональных меридианов, имеющих свою независимую циркуляцию.



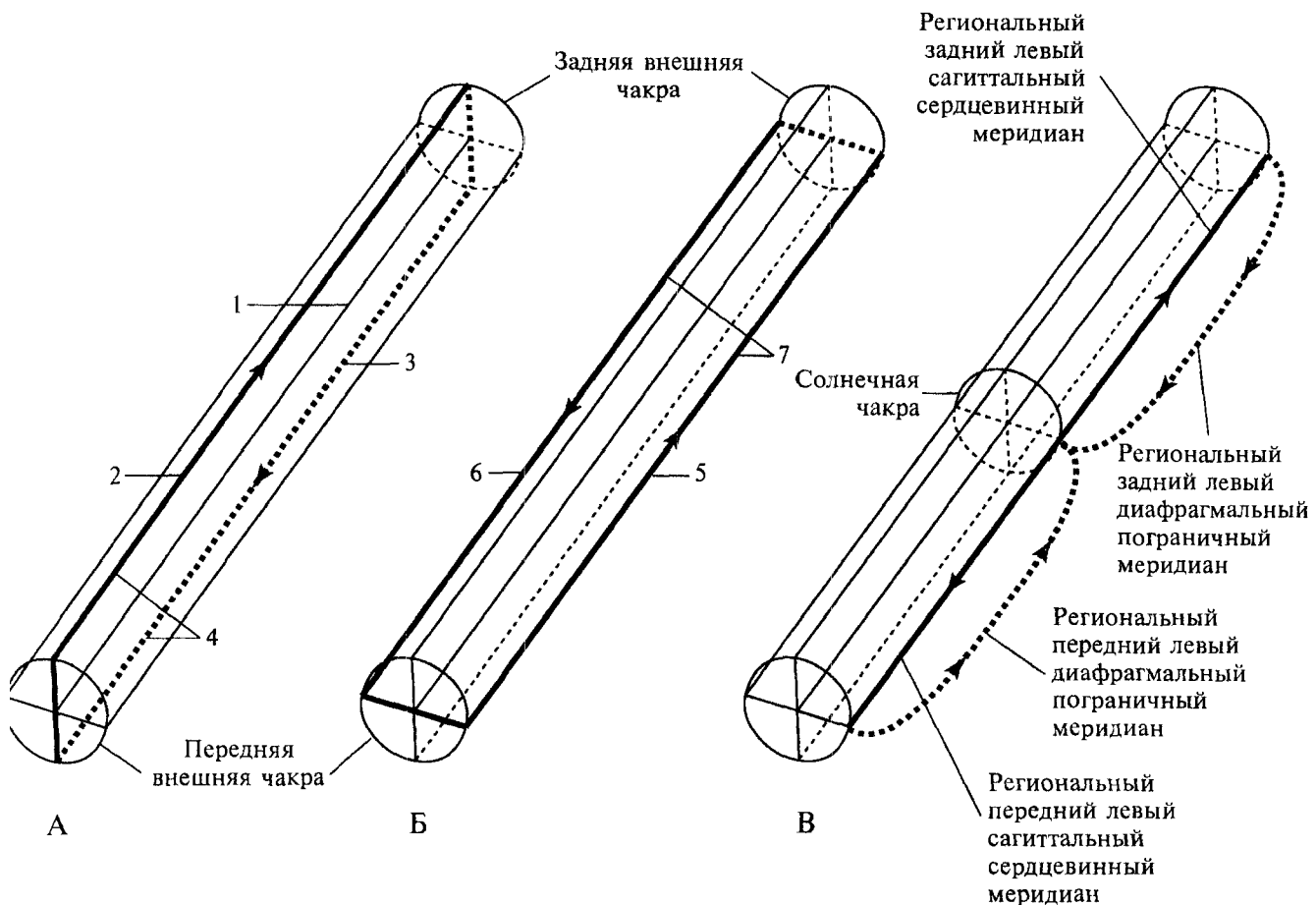
**Рис. 25.** Фронтальный сердцевинный канал.

Вдоль фронтальной оси тела проходит фронтальный сердцевинный Гомо-меридиан (1).

А — передний (2) и задний (3) индивидуальные сердцевинные меридианы образуют объединенный диафрагмальный сердцевинный меридиан (4).

Б — верхний (5) и нижний (6) индивидуальные сердцевинные меридианы образуют объединенный боковой сердцевинный меридиан (7).

В — каждый индивидуальный меридиан состоит из левого и правого региональных меридианов, имеющих свою независимую циркуляцию.



ис. 26. Сагиттальный сердцевинный канал.

Вдоль сагиттальной оси тела проходит сагиттальный сердцевинный Гомо-меридиан (1).

А — верхний (2) и нижний (3) индивидуальные сердцевинные меридианы образуют объединенный центральный сердцевинный меридиан (4).

Б — левый (5) и правый (6) индивидуальные сердцевинные меридианы образуют объединенный диафрагмальный сердцевинный меридиан (7).

В — каждый индивидуальный меридиан состоит из переднего и заднего региональных меридианов, имеющих свою независимую циркуляцию.

Сердцевинные меридианы объединяют все внутренние энергетические потоки тела и контролируют их. Вдоль сердцевинных меридианов осуществляется интенсивный энергообмен с внешней средой. Вертикальный сердцевинный меридиан обладает Гетеро-свойствами. Сагиттальный сердцевинный меридиан обладает Гомо-свойствами. Фронтальный сердцевинный меридиан обладает Нейтро-свойствами.

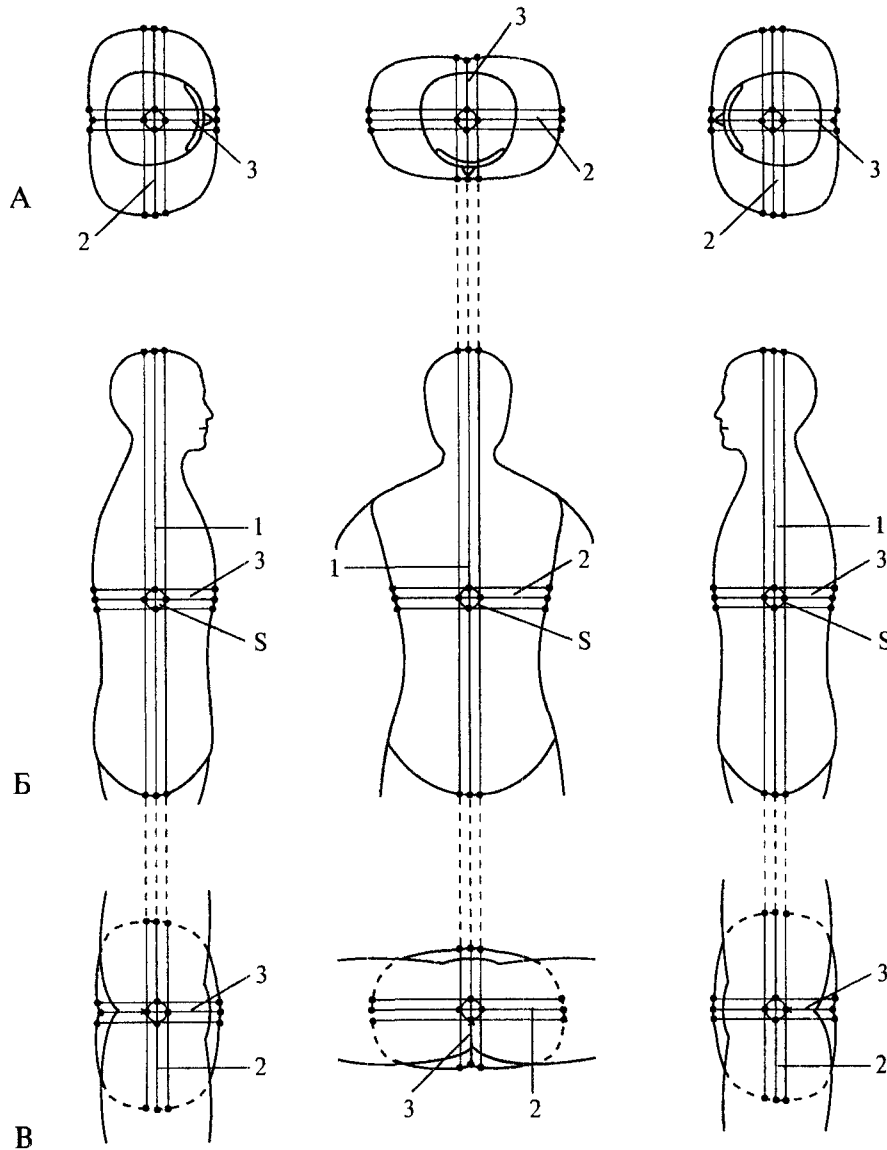


Рис. 27. Сердцевинные меридианы тела человека.

А — вид сверху

Б — вид сбоку и спереди

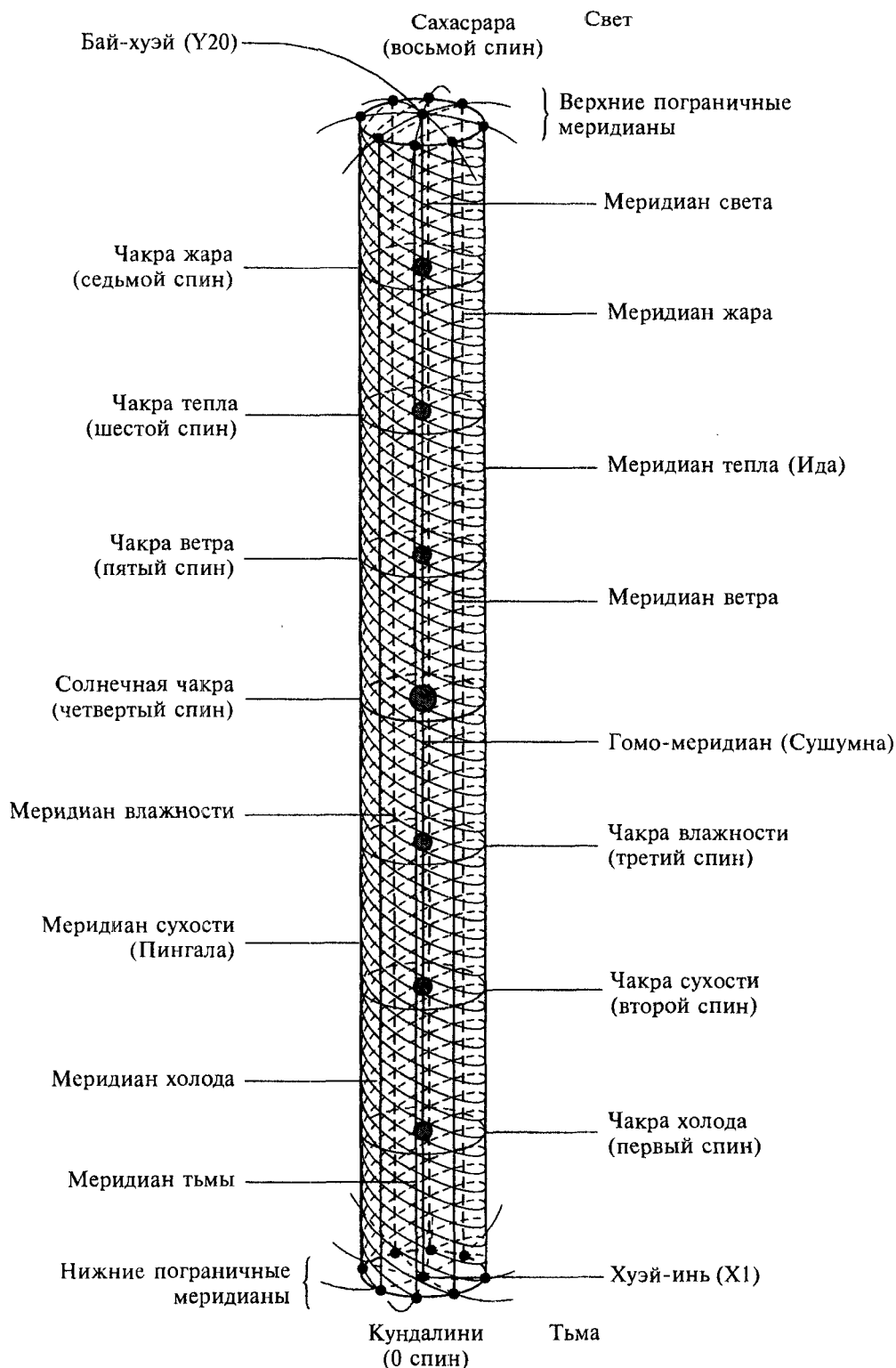
В — вид снизу

1 — вертикальный сердцевинный меридиан

2 — фронтальный сердцевинный меридиан

3 — сагиттальный сердцевинный меридиан

S — солнечная чакра



**Рис. 28.** Восьмиэлементная структура вертикального сердцевинного меридиана в энергетической системе двойного алмаза и циркуляция в нем Восьми Энергий.

Из первичного энергетического алмаза в процессе эволюции формируется система вторичных алмазов с поворотом на  $45^\circ$  относительно каждой из осей. Благодаря системе вторичных алмазов вдоль каждой из осей образуется по восемь сердцевинных меридианов, входящих в систему двойного алмаза.



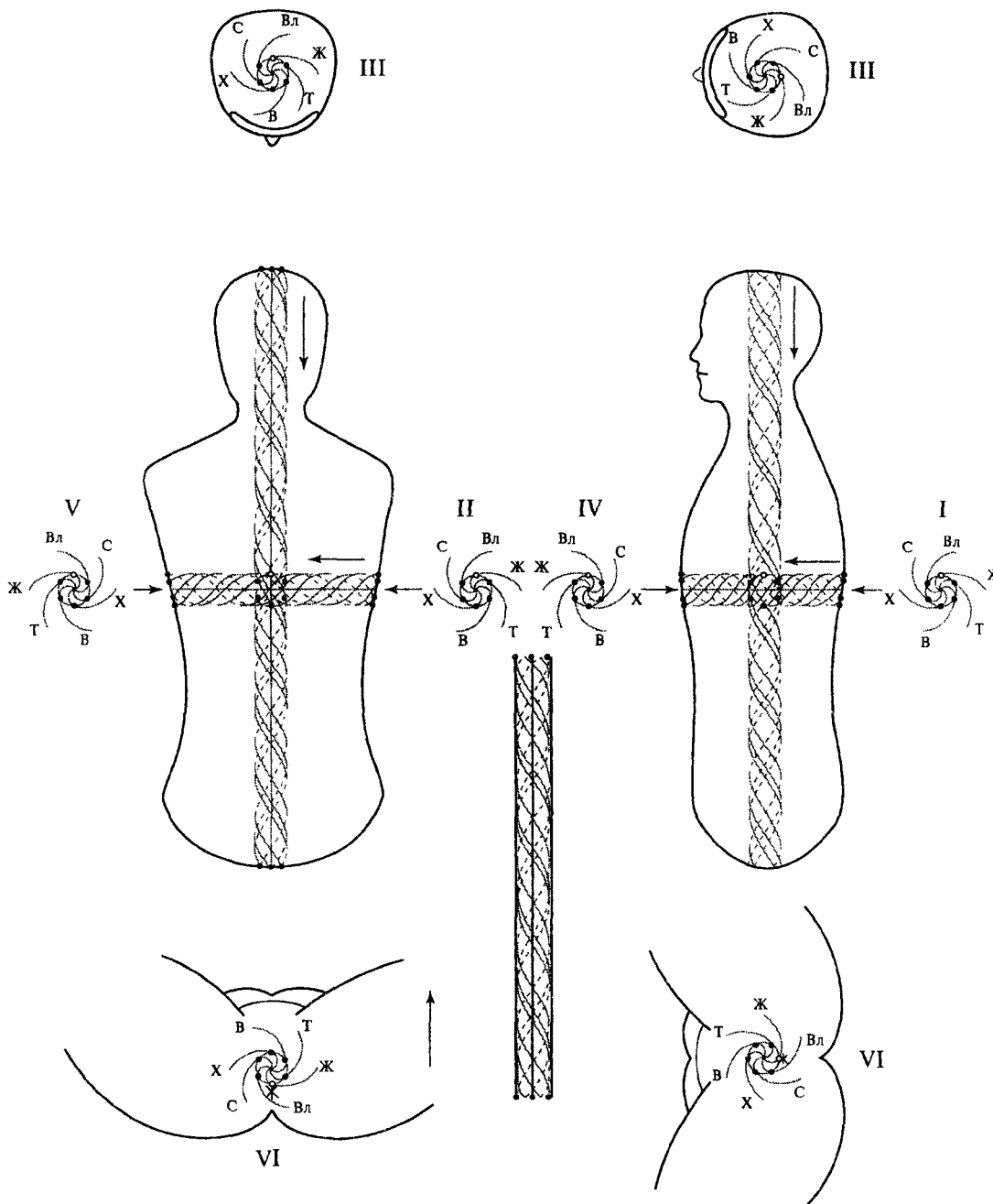


Рис. 29. Спинальное движение единых Шести Энергий в сердцевинных меридианах.

В сердцевинных меридианах энергия движется по спирали, направление циркуляции в которой определяется внешними Гетеро- и Гомо-чакрами. Гетеро-чакры (чакры ветра, тепла и жара) задают вращение против часовой стрелки, Гомо-чакры (чакры влажности, сухости и холода) задают вращение по часовой стрелке.

I — внешняя чакра ветра

II — внешняя чакра тепла

III — внешняя чакра жара

IV — внешняя чакра влажности

V — внешняя чакра сухости

VI — внешняя чакра холода

В — энергия ветра

Т — энергия тепла

Ж — энергия жара

Вл — энергия влажности

С — энергия сухости

Х — энергия холода

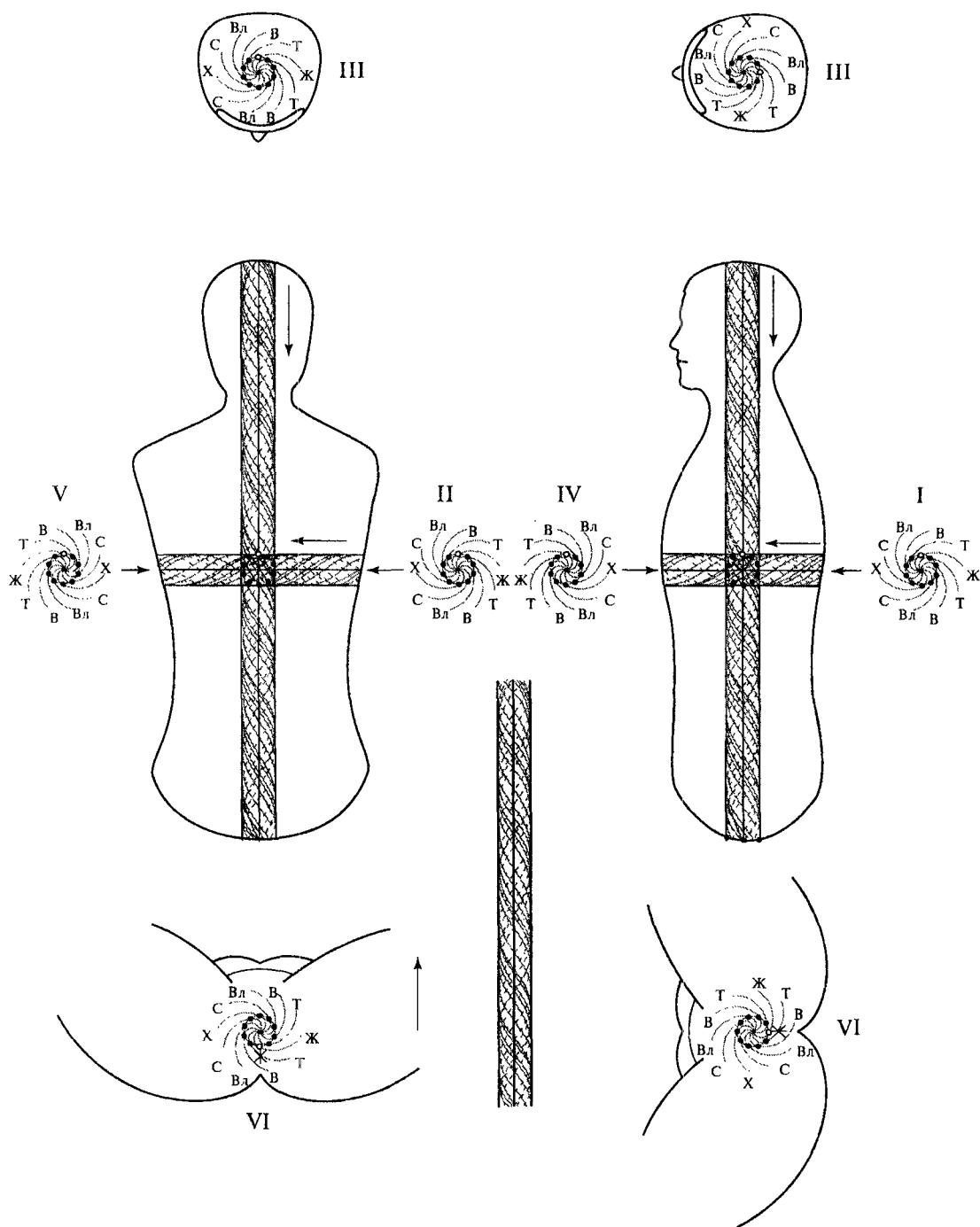
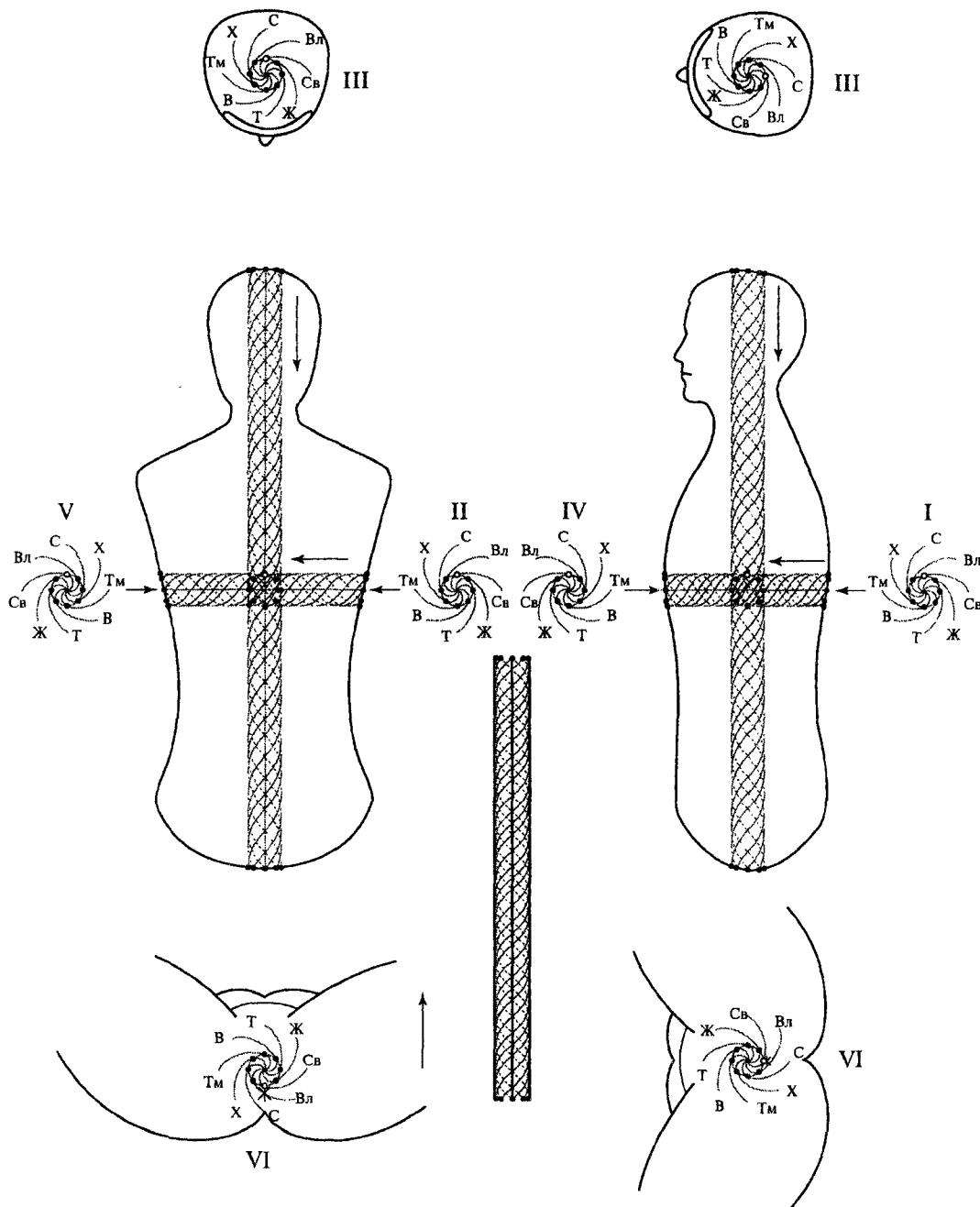


Рис. 30. Спинальное движение индивидуальных Шести Энергий в сердцевинных меридианах.

- |                              |                        |
|------------------------------|------------------------|
| I — внешняя чакра ветра      | В — энергия ветра      |
| II — внешняя чакра тепла     | Т — энергия тепла      |
| III — внешняя чакра жара     | Ж — энергия жара       |
| IV — внешняя чакра влажности | Вл — энергия влажности |
| V — внешняя чакра сухости    | С — энергия сухости    |
| VI — внешняя чакра холода    | Х — энергия холода     |



ис. 31. Спинальное движение единых Восьми Энергий в сердцевиных меридианах.

- |                              |                        |
|------------------------------|------------------------|
| I — внешняя чакра ветра      | В — энергия ветра      |
| II — внешняя чакра тепла     | Т — энергия тепла      |
| III — внешняя чакра жара     | Ж — энергия жара       |
| IV — внешняя чакра влажности | Вл — энергия влажности |
| V — внешняя чакра сухости    | С — энергия сухости    |
| VI — внешняя чакра холода    | Х — энергия холода     |
|                              | Св — энергия света     |
|                              | Тм — энергия тьмы      |

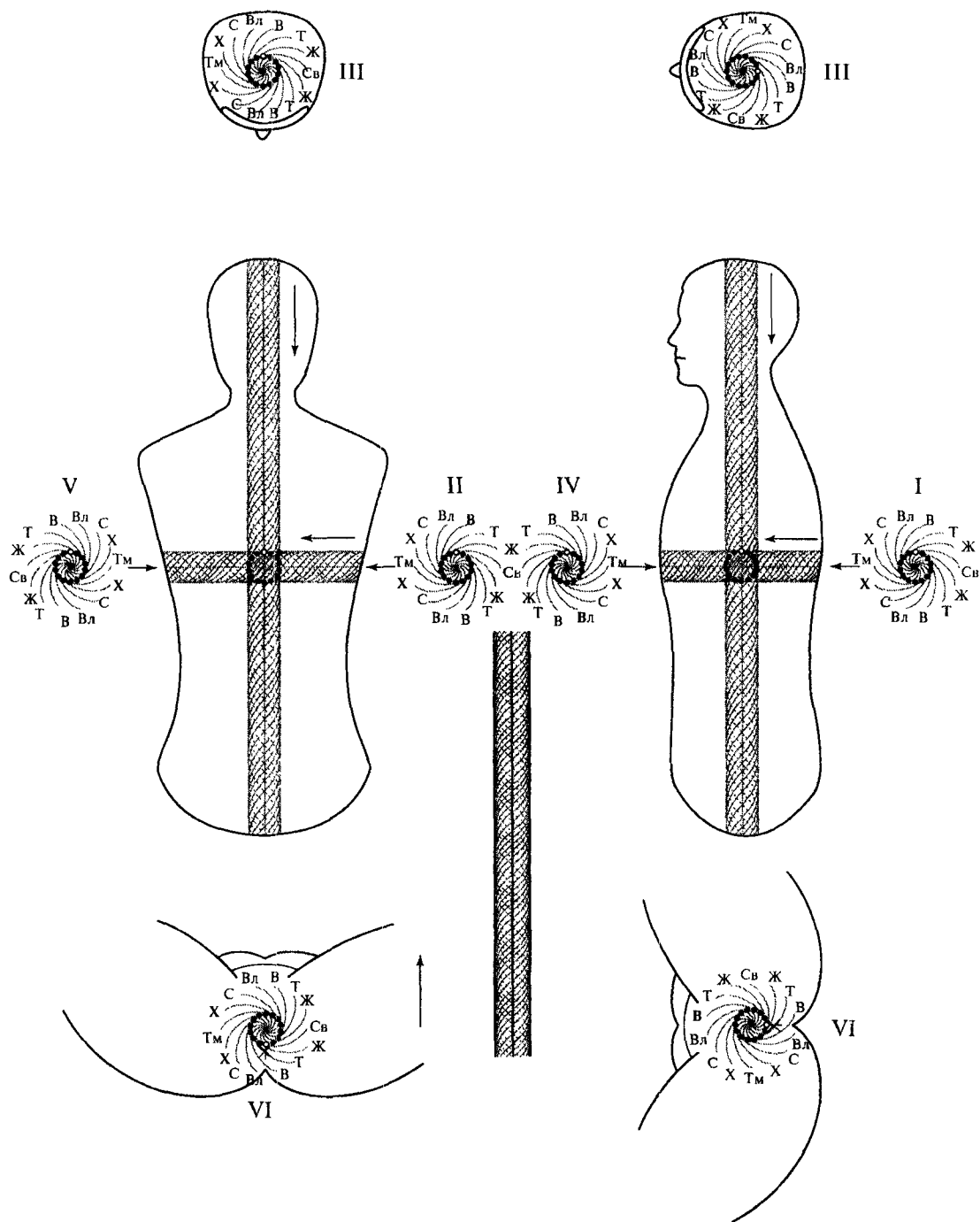
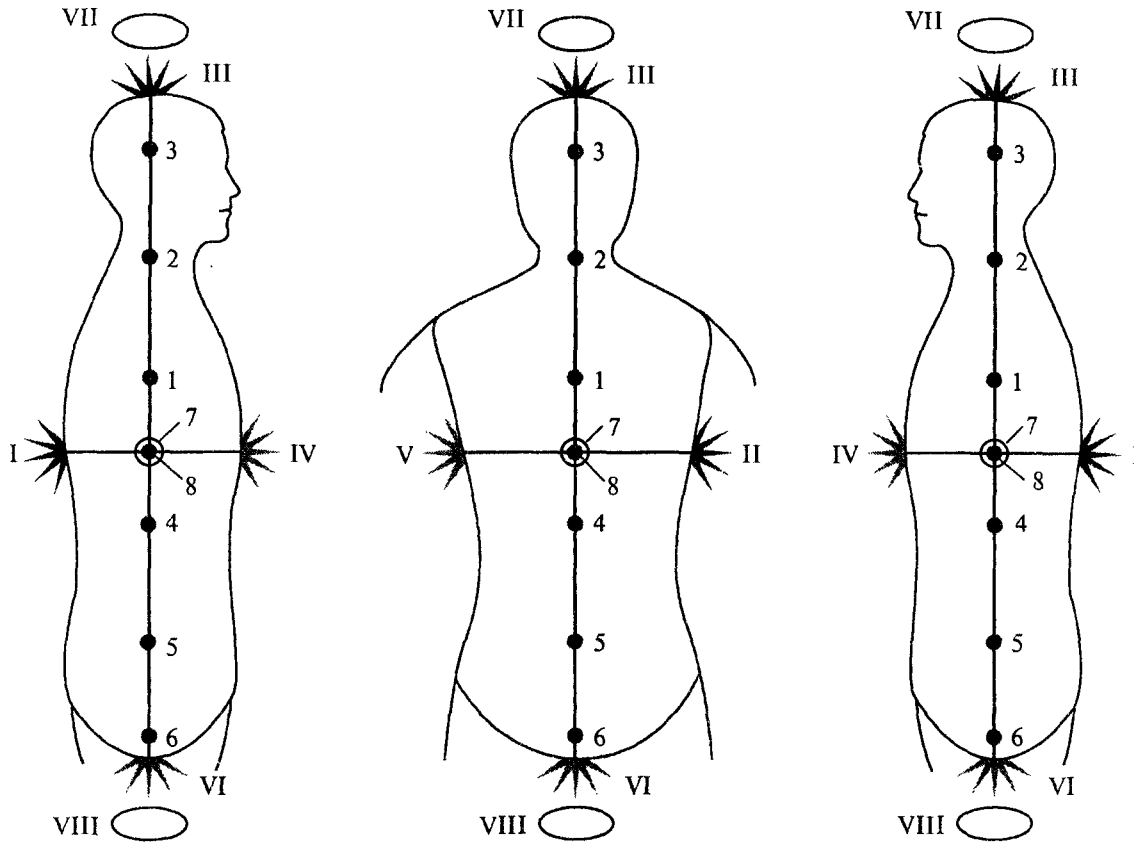


Рис. 32. Спинальное движение индивидуальных Восьми Энергий в сердцевинных меридианах.

- |                              |                        |
|------------------------------|------------------------|
| I — внешняя чакра ветра      | В — энергия ветра      |
| II — внешняя чакра тепла     | Т — энергия тепла      |
| III — внешняя чакра жара     | Ж — энергия жара       |
| IV — внешняя чакра влажности | Вл — энергия влажности |
| V — внешняя чакра сухости    | С — энергия сухости    |
| VI — внешняя чакра холода    | Х — энергия холода     |
|                              | Св — энергия света     |
|                              | Тм — энергия тьмы      |

### 1.3. Система основных чакр тела человека



с. 33. Система основных чакр тела человека (внешние и внутренние чакры).

В местах пересечения пограничных меридианов образуются вихреобразные энергетические структуры — внешние чакры, или энергетические ворота.

Внутренние чакры представляют собой энергетические центры, расположенные в глубине тела вдоль его вертикальной оси.

энергия	Ветер	Тепло	Жар	Влажность	Сухость	Холод	Свет	Тьма
	1	2	3	4	5	6	7	8
внутренние чакры	Анахата	Вишудха	Аджна	Манипура	Свадхистана	Муладхара	Агни — солнечная чакра	Сердцевин. солнечная чакра
внешние чакры	I Задняя	II Левая	III Верхняя	IV Передняя	V Правая	VI Нижняя	VII Света	VIII Тьмы

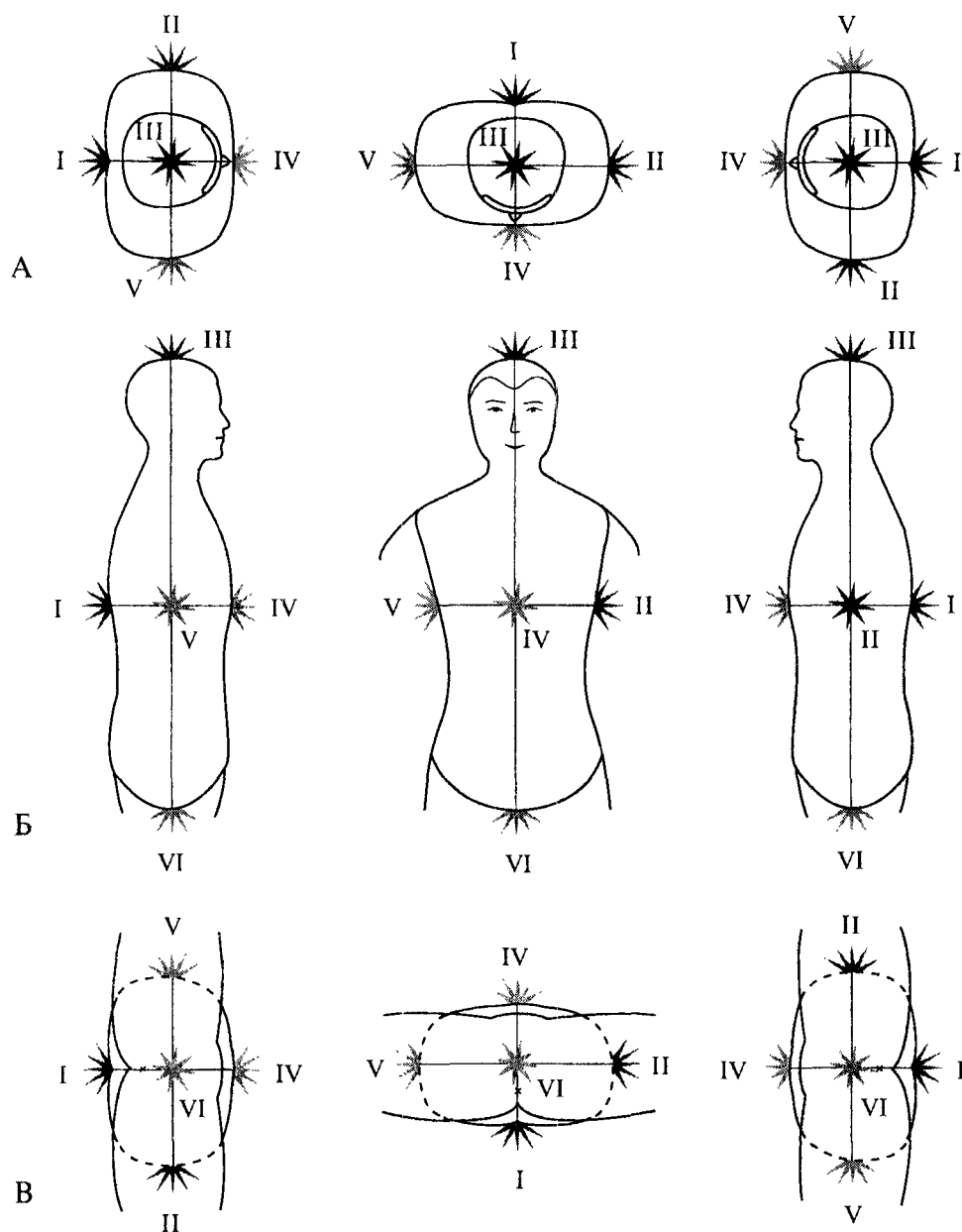
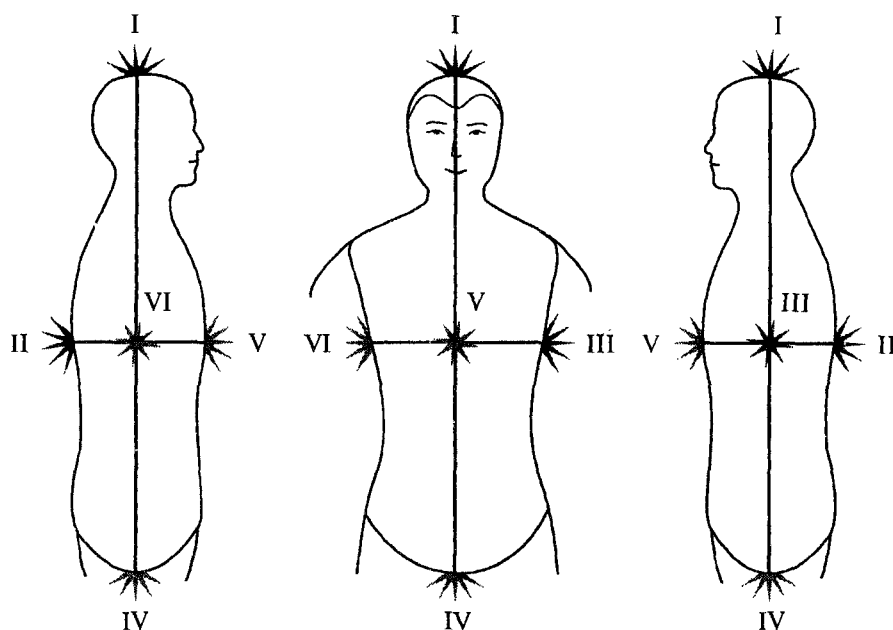


Рис. 34. Система энергетических ворот тела (внешних чакр).

В местах пересечения центрального и бокового пограничных меридианов находится верхняя (III) и нижняя (VI) внешние чакры. Области пересечения центрального и диафрагмального пограничных меридианов — это задняя (I) и передняя (IV) внешние чакры. В местах пересечения бокового и диафрагмального пограничных меридианов находятся левая (II) и правая (V) внешние чакры. Стандартная связь энергетических ворот тела с Шестью Энергиями формируется при доминировании вертикальной оси.

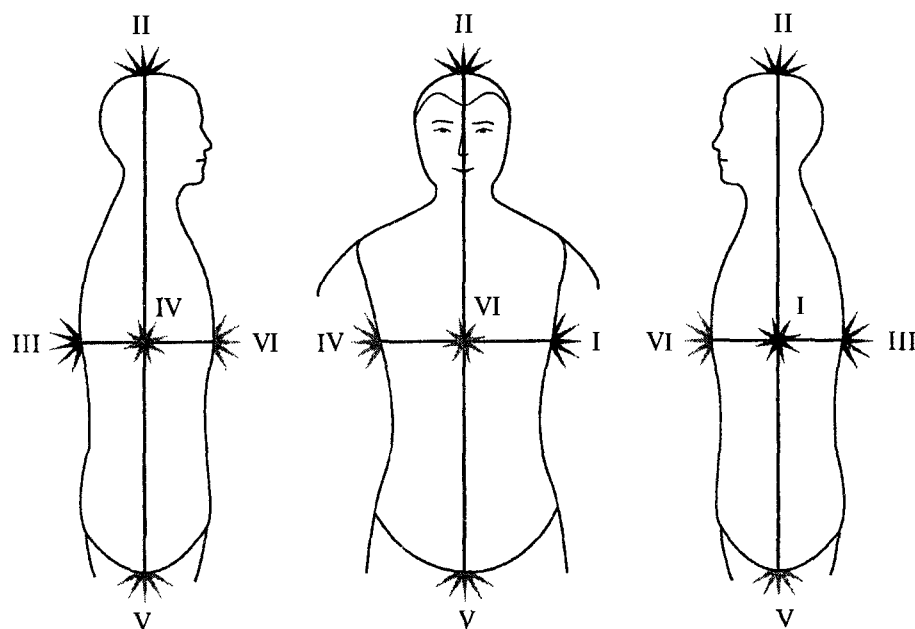
A — вид сверху  
 Б — вид сбоку и спереди  
 В — вид снизу

I — задняя чакра — чакра ветра  
 II — левая чакра — чакра тепла  
 III — верхняя чакра — чакра жара  
 IV — передняя чакра — чакра влажности  
 V — правая чакра — чакра сухости  
 VI — нижняя чакра — чакра холода



ис. 35. Соотношение внешних чакр с энергиями при доминировании в теле фронтальной оси. Доминирующая Гомо-Гетеро ось тела определяется возрастом, состоянием здоровья, изменением положения тела в пространстве и рядом других факторов. В соответствии с этим изменяется принадлежность к категориям Шести Ки внешних чакр.

- |                                 |                                     |
|---------------------------------|-------------------------------------|
| I — верхняя чакра — чакра ветра | IV — нижняя чакра — чакра влажности |
| II — задняя чакра — чакра тепла | V — передняя чакра — чакра сухости  |
| III — левая чакра — чакра жара  | VI — правая чакра — чакра холода    |



ис. 36. Соотношение внешних чакр с энергиями при доминировании в теле сагиттальной оси.

- |                                  |                                     |
|----------------------------------|-------------------------------------|
| I — левая чакра — чакра ветра    | IV — правая чакра — чакра влажности |
| II — верхняя чакра — чакра тепла | V — нижняя чакра — чакра сухости    |
| III — задняя чакра — чакра жара  | VI — передняя чакра — чакра холода  |



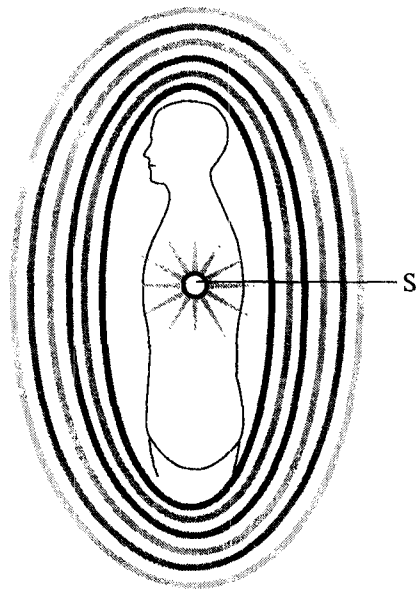


Рис. 37. Солнечная чакра и аура тела.

На пересечении трех основных осей тела находится солнечная чакра. Она представляет собой фундаментальную энергетическую структуру, являющуюся основой ауры человека. Солнечная чакра контролирует внешние и внутренние чакры, объединяя их в единую систему.

S — солнечная чакра

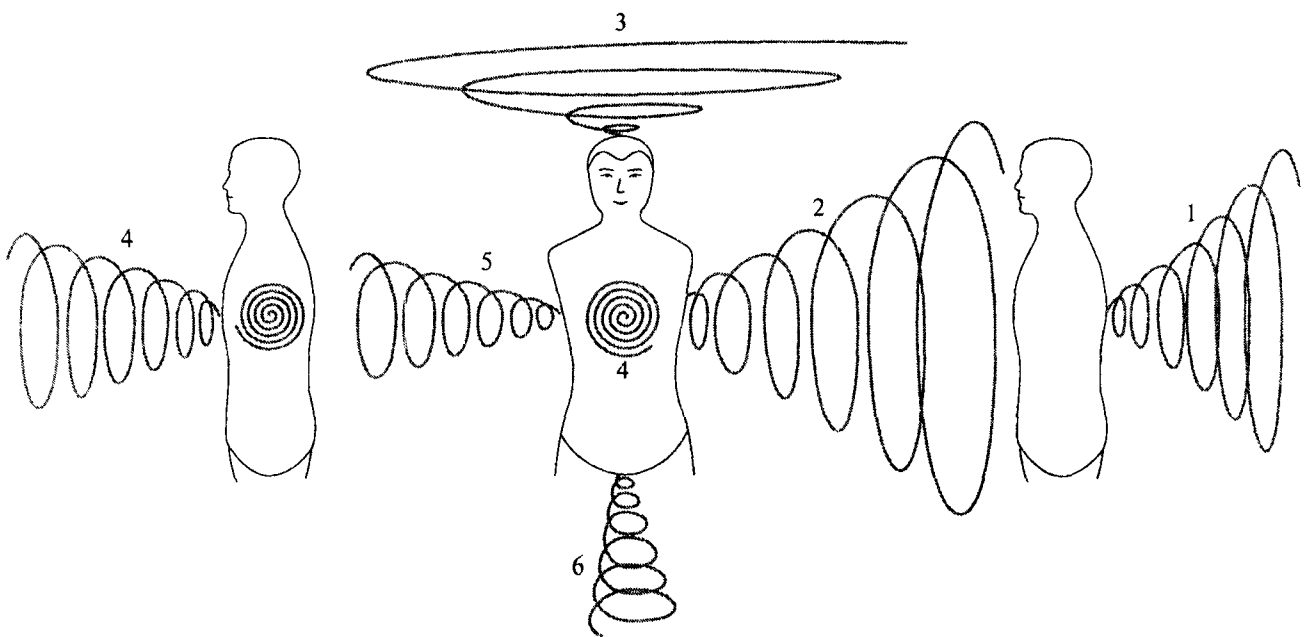
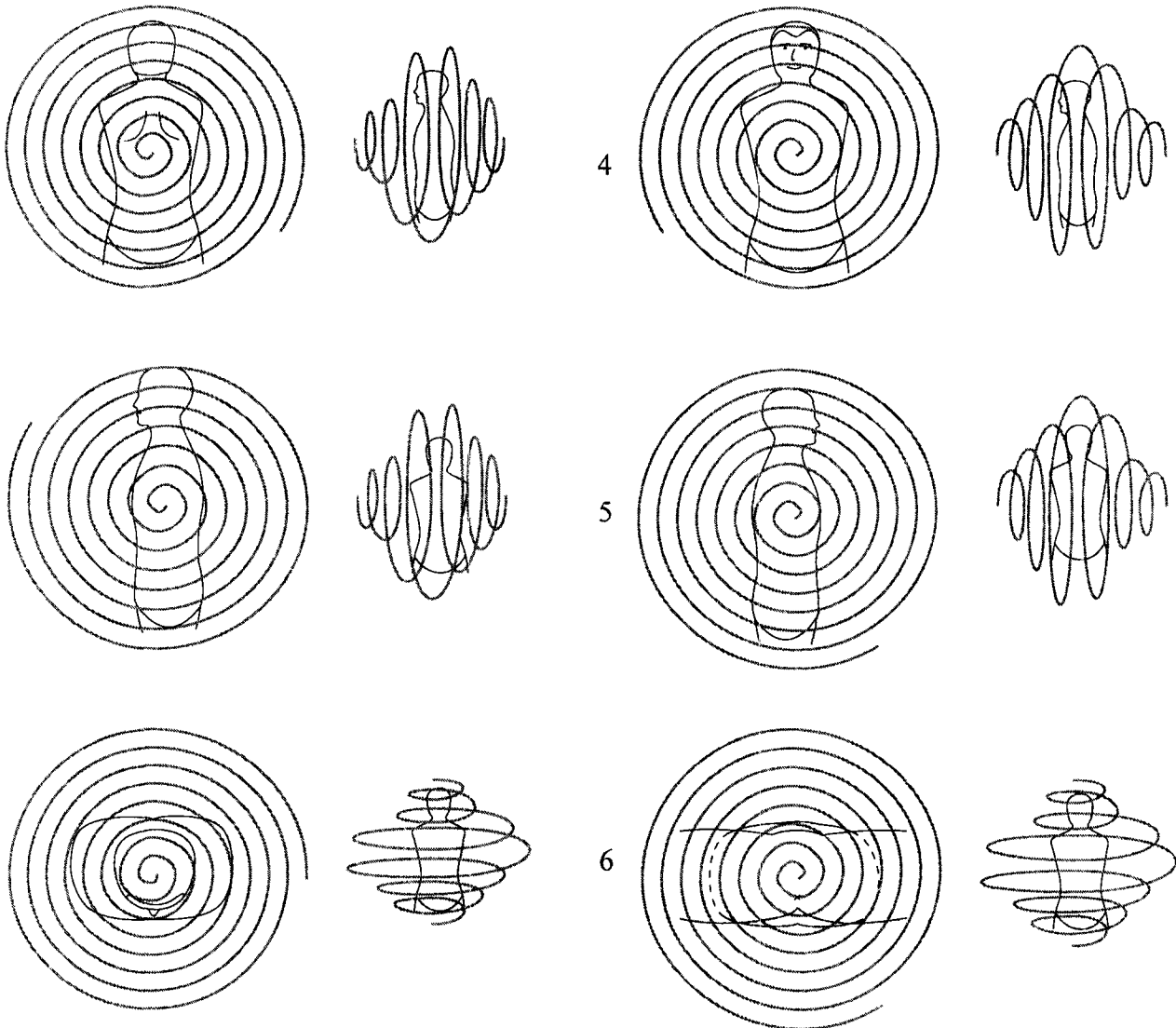


Рис. 38. Спины внешних чакр.

Характер спинов внешних чакр определяется их энергетической принадлежностью.

- |                      |                          |
|----------------------|--------------------------|
| 1 — спин чакры ветра | 4 — спин чакры влажности |
| 2 — спин чакры тепла | 5 — спин чакры сухости   |
| 3 — спин чакры жара  | 6 — спин чакры холода    |



ис. 39. Аура человека и ее взаимосвязь со спинами внешних чакр.

Солнечная чакра распределяет в теле энергию, поступающую в нее через внешние и внутренние чакры. Поэтому характер и состояние ауры в значительной мере зависят от интенсивности спина чакр. Преобладание энергии одной из них отражается на качестве ауры.

- |                |                    |
|----------------|--------------------|
| 1 — аура ветра | 4 — аура влажности |
| 2 — аура тепла | 5 — аура сухости   |
| 3 — аура жара  | 6 — аура холода    |

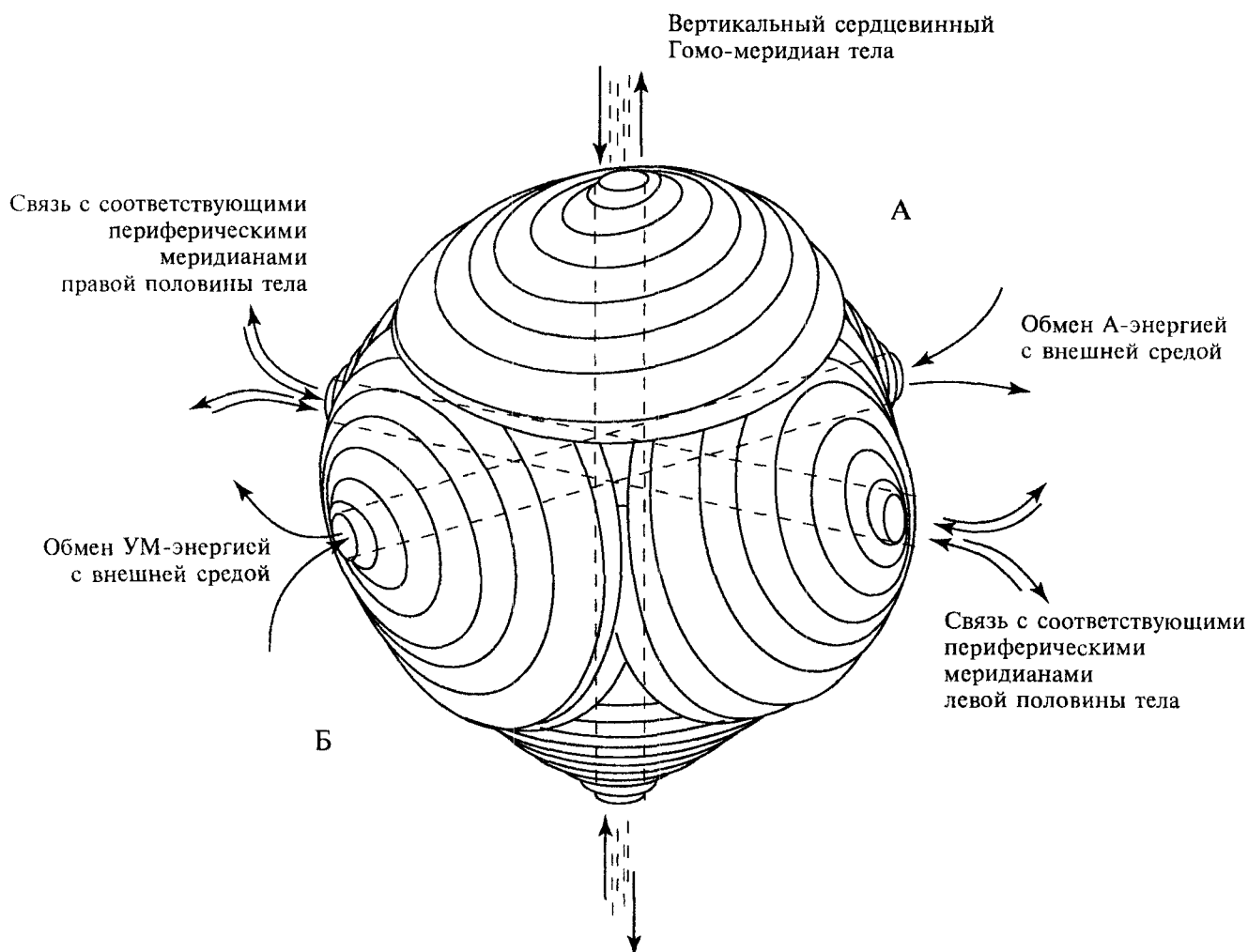
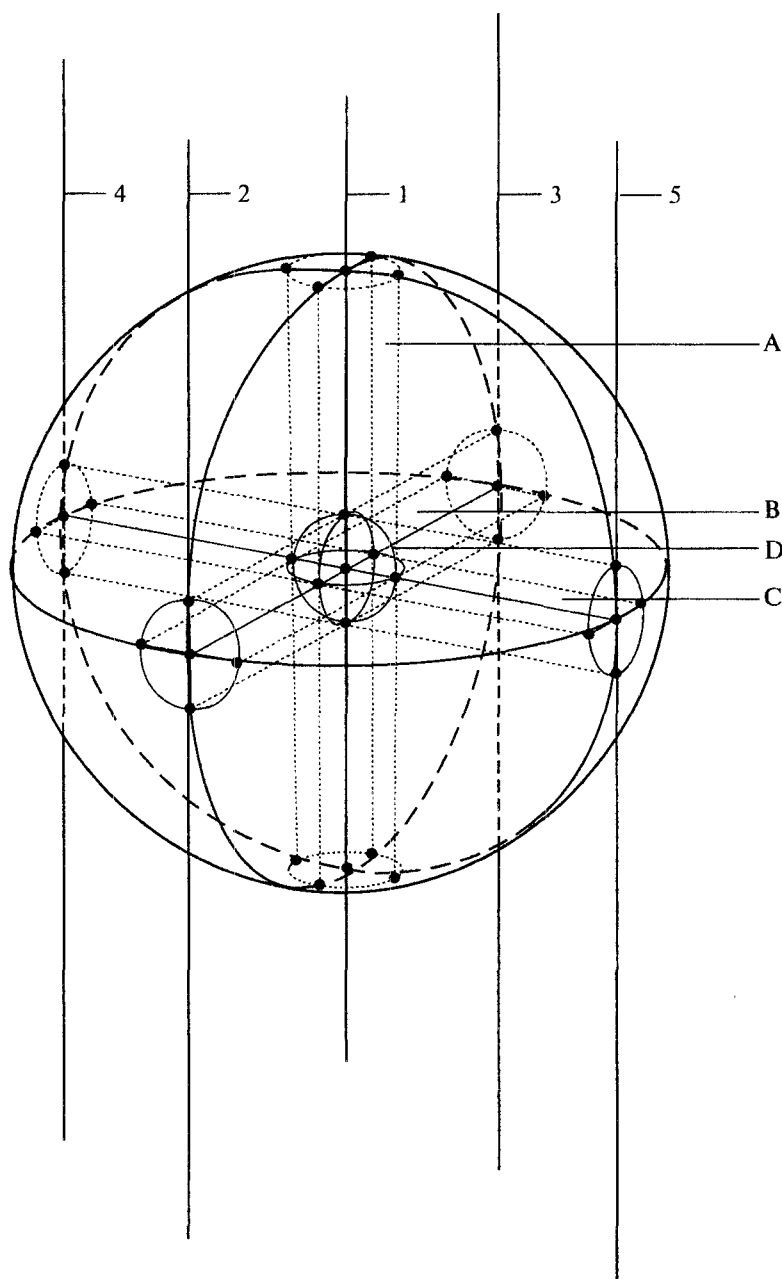


Рис. 40. Модель внутренней чакры.

Слово «чакра» в переводе с санскрита означает «колесо». Чакры являются своеобразными энергетическими воронками благодаря имеющемуся у них спину. Из окружающего пространства чакры впитывают энергию, преобразуют ее и направляют в соответствующие меридианы тела.

А — задняя половина чакры (А-чакра)

Б — передняя половина чакры (УМ-чакра)



Ис. 41. Строение внутренней чакры.

Внутренние чакры находятся между четырьмя боковыми путями вертикального сердцевинного меридиана. Будучи объемным образованием, каждая внутренняя чакра имеет три собственных сердцевинных канала, каждый из которых также состоит из пяти основных энергетических путей. В центре внутренней чакры находится ядро, ограниченное ее (чакральными) боковыми сердцевинными каналами.

- 1 — вертикальный сердцевинный Гомо-меридиан тела
- 2 — передний вертикальный сердцевинный меридиан тела
- 3 — задний вертикальный сердцевинный меридиан тела
- 4 — правый вертикальный сердцевинный меридиан тела
- 5 — левый вертикальный сердцевинный меридиан тела
- A — вертикальный сердцевинный канал чакры
- B — сагиттальный сердцевинный канал чакры
- C — фронтальный сердцевинный канал чакры
- D — ядро чакры

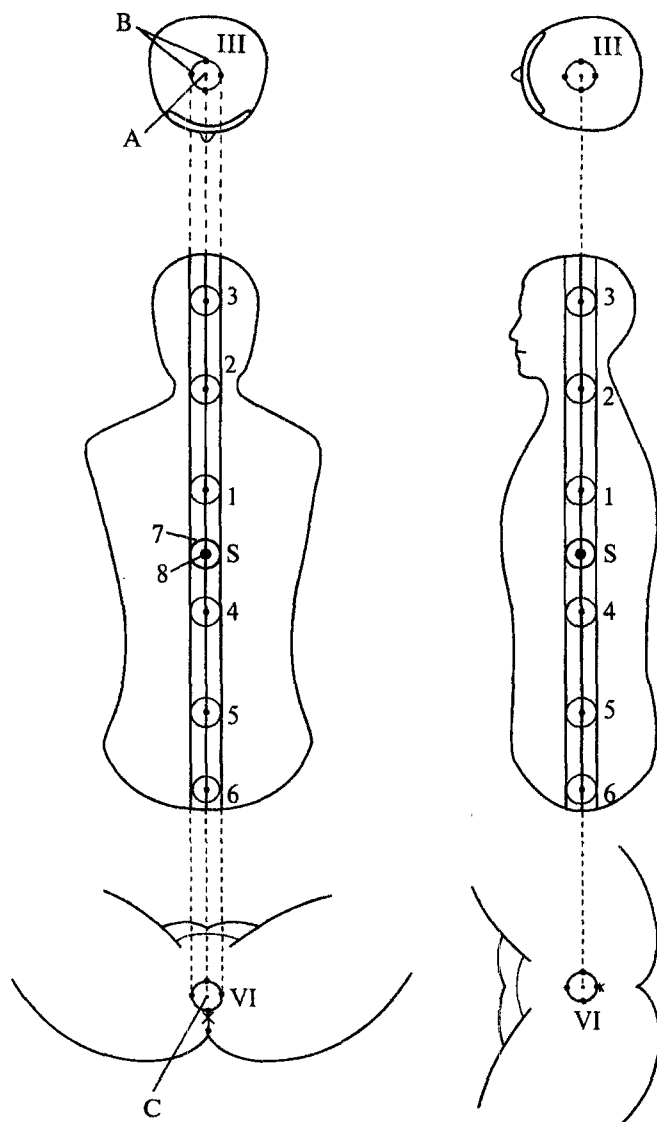


Рис. 42. Система внутренних чакр.

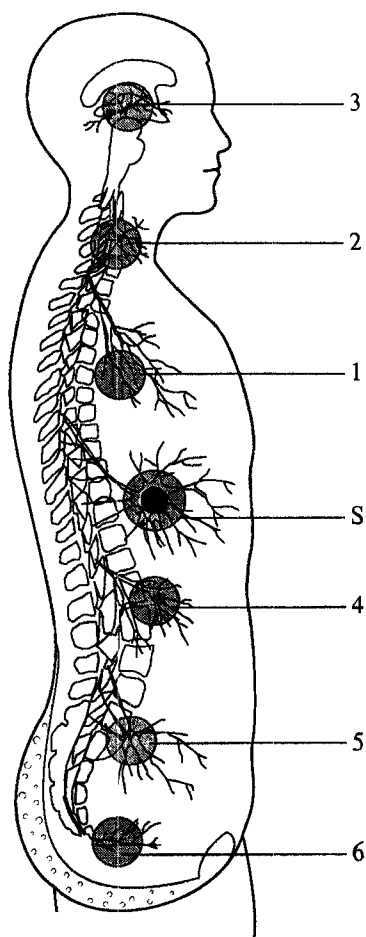
Внутренние чакры тела расположены вдоль вертикальной оси тела между вертикальными индивидуальными сердцевинными меридианами.

- 1 — чакра ветра
- 2 — чакра тепла
- 3 — чакра жара
- 4 — чакра влажности
- 5 — чакра сухости
- 6 — чакра холода
- 7 — агни — солнечная чакра
- 8 — сердцевинная солнечная чакра

- III — внешняя чакра жара
- VI — внешняя чакра холода
- S — солнечная чакра
- A — точка бай-хуэй
- B — точки сы-шэнь-цунь
- C — точка хуэй-инь

Соответствие внутренних чакр нервным сплетениям, эндокринным железам и физиологическим системам тела

Обозначения	Чакра	Нервное сплетение	Эндокринная железа	Физиологическая система
1	Чакра ветра	Сердечное сплетение	Вилочковая железа	Мышечная система
2	Чакра тепла	Глоточное сплетение и шейные узлы	Щитовидная железа	Сердечно-сосудистая система
3	Чакра жара	Сосудистое сплетение третьего желудочка	Гипофиз	Нервная и эндокринная системы
4	Чакра влажности	Брюшное аортальное сплетение и поясничные узлы	Поджелудочная железа	Пищеварительная и лимфатическая системы
5	Чакра сухости	Подчревное сплетение и крестцовые узлы	Надпочечники	Система покровов и дыхательная
6	Чакра холода	Копчиковое сплетение и непарный узел симпатического ствола	Яички и яичники	Костная, выделительная и репродуктивная системы
S (7, 8)	Солнечная чакра	Солнечное сплетение	Эпифиз, гипоталамус и все остальные эндокринные железы	Энергетическая система



ис. 43. Связь внутренних чакр с нервными сплетениями.

Располагаясь рядом с нервными сплетениями, внутренние чакры трансформируют содержащуюся в них энергию в нервные импульсы, оказывая выраженное влияние на функциональное состояние организма.

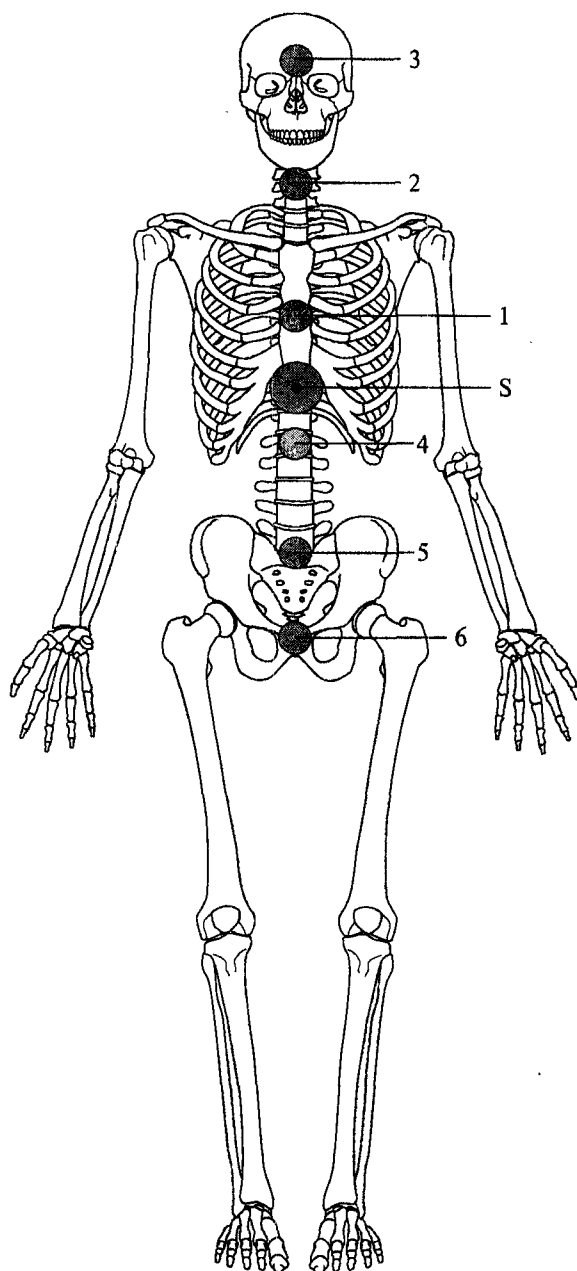
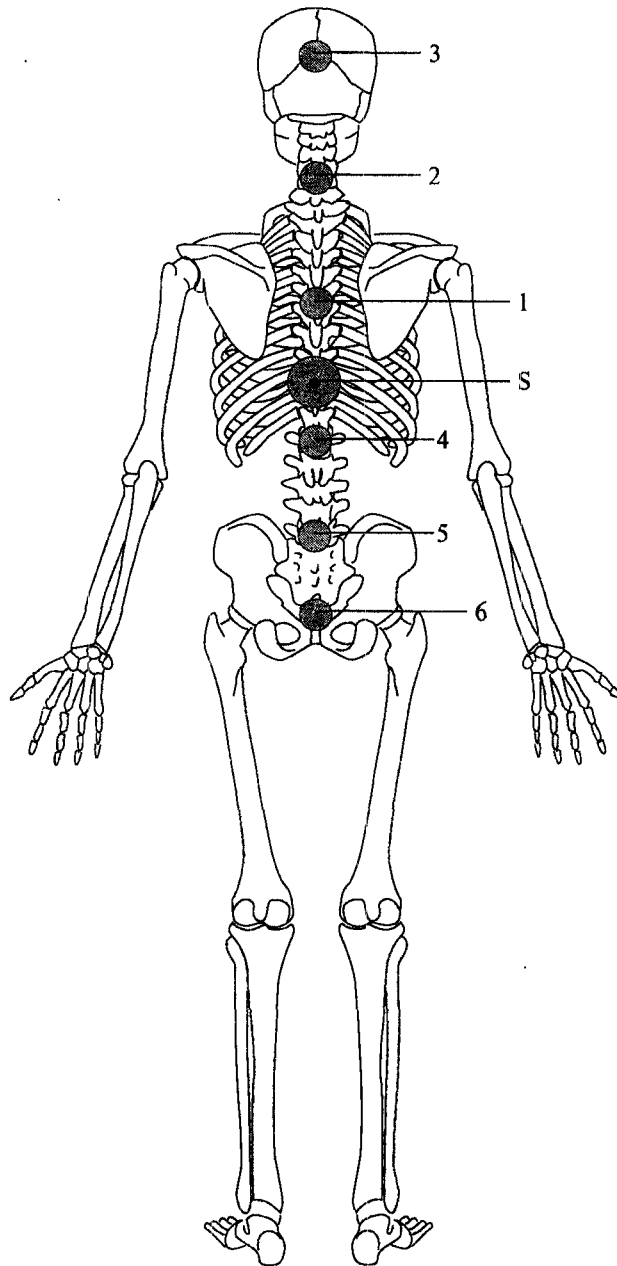


Рис. 44. Проекция внутренних чакр по отношению к структурам осевого скелета (Инь-поверхность).

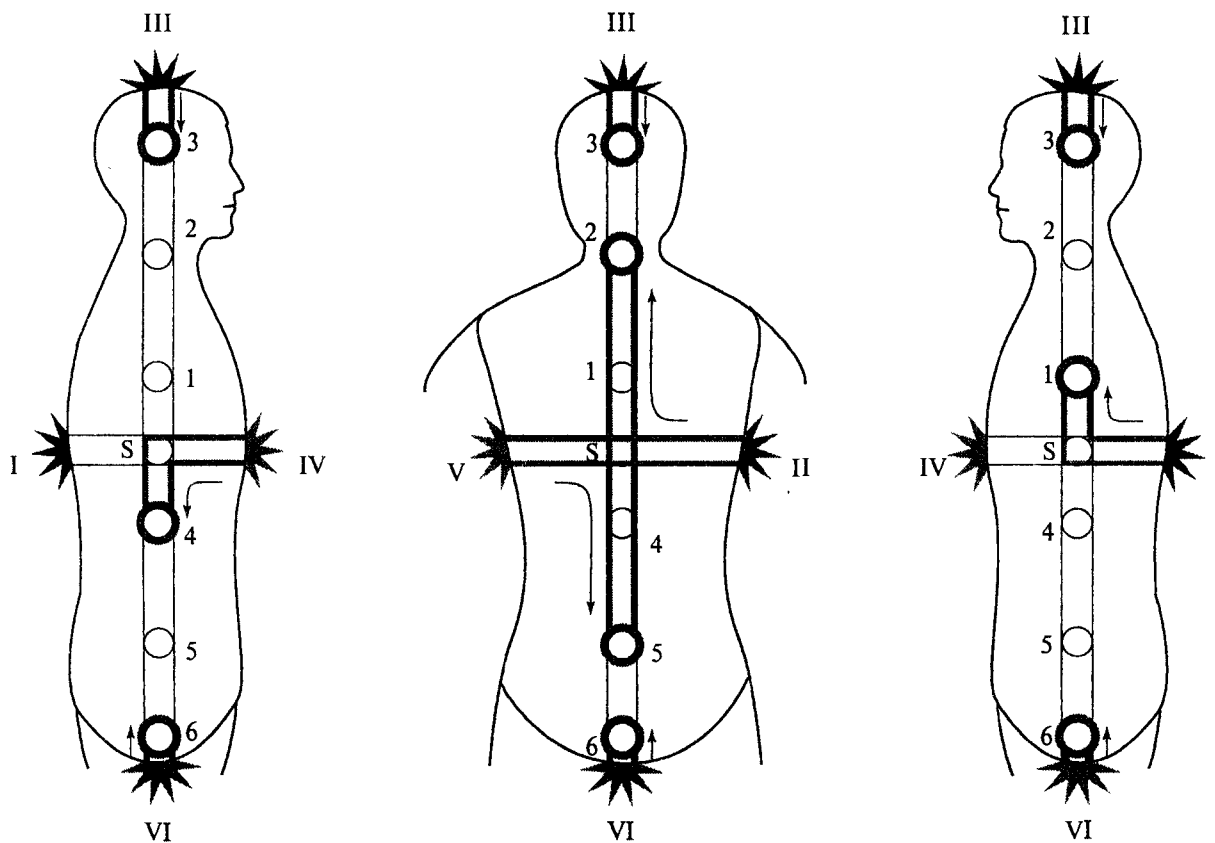
- 1 — чакра ветра проецируется на середину грудины
- 2 — чакра тепла проецируется в срединной области передней поверхности шеи, на уровне щитовидной железы
- 3 — чакра жара проецируется на середину лобной кости, в зоне надпереносья
- 4 — чакра влажности проецируется в области I поясничного позвонка
- 5 — чакра сухости проецируется в области пояснично-крестцового сочленения
- 6 — чакра холода проецируется в области лобкового симфиза
- S — солнечная чакра проецируется в области мечевидного отростка грудины





ис. 45. Проекция внутренних чакр по отношению к структурам осевого скелета (Ян-поверхность).

- 1— чакра ветра проецируется на уровне тела V грудного позвонка
- 2— чакра тепла проецируется на уровне тела V шейного позвонка
- 3— чакра жара проецируется в место соединения лямбдовидного и сагиттального швов черепа
- 4— чакра влажности проецируется в области I поясничного позвонка
- 5— чакра сухости проецируется в области пояснично-крестцового сочленения
- 6— чакра холода проецируется в области копчика
- S— солнечная чакра проецируется на уровне тела IX грудного позвонка

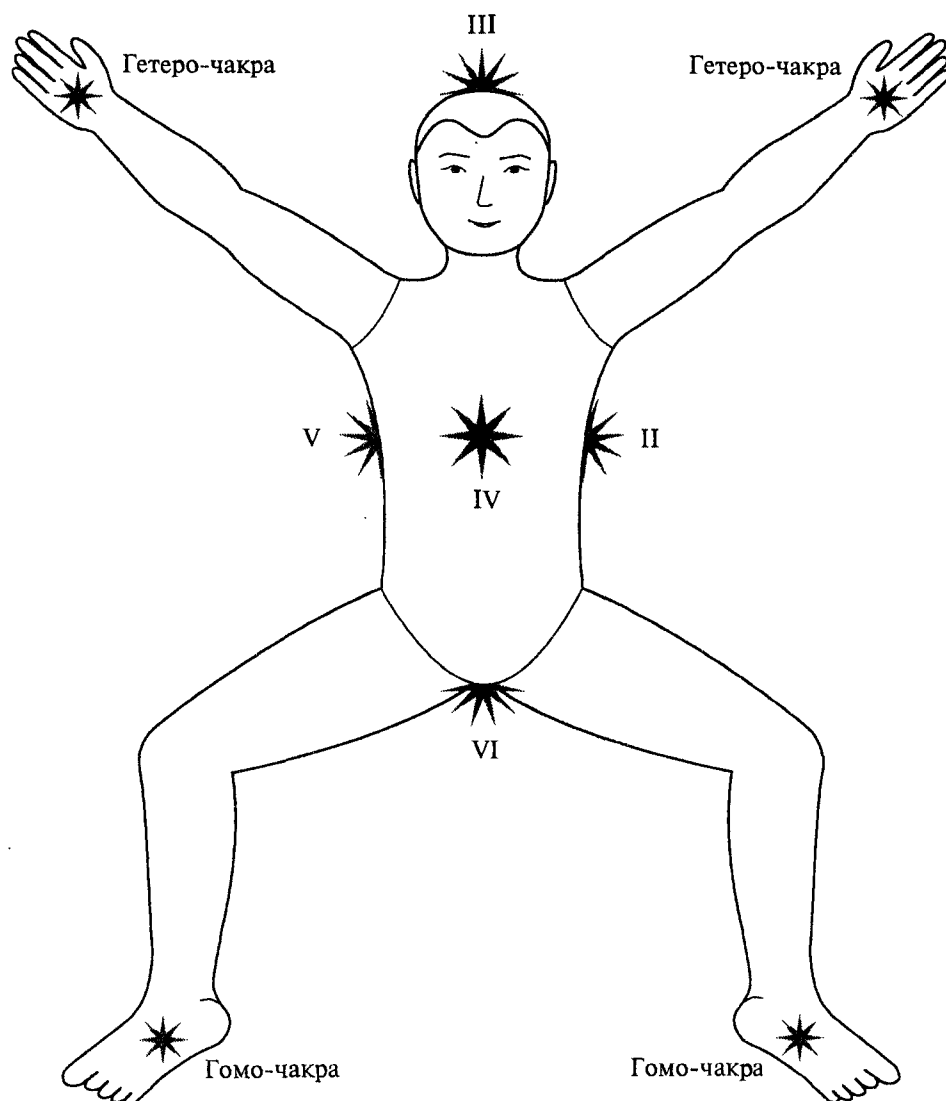


ис. 46. Непосредственная энергетическая связь между внешними и внутренними чакрами при доминировании вертикальной оси. Из внешней чакры энергия поступает во внутреннюю чакру, контролирующую ту же энергию.

- 1 — чакра ветра
- 2 — чакра тепла
- 3 — чакра жара
- 4 — чакра влажности
- 5 — чакра сухости
- 6 — чакра холода
- S — солнечная чакра

- I — задняя чакра — чакра ветра
- II — левая чакра — чакра тепла
- III — верхняя чакра — чакра жара
- IV — передняя чакра — чакра влажности
- V — правая чакра — чакра сухости
- VI — нижняя чакра — чакра холода

## 1.4. Дополнительные чакры тела и их энергетические пути



Ис. 47. Внешние чакры тела и дополнительные чакры кистей и стоп.

В человеческом организме, кроме описанных основных внешних чакр, находится большое количество дополнительных внешних чакр. Так, например, в центре ладони располагается дополнительная Гетеро-чакра, а в центре подошвы — дополнительная Гомо-чакра.

II — левая чакра — чакра тепла

III — верхняя чакра — чакра жара

IV — передняя чакра — чакра влажности

V — правая чакра — чакра сухости

VI — нижняя чакра — чакра холода

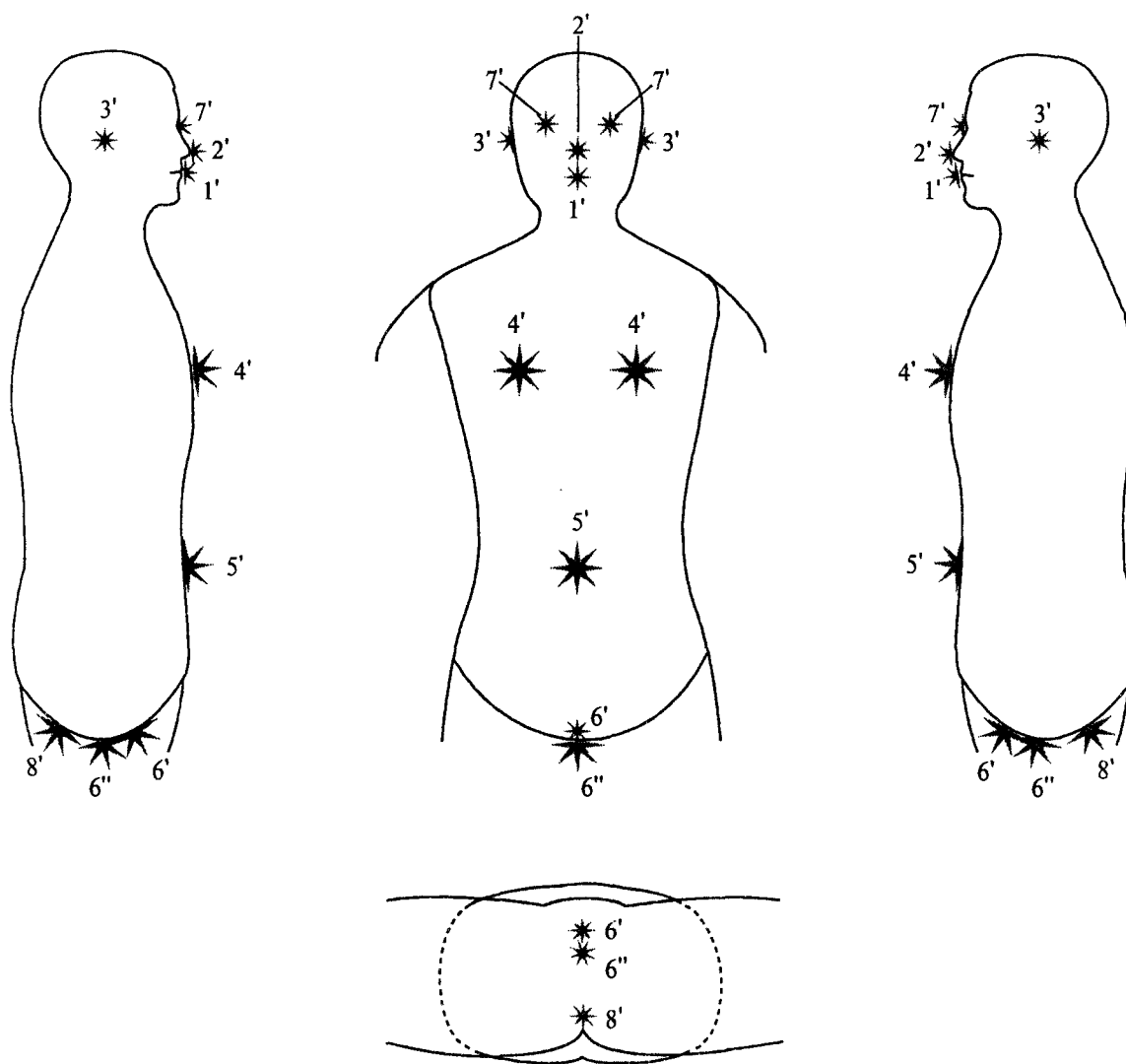
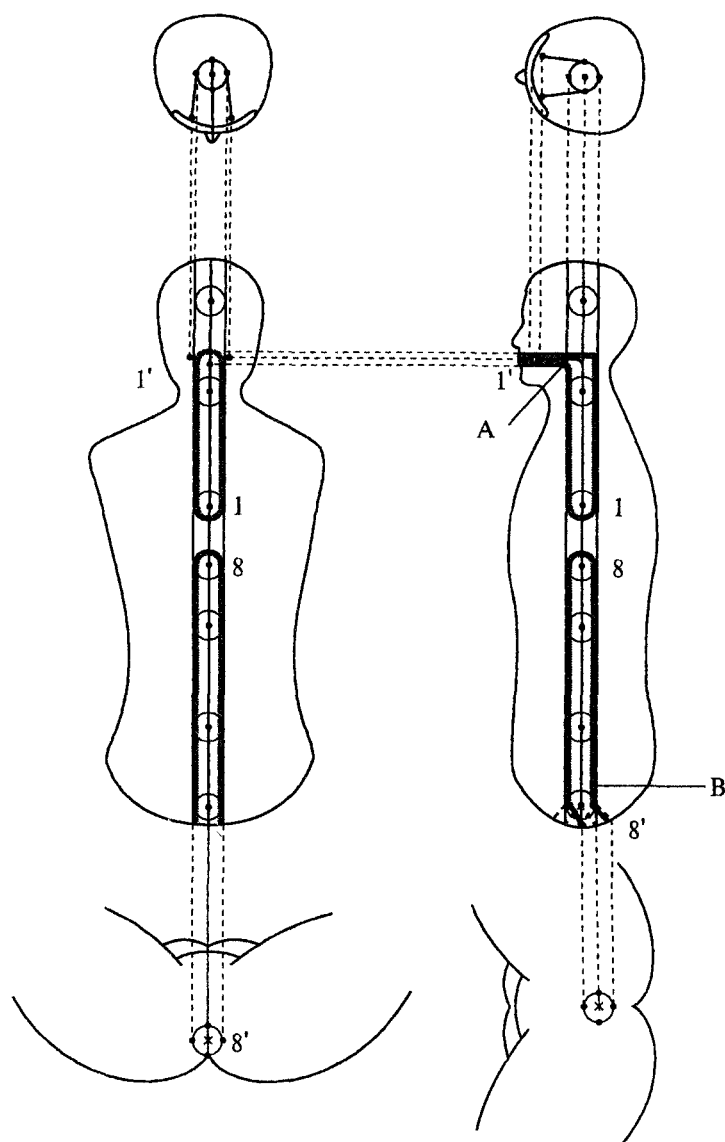


Рис. 48. Система физических внешних чакр тела.

В области отверстий тела происходит интенсивный энергетический обмен благодаря присутствию в них так называемых «физических внешних чакр». На рисунке представлена связь чакр глаз, носа, рта, ушей, сосков, пупка, мочеиспускательного канала, заднепроходного отверстия, половых органов с соответствующими энергиями.

1' — физическая чакра ветра  
2' — физическая чакра тепла  
3' — физическая чакра жара  
4' — физическая чакра влажности

5' — физическая чакра сухости  
6', 6'' — физическая чакра холода  
7' — физическая чакра света  
8' — физическая чакра тьмы



ис. 49. Энергетические пути рта и заднепроходного отверстия.

Отверстия тела, являющиеся дополнительными физическими внешними чакрами, связаны с сердцевинными меридианами собственными энергетическими каналами, которые позволяют им поддерживать связь с соответствующими внутренними чакрами.

A — энергетические пути рта

B — энергетические пути заднепроходного отверстия

1 — внутренняя чakra ветра

1' — физическая чakra ветра

8 — внутренняя чakra тьмы

8' — физическая чakra тьмы

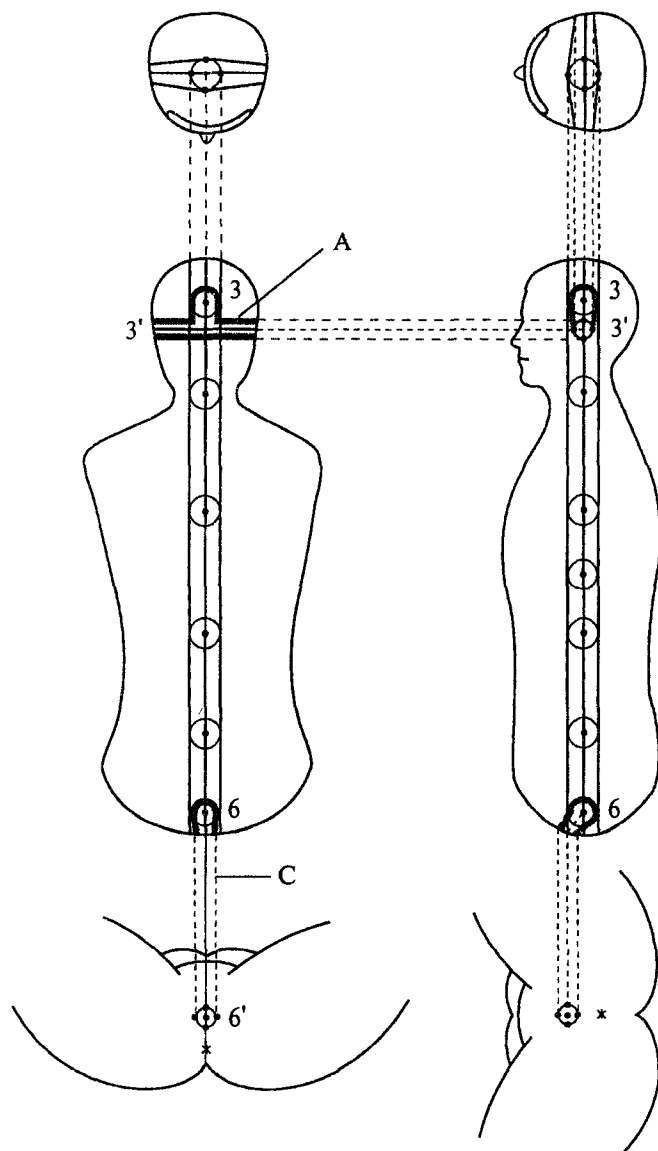


Рис. 50. Энергетические пути ушей и наружного отверстия мочеиспускательного канала.

*A* — энергетические пути ушей

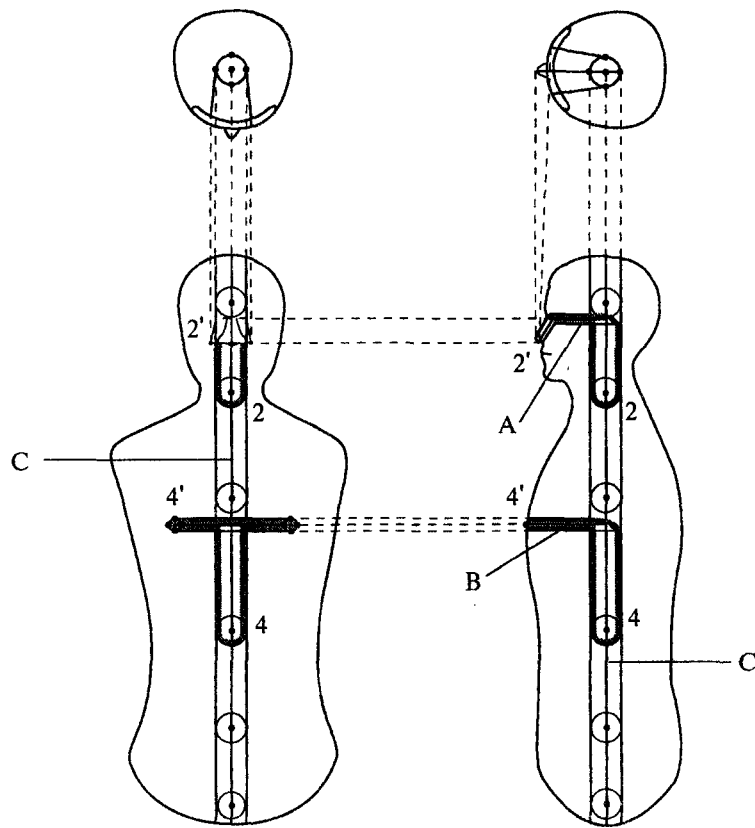
*C* — энергетические пути наружного отверстия мочеиспускательного канала

*3* — внутренняя чакра жара

*3'* — физическая чакра жара

*6* — внутренняя чакра холода

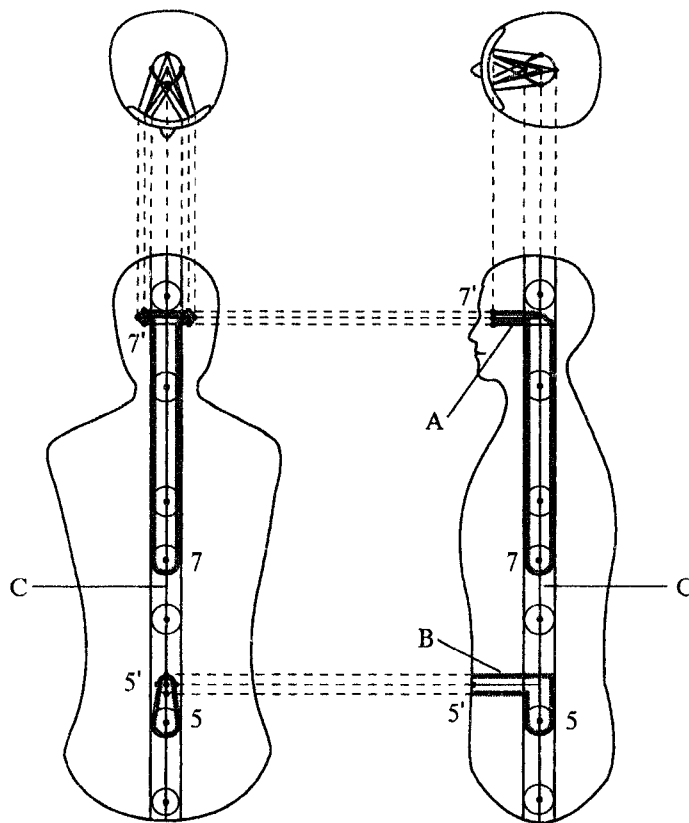
*6'* — физическая чакра холода



ис. 51. Энергетические пути носа и сосков.

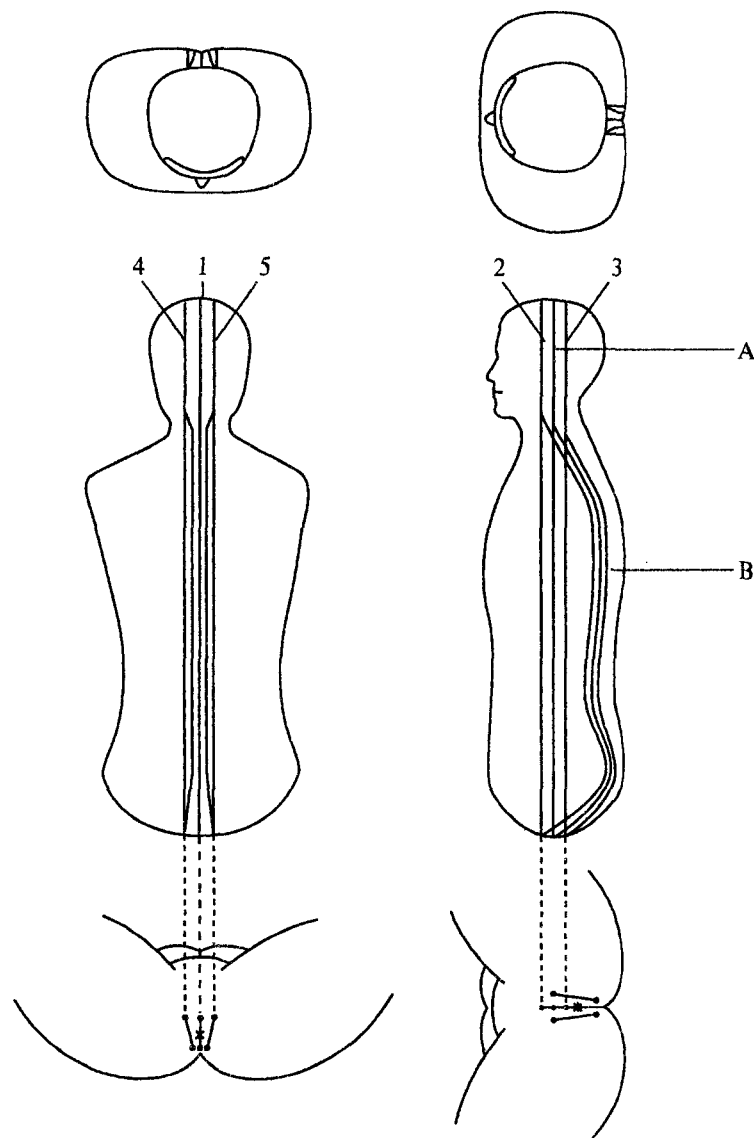
- A — энергетические пути носа
- B — энергетические пути сосков
- C — вертикальный сердцевинный меридиан
- 2 — внутренняя чакра тепла
- 2' — физическая чакра тепла
- 4 — внутренняя чакра влажности
- 4' — физическая чакра влажности





ис. 52. Энергетические пути глаз и пупка.

- A — энергетические пути глаз
- B — энергетические пути пупка
- C — вертикальный сердцевинный меридиан
- 5 — внутренняя чакра сухости
- 5' — физическая чакра сухости
- 7 — внутренняя чакра света
- 7' — физическая чакра света



Ис. 53. Энергетические пути спинного мозга.

Спинальный мозг имеет энергетические пути, связанные с вертикальным сердцевинным меридианом.

A — вертикальный сердцевинный меридиан

B — энергетические пути спинного мозга

1 — вертикальный сердцевинный Гомо-меридиан

2 — передний сердцевинный меридиан

3 — задний сердцевинный меридиан

4 — правый сердцевинный меридиан

5 — левый сердцевинный меридиан

## 1.5. Топография центральных энергетических структур и их точек

### Боковой пограничный меридиан

Боковой пограничный меридиан проходит по границе Инь-Ян туловища, головы и шеи.

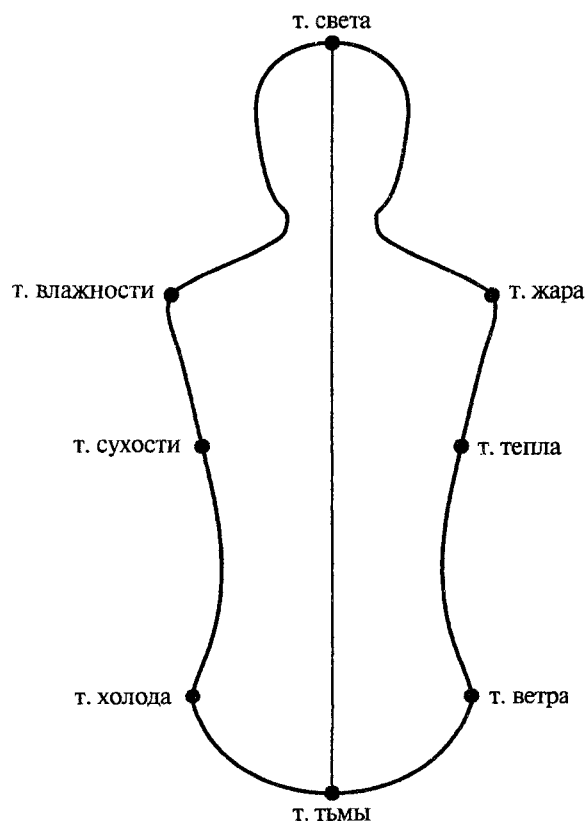


рис. 54. Точки единых Восьми Энергий бокового пограничного меридиана.

Точки единых Восьми Энергий располагаются в соответствии с циркуляцией единой энергии в боковом пограничном меридиане тела при доминировании вертикальной оси.

**ветра — K29 цзюй-ляо**  
Расположение: слева сверху бедра, во впадине ниже передней ости подвздошной кости, на 3 цуня ниже точки K28 вэй-дао.

**тепла — D21 да-бао**  
Расположение: в месте пересечения левой средней подмышечной линии и шестого межреберья.

**жара — B15 цзянь-юй**  
Расположение: слева между акромиальным отростком лопатки и большим бугром плечевой кости, где при поднимании руки образуется углубление.

**т. света — Y20(19) бай-хуэй**  
Расположение: на средней линии головы, выше задней границы роста волос на 7 цуней и передней границы роста волос на 5 цуней.

**т. влажности — B15 цзянь-юй**  
Расположение: справа между акромиальным отростком лопатки и большим бугром плечевой кости, где при поднимании руки образуется углубление.

**т. сухости — D21 да-бао**  
Расположение: в месте пересечения правой средней подмышечной линии и шестого межреберья.

**т. холода — K29 цзюй-ляо**  
Расположение: справа сверху бедра, во впадине ниже передней ости подвздошной кости, на 3 цуня ниже точки K28 вэй-дао.

**т. тьмы — X1 хуэй-инь**  
Расположение: между наружными половыми органами и задним проходом.

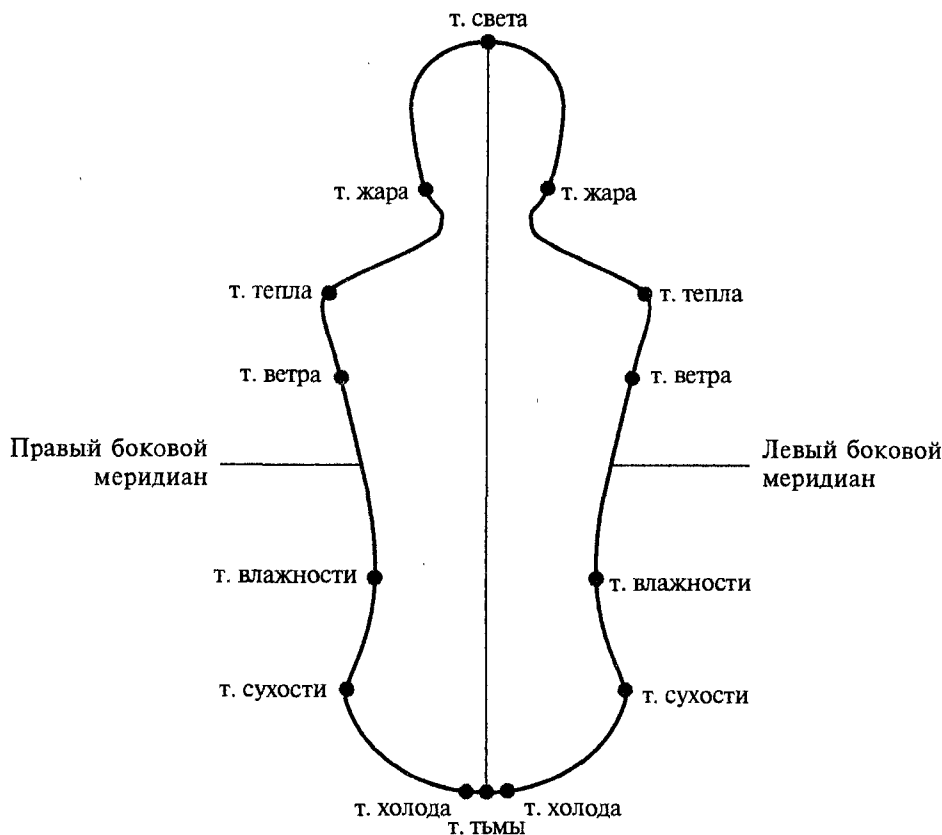
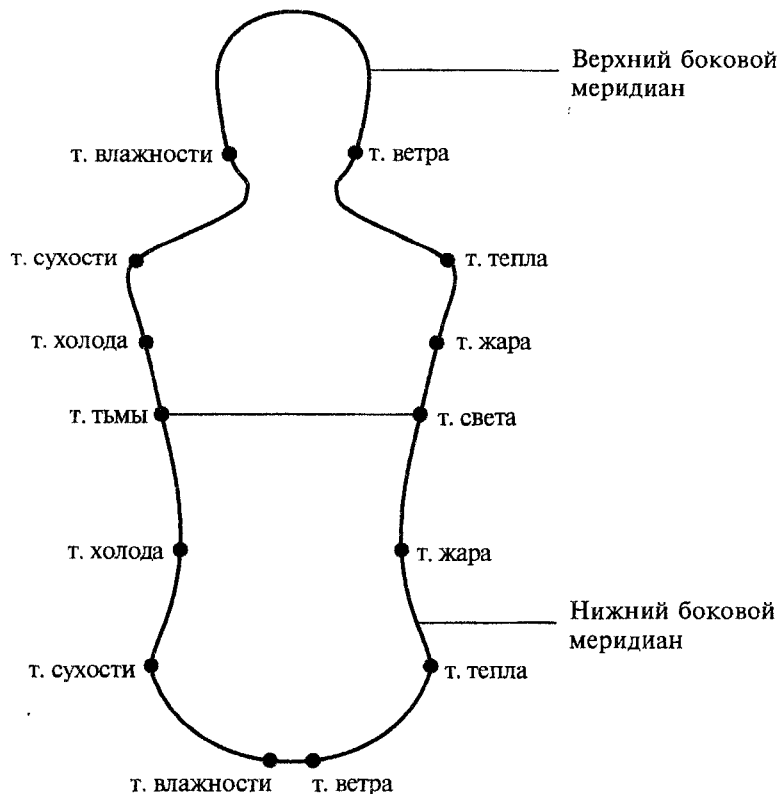


рис. 55. Точки индивидуальных Восьми Энергий левого и правого боковых пограничных меридианов. Точки индивидуальных А-энергий располагаются на левом боковом пограничном меридиане, УМ-энергий — на правом боковом пограничном меридиане.

**т. тьмы — X1 хуэй-инь**  
 асположение: между наружными оловыми органами и задним про-  
 одом.  
**г. холода — новые точки**  
 асположение: на медиальном кон-  
 е подъягодичных складок.  
**г. сухости — K29 цзюй-ляо**  
 асположение: вверху бедра, во  
 падине ниже передней ости под-  
 дошной кости, на 3 цуня ниже  
 очки K28 вэй-дао.  
**г. влажности — K26 лай-май**  
 асположение: на горизонтальной  
 инии, проведенной от пупка, чуть  
 иже свободного конца XI ребра.

**тт. ветра — K22 юань-е**  
 Расположение: в четвертом межре-  
 берье, на средней подмышечной  
 линии.  
**тт. тепла — B15 цзянь-юй**  
 Расположение: между акромиаль-  
 ным отростком лопатки и большим  
 бугром плечевой кости, где при  
 поднимании руки образуется углуб-  
 ление.  
**тт. жара — J17 и-фэн**  
 Расположение: в углублении кзади  
 от основания мочки уха, между  
 сосцевидным отростком и восходя-  
 щей ветвью нижней челюсти.

**т. света — Y20(19) бай-хуэй**  
 Расположение: на средней линии  
 головы, выше задней границы ро-  
 ста волос на 7 цуней и передней  
 границы роста волос на 5 цуней.



ис. 56. Точки индивидуальных Восьми Энергий верхнего и нижнего боковых пограничных меридианов. Точки индивидуальных А-энергий располагаются на верхнем боковом пограничном меридиане, УМ-энергий — на правом нижнем пограничном меридиане.

**тьмы — D21 да-бао**

Расположение: в месте пересечения левой средней подмышечной линии и шестого межреберья.

**света — D21 да-бао**

Расположение: в месте пересечения правой средней подмышечной линии шестого межреберья.

**Верхний боковой пограничный меридиан**

**холода — K22 юань-е**

Расположение: в четвертом межреберье, на средней подмышечной линии справа.

**сухости — B15 цзянь-юй**

Расположение: между акромиальным отростком лопатки и большим бугром правой плечевой кости, где при поднятии руки образуется углубление.

**влажности — J17 и-фэн**

Расположение: в углублении позади от основания мочки правого уха, между сосцевидным отростком и восходящей ветвью нижней челюсти.

**т. ветра — J17 и-фэн**

Расположение: в углублении позади от основания мочки левого уха, между сосцевидным отростком и восходящей ветвью нижней челюсти.

**т. тепла — B15 цзянь-юй**

Расположение: между акромиальным отростком лопатки и большим бугром левой плечевой кости, где при поднятии руки образуется углубление.

**т. жара — K22 юань-е**

Расположение: в четвертом межреберье, на средней подмышечной линии слева.

**Нижний боковой пограничный меридиан**

**т. холода — K26 лай-май**

Расположение: справа на горизонтальной линии, проведенной от пупка, чуть ниже свободного конца XI ребра.

**т. сухости — K29 цзюй-ляо**

Расположение: вверху правого бедра, во впадине ниже передней ости

подвздошной кости, на 3 цуня ниже точки K28 вэй-дао.

**т. влажности — новая точка**

Расположение: на медиальном конце правой подъягодичной складки.

**т. ветра — новая точка**

Расположение: на медиальном конце левой подъягодичной складки.

**т. тепла — K29 цзюй-ляо**

Расположение: вверху левого бедра, во впадине ниже передней ости подвздошной кости, на 3 цуня ниже точки K28 вэй-дао.

**т. жара — K26 лай-май**

Расположение: слева на горизонтальной линии, проведенной от пупка, чуть ниже свободного конца XI ребра.

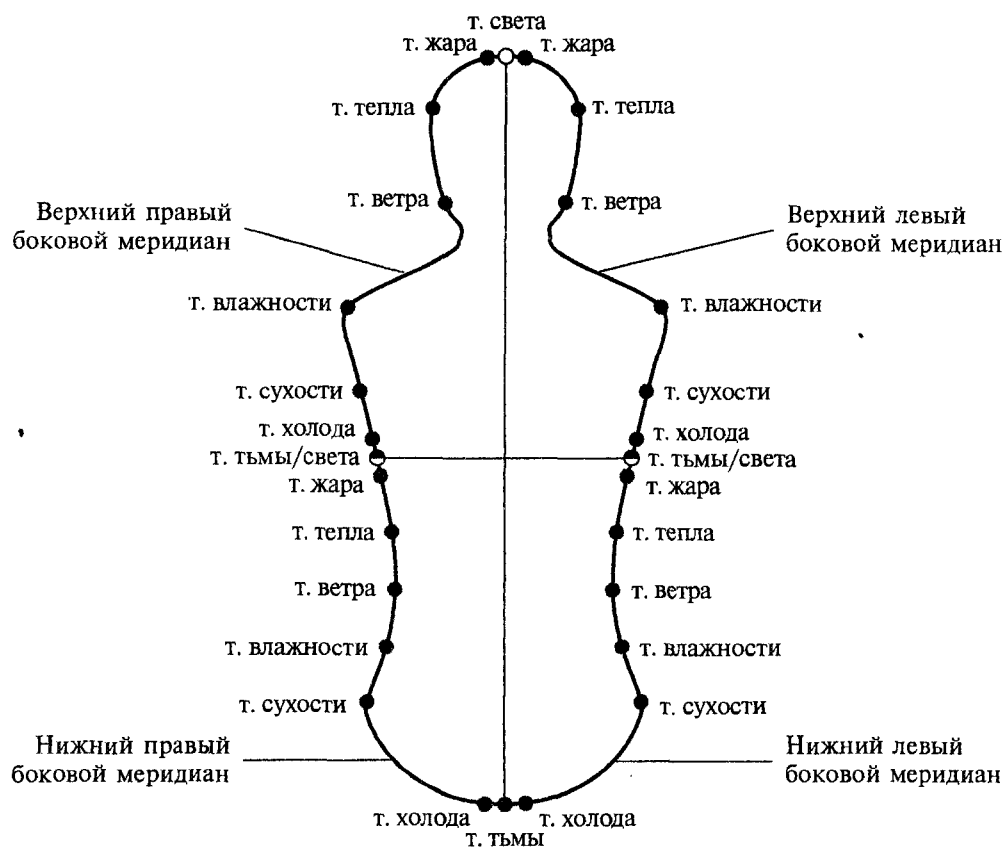


рис. 57. Точки Восьми Энергий региональных боковых пограничных меридианов.

Точки региональных Восьми Энергий расположены в соответствии с циркуляцией в боковом пограничном меридиане при доминировании вертикальной оси.

**Нижний боковой пограничный меридиан (левый и правый)**

**т. тьмы — XI хуэй-инь**  
 Расположение: между наружными плечевыми суставами и задним продом.

**т. холода — новые точки**  
 Расположение: на медиальном конце подъягодичной складки.

**т. сухости — K29 цзюй-ляо**  
 Расположение: вверху бедра, в паху ниже передней ости подлопаточной кости, на 3 цуня ниже точки K28 вэй-дао.

**т. влажности — новые точки**  
 Расположение: на средней подмышечной линии, между точками K29 цзюй-ляо и K26 лай-май.

**т. ветра — K26 лай-май**  
 Расположение: на горизонтальной линии, проведенной от пупка, чуть ниже свободного конца XI ребра.

**т. тепла — новые точки**  
 Расположение: на средней подмышечной линии, между точками K26 лай-май и D21 да-бао.

**т. жара — новые точки**  
 Расположение: на средней подмышечной линии, на 1 цунь ниже точки D21 да-бао.

**т. света — D21 да-бао**  
 Расположение: в месте пересечения средней подмышечной линии и шестого межреберья.

**Верхний боковой пограничный меридиан (левый и правый)**

**т. тьмы — D21 да-бао**  
 Расположение: в месте пересечения средней подмышечной линии и шестого межреберья.

**т. холода — новые точки**  
 Расположение: на средней подмышечной линии, на 1 цунь выше точки тьмы D21 да-бао.

**т. сухости — K22 юань-е**  
 Расположение: в четвертом межреберье, на средней подмышечной линии.

**т. влажности — B15 цзянь-юй**  
 Расположение: между акромиальным отростком лопатки и большим

бугром плечевой кости, где при поднимании руки образуется углубление.

**т. ветра — J17 н-фэн**  
 Расположение: в углублении кзади от основания мочки уха, между сосцевидным отростком и восходящей ветвью нижней челюсти.

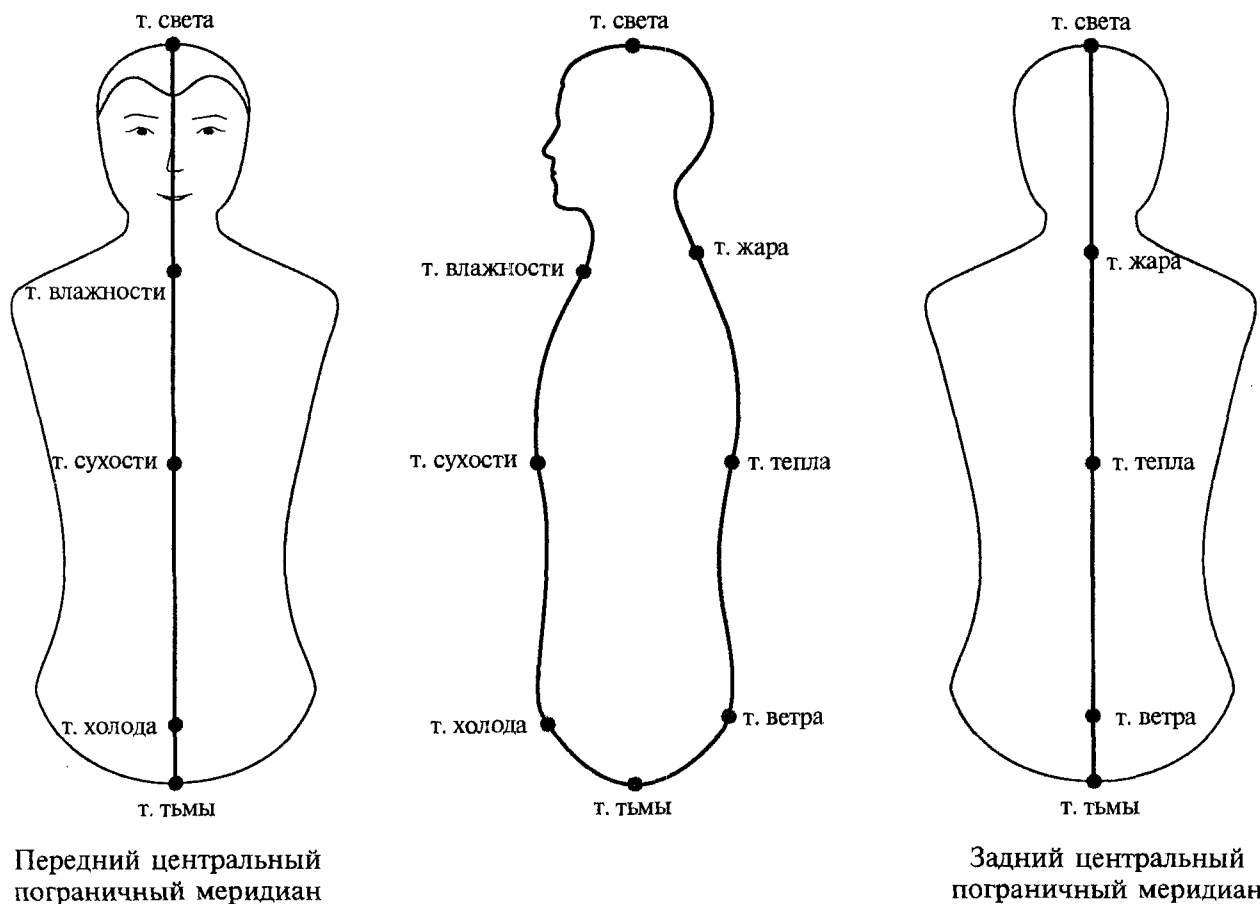
**т. тепла — K8 шуай-гу**  
 Расположение: выше верхнего края ушной раковины на 1,5 цуня, немного кзади от точки K7 шюй-бинь.

**т. жара — точки сы-шэнь-цунь**  
 Расположение: на 1 цунь в стороны от точки света Y20(19) бай-хуэй.

**т. света — Y20(19) бай-хуэй**  
 Расположение: на средней линии головы, выше задней границы роста волос на 7 цуней и передней границы роста волос на 5 цуней

## Центральный пограничный меридиан

Центральный пограничный меридиан проходит по средней линии тела и разделяет его на левую и правую половины.



Передний центральный пограничный меридиан

Задний центральный пограничный меридиан

Рис. 58. Точки единых Восьми Энергий центрального пограничного меридиана.

Точки единых Восьми Энергий расположены в соответствии с циркуляцией единой энергии в центральном пограничном меридиане тела при доминировании вертикальной оси.

**т. тьмы — X1 хуэй-инь**

Расположение: между наружными головными органами и задним проходом.

**т. ветра — Y2 яо-шу**

Расположение: в центре крестцово-опчичкового сочленения.

**т. тепла — Y9(8) чжи-ян**

Расположение: между остистыми отростками VII и VIII грудных позвонков.

**т. жара — Y14(13) да-чжуй**

Расположение: между остистыми отростками VII шейного и I грудного позвонков.

**т. света — Y20(19) бай-хуэй**

Расположение: на средней линии головы, выше задней границы роста волос на 7 цуней и передней границы роста волос на 5 цуней.

**т. влажности — X22 тянь-ту**

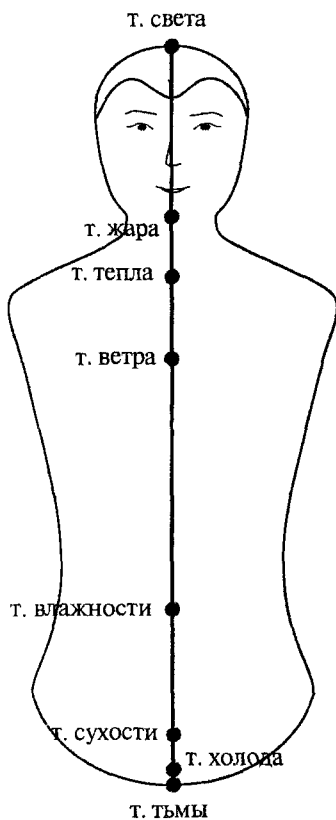
Расположение: примерно на 0,7 см выше середины верхнего края яремной вырезки грудины.

**т. сухости — X16 чжун-тин**

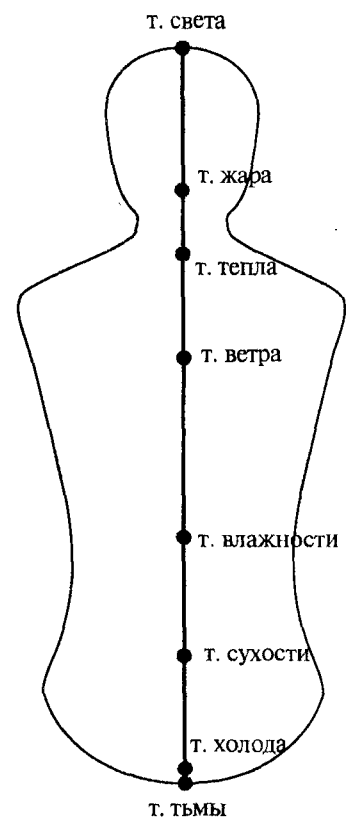
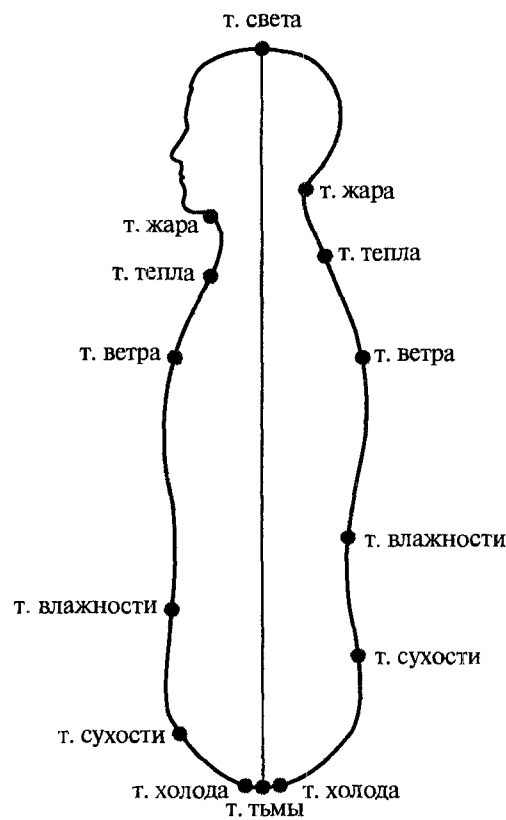
Расположение: на передней средней линии груди, на уровне пятого межреберья, в месте соединения тела грудины и мечевидного отростка.

**т. холода — X2 цюй-гу**

Расположение: на середине верхнего края лобкового симфиза.



Передний центральный пограничный меридиан



Задний центральный пограничный меридиан

ис. 59. Точки индивидуальных Восьми Энергий переднего и заднего центральных пограничных меридианов. Точки индивидуальных А-энергий располагаются на заднем центральном пограничном меридиане, УМ-энергий — на переднем центральном пограничном меридиане.

**тьмы** — X1 хуэй-инь  
 асположение: между наружными лловыми органами и задним про-  
 дом.

**света** — Y20(19) бай-хуэй  
 асположение: на средней линии лловы, выше задней границы ро-  
 а волос на 7 цуней и передней  
 аницы роста волос на 5 цуней.

**адний центральный пограничный  
 еридиан**

**холода** — точка ануса.

**сухости** — новая точка

асположение: между V пояснич-  
 ым и I крестцовым позвонками.

**влажности** — Y6 цзи-чжун  
 асположение: между остистыми  
 ростками XI и XII грудных по-  
 зонков.

**т. ветра** — Y12(11) шэнь-чжу  
 Расположение: между остистыми  
 отростками III и IV грудных по-  
 звонков.

**т. тепла** — Y14(13) да-чжуй  
 Расположение: между остистыми  
 отростками VII шейного и I груд-  
 ного позвонков.

**т. жара** — Y16(15) фэн-фу  
 Расположение: между затылочной  
 костью и I шейным позвонком,  
 выше задней границы роста волос  
 на 1 цунь.

**Передний центральный погранич-  
 ный меридиан**

**т. холода** — точка половых органов.

**т. сухости** — X2 цюй-гу

Расположение: на середине верхне-  
 го края лобкового симфиза.

**т. влажности** — X8 шэнь-цюе  
 Расположение: в центре пупка.

**т. ветра** — X18 юй-ган  
 Расположение: на средней линии  
 груди на уровне третьего межребре-  
 рья.

**т. тепла** — X22 тянь-гу  
 Расположение: примерно на 0,7 см  
 выше середины верхнего края ярем-  
 ной вырезки грудины.

**т. жара** — X23 лян-цюань  
 Расположение: на средней линии  
 шеи, выше складки шеи на 0,5 см,  
 между нижним краем тела подъя-  
 зычной кости и верхней вырезкой  
 щитовидного хряща.



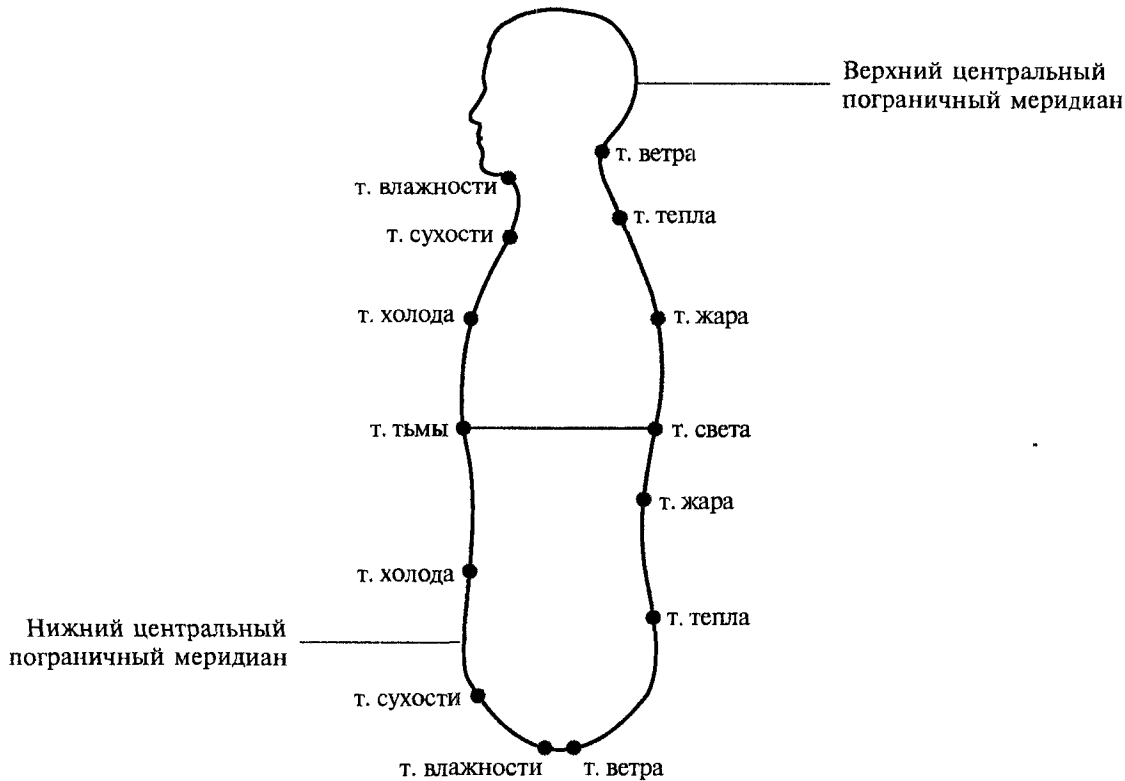


Рис. 60. Точки индивидуальных Восьми Энергий нижнего и верхнего центральных пограничных меридианов. Точки индивидуальных А-энергий располагаются на верхнем центральном пограничном меридиане, УМ-энергий — на нижнем центральном пограничном меридиане.

**т. тьмы — X16 чжун-тин**  
Расположение: на передней средней линии груди, на уровне пятого межреберья.  
**т. света — Y9(8) чжи-ян**  
Расположение: между остистыми отростками VII и VIII грудных позвонков.

**Верхний центральный пограничный меридиан**

**т. холода — X18 юй-ган**  
Расположение: на средней линии груди, на уровне третьего межреберья.  
**т. сухости — X22 тянь-ту**  
Расположение: примерно на 0,7 см выше середины верхнего края яремной вырезки грудины.

**т. влажности — X23 лян-цюань**  
Расположение: на средней линии шеи, выше складки шеи на 0,5 см, между нижним краем тела подъязычной кости и верхней вырезкой щитовидного хряща.  
**т. ветра — Y16(15) фэн-фу**  
Расположение: между затылочной костью и I шейным позвонком, выше задней границы роста волос на 1 цунь.  
**т. тепла — Y14(13) да-чжуй**  
Расположение: между остистыми отростками VII шейного и I грудного позвонков.  
**т. жара — Y12(11) шэнь-чжун**  
Расположение: между остистыми отростками III и IV грудных позвонков.

**Нижний центральный пограничный меридиан**

**т. холода — X8 шэнь-цюе**  
Расположение: в центре пупка.  
**т. сухости — X2 цюй-гу**  
Расположение: на середине верхнего края лобкового симфиза.  
**т. влажности — точка половых органов**  
**т. ветра — точка ануса**  
**т. тепла — новая точка**  
Расположение: между V поясничным и I крестцовым позвонками.  
**т. жара — Y6 цзи-чжун**  
Расположение: между остистыми отростками XI и XII грудных позвонков.



61. Точки Восьми Энергий региональных центральных пограничных меридианов.

Точки региональных Восьми Энергий расположены в соответствии с циркуляцией в центральном пограничном меридиане при доминировании вертикальной оси.

**нижний задний центральный пограничный меридиан**

**т. тьмы — X1 хуэй-инь**

Расположение: между наружными половыми органами и задним проходом.

**т. холода — точка ануса**

**т. сухости — Y2 яо-шу**

Расположение: в центре крестцово-чичковического сочленения.

**т. влажности — новая точка**

Расположение: между V поясничными и I крестцовыми позвонками.

**т. ветра — Y4 мин-мэнь**

Расположение: между остистыми отростками II и III поясничных позвонков.

**т. тепла — Y6 цзи-чжун**

Расположение: между остистыми отростками XI и XII грудных позвонков.

**т. жара — новая точка**

Расположение: на 1 цунь ниже точки Y9 чжи-ян.

**т. света — Y9(8) чжи-ян**

Расположение: между остистыми отростками VII и VIII грудных позвонков.

**Передний нижний центральный пограничный меридиан**

**т. тьмы — X1 хуэй-инь**

Расположение: между наружными половыми органами и задним проходом.

**т. холода — точка половых органов**

**т. сухости — X2 цюй-гу**

Расположение: на середине верхнего края лобкового симфиза.

**т. влажности — X5 ши-мэнь**

Расположение: на средней линии живота ниже пупка на 2 цуня.

**т. ветра — X8 шэнь-цзюе**

Расположение: в центре пупка.

**т. тепла — X12 чжун-вань**

Расположение: на средней линии живота, выше пупка на 4 цуня, на середине расстояния между пупком и мечевидным отростком грудины.

**т. жара — X15 цзю-вэй**

Расположение: ниже конца мечевидного отростка грудины на 0,5 цуня и выше пупка на 7 цуней.

**т. света — X16 чжун-тин**

Расположение: на передней средней линии груди, на уровне пятого межреберья, в месте соединения тела грудины и мечевидного отростка.

***Задний верхний центральный пограничный меридиан***

**т. тьмы — Y9(8) чжи-ян**

Расположение: между остистыми отростками VII и VIII грудных позвонков.

**т. холода — новая точка**

Расположение: на задней срединной линии тела, на 1 цунь выше точки Y9 чжи-ян.

**т. сухости — Y12(11) шэнь-чжу**

Расположение: между остистыми отростками III и IV грудных позвонков.

**т. влажности — Y14(13) да-чжуй**

Расположение: между остистыми отростками VII шейного и I грудного позвонков.

**т. ветра — Y16(15) фэн-фу**

Расположение: между затылочной костью и I шейным позвонком, выше задней границы роста волос на 1 цунь.

**т. тепла — Y18(17) цян-цзянь**

Расположение: на средней линии головы, выше задней границы роста волос на 4 цуня (выше точки Y17 нао-ху на 1,5 цуня).

**т. жара — одна из точек сы-шэнь-цунь**

Расположение: на средней линии головы, на 1 цунь кзади от точки Y20 бай-хуэй.

**т. света — Y20(19) бай-хуэй**

Расположение: на средней линии головы, выше задней границы роста волос на 7 цуней и передней границы роста волос на 5 цуней.

***Передний верхний центральный пограничный меридиан***

**т. тьмы — X16 чжун-тин**

Расположение: на передней средней линии груди, на уровне пятого межреберья, в месте соединения тела грудины и мечевидного отростка.

**т. холода — новая точка**

Расположение: на передней срединной линии, на уровне прикрепления к груди V ребер (на 1 цунь выше точки X16 чжун-тин)

**т. сухости — X18 юй-тан**

Расположение: на средней линии груди, на уровне третьего межреберья.

**т. влажности — X22 тянь-ту**

Расположение: примерно на 0,7 см выше середины верхнего края яремной вырезки грудины.

**т. ветра — X23 лян-цюань**

Расположение: на средней линии шеи, выше складки шеи на 0,5 см, между нижним краем тела подязычной кости и верхней вырезкой щитовидного хряща.

**т. тепла — инь-тан**

Расположение: в центре расстояния между началом бровей, над переносьем.

**т. жара — одна из точек сы-шэнь-цунь**

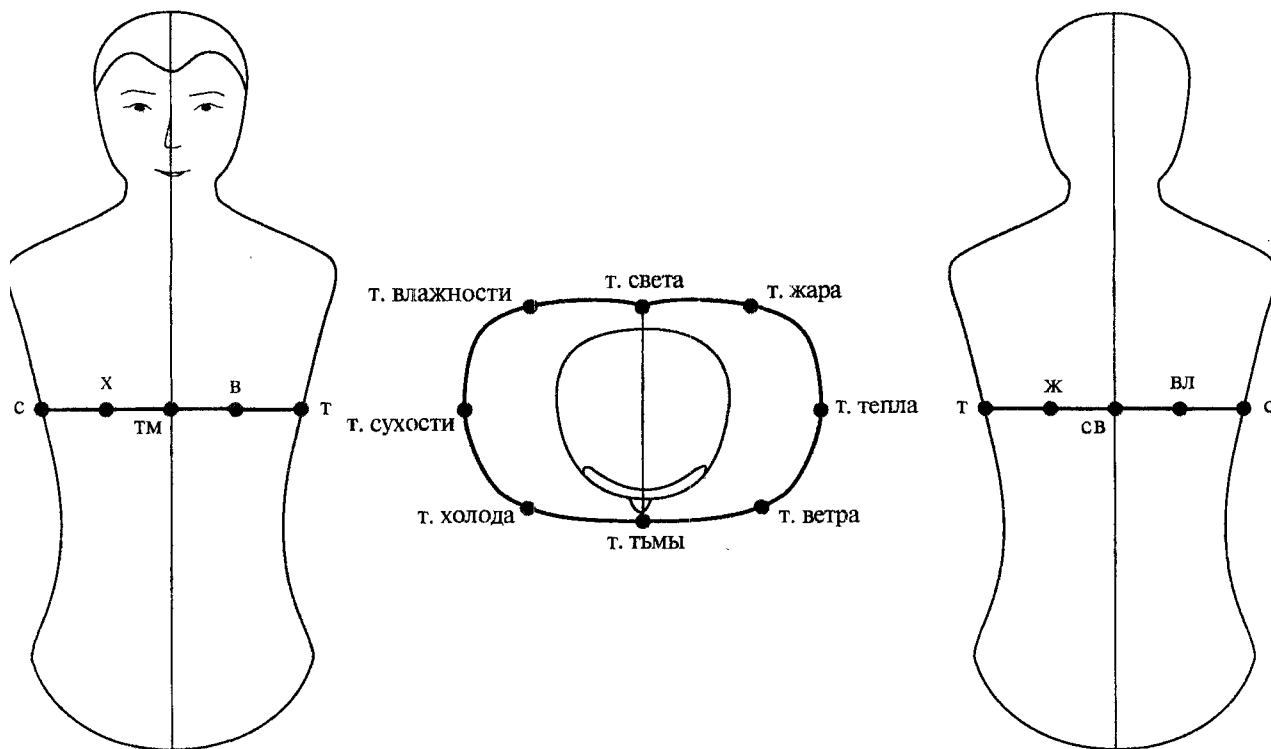
Расположение: на средней линии головы, на 1 цунь впереди от точки Y20 бай-хуэй.

**т. света — Y20(19) бай-хуэй**

Расположение: на средней линии головы, выше задней границы роста волос на 7 цуней и передней границы роста волос на 5 цуней.

## Диафрагмальный пограничный меридиан

Диафрагмальный пограничный меридиан проходит по грудной клетке горизонтально через основание мечевидного отростка спереди и между остистыми отростками VII и VIII грудных позвонков сзади.



с. 62. Точки Восьми Энергий диафрагмального пограничного меридиана при доминировании сагиттальной оси.

**тьмы — X16 чжун-тин**

положение: на передней средней линии груди, на уровне пятого межреберья, в месте соединения тела грудины и мечевидного отростка.

**ветра — Y9(8) чжи-ян**

положение: между остистыми отростками VII и VIII грудных позвонков.

**тепла — C18 жу-гэнь**

положение: в пятом межреберье, левой среднеключичной линии, снаружи от центральной линии на уня.

**т. тепла — D21 да-бао**

Расположение: в месте пересечения левой средней подмышечной линии и шестого межреберья.

**т. жара — новая точка**

Расположение: в седьмом межреберье слева, на средней лопаточной линии.

**т. влажности — новая точка**

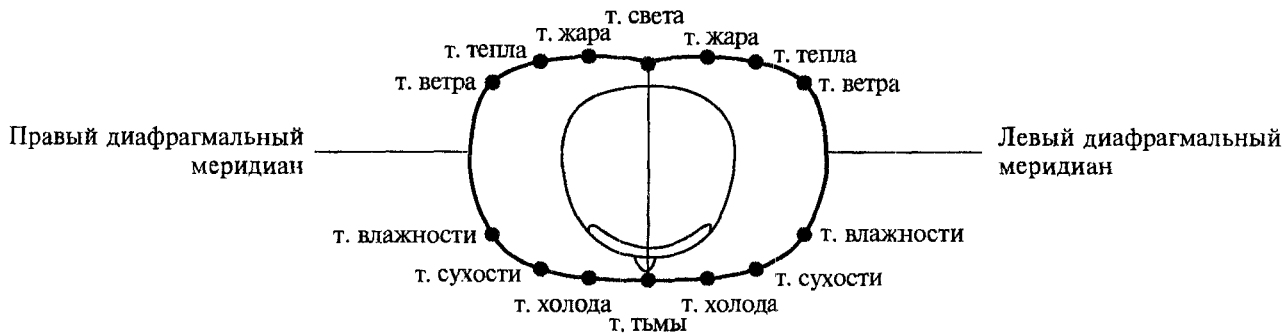
Расположение: в седьмом межреберье справа, на средней лопаточной линии.

**т. сухости — D21 да-бао**

Расположение: в месте пересечения правой средней подмышечной линии и шестого межреберья.

**т. холода — C18 жу-гэнь**

Расположение: в пятом межреберье, на правой среднеключичной линии, снаружи от центральной линии на 4 цуня.



**Рис. 63.** Точки индивидуальных Восьми Энергий левого и правого диафрагмальных пограничных меридианов.

Точки индивидуальных А-энергий располагаются на левом диафрагмальном пограничном меридиане, УМ-энергий — на правом диафрагмальном пограничном меридиане.

**т. тьмы — X16 чжун-тин**  
 Расположение: на передней средней линии груди, на уровне пятого межреберья, в месте соединения тела грудины и мечевидного отростка.

**тт. холода — H22 бу-лан**  
 Расположение: в пятом межреберье, снаружи от средней линии груди на 2 цуня.

**тт. сухости — C18 жу-гэнь**  
 Расположение: в пятом межреберье, снаружи от центральной линии на 4 цуня.

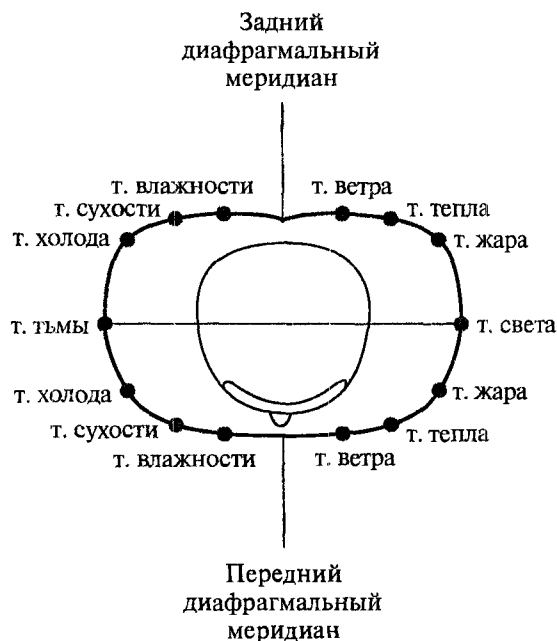
**тт. влажности — D17 ши-доу**  
 Расположение: в пятом межреберье, снаружи от средней линии груди на 6 цуней.

**тт. ветра — новые точки**  
 Расположение: на линии между точками G46 гэ-гуань и D21 да-бао, над VII ребром слева и справа.

**тт. тепла — новые точки**  
 Расположение: в седьмом межреберье, на средней лопаточной линии справа и слева.

**тт. жара — G46(41) гэ-гуань**  
 Расположение: справа и слева на уровне промежутка между острыми отростками VII и VIII грудных позвонков, снаружи на 3 цуня (на уровне точки G17 гэ-шу).

**т. света — Y9(8) чжи-ян**  
 Расположение: между острыми отростками VII и VIII грудных позвонков.



**Рис. 64.** Точки индивидуальных Восьми Энергий заднего и переднего диафрагмальных пограничных меридианов.

Точки индивидуальных А-энергий располагаются на заднем диафрагмальном пограничном меридиане, УМ-энергий — на переднем диафрагмальном пограничном меридиане.

**т. тьмы — D21 да-бао**  
Расположение: в месте пересечения правой средней подмышечной линии и шестого межреберья.  
**т. света — D21 да-бао**  
Расположение: в месте пересечения левой средней подмышечной линии и шестого межреберья.

**Задний диафрагмальный пограничный меридиан**

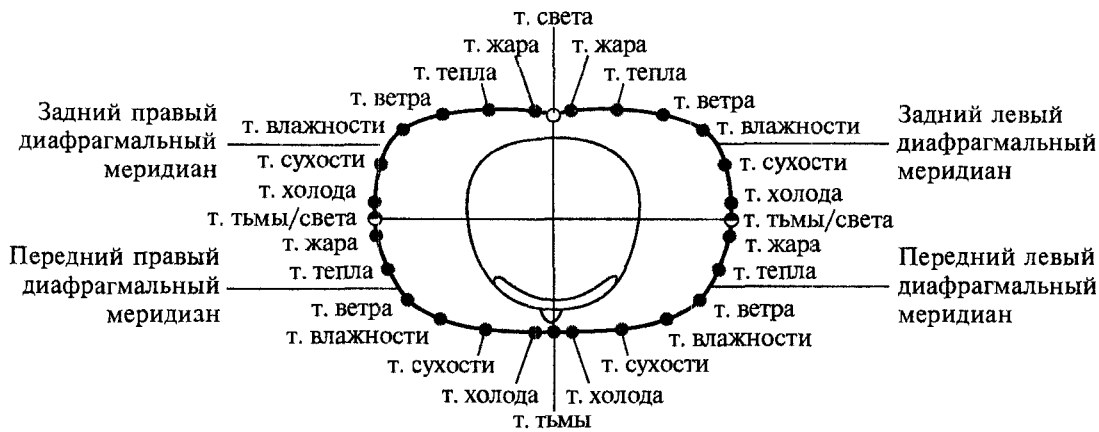
**т. холода — новая точка**  
Расположение: на линии между точками G46 гэ-гуань и D21 да-бао, над правым VII ребром.  
**т. сухости — новая точка**  
Расположение: в седьмом межреберье справа, на средней лопаточной линии.  
**т. влажности — G46(41) гэ-гуань**  
Расположение: справа на уровне промежутка между остистыми отростками VII и VIII грудных позвонков, кнаружи на 3 цуня (на уровне точки G17 гэ-шу).

**т. ветра — G46(41) гэ-гуань**  
Расположение: слева на уровне промежутка между остистыми отростками VII и VIII грудных позвонков, кнаружи на 3 цуня (на уровне точки G17 гэ-шу).  
**т. тепла — новая точка**  
Расположение: в седьмом межреберье слева, на средней лопаточной линии.  
**т. жара — новая точка**  
Расположение: на линии между точками G46 гэ-гуань и D21 да-бао, над левым седьмым ребром.

**Передний диафрагмальный пограничный меридиан**

**т. холода — D17 ши-доу**  
Расположение: в пятом межреберье, правее от средней линии груди на 6 цуней.

**т. сухости — C18 жу-гэнь**  
Расположение: в пятом межреберье, правее от центральной линии на 4 цуня.  
**т. влажности — H22 бу-лан**  
Расположение: в пятом межреберье, правее от средней линии груди на 2 цуня.  
**т. ветра — H22 бу-лан**  
Расположение: в пятом межреберье, левее от средней линии груди на 2 цуня.  
**т. тепла — C18 жу-гэнь**  
Расположение: в пятом межреберье, левее от центральной линии на 4 цуня.  
**т. жара — D17 ши-доу**  
Расположение: в пятом межреберье, левее от средней линии груди на 6 цуней.



**Рис. 65.** Точки Восьми Энергий региональных диафрагмальных пограничных меридианов. Точки региональных Восьми Энергий располагаются в соответствии с циркуляцией энергии в диафрагмальном пограничном меридиане при доминировании сагиттальной оси.

**тт. тьмы и света, жара и холода**  
 Расположение: в области внешних чакр тела. Все остальные точки находятся на равном расстоянии от точки холода и точки жара.

**Передний диафрагмальный пограничный меридиан (левый и правый)**

**т. тьмы — X16 чжун-тин**  
 Расположение: на передней средней линии груди, на уровне пятого межреберья, в месте соединения тела грудины и мечевидного отростка.

**тт. холода — новые точки**  
 Расположение: на 1 цунь кнаружи от точки тьмы (шестое межреберье у края грудины).

**тт. сухости — H22 бу-лан**  
 Расположение: в пятом межреберье, кнаружи от средней линии груди на 2 цуня.

**тт. влажности — C18 жу-гэн**  
 Расположение: в пятом межреберье, кнаружи от центральной линии на 4 цуня.

**тт. ветра — D17 ши-доу**  
 Расположение: в пятом межреберье, кнаружи от средней линии груди на 6 цуней.

**тт. тепла — новые точки**  
 Расположение: на середине расстояния между точками C18 жу-гэн и D21 да-бао.

**тт. жара — новые точки**  
 Расположение: на 1 цунь кпереди от точки света (D21 да-бао).

**тт. света — D21 да-бао**  
 Расположение: в месте пересечения средней подмышечной линии и шестого межреберья.

**Задний диафрагмальный пограничный меридиан (левый и правый)**

**тт. тьмы — D21 да-бао**  
 Расположение: в месте пересечения средней подмышечной линии и шестого межреберья.

**тт. холода — новые точки**  
 Расположение: на 1 цунь кзади от точки D21 да-бао.

**тт. сухости — новые точки**  
 Расположение: между точками ветра и D21 да-бао.

**тт. влажности — новые точки**  
 Расположение: между точками G46 гэ-гуань и D21 да-бао.

**тт. ветра — новые точки**  
 Расположение: в седьмом межреберье, на средней лопаточной линии.

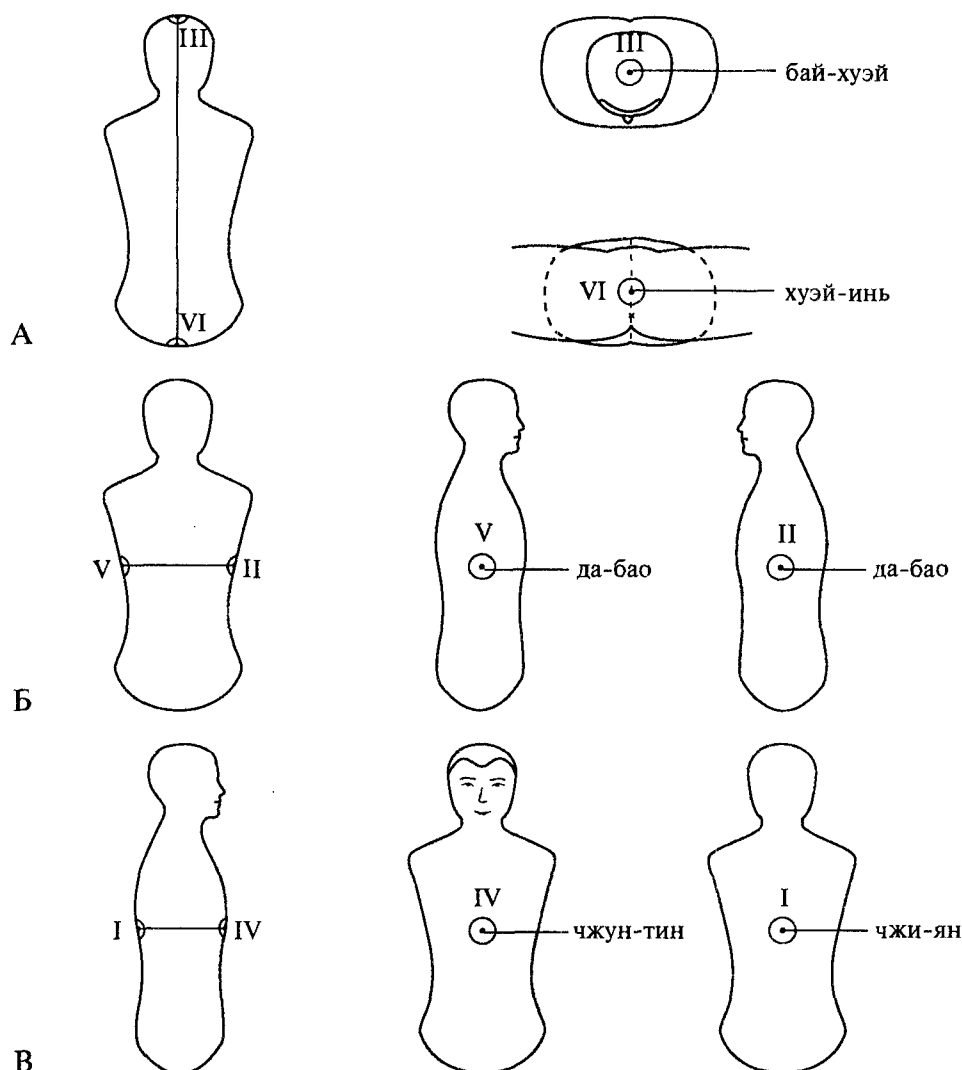
**тт. тепла — G46(41) гэ-гуань**  
 Расположение: на уровне промежутка между остистыми отростками VII и VIII грудных позвонков, кнаружи на 3 цуня (на уровне точки G17 гэ-шу).

**тт. жара — G17 гэ-шу**  
 Расположение: на уровне промежутка между остистыми отростками VII и VIII грудных позвонков, в сторону на 1,5 цуня.

**т. света — Y9(8) чжи-ян**  
 Расположение: между остистыми отростками VII и VIII грудных позвонков.



## Внешние и внутренние чакры



### с. 66. Топография внешних чакр.

*А — вертикальный сердцевинный Гомо-меридиан выходит на поверхность тела через точки бай-хуэй (Y20) и хуэй-инь (X1), которые и являются центральными точками внешних чакр.*

*Б — фронтальный сердцевинный Гомо-меридиан выходит на поверхность тела через точки да-бао (D21) слева и справа, которые и являются центрами внешних чакр.*

*В — сагиттальный сердцевинный Гомо-меридиан выходит на поверхность тела через точки чжун-тин (X16) спереди и чжи-ян (Y9) сзади, которые и являются центрами внешних чакр.*

#### — задняя внешняя чакра

☯(8) чжи-ян

сположение: между остистыми отростками VII и VIII грудных позвонков.

#### — левая внешняя чакра

21 да-бао

сположение: в месте пересечения зой средней подмышечной линии пестого межреберья.

#### III — верхняя внешняя чакра

(Y20(19) бай-хуэй)

Расположение: на средней линии головы, выше задней границы роста волос на 7 цуней и передней границы роста волос на 5 цуней.

#### IV — передняя внешняя чакра

(X16 чжун-тин)

Расположение: на передней средней линии груди, на уровне пятого межреберья, в месте соединения

тела грудины и мечевидного отростка.

#### V — правая внешняя чакра

(D21 да-бао)

Расположение: в месте пересечения правой средней подмышечной линии и шестого межреберья.

#### VI — нижняя внешняя чакра

(X1 хуэй-инь)

Расположение: между наружными половыми органами и задним проходом.



Эффективное воздействие на состояние сердцевинных меридианов можно оказывать через точки их выхода на поверхность тела в области внешних чакр. Точки выхода индивидуальных сердцевинных меридианов располагаются на окружности с радиусом один цунь от точки выхода сердцевинного Гомо-меридиана.

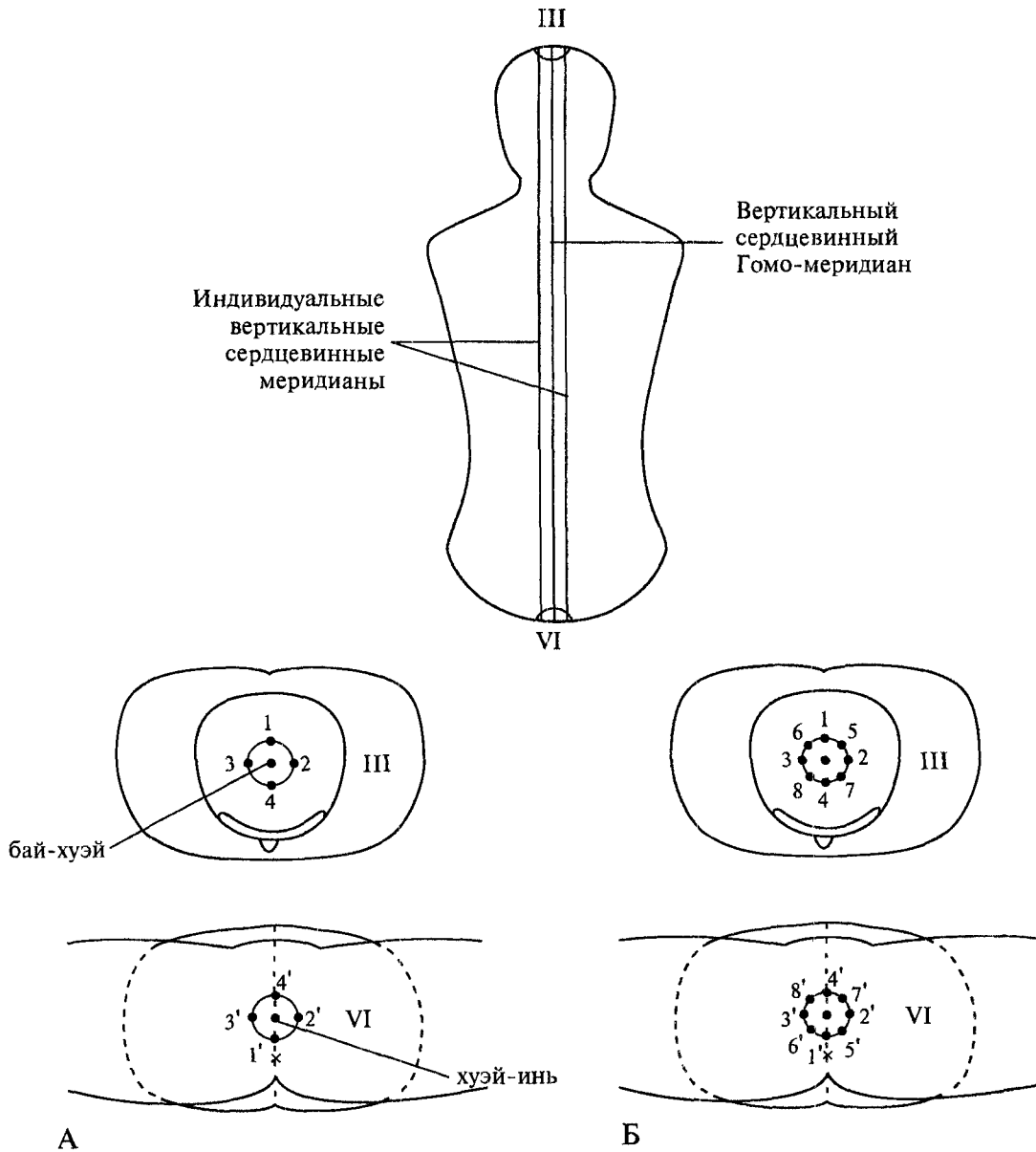


Рис. 67. Расположение точек выхода вертикальных сердцевинных меридианов на теле.

А — система первичного алмаза

Б — система двойного алмаза

III — верхняя внешняя чакра

VI — нижняя внешняя чакра

1— 4— точки сы-шэнь-цунь

1— 8— точки выхода

в области верхней чакры

1'— 8'— точки выхода

в области нижней чакры

1, 1'— задний вертикальный сердцевинный меридиан

2, 2'— левый вертикальный сердцевинный меридиан

3, 3'— правый вертикальный сердцевинный меридиан

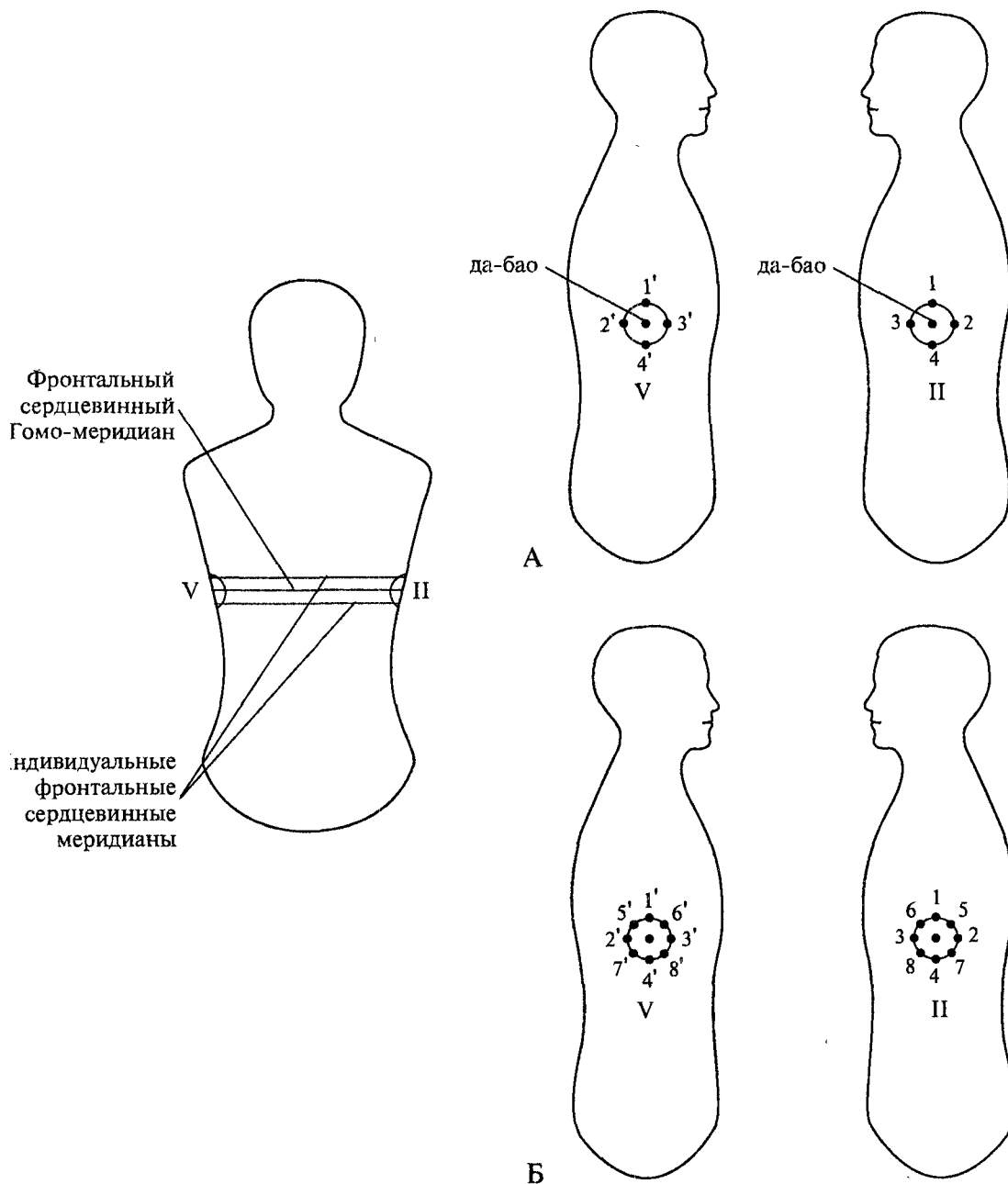
4, 4'— передний вертикальный сердцевинный меридиан

5, 5'— задний левый вертикальный сердцевинный меридиан

6, 6'— задний правый вертикальный сердцевинный меридиан

7, 7'— передний левый вертикальный сердцевинный меридиан

8, 8'— передний правый вертикальный сердцевинный меридиан



с. 68. Расположение точек выхода фронтальных сердцевинных меридианов на теле.

А — система первичного алмаза

Б — система двойного алмаза

II — левая внешняя чакра

V — правая внешняя чакра

1— 8— точки выхода  
в области левой чакры

1'— 8'— точки выхода  
в области правой чакры

1,1'— верхний фронтальный сердцевинный меридиан

2,2'— задний фронтальный сердцевинный меридиан

3,3'— передний фронтальный сердцевинный меридиан

4,4'— нижний фронтальный сердцевинный меридиан

5,5'— задний верхний фронтальный сердцевинный меридиан

6,6'— передний верхний фронтальный сердцевинный меридиан

7,7'— задний нижний фронтальный сердцевинный меридиан

8,8'— передний нижний фронтальный сердцевинный меридиан

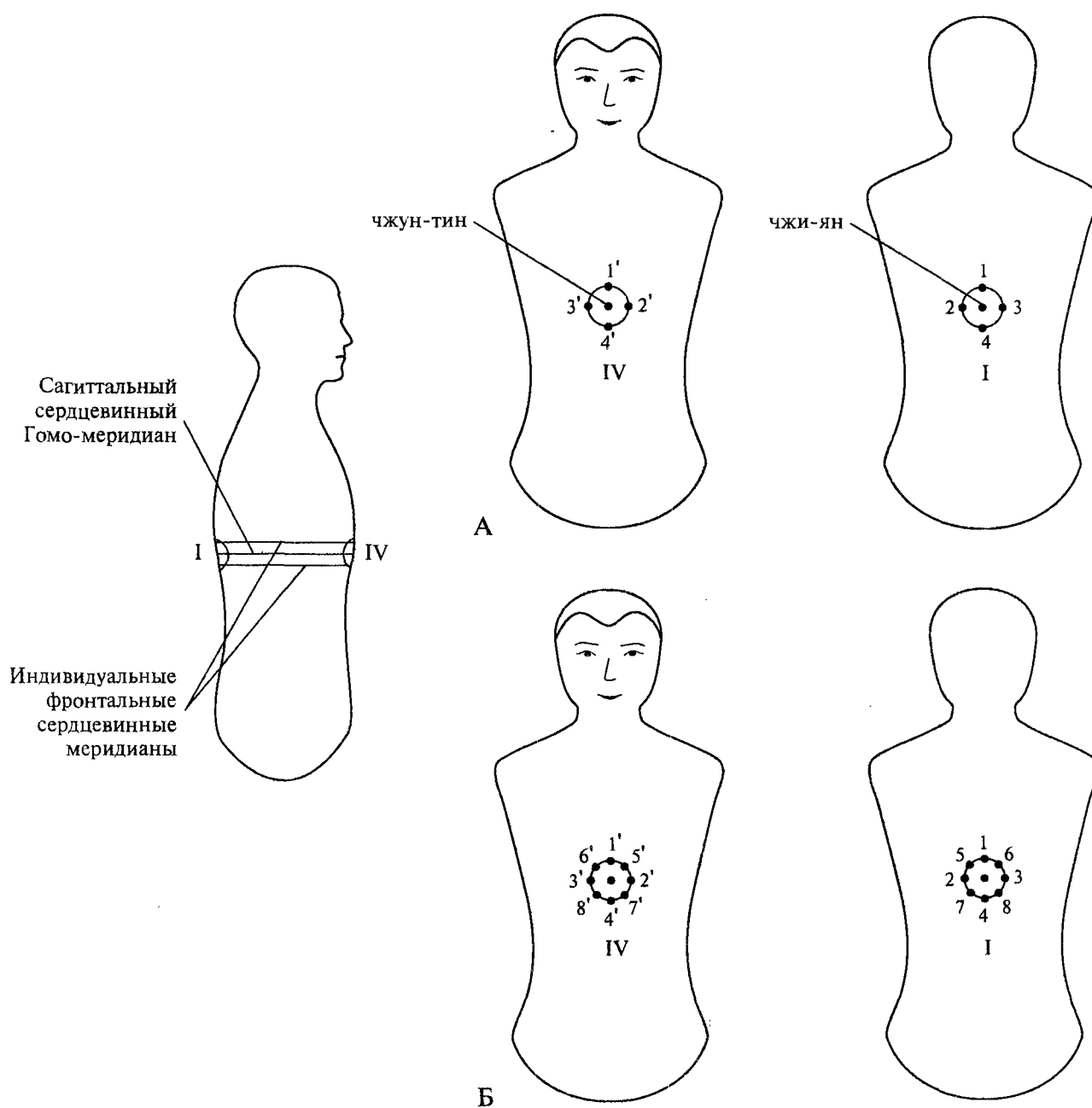


Рис. 69. Расположение точек выхода сагиттальных сердцевинных меридианов на теле.

А — система первичного алмаза

Б — система двойного алмаза

I — задняя внешняя чакра

IV — передняя внешняя чакра

1— 8— точки выхода

в области задней чакры

1'— 8'— точки выхода

в области передней чакры

1, 1'— верхний сагиттальный сердцевинный меридиан

2, 2'— левый сагиттальный сердцевинный меридиан

3, 3'— правый сагиттальный сердцевинный меридиан

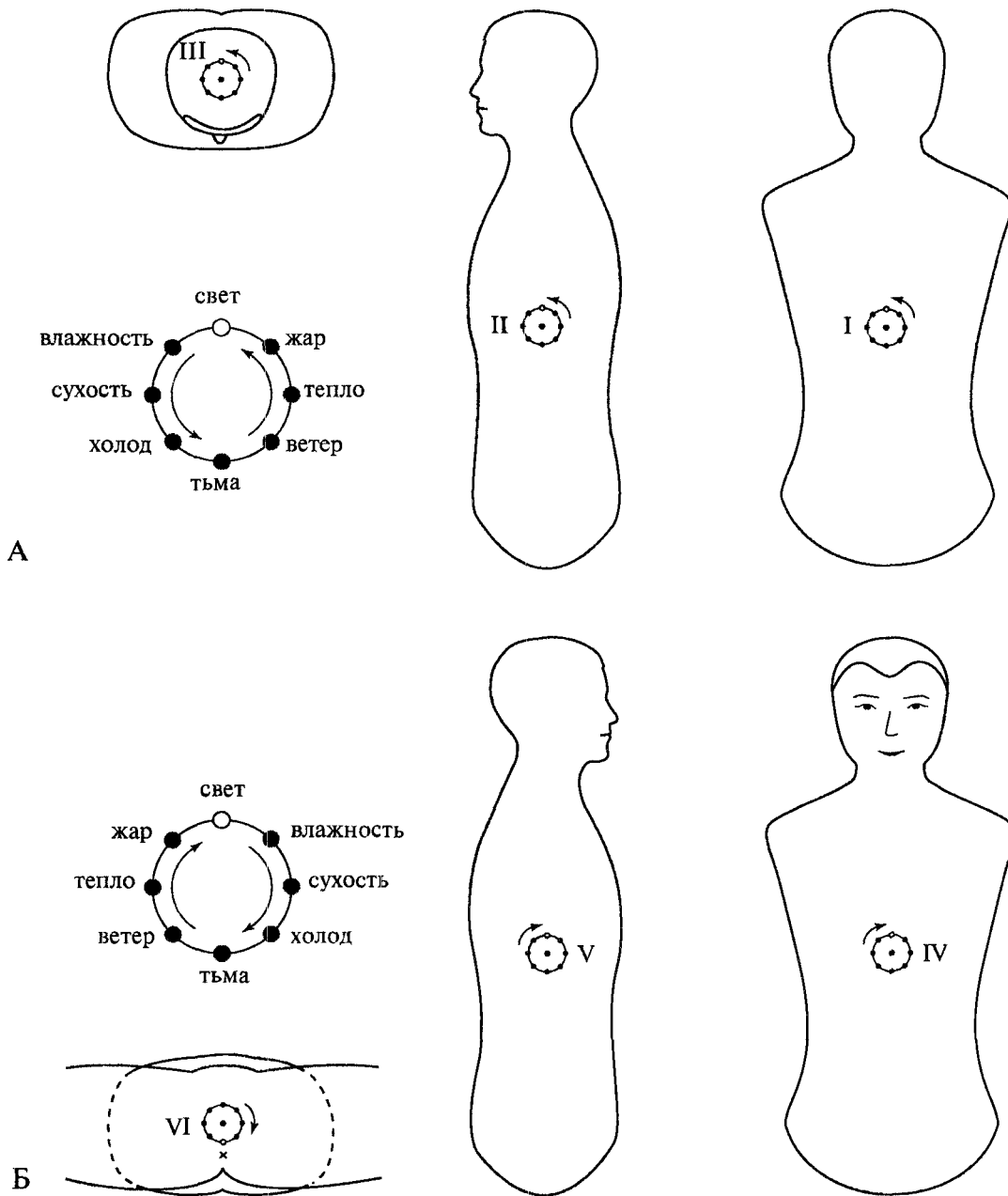
4, 4'— нижний сагиттальный сердцевинный меридиан

5, 5'— верхний левый сагиттальный сердцевинный меридиан

6, 6'— верхний правый сагиттальный сердцевинный меридиан

7, 7'— нижний левый сагиттальный сердцевинный меридиан

8, 8'— нижний правый сагиттальный сердцевинный меридиан



с. 70. Точки единых Восьми Энергий внешних чакр.

Точки единых Восьми Энергий располагаются на окружности с радиусом 1 цунь вокруг центральной точки чакры. Точка света всегда занимает самое верхнее положение на окружности, точка тьмы — самое нижнее положение.

A — Гетеро-циркуляция, характерная для чакр ветра, тепла, жара

B — Гомо-циркуляция, свойственная чакрам влажности, сухости, холода

I — задняя внешняя чакра ветра IV — передняя внешняя чакра влажности

II — левая внешняя чакра тепла V — правая внешняя чакра сухости

III — верхняя внешняя чакра жара VI — нижняя внешняя чакра холода

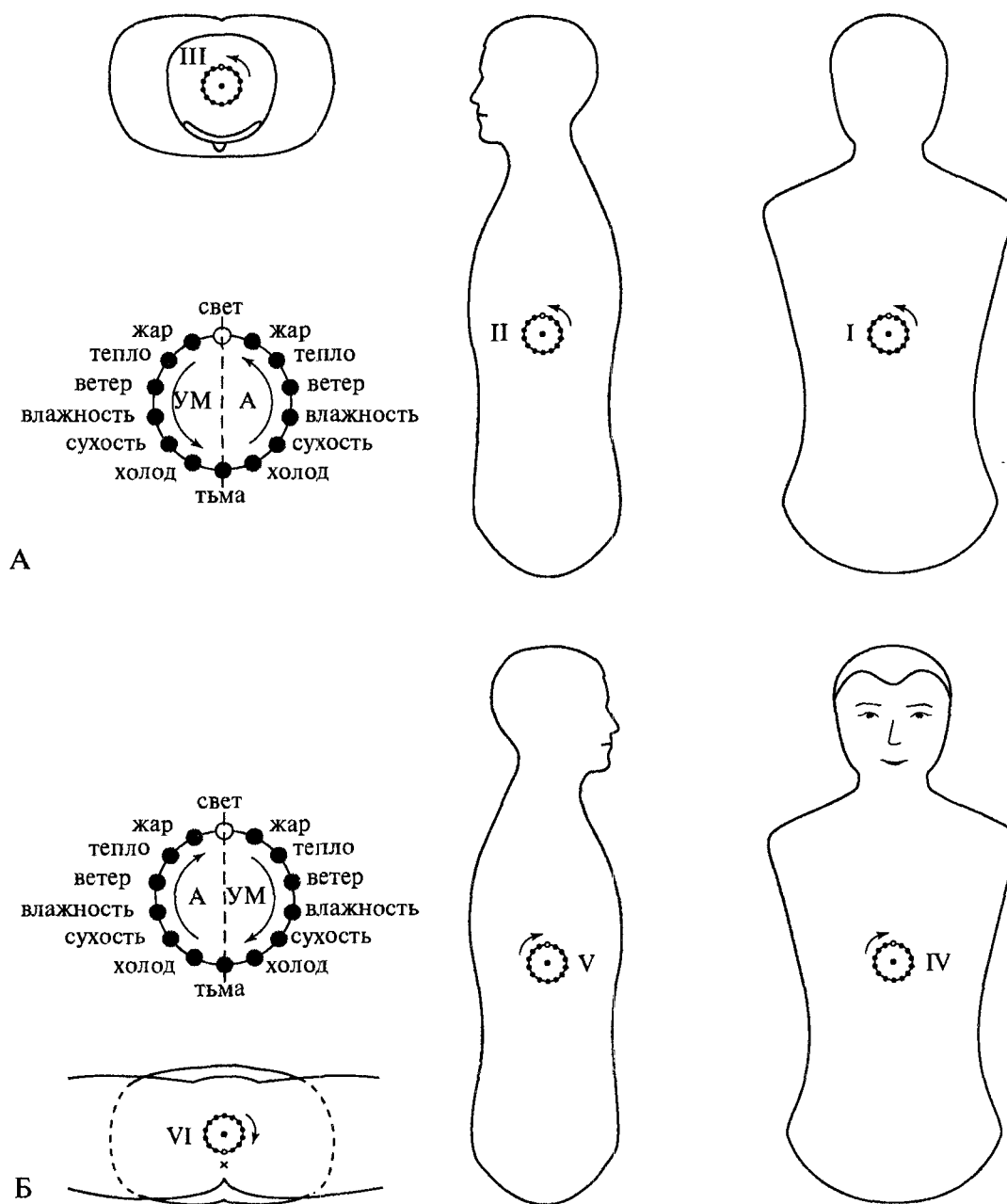


Рис. 71. Точки индивидуальных Восьми Энергий внешних чакр.

Точки индивидуальных Восьми Энергий также располагаются на окружности с радиусом 1 цунь вокруг центральной точки чакры. Точка света — самая верхняя, а точка тьмы — самая нижняя на окружности. Точки остальных энергий располагаются в соответствии с прогрессивным типом циркуляции (тьма-холод-сухость-влажность-ветер-тепло-жар-свет). Используется вертикальный тип деления чакры с последовательной циркуляцией сначала А-энергий, затем УМ-энергий.

А — Гетеро-циркуляция, характерная для чакр ветра, тепла, жара

Б — Гомо-циркуляция, свойственная чакрам влажности, сухости, холода

I — задняя внешняя чакра ветра

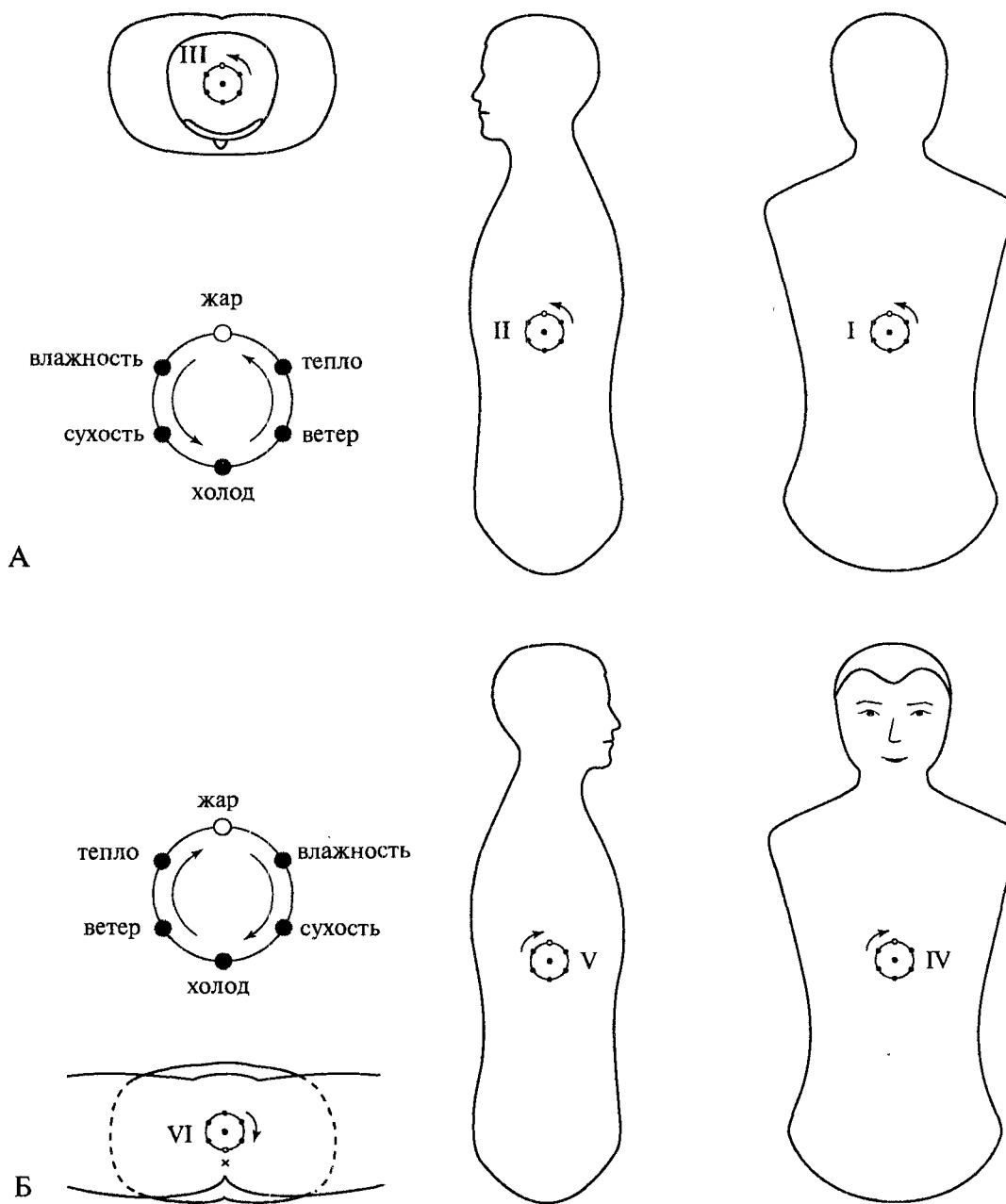
IV — передняя внешняя чакра влажности

II — левая внешняя чакра тепла

V — правая внешняя чакра сухости

III — верхняя внешняя чакра жара

VI — нижняя внешняя чакра холода



72. Точки единых Шести Энергий внешних чакр.

Точки единых Шести Энергий располагаются на окружности с радиусом 1 цунь вокруг центральной точки чакры. Точка жара всегда занимает самое верхнее положение на окружности, точка холода — самое нижнее положение.

А — Гетеро-циркуляция, характерная для чакр ветра, тепла, жара

Б — Гомо-циркуляция, свойственная чакрам влажности, сухости, холода

I — задняя внешняя чакра ветра

IV — передняя внешняя чакра влажности

II — левая внешняя чакра тепла

V — правая внешняя чакра сухости

III — верхняя внешняя чакра жара

VI — нижняя внешняя чакра холода

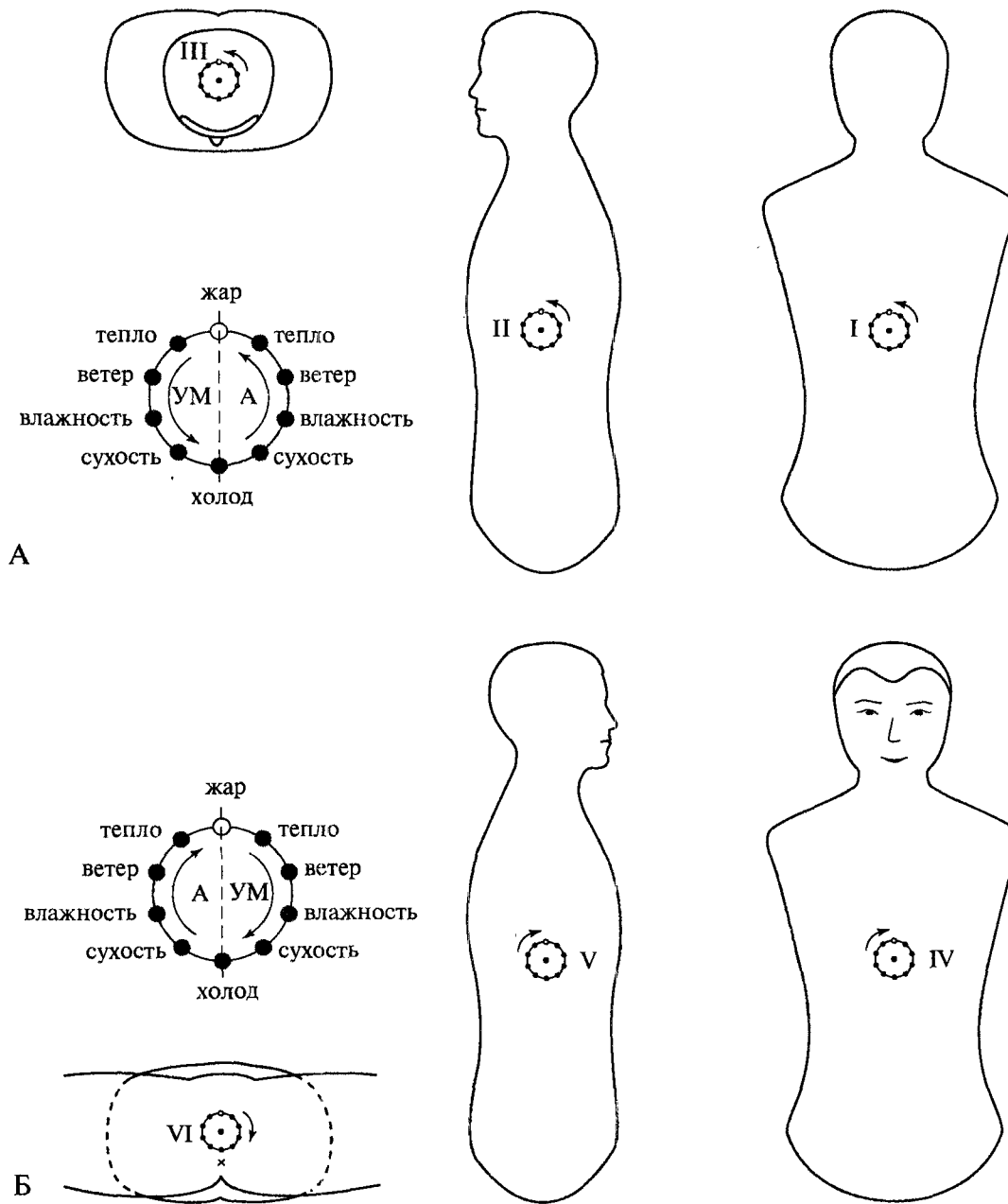


Рис. 73. Точки индивидуальных Шести Энергий внешних чакр.

Точки индивидуальных Шести Энергий также располагаются на окружности с радиусом 1 цунь вокруг центральной точки чакры. Точки остальных энергий располагаются в соответствии с прогрессивным типом циркуляции (холод-сухость-влажность-ветер-тепло-жар). Используется вертикальный тип деления чакры с последовательной циркуляцией сначала А-энергий, затем УМ-энергий.

А — Гетеро-циркуляция, характерная для чакр ветра, тепла, жара

Б — Гомо-циркуляция, свойственная чакрам влажности, сухости, холода

I — задняя внешняя чакра ветра

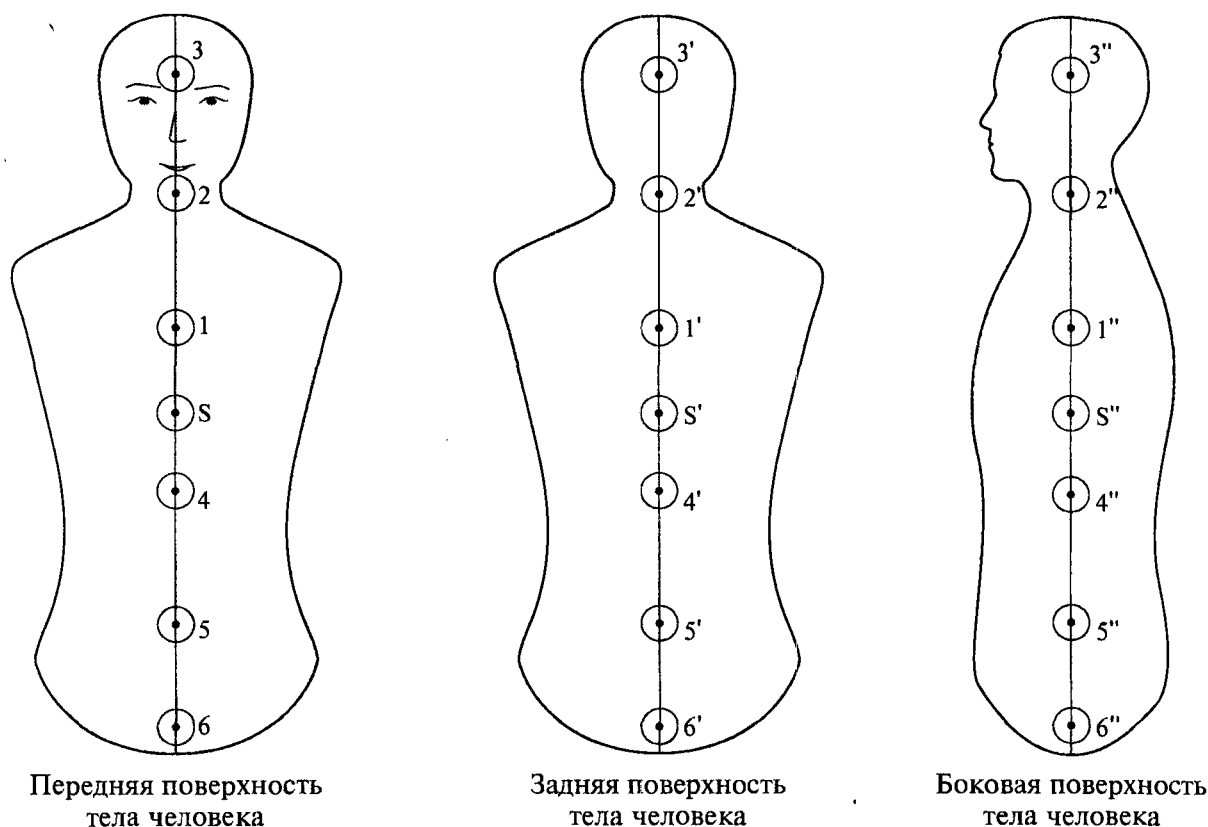
IV — передняя внешняя чакра влажности

II — левая внешняя чакра тепла

V — правая внешняя чакра сухости

III — верхняя внешняя чакра жара

VI — нижняя внешняя чакра холода



Передняя поверхность  
тела человека

Задняя поверхность  
тела человека

Боковая поверхность  
тела человека

ис. 74. Проекция центра внутренних чакр на поверхности тела.

— **чакра ветра (X18 юй-тан)**  
асположение: на средней линии зуди, на уровне третьего межреберья.

— **чакра тепла (новая точка)**  
асположение: на средней линии теи, между щитовидным и перстевидным хрящами.

— **чакра жара (инь-тан)**  
асположение: в центре расстояния между началом бровей, над пересечением.

— **чакра влажности (X12 чжун-вань)**  
асположение: на средней линии живота, выше пупка на 4 цуня, на середине расстояния между пупком и мечевидным отростком грудины.

— **чакра сухости (X5 ши-мэнь)**  
асположение: на средней линии живота, ниже пупка на 2 цуня.

— **чакра холода (X2 цюй-гу)**  
асположение: на середине верхнего края лобкового симфиза.

— **солнечная чакра (X16 чжун-тин)**  
асположение: на передней средней линии груди, на уровне пятого межреберья.

**1' — чакра ветра (Y12(11) шэнь-чжу)**  
Расположение: между остистыми отростками III и IV грудных позвонков.

**2' — чакра тепла (новая точка)**  
Расположение: между остистыми отростками V и VI шейных позвонков.

**3' — чакра жара (Y18(17) цян-цзянь)**  
Расположение: на средней линии головы, выше задней границы роста волос на 4 цуня (выше точки Y17 нао-ху на 1,5 цуня).

**4' — чакра влажности (Y6 цзи-чжун)**  
Расположение: между остистыми отростками XI и XII грудных позвонков.

**5' — чакра сухости (новая точка)**  
Расположение: пояснично-крестцовое сочленение.

**6' — чакра холода (Y2 яо-шу)**  
Расположение: в центре крестцово-копчикового сочленения.

**S' — солнечная чакра (Y9(8) чжи-ян)**  
Расположение: между остистыми отростками VII и VIII грудных позвонков.

**1'' — чакра ветра (K22 юань-е)**  
Расположение: в четвертом межреберье, на средней подмышечной линии.

**2'' — чакра тепла (новая точка)**  
Расположение: на границе Инь-Ян шеи, на уровне V шейного позвонка.

**3'' — чакра жара (K8 шуай-гу)**  
Расположение: выше верхнего края ушной раковины на 1,5 цуня, немного кзади от точки K7 цюй-бинь.

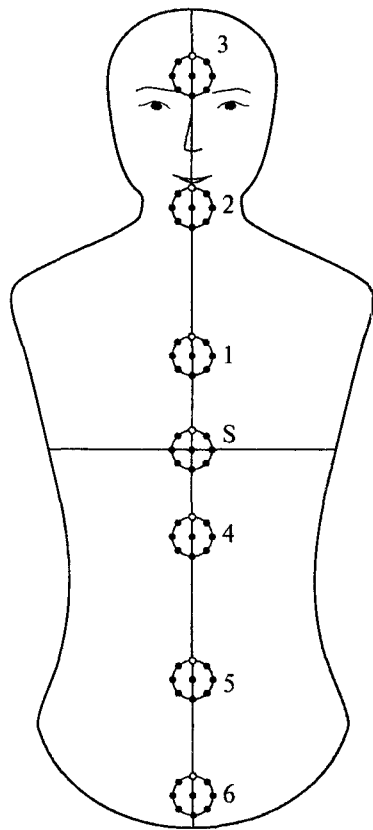
**4'' — чакра влажности (новая точка)**  
Расположение: на средней подмышечной линии, между точками K26 лай-май и D21 да-бао.

**5'' — чакра сухости (новая точка)**  
Расположение: на средней подмышечной линии, между точками K29 цзюй-ляо и K26 лай-май.

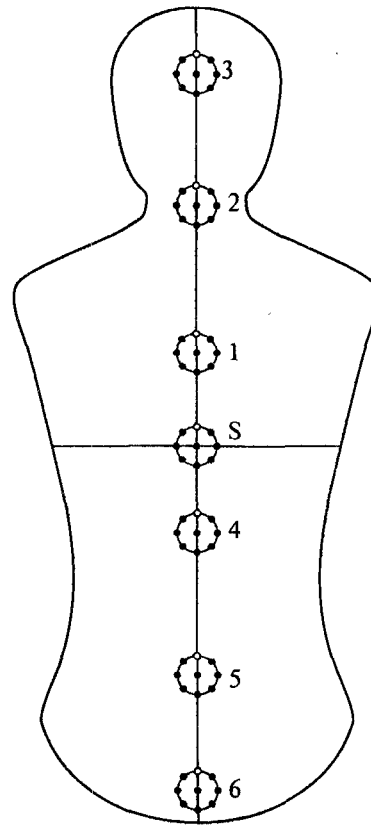
**6'' — чакра холода (K29 цзюй-ляо)**  
Расположение: вверху бедра, во впадине ниже передней ости подвздошной кости, на 3 цуня ниже точки K28 вэй-дао.

**S'' — солнечная чакра (D21 да-бао)**  
Расположение: в месте пересечения средней подмышечной линии и шестого межреберья.

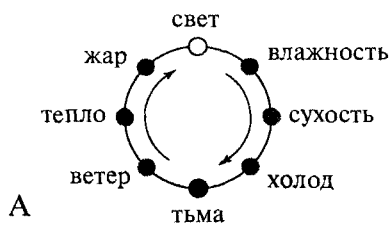




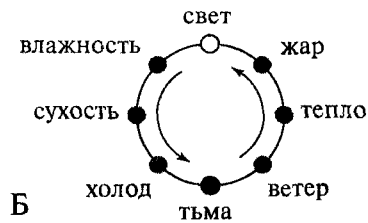
Проекция чакр  
на переднюю поверхность тела человека



Проекция чакр  
на заднюю поверхность тела человека



А



Б

Рис. 75. Точки единых Восьми Энергий внутренних чакр.

Точки единых Восьми Энергий располагаются на окружности с радиусом 1 цунь вокруг центральной точки чакры. Точка света всегда занимает самое верхнее положение на окружности, точка тьмы — самое нижнее положение. Для Инь-поверхности характерна Гомоциркуляция по часовой стрелке, для Ян-поверхности — Гетероциркуляция против часовой стрелки. Точки остальных энергий располагаются в соответствии с Гомо- или Гетероциркуляцией.

1 — чакра ветра

5 — чакра сухости

2 — чакра тепла

6 — чакра холода

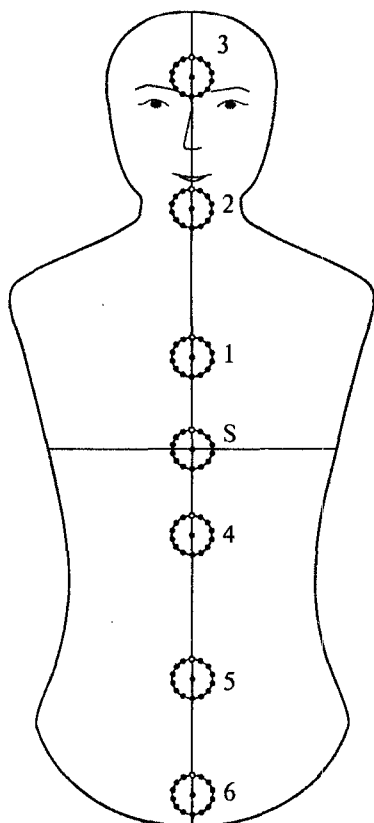
3 — чакра жара

S — солнечная чакра

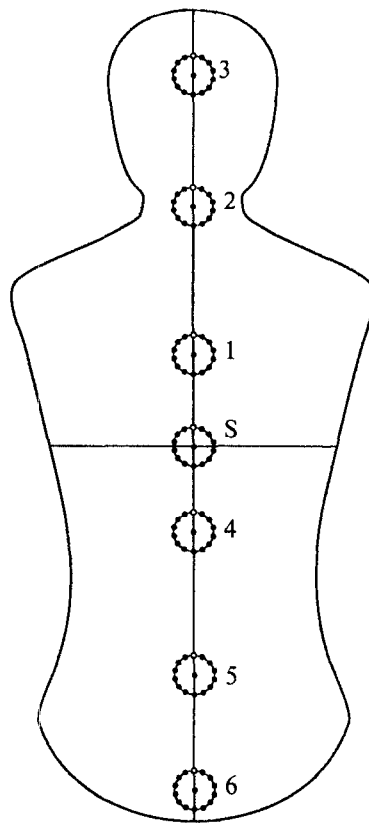
4 — чакра влажности

А — расположение точек единых Восьми Энергий на Инь-поверхности

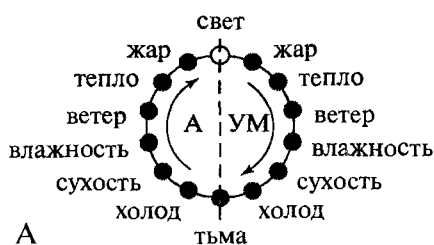
Б — расположение точек единых Восьми Энергий на Ян-поверхности



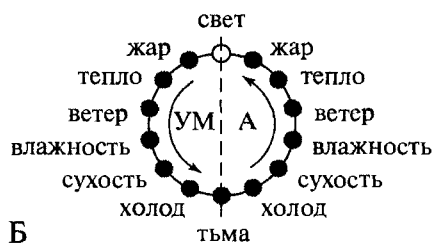
Проекция чакр  
на переднюю поверхность тела человека



Проекция чакр  
на заднюю поверхность тела человека



А



Б

ис. 76 Точки индивидуальных Восьми Энергий внутренних чакр.

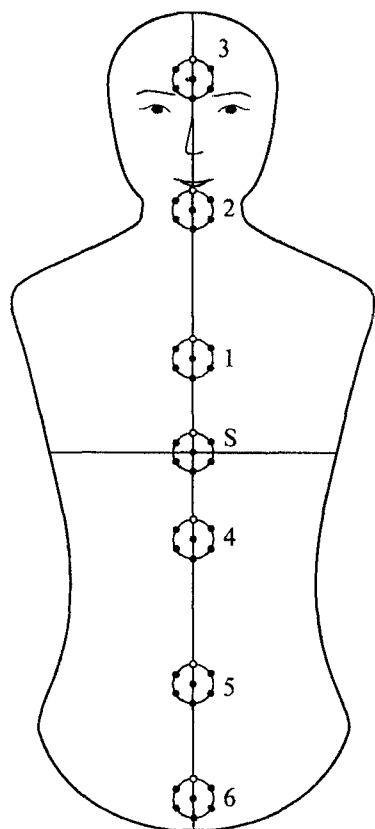
Точки индивидуальных Восьми Энергий также располагаются на окружности с радиусом 1 цунь вокруг центральной точки чакры. Точка света — самая верхняя, точка тьмы — самая нижняя.

Используется вертикальный тип деления чакры с последовательной циркуляцией сначала А-энергий, а затем УМ-энергий.

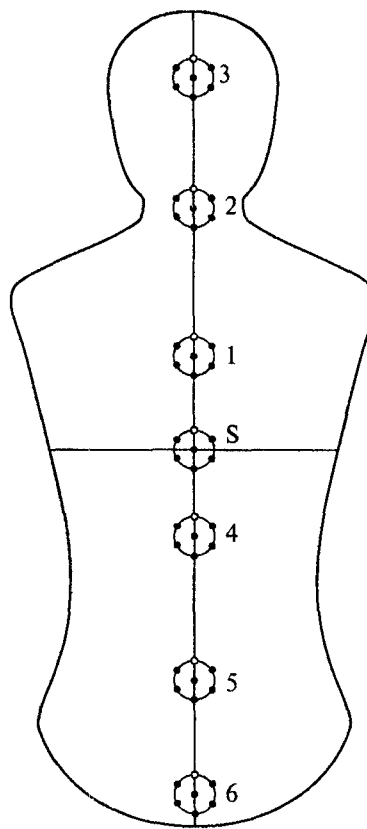
- |                     |                     |
|---------------------|---------------------|
| 1 — чакра ветра     | 5 — чакра сухости   |
| 2 — чакра тепла     | 6 — чакра холода    |
| 3 — чакра жара      | S — солнечная чакра |
| 4 — чакра влажности |                     |

А — расположение точек индивидуальных Восьми Энергий внутренних чакр на Инь-поверхности (Гомо-циркуляция)

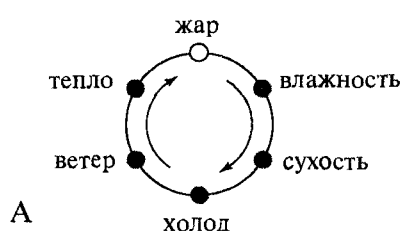
Б — расположение точек индивидуальных Восьми Энергий внутренних чакр на Ян-поверхности (Гетеро-циркуляция)



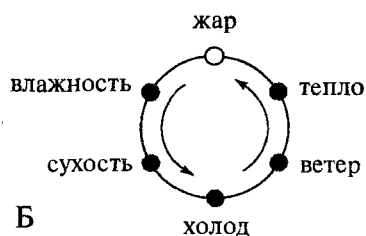
Проекция чакр  
на переднюю поверхность тела человека



Проекция чакр  
на заднюю поверхность тела человека



А



Б

Рис. 77. Точки единых Шести Энергий внутренних чакр.

Точки единых Шести Энергий располагаются на окружности с радиусом 1 цунь вокруг центральной точки чакры. Точка жара всегда занимает самое верхнее положение на окружности, точка холода — самое нижнее положение. Для Инь-поверхности характерна Гомоциркуляция по часовой стрелке, для Ян-поверхности — Гетероциркуляция против часовой стрелки. Точки остальных энергий располагаются в соответствии с Гомо- или Гетероциркуляцией.

1 — чакра ветра

5 — чакра сухости

2 — чакра тепла

6 — чакра холода

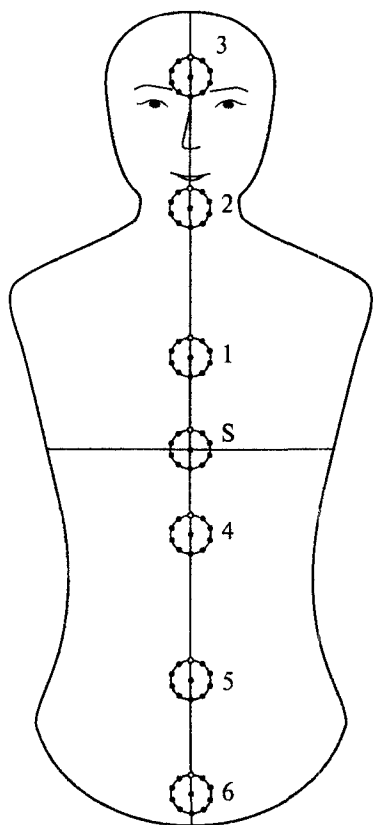
3 — чакра жара

S — солнечная чакра

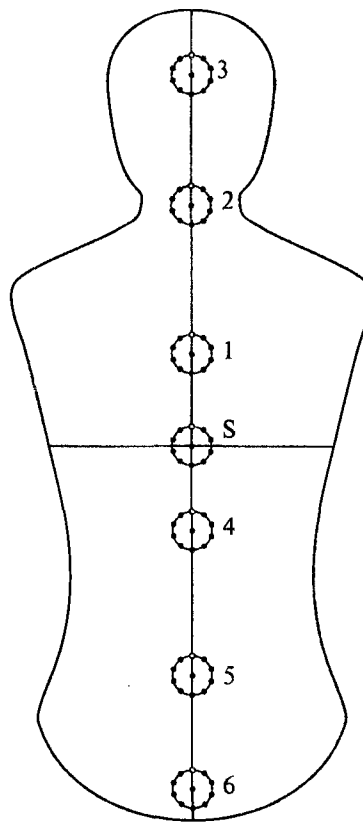
4 — чакра влажности

А — расположение точек единых Шести Энергий на Инь-поверхности

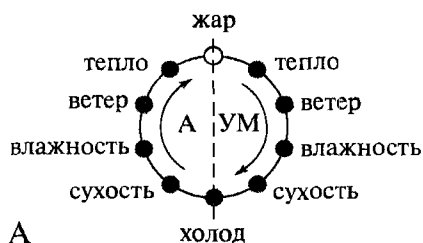
Б — расположение точек единых Шести Энергий на Ян-поверхности



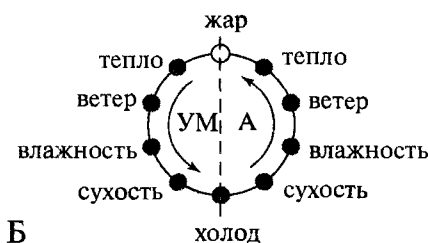
Проекция чакр  
на переднюю поверхность тела человека



Проекция чакр  
на заднюю поверхность тела человека



А



Б

рис. 78. Точки индивидуальных Шести Энергий внутренних чакр.

Точки индивидуальных Шести Энергий также располагаются на окружности с радиусом 1 цунь вокруг центральной точки чакры. Точка жара — самая верхняя, точка холода — самая нижняя. Используется вертикальный тип деления чакры с последовательной циркуляцией сначала А-энергий, а затем УМ-энергий.

- |                     |                     |
|---------------------|---------------------|
| 1 — чакра ветра     | 5 — чакра сухости   |
| 2 — чакра тепла     | 6 — чакра холода    |
| 3 — чакра жара      | S — солнечная чакра |
| 4 — чакра влажности |                     |

А — расположение точек индивидуальных Шести Энергий внутренних чакр на Инь-поверхности (Гомо-циркуляция)

Б — расположение точек индивидуальных Шести Энергий внутренних чакр на Ян-поверхности (Гетеро-циркуляция)

## Глава 2. Периферическая энергетическая система тела

Рассматривая систему периферических меридианов с позиций тройной Восьминачальной последовательности, мы можем убедиться, насколько совершенными и гармоничными являются китайские представления о меридианальной системе. Система периферических меридианов включает в себя три группы меридианов: Гетеро-группу — это А (Ян)-меридианы; Гомо-группу — УМ(Инь)-меридианы и Нейтро-группу — АУ(чудесные)-меридианы (рис. 79).

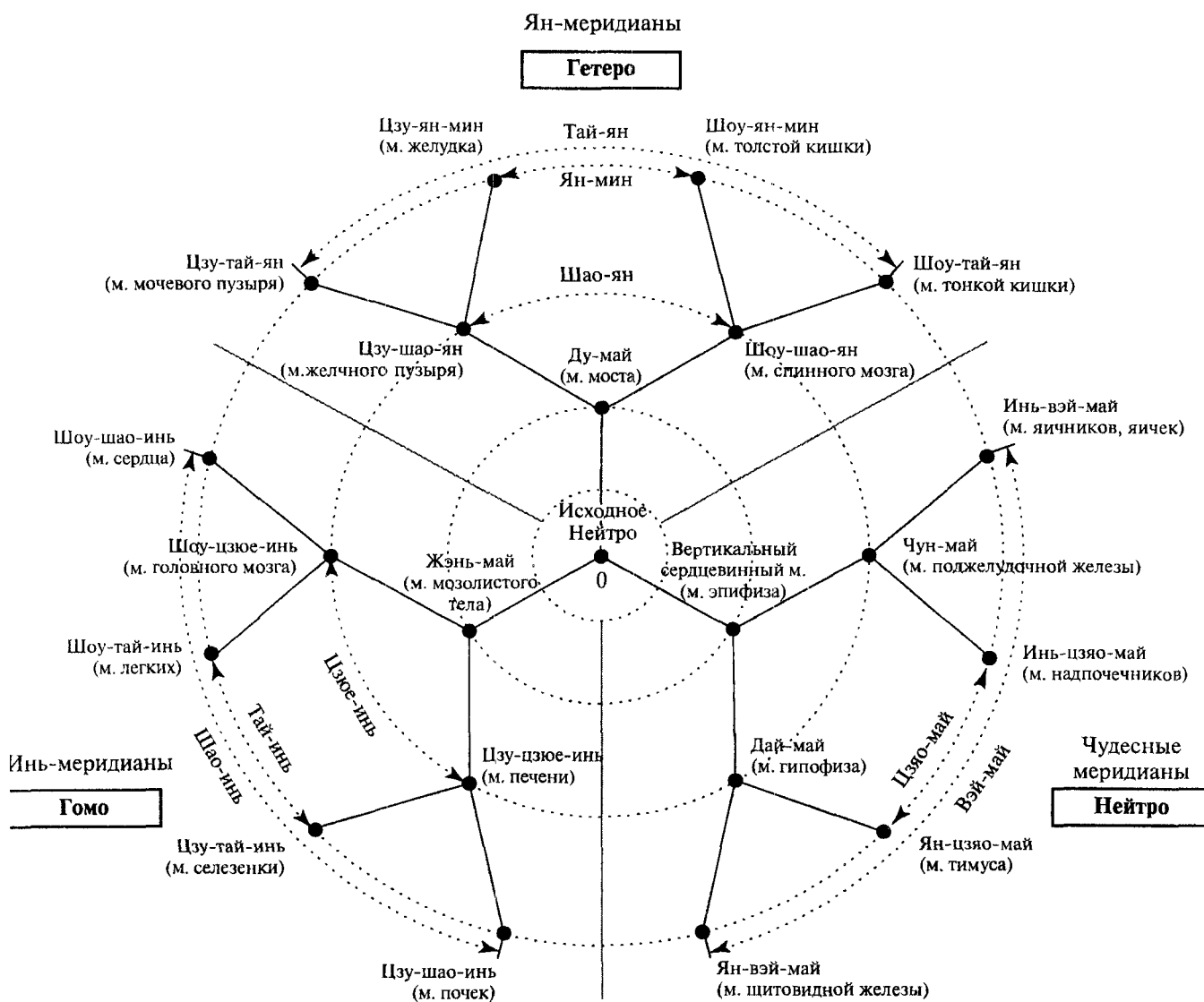


Рис. 79. Тройная Восьминачальная последовательность в китайских представлениях об энергетической системе тела.

Гетеро-силу представляет меридиан управитель, дающий начало А-меридианам тела. Сила Гомо проявляется в меридиане зачатия — родоначальнике всех УМ-меридианов. Точки контакта меридианов управителя и зачатия (Y20 бай-хуэй и X1 хуэй-инь) указывают на существование третьего звена меридианальной системы, расположенного в глубине тела. Это вертикальный сердцевинный меридиан, проходящий вдоль вертикальной оси человеческого тела. Именно от него берет начало система чудесных (АУ) меридианов (рис. 80).

Чудесные меридианы, обладающие Нейтро-свойством непроявленности, не имеют собственных точек и к настоящему времени недостаточно хорошо изучены. Гетеро- и Гомо-меридианы имеют собственные точки и, проявляя полярные свойства, вступают во взаимодействие, образуя А-УМ объединения меридианов.

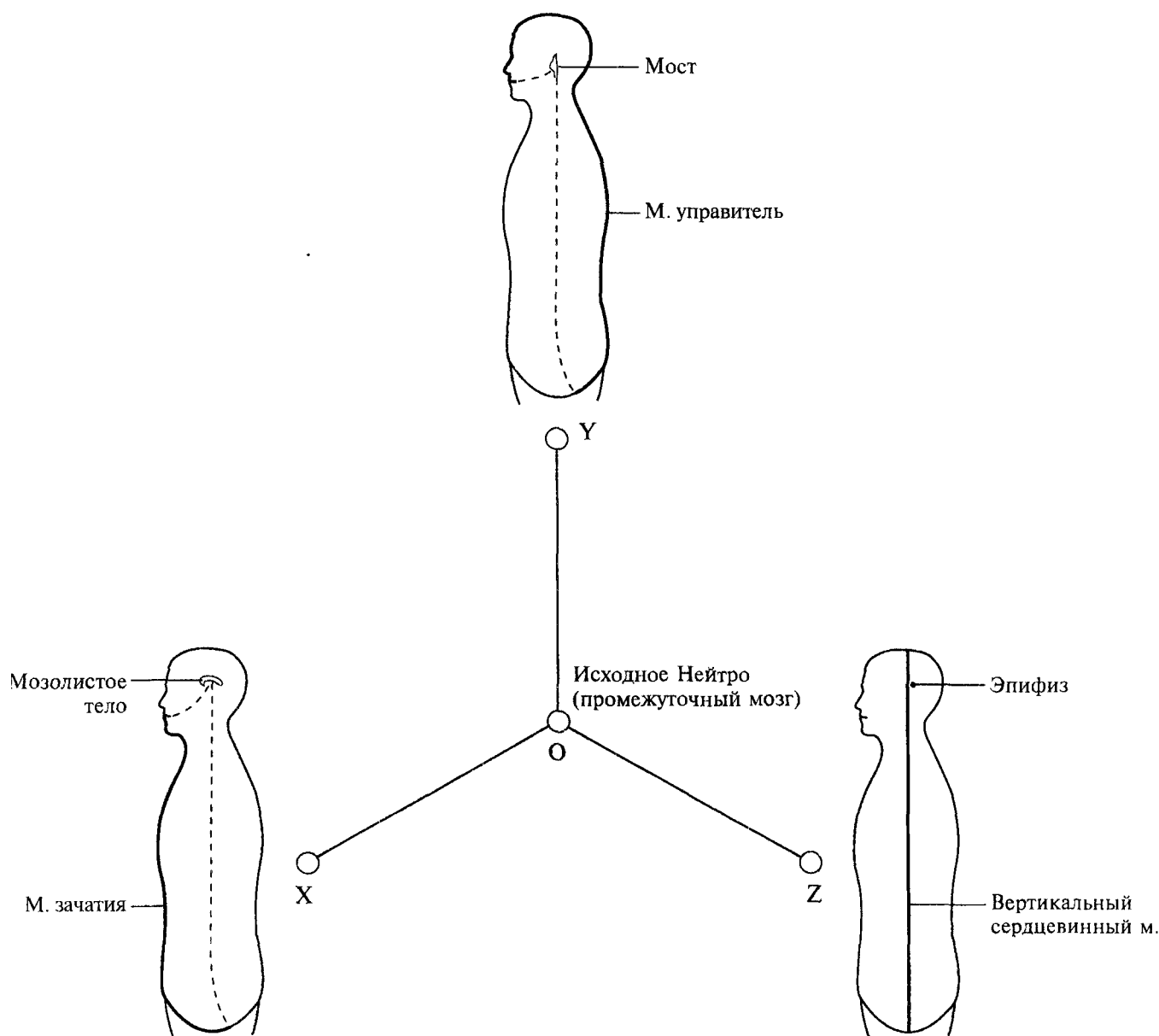
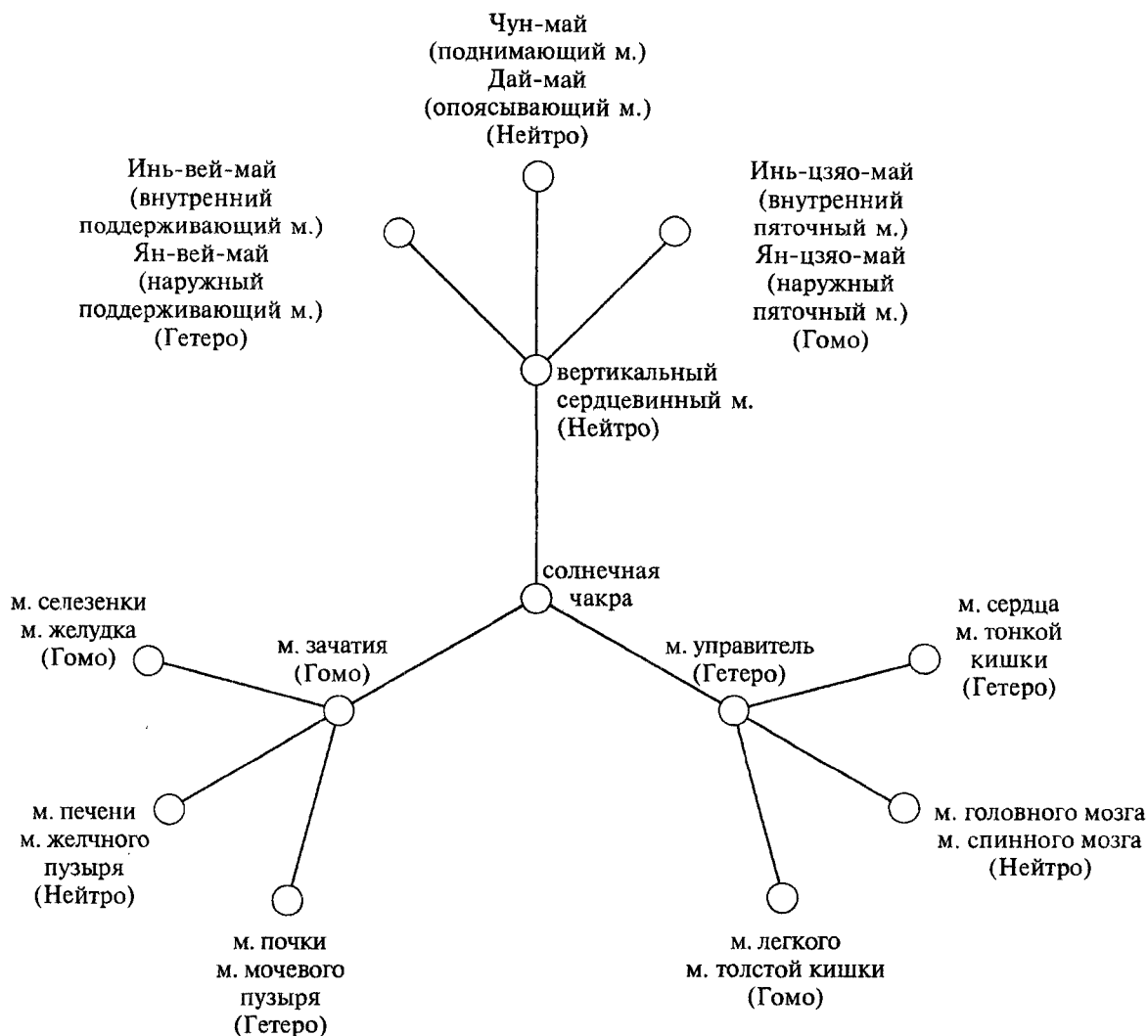


Рис. 80. Меридианы и органы Триначалия.



Солнечная чакра (Нейтро)								
Гомо			Нейтро			Гетеро		
Меридиан зачатия			Вертикальный сердцевинный меридиан			Меридиан управитель		
Гомо	Нейтро	Гетеро	Гомо	Нейтро	Гетеро	Гомо	Нейтро	Гетеро
селезенки	м. печени	м. почки	Инь-цзяо-май	Чун-май	Инь-вей-май	м. легкого	м. головного мозга	м. сердца
желудка	м. желчного пузыря	м. мочевого пузыря	Ян-цзяо-май	Дай-май	Ян-вей-май	м. толстой кишки	м. спинного мозга	м. тонкой кишки

с. 81. Триначная классификация периферических меридианов тела в соответствии с их расположением.

Два типа связи Гетеро и Гомо индивидуальных периферических меридианов с внутренними акрами и соответствующими им Шестью Энергиями представлены на рисунке 82.

Периферические А- и УМ-меридианы образуют шесть парных объединений, три из которых относятся к Гетеро и три — к Гомо. Каждое объединение состоит из двух А- или двух УМ-меридианов (табл. 2).

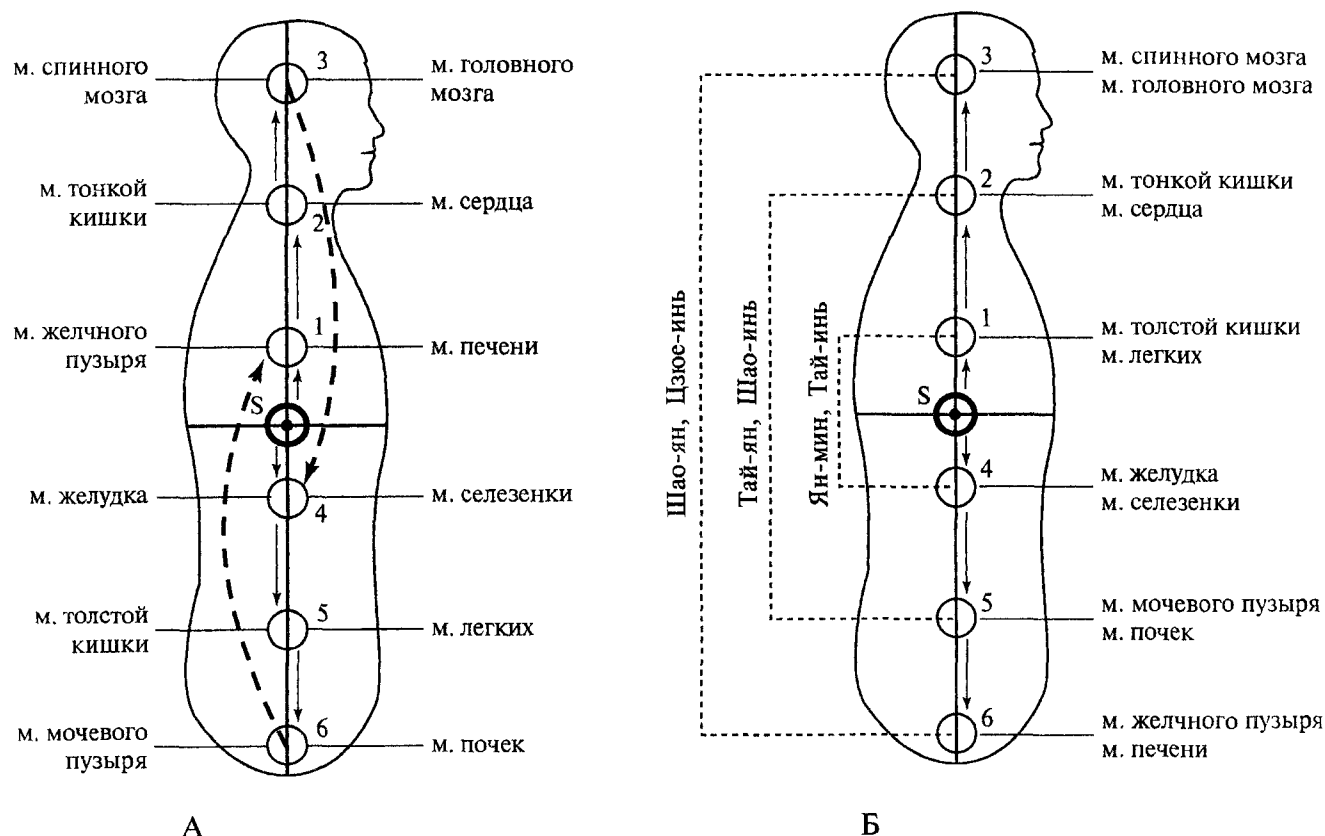


Рис. 82. Два типа соотношения индивидуальных периферических А- и УМ-меридианов с Шестью Энергиями.

А — согласно циркуляции Шести Энергий

Б — согласно расположению меридианов

1 — чакра ветра и связанные с ней меридианы ветра

2 — чакра тепла и связанные с ней меридианы тепла

3 — чакра жара и связанные с ней меридианы жара

4 — чакра влажности и связанные с ней меридианы влажности

5 — чакра сухости и связанные с ней меридианы сухости

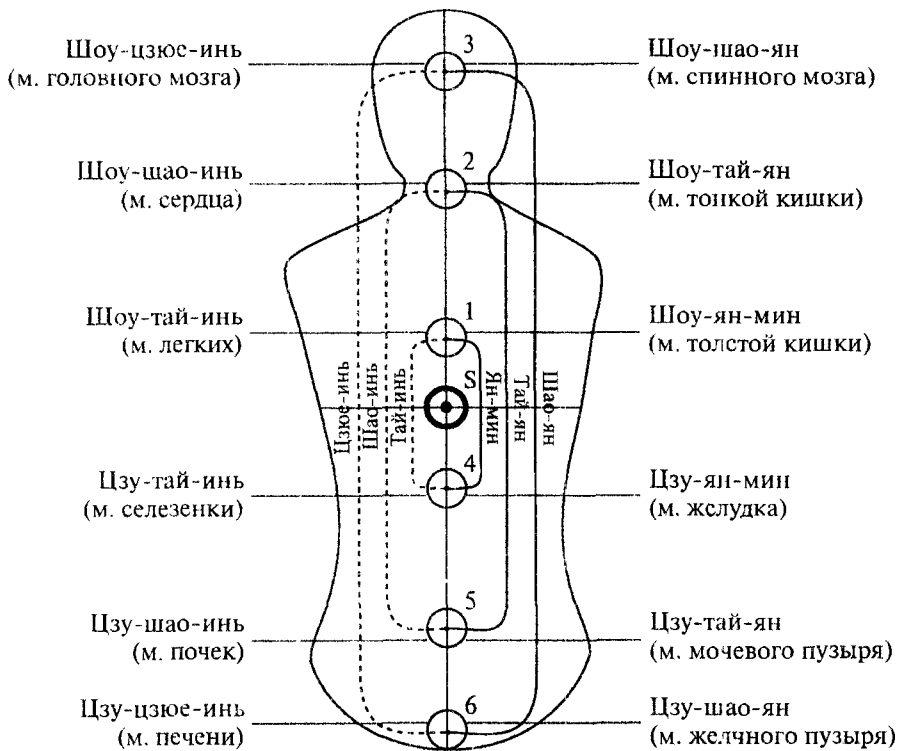
6 — чакра холода и связанные с ней меридианы холода

S — солнечная чакра



блиця 2. Гомо и Гетеро-объединения периферических А- и УМ-меридианов

Гетеро	Шао-ян	1. Шоу-шао-ян (м. спинного мозга) 2. Цзу-шао-ян (м. желчного пузыря)	↔	1. Шоу-цзюе-инь (м. головного мозга) 2. Цзу-цзюе-инь (м. печени)	Цзюе-инь	Гомо
	Тай-ян	1. Шоу-тай-ян (м. тонкой кишки) 2. Цзу-тай-ян (м. мочевого пузыря)	↔	1. Шоу-шао-инь (м. сердца) 2. Цзу-шао-инь (м. почек)	Шао-инь	
	Ян-мин	1. Шоу-ян-мин (м. толстой кишки) 2. Цзу-ян-мин (м. желудка)	↔	1. Шоу-тай-инь (м. легких) 2. Цзу-тай-инь (м. селезенки)	Тай-инь	



ис. 83. Три энергетических круга, образуемых А- и УМ-меридианами.

- 1 — чакра и меридианы ветра
- 2 — чакра и меридианы тепла
- 3 — чакра и меридианы жара
- 4 — чакра и меридианы влажности
- 5 — чакра и меридианы сухости
- 6 — чакра и меридианы холода
- S — солнечная чакра
- — А-меридианы
- - - - - УМ-меридианы

Для обеспечения энергетического равновесия Гомо- и Гетеро-объединения соединяются попарно, образуя три концентрических круга. Формируется единая система двадцати четырех А- и УМ-меридианов тела, состоящая из трех групп по восемь меридианов (рис. 83, 84).

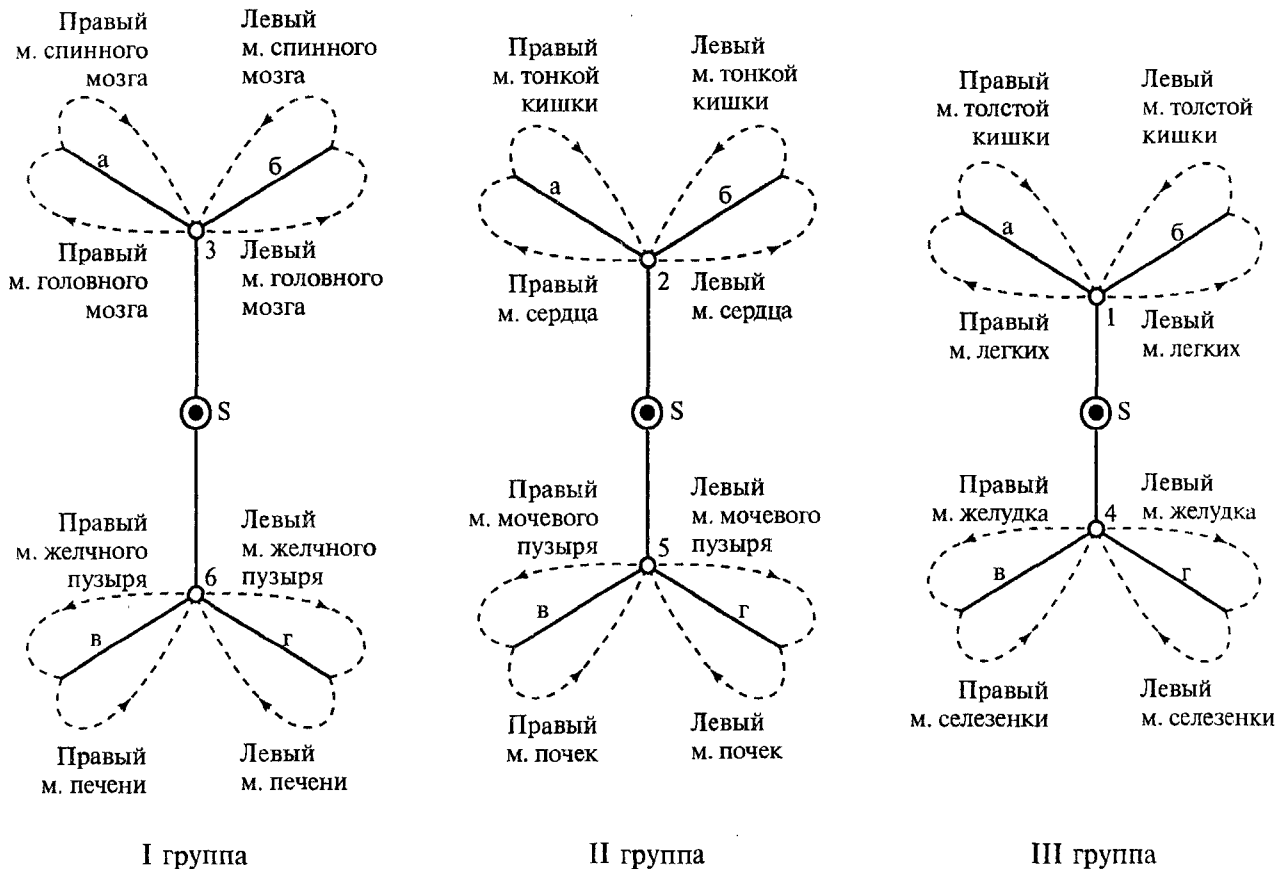


Рис. 84. Три группы индивидуальных периферических А- и УМ-меридианов.

- 1 — чакра и меридианы ветра
- 2 — чакра и меридианы тепла
- 3 — чакра и меридианы жара
- 4 — чакра и меридианы влажности
- 5 — чакра и меридианы сухости
- 6 — чакра и меридианы холода
- S — солнечная чакра
- a — вертикальный сердцевинный меридиан правой руки
- б — вертикальный сердцевинный меридиан левой руки
- в — вертикальный сердцевинный меридиан правой ноги
- г — вертикальный сердцевинный меридиан левой ноги

В атласе названия периферических меридианов и их точек даются с индексами, принятыми в Оннури медицине. В скобках указываются названия меридианов в русской транскрипции древнекитайского, китайского названий, а также французский, английский и немецкий индексы меридианов по международным классификациям. Названия точек даются в русской транскрипции их китайских названий.

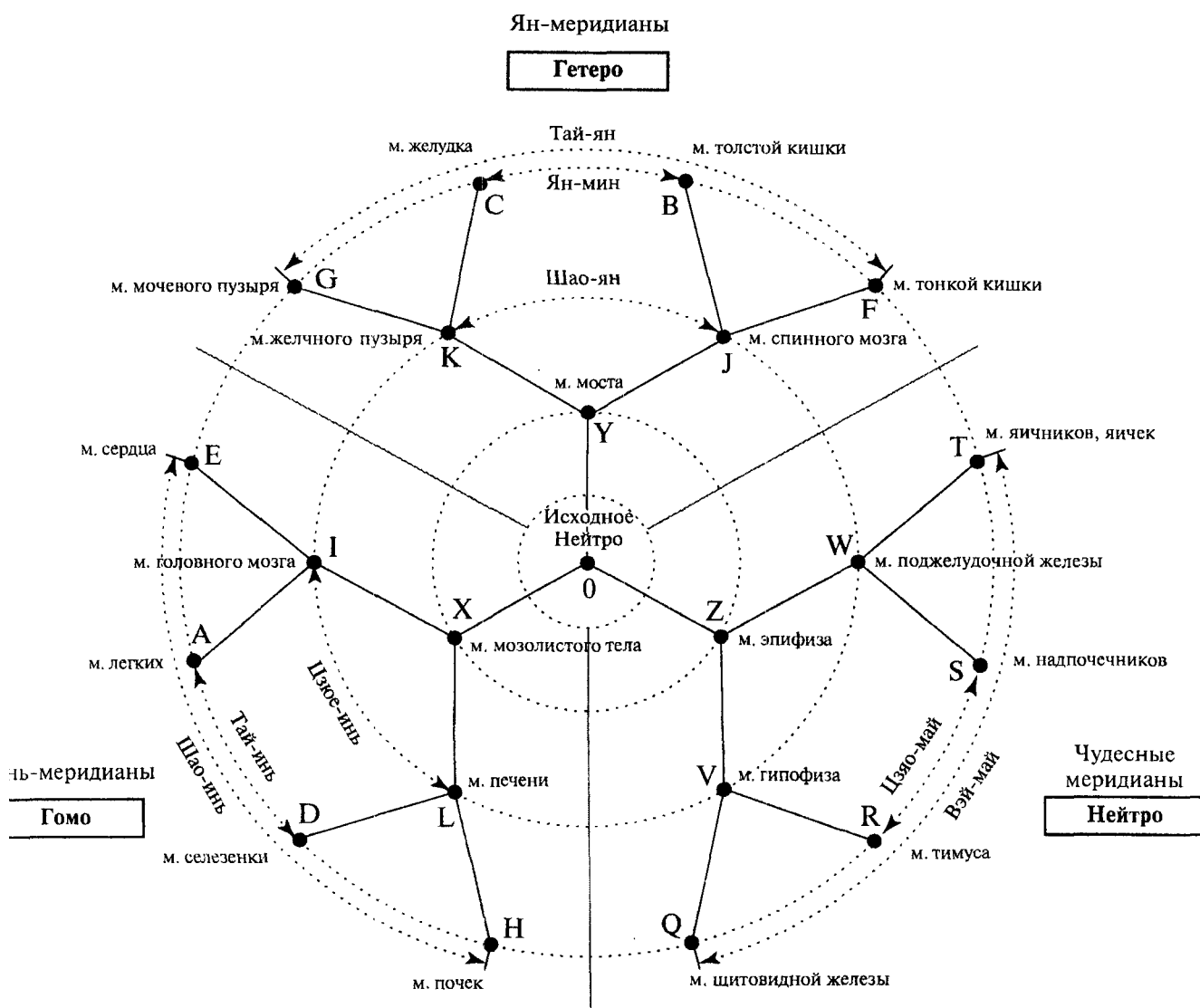


рис. 85. Система обозначений периферических меридианов.

## 2.1. Периферические А-меридианы

### У. Заднесрединный меридиан (дог-мэ, ду-май, VG, GV, TM)

Наружный ход заднесрединного меридиана (рис. 86) начинается в промежности на середине расстояния от заднего прохода до копчика, проходит по средней линии спины, шеи до затылка, идет по средней линии головы, лба, носа и заканчивается в середине уздечки верхней губы.

Считается, что заднесрединный меридиан контролирует все Ян-меридианы, являясь «морем всех Ян-меридианов»; точка У1 чан-цян — общий ло-пункт всех Ян-меридианов. Заднесрединный меридиан относится к постоянным меридианам, но при возникновении в организме хронического патологического процесса, когда система регуляции в нескольких постоянных меридианах «не справляется», заднесрединный меридиан превращается в один из чудесных меридианов (ЧМ1 ду-май), обеспечивая новый уровень связей целостного организма.

На заднесрединном меридиане 28 точек.

#### У1 чан-цян

Расположение: на середине расстояния между копчиком и задним проходом.

#### У2 яо-шу

Расположение: над крестцово-копчиковым сочленением.

#### У3 яо-ян-гуань

Расположение: между остистыми отростками IV и V поясничных позвонков.

#### У4 мин-мэнь

Расположение: между остистыми отростками II и III поясничных позвонков.

#### У5 сюань-шу

Расположение: между остистыми отростками I и II поясничных позвонков.

#### У6 цзи-чжун

Расположение: между остистыми отростками XI и XII грудных позвонков.

#### У7 чжун-шу

Расположение: между остистыми отростками X и XI грудных позвонков.

#### У8(7) цзинь-со

Расположение: между остистыми отростками IX и X грудных позвонков.

#### У9(8) чжи-ян

Расположение: между остистыми отростками VII и VIII грудных позвонков.

#### У10(9) лин-тай

Расположение: между остистыми отростками VI и VII грудных позвонков.

#### У11(10) шэнь-дао

Расположение: между остистыми отростками V и VI грудных позвонков.

#### У12(11) шэнь-чжу

Расположение: между остистыми отростками III и IV грудных позвонков.

#### У13(12) тао-дао

Расположение: между остистыми отростками I и II грудных позвонков.

#### У14(13) да-чжуй

Расположение: между остистыми отростками VII шейного и I грудного позвонков.

#### У15(14) я-мэнь

Расположение: между I и II шейными позвонками, выше задней границы роста волос на 0,5 цуня.

#### У16(15) фэн-фу

Расположение: между затылочной костью и I шейным позвонком, выше задней границы роста волос на 1 цунь.

#### У17(16) нао-ху

Расположение: на средней линии головы, на верхнем крае затылочного бугра, выше начала задней границы роста волос на 2,5 цуня (выше точки У16 фэн-фу на 1,5 цуня).

#### У18(17) цян-цзянь

Расположение: на средней линии головы, выше задней границы роста волос на 4 цуня (выше точки У17 нао-ху на 1,5 цуня).

#### У19(18) хоу-дин

Расположение: на средней линии головы, выше задней границы роста волос на 5,5 цуней (на 1,5 цуня выше точки У18 цян-цзянь).

#### У20(19) бай-хуэй

Расположение: на средней линии головы, выше задней границы роста волос на 7 цуней и передней границы роста волос на 5 цуней.

#### У21(20) цян-дин

Расположение: на средней линии головы, выше перенося на 6 цуней (кпереди от точки У20 бай-хуэй на 1,5 цуня) и выше задней границы роста волос на 8 цуней.

#### У22(21) синь-хуэй

Расположение: на средней линии головы, выше передней границы роста волос на 2 цуня.

#### У23(22) шан-син

Расположение: на средней линии головы, выше передней границы роста волос на 1 цунь.

#### У24(23) шэнь-тин

Расположение: на средней линии головы, выше передней границы роста волос на 0,5 цуня.

#### У25(24) су-ляо

Расположение: в центре кончика носа.

#### У26(25) жэнь-чжун

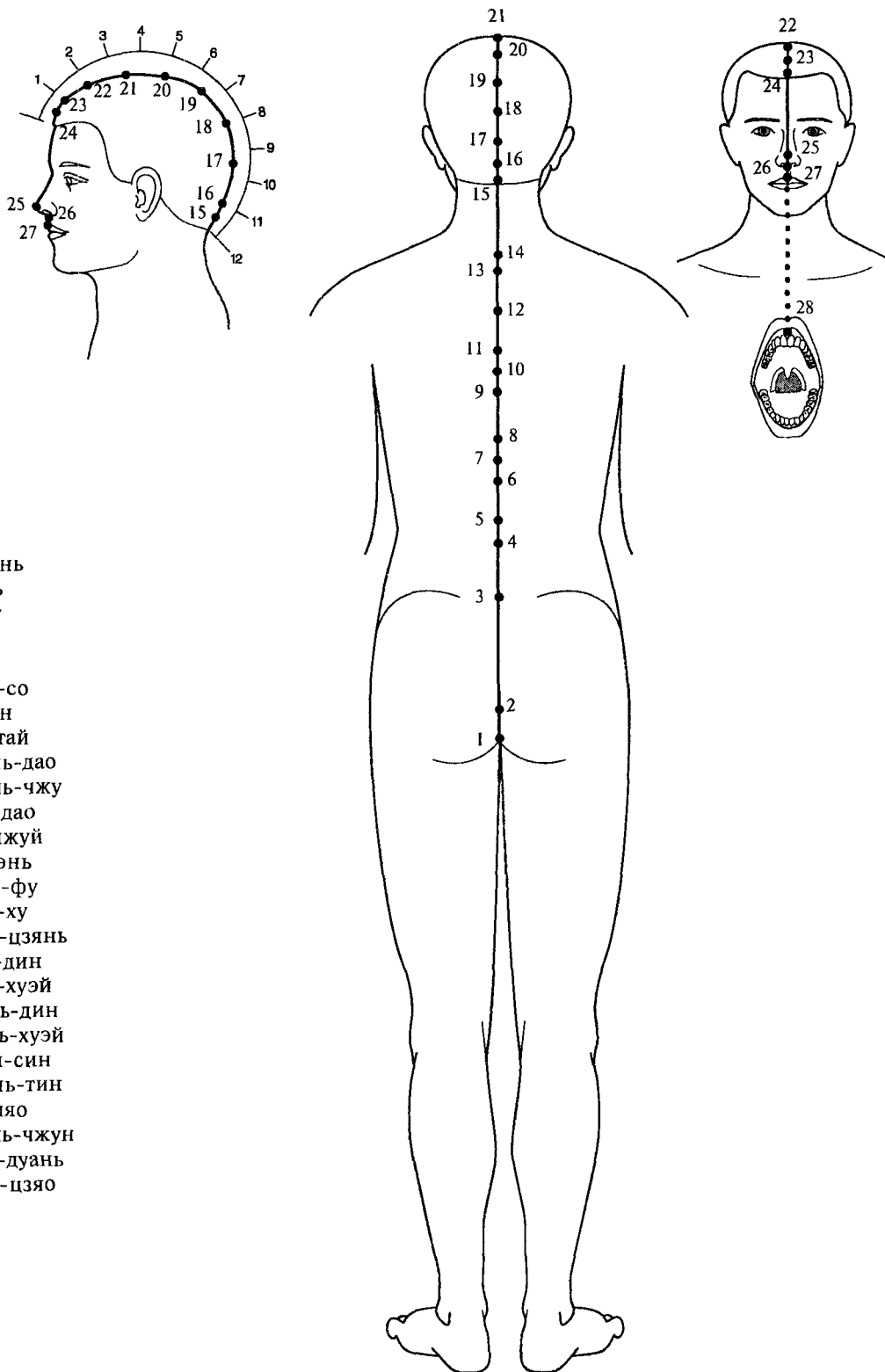
Расположение: под носовой перегородкой, в верхней трети вертикальной борозды верхней губы.

#### У27(26) дуй-дуань

Расположение: в центре верхней губы, в месте перехода кожи в слизистую оболочку.

#### У28(27) инь-цзяо

Расположение: на границе перехода слизистой оболочки верхней губы в десну, т.е. на уздечке верхней губы.



- Y1 чан-цян
- Y2 яо-шу
- Y3 яо-ян-гуань
- Y4 мин-мэнь
- Y5 сюань-шу
- Y6 цзи-чжун
- Y7 чжун-шу
- Y8(7) цзинь-со
- Y9(8) чжи-ян
- Y10(9) лин-тай
- Y11(10) шэнь-дао
- Y12(11) шэнь-чжу
- Y13(12) тао-дао
- Y14(13) да-чжуй
- Y15(14) я-мэнь
- Y16(15) фэн-фу
- Y17(16) нао-ху
- Y18(17) цян-цзянь
- Y19(18) хоу-дин
- Y20(19) бай-хуэй
- Y21(20) цян-дин
- Y22(21) синь-хуэй
- Y23(22) шан-син
- Y24(23) шэнь-тин
- Y25(24) су-ляо
- Y26(25) жэнь-чжун
- Y27(26) дуй-дуань
- Y28(27) инь-цзяо

ис. 86. Заднесрединный меридиан — меридиан управитель (Y)  
 Меридиан непарный, относится к системе Ян, контролирует Ян-меридианы тела.

### К. Меридиан желчного пузыря (джок-со-ян, цзу-шао-ян, VB, GB, G)

Наружный ход меридиана желчного пузыря (рис. 87) начинается от наружного угла глаза, образует сложную траекторию на боковой стороне волосистой части головы, щеке; от угла глаза проходит к козелку уха (немного ниже), затем поднимается к виску и снова идет кшной раковине, огибает ее с задней стороны, подходит к сосцевидному отростку, отсюда поднимается по волосистой части головы к углу лба и к брови, снова возвращается к затылочной области. От затылка меридиан идет по заднебоковой стороне шеи, пересекает трапецевидную мышцу, в точке К21 цзянь-цзин соприкасается с меридианом трех обогревателей, подходит к точке Y14 да-чжуй, где контактирует со всеми янскими меридианами. В точках G11 да-чжу, F12 бин-фэн и C12 цюэ-пэн соприкасается с соответствующими меридианами. Далее наружный ход огибает плечевой сустав спереди, идет в подмышечную область и в виде изломанной линии проходит боковую часть грудной клетки и туловища, проходит через верхнюю переднюю ость подвздошной кости, переходит на бедро. Идет по наружной поверхности бедра, голени к латеральной лодыжке, по тыльной стороне стопы доходит до ногтевого ложа IV пальца.

Нижнее ответвление меридиана, начинаясь от точки К41 цзу-линь-ци, подходит к I пальцу, где связывается с меридианом печени. Верхнее ответвление от точки К20 фэн-чи идет к точкам J17 и-фэн, F19 тин-гун, C1 чэн-ци, связываясь с соответствующими меридианами.

На меридиане 44 точки.

#### К1 тун-цзы-ляо

Расположение: на 0,5 см кнаружи от наружного угла глаза.

#### К2 тин-хуэй

Расположение: впереди и книзу от козелка уха, где пальпируется углубление.

#### К3 шан-гуань

Расположение: в центральной части верхнего края скуловой дуги.

#### К4 хань-янь

Расположение: выше и кзади от начала волосистой части виска на 1,5 см, но немного ниже угла лба (и точки C8 тоу-вэй).

#### К5 сюань-лу

Расположение: ниже точки К4 хань-янь на 1,5 см и кзади от нее на 0,3 см.

#### К6 сюань-ли

Расположение: на уровне горизонтали, проведенной через верхний крайшной раковины, и на 1,2 см впереди от вертикали, проведенной через передний край уха.

#### К7 цюй-бинь

Расположение: на пересечении горизонтали, проходящей над верхним краемшной раковины, и вертикали, проведенной через передний крайшной раковины.

#### К8 шуай-гу

Расположение: выше верхнего краяшной раковины на 1,5 цуня, немного кзади от точки К7 цюй-бинь.

#### К9 тянь-чун

Расположение: выше верхнего краяшной раковины на 2 цуня и кзади от точки К8 шуай-гу на 0,5 цуня, на вертикали, проведенной через центр сосцевидного отростка.

#### К10 фу-бай

Расположение: выше центра сосцевидного отростка на 1 цунь и ниже точки К9 тянь-чун на 1 цунь.

#### К11 тоу-цяо-инь

Расположение: у основания сосцевидного отростка, на уровне горизонтали, проведенной через верхний край отверстия наружного слухового прохода, ниже точки К10 фу-бай на 1 цунь.

#### К12 вань-гу

Расположение: у заднего края сосцевидного отростка на горизонтальной линии, проведенной выше задней границы роста волос на 0,5 см.

#### К13 бэнь-шэнь

Расположение: в сторону от средней линии головы (на уровне точки Y24 шэнь-тин) на 3 цуня, на вертикальной линии, поднимающейся от наружного угла глаза.

#### К14 ян-бай

Расположение: выше середины брови на 1 цунь, перпендикулярно выше зрачка прямо смотрящего глаза.

#### К15 тоу-лин-ци

Расположение: выше передней границы роста волос на 0,5 цуня, на вертикальной линии, идущей через зрачок прямо смотрящего глаза.

#### К16 му-чуан

Расположение: кзади от точки К15 тоу-лин-ци на 1,5 цуня.

#### К17 чжэн-ин

Расположение: выше передней границы роста волос на 3,5 цуня



- 1 тун-цзы-ляо
- 2 тин-хуэй
- 3 шан-гуань
- 4 хань-янь
- 5 сюань-лу
- 6 сюань-ли
- 7 цюй-бинь
- 8 шуай-гу
- 9 тянь-чун
- 10 фу-бай
- 11 тоу-цяо-инь
- 12 вань-гу
- 13 бэнь-шэнь
- 14 ян-бай
- 15 тоу-лин-ци
- 16 му-чуан
- 17 чжэн-ин
- 18 чэн-лин
- 19 нао-кун
- 20 фэн-чи
- 21 цзянь-цзин
- 22 юань-е
- 23 чжэ-цзинь
- 24 жи-юе
- 25 цзин-мэнь
- 26 дай-май
- 27 у-шу
- 28 вэй-дао
- 29 цзюй-ляо
- 30 хуань-тяо
- 31 фэн-ши
- 32 чжун-ду
- 33 цзу-ян-гуань
- 34 ян-лин-цюань
- 35 ян-цзяо
- 36 вай-цю
- 37 гуан-мин
- 38 ян-фу
- 39 сюань-чжун
- 40 цю-суй
- 41 цзу-лин-ци
- 42 ди-у-хуэй
- 43 ся-си
- 44 цзу-сяо-инь

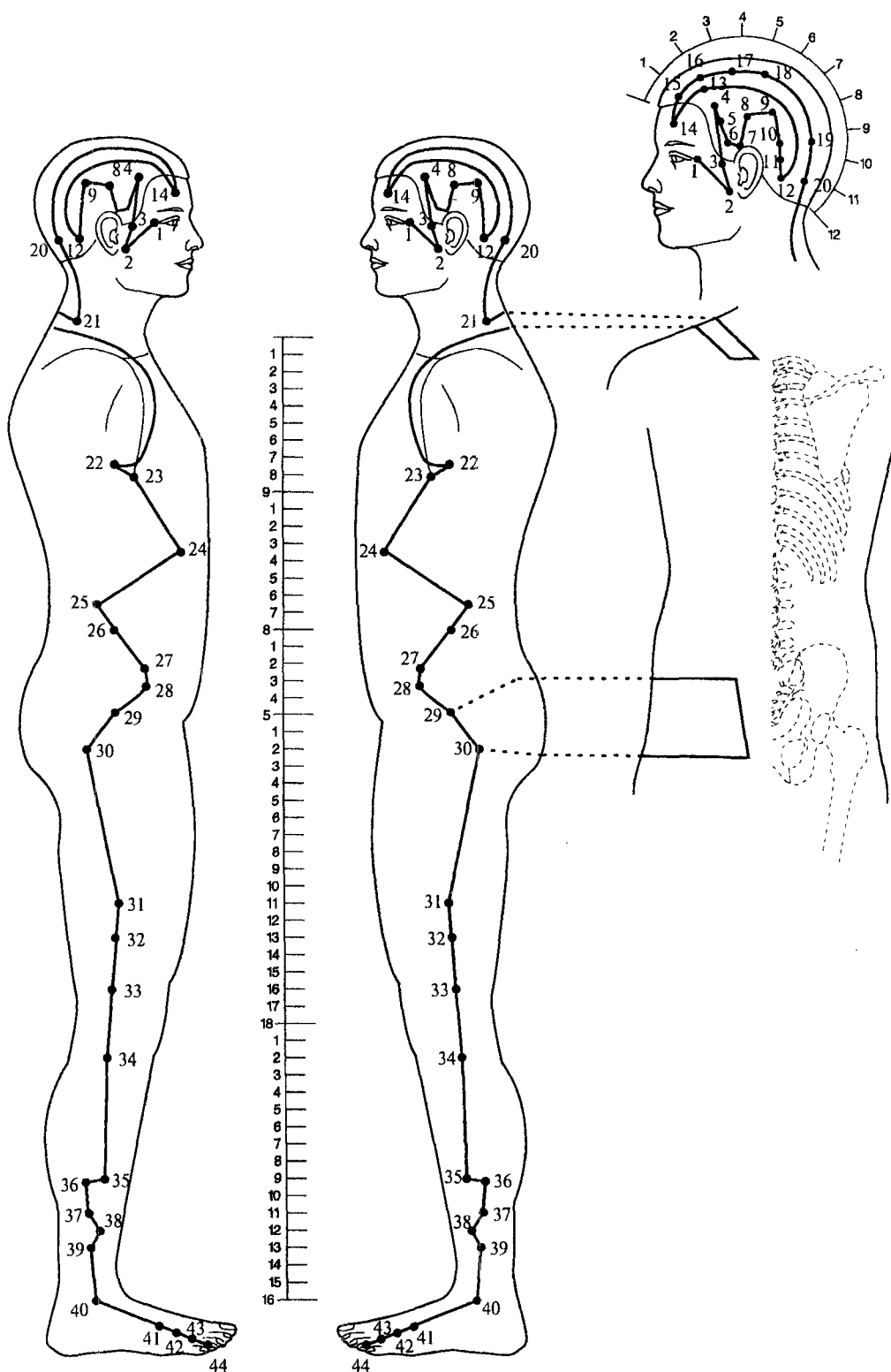


рис. 87. Меридиан желчного пузыря (К).

Меридиан ножной, парный, симметричный и центробежный, относится к системе Ян. В нем циркулирует энергия А-ветра на уровне витальных энергий, энергия А-гнева на эмоциональном уровне и энергия А-оригинальности на ментальном уровне. Получает энергию от меридиана спинного мозга и передает меридиану печени. Период максимальной активности меридиана желчного пузыря от 23 до 1 часа.

выше точки K15 тоу-лин-ци на 3 цуня) и кзади от точки K16 му-уан на 1,5 цуня.

**18 чэн-лин**

Расположение: в области теменно-бугра, кзади от точки K15 тоу-ин-ци на 4,5 цуня и от точки K17 жэн-ин на 1,5 цуня, на одной линии с точкой Y20 бай-хуэй.

**19 нао-кун**

Расположение: снаружи от верхней границы затылочного бугра (и точки Y17 нао-ху) на 2 цуня и выше нижней границы затылочной кости (и точки K20 фэн-чи) на 1,5 цуня.

**20 фэн-чи**

Расположение: под затылочной костью, выше задней границы роста волос на 1 цунь, в ямке у наружного края трапециевидной мышцы, где пальпируется углубление.

**21 цзянь-цзин**

Расположение: на середине расстояния от средней линии спины, на ровне промежутка между остистыми отростками VII шейного и I грудного позвонков (точка Y14 да-жуй), до бугра плечевой кости (точка B15 цзянь-юй).

**22 юань-е**

Расположение: в четвертом межреберье, на средней подмышечной линии.

**23 чжэ-цзинь**

Расположение: в четвертом межреберье, ниже подмышечной впадины на 3 цуня и кпереди от средней подмышечной линии на 1 цунь.

**24 жи-юе**

Расположение: в седьмом межреберье (ниже точки L14 ци-мэнь на дно ребро).

**25 цзин-мэнь**

Расположение: на боковой поверхности живота, у свободного конца III ребра.

**26 дай-май**

Расположение: на горизонтальной линии, проведенной от пупка, чуть ниже свободного конца XI ребра.

**K27 у-шу**

Расположение: ниже уровня пупка и ниже свободного края XI ребра (ниже точки K26 дай-май) на 3 цуня.

**K28 вэй-дао**

Расположение: кпереди от гребня подвздошной кости, ниже точки K27 у-шу на 0,5 цуня.

**K29 цзюй-ляо**

Расположение: сверху бедра, во впадине ниже передней ости подвздошной кости, на 3 цуня ниже точки K28 вэй-дао.

**K30 хуань-тяо**

Расположение: на ягодице, кзади от тазобедренного сустава.

**K31 фэн-ши**

Расположение: на наружной поверхности бедра, выше нижнего края коленной чашечки на 7 цуней.

**K32 чжун-ду**

Расположение: на наружной поверхности бедра, на 5 цуней выше нижнего края коленной чашечки (латерального конца подколенной складки).

**K33 цзу-ян-гуань**

Расположение: на латеральной поверхности коленного сустава, кзади от латерального надмышечка бедренной кости, между двумя сухожилиями, где пальпируется углубление.

**K34 ян-линь-цюань**

Расположение: во впадине у переднего края головки малоберцовой кости, ниже нижнего края коленной чашечки на 2 цуня.

**K35 ян-цзяо**

Расположение: на переднебоковой поверхности голени, выше центра латеральной лодыжки на 7 цуней.

**K36 вай-цю**

Расположение: на боковой поверхности голени, вертикально выше центра латеральной лодыжки на 7 цуней, на одном уровне, но несколько кзади от точки K35 ян-цзяо.

**K37 гуань-мин**

Расположение: на боковой поверхности голени, ниже точки K35 ян-цзяо, выше центра латеральной лодыжки на 5 цуней.

**K38 ян-фу**

Расположение: выше центра латеральной лодыжки на 4 цуня и кпереди на 1 см.

**K39 сюань-чжун**

Расположение: перпендикулярно выше центра латеральной лодыжки на 3 цуня.

**K40 цю-сюй**

Расположение: чуть кпереди от латеральной лодыжки.

**K41 цзу-линь-ци**

Расположение: в середине латеральной стороны стопы, в задней части щели между IV и V плюсневых костями, где пальпируется впадина.

**K42 ди-у-хуэй**

Расположение: на латеральной стороне стопы, в передней части щели между IV и V плюсневых костями, где пальпируется впадина.

**K43 ся-си**

Расположение: у межпальцевой складки IV и V пальцев стопы.

**K44 цзу-сяо-инь**

Расположение: снаружи от корня ногтя IV пальца стопы на 0,3 см.



### *Ф. Меридиан тонкой кишки (су-тэ-ян, шоу-тай-ян, IG, SI, Du)*

Наружный ход меридиана тонкой кишки (рис. 88) начинается на локтевой стороне руки у локтевого ложа V пальца (здесь он соединяется с меридианом сердца), проходит по тыльно-локтевой стороне кисти, задней стороне предплечья, наружнозадней поверхности плеча, идет к акромиальному отростку лопатки, лопаточной ости, подходит к заднесрединному меридиану, а в точке Y14 да-чжуй соприкасается с одноименным меридианом противоположной стороны. Далее меридиан проходит через точку C12 цюэ-пэнь в надключичной ямке, подходит к середине грудино-ключично-сосцевидной мышцы, поднимается на шею, сзади угла нижней челюсти идет к скуловой дуге, козелку уха, где и заканчивается. Ответвление наружного хода идет по нижнему краю глазницы к внутреннему углу глаза, где соединяется с меридианом мочевого пузыря.

На меридиане 19 точек.

#### **шао-цзэ**

Расположение: на 0,3 см от угла локтевого ложа V пальца руки с тыльной стороны кисти.

#### **цзянь-гу**

Расположение: дистальнее от V стно-фалангового сустава с локтевой стороны.

#### **хоу-си**

Расположение: в углублении проксимальнее V пястно-фалангового сустава с локтевой стороны кисти.

#### **вань-гу**

Расположение: во впадине между основанием V пястной кости и трехгранной костью с локтевой стороны кисти.

#### **ян-гу**

Расположение: на локтевой стороне лучезапястного сустава, во впадине между шиловидным отростком локтевой кости и трехгранной костью, на конце складки лучезапястного сустава.

#### **ян-лао**

Расположение: над головкой локтевой кости, выше точки F5 ян-гу на 1 цунь.

#### **чжи-чжэнь**

Расположение: на тыльной поверхности предплечья, выше лучезапястного сустава на 5 цуней.

#### **сяо-хай**

Расположение: в локтевой бороздке между медиальным надмыщел-

ком плечевой кости и отростком локтевой кости.

#### **F9 цзянь-чжэнь**

Расположение: сзади и дистальнее плечевого сустава, между плечевой костью и лопаткой, выше заднего конца подмышечной складки на 1 цунь.

#### **F10 нао-шу**

Расположение: сзади от плечевого сустава, у наружного края лопатки, ниже акромиального отростка, где пальпируется углубление.

#### **F11 тянь-цзун**

Расположение: ниже середины лопатки, под ее остью, в центре подостной ямки.

#### **F12 бин-фэн**

Расположение: в надостной ямке, в середине ости лопатки, где при поднятой руке прощупывается впадина.

#### **F13 цюй-юань**

Расположение: у верхней стороны середины ости лопатки, кнутри от точки F12 бин-фэн на 1,5 цуня, где при надавливании проявляется ломящая боль.

#### **F14 цзянь-вай-шу**

Расположение: у внутреннего края лопатки, в сторону от позвоночника на 3 цуня, на горизонтальной линии, проходящей через остистый отросток I грудного позвонка.

#### **F15 цзянь-чжун-шу**

Расположение: у внутреннего края лопатки, на 2 цуня в сторону от позвоночника, на горизонтальной линии, проходящей между остистыми отростками VII шейного и I грудного позвонков.

#### **F16 тянь-чуан**

Расположение: на шее у заднего края средней части грудино-ключично-сосцевидной мышцы, сзади от места, где пальпируется пульсация артерии.

#### **F17 тянь-жун**

Расположение: ниже основания мочки уха, в ямке между передним краем грудино-ключично-сосцевидной мышцы и углом нижней челюсти.

#### **F18 цюань-ляо**

Расположение: во впадине у нижнего края скуловой кости, вертикально ниже наружного угла глаза.

#### **F19 тин-гун**

Расположение: между козелком уха и нижнечелюстным суставом, где при открытии рта пальпируется углубление.

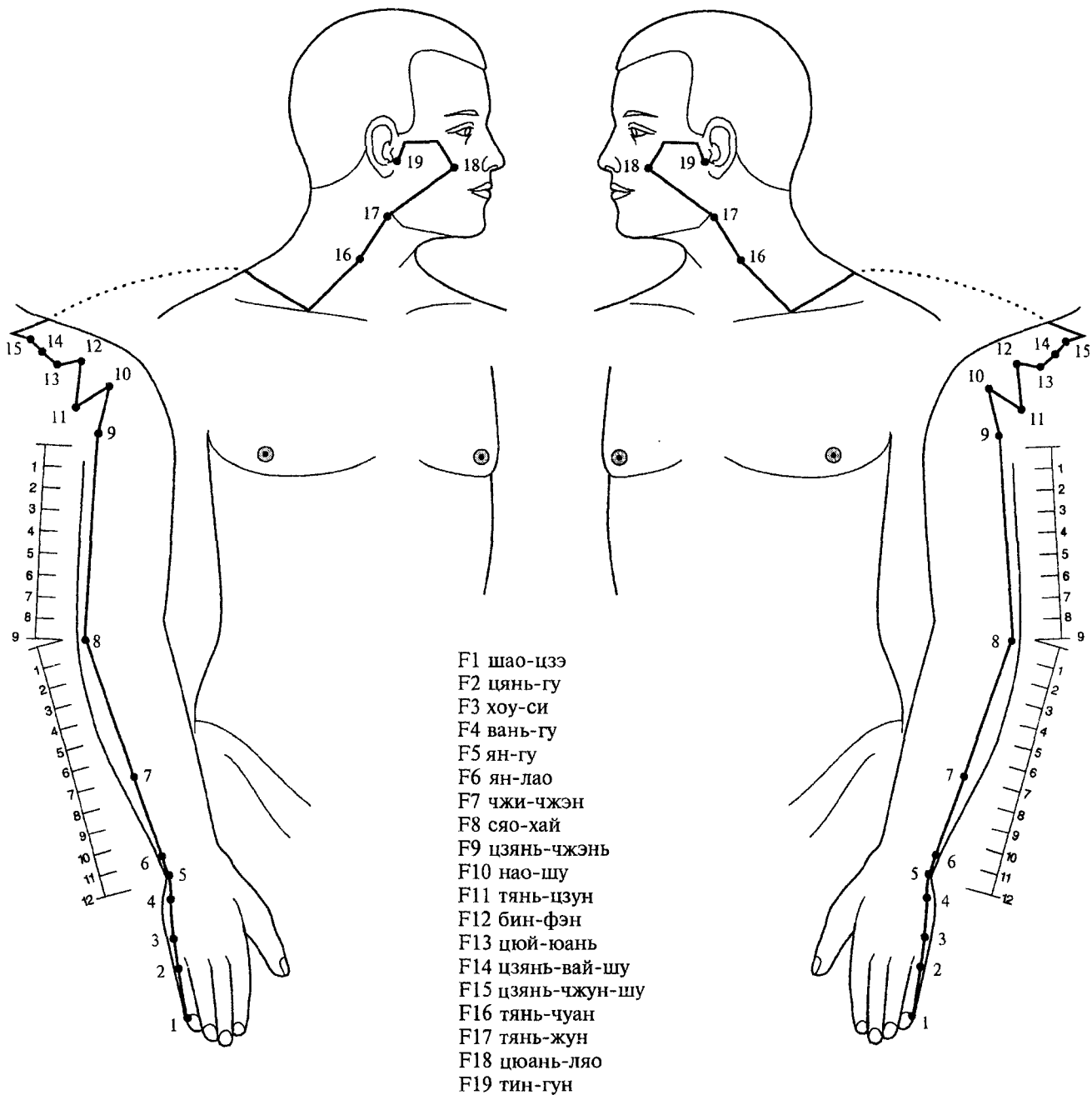


Рис. 88. Меридиан тонкой кишки (F).

Меридиан ручной, парный, симметричный и центростремительный, относится к системе Ян.

В меридиане тонкой кишки циркулирует энергия А-тепла на уровне витальных энергий, А-радости на эмоциональном уровне и А-желания на ментальном уровне. Получает энергию от меридиана сердца и передает в меридиан мочевого пузыря. Период максимальной активности меридиана тонкой кишки от 13 до 15 часов.

### *Ж. Меридиан спинного мозга (трех обогревателей) (су-со-ян, шоу-шао-ян, TR, TW или TH, ЗЕ)*

Наружный ход меридиана спинного мозга (рис. 89) начинается от ногтевой фаланги IV пальца руки, поднимается по тыльносрединной линии кисти, идет через лучезапястный сустав, по тыльной стороне предплечья между лучевой и локтевой костями, по задней поверхности плеча, посередине трехглавой мышцы, по задней поверхности дельтовидной мышцы, пересекает акромиальный отросток лопатки, в точке К21 цзянь-цзин контактирует с меридианом желчного пузыря. Огибает трапециевидную мышцу, подходит к точке С12 цюэ-пэнь надключичной ямке. Отсюда снова идет на спину к точке Y14 да-чжуй, где соприкасается со всеми янскими меридианами; идет по шее к сосцевидному отростку, входит в ухо (точка 18 ци-май), затем выходит из него (точка J21 эр-мэнь), подходит к скуловой кости и заканчивается у наружного края брови в точке J23 сы-чжу-кун.

Одно ответвление меридиана огибает ушную раковину сзади, подходит к уровню озелка уха и заканчивается у нижнего края глазницы; второе ответвление, начинаясь от точки J23 сы-чжу-кун, связывается в точке К1 тун-цзы-ляо с меридианом желчного пузыря.

На меридиане 23 точки.

#### **1 гуань-чун**

Расположение: на локтевой стороне IV пальца на 0,3 см от ногтевой ложа.

#### **2 е-мэнь**

Расположение: во впадине между пястно-фаланговыми суставами IV и V пальцев.

#### **3 чжун-чжу**

Расположение: во впадине между V и IV пястными костями, проксимальнее IV пястно-фалангового сустава.

#### **4 ян-чи**

Расположение: на тыльной поверхности лучезапястного сустава, ближе к локтевой стороне, соответственно расположению IV пальца.

#### **15 вай-гуань**

Расположение: на тыльной поверхности предплечья, выше проксимальной лучезапястной складки сустава на 2 цуня.

#### **16 чжи-гоу**

Расположение: на тыльной поверхности предплечья в межкостном углублении, выше складки лучезапястного сустава на 3 цуня.

#### **17 хуэй-цзун**

Расположение: на тыльной поверхности предплечья, выше складки лучезапястного сустава на 3 цуня, на уровне точки J6 чжи-гоу, но в локтевую сторону от нее на один поперечный палец.

#### **18 сань-ян-ло**

Расположение: на тыльной поверхности предплечья, во впадине между костями, выше лучезапястной складки на 4 цуня.

#### **19 сы-ду**

Расположение: на тыльной поверхности предплечья, ниже локтевого отростка на 5 цуней, в углублении между костями, выше тыльной складки лучезапястного сустава на 7,5 цуней.

#### **110 тянь-цзин**

Расположение: на задней поверхности плеча, выше локтевого отростка на 1 цунь.

#### **111 цин-лэн-юань**

Расположение: на задней поверхности плеча, выше кончика локтевого отростка на 2 цуня.

#### **112 сяо-лэ**

Расположение: на задней поверхности плеча, выше локтевого отростка на 5 цуней.

#### **113 нао-хуэй**

Расположение: на задней поверхности плеча, на уровне нижнего края подмышечной впадины, книзу и кзади от большого бугра плечевой кости.

#### **114 цзянь-ляо**

Расположение: на задней поверхности плечевого сустава, сзади и ниже акромиального отростка лопатки, или на 1 цунь ближе к позвоночнику от углубления, образующегося при поднимании руки, где находится точка В15 цзянь-юй; вертикально выше точки J13 нао-хуэй на 3 цуня.

#### **115 тянь-ляо**

Расположение: в верхней части лопатки, в надостной ямке.

#### **116 тянь-ю**

Расположение: на заднебоковой поверхности шеи, ниже сосцевидного отростка, немного сзади места прикрепления грудино-ключично-сосцевидной мышцы.

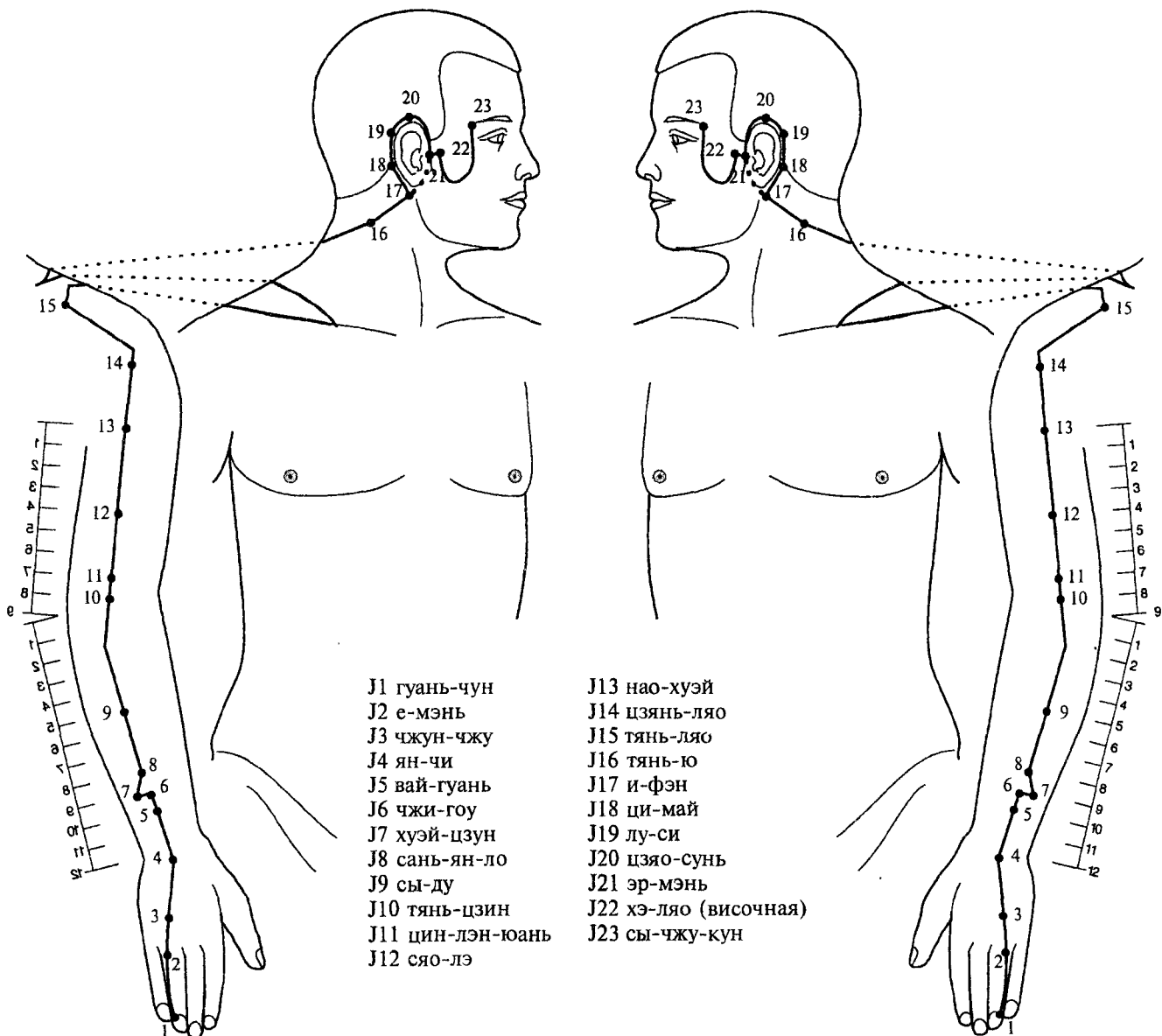


Рис. 89. Меридиан спинного мозга (трех обогревателей) (J).

Меридиан ручной, парный, симметричный и центростремительный, относится к системе Ян.

В меридиане спинного мозга циркулирует энергия А-жара на уровне витальных энергий, на эмоциональном уровне — А-удовлетворения и на ментальном уровне — А-намерения.

Получает энергию от меридиана головного мозга, передает меридиану желчного пузыря.

Период максимальной активности меридиана спинного мозга от 21 до 23 часов.

**J17 и-фэн**

Расположение: в углублении кзади от основания мочки уха, между сосцевидным отростком и восходящей ветвью нижней челюсти.

**J18 ци-май**

Расположение: за ухом на одном уровне с наружным слуховым отверстием, чуть кпереди от основания сосцевидного отростка височной кости.

**J19 лу-си**

Расположение: за ухом выше точки J18 ци-май на 1 цунь.

**J20 цзяо-сунь**

Расположение: у верха основания ушной раковины.

**J21 эр-мэнь**

Расположение: спереди и выше козелка уха, где пальпируется углубление.

**J22 хэ-ляо (височная)**

Расположение: в области виска, выше основания скулового отростка височной кости, немного кпереди и выше точки J21 эр-мэнь, кзади от места пульсации поверхностной височной артерии.

**J23 сы-чжу-кун**

Расположение: в углублении у наружного конца брови.

### С. Меридиан желудка (джок-ян-мьян, цзу-ян-мин, Е, St, М)

Меридиан желудка (рис. 90) начинается наружным ходом в середине нижнего края глазницы, опускается к углу рта, к нижней челюсти, где в точке С5 да-ин делится на головную и уловищно-ножную ветви. Головная ветвь от угла нижней челюсти впереди ушной раковины поднимается к углу лба. Туловищно-ножная ветвь идет по шее до грудино-ключичного соединения, к центру надключичной ямки, затем по сосковой линии, по животу, через средину паховой складки, по бедру, по наружному краю четырехглавой мышцы, по передней поверхности голени, по тылу стопы, II пальцу, где и заканчивается у наружного края ногтя.

Одно ответвление начинается на тыльной стороне стопы и доходит до внутреннего угла I пальца, где связывается с меридианом селезенки. Второе ответвление начинается от точки С36 цзу-сань-ли и доходит до наружной поверхности III пальца стопы.

На меридиане 45 точек.

#### С1(2) чэн-ци

Расположение: под зрачком на середине нижнего края орбиты.

#### С2(3) сы-бай

Расположение: вертикально ниже точки С1 чэн-ци на 1 см.

#### С3(6) цзюй-ляо (носовая)

Расположение: в носогубной складке на пересечении вертикальной линии от центра зрачка с горизонтальной линией через точку Y26 хэнь-чжун.

#### С4(6) ди-цан

Расположение: снаружи от угла рта на 1 см, на вертикальной линии от зрачка.

#### С5(8) да-ин

Расположение: впереди от угла нижней челюсти на 1,3 цуня, несколько снаружи от места, где прощупывается пульсация артерии.

#### С6(7) цзя-чэ

Расположение: впереди и сверху от угла нижней челюсти, где пальпируется углубление.

#### С7(5) ся-гуань

Расположение: впереди от козелка уха, во впадине, которая образуется нижним краем скуловой кости и вырезкой нижней челюсти.

#### С8(1) тоу-вэй

Расположение: в углу лба, в волосяной части головы, на 1,5 см от угла лба в сторону височной впади-

ны или снаружи от точки Y24 шэнь-тин на 4,5 цуня.

#### С9 жэнь-ин

Расположение: на уровне и снаружи от верхнего края щитовидного хряща, на 1,5 цуня впереди от грудино-ключично-сосцевидной мышцы, где пальпируется пульсация артерии.

#### С10 шуй-ту

Расположение: снаружи от нижнего края щитовидного хряща, у переднего края грудино-ключично-сосцевидной мышцы.

#### С11 ци-шэ

Расположение: у верхнего края грудного конца ключицы, снаружи от средней линии груди на 1,5 цуня.

#### С12 цюэ-пэнь

Расположение: в центре надключичной ямки, снаружи от средней линии груди на 4 цуня.

#### С13 ци-ху

Расположение: под ключицей на сосковой линии, в сторону от средней линии груди на 4 цуня.

#### С14 ку-фан

Расположение: в первом межреберье, вертикально ниже точки С13 ци-ху по сосковой линии.

#### С15 у-и

Расположение: во втором межреберье, вертикально ниже точки С14 ку-фан.

#### С16 ин-чуан

Расположение: в третьем межреберье, вертикально ниже точки С15 у-и.

#### С17 жу-чжун

Расположение: в четвертом межреберье, в центре соска (у мужчин).

#### С18 жу-гэнь

Расположение: в пятом межреберье, снаружи от центральной линии на 4 цуня.

#### С19 бу-жун

Расположение: снаружи от средней линии на 2 цуня, у нижнего края прикрепления хряща VIII ребра к грудине.

#### С20 чэн-мань

Расположение: ниже точки С19 бу-жун на 1 цунь, выше пупка на 5 цуней, снаружи от средней линии на 2 цуня.

#### С21 лян-мэнь

Расположение: выше пупка на 4 цуня и снаружи от средней линии на 2 цуня, вертикально ниже точки С19 бу-жун на 2 цуня.

#### С22 гуань-мэнь

Расположение: выше уровня пупка на 3 цуня и снаружи от средней линии на 2 цуня.

#### С23 тай-и

Расположение: на 2 цуня выше пупка и снаружи от средней линии на 2 цуня.

- C1(2) чэн-ци
- C2(3) сы-бай
- C3(6) цзюй-ляо (носовая)
- C4(6) ди-цан
- C5(8) да-ин
- C6(7) цзя-чэ
- C7(5) ся-гуань
- C8(1) тоу-вэй
- C9 жэнь-ин
- C10 шуй-ту
- C11 ци-шэ
- C12 цюэ-пэнь
- C13 ци-ху
- C14 ку-фан
- C15 у-и
- C16 ин-чуан
- C17 жу-чжун
- C18 жу-гэнь
- C19 бу-жун
- C20 чэн-мань
- C21 лян-мэнь
- C22 гуань-мэнь
- C23 тай-и
- C24 хуа-жоу-мэнь
- C25 тянь-шу
- C26 вай-лин
- C27 да-цзюй
- C28 шуй-дао
- C29 гуй-лай
- C30 ци-чун
- C31 би-гуань
- C32 фу-ту
- C33 инь-ши
- C34 лян-цю
- C35 ду-би
- C36 цзу-сань-ли
- C37 шан-цзюй-сюй
- C38 тяо-коу
- C39 ся-цзюй-сюй
- C40 фэн-лун
- C41 цзе-си
- C42 чун-ян
- C43 сянь-гу
- C44 нэй-тин
- C45 ли-дуй

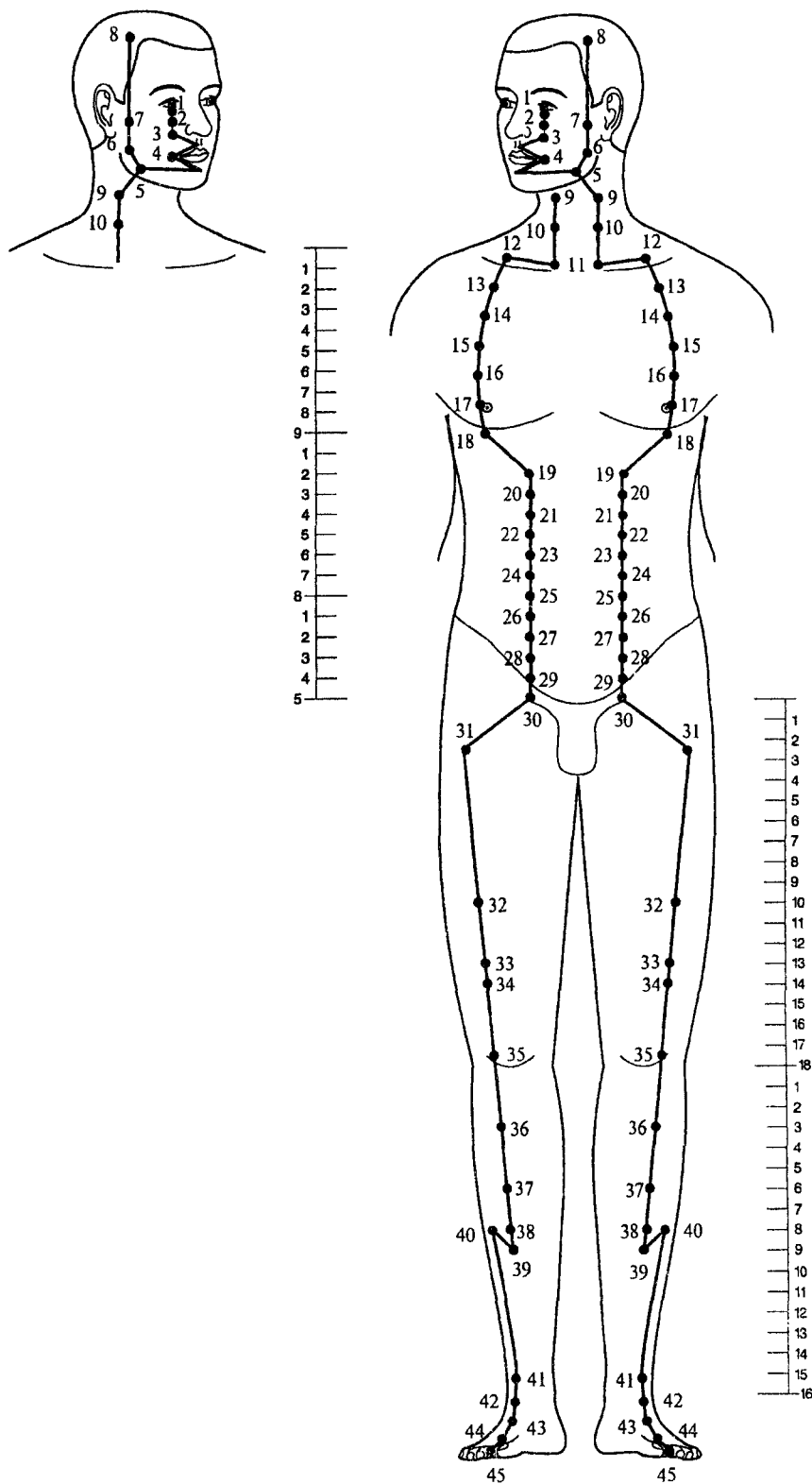


Рис. 90. Меридиан желудка (С).

Меридиан ножной, парный, симметричный и центробежный, относится к системе Ян. В меридиане желудка циркулирует энергия А-влажности на уровне витальных энергий, А-тревоги на уровне эмоций и А-сознания на ментальном уровне. Получает энергию от меридиана толстой кишки и передает меридиану селезенки. Период максимальной активности меридиана желудка от 7 до 9 часов.



### **24 хуа-жоу-мэнь**

Расположение: на 1 цунь выше пупка и снаружи от средней линии на 2 цуня.

### **25 тянь-шу**

Расположение: на уровне пупка и снаружи от средней линии на 2 цуня.

### **26 вай-лин**

Расположение: ниже пупка на 1 цунь и снаружи от средней линии на 2 цуня.

### **27 да-цзюй**

Расположение: на 2 цуня ниже пупка и снаружи от средней линии на 2 цуня.

### **28 шуй-дао**

Расположение: ниже пупка на 3 цуня, снаружи от средней линии на 2 цуня.

### **29 гуй-лай**

Расположение: ниже пупка на 4 цуня, снаружи от средней линии на 2 цуня, выше лобковой кости на 1 цунь.

### **30 ци-чун**

Расположение: у верхнего края лобковой кости, снаружи от средней линии живота на 2 цуня.

### **31 би-гуань**

Расположение: на уровне промежности между портняжной мышцей передним краем напрягателя широкой фасции бедра.

### **С32 фу-ту**

Расположение: на переднебоковой поверхности бедра, выше верхнего края коленной чашечки на 6 цуней.

### **С33 инь-ши**

Расположение: выше верхнего края коленной чашечки на 3 цуня, в углублении между прямой и наружной широкой мышцами бедра.

### **С34 лян-цю**

Расположение: выше верхнего края коленной чашечки на 2 цуня, где пальпируется небольшое углубление.

### **С35 ду-би**

Расположение: на передненаружной поверхности голени, у нижнего края коленной чашечки, выше латерального мыщелка большеберцовой кости, где пальпируется углубление.

### **С36 цзу-сань-ли**

Расположение: ниже верхнего края латерального мыщелка большеберцовой кости на 3 цуня, у переднего края большеберцовой мышцы.

### **С37 шан-цзюй-сюй**

Расположение: вертикально ниже точки С36 цзу-сань-ли на 3 цуня.

### **С38 тяо-коу**

Расположение: ниже верхнего края латерального мыщелка большеберцовой кости на 8 цуней, вертикально ниже точки С37 шан-цзюй-сюй на 2 цуня.

### **С39 ся-цзюй-сюй**

Расположение: ниже верхнего края латерального мыщелка большеберцовой кости на 9 цуней, вертикально ниже точки С38 тяо-коу на 1 цунь.

### **С40 фэн-луи**

Расположение: выше центра латеральной лодыжки на 8 цуней, на уровне от точки С38 тяо-коу на 1 цунь.

### **С41 цзе-си**

Расположение: на тыльном сгибе стопы, кзади от точки С42 чун-ян на 1,5 цуня, где пальпируется углубление, на одной линии со II пальцем.

### **С42 чун-ян**

Расположение: на самом возвышенном участке тыльной стороны стопы, где пальпируется пульсация артерии, выше межпальцевого промежутка на 5 цуней.

### **С43 сянь-гу**

Расположение: в межкостном промежутке между II и III плюсневых костями, кзади от плюснефалангового сустава.

### **С44 нэй-тин**

Расположение: впереди от II и III плюснефаланговых суставов.

### **С45 ли-дуй**

Расположение: на 0,3 см от наружного края ногтя II пальца стопы.

## *В. Меридиан толстой кишки (су-ян-мьян, шоу-ян-мин, GI, LI, Di)*

Наружный ход меридиана толстой кишки (рис. 91) начинается около угла ногтевого ложа на лучевой стороне II пальца руки, проходит между I и II пястными костями и между сухожилиями мышц короткого и длинного разгибателей I пальца, далее — по лучевой стороне предплечья, через локтевой сустав, по наружной поверхности плеча. В области плечевого сустава он проходит между передним краем акромиального отростка лопатки и бугром плечевой кости на спину, где в точке Y14 да-чжуй соприкасается с другими Ян-меридианами. Далее меридиан идет по трапециевидной мышце к надключичной ямке, где связывается с точкой C12 цюэ-пэнь. Отсюда меридиан идет на шею, щеку, к центру десны нижней челюсти, затем огибает губы, перекрещивается с одноименным меридианом противоположной стороны в точке Y26 жэнь-чжун и, огибая крылья носа, заканчивается в точке B20 ин-сян.

На меридиане 20 точек.

### **В1 шан-ян**

Расположение: на лучевой стороне II пальца, на 2—3 мм кнаружи от угла ногтевого ложа.

### **В2 эр-цзянь**

Расположение: во впадине дистальнее от пястно-фалангового сустава II пальца, с лучевой стороны тыльной поверхности.

### **В3 сань-цзянь**

Расположение: во впадине проксимальнее пястно-фалангового сустава II пальца, с лучевой стороны тыльной поверхности.

### **В4 хэ-гу**

Расположение: между I и II пястными костями, ближе к середине II пястной кости, в ямке.

### **В5 ян-си**

Расположение: на уровне складки лучезапястного сустава с лучевой стороны, в анатомической табакерке.

### **В6 пянь-ли**

Расположение: на тыльной поверхности предплечья с лучевой стороны, выше точки В5 ян-си на 3 цуня, где пальпируется небольшое углубление.

### **В7 вэнь-лю**

Расположение: посредине расстояния от локтевого до лучезапястного сустава, на тыльной поверхности предплечья с лучевой стороны, или выше точки В5 ян-си на 6 цуней.

### **В8 ся-лянь**

Расположение: выше точки В7 вэнь-лю на 2 цуня, у лучевого края лучевой кости, в мышечной бороздке.

### **В9 шан-лянь**

Расположение: на тыльной поверхности предплечья, в верхней четверти расстояния от локтевого сустава до лучезапястного, на 3 цуня ниже линии, проведенной от латерального надмыщелка к концу складки локтевого сгиба (точка В11 цюй-чи).

### **В10 шоу-сань-ли**

Расположение: на тыльной поверхности предплечья с лучевой стороны, выше точки В9 шан-лянь на 1 цунь и ниже точки В11 цюй-чи на 2 цуня.

### **В11 цюй-чи**

Расположение: на середине расстояния между латеральным надмыщелком и лучевым концом складки локтевого сгиба.

### **В12 чжоу-ляо**

Расположение: у дистального конца наружного края плечевой кости, выше наружного надмыщелка и выше точки В11 цюй-чи на 1 цунь.

### **В13 шоу-у-ли**

Расположение: выше наружного надмыщелка и локтевого сгиба на 3 цуня.

### **В14 би-нао**

Расположение: на наружной поверхности плеча, выше локтевого сгиба на 7 цуней.

### **В15 цзянь-юй**

Расположение: между акромиальным отростком лопатки и большим бугром плечевой кости, где при поднимании руки образуется углубление.

### **В16 цзюй-гу**

Расположение: во впадине, образуемой сочленением ключицы и акромиального отростка лопатки, на высоте плечевого сустава.

### **В17 тянь-дин**

Расположение: у заднего края нижней части грудино-ключично-сосцевидной мышцы, выше надключичной ямки, ниже точки В18 фу-ту на 1 цунь.

### **В18 фу-ту (шейная)**

Расположение: кнаружи от верхнего края щитовидного хряща, в центре проекции грудино-ключично-сосцевидной мышцы, кзади от точки С9 жэнь-ин на 1,5 цуня.

### **В19 хэ-ляо**

Расположение: на середине расстояния между крылом носа и краем верхней губы, кнаружи от средней линии (от точки Y26 жэнь-чжун) на 0,5 цуня.

### **В20 ин-сян**

Расположение: в боковой бороздке крыла носа, ниже внутреннего угла глаза (под точкой G1 цин-мин).



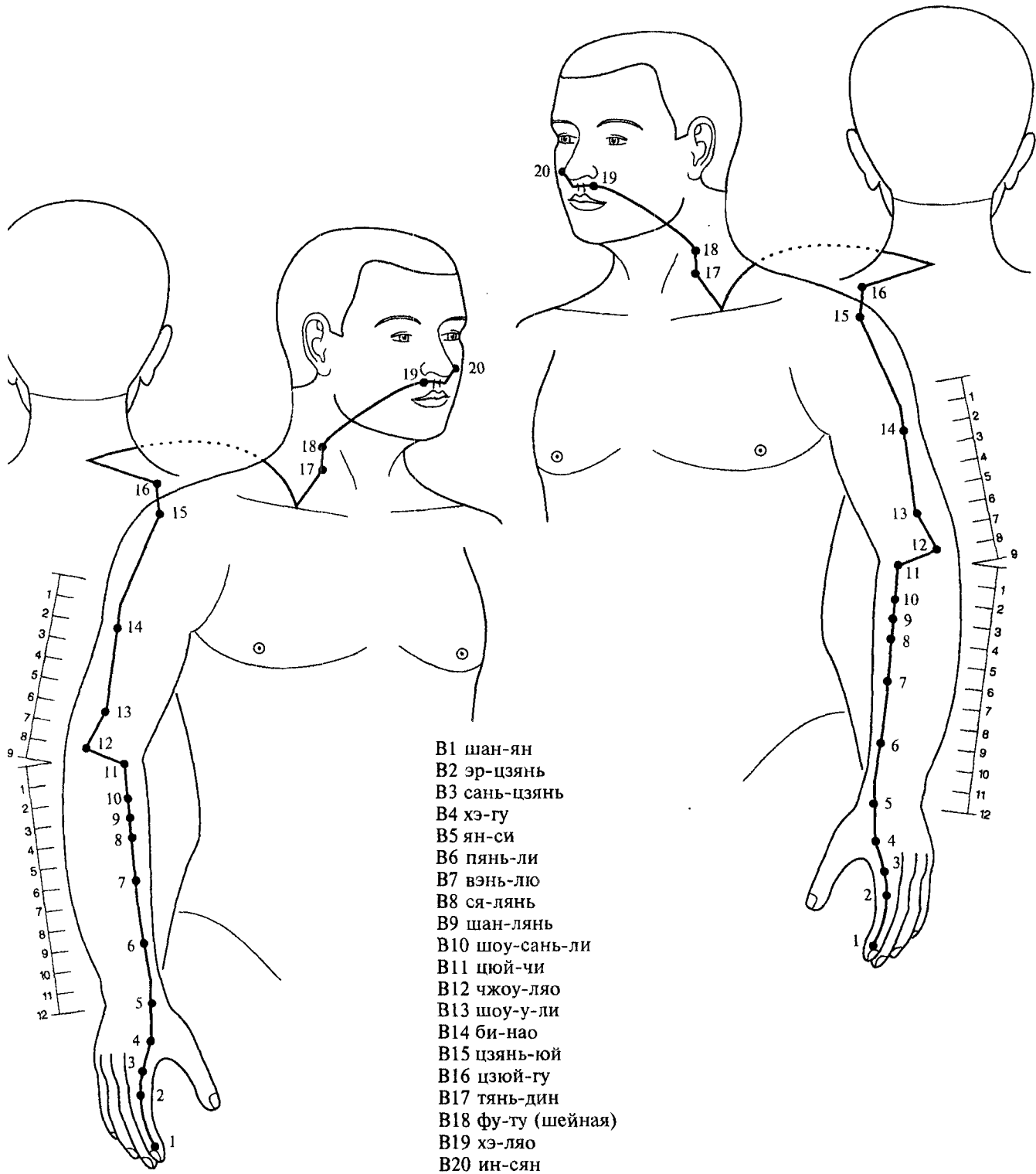


рис. 91. Меридиан толстой кишки (В).

Меридиан ручной, парный, симметричный и центростремительный, относится к системе Ян. В меридиане толстой кишки циркулирует энергия А-сухости на уровне витальных энергий, А-печали на эмоциональном уровне и А-воли на ментальном уровне. Меридиан получает энергию от меридиана легких и направляет к меридиану желудка. Период максимальной активности меридиана толстой кишки от 5 до 7 часов.

### G. Меридиан мочевого пузыря (джок-тэ-ян, цзу-тай-ян, V, B, B)

Наружный ход меридиана мочевого пузыря (рис. 92) начинается у внутреннего угла глаза, идет вверх, проходит лобную и теменную области, в точке Y20 бай-хуэй контактирует с меридианом противоположной стороны. Ветвь от точки G7 тун-тянь входит в мозг и выходит из мозга в точке G10 тянь-чжу. От этой точки меридиан делится на две ветви, идущие параллельно (и параллельно заднесрединному меридиану) по задней стороне туловища. Медиальная ветвь проходит на расстоянии 1,5 цуня, латеральная — 3 цуня от средней линии спины. Обе ветви доходят до подколенной ямки, где в точке G40 вэй-чжун соединяются. Далее меридиан идет по задней поверхности голени, переходит на внешнюю сторону стопы и оканчивается у наружного угла ногтевого ложа V пальца, откуда ветвью связывается с меридианом почек. Ответвления наружного хода соединяются с меридианами желчного пузыря (точка K11 тоу-цяо-инь) у основания сосцевидного отростка и с меридианом трех обогревателей у верхнего края ушной раковины. На меридиане располагается 12 сочувственных точек ко всем постоянным меридианам.

На меридиане 67 точек.

#### G1 цин-мин

Расположение: кнутри от внутреннего угла глаза на 0,3 см.

#### G2 цуань-чжу

Расположение: у начала брови, над точкой G1 цин-мин.

#### G3 мэй-чун

Расположение: на 0,5 цуня выше начала волосистой части головы, в сторону от средней линии на 2/3 цуня, вертикально выше начала брови.

#### G4 цюй-ча

Расположение: на 0,5 цуня выше начала волосистой части головы, в сторону от средней линии на 1,5 цуня.

#### G5 у-чу

Расположение: на 1 цунь выше начала роста волос и в сторону от средней линии головы на 1,5 цуня.

#### G6 чэн-гуан

Расположение: на темени, на одной линии с точкой G5 у-чу, выше начала роста волос на 2,5 цуня, в сторону от средней линии на 1,5 цуня.

#### G7 тун-тянь

Расположение: на темени, на 4 цуня кзади от передней границы роста волос и в сторону от средней линии на 1,5 цуня.

#### G8 ло-цюе

Расположение: на 5,5 цуня кзади от передней границы роста волос и в сторону от средней линии головы на 1,5 цуня.

#### G9 юй-чжэнь

Расположение: на 1,3 цуня в сторону от середины верхнего края затылочного бугра (кнаружи от точки Y17 нао-ху).

#### G10 тянь-чжу

Расположение: выше задней границы роста волос на 2 см, в сторону от средней линии головы на 1,3 цуня.

#### G11 да-чжу

Расположение: на уровне промежутка между остистыми отростками I и II грудных позвонков, в сторону от средней линии на 1,5 цуня.

#### G12 фэн-мэнь

Расположение: на уровне промежутка между II и III грудными позвонками и в сторону от средней линии спины на 1,5 цуня.

#### G13 фэй-шу

Расположение: на уровне промежутка между остистыми отростками III и IV грудных позвонков, в сторону от средней линии на 1,5 цуня. Сочувственная точка меридиану легких.

#### G14 цзюе-инь-шу

Расположение: на уровне промежутка между остистыми отростками IV и V грудных позвонков, в сторону от средней линии на 1,5 цуня. Сочувственная точка меридиану перикарда.

#### G15 синь-шу

Расположение: на уровне промежутка между остистыми отростками V и VI грудных позвонков, в сторону на 1,5 цуня. Сочувственная точка меридиану сердца.

#### G16 ду-шу

Расположение: на уровне промежутка между остистыми отростками VI и VII грудных позвонков, в сторону на 1,5 цуня.

#### G17 гэ-шу

Расположение: на уровне промежутка между остистыми отростками VII и VIII грудных позвонков, в сторону на 1,5 цуня.

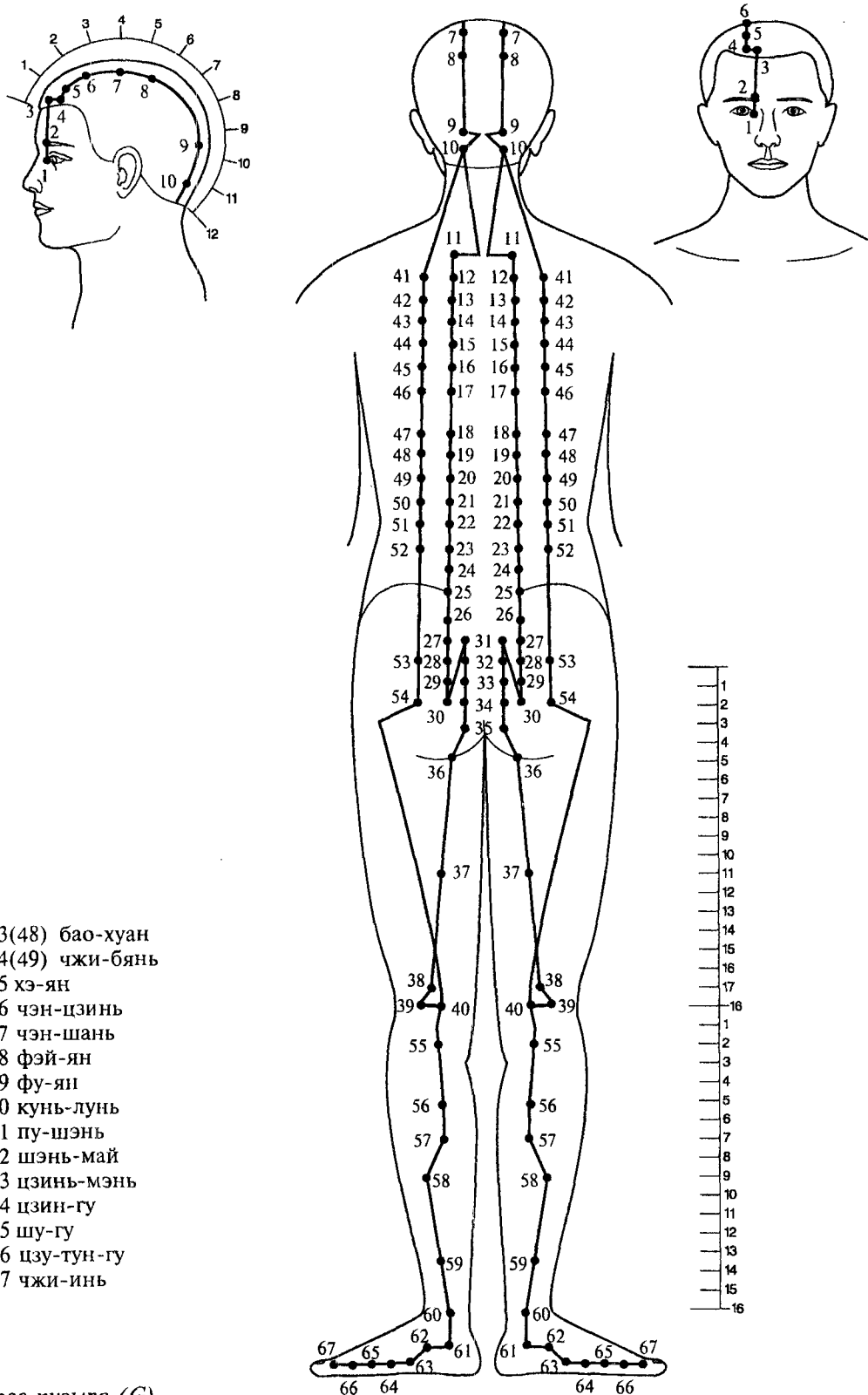
#### G18 гань-шу

Расположение: на уровне промежутка между остистыми отростками IX и X грудных позвонков, в сторону на 1,5 цуня. Сочувственная точка меридиану печени.

#### G19 дань-шу

Расположение: на уровне промежутка между остистыми отростками

- 1 цин-мин
- 2 цуань-чжу
- 3 мэй-чун
- 4 цюй-ча
- 5 у-чу
- 6 чэн-гуан
- 7 тун-тянь
- 8 ло-цюе
- 9 юй-чжэнь
- 10 тянь-чжу
- 11 да-чжу
- 12 фэн-мэнь
- 13 фэй-шу
- 14 цзюе-инь-шу
- 15 синь-шу
- 16 ду-шу
- 17 гэ-шу
- 18 гань-шу
- 19 дань-шу
- 20 пи-шу
- 21 вэй-шу
- 22 сань-цзяо-шу
- 23 шэнь-шу
- 24 ци-хай-шу
- 25 да-чан-шу
- 26 гуань-юань-шу
- 27 сяо-чан-шу
- 28 пан-гуань-шу
- 29 чжун-люй-шу
- 30 бай-хуань-шу
- 31 шан-ляо
- 32 цы-ляо
- 33 чжун-ляо
- 34 ся-ляо
- 35 хуэй-ян
- 36(50) чэн-фу
- 37(51) инь-мэнь
- 38(52) фу-си
- 39(53) вэй-ян
- 40(54) вэй-чжун
- 41(36) фу-фэнь
- 42(37) по-ху
- 43(38) гао-хуан
- 44(39) шэнь-тан
- 45(40) и-си
- 46(41) гэ-гуань
- 47(42) хунь-мэнь
- 48(43) ян-ган
- 49(44) и-шэ
- 50(45) вэй-цан
- 51(46) хуань-мэнь
- 52(47) чжи-ши
- G53(48) бао-хуан
- G54(49) чжи-бянь
- G55 хэ-ян
- G56 чэн-цзинь
- G57 чэн-шань
- G58 фэй-ян
- G59 фу-ян
- G60 кунь-лунь
- G61 пу-шэнь
- G62 шэнь-май
- G63 цзинь-мэнь
- G64 цзин-гу
- G65 шу-гу
- G66 цзу-тун-гу
- G67 чжи-инь



ис. 92. Меридиан мочевого пузыря (G).

Меридиан ножной, парный, симметричный и центробежный, относится к системе Ян. В нем циркулирует энергия А-холода на уровне витальных энергий, А-страха на эмоциональном уровне и А-мудрости на ментальном уровне. Получает энергию от меридиана тонкой кишки и передает энергию в меридиан почек. Максимальная активность меридиана мочевого пузыря от 17 до 19 часов.

ми X и XI грудных позвонков, в сторону на 1,5 цуня. Сочувственная точка меридиану желчного пузыря.

**G20 пи-шу**

Расположение: на уровне промежутка между остистыми отростками XI и XII грудных позвонков, в сторону на 1,5 цуня. Сочувственная точка меридиану селезенки — поджелудочной железы.

**G21 вэй-шу**

Расположение: на уровне промежутка между остистыми отростками XII грудного и I поясничного позвонков, в сторону на 1,5 цуня. Сочувственная точка меридиану желудка.

**G22 сань-цзяо-шу**

Расположение: на уровне промежутка между остистыми отростками I и II поясничных позвонков, в сторону на 1,5 цуня. Сочувственная точка меридиану трех обогревателей.

**G23 шэнь-шу**

Расположение: на уровне промежутка между остистыми отростками II и III поясничных позвонков, в сторону на 1,5 цуня. Сочувственная точка меридиану почек.

**G24 ци-хай-шу**

Расположение: на уровне промежутка между остистыми отростками III и IV поясничных позвонков, в сторону на 1,5 цуня.

**G25 да-чан-шу**

Расположение: на уровне промежутка между остистыми отростками IV и V поясничных позвонков, в сторону на 1,5 цуня. Сочувственная точка меридиану толстой кишки.

**G26 гуань-юань-шу**

Расположение: на уровне промежутка между остистыми отростками V поясничного и I крестцового позвонков, в сторону на 1,5 цуня.

**G27 сяо-чан-шу**

Расположение: на уровне промежутка между остистыми отростками I и II крестцовых позвонков, в сторону на 1,5 цуня. Сочувственная точка меридиану тонкой кишки.

**G28 пан-гуань-шу**

Расположение: на уровне промежутка между остистыми отростками II и III крестцовых позвонков, в сторону на 1,5 цуня. Сочувственная точка меридиану мочевого пузыря.

**G29 чжун-люй-шу**

Расположение: на уровне промежутка между остистыми отростками III и IV крестцовых позвонков, в сторону на 1,5 цуня.

**G30 бай-хуань-шу**

Расположение: ниже остистого отростка IV крестцового позвонка, в сторону на 1,5 цуня, вертикально ниже точки G29 чжун-люй-шу.

**G31 шан-ляо**

Расположение: ниже первого среднего крестцового гребешка, соответственно первому заднему крестцовому отверстию, на одной горизонтальной линии с точкой G27 сяо-чан-шу и на середине расстояния между этой точкой и средней линией спины.

**G32 цы-ляо**

Расположение: ниже второго среднего крестцового гребешка, соответственно второму заднему крестцовому отверстию, на горизонтальной линии с точкой G28 пан-гуань-шу.

**G33 чжун-ляо**

Расположение: ниже третьего среднего крестцового гребешка, соответственно третьему заднему крестцовому отверстию, на одной горизонтальной линии с точкой G29 чжун-люй-шу.

**G34 ся-ляо**

Расположение: ниже четвертого среднего крестцового гребешка, соответственно четвертому заднему крестцовому отверстию, на одной горизонтальной линии с точкой G30 бай-хуань-шу, на середине расстояния между этой точкой и средней линией спины.

**G35 хуэй-ян**

Расположение: кнаружи от конца копчика на 0,5 цуня, чуть выше уровня копчика.

**G36(50) чэн-фу**

Расположение: в центре подъягодичной складки.

**G37(51) инь-мэнь**

Расположение: на середине задней поверхности бедра, ниже точки G36 чэн-фу на 6 цуней и немного латеральнее.

**G38(52) фу-си**

Расположение: выше уровня подколенной ямки (выше точки G40 вэй-чжун) на 1 цунь и латеральнее на 1 цунь (кзади от латерального надмышелка бедренной кости).

**G39(53) вэй-ян**

Расположение: латерально от центра подколенной ямки на 1 цунь, на одной горизонтальной линии с точкой G40 вэй-чжун.

**G40(54) вэй-чжун**

Расположение: в центре подколенной ямки, где пальпируется пульсация подколенной артерии.

**G41(36) фу-фэнь**

Расположение: на уровне промежутка между остистыми отростками II и III грудных позвонков, в сторону на 3 цуня (параллельно точке G12 фэн-мэнь).

**G42(37) по-ху**

Расположение: на уровне промежутка между остистыми отростками III и IV грудных позвонков, в сторону на 3 цуня (параллельно точке G13 фэй-шу).

**G43(38) гао-хуан**

Расположение: на уровне промежутка между остистыми отростками IV и V грудных позвонков, в сторону на 3 цуня (параллельно точке G14 цзюе-инь-шу).

**G44(39) шэнь-тан**

Расположение: на уровне промежутка между остистыми отростками V и VI грудных позвонков, в сторону на 3 цуня (параллельно точке G15 синь-шу);

**G45(40) и-си**

Расположение: на уровне промежутка между остистыми отростками VI и VII грудных позвонков, в сторону на 3 цуня (параллельно точке G16 ду-шу).

**G46(41) гэ-гуань**

Расположение: на уровне промежутка между остистыми отростка-

и VII и VIII грудных позвонков, снаружи на 3 цуня (параллельно чке G17 гэ-шу).

**47(42) хунь-мэнь**

Расположение: на уровне промежутка между остистыми отростками IX и X грудных позвонков, кнаружи на 3 цуня (параллельно точке 18 гань-шу).

**48(43) ян-гань**

Расположение: на уровне промежутка между остистыми отростками X и XI грудных позвонков, кнаружи на 3 цуня (параллельно точке 19 дань-шу).

**49(44) и-шэ**

Расположение: на уровне промежутка между остистыми отростками XI и XII грудных позвонков, снаружи на 3 цуня (параллельно чке G20 пи-шу).

**50(45) вэй-цан**

Расположение: на уровне промежутка между остистыми отростками XII грудного и I поясничного позвонков, кнаружи на 3 цуня (параллельно точке G21 вэй-шу).

**51(46) хуань-мэнь**

Расположение: на уровне промежутка между остистыми отростками I и II поясничных позвонков, кнаружи на 3 цуня.

**52(47) чжи-ши**

Расположение: на уровне промежутка между остистыми отростками II и III поясничных позвонков, кнаружи на 3 цуня.

**53(48) бао-хуан**

Расположение: на уровне промежутка между II и III средними крест-

цовыми гребешками, латерально на 3 цуня.

**G54(49) чжи-бянь**

Расположение: латерально от четвертого сакрального отверстия на 3 цуня.

**G55 хэ-ян**

Расположение: ниже центра подколенной ямки (ниже точки G40 вэй-чжун) на 2 цуня.

**G56 чэн-цинъ**

Расположение: ниже середины подколенной ямки на 5 цуней, в середине икроножной мышцы.

**G57 чэн-шань**

Расположение: в центре задней поверхности голени, на середине линии, проведенной от верхнего края пяточной кости к центру подколенной ямки, или на 7 цуней ниже середины подколенной ямки.

**G58 фэй-ян**

Расположение: выше уровня центра латеральной лодыжки на 7 цуней, по вертикальной линии вверх от впадины между задним краем лодыжки и ахилловым сухожилием, где находится точка G60 кунь-лунь.

**G59 фу-ян**

Расположение: у наружного края ахиллова сухожилия, выше уровня центра латеральной лодыжки на 3 цуня.

**G60 кунь-лунь**

Расположение: во впадине между задним краем латеральной лодыжки и ахилловым сухожилием, на уровне центра лодыжки.

**G61 пу-шэнь**

Расположение: во впадине на наружной поверхности пятки ниже пяточного бугра, вертикально вниз от точки G60 кунь-лунь на 1,5 цуня.

**G62 шэнь-май**

Расположение: ниже наружной лодыжки на 1,5 см, у нижнего края блокового выступа пяточной кости, во впадине.

**G63 цзинь-мэнь**

Расположение: ниже и кпереди от латеральной лодыжки, в углублении у края кубовидной кости, на границе тыльной и подошвенной поверхностей стопы (кпереди и немного ниже точки G62 шэнь-май).

**G64 цзин-гу**

Расположение: на наружной поверхности стопы, в месте перехода кожи с тыльной на подошвенную сторону стопы, кзади и книзу от основания V плюсневой кости.

**G65 шу-гу**

Расположение: кзади и кнаружи от головки V плюсневой кости, во впадине на месте перехода тыльной поверхности стопы в подошвенную.

**G66 цзу-тун-гу**

Расположение: на наружной поверхности V пальца стопы, дистальнее плюснефалангового сустава, где пальпируется впадина у конца кожной складки.

**G67 чжи-инь**

Расположение: на 0,3 см кнаружи от наружного угла ногтевого ложа V пальца стопы.



## 2.2. Периферические УМ-меридианы

### Х. Переднесрединный меридиан (ин-мэ, жэнь-май, VC, CV, JM)

Наружный ход переднесрединного меридиана (рис. 93) начинается в промежности (точка X1 хуэй-инь), поднимается по средней линии живота, груди, шеи и заканчивается на подбородке. Здесь два симметричных ответвления идут к глазницам, огибая губы.

Считается, что переднесрединный меридиан (зачатия) объединяет все Инь-меридианы («море всех Инь-меридианов»); точка X1 хуэй-инь — общий ло-пункт всех Инь-меридианов. Переднесрединный меридиан относится к постоянным меридианам, но при определенных условиях, как и заднесрединный, превращается в чудесный меридиан (ЧМV жэнь-май). Переднесрединный меридиан имеет обширные связи как на пути внутреннего хода, так и на наружном ходе, кроме того, на нем расположено основное число сигнальных точек постоянных меридианов.

На переднесрединном меридиане 24 точки.

#### X1 хуэй-инь

Расположение: между наружными половыми органами и задним проходом.

#### X2 цюй-гу

Расположение: на середине верхнего края лобкового симфиза.

#### X3 чжун-цзи

Расположение: на средней линии живота, ниже пупка на 4 цуня.

#### X4 гуань-юань

Расположение: на средней линии живота, ниже пупка на 3 цуня.

#### X5 ши-мэнь

Расположение: на средней линии живота, ниже пупка на 2 цуня.

#### X6 цн-хай

Расположение: на средней линии живота, ниже пупка на 1,5 цуня.

#### X7 инь-цзяо

Расположение: на средней линии живота, ниже пупка на 1 цунь.

#### X8 шэнь-цюэ

Расположение: в центре пупка.

#### X9 шуй-фэнь

Расположение: на средней линии живота, выше пупка на 1 цунь.

#### X10 ся-вань

Расположение: на средней линии живота, выше пупка на 2 цуня.

#### X11 цзянь-ли

Расположение: на средней линии живота, выше пупка на 3 цуня.

#### X12 чжун-вань

Расположение: на средней линии живота, выше пупка на 4 цуня, на середине расстояния между пупком и мечевидным отростком грудины.

#### X13 шан-вань

Расположение: на средней линии живота, выше пупка на 5 цуней.

#### X14 цзюй-цюэ

Расположение: на 1,5 цуня ниже мечевидного отростка грудины, на средней линии живота.

#### X15 цзю-вэй

Расположение: ниже конца мечевидного отростка грудины на 0,5 цуня и выше пупка на 7 цуней.

#### X16 чжун-тин

Расположение: на передней средней линии груди, на уровне пятого межреберья.

#### X17 тань-чжун

Расположение: на передней средней линии груди, на уровне четвертого межреберья.

#### X18 юй-тан

Расположение: на средней линии груди, на уровне третьего межреберья.

#### X19 цзы-гун

Расположение: на средней линии груди, на уровне второго межреберья.

#### X20 хуа-гай

Расположение: на средней линии груди, на уровне суставной вырезки II ребра.

#### X21 сюань-цзи

Расположение: на средней линии груди, во впадине, на уровне суставной вырезки I ребра.

#### X22 тянь-ту

Расположение: примерно на 0,7 см выше середины верхнего края яремной вырезки грудины.

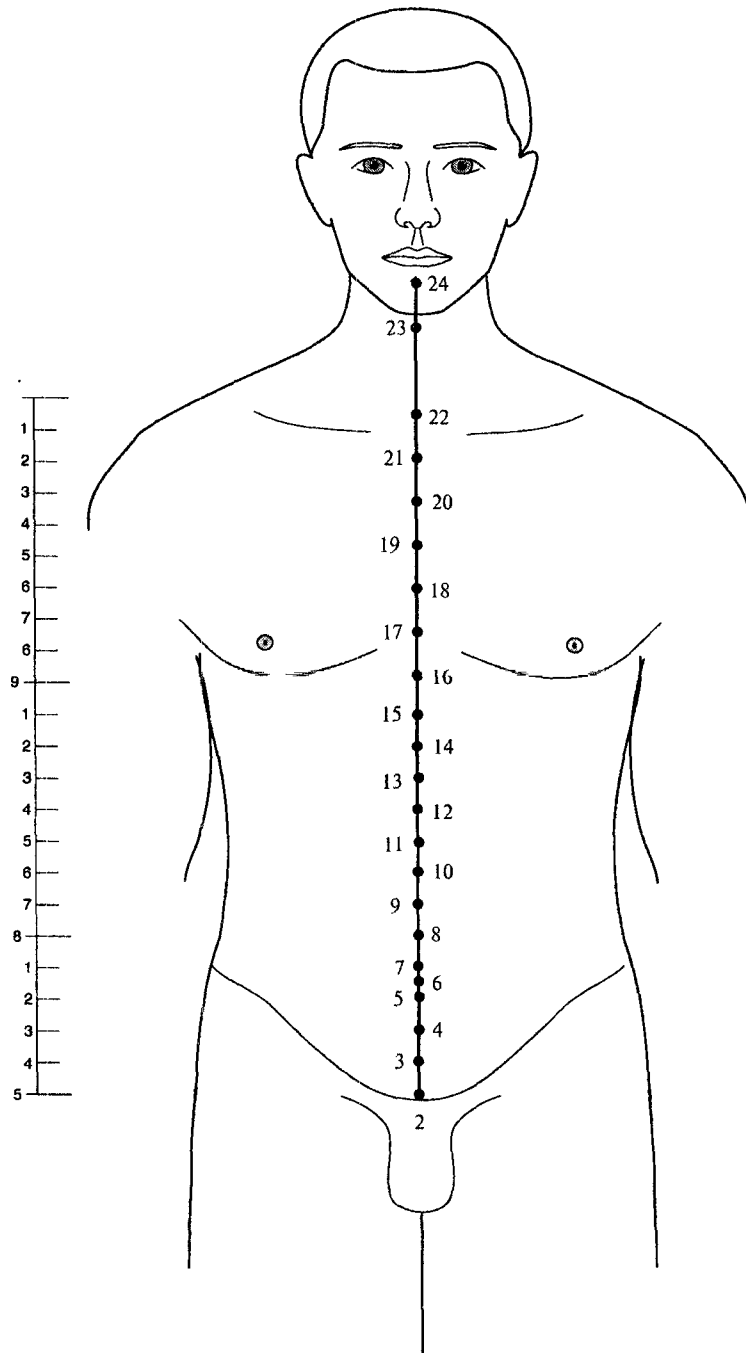
#### X23 лян-цюань

Расположение: на средней линии шеи, выше складки шеи на 0,5 см, между нижним краем тела подъязычной кости и верхней вырезкой щитовидного хряща.

#### X24 чэн-цзянь

Расположение: в центре подбородочно-губной складки.

- 1 хуэй-инь
- 2 цюй-гу
- 3 чжун-цзи
- 4 гуань-юань
- 5 ши-мэнь
- 6 ци-хай
- 7 инь-цзяо
- 8 шэнь-цюе
- 9 шуй-фэнь
- 10 ся-вань
- 11 цзянь-ли
- 12 чжун-вань
- 13 шан-вань
- 14 цзюй-цюе
- 15 цзю-вэй
- 16 чжун-тин
- 17 тань-чжун
- 18 юй-тан
- 19 цзы-гун
- 20 хуа-гай
- 21 сюань-цзи
- 22 тянь-ту
- 23 лян-цюань
- 24 чэн-цзянь



ис. 93. Переднесрединный меридиан — меридиан зачатия (X).

Меридиан непарный, относится к системе Инь, контролирует Инь-меридианы тела.



## L. Меридиан печени (джок-квол-ум, цзу-цзюе-инь, F, Liv, Le)

Наружный ход меридиана печени (рис. 94) начинается на латеральной стороне I пальца стопы, идет по внутреннетыльной поверхности стопы, переходит на внутреннюю поверхность голени и бедра, подходит к средней линии живота, где объединяется с переднесрединным меридианом в точках X2 цюй-гу, X3 чжун-ци, X4 гуань-юань. Затем, пересекая переднюю стенку живота, меридиан идет к шестому межреберью.

На меридиане печени 14 точек.

### L1 да-дунь

Расположение: на наружной стороне I пальца стопы, на 0,3 см в сторону от заднего угла ногтевого ложа.

### L2 син-цзянь

Расположение: немного впереди и между I и II плюснефаланговыми суставами, где пальпируется впадина.

### L3 тай-чун

Расположение: в углублении между I и II плюсневными костями, проксимальнее плюснефаланговых суставов на 0,5 цуня.

### L4 чжун-фэн

Расположение: на тыльной стороне стопы, впереди от медиальной лодыжки на 1 цунь.

### L5 ли-гоу

Расположение: на передневнутренней поверхности голени, вертикально выше центра медиальной лодыжки на 5 цуней.

### L6 чжун-ду

Расположение: на передневнутренней поверхности голени, выше центра медиальной лодыжки на 7 цуней (выше L5 ли-гоу на 2 цуня).

### L7 ци-гуань

Расположение: на внутренней поверхности голени, ниже нижнего края коленной чашечки на 2 цуня и кзади от точки D9 инь-лин-цюань на 1 цунь.

### L8 цюй-цюань

Расположение: на внутренней поверхности коленного сустава, у конца подколенной складки.

### L9 инь-бао

Расположение: в межмышечной борозде, выше верхнего края медиального надмыщелка бедренной кости на 4 цуня.

### L10 цзу-у-ли

Расположение: в верхней части передней поверхности бедра, ниже уровня верхнего края лобковой

кости на 3 цуня и в сторону от средней линии живота на 2,5 цуня.

### L11 инь-лянь

Расположение: ниже уровня верхнего края лобковой кости на 2 цуня и в сторону от средней линии живота на 2,5 цуня, в нижней стороне паховой складки.

### L12 цзи-май

Расположение: на поперечной линии, проведенной через середину верхнего края лобка (на 5 цуней ниже пупка), в сторону от средней линии живота на 2,5 цуня.

### L13 чжан-мэнь

Расположение: у нижнего края свободного конца XI ребра.

### L14 ци-мэнь

Расположение: в шестом межреберье, на сосковой линии.

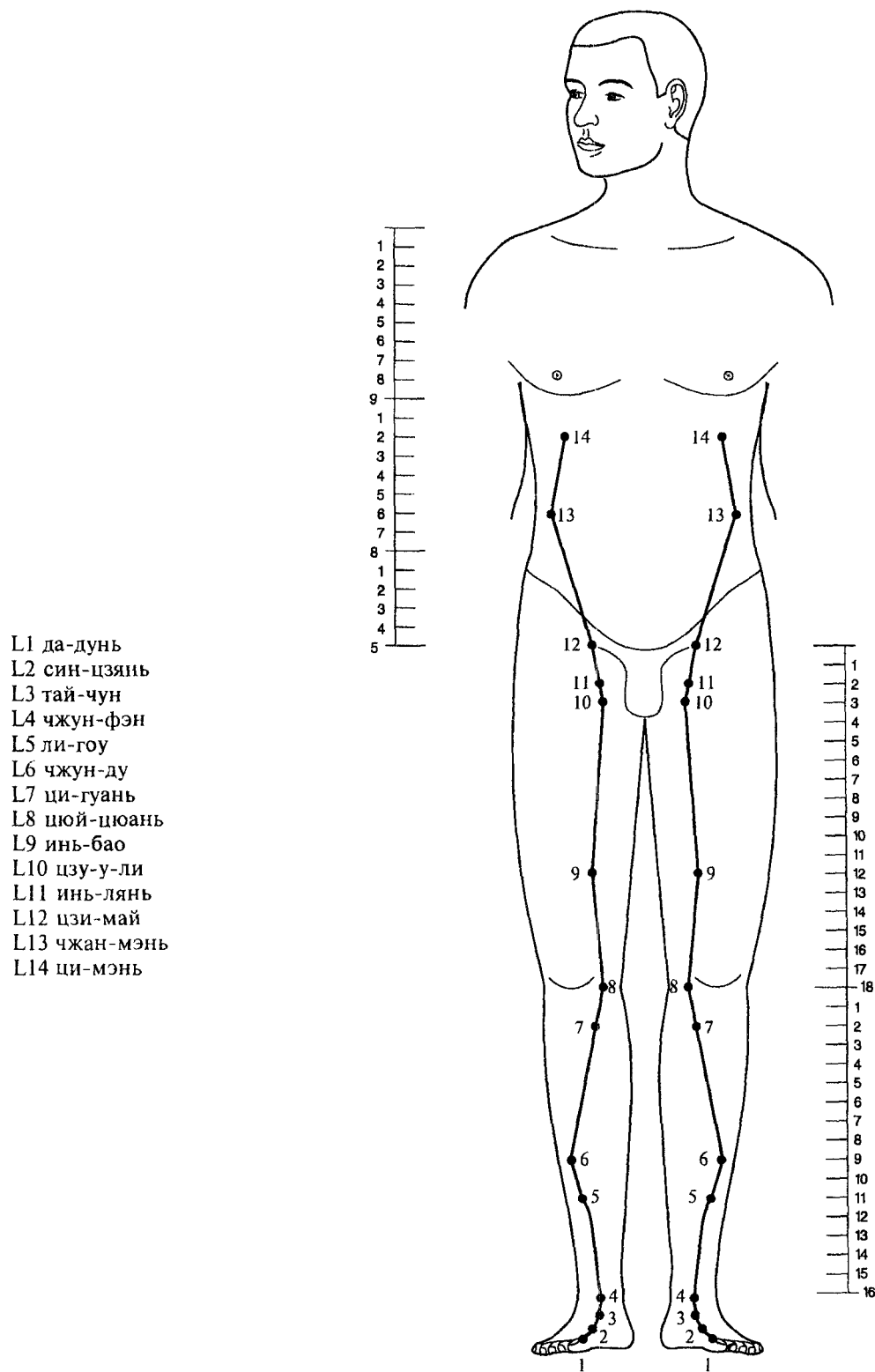


Рис. 94. Меридиан печени (L).

Меридиан ножной, парный, симметричный и центростремительный, относится к системе Инь.

В нем циркулирует энергия УМ-ветра на уровне витальных энергий, энергия УМ-гнева на эмоциональном уровне и энергия УМ-оригинальности на ментальном уровне. Получает энергию от меридиана желчного пузыря и передает меридиану легких. Период максимальной активности меридиана печени от 1 до 3 часов.

### *Е. Меридиан сердца (су-со-ум, шоу-шао-инь, С, Н, Н)*

Наружный ход меридиана сердца (рис. 95) начинается в подмышечной ямке, идет по внутренней поверхности плеча, локтевой стороне предплечья, проходит через лучезапястный сустав, огибает гороховидную кость, идет по локтевому краю кисти и заканчивается у ногтевого ложа V пальца, где соединяется с меридианом тонкой кишки.

На меридиане сердца 9 точек.

**Е1 цзи-цюань**

Расположение: в подмышечной ямке, где пальпируется пульсация артерии.

**Е2 цин-лин**

Расположение: на передневнутренней поверхности плеча, у внутреннего края двуглавой мышцы, выше локтевого сгиба на 3 цуня.

**Е3 шао-хай**

Расположение: на складке локтевого сгиба, в середине расстояния между внутренним концом складки и внутренним надмышелком плечевой кости.

**Е4 лин-дао**

Расположение: выше проксимальной лучезапястной складки на 1,5 цуня.

**Е5 тун-ли**

Расположение: выше проксимальной лучезапястной складки на 1 цунь, в углублении между сухожилиями.

**Е6 инь-си**

Расположение: выше проксимальной лучезапястной складки на 0,5 цуня, в углублении между сухожилиями.

**Е7 шэнь-мэнь**

Расположение: у локтевого края лучезапястной складки, рядом с лучевой стороной сухожилия мышцы локтевого сгибателя кисти.

**Е8 шао-фу**

Расположение: на ладони в углублении между IV и V пястными костями, немного кзади от пястно-фаланговых суставов.

**Е9 шао-чунь**

Расположение: у лучевого края ногтевого ложа V пальца, выше от угла ногтя на 0,3 см.

- E1 цзи-цюань
- E2 цин-лин
- E3 шао-хай
- E4 лин-дао
- E5 тун-ли
- E6 инь-си
- E7 шэнь-мэнь
- E8 шао-фу
- E9 шао-чун

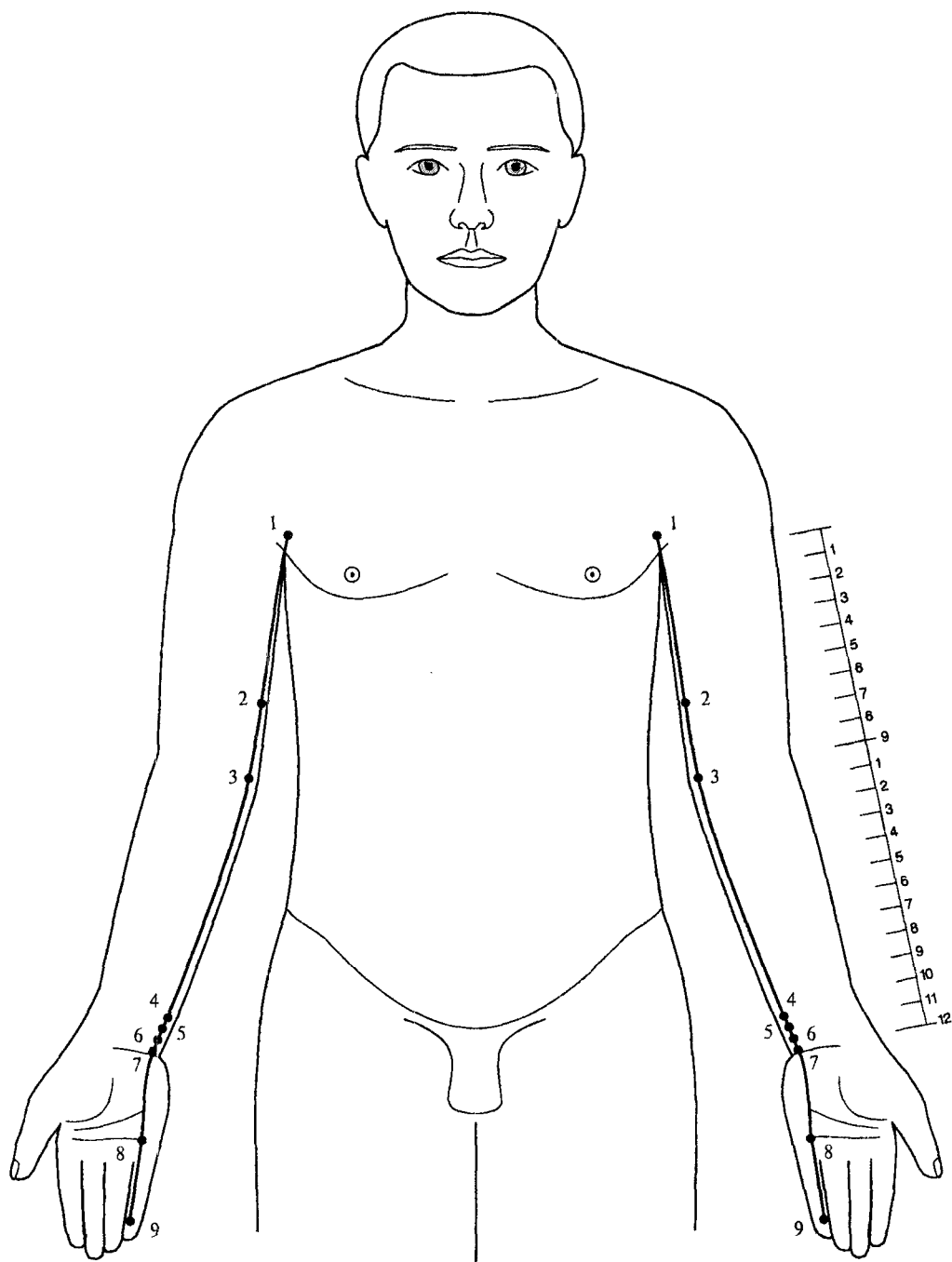


Рис. 95. Меридиан сердца (E).

Меридиан ручной, парный, симметричный и центробежный, относится к системе Инь. В меридиане сердца циркулирует энергия УМ-тепла на уровне витальных энергий, УМ-радости на уровне эмоций и УМ-желания на ментальном уровне. Получает энергию от меридиана селезенки и поджелудочной железы и передает меридиану тонкой кишки. Максимальная активность меридиана сердца от 11 до 13 часов.

## I. Меридиан головного мозга (перикарда) (су-квол-ум, шоу-цзюе-инь, МС, НС, КС)

Наружный ход меридиана головного мозга (рис. 96) начинается в четвертом межреберье, поднимается к третьему межреберью, переходит на переднюю сторону плечевого сустава, плеча, локтевого сустава (ладонно-срединная линия), лучезапястного сустава, проходит по ладони, заканчиваясь на конце III пальца.

На меридиане 9 точек.

### 1 тьянь-чи

Расположение: в четвертом межреберье, снаружи от передней средней линии на 5 цуней.

### 2 тьянь-цюань

Расположение: на передневнутренней поверхности плеча, ниже уровня переднего конца складки подмышечной впадины на 2 цуня, где прощупывается борозда двуглавой мышцы плеча.

### 3 цюй-цзе

Расположение: в середине локтевого сгиба.

### 14 си-мэнь

Расположение: выше проксимальной лучезапястной складки на 5 цуней.

### 15 цзянь-ши

Расположение: выше проксимальной лучезапястной складки на 3 цуня.

### 16 нэй-гуань

Расположение: выше проксимальной лучезапястной складки на 2 цуня, между сухожилиями.

### 17 да-лин

Расположение: в середине лучезапястной складки, в углублении между сухожилиями.

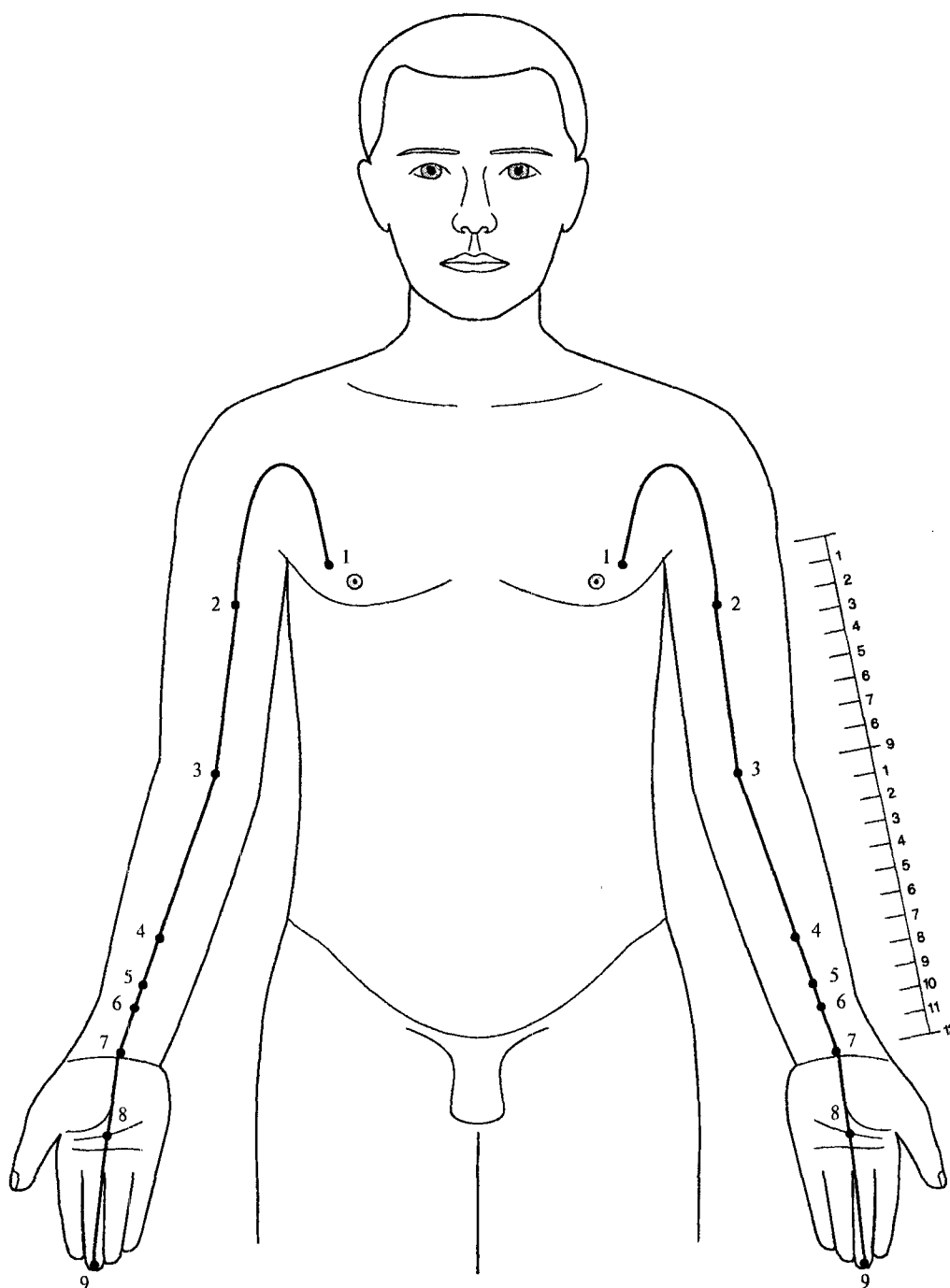
### 18 лао-гун

Расположение: на середине ладони, между III и IV пястными костями (при согнутых пальцах — между кончиками III и IV пальцев).

### 19 чжун-чун

Расположение: на конце (в середине) ногтевой фаланги III пальца, от ногтя на 0,3 см.

- 11 тянь-чи
- 12 тянь-цюань
- 13 цюй-цзе
- 14 си-мэнь
- 15 цзянь-ши
- 16 нэй-гуань
- 17 да-лин
- 18 лао-гун
- 19 чжун-чун



ис. 96. Меридиан головного мозга (перикарда) (1).

Меридиан ручной, парный, симметричный и центробежный, относится к системе Инь. В нем циркулирует энергия УМ-жара на уровне витальных энергий, на эмоциональном уровне — энергия УМ-удовлетворения и на ментальном — УМ-намерения. Получает энергию от меридиана почек, передает меридиану спинного мозга. Период максимальной активности меридиана головного мозга от 19 до 21 часа.

## *D. Меридиан селезенки* (джок-тэ-ум, цзу-тай-инь, Rp, Sp, MP)

Наружный ход меридиана селезенки и поджелудочной железы (рис. 97) начинается на медиальной стороне I пальца стопы. Проходит через плюснефаланговый сустав I пальца к переднему краю внутренней лодыжки, идет на голень вдоль заднего края большеберцовой кости, переходит на передневнутреннюю поверхность коленного сустава и бедра, достигнув середины паховой складки, переходит на переднюю брюшную стенку, где соединяется с переднесрединным меридианом над лоном в точках X3 чжун-цзи и X4 гуань-юань и выше пупка в точках X10 ся-вань и X12 чжун-вань. Затем меридиан поднимается по переднебоковой поверхности грудной клетки, включает точку меридиана желчного пузыря K24 жи-юе и точку меридиана печени L14 ци-мэнь, доходит до второго межреберья, откуда спускается в шестое межреберье и заканчивается на средней подмышечной линии.

На меридиане 21 точка.

### **D1 инь-бай**

Расположение: на медиальной стороне I пальца стопы, на 0,3 см от угла корня ногтя.

### **D2 да-ду**

Расположение: кпереди от плюснефалангового сустава I пальца стопы, в месте перехода тыльной поверхности в подошвенную, где пальпируется углубление.

### **D3 тай-бай**

Расположение: на медиальной поверхности стопы, книзу и кзади от головки I плюсневой кости, во впадине.

### **D4 гунь-сунь**

Расположение: на внутренней стороне стопы, в углублении I плюсневой кости, кзади от плюснефалангового сустава I пальца на 1 цунь.

### **D5 шан-цю**

Расположение: книзу и немного кпереди от медиальной лодыжки, во впадине.

### **D6 сань-инь-цзяо**

Расположение: кзади от большеберцовой кости, выше центра медиальной лодыжки на 3 цуня.

### **D7 лоу-гу**

Расположение: у заднего края большеберцовой кости, выше центра медиальной лодыжки на 6 цуней.

### **D8 ди-цзи**

Расположение: ниже нижнего края медиального надмыщелка бедренной кости на 5 цуней.

### **D9 инь-лин-цюань**

Расположение: во впадине ниже медиального мыщелка большеберцовой кости, ниже нижнего края надколенника на 2 цуня.

### **D10 сюе-хай**

Расположение: на нижней части внутреннепередней поверхности бедра, выше медиального надмыщелка бедренной кости и верхнего уровня коленной чашечки на 2 цуня.

### **D11 цзи-мэнь**

Расположение: на внутренней поверхности бедра, на 6 цуней вертикально выше верхнего края коленной чашечки.

### **D12 чун-мэнь**

Расположение: в середине паховой складки, на уровне верхнего края лобкового сочленения (точка X2 цюй-гу), в сторону от средней линии живота на 3,5 цуня.

### **D13 фу-шэ**

Расположение: выше середины паховой складки и выше точки D12 чун-мэнь на 2 см, в сторону от средней линии живота на 4 цуня.

### **D14 фу-цзе**

Расположение: ниже уровня пупка на 1,3 цуня и в сторону от средней линии живота на 4 цуня.

### **D15 да-хэн**

Расположение: на уровне пупка, в сторону от средней линии живота на 4 цуня.

### **D16 фу-ай**

Расположение: выше уровня пупка на 3 цуня и в сторону от средней линии живота, на 4 цуня.

### **D17 ши-доу**

Расположение: в пятом межреберье, кнаружи от средней линии груди на 6 цуней.

### **D18 тянь-си**

Расположение: в четвертом межреберье, в сторону от средней линии груди на 6 цуней.

### **D19 сюн-сян**

Расположение: в третьем межреберье, в сторону от средней линии груди на 6 цуней.

### **D20 чжоу-жун**

Расположение: во втором межреберье, в сторону от средней линии груди на 6 цуней.

### **D21 да-бао**

Расположение: в месте пересечения средней подмышечной линии и шестого межреберья.



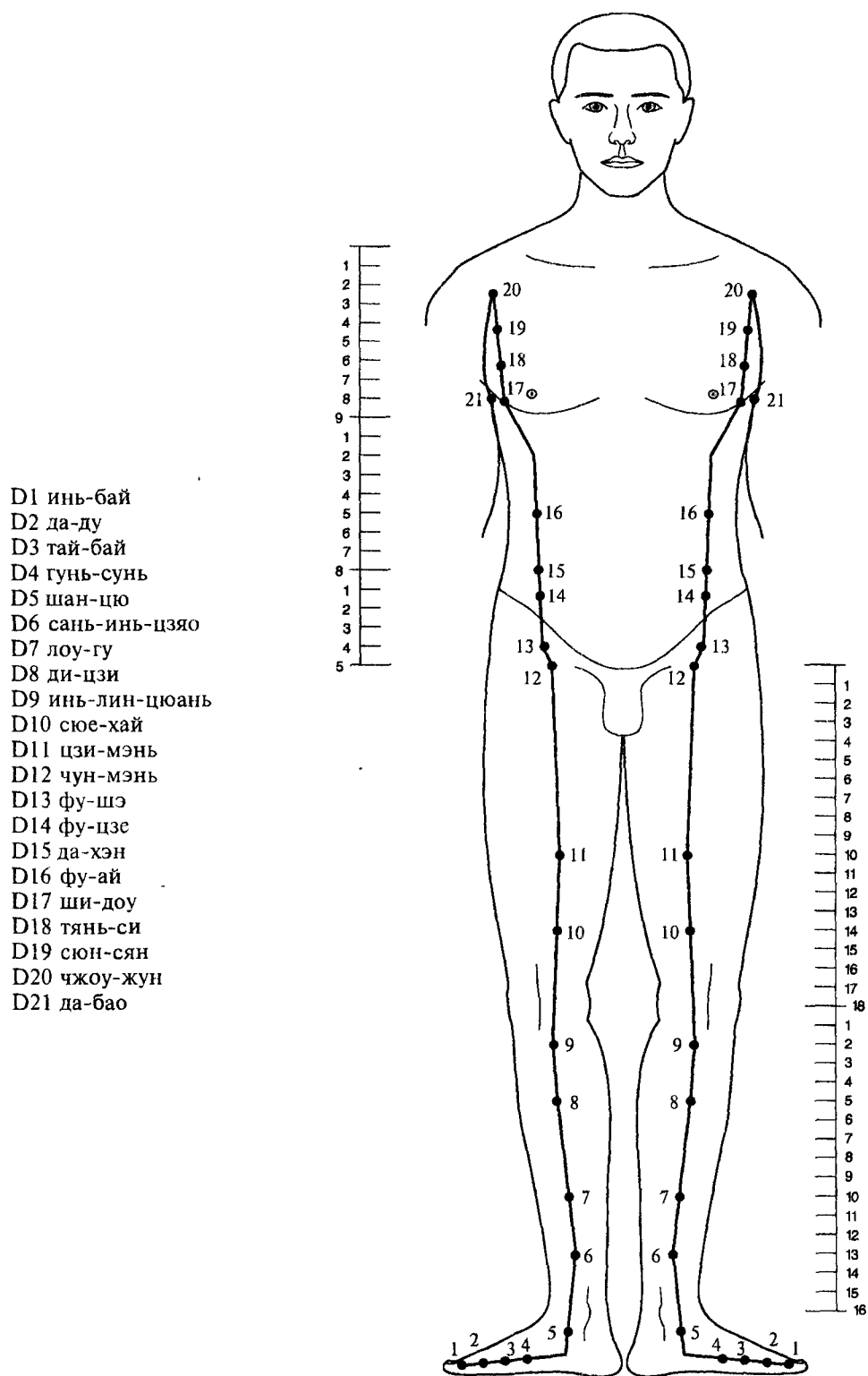


рис. 97. Меридиан селезенки (D).

Меридиан ножной, парный, симметричный и центростремительный, относится к системе Инь.

В меридиане селезенки и поджелудочной железы циркулирует энергия УМ-влажности на уровне витальных энергий, УМ-тревоги на эмоциональном уровне и УМ-сознания на ментальном уровне. Получает энергию от меридиана желудка и передает меридиану сердца. Период максимальной активности меридиана селезенки от 9 до 11 часов.

## А. Меридиан легких (су-тэ-ум, шоу-тай-инь, Р, LU, LU)

Наружный ход меридиана легких (рис. 98) начинается из грудной клетки в первом межреберье, поднимается к ключице, спускается по передней стороне плеча по наружному краю двуглавой мышцы, в области предплечья соответствует ходу лучевой артерии, затем переходит на кисть, идет по наружному краю короткой отводящей мышцы I пальца и заканчивается у луцевого края ногтевого ложа I пальца. Ответвление наружного хода от точки А7 леще проходит по тыльной стороне кисти ко II пальцу, где происходит соединение меридиана легких с меридианом толстой кишки (в точке В1 шан-ян).

На меридиане 11 точек.

### А1 чжун-фу

Расположение: в первом межреберье, снаружи от сосковой линии на 1 цуня.

### А2 юнь-мэнь

Расположение: в подключичной ямке, выше точки А1 чжун-фу на 3 цуня, у нижнего края акромиального конца ключицы.

### А3 тянь-фу

Расположение: на передней поверхности плеча, ниже уровня подмышечной впадины на 3 цуня, у наружного края двуглавой мышцы.

### А4 ся-бай

Расположение: на плече, ниже уровня подмышечной впадины на 1 цуня, выше складки локтевого сгиба на 5 цуней, у наружного края двуглавой мышцы плеча.

### А5 чи-цзе

Расположение: в центре складки локтевого сгиба, у лучевого края сухожилия двуглавой мышцы плеча.

### А6 кун-цзуй

Расположение: на ладонной поверхности предплечья, выше лучезапястной складки на 7 цуней.

### А7 ле-цюе

Расположение: на лучевой стороне предплечья, чуть выше шиловидного отростка, где пальпируется углубление, выше лучезапястной складки на 1,5 цуня.

### А8 цзин-цюй

Расположение: на 1 цунь выше проксимальной лучезапястной складки, на лучевой артерии, где пальпируется пульс (место цунь — коу).

### А9 тай-юань

Расположение: у лучевого конца проксимальной лучезапястной складки, чуть ниже шиловидного отростка лучевой кости.

### А10 юй-цзи

Расположение: на кисти, у середины I пястной кости, на границе ладонной и тыльной поверхностей кисти с лучевой стороны.

### А11 шао-шан

Расположение: на лучевом крае I пальца руки, на 3 мм от угла ногтевого ложа.

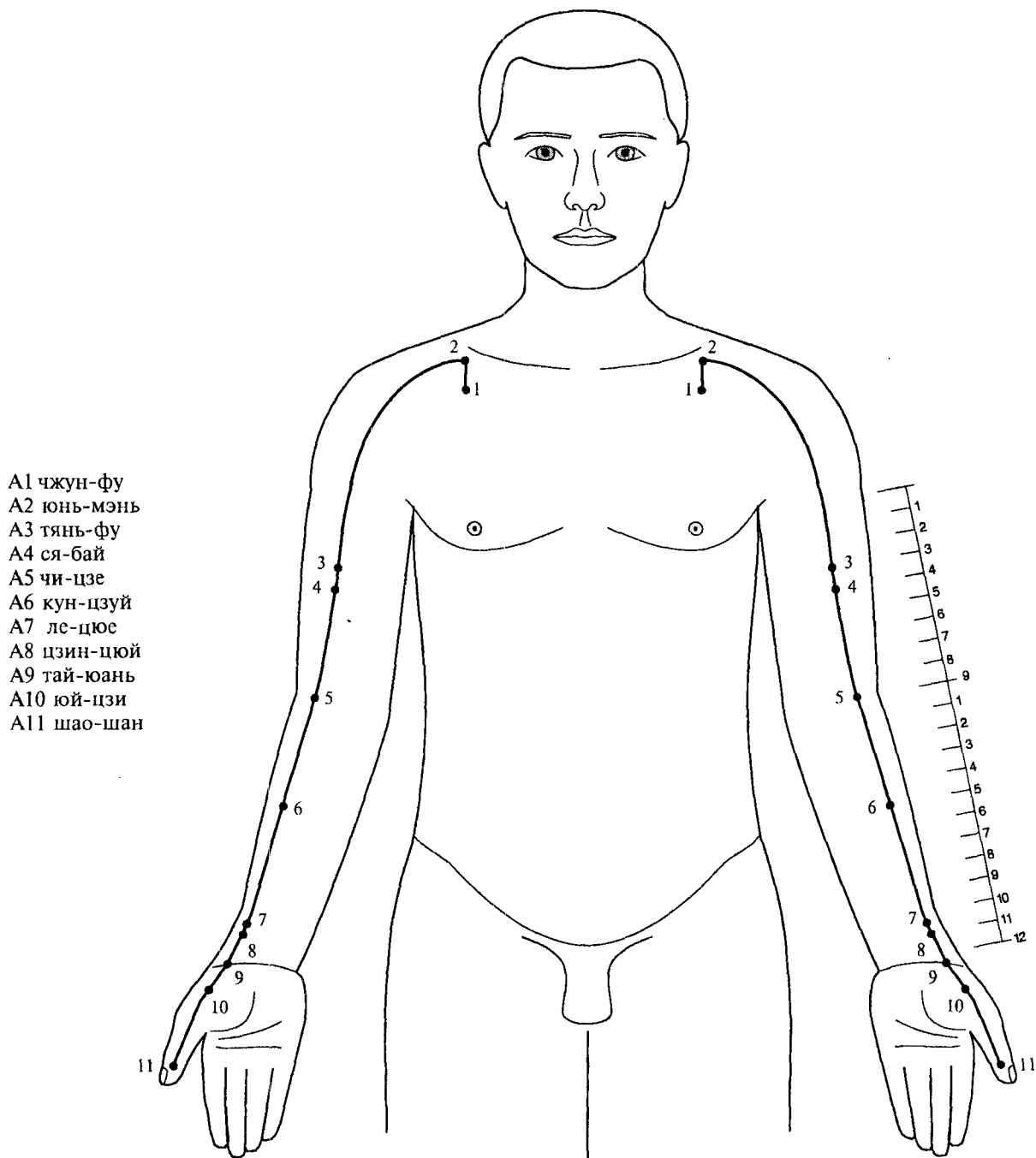


рис. 98. Меридиан легких (А).

Меридиан ручной, парный, симметричный и центробежный, относится к системе Инь.

В меридиане легких циркулирует энергия УМ-сухости на уровне витальных энергий, энергия УМ-печали на уровне эмоций и энергия УМ-воли на ментальном уровне. Принимает энергию от меридиана печени, передает ее меридиану толстой кишки. Период максимальной активности меридиана легких от 3 до 5 часов.

## Н. Меридиан почек (джок-со-ум, цзу-шао-инь, R, K, N)

Наружный ход меридиана почек (рис. 99) начинается в центре подошвы, выходит по внутренней стороне стопы к верхнему краю пяточной кости, опускается вниз и идет назад к середине медиальной поверхности пяточной кости, проходит ниже внутренней лодыжки (образует как бы петлю на пяточной кости). Затем идет по внутреннезадней поверхности голени и бедра к промежности (подходит к точке Х1 хуэй-инь); отсюда начинается внутренний ход меридиана, который погружается внутрь таза. Далее меридиан идет по лобку, животу и груди, заканчиваясь в подключичной ямке.

На меридиане 27 точек.

### Н1 юн-цюань

Расположение: в центре подошвы, в ямке между II и III плюсневными костями, на уровне 2/5 расстояния от конца II пальца до задней стороны пятки.

### Н2 жань-гу

Расположение: на внутренней поверхности свода стопы, во впадине кпереди и чуть ниже бугорка ладьевидной кости.

### Н3(5) тай-си

Расположение: во впадине выше пяточной кости, между медиальной лодыжкой и ахилловым сухожилием.

### Н4(6) да-чжун

Расположение: кпереди от места прикрепления ахиллова сухожилия к пяточной кости, ниже точки Н3 тай-си на 1,5 см.

### Н5(4) шуй-цюань

Расположение: кпереди и кверху от бугра пяточной кости, где пальпируется впадина, ниже точки Н3 тай-си на 1 цунь.

### Н6(3) чжао-хай

Расположение: кзади от бугра ладьевидной кости, ниже медиальной лодыжки на 1 см.

### Н7 фу-лю

Расположение: выше уровня центра медиальной лодыжки на 2 цуня и немного кзади, в месте перехода икроножной мышцы в ахиллово сухожилие.

### Н8 цзяо-синь

Расположение: вертикально выше центра медиальной лодыжки на 2 цуня, кпереди от точки Н7 фу-лю.

### Н9 чжу-бинь

Расположение: выше центра медиальной лодыжки на 5 цуней.

### Н10 инь-гу

Расположение: у внутреннего конца подколенной складки, кзади от медиального мыщелка большеберцовой кости, где пальпируется пульсация артерии.

### Н11 хэн-гу

Расположение: на уровне верхнего края лобкового симфиза, в сторону от средней линии живота на 0,5 цуня, ниже уровня пупка на 5 цуней.

### Н12 да-хэ

Расположение: в сторону от средней линии живота на 0,5 цуня, выше лобковой кости на 1 цунь, ниже уровня пупка на 4 цуня.

### Н13 ци-сюе

Расположение: выше лобковой кости на 2 цуня, ниже уровня пупка на 3 цуня, в сторону от средней линии живота на 0,5 цуня.

### Н14 сы-мань

Расположение: ниже уровня пупка на 2 цуня и в сторону от средней линии живота на 0,5 цуня.

### Н15 чжун-чжу

Расположение: ниже уровня пупка на 1 цунь и в сторону от средней линии живота на 0,5 цуня.

### Н16 хуан-шу

Расположение: на уровне пупка и в сторону от средней линии живота на 0,5 цуня.

### Н17 шан-цюй

Расположение: выше уровня пупка на 2 цуня и в сторону от средней линии живота на 0,5 цуня.

### Н18 ши-гуань

Расположение: выше уровня пупка на 3 цуня и в сторону от средней линии живота на 0,5 цуня.

### Н19 инь-ду

Расположение: выше уровня пупка на 4 цуня и в сторону от средней линии живота на 0,5 цуня.

### Н20 фу-тун-гу

Расположение: выше уровня пупка на 5 цуней и в сторону от средней линии живота на 0,5 цуня.

### Н21 ю-мэнь

Расположение: выше уровня пупка на 6 цуней и в сторону от средней линии живота на 0,5 цуня.

### Н22 бу-лан

Расположение: в пятом межреберье, кнаружи от средней линии груди на 2 цуня.

### Н23 шэнь-фэн

Расположение: в четвертом межреберье, кнаружи от средней линии груди на 2 цуня.

### Н24 лин-сюй

Расположение: в третьем межреберье, кнаружи от средней линии груди на 2 цуня.

### Н25 шэнь-цан

Расположение: во втором межреберье, кнаружи от средней линии груди на 2 цуня.

### Н26 юй-чжун

Расположение: в первом межреберье, кнаружи от средней линии груди на 2 цуня.

### Н27 шу-фу

Расположение: у нижнего края ключицы в подключичной ямке, кнаружи от средней линии груди на 2 цуня.

- H1 юн-цюань
- H2 жань-гу
- H3(5) тай-си
- H4(6) да-чжун
- H5(4) шуй-цюань
- H6(3) чжао-хай
- H7 фу-лю
- H8 цзяо-синь
- H9 чжу-бинь
- H10 инь-гу
- H11 хэн-гу
- H12 да-хэ
- H13 ци-сюе
- H14 сы-мань
- H15 чжун-чжу
- H16 хуан-шу
- H17 шан-цюй
- H18 ши-гуань
- H19 инь-ду
- H20 фу-тун-гу
- H21 ю-мэнь
- H22 бу-лан
- H23 шэнь-фэн
- H24 лин-сюй
- H25 шэнь-дан
- H26 юй-чжун
- H27 шу-фу

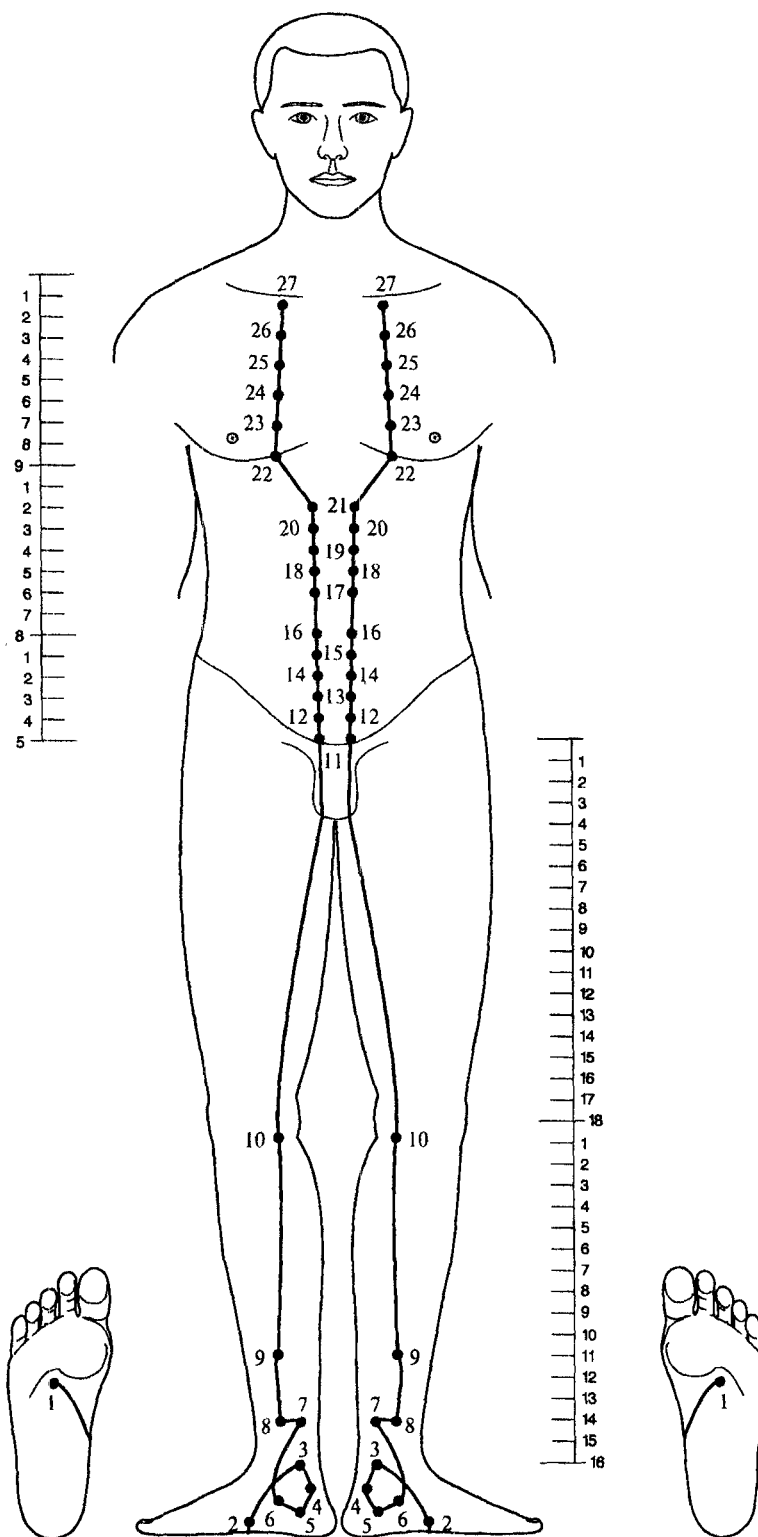


Рис. 99. Меридиан почек (H).

Меридиан ножной, парный, симметричный и центростремительный, относится к системе Инь.

В нем циркулирует энергия УМ-холода на уровне витальных энергий, энергия УМ-страха на эмоциональном уровне, энергия УМ-мудрости на уровне ментальных энергий. Получает энергию от меридиана мочевого пузыря и передает ее меридиану перикарда. Максимальная активность меридиана почек от 17 до 19 часов.

### 2.3. АУ-меридианы (чудесные)

#### Z. Меридиан эпифиза (вертикальный сердцевинный меридиан)

Меридиан эпифиза проходит вдоль вертикальной оси внутри тела и выходит на поверхность в точках Y20 бай-хуэй и X1 хуэй-инь (рис. 100).

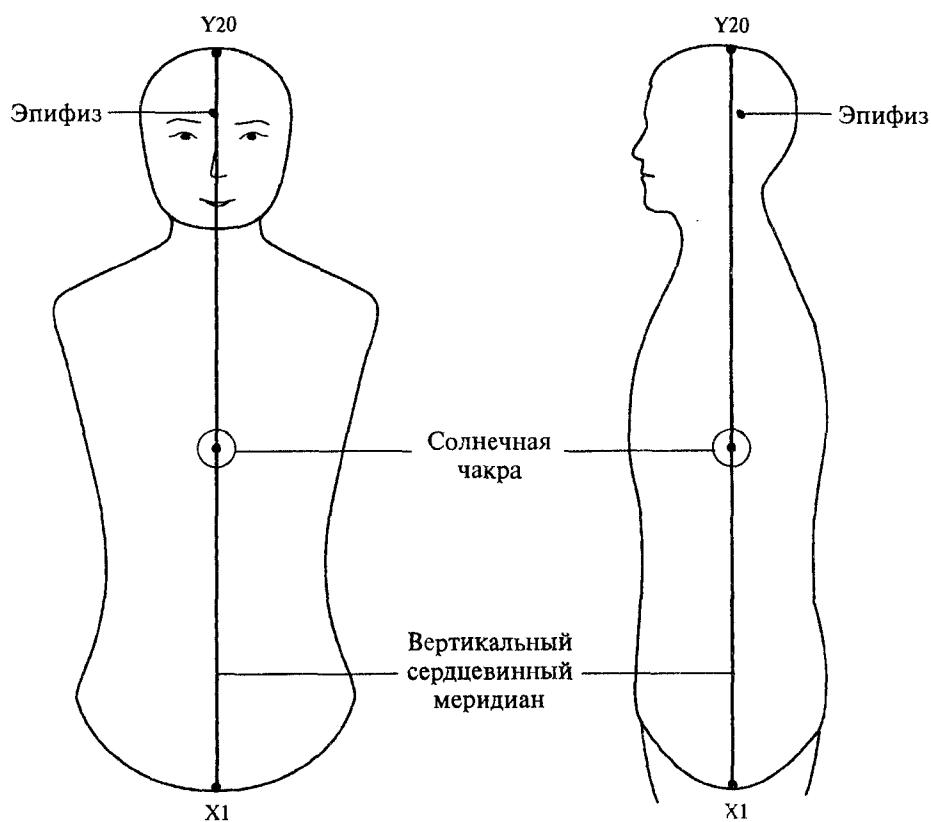


Рис. 100. Меридиан эпифиза (Z).

Меридиан непарный, контролирует Нейтро-группу меридианов (чудесные сосуды), связан с солнечной чакрой.

## *Р. Меридиан тимуса (наружный пяточный меридиан, ян-цзяо-май, ЧМII\*)*

Меридиан тимуса начинается под наружной лодыжкой в точке G62 шэнь-май, поднимается по заднему краю малоберцовой кости, по наружной поверхности бедра, по заднебоковой поверхности грудной клетки, пересекая заднюю подмышечную складку, огибает плечо и поднимается по шее, огибает рот и подходит к точке G1 цин-мин. Затем он поднимается через лоб, огибает ухо, достигает точки K20 фэн-чи и в области затылка входит в мозг. Меридиан связывает точки: G62 шэнь-май, G61 пу-шэнь, G59 фу-ян, K29 цзюй-ляо, F10 нао-шу, B15 цзянь-юй, B16 цзюй-гу, C4 ди-цан, C3 цзюй-ляо, C1 чэн-ци, G1 цин-мин, K20 фэн-чи, Y16 фэн-фу, Y2 яо-шу (рис. 101).

Точка-ключ — G62 шэнь-май. У этого меридиана нет анастомозов, но точка-ключ входит также в траекторию ян-вэй-май. Связующая точка с ду-май — F3 хоу-си.

Основная функция ян-цзяо-май — «ускоритель Ян».

### **G62 шэнь-май**

Расположение: ниже наружной лодыжки на 1,5 см, у нижнего края блокового выступа пяточной кости, во впадине, на границе подошвенной и тыльной поверхностей стопы.

### **G61 пу-шэнь**

Расположение: во впадине на наружной поверхности пятки ниже пяточного бугра, вертикально вниз от точки G60 кунь-лунь на 1,5 цуня.

### **G59 фу-ян**

Расположение: у наружного края ахиллова сухожилия, выше уровня центра латеральной лодыжки на 3 цуня.

### **K29 цзюй-ляо**

Расположение: вверху бедра, во впадине ниже передней ости подвздошной кости, на 3 цуня ниже точки K28 вэй-дао.

### **F10 нао-шу**

Расположение: сзади от плечевого сустава, у наружного края лопатки, ниже акромиального отростка, где пальпируется углубление.

### **B15 цзянь-юй**

Расположение: между акромиальным отростком лопатки и большим бугром плечевой кости, где при поднимании руки образуется углубление.

### **B16 цзюй-гу**

Расположение: во впадине, образующей сочленением ключицы и акромиального отростка лопатки, на высоте плечевого сустава.

### **C4(6) ди-цан**

Расположение: кнаружи от угла рта на 1 см, на вертикальной линии от зрачка.

### **C3(6) цзюй-ляо (носовая)**

Расположение: в носогубной складке, на пересечении вертикальной линии от центра зрачка с горизонтальной линией через точку Y26 жэнь-чжун.

### **C1(2) чэн-ци**

Расположение: под зрачком, на середине нижнего края орбиты.

### **G1 цин-мин**

Расположение: кнутри от внутреннего угла глаза на 0,3 см.

### **K20 фэн-чи**

Расположение: под затылочной костью, выше задней границы роста волос на 1 цунь, в ямке у наружного края трапециевидной мышцы, где пальпируется углубление.

### **Y16(15) фэн-фу**

Расположение: между затылочной костью и I шейным позвонком, выше задней границы роста волос на 1 цунь.

### **Y2 яо-шу**

Расположение: над крестцово-копчиковым сочленением.

\*Приводятся индексы чудесных меридианов по Табеевой Д.М.



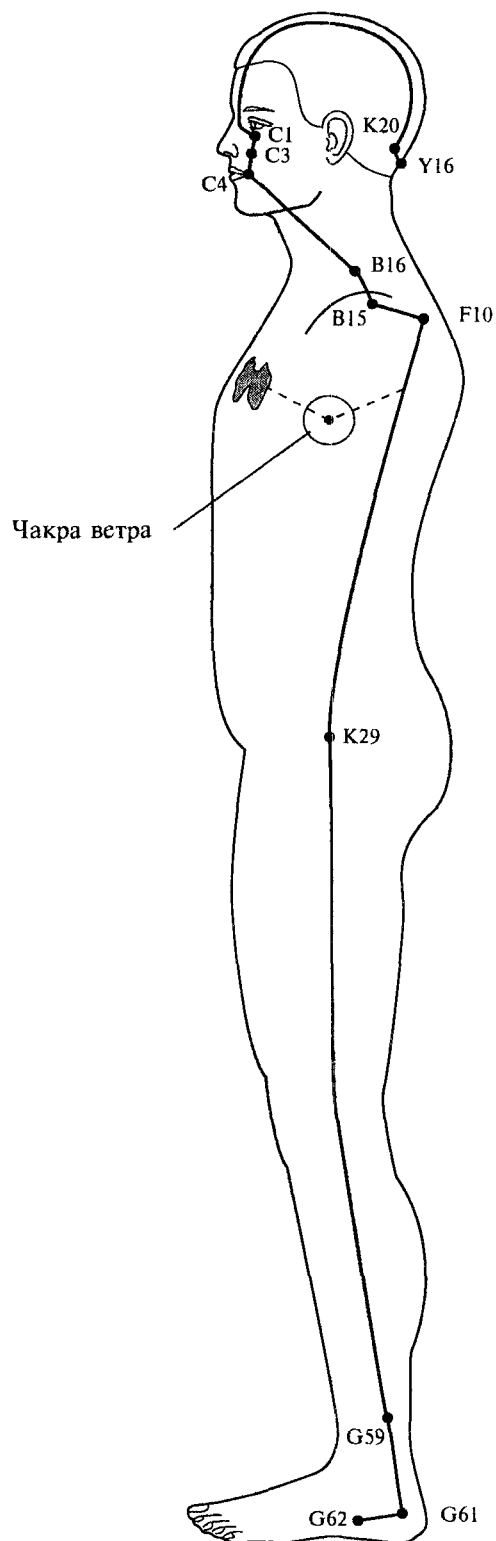


Рис. 101. Меридиан тимуса (R).  
Меридиан парный, связан с чакрой ветра.

## *Q. Меридиан щитовидной железы (наружный поддерживающий меридиан, ян-вэй-май, ЧМIII)*

Меридиан щитовидной железы начинается в точке G63 цзинь-мэнь, поднимается по наружной поверхности ноги, боковой поверхности туловища, огибает сзади плечевой сустав, подходит к сосцевидному отростку, затем идет к области лба и направляется назад по ходу меридиана желчного пузыря, а на затылке соединяется с заднесрединным меридианом. Меридиан связывает точки: G63 цзинь-мэнь, K35 ян-цзяо, F10 нао-шу, J15 тянь-ляо, K21 цзянь-цзин, K11 тоу-цяо-инь, C8 тоу-вэй, K13 бэнь-шэнь, K14 ян-бай, K16 му-чуан, K17 чжэн-ин, K18 чэн-лин, K19 нао-кун, K20 фэн-чи, Y16 фэн-фу, Y15 я-мэнь (рис. 102).

Связь с точкой-ключом — J5 вай-гуань — возникает через точку J13 нао-хуэй. Связующая точка с дай-май — K41 цзу-линь-ци.

Основная функция ян-вэй-май — «хранитель Ян».

### **G63 цзинь-мэнь**

Расположение: ниже и впереди от латеральной лодыжки, в углублении у края кубовидной кости, на границе тыльной и подошвенной поверхностей стопы (впереди и немного ниже точки G62 шэнь-май).

### **K35 ян-цзяо**

Расположение: на переднебоковой поверхности голени, выше центра латеральной лодыжки на 7 цуней.

### **F10 нао-шу**

Расположение: сзади от плечевого сустава, у наружного края лопатки, ниже акромиального отростка, где пальпируется углубление.

### **J15 тянь-ляо**

Расположение: в верхней части лопатки, в надостной ямке.

### **K21 цзянь-цзин**

Расположение: на середине расстояния от средней линии спины до бугра плечевой кости (точка B15 цзянь-юй), на уровне промежутка между остистыми отростками VII шейного и I грудного позвонков (точка Y14 да-чжуй).

### **K11 тоу-цяо-инь**

Расположение: у основания сосцевидного отростка, на уровне горизонтальной линии, проведенной через верхний край отверстия наружного слухового прохода, ниже точки K10 фу-бай на 1 цунь.

### **C8(1) тоу-вэй**

Расположение: в углу лба, в волосистой части головы, на 1,5 см от угла лба в сторону височной впадины или снаружи от точки Y24 шэнь-тин на 4,5 цуня.

### **K13 бэнь-шэнь**

Расположение: в сторону от средней линии головы (на уровне точки Y24 шэнь-тин) на 3 цуня, на вертикальной линии, поднимающейся от наружного угла глаза.

### **K14 ян-бай**

Расположение: выше середины брови на 1 цунь, перпендикулярно выше зрачка прямо смотрящего глаза.

### **K16 му-чуан**

Расположение: сзади от точки K15 тоу-лин-ци на 1,5 цуня.

### **K17 чжэн-ин**

Расположение: выше передней границы роста волос на 3,5 цуня (выше точки K15 тоу-лин-ци на 3 цуня) и сзади от точки K16 му-чуан на 1,5 цуня.

### **K18 чэн-лин**

Расположение: в области теменного бугра, сзади от точки K15 тоу-лин-ци на 4,5 цуня и от точки K17 чжэн-ин на 1,5 цуня, на одной линии с точкой Y20 бай-хуэй.

### **K19 нао-кун**

Расположение: снаружи от верхней границы затылочного бугра (и точки Y17 нао-ху) на 2 цуня и выше нижней границы затылочной кости (и точки K20 фэн-чи) на 1,5 цуня.

### **K20 фэн-чи**

Расположение: под затылочной костью, выше задней границы роста волос на 1 цунь, в ямке у наружного края трапецевидной мышцы, где пальпируется углубление.

### **Y16(15) фэн-фу**

Расположение: между затылочной костью и I шейным позвонком, выше задней границы роста волос на 1 цунь.

### **Y15(14) я-мэнь**

Расположение: между I и II шейными позвонками, выше задней границы роста волос на 0,5 цуня.

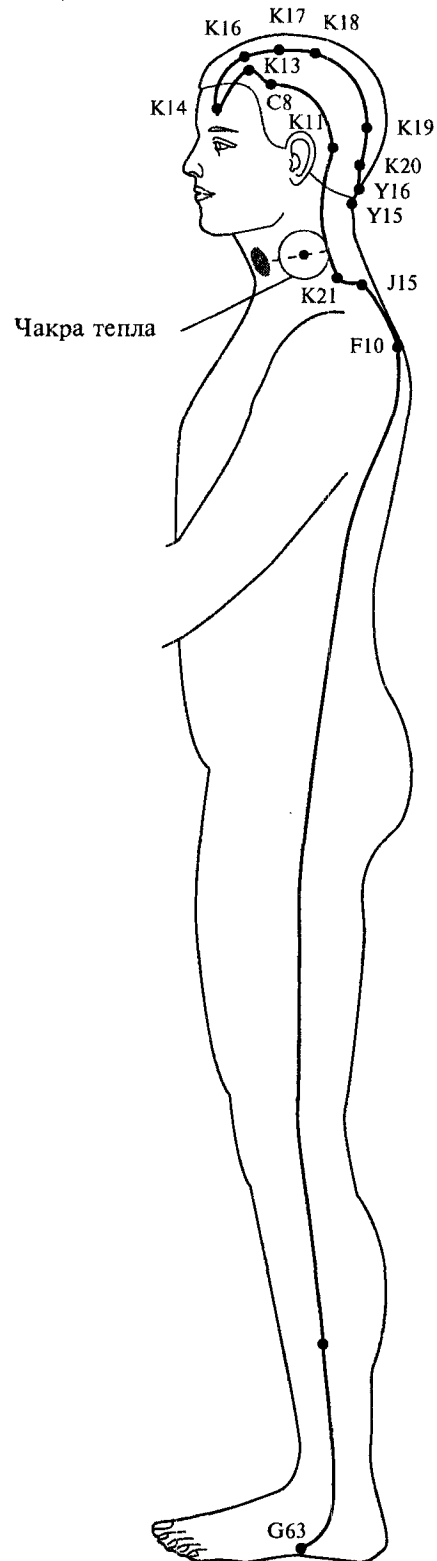


Рис. 102. Меридиан щитовидной железы (Q).  
Меридиан парный, связан с чакрой тепла.

## *V. Меридиан гипофиза (опоясывающий меридиан, дай-май, ЧМIV)*

Меридиан гипофиза начинается от IV поясничного позвонка, идет параллельно подреберьям, спускаясь к животу, огибая все тело, как пояс; имеются поперечные анастомозы между меридианами мочевого пузыря — почки, желчного пузыря — печени, желудка — селезенки. Меридиан связывает точки: К26 дай-май, К27 у-шу, К28 вэй-дао (рис. 103). Дай-май как бы обматывает тело на уровне указанных точек.

Точка-ключ — К41 цзу-линь-ци; связующая точка с ян-вэй-май — J5 вай-гуань.

Основная функция дай-май — «регулятор Ян».

### **К41 цзу-линь-ци**

Расположение: в середине латеральной стороны стопы, в задней части щели между IV и V плюсневых костями, где пальпируется впадина.

### **J5 вай-гуань**

Расположение: на тыльной поверхности предплечья, выше проксимальной лучезапястной складки сустава на 2 цуня.

### **К26 дай-май**

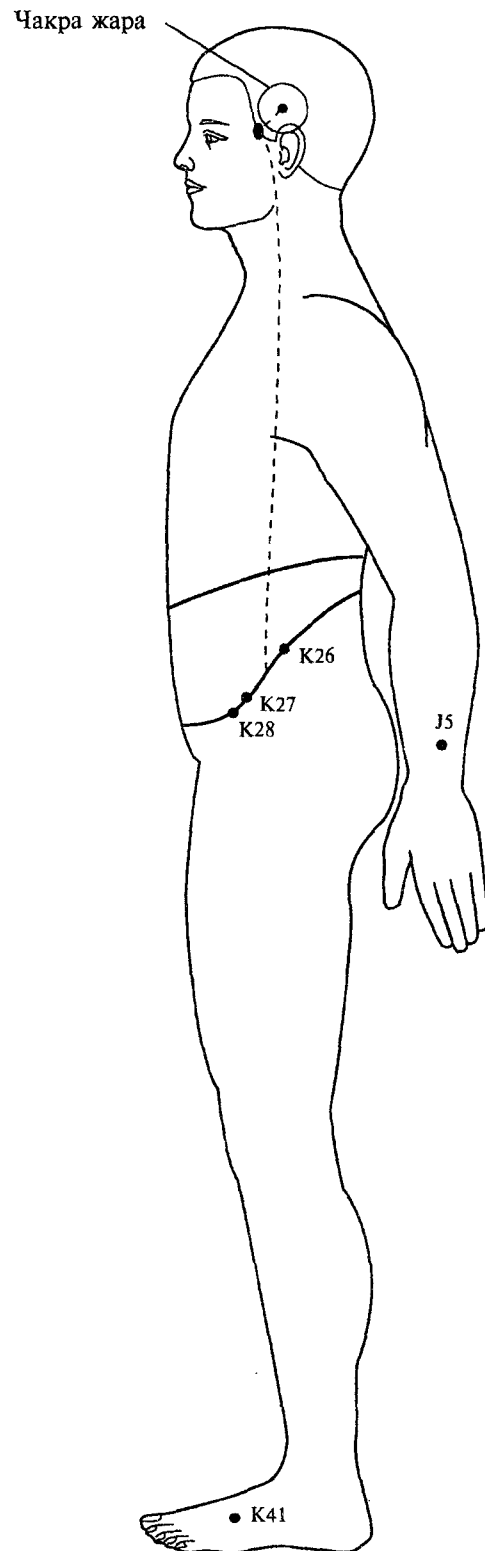
Расположение: на горизонтальной линии, проведенной от пупка, чуть ниже свободного конца XI ребра.

### **К27 у-шу**

Расположение: ниже уровня пупка и ниже свободного края XI ребра (ниже точки К26 дай-май) на 3 цуня.

### **К28 вэй-дао**

Расположение: впереди от гребня подвздошной кости, ниже точки К27 у-шу на 0,5 цуня.



*Рис. 103. Меридиан гипофиза (V).  
Меридиан парный, связан с чакрой жара.*

## *W. Меридиан поджелудочной железы (поднимающийся меридиан, чун-май, ЧМVIII)*

Меридиан поджелудочной железы состоит из наружной и внутренней траекторий. Наружная траектория начинается в промежности от точки X1 хуэй-инь, подходит к точке С30 ци-чун, а далее следуя по ходу канала почек до точки H21 ю-мэнь. Меридиан связывает точки: X1 хуэй-инь, С30 ци-чун, H11 хэн-гу, H12 да-хэ, H13 ци-сюе, H14 сы-мань, H15 чжун-чжу, H16 хуан-гу, H17 шан-цюй, H18 ши-гуань, H19 инь-ду, H20 фу-тун-гу, H21 ю-мэнь, Y28 инь-цзяо (рис. 104).

Внутренняя траектория, начинаясь тоже в точке X1 хуэй-инь, идет в малом тазу вдоль позвоночника, соединяясь с внутренним ходом меридиана почек, подходит к половым органам почкам.

Точка-ключ — D4 гунь-сунь; связующая точка с инь-вэй-май — I6 нэй-гуань.

Основная функция чун-май — «море» 12 постоянных меридианов.

### **4 гунь-сунь**

Расположение: на внутренней стороне стопы, в углублении I плюсневой кости, позади от плюснефалангового сустава I пальца на 1 цунь.

### **6 нэй-гуань**

Расположение: выше проксимальной лучезапястной складки на 2 цуня, между сухожилиями.

### **1 хуэй-инь**

Расположение: между наружными оловыми органами и задним проходом.

### **30 ци-чун**

Расположение: у верхнего края обковой кости, снаружи от средней линии живота на 2 цуня.

### **11 хэн-гу**

Расположение: на уровне верхнего края лобкового симфиза, в сторону от средней линии живота на 0,5 цуня, ниже уровня пупка на 5 цуней.

### **12 да-хэ**

Расположение: в сторону от средней линии живота на 0,5 цуня, выше лобковой кости на 1 цунь, ниже уровня пупка на 4 цуня.

### **H13 ци-сюе**

Расположение: выше лобковой кости на 2 цуня, ниже уровня пупка на 3 цуня, в сторону от средней линии живота на 0,5 цуня.

### **H14 сы-мань**

Расположение: ниже уровня пупка на 2 цуня и в сторону от средней линии живота на 0,5 цуня.

### **H15 чжун-чжу**

Расположение: ниже уровня пупка на 1 цунь и в сторону от средней линии живота на 0,5 цуня.

### **H16 хуан-гу**

Расположение: на уровне пупка и в сторону от средней линии живота на 0,5 цуня.

### **H17 шан-цюй**

Расположение: выше уровня пупка на 2 цуня и в сторону от средней линии живота на 0,5 цуня.

### **H18 ши-гуань**

Расположение: выше уровня пупка на 3 цуня и в сторону от средней линии живота на 0,5 цуня.

### **H19 инь-ду**

Расположение: выше уровня пупка на 4 цуня и в сторону от средней линии живота на 0,5 цуня.

### **H20 фу-тун-гу**

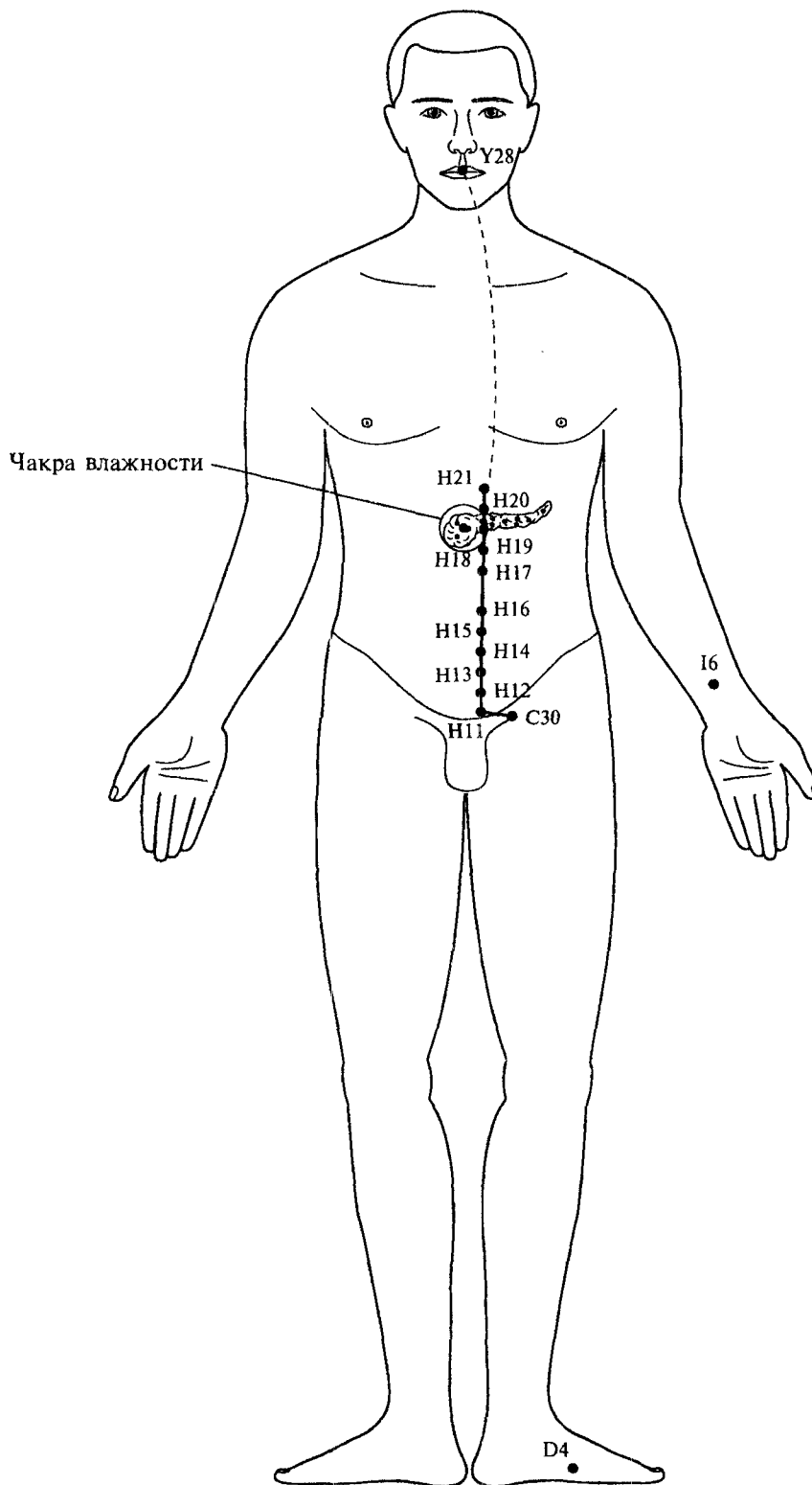
Расположение: выше уровня пупка на 5 цуней и в сторону от средней линии живота на 0,5 цуня.

### **H21 ю-мэнь**

Расположение: выше уровня пупка на 6 цуней и в сторону от средней линии живота на 0,5 цуня.

### **Y28(27) инь-цзяо**

Расположение: на границе перехода слизистой оболочки верхней губы в десну, т.е. на уздечке верхней губы.



*Рис. 104. Меридиан поджелудочной железы (W).  
Меридиан парный, связан с чакрой влажности.*



*S. Меридиан надпочечников  
(внутренний пяточный меридиан, инь-цзяо-май, ЧМVI)*

Меридиан надпочечников начинается под медиальной лодыжкой от точки Н6 чжао-хай, поднимается по внутренней поверхности голени и бедра, огибает половые органы, подходит к точке Х3 чжун-цзи, затем по ходу меридиана желудка поднимается к лицу и заканчивается у внутреннего угла глаза. Меридиан связывает точки: Н6 чжао-хай, Н8 цзяо-синь, G1 цин-мин (рис. 105).

Точка-ключ — Н6 чжао-хай; связующая точка с жэнь-май — А7 ле-цюе.

Основная функция инь-цзяо-май — «ускоритель Инь».

**Н6(3) чжао-хай**

Расположение: кзади от бугра ладьевидной кости, ниже медиальной лодыжки на 1 см.

**Н8 цзяо-синь**

Расположение: вертикально выше центра медиальной лодыжки на 2 цуня, кпереди от точки Н7 фулю.

**G1 цин-мин**

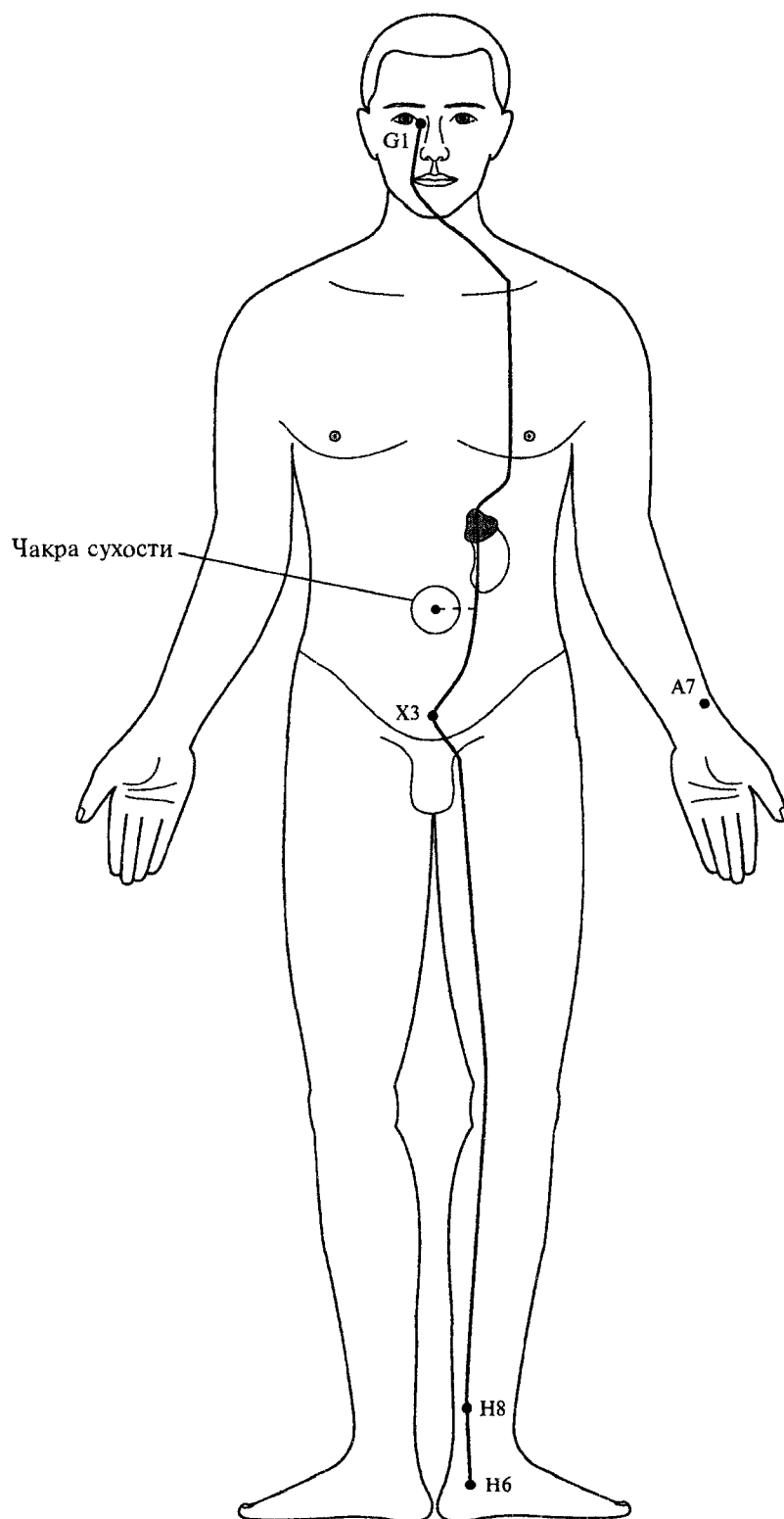
Расположение: кнутри от внутреннего угла глаза на 0,3 см.

**А7 ле-цюе**

Расположение: на лучевой стороне предплечья, чуть выше шиловидного отростка, где пальпируется углубление, выше лучезапястной складки на 1,5 цуня.

**Х3 чжун-цзи**

Расположение: на средней линии живота, ниже пупка на 4 цуня.



*Рис. 105. Меридиан надпочечников (S).  
Меридиан парный, связан с чакрой сухости.*

*Т. Меридиан яичников, яичек  
(внутренний поддерживающий меридиан, инь-вэй-май, ЧМVII)*

Меридиан яичников (яичек) начинается на внутренней поверхности голени от точки Н9 жу-бинь, по внутренней поверхности ноги поднимается к животу, где соединяется с каналом елезенки, поднимается по нему к грудной клетке, где соединяется с переднесрединным каналом и заканчивается на шее в точке Х23 лян-цюань. Меридиан связывает точки: Н9 чжу-бинь, Д12 чун-мэнь, Д13 фу-шэ, Д15 да-хэн, Д16 фу-ай, Л14 ци-мэнь, Х22 тянь-ту, Х23 лян-цюань (рис. 106). Через переднесрединный меридиан обеспечивается связь и с другими чудесными меридианами.

Точка-ключ — І6 нэй-гуань; связующая точка с чун-май — Д4 гунь-сунь.

Основная функция инь-вэй-май — «хранитель Инь».

**І6 нэй-гуань**

Расположение: выше проксимальной лучезапястной складки на 2 цуня, между сухожилиями.

**Д4 гунь-сунь**

Расположение: на внутренней стороне стопы, в углублении І плюснефалангового сустава І пальца на 1 цунь.

**Н9 чжу-бинь**

Расположение: выше центра медиальной лодыжки на 5 цуней.

**Д12 чун-мэнь**

Расположение: в середине паховой складки, на уровне верхнего края тазобедренного сочленения (точка Х2 цюй-гу), в сторону от средней линии живота на 3,5 цуня.

**Д13 фу-шэ**

Расположение: выше середины паховой складки и выше точки Д12 чун-мэнь на 2 см, в сторону от средней линии живота на 4 цуня.

**Д15 да-хэн**

Расположение: на уровне пупка, в сторону от средней линии живота на 4 цуня.

**Д16 фу-ай**

Расположение: выше уровня пупка на 3 цуня и в сторону от средней линии живота на 4 цуня.

**Л14 ци-мэнь**

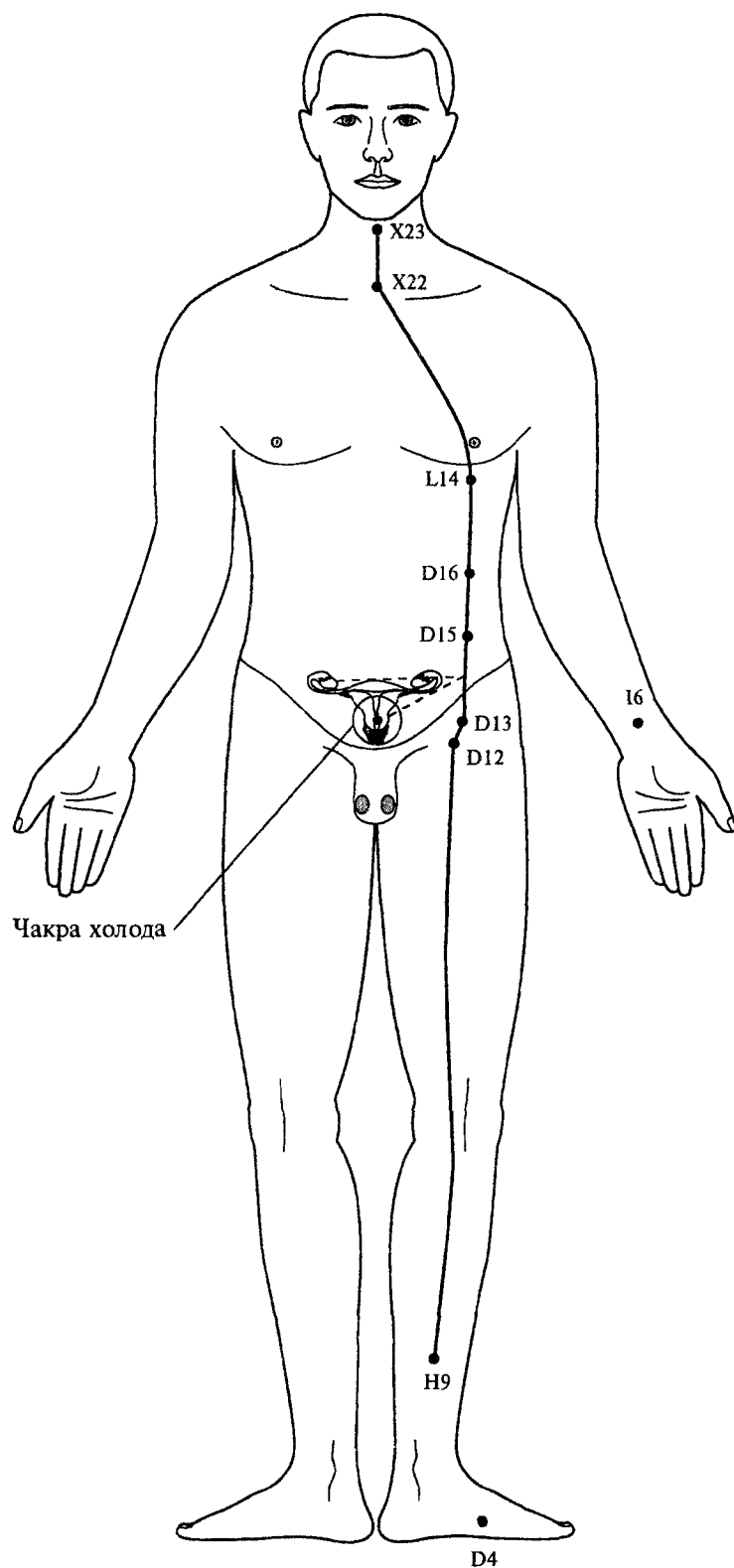
Расположение: в шестом межреберье, на сосковой линии.

**Х22 тянь-ту**

Расположение: примерно на 0,7 см выше середины верхнего края яремной вырезки грудины.

**Х23 лян-цюань**

Расположение: на средней линии шеи, выше складки шеи на 0,5 см, между нижним краем тела подъязычной кости и верхней вырезкой щитовидного хряща.



*Рис. 106. Меридиан яичников и яичек (Т).  
Меридиан парный, связан с чакрой холода.*

## 2.4. Топография точек Шести Энергий периферических меридианов



рис. 107. Точки Шести Энергий на заднесрединном меридиане (граница Инь-Ян проходит через точку бай-хуэй).

**т. сухости — Y19(18) хоу-дин**

Расположение: на средней линии головы, выше задней границы роста волос на 5,5 цуней (на 1,5 цуня выше точки Y18 цян-цзянь).

**т. холода — Y18(17) цян-цзянь**

Расположение: на средней линии головы, выше задней границы роста волос на 4 цуня (выше точки Y17 нао-у на 1,5 цуня).

**т. ветра — Y17(16) нао-ху**

Расположение: на средней линии головы, на верхнем крае затылочного бугра, выше начала задней границы роста волос на 2,5 цуня (выше точки Y16 фэн-фу на 1,5 цуня).

**т. тепла — Y16(15) фэн-фу**

Расположение: между затылочной костью и I шейным позвонком, выше задней границы роста волос на 1 цунь.

**т. жара — Y15(14) я-мэнь**

Расположение: между I и II шейными позвонками, выше задней границы роста волос на 0,5 цуня.

**т. влажности — Y14(13) да-чжуй**

Расположение: между остистыми отростками VII шейного и I грудного позвонков.



рис. 108. Точки Шести Энергий на переднесрединном меридиане (граница Инь-Ян проходит через точку бай-хуэй).

**т. ветра — Y21(20) цян-дин**

Расположение: на средней линии головы, выше пересечения на 6 цуней (спереди от точки Y20 бай-хуэй на 1,5 цуня) и выше задней границы роста волос на 8 цуней.

**т. тепла — Y24(23) шэнь-тин**

Расположение: на средней линии головы, выше передней границы роста волос на 0,5 цуня.

**т. жара — Y25(24) су-ляо**

Расположение: в центре кончика носа.

**т. влажности — X24 чэн-цзянь**

Расположение: в центре подбородочно-губной складки.

**т. сухости — X23 лян-цюань**

Расположение: на средней линии шеи, выше складки шеи на 0,5 см, между нижним краем тела подъязычной кости и верхней вырезкой щитовидного хряща.

**т. холода — X22 тянь-ту**

Расположение: примерно на 0,7 см выше середины верхнего края яремной вырезки грудины.

Энергетические точки Шести Энергий периферических меридианов расположены ниже коленных и локтевых суставов. На А-меридианах наиболее дистальное положение занимают точки сухости, на УМ-меридианах — точки ветра. Точки жара совпадают с точками тепла.

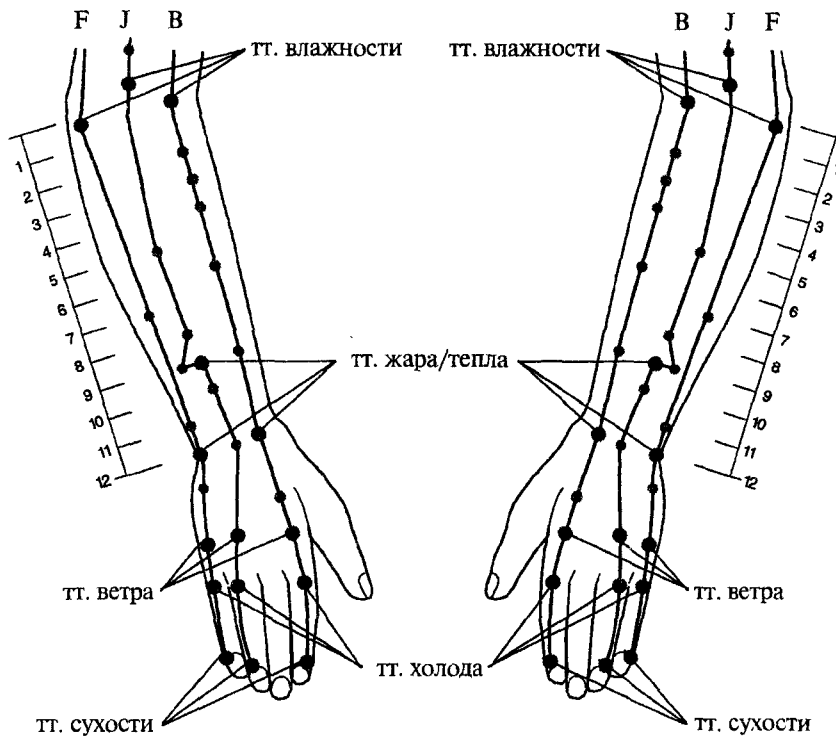


Рис. 109. Точки Шести Энергий ручных А-меридианов.

**Меридиан толстой кишки (В)**  
 т. сухости — В1 шан-ян  
 Расположение: на лучевой стороне II пальца, на 2—3 мм кнаружи от угла ногтевого ложа.  
 т. холода — В2 эр-цзянь  
 Расположение: во впадине кпереди от пястно-фалангового сустава II пальца, с лучевой стороны тыльной поверхности.  
 т. ветра — В3 сань-цзянь  
 Расположение: кзади от пястно-фалангового сустава II пальца, с лучевой стороны тыльной поверхности.  
 т. тепла — В5 ян-си  
 Расположение: на уровне складки лучезапястного сустава с лучевой стороны, в анатомической табакерке.  
 т. жара — В5 ян-си  
 т. влажности — В11 цюй-чи  
 Расположение: на середине расстояния между латеральным надмыщелком и лучевым концом складки локтевого сгиба.

**Меридиан спинного мозга (J)**  
 т. сухости — J1 гуань-чун  
 Расположение: на локтевой стороне IV пальца, на 0,3 см от ногтевого ложа.  
 т. холода — J2 е-мэнь  
 Расположение: во впадине между пястно-фаланговыми суставами IV и V пальцев.  
 т. ветра — J3 чжун-чжу  
 Расположение: во впадине между IV и V пястными костями, кзади от IV пястно-фалангового сустава.  
 т. тепла — J6 чжи-гоу  
 Расположение: на тыльной поверхности предплечья, в межкостном углублении, выше складки лучезапястного сустава на 3 цуня.  
 т. жара — J6 чжи-гоу  
 т. влажности — J10 тянь-цзии  
 Расположение: на задней поверхности плеча, выше локтевого отростка на 1 цунь.

**Меридиан тонкой кишки (F)**  
 т. сухости — F1 шао-цзэ  
 Расположение: на 0,3 см от угла ногтевого ложа V пальца руки с локтевой стороны кисти.  
 т. холода — F2 цянь-гу  
 Расположение: дистальнее от V пястно-фалангового сустава, с локтевой стороны.  
 т. ветра — F3 хоу-си  
 Расположение: в углублении проксимальнее V пястно-фалангового сустава, с локтевой стороны кисти.  
 т. тепла — F5 ян-гу  
 Расположение: на локтевой стороне лучезапястного сустава, во впадине между шиловидным отростком локтевой кости и трехгранной костью, на конце складки лучезапястного сустава.  
 т. жара — F5 ян-гу  
 т. влажности — F8 сяо-хай  
 Расположение: в области наружной поверхности локтя, между медиальным надмыщелком плечевой кости и отростком локтевой кости, в локтевой бороздке.

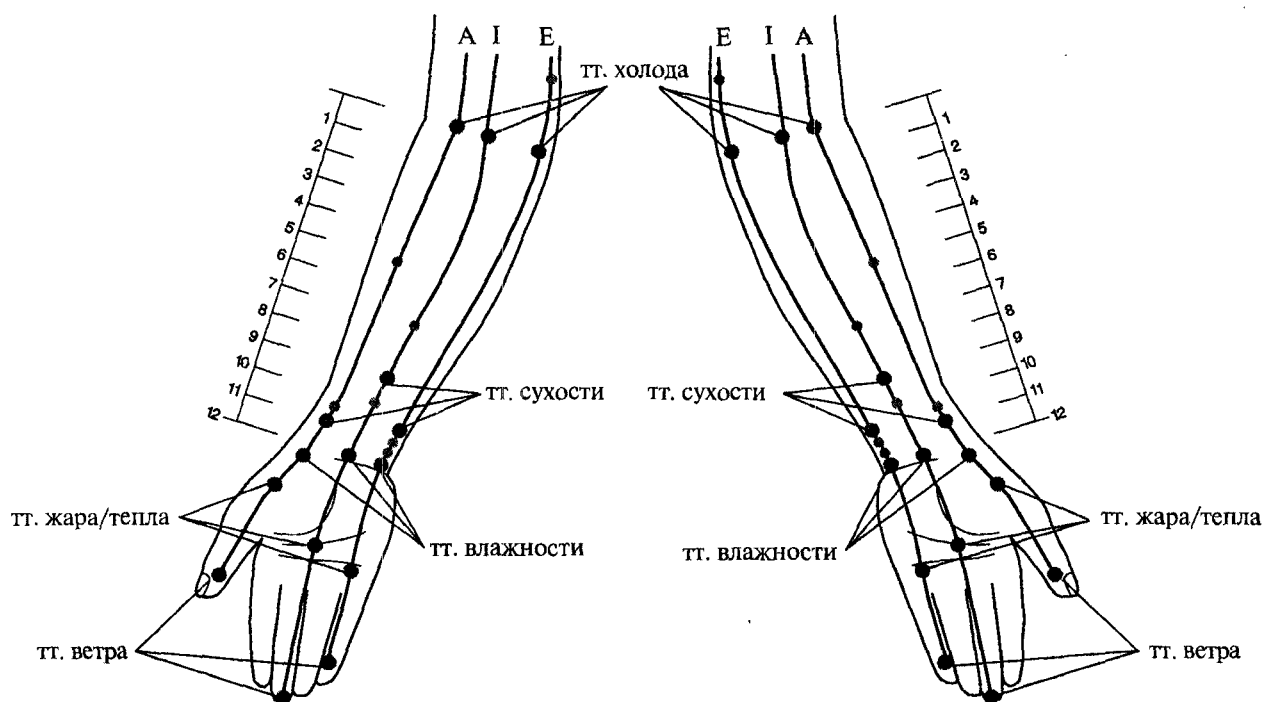


Рис. 110. Точки Шести Энергий ручных УМ-меридианов.

**Меридиан легкого (А)**

г. ветра — А11 шао-шан

Расположение: на лучевом крае I пальца руки, на 3 мм от угла ногтевого ложа.

г. тепла — А10 юй-цзи

Расположение: на кисти у середины пястной кости, на границе ладонной и тыльной поверхностей кисти с лучевой стороны.

г. жара — А10 юй-цзи

г. влажности — А9 тай-юань  
Расположение: у лучевого конца проксимальной лучезапястной складки, чуть ниже шиловидного отростка лучевой кости.

г. сухости — А8 цзин-цюй

Расположение: на 1 цунь выше проксимальной лучезапястной складки, на лучевой артерии, где пальпируется пульс (место цунь-коу).

г. холода — А5 чи-цзе

Расположение: на складке локтевого сгиба у лучевого края сухожилия двуглавой мышцы плеча.

**Меридиан головного мозга (I)**

г. ветра — I9 чжун-чун

Расположение: на конце (в середине) ногтевой фаланги III пальца, от ногтя на 0,3 см.

г. тепла — I8 лао-гун

Расположение: на середине ладони, между III и IV пястными костями (при согнутых пальцах — между кончиками III и IV пальцев).

г. жара — I8 лао-гун

г. влажности — I7 да-лин

Расположение: в середине лучезапястной складки, в углублении между сухожилиями.

г. сухости — I5 цзянь-ши

Расположение: выше проксимальной лучезапястной складки на 3 цуня.

г. холода — I3 цюй-цзе

Расположение: в середине локтевого сгиба.

**Меридиан сердца (E)**

г. ветра — E9 шао-чун

Расположение: у лучевого края ногтевого ложа V пальца, выше от угла ногтя на 0,3 см.

г. тепла — E8 шао-фу

Расположение: на ладони в углублении между IV и V пястными костями, немного кзади от пястно-фаланговых суставов.

г. жара — E8 шао-фу

г. влажности — E7 шэнь-мэнь

Расположение: у локтевого края лучезапястной складки, рядом с лучевой стороной сухожилия мышцы локтевого сгибателя кисти.

г. сухости — E4 лин-дао

Расположение: выше проксимальной лучезапястной складки на 1,5 цуня.

г. холода — E3 шао-хай

Расположение: на складке локтевого сгиба, в середине расстояния между внутренним концом складки и внутренним надмышечком плечевой кости.



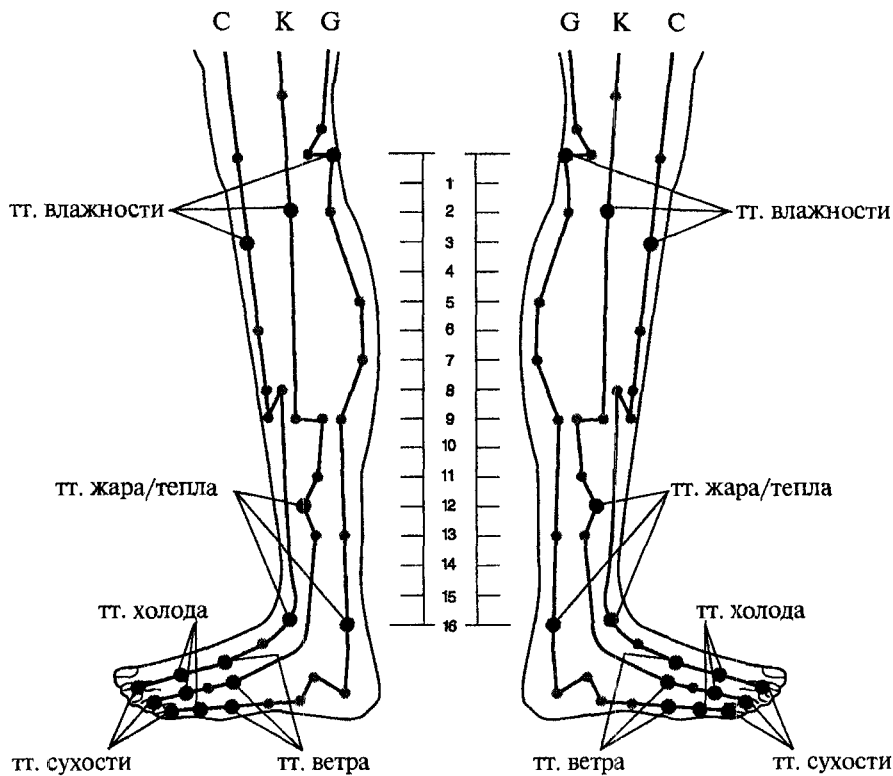


рис. 111. Точки Шести Энергий ножных А-меридианов.

**Меридиан желудка (С)**

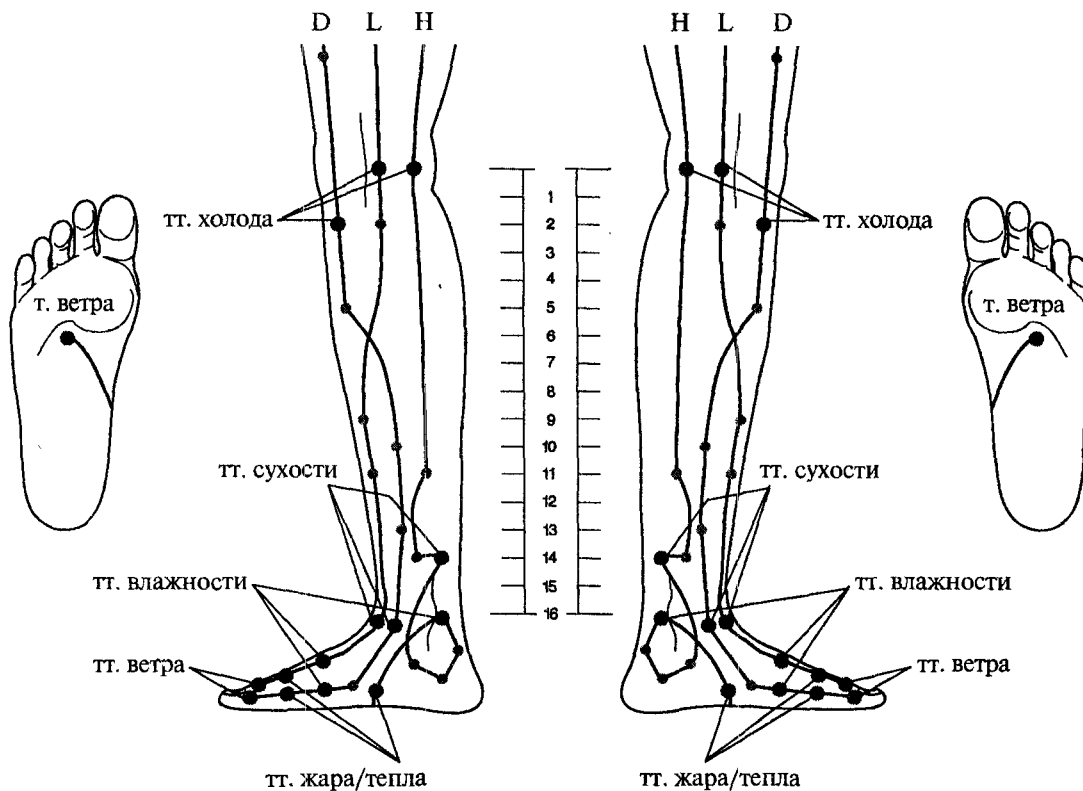
- **сухости — С45 ли-дуй**  
Расположение: на 0,3 см от наружного края ногтя II пальца стопы.
- **холода — С44 вэй-тин**  
Расположение: впереди от II и III плюснефаланговых суставов.
- **ветра — С43 сянь-гу**  
Расположение: в межкостном промежутке между II и III плюсневидными костями, впереди от плюснефалангового сустава.
- **тепла — С41 цзе-си**  
Расположение: на тыльном сгибе стопы, впереди от точки С42 чун-ян на 0,5 цуня, где пальпируется углубление, на одной линии со II пальцем.
- **жара — С41 цзе-си**
- **влажности — С36 цзу-сань-ли**  
Расположение: ниже верхнего края латерального мышечка большеберцовой кости на 3 цуня, у переднего края большеберцовой мышцы.

**Меридиан желчного пузыря (К)**

- **сухости — К44 цзу-сяо-инь**  
Расположение: впереди от корня ногтя IV пальца стопы на 0,3 см.
- **холода — К43 ся-си**  
Расположение: у межпальцевой складки IV и V пальцев стопы.
- **ветра — К41 цзу-линь-ци**  
Расположение: в середине латеральной стороны стопы, в задней части щели между IV и V плюсневидными костями, где пальпируется впадина.
- **тепла — К38 ян-фу**  
Расположение: выше центра латеральной лодыжки на 4 цуня и впереди на 1 см.
- **жара — К38 ян-фу**
- **влажности — К34 ян-лин-цюань**  
Расположение: во впадине у переднего края головки малоберцовой кости, ниже нижнего края коленной чашечки на 2 цуня.

**Меридиан мочевого пузыря (G)**

- **сухости — G67 чжи-инь**  
Расположение: на 0,3 см впереди от наружного угла ногтевого ложа V пальца стопы.
- **холода — G66 цзу-тун-гу**  
Расположение: на наружной поверхности V пальца стопы, дистальнее плюснефалангового сустава, где пальпируется впадина у конца кожной складки.
- **ветра — G65 шу-гу**  
Расположение: впереди и впереди от головки V плюсневидной кости, во впадине на месте перехода тыльной поверхности стопы в подошвенную.
- **тепла — G60 кунь-лунь**  
Расположение: во впадине между задним краем латеральной лодыжки и ахилловым сухожилием, на уровне центра лодыжки.
- **жара — G60 кунь-лунь**
- **влажности — G40 (54) вэй-чжун**  
Расположение: в центре подколенной ямки, где пальпируется пульсация подколенной артерии.



ис. 112. Точки Шести Энергий ножных УМ-меридианов.

**Меридиан печени (L)**

**т. ветра — L1 да-дунь**  
 асположение: на наружной стороне I пальца стопы, на 0,3 см в сторону от заднего угла ногтевого ложа.

**тепла — L2 син-цзянь**  
 асположение: немного кпереди и между I и II плюснефаланговыми суставами, где пальпируется впадина.

**жара — L2 син-цзянь**  
 асположение: в углублении между I и II плюсневыми костями, проксимальнее плюснефаланговых суставов а 0,5 цуня.

**влажности — L3 тай-чун**  
 асположение: в углублении между I и II плюсневыми костями, проксимальнее плюснефаланговых суставов а 0,5 цуня.

**сухости — L4 чжун-фэн**  
 асположение: на тыле стопы, кпереди от медиальной лодыжки на 1 унь.

**холода — L8 цюй-цюань**  
 асположение: на внутренней поверхности коленного сустава, у конца подколенной складки.

**Меридиан селезенки (D)**

**т. ветра — D1 инь-бай**  
 Расположение: на медиальной стороне I пальца стопы, на 0,3 см от угла корня ногтя.

**т. тепла — D2 да-ду**  
 Расположение: кпереди от плюснефалангового сустава I пальца стопы, в месте перехода тыльной поверхности в подошвенную, где пальпируется углубление.

**т. жара — D2 да-ду**  
 Расположение: кпереди от плюснефалангового сустава I пальца стопы, в месте перехода тыльной поверхности в подошвенную, где пальпируется углубление.

**т. влажности — D3 тай-бай**  
 Расположение: на медиальной поверхности стопы, книзу и кзади от головки I плюсневой кости, во впадине.

**т. сухости — D5 шан-цю**  
 Расположение: книзу и немного кпереди от медиальной лодыжки, во впадине.

**т. холода — D9 инь-лин-цюань**  
 Расположение: во впадине ниже медиального мышелка большеберцовой кости, ниже нижнего края надколенника на 2 цуня.

**Меридиан почек (H)**

**т. ветра — H1 юн-цюань**  
 Расположение: в центре подошвы, в ямке между II и III плюсневыми костями на уровне 2/5 расстояния от конца II пальца до задней стороны пятки.

**т. тепла — H2 жань-гу**  
 Расположение: на внутренней поверхности свода стопы, во впадине, кпереди и чуть ниже бугорка ладьевидной кости.

**т. жара — H2 жань-гу**  
 Расположение: на внутренней поверхности свода стопы, во впадине, кпереди и чуть ниже бугорка ладьевидной кости.

**т. влажности — H3(5) тай-си**  
 Расположение: во впадине выше пяточной кости, между медиальной лодыжкой и ахилловым сухожилием.

**т. сухости — H7 фу-лю**  
 Расположение: выше уровня центра медиальной лодыжки на 2 цуня и немного кзади, в месте перехода икроножной мышцы в ахиллово сухожилие.

**т. холода — H10 инь-гу**  
 Расположение: у внутреннего конца подколенной складки, кзади от медиального мышелка большеберцовой кости, где пальпируется пульсация артерии.

## 2.5. Топография точек Восьми Энергий периферических меридианов

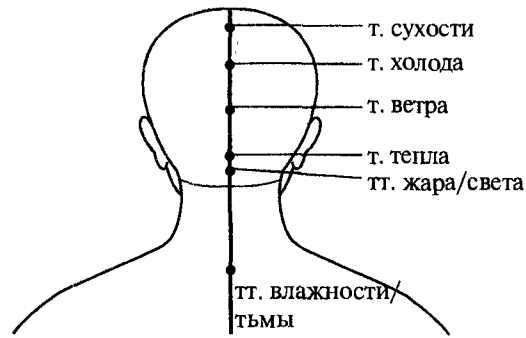
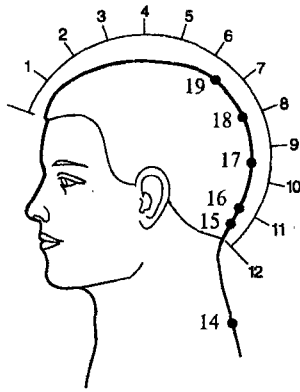


Рис. 113. Точки Восьми Энергий на заднесрединном меридиане (граница Инь-Ян проходит через точку бай-хуэй).

**т. сухости — Y19(18) хоу-дин**

Расположение: на средней линии головы, выше задней границы роста волос на 5,5 цуней (на 1,5 цуня выше точки Y18 цян-цзянь).

**т. холода — Y18(17) цян-цзянь**

Расположение: на средней линии головы, выше задней границы роста волос на 4 цуня (выше точки Y17 нао-у на 1,5 цуня).

**т. ветра — Y17(16) нао-ху**

Расположение: на средней линии головы, на верхнем крае затылочного бугра, выше начала задней границы роста волос на 2,5 цуня (выше точки Y16 фэн-фу на 1,5 цуня).

**т. тепла — Y16(15) фэн-фу**

Расположение: между затылочной костью и I шейным позвонком, выше задней границы роста волос на 1 цунь.

**т. жара — Y15(14) я-мэнь**

Расположение: между I и II шейными позвонками, выше задней границы роста волос на 0,5 цуня.

**т. света — Y15(14) я-мэнь**

**т. влажности — Y14(13) да-чжуй**

Расположение: между остистыми отростками VII шейного и I грудного позвонков.

**т. тьмы — Y14(13) да-чжуй**

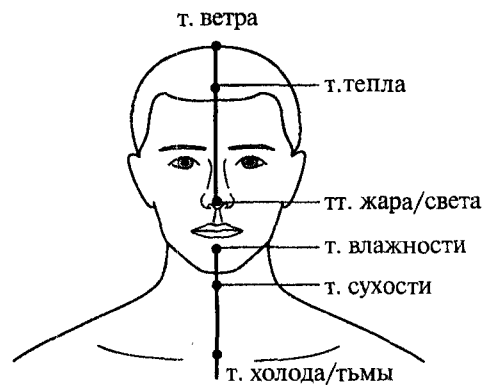
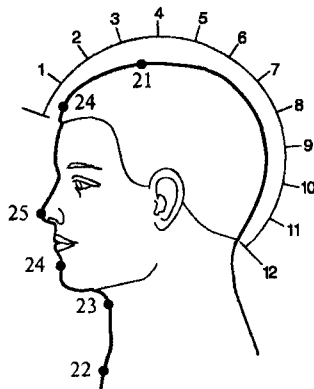


Рис. 114. Точки Восьми Энергий на переднесрединном меридиане (граница Инь-Ян проходит через точку бай-хуэй).

**т. ветра — Y21(20) цян-дин**

Расположение: на средней линии головы, выше пересосья на 6 цуней (кпереди от точки Y20 бай-хуэй на 1,5 цуня) и выше задней границы роста волос на 8 цуней.

**т. тепла — Y24(23) шэнь-тин**

Расположение: на средней линии головы, выше передней границы роста волос на 0,5 цуня.

**т. жара — Y25(24) су-ляо**

Расположение: в центре кончика носа.

**т. света — Y25(24) су-ляо**

**т. влажности — X24 чэн-цзянь**

Расположение: в центре подбородочно-губной складки.

**т. сухости — X23 лян-цюань**

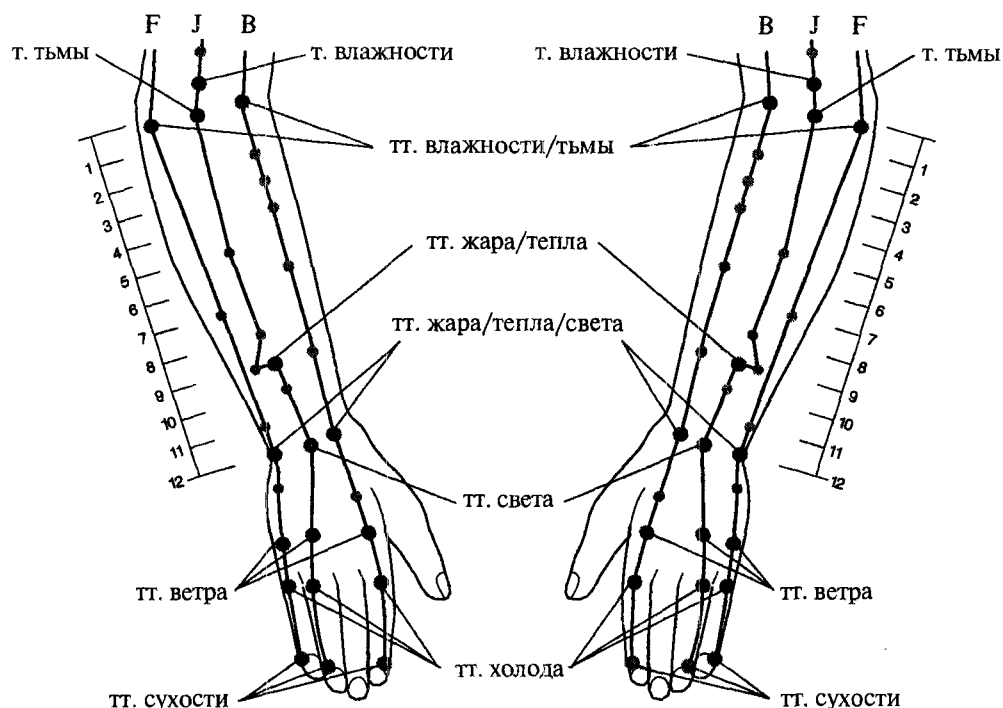
Расположение: на средней линии шеи, выше складки шеи на 0,5 см, между нижним краем тела подъязычной кости и верхней вырезкой щитовидного хряща.

**т. холода — X22 тянь-ту**

Расположение: примерно на 0,7 см выше середины верхнего края яремной вырезки грудины.

**т. тьмы — X22 тянь-ту**

Энергетические точки Восьми Энергий периферических меридианов расположены дистально, где коленных и локтевых суставов. На А-меридианах наиболее дистальное положение занимают точки сухости, на УМ-меридианах — точки ветра. Точки жара совпадают с точками тепла. Точки света ходят в области голеностопных и лучезапястных суставов, точки тьмы — в области коленных и локтевых суставов. Чаще всего точки света и тьмы совпадают с точками других энергий.



ис. 115. Точки Восьми Энергий ручных А-меридианов.

**Меридиан толстой кишки (В)**

- т. сухости — В1 шан-ян**  
Расположение: на лучевой стороне пальца, на 2—3 мм кнаружи от локтевого ложа.
- т. холода — В2 эр-цзянь**  
Расположение: во впадине спереди пястно-фалангового сустава II пальца, с лучевой стороны тыльной поверхности.
- т. ветра — В3 сань-цзянь**  
Расположение: сзади от пястно-фалангового сустава II пальца, с лучевой стороны тыльной поверхности.
- т. тепла — В5 ян-си**  
Расположение: на уровне складки лучезапястного сустава с лучевой стороны, в анатомической табакерке.
- т. жара — В5 ян-си**
- т. света — В5 ян-си**
- т. влажности — В11 цюй-чи**  
Расположение: на середине расстояния между латеральным надмыщелком и лучевым концом складки локтевого сгиба.
- т. тьмы — В11 цюй-чи**

**Меридиан спинного мозга (Ж)**

- т. сухости — Ж1 гуань-чун**  
Расположение: на локтевой стороне IV пальца, на 0,3 см от ногтевого ложа.
- т. холода — Ж2 е-мэнь**  
Расположение: во впадине между пястно-фаланговыми суставами IV и V пальцев.
- т. ветра — Ж3 чжун-чжу**  
Расположение: во впадине между IV и V пястными костями, сзади от IV пястно-фалангового сустава.
- т. света — Ж4 ян-чи**  
Расположение: на тыльной поверхности лучезапястного сустава, ближе к локтевой стороне, соответственно расположению IV пальца.
- т. тепла — Ж6 чжи-гоу**  
Расположение: на тыльной поверхности предплечья, в межкостном углублении, выше складки лучезапястного сустава на 3 цуня.
- т. жара — Ж6 чжи-гоу**
- т. тьмы — новая точка**  
Расположение: на верхушке локтевого отростка.
- т. влажности — Ж10 тянь-цзин**  
Расположение: на задней поверхности плеча, выше локтевого отростка на 1 цунь.

**Меридиан тонкой кишки (Ф)**

- т. сухости — Ф1 шао-цзэ**  
Расположение: на 0,3 см от угла ногтевого ложа V пальца руки, с локтевой стороны кисти.
- т. холода — Ф2 цянь-гу**  
Расположение: дистальнее от V пястно-фалангового сустава, с локтевой стороны.
- т. ветра — Ф3 хоу-си**  
Расположение: в углублении проксимальнее V пястно-фалангового сустава, с локтевой стороны кисти.
- т. тепла — Ф5 ян-гу**  
Расположение: на локтевой стороне лучезапястного сустава, во впадине между шиловидным отростком локтевой кости и трехгранной костью, на конце складки лучезапястного сустава.
- т. света — Ф5 ян-гу**
- т. жара — Ф5 ян-гу**
- т. влажности — Ф8 сяо-хай**  
Расположение: в области наружной поверхности локтя, между медиальным надмыщелком плечевой кости и отростком локтевой кости, в локтевой бороздке.
- т. тьмы — Ф8 сяо-хай**

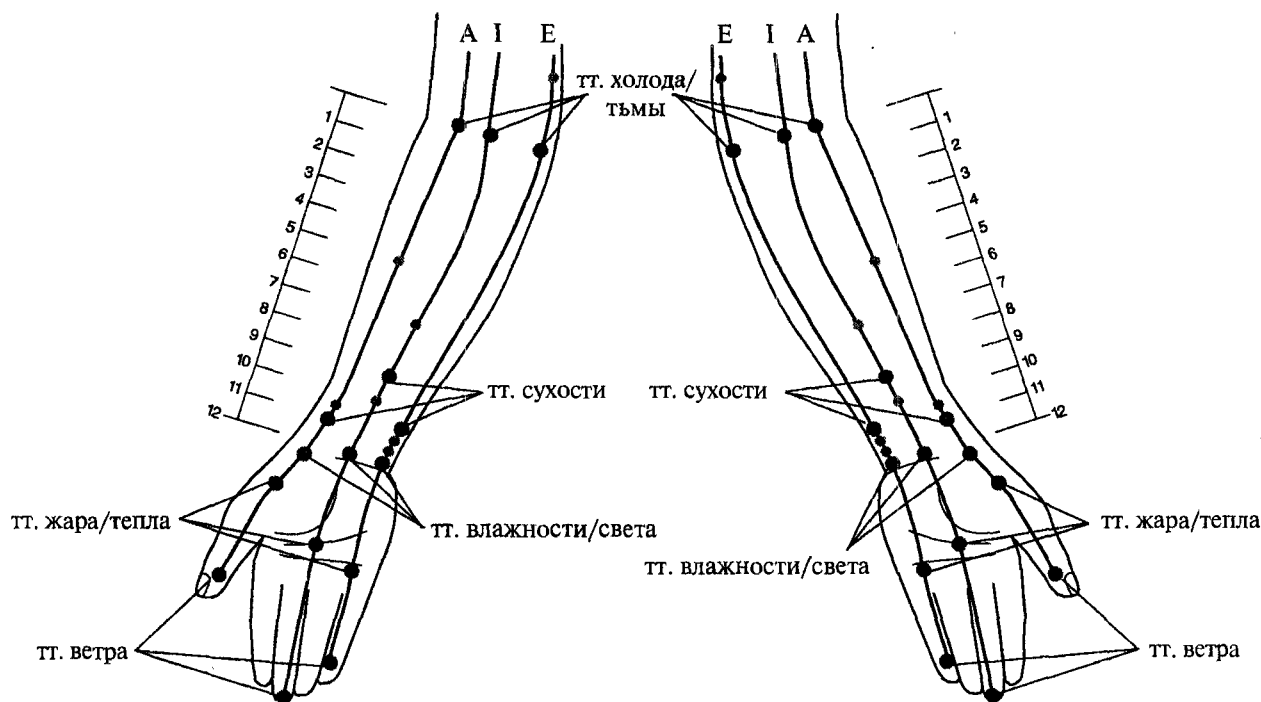


Рис. 116. Точки Восьми Энергий ручных УМ-меридианов.

**Меридиан легкого (А)**

- т. ветра — А11 шао-шан  
Расположение: на лучевом крае I пальца руки, на 3 мм от угла ногтевого ложа.
- т. тепла — А10 юй-цзи  
Расположение: на кисти у середины пястной кости, на границе ладонной и тыльной поверхностей кисти (лучевой стороны).
- т. жара — А10 юй-цзи
- т. света — А9 тай-юань  
Расположение: у лучевого конца проксимальной лучезапястной складки, чуть ниже шиловидного отростка лучевой кости.
- т. влажности — А9 тай-юань
- т. сухости — А8 цзин-цюй  
Расположение: на 1 цунь выше проксимальной лучезапястной складки, на лучевой артерии, где пальпируется пульс (место цунь-коу).
- т. холода — А5 чи-цзе  
Расположение: в центре складки локтевого сгиба у лучевого края сухожилия двуглавой мышцы плеча.
- т. тьмы — А5 чи-цзе

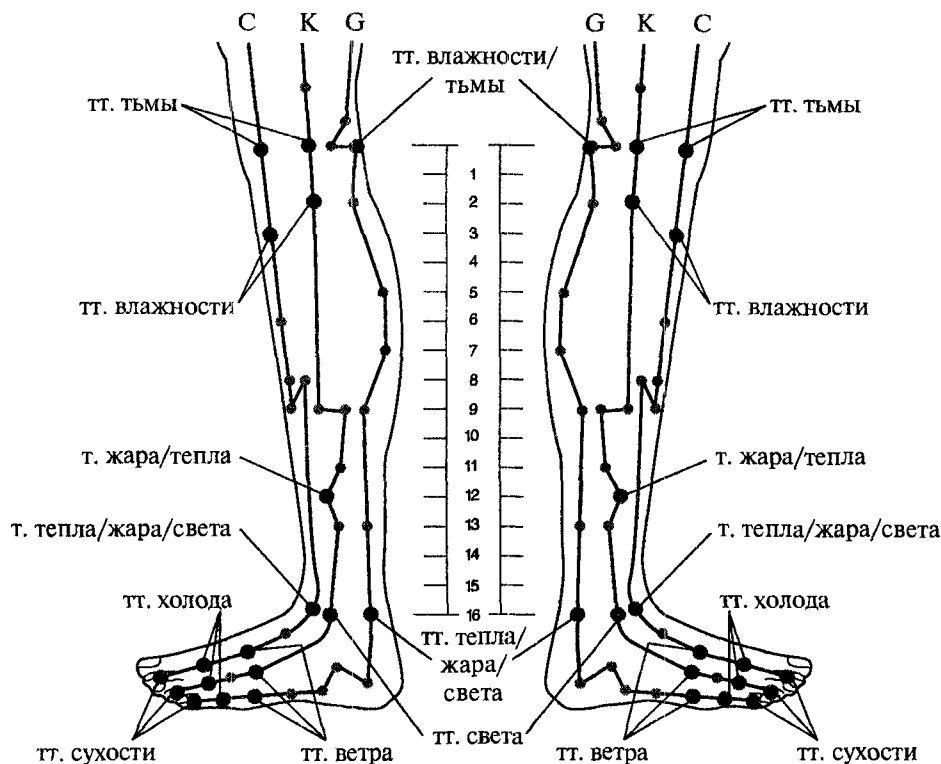
**Меридиан головного мозга (I)**

- т. ветра — I9 чжун-чун  
Расположение: на конце (в середине) ногтевой фаланги III пальца, от ногтя на 0,3 см.
- т. тепла — I8 лао-гун  
Расположение: на середине ладони, между III и IV пястными костями, (при согнутых пальцах — между кончиками III и IV пальцев).
- т. жара — I8 лао-гун
- т. света — I7 да-лин  
Расположение: в середине лучезапястной складки, в углублении между сухожилиями.
- т. влажности — I7 да-лин
- т. сухости — I5 цзянь-ши  
Расположение: выше проксимальной лучезапястной складки на 3 цуня.
- т. холода — I3 цюй-цзе  
Расположение: в середине локтевого сгиба.
- т. тьмы — I3 цюй-цзе

**Меридиан сердца (E)**

- т. ветра — E9 шао-чун  
Расположение: у лучевого края ногтевого ложа V пальца, выше от угла ногтя на 0,3 см.
- т. тепла — E8 шао-фу  
Расположение: на ладони в углублении между IV и V пястными костями, немного кзади от пястно-фаланговых суставов.
- т. жара — E8 шао-фу
- т. света — E7 шэнь-мэнь  
Расположение: у локтевого края лучезапястной складки, рядом с лучевой стороной сухожилия мышцы локтевого сгибателя кисти.
- т. влажности — E7 шэнь-мэнь
- т. сухости — E4 лин-дао  
Расположение: выше проксимальной лучезапястной складки на 1,5 цуня.
- т. холода — E3 шао-хай  
Расположение: на складке локтевого сгиба, в середине расстояния между внутренним концом складки и внутренним надмыщелком плечевой кости.
- т. тьмы — E3 шао-хай





с. 117. Точки Восьми Энергий ножных А-меридианов.

**Меридиан желудка (С)**

**т. сухости — С45 ли-дуй**  
 Расположение: на 0,3 см от наружного края ногтя II пальца стопы.

**т. холода — С44 нэй-тин**  
 Расположение: впереди от II и III плюснефаланговых суставов.

**т. ветра — С43 сянь-гу**  
 Расположение: в межкостном промежутке между II и III плюсневными костями, впереди от плюснефалангового сустава.

**т. жара — С41 цзе-си**  
 Расположение: на тыльном сгибе стопы, впереди от точки С42 чун-ян на 1 цуня, где пальпируется углубление, на одной линии со II пальцем.

**т. света — С41 цзе-си**

**т. влажности — С36 цзу-сань-ли**  
 Расположение: ниже верхнего края латерального мыщелка большеберцовой кости на 3 цуня, у переднего края большеберцовой мышцы.

**тт. тьмы — С35 ду-би**  
 Расположение: на передненаружной поверхности голени, у нижнего края латеральной чашечки, выше латерального мыщелка большеберцовой кости, где пальпируется углубление.

**Меридиан желчного пузыря (К)**

**т. сухости — К44 цзу-сяо-инь**  
 Расположение: снаружи от корня ногтя IV пальца стопы на 0,3 см.

**т. холода — К43 ся-си**  
 Расположение: у межпальцевой складки IV и V пальцев стопы.

**т. ветра — К41 цзу-линь-ци**  
 Расположение: в середине латеральной стороны стопы, в задней части щели между IV и V плюсневными костями, где пальпируется впадина.

**т. света — К40 цю-суй**  
 Расположение: чуть впереди от латеральной лодыжки.

**т. жара — К38 ян-фу**  
 Расположение: выше центра латеральной лодыжки на 4 цуня и впереди на 1 см.

**т. тепла — К38 ян-фу**

**т. влажности — К34 ян-линь-цюань**  
 Расположение: во впадине у переднего края головки малоберцовой кости, ниже нижнего края коленной чашечки на 2 цуня.

**тт. тьмы — новая точка**  
 Расположение: под латеральным надмыщелком бедренной кости.

**Меридиан мочевого пузыря (G)**

**т. сухости — G67 чжи-инь**  
 Расположение: на 0,3 см снаружи от наружного угла ногтевого ложа V пальца стопы.

**т. холода — G66 цзу-тун-гу**  
 Расположение: на наружной поверхности V пальца стопы, дистальнее плюснефалангового сустава, где пальпируется впадина у конца кожной складки.

**т. ветра — G65 шу-гу**  
 Расположение: впереди и снаружи от головки V плюсневой кости, во впадине на месте перехода тыльной поверхности стопы в подошвенную.

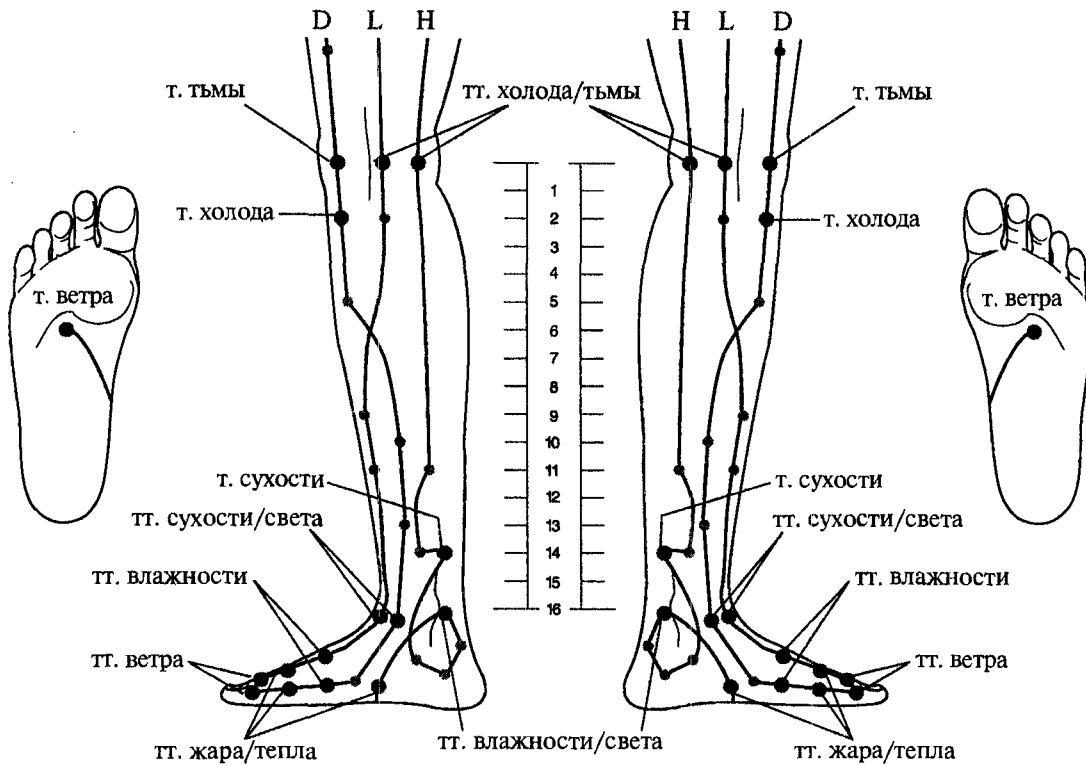
**т. тепла — G60 кунь-лунь**  
 Расположение: во впадине между задним краем латеральной лодыжки и ахилловым сухожилием на уровне центра лодыжки.

**т. жара — G60 кунь-лунь**

**т. света — G60 кунь-лунь**

**т. влажности — G40 (54) вэй-чжун**  
 Расположение: в центре подколенной ямки, где пальпируется пульсация подколенной артерии.

**тт. тьмы — G40 (54) вэй-чжун**



ис. 118. Точки Восьми Энергий ножных УМ-меридианов.

**Меридиан печени (L)**

- ветра — L1 да-дунь**  
асположение: на наружной стороне I пальца стопы, на 0,3 см в сторону от заднего угла ногтевого ложа.
- тепла — L2 син-цзянь**  
асположение: немного впереди и между I и II плюснефаланговыми суставами, где пальпируется впадина.
- жара — L2 син-цзянь**
- влажности — L3 тай-чун**  
асположение: в углублении между I и II плюсневными костями, проксимальнее плюснефаланговых суставов на 0,5 цуня.
- света — L4 чжун-фэн**  
асположение: на тыле стопы, впереди от медиальной лодыжки на 1 цунь.
- сухости — L4 чжун-фэн**
- холода — L8 цюй-цюань**  
асположение: на внутренней поверхности коленного сустава, у конца подколенной складки.
- тьмы — L8 цюй-цюань**

**Меридиан селезенки (D)**

- т. ветра — D1 инь-бай**  
Расположение: на медиальной стороне I пальца стопы, на 0,3 см от угла корня ногтя.
- т. тепла — D2 да-ду**  
Расположение: впереди от плюснефалангового сустава I пальца стопы, в месте перехода тыльной поверхности в подошвенную, где пальпируется углубление.
- т. жара — D2 да-ду**
- т. влажности — D3 тай-бай**  
Расположение: на медиальной поверхности стопы, книзу и кзади от головки I плюсневой кости, во впадине.
- т. света — D5 шан-цю**  
Расположение: книзу и немного впереди от медиальной лодыжки, во впадине.
- т. сухости — D5 шан-цю**
- т. холода — D9 инь-лин-цюань**  
Расположение: во впадине ниже медиального мышечка большеберцовой кости, ниже нижнего края надколенника на 2 цуня.
- т. тьмы — новая точка**  
Расположение: на линии коленного сустава у медиального края надколенника.

**Меридиан почек (H)**

- т. ветра — H1 юн-цюань**  
Расположение: в центре подошвы, в ямке между II и III плюсневными костями, на уровне 2/5 расстояния от конца II пальца до задней стороны пятки.
- т. тепла — H2 жань-гу**  
Расположение: на внутренней поверхности свода стопы, во впадине, впереди и чуть ниже бугорка ладьевидной кости.
- т. жара — H2 жань-гу**
- т. света — H3(5) тай-си**  
Расположение: во впадине выше пяточной кости, между медиальной лодыжкой и ахилловым сухожилием.
- т. влажности — H3(5) тай-си**
- т. сухости — H7 фу-лю**  
Расположение: выше уровня центра медиальной лодыжки на 2 цуня и немного кзади, в месте перехода икроножной мышцы в ахиллово сухожилие.
- т. холода — H10 инь-гу**  
Расположение: у внутреннего конца подколенной складки, кзади от медиального мышечка большеберцовой кости, где пальпируется пульсация артерии.
- т. тьмы — H10 инь-гу**



## Глава 3. Циркуляция в энергетической системе тела

Движение энергий в человеческом теле представляет собой объединение разноуровневых кругов циркуляции. Источником циркуляции является находящаяся в центральной точке энергетического алмаза солнечная чакра. Существование в области солнечной чакры Гомо-Гетероил (ядерная чакра и агни чакра) приводит к тому, что солнечная чакра, переходя последовательно этапы расширения и сжатия, пульсирует, обуславливая процесс энергетического дыхания (рис. 119).

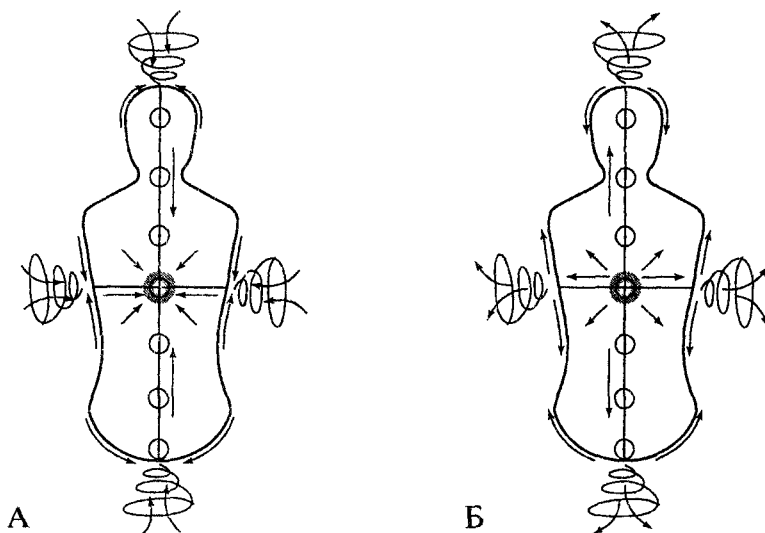


рис. 119. Энергетическое дыхание как процесс, обеспечивающий обмен энергиями с внешней средой. Через внешние чакры на энергетическом вдохе (А) энергия направляется в солнечную чакру, а на энергетическом выдохе (Б) она распределяется по всему телу.

В процессе энергетического дыхания некоторое количество энергии выделяется, а «свежая» энергия из окружающего пространства поступает в тело. Эта вновь поступающая энергия способствует адаптации нашего тела в изменяющихся условиях внешней среды и обеспечивает непрерывную активную жизнедеятельность.

Солнечная чакра через вертикальные сердцевинные меридианы приводит в движение внутренние чакры, которые аккумулируют энергию различного качества и распределяют ее в теле посредством периферических меридианов (рис. 120).

Меридианы также имеют возможность самостоятельного обмена энергией с внешней средой через их точки — энергетические ворота меридианов.

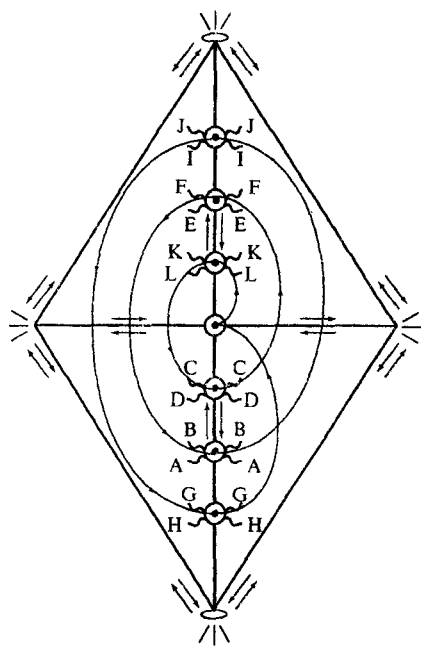


рис. 120. Связь внутренних чакр с периферическими меридианами.

### 3.1. Циркуляция энергии в Алмазной энергетической системе

#### 3.1.1. Циркуляция энергии в контролирующих меридианах тела

Источником циркуляции энергии по пограничным и сердцевинным меридианам является пульсирующая солнечная чакра. Циклы единых энергий представляют собой магистральные циклы, охватывающие все тело целиком. Циклы индивидуальных энергий охватывают половину тела, а региональные циклы — четверть.

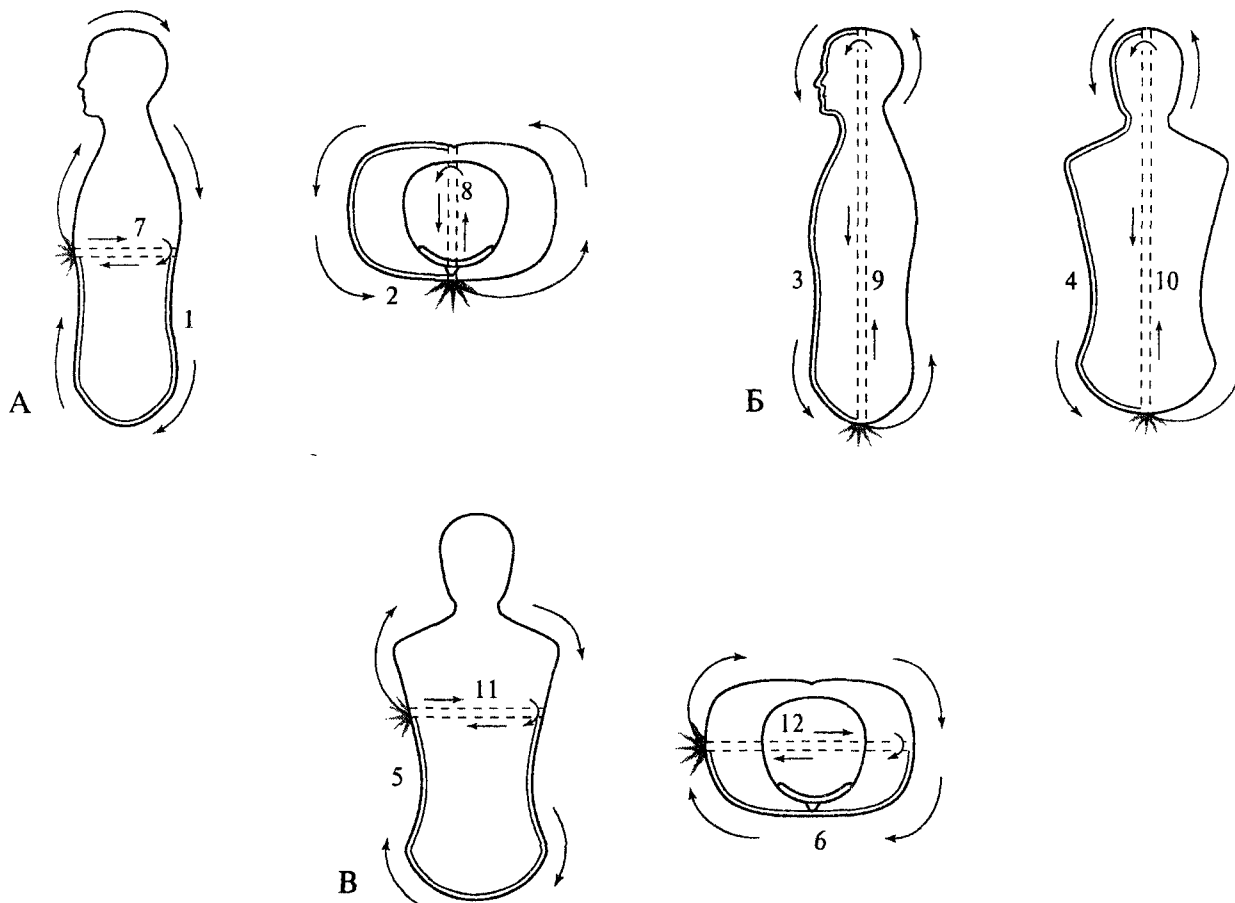
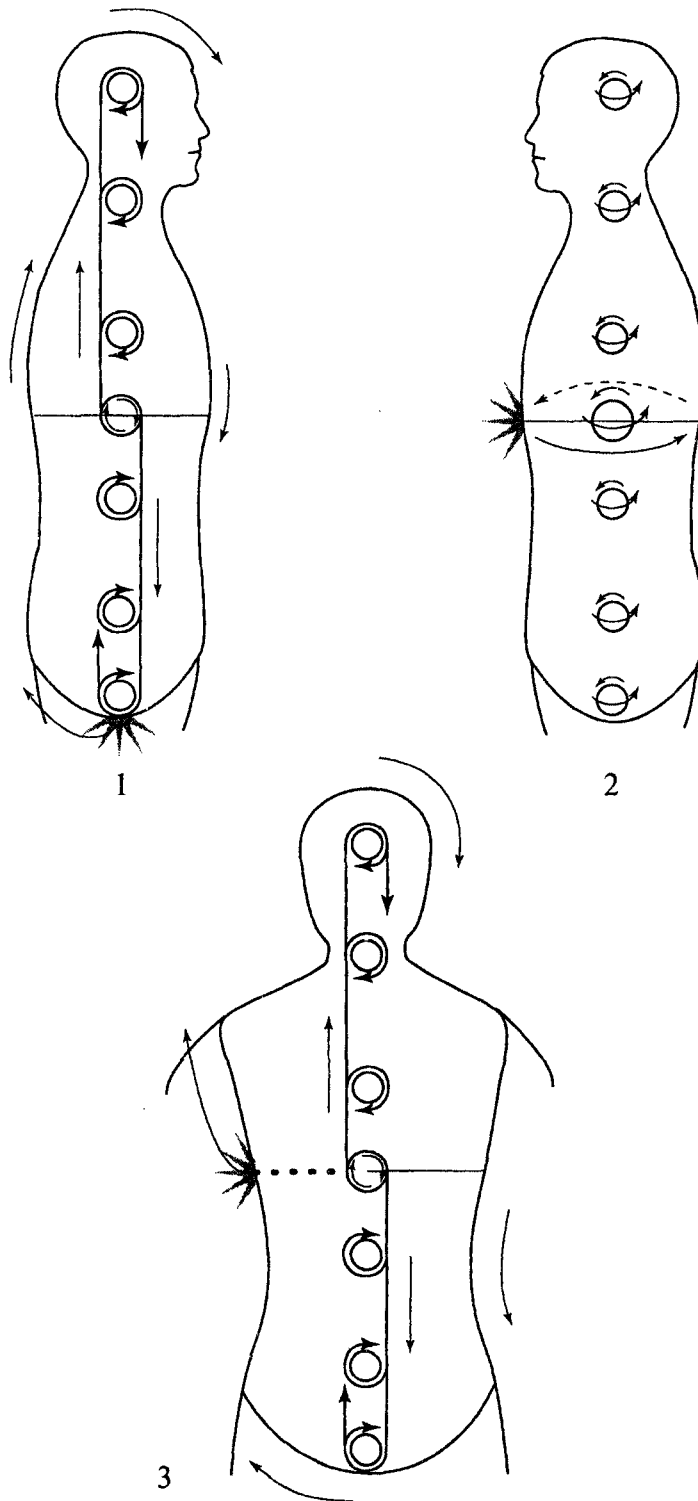


Рис. 121. Направление потоков единых энергий в пограничных и сердцевинных меридианах.

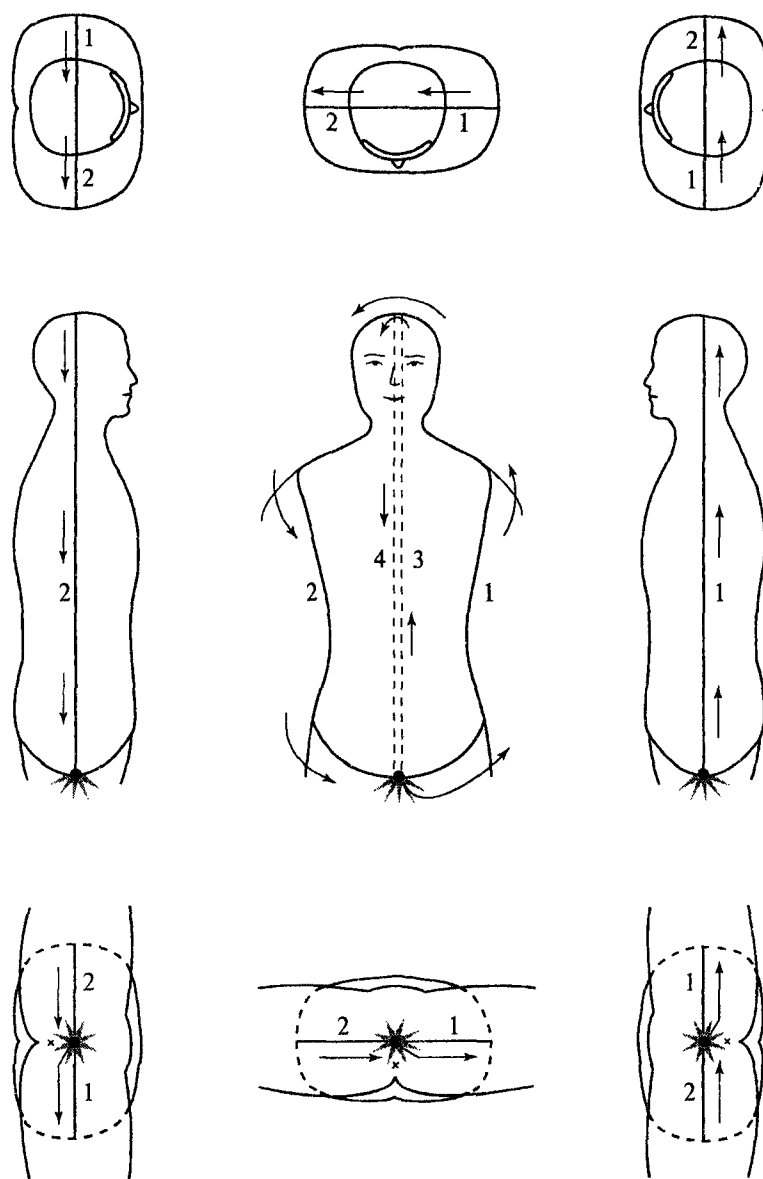
Движение энергий в человеческом теле представляет собой объединение разноуровневых кругов циркуляции. Единые энергии циркулируют, охватывая все тело целиком. Источниками циркуляции единых энергий в пограничных и сердцевинных меридианах являются три внешние Гомо-чакры (УМ) — передняя, нижняя и правая. Поскольку первая фаза энергетической циркуляции — Гетеро, а вторая — Гомо, то единая энергия из Гомо-чакры сначала направляется в Гетеро-часть тела, затем — в его Гомо-часть.

Передняя чакра (А) контролирует циркуляцию единых энергий в центральном (1) и диафрагмальном (2) пограничных меридианах, а также в центральном (7) и диафрагмальном (8) сагиттальных сердцевинных меридианах; нижняя чакра (Б) — в центральном (3) и боковом (4) пограничных меридианах, а также в центральном (9) и боковом (10) вертикальных сердцевинных меридианах; правая чакра (В) — в боковом (5) и диафрагмальном (6) пограничных меридианах, а также в боковом (11) и диафрагмальном (12) фронтальных сердцевинных меридианах.

— — Гетеро-часть меридиана  
 == — Гомо-часть меридиана



ис. 122. Связь циркуляции единых энергий в пограничных меридианах со спинами внутренних чакр. На рисунке представлена связь фронтального спина внутренних чакр с циркуляцией единой энергии в центральном пограничном меридиане при доминировании вертикальной оси тела (1), связь вертикального спина внутренних чакр с циркуляцией единой энергии в диафрагмальном пограничном меридиане при доминировании сагиттальной оси тела (2) и связь сагиттального спина внутренних чакр с циркуляцией единой энергии в боковом пограничном меридиане при доминировании фронтальной оси тела (3).



**Рис. 123.** Циркуляция единой энергии в боковом пограничном и в боковом вертикальном сердцевинном меридианах, контролируемая нижней внешней чакрой.  
 Из нижней внешней чакры единая энергия сначала направляется в левый боковой пограничный меридиан (1), затем возвращается по правому боковому пограничному меридиану (2).  
 Из нижней внешней чакры единая энергия сначала направляется в левый вертикальный сердцевинный меридиан (3), затем возвращается по правому вертикальному сердцевинному меридиану (4).  
 ✨ — нижняя внешняя чакра

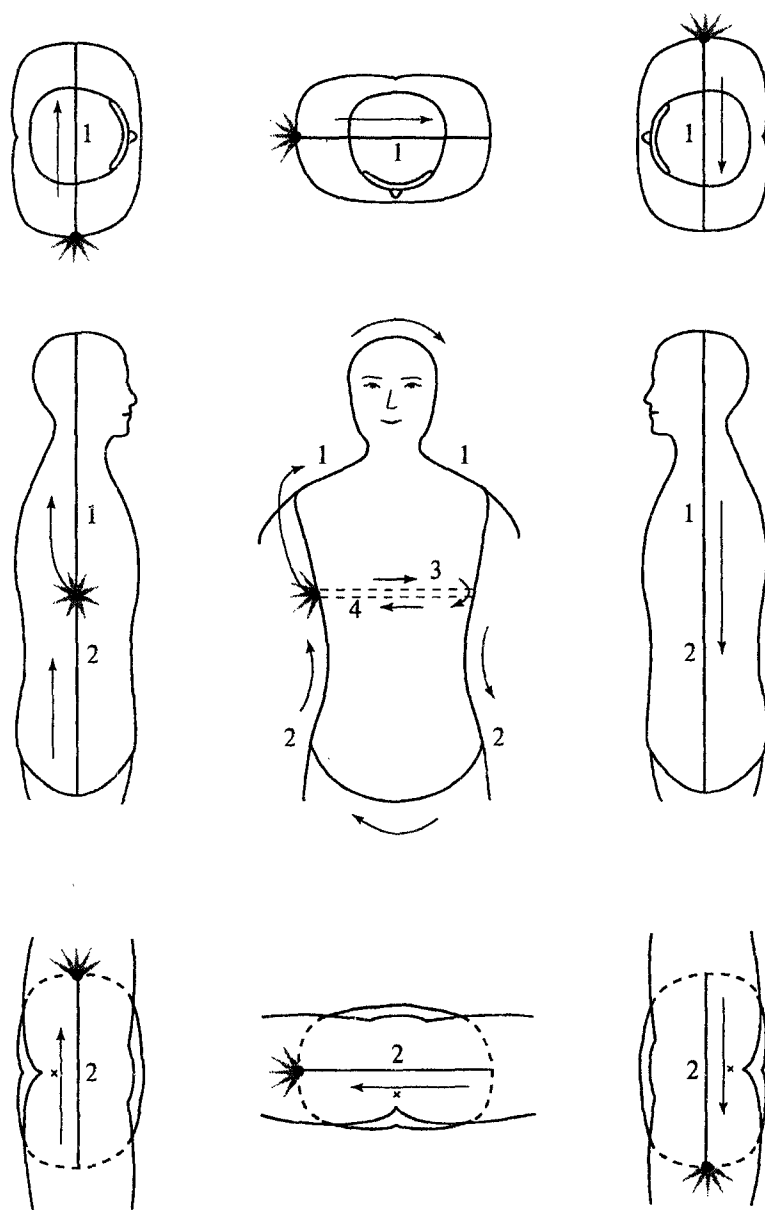
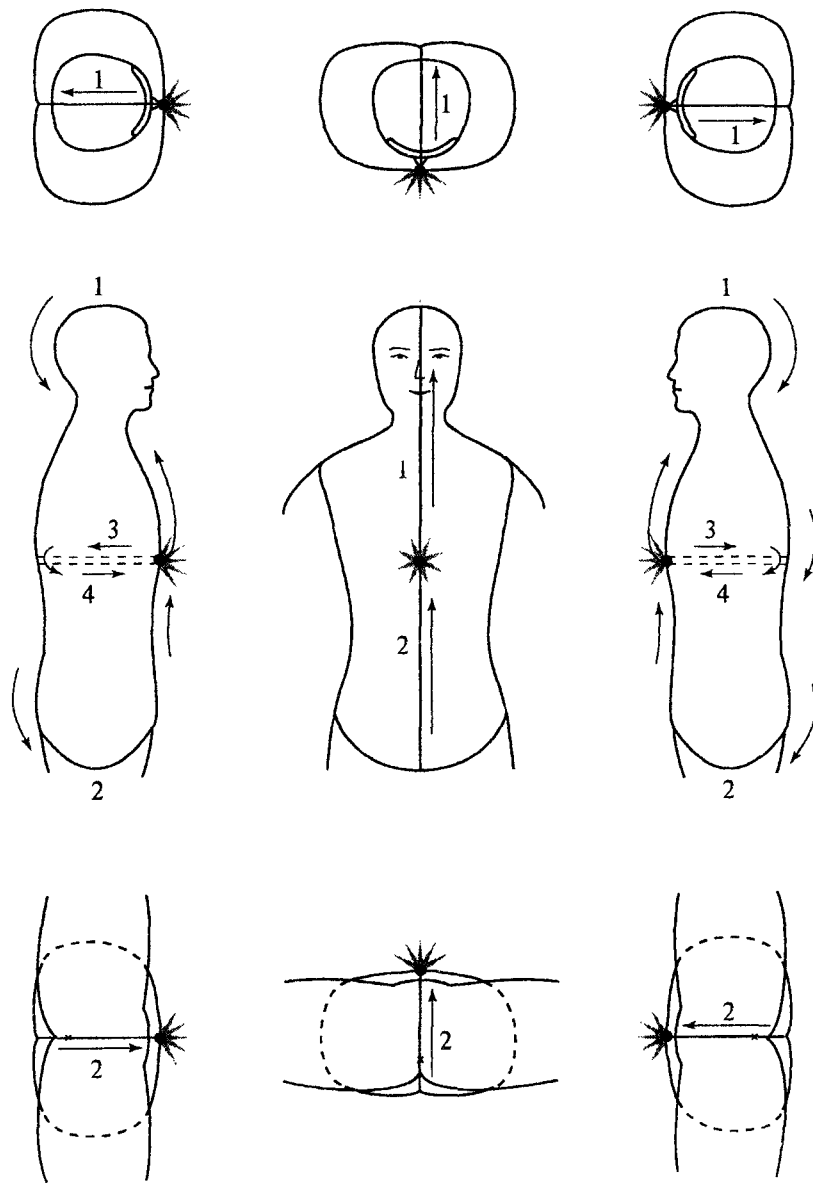


Рис. 124. Циркуляция единой энергии в боковом пограничном и в боковом фронтальном сердцевинном меридианах, контролируемая правой внешней чакрой.

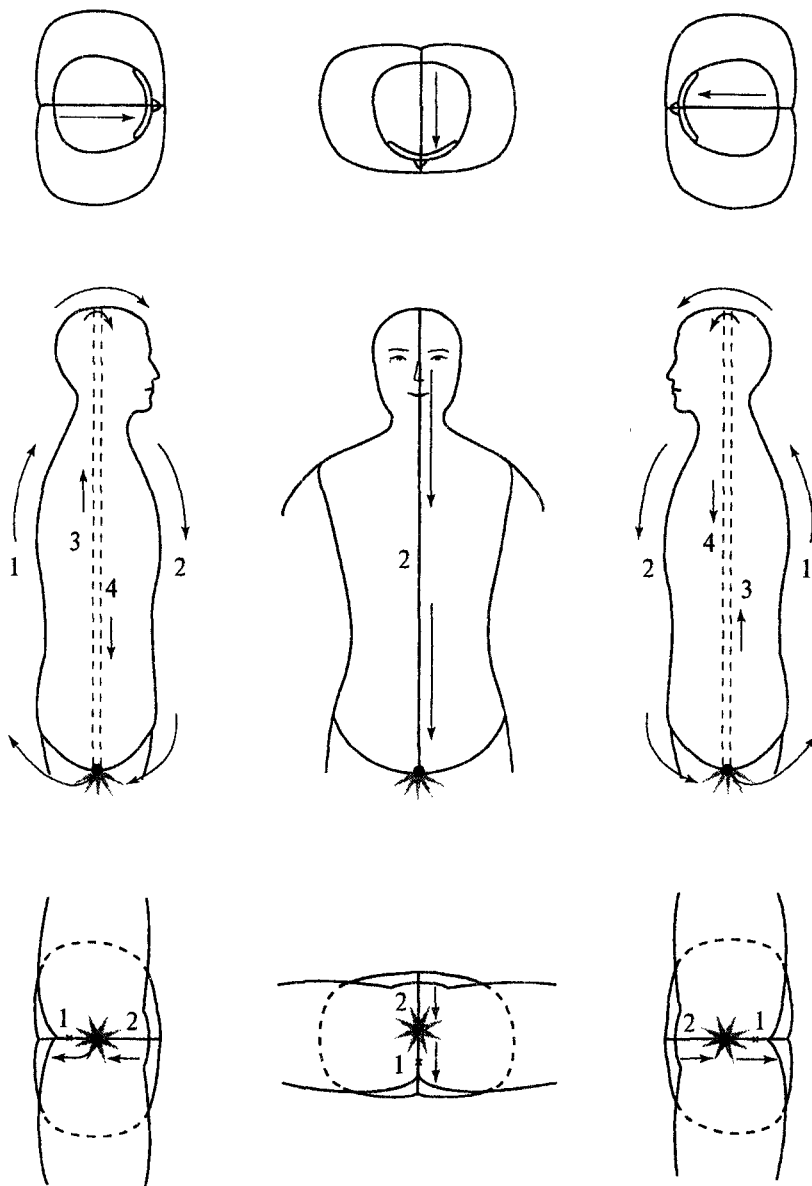
Из правой внешней чакры единая энергия сначала направляется в верхний боковой пограничный меридиан (1), затем возвращается по нижнему боковому пограничному меридиану (2).

Из правой внешней чакры единая энергия сначала направляется в верхний фронтальный сердцевинный меридиан (3), затем возвращается по нижнему фронтальному сердцевинному меридиану (4).

☀ — правая внешняя чакра



**Рис. 125.** Циркуляция единой энергии в центральном пограничном и в центральном сагиттальном сердцевинном меридианах, контролируемая передней внешней чакрой.  
 Из передней внешней чакры единая энергия сначала направляется в верхний центральный пограничный меридиан (1), затем возвращается по нижнему центральному пограничному меридиану (2).  
 Из передней внешней чакры единая энергия сначала направляется в верхний сагиттальный сердцевинный меридиан (3), затем возвращается по нижнему сагиттальному сердцевинному меридиану (4).  
 ✨ — передняя внешняя чакра



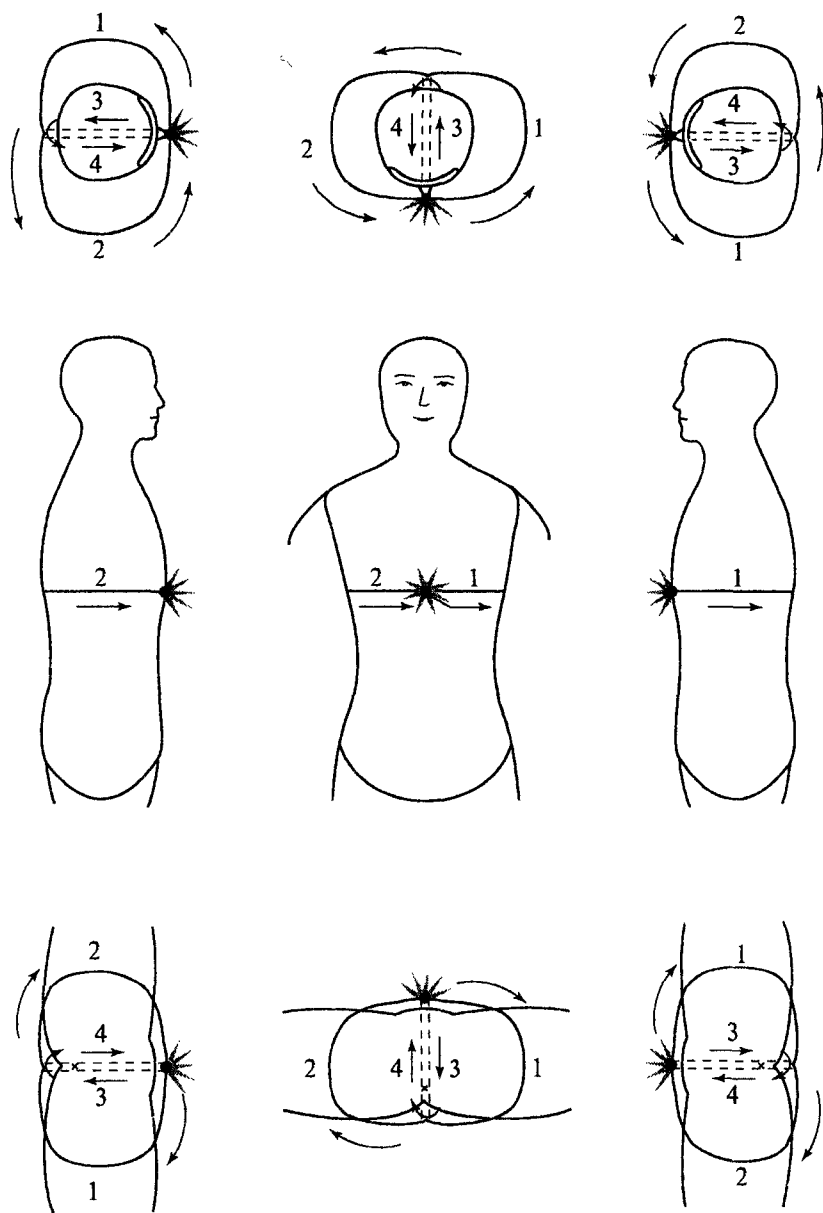
ис. 126. Циркуляция единой энергии в центральном пограничном и в центральном вертикальном сердцевинном меридианах, контролируемая нижней внешней чакрой.

Из нижней внешней чакры единая энергия сначала направляется в задний центральный пограничный меридиан (1), затем возвращается по переднему центральному пограничному меридиану (2).

Из нижней внешней чакры единая энергия сначала направляется в задний центральный вертикальный сердцевинный меридиан (3), затем возвращается по переднему центральному вертикальному сердцевинному меридиану (4).

★ — нижняя внешняя чakra



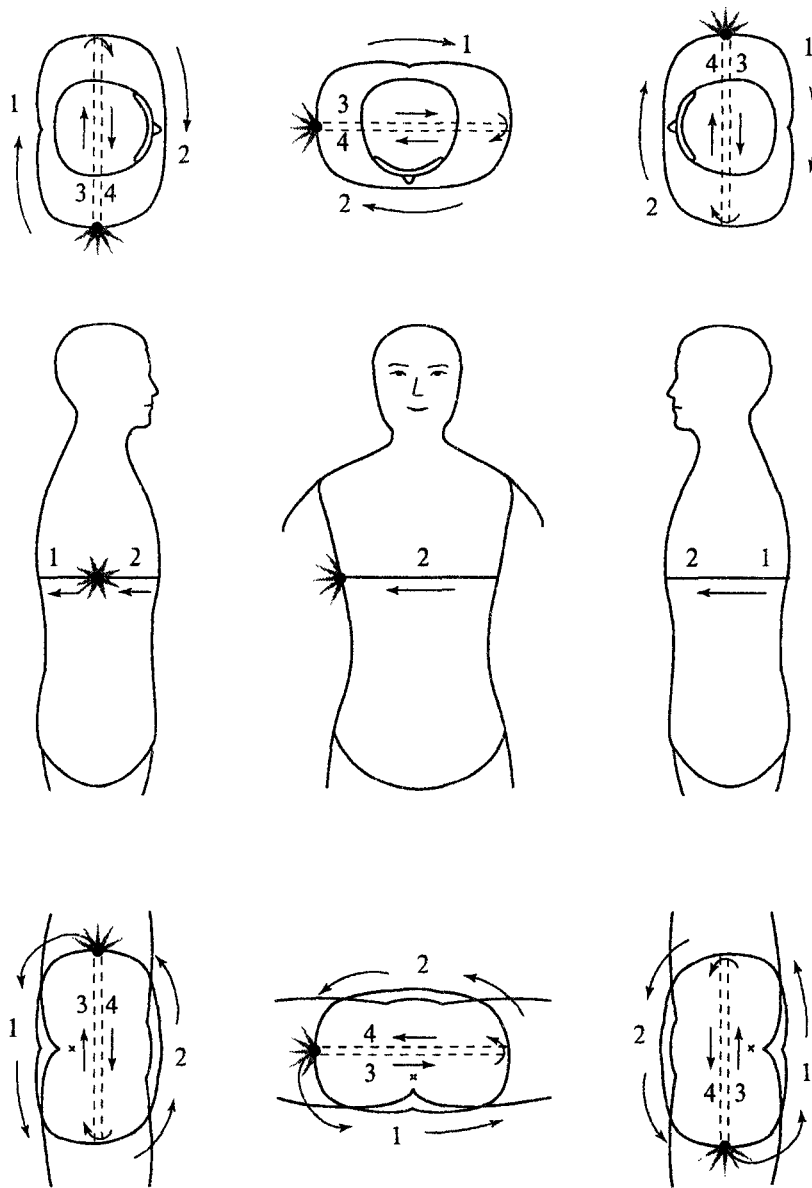


ис. 127. Циркуляция единой энергии в диафрагмальном пограничном и в диафрагмальном сагиттальном сердцевином меридианах, контролируемая передней внешней чакрой.

Из передней внешней чакры единая энергия сначала направляется в левый диафрагмальный пограничный меридиан (1), затем возвращается по правому диафрагмальному пограничному меридиану (2).

Из передней внешней чакры единая энергия сначала направляется в левый сагиттальный сердцевиный меридиан (3), затем возвращается по правому сагиттальному сердцевиному меридиану (4).

☼ — передняя внешняя чакра



ис. 128. Циркуляция единой энергии в диафрагмальном пограничном и в диафрагмальном фронтальном сердцевином меридианах, контролируемая правой внешней чакрой.

Из правой внешней чакры единая энергия сначала направляется в задний диафрагмальный пограничный меридиан (1), затем возвращается по переднему диафрагмальному пограничному меридиану (2).

Из правой внешней чакры единая энергия сначала направляется в задний фронтальный сердцевиный меридиан (3), затем возвращается по переднему фронтальному сердцевиному меридиану (4).

✿ — правая внешняя чakra

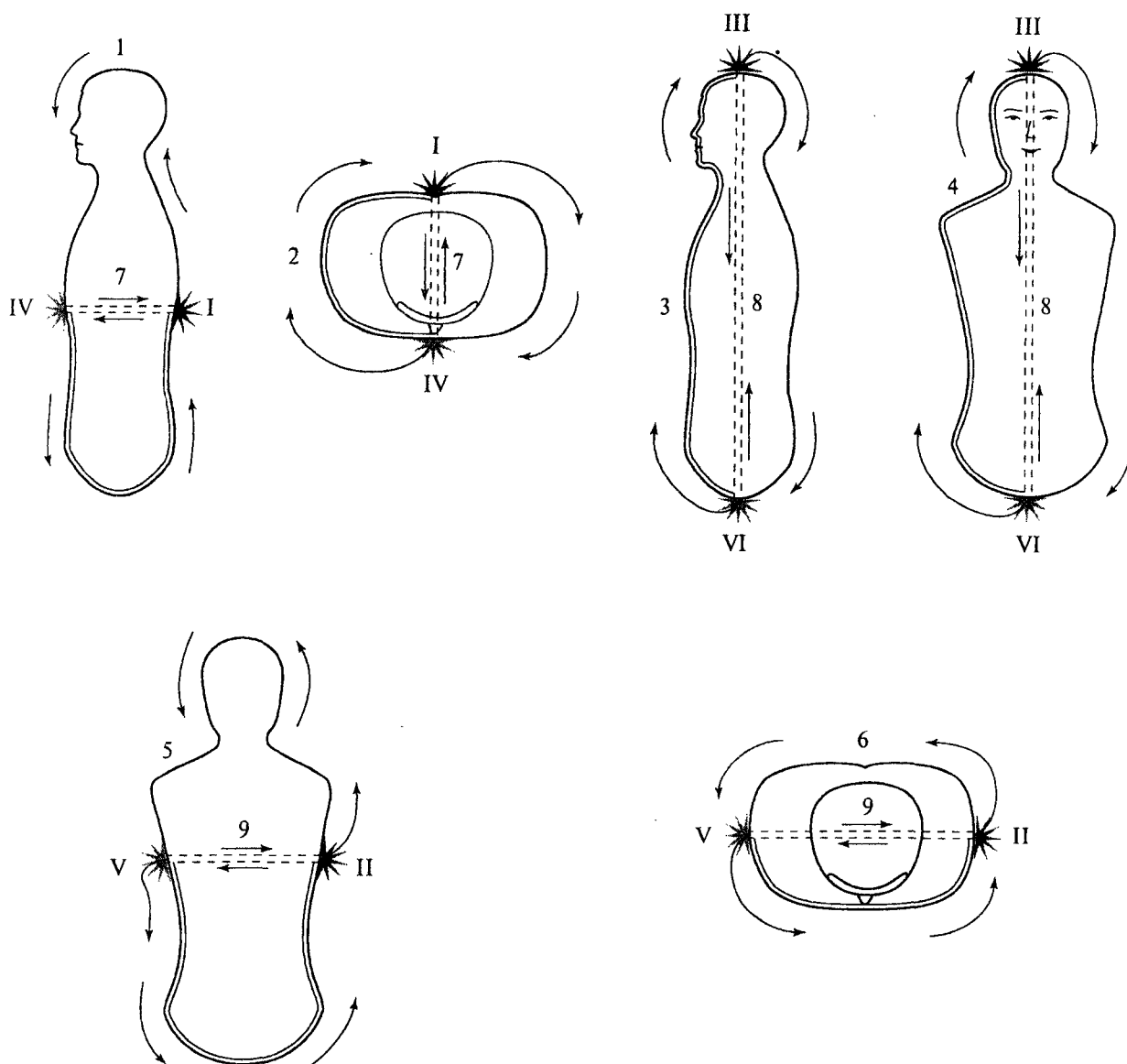


рис. 129. Направление потоков индивидуальных энергий в пограничных и сердцевинных меридианах.

Циклы движения индивидуальных энергий охватывают половину тела.

Движение индивидуальных энергий в пограничных меридианах контролируется двумя внешними полярными чакрами Гомо и Гетеро. А-энергии внешних Гетеро-чакр (верхней, задней или левой) циркулируют по Гетеро-частям пограничных и сердцевинных меридианов, а УМ-энергии внешних Гомо-чакр (нижней, передней или правой) движутся по Гомо-частям пограничных и сердцевинных меридианов.

Задняя (I) и передняя (IV) внешние чакры контролируют движение индивидуальных энергий в центральном (1) и диафрагмальном (2) пограничных меридианах, а также в сагиттальном сердцевинном меридиане (7); верхняя (III) и нижняя (VI) внешние чакры — в центральном (3) и боковом (4) пограничных меридианах и вертикальном сердцевинном меридиане (8); левая (II) и правая (V) — в боковом (5) и диафрагмальном (6) пограничных меридианах и во фронтальном сердцевинном меридиане (9).

— Гетеро-часть пограничного меридиана  
 == Гомо-часть пограничного меридиана  
 - - - - - сердцевинный меридиан

— Гетеро-чакра  
 — Гомо-чакра

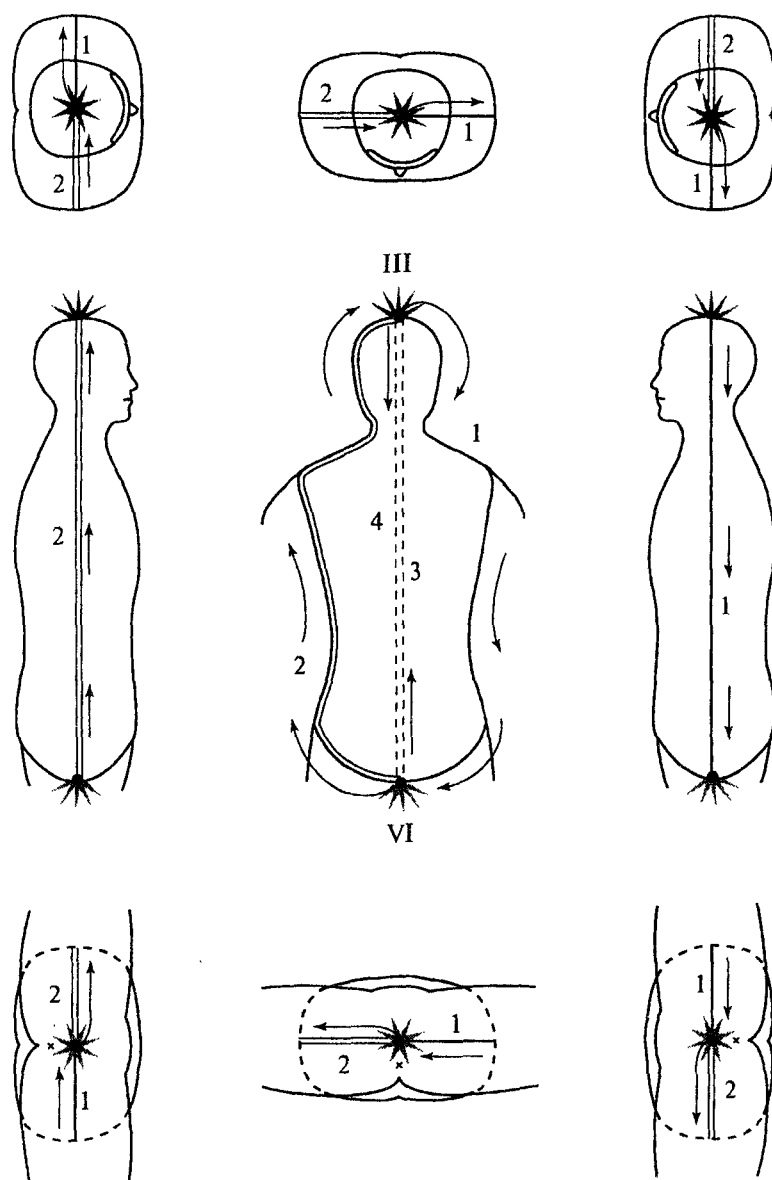
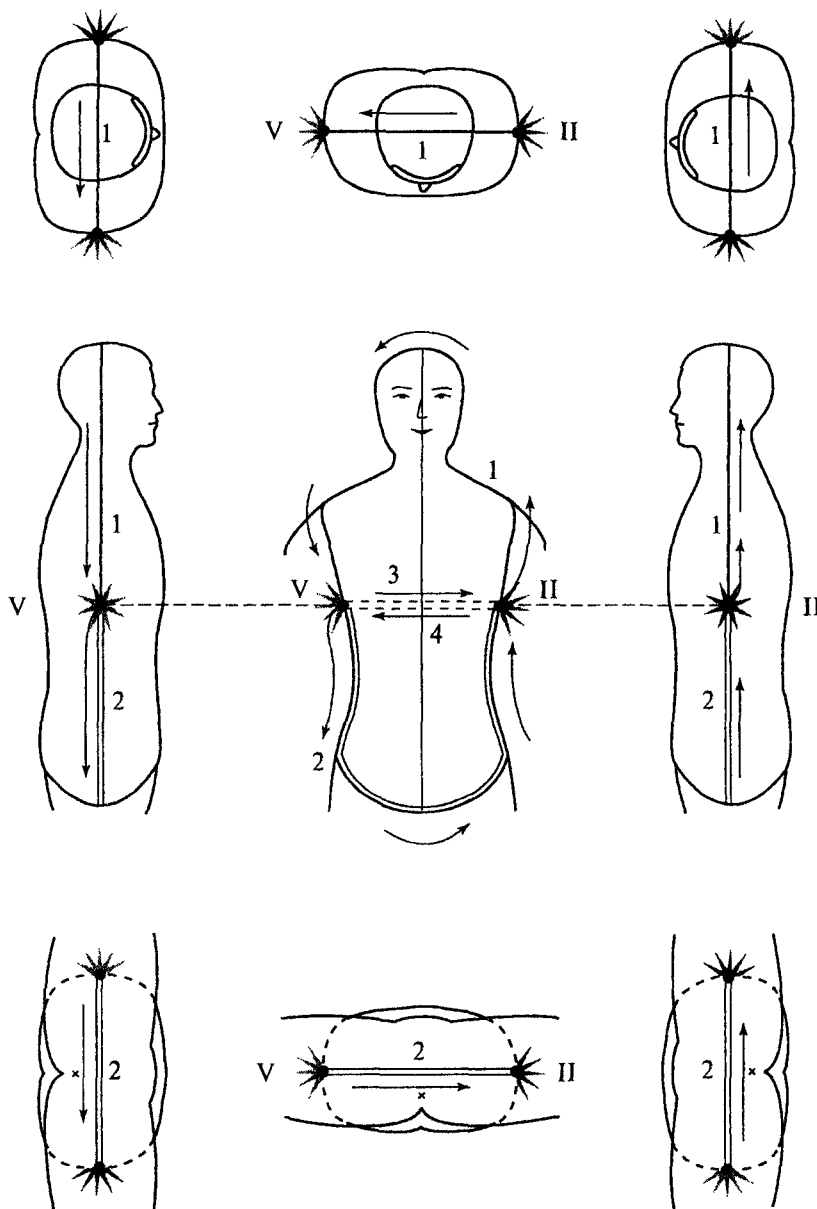


рис. 130. Направление потоков индивидуальных энергий в боковом пограничном и в боковом вертикальном сердцевинном меридианах, контролируемых верхней и нижней внешними чакрами.

Из верхней (III) внешней чакры А-энергия направляется в левый боковой пограничный меридиан (1) и по левому вертикальному сердцевинному меридиану (3) возвращается назад в верхнюю внешнюю чакру.

Из нижней (VI) внешней чакры УМ-энергия следует в правый боковой пограничный меридиан (2) и по правому вертикальному сердцевинному меридиану (4) возвращается назад в нижнюю внешнюю чакру.

- Гетеро-часть пограничного меридиана
- == Гомо-часть пограничного меридиана
- - - - - сердцевинный меридиан
- ☼ — Гетеро-чакра
- ☼ — Гомо-чакра



ис. 131. Направление потоков индивидуальных энергий в боковом пограничном и в боковом фронтальном сердцевинном меридианах, контролируемых левой и правой внешними чакрами.

Из левой (II) внешней чакры А-энергия направляется в верхний боковой пограничный меридиан (1), затем по верхнему фронтальному сердцевинному меридиану (3) возвращается назад в левую чакру.

Из правой (V) внешней чакры УМ-энергия следует в нижний боковой пограничный меридиан (2) и по нижнему фронтальному сердцевинному меридиану (4) возвращается назад в правую чакру.

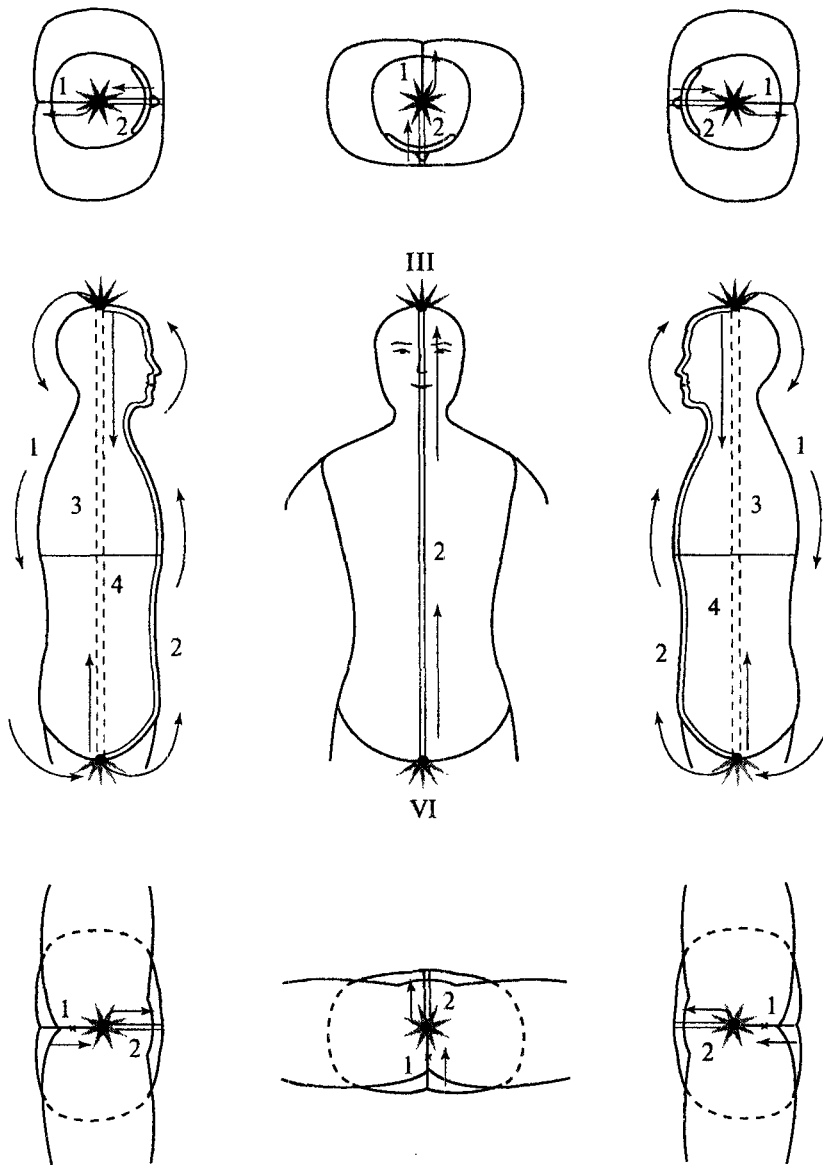
— Гетеро-часть пограничного меридиана

== Гомо-часть пограничного меридиана

- - - - - сердцевинный меридиан

☼ Гетеро-чакра

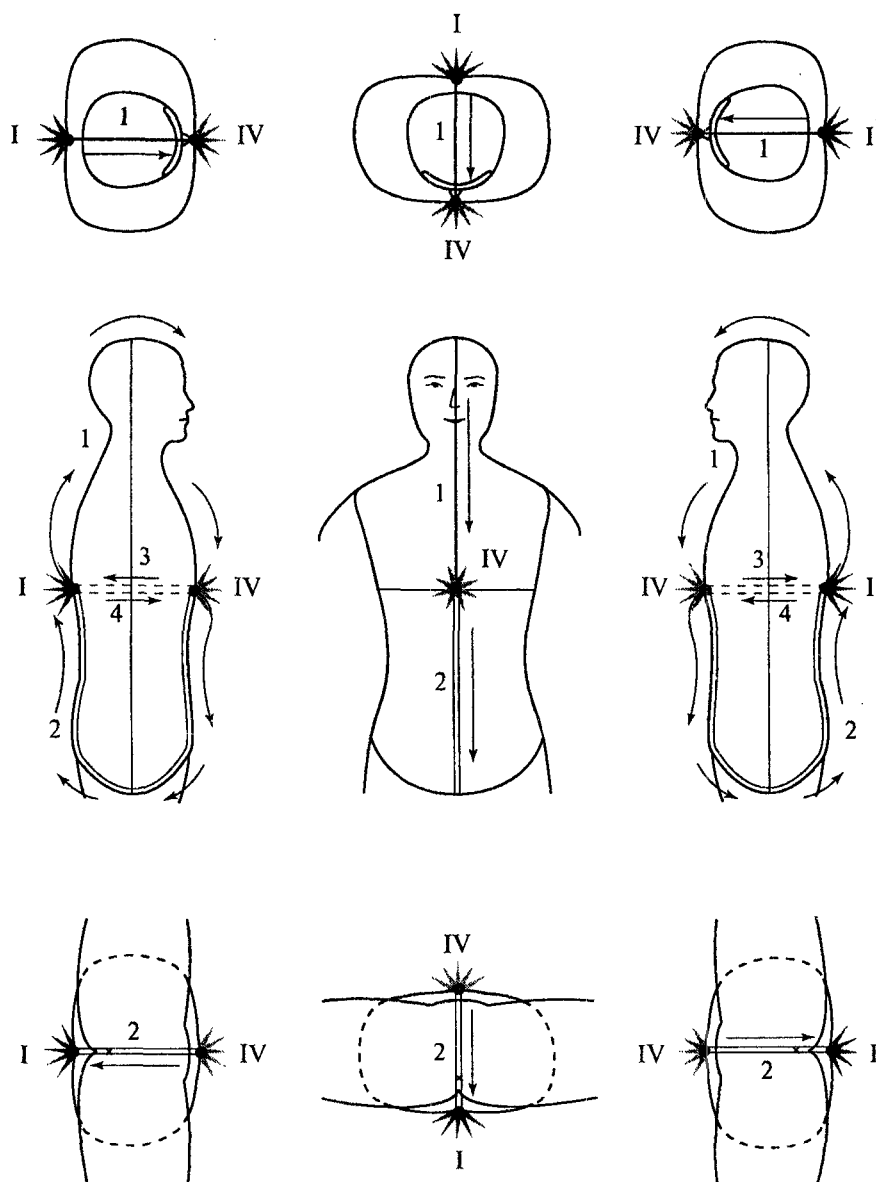
☼ Гомо-чакра



ис. 132. Направление потоков индивидуальных энергий в центральном пограничном и центральном вертикальном сердцевинном меридианах, контролируемых верхней и нижней внешними чакрами. Из верхней (III) внешней чакры А-энергия направляется в задний центральный пограничный меридиан (1), затем по заднему вертикальному сердцевинному меридиану (3) возвращается в верхнюю чакру.

Из нижней (VI) внешней чакры УМ-энергия следует в передний центральный пограничный меридиан (2), затем по переднему вертикальному сердцевинному меридиану (4) возвращается в нижнюю чакру.

- Гетеро-часть пограничного меридиана
- ==== Гомо-часть пограничного меридиана
- сердцевинный меридиан
- ☼ Гетеро-чакра
- ☼ Гомо-чакра



ис. 133. Направление потоков индивидуальных энергий в центральном пограничном и центральном сагиттальном сердцевином меридианах под влиянием задней и передней внешних чакр.

Из задней (I) внешней чакры А-энергия направляется в верхний центральный пограничный меридиан (1) и по верхнему сагиттальному сердцевиному меридиану (3) возвращается в заднюю чакру.

Из передней (IV) внешней чакры УМ-энергия следует в нижний центральный пограничный меридиан (2), а по нижнему сагиттальному сердцевиному меридиану (4) возвращается в переднюю чакру.

- Гетеро-часть пограничного меридиана
- ==== Гомо-часть пограничного меридиана
- сердцевиный меридиан
- ☼ Гетеро-чакра
- ☼ Гомо-чакра



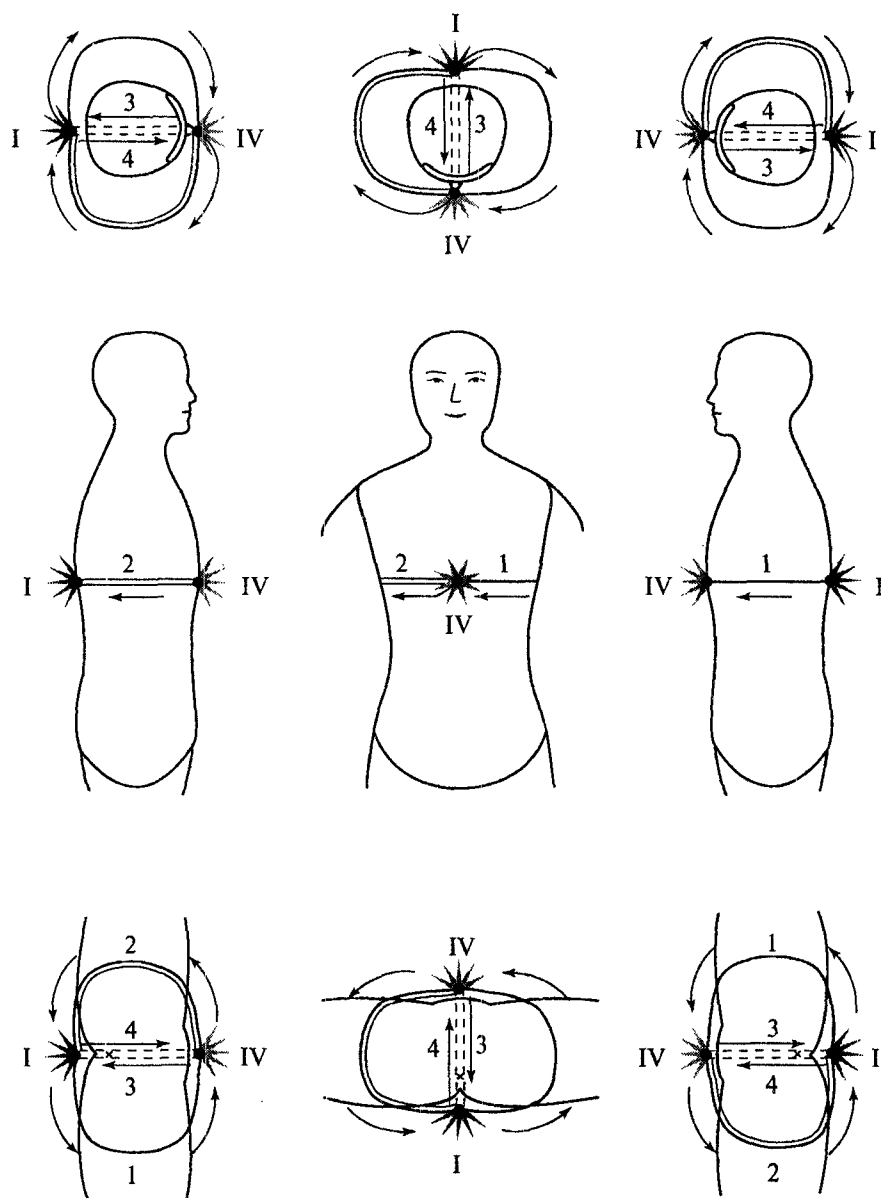


рис. 134. Направление потоков индивидуальных энергий в диафрагмальном пограничном и в диафрагмальном сагиттальном сердцевином меридианах, контролируемых передней и задней внешними чакрами. Из задней (I) внешней чакры А-энергия направляется в левый диафрагмальный пограничный меридиан (1), затем в левый сагиттальный сердцевиный меридиан (3), по которому возвращается в заднюю чакру.

Из передней (IV) внешней чакры УМ-энергия следует в правый диафрагмальный пограничный меридиан (2), затем в правый сагиттальный сердцевиный меридиан (4), по которому возвращается в переднюю чакру.

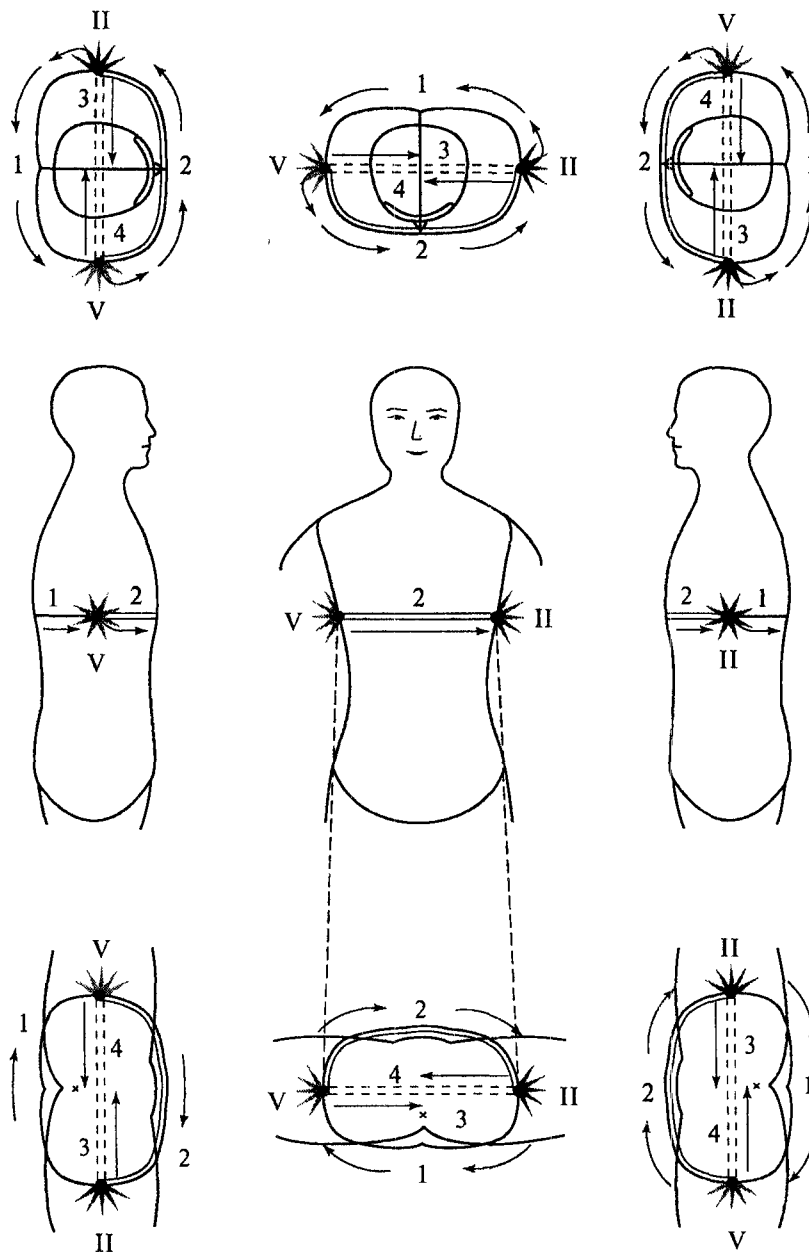
— Гетеро-часть пограничного меридиана

==== Гомо-часть пограничного меридиана

----- сердцевиный меридиан

☼ Гетеро-чакра

☼ Гомо-чакра



ис. 135. Направление потоков индивидуальных энергий в диафрагмальном пограничном и диафрагмальном фронтальном сердцевином меридианах, контролируемых левой и правой внешними чакрами. Из левой (II) внешней чакры А-энергия направляется в задний диафрагмальный пограничный меридиан (1), затем в задний фронтальный сердцевиный меридиан (3), по которому возвращается в левую чакру.

Из правой (V) внешней чакры УМ-энергия следует в передний диафрагмальный пограничный меридиан (2), затем в передний фронтальный сердцевиный меридиан (4), по которому возвращается в правую чакру.

- — Гетеро-часть пограничного меридиана
- ==== — Гомо-часть пограничного меридиана
- — сердцевиный меридиан
- ☼ — Гетеро-чакра
- ☼ — Гомо-чакра

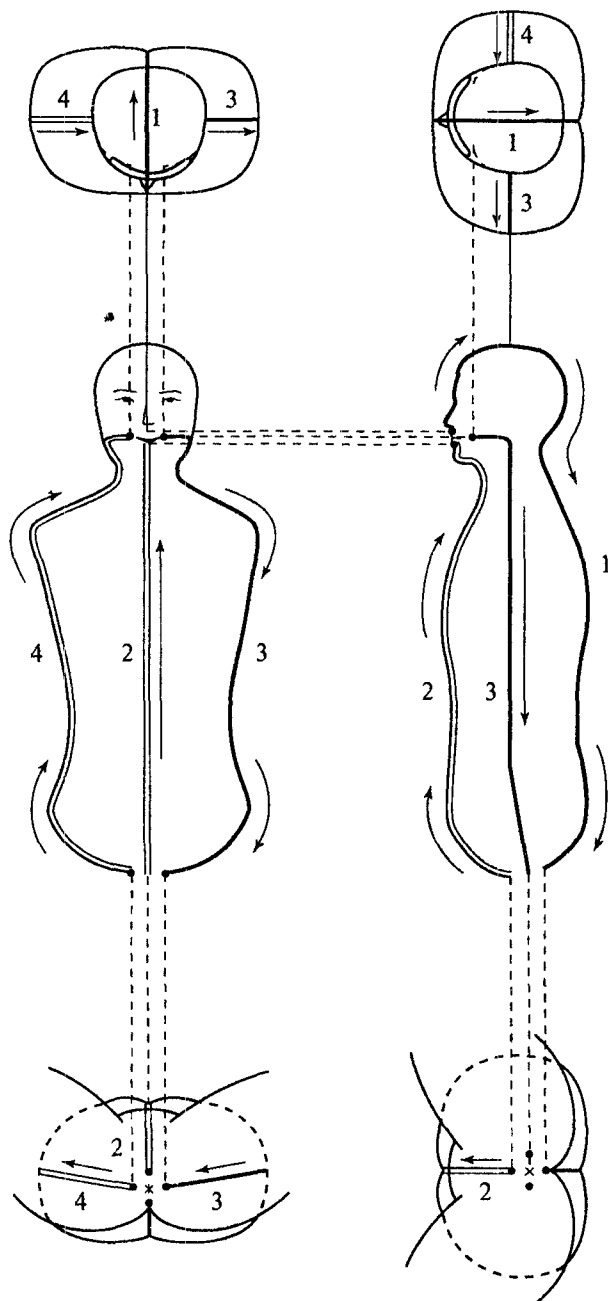
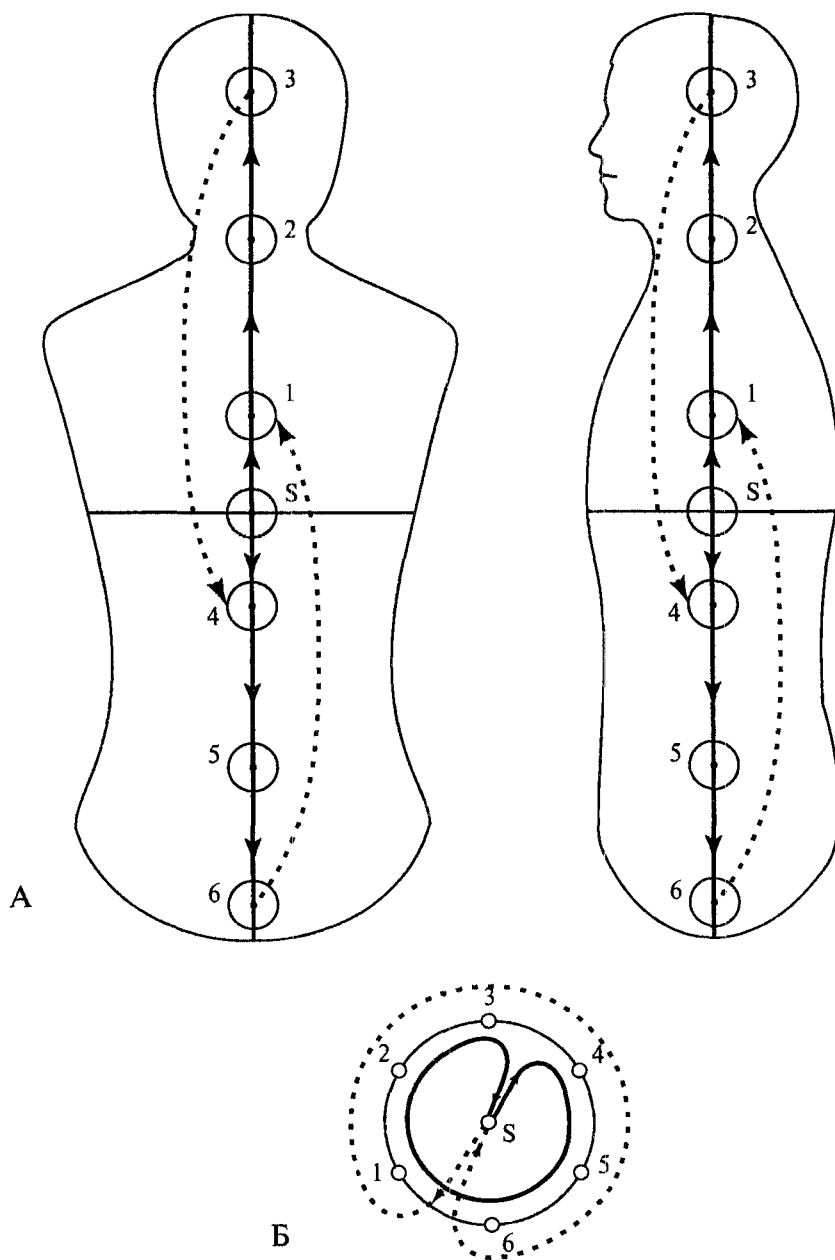


рис. 136. Направление потоков индивидуальных энергий в центральном и боковом пограничных меридианах по отношению к оси «рот — анус».

В центральном и боковом пограничных меридианах, кроме циркуляции энергии (по отношению к вертикальной оси тела, соединяющей точки бай-хуэй и хуэй-инь), существует вид циркуляции по отношению к оси «рот — анус», соединяющей физические наружные чакры тела. В этом виде циркуляции потоки индивидуальных энергий центрального и бокового пограничных меридианов замыкаются в области рта и ануса.

- 1 — циркуляция А-энергии по заднему центральному пограничному меридиану
- 2 — циркуляция УМ-энергии по переднему центральному пограничному меридиану
- 3 — циркуляция А-энергии по левому боковому пограничному меридиану
- 4 — циркуляция УМ-энергии по правому боковому пограничному меридиану

3.1.2. Циркуляция энергий в системе внутренних чакр и связанных с ними периферических А- и УМ-меридианах тела



ис. 137. Циркуляция единой энергии тела во внутренних чакрах согласно функции созидания Шести Ки. Циркуляция начинается из солнечной чакры одновременно в двух направлениях: в сторону чакры ветра и в сторону чакры влажности (А). Она напоминает единую последовательность смены сезонов в Северном и Южном полушариях, которые в одно и то же время противоположны (Б).

1 — чакра ветра	5 — чакра сухости
2 — чакра тепла	6 — чакра холода
3 — чакра жара	S — солнечная чакра
4 — чакра влажности	

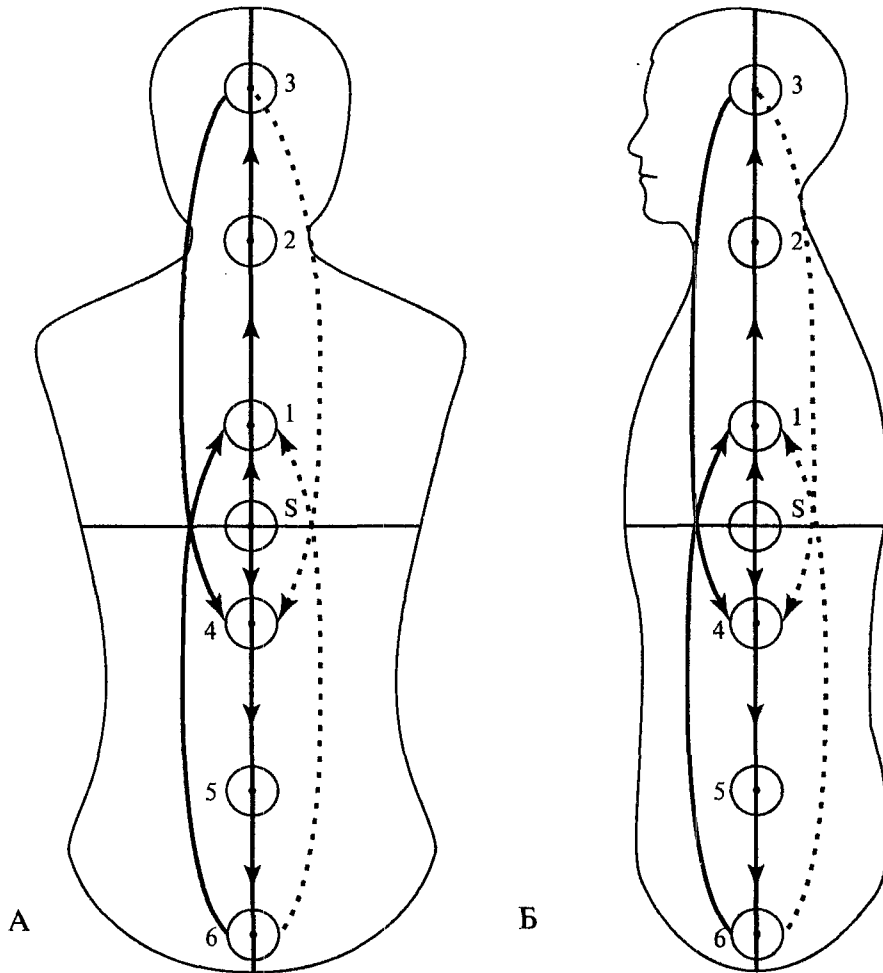


Рис. 138. Независимая циркуляция энергий Гомо- и Гетеро-половин тела по внутренним чакрам.

А — независимая циркуляция в левой и правой половинах тела

Б — независимая циркуляция в передней и задней половинах тела

1 — чакра ветра

5 — чакра сухости

2 — чакра тепла

6 — чакра холода

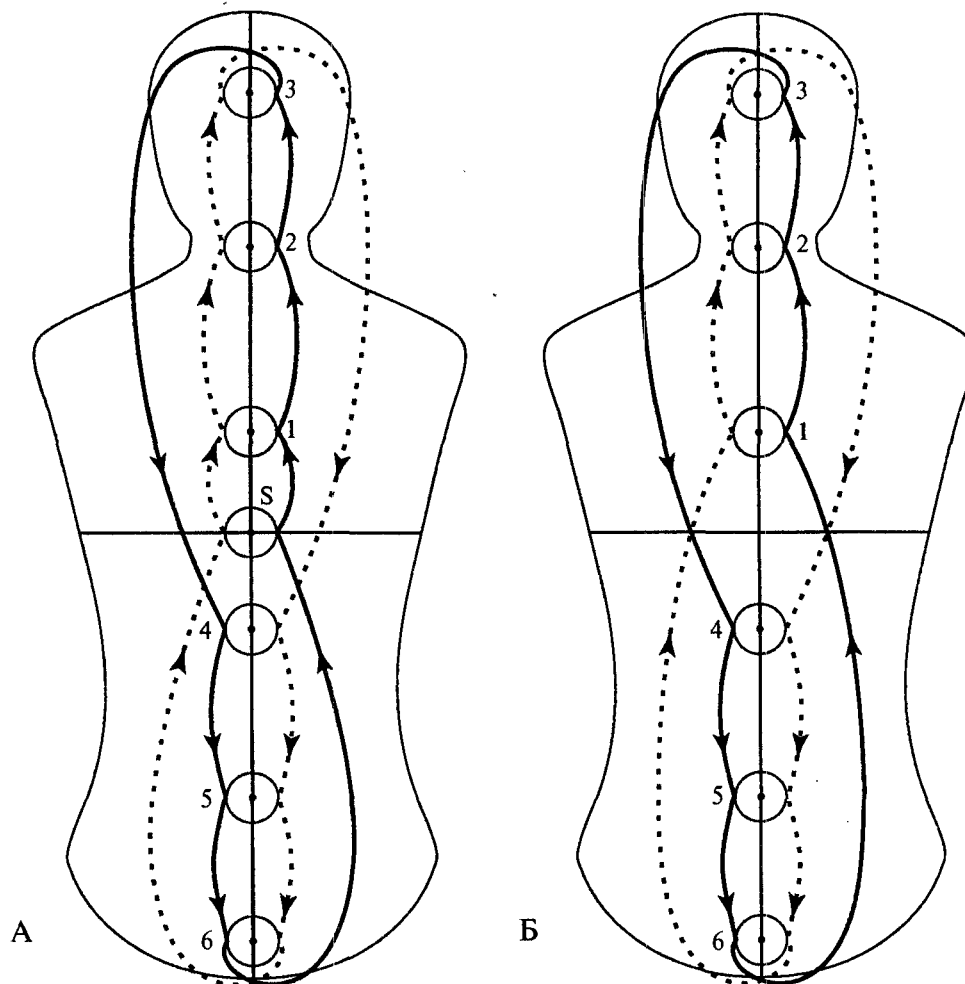
3 — чакра жара

S — солнечная чакра

4 — чакра влажности

— — Гомо-энергия

..... — Гетеро-энергия



ис. 139. Два основных вида циркуляции энергии по внутренним чакрам. Первый — с участием солнечной чакры (А), второй — без ее участия (Б).

- |                     |                     |
|---------------------|---------------------|
| 1 — чakra ветра     | 5 — чakra сухости   |
| 2 — чakra тепла     | 6 — чakra холода    |
| 3 — чakra жара      | S — солнечная чakra |
| 4 — чakra влажности |                     |

— — Гомо-энергия  
 ..... — Гетеро-энергия

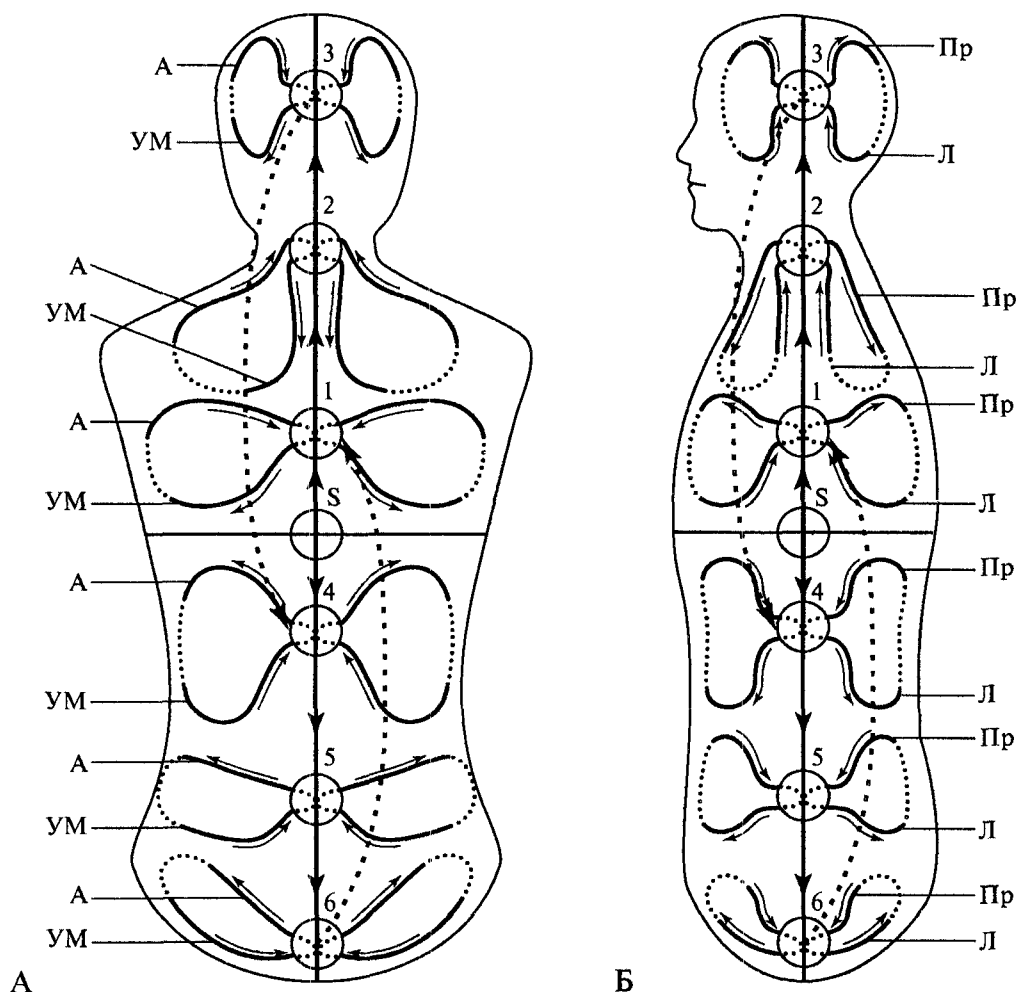


Рис. 140. Циркуляция единой энергии тела в системе внутренних чакр и связанных с ними периферических А- и УМ-меридианах.

Из внутренних чакр энергия поступает в связанные с ними периферические меридианы тела.

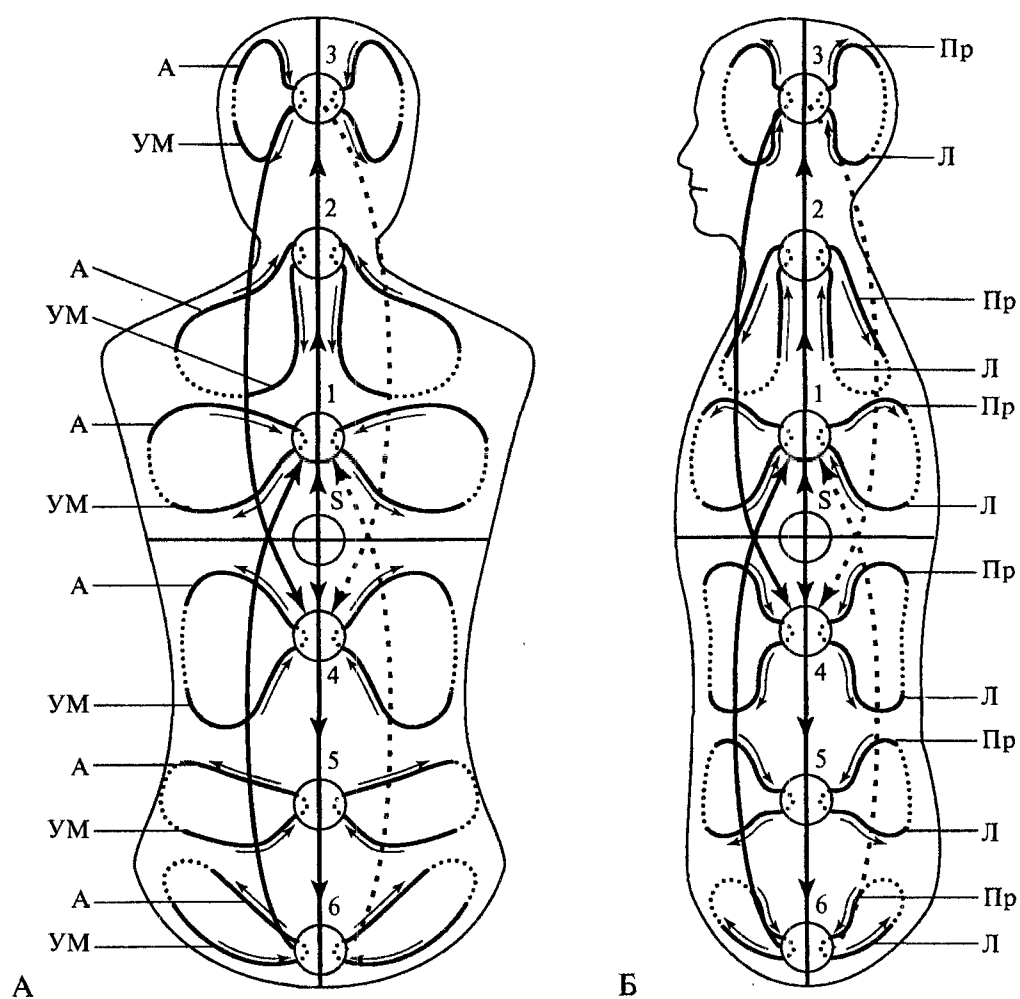
Из трех верхних чакр энергия сначала одновременно поступает в оба УМ-меридиана, затем переходит в А-меридианы и возвращается в чакры. Из трех нижних чакр, наоборот, энергия сначала поступает в А-меридианы и возвращается в чакры по УМ-меридианам (А).

Существует и другой поток единой энергии, в котором она образует круги в А-А и УМ-УМ парах меридианов (Б). В этом случае из верхних чакр энергия сначала поступает в правые меридианы и возвращается по левым. В нижней половине тела, наоборот, сначала энергия поступает в левые меридианы, потом — в правые.

- 1 — чakra ветра
- 2 — чakra тепла
- 3 — чakra жара
- 4 — чakra влажности
- 5 — чakra сухости
- 6 — чakra холода
- S — солнечная чakra

- А — А-меридиан
- УМ — УМ-меридиан
- Пр — меридиан правой половины тела
- Л — меридиан левой половины тела





ис. 141. Независимая циркуляция энергий Гомо- и Гетеро-половин тела по чакрам и периферическим А- и УМ-меридианам.

А — независимая циркуляция в левой и правой половинах тела

Б — независимая циркуляция в передней и задней половинах тела

1 — чакра ветра

А — А-меридиан

2 — чакра тепла

УМ — УМ-меридиан

3 — чакра жара

Пр — меридиан правой половины тела

4 — чакра влажности

Л — меридиан левой половины тела

5 — чакра сухости

6 — чакра холода

S — солнечная чакра

—— — Гомо-энергия

..... — Гетеро-энергия

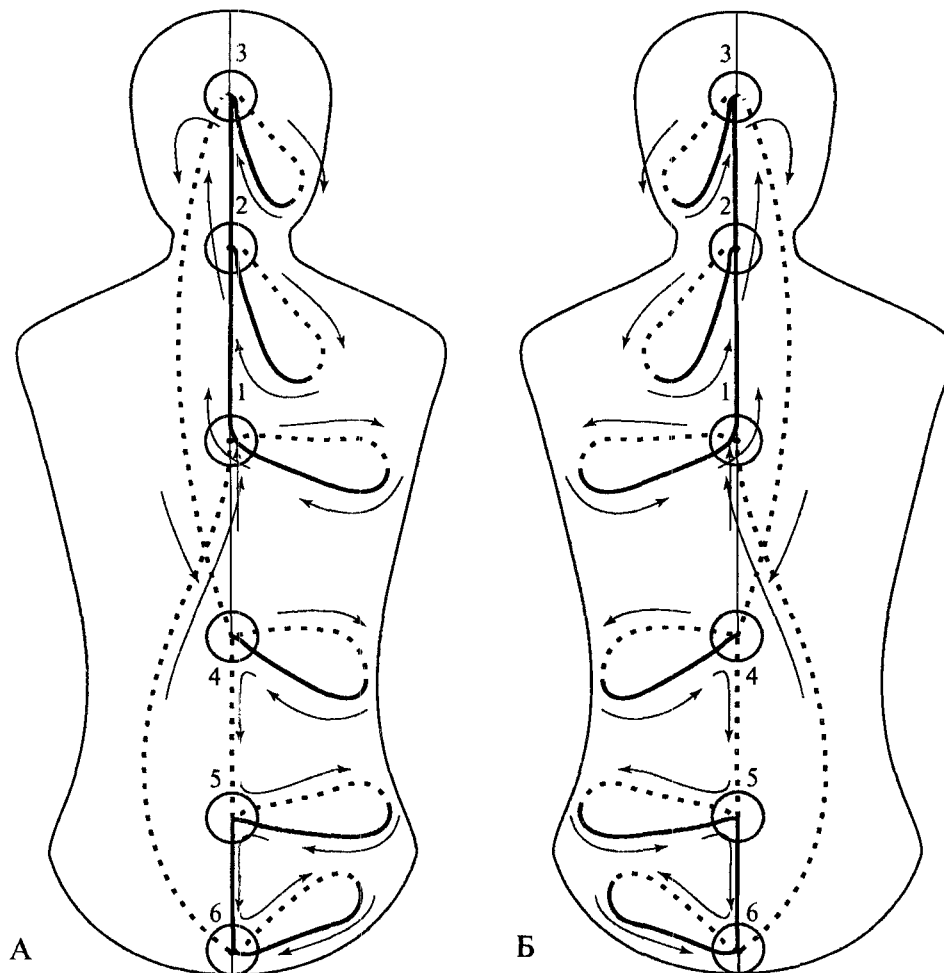


Рис. 142. Циркуляция энергии левой (А) и правой (Б) половин тела по внутренним чакрам и периферическим А- и УМ-меридианам без участия солнечной чакры.

- 1 — чакра и меридианы ветра
- 2 — чакра и меридианы тепла
- 3 — чакра и меридианы жара
- 4 — чакра и меридианы влажности
- 5 — чакра и меридианы сухости
- 6 — чакра и меридианы холода



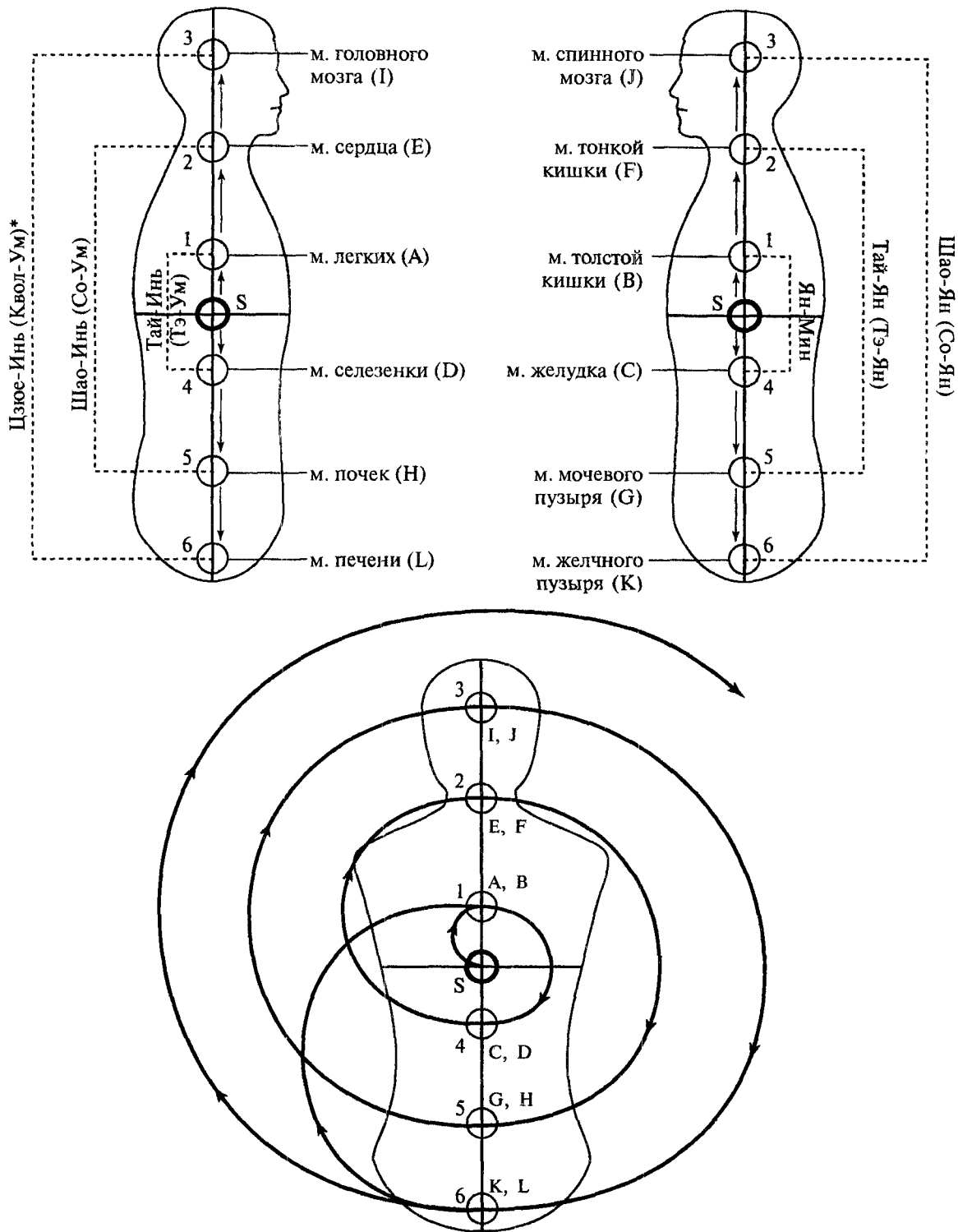


Рис. 144. Суточный цикл циркуляции энергии, обусловленный спином солнечной чакры (тип II). Энергия проходит периферические А- и УМ-меридианы в следующем порядке: А-В-С-Д-Е-Ф-Г-Н-И-Ж-К-Л.

- |                     |                     |
|---------------------|---------------------|
| 1 — чакра ветра     | 5 — чакра сухости   |
| 2 — чакра тепла     | 6 — чакра холода    |
| 3 — чакра жара      | S — солнечная чакра |
| 4 — чакра влажности |                     |

\*Китайские и корейские названия пар меридианов

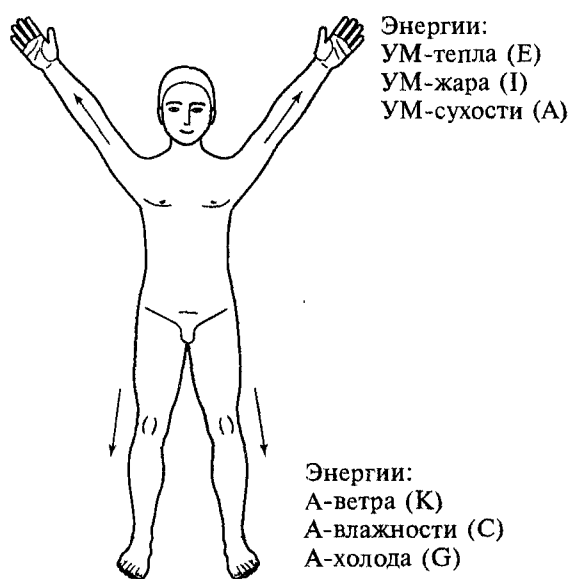
### 3.2. Циркуляция энергии в периферической энергетической системе

Согласно Восьминачальной последовательности существуют различные круги циркуляции энергии в периферических меридианах: циркуляция в каждом из периферических меридианов (уровень Нейтро); циркуляция по двум периферическим меридианам (уровень Двух Полярностей); циркуляция по четырём периферическим меридианам (уровень Четырёх Соединений); циркуляция по восьми периферическим меридианам (уровень Восьми Начал).

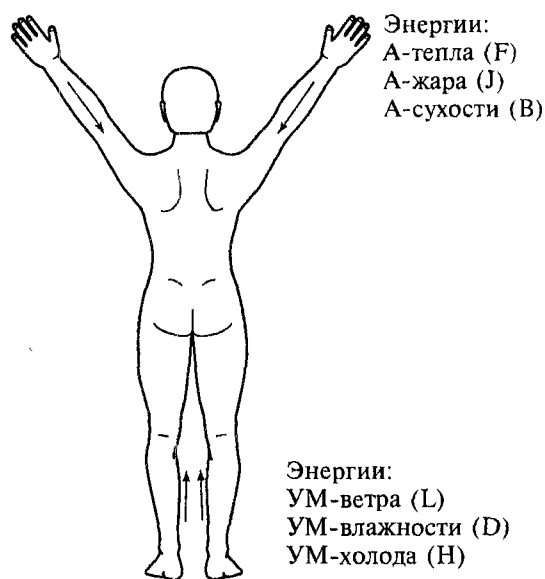
В каждом из периферических меридианов совершают полные круги циркуляции индивидуальные энергии.

УМ-энергии ручных меридианов и А-энергии ножных меридианов движутся центробежно, из соответствующих чакр к пальцам конечностей, а затем по переднему и заднему вертикальным сердцевинным меридианам возвращаются назад в чакры (рис. 145).

Тогда как А-энергии ручных меридианов и УМ-энергии ножных меридианов по периферическим меридианам движутся центростремительно, от пальцев к соответствующим чакрам, к пальцам эти энергии поступают через левый и правый вертикальные сердцевинные меридианы (рис. 146)

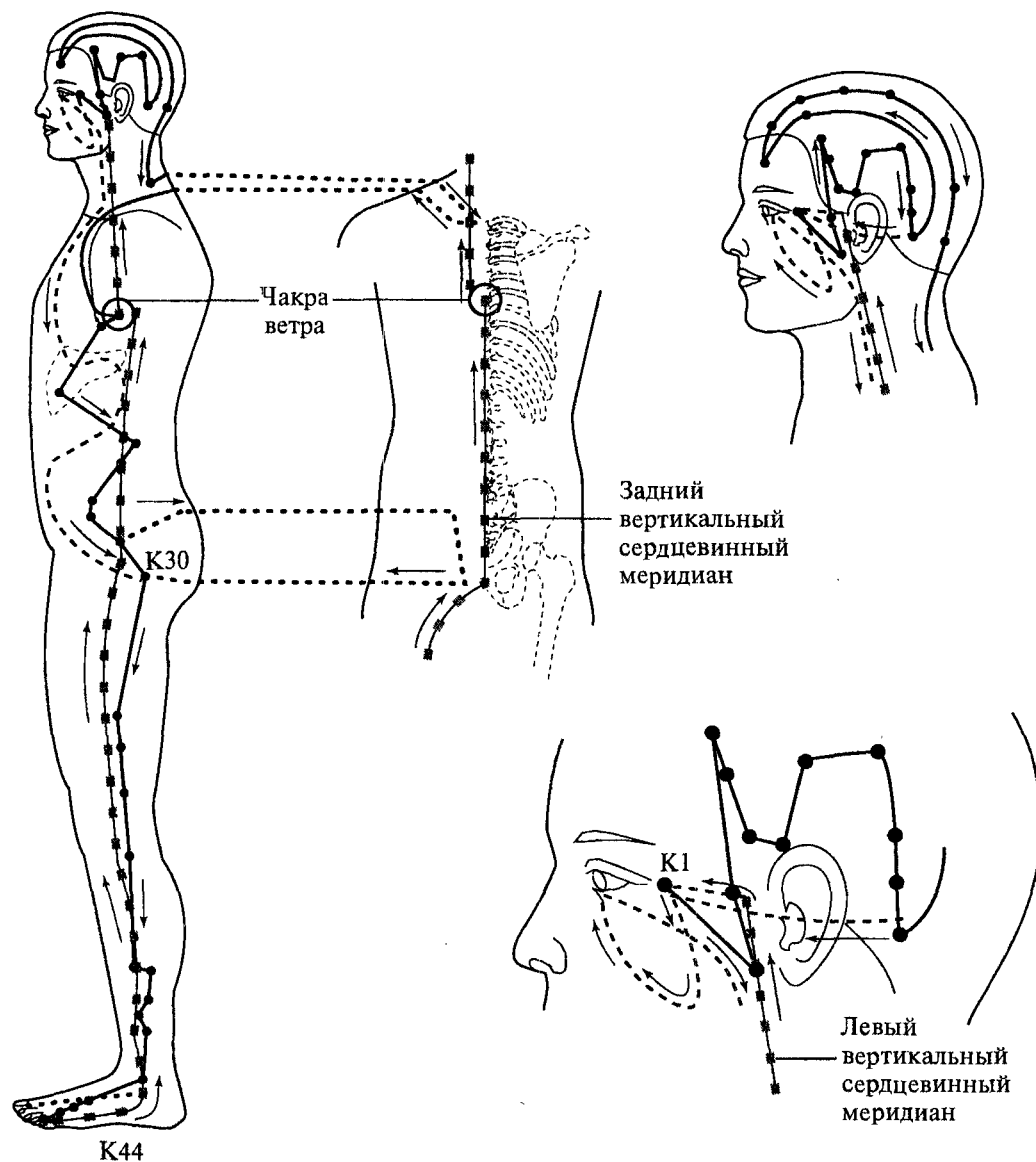


**Рис. 145.** Центробежное направление движения индивидуальных энергий по ручным УМ-меридианам и ножным А-меридианам.



**Рис. 146.** Центростремительное движение индивидуальных энергий по ручным А-меридианам и ножным УМ-меридианам.

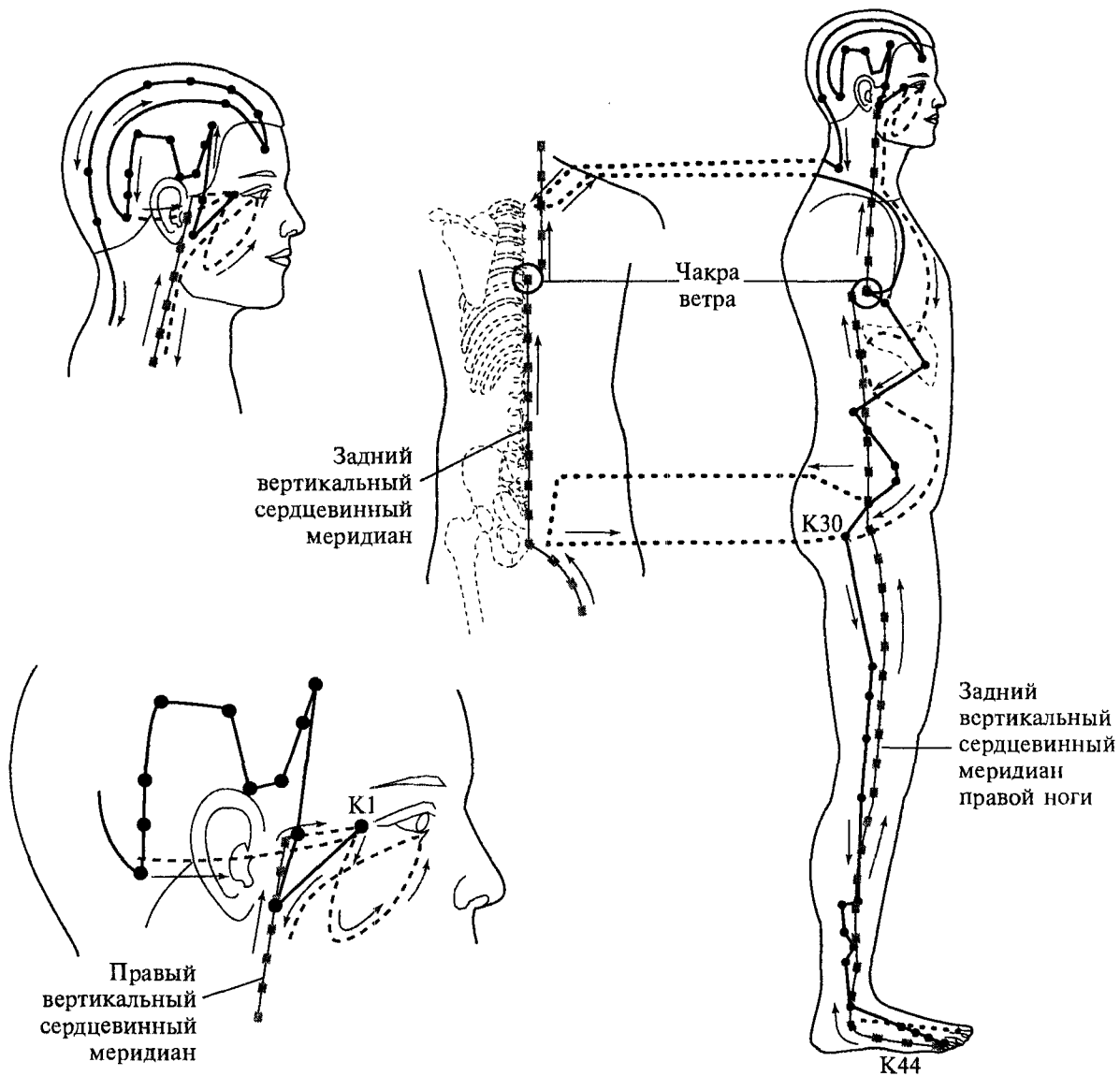
### 3.2.1. Циркуляция индивидуальных энергий



ис. 147. Циркуляция энергии А-ветра в левой половине тела (тип I — меридиан желчного пузыря).

Из чакры А-ветра энергия направляется в левый вертикальный сердцевинный меридиан и по внутренней ветви подходит к латеральному углу левого глаза (точка K1 тун-цзы-ляо). Далее она делится на наружный и внутренний ходы меридиана желчного пузыря, которые, образуя сложную траекторию на боковой стороне головы и в области туловища, соединяются в точке K30 хуань-тяо. Затем энергия следует по наружной стороне левого бедра и голени, достигая наружного края ногтевого ложа IV пальца левой стопы (точка K44 цзу-сяо-инь), и по заднему сердцевинному меридиану левой ноги и заднему сердцевинному меридиану туловища возвращается в чакру А-ветра.

- — наружный ход меридиана
- - - - - — внутренний ход меридиана
- — сердцевинный меридиан
- — чакра



- ис. 148. Циркуляция энергии А-ветра в правой половине тела (тип I— меридиан желчного пузыря). Из чакры А-ветра энергия направляется в правый вертикальный сердцевинный меридиан и по внутренней ветви подходит к латеральному углу правого глаза (точка K1 тун-цзы-ляо). Далее она делится на наружный и внутренний ходы меридиана желчного пузыря, которые, образуя сложную траекторию на боковой стороне головы и в области туловища, соединяются в точке K30 хуань-тяо. Затем энергия следует по наружной стороне правого бедра и голени, достигая наружного края ногтевого ложа IV пальца правой стопы (точка K44 цзу-сяо-инь), и по заднему сердцевинному меридиану правой ноги и заднему сердцевинному меридиану туловища возвращается в чакру А-ветра.

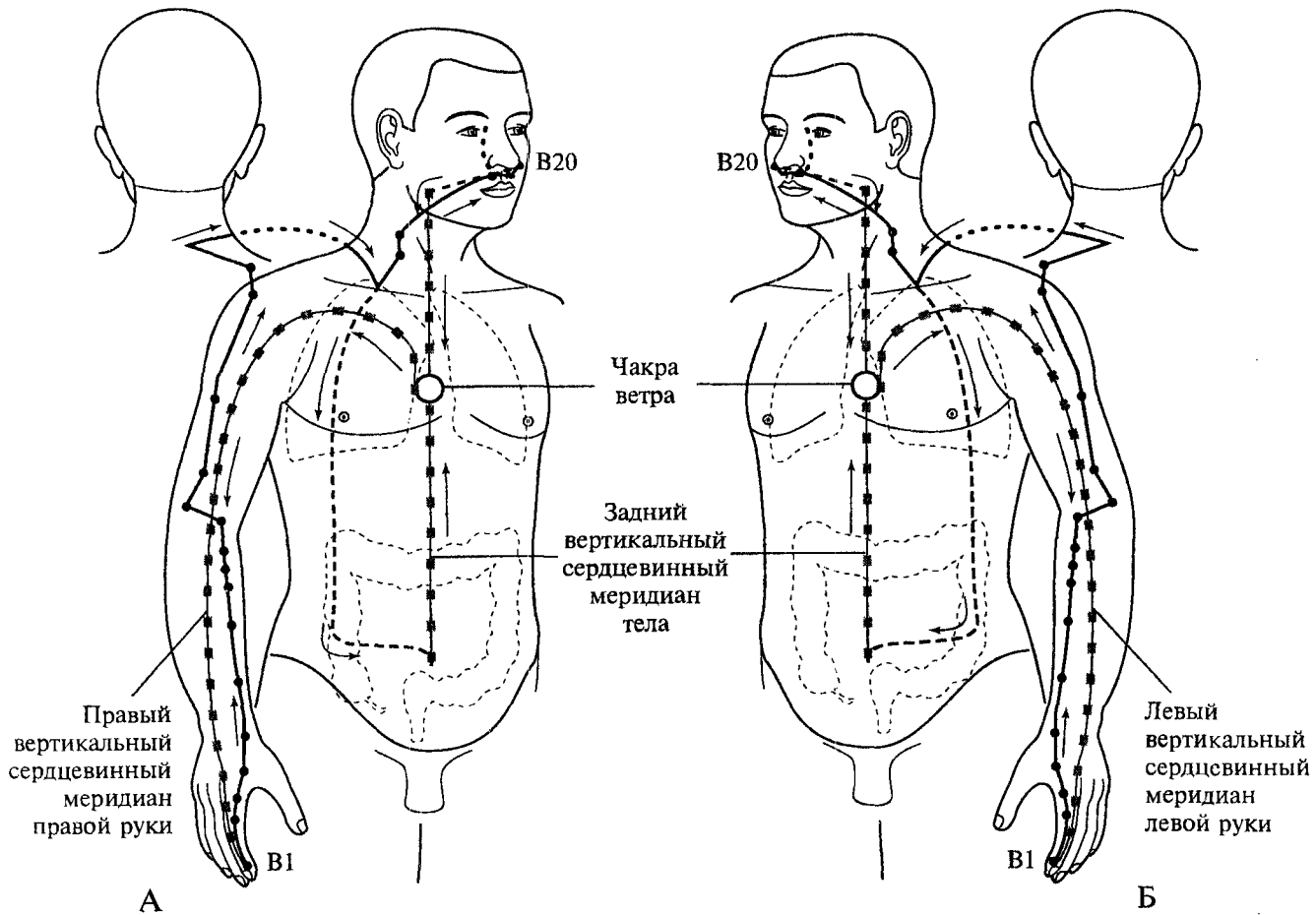


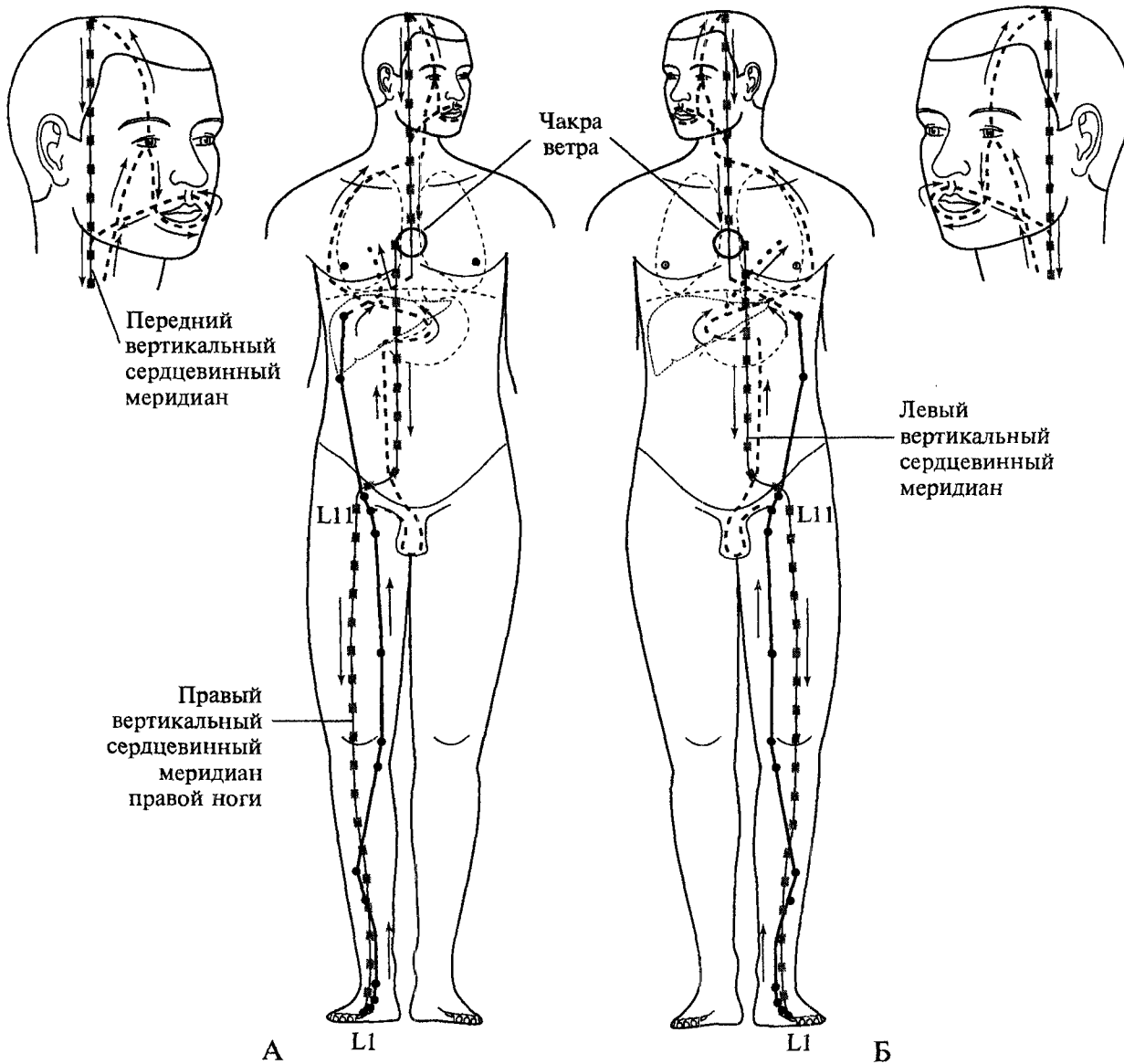
рис. 149. Циркуляция энергии А-ветра в правой половине тела (А) и в левой половине тела (Б) (тип II—меридиан толстой кишки).

Циркуляция энергии А-ветра начинается из чакры А-ветра. По вертикальному сердцевинному меридиану она поднимается вверх, переходит в одноименный канал руки, достигает указательного пальца, где у края корня ногтя (точка В1 шан-ян) переходит в наружный ход меридиана толстой кишки, поднимается по руке вверх, пересекает плечевой сустав, поднимается к голове, под носом переходит на противоположную сторону и в области середины крыла носа (точка В20 ин-сян) уходит внутрь тела.

Энергия возвращается в чакру А-ветра двумя способами:

- 1) по заднему вертикальному сердцевинному меридиану;
- 2) по внутреннему ходу, который начинается в надключичной ямке, спускается вниз, проходя через легкие, диафрагму и толстую кишку.





ис. 150. Циркуляция энергии УМ-ветра в правой половине тела (А) и в левой половине тела (Б) (тип I — меридиан печени).

В правой половине тела энергия из чакры УМ-ветра направляется по правому вертикальному сердцевинному меридиану тела и одноименному меридиану правой ноги к большому пальцу стопы, где в точке L1 да-дунь выходит на поверхность стопы. Затем наружным ходом правого меридиана печени энергия УМ-ветра поднимается до шестого межреберья, поступает в передний вертикальный сердцевинный меридиан и возвращается в чакру УМ-ветра.

Внутренний ход правого меридиана печени берет начало у точки L11 инь-лян, подходит к половым органам, а затем проникает в желудок, желчный пузырь, печень, поднимается по грудной полости справа, у правого глаза делится на восходящий и нисходящий потоки энергии, направляющиеся в передний вертикальный сердцевинный меридиан, а затем в чакру УМ-ветра.

В левой половине тела энергия УМ-ветра циркулирует аналогично.

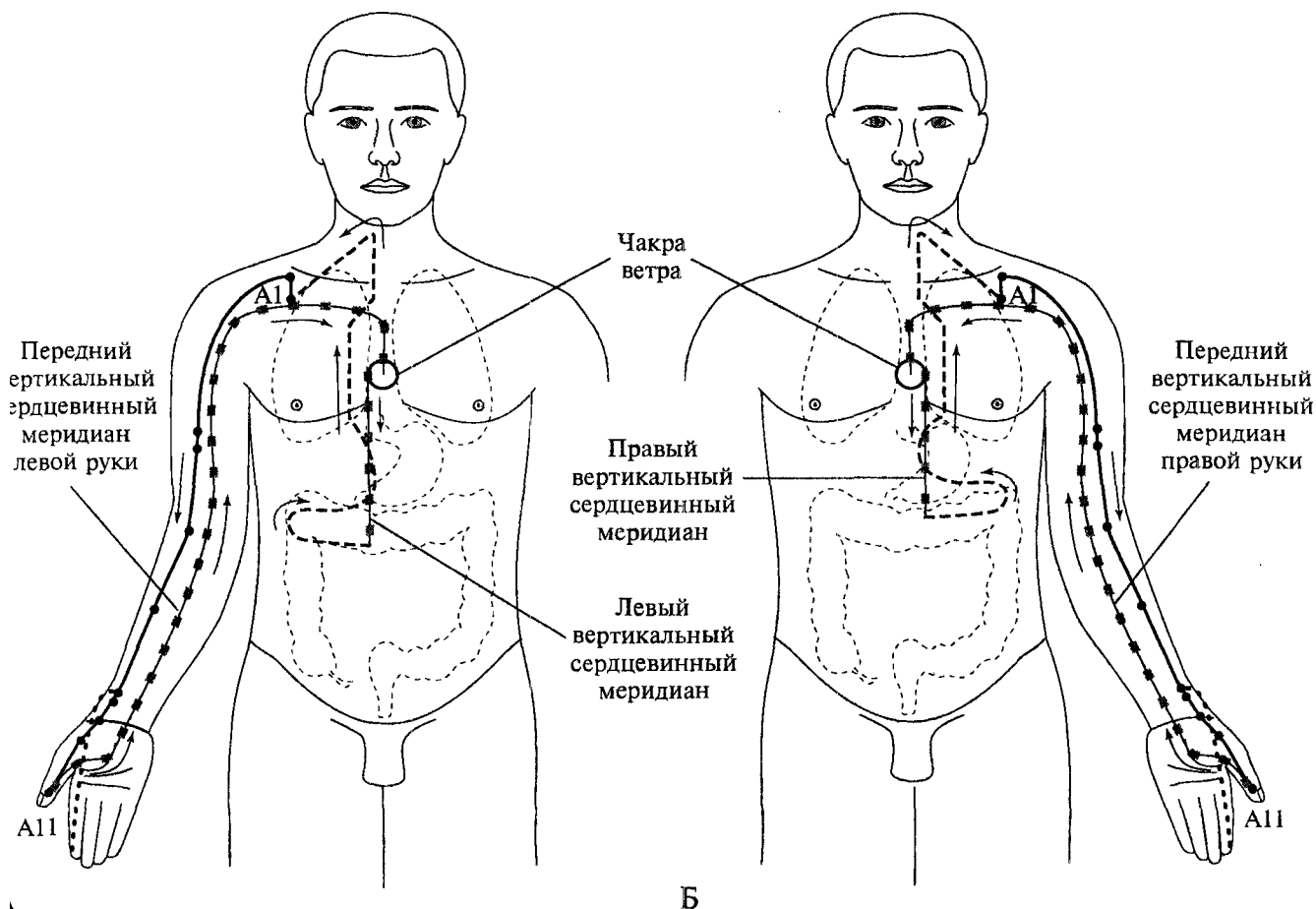
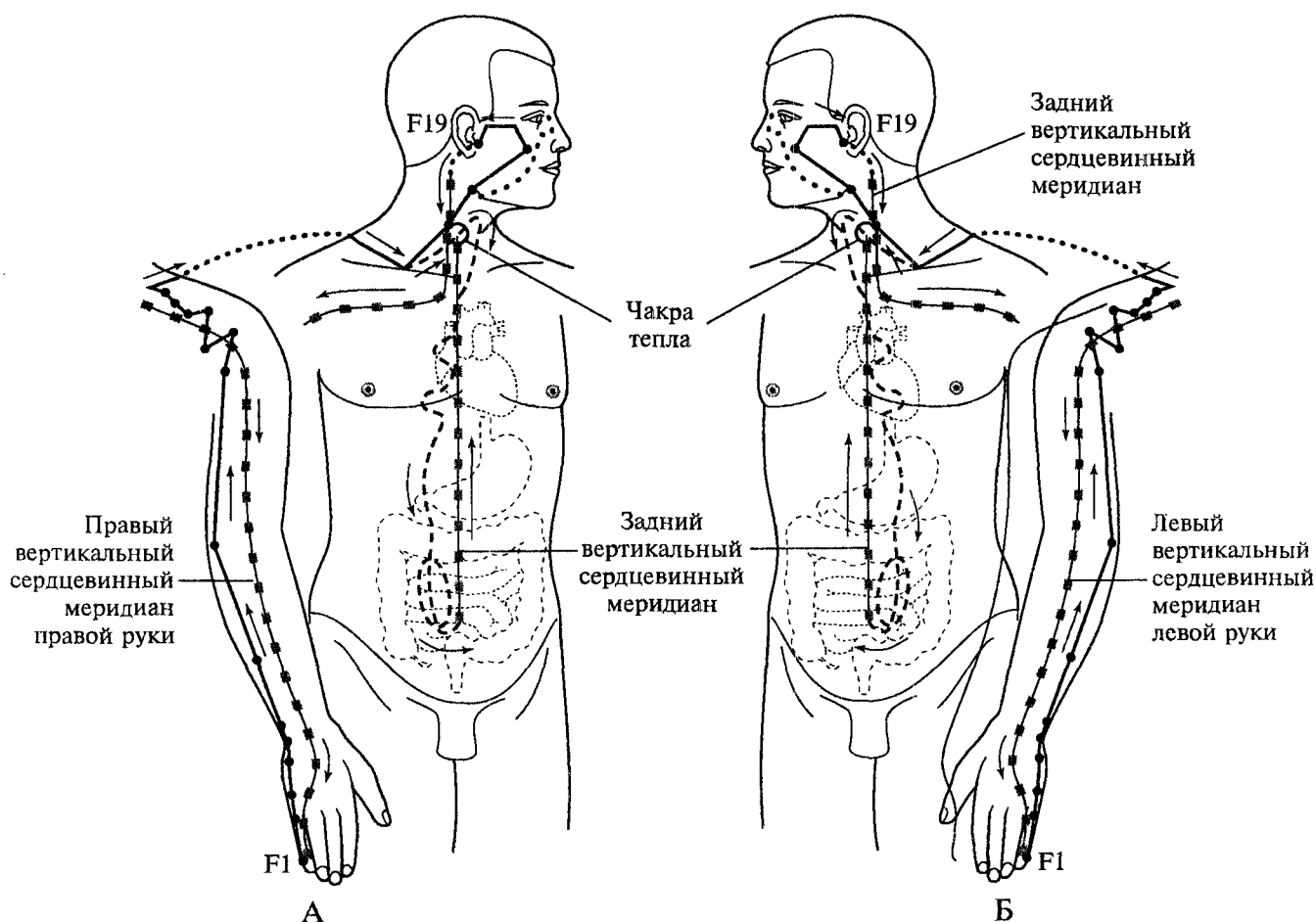


рис. 151. Циркуляция энергии УМ-ветра в правой половине тела (А) и в левой половине тела (Б) (тип II— меридиан легкого).

Энергия из чакры УМ-ветра поступает во внутренний ход меридиана легкого, направляясь от толстой кишки к желудку, легким, трахее, гортани, затем спускается до уровня подключичной ямки, где в точке AI чжун-фу переходит в наружный ход меридиана легкого, следует по лучевому (переднелатеральному) краю руки до корня ногтя большого пальца (точка A11 шао-шан), здесь энергия переходит в передний вертикальный сердцевинный меридиан руки, идет до пересечения с передним вертикальным сердцевинным меридианом туловища, по которому возвращается в чакру УМ-ветра.



**Рис. 152.** Циркуляция энергии А-тепла в правой половине тела (А) и в левой половине тела (Б).

В правой половине тела энергия из чакры А-тепла направляется по правому вертикальному сердцевинному меридиану тела, по одноименному меридиану правой руки до дистальной фаланги мизинца, где в области точки F1 шао-цзэ выходит на поверхность кисти. Затем наружным ходом правого меридиана тонкой кишки энергия А-тепла поднимается к правому уху (F19 цзянь-чжэнь), откуда через задний вертикальный сердцевинный меридиан возвращается в чакру А-тепла.

Внутренний ход правого меридиана тонкой кишки берет начало в правой надключичной ямке (точке С12 цюэ-пэнь), опускается вниз, достигая тонкой кишки, затем по заднему вертикальному сердцевинному меридиану возвращается в чакру А-тепла.

В левой половине тела энергия А-тепла циркулирует аналогично.

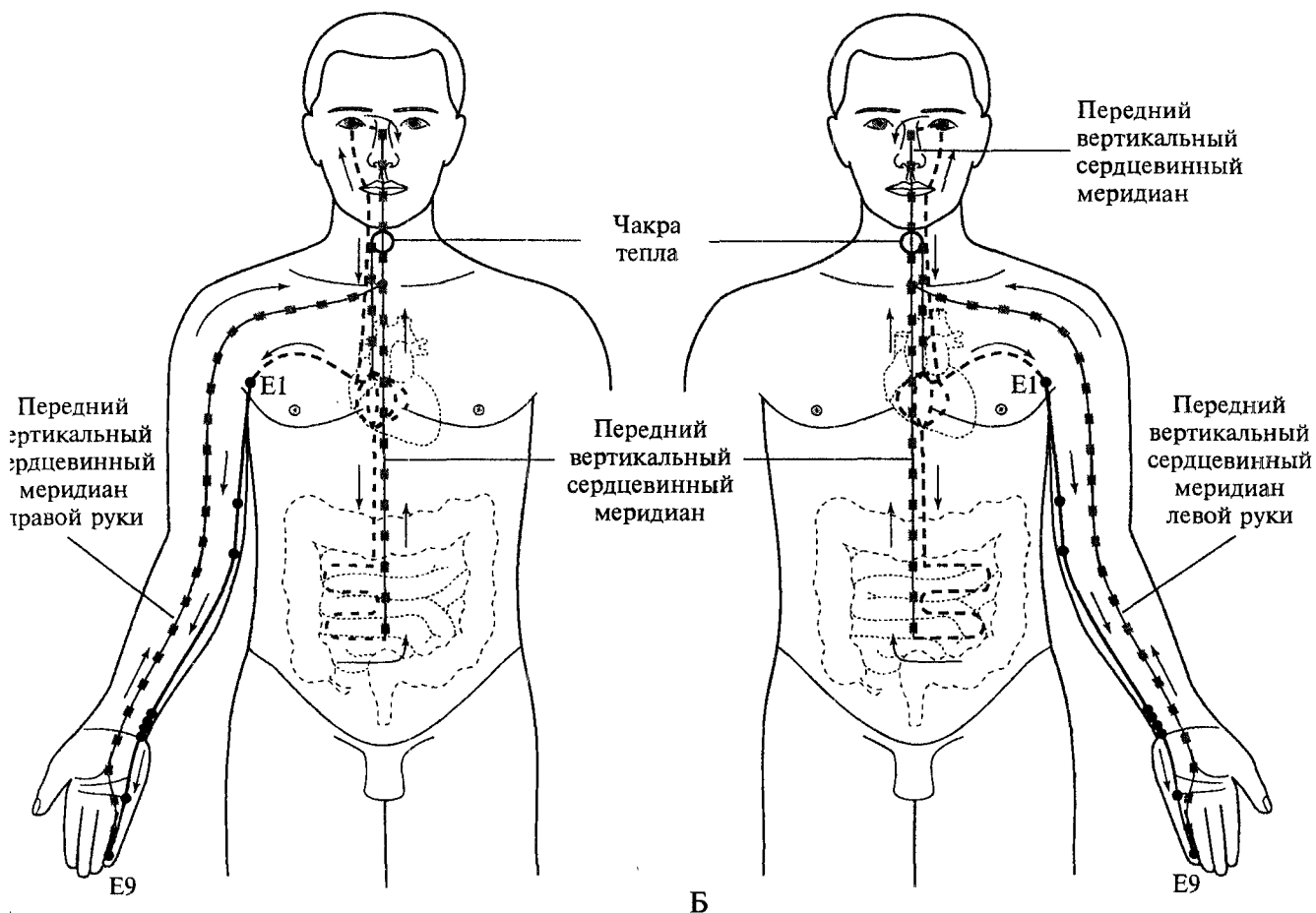
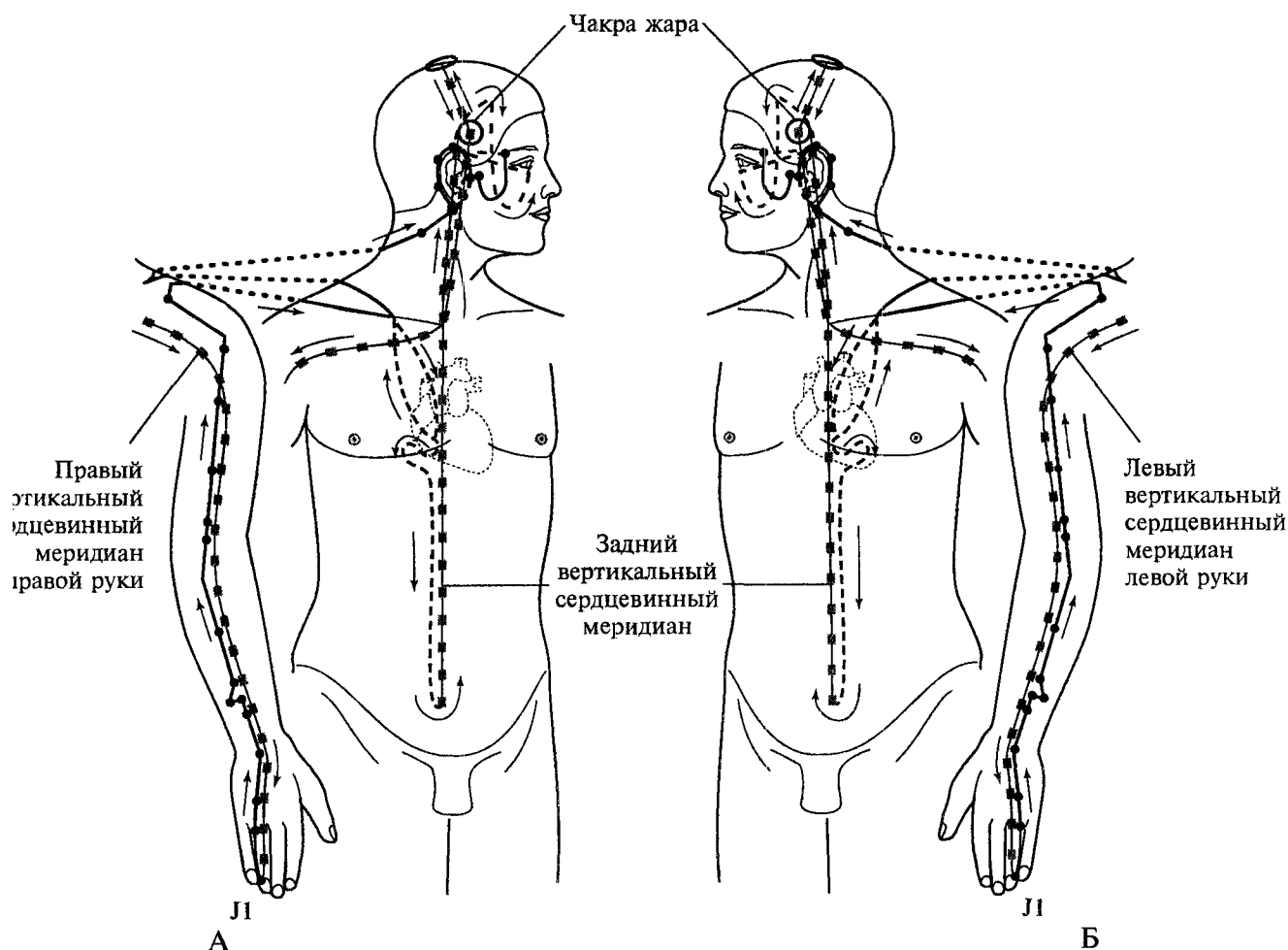


рис. 153. Циркуляция энергии УМ-тепла в правой половине тела (А) и левой половине тела (Б).

В левой половине тела энергия от чакры идет двумя потоками. Верхний поток начинается от чакры УМ-тепла и следует вверх к голове, образуя внутренний ход меридиана сердца, доходит до глазного яблока и на его уровне переходит в передний вертикальный сердцевинный меридиан и спускается в чакру УМ-тепла. Нижний поток движется к сердцу, где раздваивается. Один спускается к тонкой кишке и возвращается через передний вертикальный сердцевинный меридиан в чакру УМ-тепла. Другой направляется к левой руке, в области передней части левой подмышки в точке E1 цзи-цюань образует наружный ход меридиана сердца. Опускается по локтевому краю руки до точки E9 шао-чун, где переходит в передний вертикальный сердцевинный меридиан левой руки и по нему возвращается в чакру УМ-тепла, соединяясь на туловище с передним вертикальным сердцевинным каналом. Движение энергии в правой половине тела происходит по той же схеме.

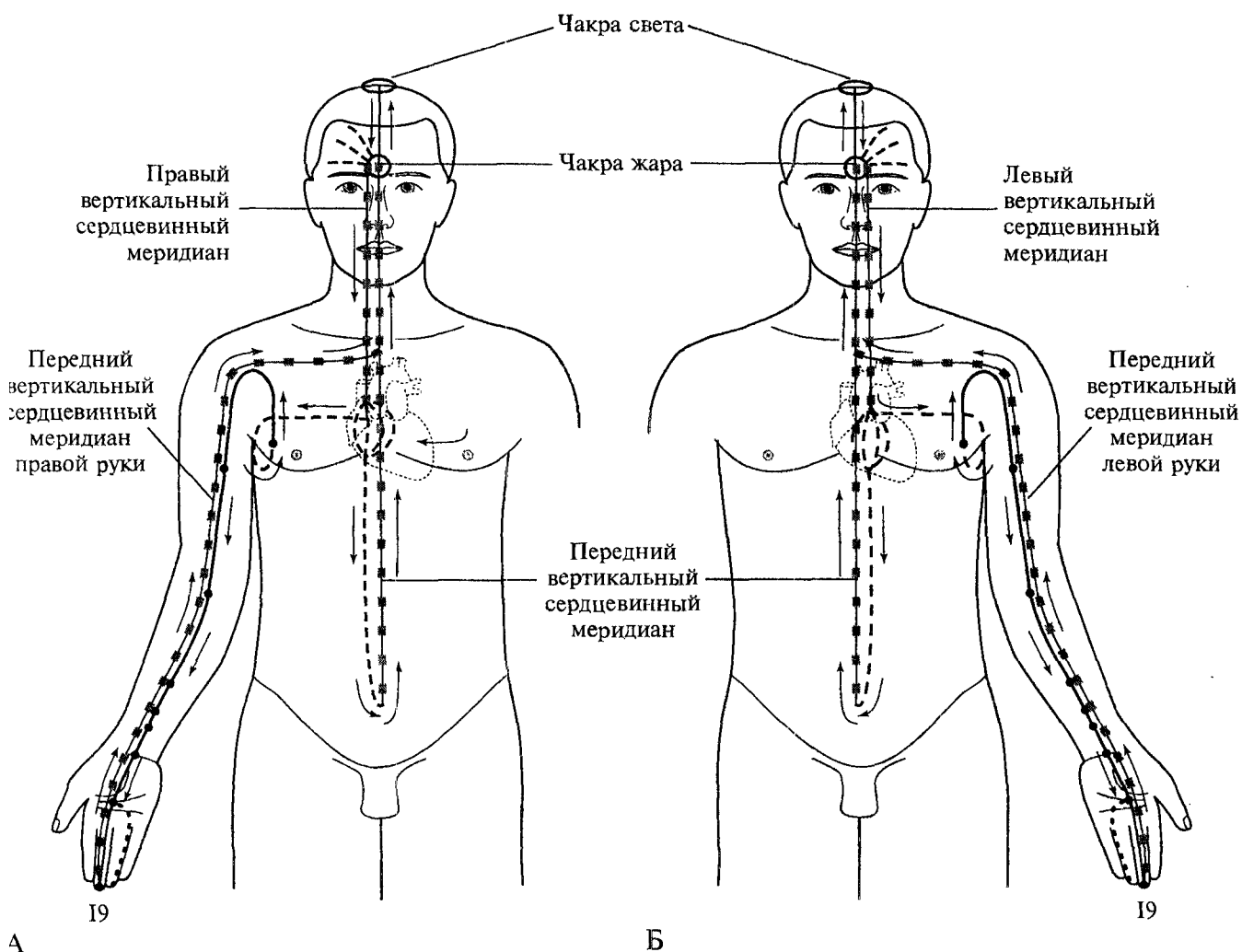


с. 154. Циркуляция энергии А-жара в правой половине тела (А) и в левой половине тела (Б).

Чакры Аджна и Сахасрара имеют тесную связь. В правой половине тела энергия из чакры А-жара направляется по правому вертикальному сердцевинному меридиану вниз, затем энергия поступает в вертикальный сердцевинный меридиан руки и по нему доходит до корня ногтя IV пальца, где, начиная с точки J1 гуань-чун, переходит в наружный ход меридиана спинного мозга. По нему энергия возвращается к голове, следуя вдоль срединной линии руки и огибая плечевой сустав. Проходя надключичную ямку, часть энергии переходит во внутреннюю ветвь меридиана спинного мозга. По наружной ветви меридиана энергия следует до основания мочки правого уха, входит внутрь уха и направляется к наружному краю брови, где переходит во внутреннюю ветвь, по которой проходит в задний вертикальный сердцевинный канал и возвращается в чакру А-жара.

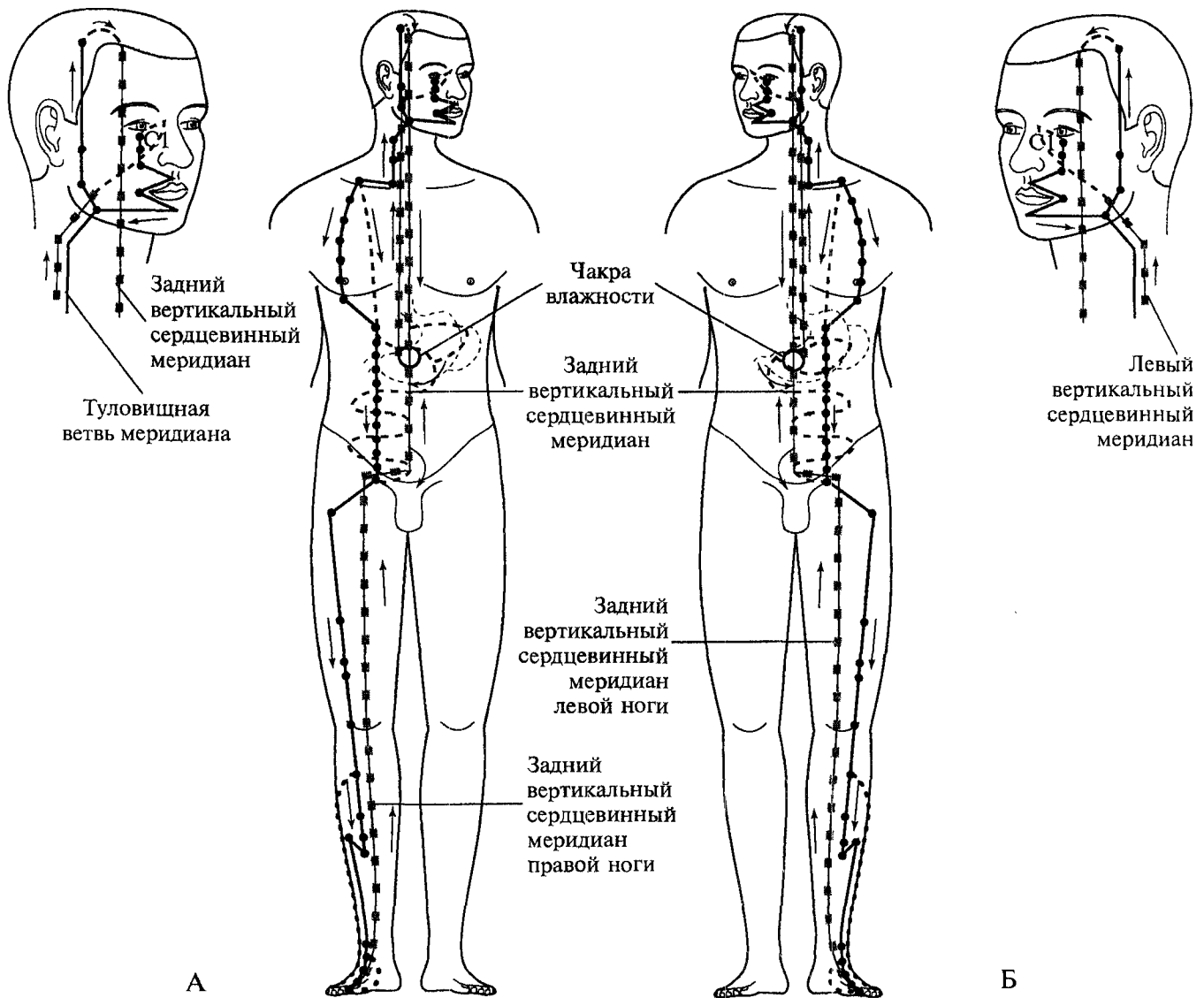
По внутренней ветви энергия спускается к сердцу, далее до нижнего этажа брюшной полости, где переходит в задний вертикальный сердцевинный канал, по которому поднимается в чакру А-жара.

Циркуляция энергии А-жара в левой половине тела является аналогичной.

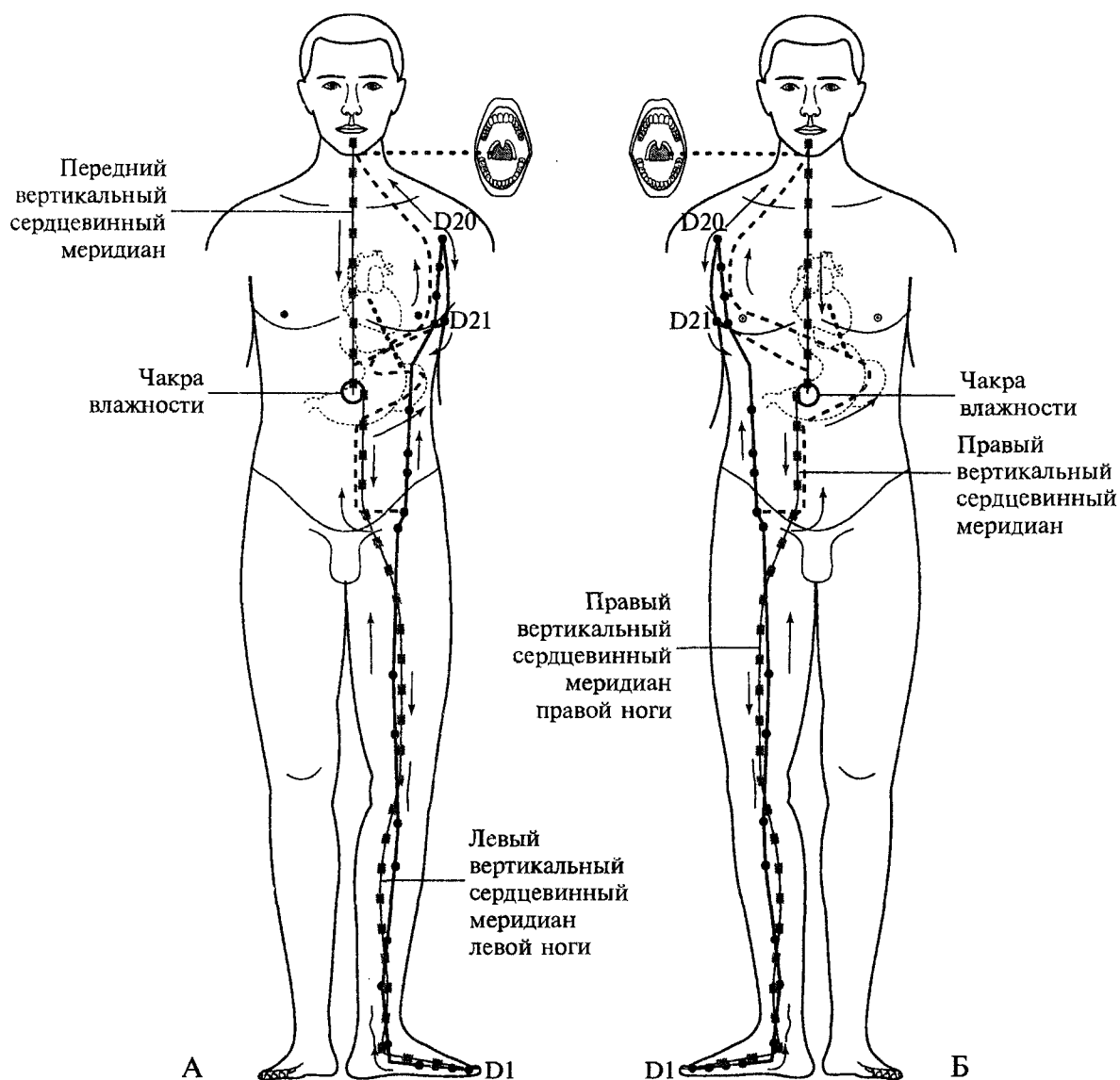


**Рис. 155.** Циркуляция энергии УМ-жара в правой половине тела (А) и в левой половине тела (Б).  
 Циркуляция энергии УМ-жара тесно связана с чакрой Света. Из чакры УМ-жара энергия направляется по левому вертикальному сердцевинному меридиану до области сердца, с этого уровня образуются два потока: внутренний и наружный. По наружному ходу меридиана головного мозга энергия следует вниз посередине Инь-поверхности руки до кончика III пальца, затем переходит в передний вертикальный сердцевинный меридиан руки и далее, поднимаясь до уровня плечевого сустава, переходит в передний вертикальный сердцевинный меридиан туловища и возвращается в чакру УМ-жара. Энергия по внутреннему ходу меридиана головного мозга спускается до нижнего этажа брюшной полости и возвращается по переднему вертикальному сердцевинному меридиану в чакру УМ-жара.  
 Энергетический поток правой половины тела имеет такую же циркуляцию.





**Рис. 156.** Циркуляция энергии А-влажности в правой половине тела (А) и в левой половине тела (Б). Энергия из чакры А-влажности направляется по левому вертикальному сердцевинному каналу вверх к голове, затем через внутреннюю ветвь достигает середины орбиты и переходит в точке С1 чен-ци в наружный ход меридиана желудка, по нему спускается до уровня угла нижней челюсти, где наружный ход меридиана делится на две ветви. Энергия по головной ветви поднимается вверх до угла лба и через внутреннюю веточку переходит в задний вертикальный сердцевинный меридиан, по которому возвращается в чакру А-влажности. Энергия по туловищной ветви следует вниз по боковой поверхности шеи, по среднеключичной линии в области грудной клетки, в области живота следует по второй боковой линии живота, переходит на ногу и следует по передненаружной поверхности бедра и голени, далее посередине тыла стопы до наружного края ногтевого ложа II пальца стопы. В области голени от наружного хода меридиана часть энергии идет по дополнительной веточке, заканчивающейся у ногтевого ложа III пальца стопы. После этого энергия через короткую внутреннюю веточку попадает в задний вертикальный сердцевинный меридиан ноги, по нему поднимается вверх, дойдя до туловища, переходит в одноименный сердцевинный меридиан туловища и возвращается по нему в чакру А-влажности. В надключичной ямке часть энергии уходит вглубь тела по внутреннему ходу меридиана желудка, идет по сложной траектории через грудную полость, диафрагму, желудок, поджелудочную железу, селезенку, кишечник и левую паховую складку, где переходит в наружный ход меридиана желудка. Движение энергии А-влажности в правой половине тела происходит по той же схеме, что и в левой половине тела.



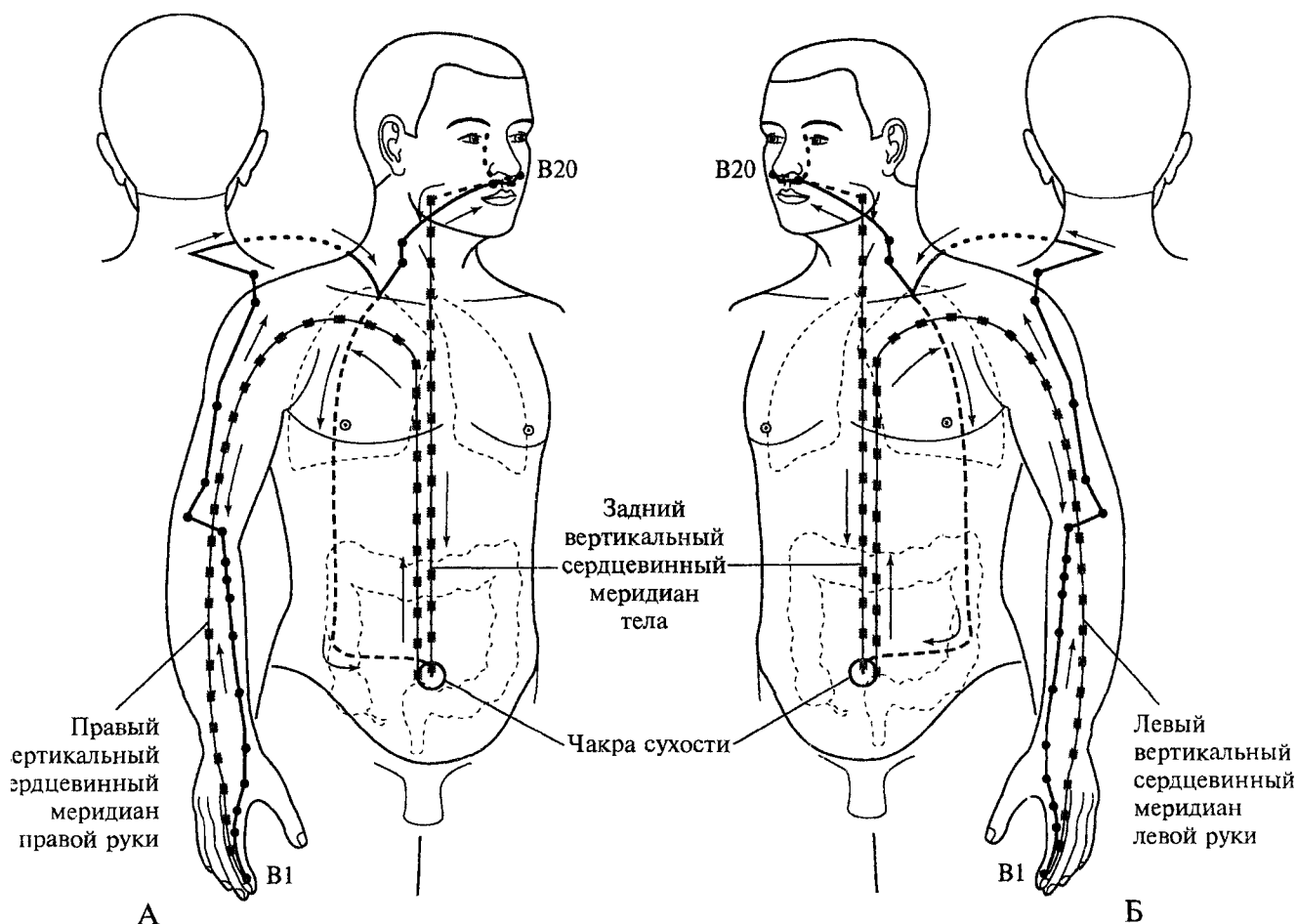
с. 157. Циркуляция энергии УМ-влажности в левой половине тела (А) и в правой половине тела (Б).

Из чакры УМ-влажности энергия направляется вниз по левому вертикальному сердцевинному меридиану, затем идет по одноименному сердцевинному меридиану левой ноги, из которого, в области первого пальца стопы (точка D1 инь-бай), переходит в наружный ход меридиана селезенки и поджелудочной железы, следуя по внутренней стороне стопы. Поднимается вверх по передневнутренней поверхности голени и бедра, идет слева по переднебоковой поверхности брюшной стенки, пересекает реберную дугу, отклоняется несколько кнаружи, поднимается вверх до уровня второго межреберья (точка D20 чжоу-жун), резко поворачивает вниз кнаружи и в области шестого межреберья по срединноподмышечной линии (точка D21 да-бао) переходит во внутреннюю веточку.

От наружного хода меридиана в области паховой складки начинается первая ветвь внутреннего хода. По ней часть энергии из области малого таза поднимается вверх до селезенки, поджелудочной железы, желудка, подходит к левому легкому и далее вверх вдоль пищевода, трахеи и гортани до язычка, где переходит в передний вертикальный сердцевинный меридиан туловища, и по нему возвращается в чакру УМ-влажности. Вторая ветвь внутреннего хода начинается в области шестого межреберья, проходит через желудок, сердце и соединяется с передним вертикальным сердцевинным меридианом, по которому энергия возвращается в чакру УМ-влажности.

Циркуляция энергии УМ-влажности в правой половине тела происходит аналогично.





ис. 158. Циркуляция энергии А-сухости в правой половине тела (А) и в левой половине тела (Б) (тип I — меридиан толстой кишки).

Циркуляция энергии А-сухости начинается из чакры А-сухости. По левому вертикальному сердцевинному меридиану она поднимается вверх, переходит в одноименный канал левой руки, достигает указательного пальца, где у края корня ногтя (точка В1 шан-ян) переходит в наружный ход меридиана толстой кишки, поднимается по руке вверх, пересекает плечевой сустав, поднимается к голове, под носом переходит на противоположную сторону и в области середины крыла носа (точка В20 ин-сян) уходит внутрь тела.

Энергия возвращается в чакру А-сухости двумя способами:

- 1) по заднему вертикальному сердцевинному меридиану;
- 2) по внутреннему ходу, который начинается в надключичной ямке, спускается вниз, проходя через легкое, диафрагму и толстую кишку.

Циркуляция энергии А-сухости в правой половине тела осуществляется аналогичным образом.

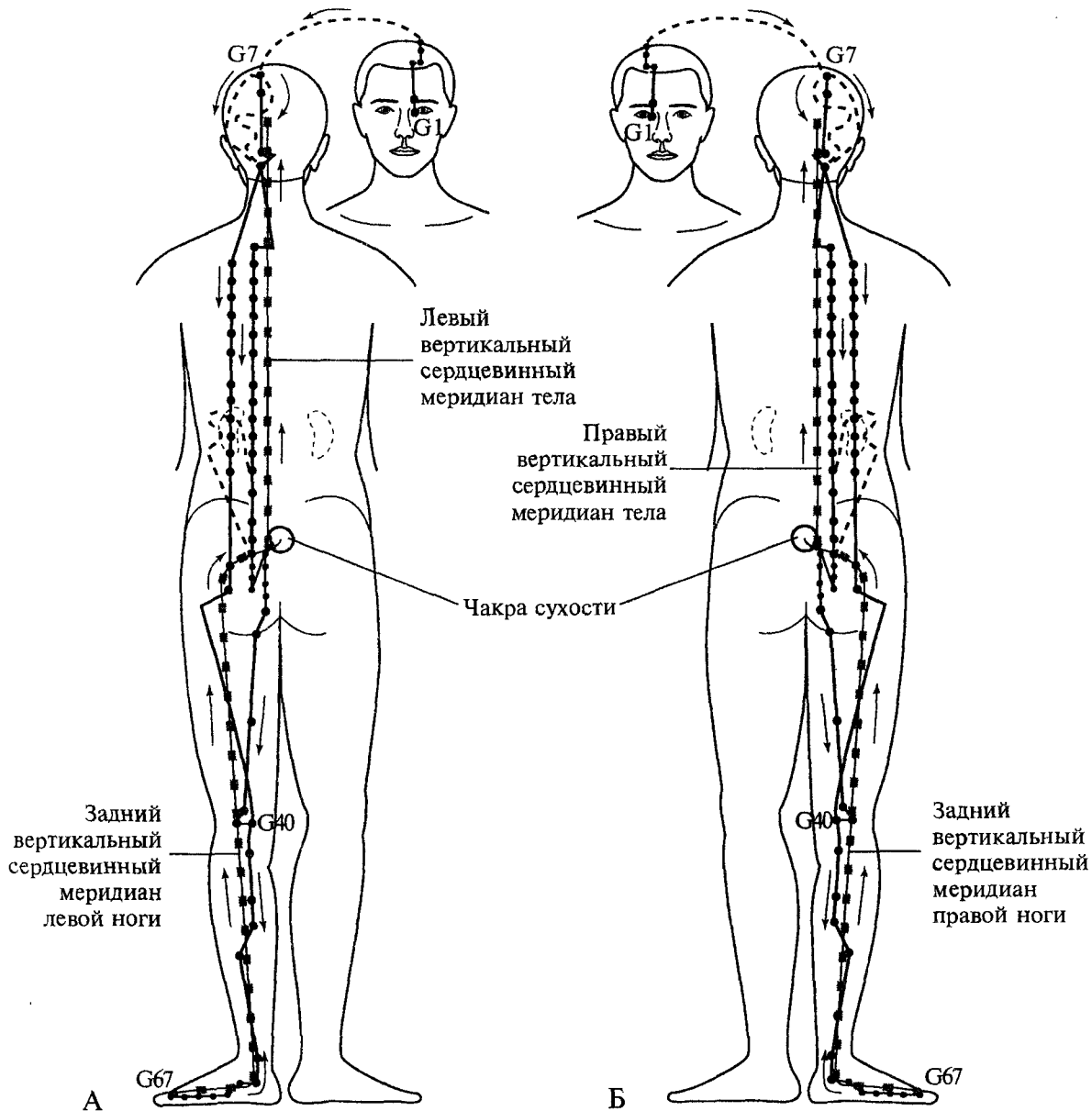
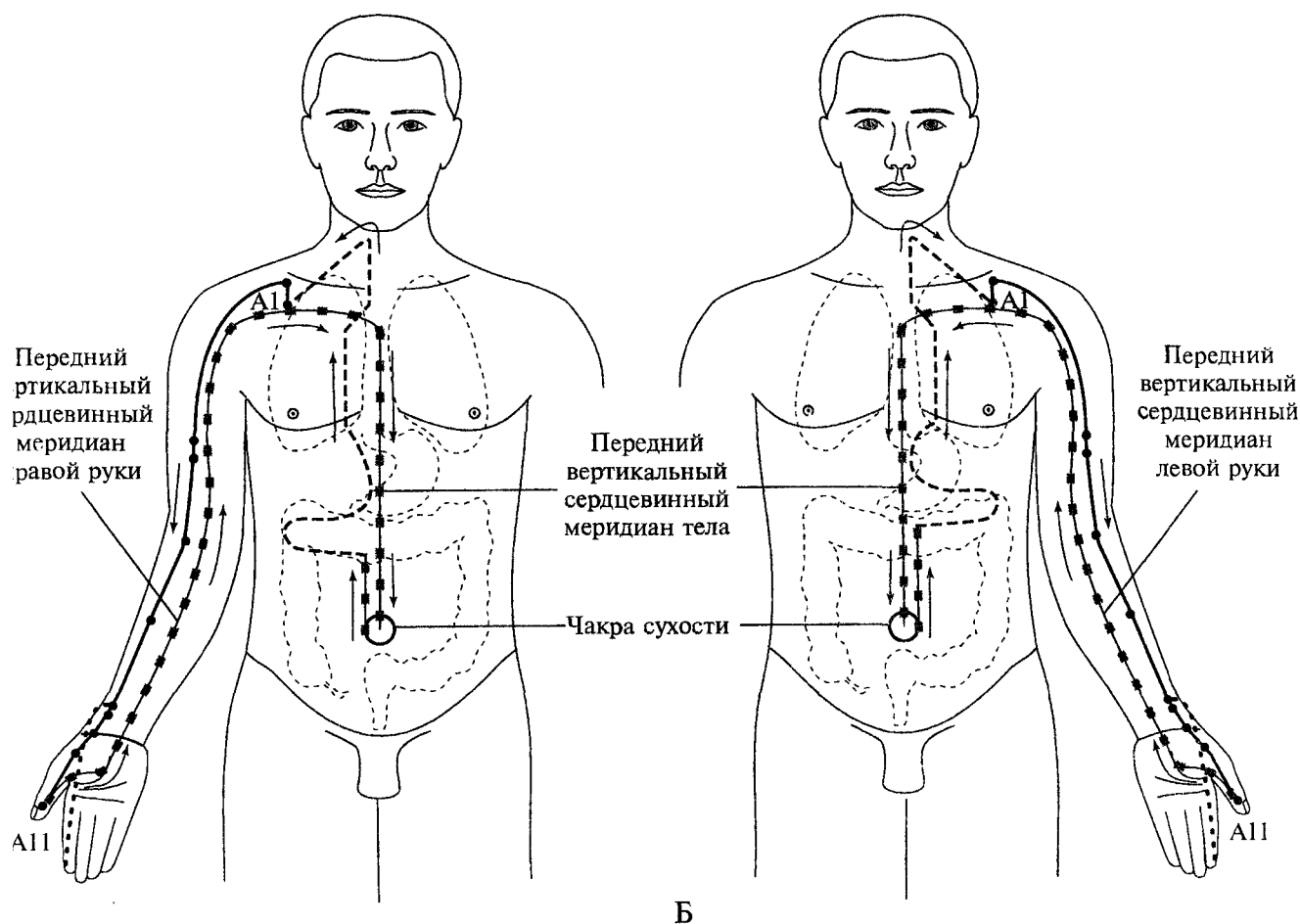


Рис. 159. Циркуляция энергии А-сухости в левой половине тела (А) и в правой половине тела (Б) (тип II — меридиан мочевого пузыря).

Движение энергии А-сухости начинается из чакры А-сухости. Через вертикальный сердцевинный меридиан она доходит до головы, где у внутреннего угла глаза в точке G1 цин-мин переходит в наружный ход меридиана мочевого пузыря, проходит через всю волосистую часть головы и на уровне затылочного бугра делится на две наружные ветви, идущие параллельно позвоночнику. Далее энергия идет по середине задней поверхности ноги, соединяясь в одну ветвь на уровне подколенной ямки в точке G40 вэй-чжун. Спускается по середине задней поверхности голени и латеральному краю стопы, доходит до корня ногтя V пальца (точка G67 чжи-инь), где и переходит в задний вертикальный сердцевинный меридиан ноги, и по нему возвращается в чакру А-холода.

Имеются три внутренние ветви от наружного хода меридиана: две в области головы и одна в области поясницы.

Головные ветви отходят от точки G7 тун-тян, одна связывается с мозгом, другая спускается к ушной раковине и сосцевидному отростку. Туловищная ветвь отходит от медиальной наружной ветви к левой почке и мочевому пузырю и снова возвращается к медиальному наружному ходу.



ис. 160. Циркуляция энергии УМ-сухости в правой половине тела (А) и в левой половине тела (Б) (тип I — меридиан легкого).

Энергия из чакры УМ-сухости поступает во внутренний ход левого меридиана легкого и следует вверх, направляясь от толстой кишки к желудку, легким, трахее, гортани, затем спускается до уровня подключичной ямки, где в точке АI чжун-фу переходит в наружный ход меридиана легкого, следует по лучевому (переднелатеральному) краю руки до корня ногтя большого пальца (точка АII шао-шан), здесь энергия переходит в передний вертикальный сердцевинный меридиан руки, поднимается до пересечения с передним вертикальным сердцевинным меридианом туловища, по которому возвращается в чакру УМ-сухости. Циркуляция энергии УМ-сухости в правой половине тела будет такой же.

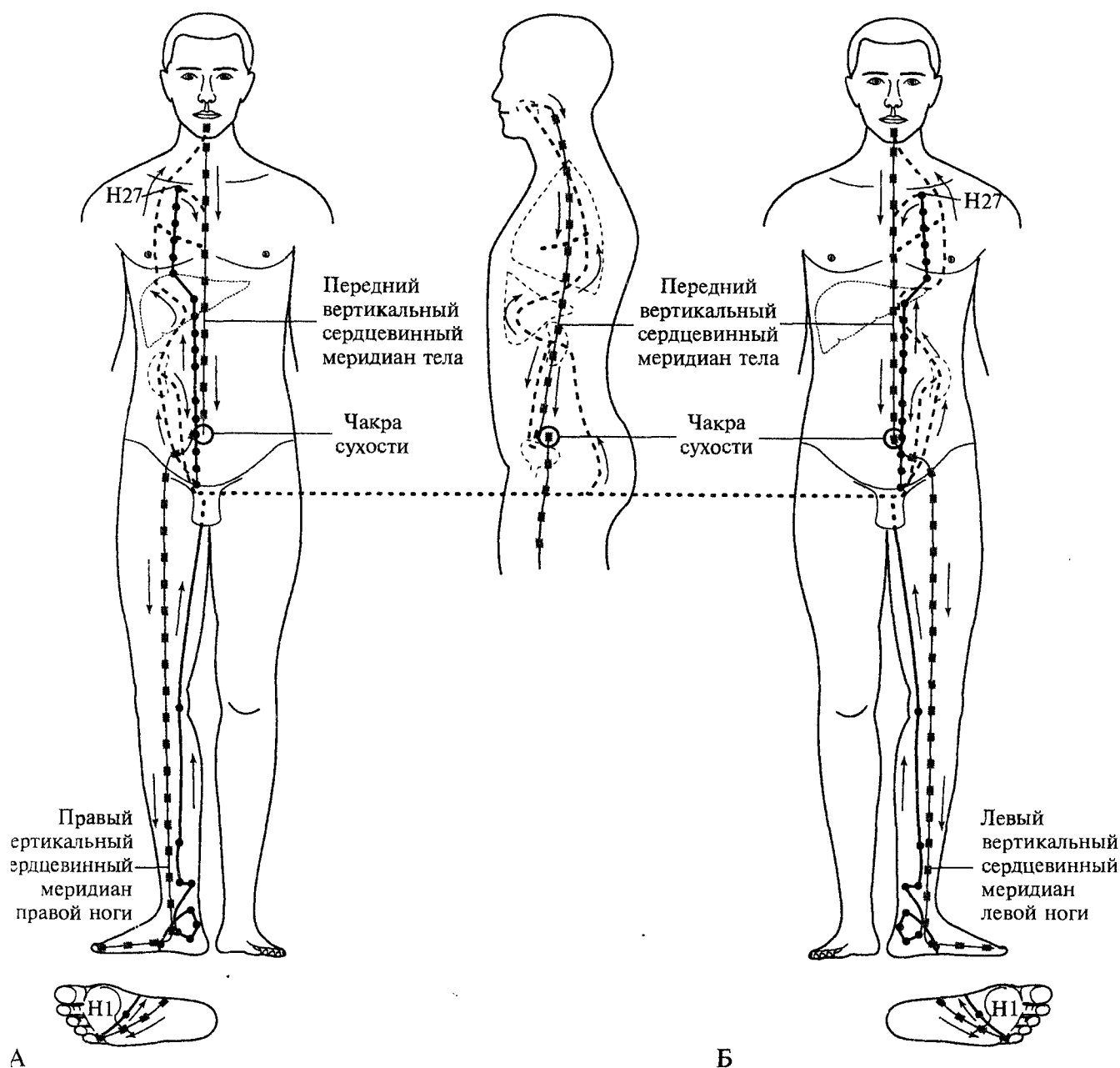
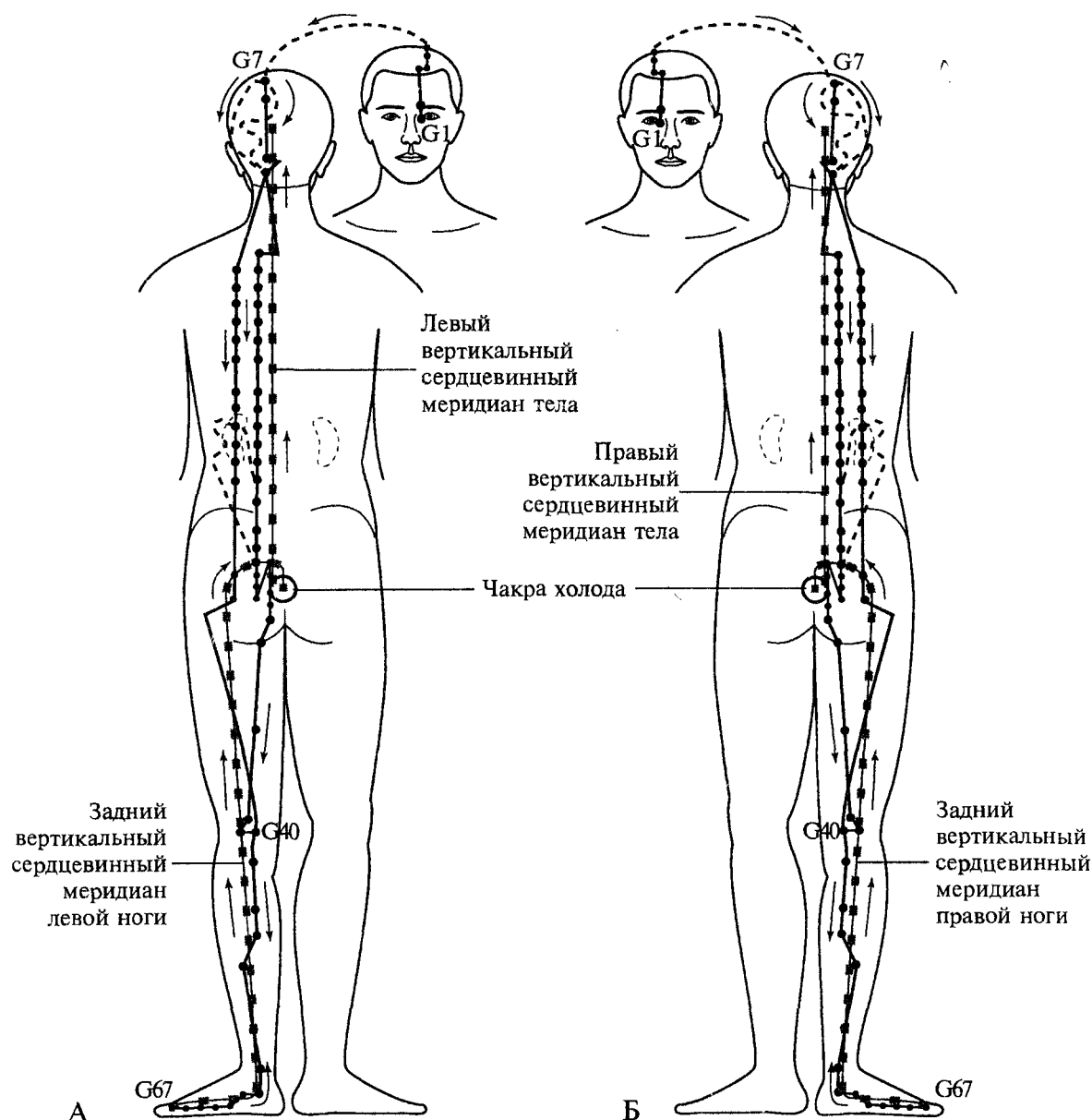


рис. 161. Циркуляция энергии УМ-сухости в правой половине тела (А) и в левой половине тела (Б) (тип II — меридиан почки).

Циркуляция энергии УМ-сухости начинается из чакры УМ-сухости, затем направляется в соответствующий вертикальный сердцевинный меридиан ноги, спускается по нему вниз до V пальца, где переходит в наружный ход меридиана почки, выходя на поверхность в точке H1 юн-цюань и поднимается вверх, следуя по задне-внутренней поверхности голени и бедра до лобковой кости. Далее идет по передней поверхности туловища. На уровне подключичной ямки (точка H27 шу-фу) через короткую внутреннюю ветвь попадает в передний вертикальный сердцевинный канал туловища и возвращается в чакру УМ-сухости. В области промежности отходит внутренняя ветвь к копчику, почке, мочевому пузырю, печени и далее вверх к легкому, сердцу и на уровне корня языка соединяется с передним вертикальным сердцевинным меридианом.



ис. 162. Циркуляция энергии А-холода в левой половине тела (А) и в правой половине тела (Б) (тип I— меридиан мочевого пузыря).

Движение энергии А-холода начинается из чакры А-холода. Через левый вертикальный сердцевинный меридиан она доходит до головы, где у внутреннего угла левого глаза в точке G1 цин-мин переходит в наружный ход меридиана мочевого пузыря, проходит через всю волосистую часть головы и на уровне затылочного бугра делится на две наружные ветви, идущие параллельно позвоночнику. Далее энергия идет посередине задней поверхности левой ноги, соединяясь в одну ветвь на уровне подколенной ямки в точке G40 вэй-чжун. Спускается посередине задней поверхности голени и латеральному краю стопы, доходит до корня ногтя V пальца (точка G67 чжи-инь), где и переходит в задний вертикальный сердцевинный меридиан левой ноги, и по нему возвращается в чакру А-холода.

Имеются три внутренние ветви от наружного хода меридиана: две в области головы и одна в области поясницы.

Головные ветви отходят от точки G7 тун-тянь, одна связывается с мозгом, другая спускается к ушной раковине и сосцевидному отростку. Туловищная ветвь отходит от медиальной наружной ветви к левой почке и мочевому пузырю и снова возвращается к медиальному наружному ходу.

Циркуляция энергии А-холода в правой половине тела происходит аналогично.

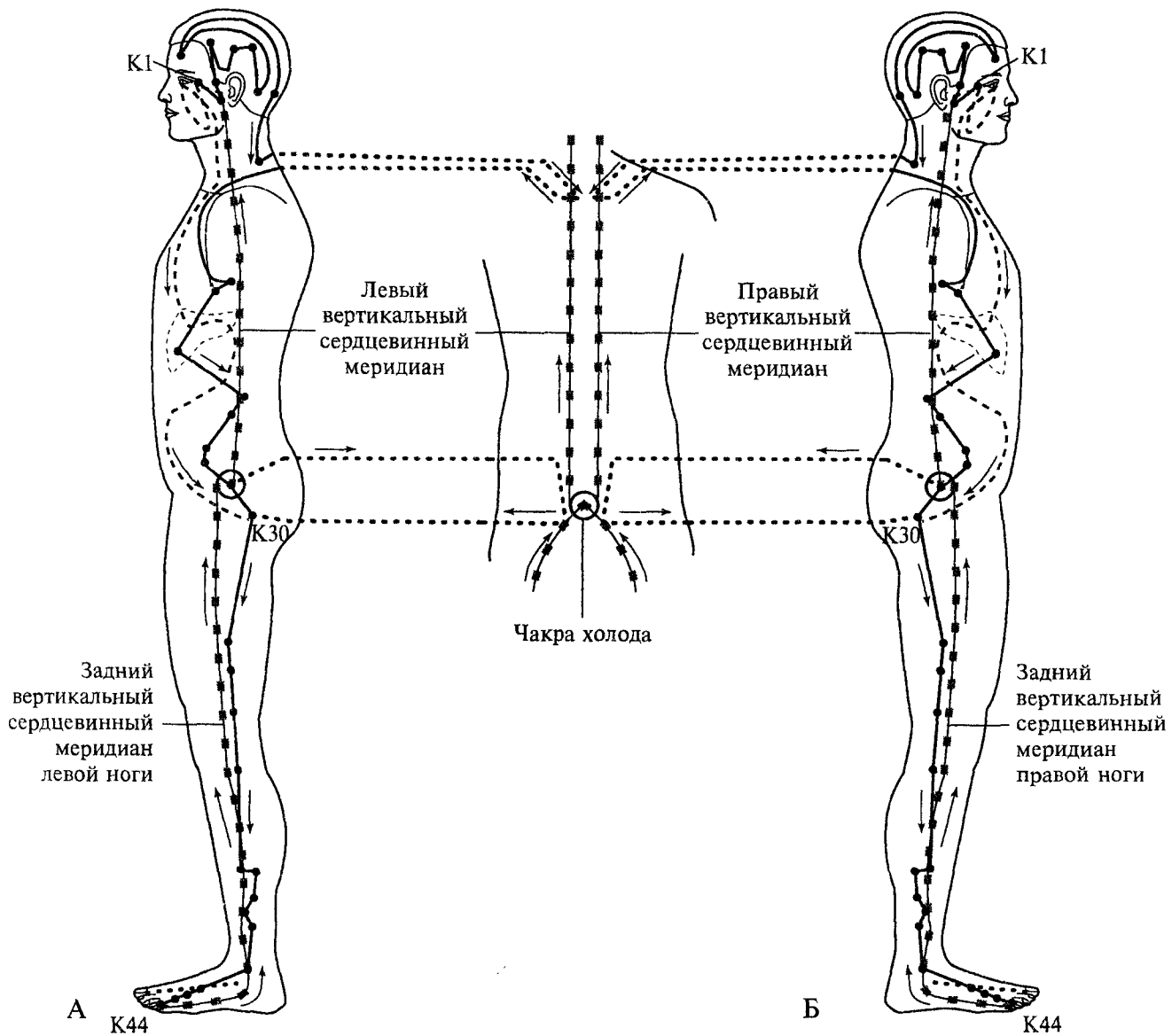
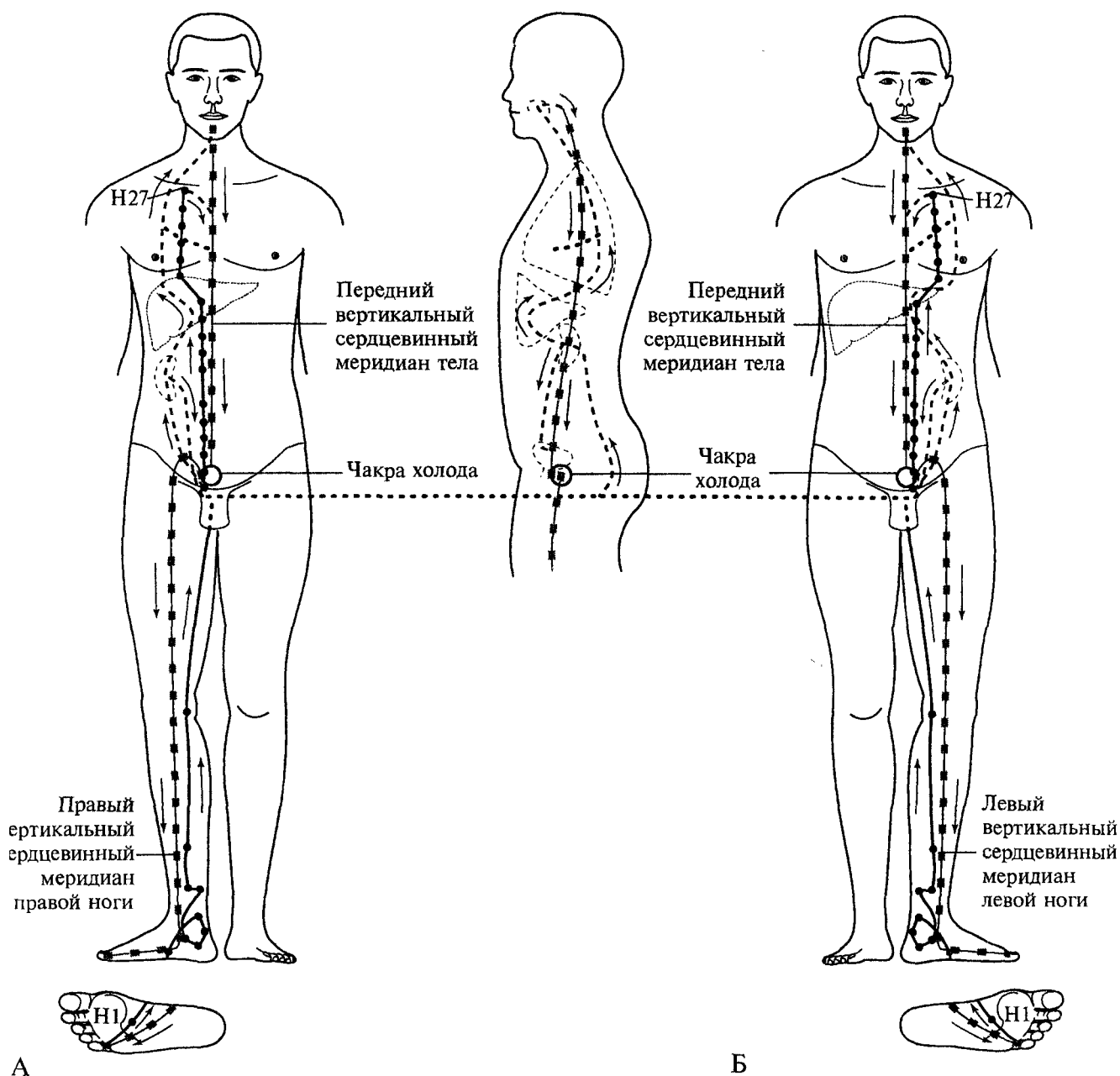


Рис. 163. Циркуляция энергии А-холода в левой (А) и в правой (Б) половинах тела (тип II— меридиан желчного пузыря).

Из чакры А-холода энергия направляется в соответствующий вертикальный сердцевинный меридиан и по внутренней ветви подходит к латеральному углу глаза (точка К1 тун-цзы-ляо). Далее она делится на наружный и внутренний ходы меридиана желчного пузыря, которые, образуя сложную траекторию на боковой стороне головы и в области туловища, соединяются в точке К30 хуань-тяо. Затем энергия следует по наружной стороне бедра и голени, достигая наружного края ногтевого ложа IV пальца стопы (точка К44 цзу-сяо-инь), и по заднему сердцевинному меридиану ноги и заднему сердцевинному меридиану тела возвращается в чакру А-холода.



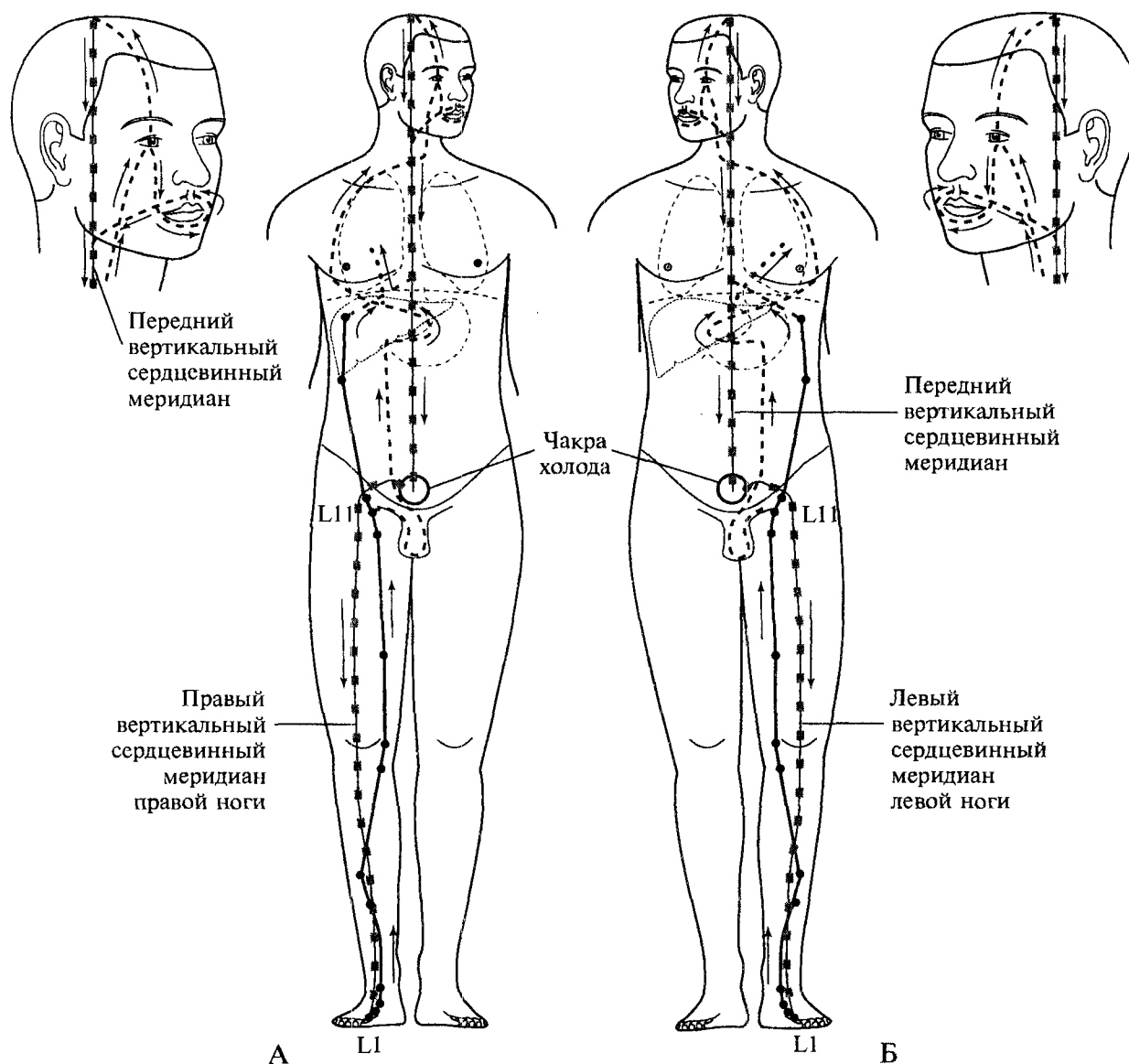


ис. 164. Циркуляция энергии УМ-холода в правой половине тела (А) и в левой половине тела (Б) (тип I — меридиан почки).

Циркуляция энергии УМ-холода в левой половине тела человека начинается из чакры УМ-холода, затем направляется в левый вертикальный сердцевинный меридиан левой ноги, спускается по нему вниз до V пальца, где переходит в наружный ход меридиана почки, выходя на поверхность в точке Н1 юн-цюань, и поднимается вверх, следуя по задне-внутренней поверхности голени и бедра до лобковой кости. Далее идет по передней брюшной стенке на 0,5 цуня левее срединной линии, а в области груди на 2 цуня левее. На уровне левой подключичной ямки (точка Н27 шу-фу) через короткую внутреннюю ветвь попадает в передний вертикальный сердцевинный канал туловища и возвращается в чакру УМ-холода. В области промежности отходит внутренняя ветвь к копчику, левой почке, мочевому пузырю, печени и далее вверх к левому легкому, сердцу и на уровне корня языка соединяется с передним вертикальным сердцевинным меридианом.

Циркуляция энергии УМ-холода в правой половине тела происходит аналогично.





ис. 165. Циркуляция энергии УМ-холода в правой половине тела (А) и в левой половине тела (Б) (тип II — меридиан печени).

Энергия из чакры УМ-холода направляется по соответствующему вертикальному сердцевинному меридиану тела и одноименному меридиану ноги к большому пальцу стопы, где в точке L1 да-дунь подходит к поверхности. Затем наружным ходом меридиана печени энергия УМ-холода поднимается до шестого межреберья, поступает в передний вертикальный сердцевинный меридиан и возвращается в чакру УМ-холода. Внутренний ход меридиана печени берет начало у точки L11 инь-лянь, подходит к половым органам, а затем проникает в желудок, желчный пузырь, печень, поднимается по грудной полости, у глаза делится на восходящий и нисходящий потоки энергии, направляющиеся в передний вертикальный сердцевинный меридиан, а затем в чакру УМ-холода.

### 3.2.2. Циркуляция единых энергий по А-УМ парам периферических меридианов

Единые энергии совершают полные круги циркуляции по А-УМ парам периферических меридианов отдельно левой и правой половин тела.

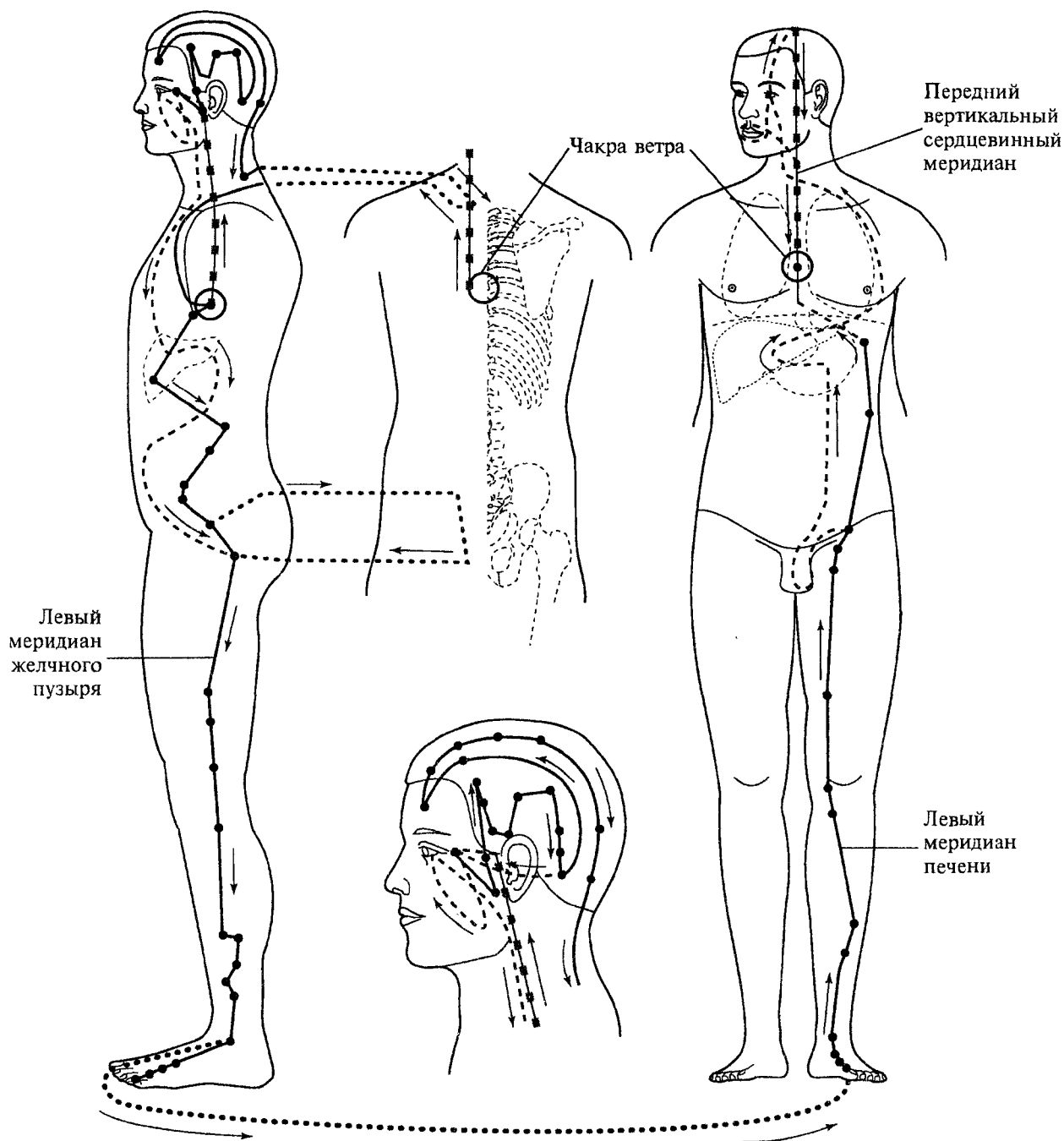


Рис. 166. Циркуляция энергии единого ветра в левой половине тела (тип I — меридианы печени и желчного пузыря).

Из внутренней чакры ветра единая энергия через левый вертикальный сердцевинный меридиан тела попадает сначала в левый меридиан желчного пузыря, затем посредством соединительной ветви в левый меридиан печени. Далее единая энергия ветра через передний вертикальный сердцевинный меридиан возвращается в чакру ветра.

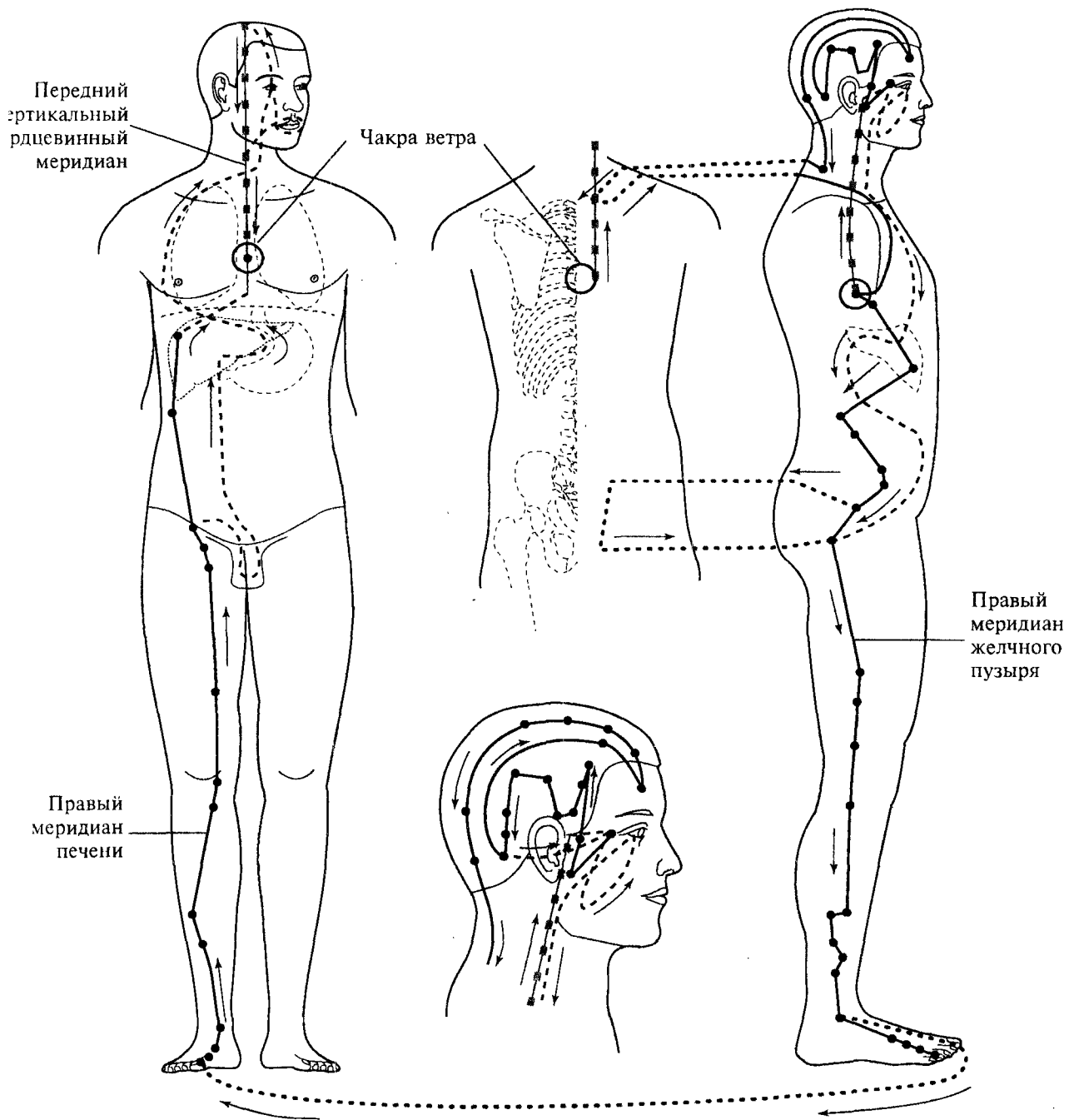


рис. 167. Циркуляция энергии единого ветра в правой половине тела (тип I — меридианы печени и желчного пузыря).  
Из внутренней чакры ветра единая энергия через правый вертикальный сердцевинный меридиан тела попадает сначала в правый меридиан желчного пузыря, затем посредством соединительной ветви в правый меридиан печени. Далее единая энергия ветра через передний вертикальный сердцевинный меридиан возвращается в чакру ветра.

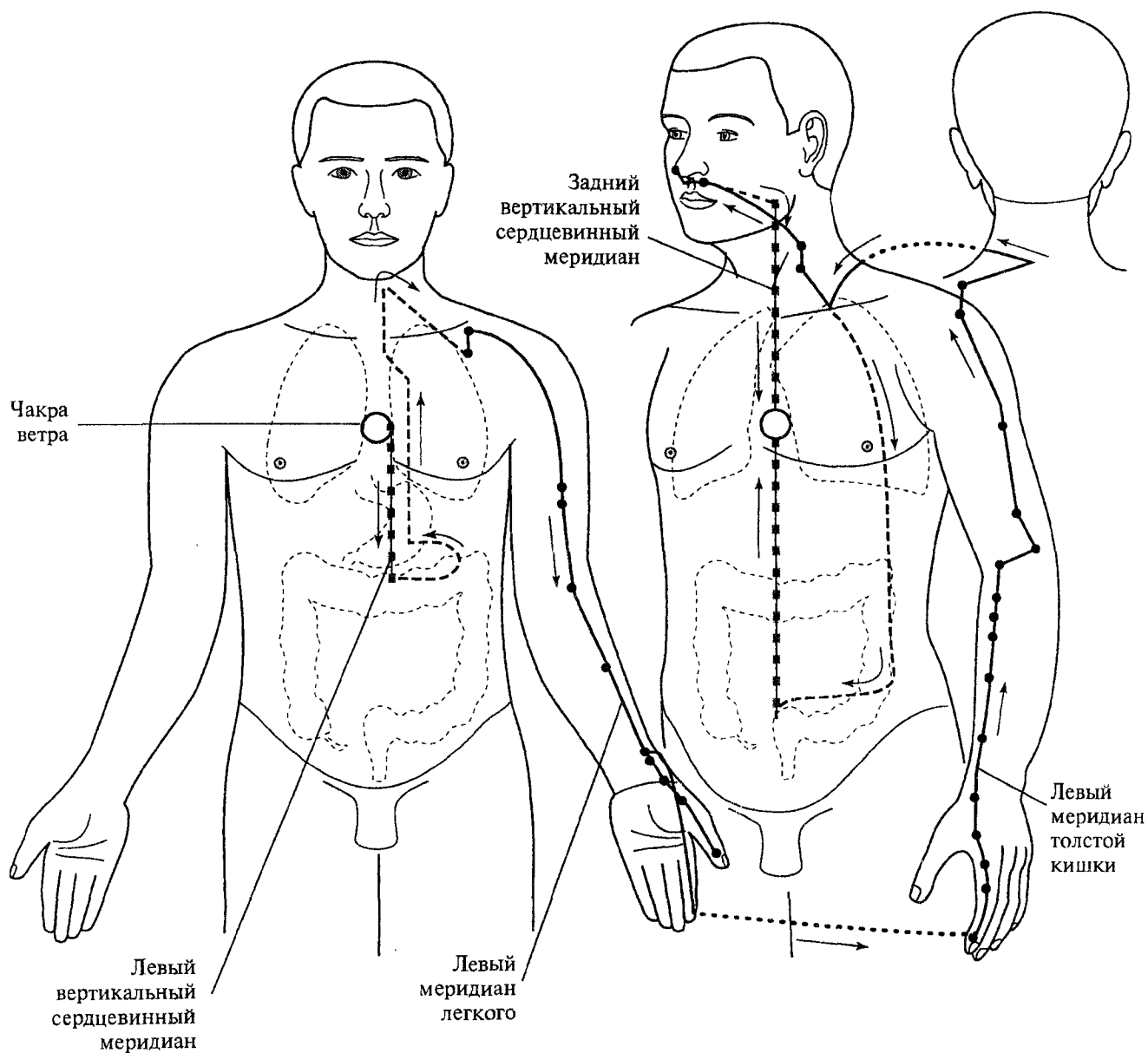


рис. 168. Циркуляция единой энергии ветра в левой половине тела (тип II — меридианы легкого и толстой кишки).

Из внутренней чакры ветра единая энергия через левый вертикальный сердцевинный меридиан тела попадает сначала в левый меридиан легкого, затем посредством соединительной ветви — в левый меридиан толстой кишки. Далее единая энергия ветра через задний вертикальный сердцевинный меридиан возвращается в чакру ветра.

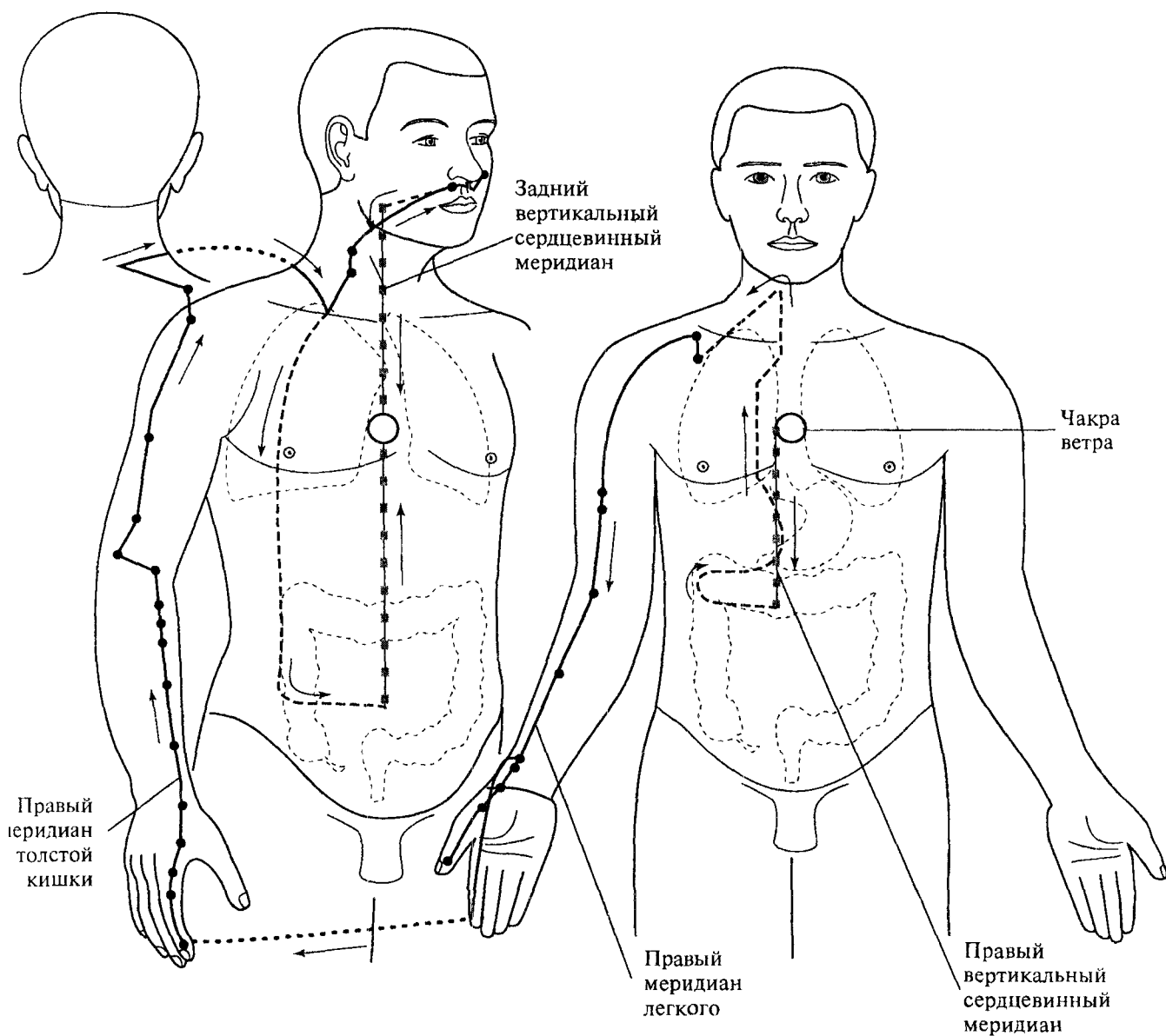


Рис. 169. Циркуляция единой энергии ветра в правой половине тела (тип II — меридианы легкого и толстой кишки).

Из внутренней чакры ветра единая энергия через правый вертикальный сердцевинный меридиан тела попадает сначала в правый меридиан легкого, затем посредством соединительной ветви в правый меридиан толстой кишки. Далее единая энергия ветра через задний вертикальный сердцевинный меридиан возвращается в чакру ветра.

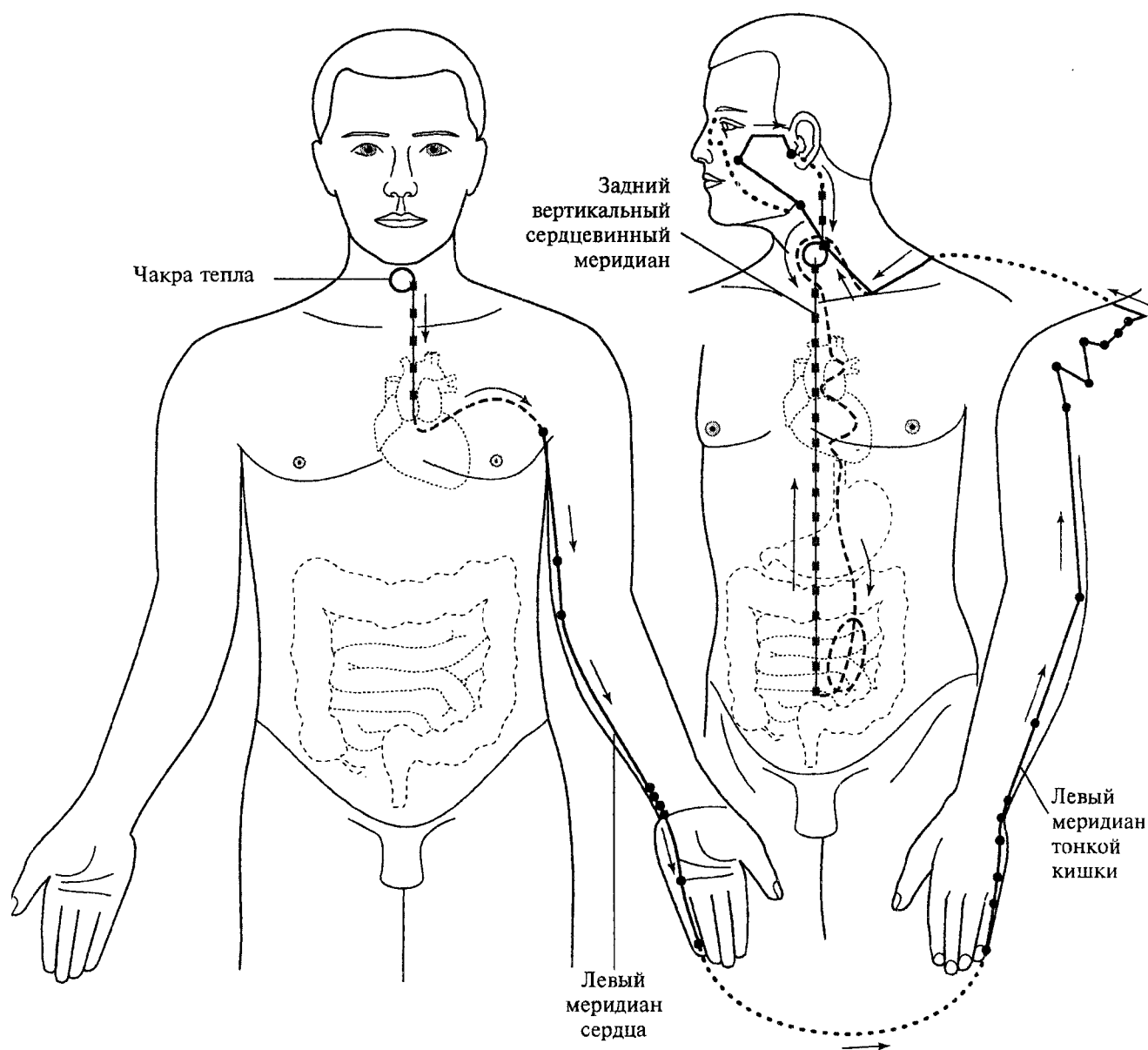
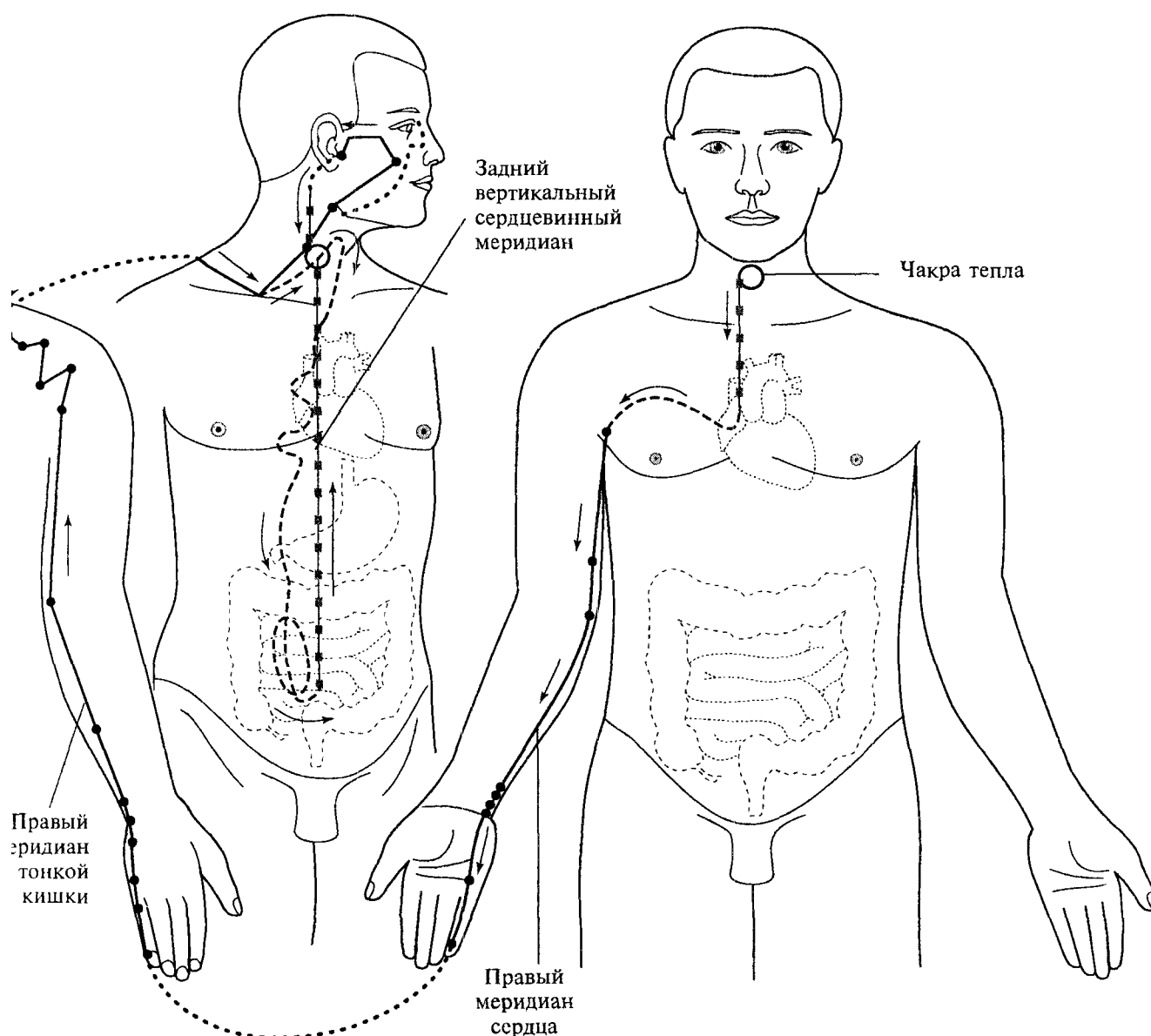


Рис. 170. Циркуляция энергии единого тепла в левой половине тела.

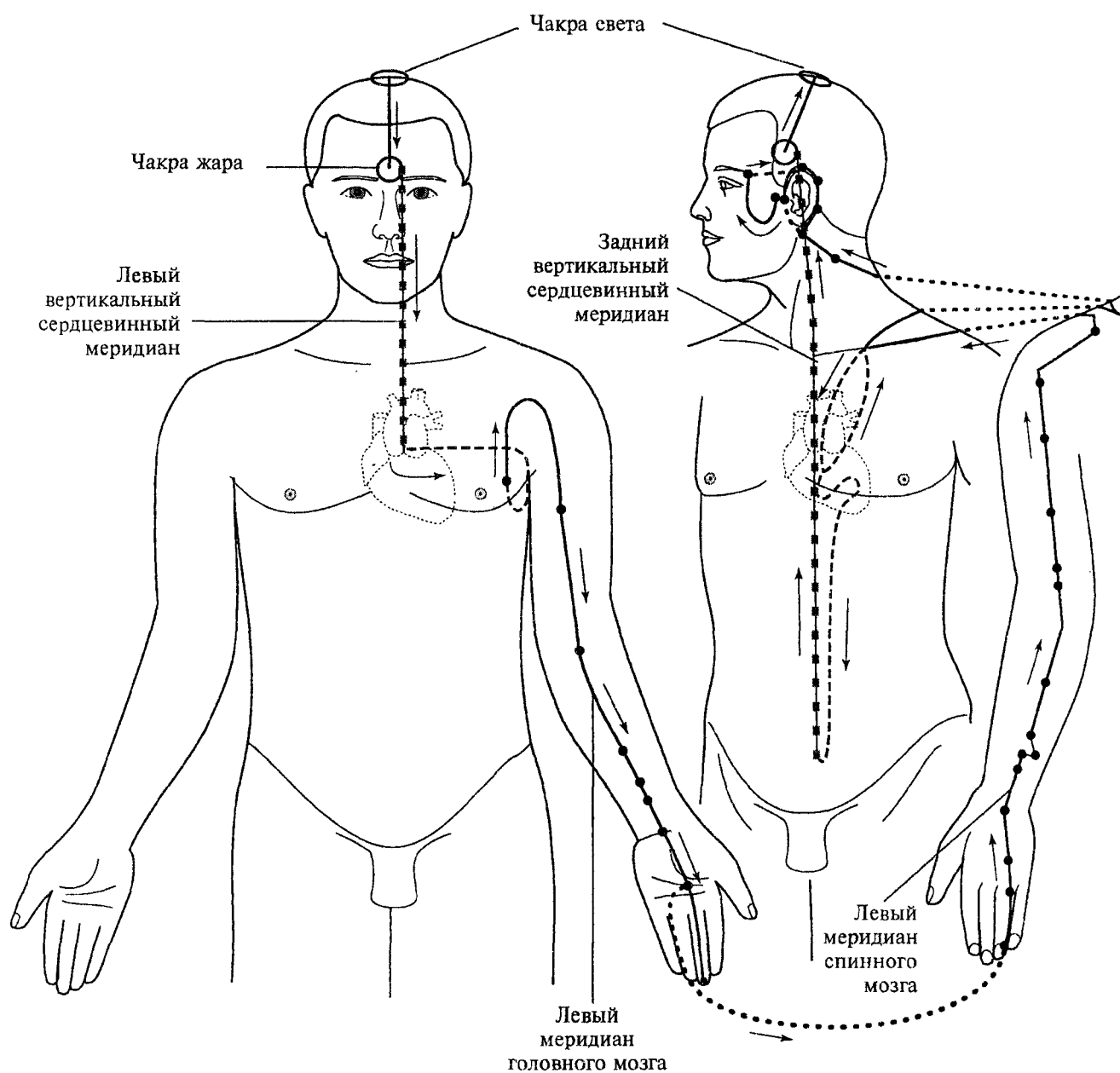
Из чакры тепла энергия поступает в левый вертикальный сердцевинный меридиан, спускается до уровня сердца, затем переходит в левый ход меридиана сердца, от него по короткой соединительной ветви в меридиан тонкой кишки, поднимается по руке и в надключичной ямке делится на два потока: наружный и внутренний. Наружная ветвь меридиана тонкой кишки поднимается к голове, до уровня козелка уха, переходит в задний вертикальный сердцевинный меридиан и возвращается в чакру тепла. Энергия по внутренней ветви спускается к тонкой кишке, затем переходит в задний вертикальный сердцевинный меридиан и возвращается в чакру тепла.



ис. 171. Циркуляция единой энергии тепла в правой половине тела.

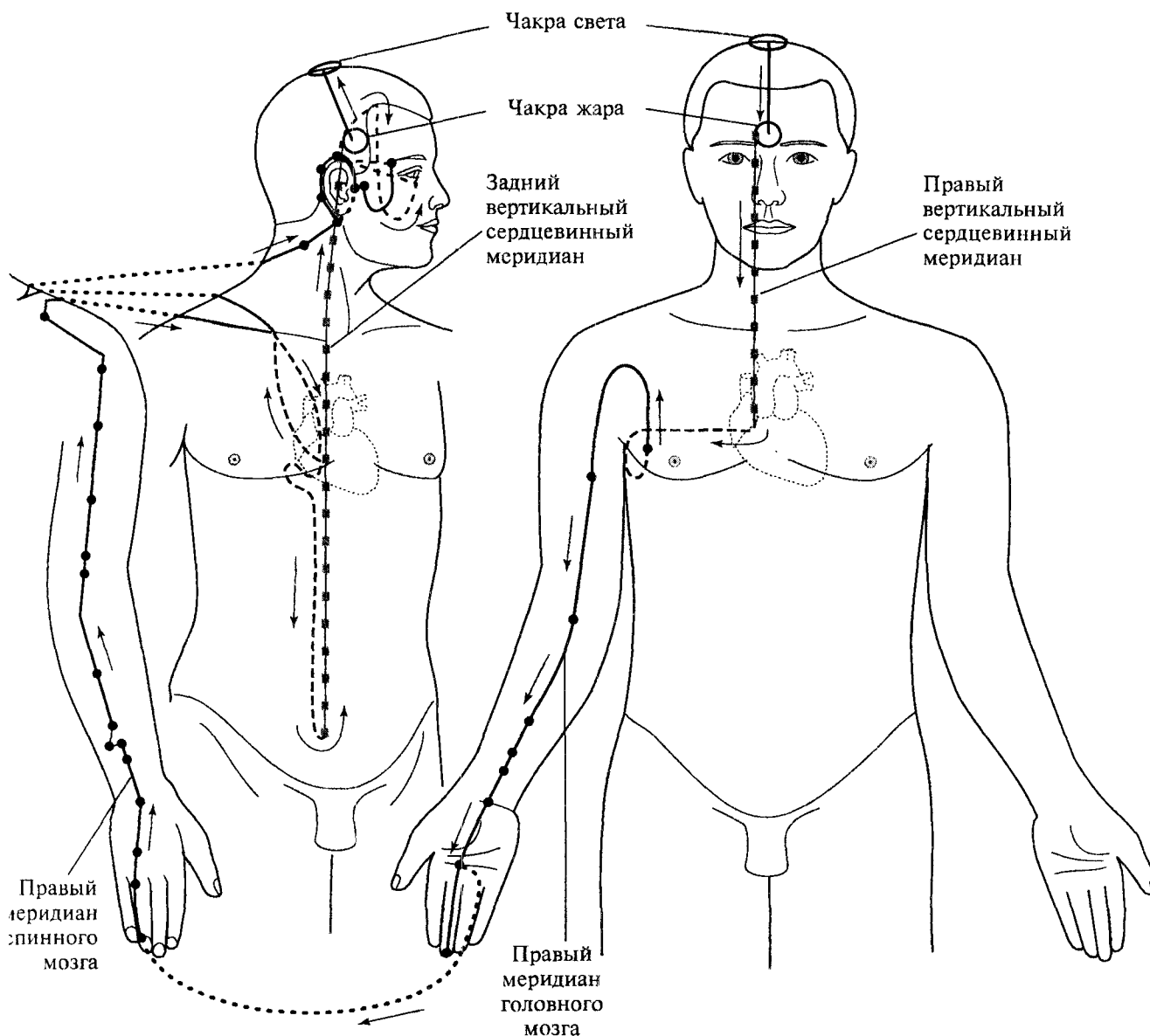
Из внутренней чакры тепла единая энергия поступает в правый вертикальный сердцевинный меридиан тела, доходит до уровня сердца, затем следует в правый меридиан сердца, переходит в правый меридиан тонкой кишки, который в надключичной ямке делится на две ветви: наружную и внутреннюю. Наружный ход меридиана поднимается к голове, в области уха переходит в задний вертикальный сердцевинный меридиан и возвращается в чакру тепла. Внутренняя ветвь спускается вниз, достигая тонкой кишки, и по заднему вертикальному сердцевинному меридиану возвращается в чакру тепла.





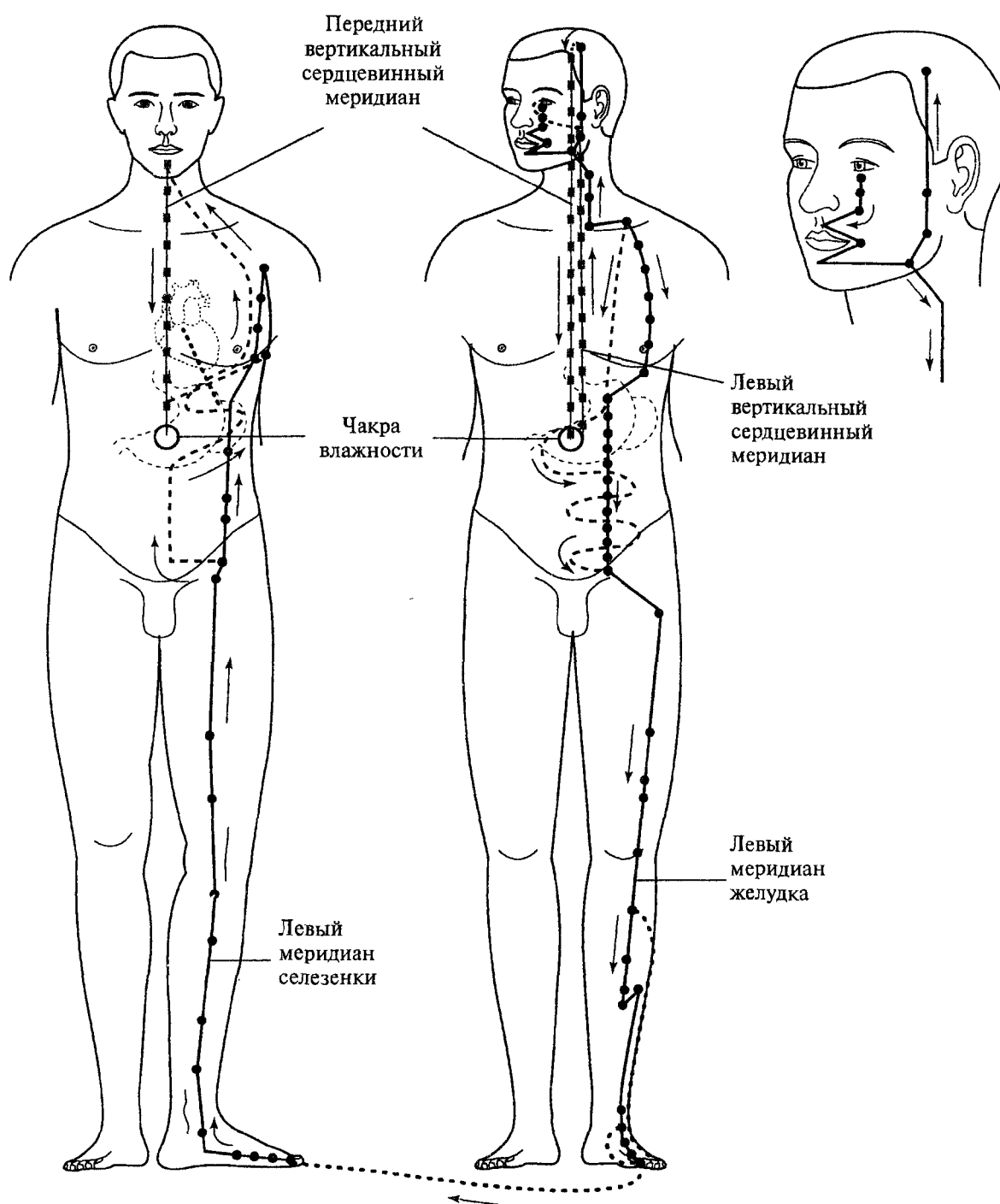
**Рис. 172.** Циркуляция единой энергии жара в левой половине тела.

Из чакры света (Сахасрары) энергия поступает в чакру жара, оттуда по левому вертикальному сердцевинному меридиану идет к сердцу, переходит в наружный ход меридиана головного мозга, доходит до кончика III пальца. Далее переходит в меридиан спинного мозга, по нему поднимается по руке вверх до надключичной ямки, откуда часть энергии следует по наружному ходу меридиана, а другая часть — по внутреннему. По наружной ветви меридиана энергия поднимается до наружного угла брови, переходит во внутренний ход, поступает в чакру жара, а затем и в чакру света. Энергия по внутренней ветви спускается до нижнего этажа брюшной полости, а затем поднимается вверх по заднему вертикальному сердцевинному меридиану к чакре жара, а из нее к чакре света.



ис. 173. Циркуляция единой энергии жара в правой половине тела.

Циркуляция единой энергии жара в правой половине тела происходит аналогично циркуляции в левой половине тела.



ис. 174. Циркуляция единой энергии влажности в левой половине тела.

Циркуляция единой энергии влажности начинается из чакры влажности, далее энергия поступает в левый вертикальный сердцевинный меридиан, поднимаясь до уровня угла лба, где переходит в наружный ход меридиана желудка. Пройдя по меридиану желудка до пальцев стопы, переходит через соединительную ветвь в меридиан селезенки. Поднявшись по меридиану селезенки до верхней части туловища, энергия через соединительную ветвь переходит в передний вертикальный сердцевинный меридиан и возвращается в чакру влажности.

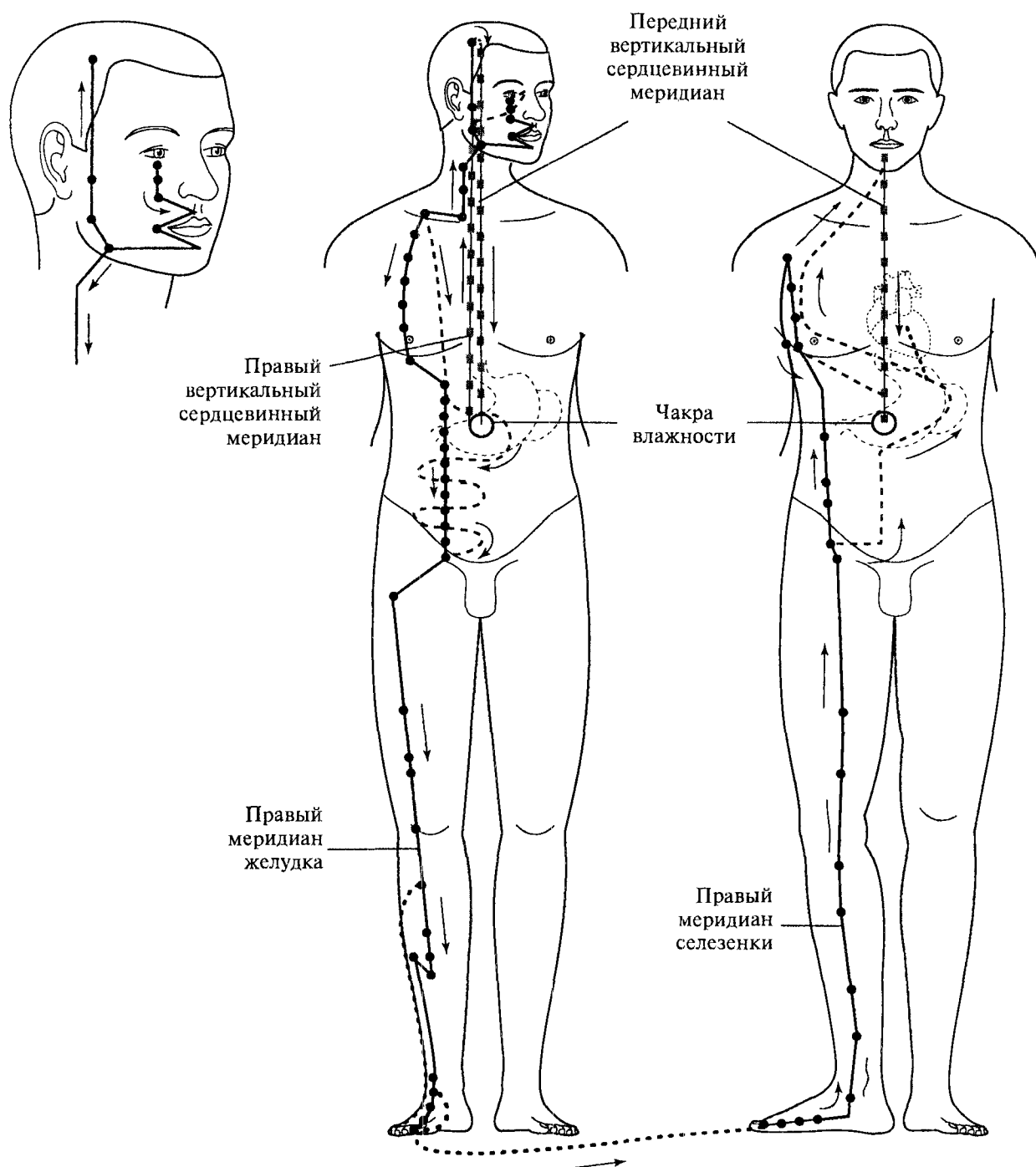


Рис. 175. Циркуляция единой энергии влажности в правой половине тела.  
Циркуляция единой энергии влажности в правой половине тела происходит аналогично циркуляции в левой половине тела.

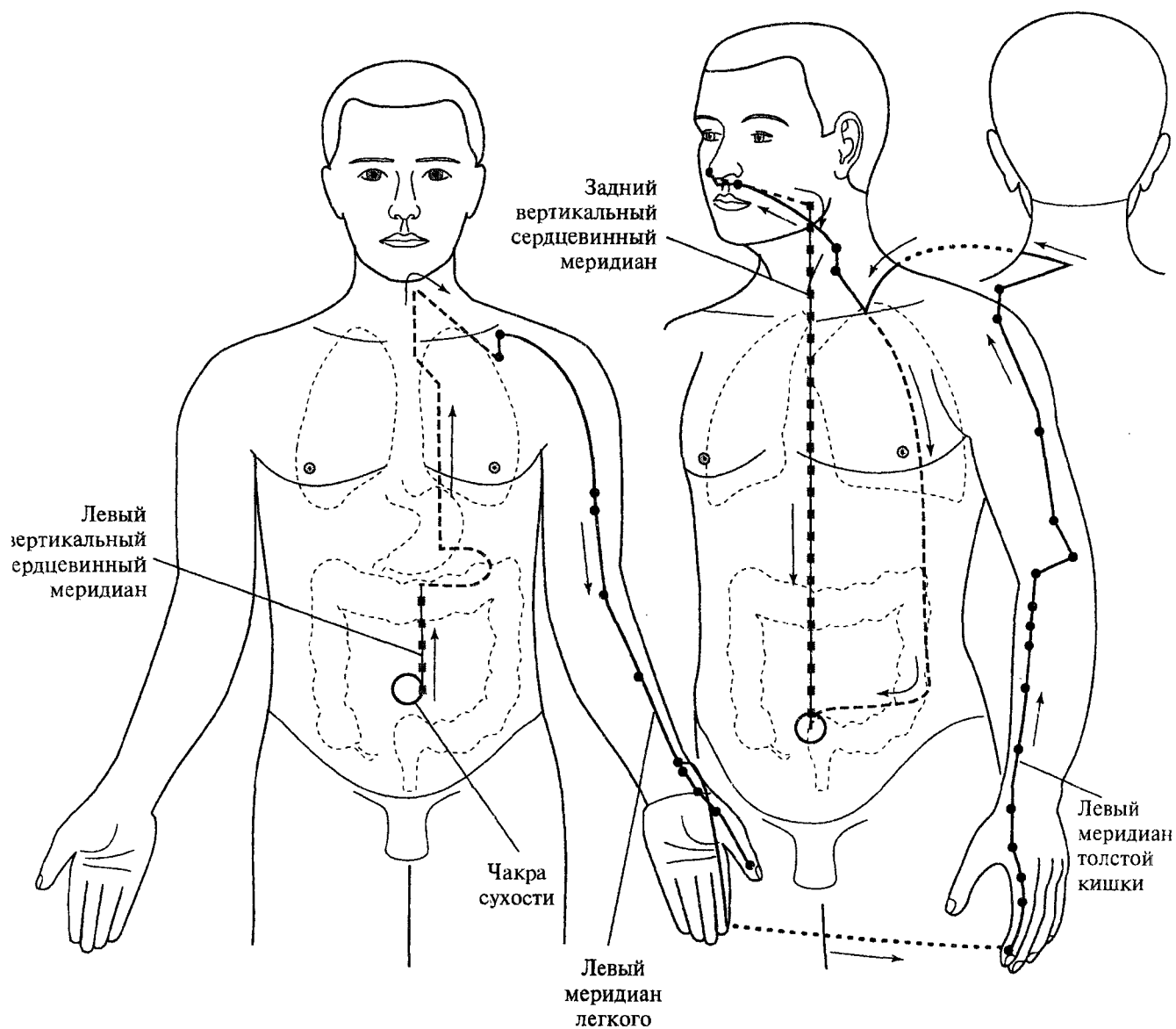
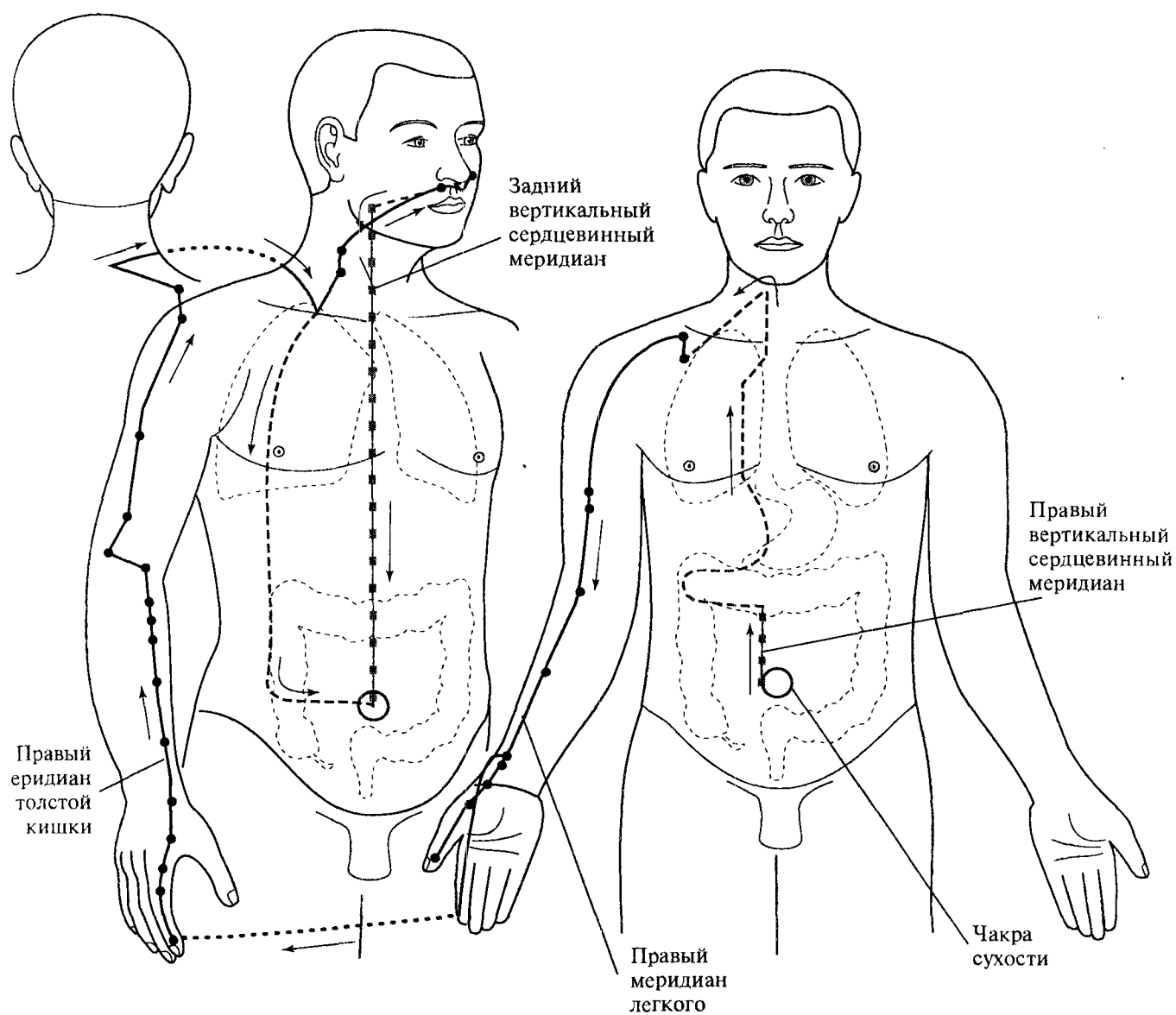


Рис. 176. Циркуляция единой энергии сухости в левой половине тела (тип I— меридианы легкого и толстой кишки).

Циркуляция единой энергии сухости начинается из чакры сухости, по левому вертикальному сердцевинному меридиану поднимается до уровня толстой кишки, переходит во внутренний ход меридиана легкого, затем следует по наружной ветви этого меридиана до кончика большого пальца левой руки, где переходит в наружный ход меридиана толстой кишки. Далее энергия поднимается вверх по руке, шее, доходит до крыла носа, затем, пройдя по внутренней соединительной ветви, попадает в задний вертикальный сердцевинный меридиан туловища и возвращается в чакру сухости. Часть энергии из наружного хода меридиана толстой кишки возвращается в чакру через внутреннюю ветвь, которая начинается в надключичной ямке и спускается вниз до толстой кишки, достигая чакры сухости.



Ис. 177. Циркуляция единой энергии сухости в правой половине тела (тип I— меридианы легкого и толстой кишки).

Циркуляция единой энергии сухости в правой половине тела происходит аналогично циркуляции в левой половине тела.

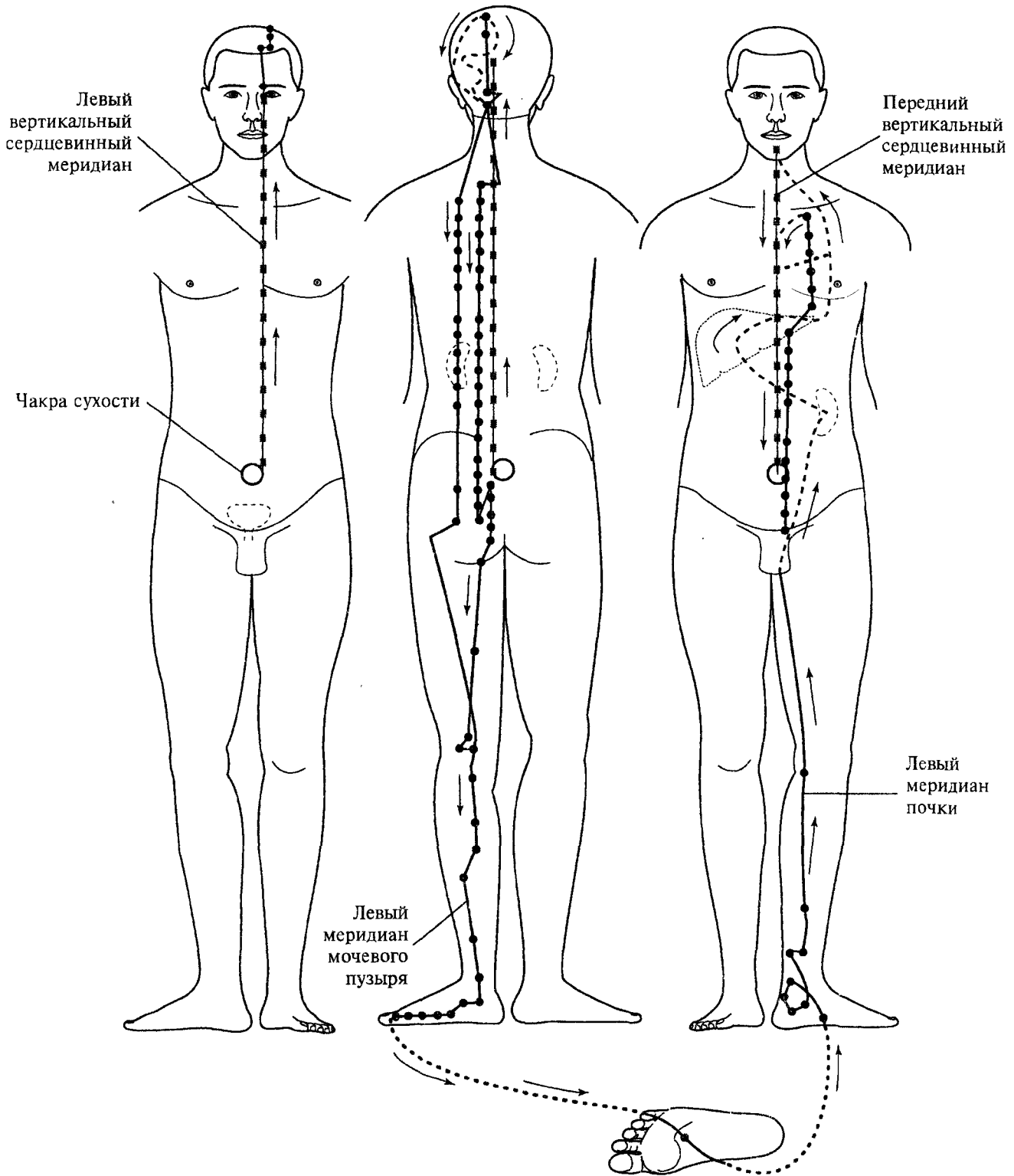
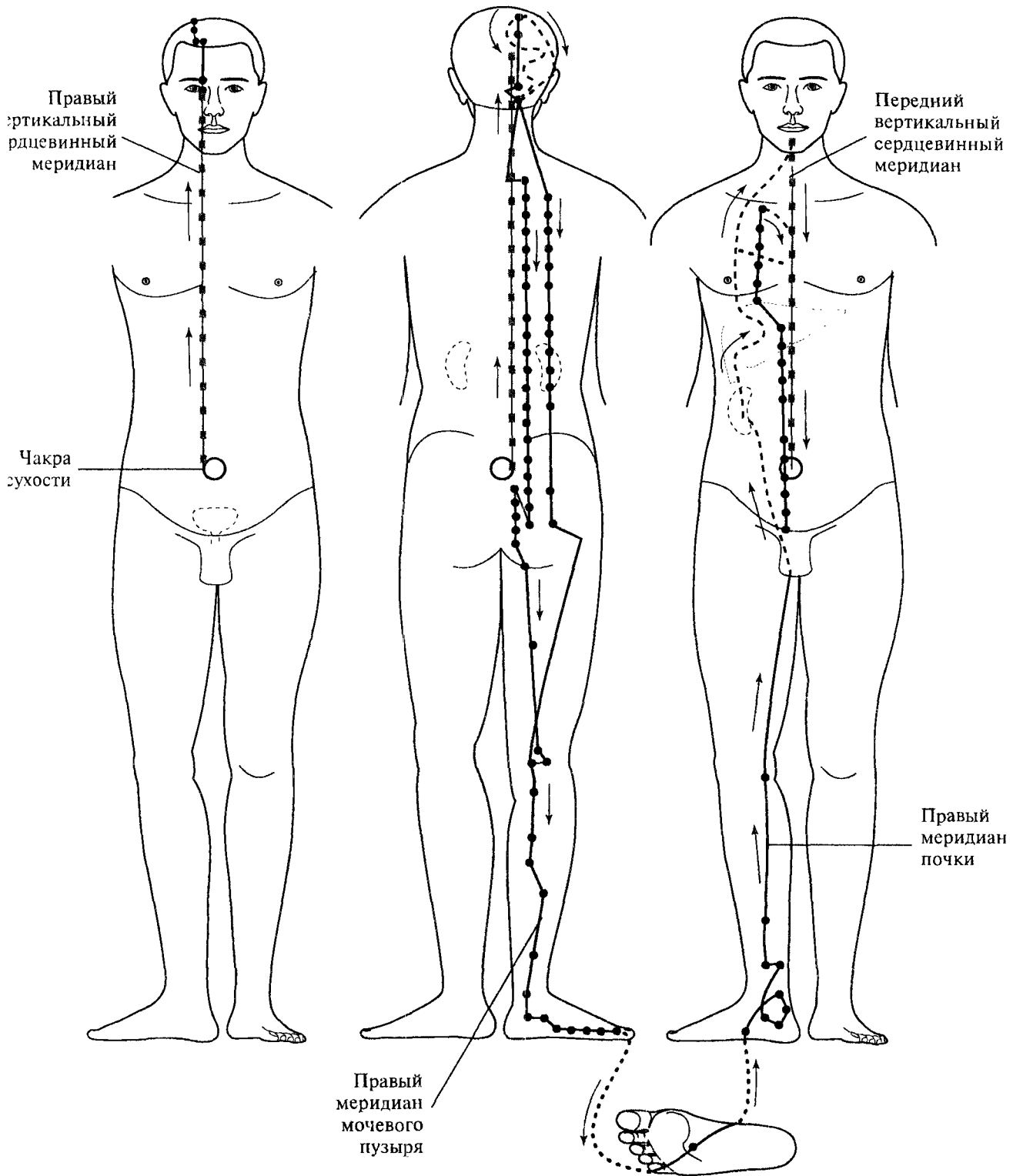


Рис. 178. Циркуляция единой энергии сухости в левой половине тела (тип II— меридианы почки и мочевого пузыря).

Из внутренней чакры сухости единая энергия через левый вертикальный сердцевинный меридиан попадает сначала в левый меридиан мочевого пузыря, затем в левый меридиан почки. Далее единая энергия сухости через передний вертикальный сердцевинный меридиан возвращается в чакру сухости.





ис. 179. Циркуляция единой энергии сухости в правой половине тела (тип II— меридианы почки и мочевого пузыря).

Циркуляция единой энергии сухости в правой половине тела происходит аналогично циркуляции в левой половине тела.

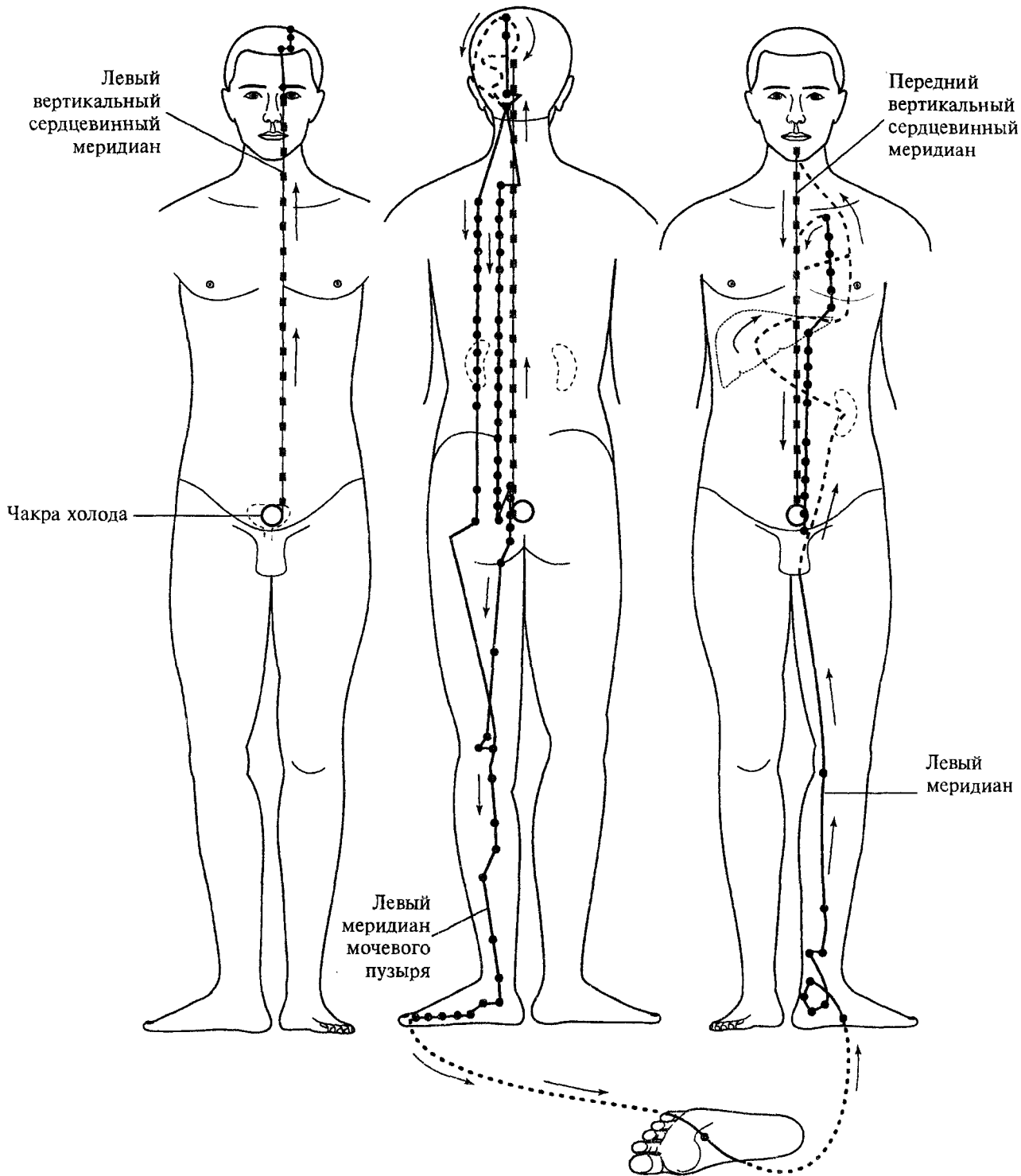


Рис. 180. Циркуляция единой энергии холода в левой половине тела человека (тип I — меридианы почки и мочевого пузыря).

Циркуляция единой энергии холода начинается от чакры холода. Через левый вертикальный сердцевинный меридиан туловища энергия поднимается вверх, в области головы переходит в наружный ход меридиана мочевого пузыря, по нему следует вниз до V пальца стопы, затем переходит в наружный ход меридиана почки. По меридиану почки поднимается до подключичной ямки и через соединительную ветвь поступает в передний вертикальный сердцевинный меридиан туловища, по которому возвращается в чакру холода.

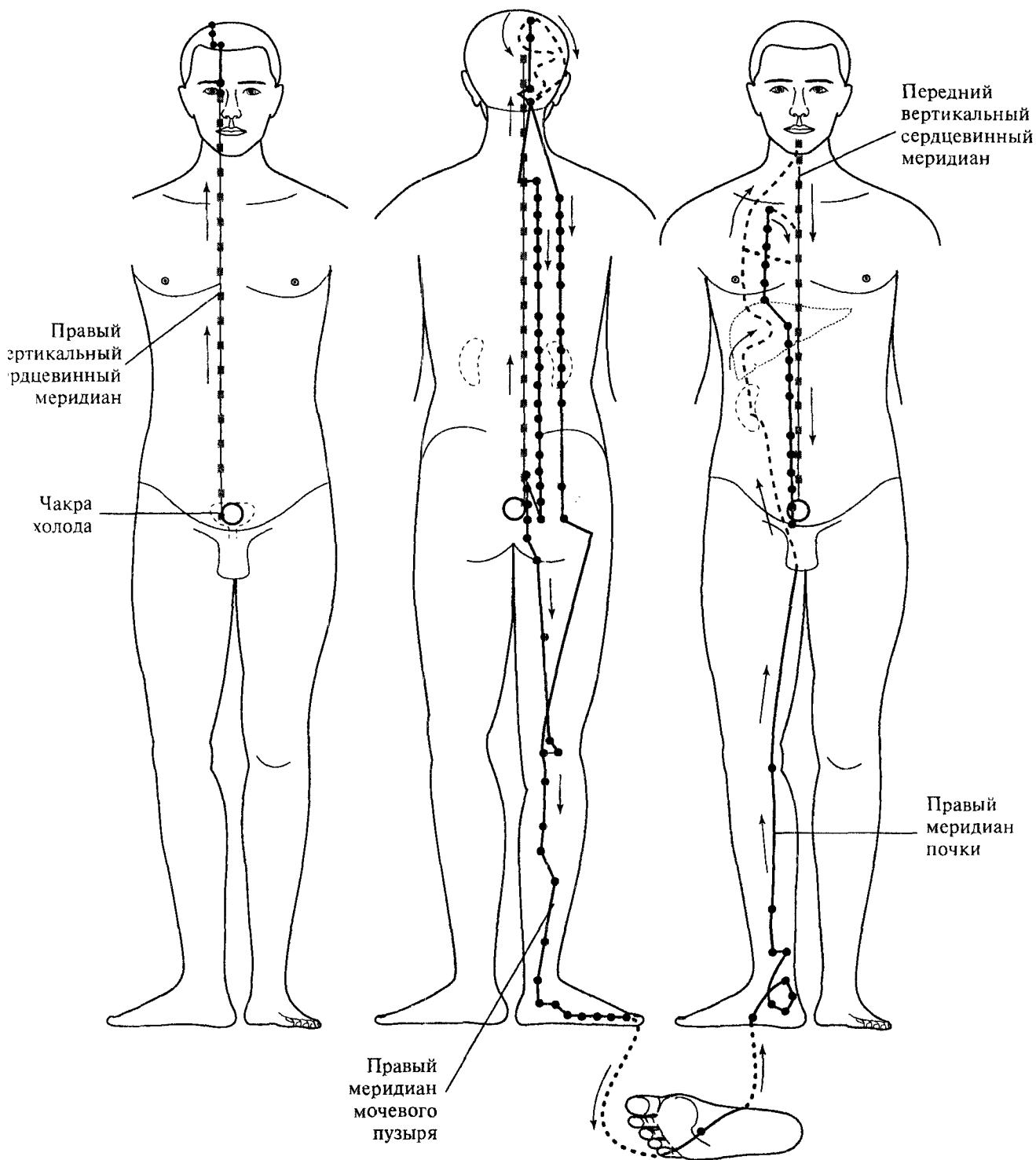


рис. 181. Циркуляция единой энергии холода в правой половине тела человека (тип I — меридианы почки и мочевого пузыря).  
Движение единой энергии холода в правой половине тела происходит аналогично циркуляции в левой половине.

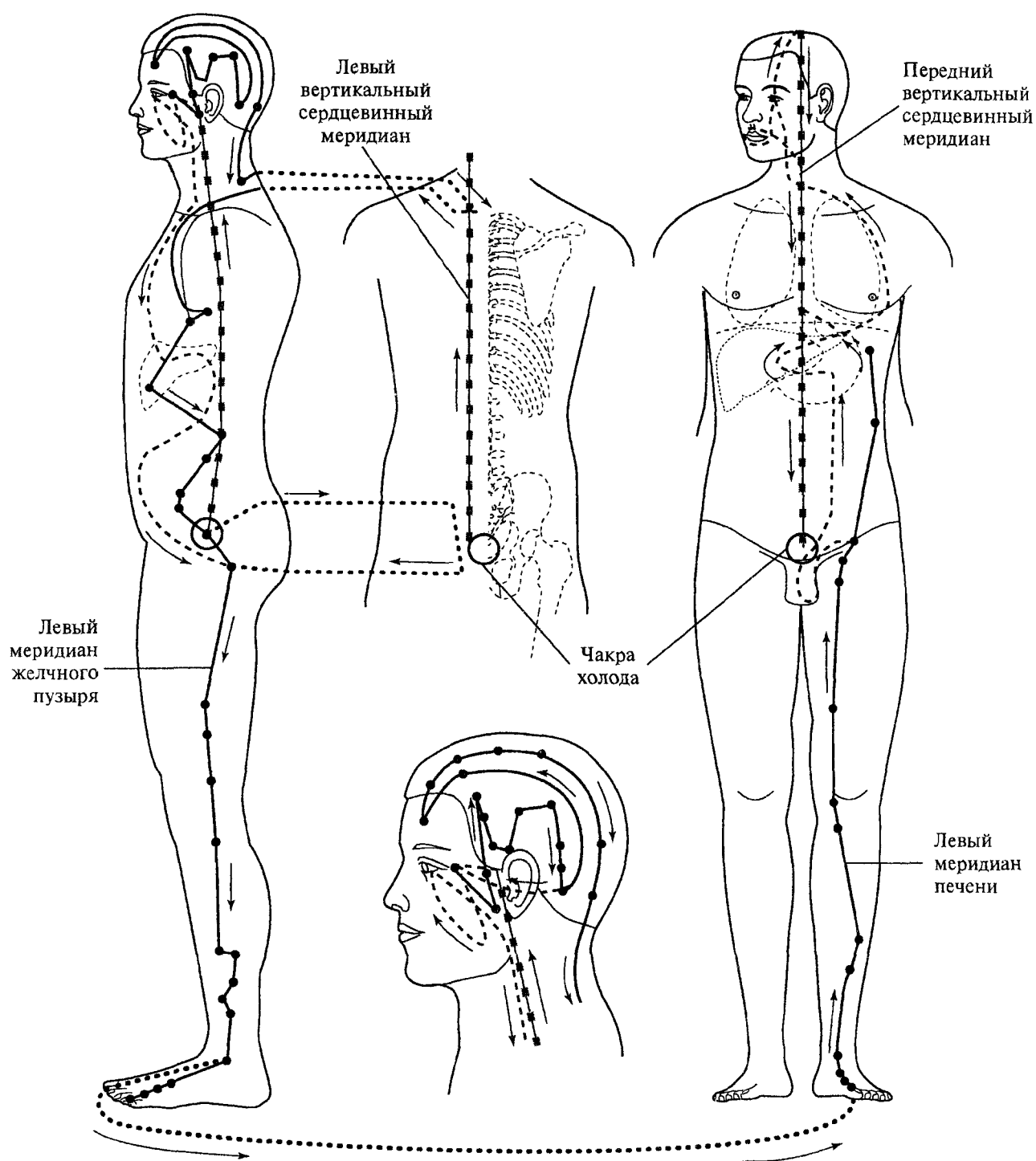


Рис. 182. Циркуляция единой энергии холода в левой половине тела (тип II — меридианы печени и желчного пузыря).

Из внутренней чакры холода единая энергия через левый вертикальный сердцевинный меридиан тела направляется сначала в левый меридиан желчного пузыря, затем в левый меридиан печени. Далее единая энергия холода через передний вертикальный сердцевинный меридиан возвращается в чакру холода.

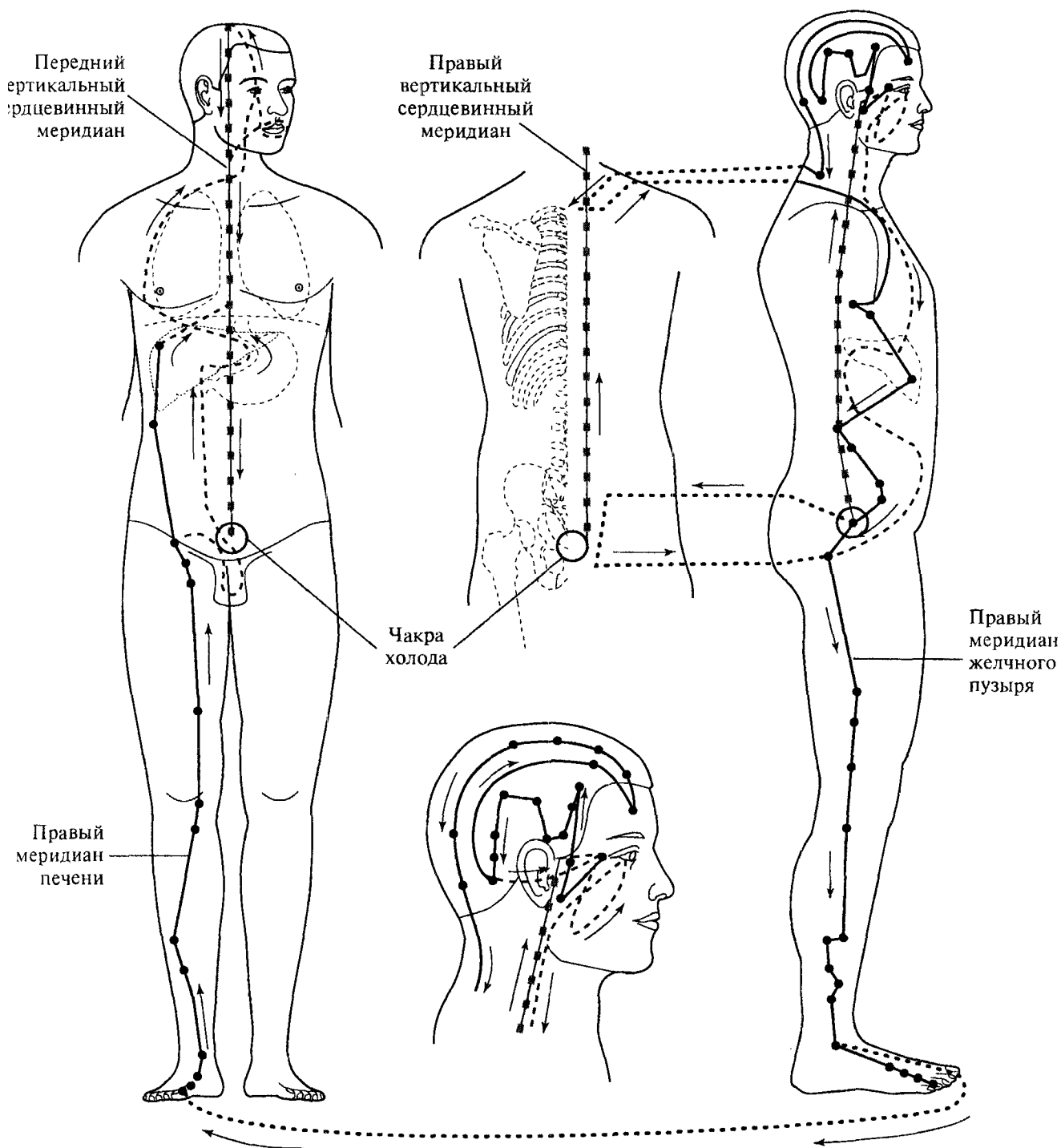
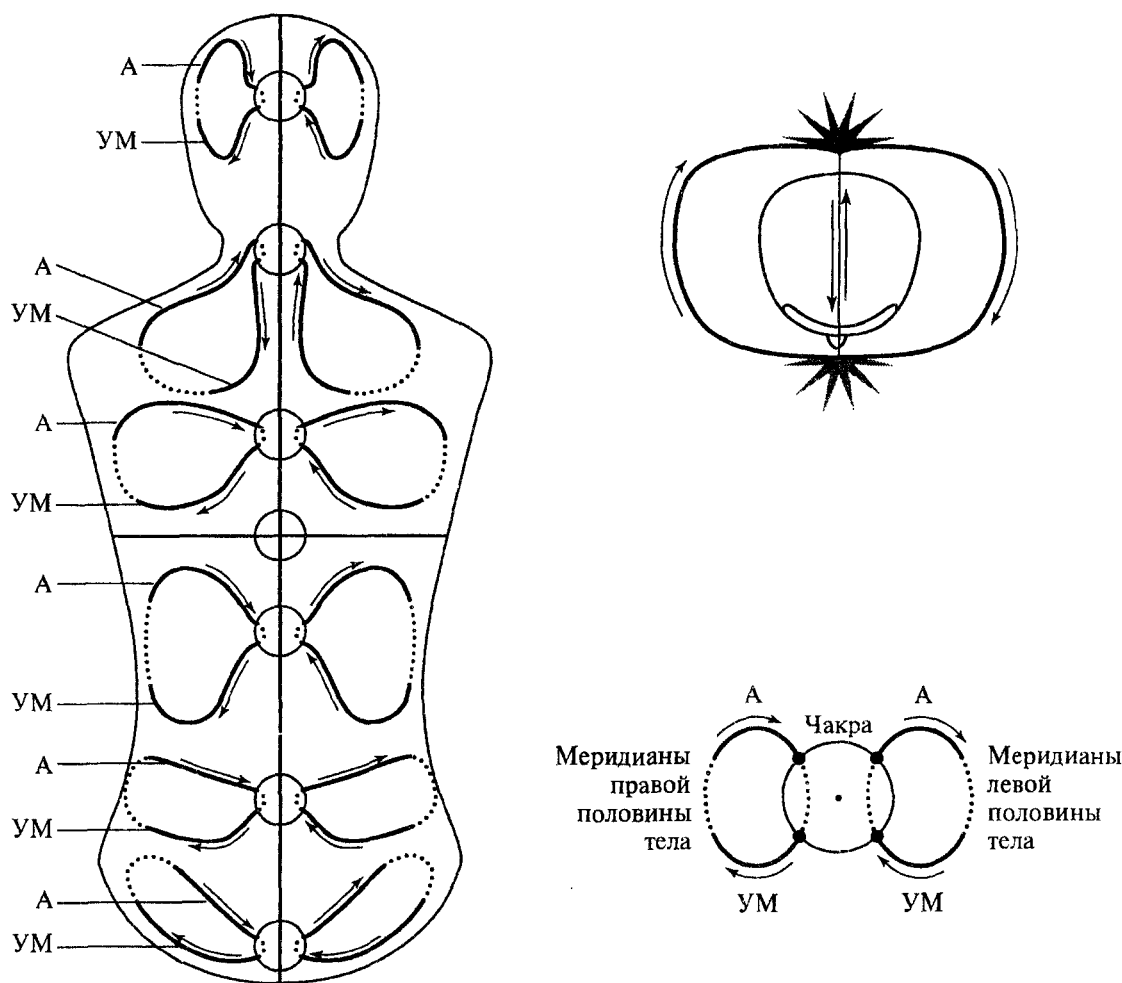


рис. 183. Циркуляция единой энергии холода в правой половине тела (тип II — меридианы печени и желчного пузыря).  
Движение единой энергии холода в правой половине тела происходит аналогично циркуляции в левой половине.

### 3.2.3. Другие виды циркуляции энергии в теле человека

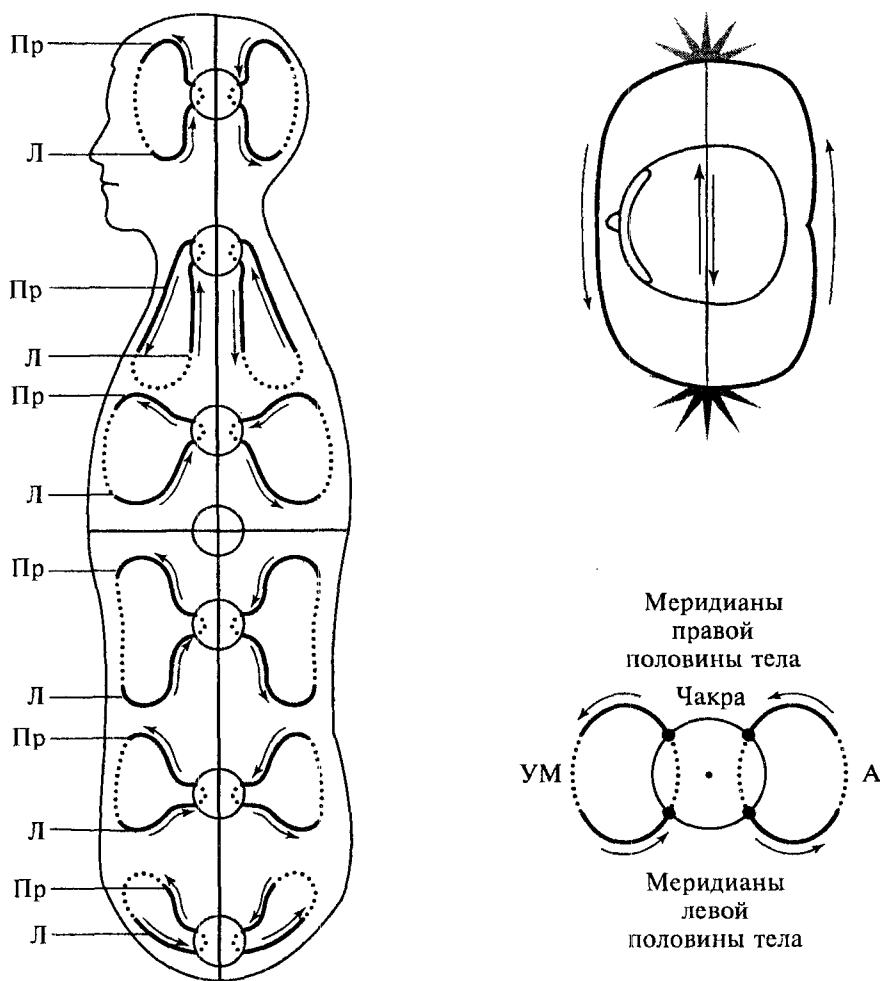
Циркуляция энергии в периферических меридианах тела находится под контролирующим влиянием центральной части энергетической системы. Каждому виду циркуляции энергии в пограничных и сердцевинных меридианах тела соответствуют определенные круги циркуляции в периферических меридианах.



**Рис. 184.** Циркуляция энергии в периферических меридианах тела под влиянием индивидуальных энергий диафрагмального пограничного меридиана при преобладании сагиттальной оси.

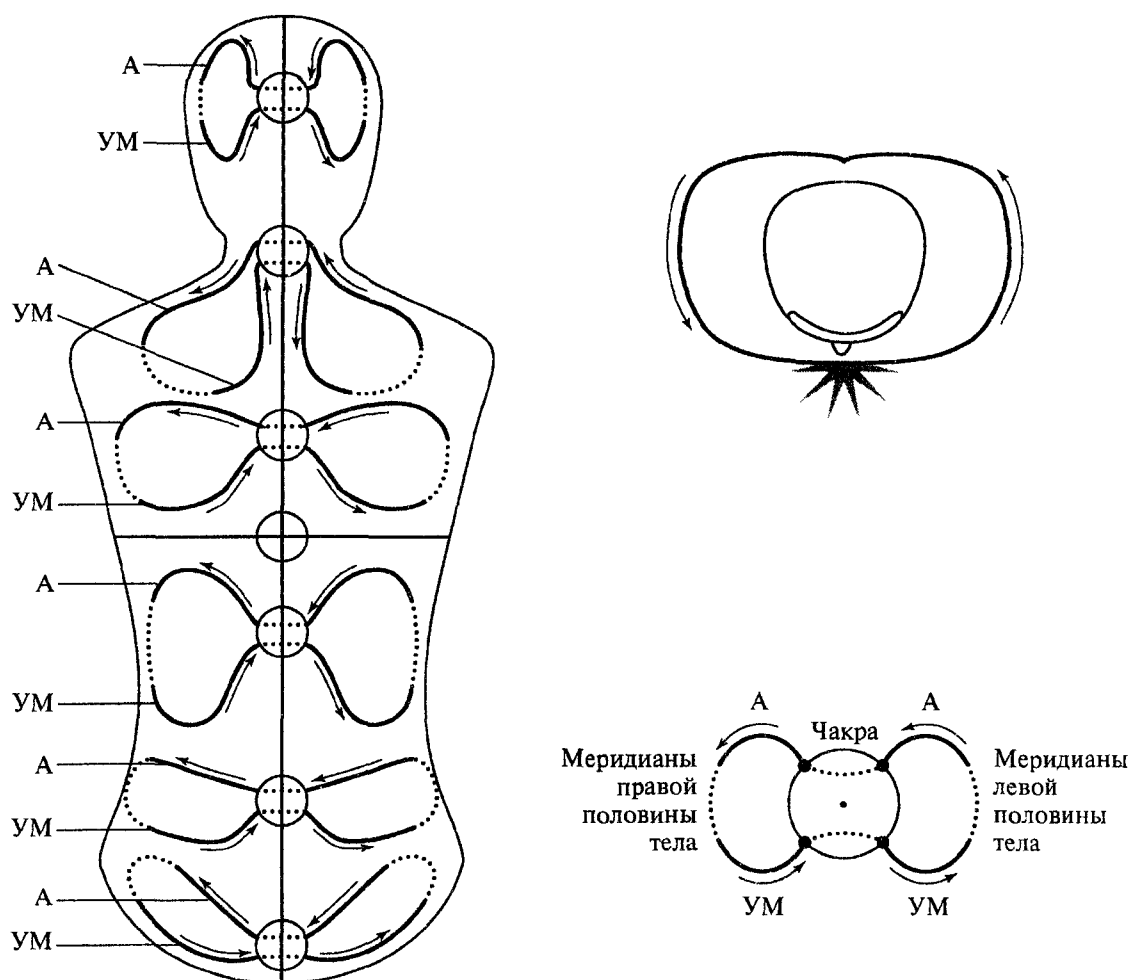
Циркуляция индивидуальной энергии в диафрагмальных пограничных и сагиттальных сердцевинных меридианах влияет на направление движения энергии в периферических А- и УМ-меридианах, образуя круги по два меридиана слева и справа. Слева энергия сначала следует в А-меридиан, затем в УМ; а справа — сначала в УМ-меридиан, а затем в А.

А — А-меридианы  
УМ — УМ-меридианы

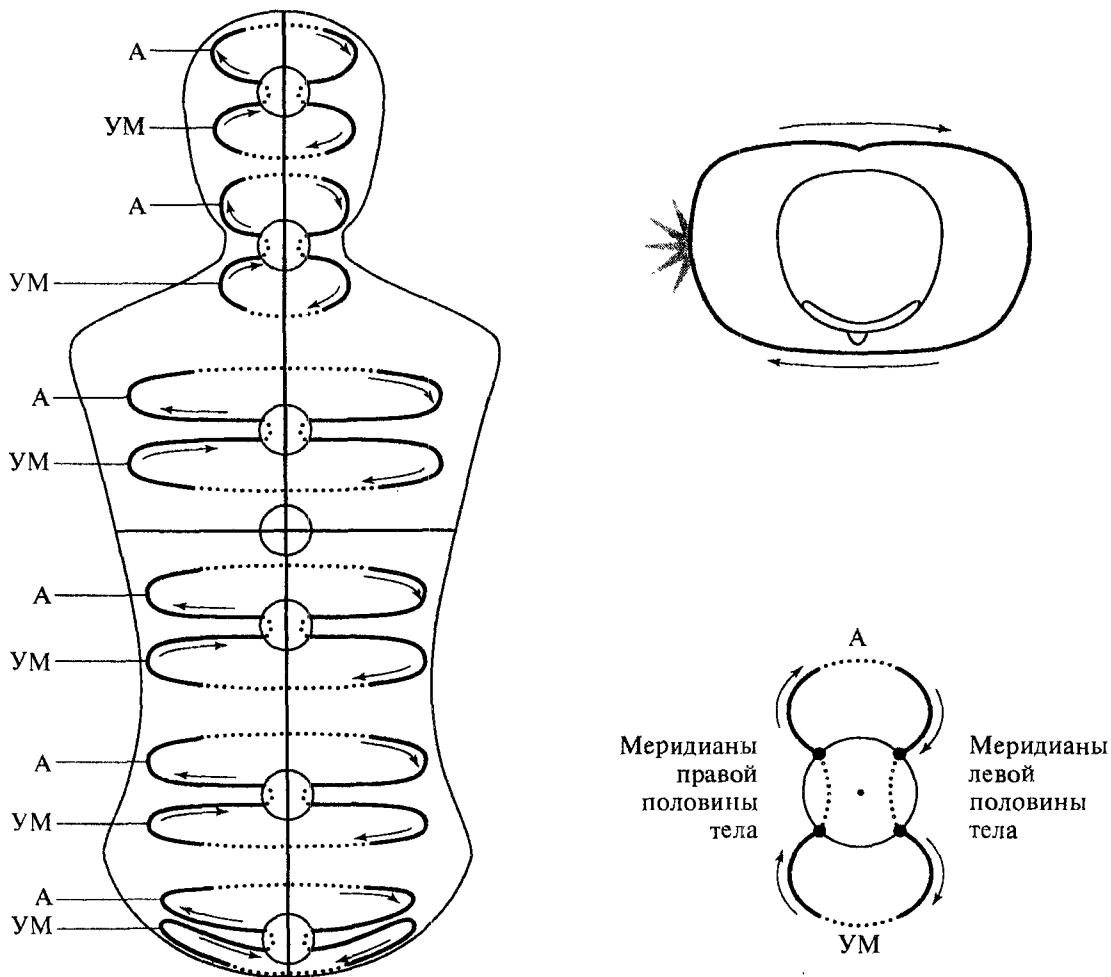


*рис. 185. Циркуляция энергии в периферических меридианах тела под влиянием индивидуальных энергий диафрагмального пограничного меридиана при преобладании фронтальной оси. Циркуляция индивидуальных энергий в диафрагмальных пограничных и фронтальных сердцевинных меридианах инициирует движение энергии в периферических меридианах, образуя круги по два меридиана спереди и сзади. На задней поверхности тела энергия движется слева направо; а на передней — справа налево.*  
 Пр — меридиан правой половины тела  
 Л — меридиан левой половины тела





**Рис. 186.** Циркуляция энергии в периферических меридианах тела под влиянием единой энергии диафрагмального меридиана при преобладании передней чакры.  
 Циркуляция единой энергии в диафрагмальном меридиане под влиянием передней чакры вызывает последовательную циркуляцию энергий в системе четырех меридианов каждой чакры против часовой стрелки (левый УМ-меридиан, левый А-меридиан, правый А-меридиан, правый УМ-меридиан).  
 А — А-меридианы  
 УМ — УМ-меридианы



**рис. 187.** Циркуляция энергии в периферических меридианах тела под влиянием единой энергии диафрагмального меридиана при преобладании правой чакры.  
 Циркуляция единой энергии в диафрагмальном пограничном меридиане под влиянием правой чакры вызывает последовательную циркуляцию энергий в системе четырех меридианов каждой чакры по часовой стрелке (правый А-меридиан, левый А-меридиан, левый УМ-меридиан, правый УМ-меридиан).  
 А — А-меридианы  
 УМ — УМ-меридианы

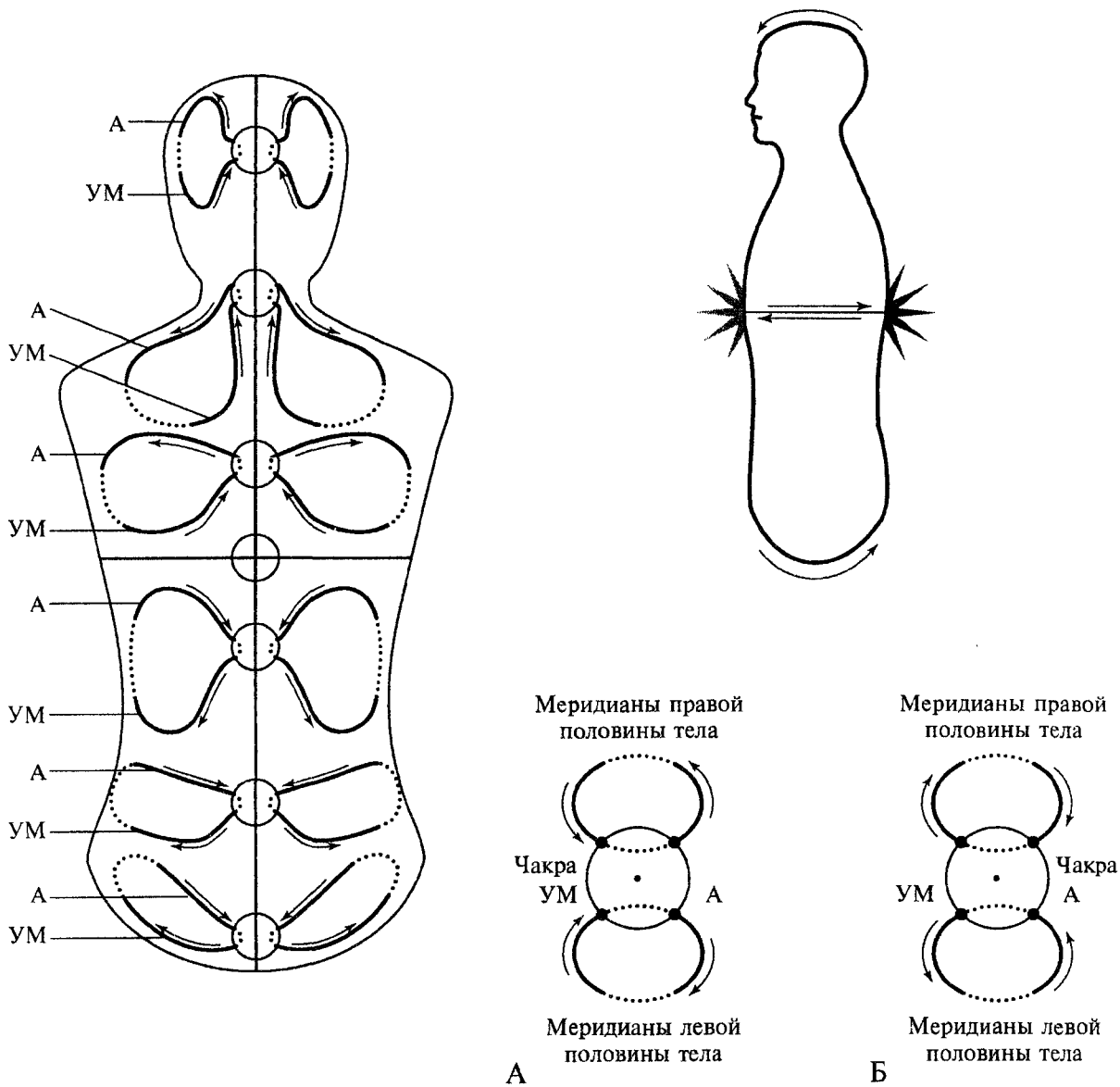
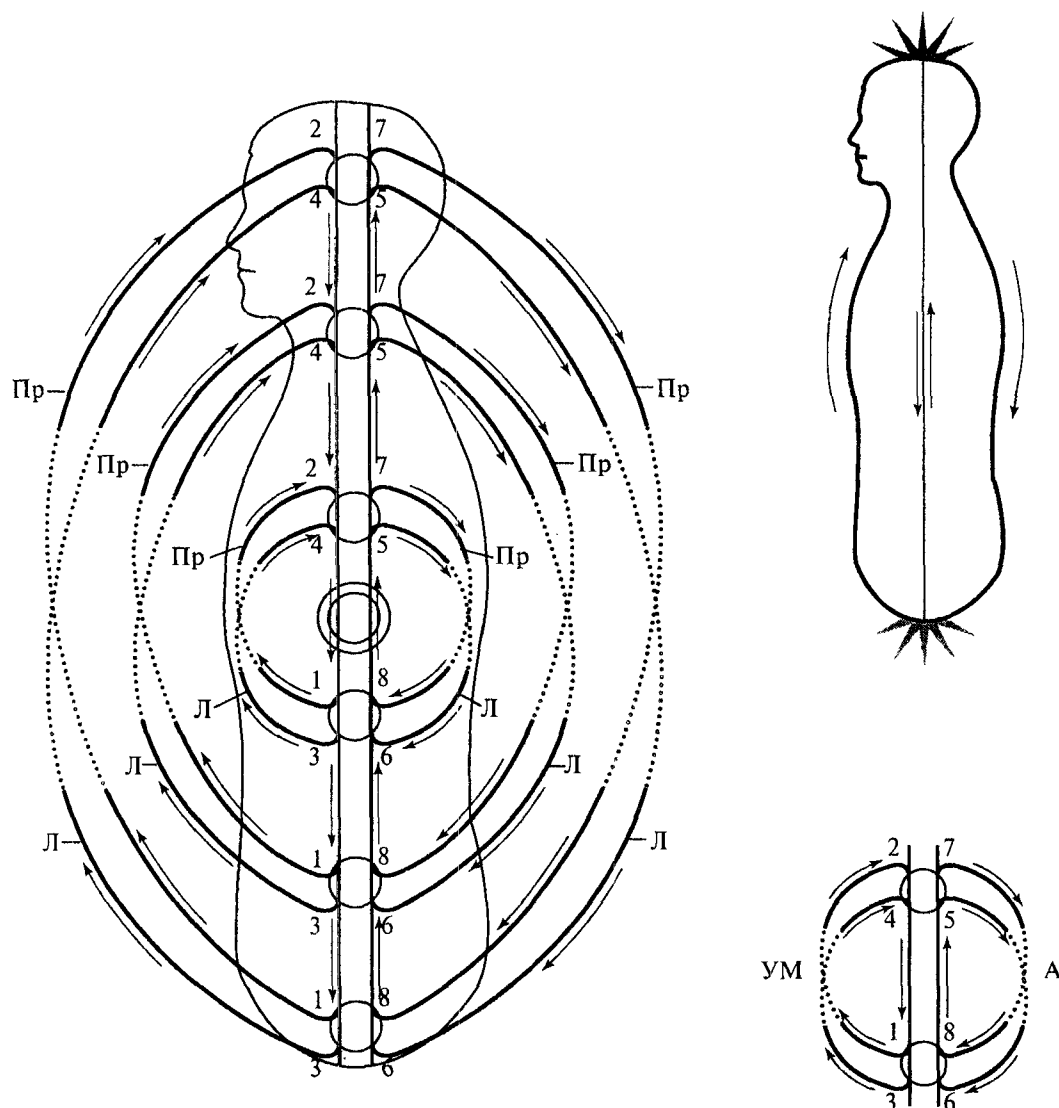


Рис. 188. Циркуляция энергии в периферических меридианах тела под влиянием индивидуальных энергий центрального пограничного меридиана при преобладании сагиттальной оси.

Циркуляция индивидуальных энергий в центральном пограничном и сагиттальном сердцевином меридианах обеспечивает движение энергии: выше диафрагмы (А) — сначала по А-меридианам, затем по УМ-меридианам; а ниже диафрагмы (Б) — сначала по УМ-меридианам, а затем по А-меридианам, образуя круги по два меридиана слева и справа.

А — А-меридианы  
УМ — УМ-меридианы



ис. 189. Циркуляция энергии в периферических меридианах тела под влиянием индивидуальных энергий центрального пограничного и вертикального сердцевинного меридианов.  
 Циркуляция индивидуальных энергий в центральном пограничном и вертикальном сердцевинном меридианах обеспечивает движение энергии в системе четырех А-меридианов и в системе четырех УМ-меридианов двух чакр.  
 Циркуляция на Инь-поверхности: правый нижний (1) — правый верхний (2) — передний вертикальный сердцевинный — левый нижний (3) — левый верхний (4) — передний вертикальный сердцевинный.  
 Циркуляция на Ян-поверхности: левый верхний (5) — левый нижний (6) — задний вертикальный сердцевинный — правый верхний (7) — правый нижний (8) — задний вертикальный сердцевинный.  
 Пр — меридиан правой половины тела  
 Л — меридиан левой половины тела

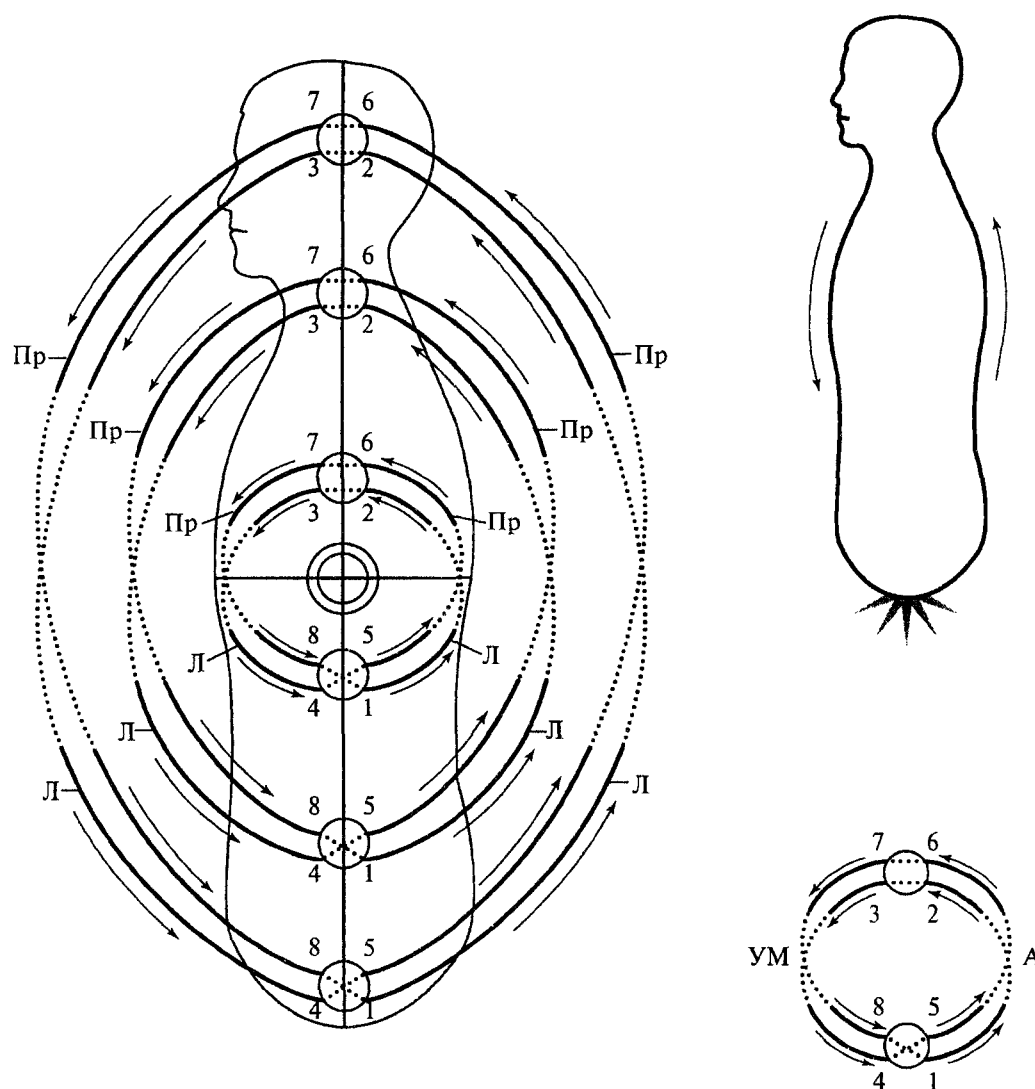
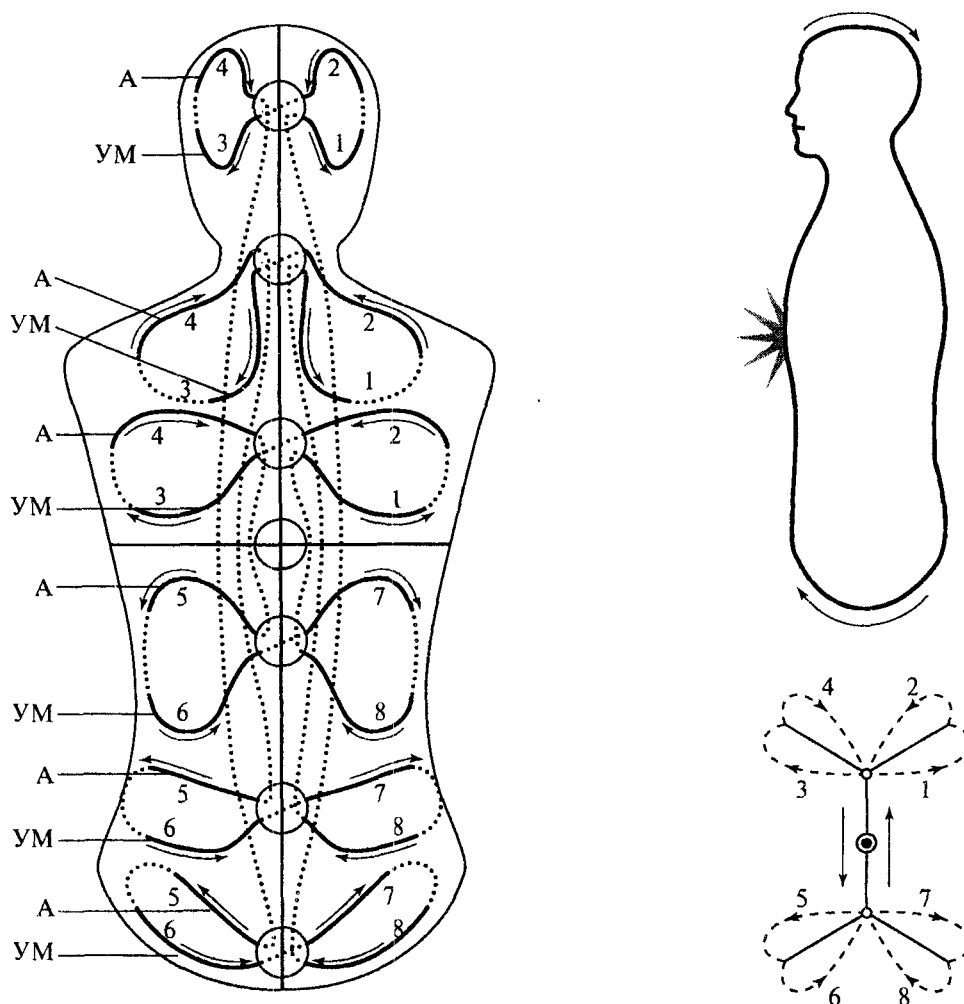


Рис. 190. Циркуляция энергии в периферических меридианах тела под влиянием единой энергии центрального пограничного меридиана при преобладании нижней чакры.

Циркуляция единой энергии в центральном пограничном меридиане под влиянием нижней чакры может обеспечивать последовательное движение энергии в системе восьми меридианов, связанных с двумя чакрами: А левый нижний (1) — А левый верхний (2) — УМ левый верхний (3) — УМ левый нижний (4) — А правый нижний (5) — А правый верхний (6) — УМ правый верхний (7) — УМ правый нижний (8).

Пр — меридиан правой половины тела

Л — меридиан левой половины тела



ис. 191. Циркуляция энергии в периферических меридианах тела под влиянием единой энергии центрального пограничного меридиана при преобладании передней чакры.

Циркуляция единой энергии в центральном пограничном меридиане под влиянием передней чакры может вызывать последовательное движение энергии в системе восьми меридианов, связанных с двумя чакрами: УМ верхний левый (1) — А верхний левый (2) — УМ верхний правый (3) — А верхний правый (4) — А нижний правый (5) — УМ нижний правый (6) — А нижний левый (7) — УМ нижний левый (8).

А — А-меридианы

УМ — УМ-меридианы

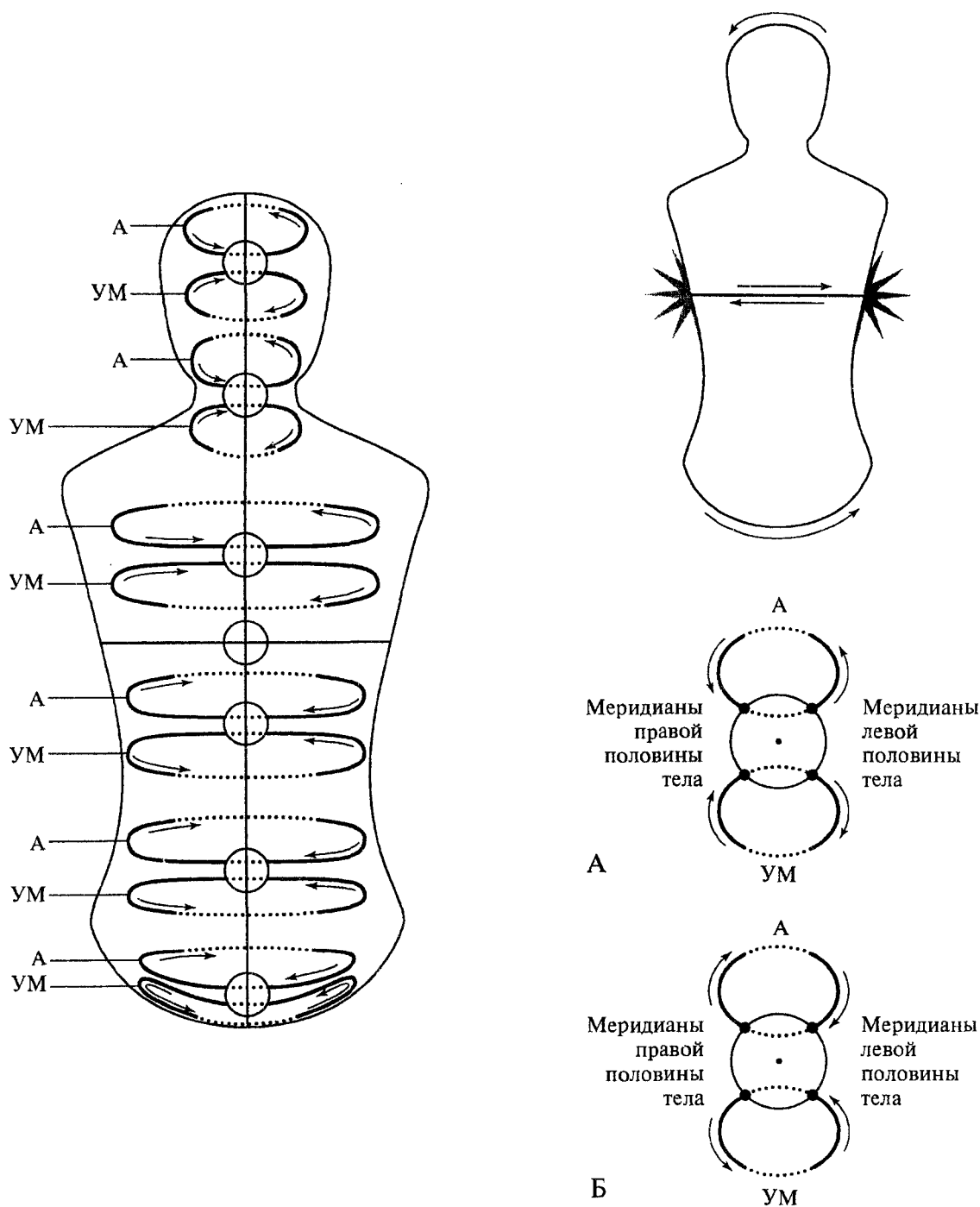


Рис. 192. Циркуляция энергии в периферических меридианах тела под влиянием индивидуальных энергий бокового пограничного меридиана при преобладании фронтальной оси.

Циркуляция индивидуальных энергий в боковых пограничных и фронтальных сердцевинных меридианах инициирует движение энергии в периферических меридианах, образуя круги по два меридиана сзади и спереди: выше диафрагмы (А) энергия сначала направляется в левые меридианы, затем в правые; ниже диафрагмы (Б)— сначала в правые, затем в левые меридианы.

А — А-меридианы

УМ — УМ-меридианы



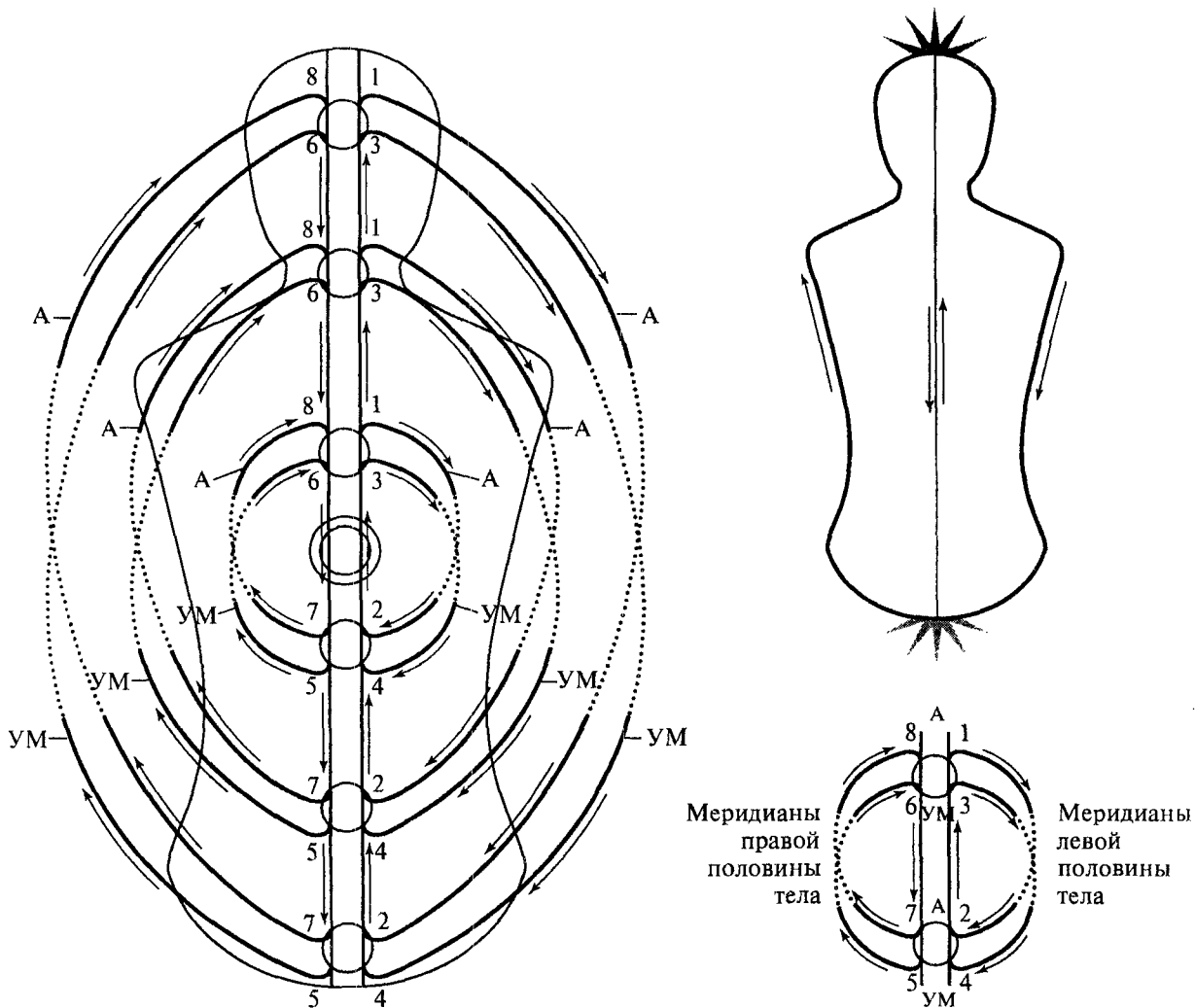


рис. 193. Циркуляция энергии в периферических меридианах тела под влиянием индивидуальных энергий бокового пограничного меридиана при преобладании вертикальной оси.

Циркуляция индивидуальных энергий в боковом пограничном и вертикальных сердцевинных меридианах обеспечивает движение энергии в двух чакрах и четырех меридианах каждой стороны.

Слева энергия направляется сверху вниз: верхний А (1) — нижний А (2) — левый вертикальный сердцевинный меридиан — верхний УМ (3) — нижний УМ (4) — левый вертикальный сердцевинный меридиан.

Справа энергия направляется снизу вверх: нижний УМ (5) — верхний УМ (6) — правый вертикальный сердцевинный меридиан — нижний А (7) — верхний А (8) — правый вертикальный сердцевинный меридиан.

А — А-меридианы

УМ — УМ-меридианы

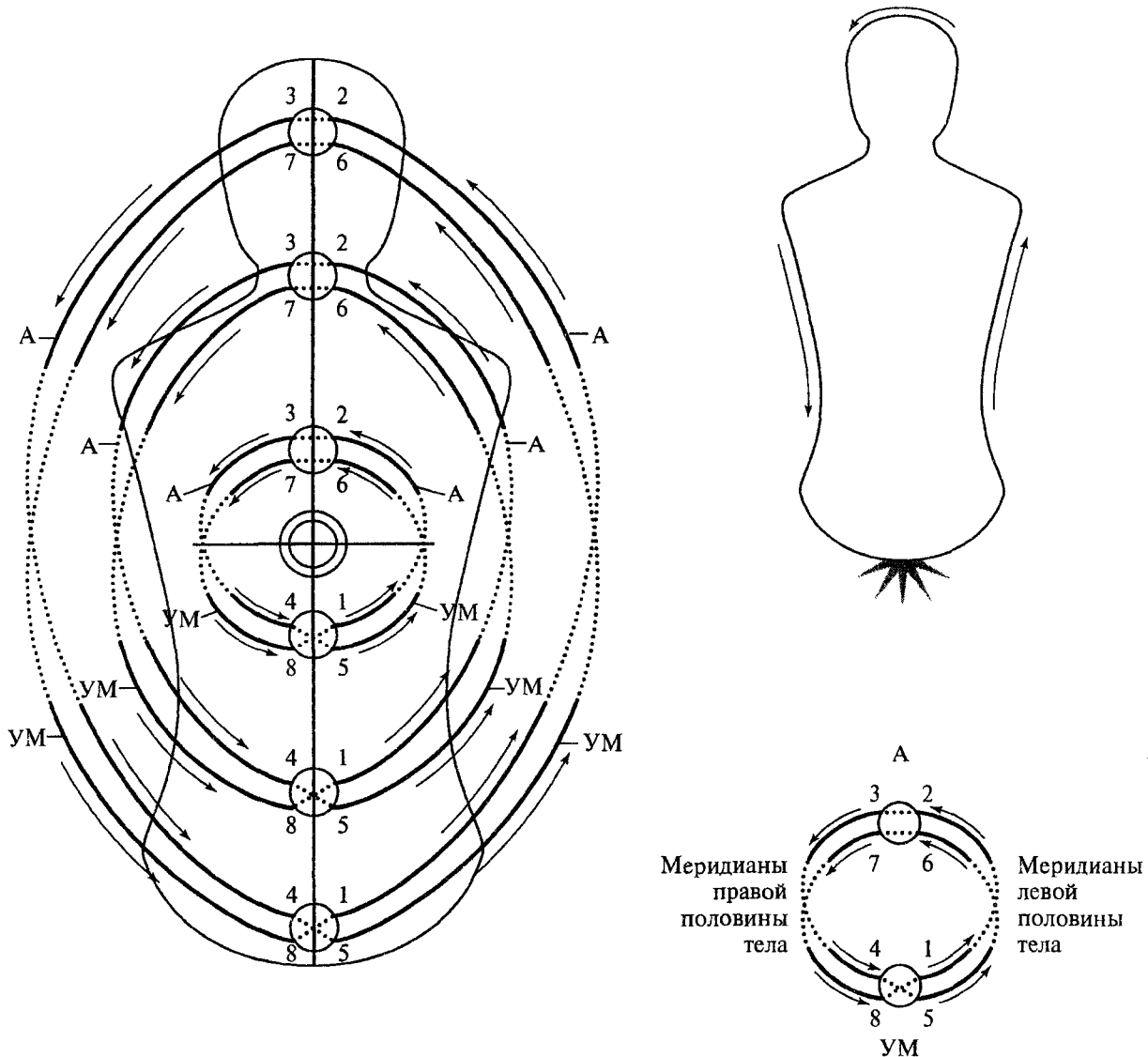


Рис. 194. Циркуляция энергии в периферических меридианах тела под влиянием единой энергии бокового пограничного меридиана при преобладании нижней чакры.

Циркуляция единой энергии в боковом пограничном меридиане под влиянием нижней чакры может инициировать движение энергии в восьми меридианах, связанных двумя чакрами (против хода часовой стрелки): А левый нижний (1) — А левый верхний (2) — А правый верхний (3) — А правый нижний (4) — УМ левый нижний (5) — УМ левый верхний (6) — УМ правый верхний (7) — УМ правый нижний (8).

А — А-меридианы  
УМ — УМ-меридианы

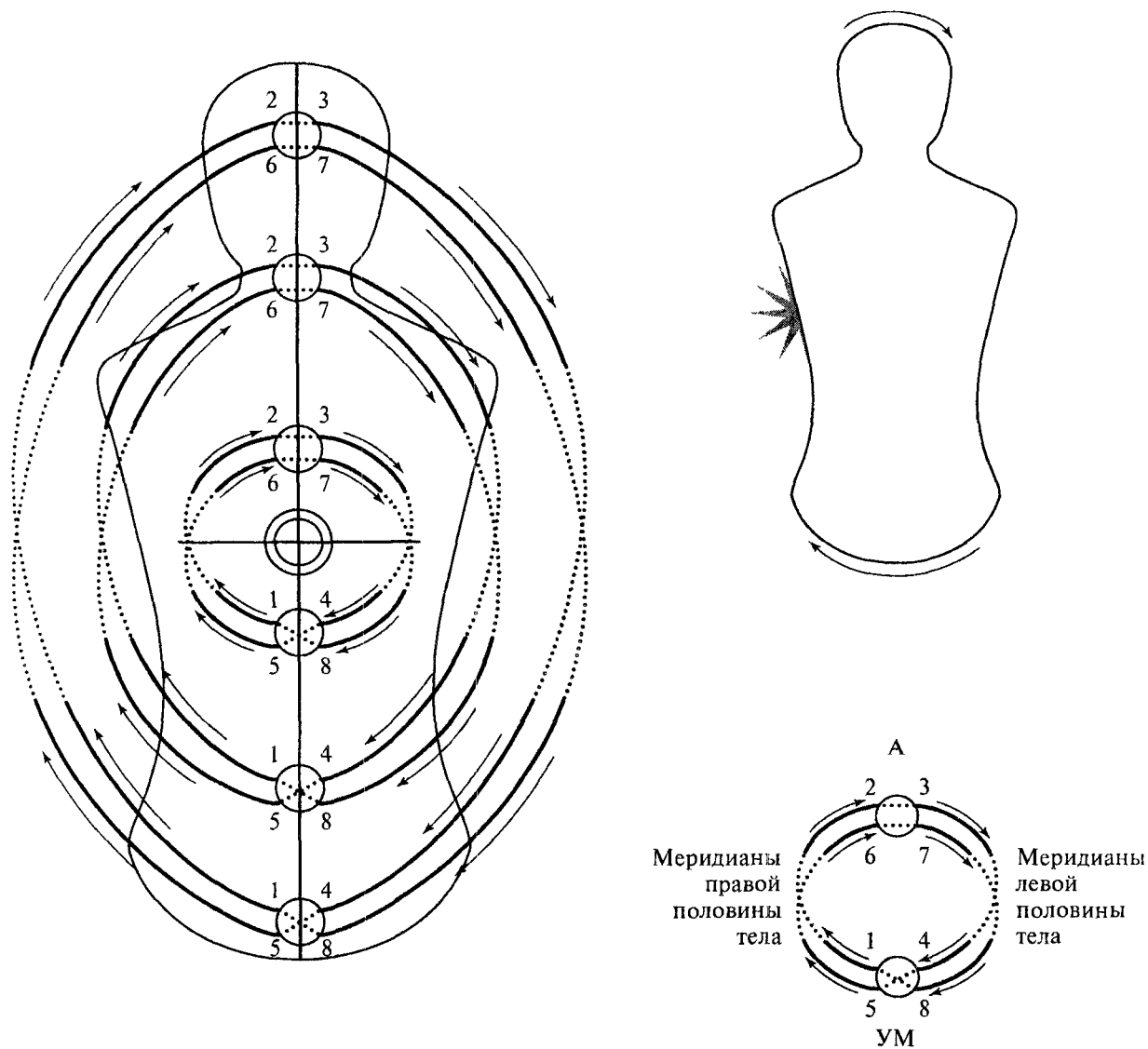


Рис. 195. Циркуляция энергии в периферических меридианах тела под влиянием единой энергии бокового пограничного меридиана при преобладании правой чакры.

Циркуляция единой энергии в боковом пограничном меридиане под влиянием правой чакры может вызывать движение энергии в восьми меридианах, связанных двумя чакрами (по ходу часовой стрелки): А правый нижний (1) — А правый верхний (2) — А левый верхний (3) — А левый нижний (4) — УМ правый нижний (5) — УМ правый верхний (6) — УМ левый верхний (7) — УМ левый нижний (8).

*Часть II*

***ЭНЕРГЕТИЧЕСКИЕ СИСТЕМЫ  
ОТДЕЛЬНЫХ ЧАСТЕЙ ТЕЛА***

Энергетическая система человеческого тела имеет сложное иерархическое строение и сформирована в соответствии с универсальным законом подобия. Это означает, что единая энергетическая система всего тела представляет собой совокупность бесчисленного количества энергетических систем отдельных его частей и органов, имеющих общий план строения.

Каждая часть тела человека, являясь, таким образом, составным элементом единой энергетической системы, имеет собственную миниатюрную энергетическую систему. Все эти маленькие энергетические системы отдельных частей тела находятся во взаимодействии с энергетической системой самого тела, что способствует сохранению жизни.

Среди энергетических систем отдельных частей тела наиболее удобны и эффективны при лечении системы участков тела, имеющие выраженное подобие с телом и расположенные дистально (рис. 196).

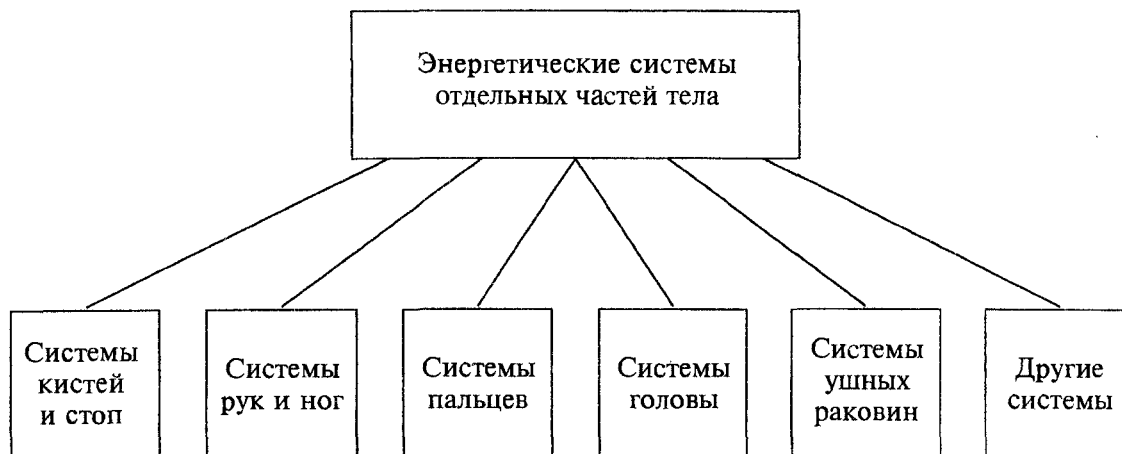


Рис. 196. Наиболее часто применяемые в лечебных целях энергетические системы отдельных частей тела

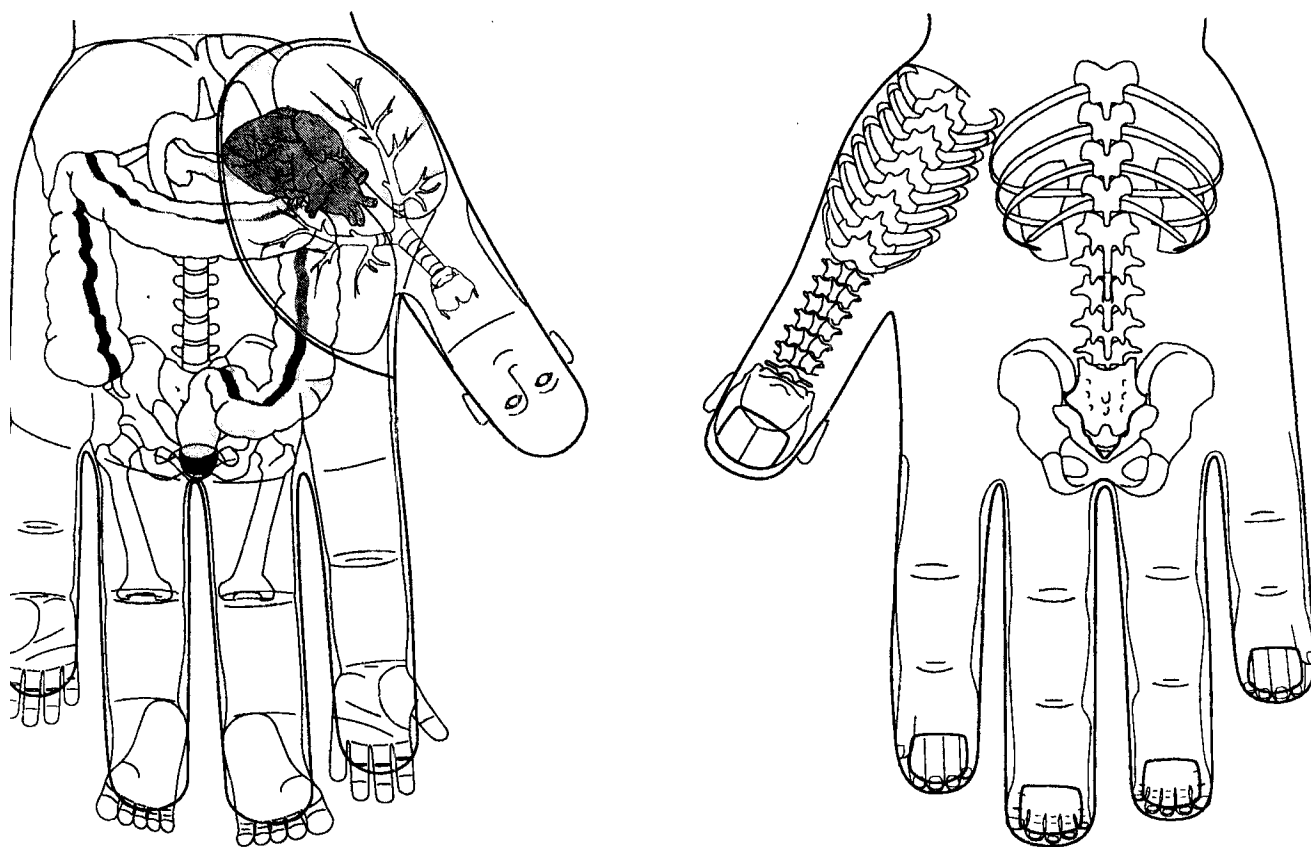
Анатомические особенности этих частей тела определяют преимущественное их использование для целенаправленного воздействия на центральную или периферическую часть единой энергетической системы.

Так, через системы конечностей, головы и ушных раковин удобно оказывать воздействие на центральную энергетическую систему. В то время как структура кистей и стоп позволяет легко определять топографию периферических бель-меридианов.

Таким образом, знание основных принципов организации единой энергетической системы тела человека позволяет выбрать наиболее эффективный и удобный путь воздействия в любых случаях.

## Глава 1. Энергетическая система кистей

Кисти обладают большим подобием с телом человека, чем какие-либо другие его части, этому на кистях хорошо представлены все элементы энергетической системы тела, включая дифференциальные меридианы.



с. 197. *Индивидуальная стандартная система соответствия телу на кистях.*

*В индивидуальных стандартных системах соответствия телу на кистях соответствия голове и шее находятся на больших пальцах, соответствия груди и животу — на ладонных частях кистей, соответствия конечностям — на II — V пальцах. Передняя половина тела проецируется на Инь-поверхности кистей, задняя половина тела — на их Ян-поверхности. В соответствии с этим проецируется энергетическая система тела.*

### 1.1. Внешние и внутренние бель-чакры кистей

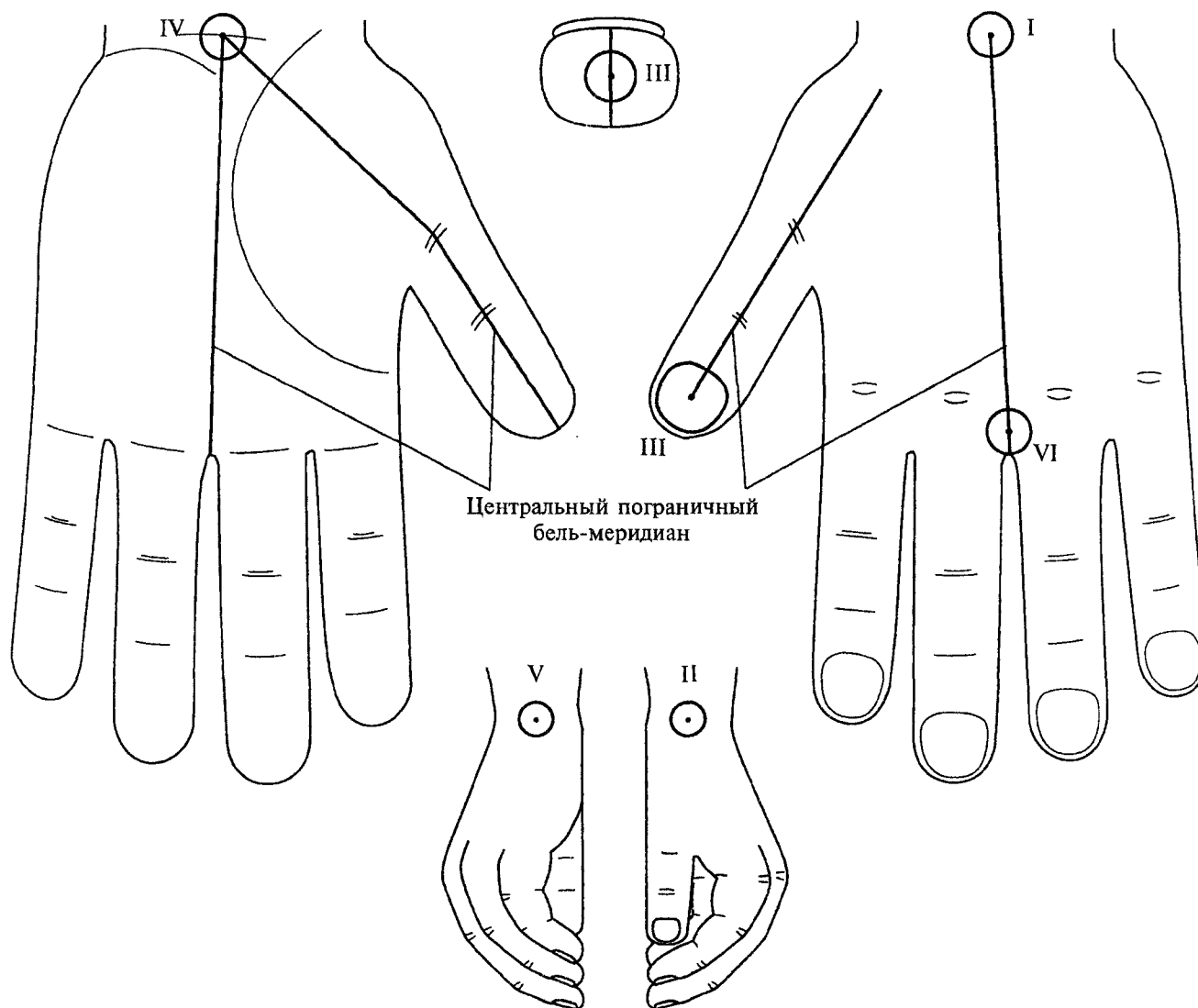


Рис. 198. Топография внешних бель-чакр на левой кисти.

**I — задняя внешняя бель-чакра ветра**

Расположение: в середине Ян-поверхности лучезапястного сустава.

**II — левая внешняя бель-чакра тепла**

Расположение: в анатомической табакерке (ямка между шиловидным отростком лучевой кости и основанием I пястной кости).

**III — верхняя внешняя бель-чакра жара**

Имеет два варианта расположения на кисти: на кончике большого пальца или на ногте.

**IV — передняя внешняя бель-чакра влажности**

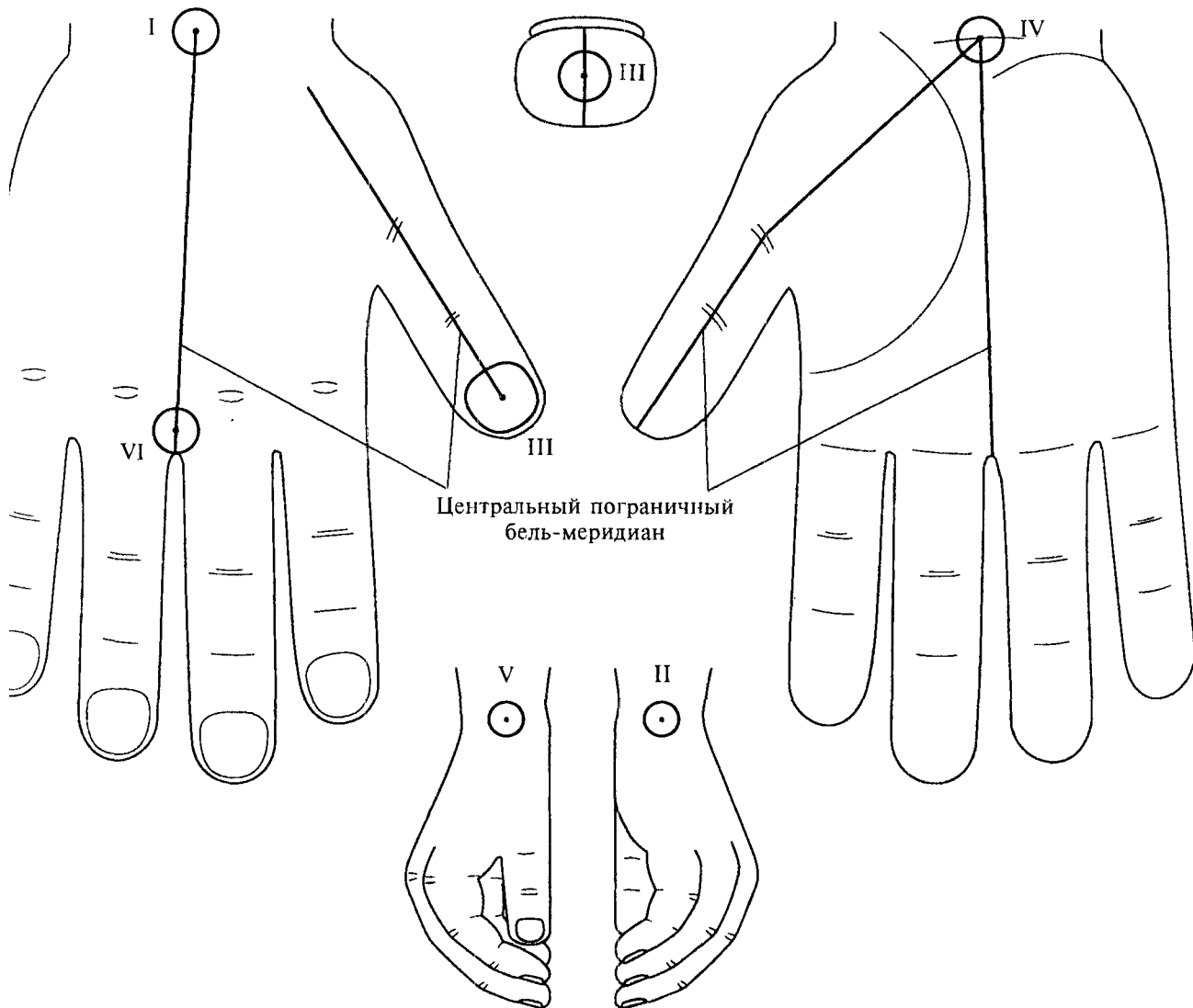
Расположение: на середине кожной складки Инь-поверхности лучезапястного сустава.

**V — правая внешняя бель-чакра сухости**

Расположение: в области лучезапястного сустава, чуть ниже шиловидного отростка локтевой кости, на границе Инь-Ян кисти.

**VI — нижняя внешняя бель-чакра холода**

Расположение: на Ян-поверхности, между основаниями проксимальных фаланг III и IV пальцев.



с. 199. Топография внешних бель-чакр на правой кисти.

**I — задняя внешняя бель-чакра**  
 Ра  
 :положение: в середине Ян-по-  
 хности лучезапястного сустава.  
**II — левая внешняя бель-чакра**  
 Вла  
 :положение: в области лучезапяст-  
 о сустава, чуть ниже шиловидно-  
 отростка локтевой кости, на гра-  
 це Инь-Ян кисти.

**III — верхняя внешняя бель-чакра**  
 Жара  
 Имеет два варианта расположения  
 на кисти: на кончике большого  
 пальца или на ногте.  
**IV — передняя внешняя бель-чакра**  
 Влажности  
 Расположение: на середине кожной  
 складки Инь-поверхности лучеза-  
 пястного сустава.

**V — правая внешняя бель-чакра**  
 Сухости  
 Расположение: в анатомической та-  
 бакерке (ямка между шиловидным  
 отростком лучевой кости и основа-  
 нием I пястной кости).  
**VI — нижняя внешняя бель-чакра**  
 Холода  
 Расположение: на Ян-поверхности,  
 между основаниями проксимальных  
 фаланг III и IV пальцев.



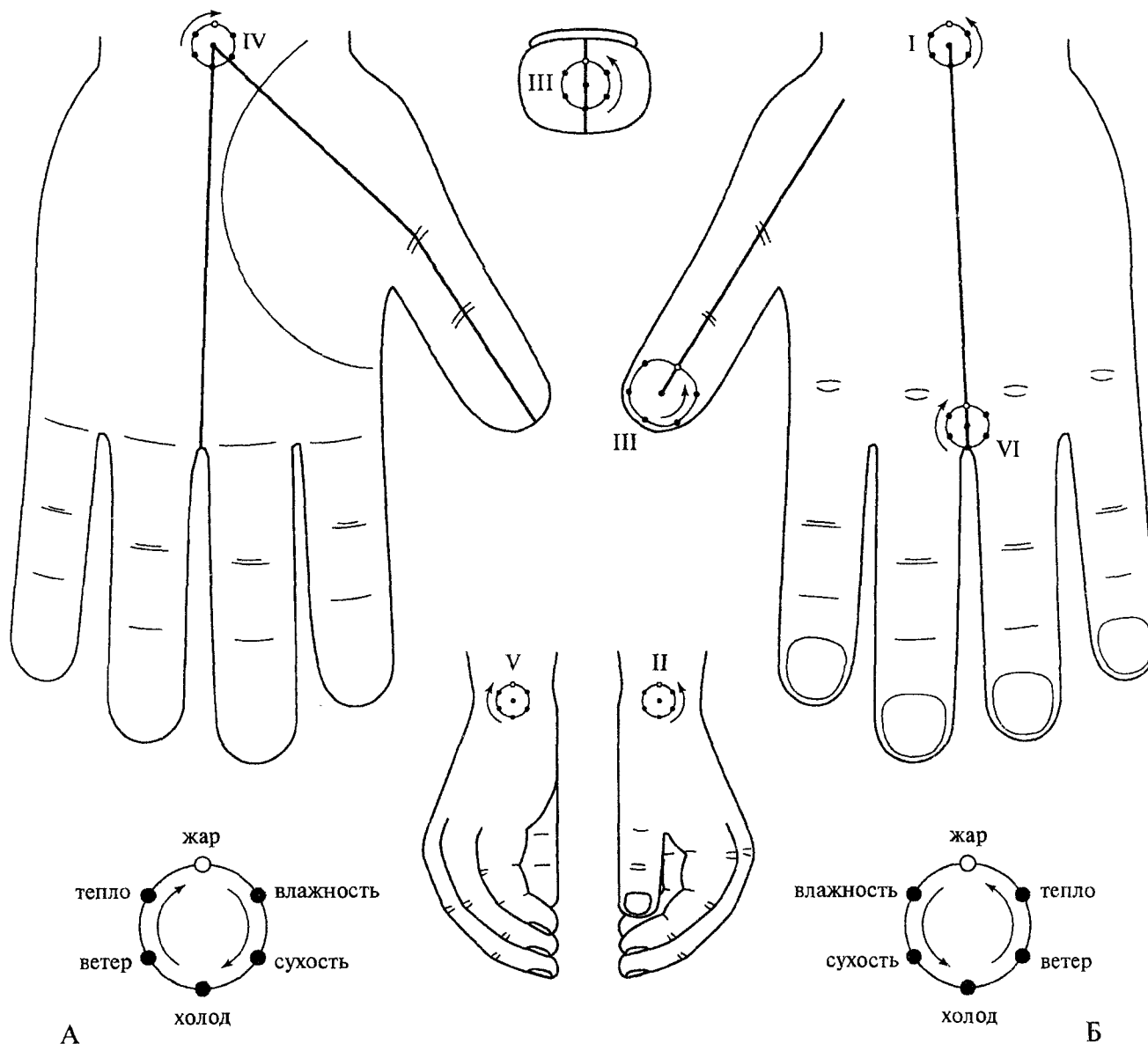


Рис. 200. Точки единых Шести Энергий внешних бель-чакр на левой кисти.

Точки единых Шести Энергий располагаются вокруг центральной точки внешней чакры на окружности с радиусом 3—4 мм. Точка жара всегда занимает самое верхнее положение на окружности, точка холода— самое нижнее положение.

А — Гомо-циркуляция, свойственная чакрам влажности, сухости, холода

Б — Гетеро-циркуляция, характерная для чакр ветра, тепла, жара

I — задняя внешняя бель-чакра ветра

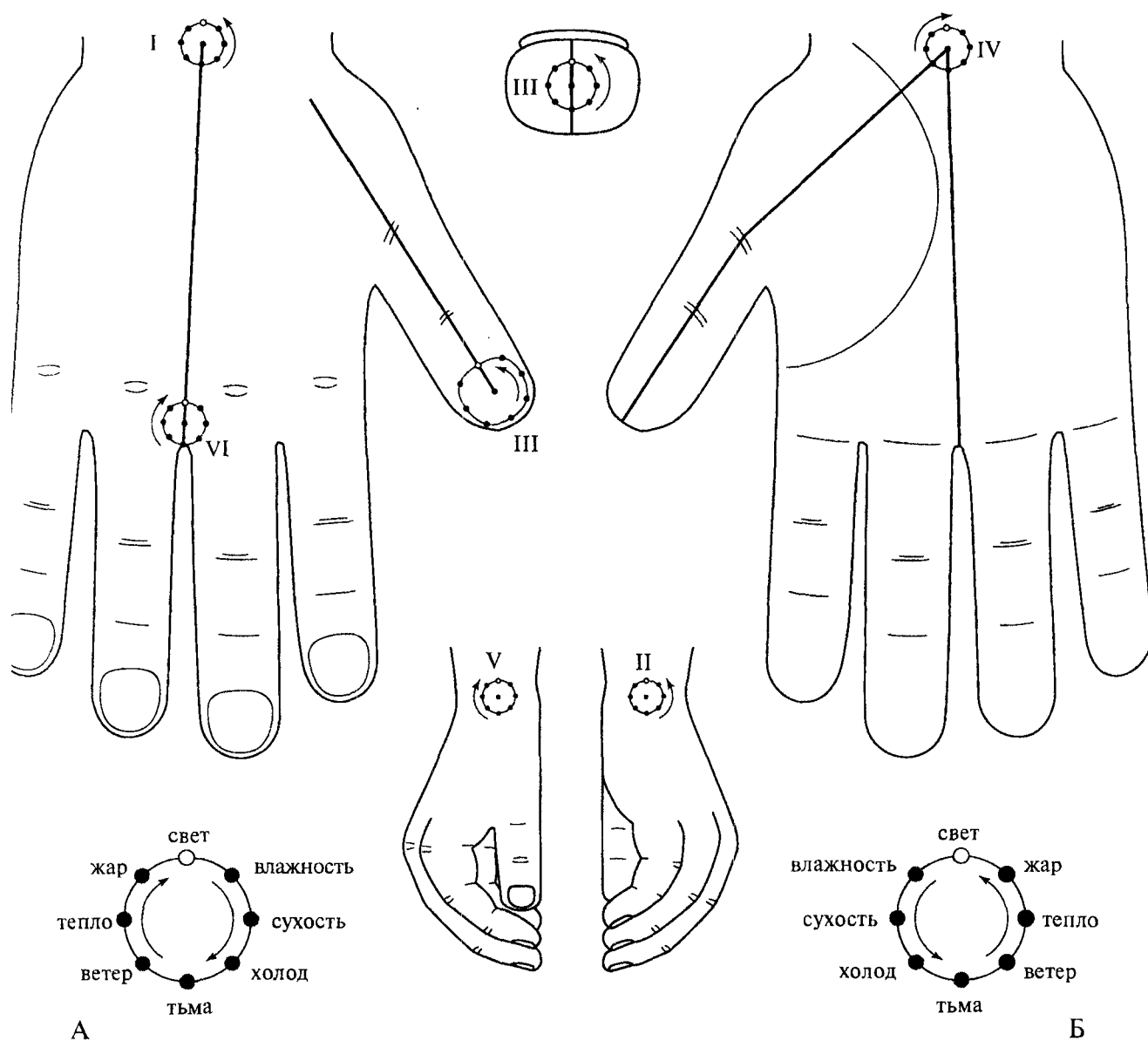
II — левая внешняя бель-чакра тепла

III — верхняя внешняя бель-чакра жара

IV — передняя внешняя бель-чакра влажности

V — правая внешняя бель-чакра сухости

VI — нижняя внешняя бель-чакра холода



ис. 201. Точки единых Восьми Энергий внешних бель-чакр на правой кисти.

Точки единых Восьми Энергий располагаются вокруг центральной точки внешней чакры на окружности с радиусом 3—4 мм. Точка света всегда занимает самое верхнее положение на окружности, точка тьмы — самое нижнее положение.

А — Гомо-циркуляция, свойственная чакрам влажности, сухости, холода

Б — Гетеро-циркуляция, характерная для чакр ветра, тепла, жара

I — задняя внешняя бель-чакра ветра

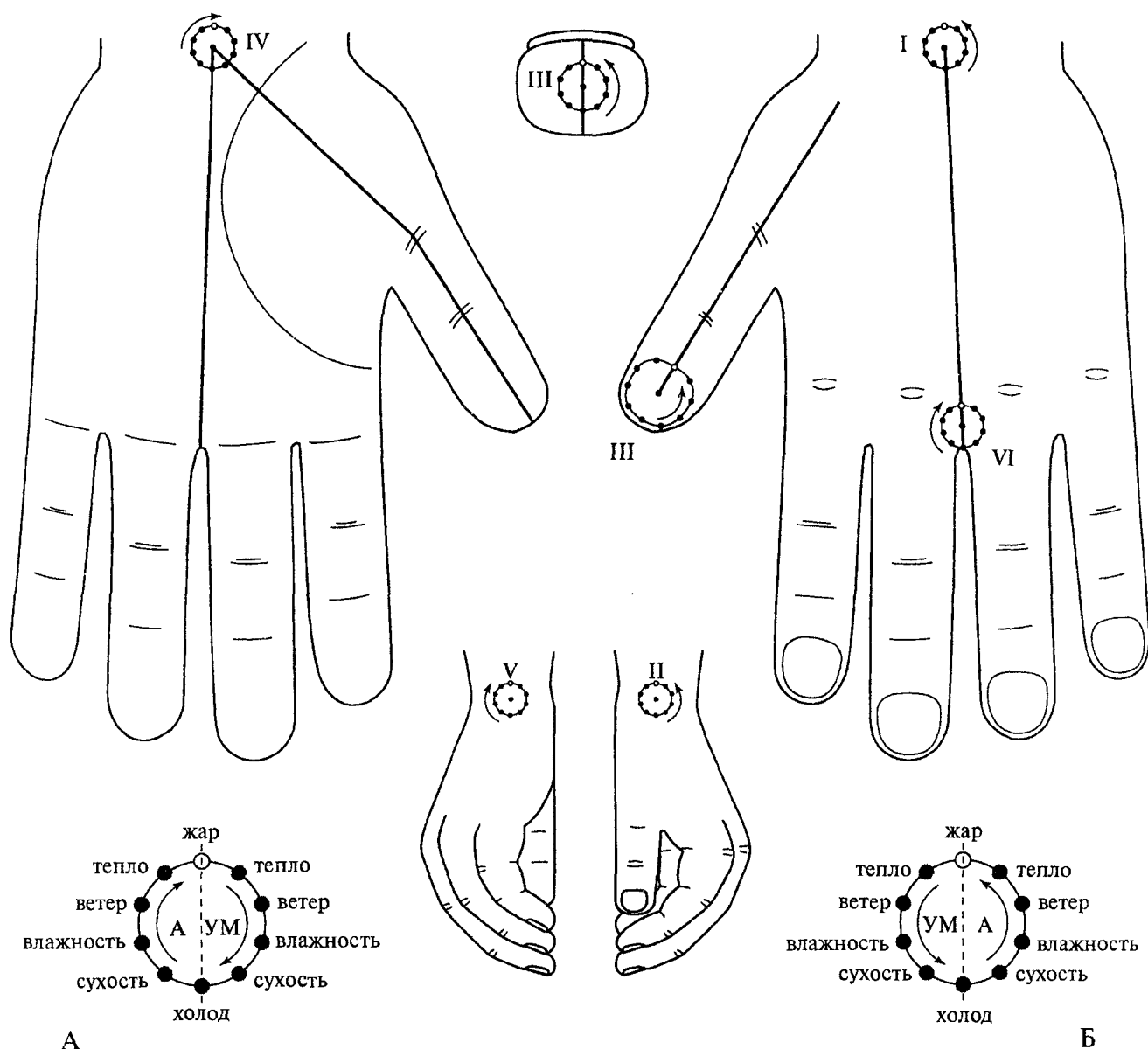
II — левая внешняя бель-чакра тепла

III — верхняя внешняя бель-чакра жара

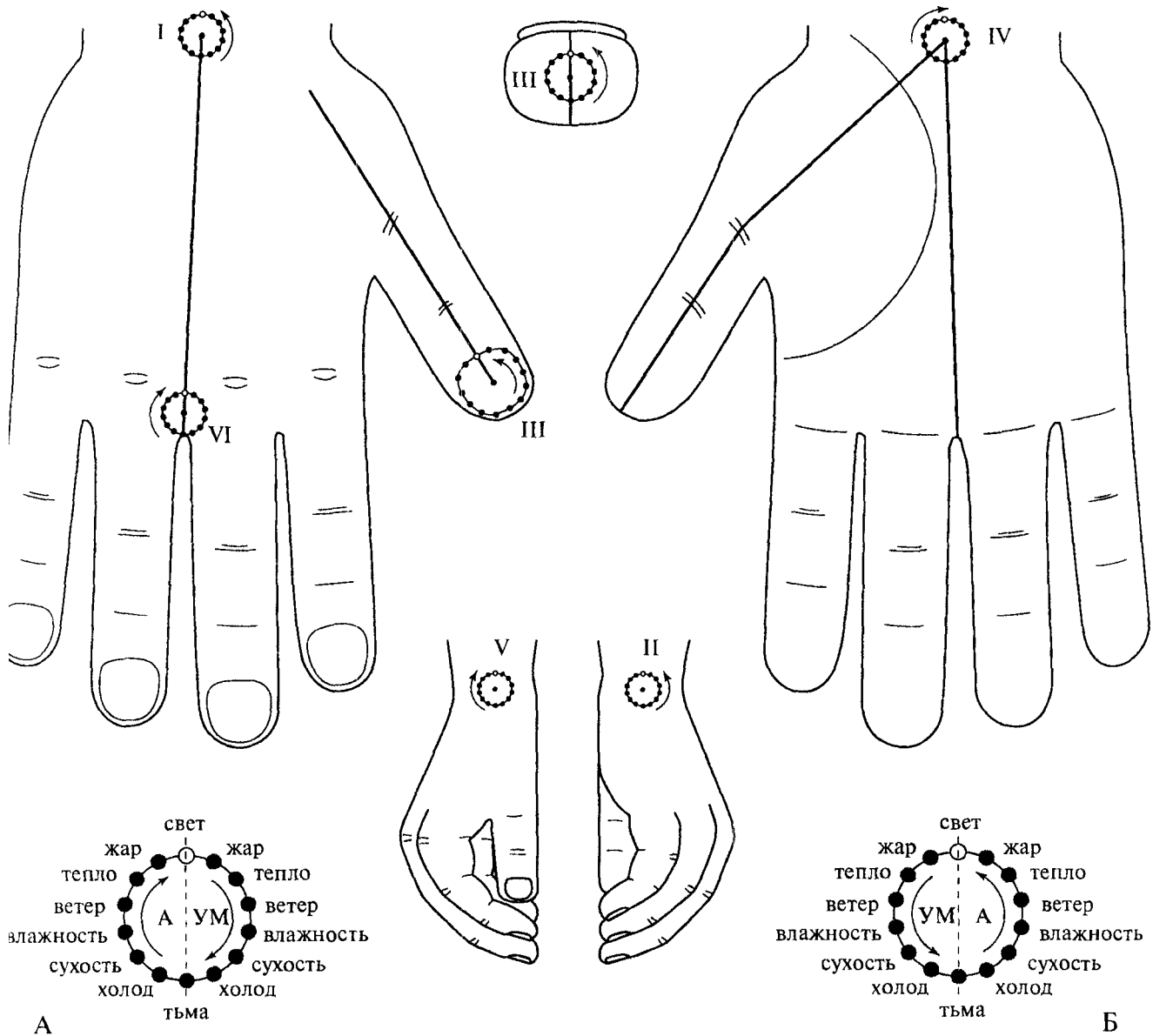
IV — передняя внешняя бель-чакра влажности

V — правая внешняя бель-чакра сухости

VI — нижняя внешняя бель-чакра холода



**Рис. 202.** Точки индивидуальных Шести Энергий внешних бель-чакр на левой кисти.  
 Точки индивидуальных Шести Энергий также располагаются на окружности с радиусом 3—4 мм. Точка жара— самая верхняя, а точка холода— самая нижняя на окружности. Точки остальных энергий располагаются в соответствии с прогрессивным типом циркуляции (холод-сухость-влажность-ветер-тепло-жар). Используется вертикальный тип деления чакры с последовательной циркуляцией сначала А-энергий, затем УМ-энергий.  
 А — Гомо-циркуляция, свойственная чакрам влажности, сухости, холода  
 Б — Гетеро-циркуляция, характерная для чакр ветра, тепла, жара  
 I — задняя внешняя бель-чакра ветра  
 II — левая внешняя бель-чакра тепла  
 III — верхняя внешняя бель-чакра жара  
 IV — передняя внешняя бель-чакра влажности  
 V — правая внешняя бель-чакра сухости  
 VI — нижняя внешняя бель-чакра холода



ис. 203. Точки индивидуальных Восьми Энергий внешних бель-чакр на правой кисти.

Точки индивидуальных Восьми Энергий также располагаются на окружности с радиусом 3—4 мм. Точка света—самая верхняя, а точка тьмы—самая нижняя на окружности. Точки остальных энергий располагаются в соответствии с прогрессивным типом циркуляции (тьма-холод-сухость-влажность-ветер-тепло-жар-свет). Используется вертикальный тип деления чакры с последовательной циркуляцией сначала А-энергий, затем УМ-энергий.

А — Гомо-циркуляция; свойственная чакрам влажности, сухости, холода

Б — Гетеро-циркуляция, характерная для чакр ветра, тепла, жара

І — задняя внешняя бель-чакра ветра

ІІ — левая внешняя бель-чакра тепла

ІІІ — верхняя внешняя бель-чакра жара

ІV — передняя внешняя бель-чакра влажности

V — правая внешняя бель-чакра сухости

VI — нижняя внешняя бель-чакра холода

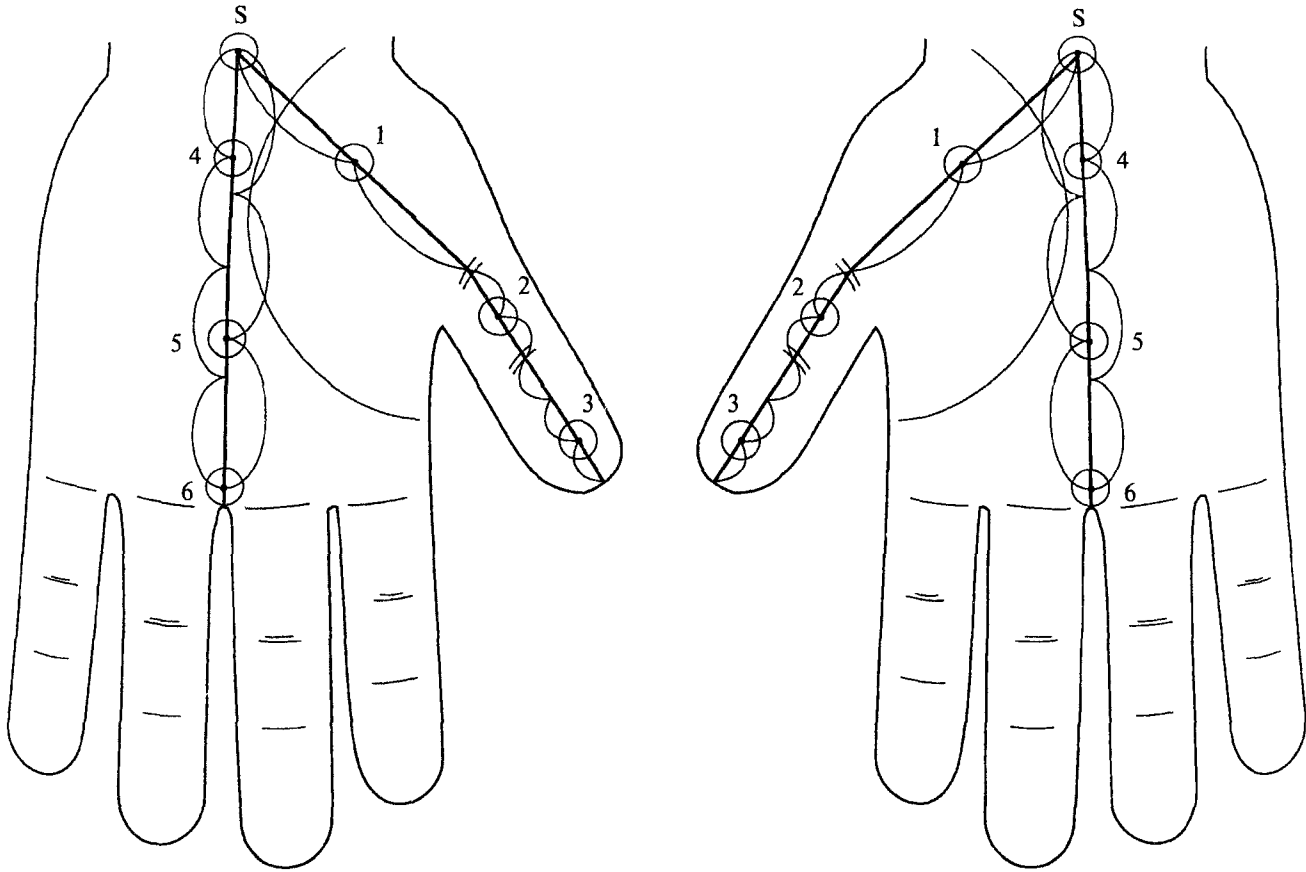


Рис. 204. Топография внутренних бель-чакр на Инь-поверхности кистей.

Для поиска места расположения бель-чакр используют деление кисти на пропорциональные отрезки.

**S — солнечная бель-чакра**

Расположение: в области кожного треугольника на середине лучезапястного сустава.

**1 — бель-чакра ветра**

Расположение: в проекции грудной клетки. Расстояние от кожной складки у основания большого пальца до проекции солнечной чакры (нижней линии диафрагмы) делится на две равные части, и здесь располагается ее центр.

**2 — бель-чакра тепла**

Расположение: ее центр находится на середине проксимальной фаланги большого пальца.

**3 — бель-чакра жара**

Расположение: ее центр находится между верхней и средней третями дистальной фаланги большого пальца по средней линии.

**4 — бель-чакра влажности**

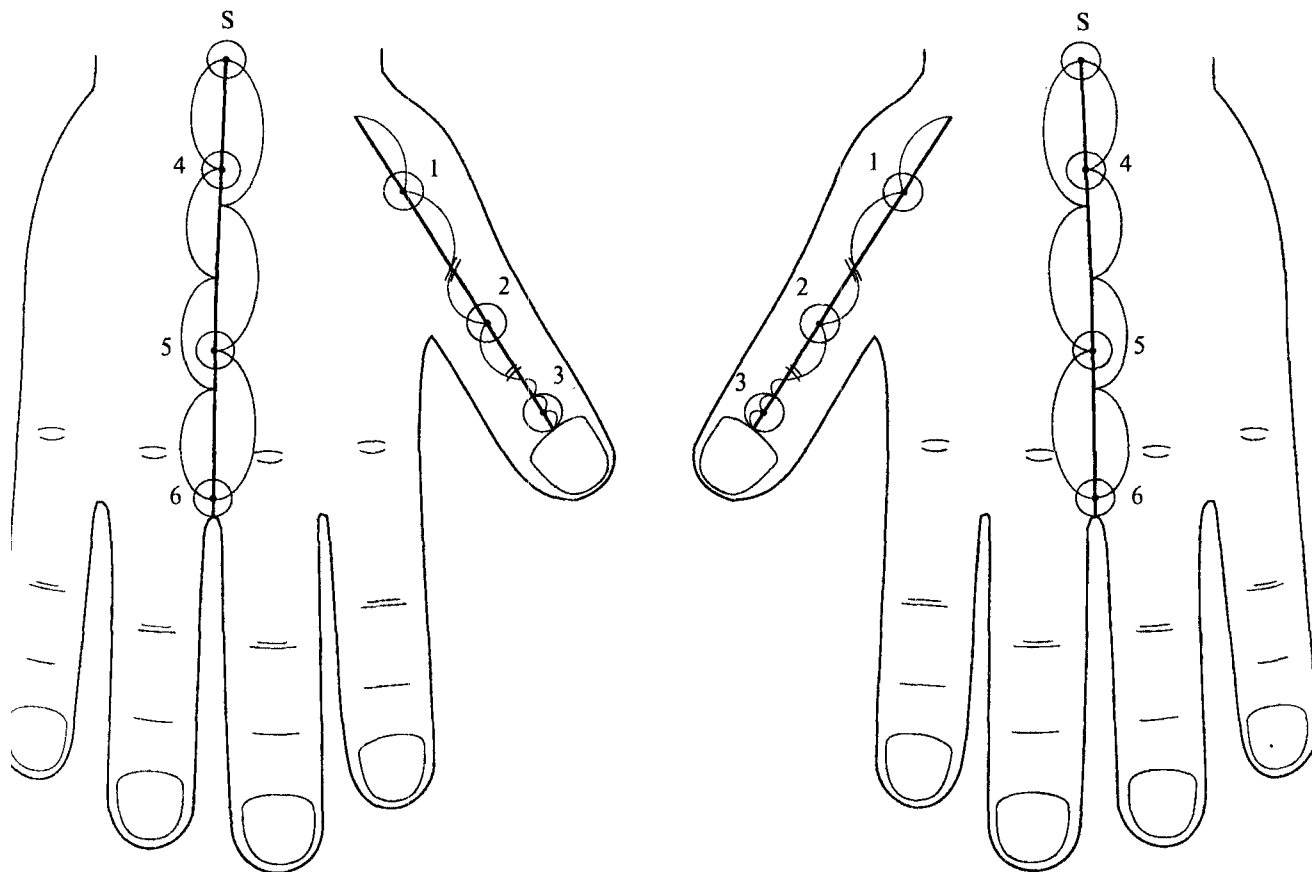
Расположение: вниз на 1/4 расстояния от солнечной бель-чакры до бель-чакры холода.

**5 — бель-чакра сухости**

Расположение: ее центр располагается вверх на 1/3 расстояния от бель-чакры холода до солнечной бель-чакры.

**6 — бель-чакра холода**

Расположение: в области кожной складки между III и IV пальцами.



ис. 205. Топография внутренних бель-чакр на Ян-поверхности кистей.

Для поиска места расположения бель-чакр используют деление кисти на пропорциональные отрезки.

— **солнечная бель-чакра**  
исположение: на середине линии  
чезапястного сустава.  
— **бель-чакра ветра**  
исположение: на середине первой  
истной кости.  
— **бель-чакра тепла**  
исположение: на середине прокси-  
альной фаланги большого пальца.

**3 — бель-чакра жара**  
Расположение: на дистальной фа-  
ланге большого пальца, на 1/3 рас-  
стояния от корня ногтя до сустава.  
**4 — бель-чакра влажности**  
Расположение: ниже солнечной  
бель-чакры на 1/4 расстояния от  
проекции солнечной чакры до бель-  
чакры холода.

**5 — бель-чакра сухости**  
Расположение: вверх на 1/3 рассто-  
яния от бель-чакры холода до проек-  
ции солнечной чакры.  
**6 — бель-чакра холода**  
Расположение: между основаниями  
проксимальных фаланг III и IV паль-  
цев кисти.

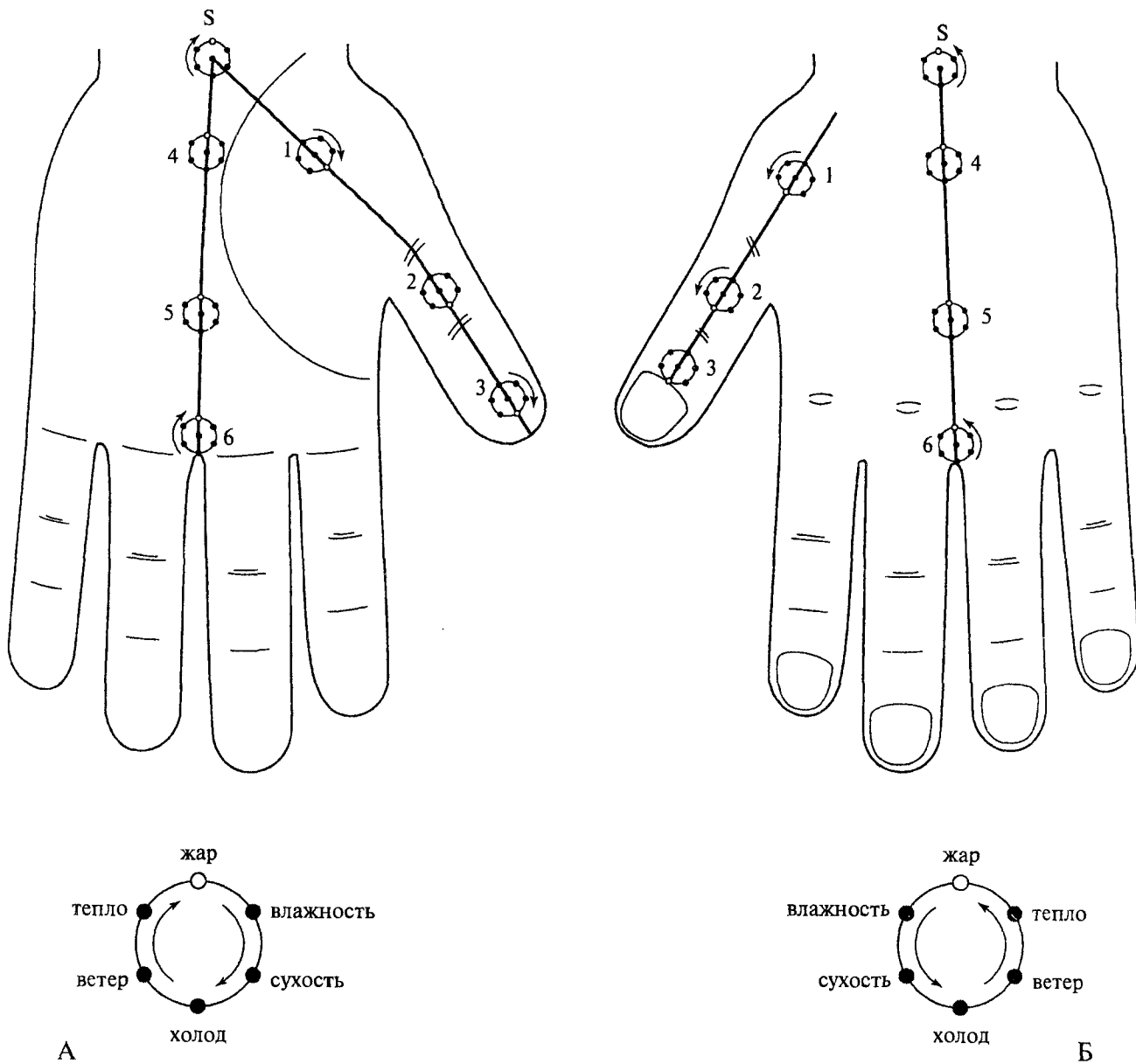


Рис. 206. Точки единых Шести Энергий внутренних бей-чакр на левой кисти.

Точки единых Шести Энергий располагаются на окружности с радиусом 3—4 мм. Точка жара—самая верхняя, а точка холода—самая нижняя на окружности. Распределение точек единых энергий внутренних бей-чакр на Инь-поверхности соответствует Гомо-циркуляции по часовой стрелке (А), на Ян-поверхности—Гетеро-циркуляции против часовой стрелки (Б).

- |                         |                         |
|-------------------------|-------------------------|
| S — солнечная бей-чакра | 4 — бей-чакра влажности |
| 1 — бей-чакра ветра     | 5 — бей-чакра сухости   |
| 2 — бей-чакра тепла     | 6 — бей-чакра холода    |
| 3 — бей-чакра жара      |                         |

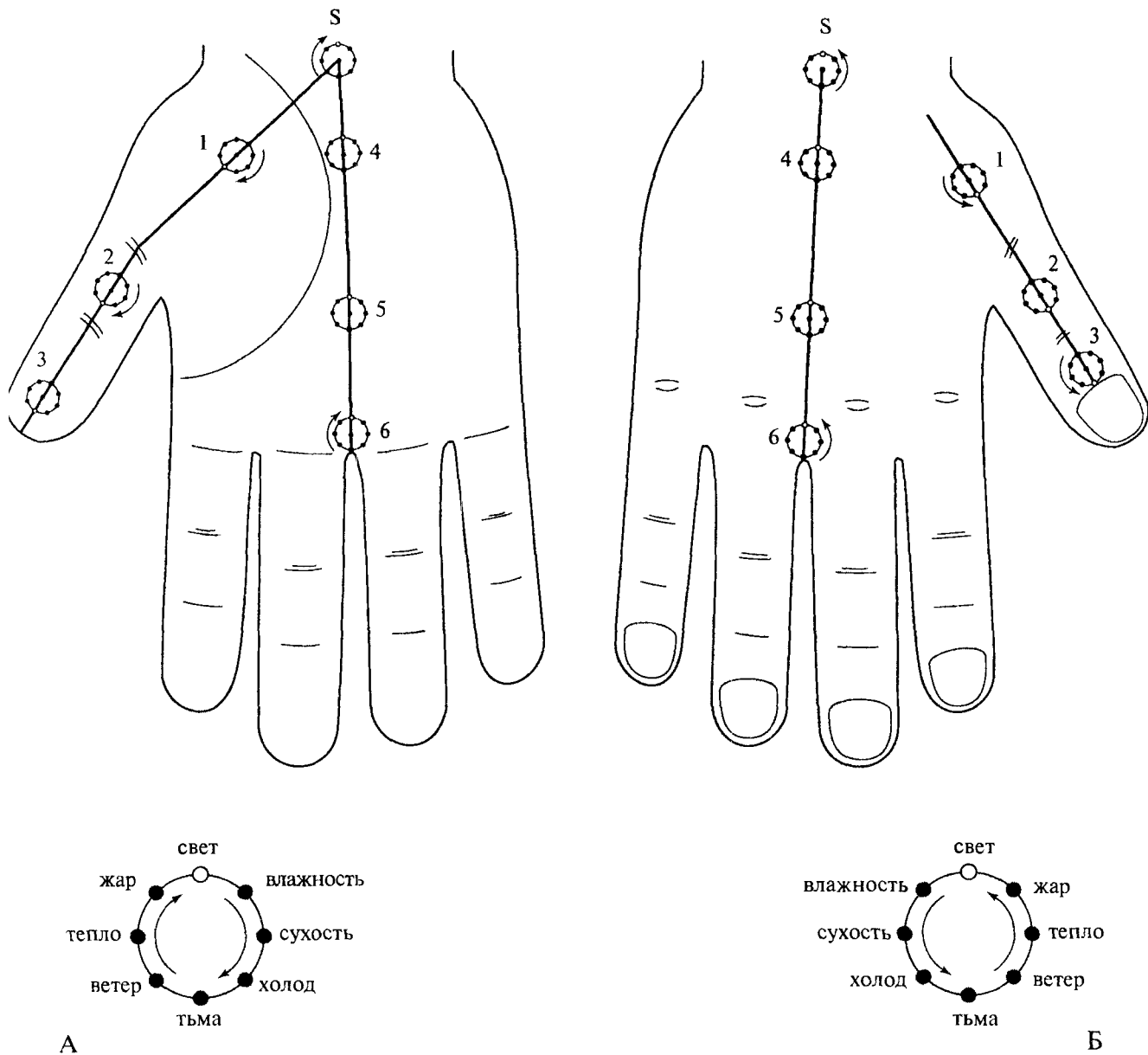
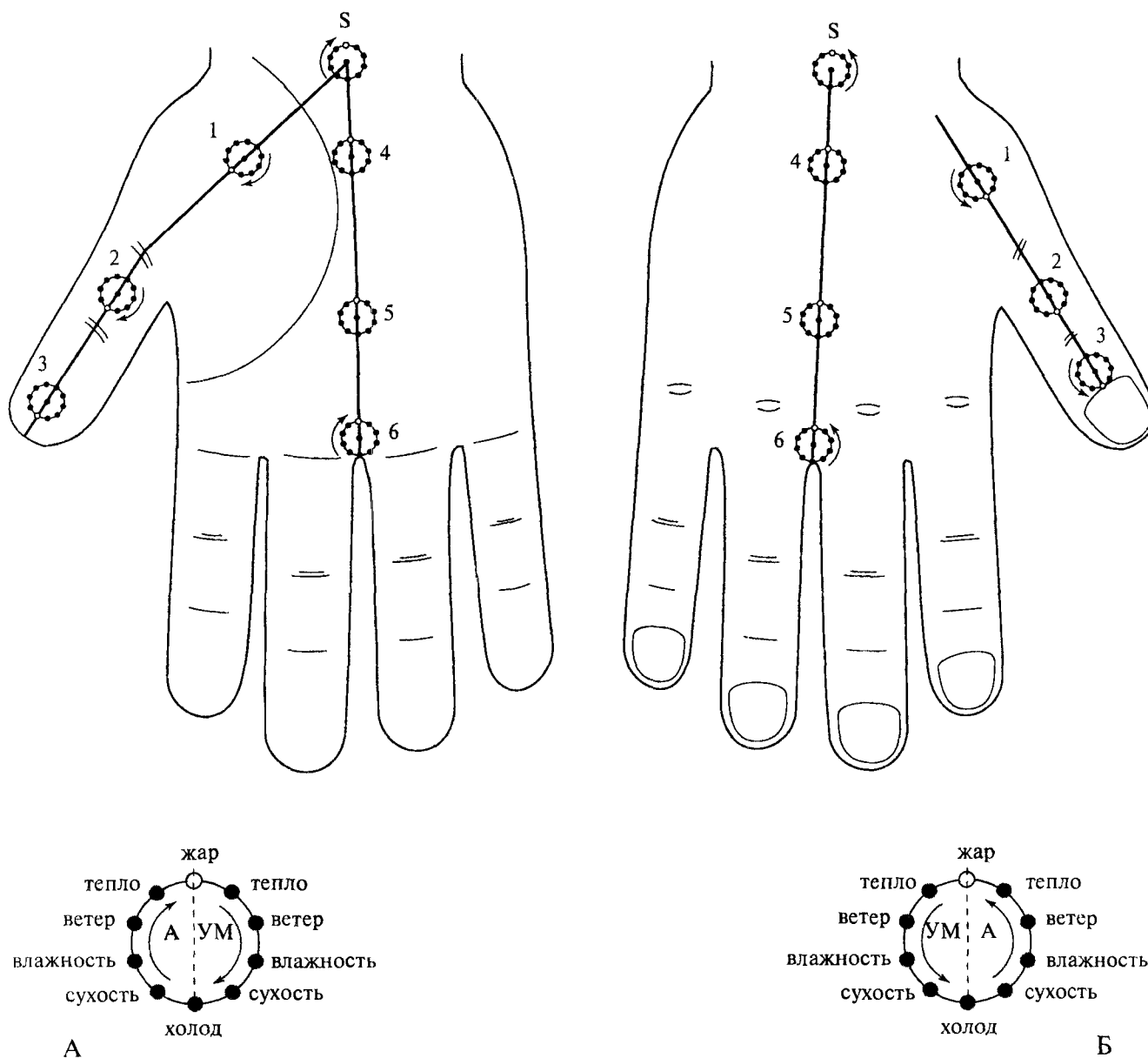


рис. 207. Точки единых Восьми Энергий внутренних бей-чакр на правой кисти.

Точки единых Восьми Энергий располагаются на окружности с радиусом 3 — 4 мм. Точка света — самая верхняя, а точка тьмы — самая нижняя на окружности. Распределение точек единых энергий внутренних бей-чакр на Инь-поверхности соответствует Гомо-циркуляции по часовой стрелке (А), на Ян-поверхности — Гетеро-циркуляции против часовой стрелки (Б).

- |                         |                         |
|-------------------------|-------------------------|
| S — солнечная бей-чакра | 4 — бей-чакра влажности |
| 1 — бей-чакра ветра     | 5 — бей-чакра сухости   |
| 2 — бей-чакра тепла     | 6 — бей-чакра холода    |
| 3 — бей-чакра жара      |                         |





**Рис. 208.** Точки индивидуальных Шести Энергий внутренних бель-чакр на правой кисти.  
 Точки индивидуальных Шести Энергий располагаются на окружности с радиусом 3 — 4 мм. Точка жара — самая верхняя, а точка холода — самая нижняя на окружности. Точки остальных энергий располагаются в соответствии с прогрессивным типом циркуляции (холод-сухость-влажность-ветер-тепло-жар). Используется вертикальный тип деления чакры с последовательной циркуляцией сначала А-энергий, затем УМ-энергий. Распределение точек индивидуальных энергий внутренних бель-чакр на Инь-поверхности соответствует Гомоциркуляции (А), на Ян-поверхности — Гетероциркуляции (Б).  
 S — солнечная бель-чакра                      4 — бель-чакра влажности  
 1 — бель-чакра ветра                            5 — бель-чакра сухости  
 2 — бель-чакра тепла                           6 — бель-чакра холода  
 3 — бель-чакра жара

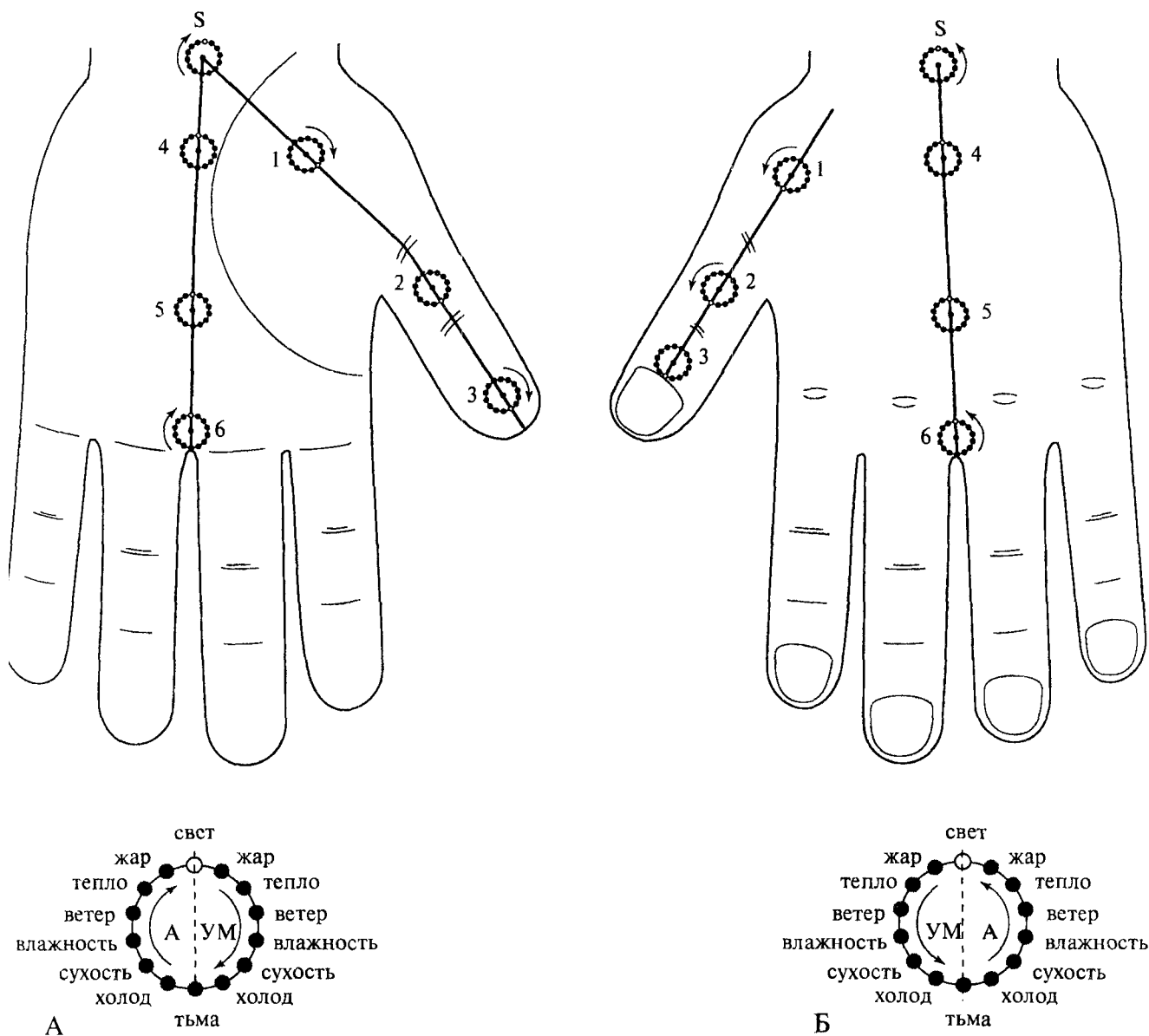


рис. 209. Точки индивидуальных Восьми Энергий внутренних белых чакр на левой кисти.

Точки индивидуальных Восьми Энергий располагаются на окружности с радиусом 3—4 мм.

Точка света — самая верхняя, а точка тьмы — самая нижняя на окружности. Точки остальных энергий располагаются в соответствии с прогрессивным типом циркуляции (тьма-холод-сухость-влажность-ветер-тепло-жар-свет). Используется вертикальный тип деления чакры с последовательной циркуляцией сначала А-энергий, затем УМ-энергий.

Распределение точек индивидуальных энергий внутренних белых чакр на Инь-поверхности соответствует Гомо-циркуляции (А), на Ян-поверхности — Гетеро-циркуляции (Б).

S — солнечная белая чакра

4 — белая чакра влажности

1 — белая чакра ветра

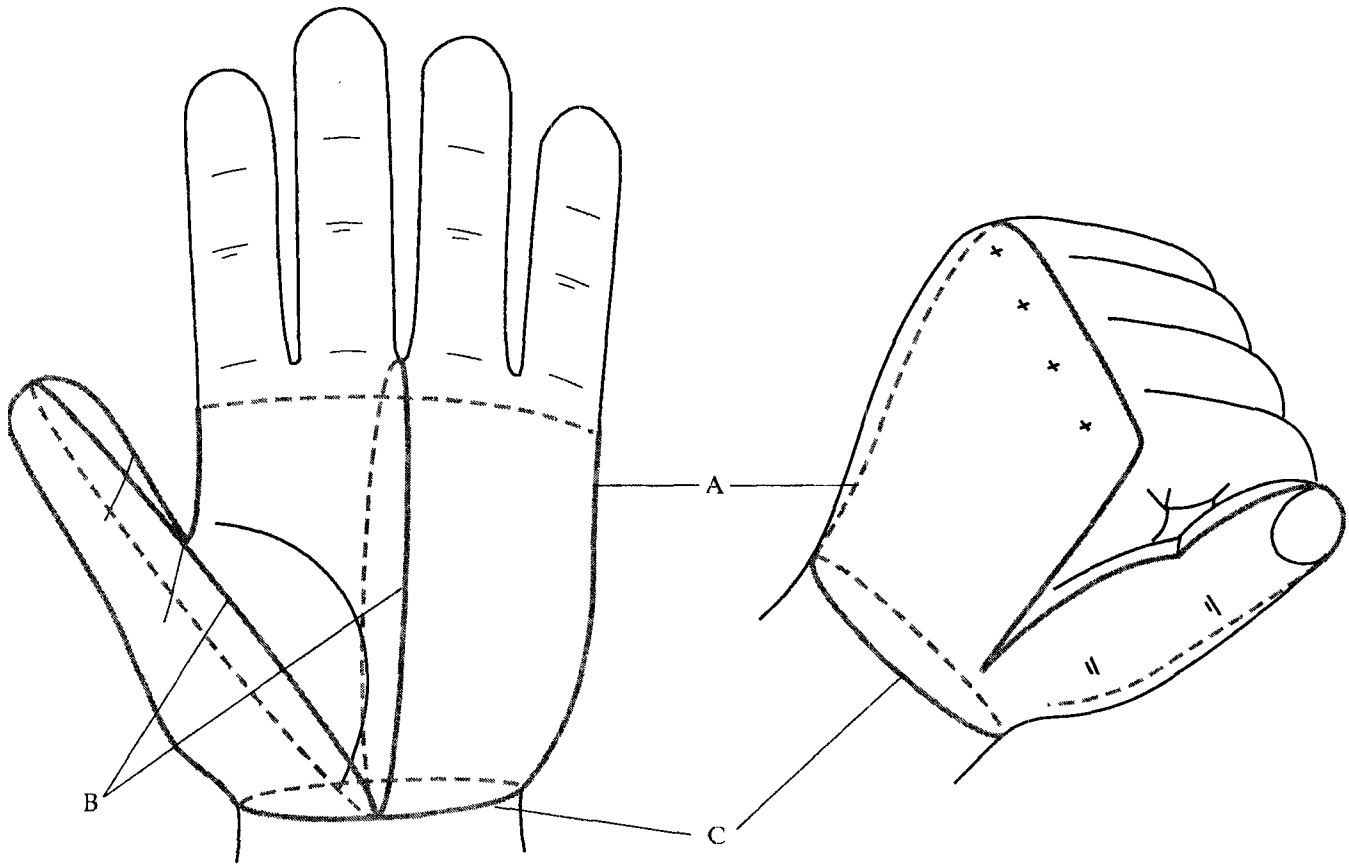
5 — белая чакра сухости

2 — белая чакра тепла

6 — белая чакра холода

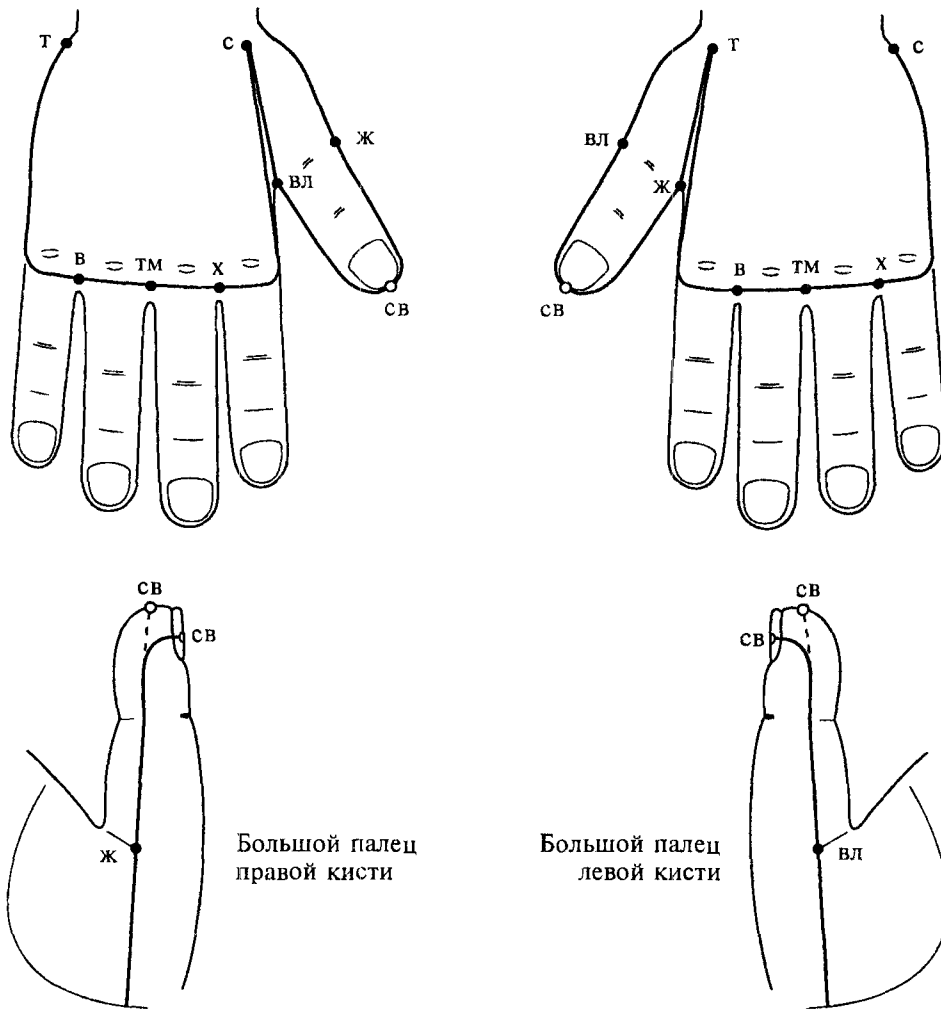
3 — белая чакра жара

## 1.2. Пограничные бель-меридианы кистей



**Рис. 210.** Пограничные бель-меридианы в индивидуальной стандартной системе соответствия левой кисти. На каждой кисти существует собственная система пограничных бель-меридианов. Боковой пограничный бель-меридиан (А), начинаясь со складки лучезапястного сустава, проходит по границе Инь-Ян большого пальца через его верхушку, затем по межкостному промежутку между I и II пястными костями. Далее он идет по границе Инь-Ян вдоль II пястной кости, затем поворачивает и проходит посередине между линиями пястно-фаланговых суставов и межпальцевых кожных складок, доходя до противоположной границы Инь-Ян кисти. Затем по границе Инь-Ян кисти со стороны мизинца достигает лучезапястного сустава. Центральный пограничный бель-меридиан (В) располагается на линии анатомической симметрии Ян- и Инь-поверхностей кисти. Диафрагмальный пограничный бель-меридиан (С) находится в области лучезапястного сустава на Ян- и Инь-поверхности кисти, где проходит нижняя линия диафрагмы.

*Боковой пограничный бель-меридиан кисти*



**рис. 211.** Точки единых Восьми Энергий бокового пограничного бель-меридиана в индивидуальной стандартной системе соответствия левой и правой кистей.

Точки единых Восьми Энергий располагаются в соответствии с циркуляцией единой энергии в боковом пограничном меридиане тела при доминировании вертикальной оси.

**Левая кисть**

**. света**

Расположение: в центре ногтя большого пальца или на кончике большого пальца, что соответствует двум вариантам расположения верхней внешней чакры. Точка света является центральной точкой проекции той чакры.

**. тьмы**

Расположение: на Ян-поверхности кисти, между III и IV пальцами, что соответствует проекции центра нижней внешней чакры.

**т. ветра**

Расположение: на линии бокового пограничного бель-меридиана, между II и III пальцами.

**т. холода**

Расположение: на той же линии, между IV и V пальцами.

**т. тепла**

Расположение: в анатомической табакерке, соответствует центральной точке левой внешней чакры.

**т. сухости**

Расположение: в месте пересечения границы Инь-Ян локтевой стороны

кисти и лучезапястного сустава (проекция правой внешней чакры).

**тт. жара и влажности**

Расположение: в местах пересечения границ Инь-Ян и пястно-фалангового сустава большого пальца.

**Правая кисть**

Точки света и тьмы расположены так же, как на левой кисти. Точки остальных энергий расположены в соответствии с циркуляцией единой энергии в боковом пограничном меридиане тела.

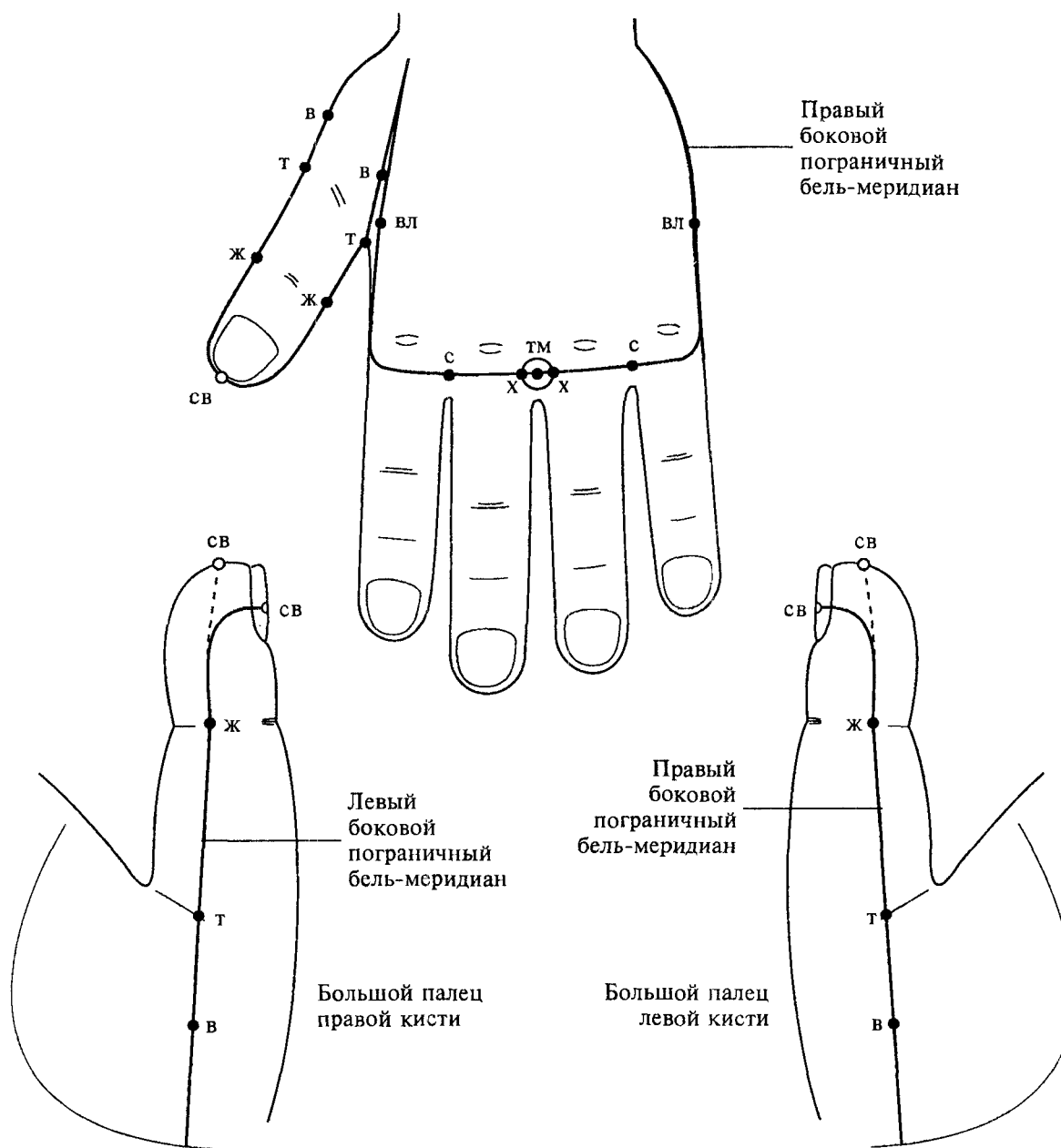


Рис. 212. Точки индивидуальных Восьми Энергий левого и правого боковых пограничных бель-меридианов в индивидуальной стандартной системе соответствия на кисти. Точки индивидуальных А-энергий располагаются на левом боковом пограничном бель-меридиане, УМ-энергий — на правом боковом пограничном бель-меридиане.

**т. света и тьмы**

Расположение: там же, где и точки индивидуальных энергий света и тьмы.

**т. холода, сухости и влажности**

Расположение: на нижних боковых пограничных меридианах.

**т. холода**

Расположение: на окружности с радиусом 3 — 4 мм вокруг точки тьмы.

**тт. сухости**

Расположение: на линии меридиана между II и III, IV и V пальцами.

**тт. влажности**

Расположение: на уровне проекции пупка в системе соответствия.

**тт. ветра, тепла и жара**

Расположение: на верхних боковых пограничных бель-меридианах.

**тт. ветра**

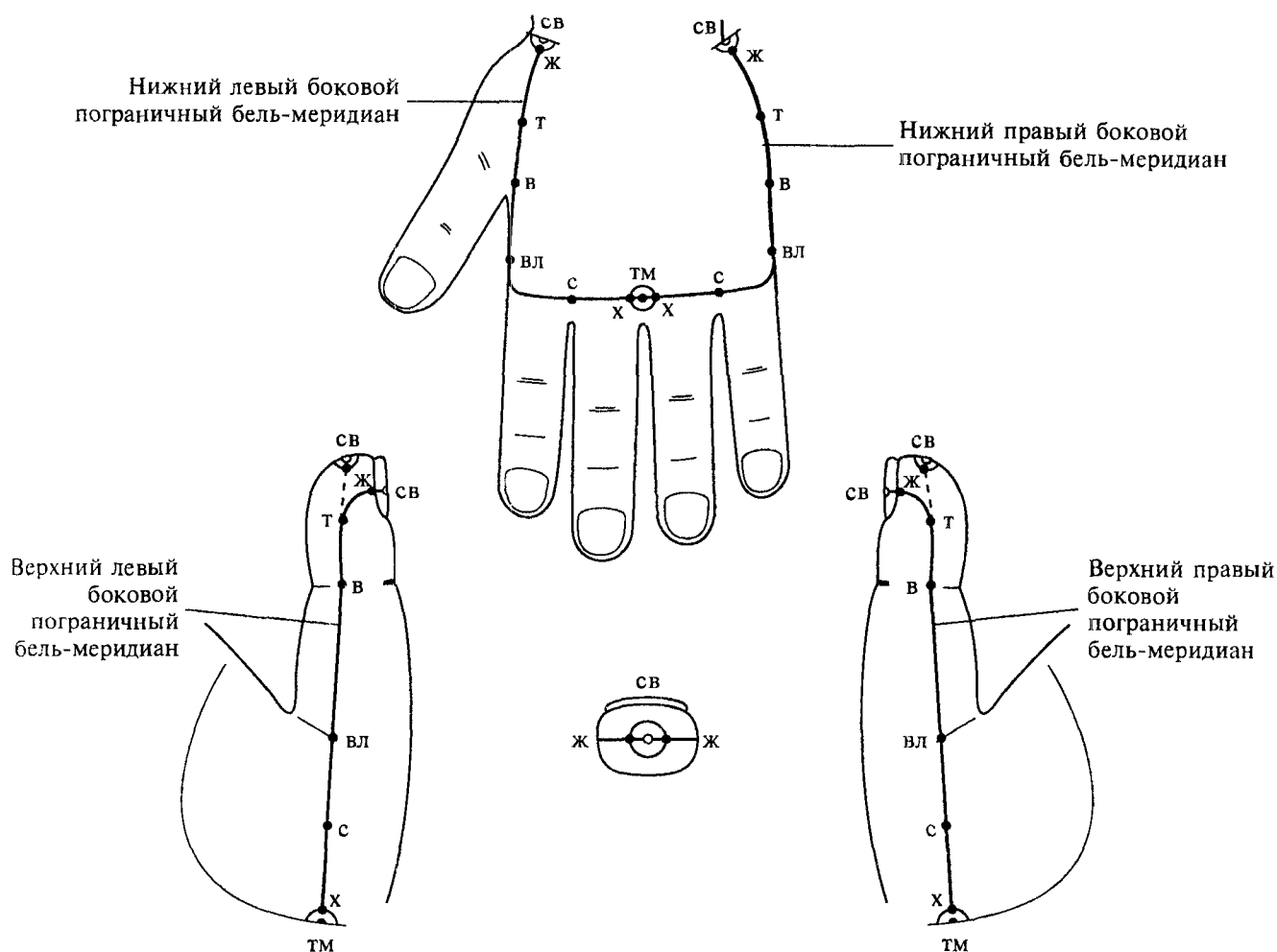
Расположение: на середине I пястной кости.

**тт. тепла**

Расположение: на I пястно-фаланговом суставе.

**тт. жара**

Расположение: на межфаланговом суставе большого пальца.



ис. 213. Точки Восьми Энергий региональных боковых пограничных бель-меридианов в индивидуальной стандартной системе соответствия на кисти.

Точки региональных Восьми Энергий расположены в соответствии с циркуляцией в боковом пограничном меридиане при доминировании вертикальной оси.

области нижней внешней чакры находится **точка тьмы** для левого и правого нижних боковых пограничных бель-меридианов.

**Точки света** для нижних меридианов располагаются в месте пересечения нижней линии диафрагмы и границы Инь-Ян кисти (в областях боковых паль-чакр).

области верхней внешней чакры первый вариант — в центре ногтя, второй вариант — на кончике большого пальца) находится **точка света** для левого и правого верхних боковых пограничных бель-меридианов.

**Точки тьмы** для верхних меридианов располагаются в месте пересечения верхней линии диафрагмы и границы Инь-Ян в области боковых паль-чакр.

На окружности вокруг точек света и тьмы (средний диаметр — 6 — 8 мм) располагаются соответственно **точки жара и холода**.

**Точки остальных энергий** располагаются в соответствии с прогрессивным типом циркуляции (тьма-холод-сухость-влажность-ветер-тепло-жар-свет).

**Нижние боковые пограничные бель-меридианы**

**тт. сухости**

Расположение: между II и III, IV и V пальцами.

**тт. влажности**

Расположение: на границе Инь-Ян, на уровне пястно-фалангового сустава.

**тт. ветра**

Расположение: на уровне соответствия пупку.

**тт. тепла**

Расположение: на 1/2 расстояния между точками ветра и жара.

**Верхние боковые пограничные бель-меридианы**

**тт. сухости**

Расположение: на середине I пястной кости.

**тт. влажности**

Расположение: на уровне I пястно-фалангового сустава.

**тт. ветра**

Расположение: на межфаланговом суставе большого пальца.

**тт. тепла**

Расположение: на середине дистальной фаланги большого пальца.

### Центральный пограничный бель-меридиан кисти

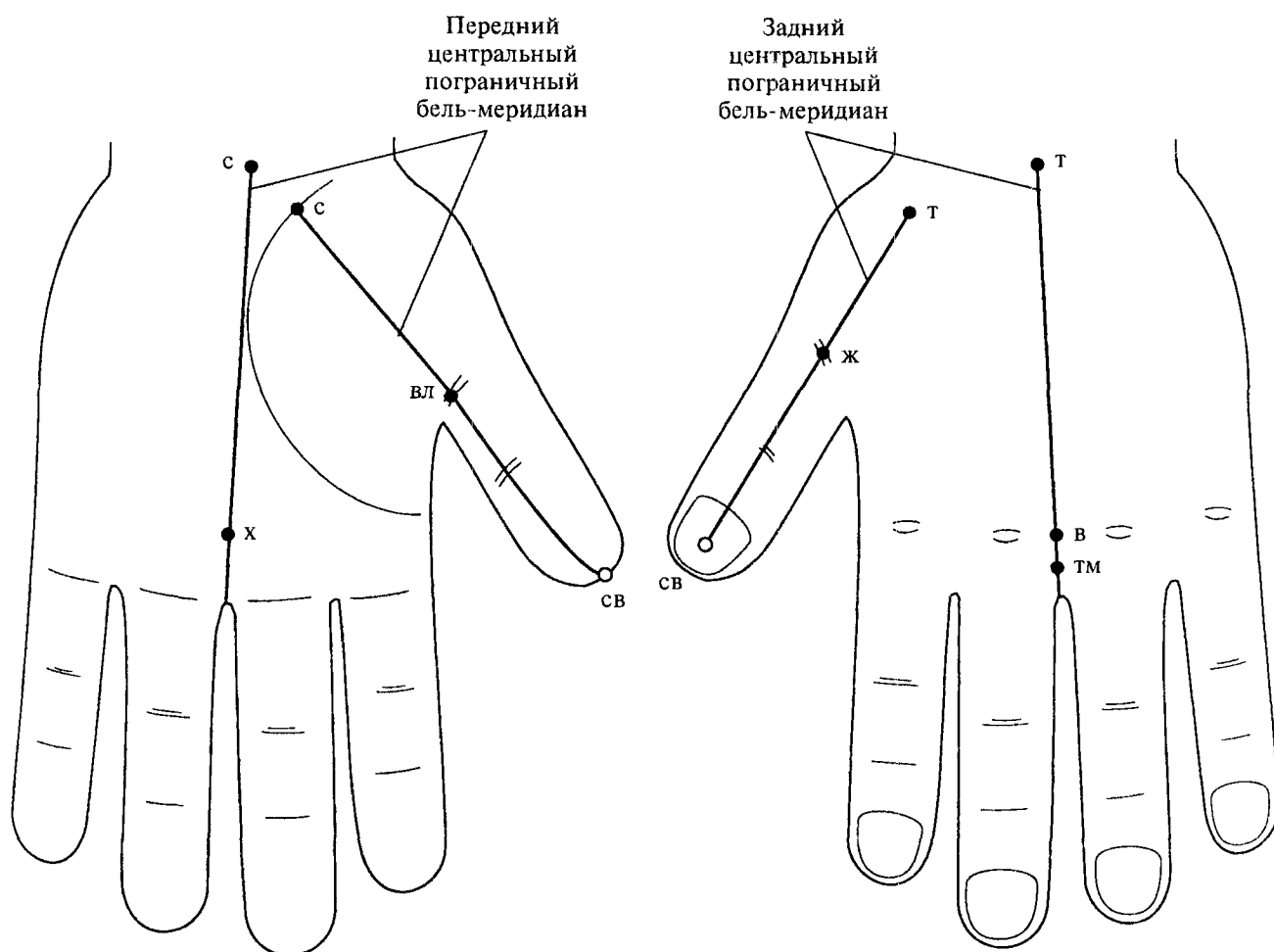
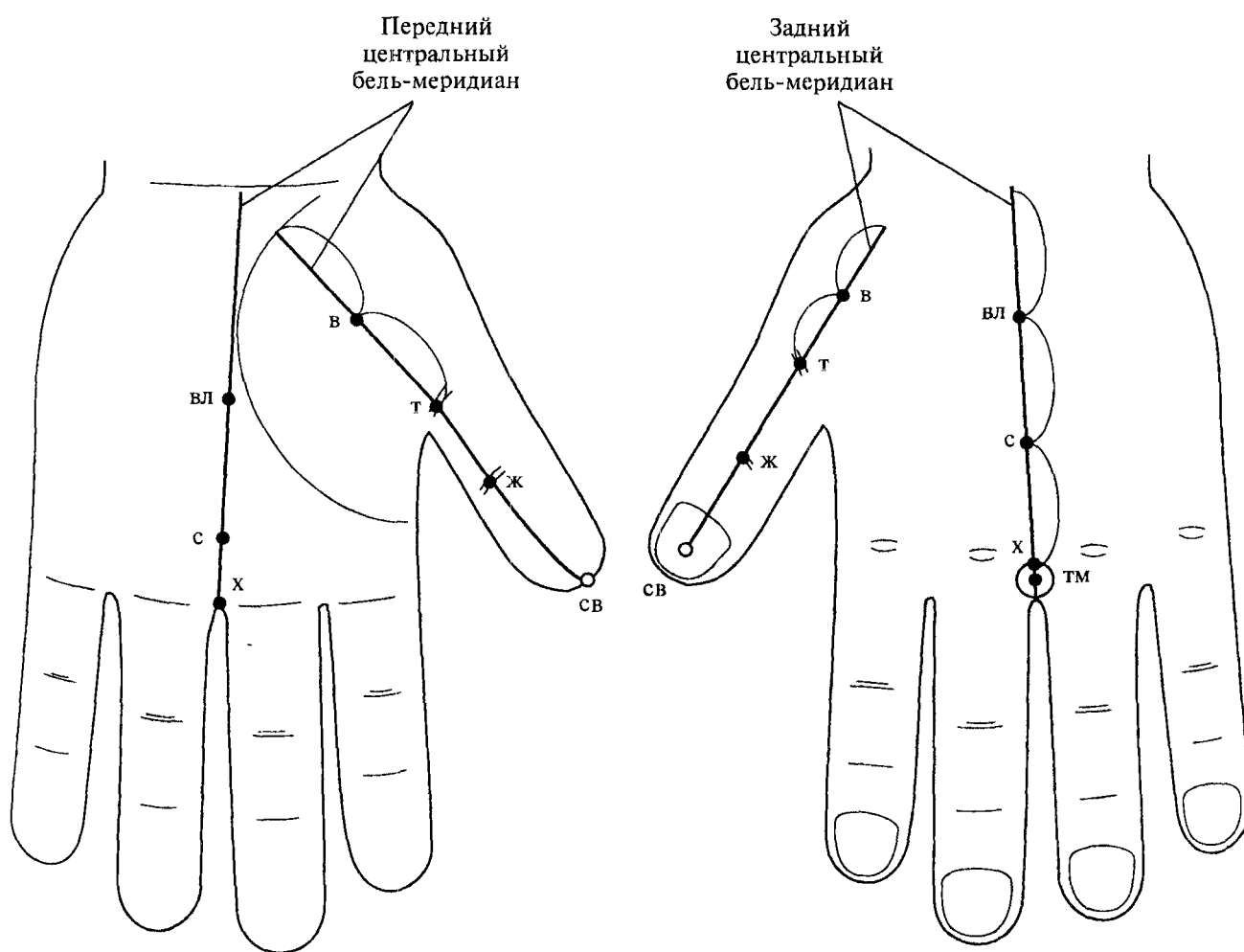


рис. 214. Точки единых Восьми Энергий центрального пограничного бель-меридиана в индивидуальной стандартной системе соответствия на кисти.  
Точки единых Восьми Энергий расположены в соответствии с циркуляцией единой энергии в центральном пограничном меридиане тела при доминировании вертикальной оси.

- |   |   |  |
|---|---|--|
| <p><b>. света</b><br/>[вляется центральной точкой проекции верхней внешней бель-чакры два варианта).</p> <p><b>. тьмы</b><br/>Соответствует центральной точке проекции нижней внешней бель-акры.</p> <p><b>. ветра</b><br/>Расположение: на линии пястно-фаланговых суставов, соответствует проекции копчика.</p> | <p><b>т. тепла</b><br/>Имеет две проекции на Ян-поверхности: в середине складки лучезапястного сустава (задняя внешняя бель-чакра) и на линии I пястно-запястного сустава (верхняя линия диафрагмы).</p> <p><b>т. жара</b><br/>Расположение: в области I пястно-фалангового сустава, на Ян-поверхности.</p> | <p><b>т. влажности</b><br/>Расположение: в области того же сустава, на Инь-поверхности.</p> <p><b>т. сухости</b><br/>Имеет две проекции на Инь-поверхности: на линии жизни (верхняя линия диафрагмы) и в складке лучезапястного сустава (нижняя линия диафрагмы).</p> <p><b>т. холода</b><br/>Расположение: на уровне пястно-фаланговых суставов (проекция верхнего края лобка).</p> |
|---|---|--|



**Рис. 215.** Точки индивидуальных Восьми Энергий переднего и заднего центральных пограничных бель-меридианов в индивидуальной стандартной системе соответствия на кисти. Точки индивидуальных А-энергий располагаются на заднем центральном пограничном бель-меридиане (Ян-поверхность кисти), УМ-энергий — на переднем центральном (Инь-поверхность кисти).

**Гочки света и тьмы** расположены там же, где и точки единых энергий света и тьмы.

**Гочки холода** расположены на окружности с радиусом 3 — 4 мм вокруг точки тьмы: для заднего бель-меридиана — на Ян-поверхности, для переднего бель-меридиана — на Инь-поверхности.

**Задний центральный пограничный бель-меридиан**

**т. сухости**  
Расположение: на 1/3 расстояния между задней и нижней внешними

бель-чакрами вверх от нижней бель-чакры.

**т. влажности**

Расположение: на расстоянии 1/3 того же отрезка ниже задней внешней бель-чакры.

**т. ветра**

Расположение: на середине I пястной кости.

**т. тепла**

Расположение: в области пястно-фалангового сустава большого пальца.

**т. жара**

Расположение: в области межфалангового сустава большого пальца.

**Передний центральный пограничный бель-меридиан**

**т. сухости**

Расположение: на уровне пястно-фалангового сустава.

**т. влажности**

Расположение: в проекции пупка.

**т. ветра**

Расположение: на середине тенара.

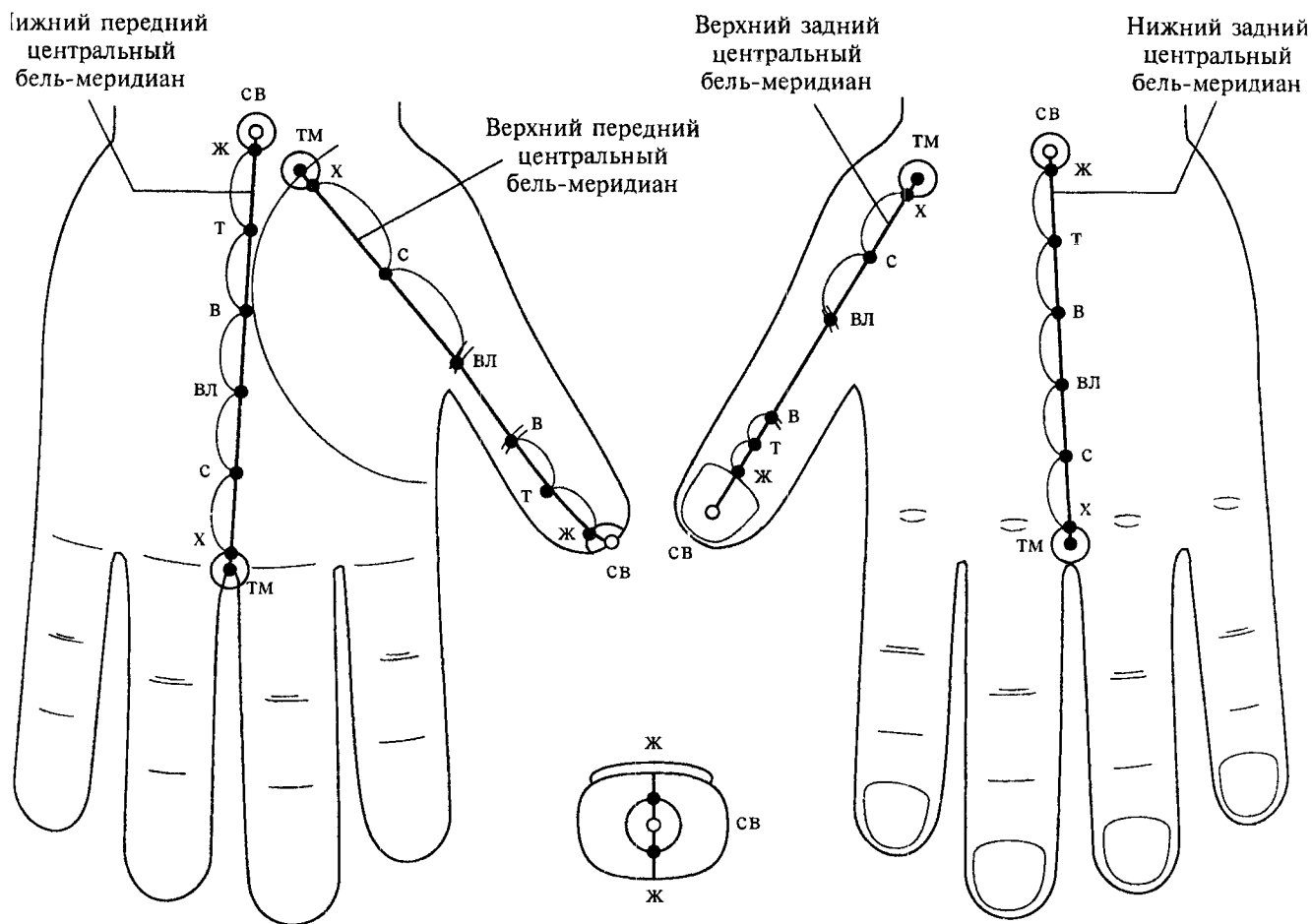
**т. тепла**

Расположение: в области пястно-фалангового сустава большого пальца.

**т. жара**

Расположение: в области межфалангового сустава большого пальца.





ис. 216. Точки Восьми Энергий региональных центральных пограничных бель-меридианов при доминировании вертикальной оси в индивидуальной стандартной системе соответствия на кисти.

**Задний нижний центральный пограничный бель-меридиан**

**т. тьмы** — в области нижней внешней бель-чакры.

**т. холода** — на окружности точки тьмы.

**т. света** — в области задней внешней бель-чакры, на линии лучезапястного сустава.

**т. жара** — на окружности точки зета.

**т. сухости, влажности, ветра и тепла** — на равном расстоянии друг от друга между точками холода и жара.

**Передний нижний центральный пограничный бель-меридиан**

**т. тьмы** — на краю кожной складки между III и IV пальцами.

**т. холода** — на окружности вокруг точки тьмы.

**т. света** — в области передней внешней бель-чакры, на линии лучезапястного сустава.

**т. жара** — на окружности вокруг точки света.

**т. т. сухости, влажности, ветра и тепла** — на равном расстоянии друг от друга между точками холода и жара.

**Задний верхний центральный пограничный бель-меридиан**

**т. тьмы** — на линии I запястно-пястного сустава.

**т. холода** — на окружности вокруг точки тьмы.

**т. света** — в центре ногтя большого пальца.

**т. жара** — у ногтевой лунки большого пальца.

**т. влажности** — на Ян-поверхности пястно-фалангового сустава I пальца.

**т. сухости** — на середине I пястной кости.

**т. ветра** — на межфаланговом суставе большого пальца.

**т. тепла** — на середине расстояния между точками ветра и жара.

**Передний верхний центральный пограничный бель-меридиан**

**т. тьмы** — на линии жизни (верхняя линия диафрагмы).

**т. холода** — на окружности вокруг точки тьмы.

**т. света** — на кончике большого пальца.

**т. жара** — на окружности вокруг точки света.

**т. влажности** — на Инь-поверхности пястно-фалангового сустава большого пальца.

**т. сухости** — на середине тенара.

**т. ветра** — на межфаланговом суставе большого пальца.

**т. тепла** — на середине дистальной фаланги большого пальца.

### Диафрагмальный пограничный бель-меридиан кисти

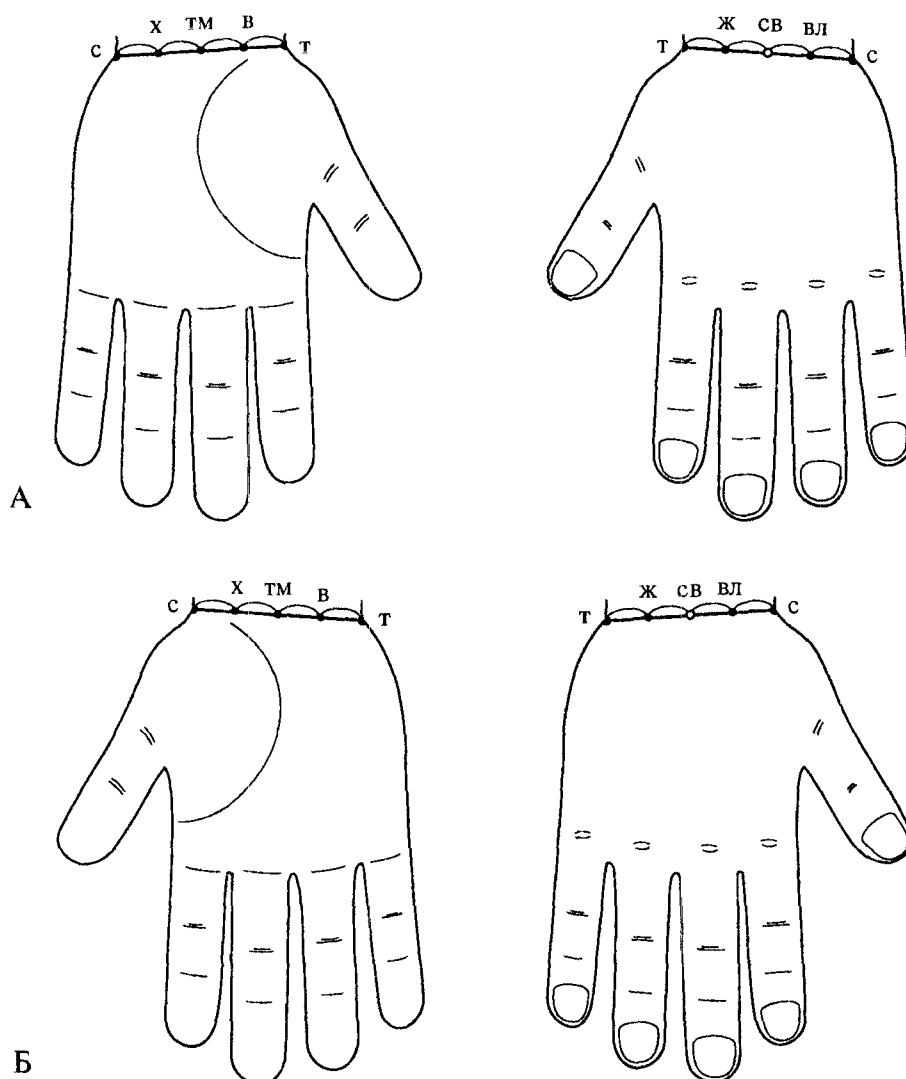


Рис. 217. Точки единых Восьми Энергий диафрагмального пограничного бель-меридиана при доминировании сагиттальной оси в индивидуальной стандартной системе соответствия на левой (А) и правой (Б) кистях.

#### Левая кисть

##### г. света

Расположение: на середине Ян-поверхности (проекция задней внешней чакры)

##### г. тьмы

Расположение: на середине Инь-поверхности лучезапястного сустава (проекция передней внешней чакры).

##### гг. ветра, тепла и жара

Расположение: на лучевой стороне кисти, по ходу диафрагмального бель-меридиана на равном расстоянии друг от друга.

##### гг. влажности, сухости и холода

Расположение: на локтевой стороне, также на равном расстоянии друг от друга.

#### Правая кисть

##### тт. света, тьмы

Расположение: так же, как на левой кисти.

##### тт. влажности, сухости и холода

Расположение: на лучевой стороне кисти, по ходу диафрагмального бель-меридиана на равном расстоянии друг от друга.

##### тт. ветра, тепла и жара

Расположение: на локтевой стороне, также на равном расстоянии друг от друга.

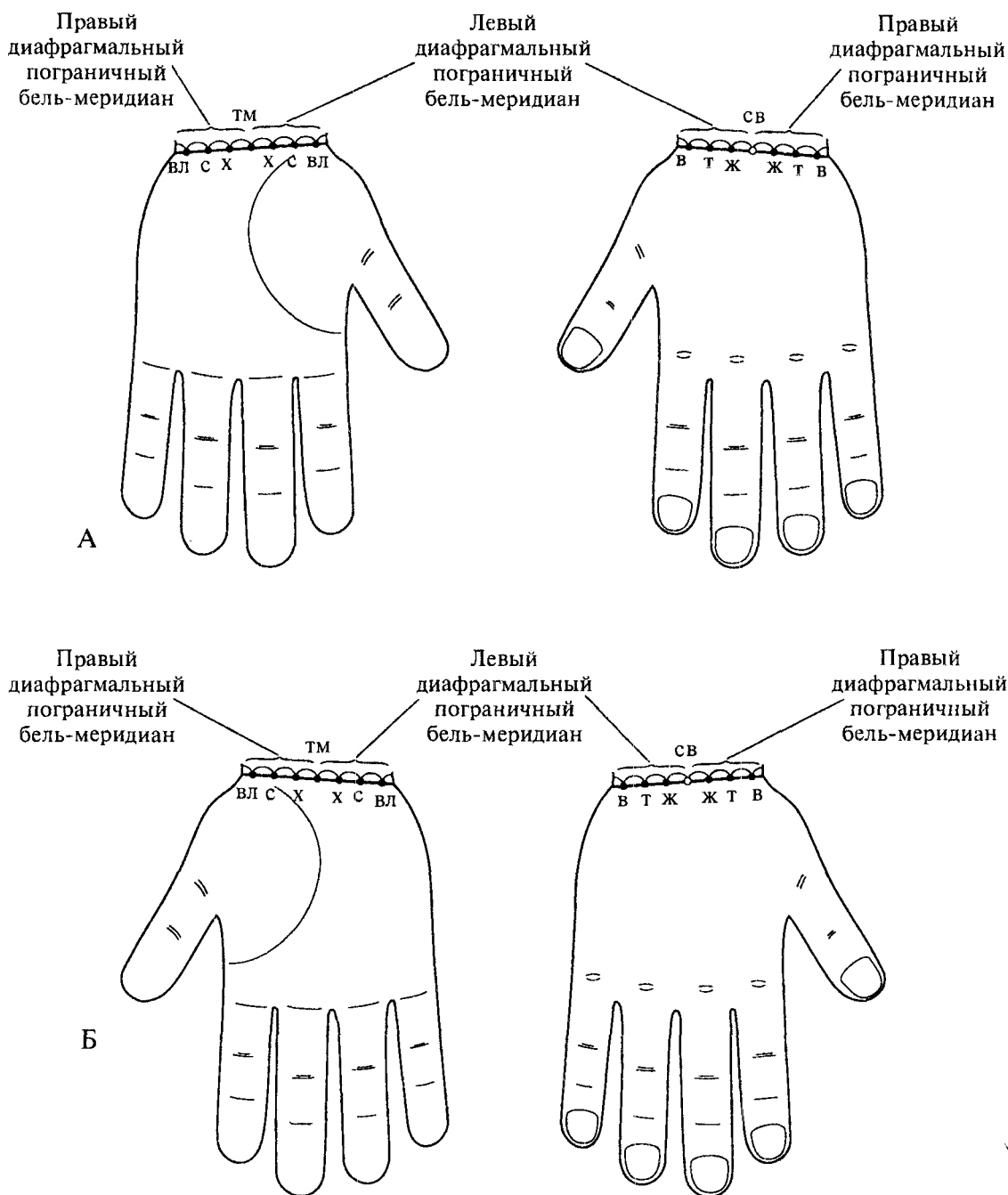


рис. 218. Точки индивидуальных Восьми Энергий диафрагмального пограничного бель-меридиана при доминировании сагиттальной оси в индивидуальной стандартной системе соответствия на левой (А) и правой (Б) кистях.

Точки индивидуальных энергий света и тьмы расположены там же, где точки одноименных единичных энергий.

Точки остальных энергий находятся на равном расстоянии друг от друга между точками света и тьмы.

**Левая кисть**

Точки индивидуальных А-энергий располагаются на лучевой стороне кисти (проекция левого диафрагмального меридиана), Ум-энергий — на локтевой (проекция правого диафрагмального меридиана).

**Правая кисть**

Точки индивидуальных А-энергий располагаются на локтевой стороне, а УМ-энергий — на лучевой стороне.

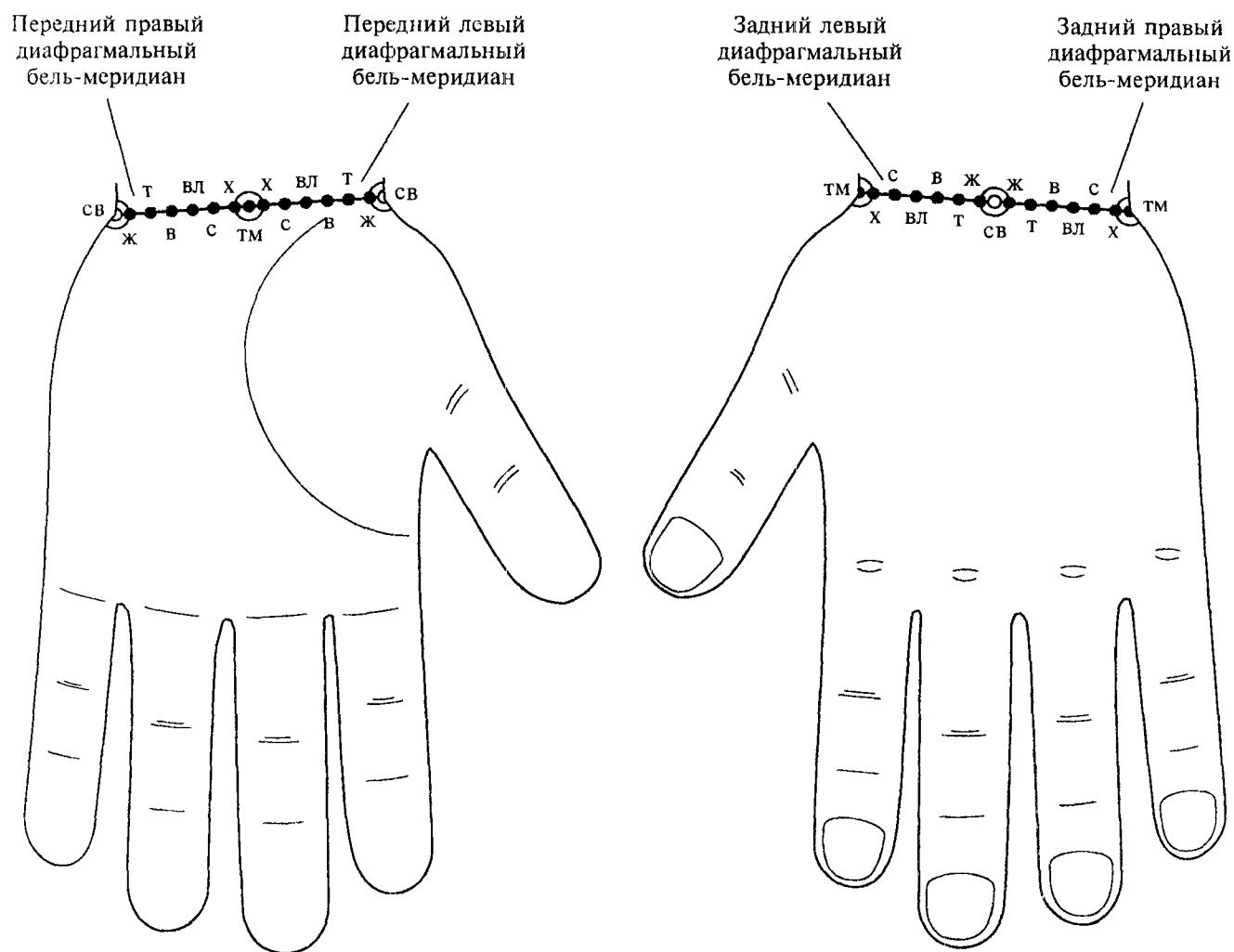


Рис. 219. Точки Восьми Энергий региональных диафрагмальных пограничных бель-меридианов в индивидуальной стандартной системе соответствия на левой кисти.

Точки региональных Восьми Энергий располагаются в соответствии с циркуляцией энергии в диафрагмальном пограничном меридиане при доминировании сагиттальной оси.

На левой кисти в области передней внешней бель-чакры находится **точка тьмы** для левого и правого передних диафрагмальных бель-меридианов;

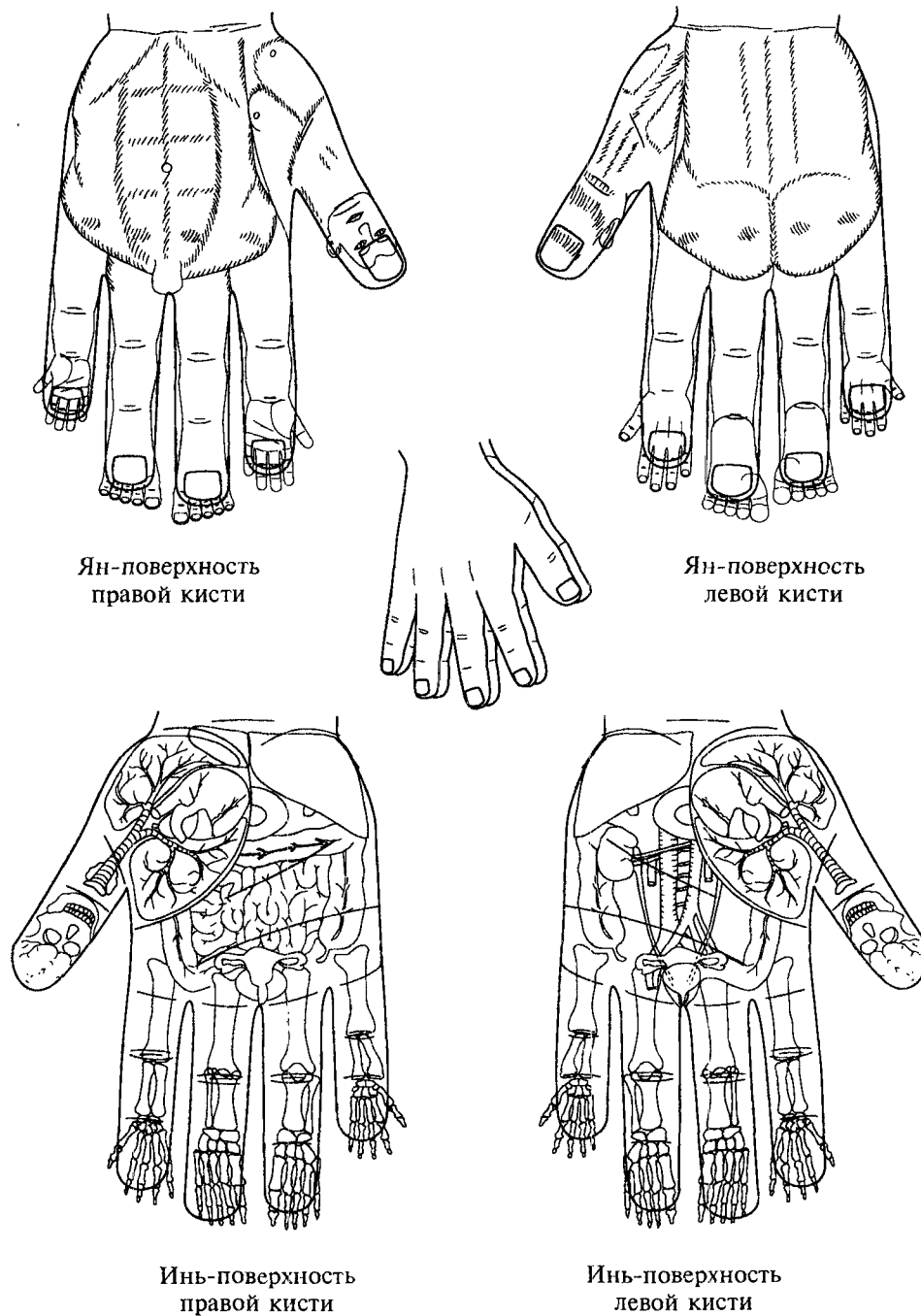
**точка света** для задних левого и правого диафрагмальных бель-меридианов находится в области задней внешней бель-чакры.

Точки в области боковых внешних бель-чакр являются **точками света** для передних диафрагмальных бель-меридианов и одновременно **точками тьмы** для задних диафрагмальных бель-меридианов.

На окружности вокруг точек света и тьмы (средний диаметр 6 — 8 мм) располагаются соответственно **точки жара и холода**.

**Точки остальных энергий** находятся на равном расстоянии друг от друга между точками жара и холода и располагаются в соответствии с прогрессивным типом циркуляции.

### 1.3. Сердцевинные бель-меридианы кистей



ис. 220. Объединенная закрытая стандартная система соответствия телу на кистях.

В объединенных закрытых системах соответствия телу на кистях соответствие передней половине тела человека находится на правой кисти, а соответствие задней половине тела — на левой кисти (тип I). На Ян-поверхностях кистей находятся проекции поверхностных структур тела, а на Инь-поверхностях — проекции внутренних структур тела (соответствие фронтальному сечению), поэтому соответствия вертикальному и фронтальному сердцевинным меридианам находятся поверхностно в области ладоней.

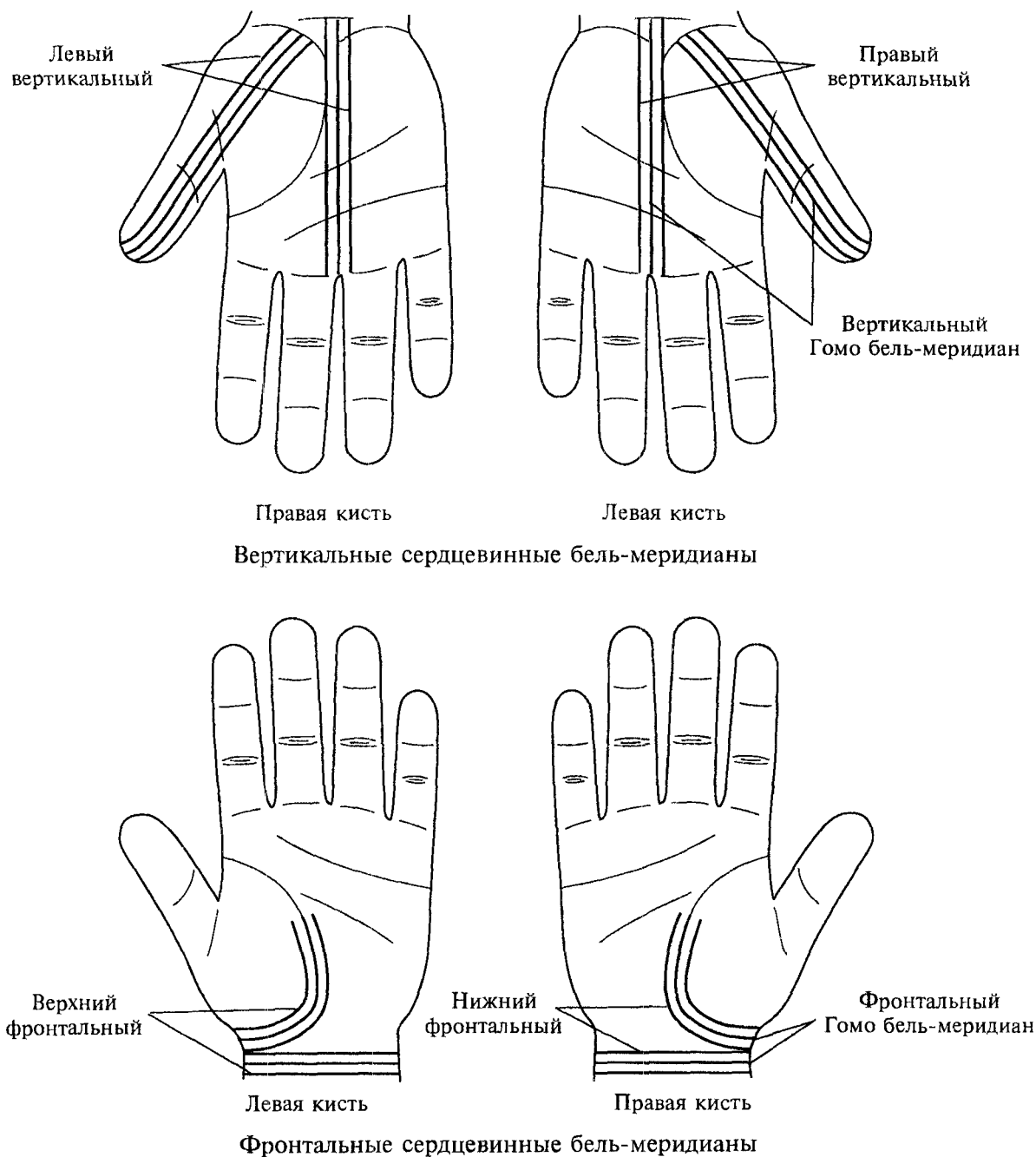
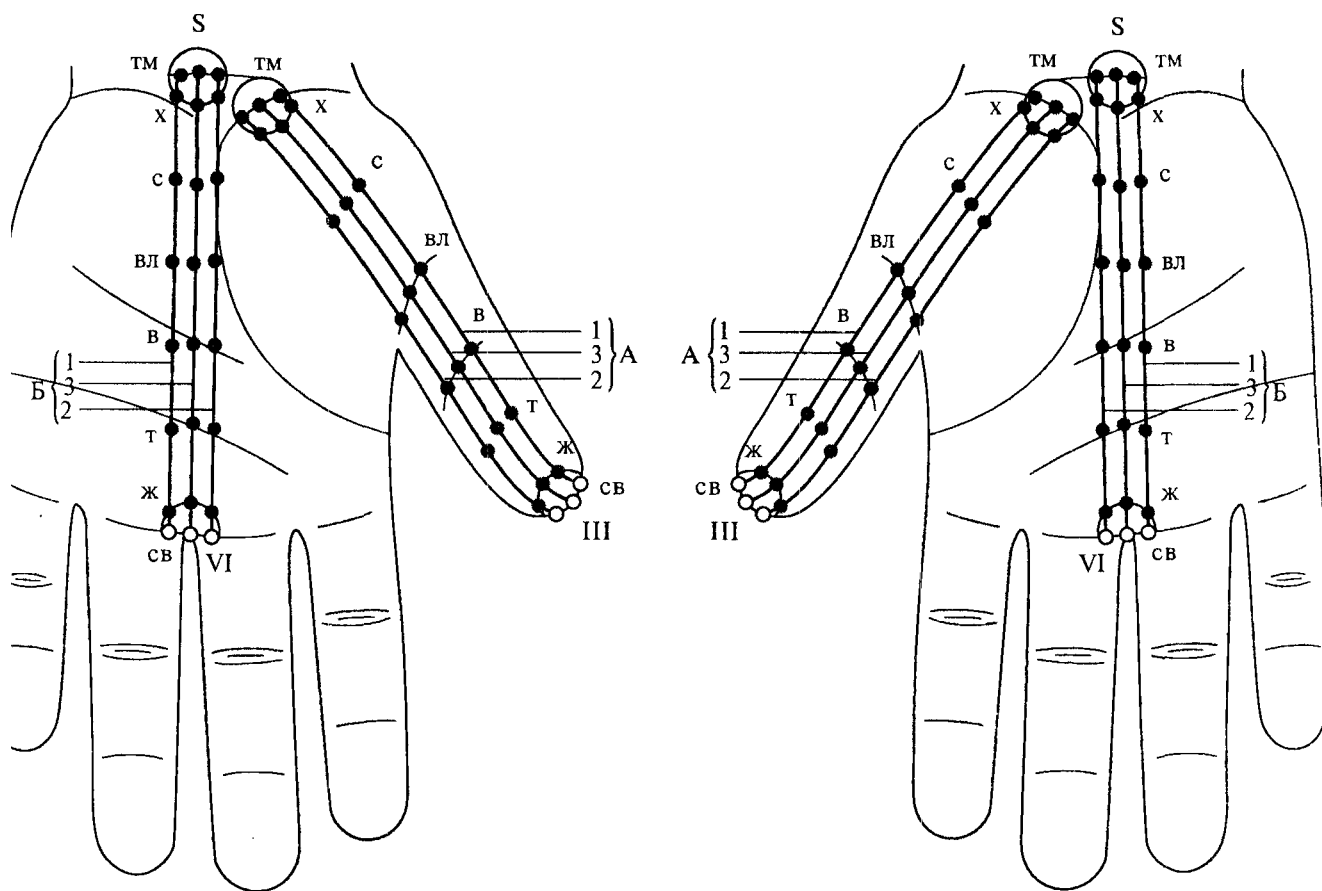


Рис. 221. Вертикальные и фронтальные сердцевинные бель-меридианы на кистях в объединенной стандартной системе соответствия.

**Вертикальный сердцевинный бель-меридиан** в объединенной стандартной системе соответствия проецируется на ладонную поверхность по линии анатомической симметрии кисти. В этой системе непосредственно на линию симметрии кисти проецируются вертикальный Гомо бель-меридиан, передний и задний вертикальные бель-меридианы. Проекция левого и правого вертикальных бель-меридианов локализуется параллельно линии симметрии на расстоянии 3 — 4 мм.

**Фронтальный сердцевинный бель-меридиан** в объединенной стандартной системе соответствия имеет две проекции, соответствующие проекциям диафрагмы, — на линии жизни и в складке лучезапястного сустава. Фронтальный Гомо бель-меридиан, передний и задний фронтальные бель-меридианы совпадают с проекцией диафрагмы; верхний и нижний фронтальные бель-меридианы располагаются параллельно проекции диафрагмы на расстоянии 3 — 4 мм.



ис. 222. Точки Восьми Энергий вертикальных сердцевинных бель-меридианов в объединенной стандартной системе соответствия телу на кистях.

- A* — верхние вертикальные сердцевинные бель-меридианы
- B* — нижние вертикальные сердцевинные бель-меридианы
- 1 — правый вертикальный сердцевинный бель-меридиан
- 2 — левый вертикальный сердцевинный бель-меридиан
- 3 — вертикальный сердцевинный Гомо бель-меридиан
- S* — солнечная бель-чакра
- III* — верхняя внешняя бель-чакра
- VI* — нижняя внешняя бель-чакра

**нижние вертикальные сердцевинные бель-меридианы**

**тьмы**  
 асположение: в области солнечной бель-чакры, в середине складки лунно-запястного сустава.

**света**  
 асположение: в области нижней внешней бель-чакры.

**т. жара и холода**  
 асположение: на окружности вокруг точек света и тьмы соответственно.

**тт. тепла, ветра, влажности и сухости**  
 Расположение: на равном расстоянии друг от друга на участке между точками жара и холода.

**Верхние вертикальные сердцевинные бель-меридианы**

**т. тьмы**  
 Расположение: в области солнечной бель-чакры, на линии жизни (на середине проекции диафрагмы).

**т. света**  
 Расположение: в области верхней внешней бель-чакры.

**тт. жара и холода**  
 Расположение: на окружности вокруг точек света и тьмы соответственно.

**т. сухости**  
 Расположение: на середине тенара.

**т. влажности**  
 Расположение: на первом пястно-фаланговом суставе.

**т. ветра**  
 Расположение: на межфаланговом суставе большого пальца.

**т. тепла**  
 Расположение: на середине дистальной фаланги большого пальца.



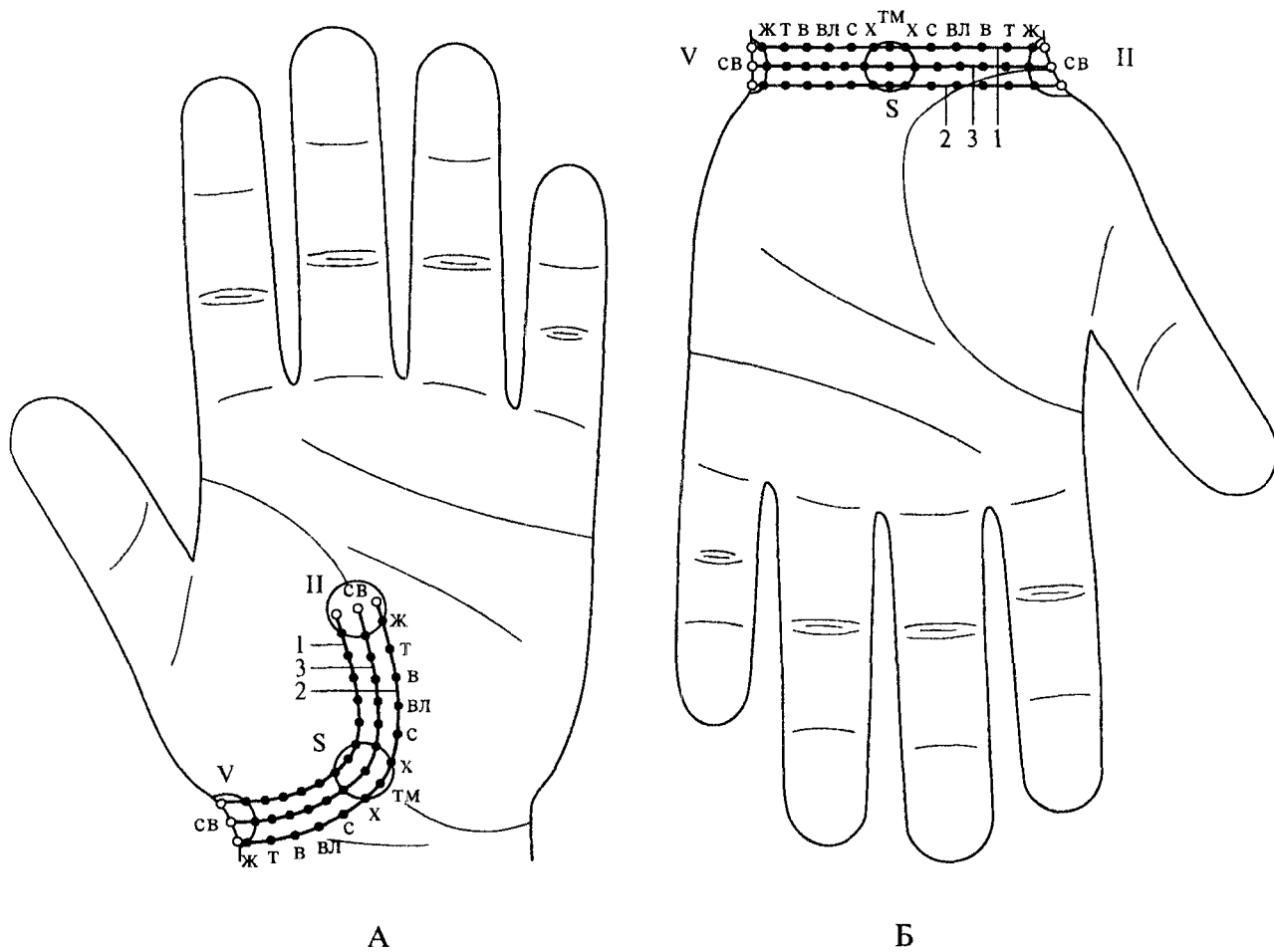


рис. 223. Точки Восьми Энергий фронтальных сердцевинных бель-меридианов в объединенной стандартной системе соответствия телу на кистях.

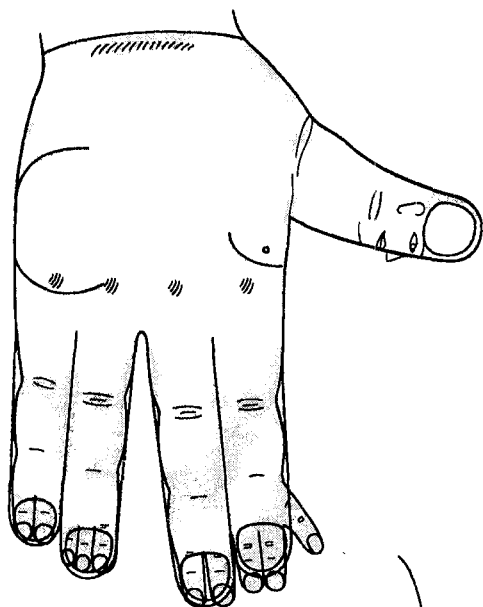
- A* — расположение фронтальных сердцевинных бель-меридианов для органов грудной клетки
- Б* — расположение фронтальных сердцевинных бель-меридианов для органов брюшной полости
- 1* — верхний фронтальный сердцевинный бель-меридиан
- 2* — нижний фронтальный сердцевинный бель-меридиан
- 3* — фронтальный сердцевинный Гомо бель-меридиан
- S* — солнечная бель-чакра
- V* — правая внешняя бель-чакра
- II* — левая внешняя бель-чакра

**г. тьмы**  
 асположение: в области солнечной  
 ель-чакры, на середине проекции  
 иафрагмы (верхней — на линии  
 изни, нижней — в складке лучеза-  
 ястного сустава).

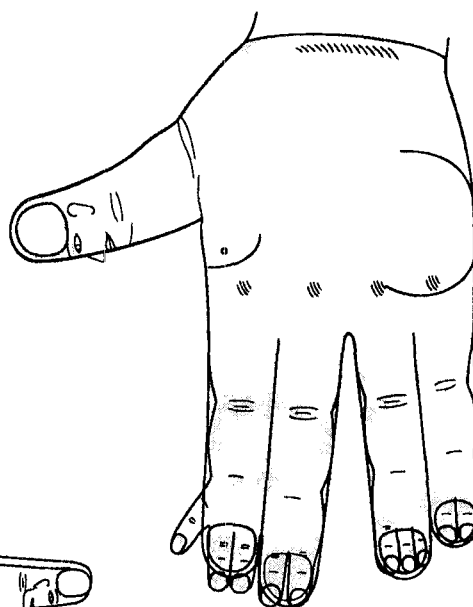
**тт. света**  
 Расположение: в области внешних  
 боковых бель-чакр.  
**тт. жара и холода**  
 Расположение: на окружности вокруг  
 точек света и тьмы соответственно.

**Точки остальных энергий** располага-  
 ются на равном расстоянии друг от  
 друга между точками жара и холода.

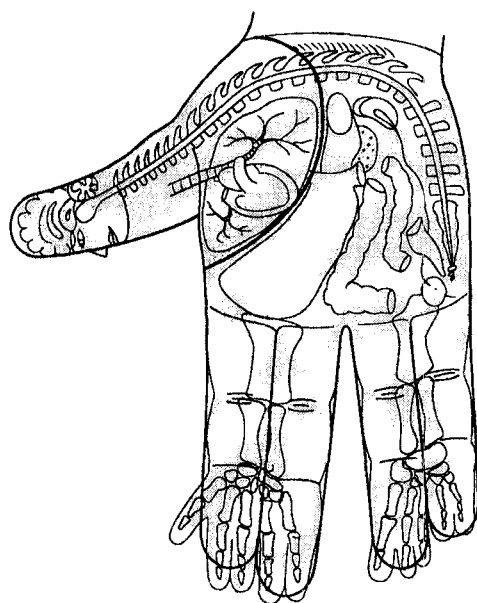
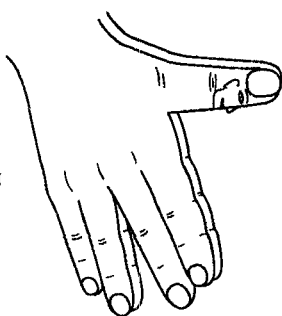




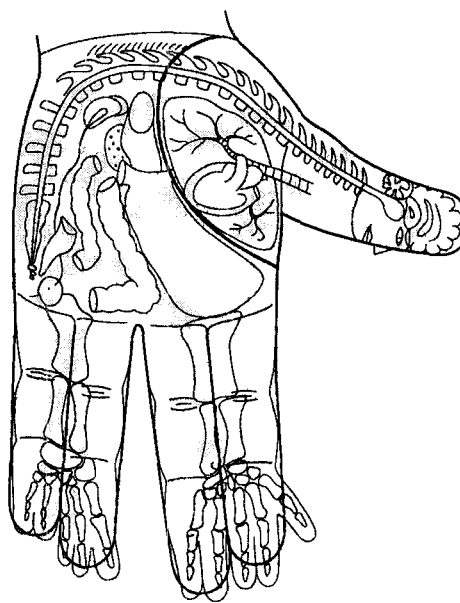
Соответствие поверхностным структурам правой половины тела на Ян-поверхности правой кисти



Соответствие поверхностным структурам левой половины тела на Ян-поверхности левой кисти



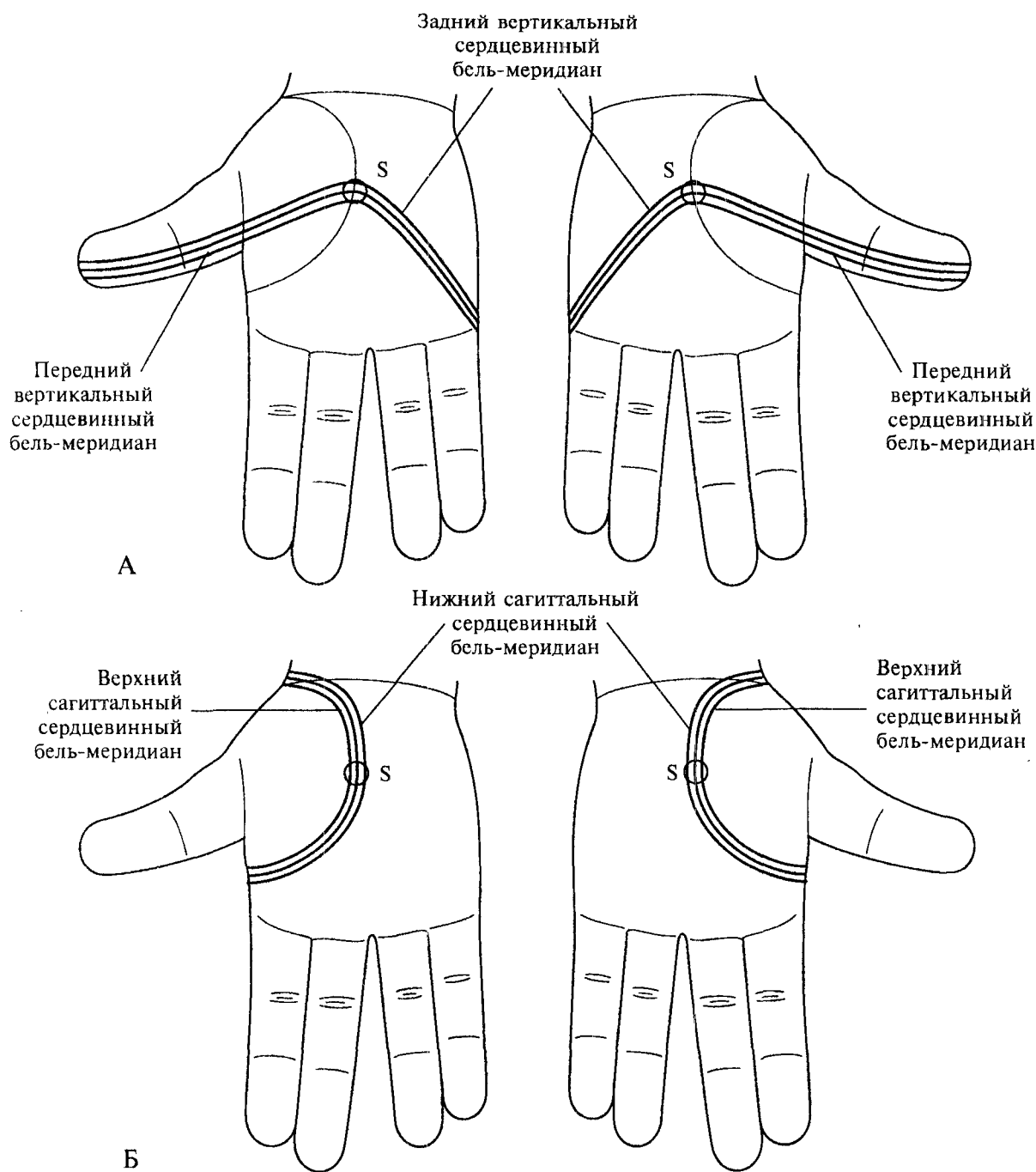
Соответствие внутренним органам правой половины тела на Инь-поверхности правой кисти



Соответствие внутренним органам левой половины тела на Инь-поверхности левой кисти

ис. 224. Объединенная закрытая боковая система соответствия телу на кистях.

В объединенной закрытой боковой системе соответствия телу на кистях соответствие левой половине тела расположено на левой кисти, а соответствие правой половине тела — на правой кисти. На Ян-поверхностях кистей находятся проекции поверхностных структур тела, на Инь-поверхностях — проекции внутренних структур тела (соответствие сагиттальному сечению). Соответствие диафрагме расположено по всей длине линии жизни. В объединенной закрытой боковой системе соответствия рассматривается проекция вертикальных и сагиттальных сердцевиновых меридианов.



ис. 225. Вертикальные и сагиттальные сердцевинные бель-меридианы в объединенных боковых (лево-правых) системах соответствия на кистях.

Вертикальный Гомо бель-меридиан вместе с левым и правым вертикальными бель-меридианами проходят по линии симметрии большого пальца до центральной точки солнечной чакры, далее они следуют до точки, лежащей на границе Инь-Ян в области V пястнофалангового сустава. Проекция переднего и заднего вертикальных сердцевинных меридианов проходит параллельно вертикальному Гомо бель-меридиану на расстоянии 3—4 мм (А).

Сагиттальные сердцевинные бель-меридианы наилучшим образом представлены в объединенной боковой системе соответствия, где сагиттальный Гомо бель-меридиан вместе с левым и правым проецируются на линию жизни (проекция диафрагмы), а верхний и нижний бель-меридианы проходят параллельно ему на расстоянии 3—4 мм (Б).

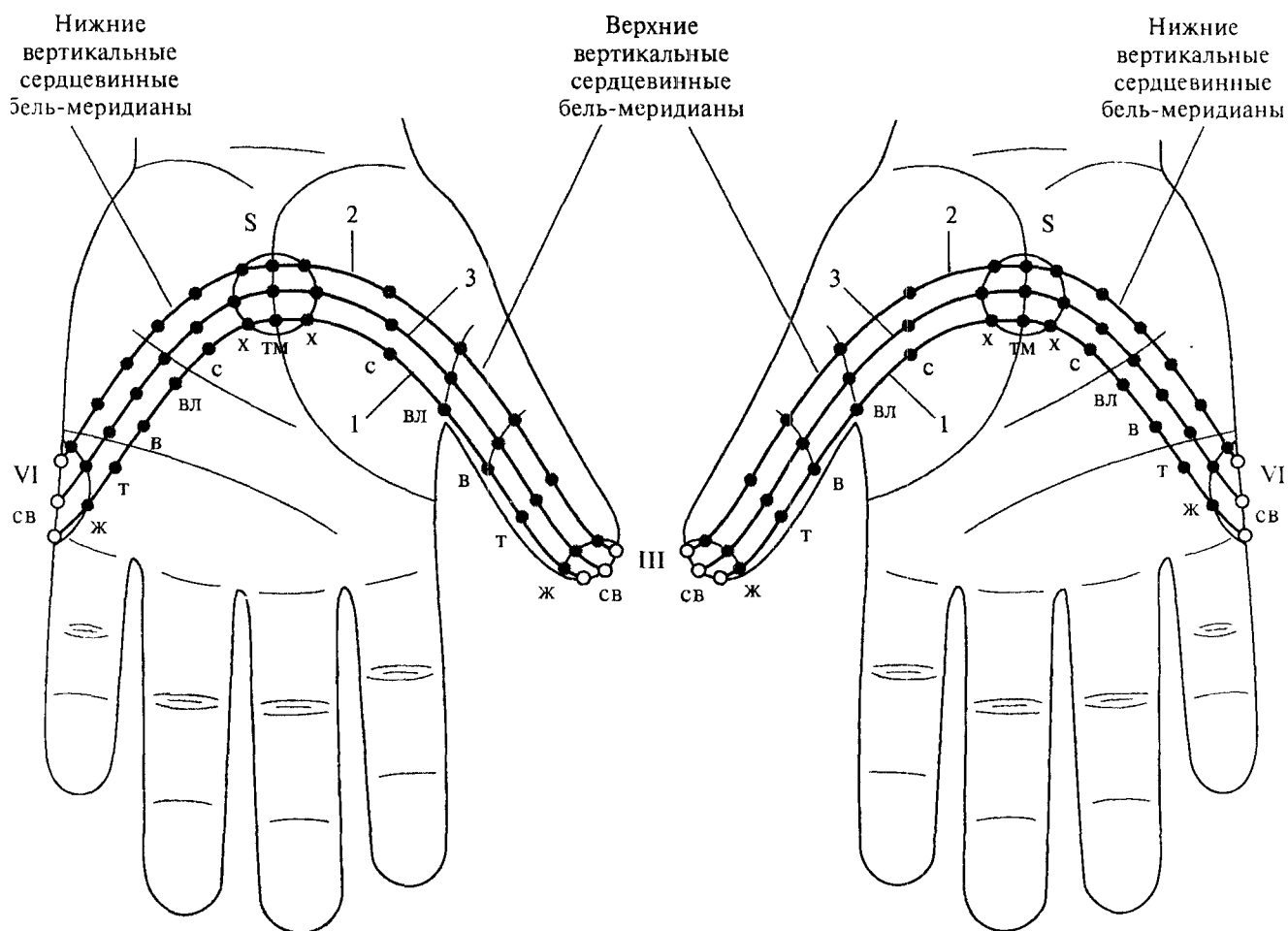


Рис. 226. Точки Восьми Энергий вертикальных сердцевинных бель-меридианов в объединенной боковой системе соответствия телу на кистях.

- 1 — передний вертикальный сердцевинный бель-меридиан
- 2 — задний вертикальный сердцевинный бель-меридиан
- 3 — вертикальный сердцевинный Гомо бель-меридиан
- S — солнечная бель-чакра
- III — верхняя внешняя бель-чакра
- VI — нижняя внешняя бель-чакра

**Точки тьмы** расположены в области солнечной чакры, на линии жизни. **Точки жара и холода** находятся на окружности вокруг точек света и тьмы соответственно.

**Нижние вертикальные сердцевинные бель-меридианы**

**Т. света**  
Расположение: в области нижней внешней бель-чакры (на границе Инь-Ян кисти в области V пястно-фалангового сустава).

**тт. тепла, ветра, влажности и сухости**  
Расположение: на равном расстоянии друг от друга на участке между точками жара и холода.

**Верхние вертикальные сердцевинные бель-меридианы**

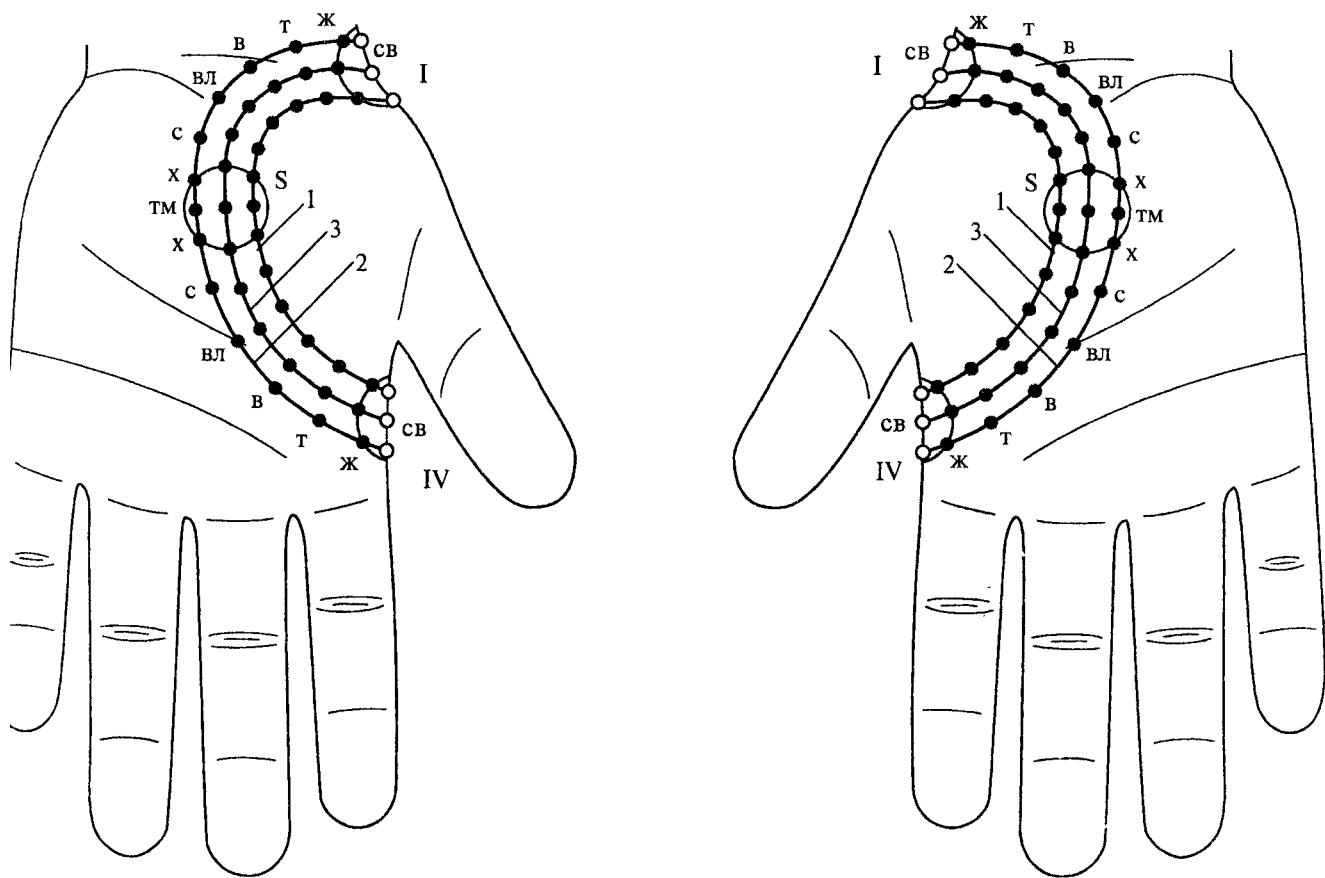
**т. света**  
Расположение: в области верхней внешней бель-чакры (на кончике большого пальца)

**тт. влажности**  
Расположение: на кожной складке в области I пястно-фалангового сустава.

**тт. сухости**  
Расположение: на середине расстояния между точками холода и влажности.

**тт. ветра**  
Расположение: на межфаланговом суставе большого пальца.

**тт. тепла**  
Расположение: на середине дистальной фаланги большого пальца.



ис. 227. Точки Восьми Энергий сагиттальных сердцевинных бель-меридианов в объединенной боковой системе соответствия телу на кистях.

- 1 — верхний сагиттальный сердцевинный бель-меридиан
- 2 — нижний сагиттальный сердцевинный бель-меридиан
- 3 — сагиттальный сердцевинный Гомо бель-меридиан
- S — солнечная бель-чакра
- I — задняя внешняя бель-чакра
- IV — передняя внешняя бель-чакра

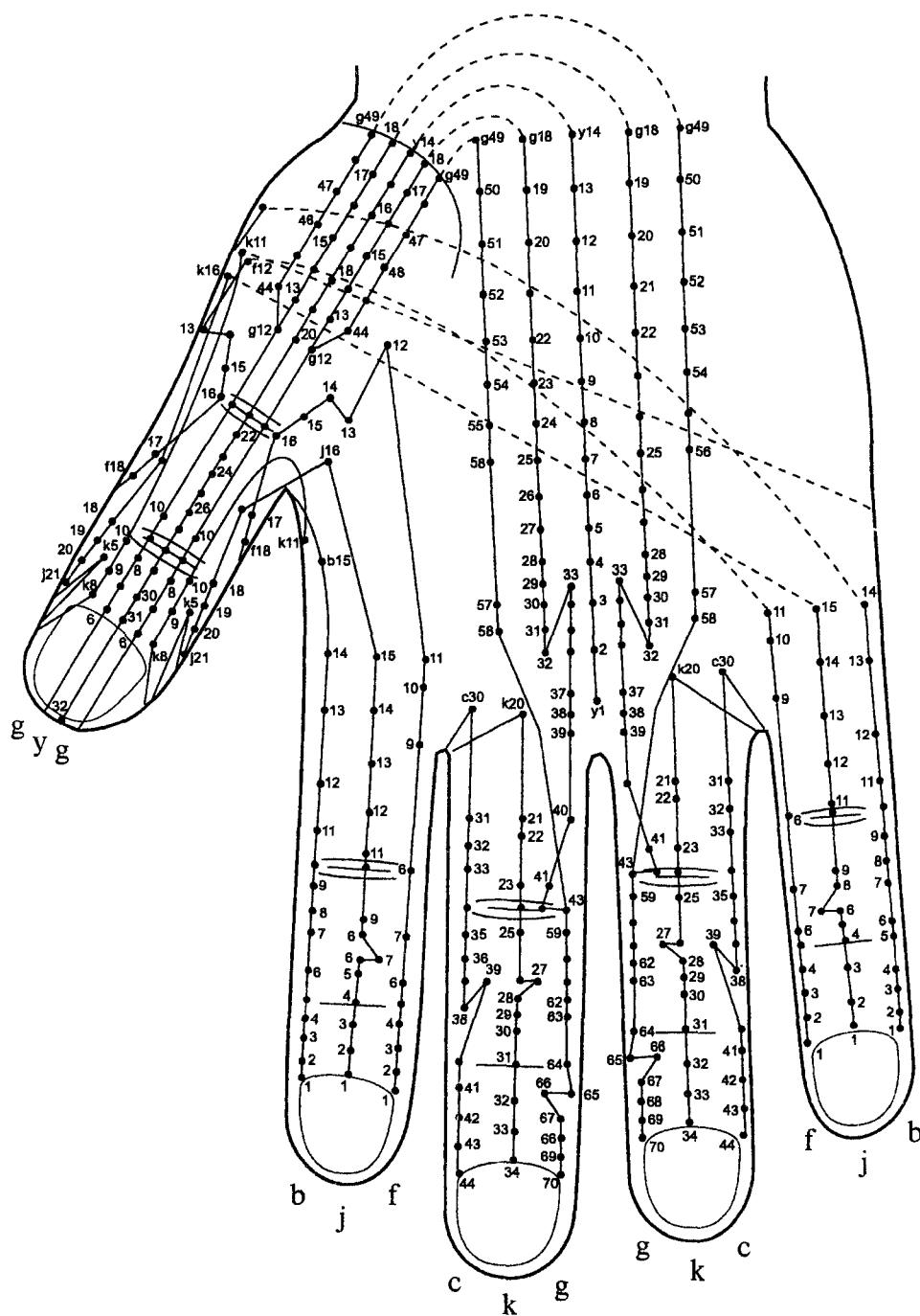
**Т. тьмы**  
 Расположение: в области солнечной чакры (середина линии жизни).

**С. света**  
 Расположение: в области внешних чакр: передней и задней.

**тт. жара и холода**  
 Расположение: на окружности вокруг точек света и тьмы соответственно.

**Точки остальных энергий** находятся на равном расстоянии друг от друга на участке между точками жара и холода.

### 1.4. Периферические бель-меридианы кистей



ис. 228. Периферические А-бель-меридианы на Ян-поверхности левой кисти.

Ручные А-меридианы на участках от кончиков пальцев до локтевых суставов проецируются на Ян-поверхность дистальной и средней фаланг указательного пальца в первичной системе и мизинца во вторичной системе соответствия.

Бель-меридиан спинного мозга (j) проходит посередине Ян-поверхности пальца. Бель-меридианы толстой кишки (b) и тонкой кишки (f) локализуются параллельно бель-меридиану спинного мозга на расстоянии  $1/6$  окружности пальца в области проксимального и дистального межфаланговых суставов.

Далее проекции ручных А-меридианов в системе соответствия отражают ход меридианов на теле в области плеча, шеи и головы.

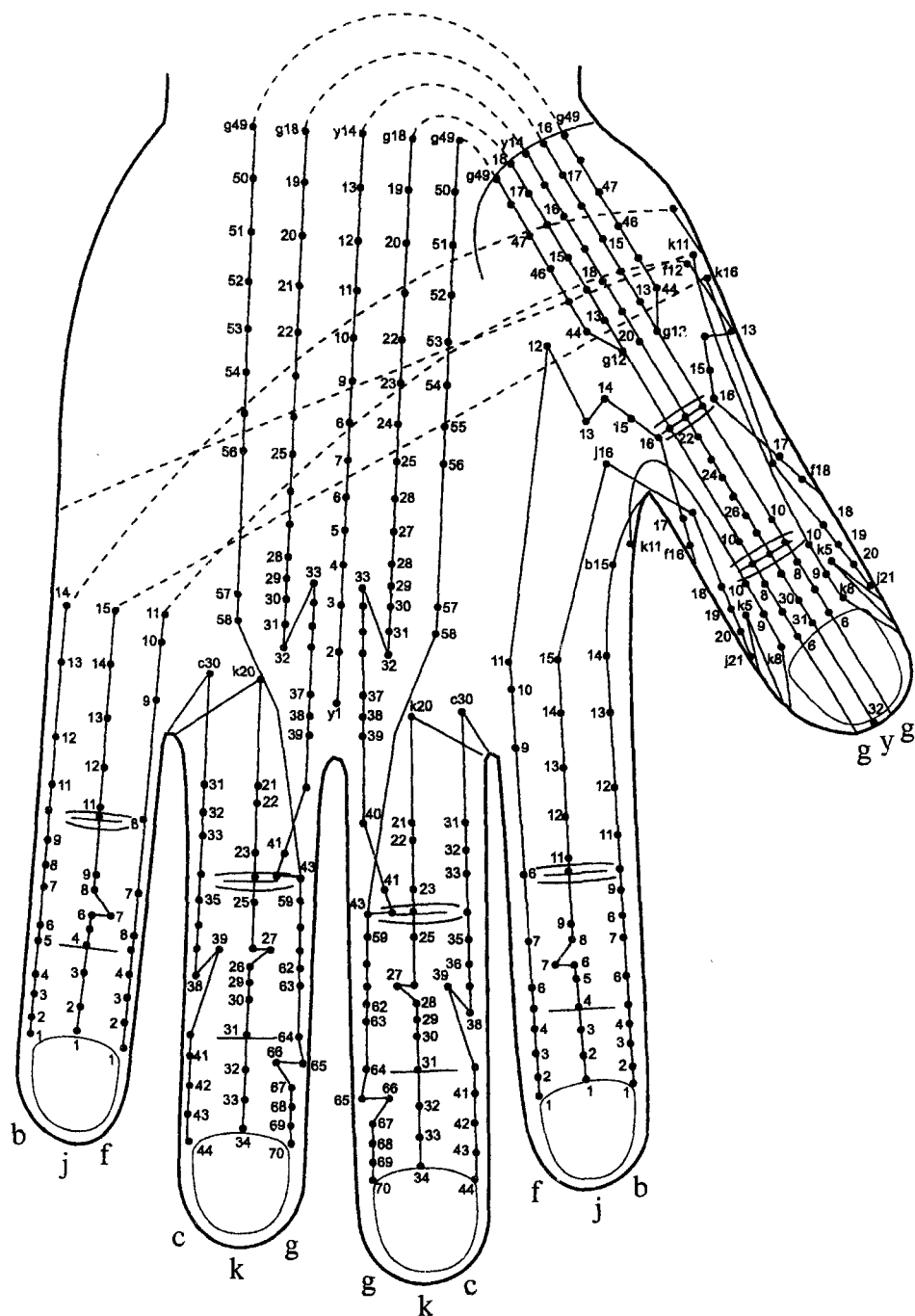


рис. 229. Периферические А-бель-меридианы на Ян-поверхности правой кисти.

Ножные А-меридианы на участках от коленных суставов до кончиков пальцев проецируются на Ян-поверхность дистальной и средней фаланг среднего пальца в первичной системе соответствия и безымянного пальца — во вторичной системе соответствия.

Бель-меридиан желчного пузыря (к) проходит по середине Ян-поверхности пальца. Бель-меридианы желудка (с) и мочевого пузыря (г) локализуются параллельно бель-меридиану желчного пузыря на расстоянии  $1/6$  окружности пальца в области проксимального и дистального межфаланговых суставов.

Далее проекции ножных А-меридианов в системе соответствия отражают ход меридианов на теле в области бедра, туловища, шеи и головы.



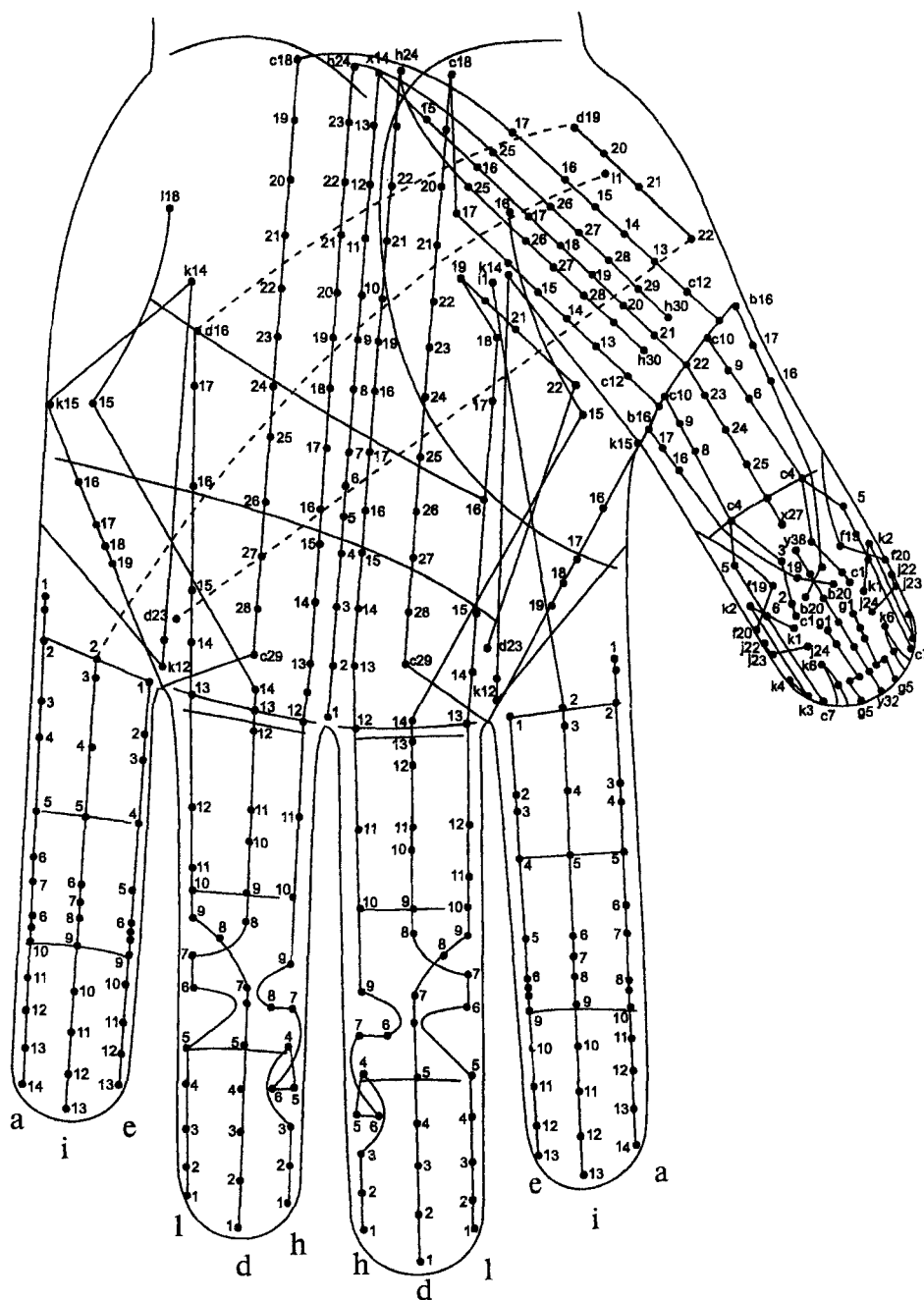
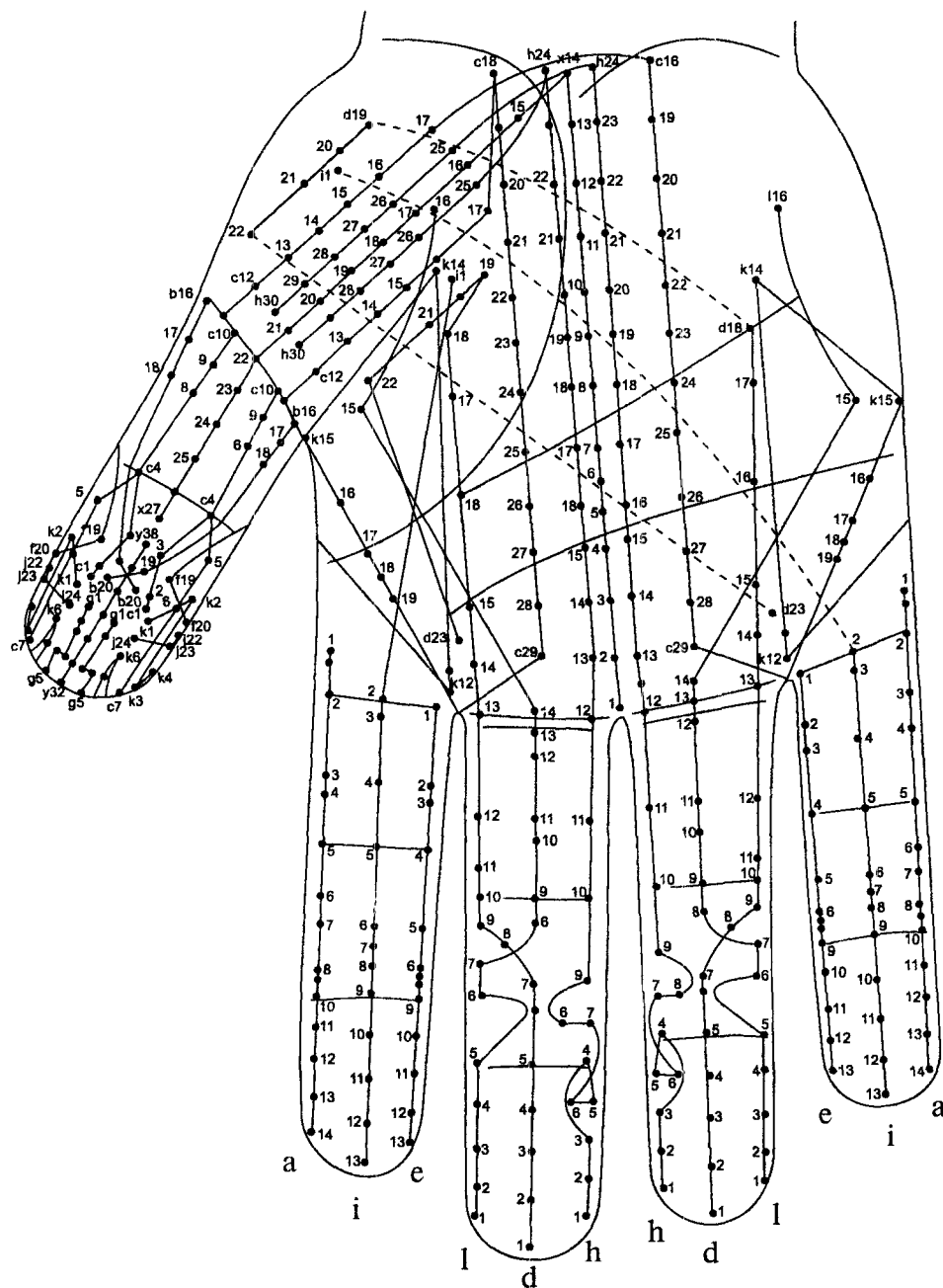


Рис. 230. Периферические УМ-бель-меридианы на Инь-поверхности левой кисти.

Ручные УМ-меридианы на участках от локтевых суставов до кончиков пальцев проецируются на Инь-поверхность II пальца в первичной системе и V пальца во вторичной системе соответствия.

Бель-меридиан головного мозга (i) проходит посередине Инь-поверхности пальца. Бель-меридианы легкого (a) и сердца (e) располагаются параллельно бель-меридиану головного мозга на расстоянии  $1/6$  окружности пальца в области проксимального и дистального межфаланговых суставов.

Далее проекции ручных УМ-меридианов в системе соответствия отражают ход меридианов на теле в области плеча и грудной клетки.



ис. 231. Периферические УМ-бель-меридианы на Инь-поверхности правой кисти.

Ножные УМ-меридианы на участках от кончиков пальцев до коленных суставов проецируются на Инь-поверхность III пальца в первичной системе и IV пальца во вторичной системе соответствия.

Бель-меридиан селезенки (d) начинается от кончика пальца и по середине Инь-поверхности доходит до середины средней фаланги, затем он переходит на боковую часть Инь-поверхности пальца. Бель-меридиан печени (l) от кончика пальца до середины средней фаланги проходит по боковой части Инь-поверхности пальца, после чего переходит на середину Инь-поверхности.

Таким образом, бель-меридианы печени и селезенки делают перекрест между верхней и средней третями средней фаланги пальца, что соответствует перекресту меридианов между верхней и средней третями голени. Бель-меридиан почек (h) располагается с противоположной стороны по боковой части Инь-поверхности пальца.



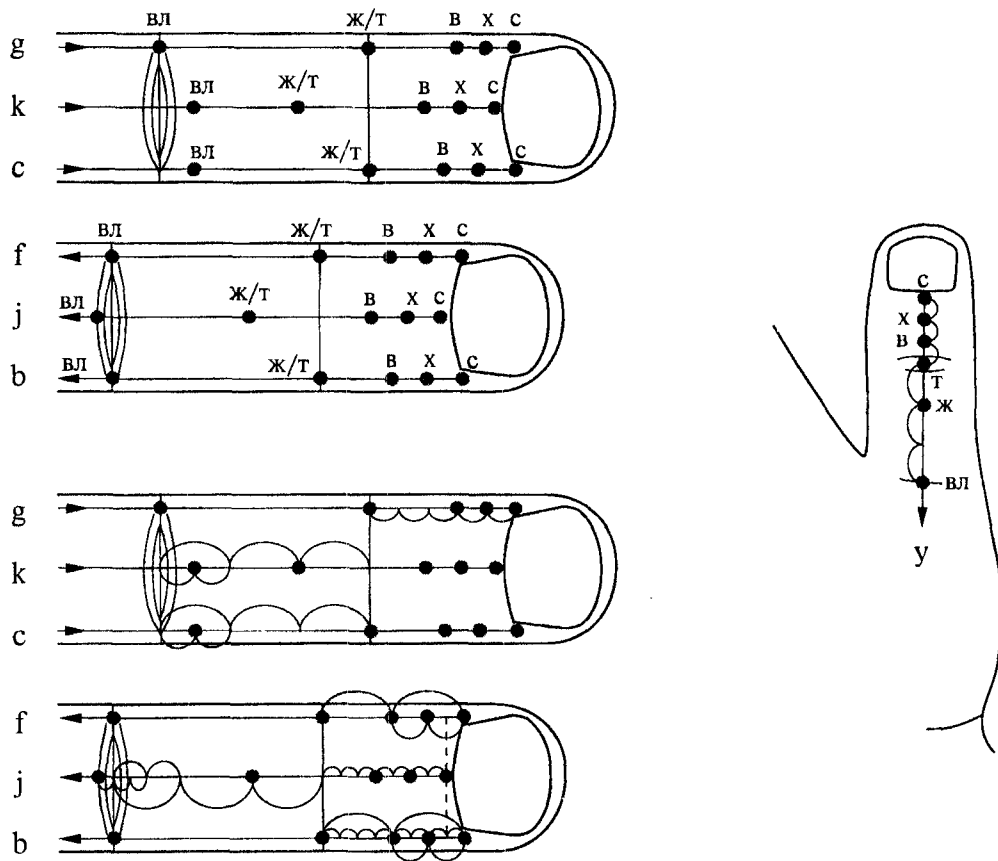


Рис. 232. Точки Шести Энергий А-бель-меридианов.

Последовательность расположения точек на А-бель-меридианах, начиная с дистальной, следующая: **точка сухости, точка холода, точка ветра, точка тепла/жара, точка влажности.**

**Точка сухости** на бель-меридиане спинного мозга (j) находится у края ногтевой лунки. Чтобы найти точки сухости на бель-меридианах толстой кишки (b) и тонкой кишки (f), нужно из точки сухости j опустить перпендикуляр на b и f. Расстояние между полученной точкой и дистальным межфаланговым суставом делится на семь равных частей, после чего откладывается еще 1/7 в сторону кончика пальца.

На уровне дистального межфалангового сустава находится **точка тепла/жара** для меридианов b и f. На расстоянии 1/4 от **точки сухости** b и f по точке тепла находится **точка холода**; на расстоянии 1/2 того же отрезка расположены **точки ветра** b и f.

**Точки влажности** на бель-меридианах b и f находятся на проксимальном межфаланговом суставе. **Точка холода** на бель-меридиане j находится на таком же расстоянии от точки холода. **Точка тепла** — на 1/3 средней фаланги ближе к дистальному суставу. Чтобы найти **точку влажности** j, нужно определить 1/12 средней фаланги и отложить этот отрезок проксимальнее проксимального межфалангового сустава.

**Точки сухости** на бель-меридианах желчного пузыря (k), желудка (c) и мочевого пузыря (g) находим так же, как и точки сухости j, b и f. Положение **точек холода, ветра, тепла/жара** на бель-меридиане желудка (c) определяем по тем же принципам, что и на бель-меридианах b и f. На бель-меридиане мочевого пузыря (g) расстояние от точки сухости до точки тепла/

жара на дистальном суставе делим на пять равных частей; точки, ближайšie к точке сухости, будут **точками холода и ветра** g. **Точки холода, ветра и тепла** на бель-меридиане желчного пузыря находим так же, как на бель-меридиане спинного мозга. **Точки влажности** на бель-меридианах желудка и желчного пузыря располагаются на расстоянии 1/6 от проксимального межфалангового сустава, на бель-меридиане мочевого пузыря — на проксимальном суставе. На заднесрединном бель-меридиане (y) **точка сухости** локализуется у края ногтевой лунки, **точка тепла** — на межфаланговом суставе, **точка влажности** — на пястно-фаланговом суставе большого пальца. Расстояние между точками сухости и тепла делится на три равные части — так определяется местоположение **точек холода и ветра; точка жара** находится на 1/3 проксимальной фаланги от межфалангового сустава.

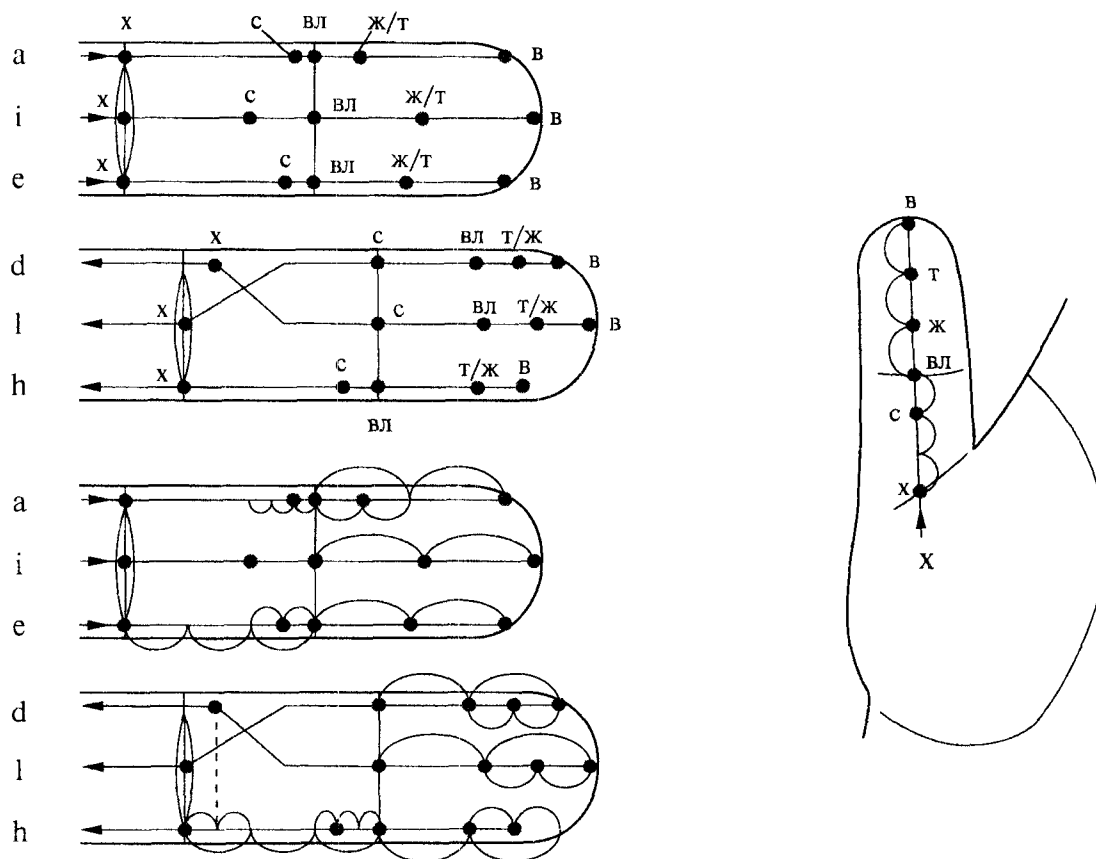


рис. 233. Точки Шести Энергий УМ-белль-меридианов.

Последовательность расположения точек на УМ-белль-меридианах, начиная с дистальной, следующая: **точка ветра**, **точка тепла/жара**, **точка влажности**, **точка сухости**, **точка холода**. **Точки ветра** на белль-меридианах легкого (а), головного мозга (i) и сердца (е) располагаются на кончике казательного пальца, в месте пересечения белль-меридианов с границей Инь-Ян. **Точки тепла/жара** на белль-меридианах головного мозга и сердца находятся на середине расстояния между точками ветра и дистальным суставом; **точка тепла/жара** на белль-меридиане легкого — на расстоянии 1/4 от дистального сустава того же отрезка. **Точки влажности** на всех трех ручных УМ-белль-меридианах локализуются на дистальном суставе, **точки холода** — на прокси-

мальном суставе. **Точка сухости** на белль-меридиане головного мозга (i) находится на расстоянии 1/3 средней фаланги от дистального сустава; на белль-меридиане легкого — на расстоянии 1/9, белль-меридиане сердца — на расстоянии 1/6. На белль-меридианах печени (l) и селезенки (d) **точки ветра** располагаются на кончике пальца, **точки тепла/жара** — на 1/4 от него до дистального сустава, **точки влажности** — на 1/2 того же отрезка, **точки сухости** — на дистальном суставе. **Точка холода** на белль-меридианах печени (l) и почек (h) локализуется на проксимальном межфаланговом суставе, а на белль-меридиане селезенки (d) — на расстоянии 1/6 длины средней фаланги от этого сустава. На белль-меридиане почки (h) **точка ветра**

находится на расстоянии 1/4 от кончика пальца до дистального сустава, **точка тепла/жара** — на расстоянии 1/2 того же отрезка, **точка влажности** — на дистальном суставе, **точка сухости** — на расстоянии 2/9 от дистального сустава, между точками влажности и холода. На переднесрединном белль-меридиане (х) **точка ветра** располагается на кончике большого пальца, **точка влажности** — на дистальном суставе, **точка холода** — на проксимальном суставе. Для того чтобы определить **точки тепла и жара**, нужно дистальную фалангу разделить на три равные части. **Точка сухости** находится на 1/3 расстояния от дистального сустава между точками влажности и холода.

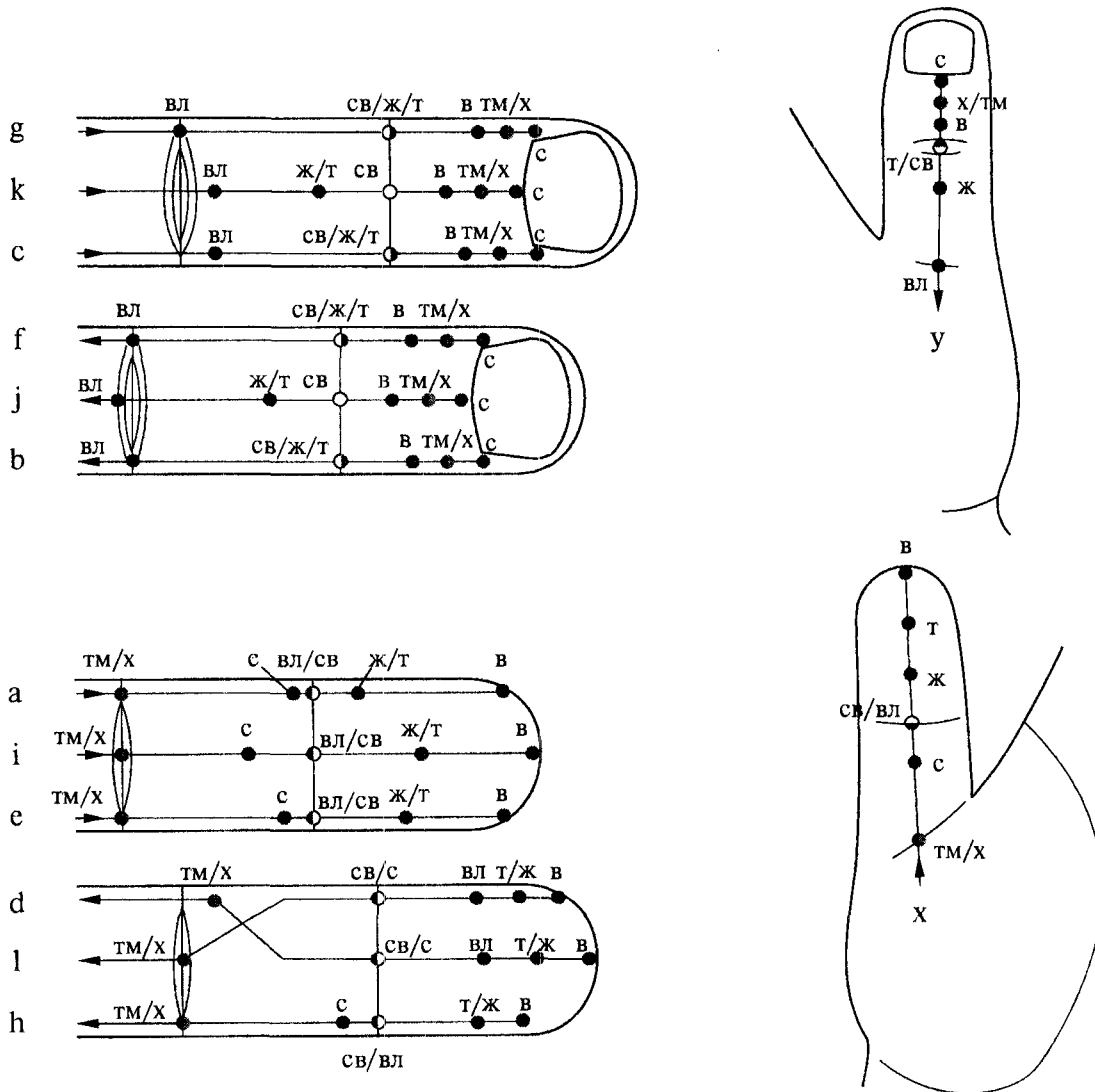


рис. 234. Точки Восьми Энергий периферических бель-меридианов (меридианальный тип расположения точек света и тьмы).

При меридианальном типе расположения **точка света** находится на дистальном межфаланговом суставе, **точка тьмы** — в точке холода на каждом из бель-меридианов.

Последовательность расположения точек на А-бель-меридианах, начиная с дистальной, следующая: точка су-

хости, точка холода, точка ветра, точка тепла/жара, точка влажности.

Последовательность расположения точек на УМ-бель-меридианах, начиная с дистальной, следующая: точка ветра, точка тепла/жара, точка влажности, точка сухости, точка холода.

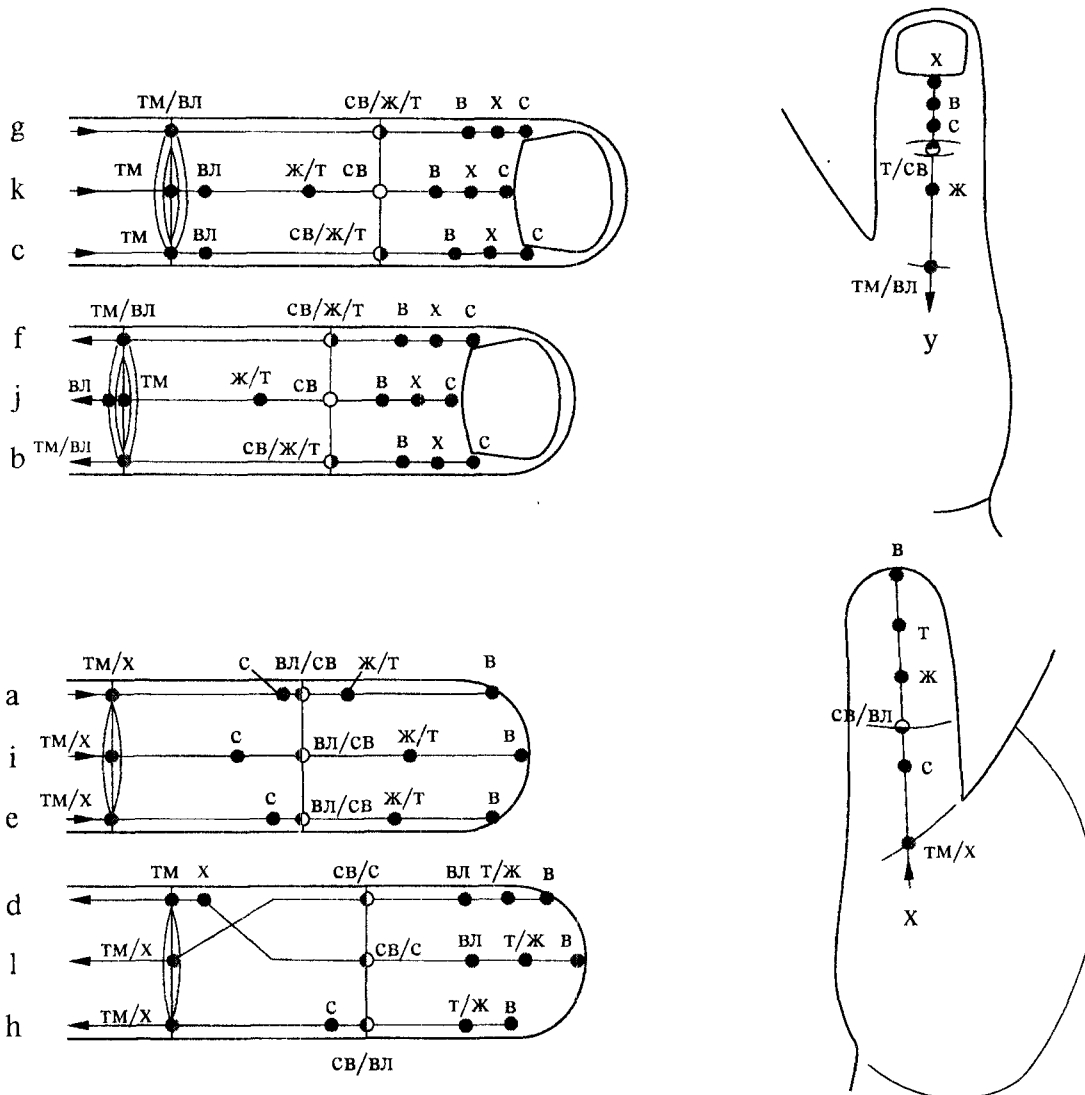


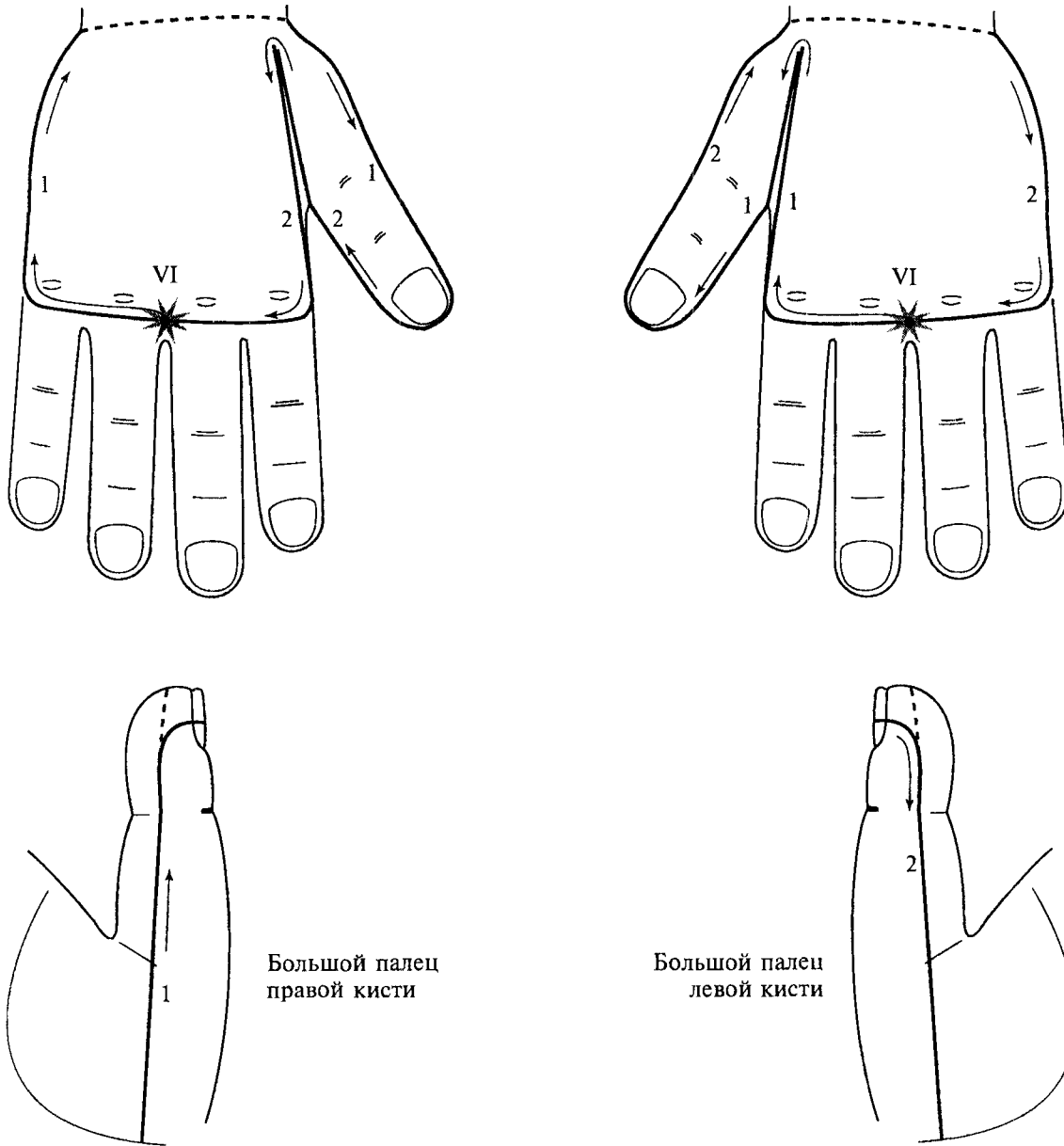
рис 235. Точки Восьми Энергий на периферических бель-меридианах (анатомический тип расположения точек света и тьмы).

При анатомическом типе расположения **точка света** находится на дистальном межфаланговом суставе, **точка тьмы** — на проксимальном межфаланговом суставе на аждом из бель-меридианов. Последовательность расположения точек на А-бель-меридианах, начиная с дистальной, следующая: точка су-

хости, точка холода, точка ветра, точка тепла/жара, точка влажности.

Последовательность расположения точек на УМ-бель-меридианах, начиная с дистальной, следующая: точка ветра, точка тепла/жара, точка влажности, точка сухости, точка холода.

### 1.5. Циркуляция в энергетической системе кистей



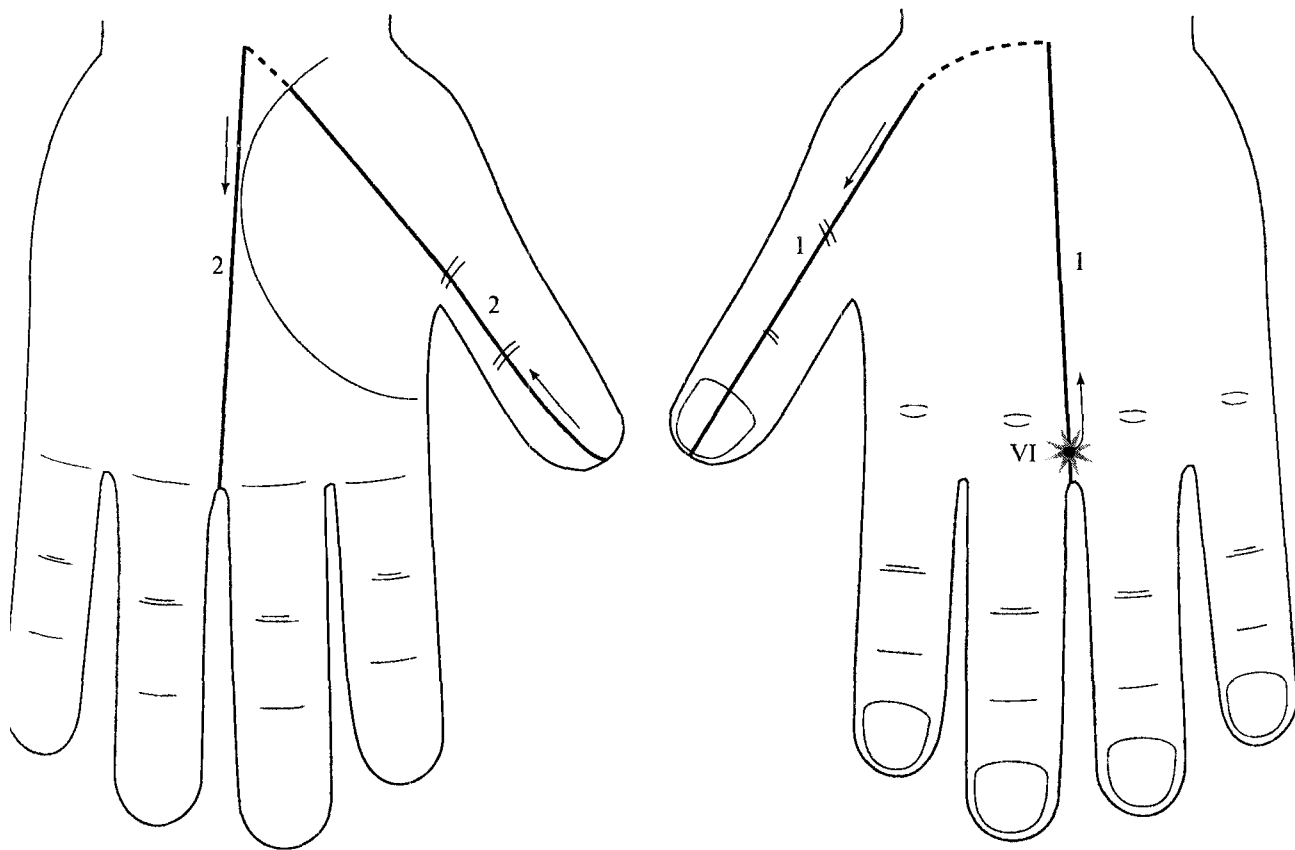
Большой палец  
правой кисти

Большой палец  
левой кисти

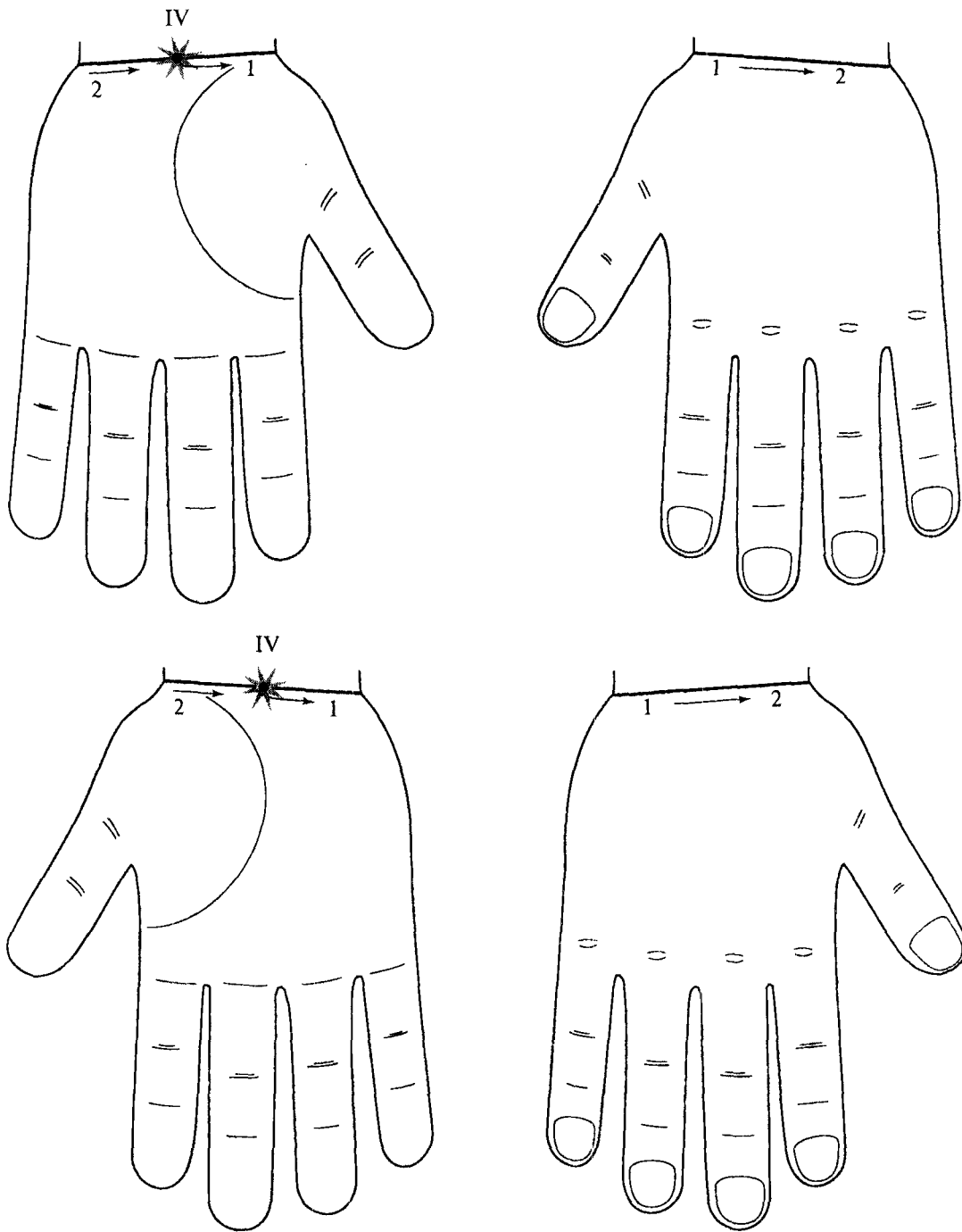
ис. 236. Циркуляция единой энергии в боковых пограничных бель-меридианах кистей при доминировании вертикальной оси тела.

Из нижней внешней бель-чакры единая энергия сначала направляется в левый боковой пограничный бель-меридиан (1), затем возвращается по правому боковому пограничному бель-меридиану (2).

VI — нижняя внешняя бель-чакра кистей



ис. 237. Циркуляция единой энергии в центральном пограничном бель-меридиане левой кисти при доминировании вертикальной оси тела.  
Из нижней внешней бель-чакры единая энергия сначала направляется в задний центральный пограничный бель-меридиан (1), затем возвращается по переднему центральному пограничному бель-меридиану (2).  
VI — нижняя внешняя бель-чакра кисти



**Рис. 238.** Циркуляция единой энергии в диафрагмальном пограничном бель-меридиане кистей при доминировании сагиттальной оси тела.  
Из передней внешней бель-чакры единая энергия сначала направляется в левый диафрагмальный пограничный бель-меридиан (1), затем возвращается по правому диафрагмальному пограничному бель-меридиану (2).  
IV — передняя внешняя бель-чакра кисти

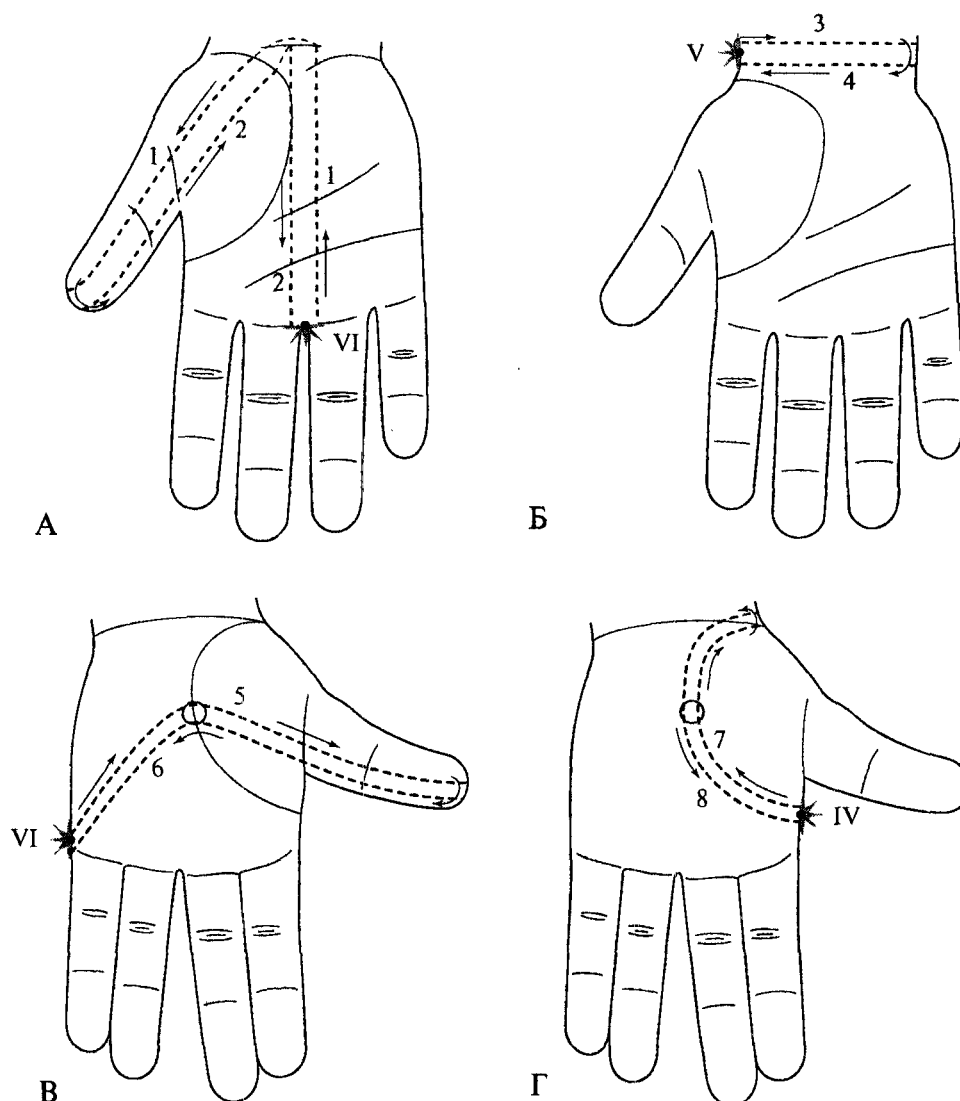


Рис. 239. Циркуляция единых энергий в сердцевинных бель-меридианах кистей.

Источниками циркуляции единых энергий по сердцевинным меридианам служат нижняя, правая и передняя чакры. Единая энергия сначала следует по сердцевинному меридиану Гетеро-половины тела, затем по сердцевинному меридиану Гомо-половины тела возвращается назад в чакру. Циркуляция единых энергий в вертикальном, фронтальном и сагиттальном сердцевинных бель-меридианах кистей происходит по такому же принципу.

А — циркуляция в боковом вертикальном сердцевинном бель-меридиане

Б — циркуляция в боковом фронтальном сердцевинном бель-меридиане

В — циркуляция в центральном вертикальном сердцевинном бель-меридиане

Г — циркуляция в центральном сагиттальном сердцевинном бель-меридиане

1 — левый вертикальный сердцевинный бель-меридиан

2 — правый вертикальный сердцевинный бель-меридиан

3 — верхний фронтальный сердцевинный бель-меридиан

4 — нижний фронтальный сердцевинный бель-меридиан

5 — задний вертикальный сердцевинный бель-меридиан

6 — передний вертикальный сердцевинный бель-меридиан

7 — верхний сагиттальный сердцевинный бель-меридиан

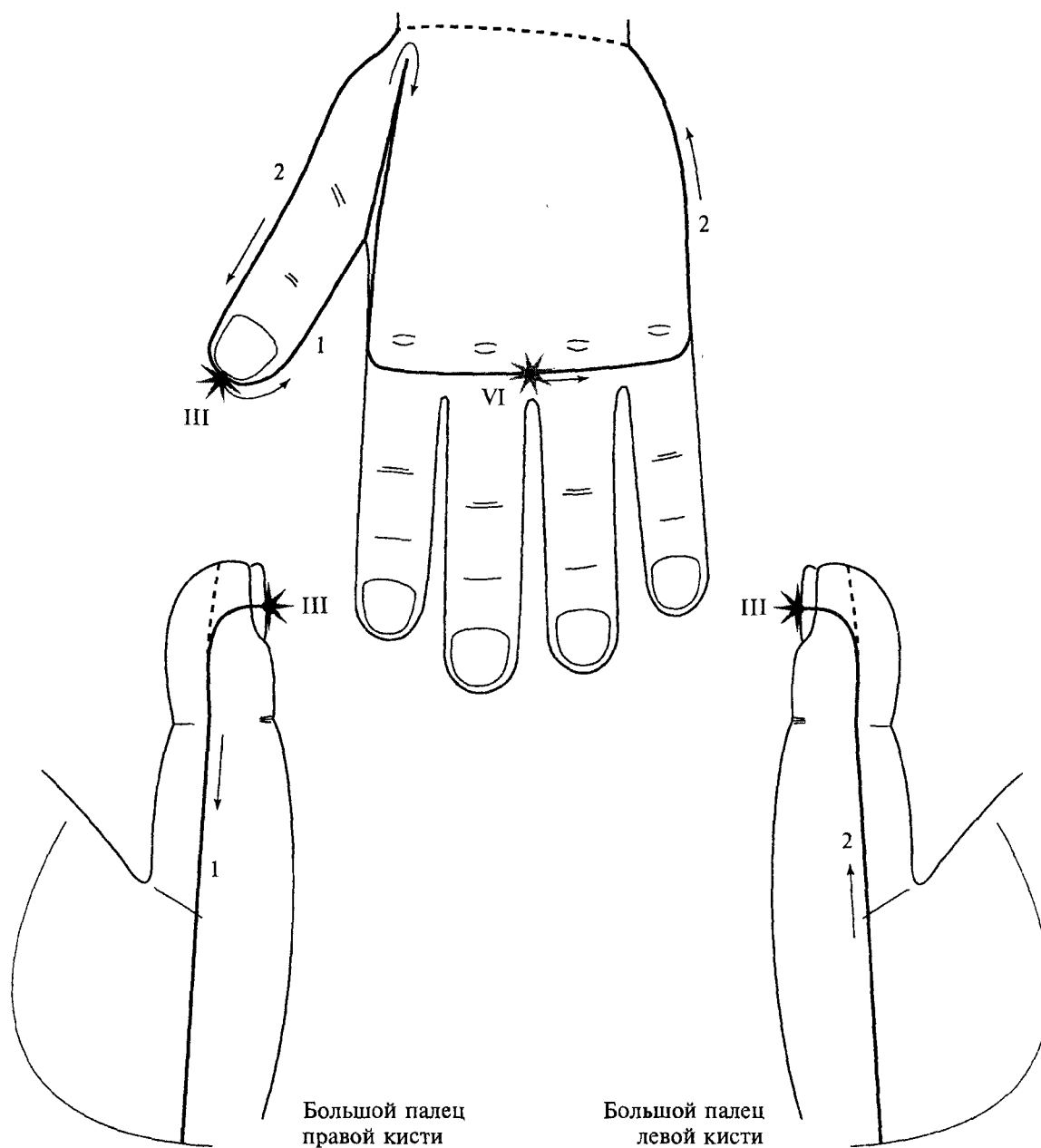
8 — нижний сагиттальный сердцевинный бель-меридиан

IV — передняя внешняя бель-чакра

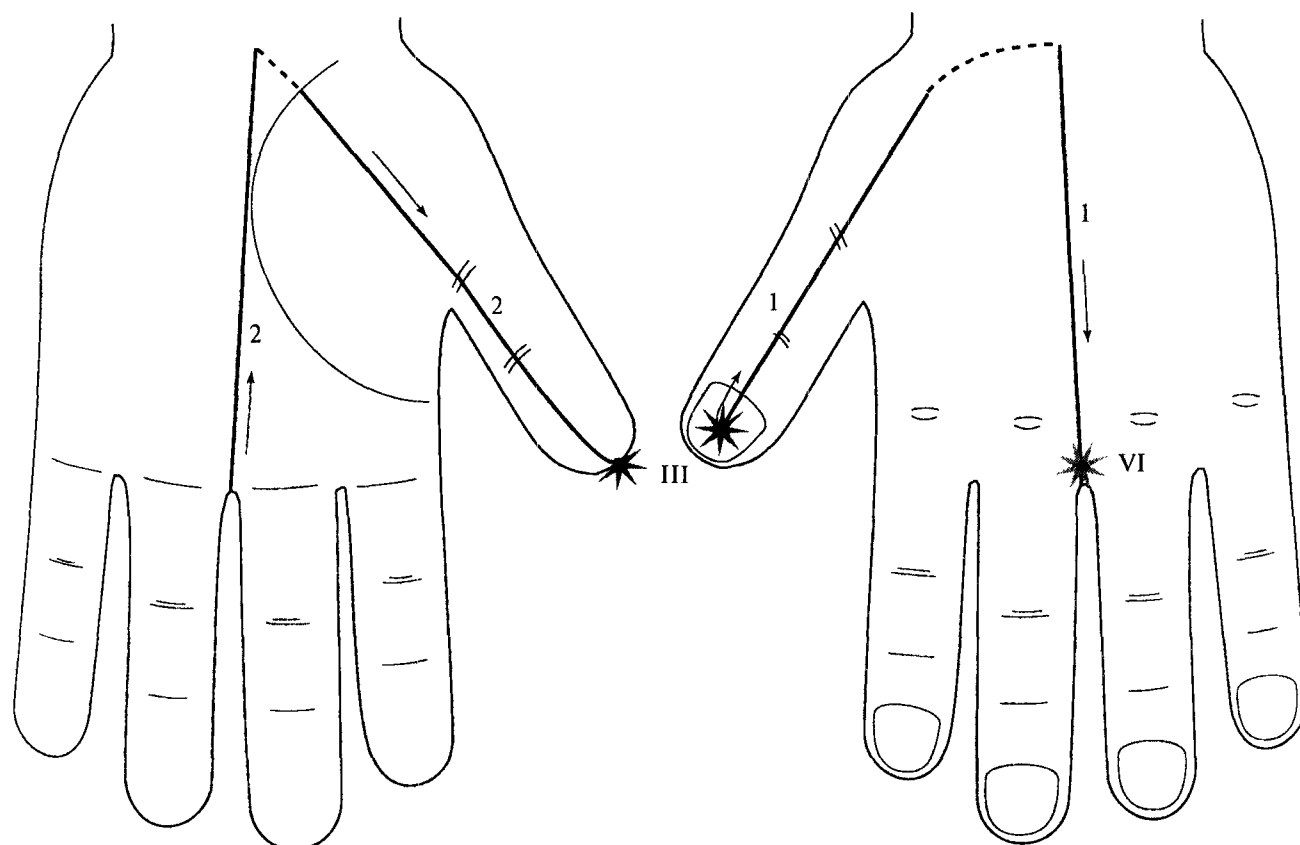
V — правая внешняя бель-чакра

VI — нижняя внешняя бель-чакра





**Рис. 240.** *Направление потоков индивидуальных энергий в левом и правом боковых пограничных бель-меридианах кистей.*  
*A-энергия из верхней внешней бель-чакры кистей направляется в левый боковой пограничный бель-меридиан, а УМ-энергия из нижней внешней бель-чакры следует в правый боковой пограничный бель-меридиан.*  
 1 — циркуляция A-энергии по левому боковому пограничному бель-меридиану кисти  
 2 — циркуляция УМ-энергии по правому боковому пограничному бель-меридиану кисти  
 III — верхняя внешняя бель-чакра кисти  
 VI — нижняя внешняя бель-чакра кисти



**Рис. 241.** Направление потоков индивидуальных энергий в переднем и заднем центральном пограничном бель-меридианах кистей.

*A-энергия из верхней внешней бель-чакры кисти идет по заднему центральному пограничному бель-меридиану, а УМ-энергия из нижней внешней бель-чакры кисти движется по переднему центральному пограничному бель-меридиану.*

*1 — циркуляция А-энергии по заднему центральному пограничному бель-меридиану кисти*

*2 — циркуляция УМ-энергии по переднему центральному пограничному бель-меридиану кисти*

*III — верхняя внешняя бель-чакра кисти*

*VI — нижняя внешняя бель-чакра кисти*

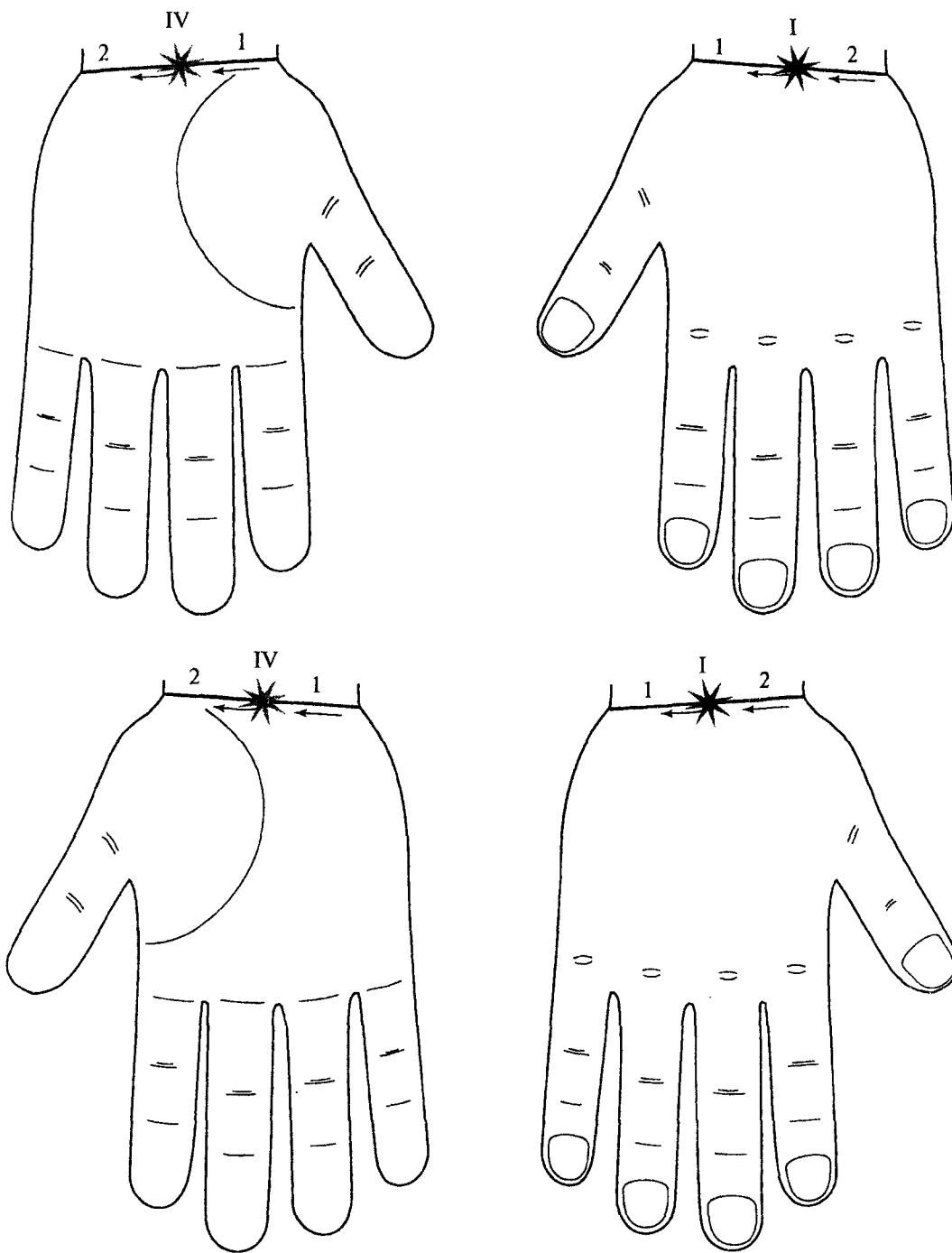


Рис. 242. Направление потоков индивидуальных энергий в левом и правом диафрагмальных пограничных бель-меридианах кистей.

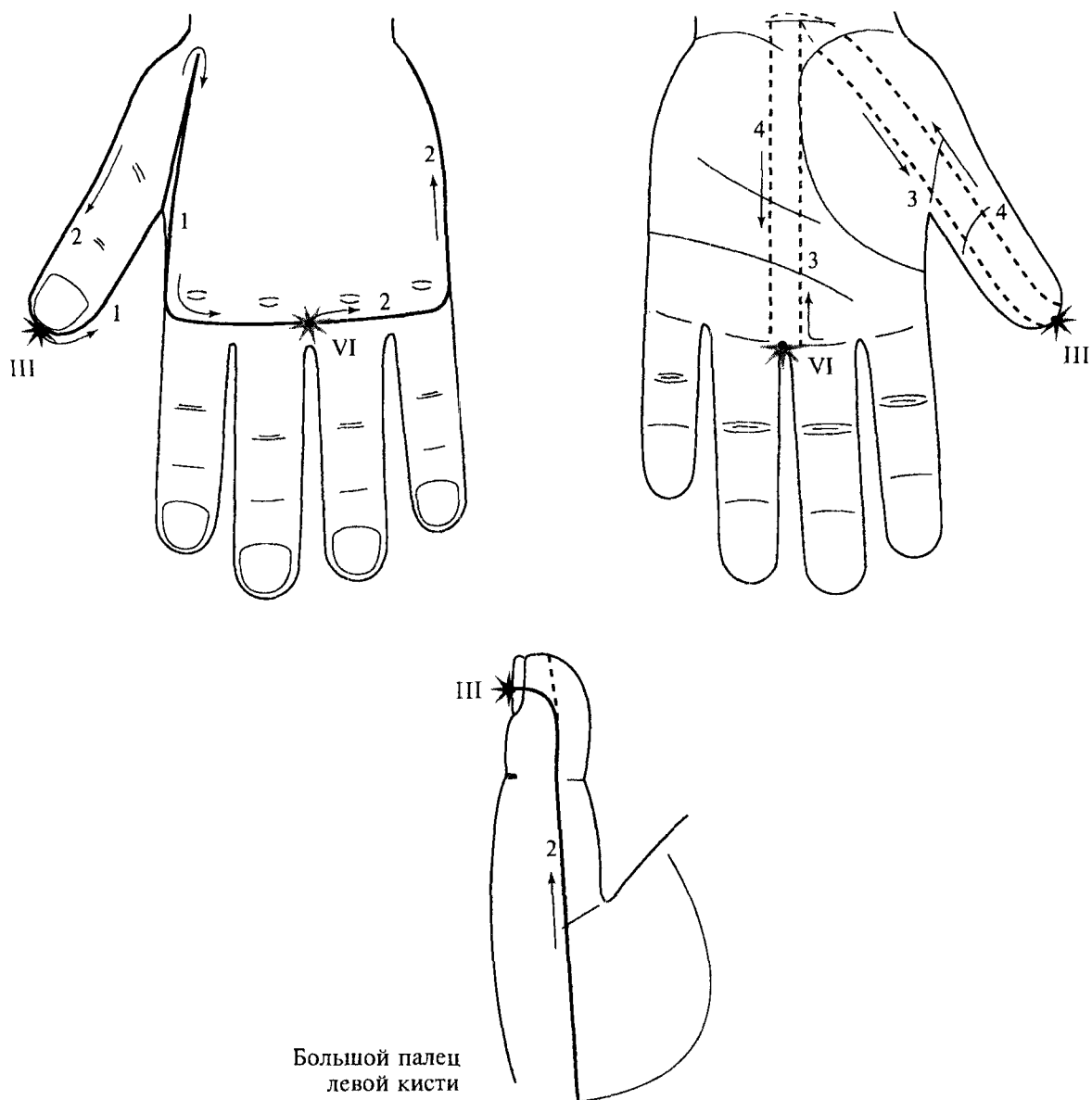
*A*-энергия из внешней задней бель-чакры идет по левому диафрагмальному пограничному бель-меридиану, а УМ-энергия из внешней передней бель-чакры движется по правому диафрагмальному пограничному бель-меридиану.

1 — циркуляция *A*-энергии по левому диафрагмальному пограничному бель-меридиану кисти

2 — циркуляция УМ-энергии по правому диафрагмальному пограничному бель-меридиану кисти

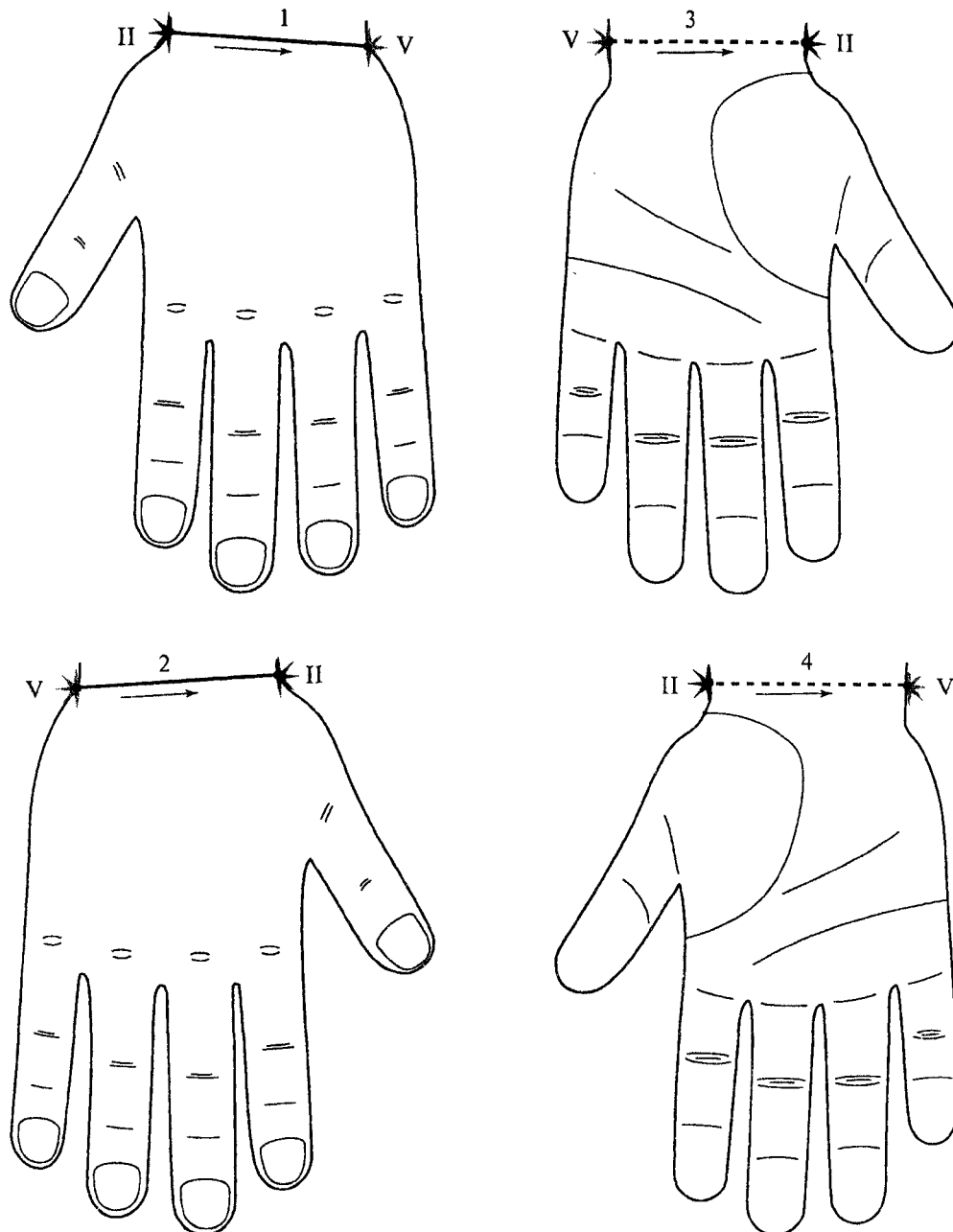
I — задняя внешняя бель-чакра кисти

IV — передняя внешняя бель-чакра кисти



Большой палец  
левой кисти

- Рис. 243.** Циркуляция индивидуальных энергий в боковом пограничном и вертикальном сердцевинном бель-меридианах в объединенной закрытой стандартной системе соответствия на кистях. Из верхней внешней бель-чакры (III) А-энергия направляется в левый боковой пограничный бель-меридиан (1) и по левому вертикальному сердцевинному бель-меридиану (3) возвращается назад в верхнюю внешнюю бель-чакру. Из нижней внешней бель-чакры (VI) УМ-энергия следует в правый боковой пограничный бель-меридиан (2) и по правому вертикальному сердцевинному бель-меридиану (4) возвращается назад в нижнюю внешнюю бель-чакру.
- 1 — левый боковой пограничный бель-меридиан
  - 2 — правый боковой пограничный бель-меридиан
  - 3 — левый вертикальный сердцевинный бель-меридиан
  - 4 — правый вертикальный сердцевинный бель-меридиан
  - III — верхняя внешняя бель-чакра кисти
  - VI — нижняя внешняя бель-чакра кисти



**Рис. 244.** Циркуляция индивидуальных энергий в диафрагмальном пограничном и фронтальном сердцевинном бель-меридианах в объединенной закрытой стандартной системе соответствия на кистях.

Из левой внешней бель-чакры (II) А-энергия направляется в задний диафрагмальный пограничный меридиан (1), затем в задний фронтальный сердцевинный бель-меридиан (3), по которому возвращается в левую бель-чакру.

Из правой внешней бель-чакры (V) УМ-энергия следует в передний диафрагмальный пограничный меридиан (2), затем в передний фронтальный сердцевинный бель-меридиан (4), по которому возвращается в правую бель-чакру.

- 1 — задний диафрагмальный пограничный бель-меридиан
- 2 — передний диафрагмальный пограничный бель-меридиан
- 3 — задний фронтальный сердцевинный бель-меридиан
- 4 — передний фронтальный сердцевинный бель-меридиан
- II — левая внешняя бель-чакра
- V — правая внешняя бель-чакра

## Глава 2. Энергетическая система стоп

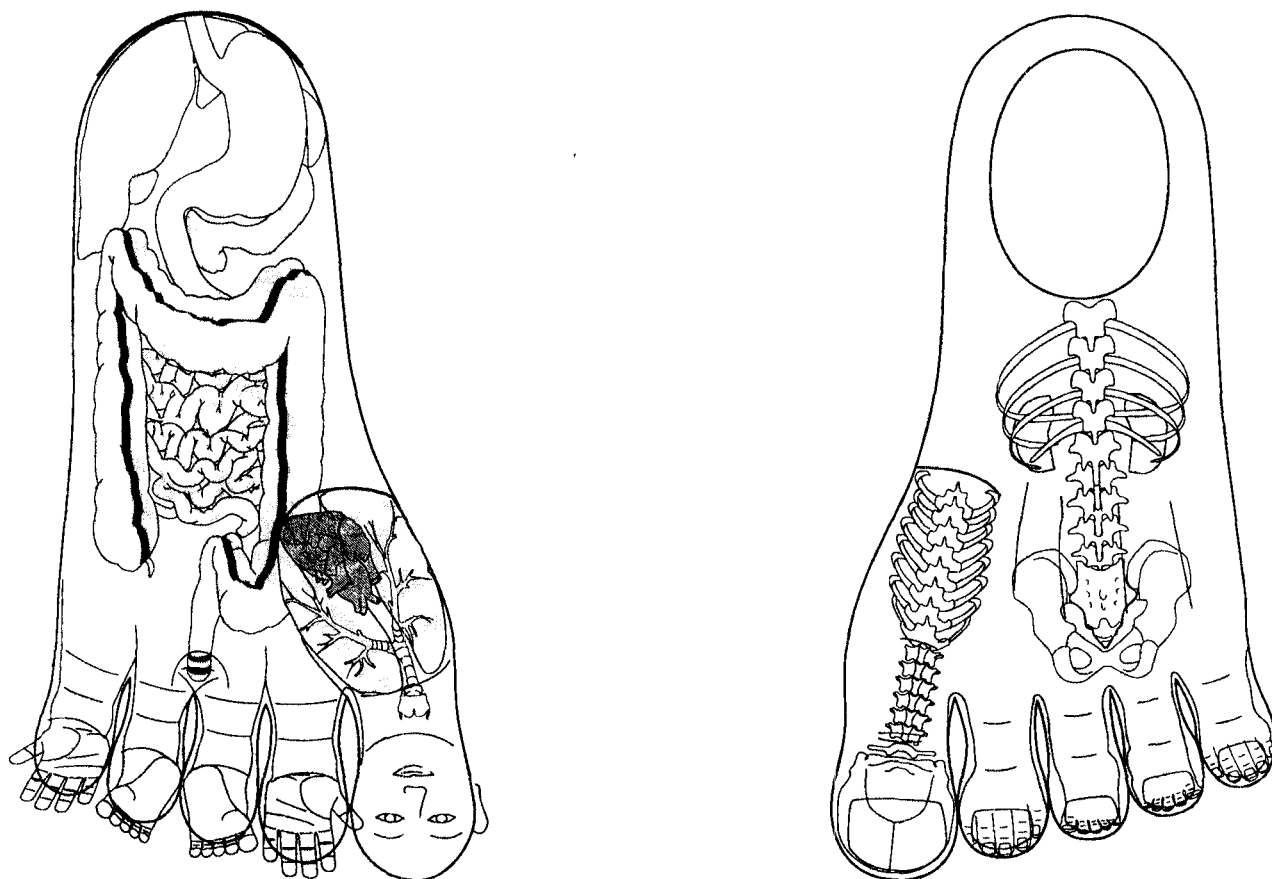


Рис. 245. Индивидуальная стандартная система соответствия телу на стопах.

В индивидуальных стандартных системах соответствия телу на стопах соответствия голове и шее находятся на больших пальцах, соответствия груди и животу — на подошвах, соответствия конечностям — на II—V пальцах. Передняя половина тела проецируется на Инь-поверхности стоп, задняя половина тела — на их Ян-поверхности. В соответствии с этим проецируется энергетическая система тела.

## 2.1. Внешние и внутренние бель-чакры стоп

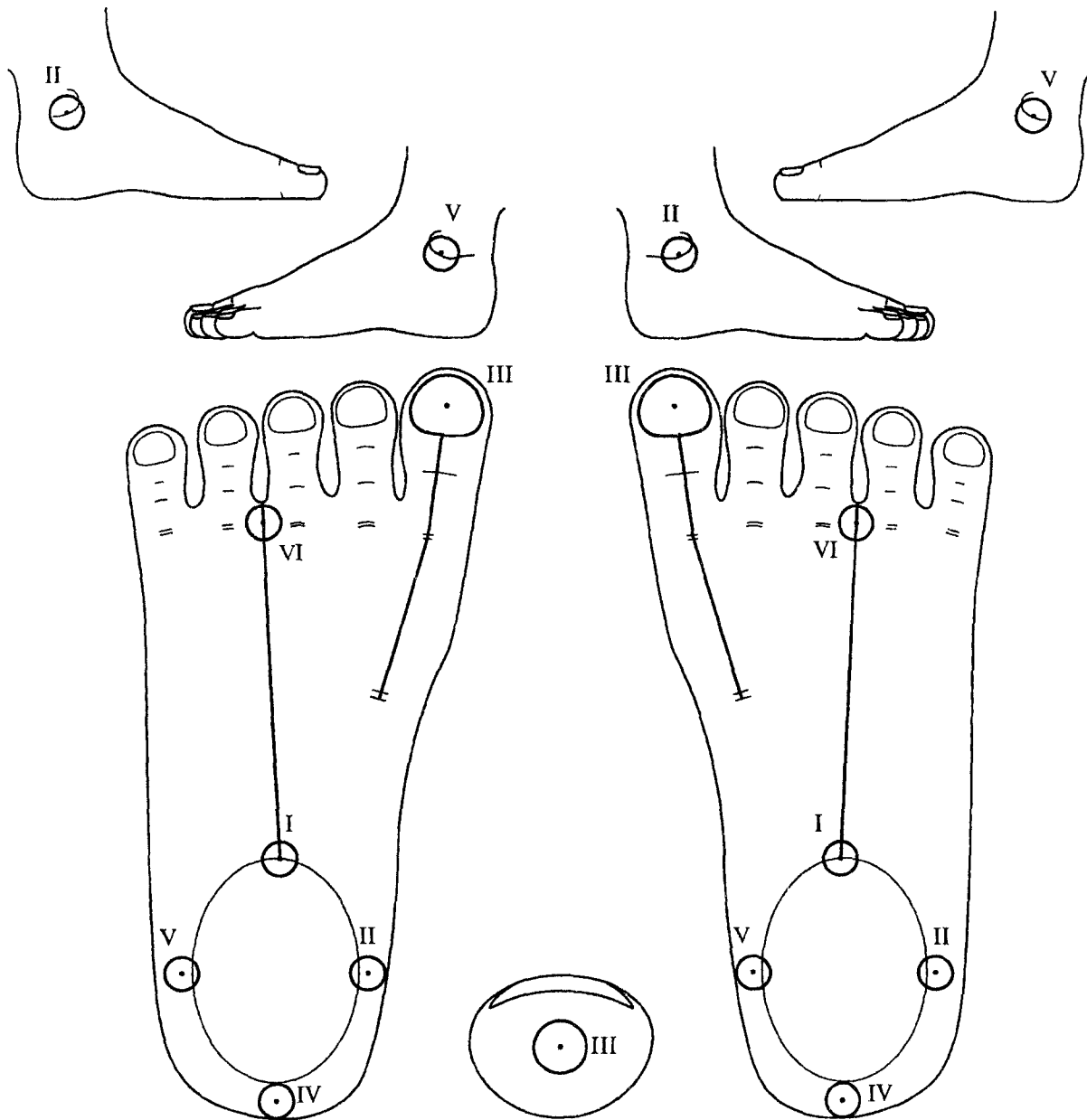


Рис. 246. Топография внешних бель-чакр на стопах.

— задняя внешняя бель-чакра  
тегра

Расположение: в середине передней  
поверхности голеностопного сустава.

I — левая внешняя бель-чакра  
тепла

Расположение: под соответствующими  
лодыжками в области сустава.

III — верхняя внешняя бель-чакра  
жара

Имеет два варианта расположения на  
стопе: на кончике большого пальца  
или на ноге.

IV — передняя внешняя бель-чакра  
влажности

Расположение: в середине ахиллова  
сухожилия.

V — правая внешняя бель-чакра  
сухости

Расположение: под соответствующими  
лодыжками в области сустава.

VI — нижняя внешняя бель-чакра  
холода

Расположение: между основаниями  
III и IV пальца.

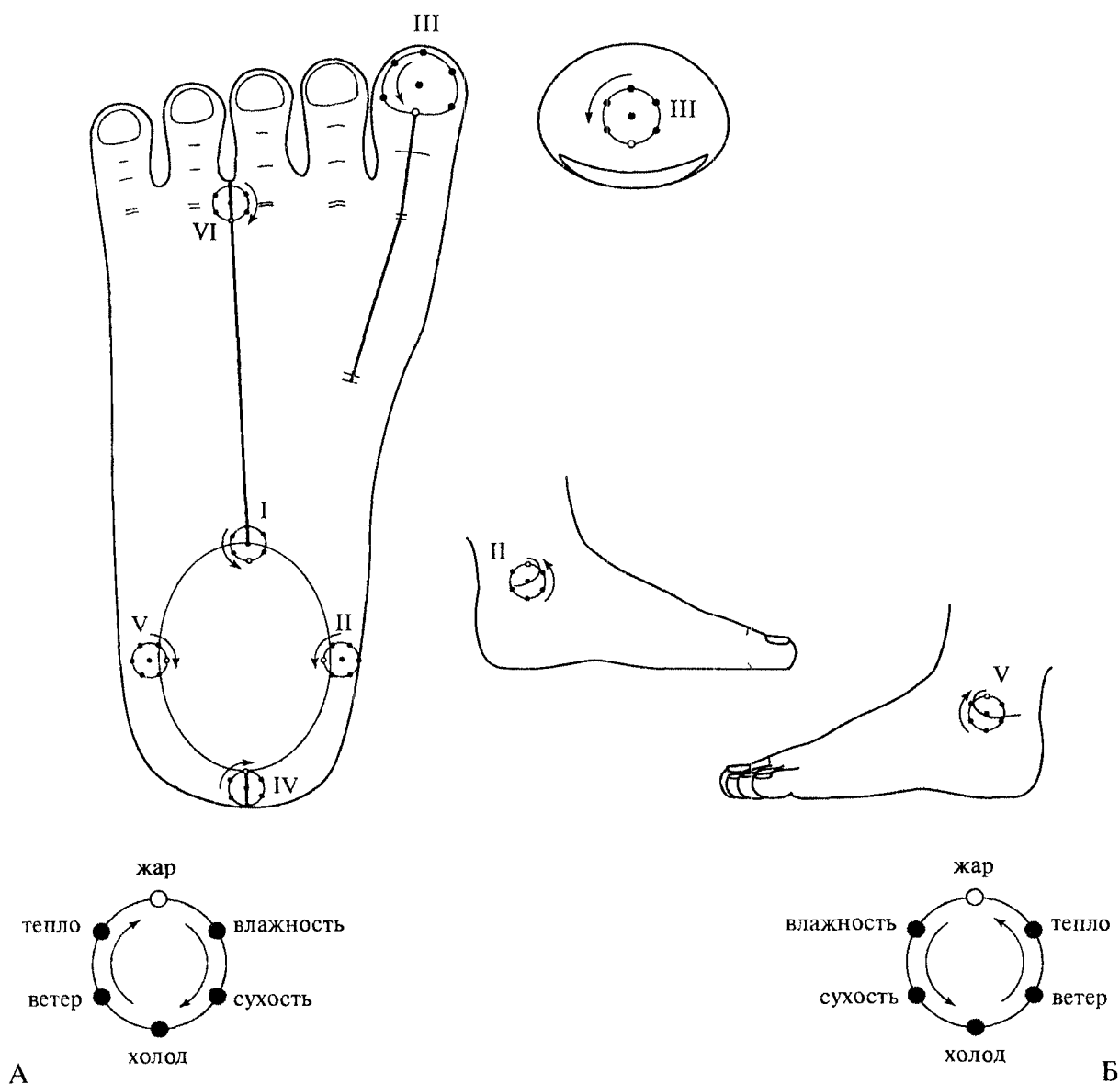


Рис. 247. Точки единых Шести Энергий внешних бель-чакр на левой стопе.

Точки единых Шести Энергий располагаются вокруг центральной точки внешней чакры на окружности с радиусом 3—4 мм. Точка жара всегда занимает самое верхнее положение на окружности, точка холода — самое нижнее положение.

А — Гомо-циркуляция, свойственная чакрам влажности, сухости, холода

Б — Гетеро-циркуляция, характерная для чакр ветра, тепла, жара

I — задняя внешняя бель-чакра ветра

II — левая внешняя бель-чакра тепла

III — верхняя внешняя бель-чакра жара

IV — передняя внешняя бель-чакра влажности

V — правая внешняя бель-чакра сухости

VI — нижняя внешняя бель-чакра холода



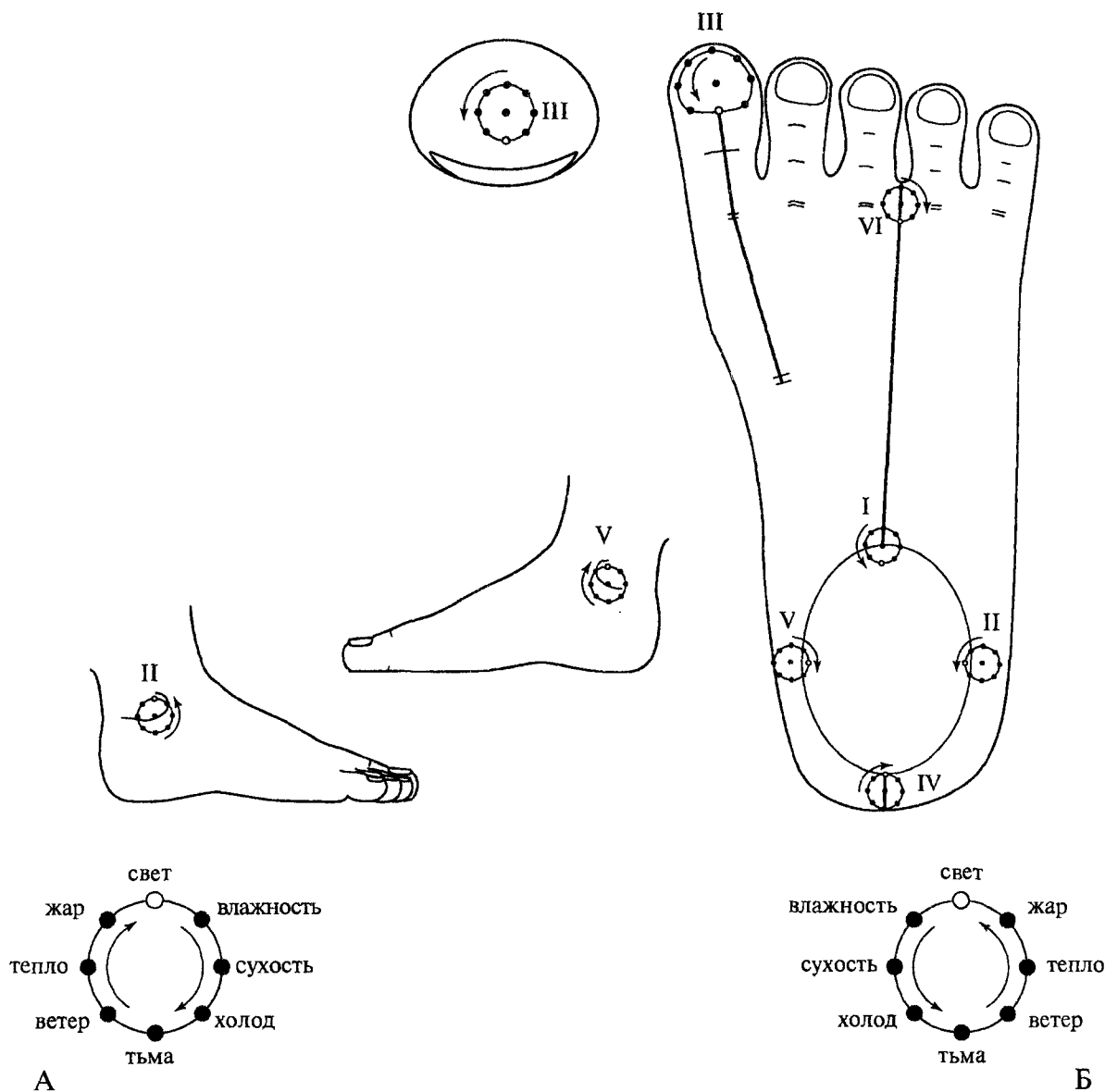


Рис. 248. Точки единых Восьми Энергий внешних бель-чакр на правой стопе.

Точки единых Восьми Энергий располагаются вокруг центральной точки внешней чакры на окружности с радиусом 3—4 мм. Точка света всегда занимает самое верхнее положение на окружности, точка тьмы — самое нижнее положение.

А — Гомо-циркуляция, свойственная чакрам влажности, сухости, холода

Б — Гетеро-циркуляция, характерная для чакр ветра, тепла, жара

I — задняя внешняя бель-чакра ветра

II — левая внешняя бель-чакра тепла

III — верхняя внешняя бель-чакра жара

IV — передняя внешняя бель-чакра влажности

V — правая внешняя бель-чакра сухости

VI — нижняя внешняя бель-чакра холода

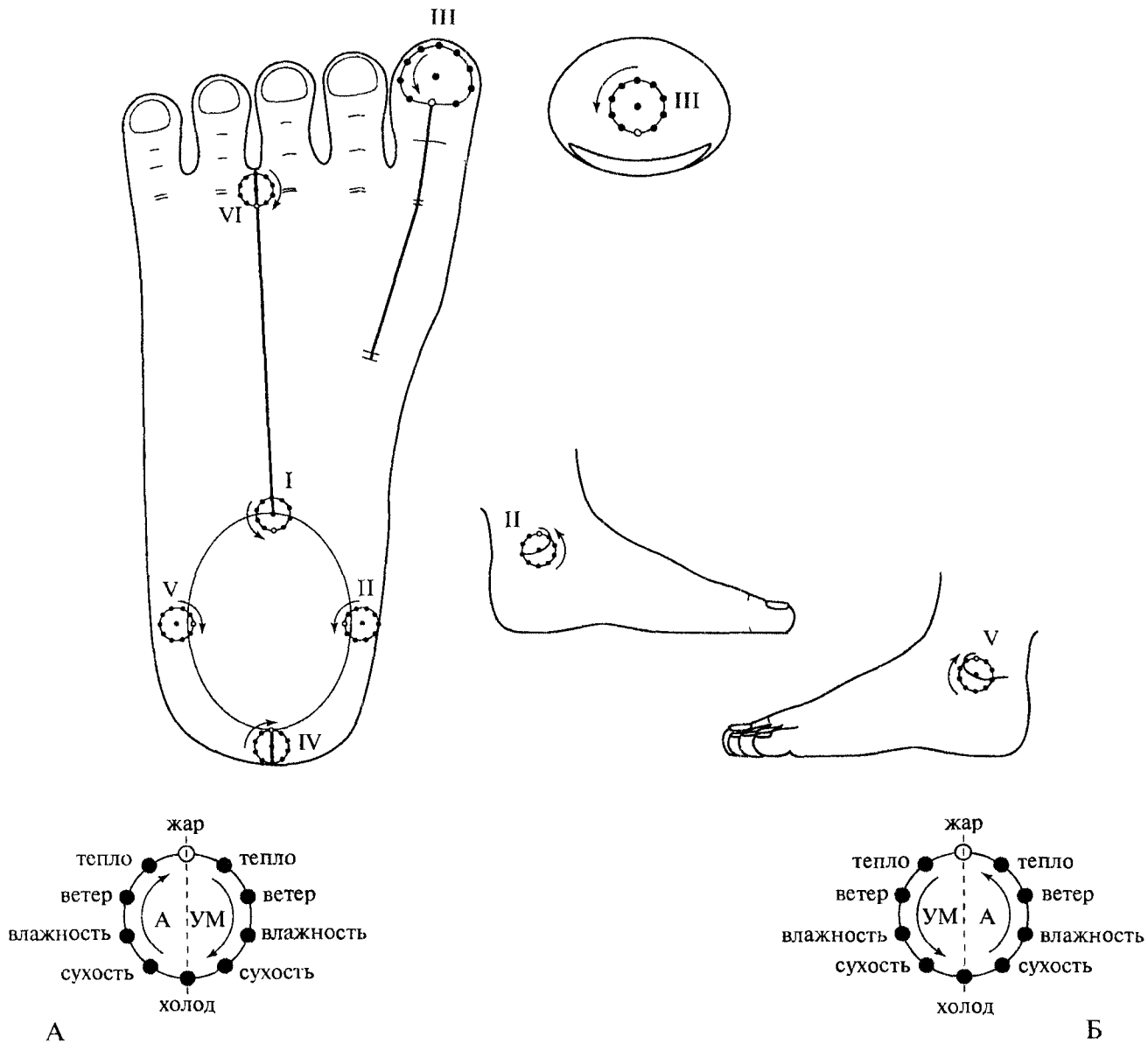


Рис. 249. Точки индивидуальных Шести Энергий внешних бель-чакр на левой стопе.

Точки индивидуальных Шести Энергий также располагаются на окружности с радиусом 3—4 мм. Точка жара— самая верхняя, а точка холода— самая нижняя на окружности. Точки остальных энергий располагаются в соответствии с прогрессивным типом циркуляции (холод-сухость-влажность-ветер-тепло-жар). Используется вертикальный тип деления чакры с последовательной циркуляцией сначала А-энергий, затем УМ-энергий.

А — Гомо-циркуляция, свойственная чакрам влажности, сухости, холода

Б — Гетеро-циркуляция, характерная для чакр ветра, тепла, жара

I — задняя внешняя бель-чакра ветра

II — левая внешняя бель-чакра тепла

III — верхняя внешняя бель-чакра жара

IV — передняя внешняя бель-чакра влажности

V — правая внешняя бель-чакра сухости

VI — нижняя внешняя бель-чакра холода

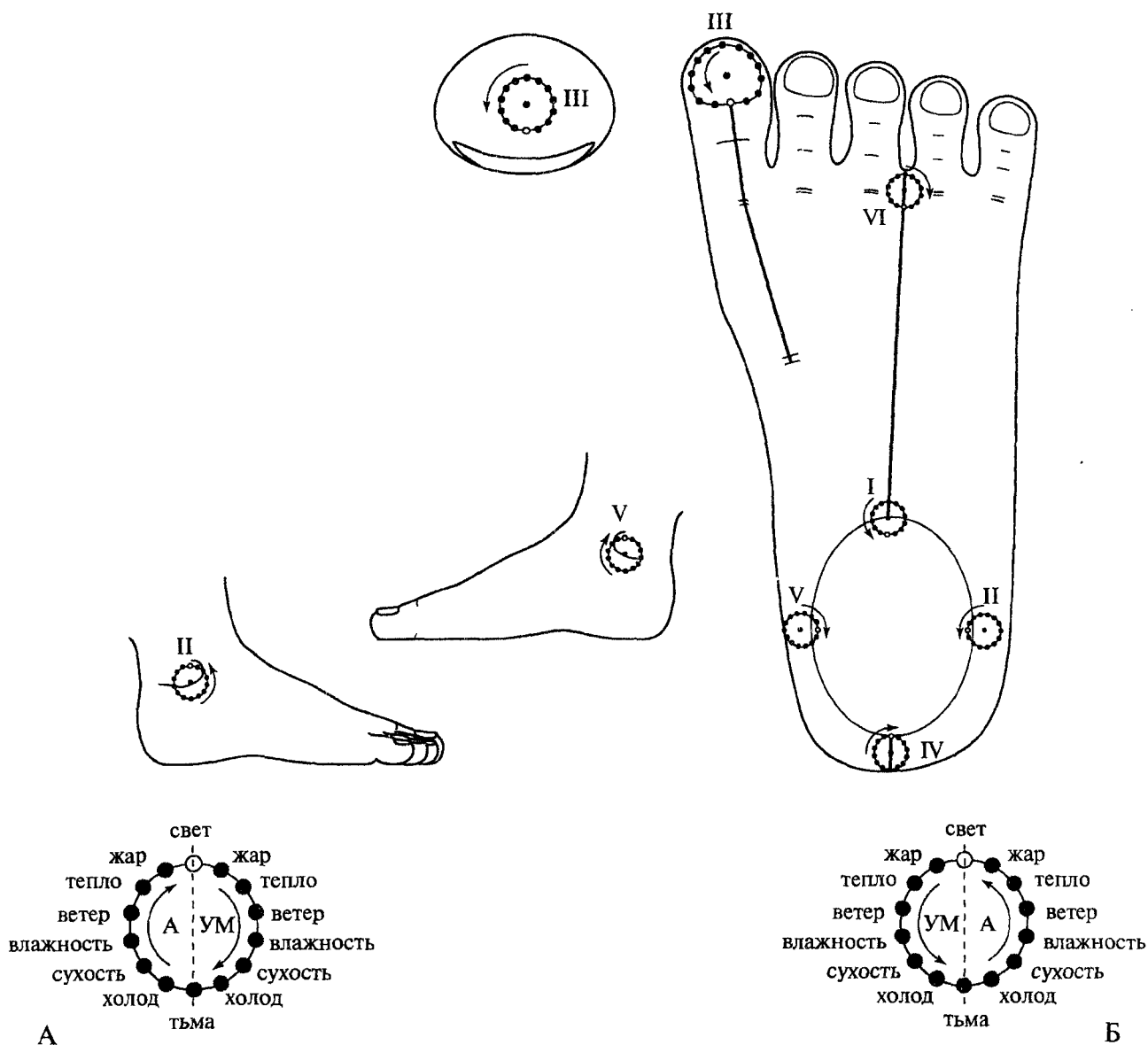


Рис. 250. Точки индивидуальных Восьми Энергий внешних бель-чакр на правой стопе.

Точки индивидуальных Восьми Энергий также располагаются на окружности с радиусом 3—4 мм. Точка света — самая верхняя, а точка тьмы — самая нижняя на окружности. Точки остальных энергий располагаются в соответствии с прогрессивным типом циркуляции (тьма-холод-сухость-влажность-ветер-тепло-жар-свет). Используется вертикальный тип деления чакры с последовательной циркуляцией сначала А-энергий, затем УМ-энергий.

А — Гомо-циркуляция, свойственная чакрам влажности, сухости, холода

Б — Гетеро-циркуляция, характерная для чакр ветра, тепла, жара

I — задняя внешняя бель-чакра ветра

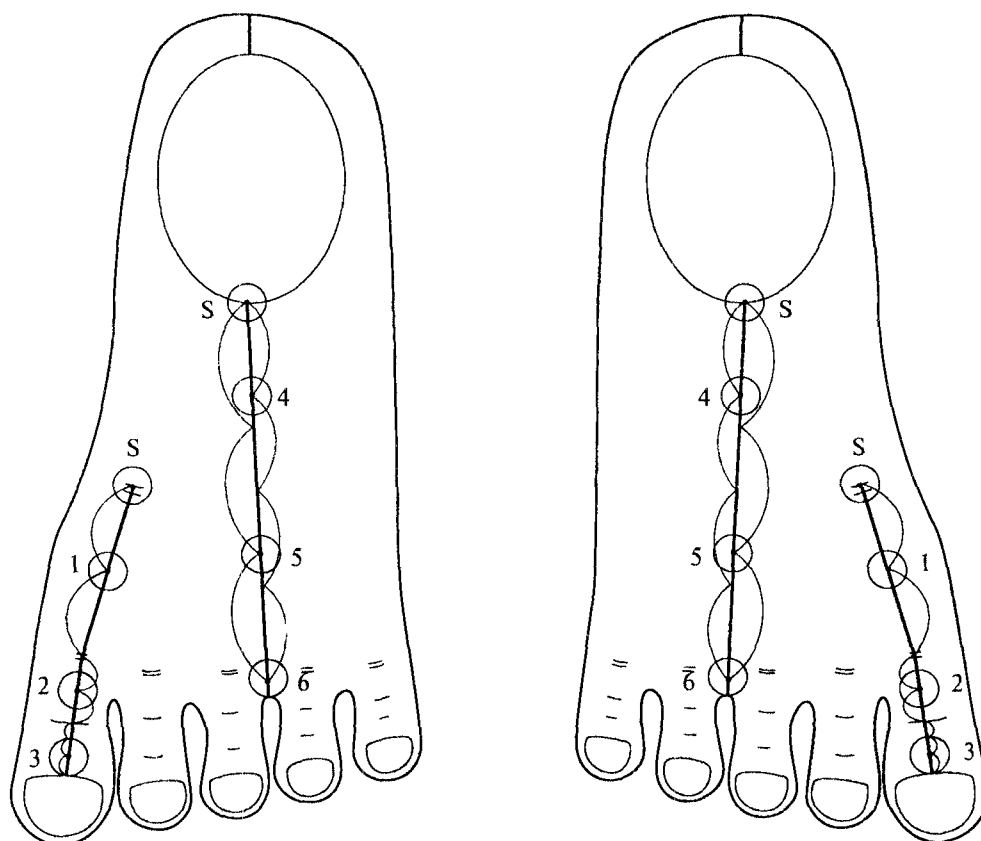
II — левая внешняя бель-чакра тепла

III — верхняя внешняя бель-чакра жара

IV — передняя внешняя бель-чакра влажности

V — правая внешняя бель-чакра сухости

VI — нижняя внешняя бель-чакра холода



**Рис. 251.** Топография внутренних бель-чакр на Ян-поверхности стоп.  
Для поиска места расположения бель-чакр используют деление стопы на пропорциональные отрезки.

**S — солнечная бель-чакра**

Расположение: имеет две проекции — одна на уровне голеностопного сустава, другая у основания I плюсневой кости.

**1 — бель-чакра ветра**

Расположение: на середине первой плюсневой кости.

**2 — бель-чакра тепла**

Расположение: на середине проксимальной фаланги большого пальца.

**3 — бель-чакра жара**

Расположение: на дистальной фаланге большого пальца, на 1/3 расстояния от корня ногтя до сустава.

**4 — бель-чакра влажности**

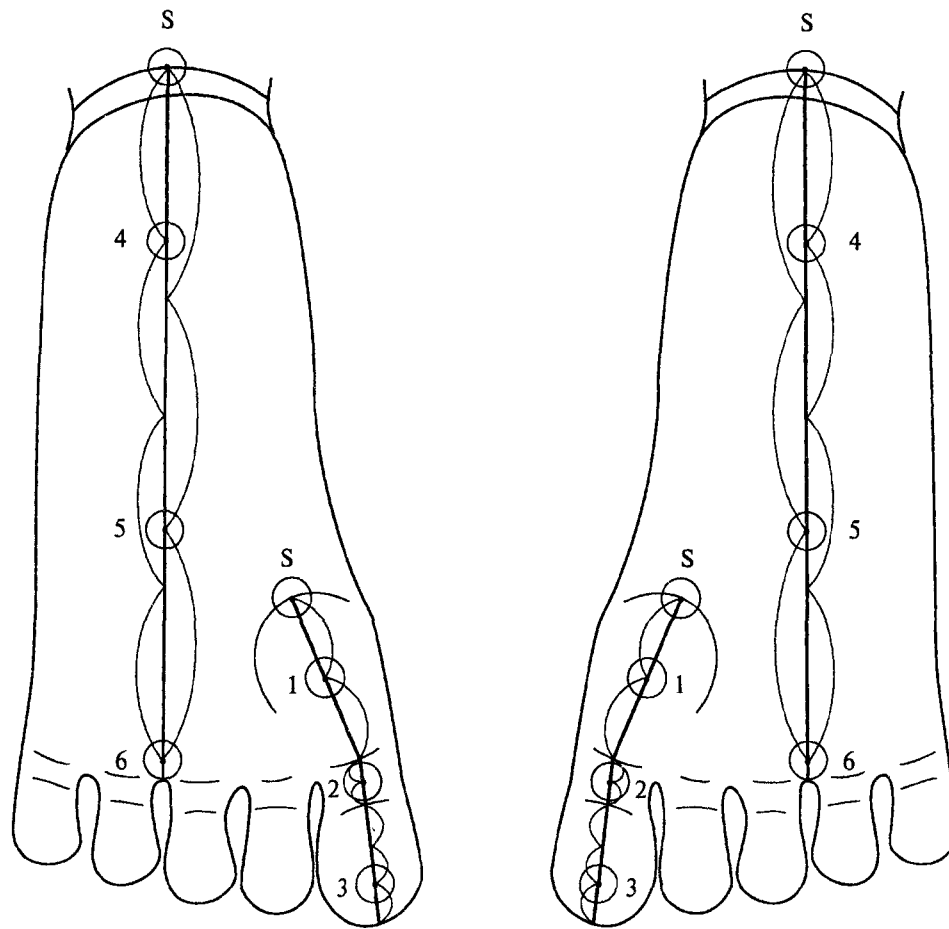
Расположение: на 1/4 расстояния от проекции солнечной чакры до бель-чакры холода.

**5 — бель-чакра сухости**

Расположение: на 1/3 расстояния от бель-чакры холода до проекции солнечной чакры.

**6 — бель-чакра холода**

Расположение: между основаниями проксимальных фаланг III и IV пальцев кисти.



**Рис. 252.** Топография внутренних бель-чакр на *Инь-поверхности* стоп.

Для поиска места расположения бель-чакр используют деление стопы на пропорциональные отрезки.

**S — солнечная бель-чакра**

Расположение: имеет две проекции — одна на уровне голеностопного сустава, другая на верхней линии диафрагмы.

**1 — бель-чакра ветра**

Расположение: в области подушечки под большим пальцем, посередине между складкой плюснефалангового сустава и кожной складкой на подошве (проекция верхней линии диафрагмы).

**2 — бель-чакра тепла**

Расположение: ее центр находится на середине проксимальной фаланги большого пальца.

**3 — бель-чакра жара**

Расположение: ее центр находится между верхней и средней третями дистальной фаланги большого пальца по средней линии.

**4 — бель-чакра влажности**

Расположение: на 1/4 расстояния от солнечной бель-чакры до бель-чакры холода.

**5 — бель-чакра сухости**

Расположение: ее центр располагается на 1/3 расстояния от бель-чакры холода до солнечной бель-чакры.

**6 — бель-чакра холода**

Расположение: в области кожной складки между III и IV пальцами.

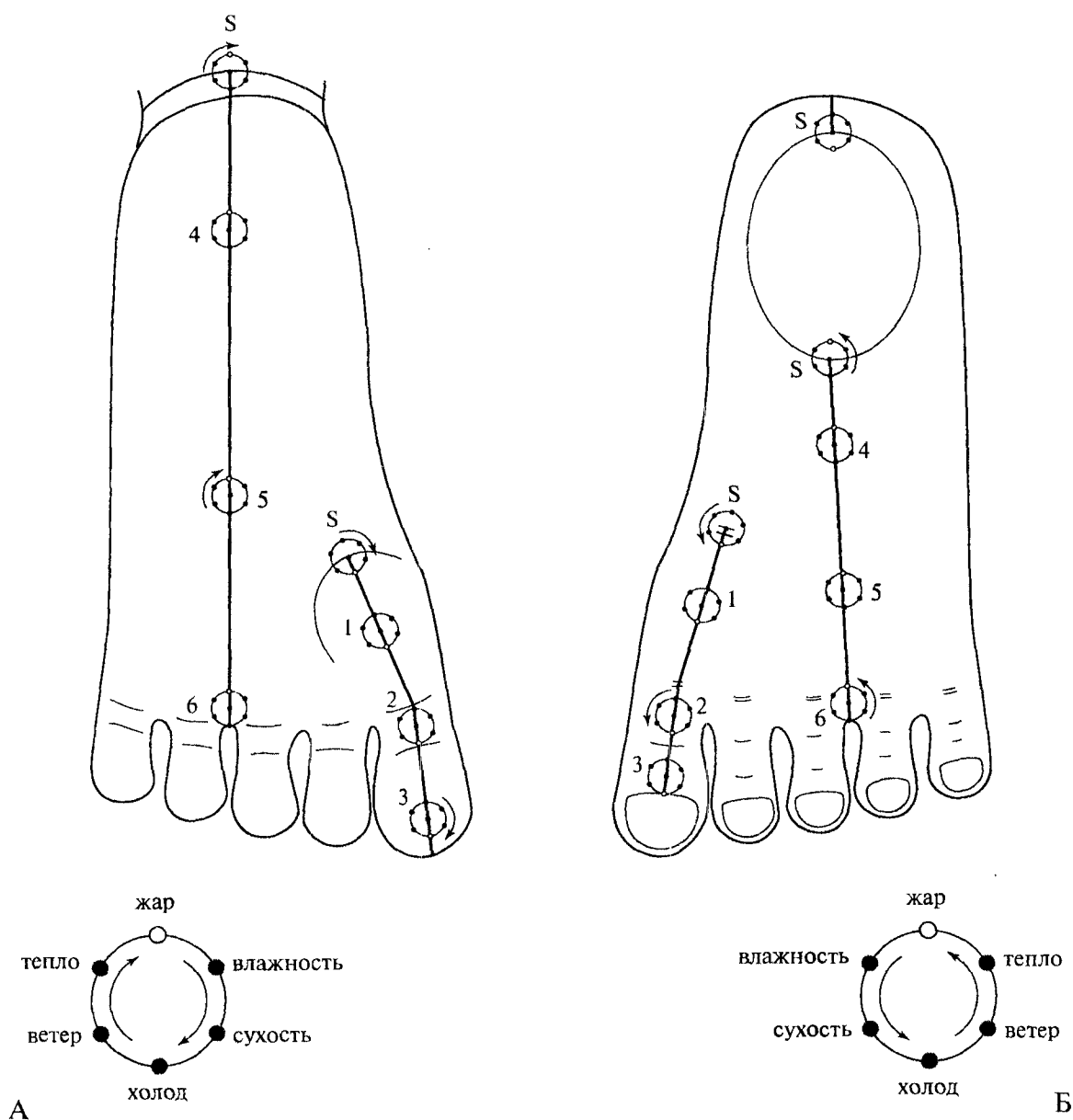
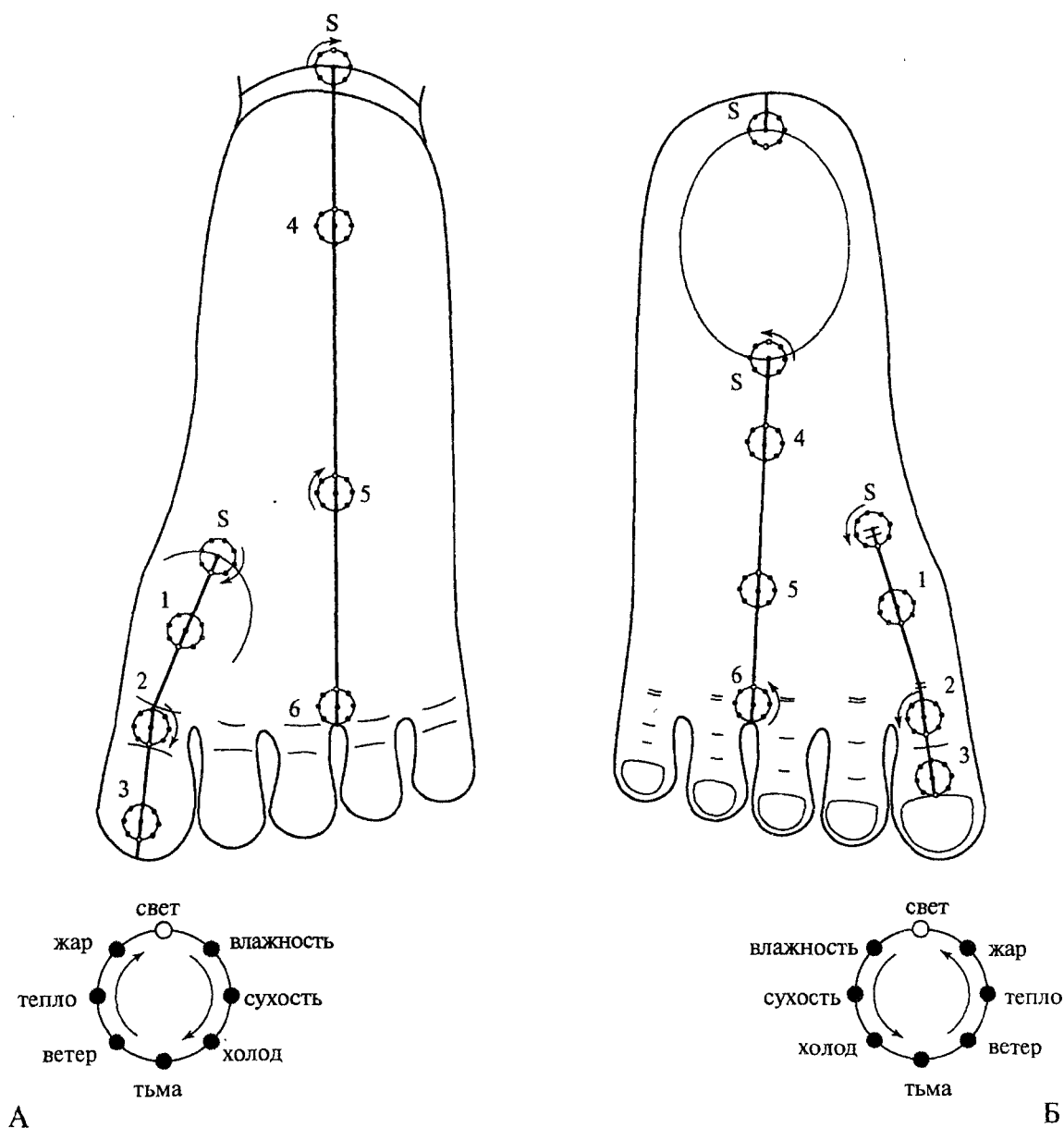


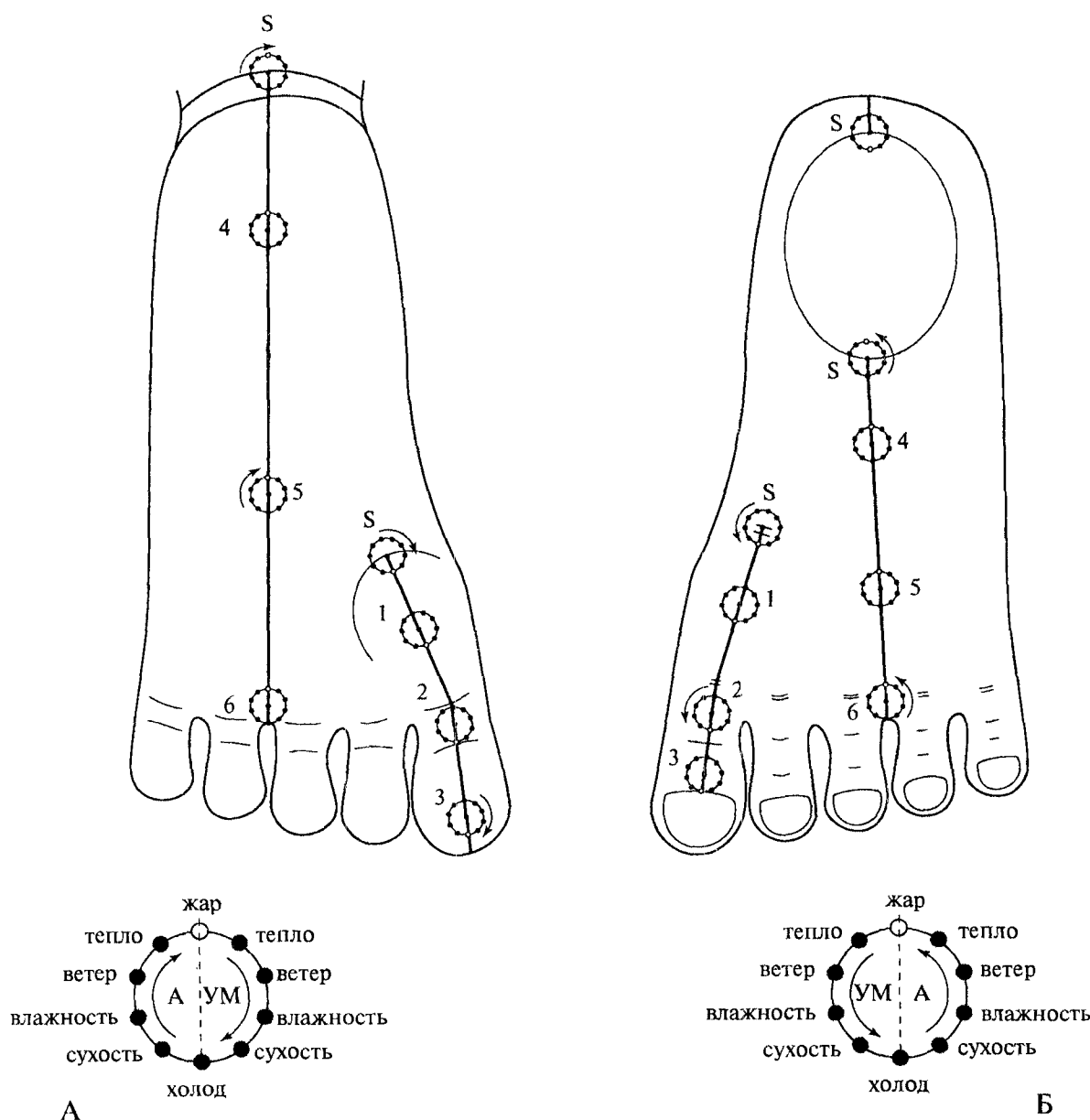
Рис. 253. Точки единых Шести Энергий внутренних бель-чакр на левой стопе.

Точки единых Шести Энергий располагаются на окружности с радиусом 3—4 мм. Точка жара — самая верхняя, а точка холода — самая нижняя на окружности. Распределение точек единых энергий внутренних бель-чакр на Инь-поверхности соответствует Гомо-циркуляции по часовой стрелке (А), на Ян-поверхности — Гетеро-циркуляции против часовой стрелки (Б).

S — солнечная бель-чакра                      4 — бель-чакра влажности  
 1 — бель-чакра ветра                        5 — бель-чакра сухости  
 2 — бель-чакра тепла                        6 — бель-чакра холода  
 3 — бель-чакра жара



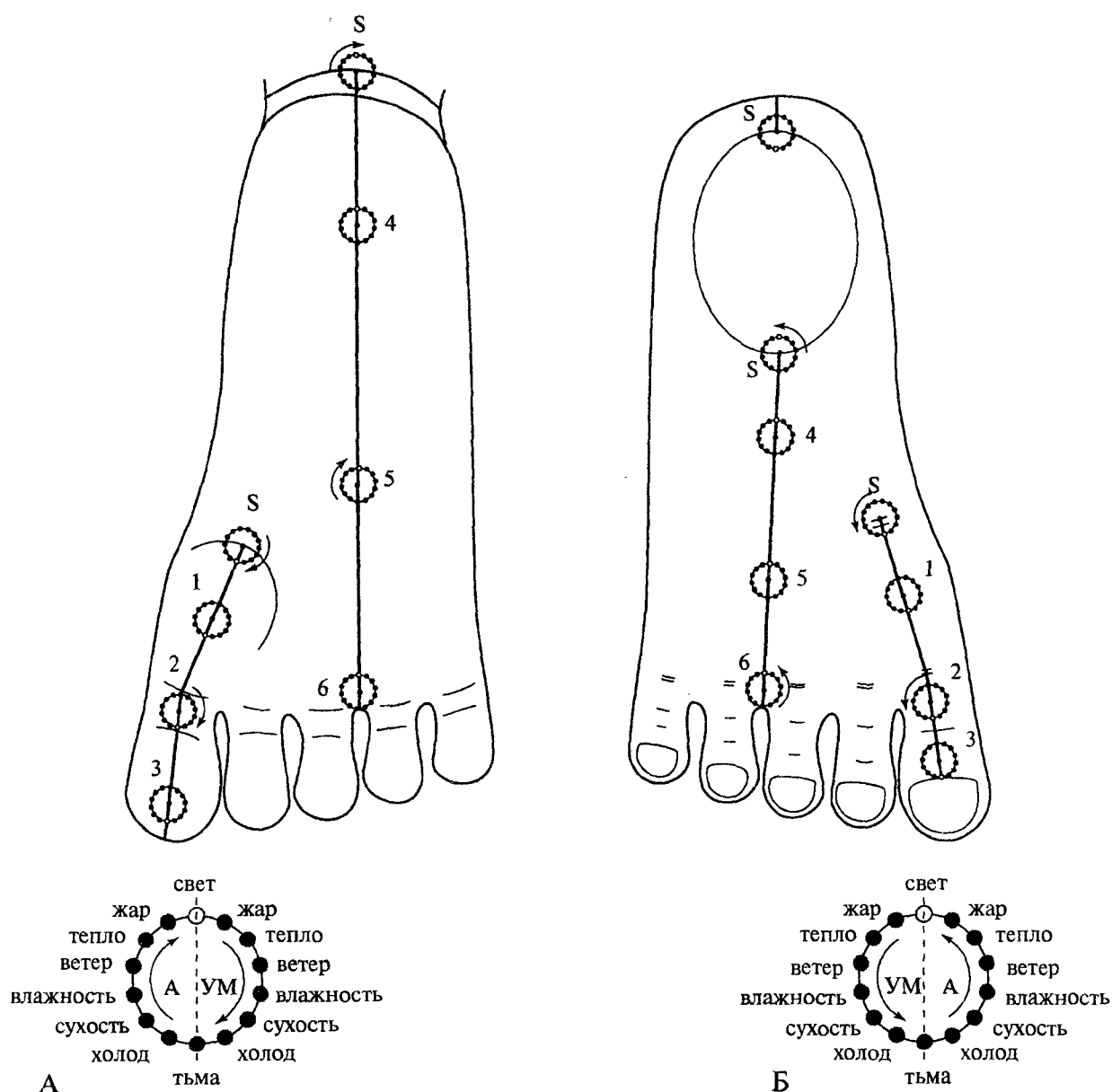
**Рис. 254.** Точки единых Восьми Энергий внутренних бей-чакр на правой стопе.  
 Точки единых Восьми Энергий располагаются на окружности с радиусом 3 — 4 мм. Точка света — самая верхняя, а точка тьмы — самая нижняя на окружности. Распределение точек единых энергий внутренних бей-чакр на Инь-поверхности соответствует Гомо-циркуляции по часовой стрелке (А), на Ян-поверхности — Гетеро-циркуляции против часовой стрелки (Б).  
 S — солнечная бей-чакра                      4 — бей-чакра влажности  
 1 — бей-чакра ветра                          5 — бей-чакра сухости  
 2 — бей-чакра тепла                        6 — бей-чакра холода  
 3 — бей-чакра жара



**Рис. 255.** Точки индивидуальных Шести Энергий внутренних бель-чакр на левой стопе.  
 Точки индивидуальных Шести Энергий располагаются на окружности с радиусом 3— 4 мм.  
 Точка жара— самая верхняя, а точка холода— самая нижняя на окружности. Точки остальных энергий располагаются в соответствии с прогрессивным типом циркуляции (холод-сухость-влажность-ветер-тепло-жар). Используется вертикальный тип деления чакры с последовательной циркуляцией сначала А-энергий, затем УМ-энергий. Распределение точек индивидуальных энергий внутренних бель-чакр на Инь-поверхности соответствует Гомо-циркуляции (А), на Ян-поверхности— Гетеро-циркуляции (Б).

S — солнечная бель-чакра	4 — бель-чакра влажности
1 — бель-чакра ветра	5 — бель-чакра сухости
2 — бель-чакра тепла	6 — бель-чакра холода
3 — бель-чакра жара	

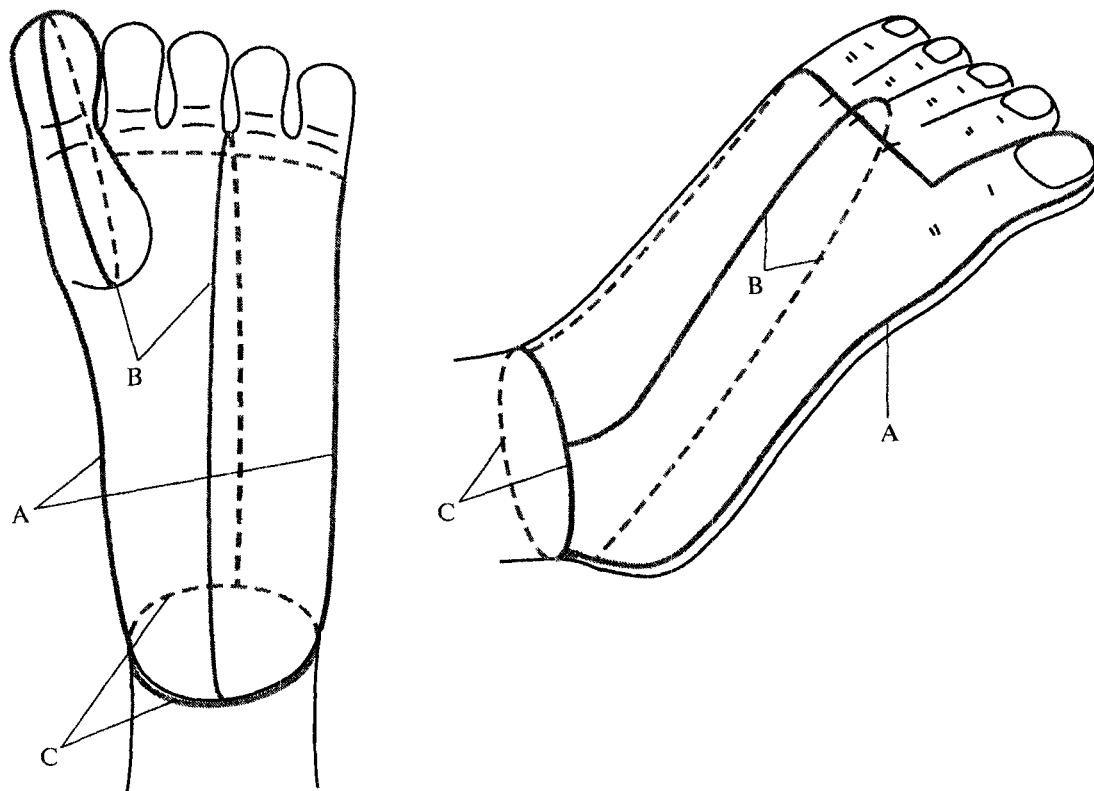




**Рис. 256.** Точки индивидуальных Восьми Энергий внутренних бел-чакр на правой стопе.  
 Точки индивидуальных Восьми Энергий располагаются на окружности с радиусом 3— 4 мм.  
 Точка света— самая верхняя, а точка тьмы— самая нижняя на окружности. Точки остальных энергий располагаются в соответствии с прогрессивным типом циркуляции (тьма-холод-сухость-влажность-ветер-тепло-жар-свет). Используется вертикальный тип деления чакры с последовательной циркуляцией сначала А-энергий, затем УМ-энергий.  
 Распределение точек индивидуальных энергий внутренних бел-чакр на Инь-поверхности соответствует Гомо-циркуляции (А), на Ян-поверхности— Гетеро-циркуляции (Б).

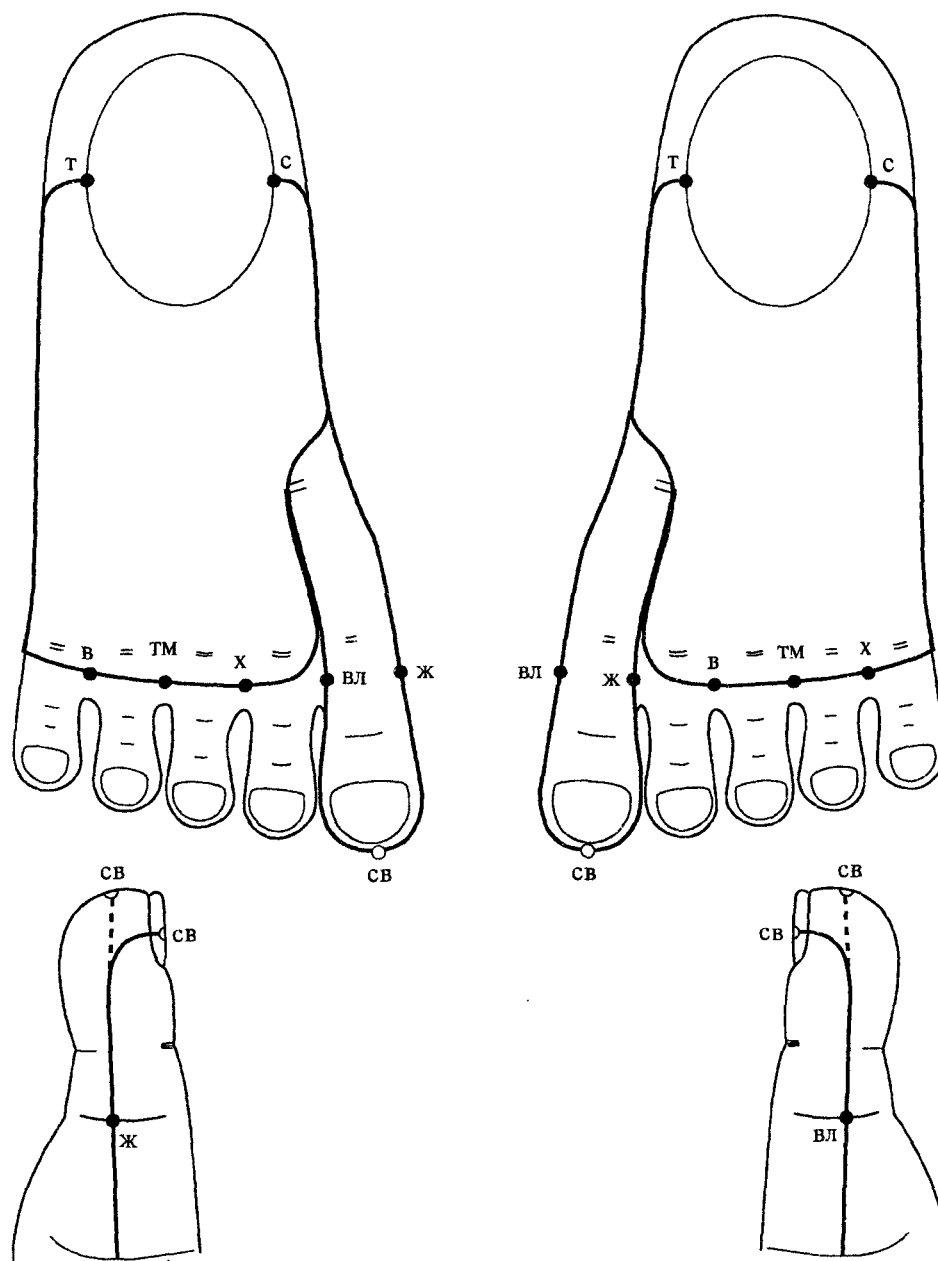
S — солнечная бел-чакра	4 — бел-чакра влажности
1 — бел-чакра ветра	5 — бел-чакра сухости
2 — бел-чакра тепла	6 — бел-чакра холода
3 — бел-чакра жара	

## 2.2. Пограничные бель-меридианы стоп



**Рис. 257.** Пограничные бель-меридианы в индивидуальных стандартных системах соответствия стоп. На каждой стопе существуют собственные системы пограничных бель-меридианов. Боковой пограничный бель-меридиан (А) начинается на границе Инь-Ян стопы со стороны большого пальца, в месте пересечения с голеностопным суставом, проходит по границе Инь-Ян большого пальца через его верхушку, в области межпальцевого промежутка поворачивает, проходя посередине между плюснефаланговыми суставами и межпальцевыми кожными складками, доходя до противоположной границы Инь-Ян стопы со стороны мизинца, затем — по этой границе — до пересечения с линией голеностопного сустава. Центральный пограничный бель-меридиан (В) имеет две части на стопе. Верхний центральный бель-меридиан проходит посередине Ян- и Инь-поверхностей большого пальца и I плюсневой кости. Нижний центральный бель-меридиан проходит по линии симметрии стопы на Ян- и Инь-поверхностях от промежутка между III и IV пальцами до линии голеностопного сустава. Диафрагмальный пограничный бель-меридиан (С) проходит по окружности голеностопного сустава.

Боковой пограничный бель-меридиан стопы



**Рис. 258.** Точки единых Восьми Энергий бокового пограничного бель-меридиана в индивидуальной стандартной системе соответствия стоп.  
Точки единых Восьми Энергий расположены на стопе в соответствии с циркуляцией единой энергии в боковом пограничном меридиане тела при доминировании вертикальной оси.

**тт. света**

Расположение: в центре ногтя большого пальца или на кончике большого пальца.

**тт. тьмы**

Расположение: на Ян-поверхности стопы, между III и IV пальцами.

**тт. ветра**

Расположение: на линии бокового пограничного бель-меридиана, между II и III пальцами на левой стопе, а на правой — между IV и V пальцами.

**тт. холода**

Расположение: на той же линии, между IV и V пальцами на левой сто-

пе, а на правой — между II и III пальцами.

**тт. тепла и сухости**

Расположение: в области внешних боковых бель-чакр под лодыжками.

**тт. жара и влажности**

Расположение: на границах Инь-Ян большого пальца, на уровне I плюснефалангового сустава.

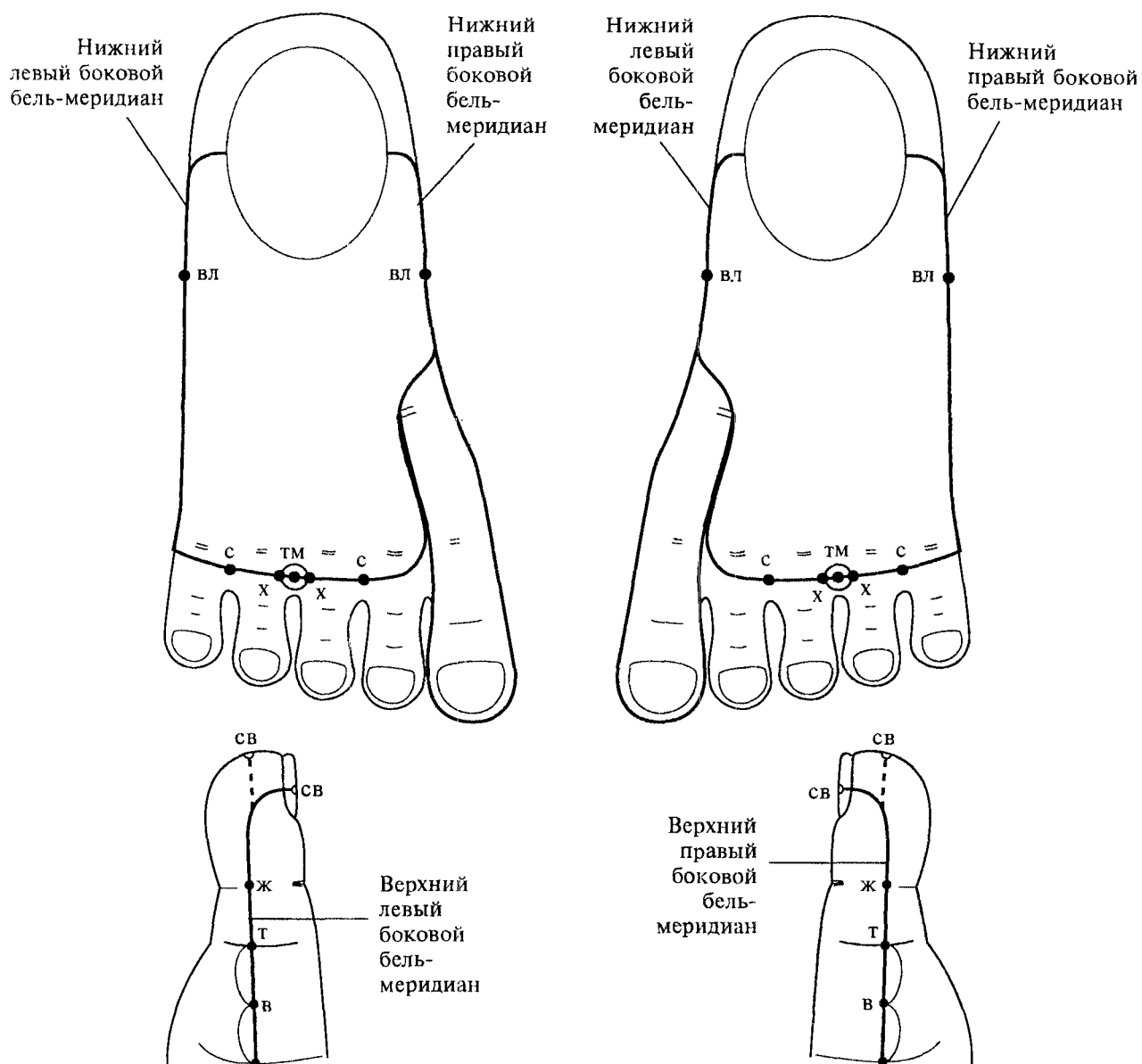


Рис. 259. Точки индивидуальных Восьми Энергий левого и правого боковых пограничных бель-меридианов в индивидуальной стандартной системе соответствия стоп.

Точки индивидуальных А-энергий располагаются на левом боковом пограничном бель-меридиане, УМ-энергий — на правом боковом пограничном бель-меридиане.

Точки индивидуальных А-энергий располагаются на левом боковом пограничном бель-меридиане, УМ-энергий — на правом.

**тт. света и тьмы**

Расположение: там же, где и точки единых энергий.

**тт. холода, сухости, влажности**

Расположение: на нижних боковых пограничных бель-меридианах.

**тт. холода**

Расположение: на окружности с радиусом 3 — 4 мм вокруг точки тьмы, на линии бель-меридиана.

**тт. сухости**

Расположение: на линии бель-меридиана, между II и III, IV и V пальцами.

**тт. влажности**

Расположение: на уровне проекции пупка в системе соответствия.

**тт. ветра, тепла и жара**

Расположение: на верхних боковых пограничных бель-меридианах.

**тт. ветра**

Расположение: на середине расстояния от первого плюснефалангового сустава на границе Инь-Ян до верхней линии диафрагмы.

**тт. тепла**

Расположение: на первом плюснефаланговом суставе.

**тт. жара**

Расположение: на межфаланговом суставе большого пальца.

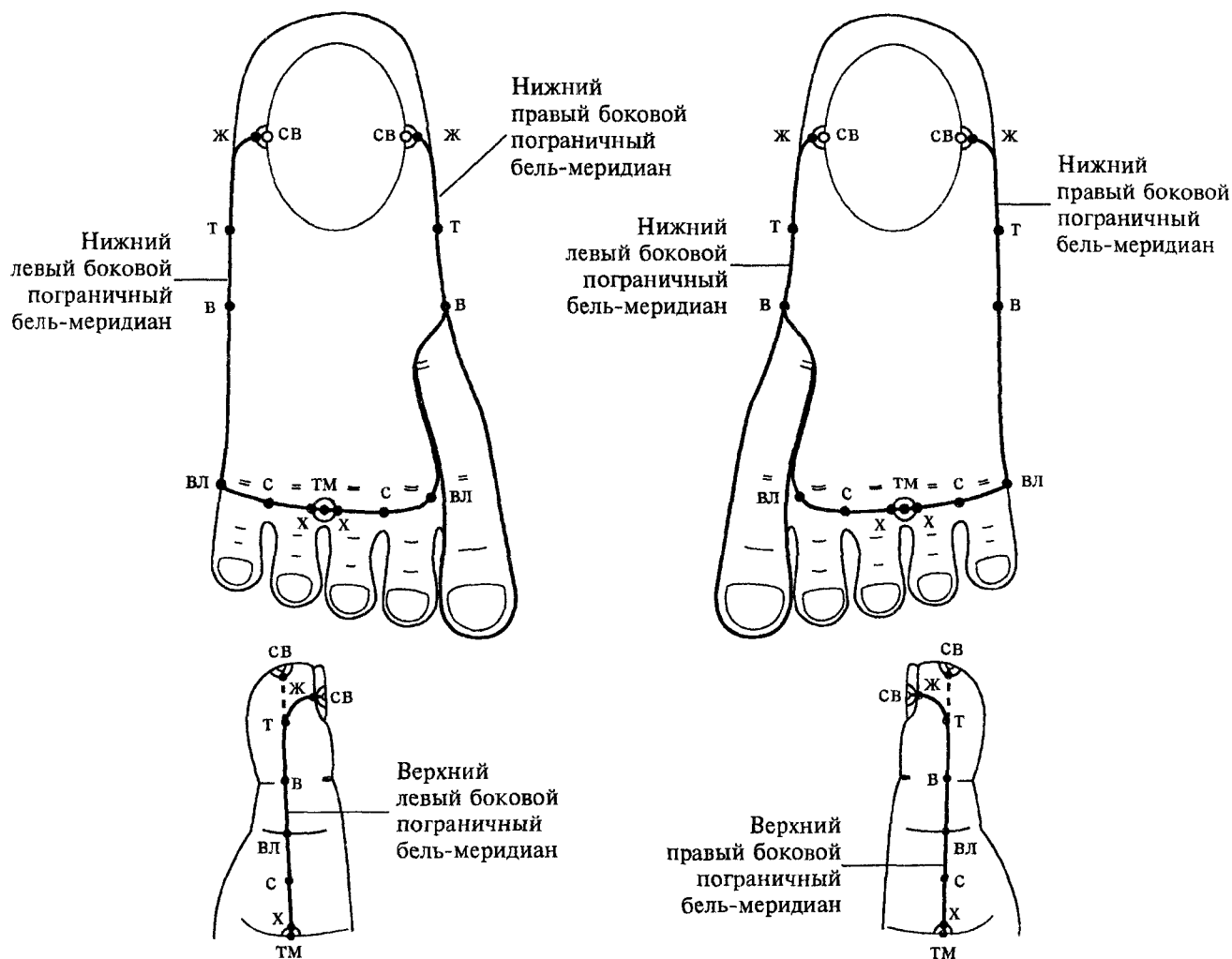


Рис. 260. Точки Восьми Энергий региональных боковых пограничных бель-меридианов в индивидуальной стандартной системе соответствия на стопе.

Точки региональных Восьми Энергий расположены в соответствии с циркуляцией в боковом пограничном меридиане при доминировании вертикальной оси.

В области нижней внешней чакры находится **точка тьмы** для левого и правого нижних боковых пограничных бель-меридианов; в области верхней внешней чакры (первый вариант — в центре ногтя, второй — на кончике большого пальца) находится **точка света** для левого и правого верхних боковых пограничных бель-меридианов.

**Точки света** для нижних бель-меридианов располагаются в месте пересечения нижней линии диафрагмы (под лодыжками) и границы Инь-Ян (в области боковых бель-чакр). **Точки тьмы** для верхних бель-меридианов располагаются в месте пересечения верхней линии диафрагмы и границ Инь-Ян в области боковых бель-чакр.

На окружности вокруг точек света и тьмы (средний диаметр 6—8 мм) располагаются соответственно **точка жара** и **холода**.

#### Нижние боковые бель-меридианы

##### тт. сухости

Расположение: между II и III, IV и V пальцами.

##### тт. влажности

Расположение: на уровне I плюснефалангового сустава в месте поворота бокового пограничного бель-меридиана на границу Инь-Ян стопы или параллельно ей.

##### тт. ветра

Расположение: на уровне проекции пупка.

##### тт. тепла

Расположение: на равном расстоянии между точками ветра и жара.

#### Верхние боковые бель-меридианы

##### тт. ветра

Расположение: на межфаланговом суставе большого пальца.

##### тт. тепла

Расположение: на середине дистальной фаланги.

##### тт. влажности

Расположение: на уровне плюснефалангового сустава.

##### тт. сухости

Расположение: на середине расстояния между точкой холода, расположенной на окружности боковой чакры, и I плюснефаланговым суставом.

### Центральный пограничный бей-меридиан стопы

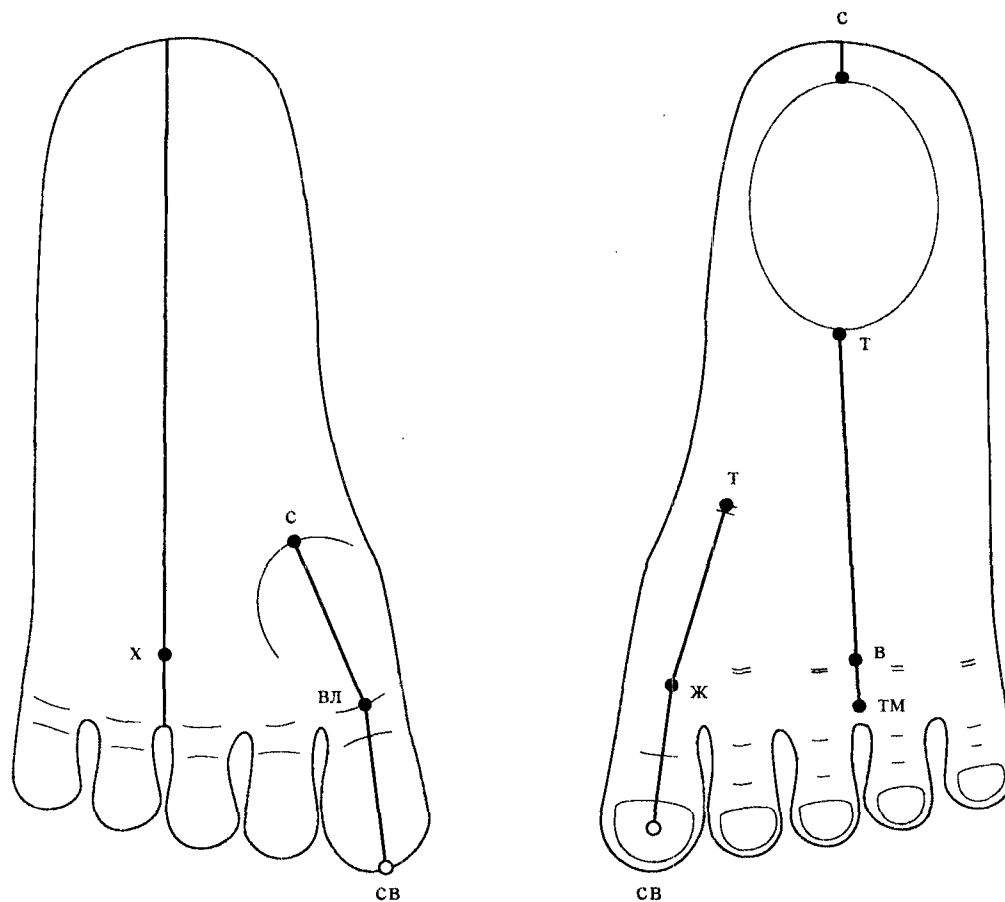
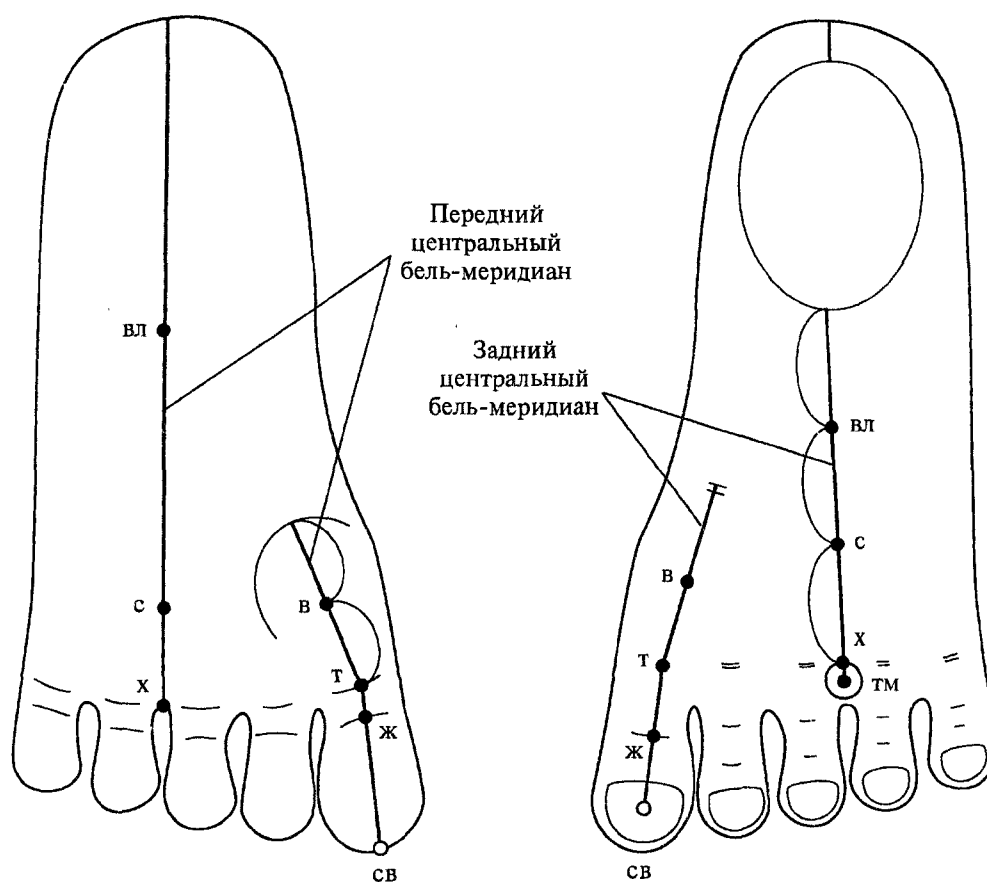


Рис. 261. Точки единых Восьми Энергий центрального пограничного бей-меридиана в индивидуальной стандартной системе соответствия стопы.  
Точки единых Восьми Энергий расположены на стопе в соответствии с циркуляцией единой энергии в центральном пограничном меридиане тела при доминировании вертикальной оси.

- |  |  |   |
|--|--|---|
| <p><b>г. света</b><br/>Является центральной точкой проекции верхней внешней чакры (два варианта).</p> <p><b>г. тьмы</b><br/>Соответствует центральной точке проекции нижней внешней чакры.</p> <p><b>г. ветра</b><br/>Соответствует проекции копчика и располагается на линии плюснефаланговых суставов.</p> <p><b>г. тепла</b><br/>Расположение: две проекции — на передней поверхности голеностопно-</p> | <p>го сустава (нижняя линия диафрагмы) и в области основания I плюсневой кости (верхняя линия диафрагмы).</p> <p><b>т. жара</b><br/>Расположение: в области I плюснефалангового сустава на Ян-поверхности.</p> <p><b>т. влажности</b><br/>Расположение: в области кожной складки под большим пальцем на Инь-поверхности.</p> | <p><b>т. сухости</b><br/>Имеет две проекции на Инь-поверхности: на уровне голеностопного сустава, на ахилловом сухожилии (нижняя линия диафрагмы) и в области кожной складки, ограничивающей подушечку под большим пальцем (верхняя линия диафрагмы).</p> <p><b>т. холода</b><br/>Расположение: на уровне плюснефаланговых суставов (проекция верхнего края лобка).</p> |
|--|--|---|



**Рис. 262.** Точки индивидуальных Восьми Энергий переднего и заднего центральных пограничных бель-меридианов в индивидуальной стандартной системе соответствия стопы. Точки индивидуальных А-энергий располагаются на заднем центральном пограничном бель-меридиане (Ян-поверхность стопы), УМ-энергий — на переднем центральном пограничном бель-меридиане (Инь-поверхность стопы).

**Точки света и тьмы** расположены там же, где и точки единых энергий света и тьмы.

**Точки холода** расположены на окружности с радиусом 3 — 4 мм вокруг точки тьмы: **точка холода** для заднего бель-меридиана — на Ян-поверхности, **точка холода** для переднего бель-меридиана — на Инь-поверхности.

**Задний центральный пограничный бель-меридиан**

**г. сухости**  
Расположение: на 1/3 расстояния между задней и нижней внешними бель-чакрами вверх от проекции нижней чакры.

**т. влажности**

Расположение: на расстоянии 1/3 того же отрезка ниже проекции задней внешней чакры.

**т. ветра**

Расположение: на середине I плюсневой кости.

**т. тепла**

Расположение: в области плюснефалангового сустава большого пальца.

**т. жара**

Расположение: в области межфалангового сустава большого пальца.

**Передний центральный пограничный бель-меридиан**

**т. сухости**

Расположение: на уровне плюснефаланговых суставов.

**т. влажности**

Расположение: в проекции пупка.

**т. ветра**

Расположение: на середине расстояния между плюснефаланговым суставом и складкой в основании I плюсневой кости.

**т. тепла**

Расположение: в области плюснефалангового сустава большого пальца.

**т. жара**

Расположение: в области межфалангового сустава большого пальца.



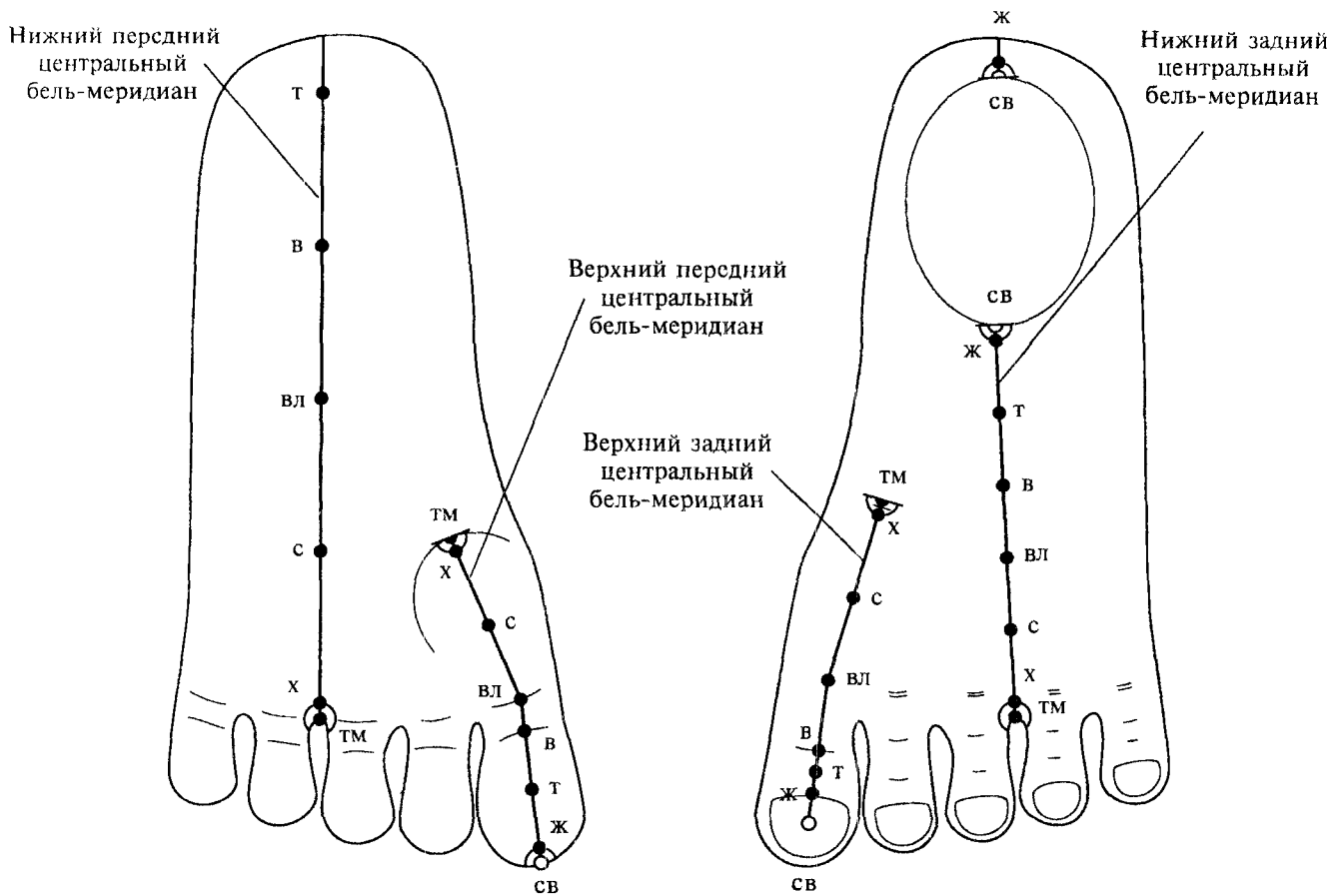


Рис. 263. Точки Восьми Энергий региональных центральных пограничных бель-меридианов в индивидуальной стандартной системе соответствия стопы. Точки региональных Восьми Энергий располагаются в соответствии с циркуляцией в центральном пограничном меридиане тела при доминировании вертикальной оси.

**Задний нижний центральный пограничный бель-меридиан**

- г. тьмы — в области нижней внешней чакры.
- г. холода — на окружности этой чакры.
- г. света — в области задней внешней чакры, на линии голеностопного сустава.
- г. жара — на окружности этой чакры.
- гг. сухости, влажности, ветра и тепла — на равном расстоянии друг от друга между точками холода и жара.

**Передний нижний центральный пограничный бель-меридиан**

- г. тьмы — на краю кожной складки между III и IV пальцами.
- г. холода — на окружности вокруг точки тьмы.
- г. света — в области передней внешней чакры, на линии голеностопного сустава.
- г. жара — на окружности вокруг этой чакры.

- гг. сухости, влажности, ветра и тепла — на равном расстоянии друг от друга между точками холода и жара.

**Задний верхний центральный пограничный бель-меридиан**

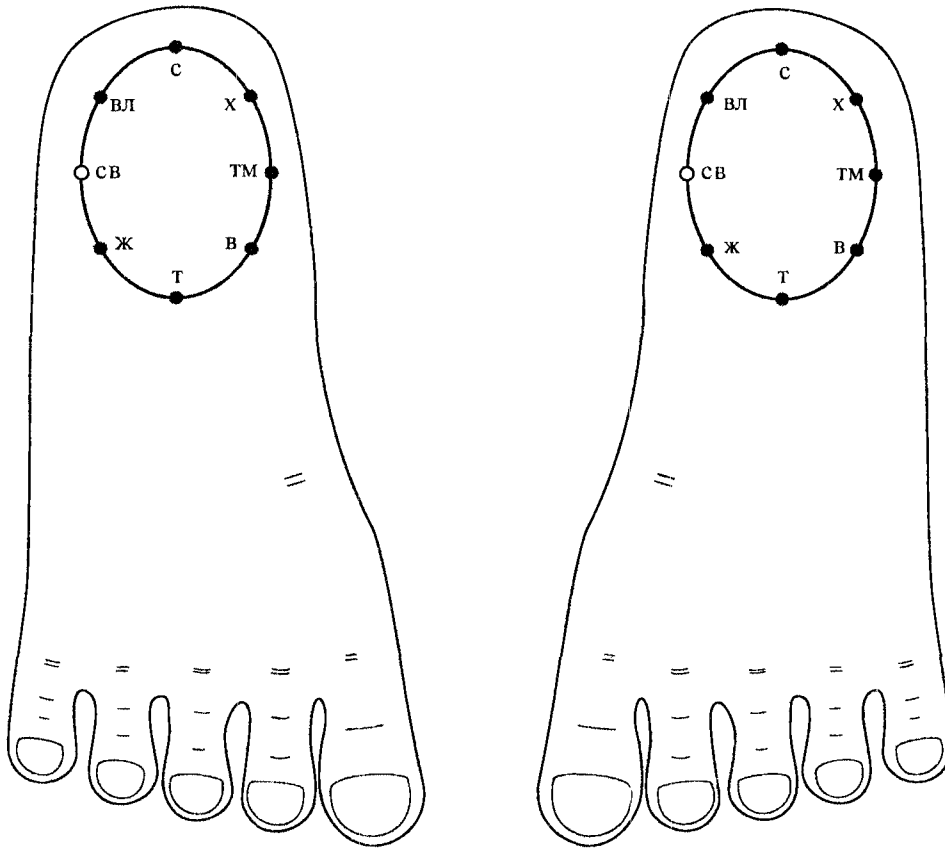
- г. тьмы — на линии первого предплюсне-плюсневом суставе.
- г. холода — на окружности вокруг этой точки.
- г. света — в центре ногтя большого пальца.
- г. жара — у края негтевой лунки большого пальца.
- г. сухости — на середине I плюсневой кости.
- г. влажности — на плюснефаланговом суставе I пальца.
- г. ветра — на межфаланговом суставе I пальца.
- г. тепла — на середине расстояния между точками ветра и жара.

**Передний верхний центральный пограничный бель-меридиан**

- г. тьмы — на кожной складке, на верхней линии диафрагмы.
- г. холода — на окружности вокруг точки тьмы.
- г. света — на кончике большого пальца.
- г. жара — на окружности вокруг точки света.
- г. влажности — в кожной складке между большим пальцем и подошвой.
- г. сухости — на середине расстояния между точками холода и влажности.
- г. ветра — на межфаланговом суставе большого пальца.
- г. тепла — на середине расстояния между точками ветра и жара.



*Диафрагмальный пограничный бель-меридиан стопы*



*ис. 264. Точки единых энергий диафрагмального пограничного бель-меридиана в индивидуальной стандартной системе соответствия стоп при доминировании фронтальной оси.*

**Левая стопа**

**Т. света**

Расположение: на границе Инь-Ян, под внутренней лодыжкой (проекция правой внешней чакры).

**Т. тьмы**

Расположение: под наружной лодыжкой (проекция правой внешней чакры).

**Т.т. ветра, тепла и жара**

Расположение: на передней (Ян) поверхности голеностопного сустава, по ходу диафрагмального бель-меридиана на равном расстоянии друг от друга.

**Т.т. влажности, сухости и холода**

Расположение: на задней (Инь) поверхности голеностопного сустава, также на равном расстоянии.

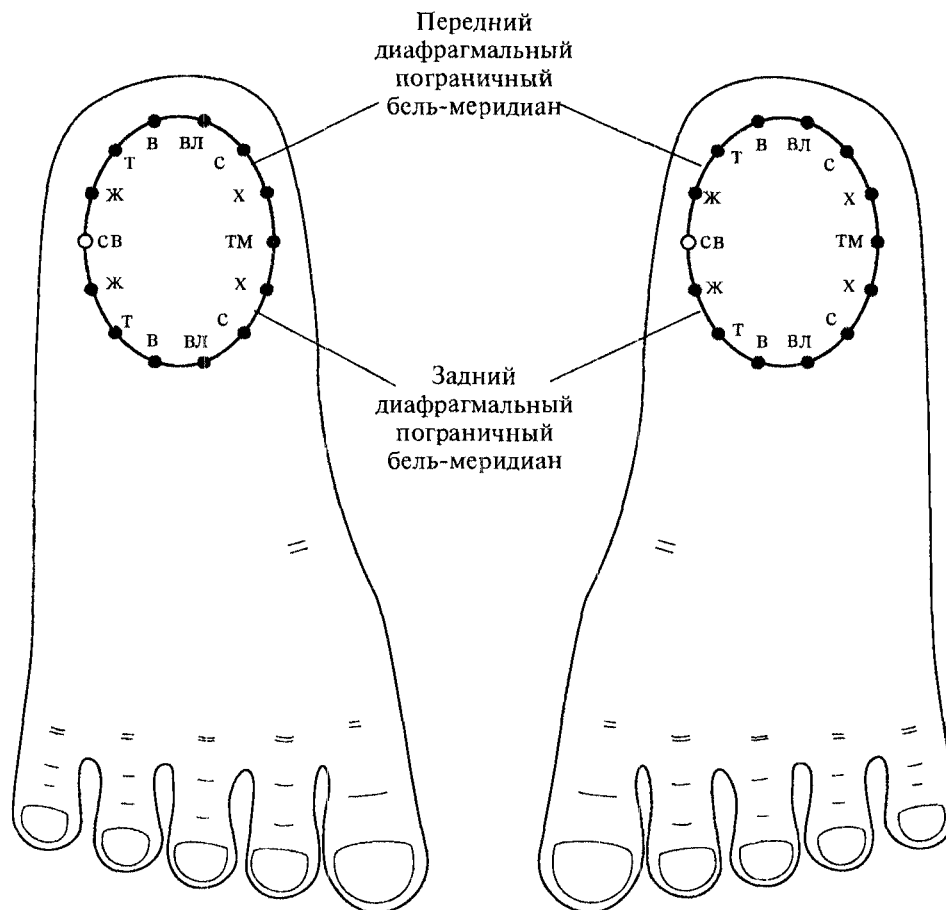
**Правая стопа**

**Т. тьмы**

Расположение: на границе Инь-Ян, под внутренней лодыжкой.

**Т. света** — с противоположной стороны.

**Точки остальных энергий** располагаются на равном расстоянии друг от друга в соответствии с циркуляцией энергии.



**Рис. 265.** Точки индивидуальных Восьми Энергий переднего и заднего диафрагмальных пограничных бель-меридианов в индивидуальной стандартной системе соответствия стоп.

При доминировании фронтальной оси точки индивидуальных А-энергий располагаются на Ян-поверхности стопы (проекция заднего диафрагмального меридиана), УМ-энергий — на Инь-поверхности

переднего диафрагмального меридиана).

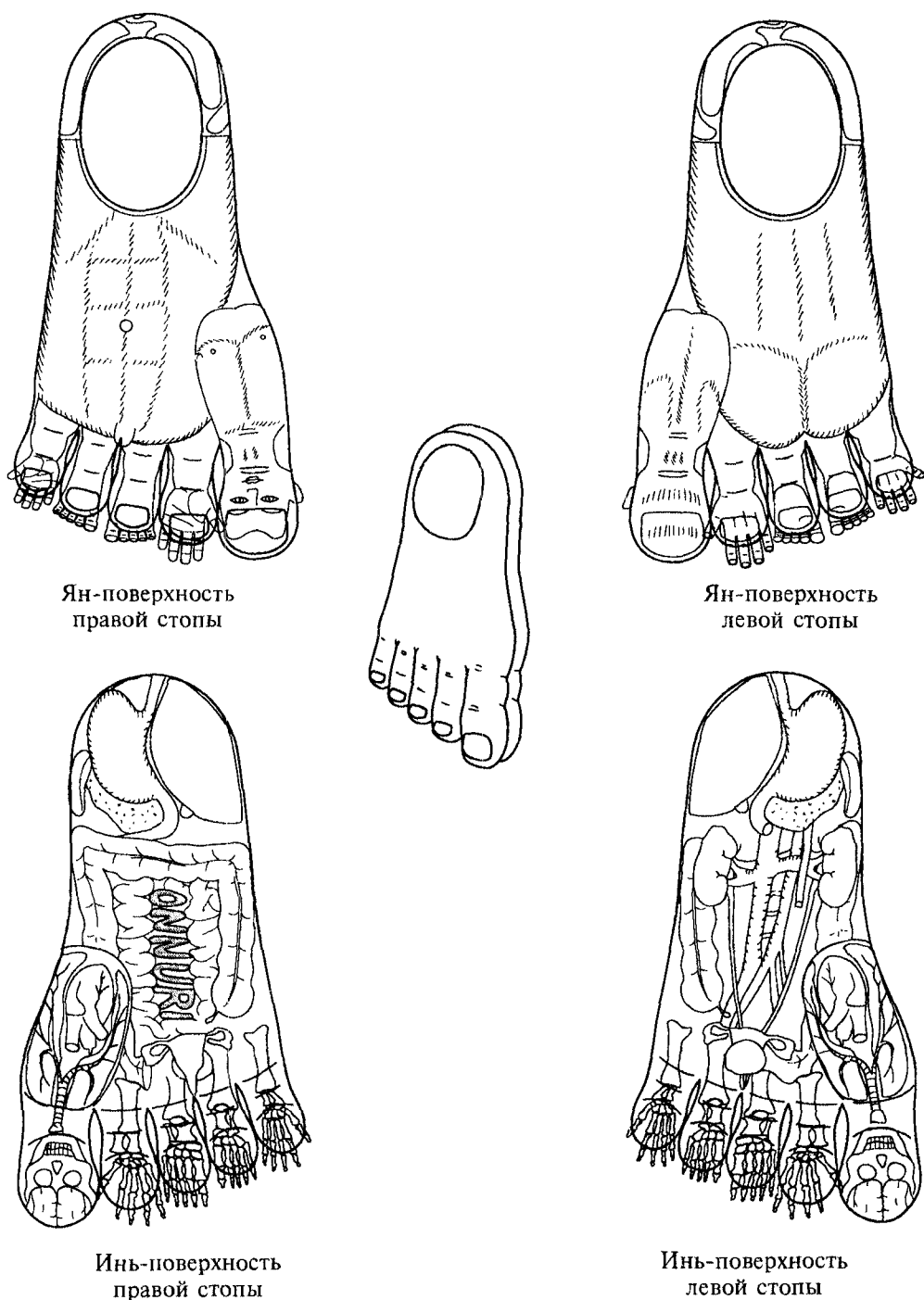
**Точки индивидуальных энергий света и тьмы** при доминировании фронтальной оси расположены там же,

где и точки одноименных единичных энергий.

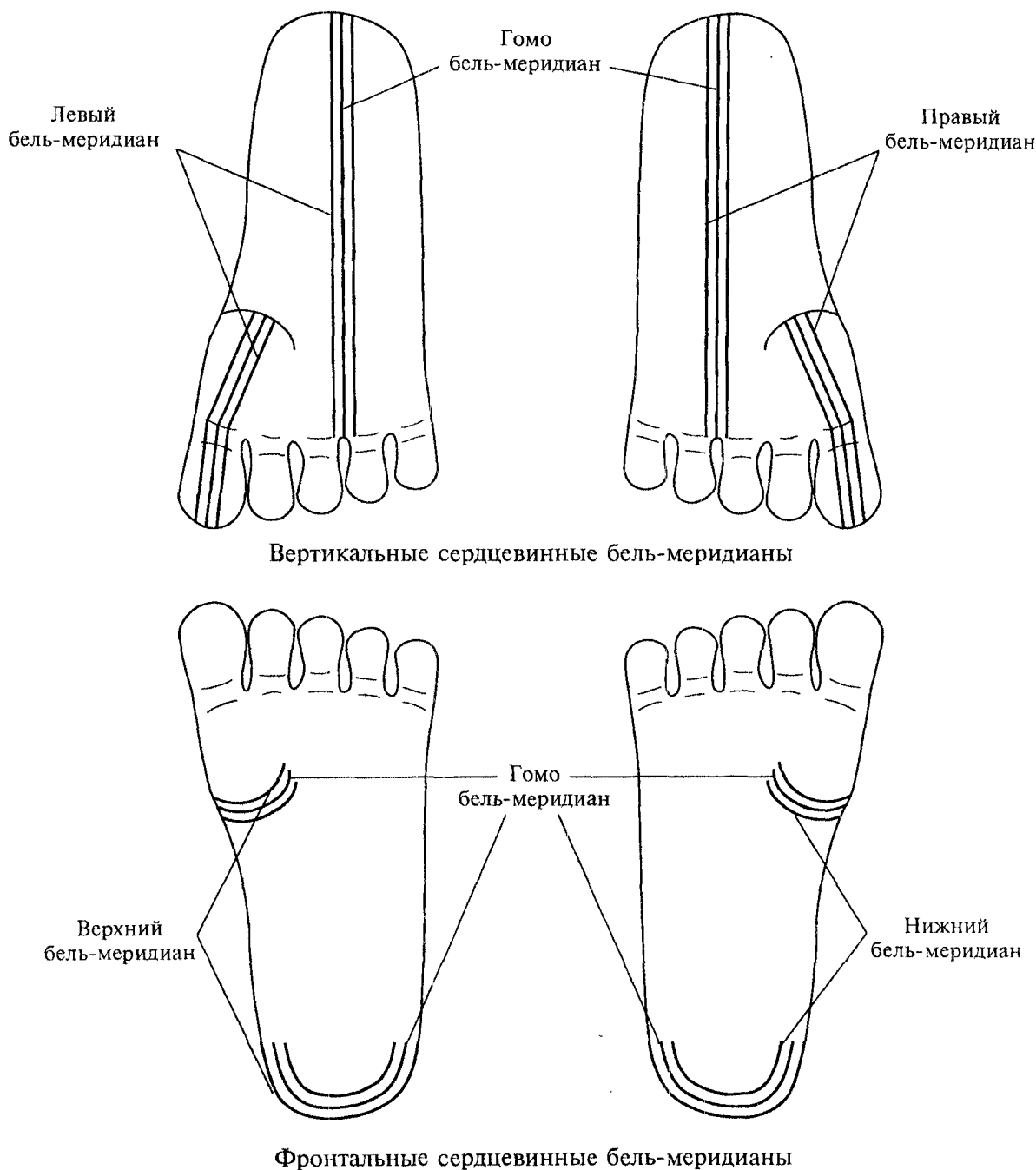
**Точки остальных энергий** находятся на равном расстоянии друг от друга на участке между точками света и тьмы.



### 2.3. Сердцевинные бель-меридианы стоп



**Рис. 267.** Объединенная закрытая стандартная система соответствия телу на стопах. В объединенных закрытых системах соответствия телу на стопах соответствие передней половине тела человека находится на правой стопе, а соответствие задней половине тела — на левой стопе (тип I). На Ян-поверхностях стоп находятся проекции поверхностных структур тела, а на Инь-поверхностях — проекции внутренних структур тела (соответствие фронтальному сечению), поэтому соответствия вертикальному и фронтальному сердцевинным меридианам находятся поверхностно в области подошв.



Ис. 268. Вертикальные и фронтальные сердцевинные бель-меридианы на стопах в объединенной закрытой стандартной системе соответствия.

Вертикальный сердцевинный бель-меридиан в объединенной стандартной системе соответствия проецируется на подошвенную поверхность по линии анатомической симметрии стопы. В этой системе непосредственно на линию симметрии стопы проецируются вертикальный Гомо бель-меридиан, передний и задний вертикальные бель-меридианы. Проекция левого и правого вертикальных бель-меридианов локализуется параллельно линии симметрии на расстоянии — 4 мм.

Фронтальный сердцевинный бель-меридиан в объединенной стандартной системе соответствия имеет три проекции, соответствующие проекциям диафрагмы, — на линии, огибающей подушечку в основании большого пальца, на уровне голеностопного сустава и вокруг пятки. Фронтальный Гомо бель-меридиан, передний и задний фронтальные бель-меридианы совпадают с проекцией диафрагмы; верхний и нижний фронтальные бель-меридианы располагаются параллельно проекции диафрагмы на расстоянии 3 — 4 мм.

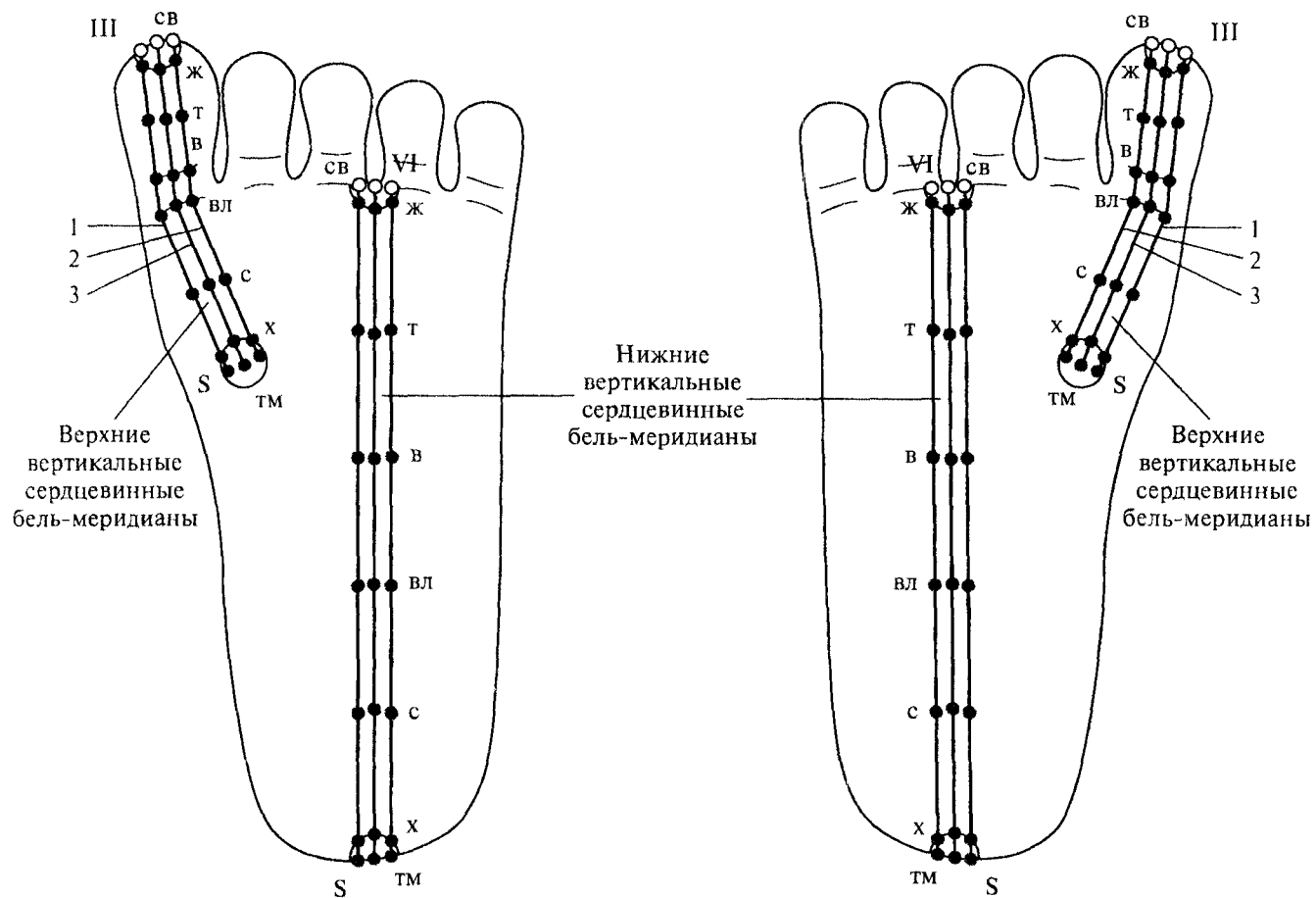


Рис. 269. Точки Восьми Энергий вертикальных сердцевинных бель-меридианов в объединенной закрытой стандартной системе соответствия телу на стопах.

- III — верхняя внешняя бель-чакра жара
- VI — нижняя внешняя бель-чакра холода
- S — солнечная бель-чакра
- 1 — правый вертикальный сердцевинный бель-меридиан
- 2 — левый вертикальный сердцевинный бель-меридиан
- 3 — Гомо вертикальный сердцевинный бель-меридиан

Точки тьмы расположены в области солнечной бель-чакры, имеющей три варианта расположения: один на верхней линии диафрагмы и два на нижней линии диафрагмы (на ахилловом сухожилии и на краю пятки). Точки света находятся в области верхней и нижней внешних чакр: на вершине большого пальца и на кожной складке между III и IV пальцами. Точки жара и холода располагаются на окружности вокруг точек света и тьмы соответственно.

**Нижние вертикальные сердцевинные бель-меридианы**

**тт. тепла, ветра, влажности и сухости**

Расположение: на равном расстоянии друг от друга на участке между точками жара и холода.

**Верхние вертикальные сердцевинные бель-меридианы**

**тт. сухости**

Расположение: на середине расстояния между точками холода и влажности.

**тт. влажности**

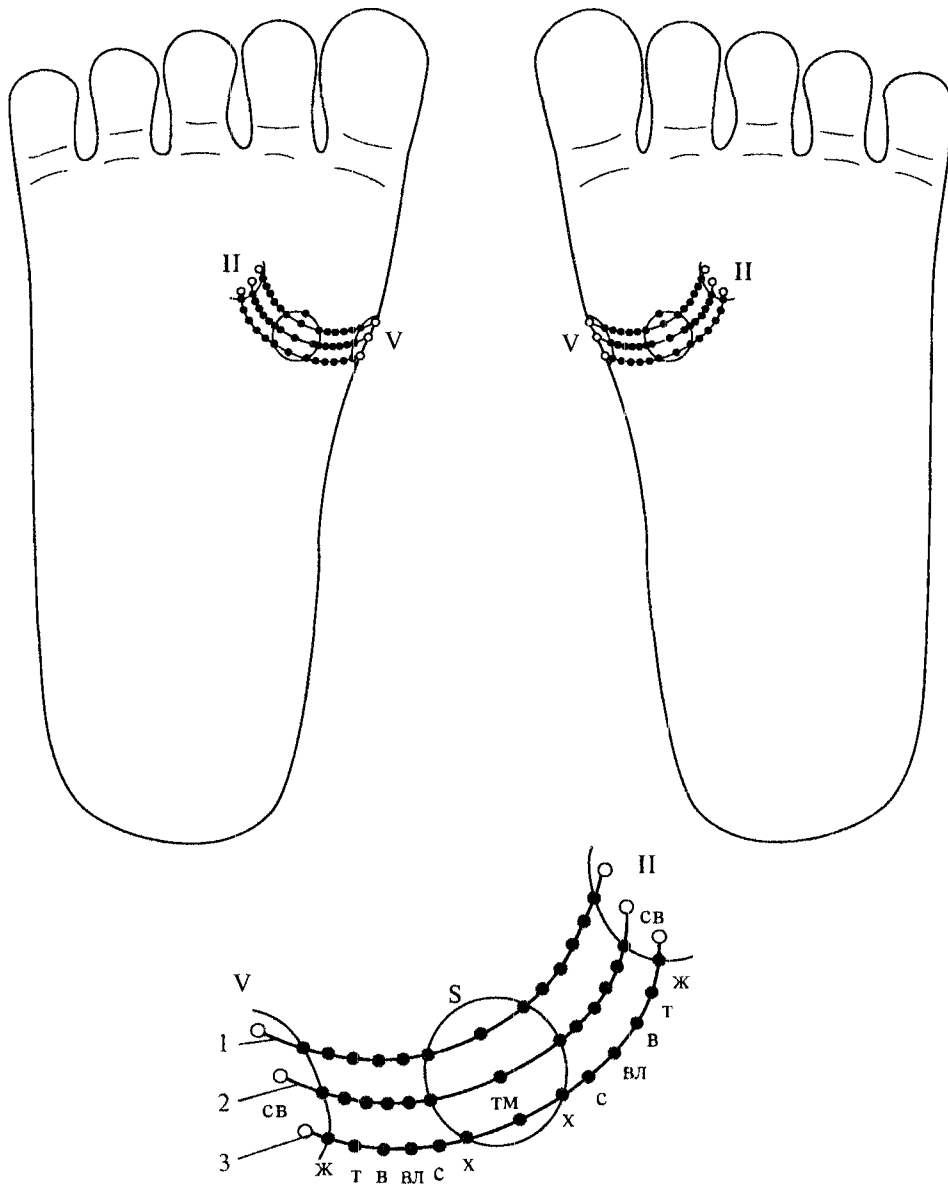
Расположение: в области I плюснефалангового сустава.

**тт. ветра**

Расположение: в области межфалангового сустава большого пальца.

**тт. тепла**

Расположение: на середине дистальной фаланги большого пальца.



ис. 270. Точки Восьми Энергий фронтальных сердцевинных бель-меридианов в объединенной стандартной закрытой системе соответствия телу на стопах.

- S* — солнечная бель-чакра
- 1* — верхний фронтальный сердцевинный бель-меридиан
- 2* — нижний фронтальный сердцевинный бель-меридиан
- 3* — Гомо фронтальный сердцевинный бель-меридиан
- V* — правая внешняя бель-чакра
- II* — левая внешняя бель-чакра

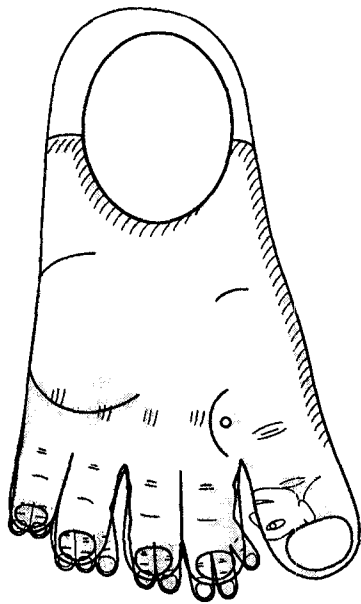
**г. тьмы**  
 асположение: в области солнечной чакры, на середине верхней линии диафрагмы.

**г. света**  
 асположение: в области внешних боковых чакр.

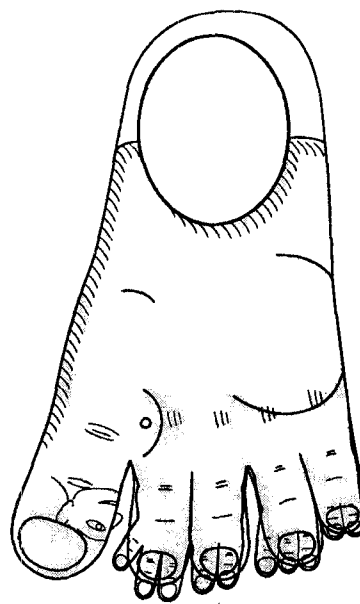
**тт. жара и холода**  
 Расположение: на окружности вокруг точек света и тьмы соответственно.

**Точки остальных энергий** располагаются на равном расстоянии друг от друга между точками жара и холода.

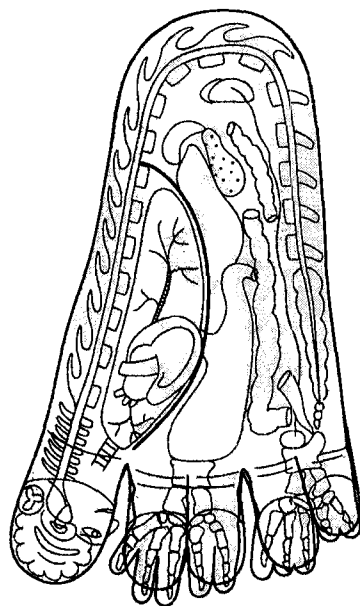
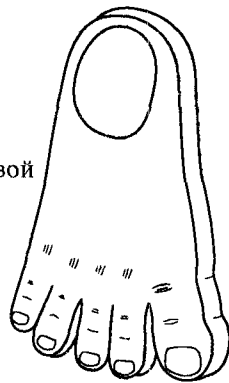




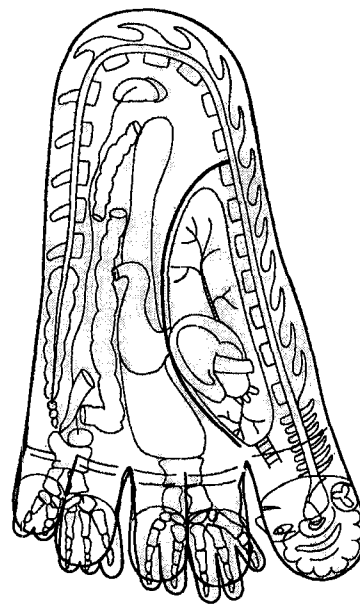
Соответствие поверхностным структурам  
правой половины тела на Ян-поверхности  
правой стопы



Соответствие поверхностным структурам  
левой половины тела на Ян-поверхности  
левой стопы



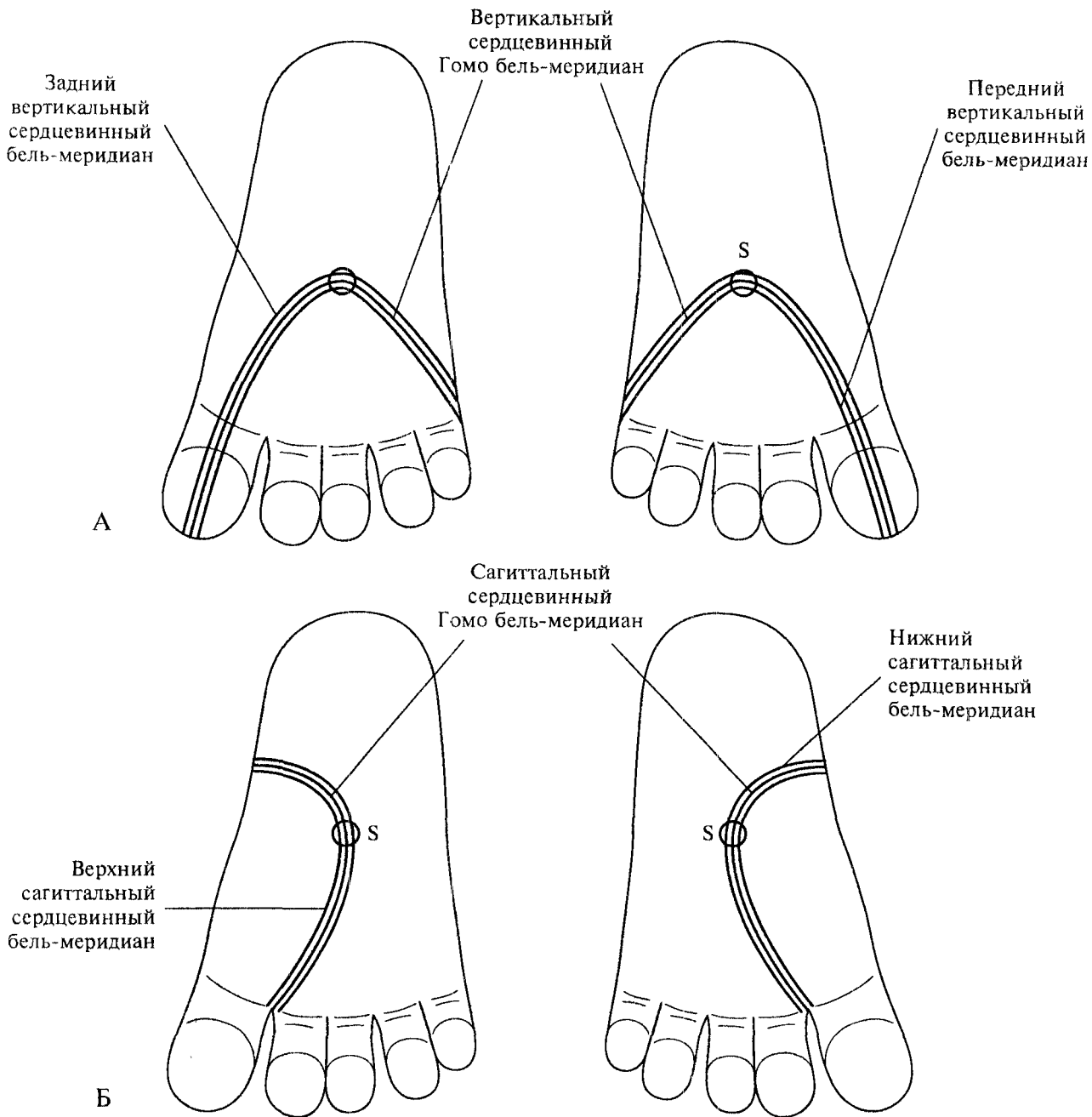
Соответствие внутренним органам  
правой половины тела на Инь-поверхности  
правой стопы



Соответствие внутренним органам  
левой половины тела на Инь-поверхности  
левой стопы

**Рис. 271.** Объединенная закрытая боковая система соответствия телу на стопах.  
Формирование объединенных закрытых боковых систем соответствия телу на стопах происходит по аналогии с системами на кисти. Соответствие диафрагме располагается по границе свода стопы до кожной складки между I и II пальцами. В объединенной закрытой боковой системе соответствия рассматривается проекция вертикальных и сагиттальных сердцевинных меридианов.





ис. 272. Вертикальные и сагиттальные сердцевинные бель-меридианы стоп в объединенных боковых (лево-правых) системах соответствия.

Вертикальный Гомо бель-меридиан вместе с левым и правым вертикальными бель-меридианами проходят по линии симметрии большого пальца до центральной точки лунечной чакры, расположенной на границе свода стопы, далее они следуют до точки, лежащей на границе нь-Ян в области V плюснефалангового сустава. Проекция переднего и заднего вертикальных сердцевинных бель-меридианов проходит параллельно вертикальному Гомо бель-меридиану на расстоянии 3 — 4 мм (А).

Сагиттальные сердцевинные бель-меридианы наилучшим образом представлены в объединенной боковой системе соответствия, где сагиттальный Гомо бель-меридиан вместе с левым и правым проецируется на линию, ограничивающую свод стопы (проекция диафрагмы), а верхний и нижний бель-меридианы проходят параллельно ему на расстоянии 3 — 4 мм (Б).

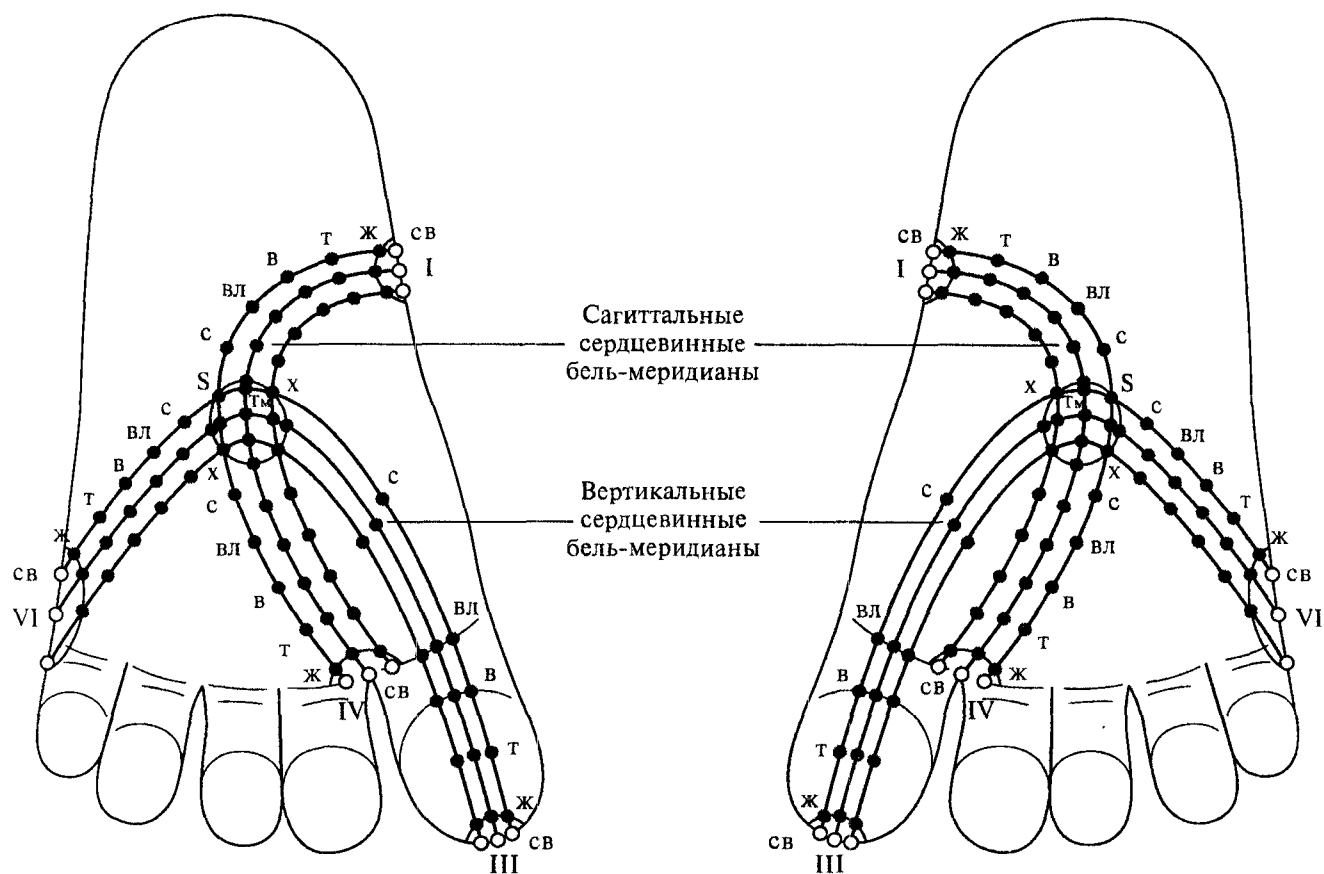


Рис. 273. Точки Восьми Энергий на вертикальных и сагиттальных сердцевинных бель-меридианах в объединенной боковой системе соответствия телу на стопе.

- I — задняя внешняя бель-чакра ветра
- III — верхняя внешняя бель-чакра жара
- IV — передняя внешняя бель-чакра влажности
- VI — нижняя внешняя бель-чакра холода
- S — солнечная бель-чакра

**Вертикальные сердцевинные бель-меридианы**

**тт. тьмы**  
Расположение: в области солнечной бель-чакры.

**тт. света**  
Расположение: в области внешних бель-чакр: верхней (на кончике большого пальца) и нижней (на границе 5 плюсневых суставов).

**тт. жара и холода**  
Расположение: на окружности вокруг точек света и тьмы соответственно.

**Нижние вертикальные бель-меридианы**  
**тт. тепла, ветра, влажности и сухости**  
Расположение: на равном расстоянии друг от друга на участке между точками жара и холода.

**Верхние вертикальные бель-меридианы**

**тт. влажности**  
Расположение: на кожной складке у основания большого пальца.

**тт. сухости**  
Расположение: на середине расстояния между точками холода и влажности.

**тт. ветра**  
Расположение: на кожной складке межфалангового сустава большого пальца.

**тт. тепла**  
Расположение: на середине дистальной фаланги большого пальца.

**Сагиттальные сердцевинные бель-меридианы**

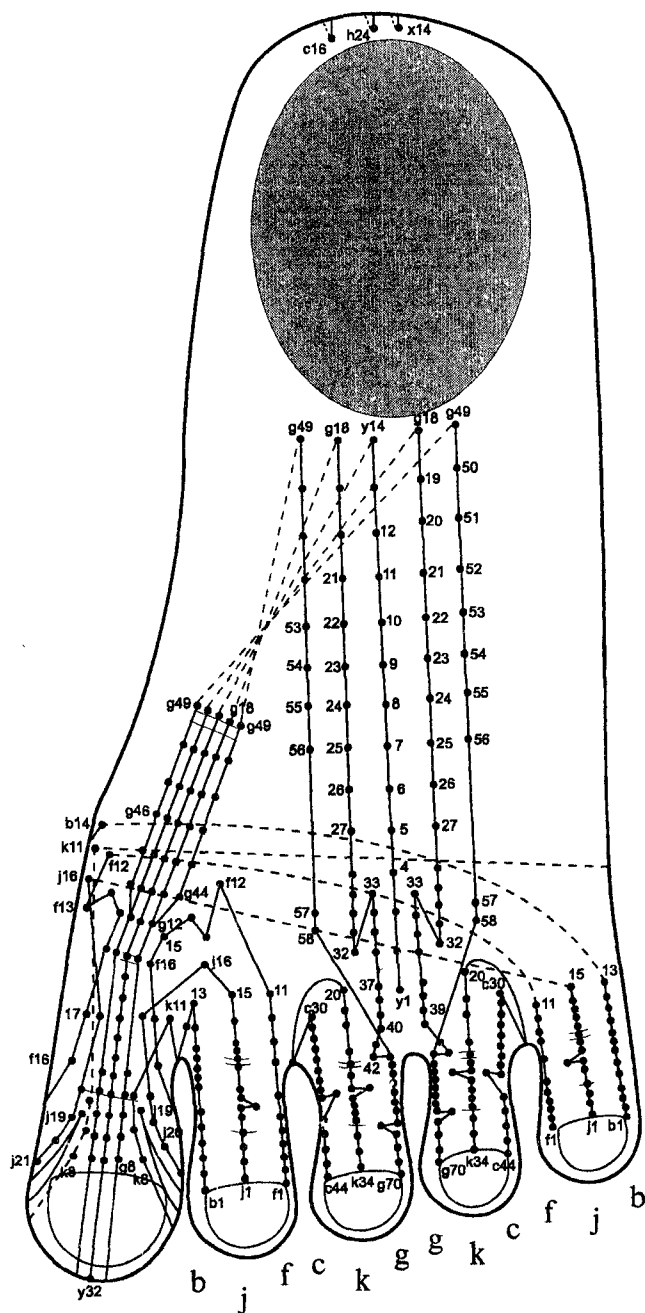
**тт. тьмы**  
Расположение: в области солнечной бель-чакры, аналогично точкам тьмы вертикальных сердцевинных бель-меридианов.

**тт. света**  
Расположение: в области внешних передней и задней бель-чакр.

**тт. жара и холода**  
Расположение: на окружности вокруг точек света и тьмы соответственно.

**Точки остальных энергий** находятся на равном расстоянии друг от друга на участке между точками жара и холода.





ис. 275. Периферические А-бель-меридианы на Ян-поверхности левой стопы.

Ножные А-меридианы на участках от коленных суставов до кончиков пальцев проецируются на Ян-поверхность дистальной и средней фаланг III пальца стопы в первичной системе и IV пальца во вторичной системе соответствия.

Бель-меридиан желчного пузыря (к) проходит посередине Ян-поверхности пальца. Бель-меридианы желудка (с) и мочевого пузыря (g) локализируются параллельно бель-меридиану желчного пузыря на расстоянии 1/6 окружности пальца в области проксимального и дистального межфаланговых суставов.

Далее проекции ножных А-меридианов в системе соответствия отражают ход меридианов на теле в области бедра, туловища, шеи и головы.

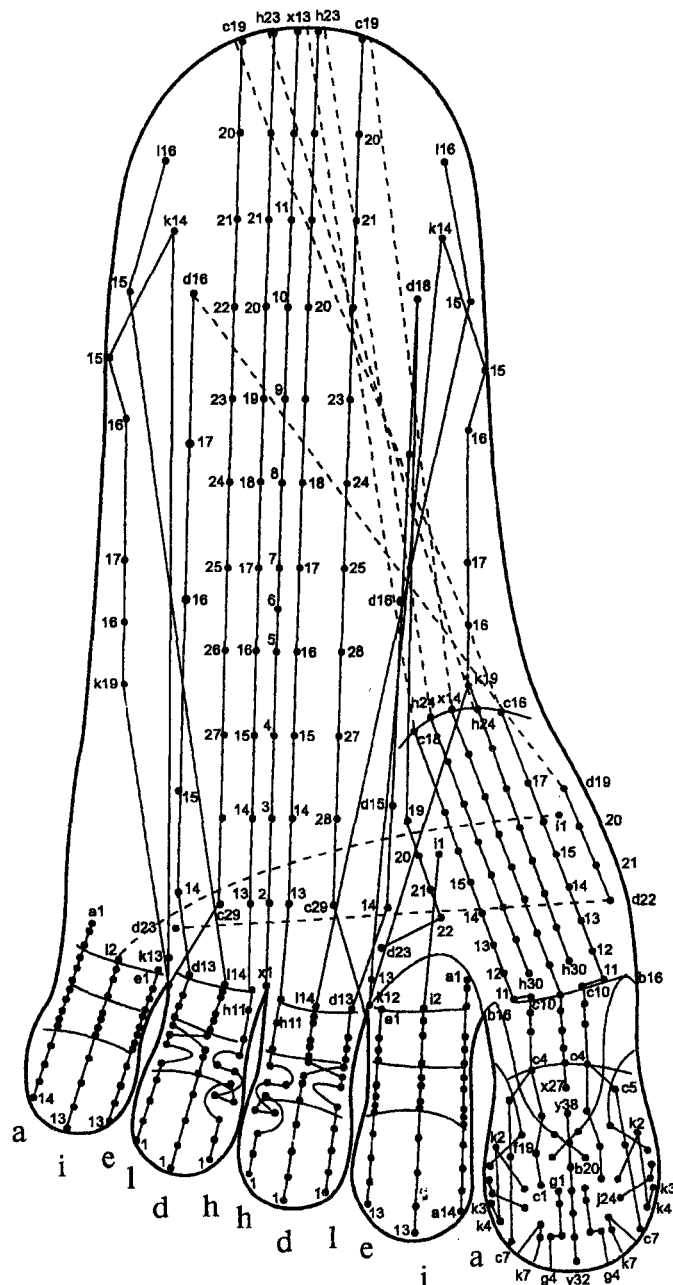


рис. 276. Периферические УМ-бель-меридианы на Инь-поверхности левой стопы.

Ручные УМ-меридианы на участках от локтевых суставов до кончиков пальцев проецируются на Инь-поверхности II пальца стопы в первичной системе и V пальца во вторичной системе соответствия.

Бель-меридиан головного мозга (i) проходит посередине Инь-поверхности пальца. Бель-меридианы легкого (a) и сердца (e) располагаются параллельно бель-меридиану головного мозга на расстоянии 1/6 окружности пальца в области проксимального и дистального межфаланговых суставов.

Далее проекции ручных УМ-меридианов в системе соответствия отражают ход меридианов на теле в области плеча и грудной клетки.

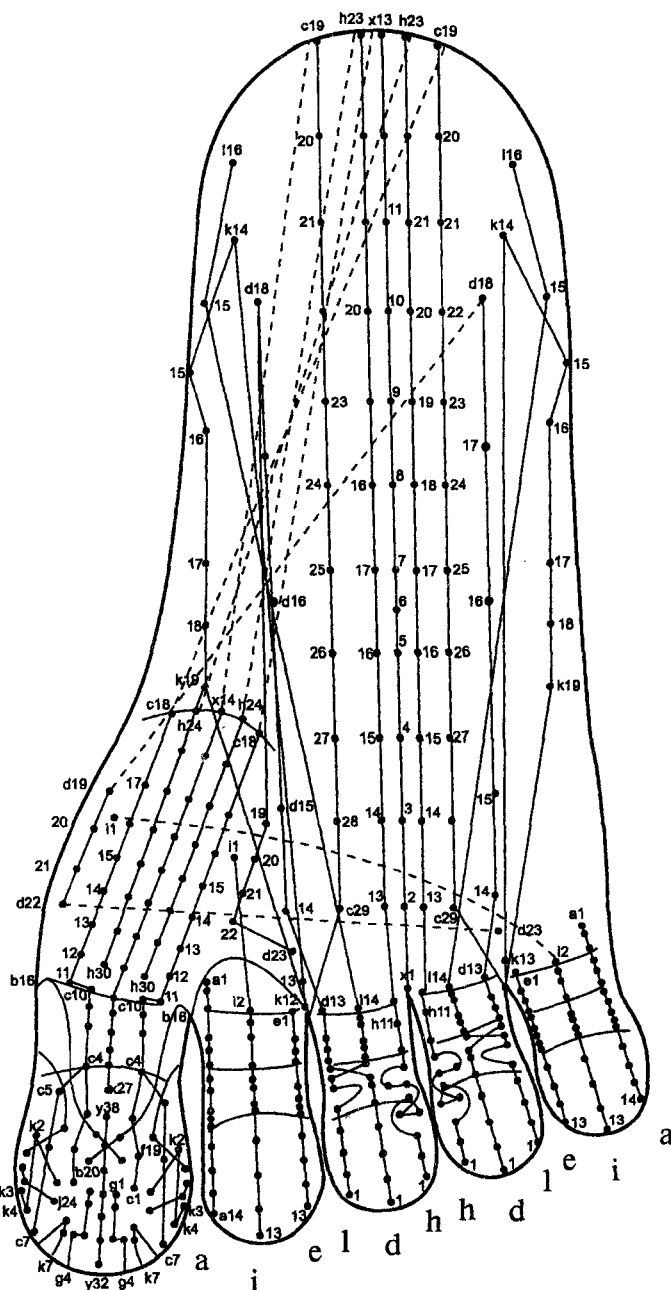


Рис. 277. Периферические УМ-бель-меридианы на Ян-поверхности правой стопы.

Ножные УМ-меридианы на участках от кончиков пальцев до коленных суставов проецируются на Инь-поверхность III пальца стопы в первичной системе и IV пальца во вторичной системе соответствия.

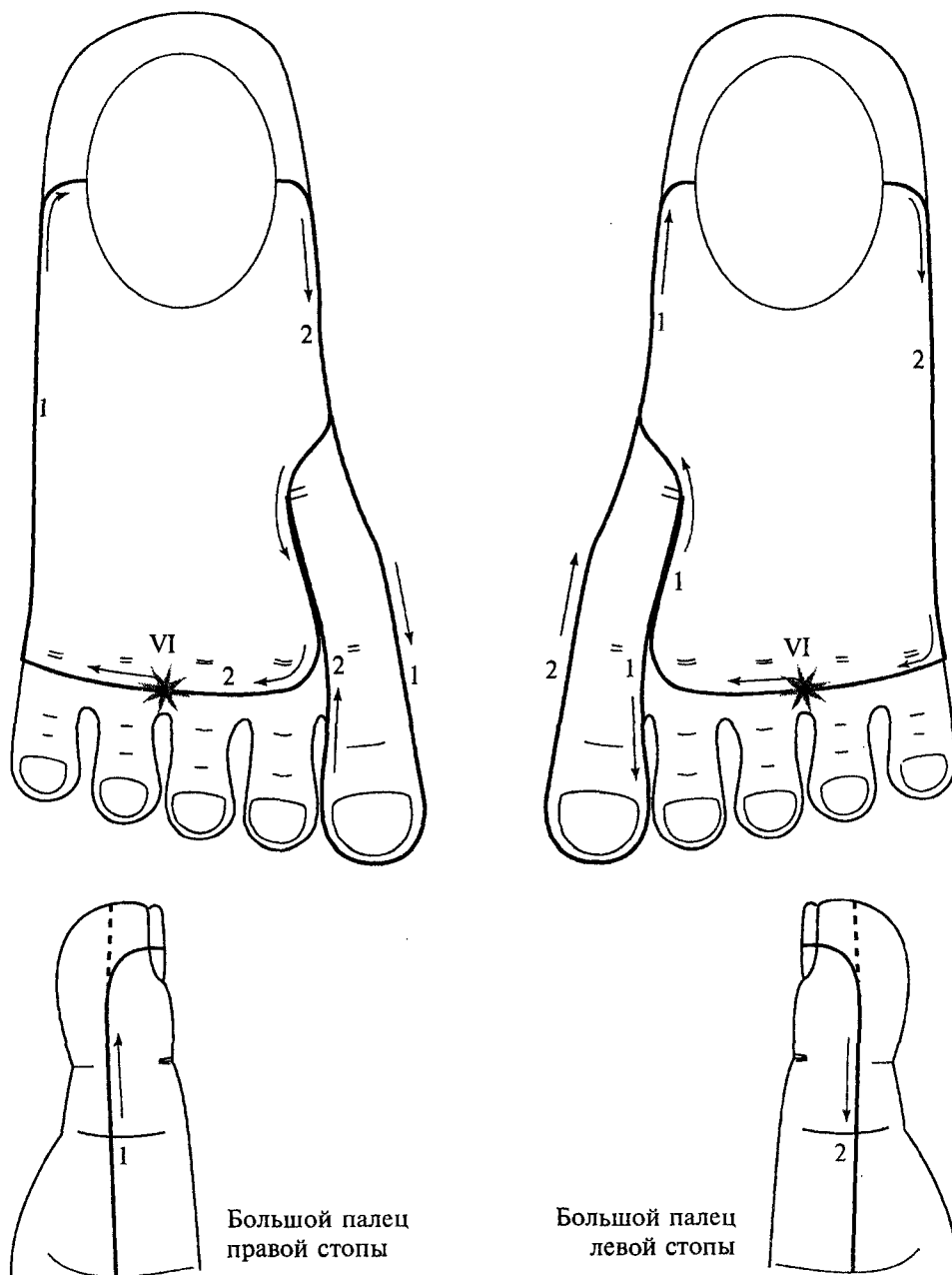
Бель-меридиан селезенки и поджелудочной железы (d) начинается от кончика пальца и по середине Инь-поверхности доходит до середины средней фаланги; затем он переходит на боковую часть Инь-поверхности пальца. Бель-меридиан печени (l) от кончика пальца до середины средней фаланги проходит по боковой части Инь-поверхности пальца, после чего переходит на середину Инь-поверхности.

Таким образом, бель-меридианы печени и селезенки делают перекрест в верхней трети средней фаланги пальца, что соответствует перекресту меридианов в области верхней трети голени. Бель-меридиан почки (h) располагается с противоположной стороны по боковой части Инь-поверхности пальца.

Далее проекции ножных УМ-меридианов в системе соответствия отражают ход меридианов на теле в области бедра и туловища.



## 2.5. Циркуляция в энергетической системе стоп



ис. 278. Циркуляция единых энергий в боковых пограничных бель-меридианах стоп при доминировании вертикальной оси тела.

Из нижней внешней бель-чакры единая энергия сначала направляется в левый боковой пограничный бель-меридиан (1), затем возвращается по правому боковому пограничному бель-меридиану (2).

VI — нижняя внешняя бель-чакра стопы

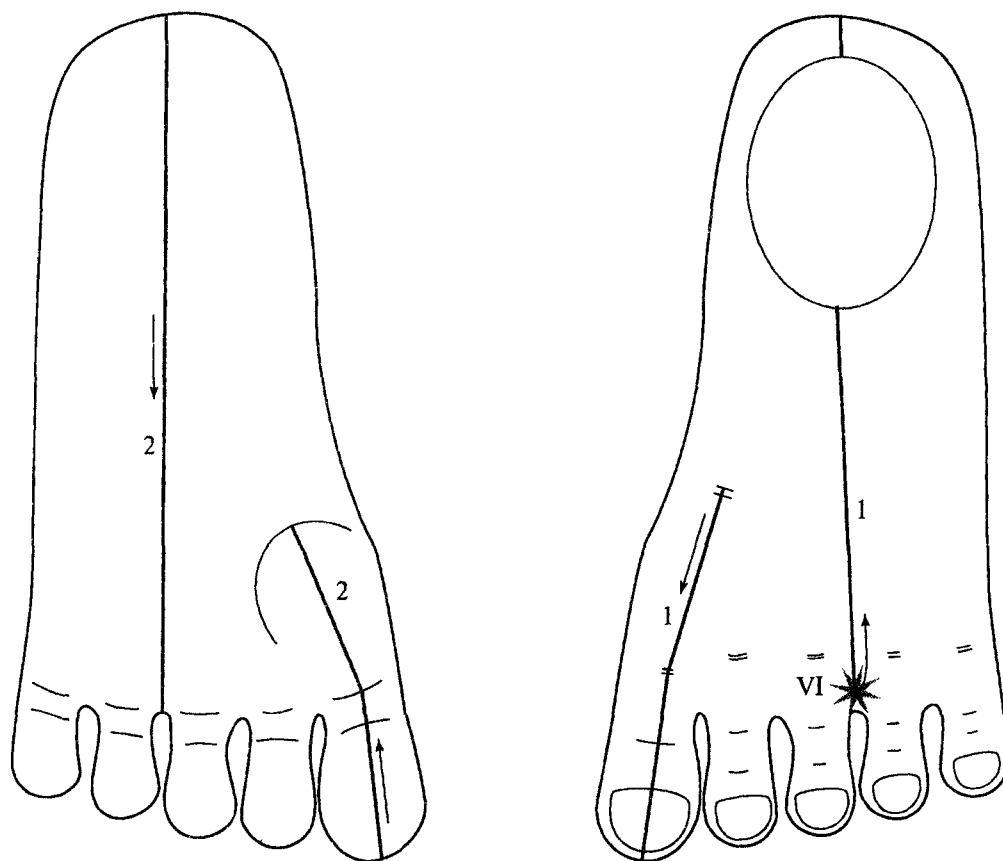


рис. 279. Циркуляция единой энергии в центральном пограничном бель-меридиане левой стопы при доминировании вертикальной оси тела.  
Из нижней внешней бель-чакры единая энергия сначала направляется в задний центральный пограничный бель-меридиан (1), затем возвращается по переднему центральному пограничному бель-меридиану (2).  
VI — нижняя внешняя бель-чакра стопы



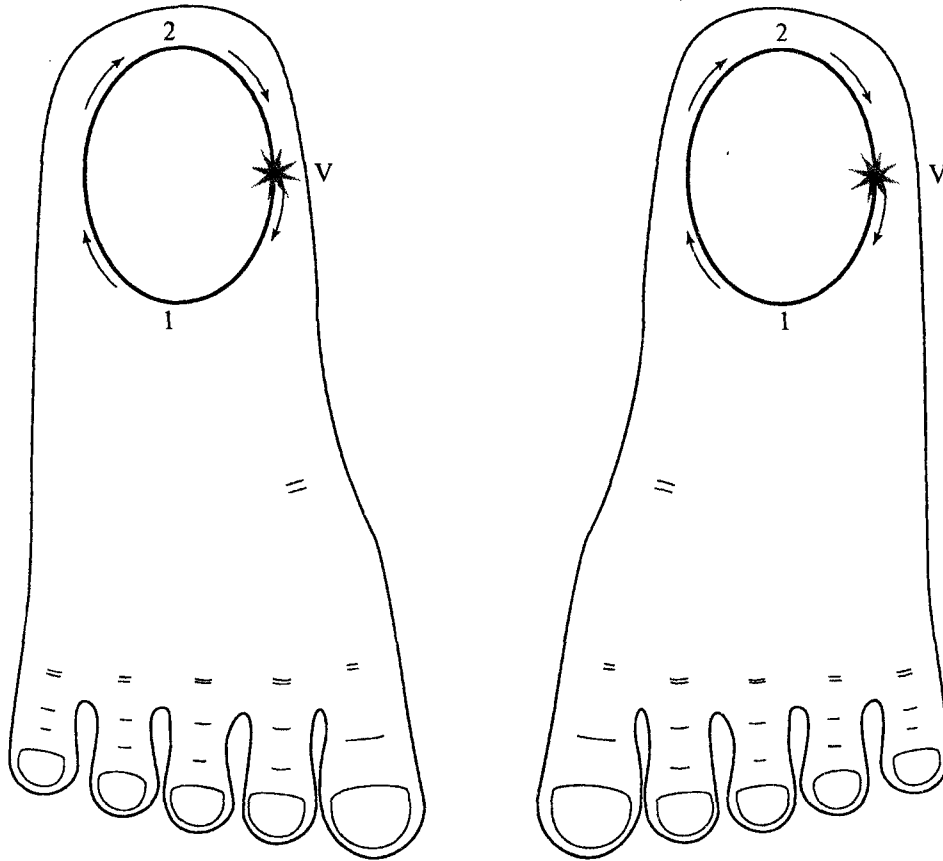


рис. 280. Циркуляция единой энергии в диафрагмальном пограничном бель-меридиане стоп при доминировании фронтальной оси тела.  
Из правой внешней бель-чакры единая энергия сначала направляется в задний диафрагмальный пограничный бель-меридиан (1), затем возвращается по переднему диафрагмальному пограничному бель-меридиану (2).  
V — правая внешняя бель-чакра стопы

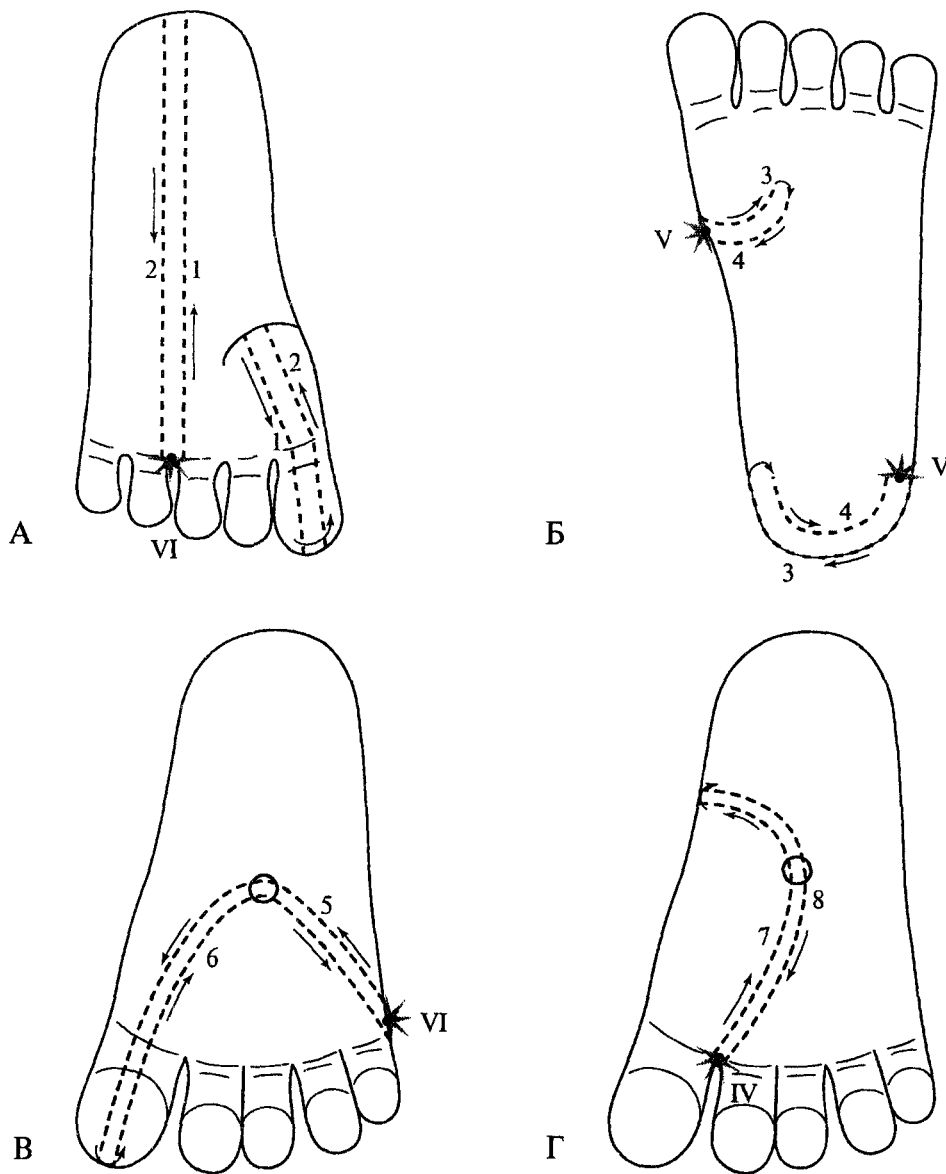


Рис. 281. Циркуляция единых энергий в сердцевинных бель-меридианах стоп.

Источниками циркуляции единых энергий по сердцевинным меридианам служат нижняя, правая и передняя чакры. Единая энергия сначала следует по сердцевинному меридиану Гетеро-половины тела, затем по сердцевинному меридиану Гомо-половины тела возвращается назад в чакру. Циркуляция единых энергий в вертикальном, фронтальном и сагиттальном сердцевинных бель-меридианах стоп происходит по такому же принципу.

А — циркуляция в боковом вертикальном сердцевинном бель-меридиане

Б — циркуляция в боковом фронтальном сердцевинном бель-меридиане

В — циркуляция в центральном вертикальном сердцевинном бель-меридиане

Г — циркуляция в центральном сагиттальном сердцевинном бель-меридиане

1 — левый вертикальный сердцевинный бель-меридиан

IV — передняя внешняя бель-чакра

2 — правый вертикальный сердцевинный бель-меридиан

V — правая внешняя бель-чакра

3 — верхний фронтальный сердцевинный бель-меридиан

VI — нижняя внешняя бель-чакра

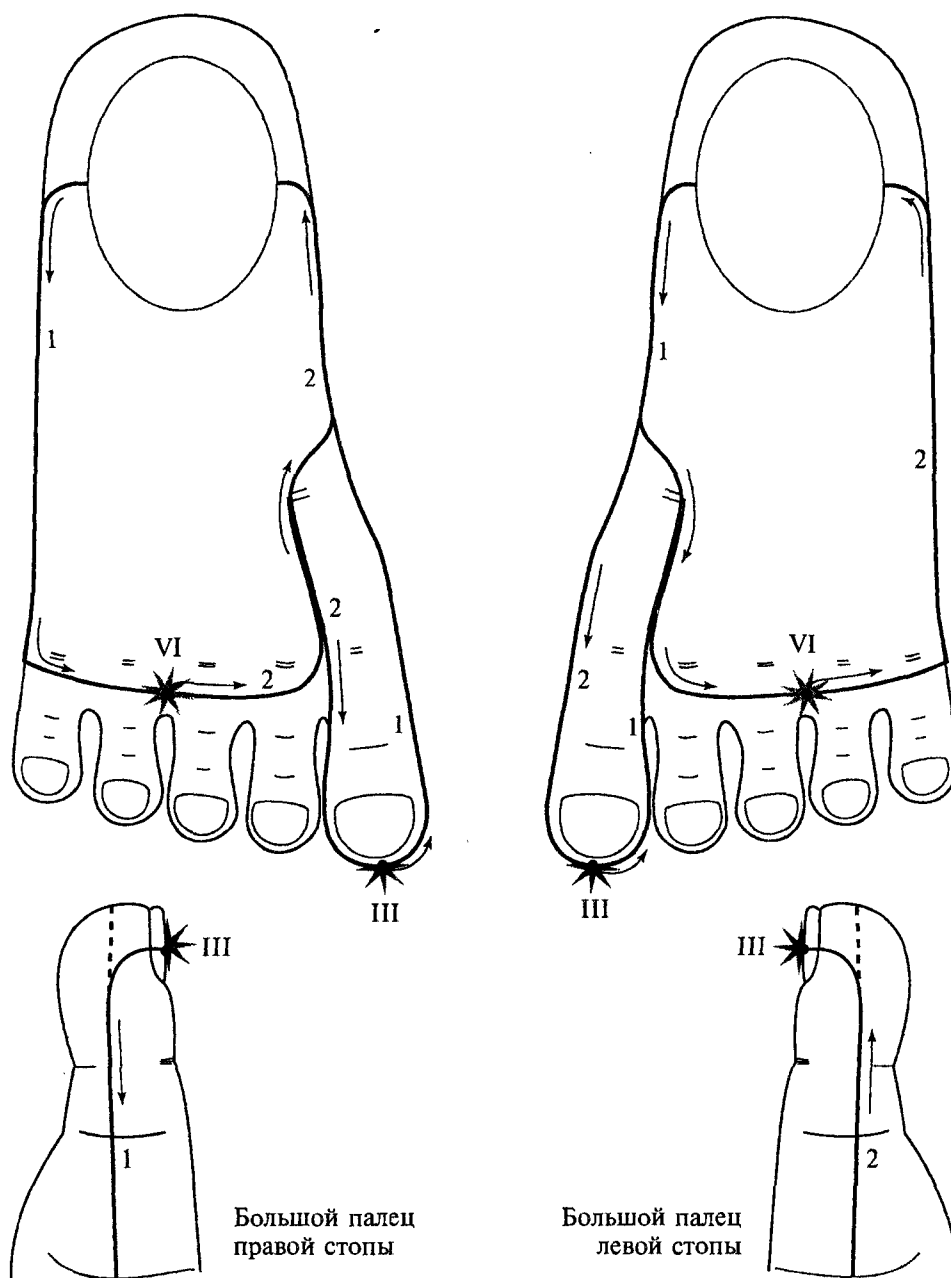
4 — нижний фронтальный сердцевинный бель-меридиан

5 — задний вертикальный сердцевинный бель-меридиан

6 — передний вертикальный сердцевинный бель-меридиан

7 — верхний сагиттальный сердцевинный бель-меридиан

8 — нижний сагиттальный сердцевинный бель-меридиан



Большой палец  
правой стопы

Большой палец  
левой стопы

ис. 282. Направление потоков индивидуальных энергий в левом и правом боковых пограничных бель-меридианах стоп.

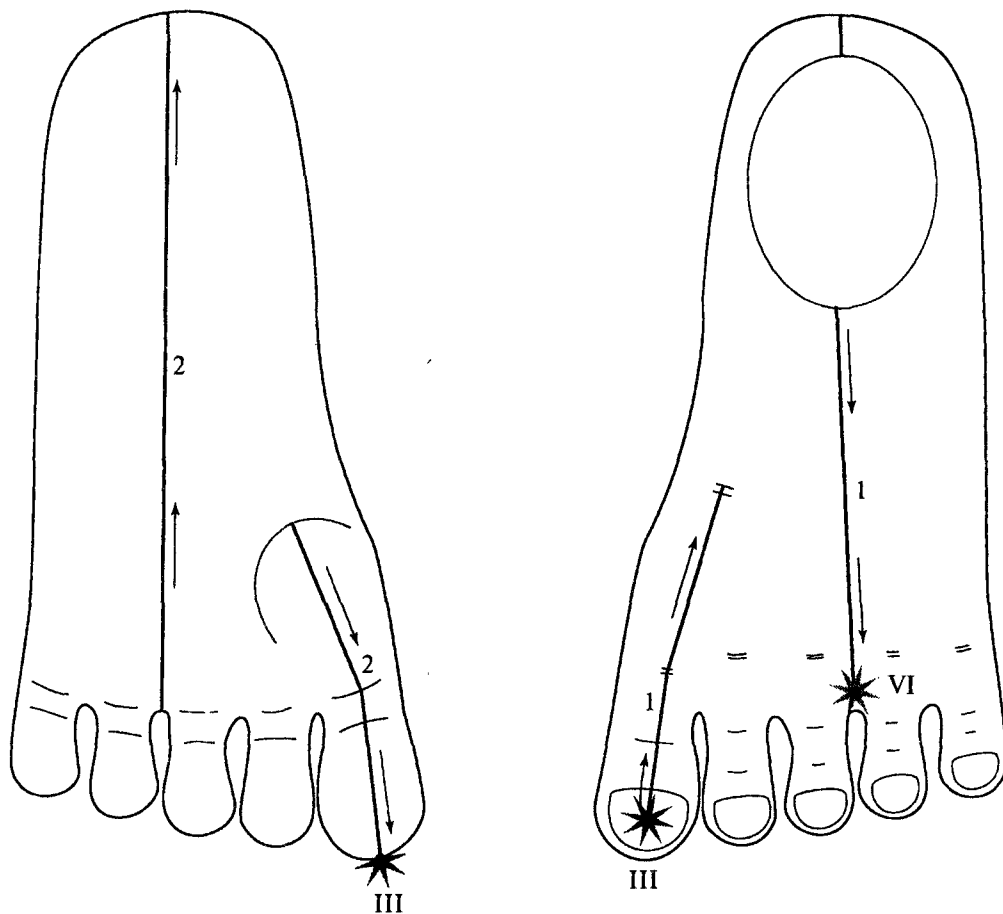
*А-энергия из верхней внешней бель-чакры стоп направляется в левый боковой пограничный бель-меридиан, а УМ-энергия из нижней внешней бель-чакры следует в правый боковой пограничный бель-меридиан.*

*1 — циркуляция А-энергии по левому боковому пограничному бель-меридиану стопы*

*2 — циркуляция УМ-энергии по правому боковому пограничному бель-меридиану стопы*

*III — верхняя внешняя бель-чакра стопы*

*VI — нижняя внешняя бель-чакра стопы*



Ис. 283. Направление потоков индивидуальных энергий в переднем и заднем центральных пограничных бель-меридианах стоп.

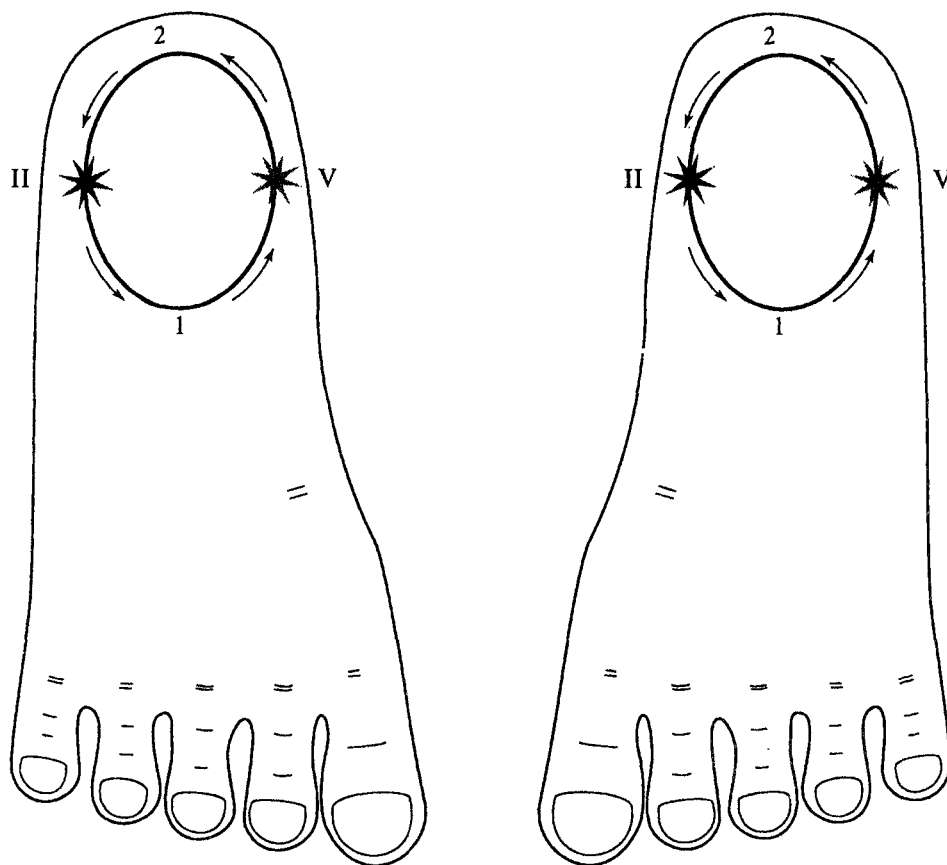
*A*-энергия из верхней внешней бель-чакры стопы идет по заднему центральному пограничному бель-меридиану, а *УМ*-энергия из нижней внешней бель-чакры стопы движется по переднему центральному пограничному бель-меридиану.

1 — циркуляция *A*-энергии по заднему центральному пограничному бель-меридиану стопы

2 — циркуляция *УМ*-энергии по переднему центральному пограничному бель-меридиану стопы

III — верхняя внешняя бель-чакра стопы

VI — нижняя внешняя бель-чакра стопы



ис. 284. Направление потоков индивидуальных энергий в переднем и заднем диафрагмальных пограничных бель-меридианах в индивидуальной системе соответствия телу на стопах.

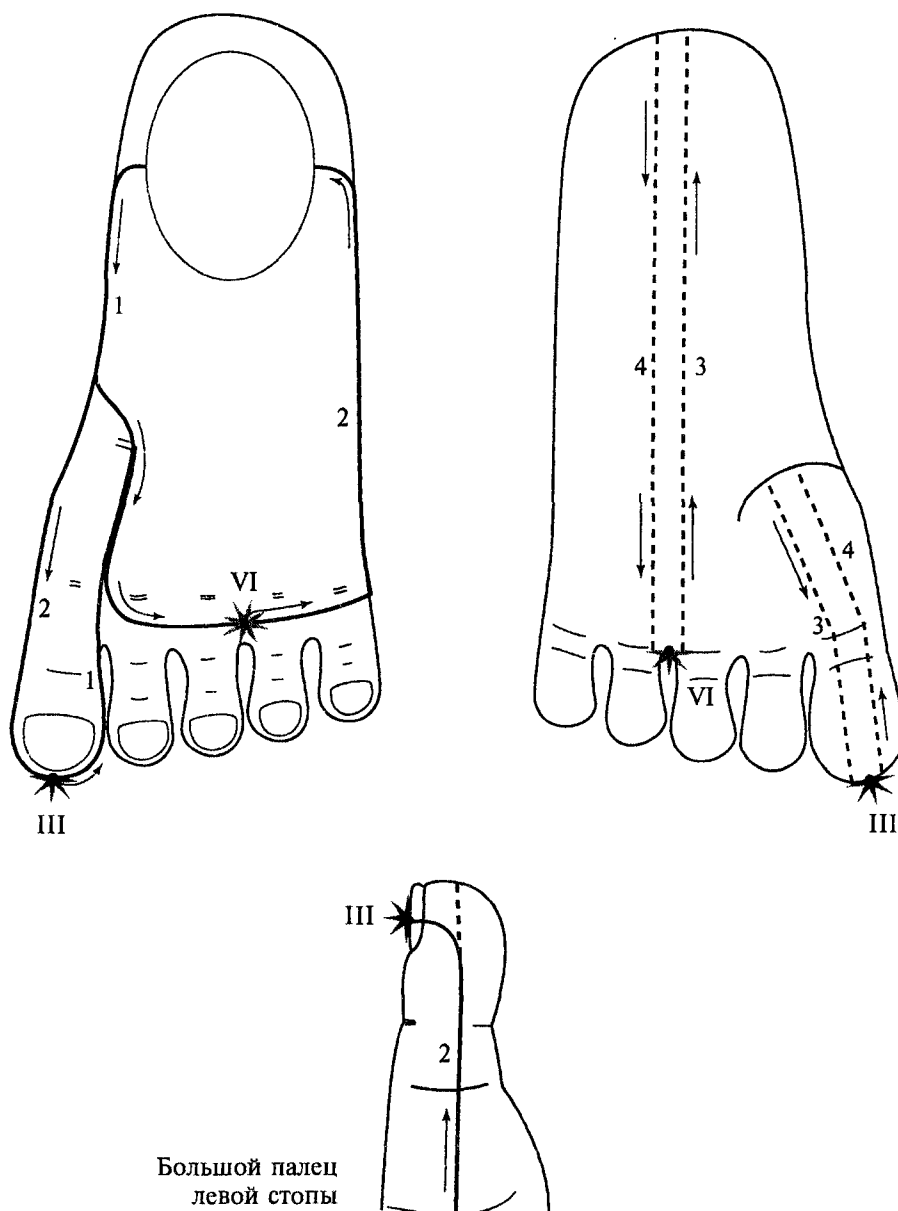
*A-энергия из внешней левой бель-чакры идет по заднему диафрагмальному пограничному бель-меридиану, УМ-энергия из внешней правой бель-чакры движется по переднему диафрагмальному пограничному бель-меридиану стопы.*

*1 — циркуляция A-энергии по заднему диафрагмальному бель-меридиану стопы*

*2 — циркуляция УМ-энергии по переднему диафрагмальному бель-меридиану стопы*

*II — левая внешняя бель-чакра стопы*

*V — правая внешняя бель-чакра стопы*



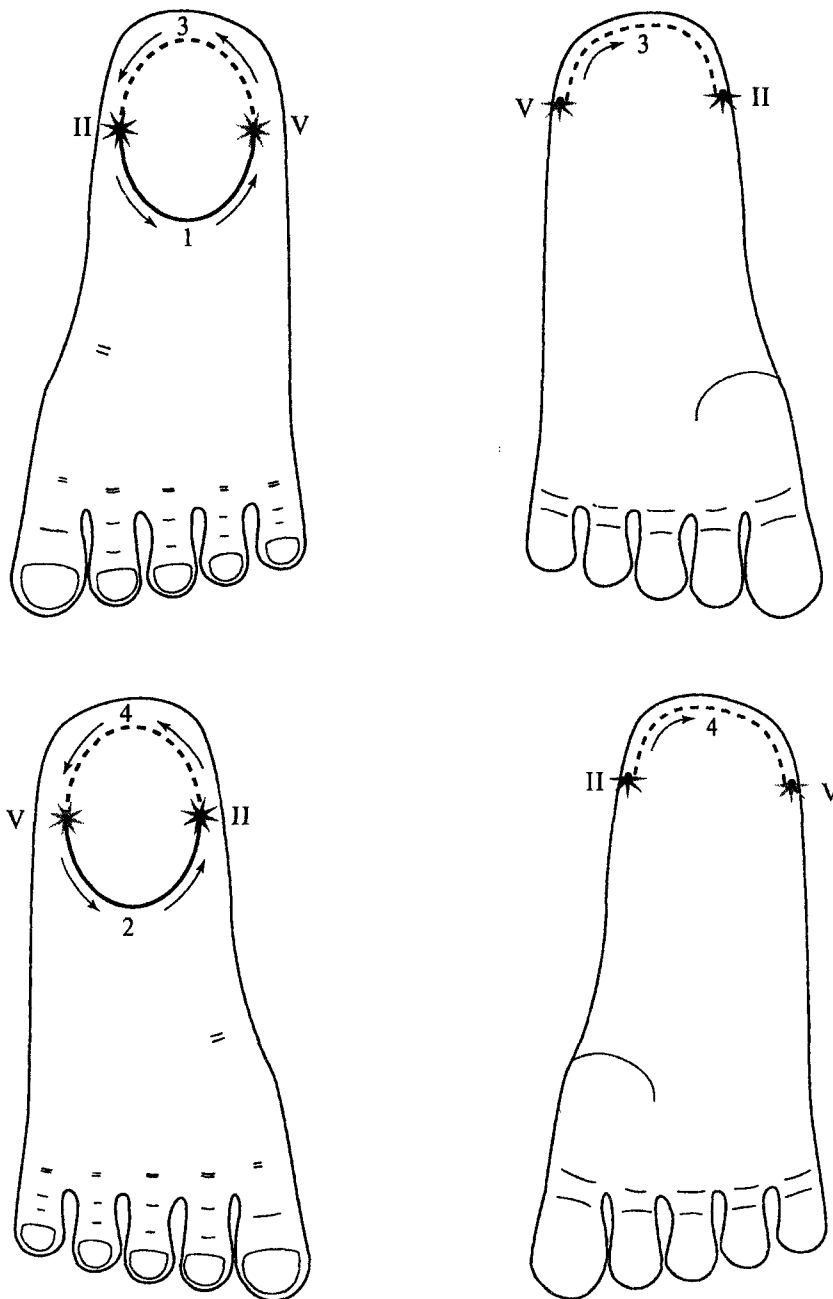
Большой палец  
левой стопы

рис. 285. Циркуляция индивидуальных энергий в боковом пограничном и вертикальном сердцевинном бель-меридианах стопы

Из верхней внешней бель-чакры (III) А-энергия направляется в левый боковой пограничный бель-меридиан (1) и по левому вертикальному сердцевинному бель-меридиану (3) возвращается назад в верхнюю внешнюю бель-чакру.

Из нижней внешней бель-чакры (VI) УМ-энергия следует в правый боковой пограничный бель-меридиан (2) и по правому вертикальному сердцевинному бель-меридиану (4) возвращается назад в нижнюю внешнюю бель-чакру.

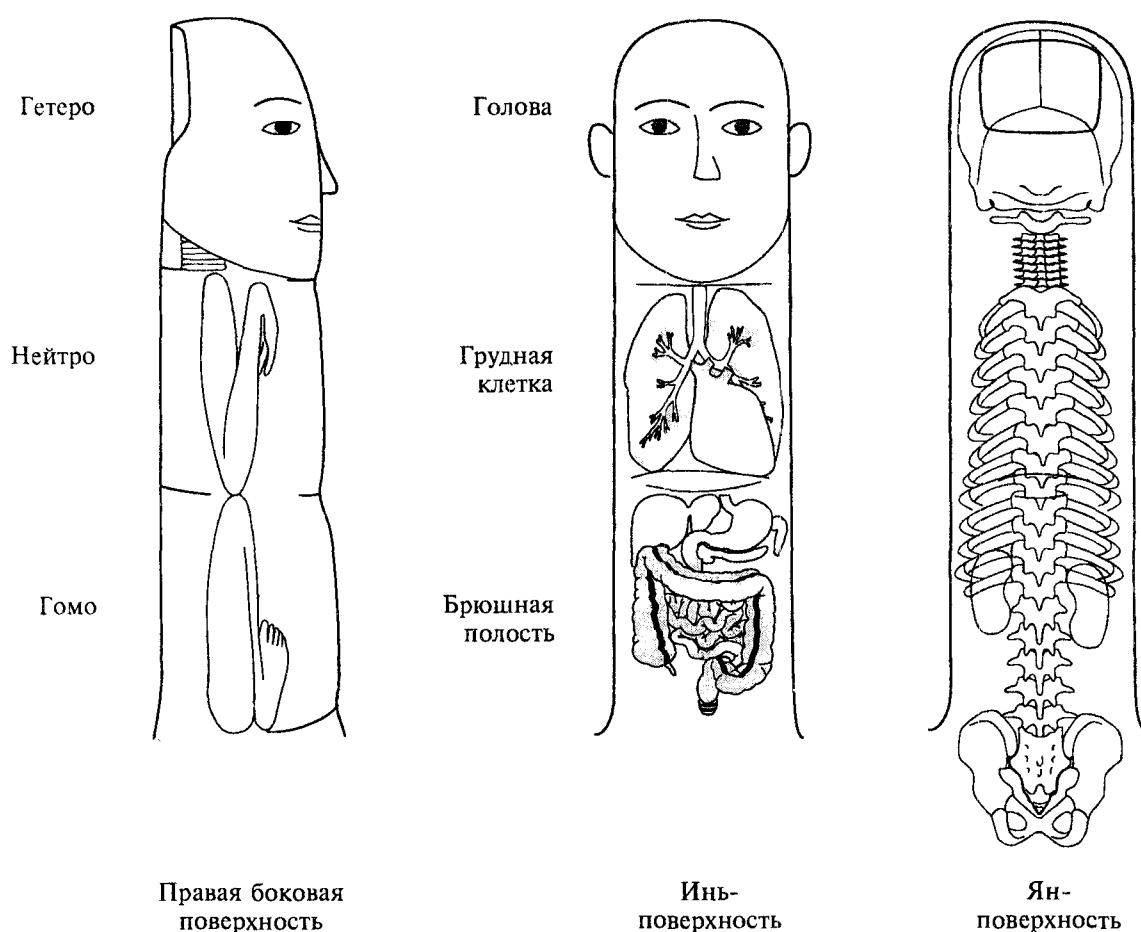
- 1 — левый боковой пограничный бель-меридиан
- 2 — правый боковой пограничный бель-меридиан
- 3 — левый вертикальный сердцевинный бель-меридиан
- 4 — правый вертикальный сердцевинный бель-меридиан
- III — верхняя внешняя бель-чакра стопы
- VI — нижняя внешняя бель-чакра стопы



ис. 286. Циркуляция индивидуальных энергий в диафрагмальном пограничном и фронтальном сердцевином бель-меридианах в объединенной закрытой стандартной системе соответствия телу на стопах. Из левой внешней бель-чакры (II) А-энергия направляется в задний диафрагмальный пограничный меридиан (1), затем в задний фронтальный сердцевиный бель-меридиан (3), по которому возвращается в левую бель-чакру. Из правой внешней бель-чакры (V) УМ-энергия следует в передний диафрагмальный пограничный меридиан (2), затем в передний фронтальный сердцевиный бель-меридиан (4), по которому возвращается в правую бель-чакру.  
 1 — задний диафрагмальный пограничный бель-меридиан  
 2 — передний диафрагмальный пограничный бель-меридиан  
 3 — задний фронтальный сердцевиный бель-меридиан  
 4 — передний фронтальный сердцевиный бель-меридиан  
 II — левая внешняя бель-чакра  
 V — правая внешняя бель-чакра

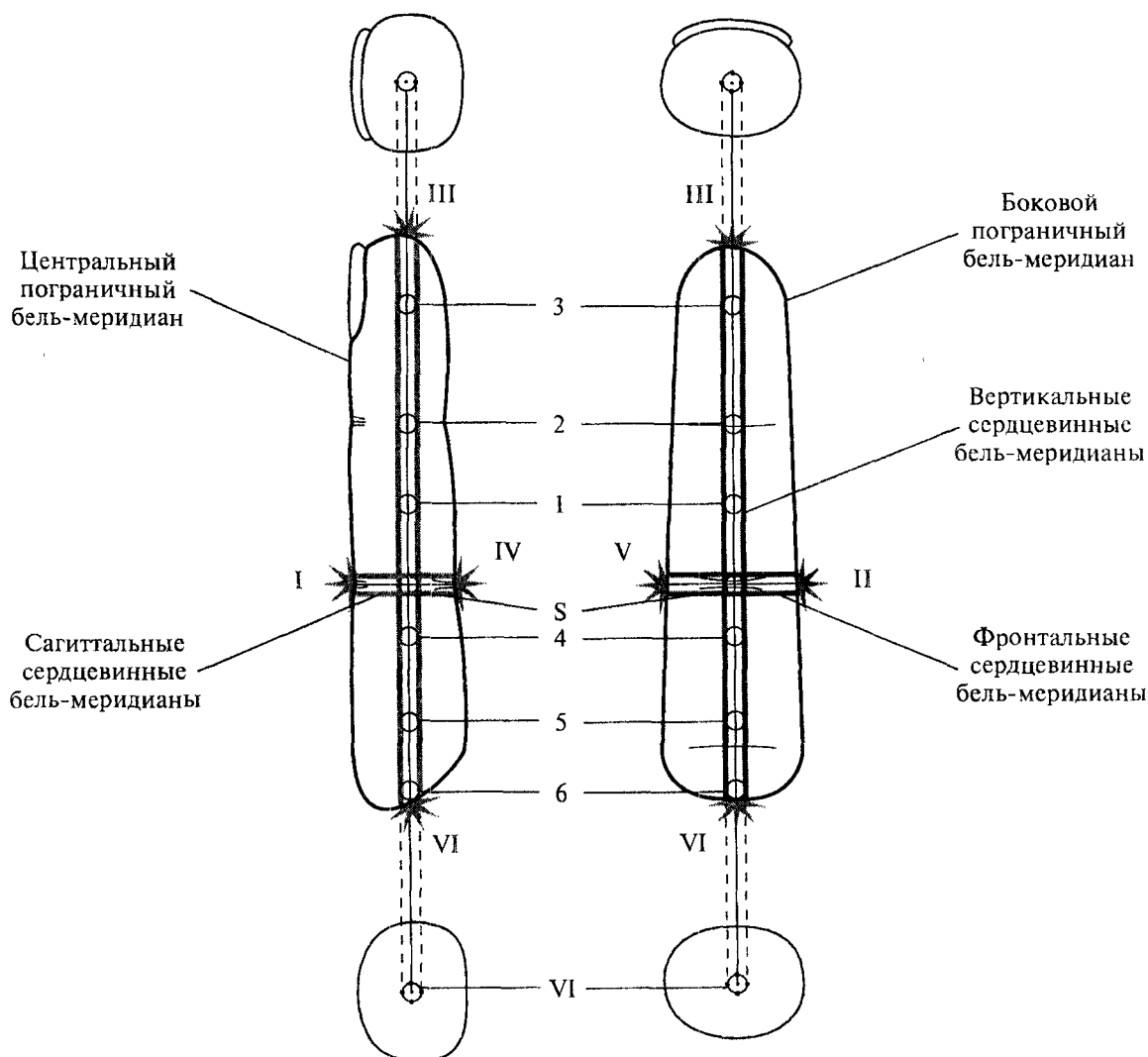
### Глава 3. Энергетическая система пальцев

Каждый палец кисти (или стопы) имеет собственную независимую энергетическую систему, являющуюся составным элементом единой энергетической системы тела. Дистальная локализация, небольшие размеры и функциональная активность пальцев, наряду с преимуществами в определении топографии энергетических структур, делают энергетические системы пальцев одними из наиболее эффективных и популярных.



**Рис. 287.** Индивидуальная стандартная система соответствия телу на пальце (система «насекомого»). Соответствие голове расположено на дистальной фаланге пальца, соответствие грудной клетке — на средней, соответствие брюшной полости — на проксимальной. Задняя часть тела соотносится с Ян-поверхностью пальца, передняя — с Инь-поверхностью. Шея проецируется на дистальный межфаланговый сустав, диафрагма — на проксимальный.





Ис. 288. Алмазная энергетическая система пальцев.

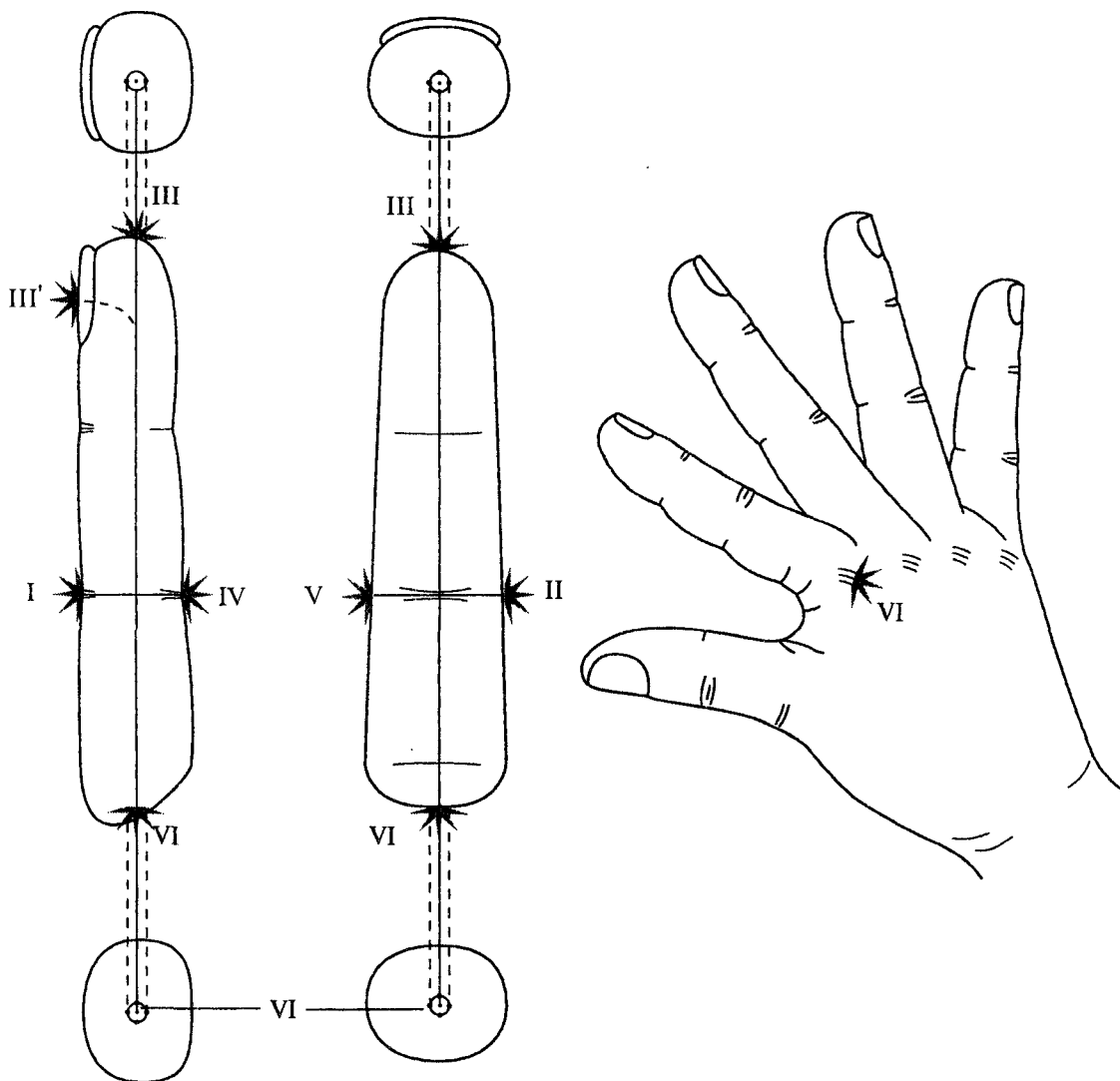
**Внутренние бель-чакры**

- 1 — бель-чакра ветра (Анахата)
- 2 — бель-чакра тепла (Вишудха)
- 3 — бель-чакра жара (Аджна)
- 4 — бель-чакра влажности (Манипура)
- 5 — бель-чакра сухости (Свадхистана)
- 6 — бель-чакра холода (Муладхара)
- S — солнечная чакра (Агни)

**Внешние бель-чакры**

- I — бель-чакра ветра (задняя чакра)
- II — бель-чакра тепла (левая чакра)
- III — бель-чакра жара (верхняя чакра)
- IV — бель-чакра влажности (передняя чакра)
- V — бель-чакра сухости (правая чакра)
- VI — бель-чакра холода (нижняя чакра)

### 3.1. Внешние и внутренние бей-чакры пальцев



ис. 289. Топография внешних бей-чакр пальца.

**— задняя внешняя бей-чакра гра**

сположение: посередине Ян-по-рхности пальца, в области прокси-льного межфалангового сустава.

**— левая внешняя бей-чакра пла**

сположение: на левой границе нь-Ян пальца, в области прокси-льного межфалангового сустава.

**III — верхняя внешняя бей-чакра жара**

Имеет два варианта расположения: на кончике пальца и на ногте (III').

**IV — передняя внешняя бей-чакра влажности**

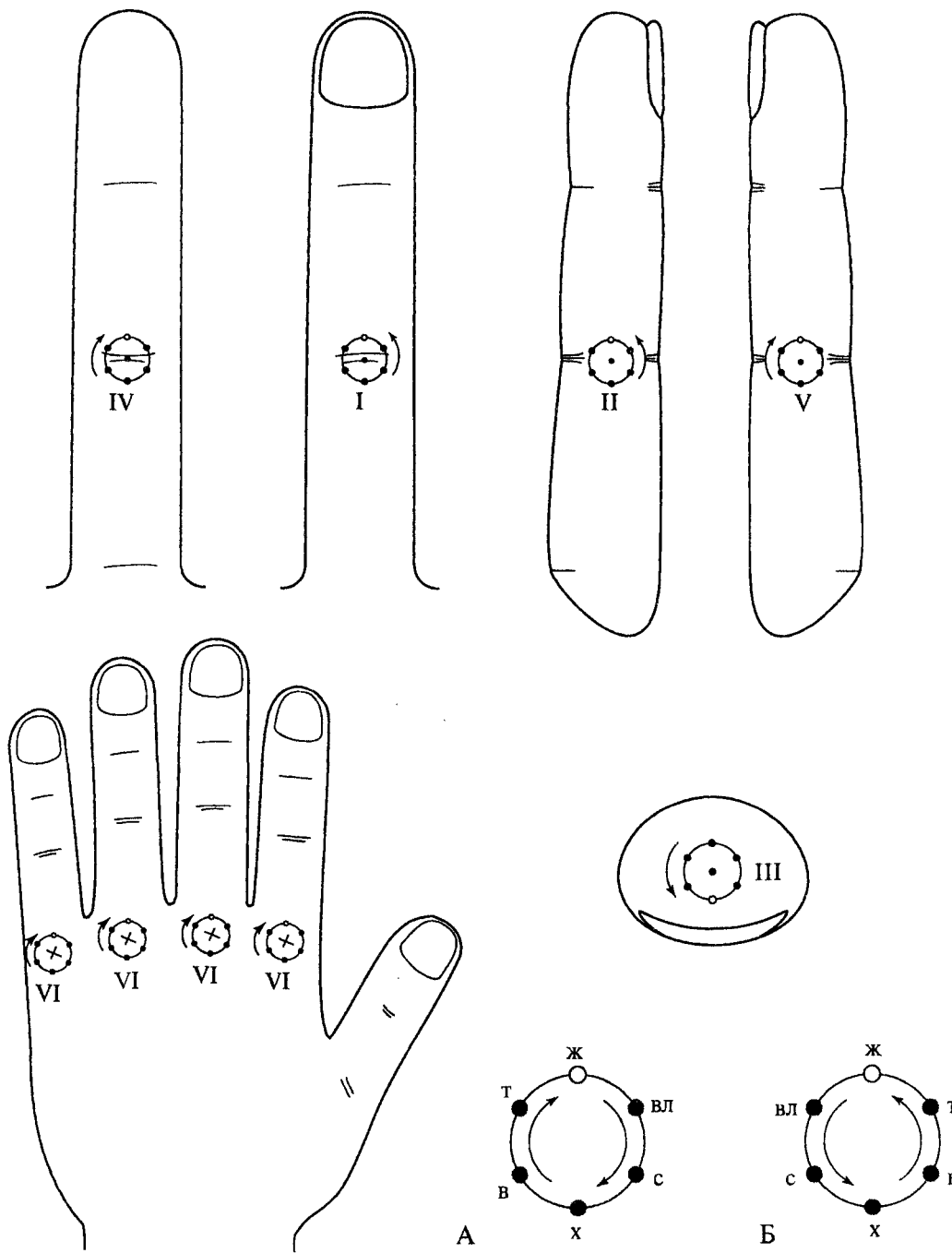
Расположение: посередине Инь-по-верхности пальца, в области прокси-мального межфалангового сустава.

**V — правая внешняя бей-чакра сухости**

Расположение: на правой границе Инь-Ян, в области проксимального межфалангового сустава.

**VI — нижняя внешняя бей-чакра холода**

Расположение: в основании пястно-фалангового сустава. Доступна для воздействия, если палец находится в согнутом (Гомо) положении.



ис. 290. Точки единых Шести Энергий внешних бель-чакр пальцев.  
Точки единых Шести Энергий располагаются на окружности с радиусом 1,5— 2 мм вокруг центральной точки бель-чакры. Точка жара всегда занимает самое верхнее положение на окружности, точка холода — самое нижнее.

- А — Гомо-циркуляция по часовой стрелке, характерная для чакр влажности, сухости, холода  
 Б — Гетеро-циркуляция против часовой стрелки, характерная для чакр ветра, тепла, жара
- |                               |                                   |
|-------------------------------|-----------------------------------|
| I — внешняя бель-чакра ветра  | IV — внешняя бель-чакра влажности |
| II — внешняя бель-чакра тепла | V — внешняя бель-чакра сухости    |
| III — внешняя бель-чакра жара | VI — внешняя бель-чакра холода    |

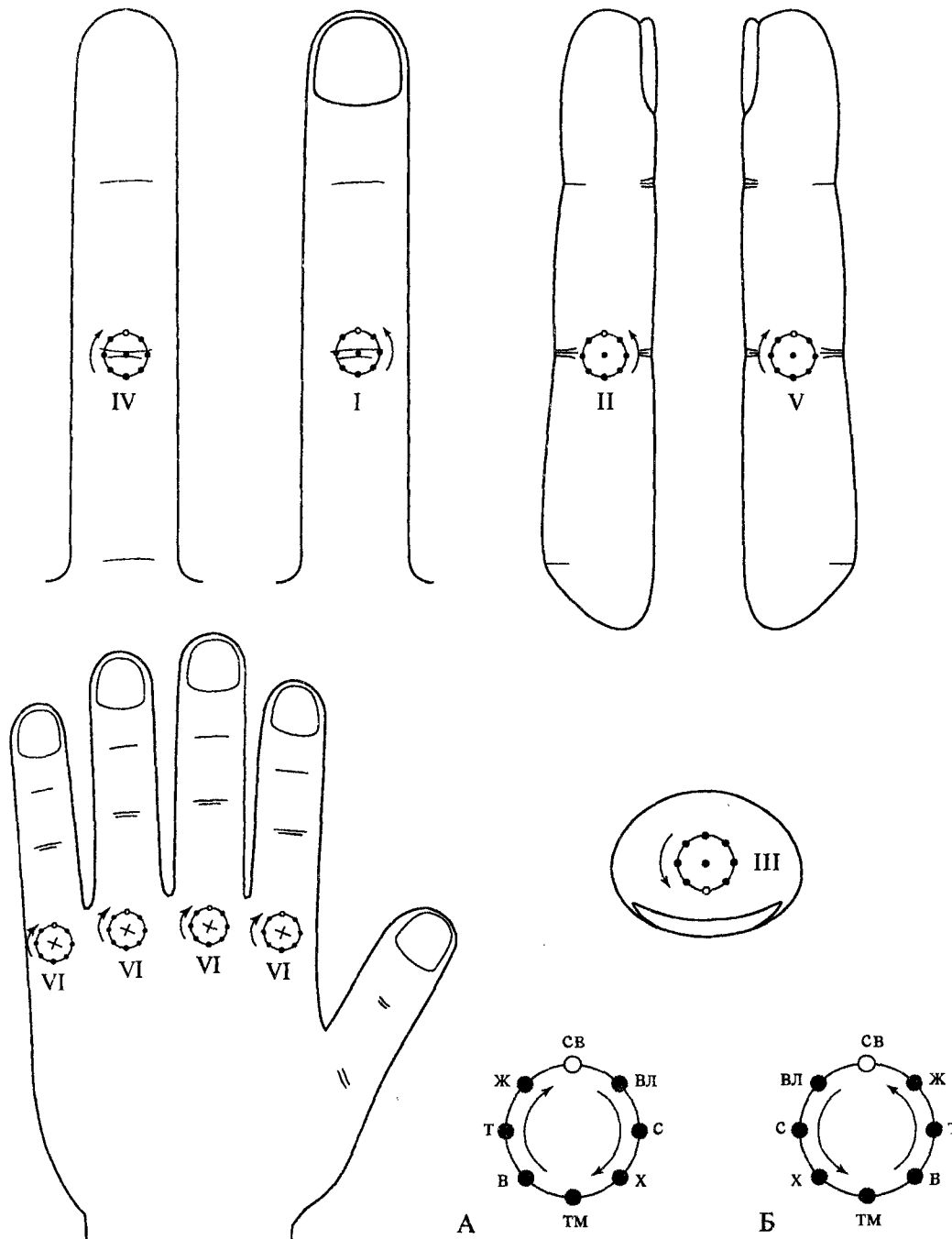


Рис. 291. Точки единых Восьми Энергий внешних бель-чакр пальцев.

Точки единых Восьми Энергий располагаются на окружности с радиусом 1,5— 2 мм вокруг центральной точки бель-чакры. Точка света всегда занимает самое верхнее положение на окружности, точка тьмы — самое нижнее.

- А — Гомо-циркуляция по часовой стрелке, характерная для чакр влажности, сухости, холода  
 Б — Гетеро-циркуляция против часовой стрелки, характерная для чакр ветра, тепла, жара
- I — внешняя бель-чакра ветра  
 II — внешняя бель-чакра тепла  
 III — внешняя бель-чакра жара  
 IV — внешняя бель-чакра влажности  
 V — внешняя бель-чакра сухости  
 VI — внешняя бель-чакра холода

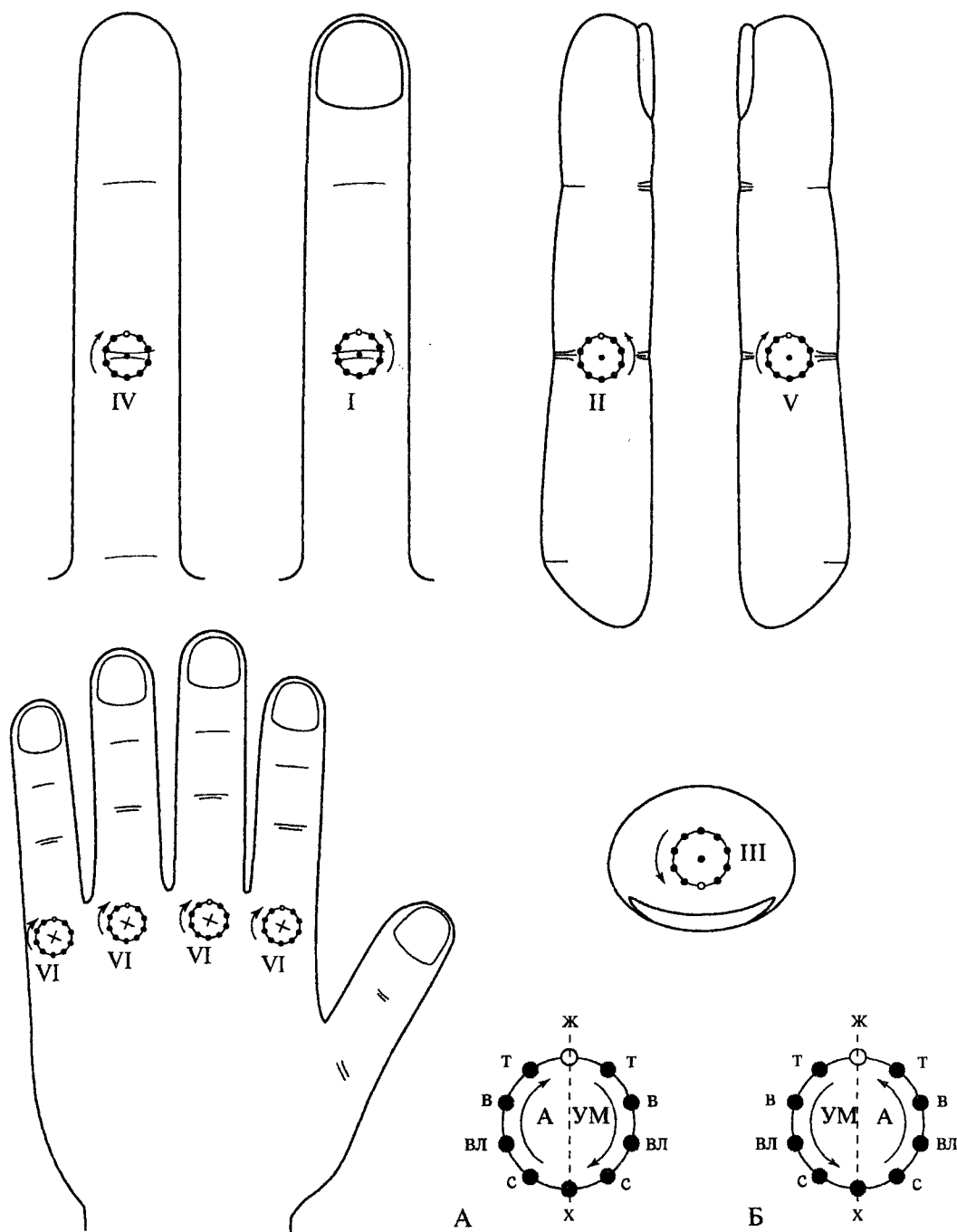


рис. 292. Топография точек индивидуальных Шести Энергий на внешних бель-чакрах пальцев.

Точки индивидуальных Шести Энергий располагаются на окружности с радиусом 1,5— 2 мм вокруг центральной точки бель-чакры. Точка жара всегда занимает самое верхнее положение на окружности, точка холода — самое нижнее. Используется вертикальный тип деления с последовательной циркуляцией сначала А-энергии, а затем УМ-энергии.

А — Гомо-циркуляция по часовой стрелке, характерная для чакр влажности, сухости, холода

Б — Гетеро-циркуляция против часовой стрелки, характерная для чакр ветра, тепла, жара

I — внешняя бель-чакра ветра

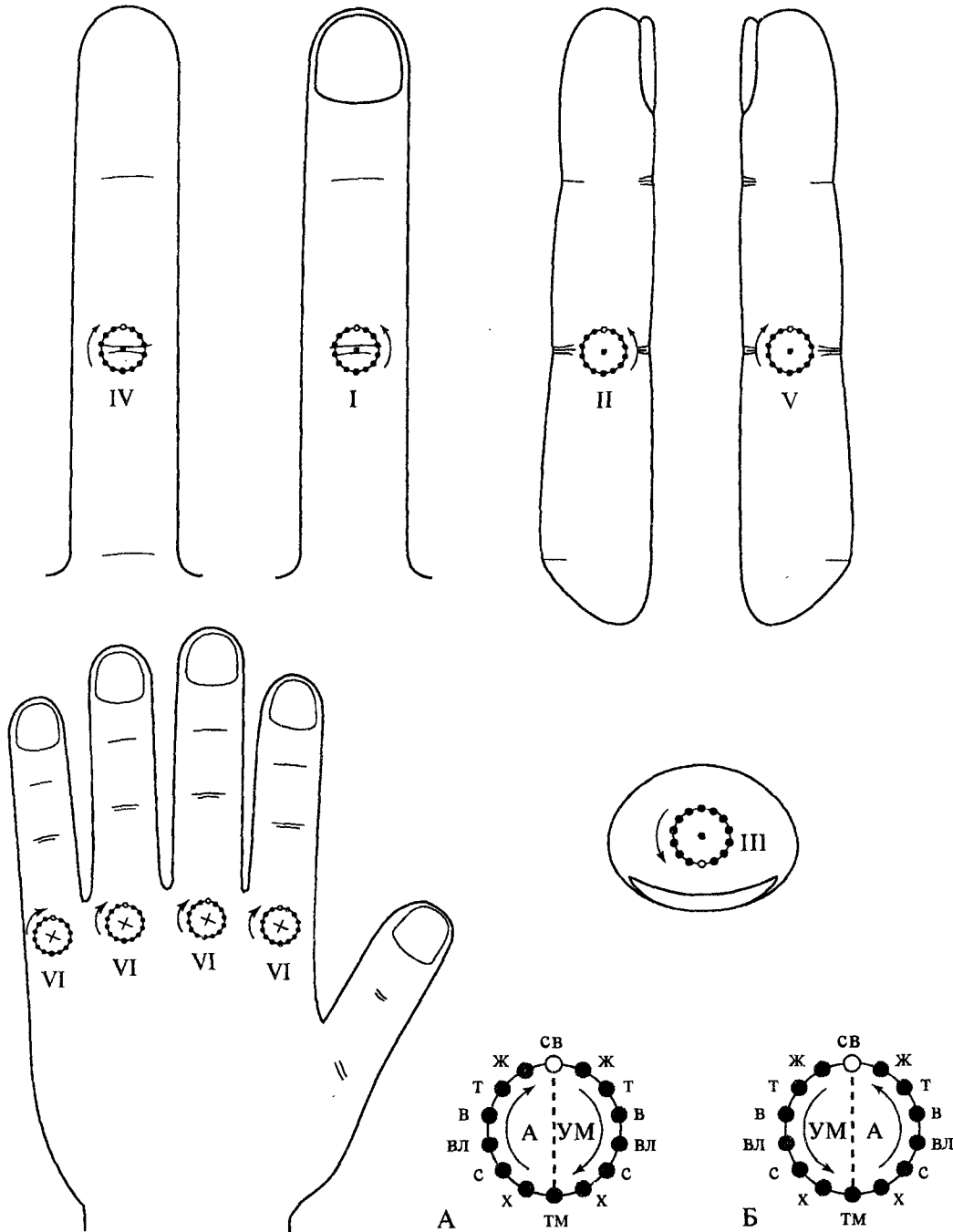
IV — внешняя бель-чакра влажности

II — внешняя бель-чакра тепла

V — внешняя бель-чакра сухости

III — внешняя бель-чакра жара

VI — внешняя бель-чакра холода



**Рис. 293.** Топография точек индивидуальных Восьми Энергий на внешних бель-чакрах пальцев.  
 Точки индивидуальных Восьми Энергий располагаются на окружности с радиусом 1,5– 2 мм вокруг центральной точки бель-чакры. Точка света всегда занимает самое верхнее положение на окружности, точка тьмы — самое нижнее. Используется вертикальный тип деления с последовательной циркуляцией сначала А-энергии, а затем УМ-энергии.  
 А — Гомо-циркуляция по часовой стрелке, характерная для чакр влажности, сухости, холода  
 Б — Гетеро-циркуляция против часовой стрелки, характерная для чакр ветра, тепла, жара  
 I — внешняя бель-чакра ветра                      IV — внешняя бель-чакра влажности  
 II — внешняя бель-чакра тепла                      V — внешняя бель-чакра сухости  
 III — внешняя бель-чакра жара                      VI — внешняя бель-чакра холода

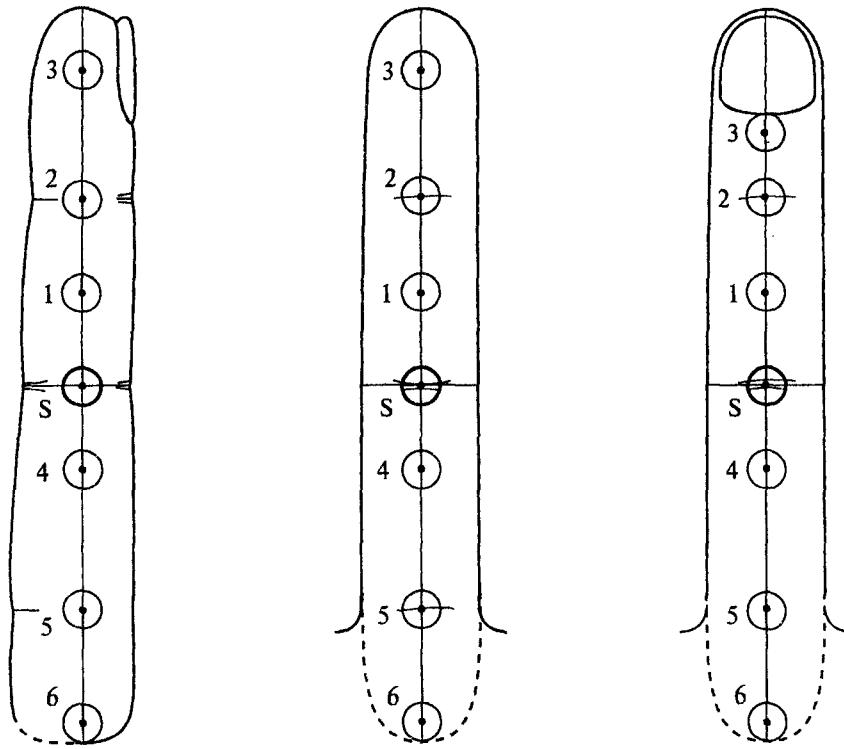


Рис. 294. Топография внутренних бель-чакр пальцев.

**1** — солнечная бель-чакра  
 Расположение: на проксимальном межфаланговом суставе.  
**2** — бель-чакра ветра  
 Расположение: на середине средней фаланги.  
**3** — бель-чакра тепла  
 Расположение: на дистальном межфаланговом суставе пальца.

**3** — бель-чакра жара  
 Расположение: на расстоянии 1/3 от кончика пальца или от ногтевой лунки до дистального межфалангового сустава.  
**4** — бель-чакра влажности  
 Расположение: ниже солнечной бель-чакры на 1/4 расстояния от бель-чакры холода до проекции солнечной чакры.

**5** — бель-чакра сухости  
 Расположение: выше центра бель-чакры холода на 1/3 расстояния от бель-чакры холода до проекции солнечной чакры.  
**6** — бель-чакра холода  
 Расположение: в области основания проксимальной фаланги пальца.

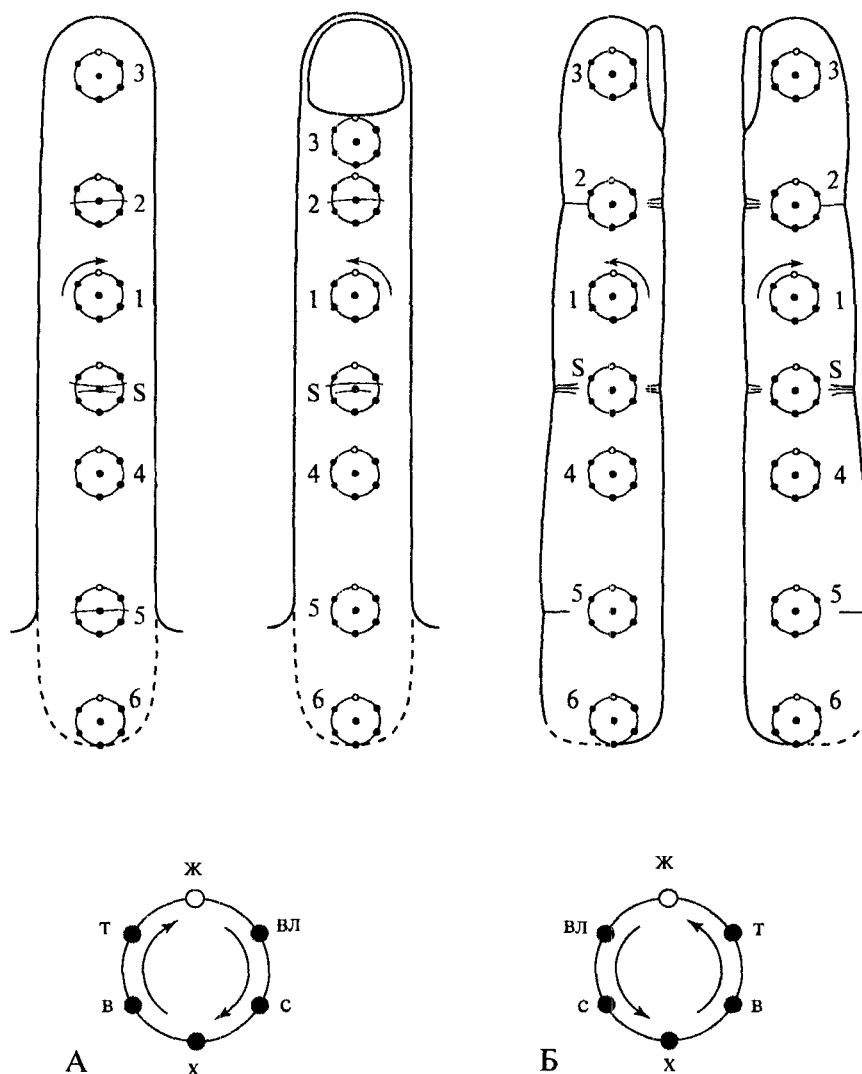


Рис. 295. Точки единых Шести Энергий на внутренних бель-чакрах пальцев.

Точки единых Шести Энергий располагаются на окружности с радиусом 1,5— 2 мм вокруг центральной точки бель-чакры. Точка жара всегда занимает самое верхнее положение на окружности, точка холода — самое нижнее положение. Точки остальных энергий располагаются в соответствии с Гомо- или Гетеро-циркуляцией. Для Инь-поверхности характерна Гомо-циркуляция по часовой стрелке, для Ян-поверхности — Гетеро-циркуляция против часовой стрелки.

А — расположение точек единых энергий внутренних бель-чакр на Инь-поверхности и правой боковой поверхности пальцев соответствует Гомо-циркуляции

Б — расположение точек единых энергий внутренних бель-чакр на Ян-поверхности и левой боковой поверхности пальцев соответствует Гетеро-циркуляции

1 — бель-чакра ветра

5 — бель-чакра сухости

2 — бель-чакра тепла

6 — бель-чакра холода

3 — бель-чакра жара

S — солнечная бель-чакра

4 — бель-чакра влажности



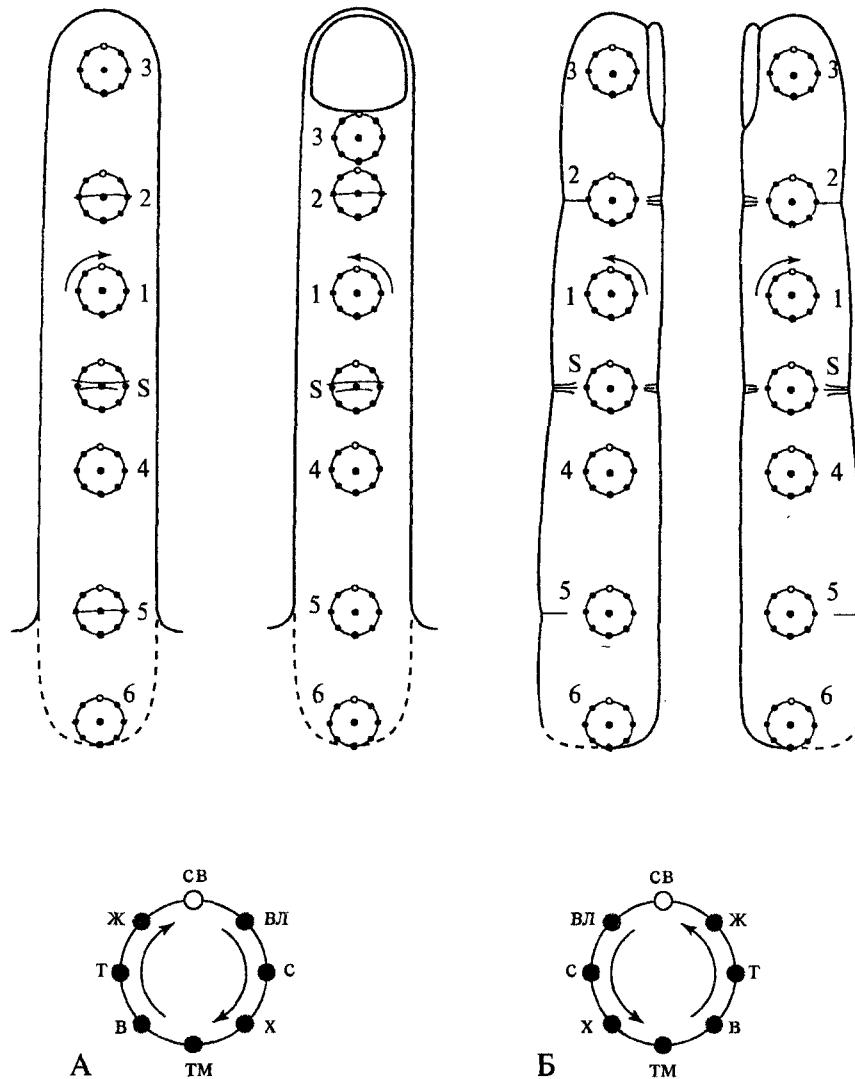


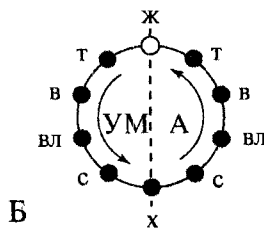
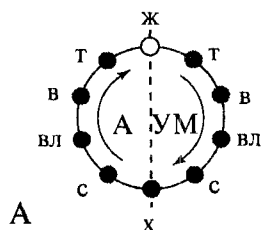
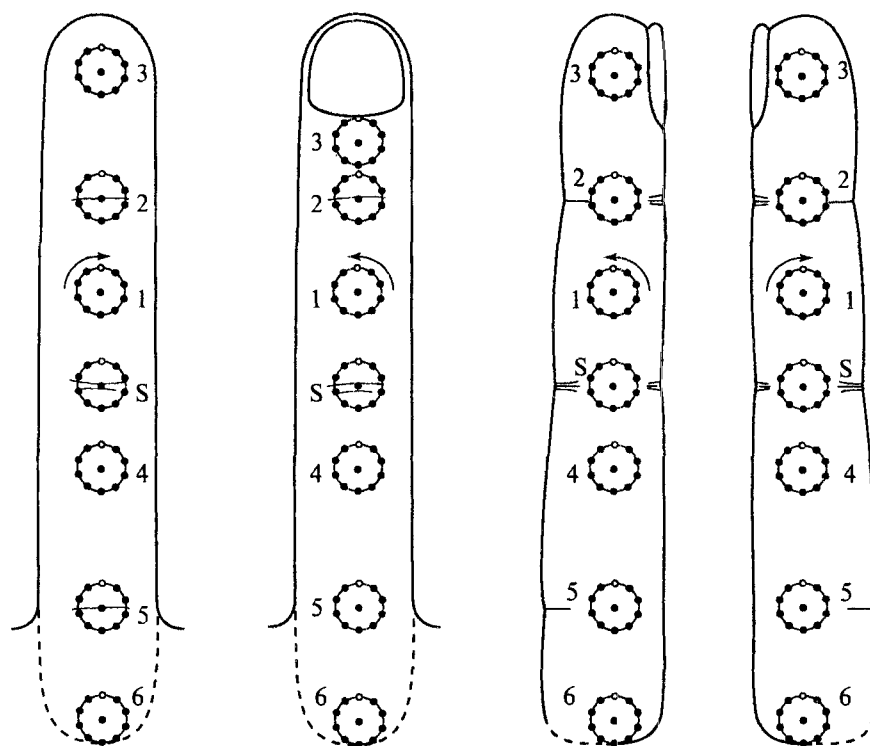
рис. 296. Точки единых Восьми Энергий на внутренних бель-чакрах пальцев.

Точки единых Восьми Энергий располагаются на окружности с радиусом 1,5— 2 мм вокруг центральной точки бель-чакры. Точка света всегда занимает самое верхнее положение на окружности, точка тьмы — самое нижнее положение. Точки остальных энергий располагаются в соответствии с Гомо- или Гетеро-циркуляцией. Для Инь-поверхности характерна Гомо-циркуляция по часовой стрелке, для Ян-поверхности — Гетеро-циркуляция против часовой стрелки.

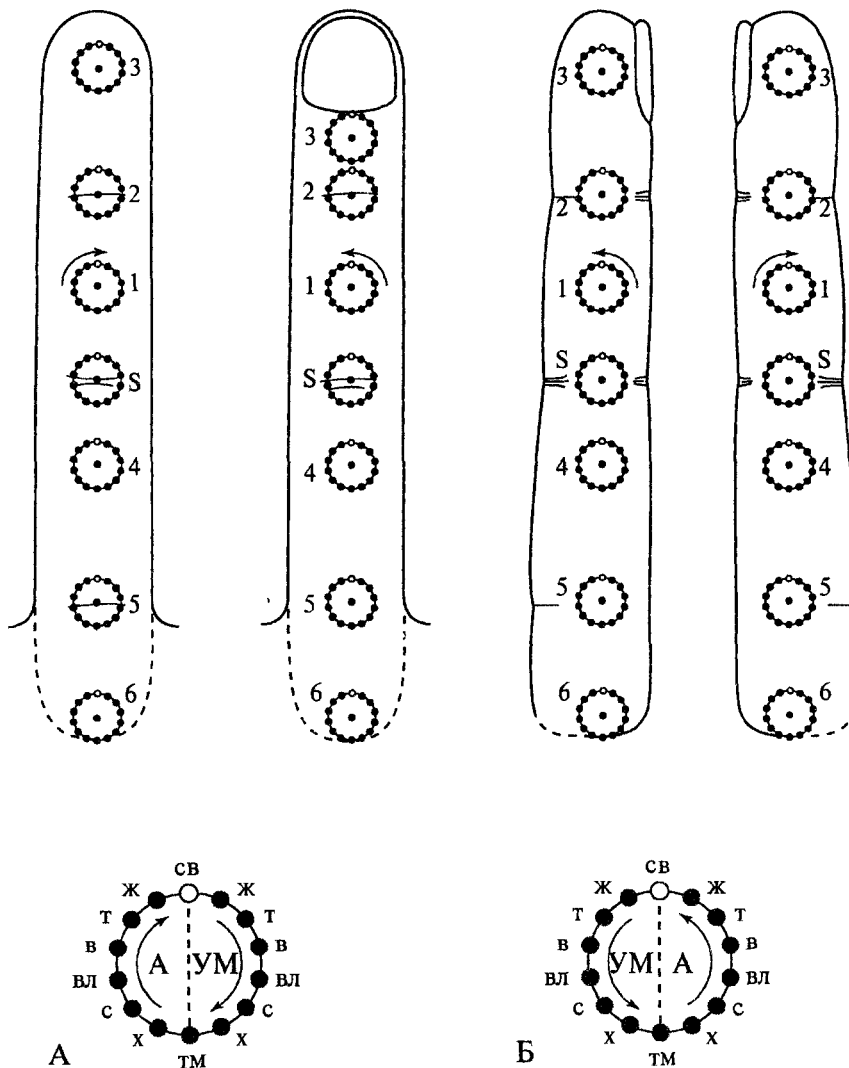
А — расположение точек единых энергий внутренних бель-чакр на Инь-поверхности и правой боковой поверхности пальцев соответствует Гомо-циркуляции

Б — расположение точек единых энергий на Ян-поверхности и левой боковой поверхности пальцев соответствует Гетеро-циркуляции

- |                          |                          |
|--------------------------|--------------------------|
| 1 — бель-чакра ветра     | 5 — бель-чакра сухости   |
| 2 — бель-чакра тепла     | 6 — бель-чакра холода    |
| 3 — бель-чакра жара      | S — солнечная бель-чакра |
| 4 — бель-чакра влажности |                          |



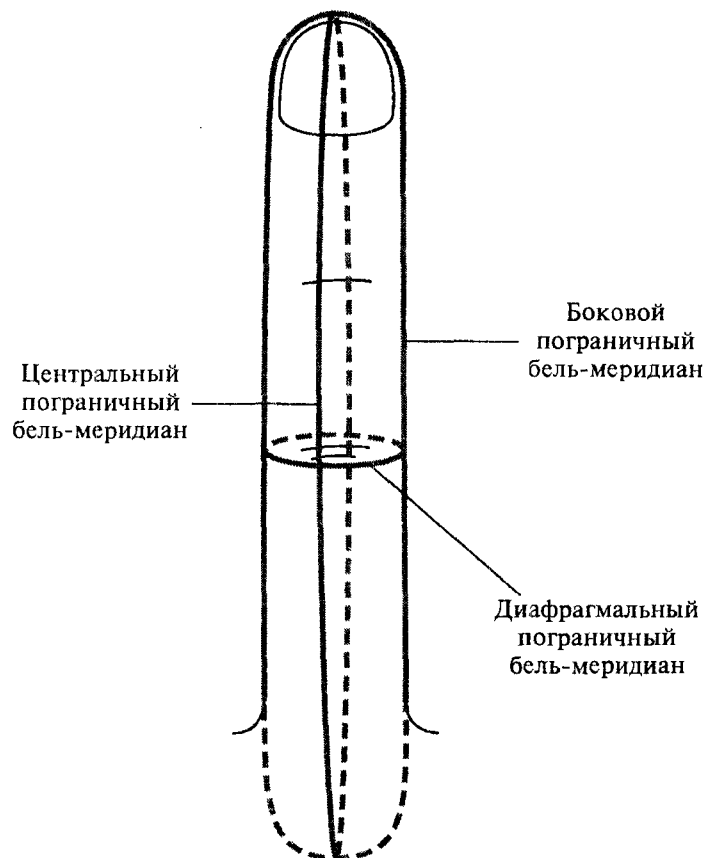
ис. 297. Точки индивидуальных Шести Энергий на внутренних бель-чакрах пальцев.  
 Точки индивидуальных Шести Энергий также располагаются на окружности с радиусом 1,5— 2 мм вокруг центральной точки бель-чакры. Точка жара— самая верхняя, точка холода— самая нижняя. Используется вертикальный тип деления чакры с последовательной циркуляцией сначала А-энергий, а затем УМ-энергий.  
 А— расположение точек индивидуальных энергий внутренних бель-чакр на Инь-поверхности и правой боковой поверхности пальцев соответствует Гомо-циркуляции  
 Б— расположение точек индивидуальных энергий внутренних бель-чакр на Ян-поверхности и левой боковой поверхности пальцев соответствует Гетеро-циркуляции  
 1 — бель-чакра ветра                      5 — бель-чакра сухости  
 2 — бель-чакра тепла                    6 — бель-чакра холода  
 3 — бель-чакра жара                    S — солнечная бель-чакра  
 4 — бель-чакра влажности



**Рис. 298.** Точки индивидуальных Восьми Энергий на внутренних белль-чакрах пальцев.  
 Точки индивидуальных Восьми Энергий также располагаются на окружности с радиусом 1,5— 2 мм вокруг центральной точки белль-чакры. Точка света — самая верхняя, точка тьмы — самая нижняя. Используется вертикальный тип деления чакры с последовательной циркуляцией сначала А-энергий, а затем УМ-энергий.  
 А — расположение точек индивидуальных энергий внутренних белль-чакр на Инь-поверхности и правой боковой поверхности пальцев соответствует Гомо-циркуляции  
 Б — расположение точек индивидуальных энергий внутренних белль-чакр на Ян-поверхности и левой боковой поверхности пальцев соответствует Гетеро-циркуляции

1 — белль-чакра ветра	5 — белль-чакра сухости
2 — белль-чакра тепла	6 — белль-чакра холода
3 — белль-чакра жара	S — солнечная белль-чакра
4 — белль-чакра влажности	

### 3.2. Пограничные бель-меридианы пальцев



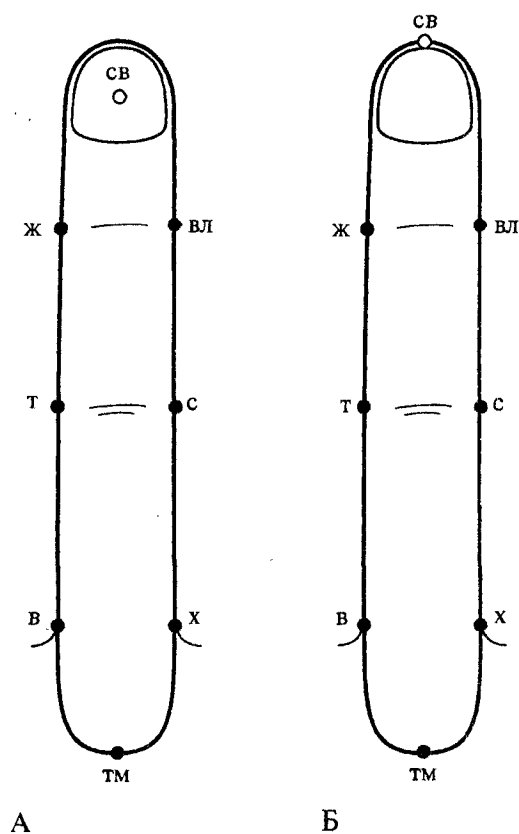
**Рис. 299.** Пограничные бель-меридианы в индивидуальной стандартной системе соответствия телу на пальце.

На каждом пальце существуют собственные системы пограничных бель-меридианов.

Боковой пограничный бель-меридиан находится на границе Инь-Ян пальца.

Центральный пограничный бель-меридиан находится на линии симметрии, проходящей по середине Ян- и Инь-поверхностей пальца.

Диафрагмальный пограничный бель-меридиан находится на уровне проксимального межфалангового сустава.



**Рис. 300.** Точки единых Восьми Энергий бокового пограничного бель-меридиана пальца.  
Точки единых Восьми Энергий расположены в соответствии с циркуляцией единой энергии в боковом пограничном меридиане тела при доминировании вертикальной оси.

- |   |   |  |
|---|---|--|
| <p><b>г. света</b><br/>Имеет два варианта расположения: в центре ногтевой пластины (А) и на границе Инь-Ян на кончике пальца, в месте ее пересечения с линией симметрии пальца (Б).</p> | <p><b>т. тьмы</b><br/>Расположение: в основании пястно-фалангового сустава.<br/><b>тт. ветра и холода</b><br/>Расположение: на левой и правой границах Инь-Ян соответственно, на уровне межпальцевых складок.</p> | <p><b>тт. тепла и сухости</b><br/>Расположение: на уровне проксимальных межфаланговых суставов.<br/><b>тт. жара и влажности</b><br/>Расположение: на уровне дистальных межфаланговых суставов.</p> |
|---|---|--|

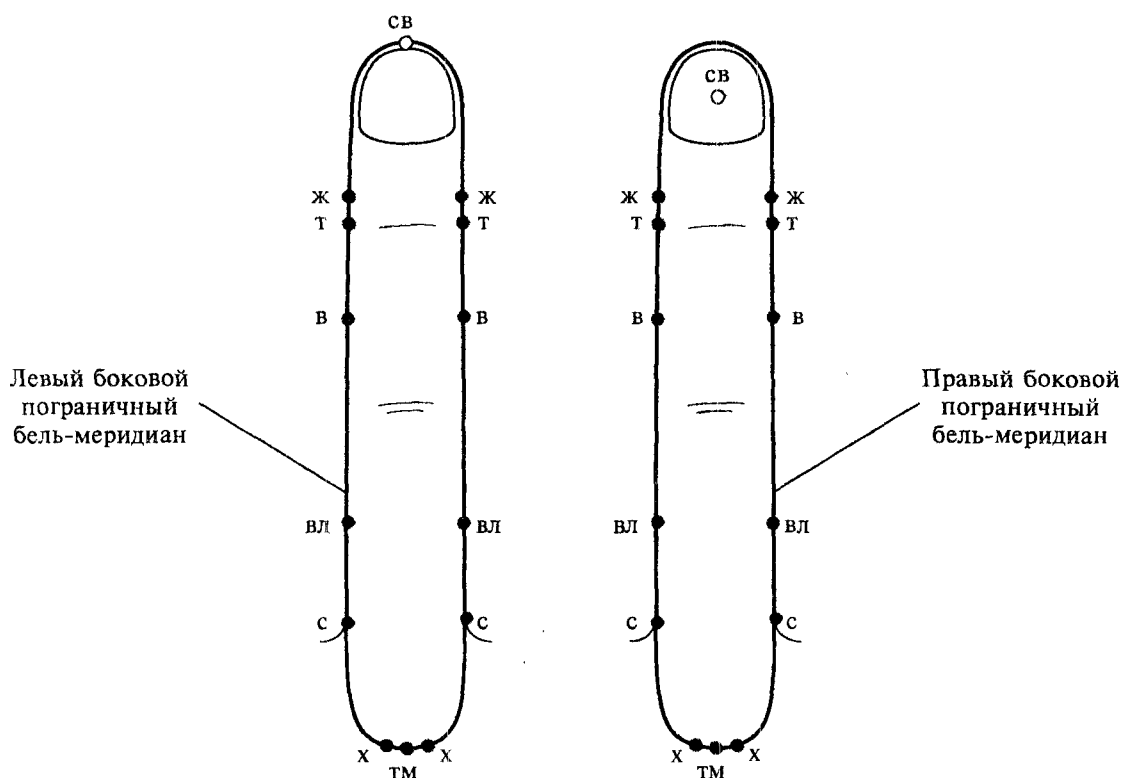


Рис. 301. Точки индивидуальных Восьми Энергий левого и правого боковых пограничных бель-меридианов пальца.

Точки индивидуальных А-энергий располагаются на левом боковом пограничном бель-меридиане, УМ-энергий — на правом боковом пограничном бель-меридиане.

**тт. света и тьмы**

Расположение: в центре верхней и нижней внешних бель-чакр.

**тт. ветра**

Расположение: на границах Инь-Ян слева и справа, на середине средней фаланги.

**тт. тепла**

Расположение: на дистальном межфаланговом суставе.

**тт. жара**

Расположение: на расстоянии 1/3 длины между дистальным межфаланговым суставом и уровнем заднего валика ногтя.

**тт. сухости**

Расположение: в области межпальцевых складок.

**тт. влажности**

Расположение: на середине расстояния между точками сухости и проксимальным межфаланговым суставом.

**тт. холода**

Расположение: на окружности нижней бель-чакры, на расстоянии 2 мм от точки тьмы.

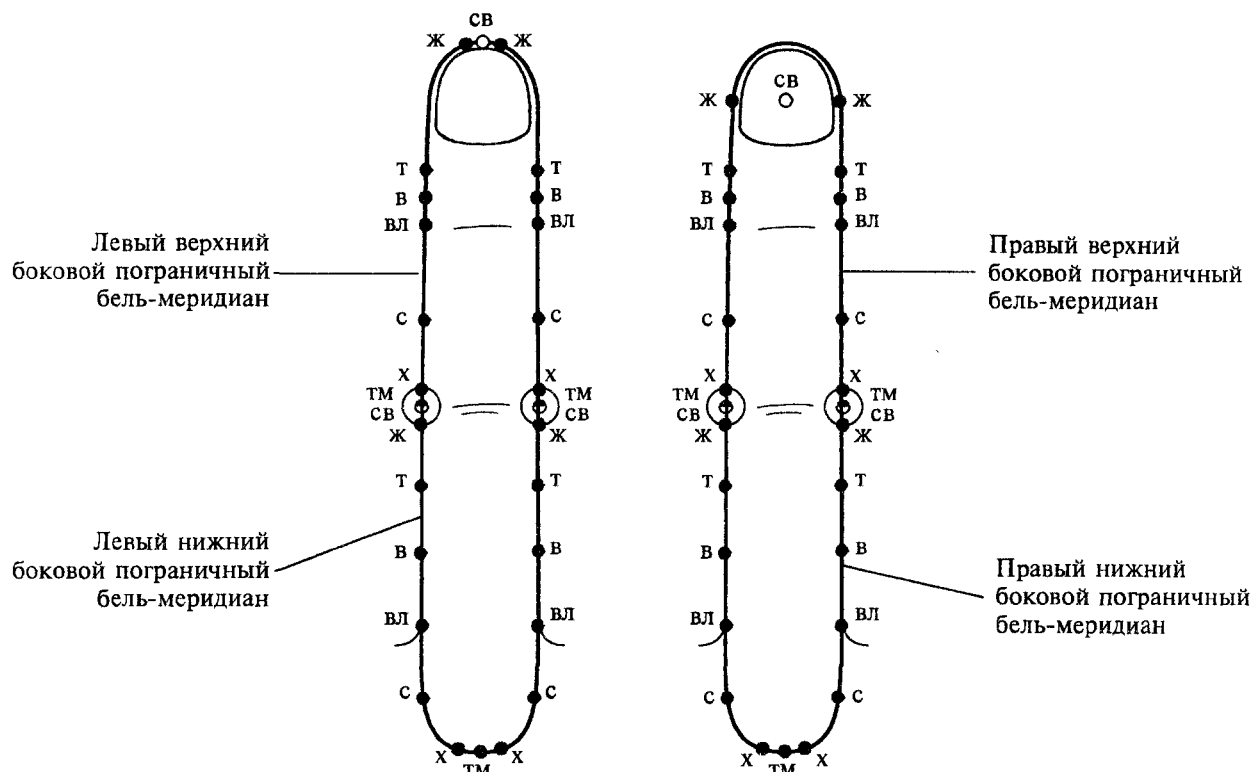


Рис. 302. Точки Восьми Энергий региональных боковых пограничных меридианов пальца (индивидуальная система соответствия «насекомого»).

Точки региональных Восьми Энергий расположены в соответствии с циркуляцией энергии в боковом пограничном меридиане при доминировании вертикальной оси.

**Точки тьмы** для нижних боковых пограничных бель-меридианов располагаются в центре нижней внешней чакры.

**Точки света** располагаются в центре боковых чакр и совпадают с точками тьмы для верхних боковых пограничных бель-меридианов.

В области верхней внешней чакры (первый вариант — в центре ногтя, второй вариант — на кончике большого пальца) находится **точка света** для левого и правого верхних боковых пограничных бель-меридианов.

На окружности вокруг точек света и тьмы (средний диаметр 3 — 4 мм)

располагаются соответственно **точки жара и холода**.

**Точки остальных энергий** располагаются в соответствии с прогрессивным типом циркуляции (тьма-холод-сухость-влажность-ветер-тепло-жар-свет).

**Нижние боковые пограничные бель-меридианы**

**тт. влажности**

Расположение: на границах Инь-Ян, в области межпальцевых складок.

**тт. сухости**

Расположение: на середине расстояния между точками холода и влажности.

**тт. ветра и тепла**

Расположение: на равном расстоянии между точками жара и влажности.

**Верхние боковые пограничные бель-меридианы**

**тт. сухости**

Расположение: на середине средней фаланги.

**тт. влажности**

Расположение: на уровне дистального межфалангового сустава.

**тт. ветра и тепла**

Расположение: на равном расстоянии друг от друга между уровнем заднего валика ногтя и дистальным межфаланговым суставом.

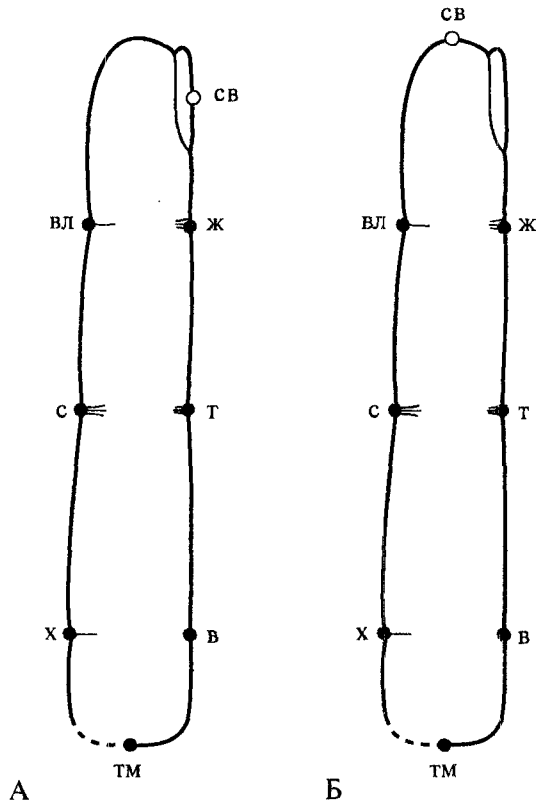


Рис. 303. Точки единых Восьми Энергий центрального пограничного бель-меридиана пальца. Точки единых Восьми Энергий расположены в соответствии с циркуляцией единой энергии в центральном пограничном меридиане тела при доминировании вертикальной оси.

- |   |   |   |
|---|---|---|
| <p><b>г. света</b><br/>Имеет два варианта расположения: в центре ногтевой пластины (А) и на границе Инь-Ян на кончике пальца, в месте ее пересечения с линией симметрии пальца (Б).</p> | <p><b>т. тьмы</b><br/>Расположение: в основании пястно-фалангового сустава.</p> <p><b>тт. холода и ветра</b><br/>Расположение: на уровне проксимальной кожной складки пальца, на середине Инь- и Ян-поверхности соответственно.</p> | <p><b>тт. сухости и тепла</b><br/>Расположение: в области проксимального межфалангового сустава.</p> <p><b>тт. влажности и жара</b><br/>Расположение: на уровне дистального межфалангового сустава.</p> |
|---|---|---|



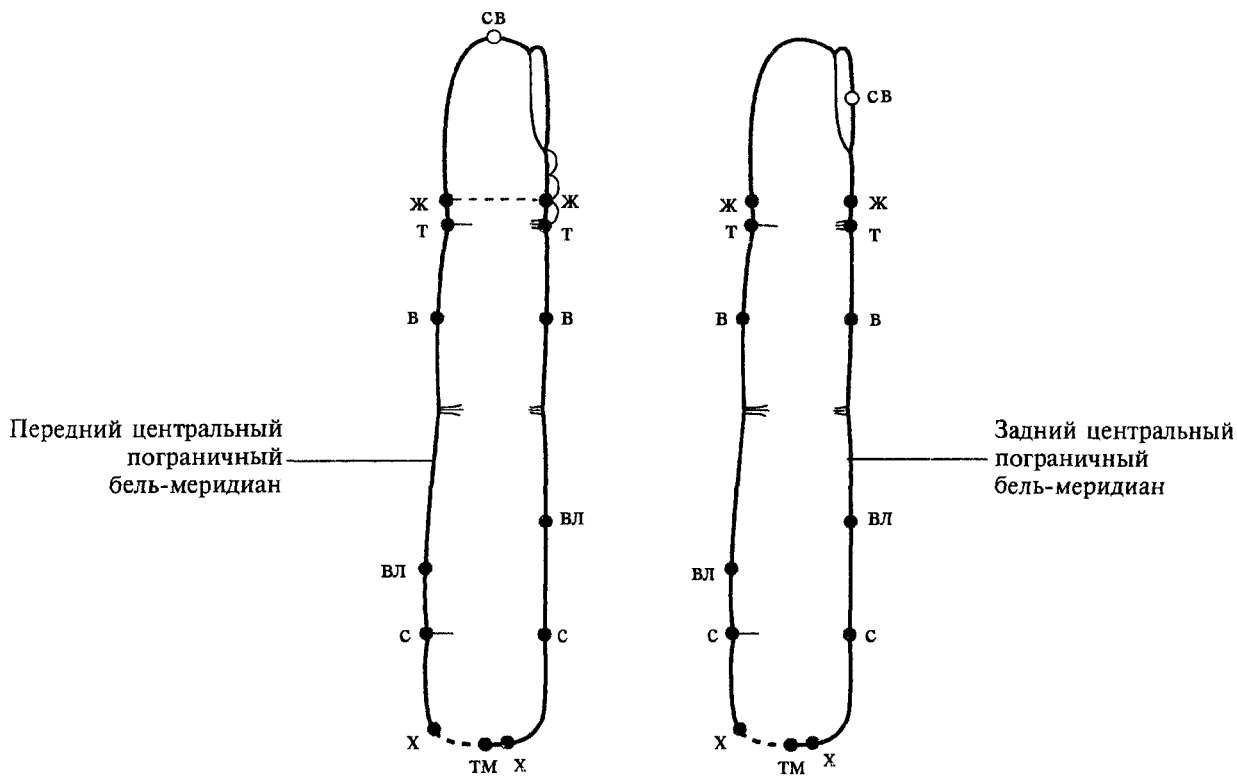


Рис. 304. Точки индивидуальных Восьми Энергий центрального пограничного бель-меридиана пальца. Точки индивидуальных А-энергий располагаются на заднем центральном пограничном бель-меридиане (Ян-поверхность пальца), УМ-энергий – на переднем центральном (Инь-поверхность пальца).

**Передний центральный пограничный бель-меридиан**

- г. тьмы**  
Расположение: в центре нижней внешней чакры.
- г. холода**  
Расположение: на уровне пястно-фалангового сустава, на Инь-поверхности пальца.
- г. сухости**  
Расположение: на проксимальной кожной складке пальца.
- г. влажности**  
Расположение: на середине расстояния между точкой холода и проксимальным межфаланговым суставом.
- г. ветра**  
Расположение: на середине Инь-поверхности средней фаланги.

- т. тепла**  
Расположение: в области дистального межфалангового сустава.
- т. жара**  
Расположение: на расстоянии 1/3 между дистальным межфаланговым суставом и корнем ногтя, на Инь-поверхности.
- т. света**  
Расположение: в центре верхней внешней чакры.

**Задний центральный пограничный бель-меридиан**

- т. тьмы**  
Расположение: в центре нижней внешней чакры.
- т. холода**  
Расположение: на окружности нижней внешней чакры, на уровне пяс-

тно-фалангового сустава (на Ян-поверхности).

- тт. сухости и влажности**  
Расположение: на равном расстоянии друг от друга между точкой холода и проксимальным межфаланговым суставом.
- т. ветра**  
Расположение: на середине Ян-поверхности средней фаланги.
- т. тепла**  
Расположение: в области дистального межфалангового сустава.
- т. жара**  
Расположение: на расстоянии 1/3 между дистальным межфаланговым суставом и корнем ногтя.
- т. света**  
Расположение: в центре верхней внешней чакры.

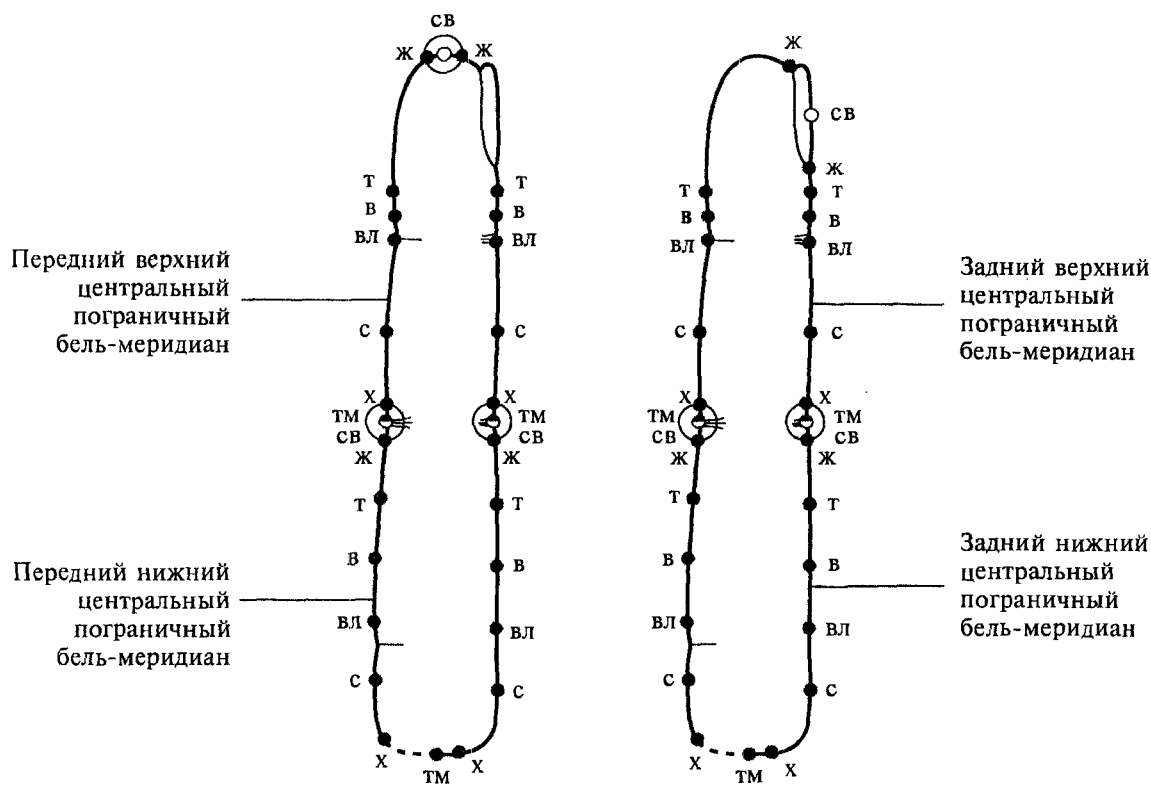


Рис. 305. Точки Восьми Энергий региональных центральных пограничных бель-меридианов пальца при доминировании вертикальной оси.

**Нижние центральные пограничные бель-меридианы**

**тт. тьмы**  
Расположение: в центре нижней внешней бель-чакры.

**тт. холода**  
Расположение: для заднего бель-меридиана — на Ян-поверхности, для переднего бель-меридиана — на Инь-поверхности, на уровне пястно-фалангового сустава.

**тт. света**  
Расположение: в центре передней и задней внешних бель-чакр и совпадают с точками тьмы для верхних центральных пограничных бель-меридианов.

**тт. жара**  
Расположение: на окружности передней и задней бель-чакр.

**тт. тепла, ветра, влажности и сухости**  
Расположение: на равном расстоянии друг от друга, на отрезке между точками жара и холода.

**Верхние центральные пограничные бель-меридианы**

**тт. тьмы**  
Расположение: в центре передней и задней внешних бель-чакр.

**тт. света**  
Расположение: в центре верхней внешней бель-чакры.

**тт. жара и холода**  
Расположение: на окружности верхней, а также передней и задней бель-чакр соответственно.

**тт. сухости**  
Расположение: на середине средней фаланги.

**тт. влажности**  
Расположение: на уровне дистального межфалангового сустава.

**тт. ветра и тепла**  
Расположение: на равном расстоянии между корнем ногтя и дистальным межфаланговым суставом.

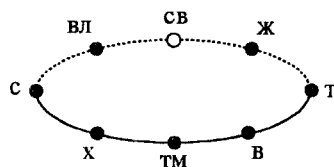
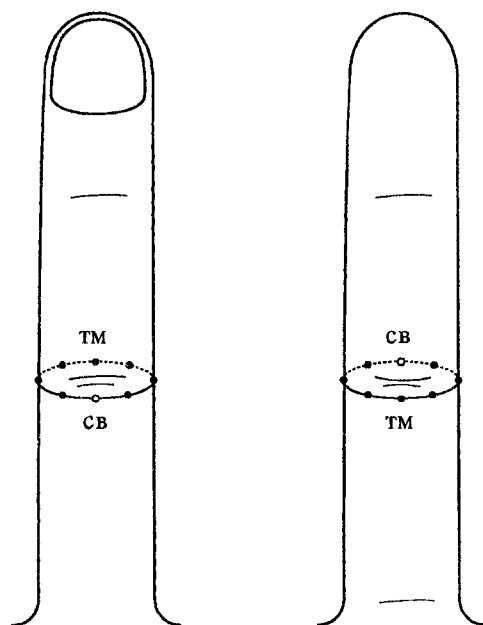


Рис. 306. Точки единых Восьми Энергий диафрагмального пограничного бель-меридиана пальца при доминировании сагиттальной оси.

**Т. света**

Расположение: на середине Ян-поверхности пальца, на равном расстоянии друг от друга между точками света и тьмы.

**Т. тьмы**

Расположение: с противоположной стороны, на середине Инь-поверхности.

**Тт. ветра, тепла, жара**

Расположение: на левой половине пальца, на равном расстоянии друг от друга между точками света и тьмы.

**Тт. влажности, сухости и холода**

Расположение: на правой половине пальца в соответствии с тем же принципом.

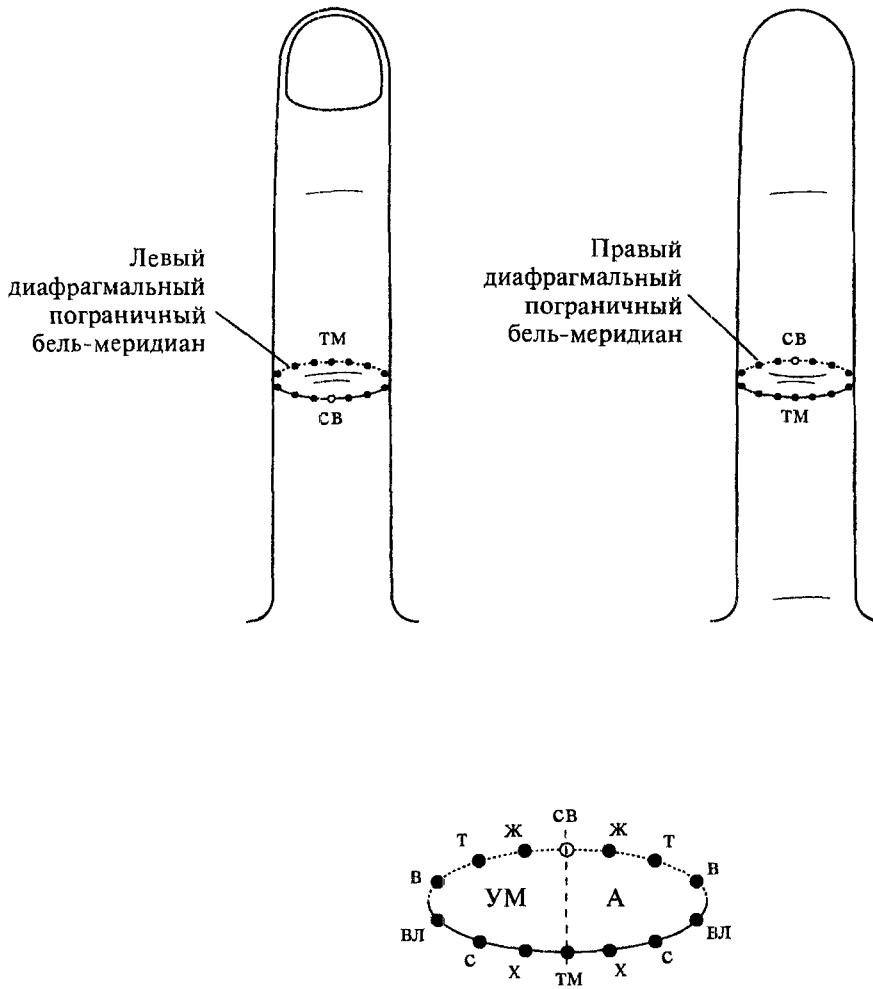


Рис. 307. Точки индивидуальных Восьми Энергий диафрагмального пограничного бель-меридиана пальца при доминировании сагиттальной оси.

Точки индивидуальных энергий света и тьмы расположены там же, где и точки одноименных единых энергий. Точки остальных энергий находятся на равном расстоянии друг от друга между точками света и тьмы.

Точки А-энергий локализируются на левой половине пальца, точки УМ-энергий — на правой половине пальца.

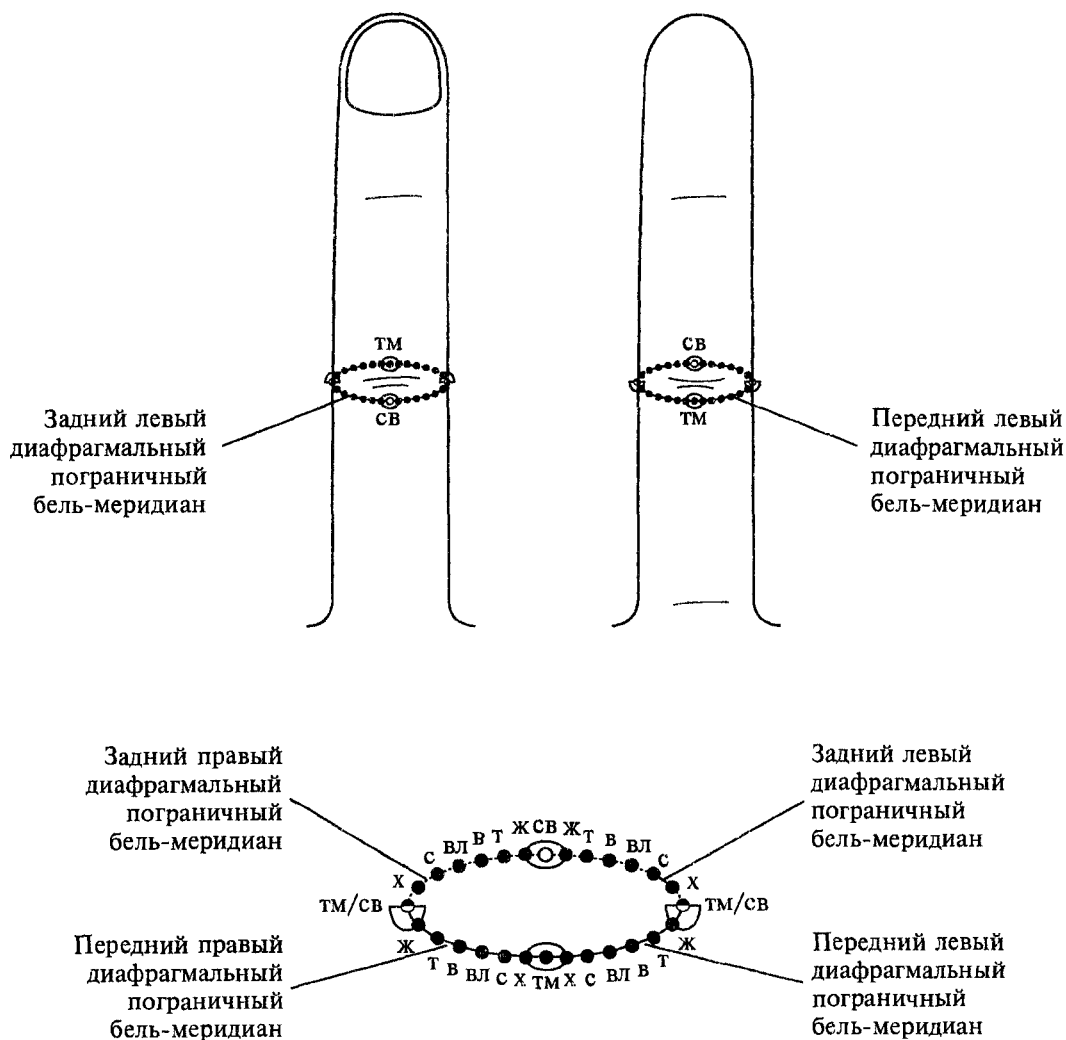


Рис. 308. Точки Восьми Энергий региональных диафрагмальных пограничных бель-меридианов пальца при доминировании сагиттальной оси.

В области передней внешней бель-чакры находится **точка тьмы** для левого и правого передних диафрагмальных бель-меридианов; **точка света** находится в области задней внешней бель-чакры для задних левого и правого диафрагмальных бель-меридианов.

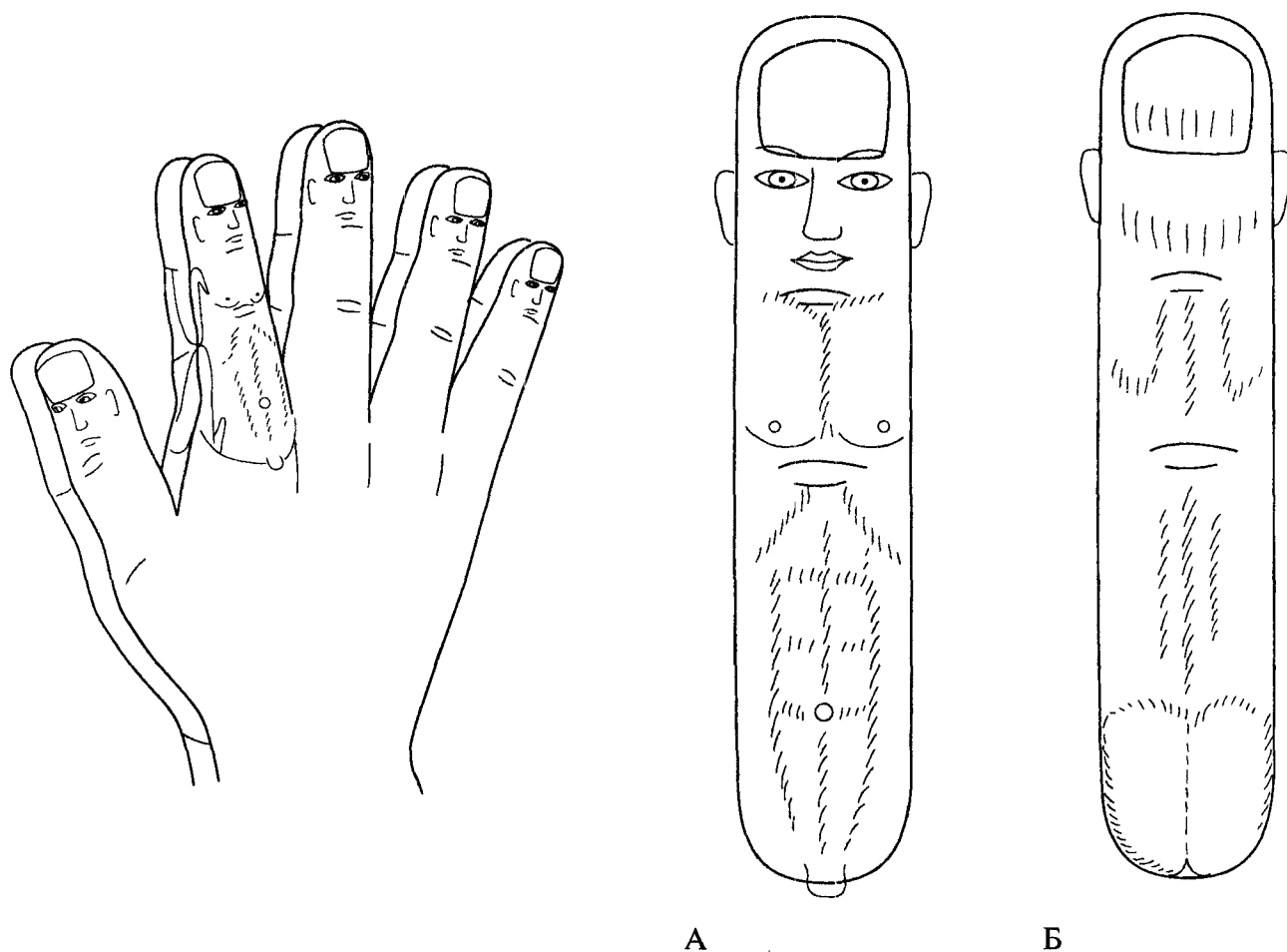
Точки в области боковых внешних бель-чакр являются **точками света** для передних диафрагмальных бель-меридианов и одновременно **точками тьмы** для задних диафрагмальных бель-меридианов.

На окружности вокруг точек света и тьмы (средний диаметр 3 — 4 мм)

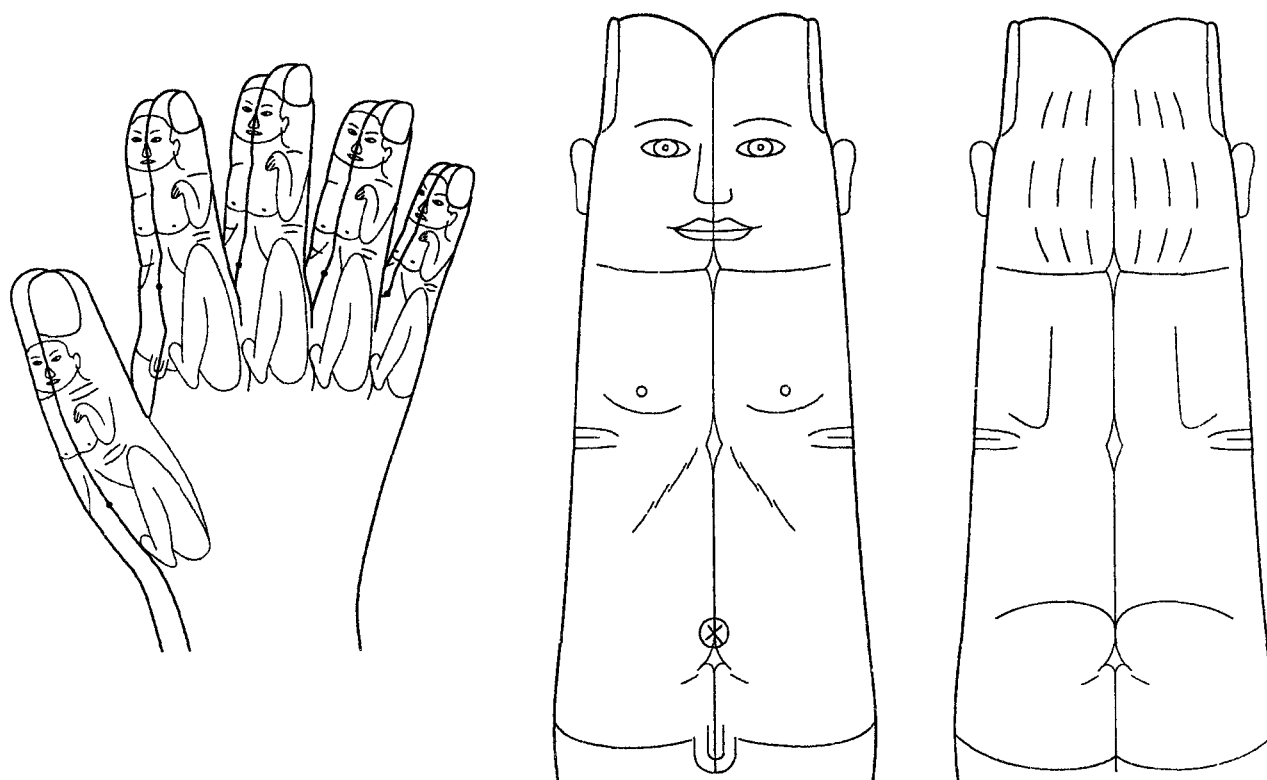
располагаются соответственно **точки жара и холода**. Точки остальных энергий находятся на равном расстоянии друг от друга между точками жара и холода и располагаются в соответствии с прогрессивным типом циркуляции.

### 3.3. Сердцевинные бель-меридианы пальцев

Сердцевинные меридианы являются глубокими энергетическими структурами. Наиболее удобные для воздействия проекции этих меридианов располагаются в объединенных системах соответствия телу на пальцах.

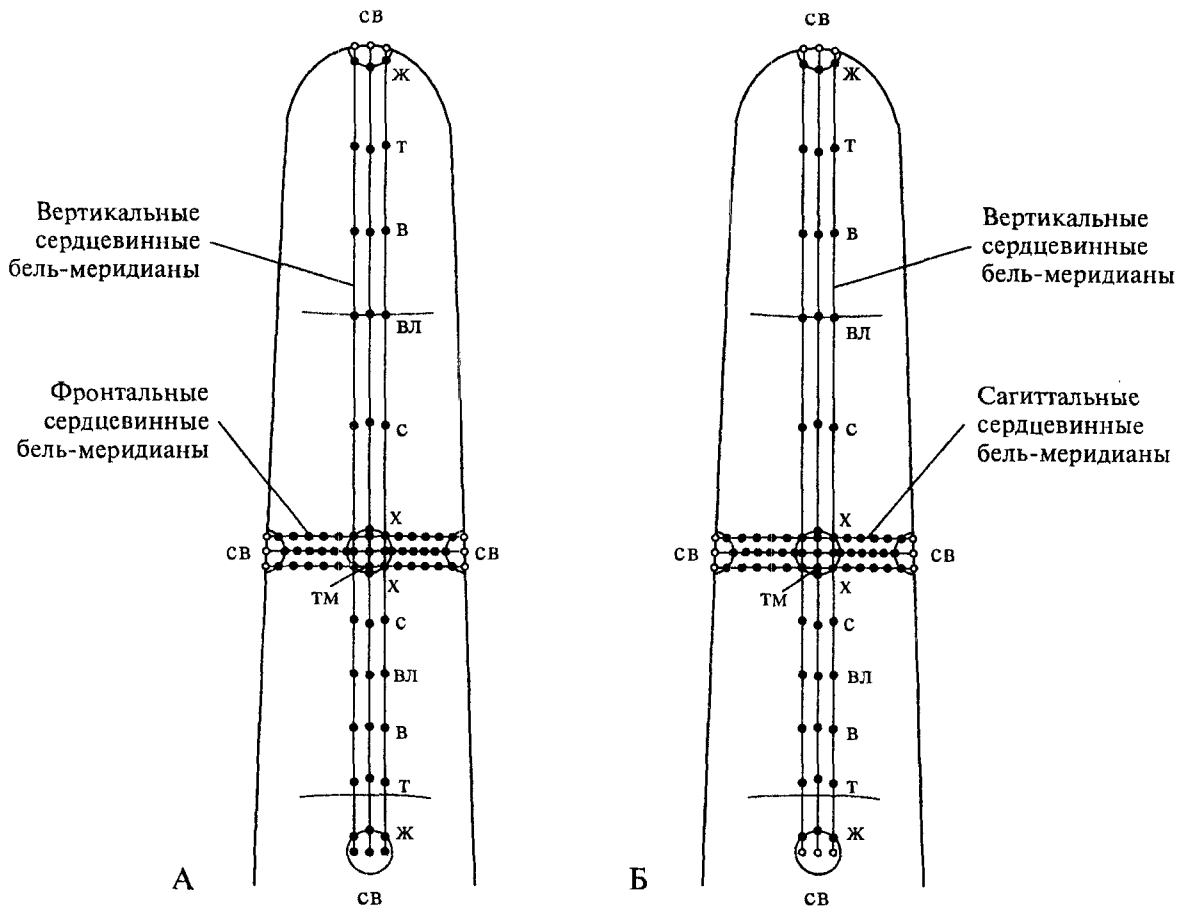


**Рис. 309.** Объединенная закрытая стандартная система соответствия телу на пальцах. Соответствия передней половине тела человека находятся на пальцах правой кисти (А), а задней половине тела — на пальцах левой кисти (Б). На Ян-поверхностях пальцев находятся проекции поверхностных структур тела, а на Инь-поверхностях — проекции внутренних структур тела (фронтальное сечение), поэтому в объединенных закрытых стандартных системах соответствия телу на пальцах проекции вертикального и фронтального сердцевинных меридианов находятся поверхностно на Инь-поверхности пальцев.



**Рис. 310.** Объединенная закрытая боковая система соответствия телу на пальцах.

В объединенной закрытой боковой системе соответствия телу на пальцах соответствие левой половине тела располагается на пальцах одной кисти, а соответствие правой половине тела — на пальцах другой кисти. На Ян-поверхностях пальцев находятся проекции поверхностных структур тела, на Инь-поверхностях — проекции внутренних структур (сагиттальное сечение), поэтому в объединенных закрытых боковых системах соответствия телу на пальцах проекции вертикального и сагиттального сердцевинных меридианов находятся поверхностно на Инь-поверхности пальцев.



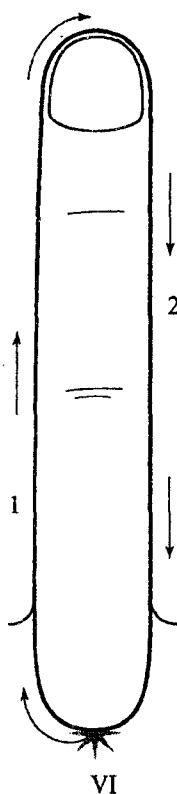
**Рис. 311.** Сердцевинные бель-меридианы в объединенных системах соответствия на пальцах.  
 В объединенных закрытых стандартных системах соответствия телу на пальцах (А) рассматриваются проекции вертикальных и фронтальных сердцевинных меридианов.  
 В объединенных закрытых боковых системах соответствия телу на пальцах (Б) рассматриваются проекции вертикальных и сагиттальных сердцевинных меридианов.

**Вертикальный сердцевинный** Гомо бель-меридиан проходит по середине Инь-поверхности пальца. Проекция левого и правого (а в боковой системе — переднего и заднего) вертикальных бель-меридианов расположены параллельно на расстоянии 2 мм.  
**Точки тьмы** расположены на складке в области проксимального межфалангового сустава.  
**Точки света** находятся на кончике пальца и в основании пястно-фалангового сустава на Инь-поверхности.  
**Точки жара и холода** находятся на окружности вокруг точек света и тьмы.  
**Точки тепла, ветра, влажности и сухости** нижних вертикальных бель-меридианов расположены на равном расстоянии между точками жара и холода.  
**Точки сухости** верхних вертикальных бель-меридианов расположены на середине средней фаланги.  
**Точки влажности** — на дистальном межфаланговом суставе.  
**Точки ветра и тепла** — на равном расстоянии друг от друга между точками жара и влажности.

**Фронтальный сердцевинный** Гомо бель-меридиан (а в боковой системе — сагиттальный сердцевинный) находится на уровне складки проксимального межфалангового сустава. Проекция верхнего и нижнего фронтальных бель-меридианов (или верхнего и нижнего сагиттальных) расположены параллельно на расстоянии 2 мм.  
**Точки тьмы** расположены на середине Инь-поверхности проксимального межфалангового сустава.  
**Точки света** локализируются в зоне проекции внешних чакр.  
**Точки жара и холода** расположены на окружности вокруг точек света и тьмы. Точки остальных энергий расположены на равном расстоянии друг от друга между точками жара и холода.



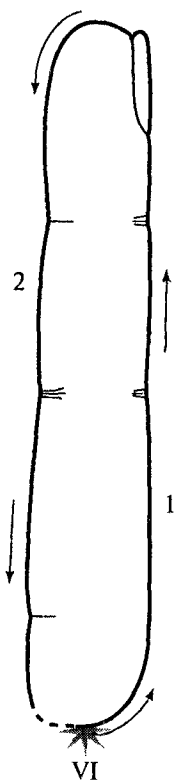
### 3.4. Циркуляция в энергетической системе пальцев



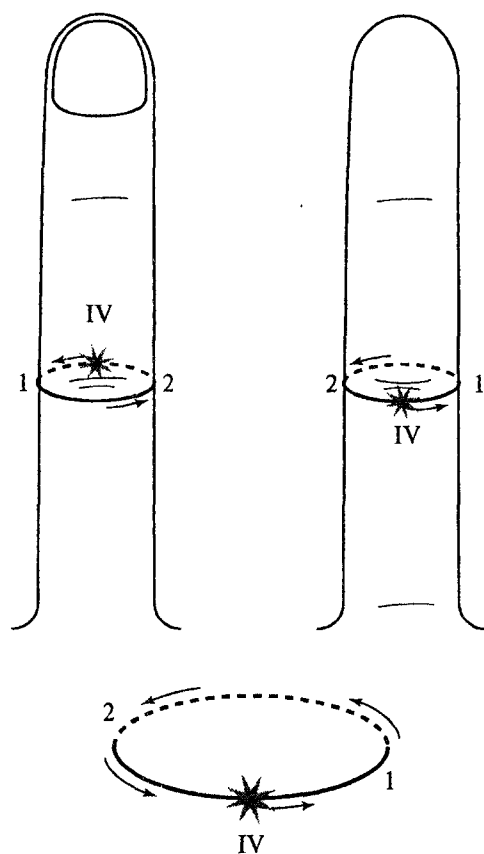
**Рис. 312.** Циркуляция единой энергии в боковом пограничном бель-меридиане пальца при доминировании вертикальной оси тела.

Из нижней внешней бель-чакры единая энергия сначала направляется в левый боковой пограничный бель-меридиан (1), затем возвращается по правому боковому пограничному бель-меридиану (2).

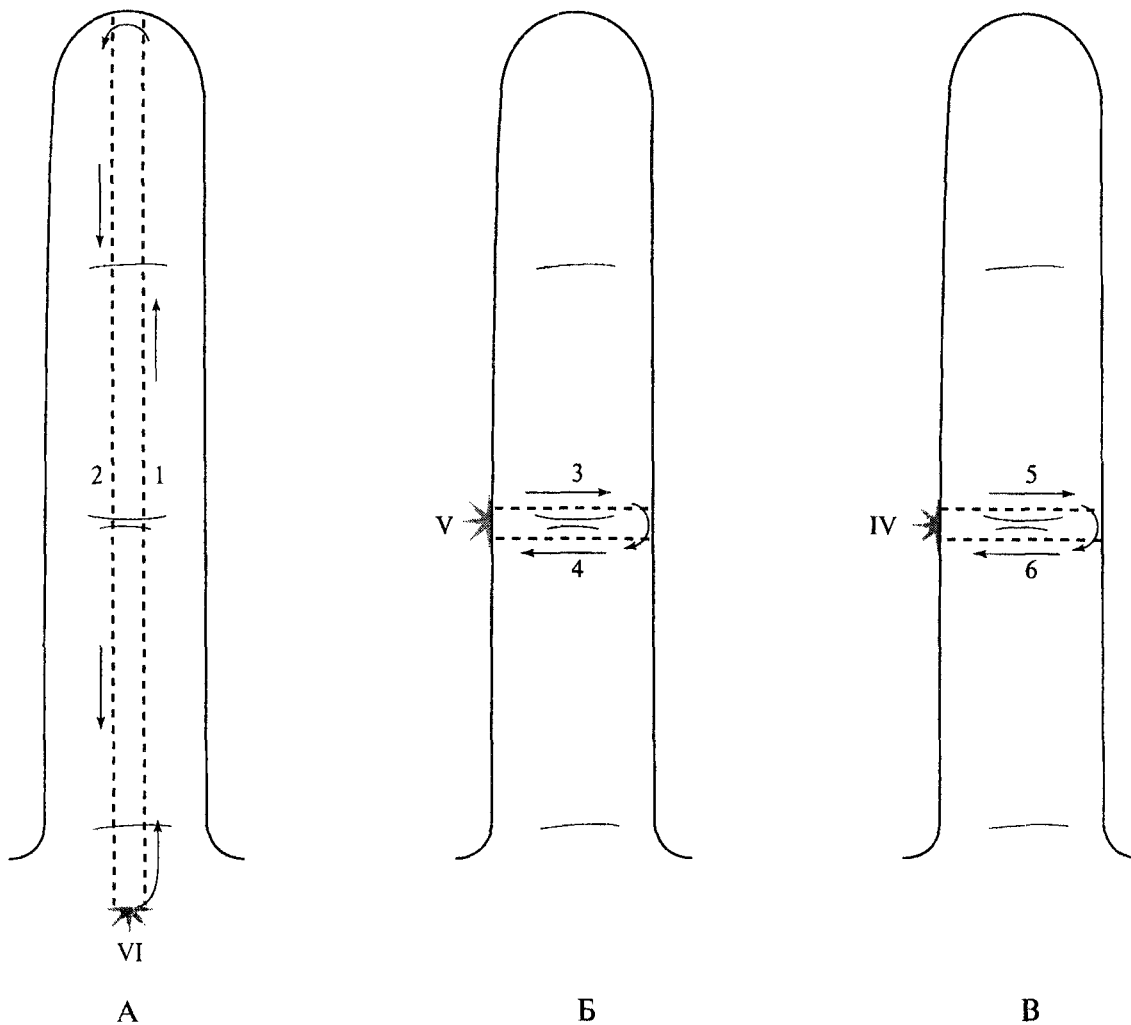
VI — нижняя внешняя бель-чакра пальца



*Рис. 313. Циркуляция единой энергии в центральном пограничном бель-меридиане пальца при доминировании вертикальной оси тела.  
Из нижней внешней бель-чакры единая энергия сначала направляется в задний центральный пограничный бель-меридиан (1), затем возвращается по переднему центральному пограничному бель-меридиану (2).  
VI — нижняя внешняя бель-чакра пальца*



**Рис. 314.** Циркуляция единой энергии в диафрагмальном пограничном бель-меридиане пальца при доминировании сагиттальной оси тела.  
Из передней внешней бель-чакры единая энергия сначала направляется в левый диафрагмальный пограничный бель-меридиан (1), затем возвращается по правому диафрагмальному пограничному бель-меридиану (2).  
IV — передняя внешняя бель-чакра пальца



**Рис. 315.** Циркуляция единых энергий в сердцевинных бель-меридианах пальцев.

Источниками циркуляции единых энергий по сердцевинным меридианам служат нижняя, правая и передняя чакры. Единая энергия сначала следует по сердцевинному меридиану Гетеро-половины тела, затем по сердцевинному меридиану Гомо-половины тела возвращается назад в чакру. Циркуляция единых энергий в вертикальном, фронтальном и сагиттальном сердцевинных бель-меридианах пальцев происходит по такому же принципу.

A — циркуляция в боковом вертикальном сердцевинном бель-меридиане

Б — циркуляция в боковом фронтальном сердцевинном бель-меридиане

В — циркуляция в центральном сагиттальном сердцевинном бель-меридиане

1 — левый вертикальный сердцевинный бель-меридиан

2 — правый вертикальный сердцевинный бель-меридиан

3 — верхний фронтальный сердцевинный бель-меридиан

4 — нижний фронтальный сердцевинный бель-меридиан

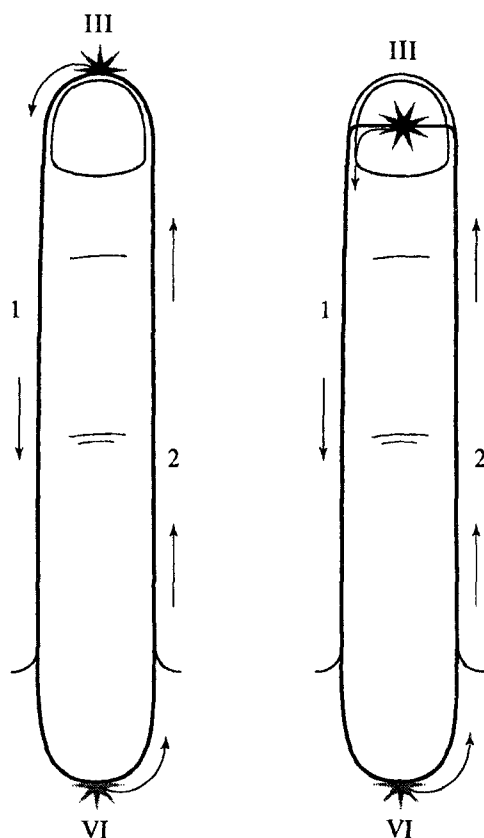
5 — верхний сагиттальный сердцевинный бель-меридиан

6 — нижний сагиттальный сердцевинный бель-меридиан

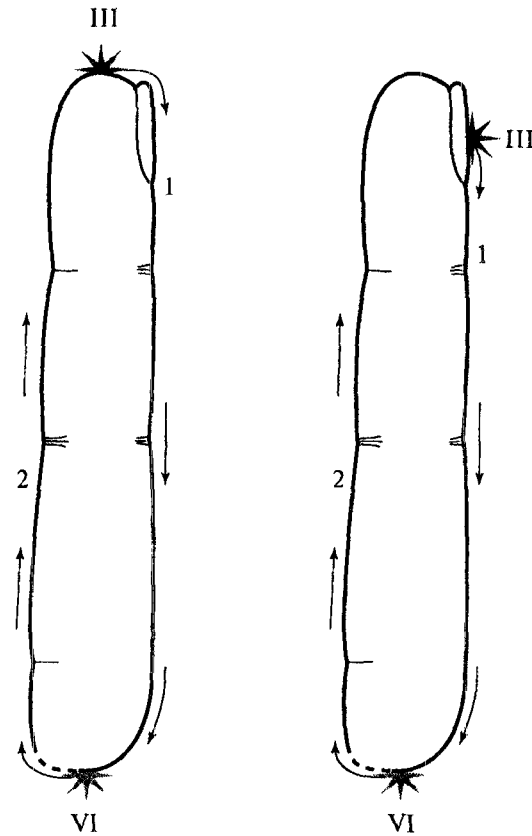
IV — передняя внешняя бель-чакра

V — правая внешняя бель-чакра

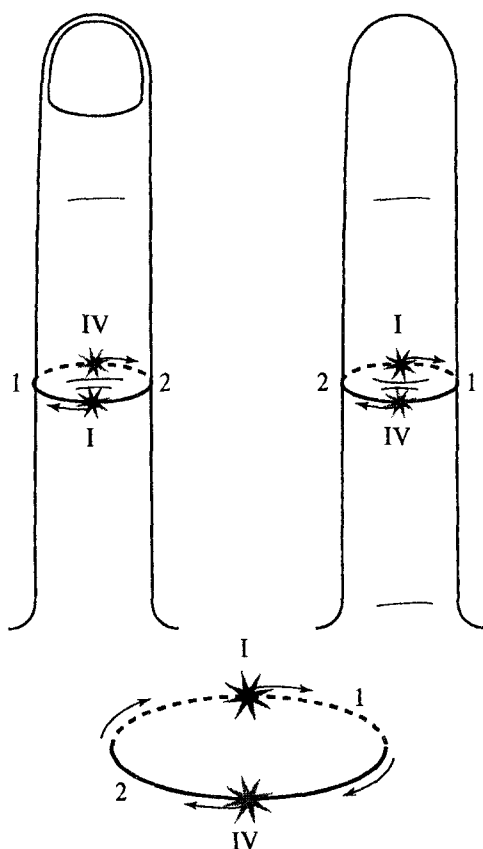
VI — нижняя внешняя бель-чакра



**Рис. 316.** *Направление потоков индивидуальных энергий в левом и правом боковых пограничных бель-меридианах пальца.*  
*A-энергия из верхней внешней бель-чакры кистей направляется в левый боковой пограничный бель-меридиан, а УМ-энергия из нижней внешней бель-чакры следует в правый боковой пограничный бель-меридиан.*  
*1 — циркуляция A-энергии по левому боковому пограничному бель-меридиану пальца*  
*2 — циркуляция УМ-энергии по правому боковому пограничному бель-меридиану пальца*  
*III — верхняя внешняя бель-чакра пальца*  
*IV — нижняя внешняя бель-чакра пальца*



**Рис. 317.** *Направление потоков индивидуальных энергий в переднем и заднем центральных пограничных бель-меридианах пальца.*  
*А-энергия из верхней внешней бель-чакры пальца идет по заднему центральному пограничному бель-меридиану, а УМ-энергия из нижней внешней бель-чакры пальца движется по переднему центральному пограничному бель-меридиану.*  
*1 — циркуляция А-энергии по заднему центральному пограничному бель-меридиану пальца*  
*2 — циркуляция УМ-энергии по переднему центральному пограничному бель-меридиану пальца*  
*III — верхняя внешняя бель-чакра пальца*  
*VI — нижняя внешняя бель-чакра пальца*



**Рис. 318.** Направление потоков индивидуальных энергий в левом и правом диафрагмальных пограничных бель-меридианах пальца.

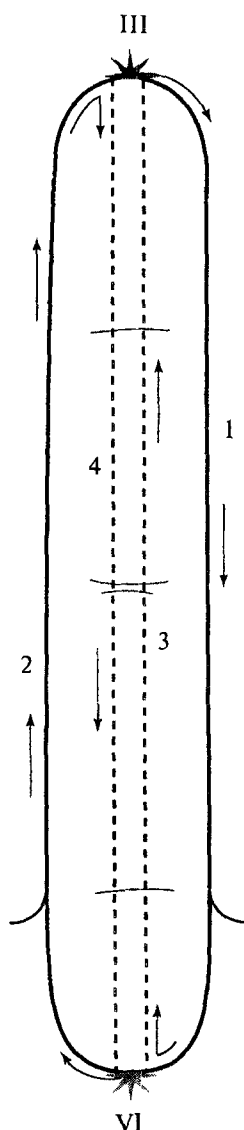
*A*-энергия из внешней задней бель-чакры идет по левому диафрагмальному пограничному бель-меридиану, а УМ-энергия из внешней передней бель-чакры движется по правому диафрагмальному пограничному бель-меридиану.

1 — циркуляция *A*-энергии по левому диафрагмальному пограничному бель-меридиану пальца

2 — циркуляция УМ-энергии по правому диафрагмальному пограничному бель-меридиану пальца

I — задняя внешняя бель-чакра пальца

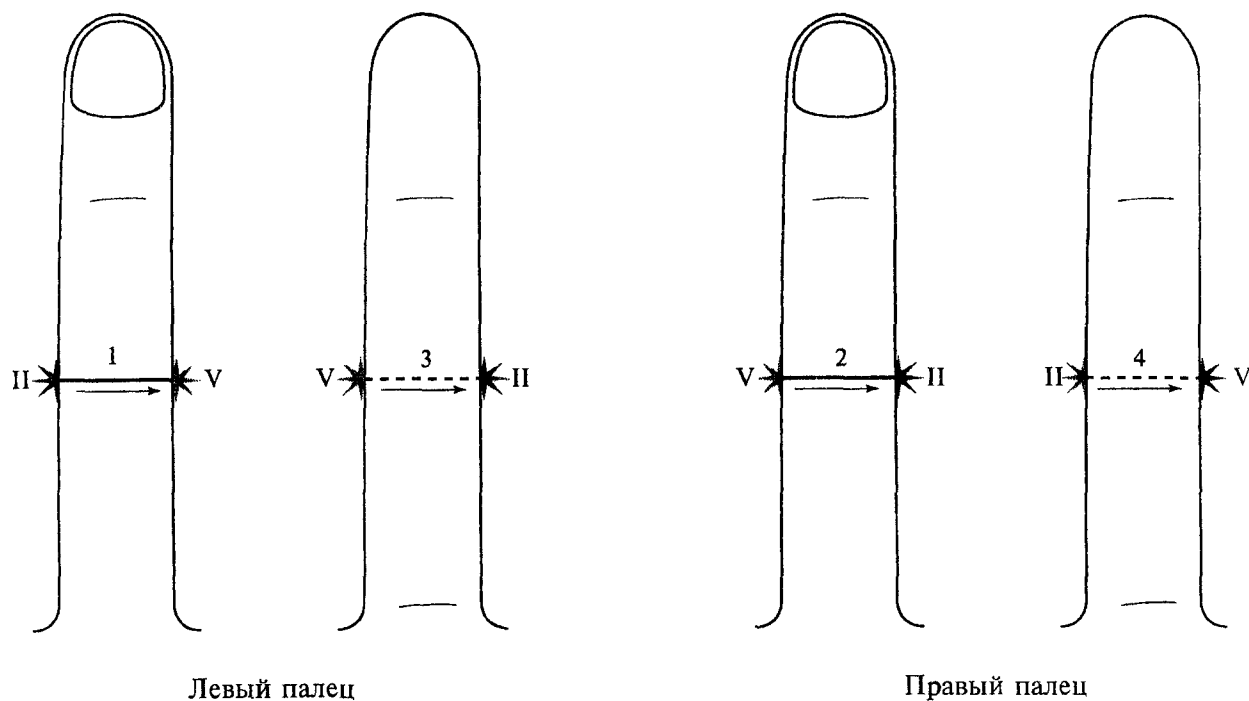
IV — передняя внешняя бель-чакра пальца



**Рис. 319.** Циркуляция индивидуальных энергий в боковом пограничном и вертикальном сердцевинном бель-меридианах в объединенной закрытой стандартной системе соответствия на пальце. Из верхней внешней бель-чакры (III) А-энергия направляется в левый боковой пограничный бель-меридиан (1) и по левому вертикальному сердцевинному бель-меридиану (3) возвращается назад в верхнюю внешнюю бель-чакру. Из нижней внешней бель-чакры (VI) УМ-энергия следует в правый боковой пограничный бель-меридиан (2) и по правому вертикальному сердцевинному бель-меридиану (4) возвращается назад в нижнюю внешнюю бель-чакру.

1 — левый боковой пограничный бель-меридиан  
 2 — правый боковой пограничный бель-меридиан  
 3 — левый вертикальный сердцевинный бель-меридиан  
 4 — правый вертикальный сердцевинный бель-меридиан  
 III — верхняя внешняя бель-чakra пальца  
 VI — нижняя внешняя бель-чakra пальца





**Рис. 320.** Циркуляция индивидуальных энергий в диафрагмальном пограничном и фронтальном сердцевинном бель-меридианах в объединенной закрытой стандартной системе соответствия телу на пальцах.

Из левой внешней бель-чакры (II) А-энергия направляется в задний диафрагмальный пограничный бель-меридиан (1), затем в задний фронтальный сердцевинный бель-меридиан (3), по которому возвращается в левую бель-чакру.

Из правой внешней бель-чакры (V) УМ-энергия следует в передний диафрагмальный пограничный меридиан (2), затем в передний фронтальный сердцевинный бель-меридиан (4), по которому возвращается в правую бель-чакру.

1 — задний диафрагмальный пограничный бель-меридиан

2 — передний диафрагмальный пограничный бель-меридиан

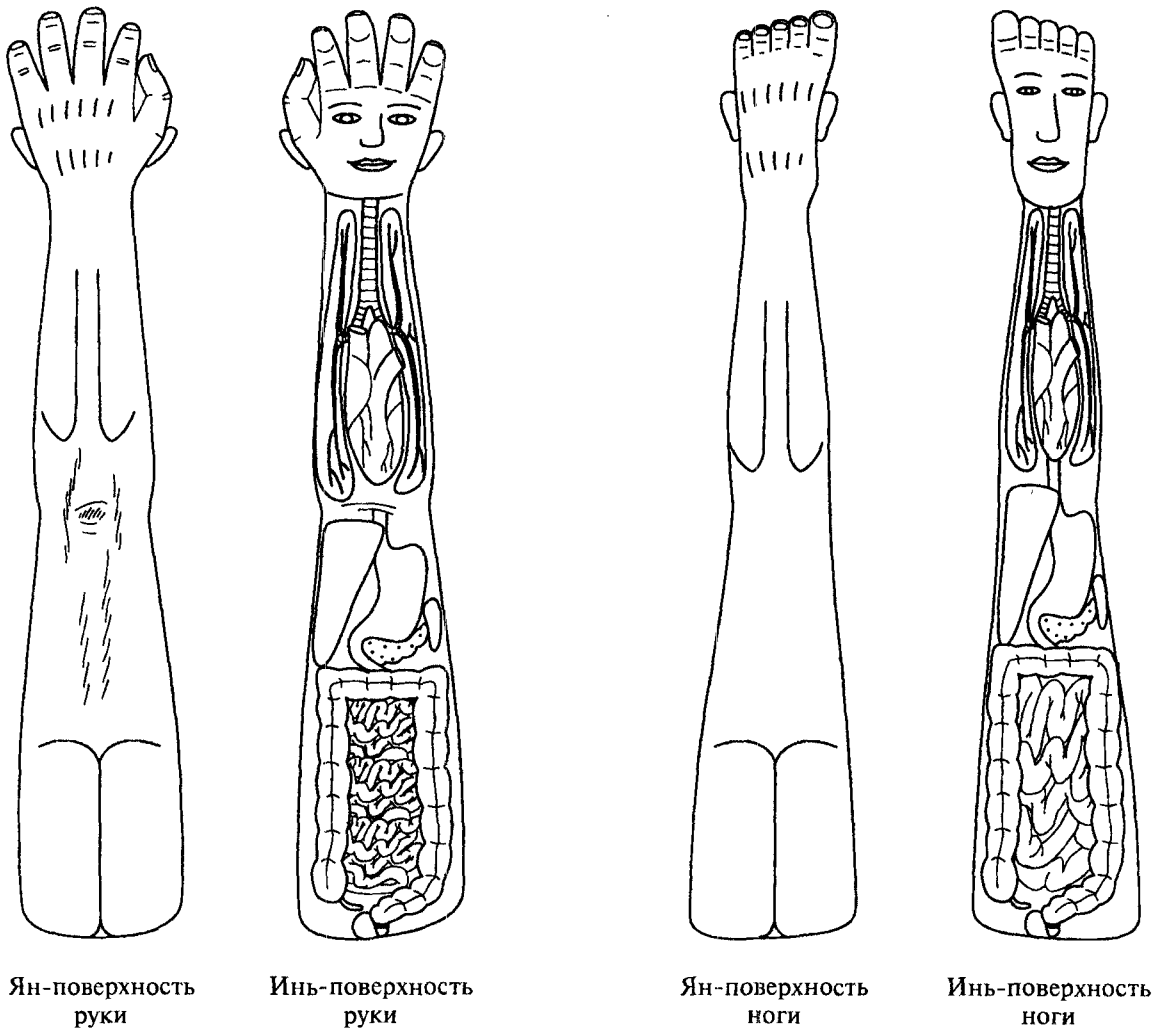
3 — задний фронтальный сердцевинный бель-меридиан

4 — передний фронтальный сердцевинный бель-меридиан

II — левая внешняя бель-чакра пальца

V — правая внешняя бель-чакра пальца

## Глава 4. Энергетические системы конечностей человека



**Рис. 321.** Индивидуальные стандартные системы соответствия телу на конечностях. В этих системах на кистях и стопах расположены соответствия голове, на предплечьях и голенях — соответствия груди, на плечах и бедрах — соответствия животу. Пограничные и сердцевинные меридианы, а также внутренние и внешние чакры присутствуют в каждой системе соответствия телу. Отраженные в миниатюрной форме в системах соответствия, они проявляются в виде бель-меридианов и бель-чакр, выполняющих те же функции, что и их аналоги в теле.

### 4.1. Внешние и внутренние бел-чакры конечностей

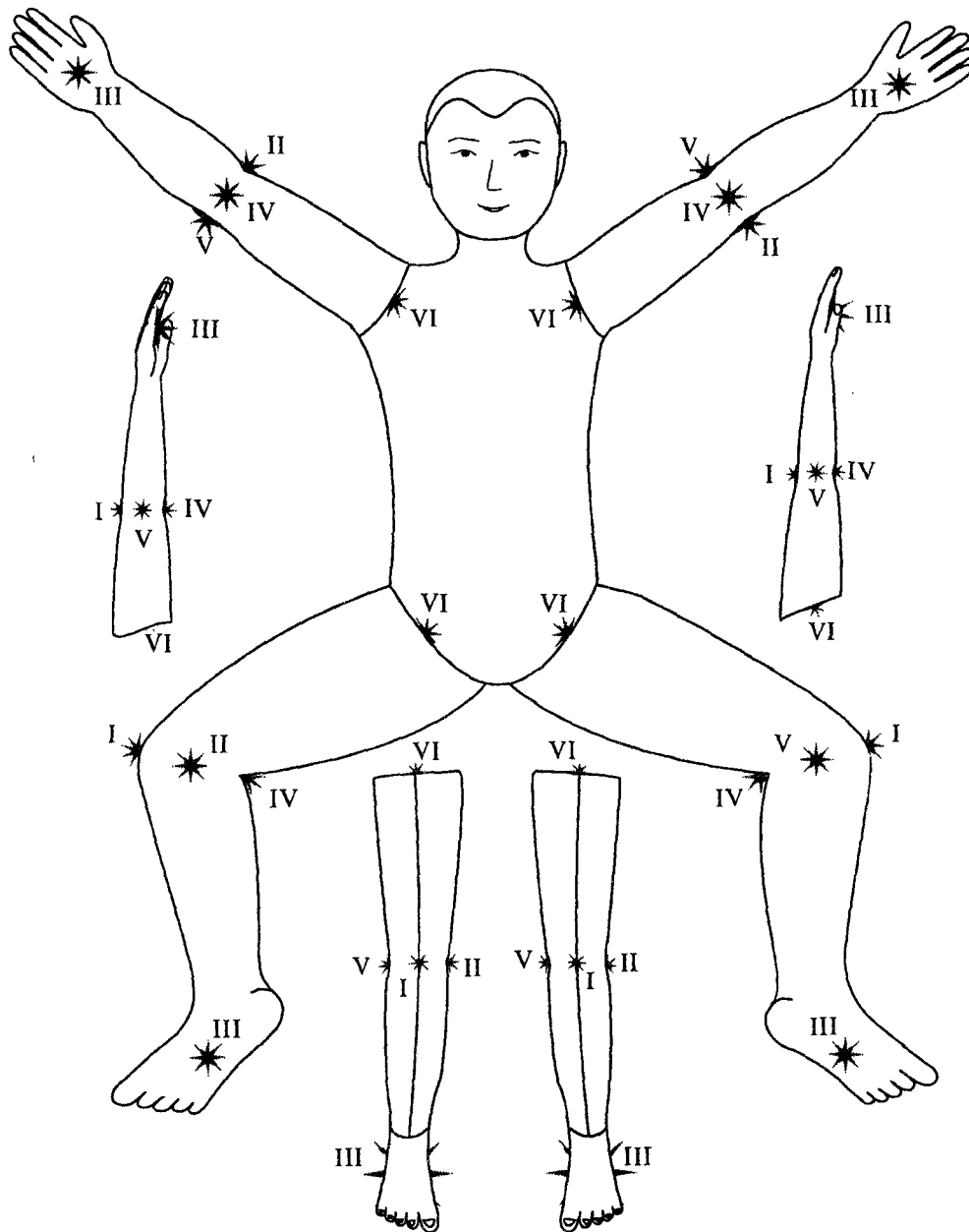
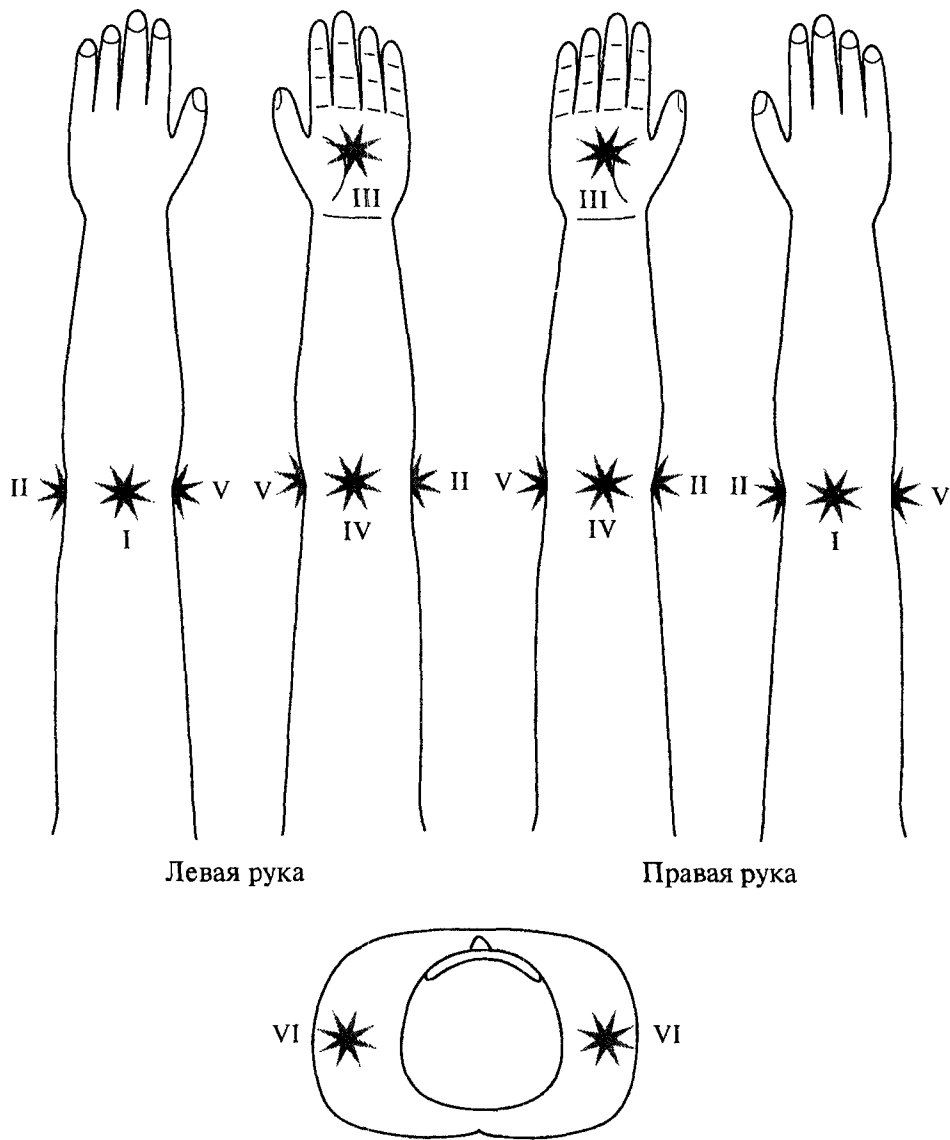


Рис. 322. Система внешних бел-чакр конечностей.

Внешние бел-чакры рук и ног, за исключением бел-чакр жара, расположены в области крупных суставов конечностей: плечевых, тазобедренных, локтевых и коленных. Бел-чакры жара находятся в центре ладоней и подошв.

- I — бел-чакра ветра
- II — бел-чакра тепла
- III — бел-чакра жара
- IV — бел-чакра влажности
- V — бел-чакра сухости
- VI — бел-чакра холода



Левая рука

Правая рука

Рис. 323. Топография внешних бель-чакр рук.

**I — задняя внешняя бель-чакра жетра**

Расположение: ее центр расположен на локтевом отростке.

**II — левая внешняя бель-чакра гепла**

Расположение: ее центр расположен на соответствующей Инь-Ян границе руки, на уровне локтевого сустава.

**III — верхняя внешняя бель-чакра жара**

Расположение: ее центр расположен на ладони в точке I8 лао-гун.

**IV — передняя внешняя бель-чакра влажности**

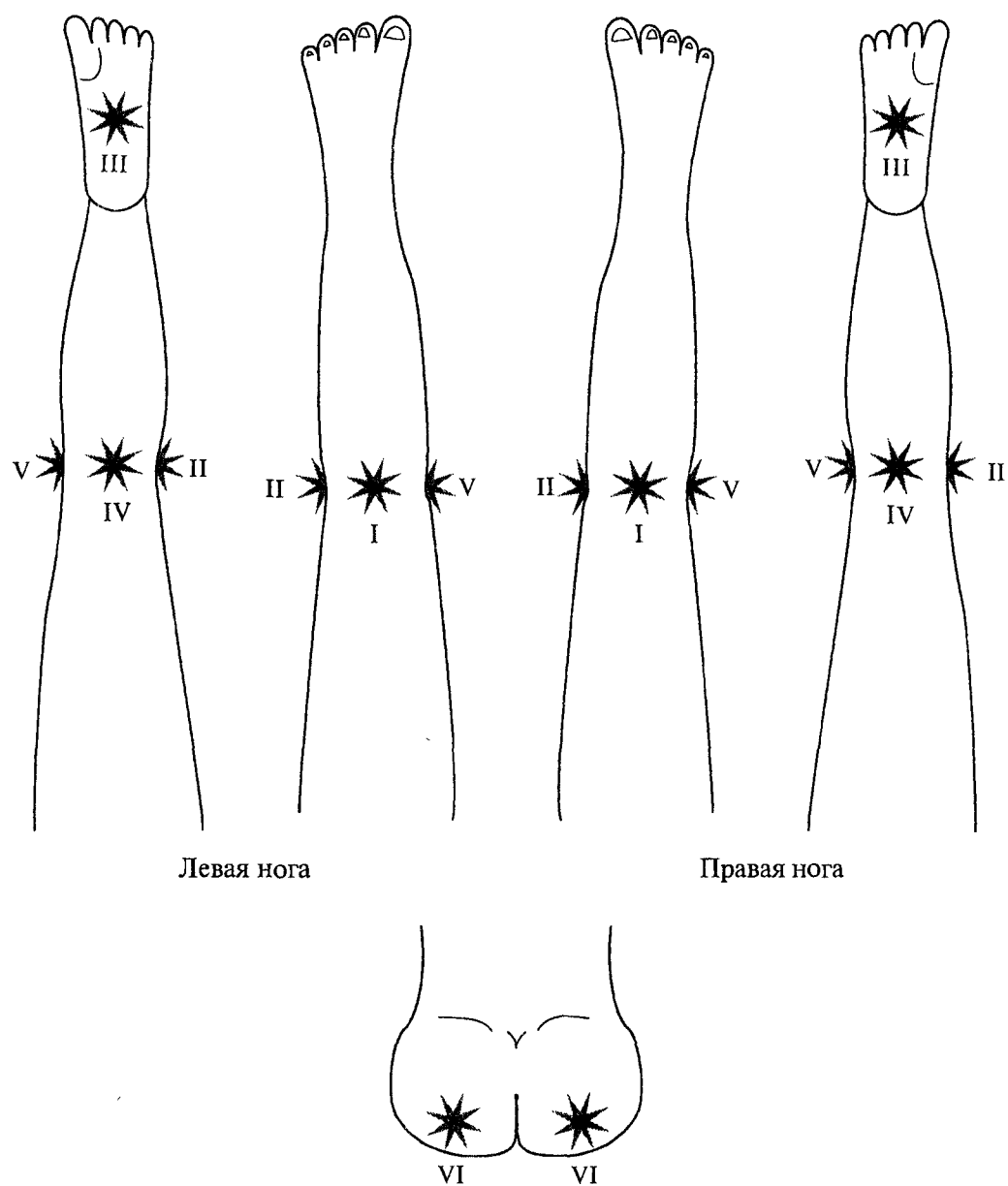
Расположение: ее центр расположен в локтевой ямке в точке I3 цюй-цзэ.

**V — правая внешняя бель-чакра сухости**

Расположение: ее центр расположен на соответствующей Инь-Ян границе руки, на уровне локтевого сустава.

**VI — нижняя внешняя бель-чакра холода**

Расположение: ее центр расположен на плечевом суставе в точке B15 цзянь-юй.



Левая нога

Правая нога

Рис. 324. Топография внешних бель-чакр ног.

**I — задняя внешняя бель-чакра ветра**  
Расположение: ее центр расположен под верхушкой надколенника.

**II — левая внешняя бель-чакра тепла**  
Расположение: ее центр расположен на соответствующей Инь-Ян границе ноги, на уровне коленного сустава.

**III — верхняя внешняя бель-чакра жара**

Расположение: ее центр расположен на подошве в точке H1 юн-цюань.

**IV — передняя внешняя бель-чакра влажности**

Расположение: ее центр расположен в центре подколенной ямки в точке G40 вэй-чжун.

**V — правая внешняя бель-чакра сухости**

Расположение: ее центр расположен на соответствующей Инь-Ян границе ноги, на уровне коленного сустава.

**VI — нижняя внешняя бель-чакра холода**

Расположение: ее центр расположен на ягодице в точке G54 чжи-бянь.

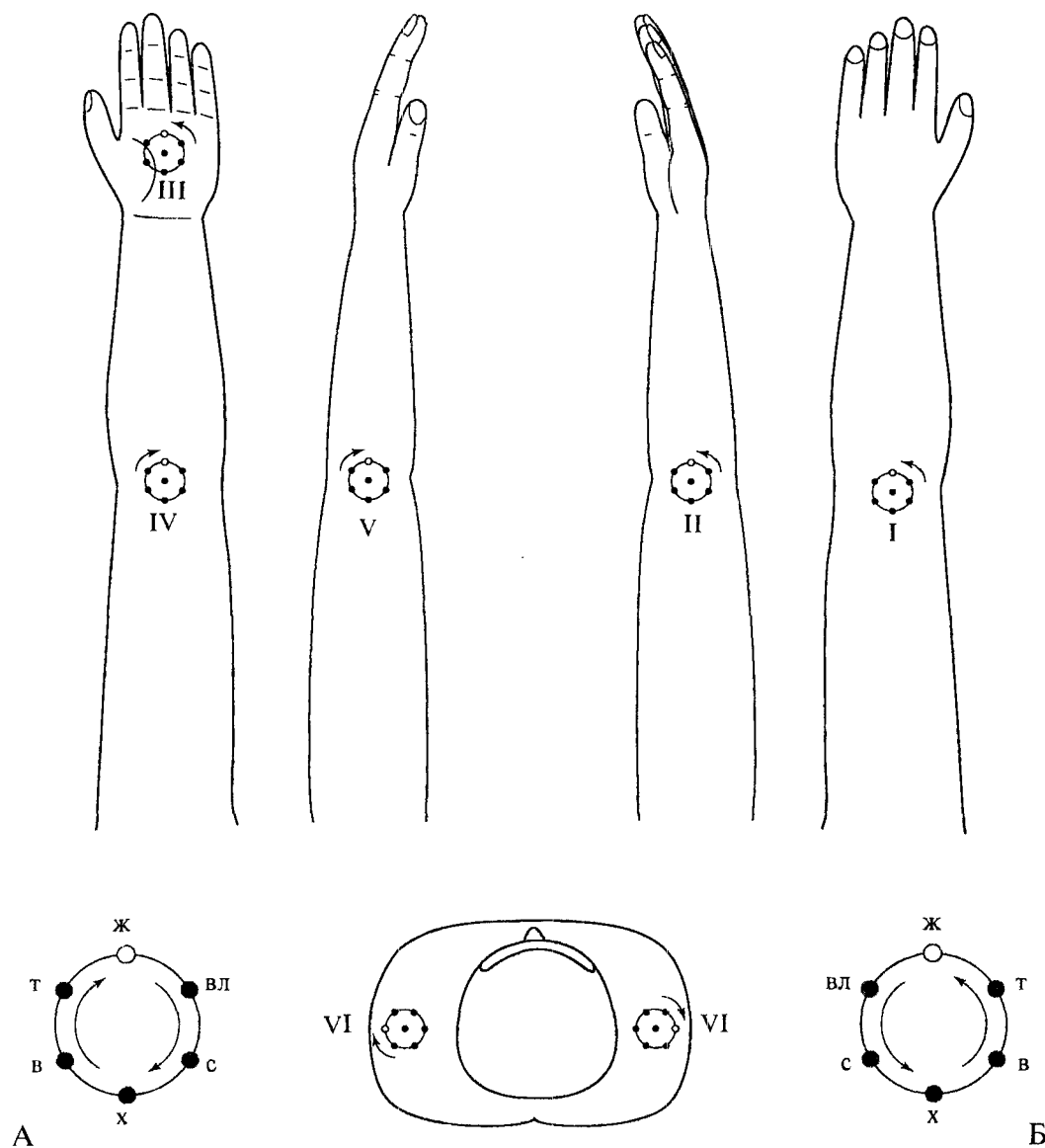


Рис. 325. Точки единых Шести Энергий внешних бель-чакр рук.

Точки единых Шести Энергий располагаются на окружности с радиусом 0,5 цуня вокруг центральной точки бель-чакры. Точка жара всегда занимает самое верхнее положение на окружности, точка холода — самое нижнее.

- А — Гомо-циркуляция по часовой стрелке, характерная для бель-чакр влажности, сухости, холода
- Б — Гетеро-циркуляция против часовой стрелки, характерная для бель-чакр ветра, тепла, жара
- И — внешняя бель-чакра ветра
- II — внешняя бель-чакра тепла
- III — внешняя бель-чакра жара
- IV — внешняя бель-чакра влажности
- V — внешняя бель-чакра сухости
- VI — внешняя бель-чакра холода

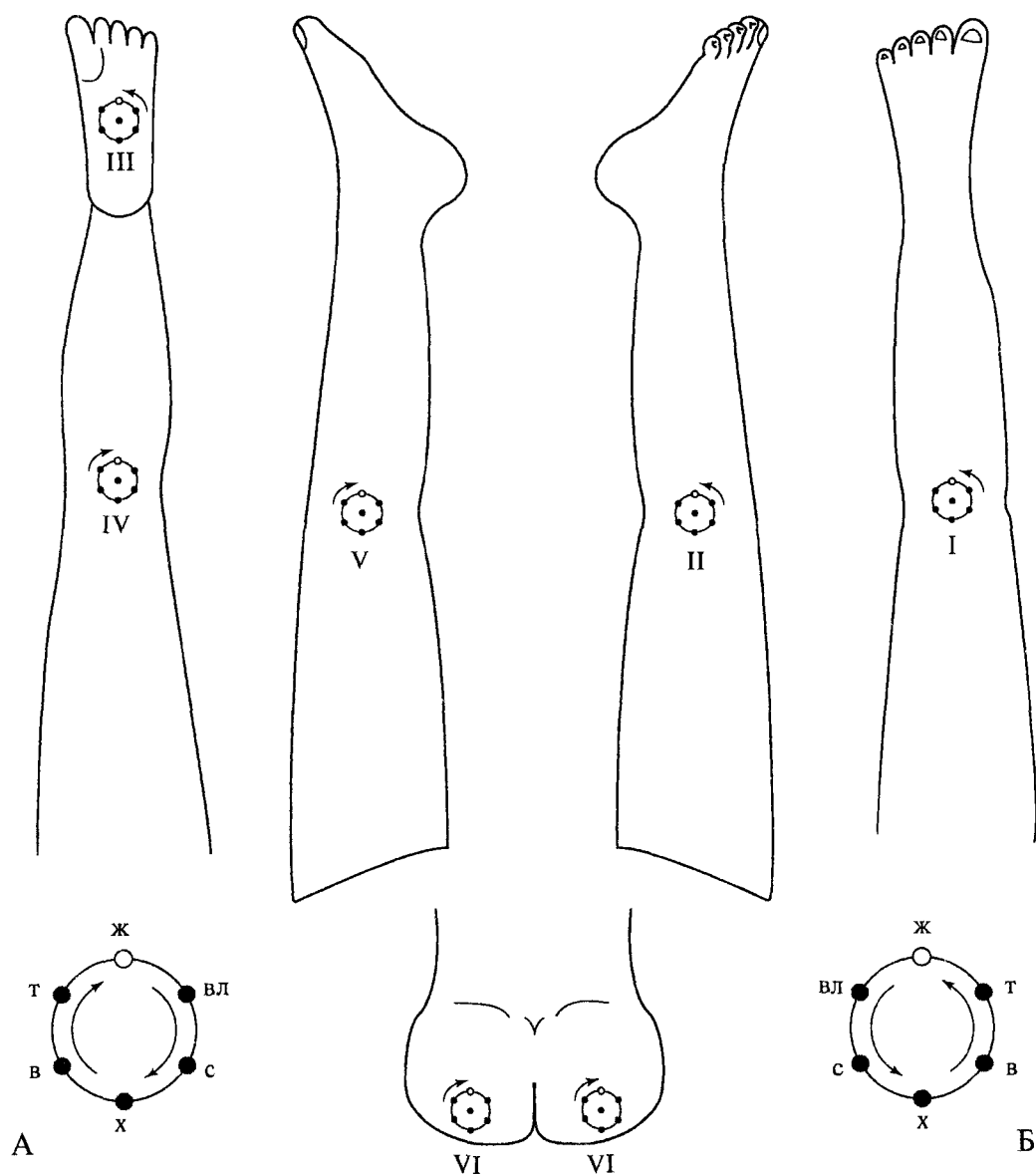


Рис. 326. Точки единых Шести Энергий внешних бел-чакр ног.

Точки единых Шести Энергий располагаются на окружности с радиусом 0,5 цуня вокруг центральной точки бел-чакры. Точка жара всегда занимает самое верхнее положение на окружности, точка холода — самое нижнее.

А — Гомо-циркуляция по часовой стрелке, характерная для бел-чакр влажности, сухости, холода

Б — Гетеро-циркуляция против часовой стрелки, характерная для бел-чакр ветра, тепла, жара

I — внешняя бел-чакра ветра

II — внешняя бел-чакра тепла

III — внешняя бел-чакра жара

IV — внешняя бел-чакра влажности

V — внешняя бел-чакра сухости

VI — внешняя бел-чакра холода

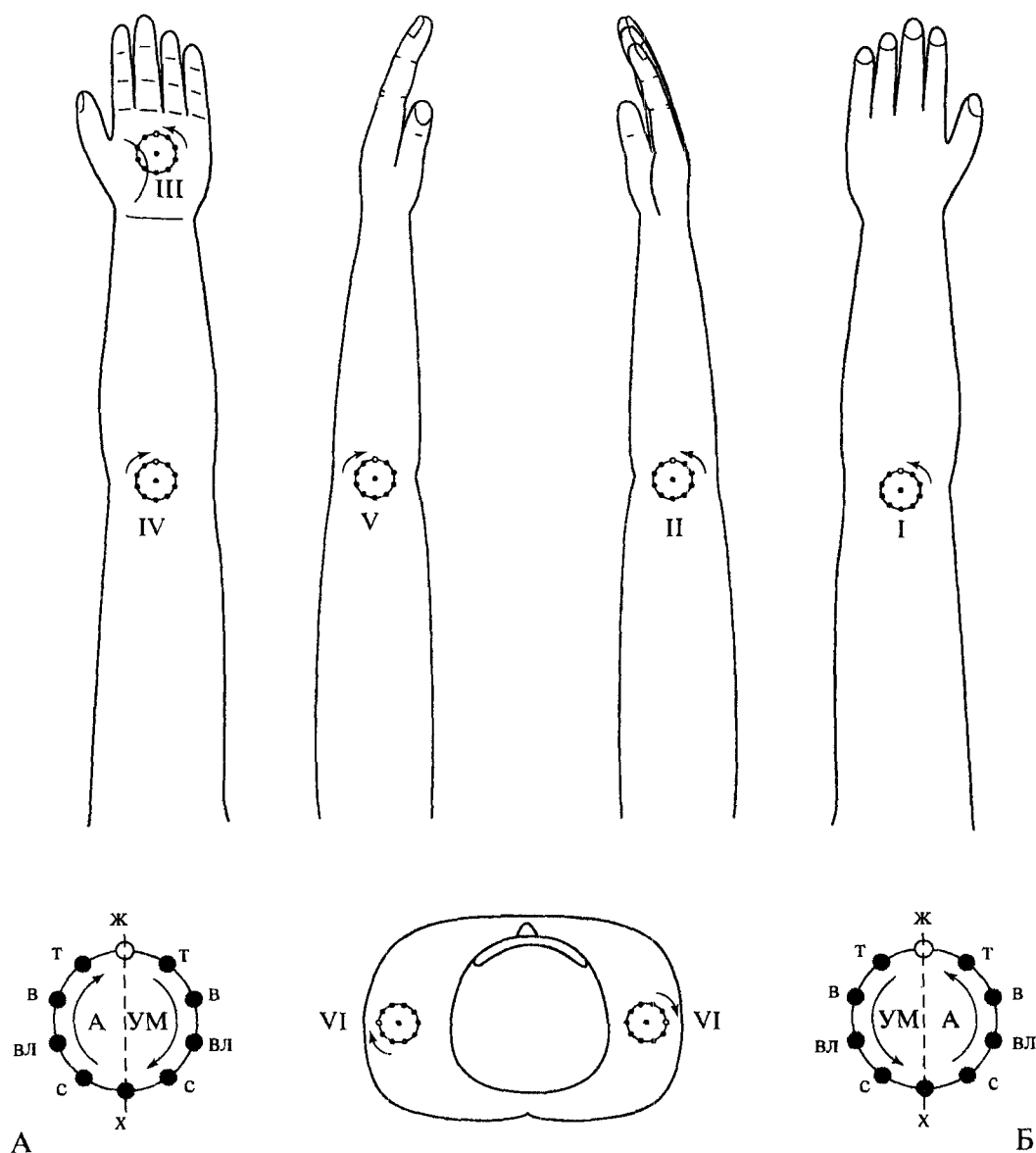


Рис. 327. Точки индивидуальных Шести Энергий внешних бель-чакр рук.

Точки индивидуальных Шести Энергий располагаются на окружности с радиусом 0,5 цуня вокруг центральной точки бель-чакры. Точка жара всегда занимает самое верхнее положение на окружности, точка холода — самое нижнее. Используется вертикальный тип деления с последовательной циркуляцией сначала А-энергии, а затем УМ-энергии.

А — Гомо-циркуляция по часовой стрелке, характерная для бель-чакр влажности, сухости, холода

Б — Гетеро-циркуляция против часовой стрелки, характерная для бель-чакр ветра, тепла, жара

I — внешняя бель-чакра ветра

II — внешняя бель-чакра тепла

III — внешняя бель-чакра жара

IV — внешняя бель-чакра влажности

V — внешняя бель-чакра сухости

VI — внешняя бель-чакра холода



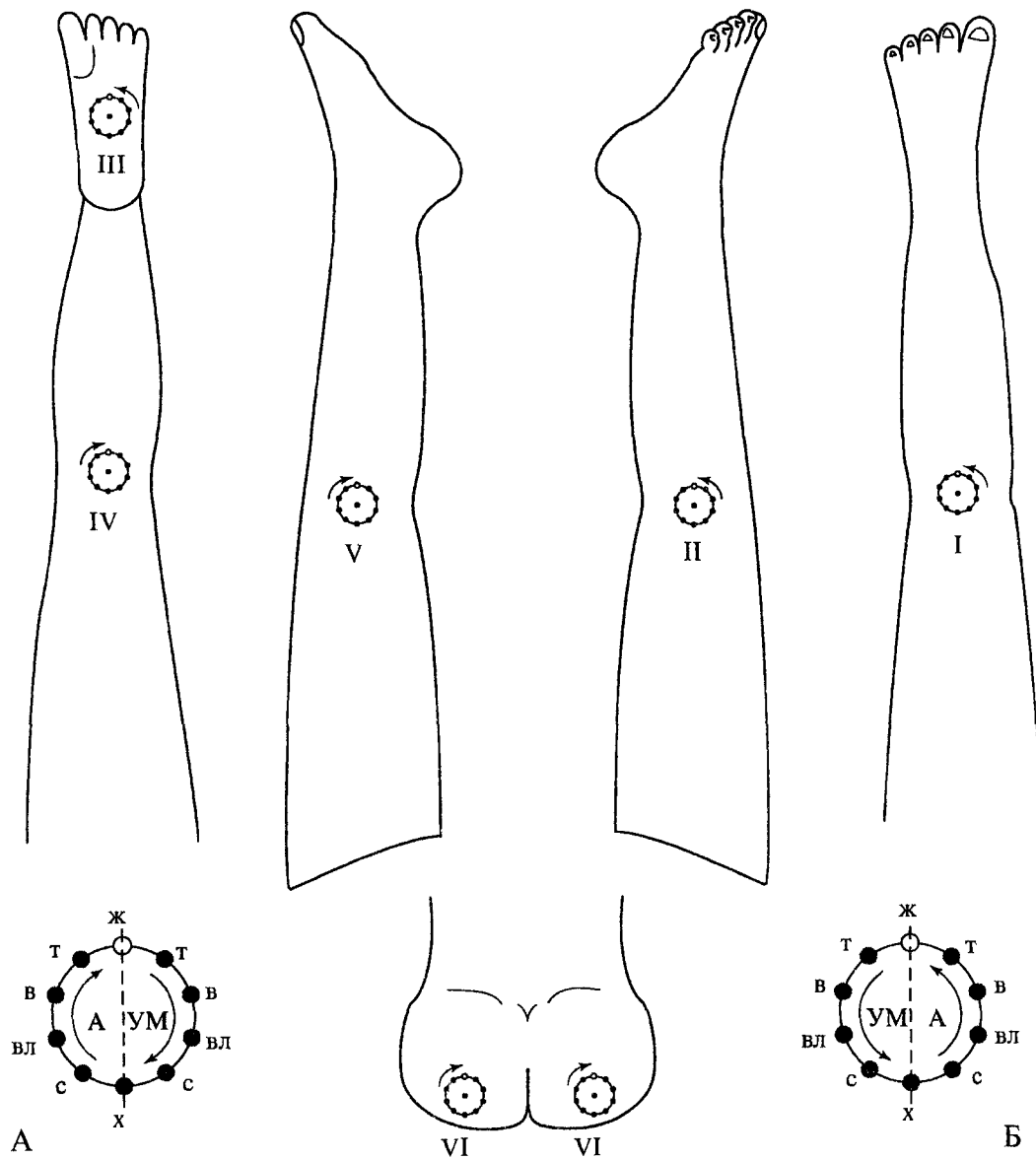


Рис. 328. Точки индивидуальных Шести Энергий внешних бель-чакр ног.

Точки индивидуальных Шести Энергий располагаются на окружности с радиусом 0,5 цуня вокруг центральной точки бель-чакры. Точка жара всегда занимает самое верхнее положение на окружности, точка холода — самое нижнее. Используется вертикальный тип деления с последовательной циркуляцией сначала А-энергии, а затем УМ-энергии.

А — Гомо-циркуляция по часовой стрелке, характерная для бель-чакр влажности, сухости, холода

Б — Гетеро-циркуляция против часовой стрелки, характерная для бель-чакр ветра, тепла, жара

I — внешняя бель-чакра ветра

II — внешняя бель-чакра тепла

III — внешняя бель-чакра жара

IV — внешняя бель-чакра влажности

V — внешняя бель-чакра сухости

VI — внешняя бель-чакра холода

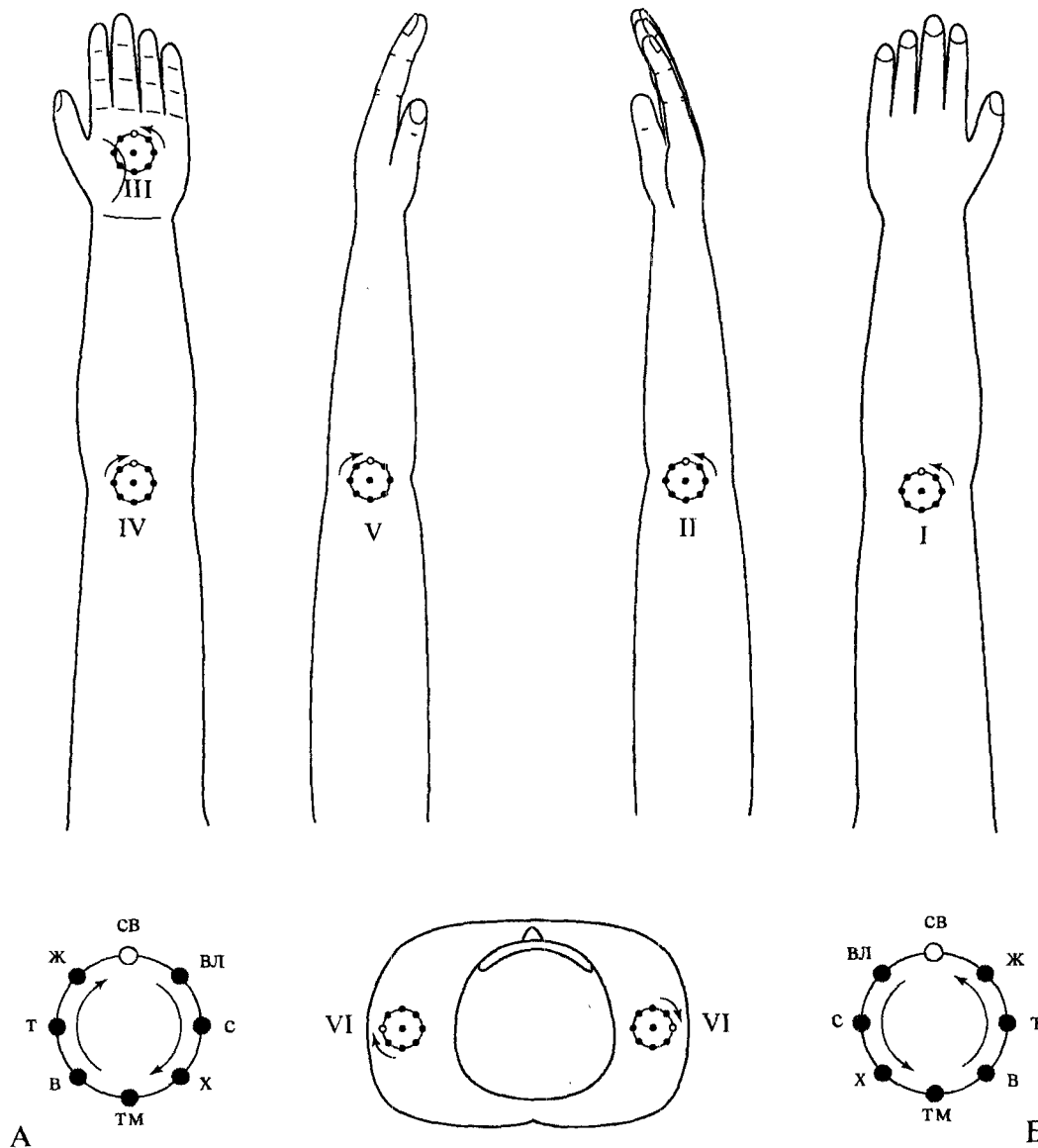


Рис. 329. Точки единых Восьми Энергий внешних бель-чакр рук.

Точки единых Восьми Энергий располагаются на окружности с радиусом 0,5 цуня вокруг центральной точки бель-чакры. Точка света всегда занимает самое верхнее положение на окружности, точка тьмы — самое нижнее.

А — Гомо-циркуляция по часовой стрелке, характерная для чакр влажности, сухости, холода

Б — Гетеро-циркуляция против часовой стрелки, характерная для чакр ветра, тепла, жара

I — внешняя бель-чакра ветра

II — внешняя бель-чакра тепла

III — внешняя бель-чакра жара

IV — внешняя бель-чакра влажности

V — внешняя бель-чакра сухости

VI — внешняя бель-чакра холода

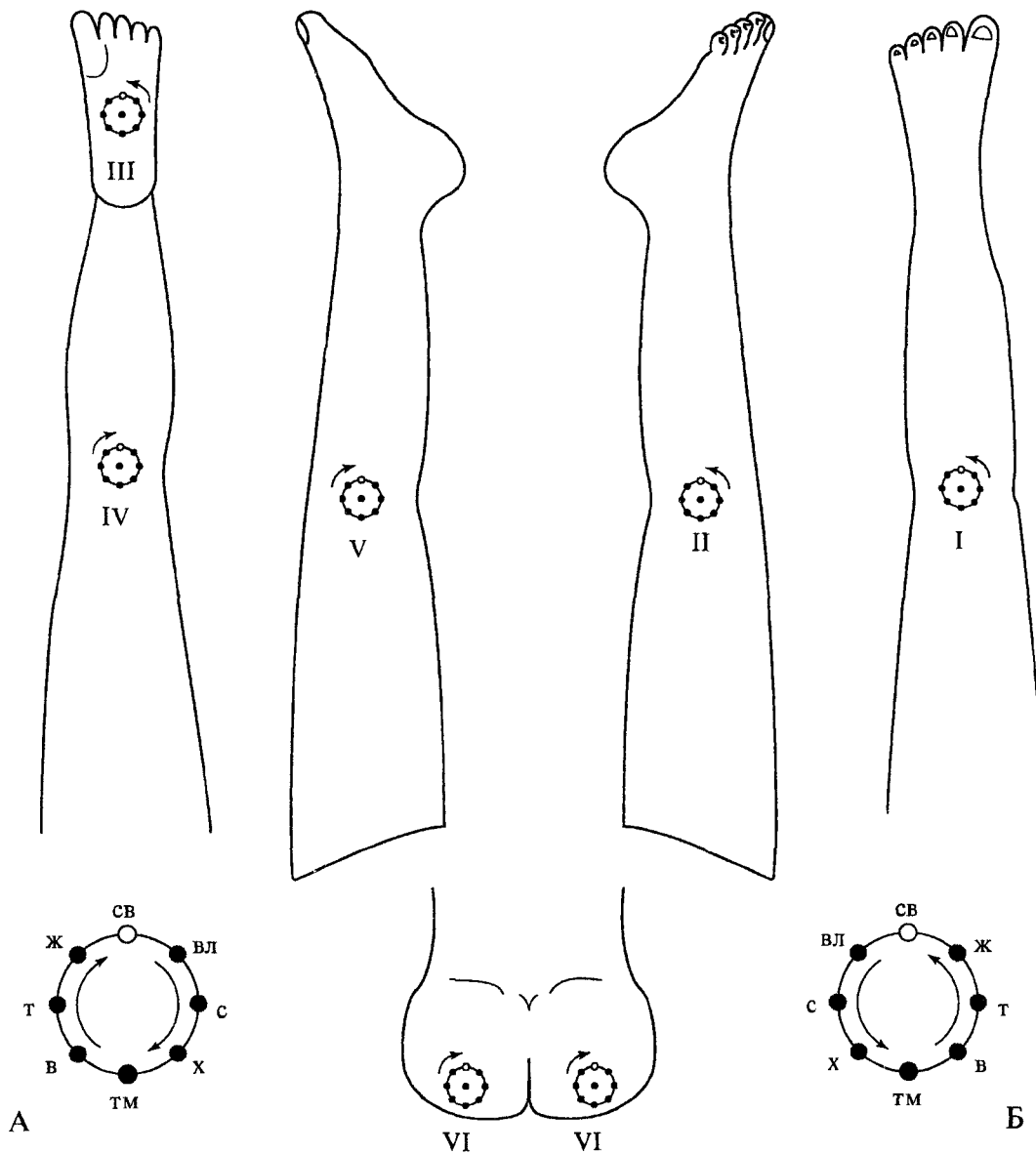


Рис. 330. Точки единых Восьми Энергий внешних бель-чакр ног.

Точки единых Восьми Энергий располагаются на окружности с радиусом 0,5 цуня вокруг центральной точки бель-чакры. Точка света всегда занимает самое верхнее положение на окружности, точка тьмы — самое нижнее.

А — Гомо-циркуляция по часовой стрелке, характерная для бель-чакр влажности, сухости, холода

Б — Гетеро-циркуляция против часовой стрелки, характерная для бель-чакр ветра, тепла, жара

I — внешняя бель-чакра ветра

II — внешняя бель-чакра тепла

III — внешняя бель-чакра жара

IV — внешняя бель-чакра влажности

V — внешняя бель-чакра сухости

VI — внешняя бель-чакра холода

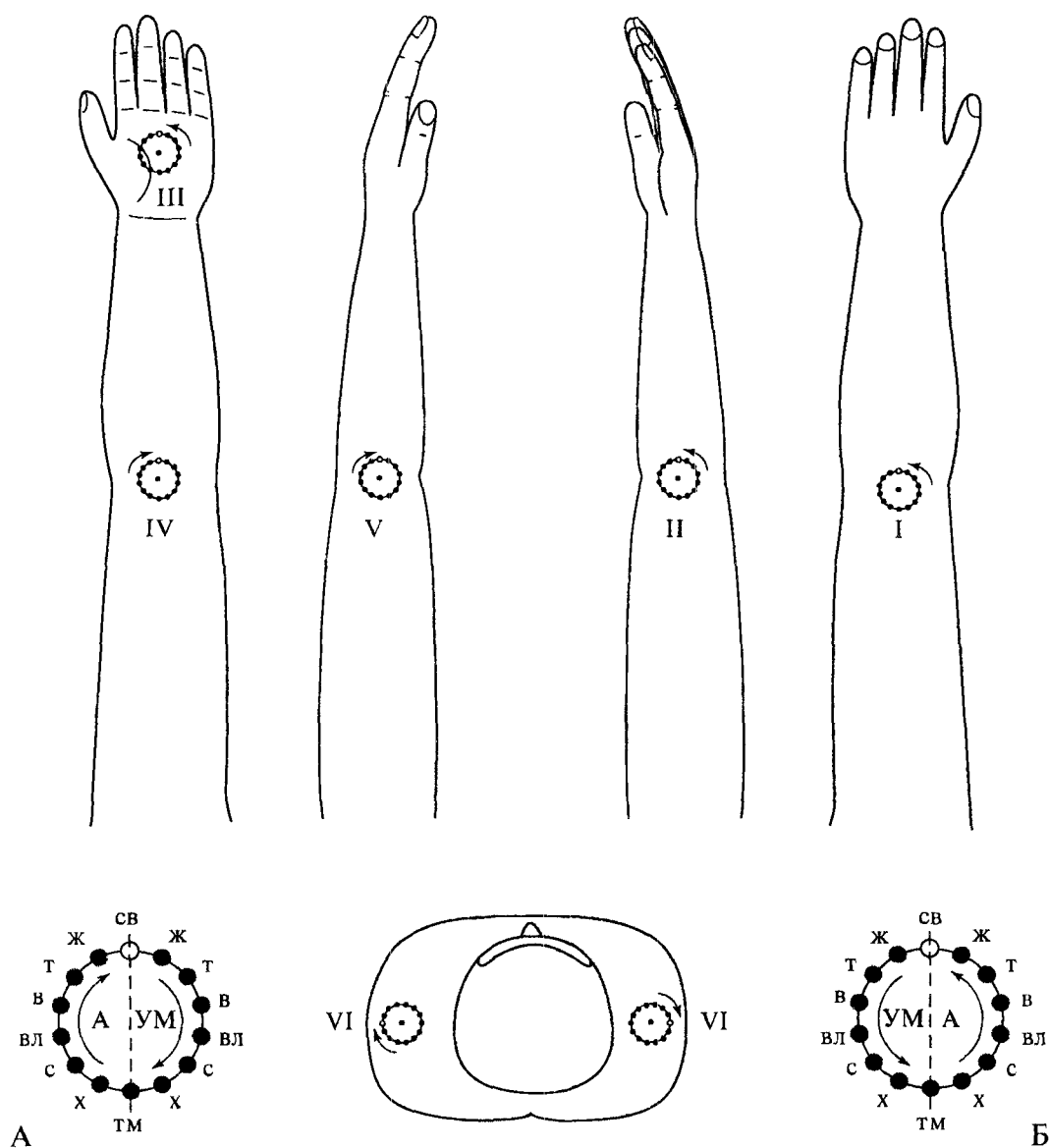


Рис. 331. Точки индивидуальных Восьми Энергий внешних бель-чакр рук.

Точки индивидуальных Восьми Энергий располагаются на окружности с радиусом 0,5 цуня вокруг центральной точки бель-чакры. Точка света всегда занимает самое верхнее положение на окружности, точка тьмы — самое нижнее. Используется вертикальный тип деления с последовательной циркуляцией сначала А-энергии, а затем УМ-энергии.

А — Гомо-циркуляция по часовой стрелке, характерная для бель-чакр влажности, сухости, холода

Б — Гетеро-циркуляция против часовой стрелки, характерная для бель-чакр ветра, тепла, жара

I — внешняя бель-чакра ветра

II — внешняя бель-чакра тепла

III — внешняя бель-чакра жара

IV — внешняя бель-чакра влажности

V — внешняя бель-чакра сухости

VI — внешняя бель-чакра холода

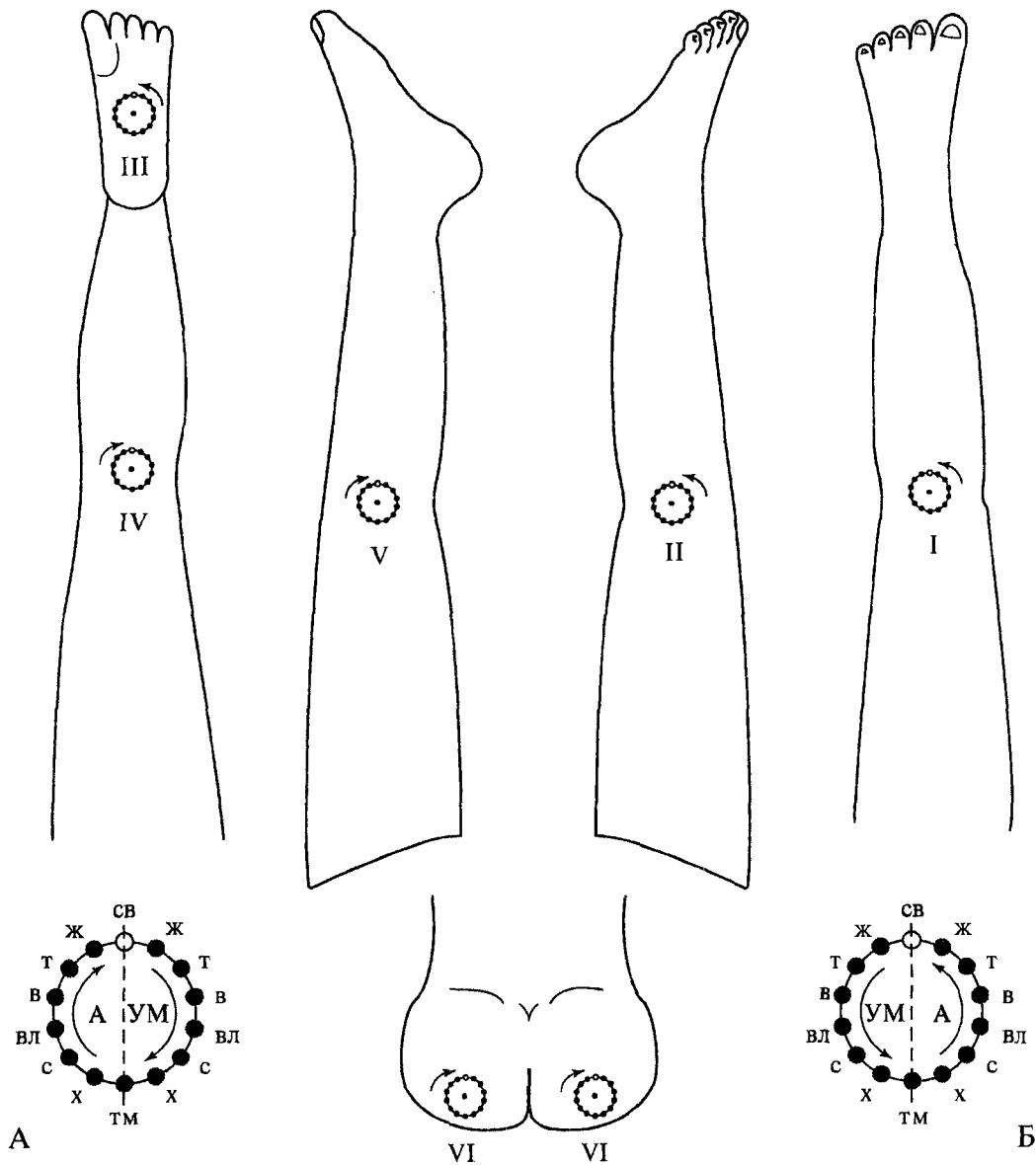


Рис. 332. Точки индивидуальных Восьми Энергий внешних бель-чакр ног.

Точки индивидуальных Восьми Энергий располагаются на окружности с радиусом 0,5 цуня вокруг центральной точки бель-чакры. Точка света всегда занимает самое верхнее положение на окружности, точка тьмы — самое нижнее. Используется вертикальный тип деления с последовательной циркуляцией сначала А-энергии, а затем УМ-энергии.

А — Гомо-циркуляция по часовой стрелке, характерная для бель-чакр влажности, сухости, холода

Б — Гетеро-циркуляция против часовой стрелки, характерная для бель-чакр ветра, тепла, жара

I — внешняя бель-чакра ветра

II — внешняя бель-чакра тепла

III — внешняя бель-чакра жара

IV — внешняя бель-чакра влажности

V — внешняя бель-чакра сухости

VI — внешняя бель-чакра холода

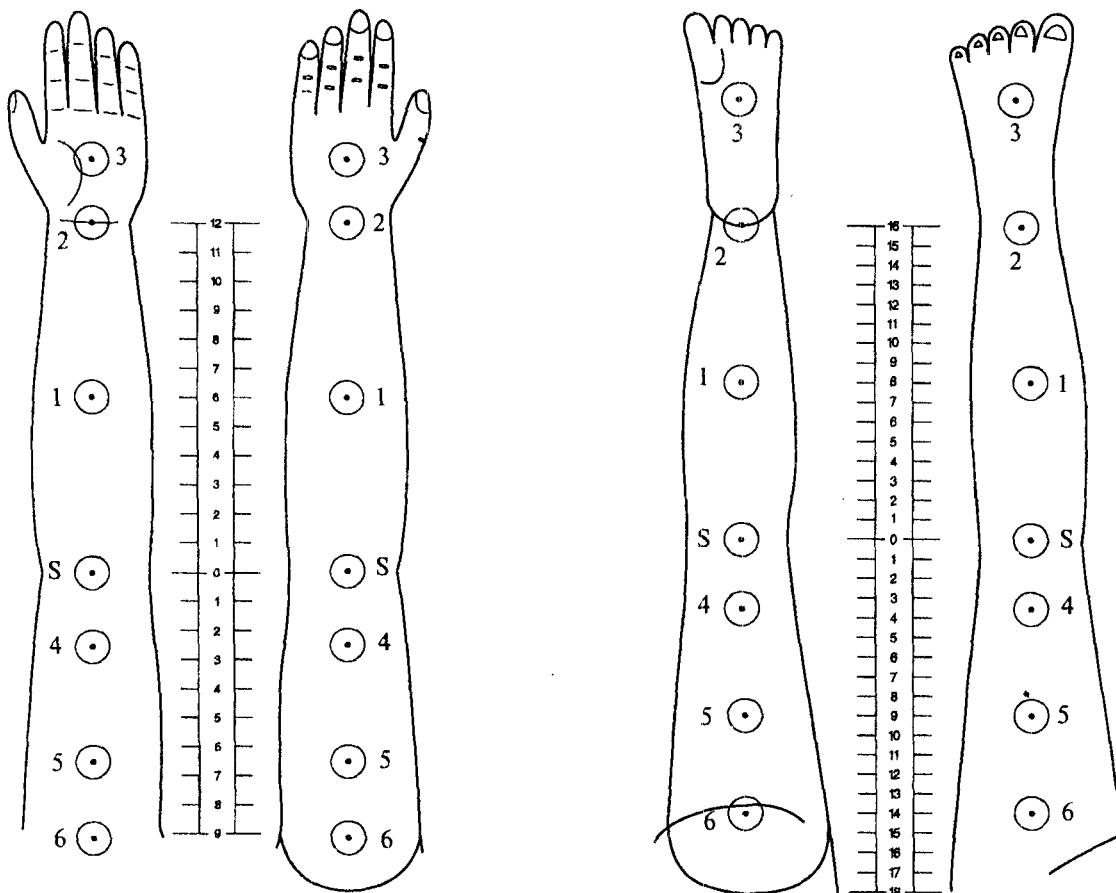


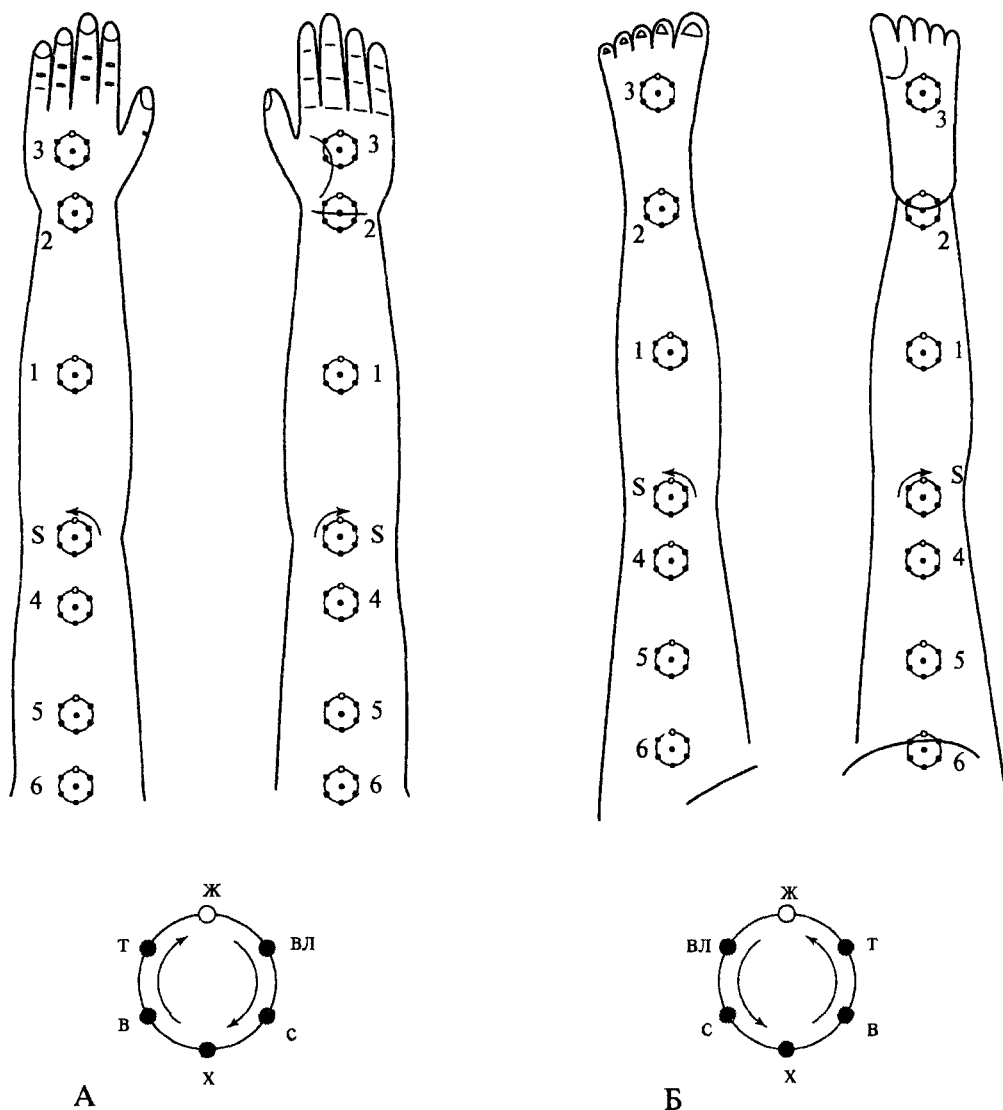
Рис. 333. Топография внутренних бель-чакр конечностей.

**Внутренние бель-чакры руки**

- 1 — бель-чакра ветра, ее центр расположен на середине предплечья.
- 2 — бель-чакра тепла, ее центр расположен на линии лучезапястного сустава.
- 3 — бель-чакра жара, ее центр расположен на ладони, в точке 18 лао-гун.
- 4 — бель-чакра влажности, ее центр расположен на плече, на 2,5 цуня от локтевого сустава.
- 5 — бель-чакра сухости, ее центр расположен на плече, на 6,5 цуней от локтевого сустава.
- 6 — бель-чакра холода, ее центр расположен на плече на уровне подмышечной ямки.
- S — солнечная бель-чакра, ее центр расположен на уровне локтевого сустава.

**Внутренние бель-чакры ноги**

- 1 — бель-чакра ветра, ее центр расположен на середине голени.
- 2 — бель-чакра тепла, ее центр расположен на линии голеностопного сустава.
- 3 — бель-чакра жара, ее центр расположен на подошве, в точке Н1 юн-цюань.
- 4 — бель-чакра влажности, ее центр расположен на бедре, на 3,5 цуня от коленного сустава.
- 5 — бель-чакра сухости, ее центр расположен на бедре, на 9 цуней от коленного сустава.
- 6 — бель-чакра холода, ее центр расположен на бедре на уровне промежности.
- S — солнечная бель-чакра, ее центр расположен на уровне коленного сустава.



**Рис. 334.** Точки единых Шести Энергий внутренних бель-чакр конечностей.  
Точки единых Шести Энергий располагаются на окружности с радиусом 0,5 цуня вокруг центральной точки бель-чакры. Точка жара всегда занимает самое верхнее положение на окружности, точка холода — самое нижнее положение. Точки остальных энергий располагаются в соответствии с Гомо- или Гетеро-циркуляцией. Для Инь-поверхности характерна Гомо-циркуляция по часовой стрелке, для Ян-поверхности — Гетеро-циркуляция против часовой стрелки.

*А* — расположение точек единых Шести Энергий на Инь-поверхности

*Б* — расположение точек единых Шести Энергий на Ян-поверхности

1 — бель-чакра ветра

2 — бель-чакра тепла

3 — бель-чакра жара

4 — бель-чакра влажности

5 — бель-чакра сухости

6 — бель-чакра холода

S — солнечная бель-чакра

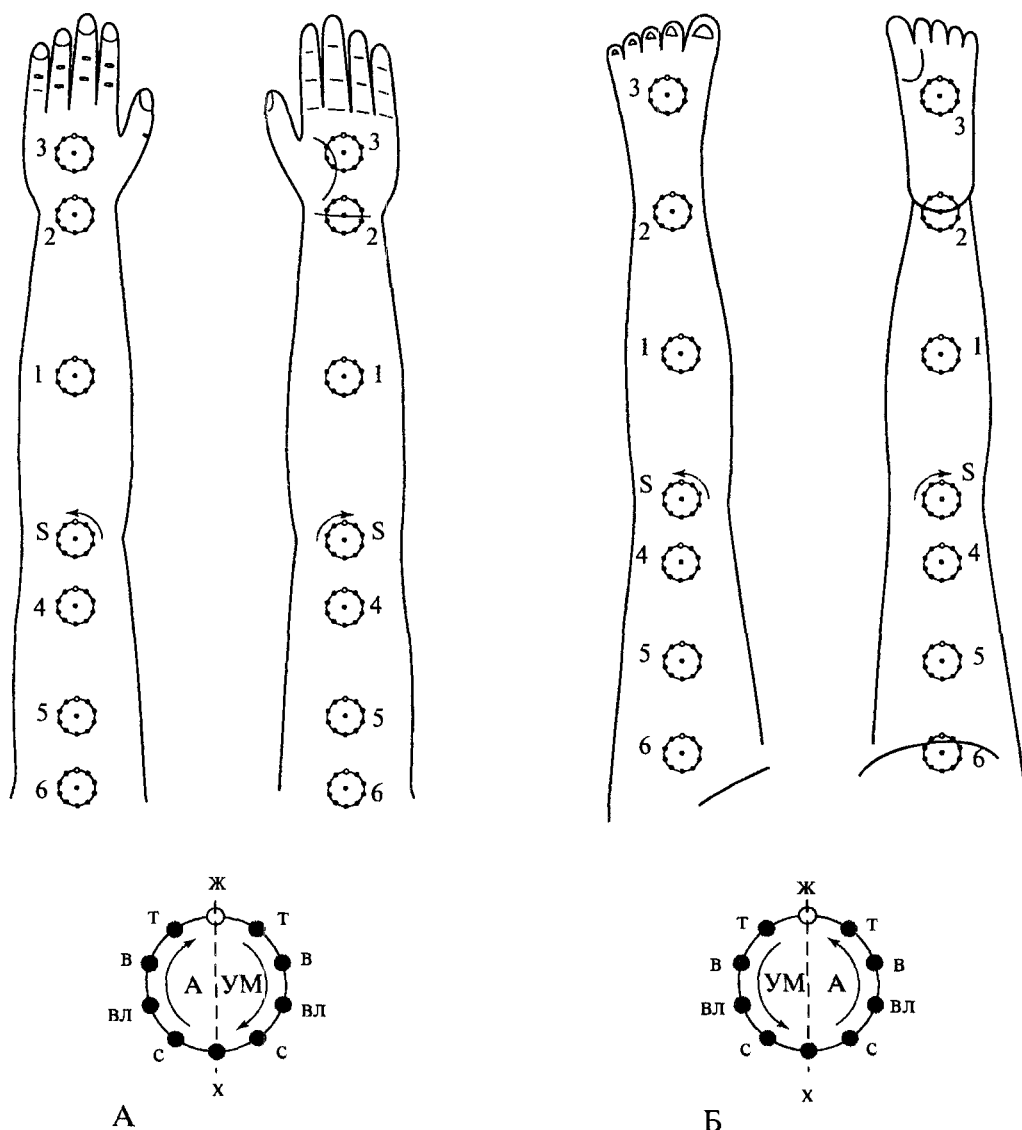
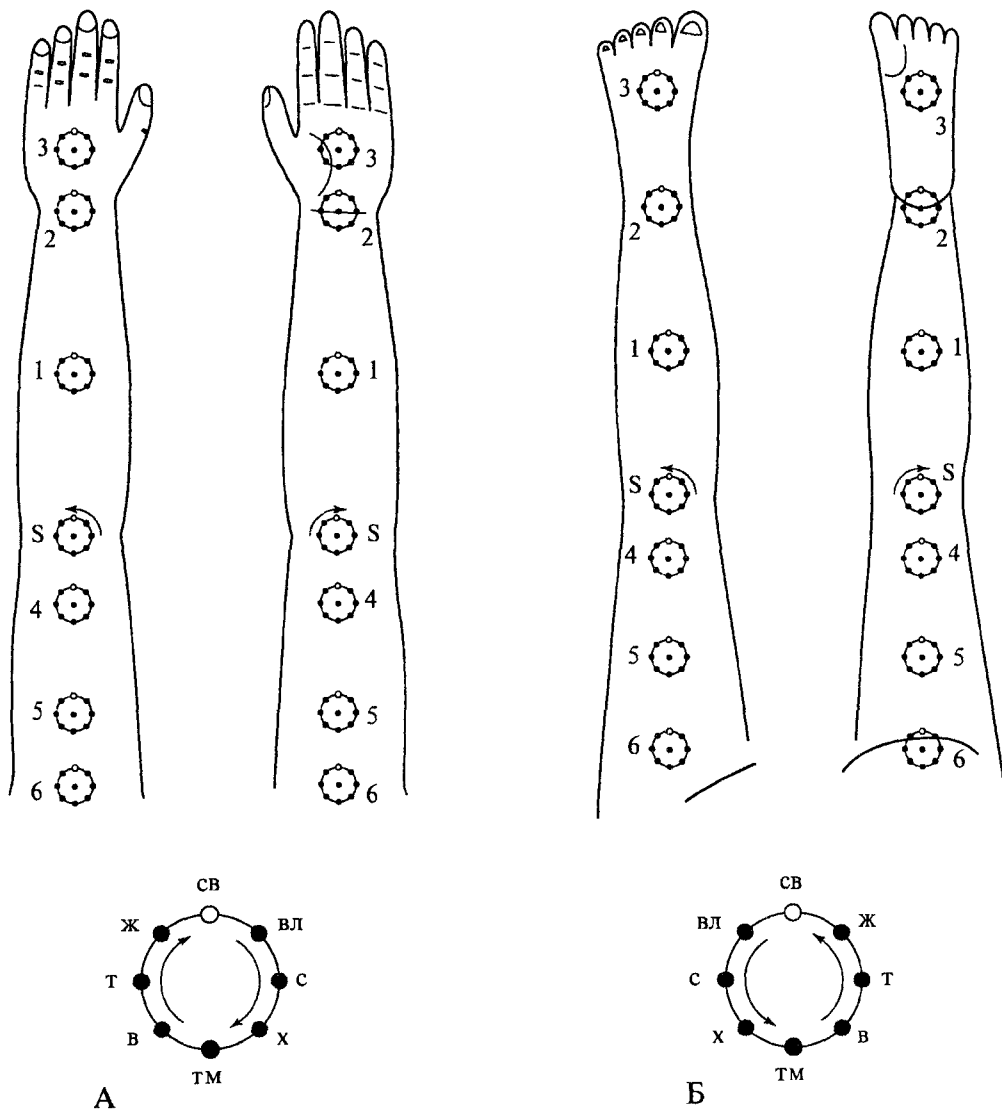


Рис. 335. Точки индивидуальных Шести Энергий внутренних бель-чакр конечностей.  
 Точки индивидуальных Шести Энергий также располагаются на окружности с радиусом 0,5 цуня вокруг центральной точки бель-чакры. Точка жара— самая верхняя, точка холода— самая нижняя. Используется вертикальный тип деления чакры с последовательной циркуляцией сначала А-энергий, а затем УМ-энергий.  
 А — расположение точек индивидуальных Шести Энергий внутренних бель-чакр на Инь-поверхности (Гомо-циркуляция)  
 Б — расположение точек индивидуальных Шести Энергий внутренних бель-чакр на Ян-поверхности (Гетеро-циркуляция)

1 — бель-чакра ветра	5 — бель-чакра сухости
2 — бель-чакра тепла	6 — бель-чакра холода
3 — бель-чакра жара	S — солнечная бель-чакра
4 — бель-чакра влажности	





**Рис. 336.** Точки единых Восьми Энергий внутренних бель-чакр конечностей.  
Точки единых Восьми Энергий располагаются на окружности с радиусом 0,5 цуня вокруг центральной точки бель-чакры. Точка света всегда занимает самое верхнее положение на окружности, точка тьмы— самое нижнее положение. Точки остальных энергий располагаются в соответствии с Гомо- или Гетеро-циркуляцией. Для Инь-поверхности характерна Гомо-циркуляция по часовой стрелке, для Ян-поверхности— Гетеро-циркуляция против часовой стрелки.

- А* — расположение точек единых Восьми Энергий на Инь-поверхности  
*Б* — расположение точек единых Восьми Энергий на Ян-поверхности
- |                          |                          |
|--------------------------|--------------------------|
| 1 — бель-чакра ветра     | 5 — бель-чакра сухости   |
| 2 — бель-чакра тепла     | 6 — бель-чакра холода    |
| 3 — бель-чакра жара      | S — солнечная бель-чакра |
| 4 — бель-чакра влажности |                          |

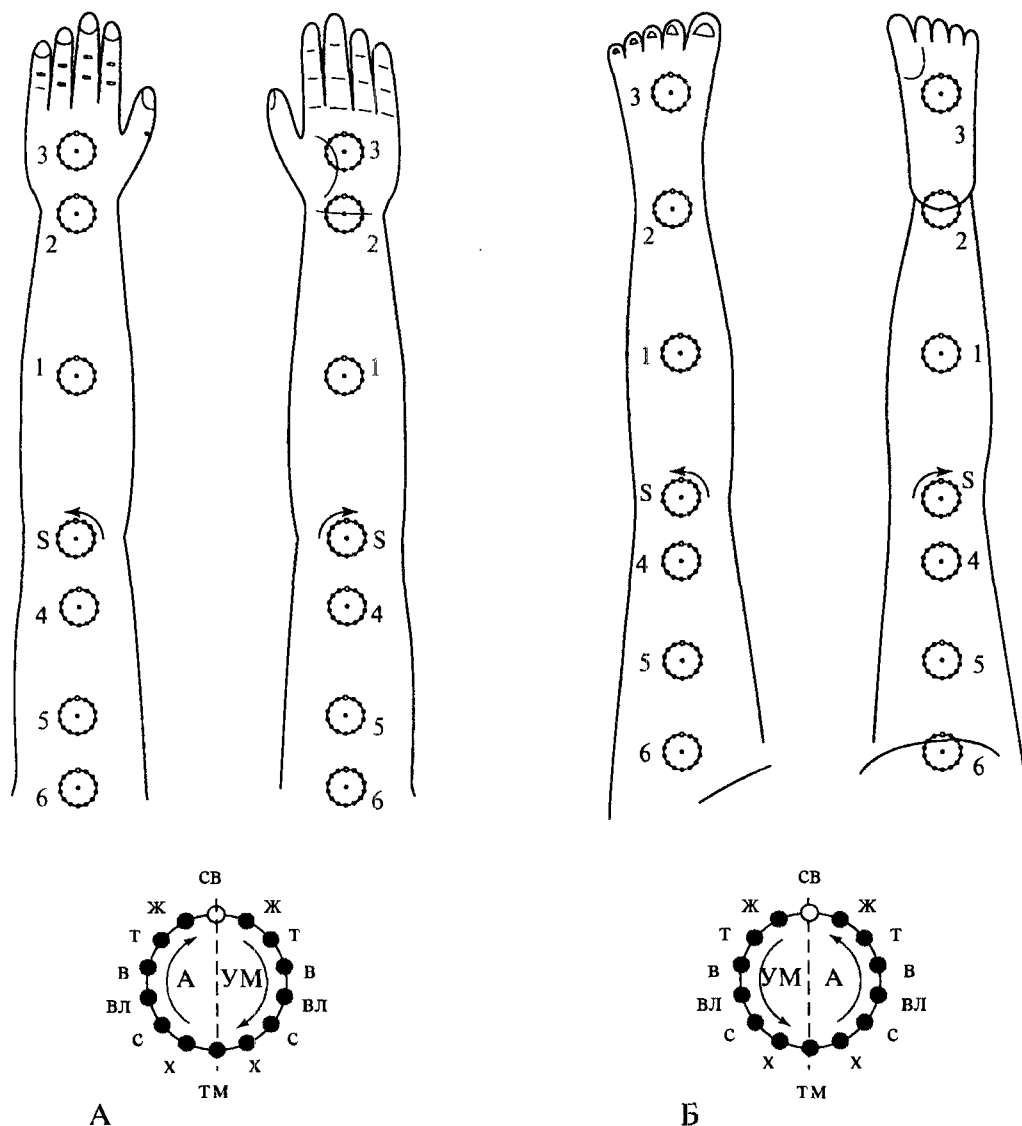


Рис. 337. Точки индивидуальных Восьми Энергий внутренних бель-чакр конечностей.

Точки индивидуальных Восьми Энергий также располагаются на окружности с радиусом 0,5 цуня вокруг центральной точки бель-чакры. Точка света— самая верхняя, точка тьмы— самая нижняя. Используется вертикальный тип деления чакры с последовательной циркуляцией сначала А-энергий, а затем УМ-энергий.

А — расположение точек индивидуальных Восьми Энергий внутренних бель-чакр на Инь-поверхности (Гомо-циркуляция)

Б — расположение точек индивидуальных Восьми Энергий внутренних бель-чакр на Ян-поверхности (Гетеро-циркуляция)

1 — бель-чакра ветра

2 — бель-чакра тепла

3 — бель-чакра жара

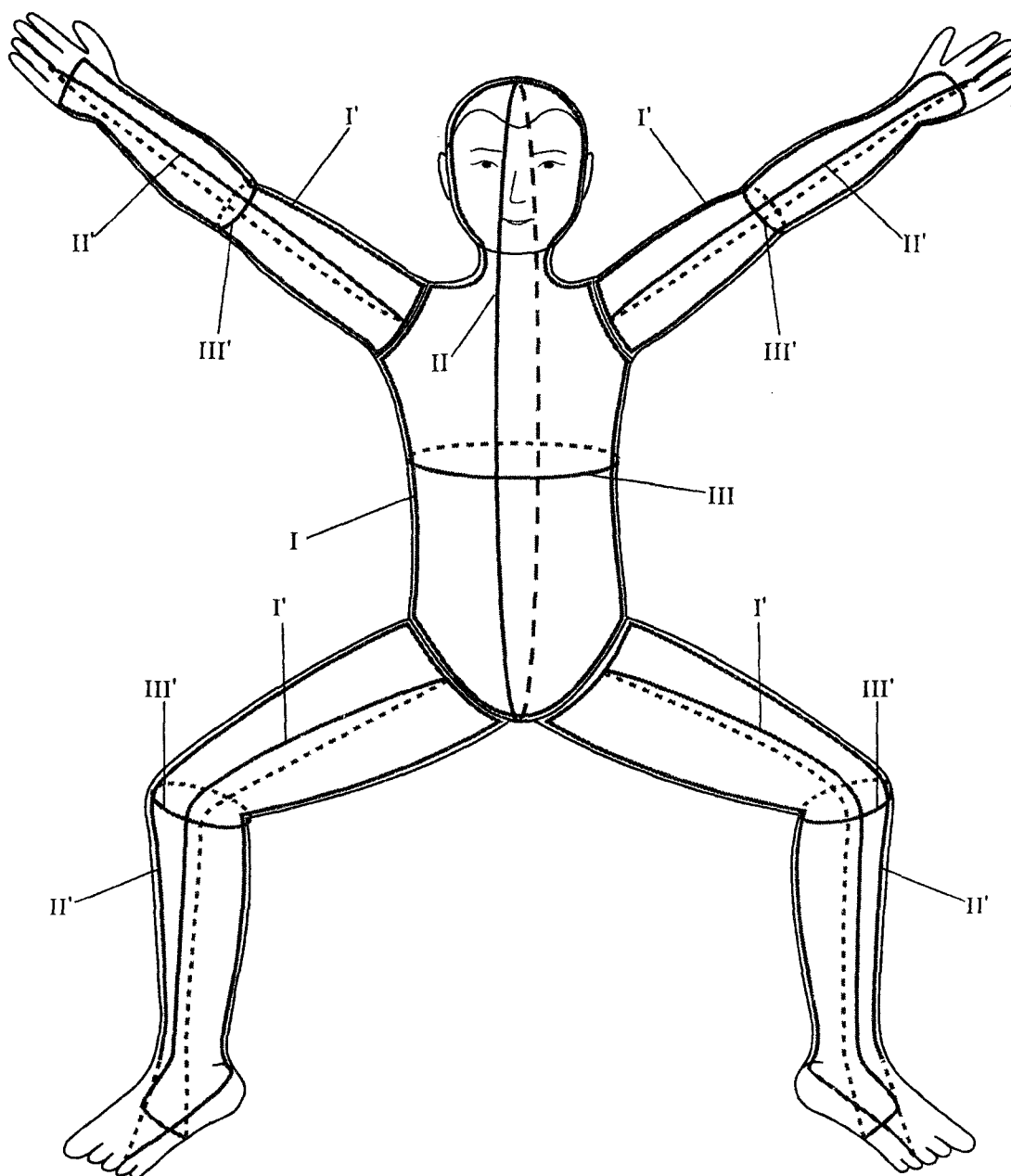
4 — бель-чакра влажности

5 — бель-чакра сухости

6 — бель-чакра холода

S — солнечная бель-чакра

## 4.2. Пограничные бель-меридианы конечностей



**Рис. 338.** Система пограничных меридианов тела и конечностей.

На руках и ногах так же, как и на теле, находятся пограничные бель-меридианы. Необходимо иметь в виду, что на ногах центральный и боковой бель-меридианы имеют два варианта расположения в зависимости от прохождения границы Инь-Ян.

На рисунке представлены пограничные бель-меридианы в системе ноги с границей Инь-Ян, проходящей посередине боковых (наружной и внутренней) поверхностей ног.

*I* — боковой пограничный меридиан тела

*II* — центральный пограничный меридиан тела

*III* — диафрагмальный пограничный меридиан тела

*I'* — боковой пограничный бель-меридиан конечностей

*II'* — центральный пограничный бель-меридиан конечностей

*III'* — диафрагмальный пограничный бель-меридиан конечностей

### Боковой пограничный бель-меридиан конечностей

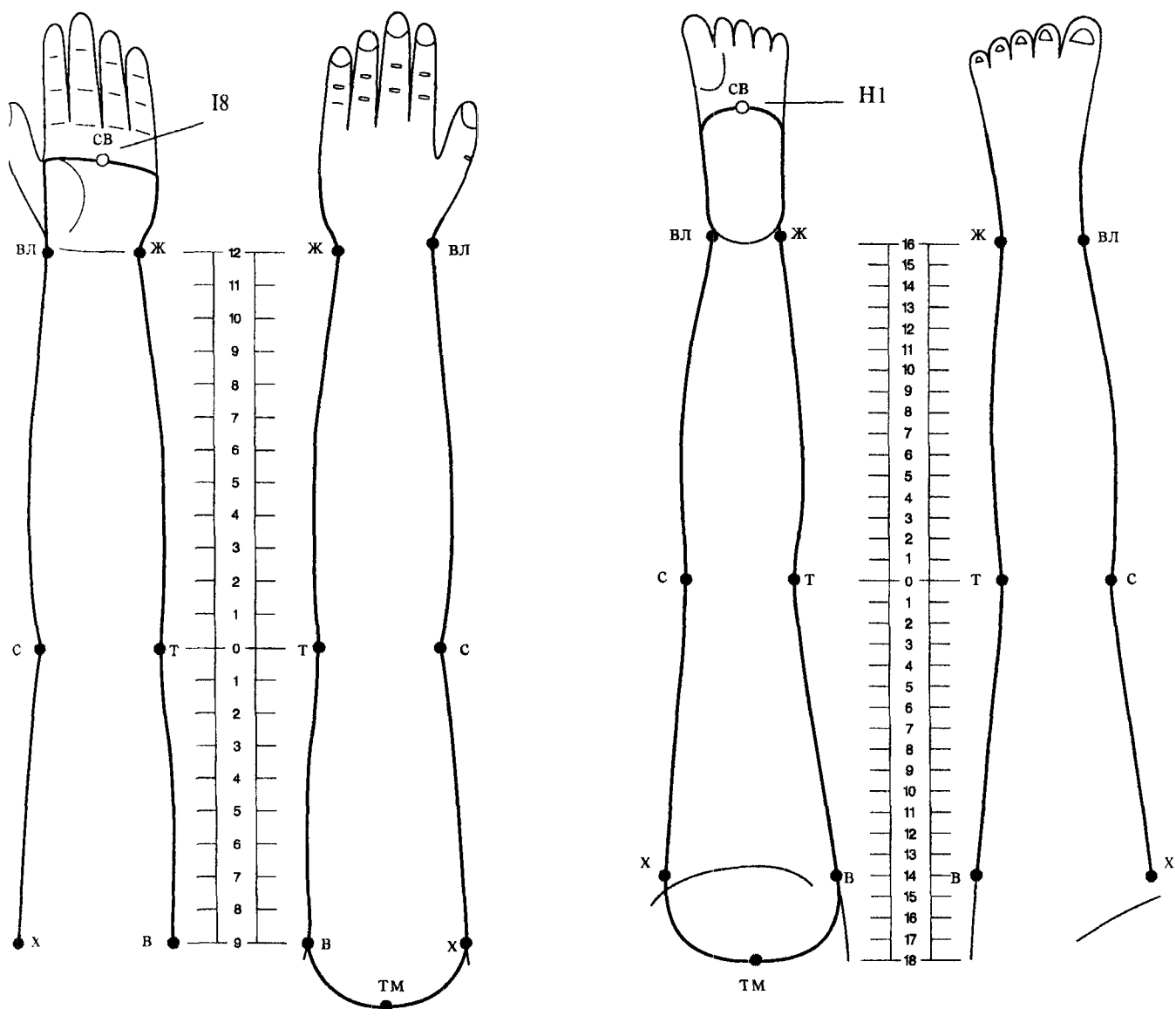


Рис. 339. Точки единых Восьми Энергий боковых пограничных бель-меридианов конечностей при доминировании вертикальной оси.

Боковой пограничный бель-меридиан руки проходит по границе Инь-Ян руки, огибает плечевой сустав, перекрещивая точку В15 цзянь-юй, на кисти проходит через точку 8 лао-гун.

г. тьмы — точка В15 цзянь-юй на плечевом суставе (нижняя внешняя чакра).

гг. ветра и холода располагаются на уровне подмышечных складок.

гг. тепла и сухости располагаются на уровне локтевых суставов.

гг. жара и влажности располагаются на уровне лучезапястного сустава.

г. света — точка 18 лао-гун на ладони (верхняя внешняя чакра).

Боковой пограничный бель-меридиан ноги идет по середине боковых поверхностей ног, проходя через точку G54 чжи-бянь и через точку Н1 юн-цюань на подошве. т. тьмы — точка G54 чжи-бянь на ягодице (нижняя внешняя чакра).

т. света — точка Н1 юн-цюань на подошве (верхняя внешняя чакра).

тг. ветра и холода располагаются на уровне промежности.

тг. тепла и сухости располагаются на уровне коленных суставов (внешние левая и правая чакры).

тг. жара и влажности располагаются в центрах лодыжек (уровень голеностопного сустава).

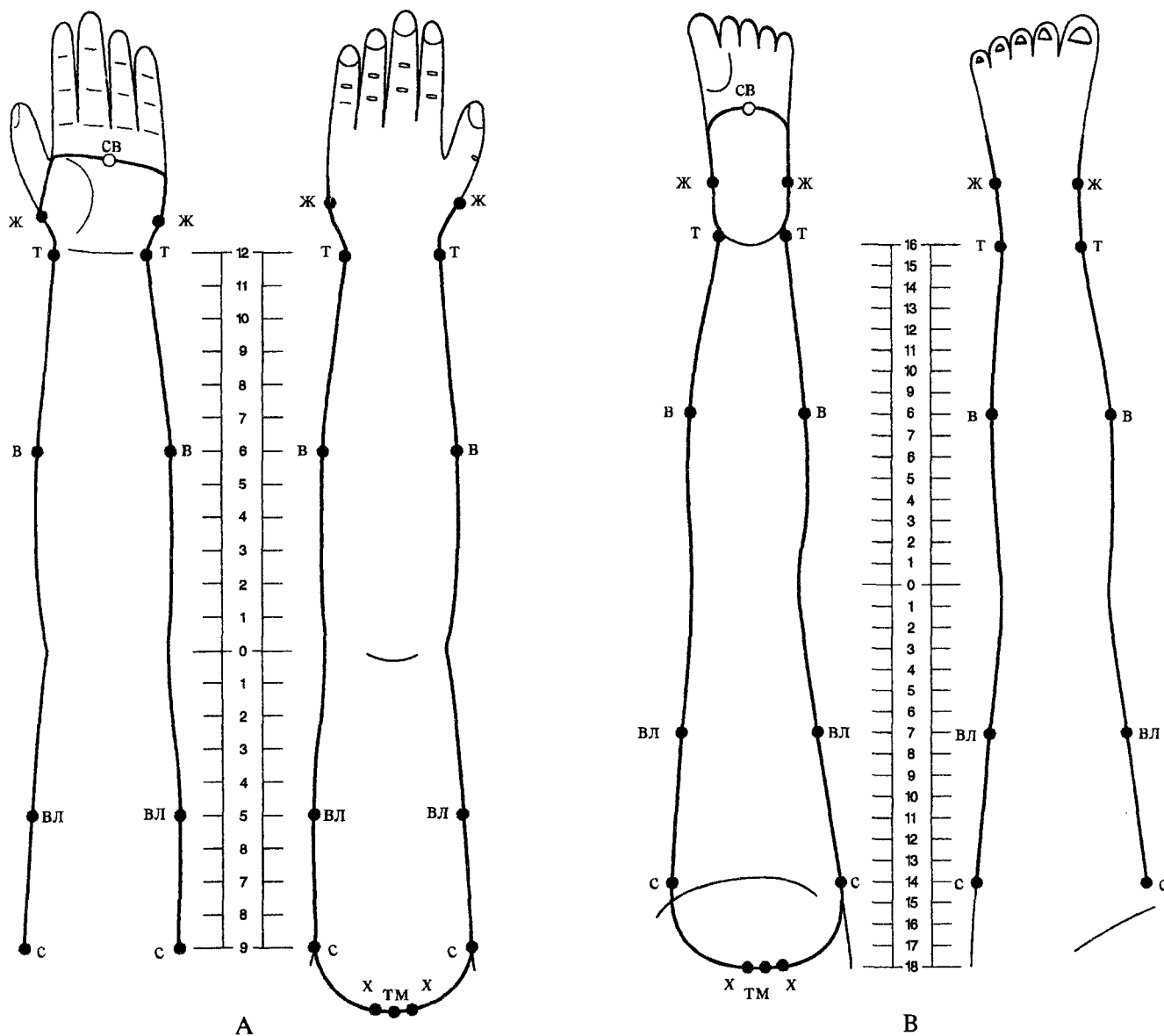


Рис. 340. Точки индивидуальных Восьми Энергий левого и правого боковых пограничных меридианов конечностей.

Точки индивидуальных А-энергий располагаются на левом боковом пограничном бель-меридиане, УМ-энергий — на правом боковом пограничном бель-меридиане.

**Боковые пограничные бель-меридианы рук**

- т. тьмы — точка В15 цзянь-юй на плечевом суставе.
- т. холода — на расстоянии 0,5 цуня от точки тьмы.
- т. сухости — у переднего и заднего концов подмышечной складки.
- т. влажности — проксимальнее локтевого сустава на 5 цуней.
- т. ветра — на середине предплечья.
- т. тепла — на уровне лучезапястного сустава.
- т. жара — на 1/3 ладони дистальнее лучезапястного сустава.
- т. света — точка I8 лао-гун в середине ладони.

**Боковые пограничные бель-меридианы ног**

- т. тьмы — точка G54 чжи-бянь на ягодице.
- т. холода — на расстоянии 0,5 цуня от точки тьмы.
- т. сухости — на уровне промежности.
- т. влажности — на 7 цуней проксимальнее вершины надколенника.
- т. ветра — на 8 цуней дистальнее линии вершины надколенника.
- т. тепла — в центре медиальной и латеральной лодыжек.
- т. жара — под лодыжками на границе подошв.
- т. света — точка H1 юн-цюань на подошве.



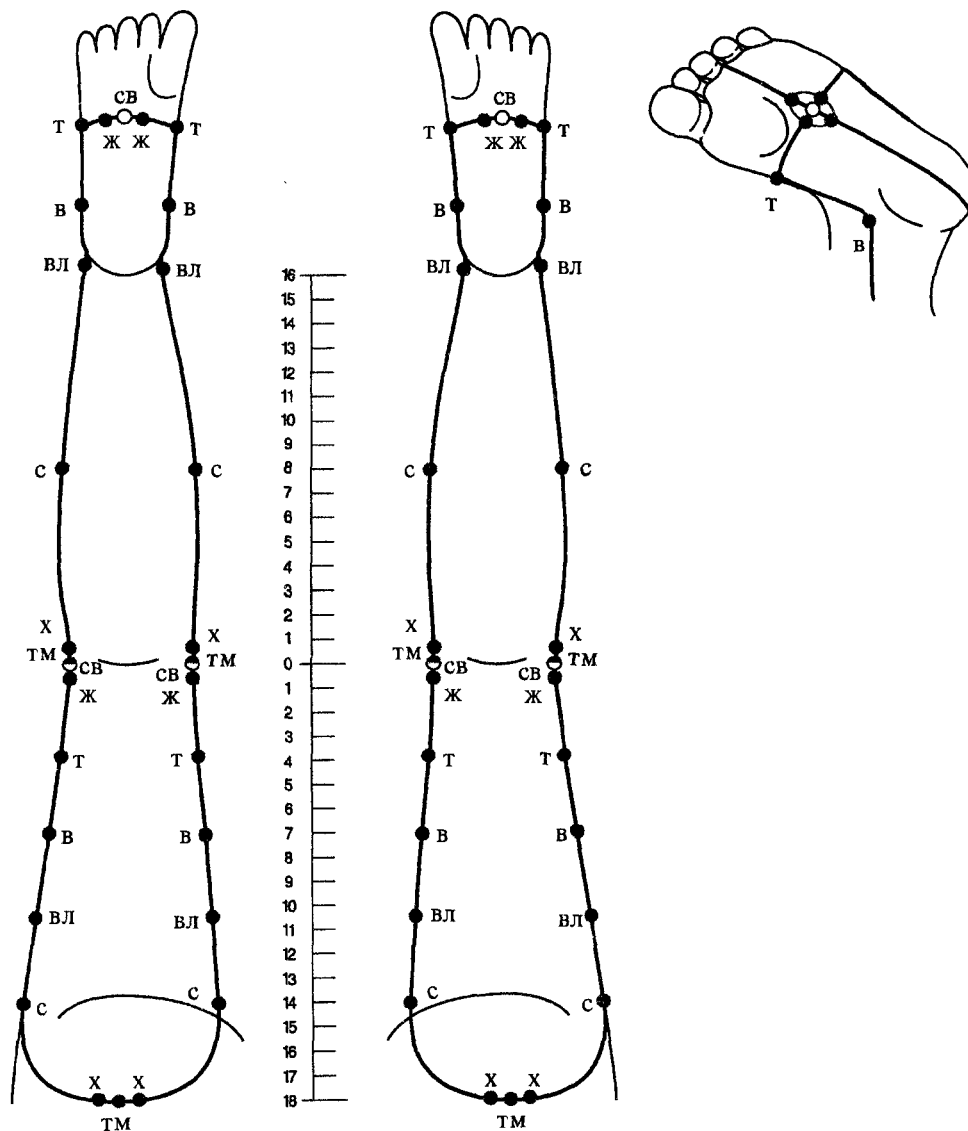


Рис. 342. Точки Восьми Энергий региональных боковых пограничных бель-меридианов ног.

**Нижние боковые (левый и правый) пограничные бель-меридианы ног**

- т. тьмы — точка G54 чжи-бянь.
- тг. холода — на расстоянии 0,5 цуня от точки тьмы.
- тг. сухости — на уровне промежности.
- тг. влажности — на 3,5 цуня дистальнее уровня промежности.
- тг. ветра — на 7 цуней проксимальнее верхушки надколенника.
- тг. тепла — на середине расстояния между точками ветра и жара.
- тг. жара — на 0,5 цуня проксимальнее боковых внешних чакр.
- тг. света — на уровне коленных суставов (боковые внешние чакры).

**Верхние боковые (левый и правый) пограничные бель-меридианы ног**

- тт. тьмы — в области внешних боковых чакр.
- тт. холода — на 0,5 цуня дистальнее точек тьмы.
- тт. сухости — на середине голени.
- тт. влажности — в центре лодыжек.
- тт. ветра — под лодыжками, на границе подошв.
- тт. тепла — на границе подошв, на уровне точки Н1 юн-цюань.
- тт. жара — на 0,5 цуня в стороны от точки Н1 юн-цюань.
- т. света — точка Н1 юн-цюань.

### Центральный пограничный бель-меридиан

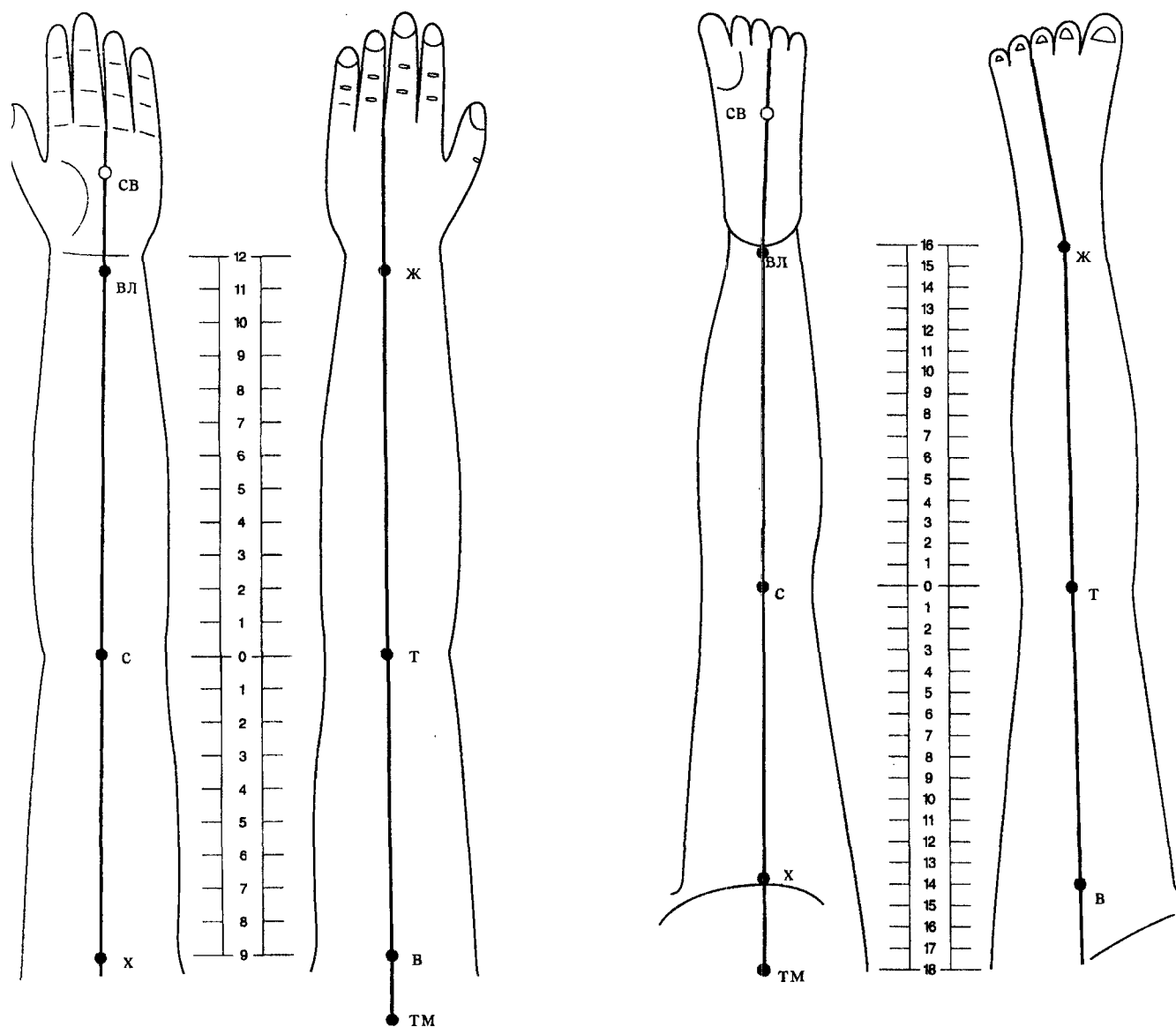


Рис. 343. Точки единых Восьми Энергий центральных пограничных бель-меридианов конечностей.

**Центральный пограничный бель-меридиан руки** проходит между III и IV пальцами кисти и идет посередине Инь- и Ян-поверхностей руки, замыкаясь в точке В15 цзянь-юй.

- г. тьмы — точка В15 цзянь-юй.
- г. ветра — на Ян-поверхности плеча, на уровне подмышечных складок.
- г. тепла — на Ян-поверхности локтевого сустава (в области задней внешней чакры).
- г. жара — на Ян-поверхности, на уровне суставной щели лучезапястного сустава.
- г. света — точка I8 лао-гун.
- г. влажности — точка I7 да-лин на Инь-поверхности лучезапястного сустава.
- г. сухости — точка I3 цюй-цзе в локтевой ямке.
- г. холода — на Инь-поверхности плеча, в середине подмышечной ямки.

**Центральный пограничный бель-меридиан ноги** идет из точки Н1 юн-цюань между III и IV пальцами стопы, проходит посередине передней поверхности ноги, достигая середины паховой складки, по середине задней поверхности ноги, достигая середины подъягодичной складки, и замыкается в области внешней бель-чакры, в точке G54 чжи-бянь на ягодице.

- г. тьмы — точка G54 чжи-бянь.
- г. ветра — на передней поверхности ноги, на уровне промежности.
- г. тепла — под верхушкой надколенника.
- г. жара — на передней поверхности голеностопного сустава.
- г. света — точка Н1 юн-цюань.
- г. влажности — на ахилловом сухожилии, на уровне голеностопного сустава.
- г. сухости — в центре подколенной ямки, в точке G40 вэй-чжун.
- г. холода — в середине подъягодичной складки, в точке G36 чен-фу.



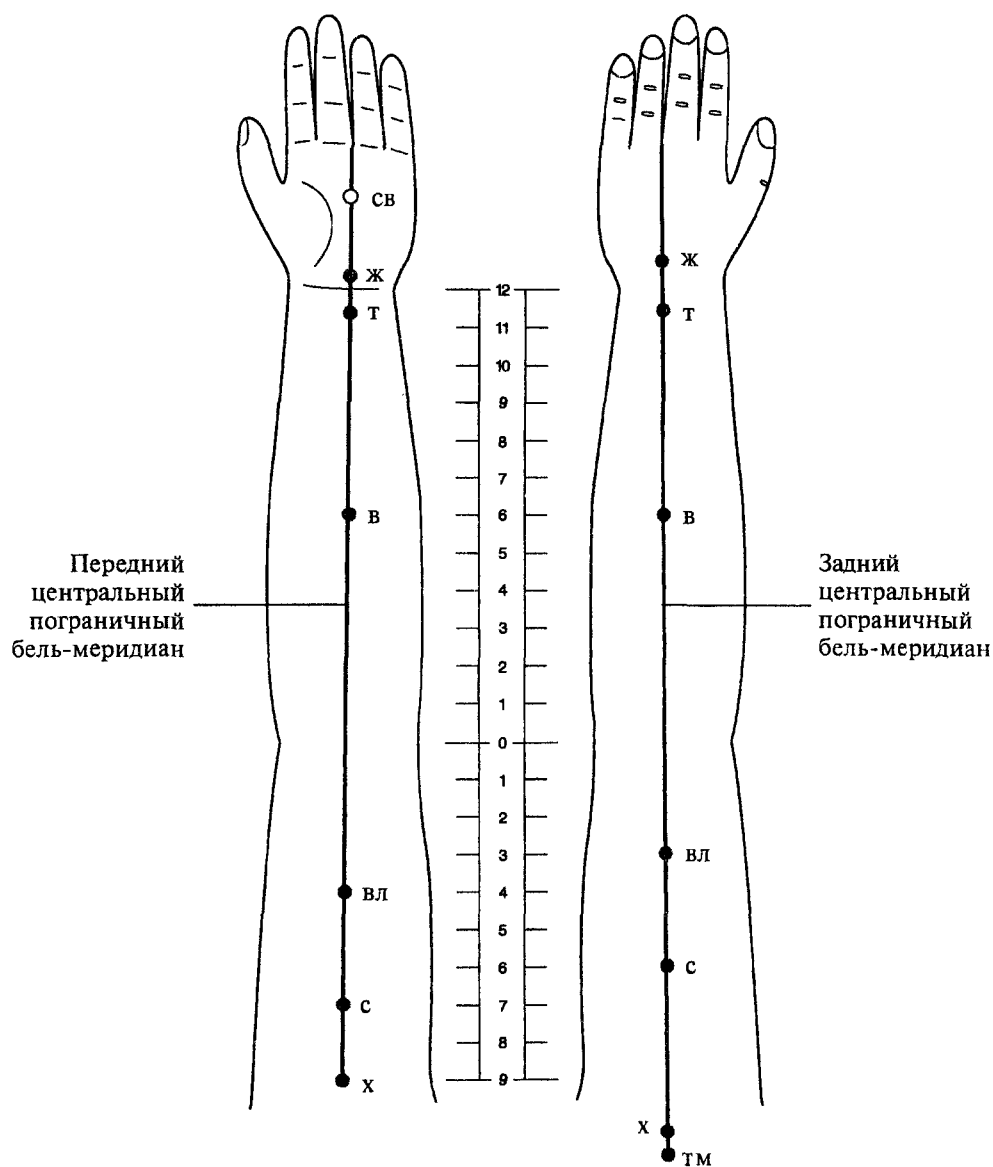


Рис. 344. Точки индивидуальных Восьми Энергий переднего и заднего центральных пограничных бель-меридианов рук.

Точки индивидуальных А-энергий располагаются на заднем центральном пограничном бель-меридиане (Ян-поверхность руки), УМ-энергий — на переднем центральном (Инь-поверхность руки).

т. тьмы — точка В15 цзянь-юй.  
т. света — точка I8 лао-гун.

**Задний центральный пограничный бель-меридиан руки**  
т. холода — на расстоянии 0,5 цуня от точки тьмы.  
т. сухости — на 6 цуней проксимальнее локтевого отростка.  
т. влажности — на 3 цуня проксимальнее локтевого отростка.  
т. ветра — на середине Ян-поверхности предплечья.  
т. тепла — на Ян-поверхности, на уровне суставной щели лучезапястного сустава.  
т. жара — на Ян-поверхности запястно-пястного сустава.

**Передний центральный пограничный бель-меридиан руки**  
т. холода — в середине подмышечной ямки, на Инь-поверхности плеча.  
т. сухости — на 2 цуня дистальнее точки холода.  
т. влажности — на 4 цуня проксимальнее локтевого сгиба.  
т. ветра — на середине Инь-поверхности предплечья.  
т. тепла — точка I7 да-лин.  
т. жара — на ладони, на уровне запястно-пястного сустава.

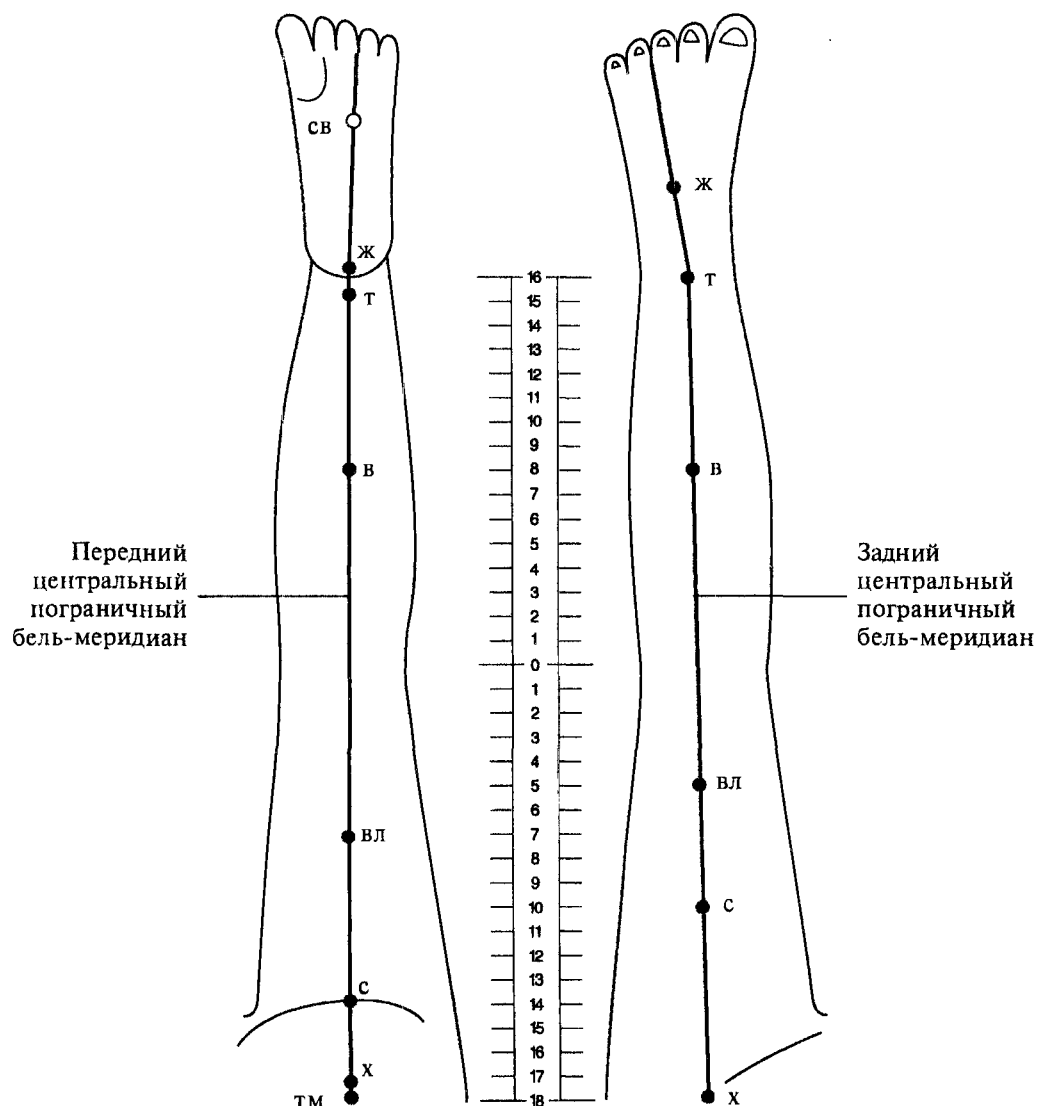


Рис. 345. Точки индивидуальных Восьми Энергий переднего и заднего центральных пограничных бель-меридианов ног.

Точки индивидуальных А-энергий располагаются на заднем центральном пограничном бель-меридиане (Ян-поверхность ноги), УМ-энергий — на переднем центральном (Инь-поверхность ноги).

- тьмы — точка G54 чжи-бянь в области нижней внешней бель-чакры.
- света — точка H1 юн-цюань.

**Задний центральный пограничный бель-меридиан ноги**

- холода — точка D13 фу-шэ на середине паховой складки.
- сухости — на 10 цуней проксимальнее верхушки надколенника.
- влажности — на 5 цуней проксимальнее верхушки надколенника.
- ветра — на середине передней поверхности голени.
- тепла — на передней поверхности голеностопного сустава.
- жара — на линии III предплюсне-плюсневого сустава.

**Передний центральный пограничный бель-меридиан ноги**

- т. холода — на 0,5 цуня от точки тьмы.
- т. сухости — точка G36 чен-фу на середине подъягодичной складки.
- т. влажности — на 7 цуней проксимальнее подколенной ямки.
- т. ветра — на середине голени.
- т. тепла — на ахилловом сухожилии, на уровне голеностопного сустава.
- т. жара — на пятке, на границе подошвы.

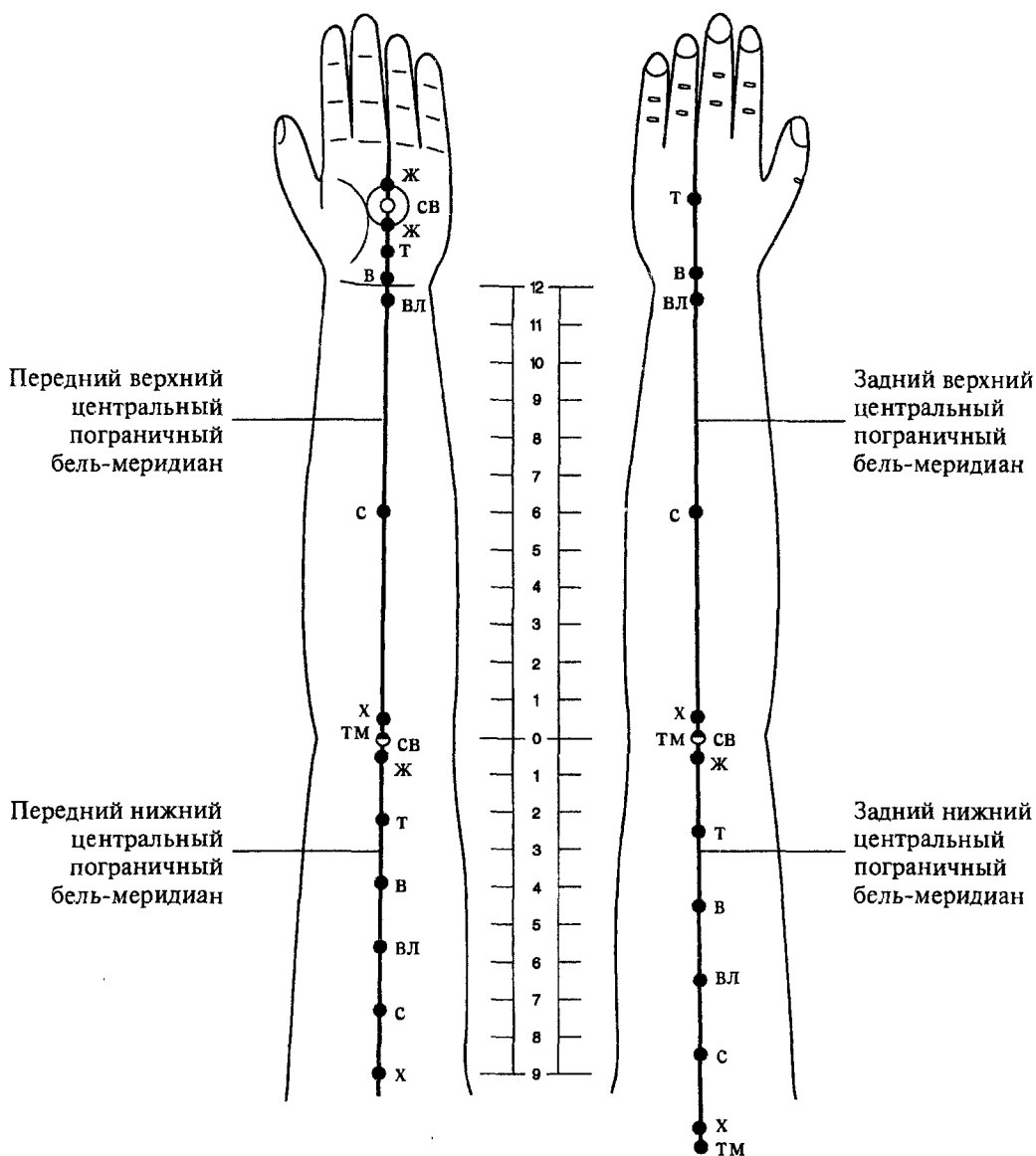


Рис. 346. Точки Восьми Энергий региональных центральных пограничных бель-меридианов рук.

**Задний нижний центральный пограничный бель-меридиан**

г. тьмы — точка В15 цзянь-юй.  
 г. холода — на 0,5 цуня от точки тьмы.  
 г. света — на локтевом отростке, в области задней внешней бель-чакры.  
 г. жара — на 0,5 цуня проксимальнее точки света.  
 гг. сухости, влажности, ветра и тепла располагаются на равном расстоянии между точками холода и жара.

**Передний нижний центральный пограничный бель-меридиан**

г. тьмы — точка В15 цзянь-юй.  
 г. холода — в середине подмышечной ямки.  
 г. света — точка I3 цюй-цзе.  
 г. жара — на 0,5 цуня проксимальнее точки света.

гг. сухости, влажности, ветра и тепла располагаются на равном расстоянии между точками холода и жара.

**Задний верхний центральный пограничный бель-меридиан**

т. тьмы — на локтевом отростке, в области задней внешней чакры.  
 т. холода — на 0,5 цуня дистальнее точки тьмы.  
 т. сухости — на середине Ян-поверхности предплечья.  
 т. влажности — на уровне суставной щели лучезапястного сустава.  
 т. ветра — на уровне III запястно-пястного сустава.  
 т. тепла — на середине между III и IV плюсневыми костями.  
 т. света — точка I8 лао-гун.

т. жара — на 0,5 цуня дистальнее точки I8 лао-гун.

**Передний верхний центральный пограничный бель-меридиан**

т. тьмы — точка I3 цюй-цзе.  
 т. холода — на 0,5 цуня дистальнее точки тьмы.  
 т. сухости — на середине предплечья.  
 т. влажности — точка I7 да-лин.  
 т. ветра — на уровне запястно-пястного сустава.  
 т. света — точка I8 лао-гун.  
 т. жара — на 0,5 цуня проксимальнее точки I8 лао-гун.  
 т. тепла — на середине расстояния между точками ветра и жара.

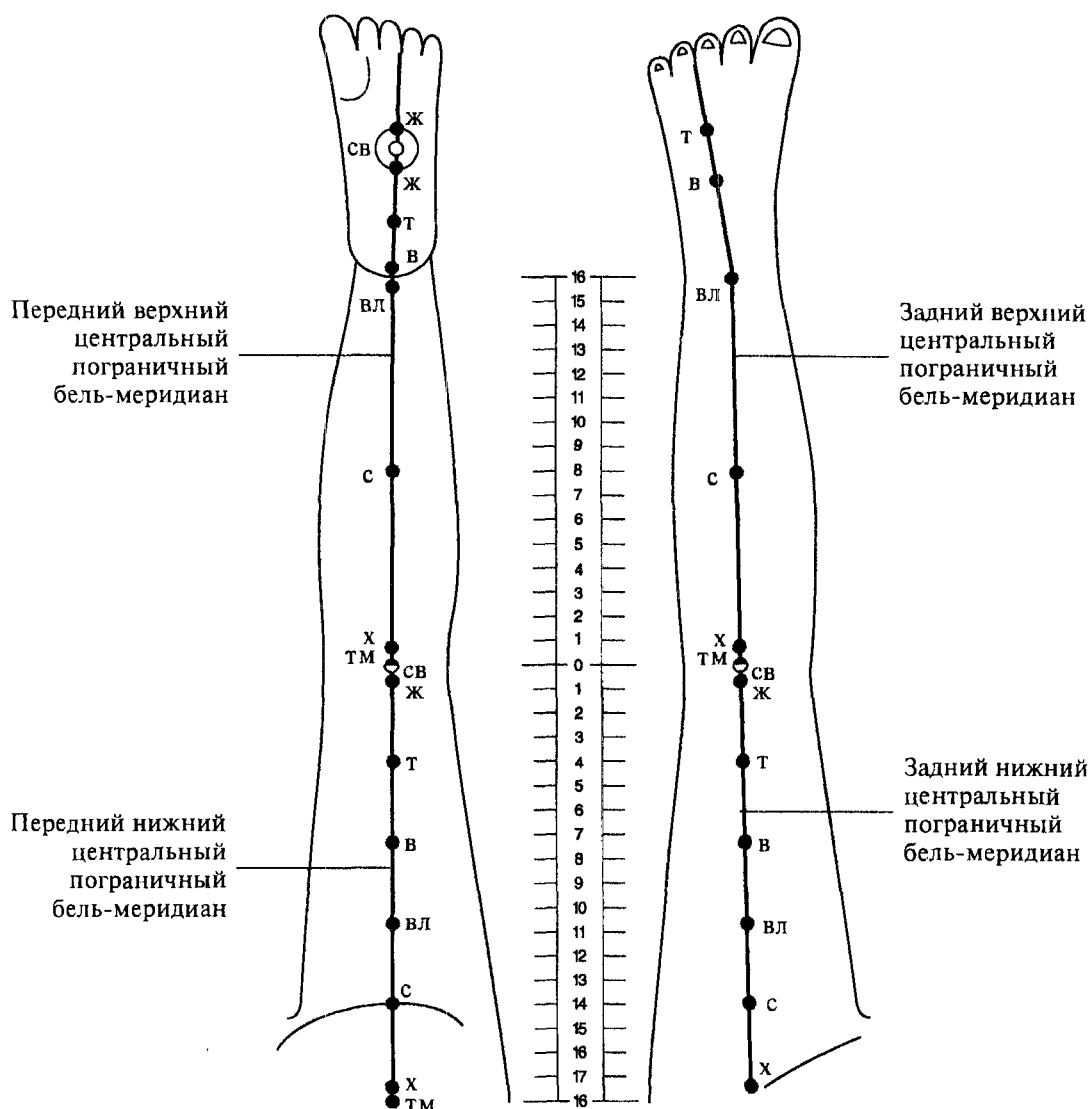


Рис. 347. Точки Восьми Энергий региональных центральных пограничных бель-меридианов ног.

**Задний нижний центральный пограничный бель-меридиан**  
 т. тьмы — точка G54 чжи-бянь.  
 т. холода — точка D13 фу-шэ, на середине паховой складки.  
 т. света — под верхушкой надколенника.  
 т. жара — на 0,5 цуня проксимальнее точки света.  
**т. сухости, влажности, ветра и тепла** располагаются на одинаковом расстоянии между точками холода и жара.  
**Передний нижний центральный пограничный бель-меридиан**  
 т. тьмы — точка G54 чжи-бянь.  
 т. холода — на 0,5 цуня дистальнее точки G54 чжи-бянь.  
 т. сухости — точка G36 чен-фу, в центре подъягодичной складки.

т. света — точка G40 вэй-чжун, в центре подколенной ямки.  
 т. жара — на 0,5 цуня проксимальнее точки G40 вэй-чжун.  
**тг. влажности, ветра и тепла** располагаются на равном расстоянии между точками сухости и жара.  
**Задний верхний центральный пограничный бель-меридиан**  
 т. тьмы — под верхушкой надколенника.  
 т. холода — на 0,5 цуня дистальнее точки тьмы.  
 т. сухости — на середине голени.  
 т. влажности — на передней поверхности голеностопного сустава.  
 т. ветра — на линии III плюснеплюсневого сустава.  
 т. тепла — между III и IV плюсневыми костями, на середине их длины.

т. света — точка H1 юн-цюань.  
 т. жара — на 0,5 цуня дистальнее точки света.  
**Передний верхний центральный пограничный бель-меридиан**  
 т. тьмы — точка G40 вэй-чжун.  
 т. холода — на 0,5 цуня дистальнее точки тьмы.  
 т. сухости — на середине голени.  
 т. влажности — на ахилловом сухожилии, на уровне голеностопного сустава.  
 т. ветра — на пятке, на границе подошвы.  
 т. тепла — на подошве, у переднего конца пятки, на уровне лодыжек.  
 т. жара — на 0,5 цуня проксимальнее точки H1 юн-цюань.  
 т. света — точка H1 юн-цюань.

### 4.3. Сердцевинные бель-меридианы конечностей

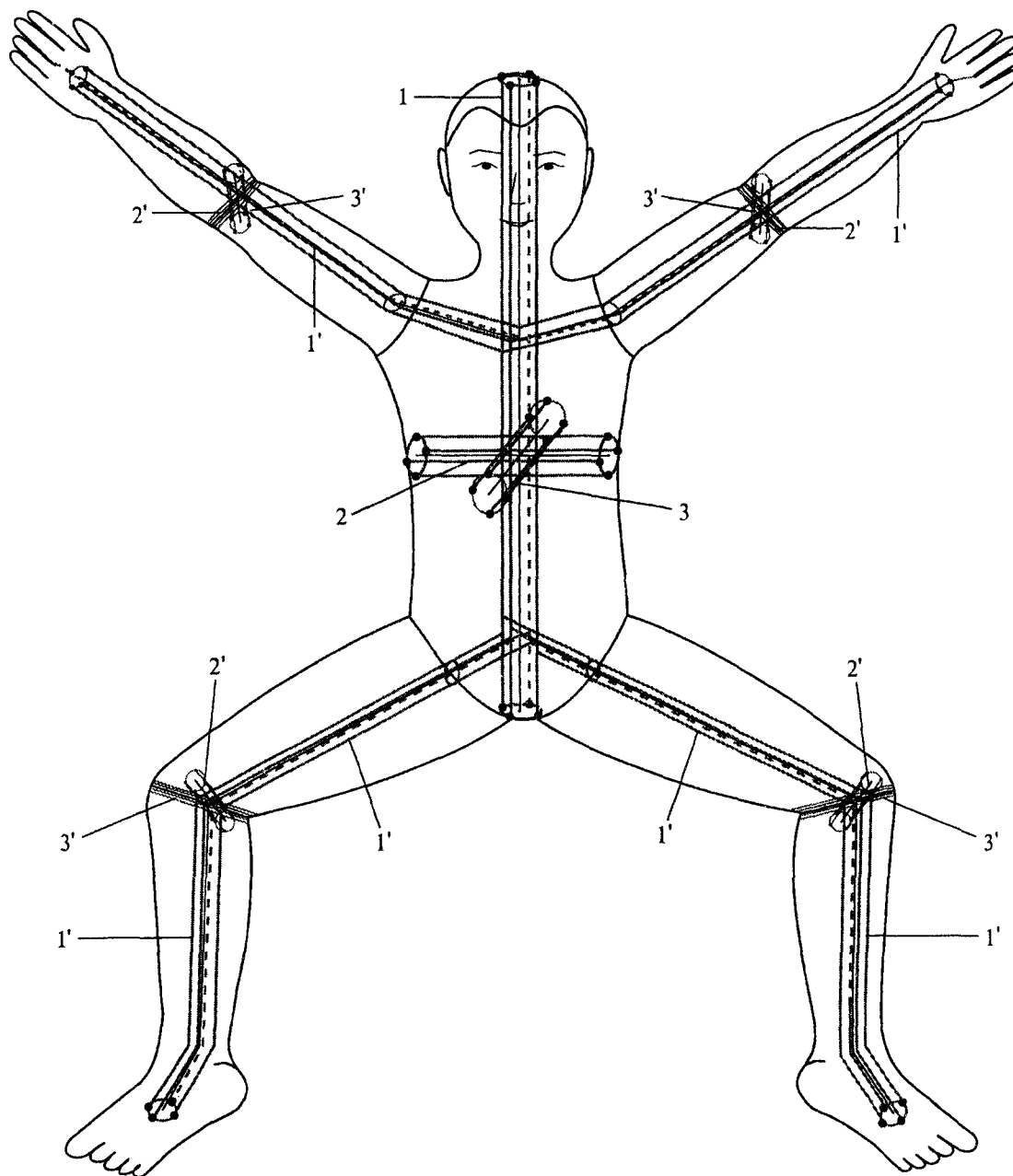


Рис. 348. Система сердцевинных меридианов тела и конечностей.

Сердцевинные меридианы проходят вдоль Гомо-Гетеро осей тела и конечностей. Располагаясь глубоко внутри, они являются источником всех внутренних энергетических потоков тела и конечностей.

- 1 — вертикальный сердцевинный меридиан
- 2 — фронтальный сердцевинный меридиан
- 3 — сагиттальный сердцевинный меридиан
- 1' — вертикальный сердцевинный бель-меридиан
- 2' — фронтальный сердцевинный бель-меридиан
- 3' — сагиттальный сердцевинный бель-меридиан

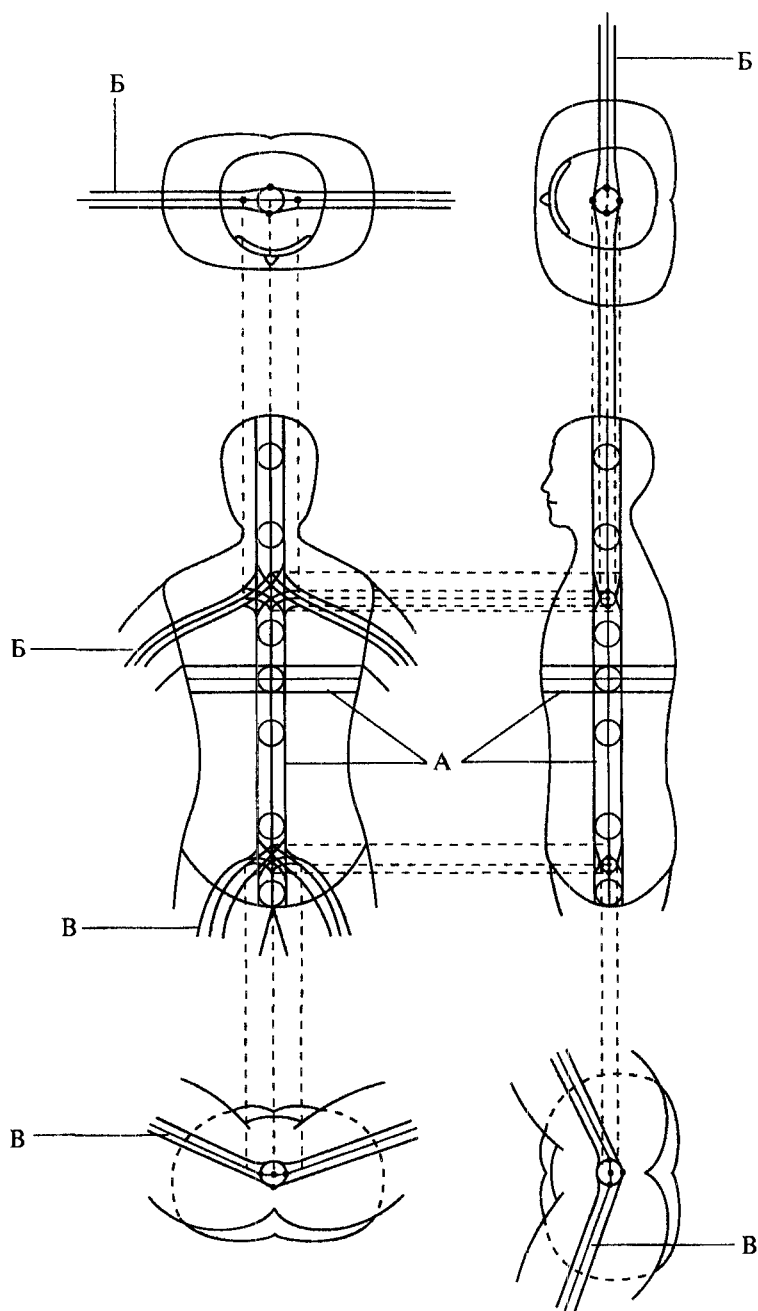


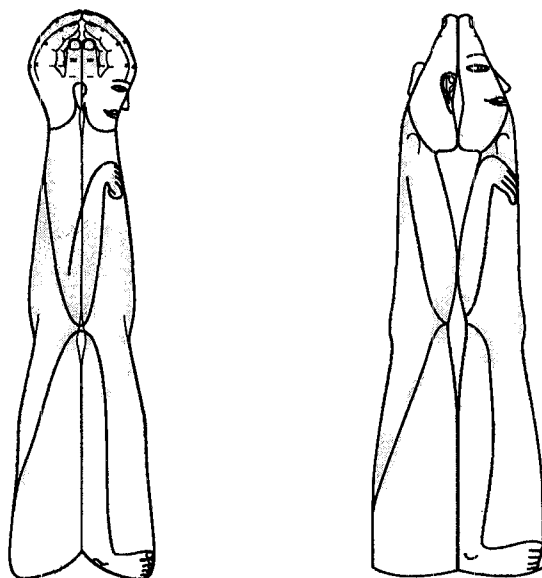
Рис. 349. Связь сердцевинных бель-меридианов конечностей с центральными структурами энергетической системы тела.

На рисунке представлены энергетические пути, связывающие сердцевинные бель-меридианы рук и ног с сердцевинными меридианами тела.

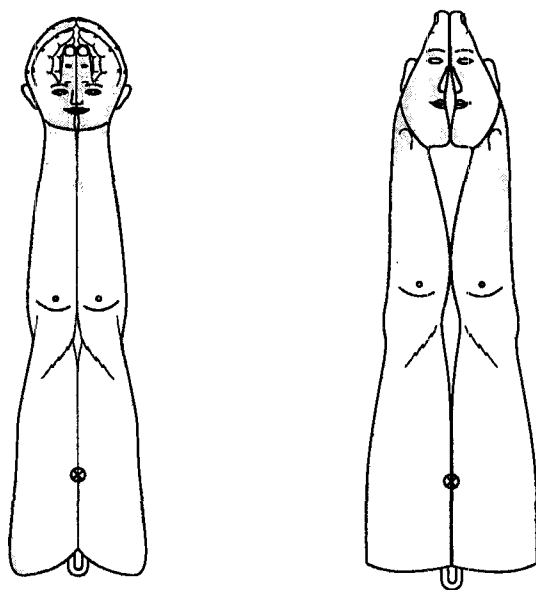
А — сердцевинные меридианы тела

Б — сердцевинные бель-меридианы рук

В — сердцевинные бель-меридианы ног



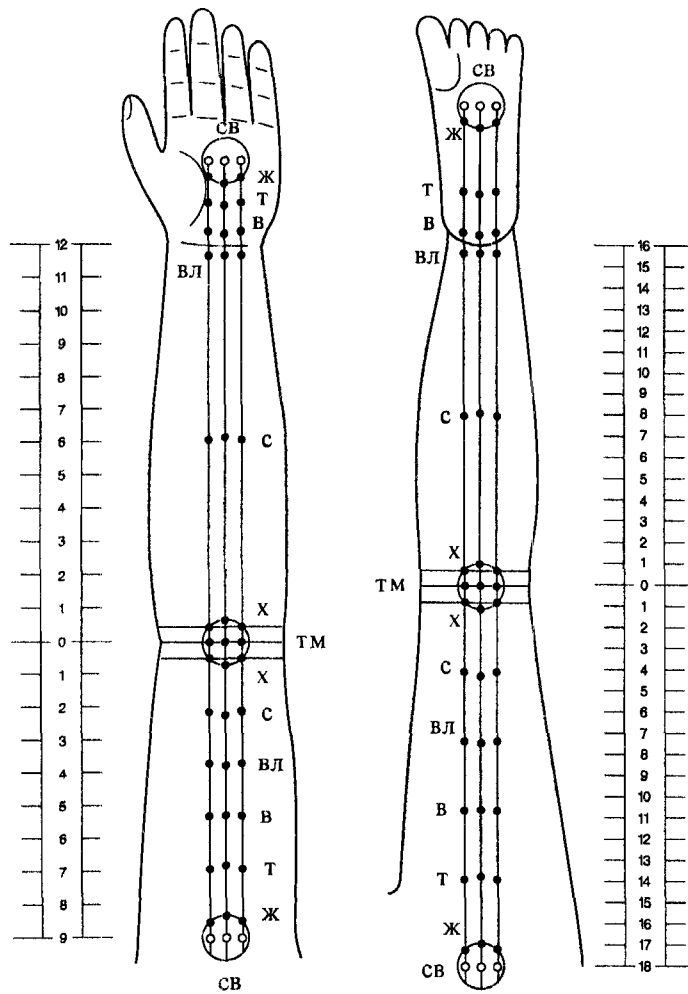
Объединенные закрытые стандартные системы соответствия телу на конечностях



Объединенные закрытые боковые системы соответствия телу на конечностях

Ис. 350. Объединенные закрытые системы соответствия телу на конечностях.

В стандартных системах на одной конечности располагается проекция передней половины тела, а на другой — задней половины. В боковых системах на одной конечности находится соответствие левой половине тела, а на другой — правой. Поэтому в объединенных системах сердцевинные бель-меридианы располагаются поверхностно на Инь-поверхности конечностей: в стандартной системе — вертикальный и фронтальный, а в боковой — вертикальный и сагиттальный сердцевинные бель-меридианы.



ис. 351. Точки Восьми Энергий вертикальных сердцевинных бель-меридианов конечностей.

**Вертикальный сердцевинный Гомо бель-меридиан руки** проходит по Инь-поверхности вдоль вертикальной оси от точки 18 лао-гун до середины подмышечной ямки. Проекция левого и правого вертикальных сердцевинных меридианов идут параллельно на расстоянии 0,5 цуня.

**Точки тьмы** расположены в локтевой ямке.

**Точки света** расположены на ладони, в точке 18 лао-н и в подмышечной ямке.

**Точки жара и холода** находятся на окружности вокруг точек света и тьмы.

**Точки тепла, ветра, влажности и сухости** нижних вертикальных бель-меридианов расположены на равном расстоянии между точками жара и холода.

**Верхние вертикальные сердцевинные бель-меридианы руки**

**Точки сухости** расположены на середине предплечья.

**Точки влажности** расположены на лучезапястном суставе.

**Точки ветра** расположены на запястно-пястном суставе.

**Точки тепла** на середине расстояния между точками жара и ветра.

**Вертикальный сердцевинный Гомо бель-меридиан ноги** проходит посередине задней поверхности ноги вдоль вертикальной оси от точки Н1 юн-цюань до точки G54 чжи-бянь. Проекция левого и правого вертикальных сердцевинных меридианов идут параллельно на расстоянии 0,5 цуня.

**Точки тьмы** расположены в подколенной ямке, на уровне точки G40 вэй-чжун.

**Точки света** расположены на подошве, в точке Н1 юн-цюань и в ягодичной области, в точке G54 чжи-бянь.

**Точки жара и холода** расположены на окружности вокруг точек света и тьмы.

**Точки тепла, ветра, влажности и сухости** нижних вертикальных бель-меридианов расположены на равном расстоянии между точками жара и холода.

**Верхние вертикальные сердцевинные бель-меридианы ноги**

**Точки сухости** находятся на середине голени.

**Точки влажности** располагаются на уровне голеностопных суставов.

**Точки ветра** локализируются на пятке, на границе подошвы.

**Точки тепла** расположены на переднем крае пятки, на уровне лодыжек.



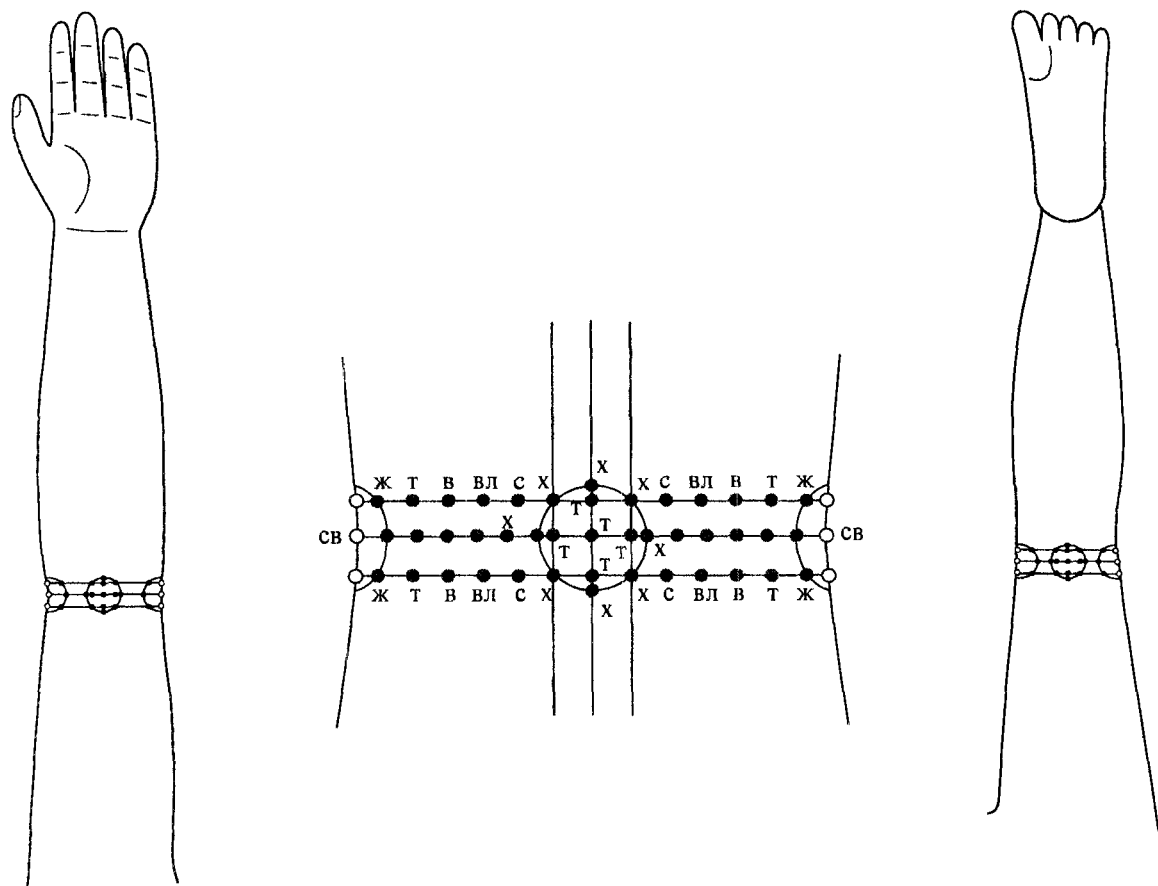


Рис. 352. Точки Восьми Энергий фронтального и сагиттального сердцевиных бель-меридианов конечностей.

Горизонтальный бель-меридиан, изображенный на рисунке, является одновременно фронтальным сердцевиным бель-меридианом в стандартных системах соответствия и сагиттальным — в боковых системах соответствия.

Гомо бель-меридиан проходит в области локтевой ямки на руке, а на ноге — в подколенной ямке.

Верхний и нижний бель-меридианы идут параллельно на расстоянии 0,5 цуня.

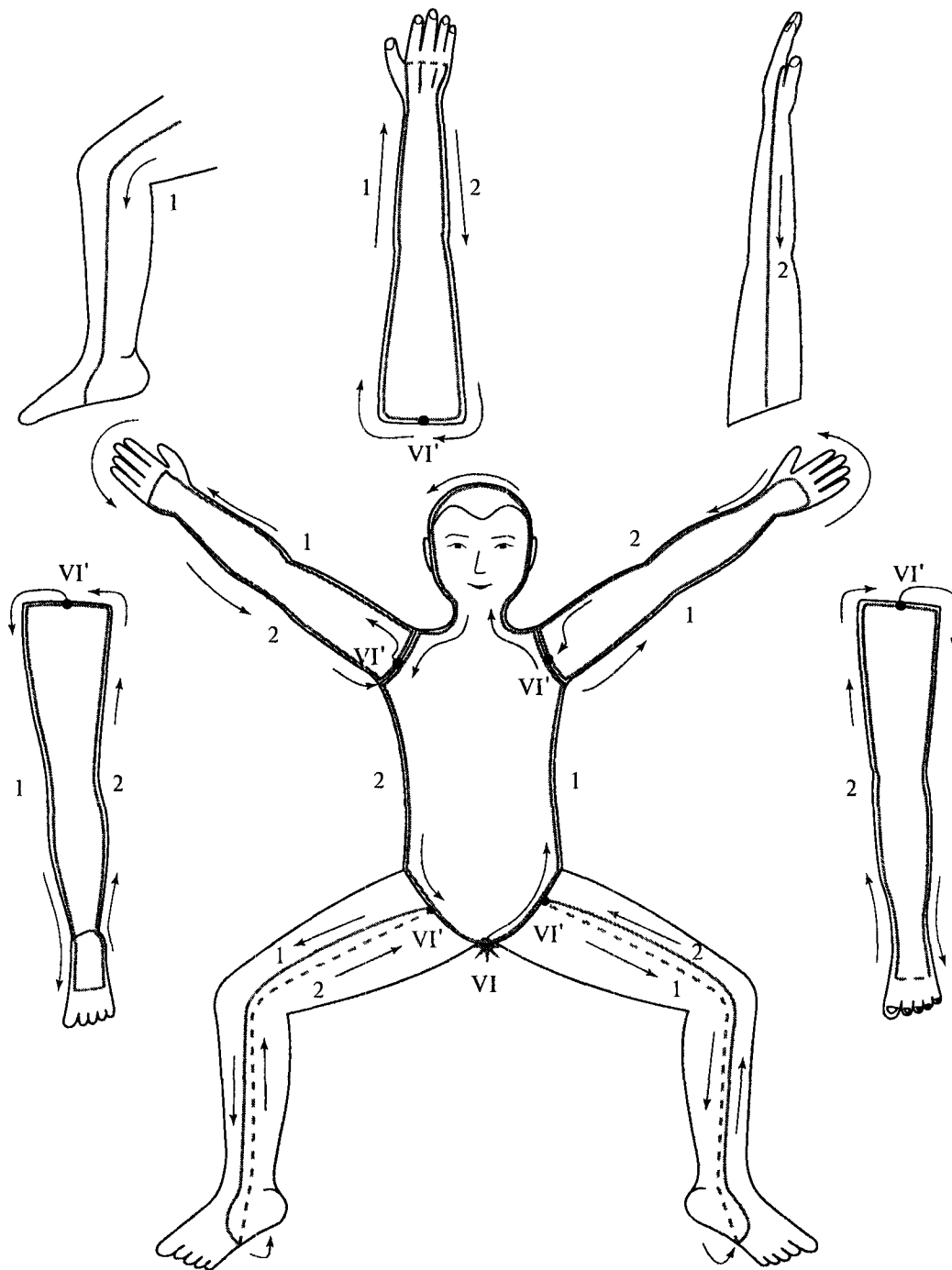
**Точки тьмы** расположены в центре Инь-поверхности сустава (для локтевой ямки это точка I3 цуй-цзе, для подколенной — G40 вэй-чжун).

**Точки света** локализируются в проекции внешних чакр.

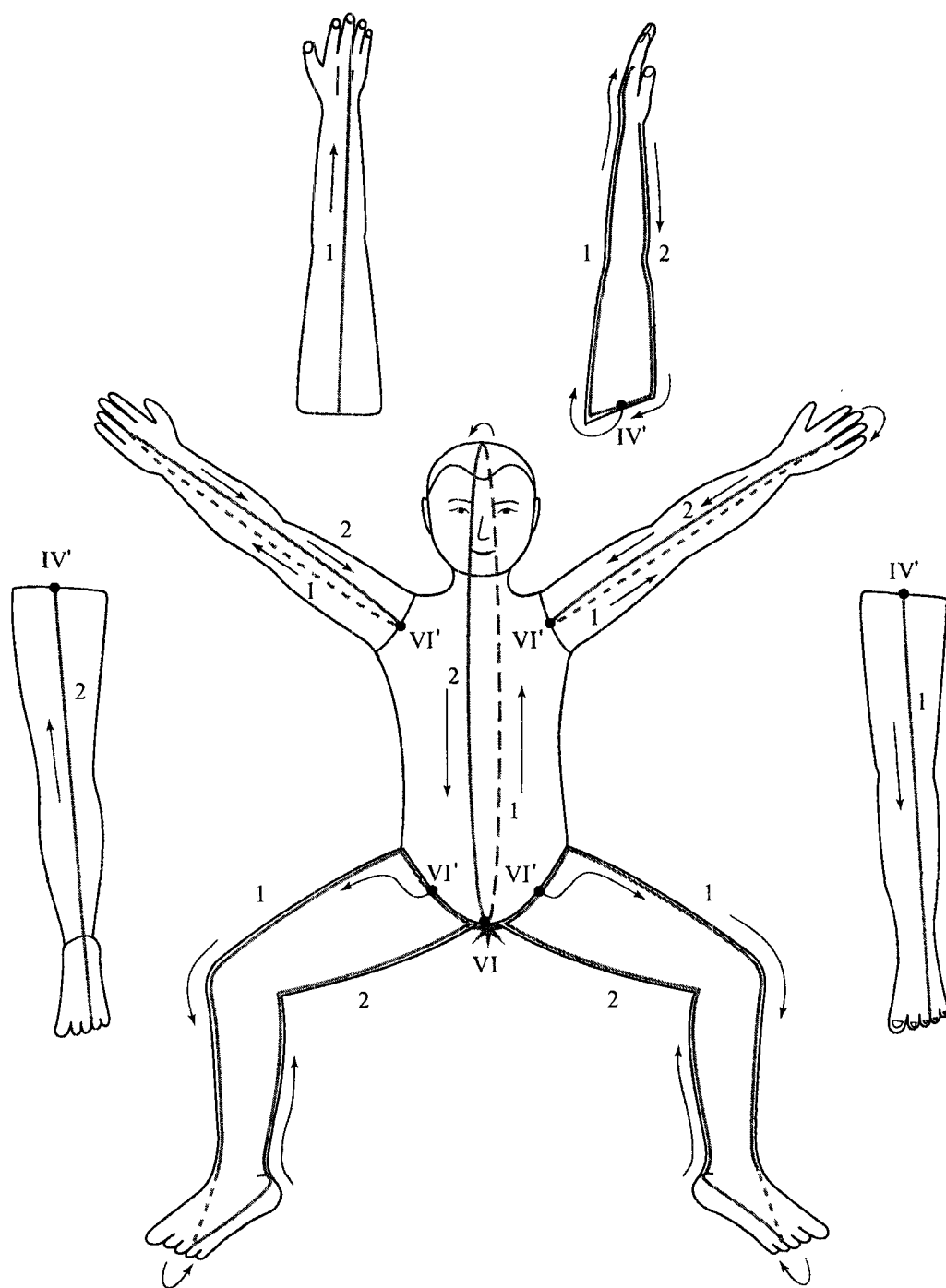
**Точки жара и холода** расположены на окружности вокруг точек света и тьмы.

**Точки остальных энергий** расположены на равном расстоянии друг от друга между точками жара и холода.

#### 4.4. Циркуляция в энергетической системе конечностей



**Рис. 353.** Циркуляция единых энергий в боковых пограничных меридианах туловища и конечностей.  
 При преобладании вертикальной оси тела основными источниками циркуляции единых энергий в боковых пограничных меридианах туловища и конечностей служат нижняя внешняя чакра тела и нижние внешние бэль-чакры конечностей. Единая энергия сначала направляется в Гетеро-половину туловища и конечностей, а затем возвращается по Гомо-половине туловища и конечностей в нижние внешние чакры.  
 1 — циркуляция энергии по Гетеро-половине туловища и конечностей  
 2 — циркуляция энергии по Гомо-половине туловища и конечностей  
 VI — нижняя внешняя чакра тела  
 VI' — нижние внешние бэль-чакры конечностей



ис. 354. Циркуляция единых энергий в центральных пограничных меридианах туловища и конечностей. При преобладании вертикальной оси тела основными источниками циркуляции единых энергий в центральных пограничных меридианах туловища и конечностей служат нижняя внешняя чакра тела и нижние внешние бель-чакры конечностей. Единая энергия сначала направляется в Гетеро-половину туловища и конечностей, затем возвращается по Гомо-половине туловища и конечностей в нижние внешние чакры.

- 1 — циркуляция энергии по Гетеро-половине туловища и конечностей
- 2 — циркуляция энергии по Гомо-половине туловища и конечностей
- VI — нижняя внешняя чакра тела
- VI' — нижние внешние бель-чакры конечностей

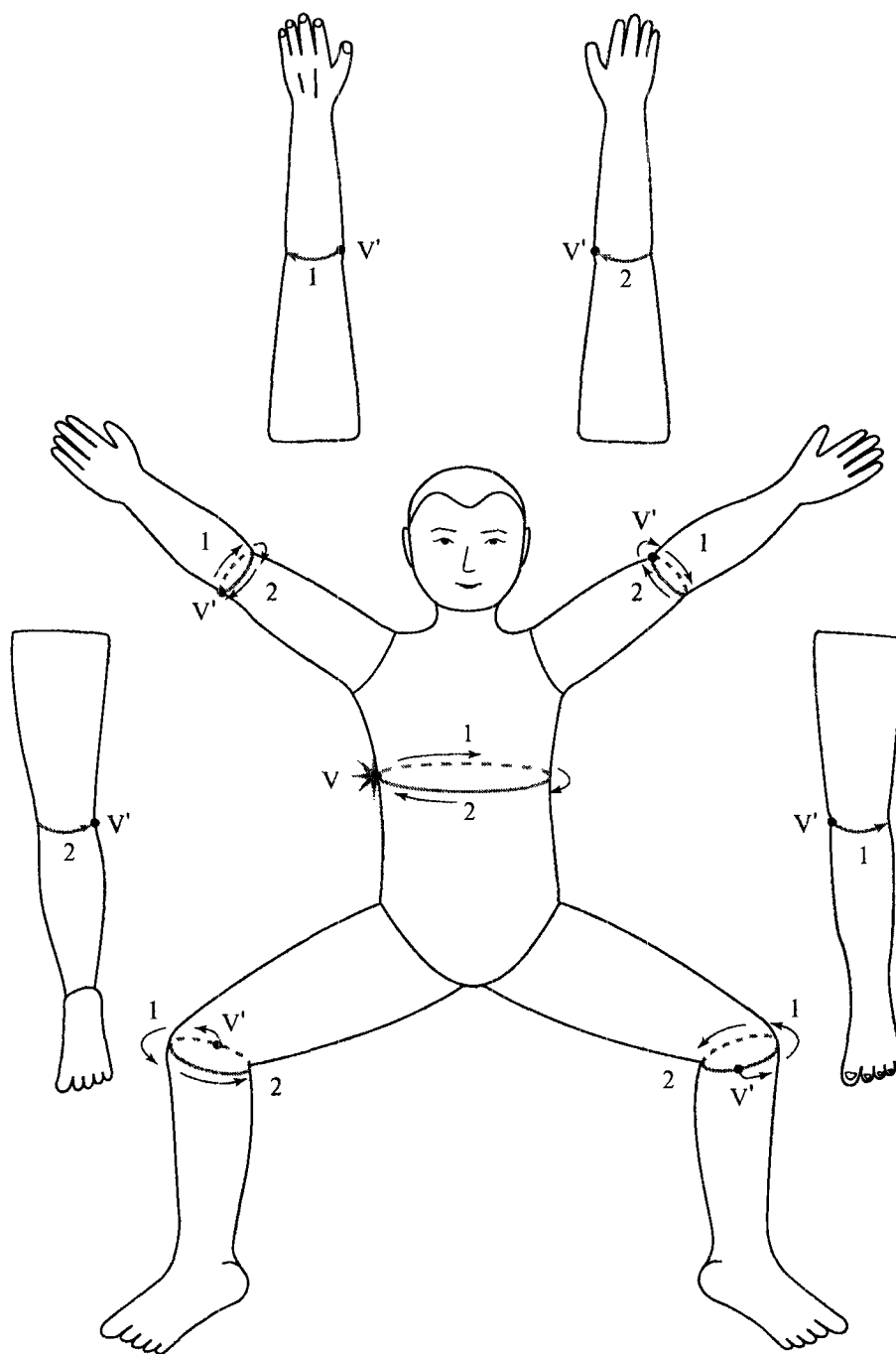
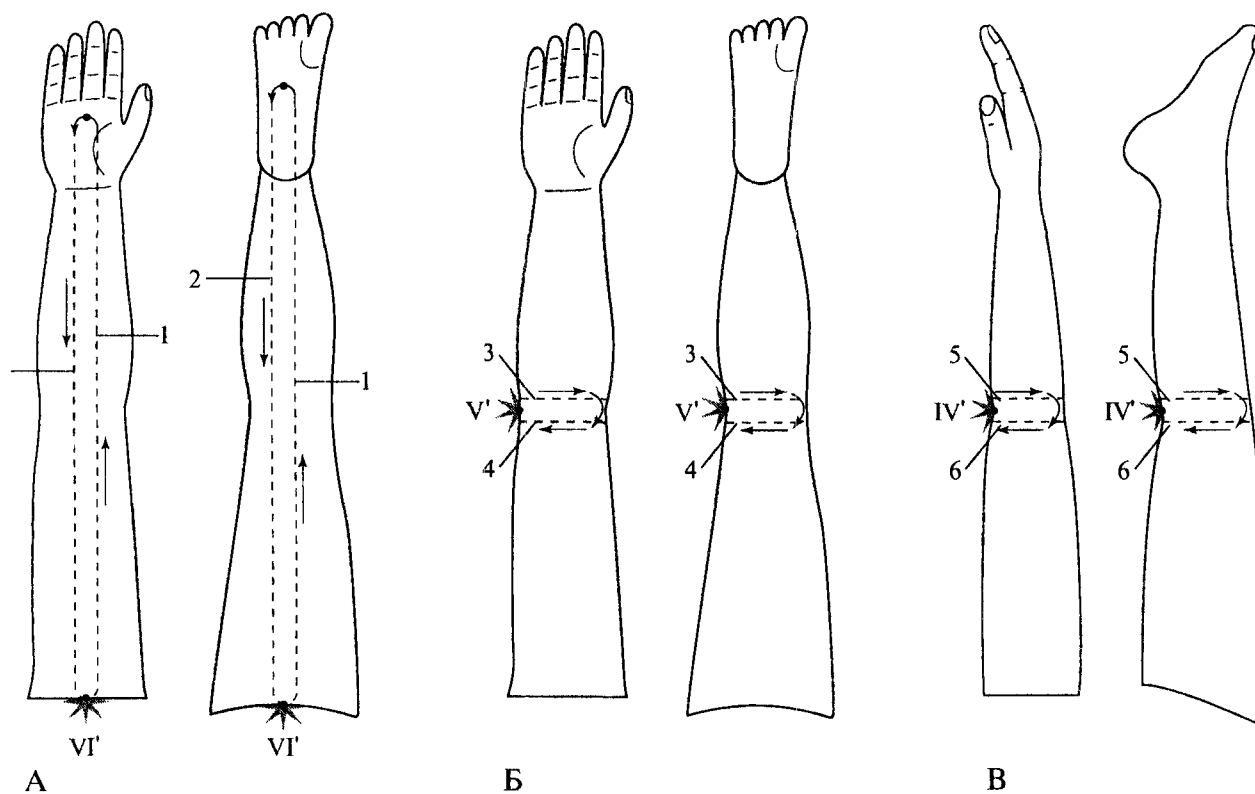


Рис. 355. Направление потоков единых энергий в диафрагмальных пограничных меридианах туловища и конечностей.

При преобладании фронтальной оси тела основными источниками циркуляции единых энергий в диафрагмальных пограничных меридианах туловища и конечностей служат правые внешние чакры туловища и конечностей. Единая энергия сначала движется по Гетеро-стороне туловища и конечностей, а затем следует по их Гомо-стороне, возвращаясь в правые внешние чакры туловища и конечностей.

- 1 — циркуляция энергии по Гетеро-половине туловища и конечностей
- 2 — циркуляция энергии по Гомо-половине туловища и конечностей
- V — правая внешняя чakra тела
- V' — правые внешние бель-чакры конечностей



ис. 356. Циркуляция единых энергий в сердцевинных бель-меридианах конечностей.

Источниками циркуляции единых энергий по сердцевинным меридианам служат нижняя, правая и передняя чакры. Единая энергия сначала следует по сердцевинному меридиану Гетеро-половины тела, затем по сердцевинному меридиану Гомо-половины тела возвращается назад в чакру.

Циркуляция единых энергий в центральном вертикальном, диафрагмальном фронтальном и диафрагмальном сагиттальном сердцевинных бель-меридианах конечностей происходит по такому же принципу.

- 1 — левый вертикальный сердцевинный бель-меридиан
- 2 — правый вертикальный сердцевинный бель-меридиан
- 3 — верхний фронтальный сердцевинный бель-меридиан
- 4 — нижний фронтальный сердцевинный бель-меридиан
- 5 — верхний сагиттальный сердцевинный бель-меридиан
- 6 — нижний сагиттальный сердцевинный бель-меридиан
- IV' — передняя внешняя бель-чакра
- V' — правая внешняя бель-чакра
- VI' — нижняя внешняя бель-чакра
- A — циркуляция в боковом вертикальном сердцевинном бель-меридиане
- Б — циркуляция в боковом фронтальном сердцевинном бель-меридиане
- В — циркуляция в боковом сагиттальном сердцевинном бель-меридиане

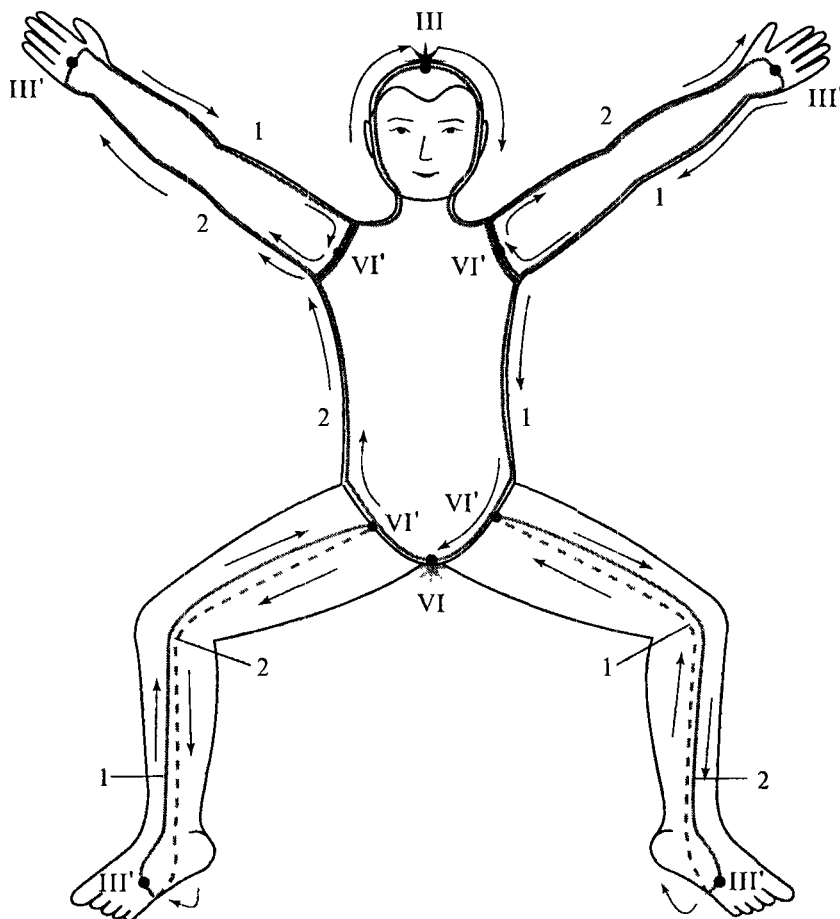


рис. 357. Направление потоков индивидуальных энергий в боковых пограничных меридианах туловища и конечностей.

При преобладании вертикальной оси тела А-энергия из верхней внешней чакры тела и верхних внешних бель-чакр конечностей направляется в боковые пограничные меридианы Гетеро-половин туловища и конечностей. УМ-энергия из нижней внешней чакры и нижних внешних бель-чакр конечностей следует в боковые пограничные меридианы Гомо-половин туловища и конечностей.

1 — циркуляция А-энергии по Гетеро-половине туловища и конечностей

2 — циркуляция УМ-энергии по Гомо-половине туловища и конечностей

III — верхняя внешняя чакра тела

VI — нижняя внешняя чакра тела

III' — верхние внешние бель-чакры конечностей

VI' — нижние внешние бель-чакры конечностей

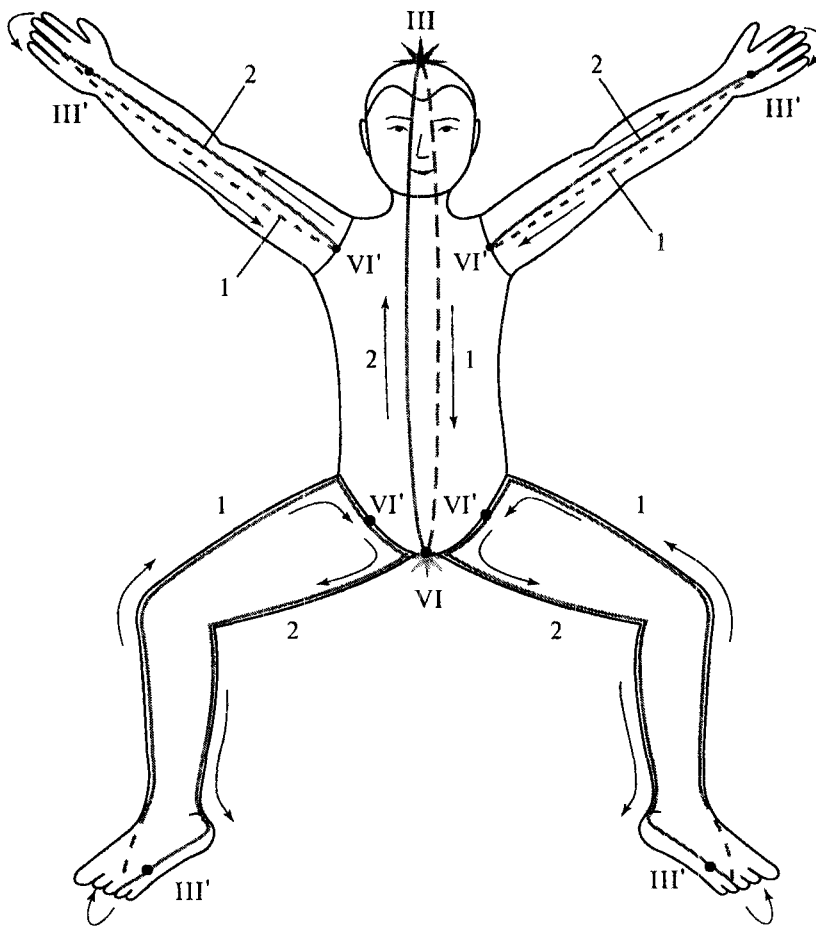
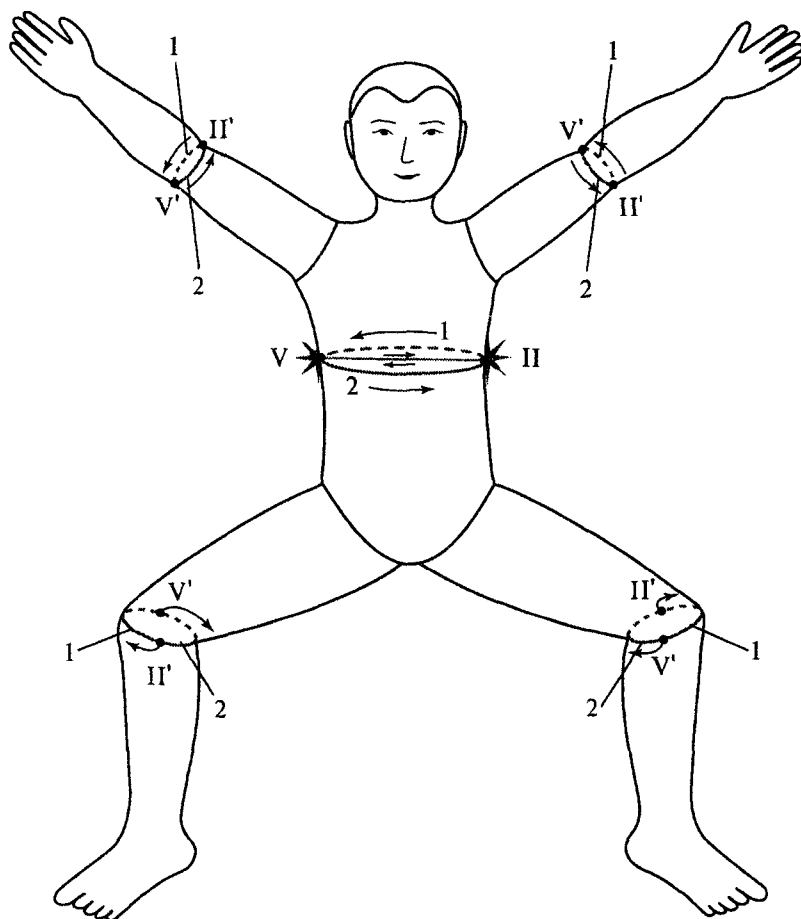


рис. 358. Направление потоков индивидуальных энергий в центральных пограничных меридианах туловища и конечностей.

При преобладании вертикальной оси тела А-энергия из верхней внешней чакры тела и верхних внешних бель-чакр конечностей идет по центральным пограничным меридианам Гетеро-поверхностей туловища и конечностей. УМ-энергия из нижней внешней чакры тела и нижних внешних бель-чакр конечностей движется по центральным пограничным меридианам Гомо-поверхностей туловища и конечностей.

- 1 — циркуляция А-энергии по Гетеро-поверхностям туловища и конечностей
- 2 — циркуляция УМ-энергии по Гомо-поверхностям туловища и конечностей
- III — верхняя внешняя чакра тела
- VI — нижняя внешняя чакра тела
- III' — верхние внешние бель-чакры конечностей
- VI' — нижние внешние бель-чакры конечностей



ис. 359. Направление потоков индивидуальных энергий в диафрагмальных пограничных меридианах туловища и конечностей.

При преобладании фронтальной оси тела А-энергия из внешней Гетеро-чакры идет по диафрагмальным пограничным меридианам Ян-поверхности туловища и конечностей, УМ-энергия из внешней Гомо-чакры движется по диафрагмальным пограничным меридианам Инь-поверхности туловища и конечностей.

1 — циркуляция А-энергии по Ян-поверхности туловища и конечностей

2 — циркуляция УМ-энергии по Инь-поверхности туловища и конечностей

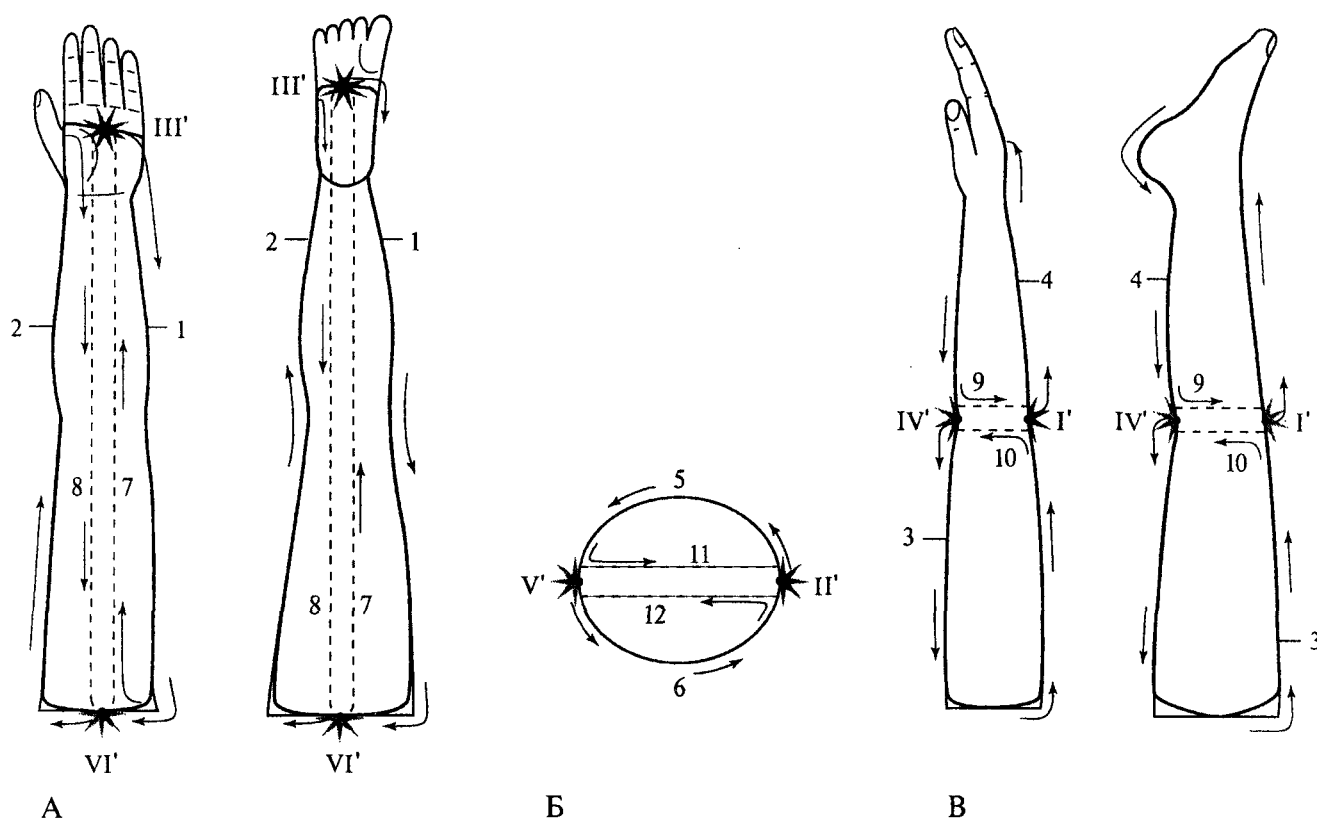
II — левая внешняя чакра тела

V — правая внешняя чакра тела

II' — левая внешняя бель-чакра конечностей

V' — правая внешняя бель-чакра конечностей





**Рис. 360.** Циркуляция индивидуальных энергий в контролирующих бель-меридианах конечностей.

*А* — циркуляция индивидуальных энергий в боковом пограничном и вертикальном сердцевином бель-меридианах конечностей

*Б* — циркуляция индивидуальных энергий в диафрагмальном пограничном и фронтальном сердцевином бель-меридианах конечностей

*В* — циркуляция индивидуальных энергий в центральном пограничном и сагиттальном сердцевином бель-меридианах конечностей

*I'* — задняя внешняя бель-чакра

*II'* — левая внешняя бель-чакра

*III'* — верхняя внешняя бель-чакра

*IV'* — передняя внешняя бель-чакра

*V'* — правая внешняя бель-чакра

*VI'* — нижняя внешняя бель-чакра

*1* — левый боковой пограничный бель-меридиан

*2* — правый боковой пограничный бель-меридиан

*3* — нижний центральный пограничный бель-меридиан

*4* — верхний центральный пограничный бель-меридиан

*5* — задний диафрагмальный пограничный бель-меридиан

*6* — передний диафрагмальный пограничный бель-меридиан

*7* — левый вертикальный сердцевиный бель-меридиан

*8* — правый вертикальный сердцевиный бель-меридиан

*9* — верхний сагиттальный сердцевиный бель-меридиан

*10* — нижний сагиттальный сердцевиный бель-меридиан

*11* — задний фронтальный сердцевиный бель-меридиан

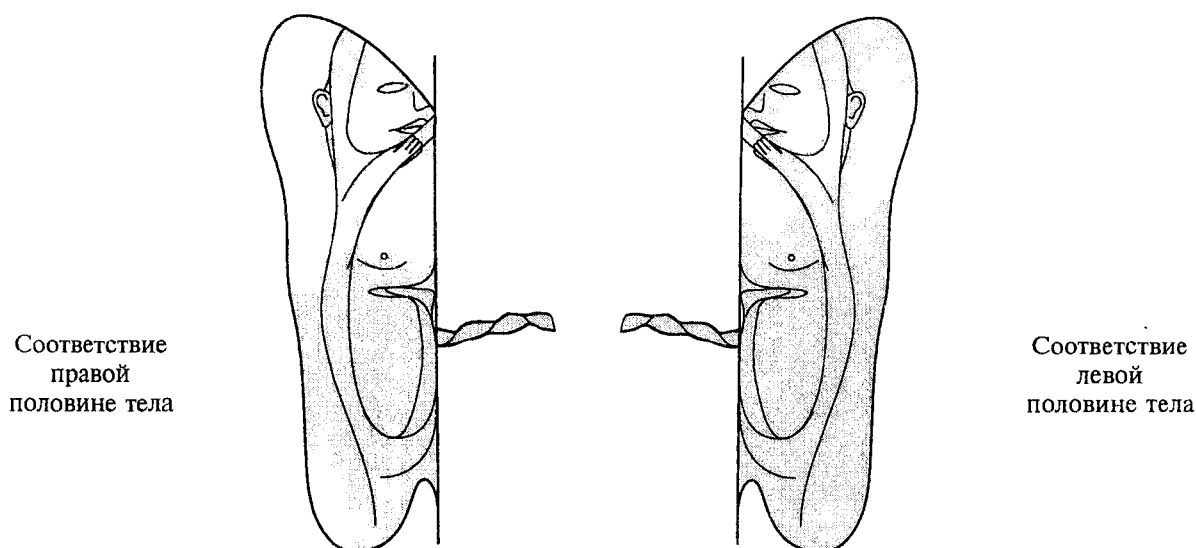
*12* — передний фронтальный сердцевиный бель-меридиан

## Глава 5. Энергетическая система ушных раковин

### 5.1. Первый тип энергетической системы ушных раковин

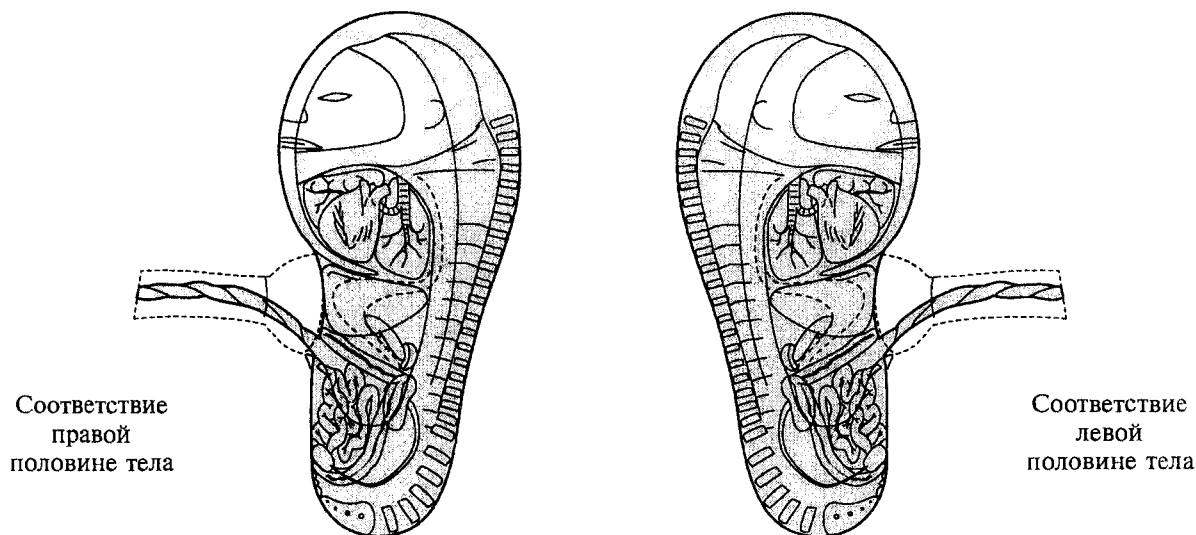
Существуют два типа систем соответствия ушных раковин: первый тип, в котором проекция тела располагается головой вверх, и второй тип, когда проекция тела расположена головой вниз.

В объединенных системах соответствия энергетическая система представлена наиболее гально.



Левая ушная раковина

Правая ушная раковина



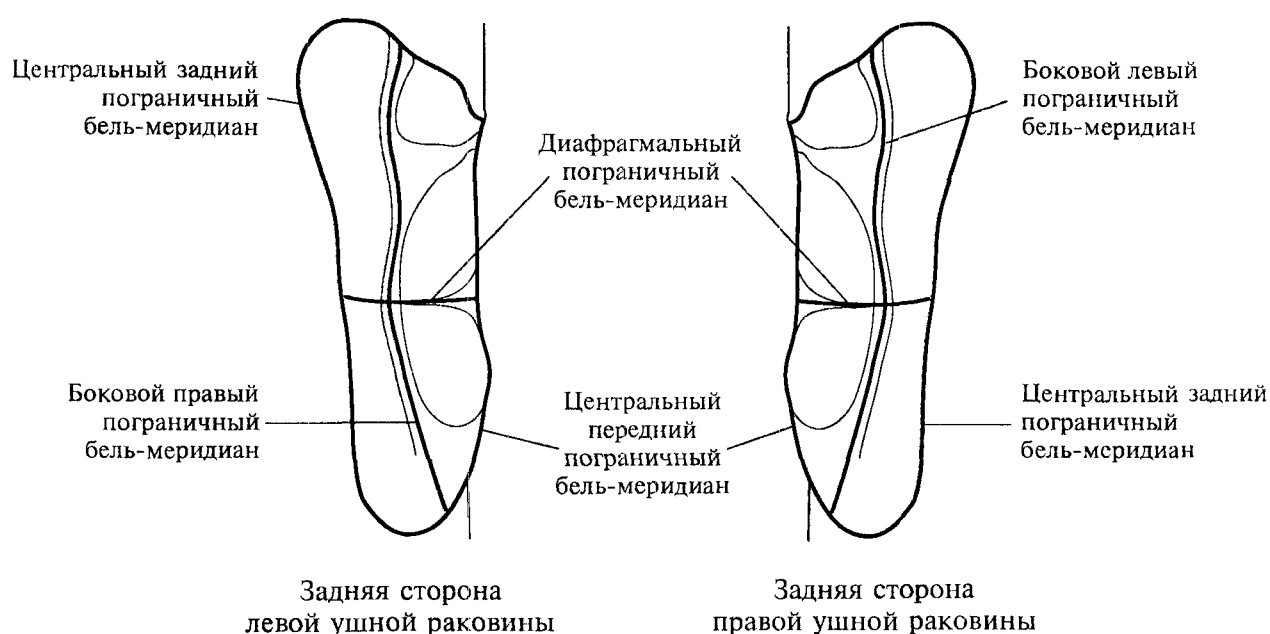
Левая ушная раковина

Правая ушная раковина

- с. 361. *Объединенная аурикулярная система соответствия плоду стадии жара. Тип I «голова вверх».*  
*В объединенной системе первого типа на ушных раковинах проекция тела располагается головой вверх, поэтому соответствие левой половине тела располагается на правой ушной раковине, а соответствие правой половине тела — на левой ушной раковине.*  
*Соответствие внешним структурам тела находится на задних сторонах ушных раковин, а соответствие внутренним органам — на передних сторонах.*

### 5.1.1. Пограничные бель-меридианы ушных раковин

Пограничные меридианы имеют поверхностное расположение в теле, поэтому их проекции находятся на задних сторонах ушных раковин.



**Рис. 362.** Система пограничных бель-меридианов в объединенной аурикулярной системе соответствия плоду стадии жара. Тип I «голова вверх».

Центральный пограничный бель-меридиан проходит по внешнему краю завитка уха, вокруг мочки и сзади по кожной складке в месте прикрепления уха к голове.

Боковой пограничный бель-меридиан проходит вдоль верхней ножки противозавитка, самого противозавитка и доходит до внутреннего угла мочки уха.

Диафрагмальный пограничный бель-меридиан проходит горизонтально на уровне ножки завитка.

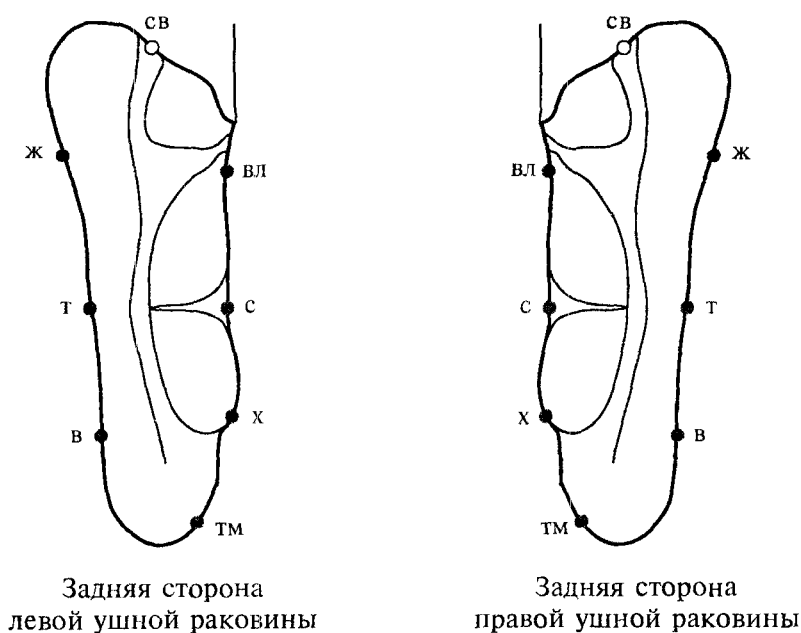


Рис. 363. Точки единых Восьми Энергий центрального пограничного бель-меридиана в объединенной аурикулярной системе. Тип I «голова вверху».

Точки единых Восьми Энергий расположены в соответствии с циркуляцией единой энергии в центральном пограничном меридиане тела при доминировании вертикальной оси.

**т. света**

Расположение: в месте соединения верхней ножки противозавитка и внешнего края завитка уха, является центральной точкой проекции верхней внешней чакры.

**т. тьмы**

Расположение: на ниже-медиальном крае мочки уха, соответствует центральной точке проекции нижней внешней чакры.

**т. тепла**

Расположение: на внешнем крае завитка уха, на уровне ножки завитка, является центральной точкой проекции задней внешней чакры.

**т. сухости**

Расположение: на уровне заднего углубления ножки завитка, является центральной точкой проекции передней внешней чакры.

**т. жара**

Расположение: на середине расстояния между точками света и тепла.

**т. ветра**

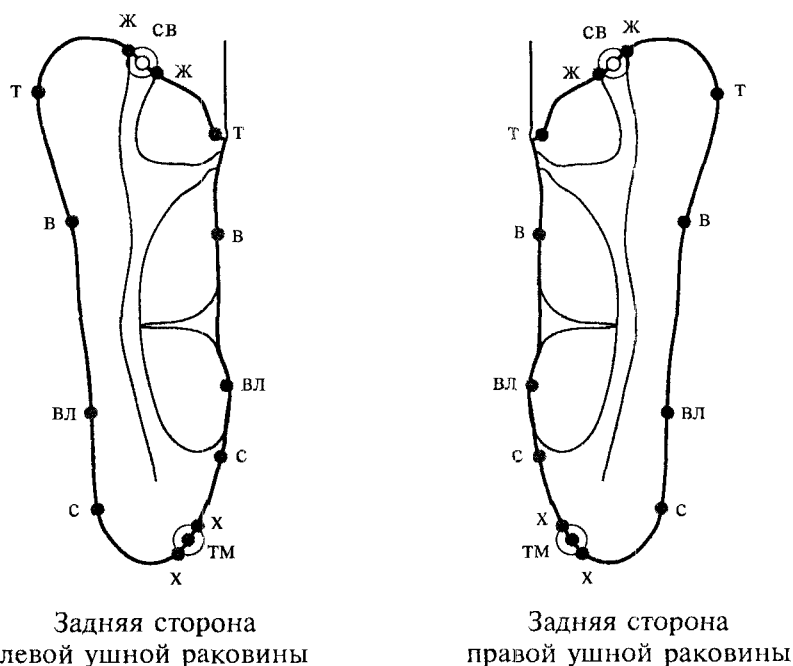
Расположение: на середине расстояния между точками тепла и тьмы.

**т. влажности**

Расположение: на середине расстояния между точками света и сухости.

**т. холода**

Расположение: на середине расстояния между точками сухости и тьмы.



Задняя сторона  
левой ушной раковины

Задняя сторона  
правой ушной раковины

**рис. 364.** Точки индивидуальных Восьми Энергий переднего и заднего центральных пограничных бель-меридианов в объединенной аурикулярной системе. Тип 1 «голова вверх».  
Точки индивидуальных А-энергий располагаются на заднем центральном пограничном бель-меридиане, УМ-энергий — на переднем центральном.

**г. света и тьмы**

Расположение: там же, где и точки пинных энергий света и тьмы.

**г. холода**

Расположение: на окружности с радиусом 1,5 — 2 мм вокруг точки тьмы.

**тт. сухости и влажности**

Расположение: на равном расстоянии друг от друга между точками холода и уровнем заднего углубления ножки завитка.

**тт. жара**

Расположение: на окружности с радиусом 1,5 — 2 мм вокруг точки света.

**тт. ветра и тепла**

Расположение: на равном расстоянии друг от друга между точками жара и уровнем заднего углубления ножки завитка.

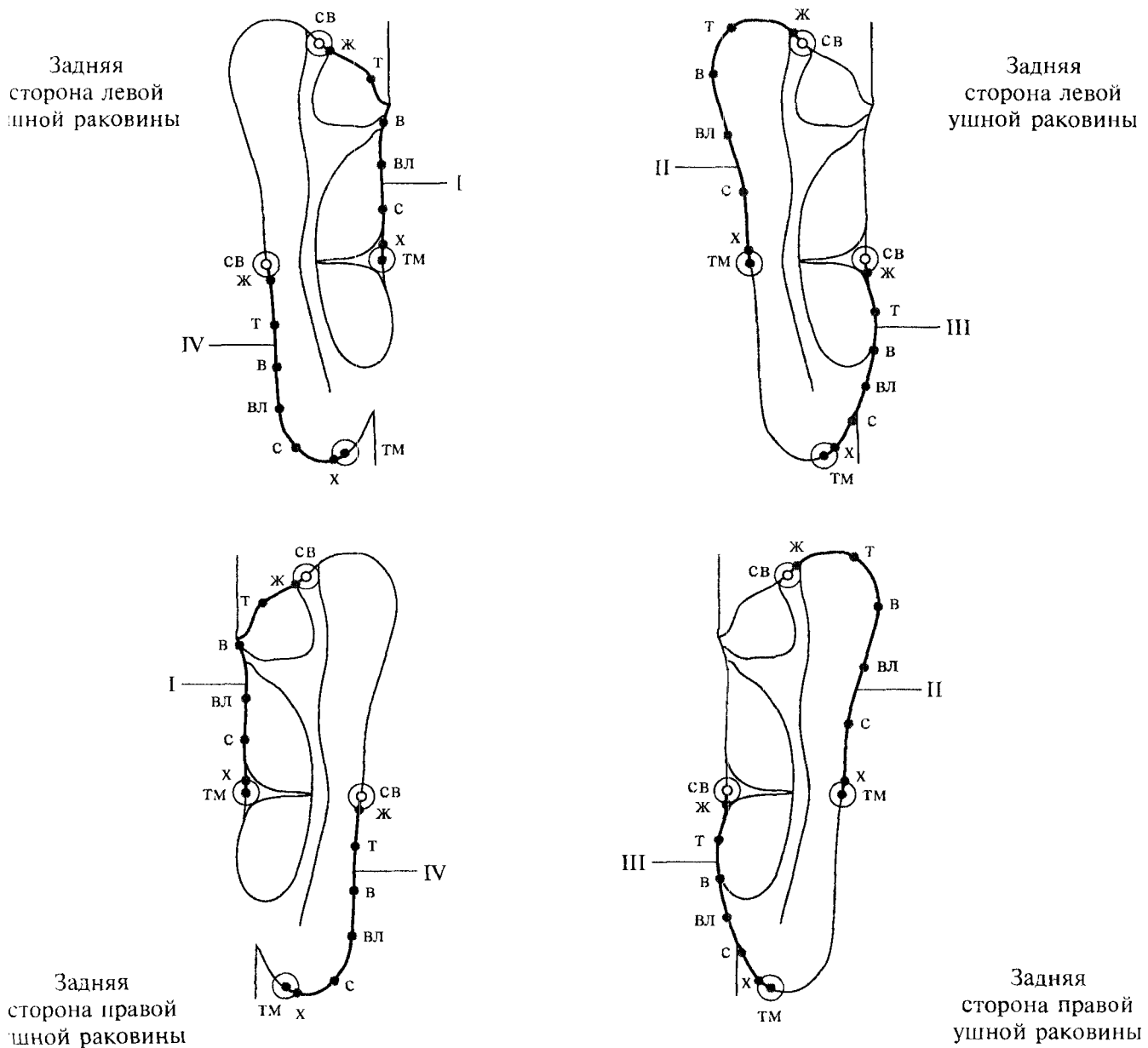
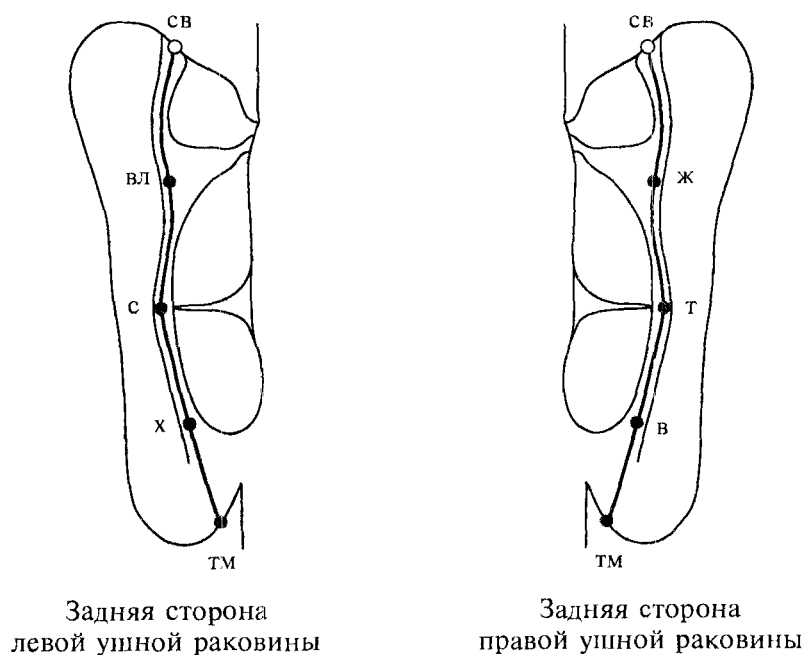


рис. 365. Точки Восьми Энергий региональных центральных пограничных бель-меридианов.

Тип I «голова вверху».

На рисунке представлены точки Восьми Энергий верхнего переднего центрального (I), верхнего заднего центрального (II), нижнего переднего центрального (III) и нижнего заднего центрального (IV) бель-меридианов левой и правой ушных раковин при доминировании вертикальной оси.

Каждый участок пограничных бель-меридианов, расположенный между двумя внешними бель-чакрами, является самостоятельным бель-меридианом, имеющим независимую циркуляцию и собственные точки Восьми Энергий. В области внешней бель-чакры находятся точки энергии света и энергии тьмы, точки жара и холода расположены на окружности с радиусом 1,5– 2 мм вокруг точек света и тьмы соответственно, остальные точки располагаются между ними на равном расстоянии.



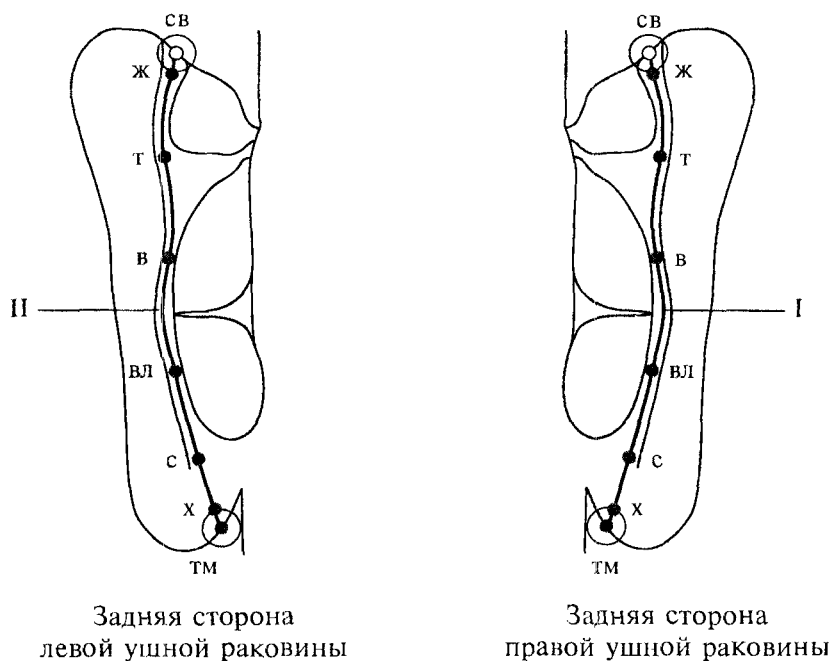
Задняя сторона  
левой ушной раковины

Задняя сторона  
правой ушной раковины

**Рис. 366.** Точки единых Восьми Энергий бокового пограничного бель-меридиана в объединенной аурикулярной системе. Тип I «голова вверх».

Точки единых Восьми энергий расположены в соответствии с циркуляцией единой энергии в боковом пограничном меридиане тела при доминировании вертикальной оси.

- |  |  |
|--|--|
| <p><b>т. тьмы</b><br/>Расположение: на нижне-медиальном крае мочки уха, соответствует центральной точке нижней внешней бель-чакры.</p> <p><b>т. света</b><br/>Расположение: в месте соединения верхней ножки противозавитка и внешнего края завитка уха, является центральной точкой верхней внешней бель-чакры.</p> | <p><b>тт. ветра, тепла и жара</b><br/>Расположение: на равном расстоянии друг от друга между точками света и тьмы, на задней поверхности правого уха.</p> <p><b>тт. влажности, сухости и холода</b><br/>Расположение: на равном расстоянии друг от друга между точками света и тьмы, на задней поверхности левого уха.</p> |
|--|--|



*рис. 367. Точки индивидуальных Восьми Энергий левого и правого боковых пограничных бель-меридианов в объединенной аурикулярной системе. Тип I «голова вверху». Точки индивидуальных А-энергий располагаются на левом боковом пограничном бель-меридиане (I), УМ-энергий — на правом боковом пограничном бель-меридиане (II).*

**г. света и тьмы**

асположение: там же, где и точки диных энергий света и тьмы.

**г. холода**

асположение: на окружности с радиусом 1,5 — 2 мм вокруг точки тьмы.

**г. жара**

асположение: на окружности с радиусом 1,5 — 2 мм вокруг точки света.

**Левый боковой пограничный бель-меридиан**

**тт. сухости, влажности, ветра, тепла**  
Расположение: на равном расстоянии друг от друга между точками жара и холода, на задней поверхности правого уха.

**Правый боковой пограничный бель-меридиан**

**тт. сухости, влажности, ветра и тепла**  
Расположение: на равном расстоянии друг от друга между точками жара и холода, на задней поверхности левого уха.



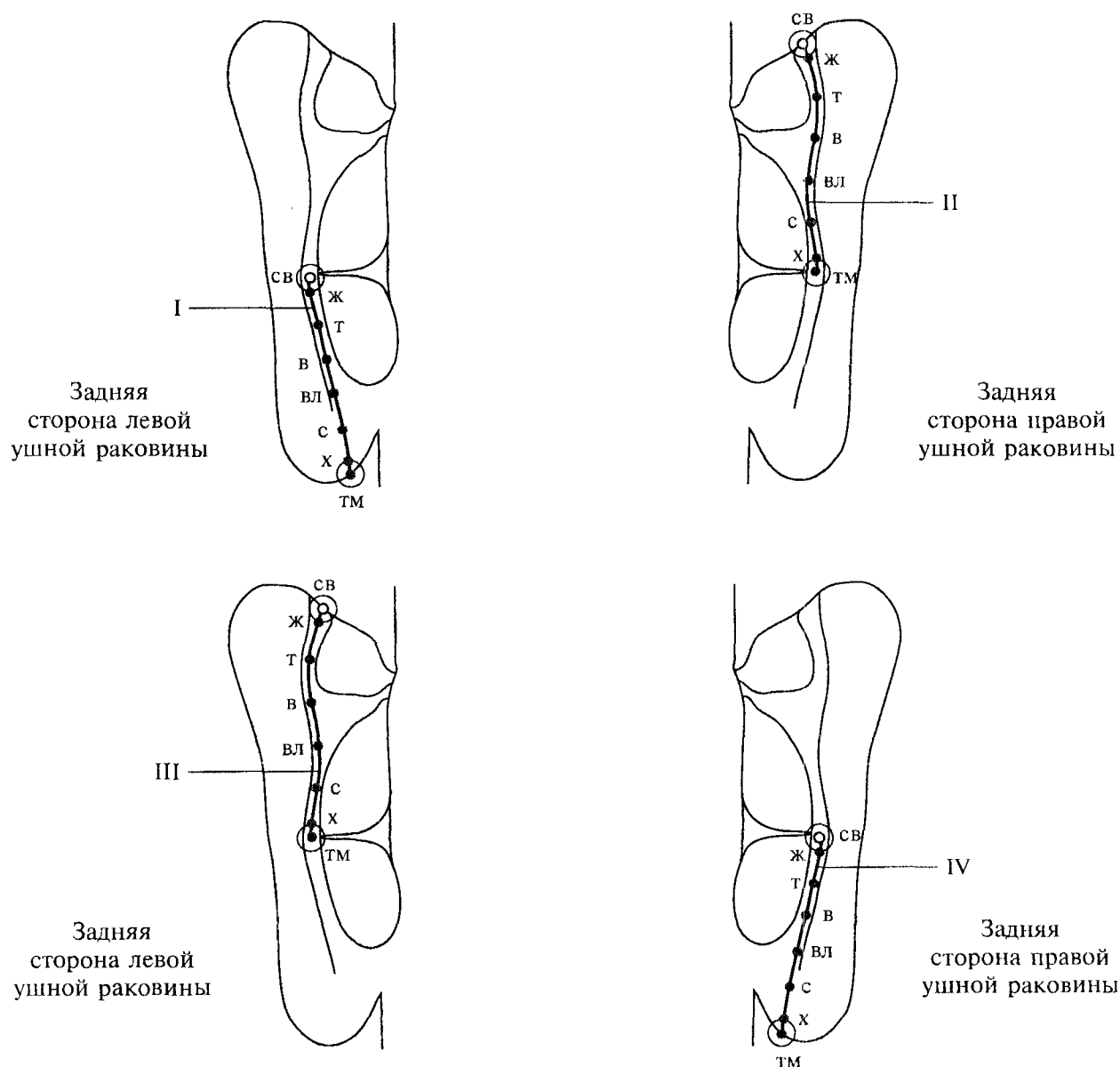
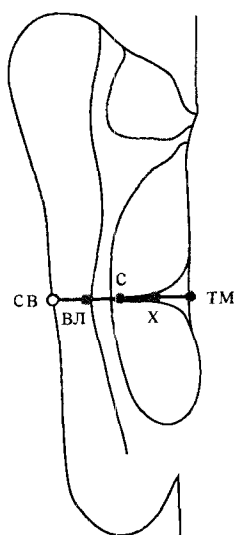


Рис. 368. Точки Восьми Энергий региональных боковых пограничных бель-меридианов в объединенной аурикулярной системе.

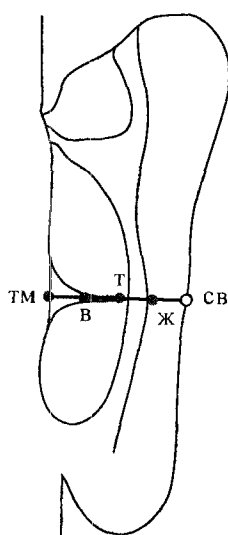
Тип I «голова вверх».

На рисунке представлены точки Восьми Энергий нижнего правого бокового (I), верхнего левого бокового (II), верхнего правого бокового (III) и нижнего левого бокового (IV) бель-меридианов левой и правой ушных раковин при доминировании вертикальной оси.

Каждый участок пограничных бель-меридианов, расположенный между двумя внешними бель-чакрами, является самостоятельным бель-меридианом, имеющим независимую циркуляцию и собственные точки Восьми Энергий. В области внешних бель-чакр находятся точки энергии света и энергии тьмы, точки жара и холода расположены на окружности с радиусом 1,5– 2 мм вокруг точек света и тьмы соответственно, остальные точки располагаются между ними на равном расстоянии.



Задняя сторона  
левой ушной раковины



Задняя сторона  
правой ушной раковины

ис. 369. Точки единых Восьми Энергий диафрагмального пограничного бель-меридиана в объединенной аурикулярной системе. Тип I «голова вверх».

Точки единых Восьми Энергий расположены в соответствии с циркуляцией единой энергии в диафрагмальном пограничном меридиане тела при доминировании сагиттальной оси.

**. тьмы**

сположение: на уровне заднего углубления ножки за-тка, является центральной точкой проекции передней ешной чакры.

**. света**

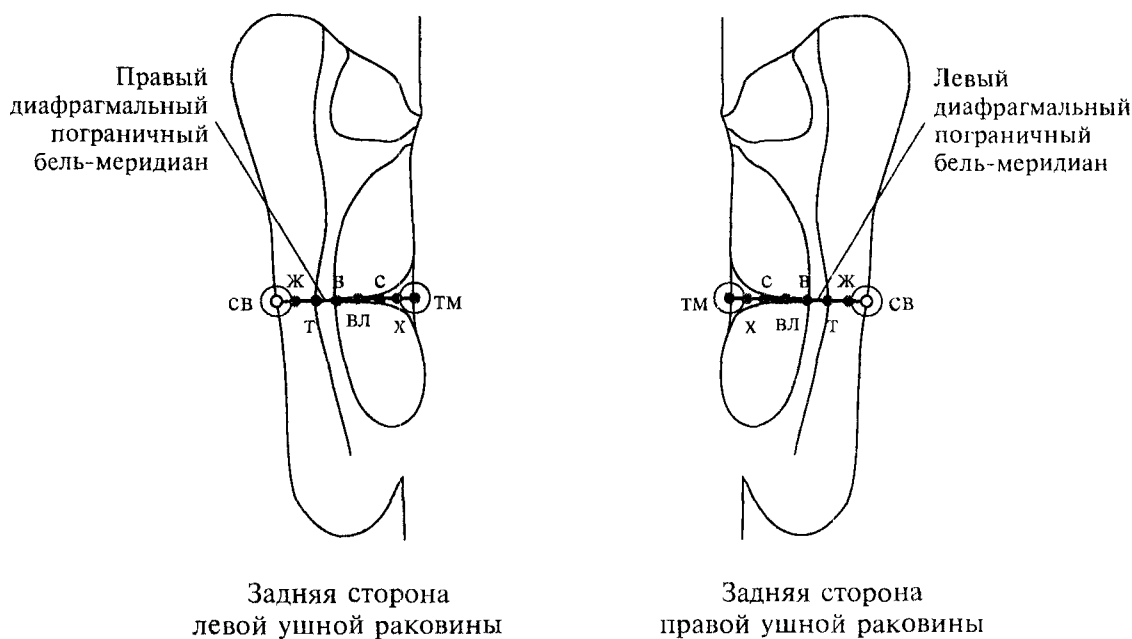
сположение: на внешнем крае завитка уха, на уровне жки завитка, является центральной точкой проекции дней внешней чакры.

**тт. ветра, тепла и жара**

Расположение: на равном расстоянии друг от друга между точками тьмы и света, на задней поверхности правого уха.

**тт. влажности, сухости и холода**

Расположение: на равном расстоянии друг от друга между точками тьмы и света, на задней поверхности левого уха.



**Рис. 370.** Точки индивидуальных Восьми Энергий правого и левого диафрагмальных пограничных бель-меридианов в объединенной аурикулярной системе. Тип I «голова вверху». Точки индивидуальных А-энергий располагаются на левом диафрагмальном пограничном бель-меридиане, УМ-энергий — на правом диафрагмальном пограничном бель-меридиане.

**тт. света и тьмы**

Расположение: там же, где и точки единых энергий света и тьмы.

**тт. холода**

Расположение: на окружности с радиусом 1,5 — 2 мм вокруг точки тьмы.

**тт. жара**

Расположение: на окружности с радиусом 1,5 — 2 мм вокруг точки света.

**Левый диафрагмальный пограничный бель-меридиан**

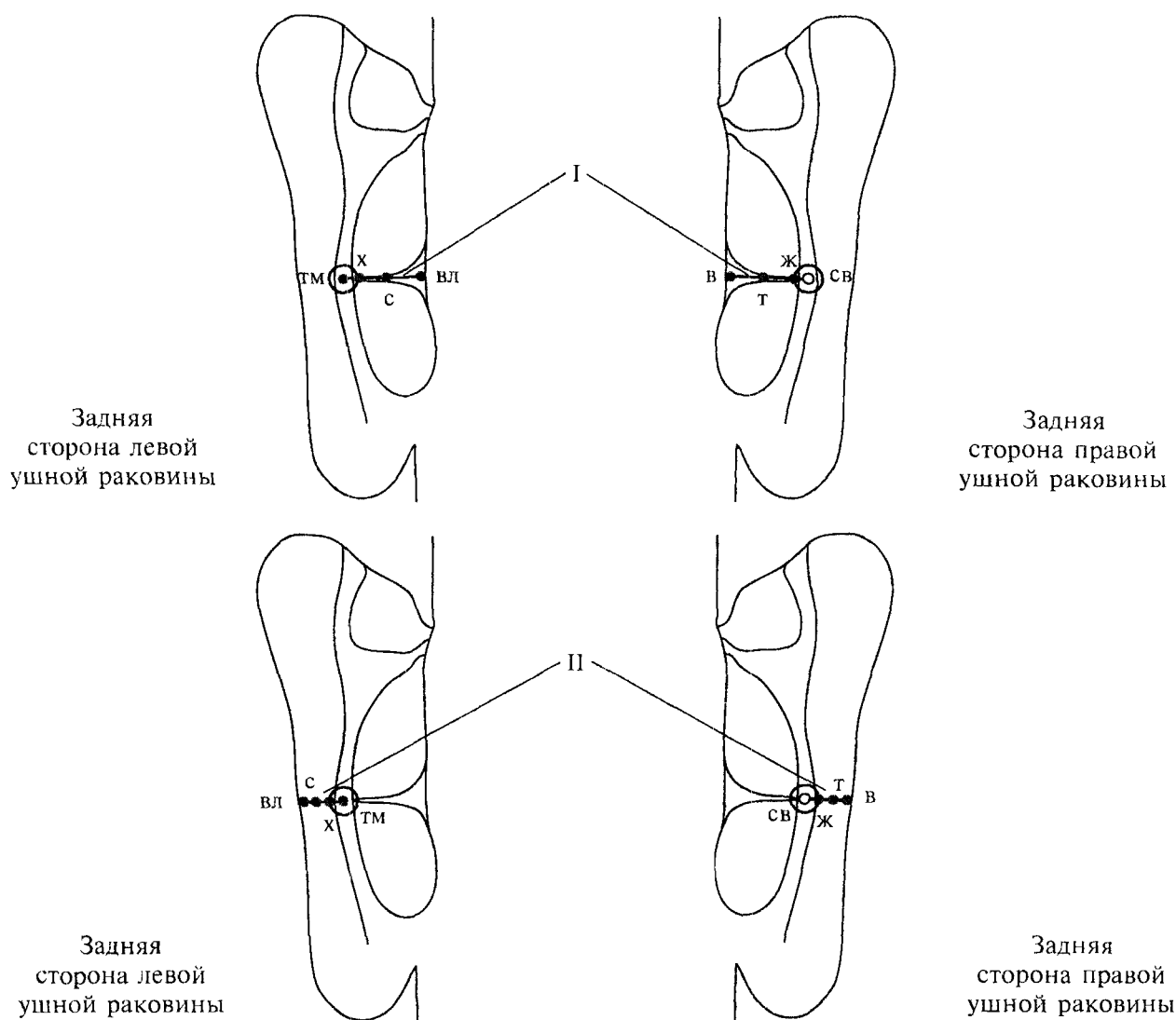
**тт. сухости, влажности, ветра и тепла**

Расположение: на равном расстоянии друг от друга между точками жара и холода, на задней поверхности правого уха.

**Правый диафрагмальный пограничный бель-меридиан**

**тт. сухости, влажности, ветра и тепла**

Расположение: на равном расстоянии друг от друга между точками жара и холода, на задней поверхности левого уха.



**Рис. 371.** Точки индивидуальных Восьми Энергий переднего и заднего диафрагмальных пограничных бель-меридианов в объединенной аурикулярной системе. Тип I «голова вверху». Точки индивидуальных А-энергий располагаются на заднем диафрагмальном пограничном бель-меридиане, УМ-энергий — на переднем диафрагмальном пограничном бель-меридиане. Передний (I) и задний (II) диафрагмальные бель-меридианы находятся между правой и левой внешними бель-чакрами, занимая участок как левой, так и правой ушных раковин.

**т. света**  
 Расположение: на задней стороне правой ушной раковины, в бороздке противозавитка на уровне ножки завитка, является центральной точкой левой внешней бель-чакры.

**т. тьмы**  
 Расположение: на задней стороне левой ушной раковины, в бороздке противозавитка на уровне ножки завитка, является центральной точкой правой внешней бель-чакры.

**тт. жара**  
 Расположение: на окружности радиусом 1,5 — 2 мм вокруг точки света.

**тт. холода**  
 Расположение: на окружности радиусом 1,5 — 2 мм вокруг точки тьмы.

**Передний диафрагмальный пограничный бель-меридиан**

**тт. тепла и ветра**  
 Расположение: на равном расстоянии друг от друга, занимая медиальную область правой ушной раковины.

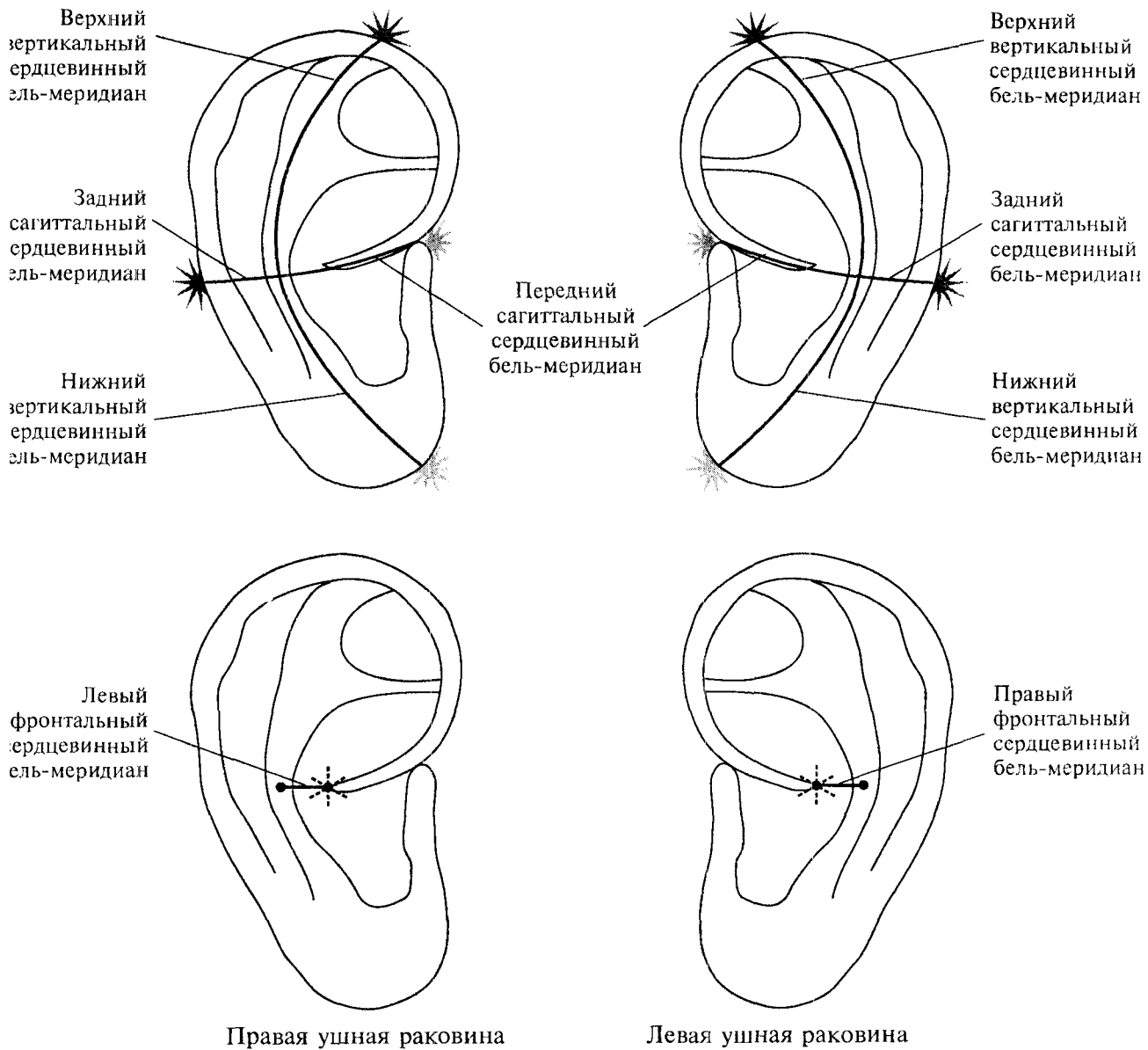
**тт. влажности и сухости**  
 Расположение: на равном расстоянии друг от друга, занимая медиальную область левой ушной раковины.

**Задний диафрагмальный пограничный бель-меридиан**

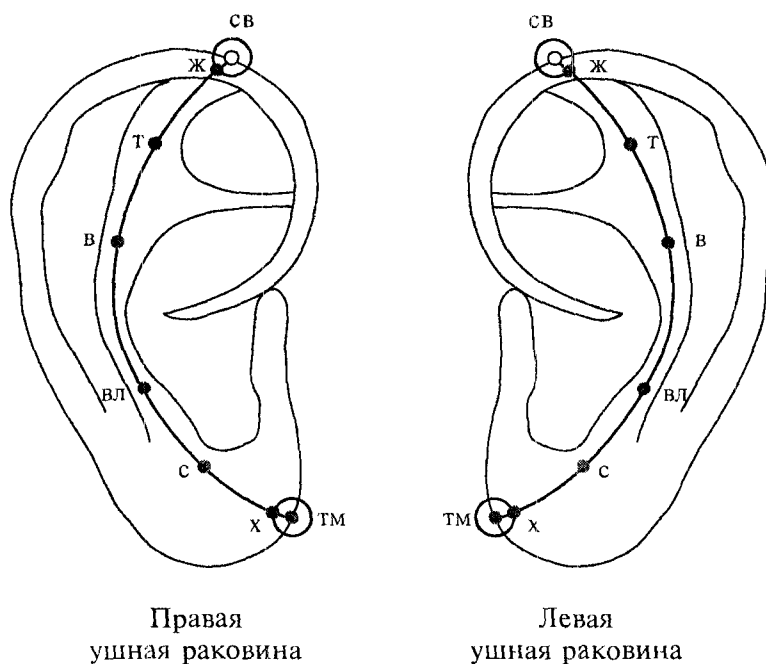
**тт. тепла и ветра**  
 Расположение: на равном расстоянии друг от друга, занимая латеральную область правой ушной раковины.

**тт. влажности и сухости**  
 Расположение: на равном расстоянии друг от друга, занимая латеральную область левой ушной раковины.

### 5.1.2. Сердцевинные бель-меридианы ушных раковин



- ис. 372. Сердцевинные бель-меридианы в объединенной аурикулярной системе соответствия плоду стадии жара. Тип I «голова вверх».
- Сердцевинные меридианы располагаются внутри тела, поэтому их проекции находятся на передних сторонах ушных раковин.
- Вертикальный сердцевинный бель-меридиан проходит вдоль противозавитка, верхней ножки противозавитка и через мочку уха.
- Сагиттальный сердцевинный бель-меридиан ушной раковины пересекает ушную раковину на уровне ножки завитка.
- Фронтальный сердцевинный бель-меридиан пересекает ушную раковину на уровне ножки завитка, располагаясь между ней и противозавитком, левый фронтальный сердцевинный бель-меридиан находится на правом ухе, правый фронтальный сердцевинный бель-меридиан — на левом.



*Рис. 373. Точки единых Восьми Энергий вертикального сердцевинного бель-меридиана в объединенной аурикулярной системе. Тип I «голова вверху».*

**т. света**

Расположение: в месте соединения верхней ножки противозавитка и внешнего края завитка уха, является центральной точкой проекции верхней внешней чакры.

**т. тьмы**

Расположение: на нижне-медиальном крае мочки уха, соответствует центральной точке проекции нижней внешней чакры.

**т. жара**

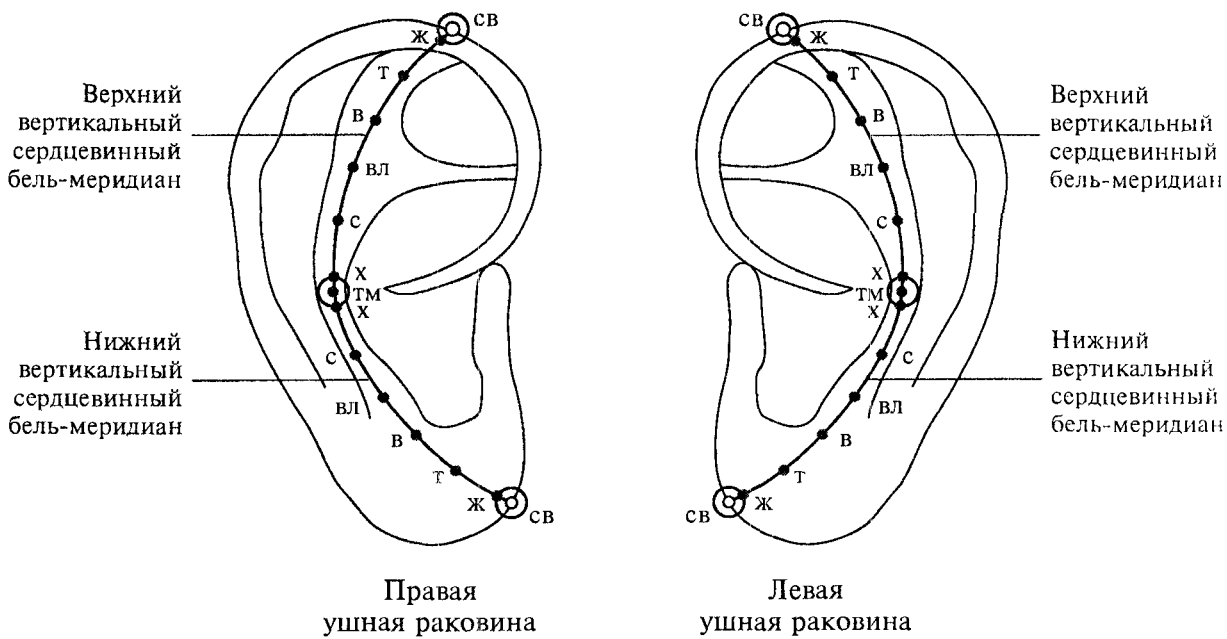
Расположение: на окружности с радиусом 1,5 — 2 мм вокруг точки света.

**т. холода**

Расположение: на окружности с радиусом 1,5 — 2 мм вокруг точки тьмы.

**тт. тепла, ветра, влажности и сухости**

Расположение: между точками жара и холода на равном расстоянии друг от друга.



ис. 374. Точки Восьми Энергий верхнего и нижнего вертикальных сердцевинных бель-меридианов в объединенной аурикулярной системе. Тип I «голова вверху».  
Верхний и нижний, передний и задний, левый и правый сердцевинные бель-меридианы ушных раковин имеют собственные точки Восьми Энергий.

очка пересечения всех сердцевинных эль-меридианов является точкой энергии **тьмы**. На противоположном конце каждого из шести сердцевинных бель-меридианов располагается точка энергии **жета**.

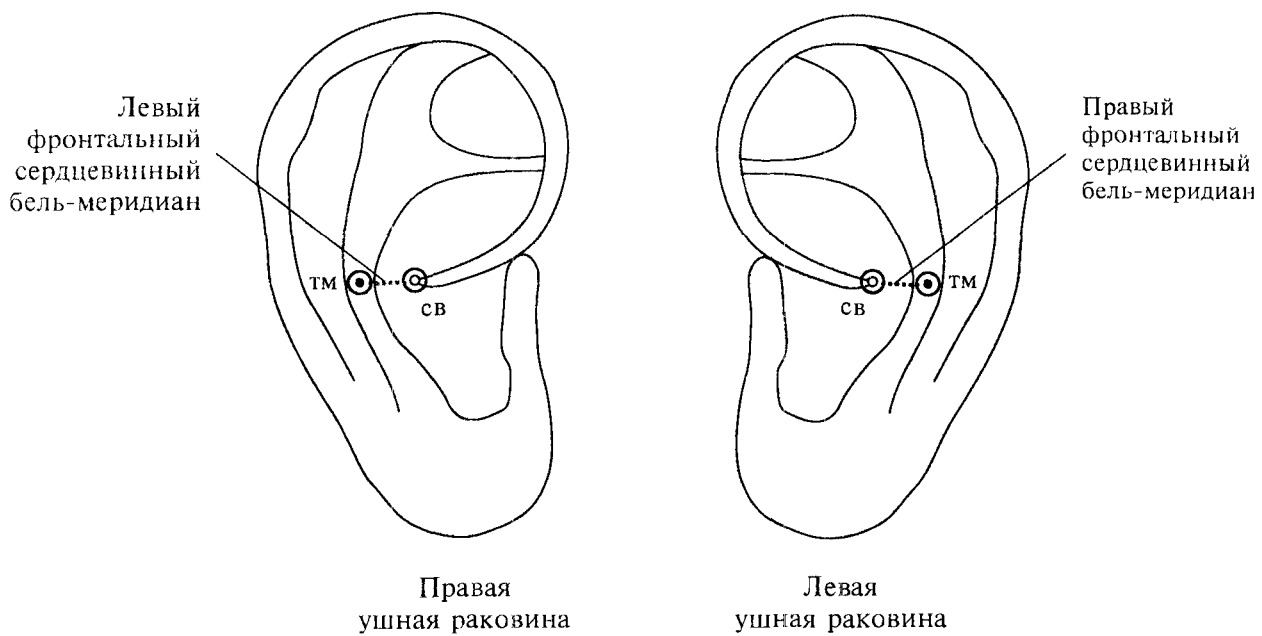
**тг. жара**

Расположение: на окружности с радиусом 1,5 — 2 мм вокруг точек света.

**тг. холода**

Расположение: на окружности с радиусом 1,5 — 2 мм вокруг точки тьмы.

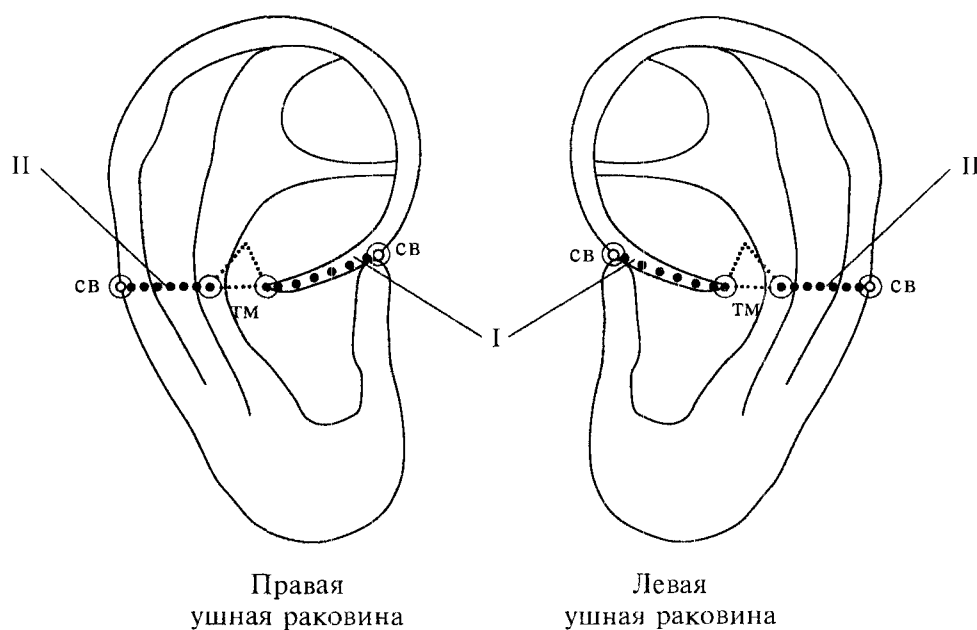
**Точки остальных энергий** находятся между точками жара и холода на равном расстоянии друг от друга.



*Рис. 375. Точки Восьми Энергий левого и правого фронтальных сердцевинных бель-меридианов в объединенной аурикулярной системе. Тип I «голова вверху».*

Точки расположены очень близко на равном расстоянии друг от друга, на участке между латеральной точкой ножки завитка, где находится **точка света**, и расположенной на этом же уровне на противозавитке **точкой тьмы**.





ис. 376. Точки Восьми Энергий переднего (I) и заднего (II) сагиттальных бель-меридианов в объединенной аурикулярной системе. Тип I «голова вверху».

**Света переднего сагиттального сердцевинного меридиана**

исположение: в передней ушной бороздке.

**Света заднего сагиттального сердцевинного меридиана**

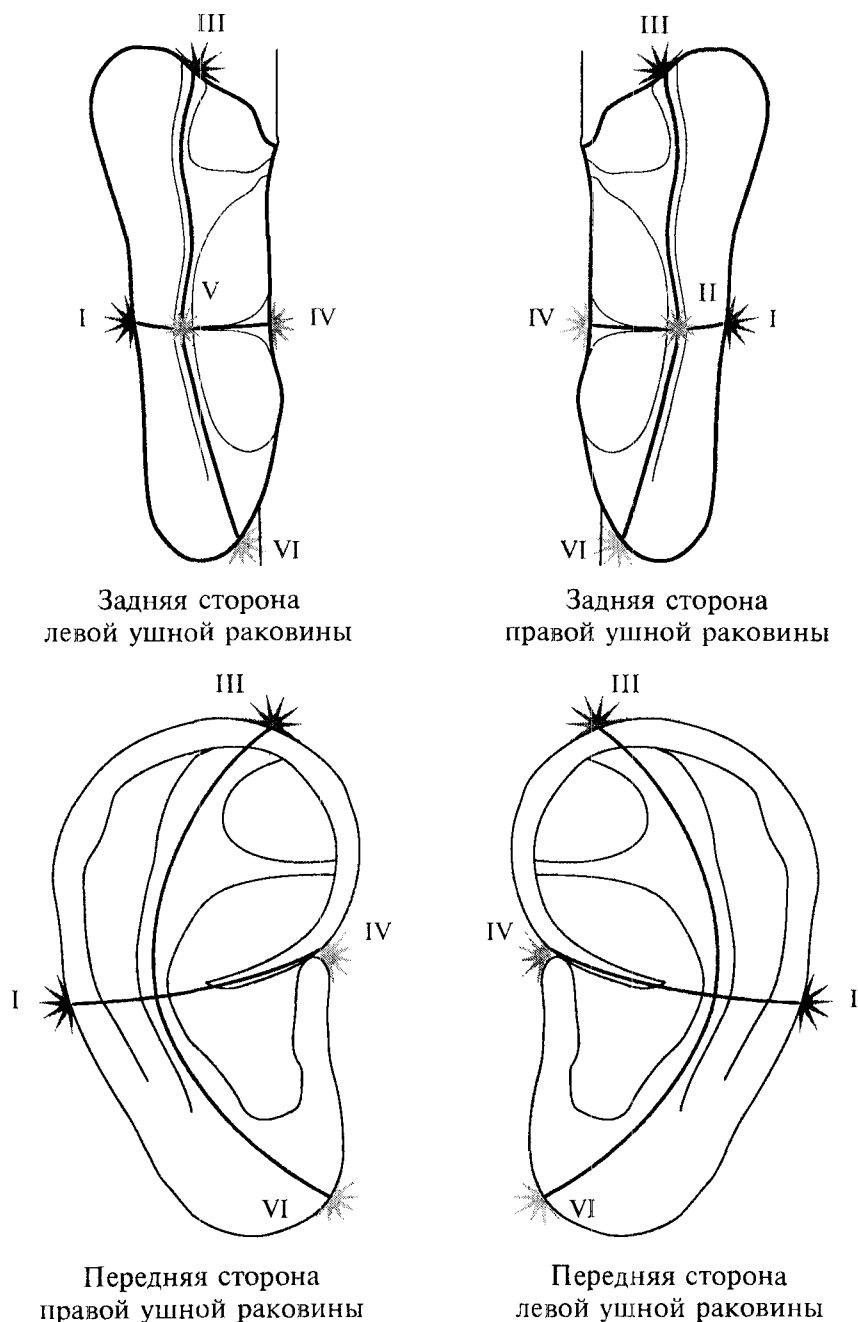
исположение: на наружном крае завитка, на уровне ножки завитка.

**Т. тьмы**

Расположение: имеет двойное расположение — на латеральной точке ножки завитка и на расположенной на этом же уровне точке противозавитка.

**Остальные точки** располагаются между точками света и тьмы на равном расстоянии друг от друга.

### 5.1.3. Внешние и внутренние бель-чакры ушных раковин



Задняя сторона  
левой ушной раковины

Задняя сторона  
правой ушной раковины

Передняя сторона  
правой ушной раковины

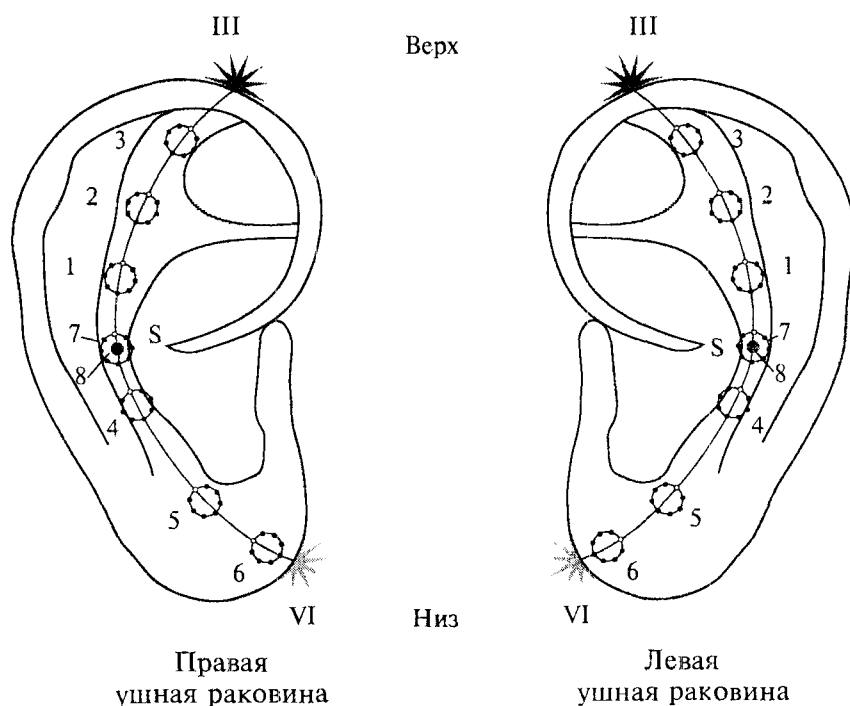
Передняя сторона  
левой ушной раковины

Рис. 377. Внешние бель-чакры в объединенной аурикулярной системе соответствия. Тип I «голова вверх». Внешние бель-чакры ушных раковин располагаются в местах пересечения пограничных бель-меридианов.

**II** — задняя бель-чакра ветра  
Расположение: на наружном крае завитка, на уровне ножки завитка.  
**I** — левая бель-чакра тепла  
Расположение: на задней стороне правой ушной раковины, в бороздке противозавитка, на уровне ножки завитка.

**III** — верхняя бель-чакра жара  
Расположение: на наружном крае завитка, на уровне верхней ножки противозавитка.  
**IV** — передняя бель-чакра влажности  
Расположение: в передней ушной бороздке.

**V** — правая бель-чакра сухости  
Расположение: на задней стороне левой ушной раковины, в бороздке противозавитка, на уровне ножки завитка.  
**VI** — нижняя бель-чакра холода  
Расположение: на крае внутреннего угла мочки уха.



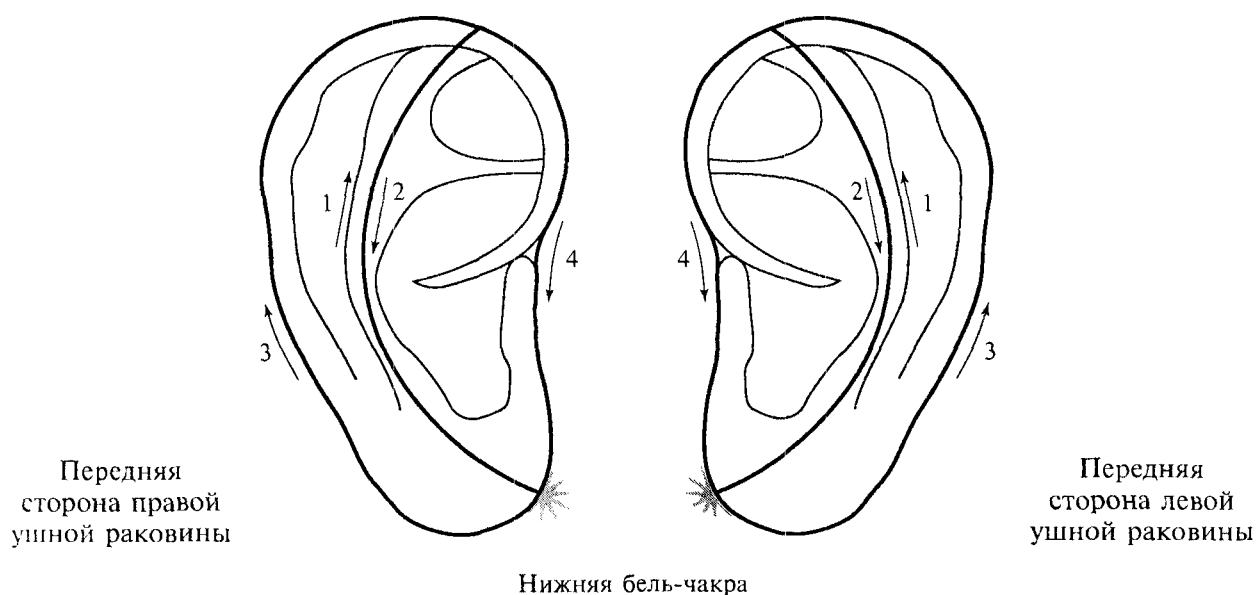
**Рис. 378.** Вертикальный сердцевинный бель-меридиан и внутренние бель-чакры в объединенной аурикулярной системе соответствия плоду стадии жара. Тип I «голова вверх». Вертикальный сердцевинный бель-меридиан и внутренние бель-чакры ушных раковин, как и вертикальный сердцевинный меридиан и внутренние чакры в теле, располагаются вдоль вертикальной оси.  
 III — верхняя внешняя бель-чакра  
 VI — нижняя внешняя бель-чакра

**3 — солнечная бель-чакра (7 — чакра света, 8 — чакра тьмы)**  
 Расположение: на противозавитке на уровне латеральной точки ножки завитка.  
**Бель-чакры ветра (1), тепла (2) и жара (3)**  
 Расположение: на равном расстоянии друг от друга между солнечной бель-чакрой и верхней внешней бель-чакрой.

**4 — бель-чакра влажности**  
 Расположение: ниже солнечной бель-чакры на 1/4 расстояния между солнечной бель-чакрой и бель-чакрой холода.  
**5 — бель-чакра сухости**  
 Расположение: выше бель-чакры холода на 1/3 расстояния между бель-чакрой холода и солнечной бель-чакрой.  
**6 — бель-чакра холода**  
 Расположение: на мочке уха, в месте проекции копчика.

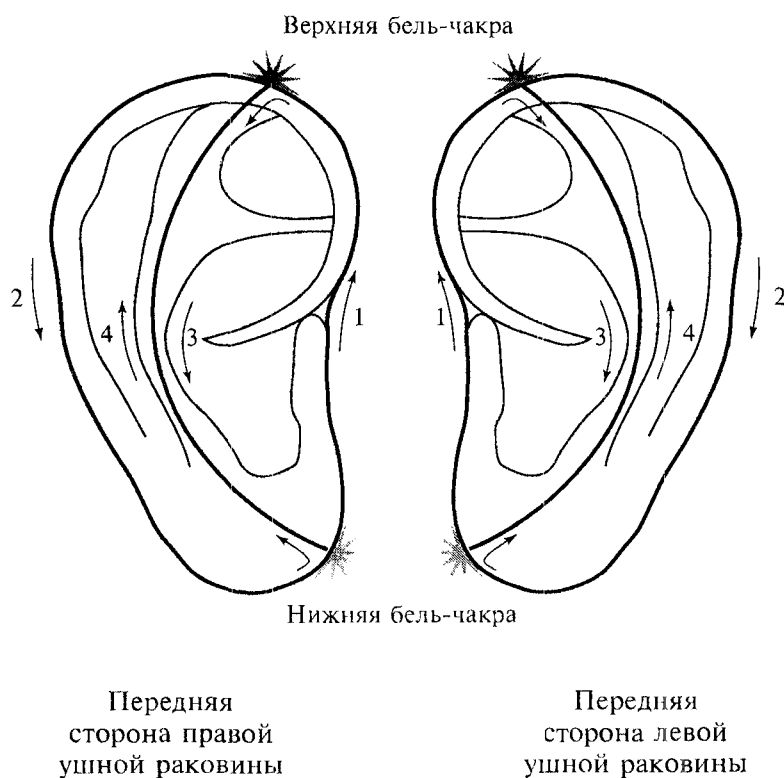
### 5.1.4. Циркуляция в энергетической системе ушных раковин

Направление циркуляции единых и индивидуальных энергий в сердцевинных и пограничных бель-меридианах ушных раковин совпадает с направлением их циркуляции в теле.



ис. 379. Циркуляция единой энергии в вертикальном сердцевинном и центральном пограничном бель-меридианах. Тип I «голова вверх».

От нижней бель-чакры единая энергия поднимается по заднему вертикальному сердцевинному (1) и заднему центральному пограничному (3) бель-меридианам к верхней бель-чакре, затем спускается к нижней бель-чакре по переднему вертикальному сердцевинному (2) и переднему центральному пограничному (4) бель-меридианам.



**Рис. 380.** Циркуляция индивидуальных энергий в вертикальных сердцевинных и центральных пограничных бель-меридианах. Тип I «голова вверх».

*А-энергия опускается от верхней внешней бель-чакры к нижней по заднему центральному пограничному бель-меридиану (2), затем по заднему вертикальному сердцевинному бель-меридиану (4) возвращается в верхнюю бель-чакру.*

*УМ-энергия поднимается от нижней внешней бель-чакры к верхней по переднему центральному пограничному бель-меридиану (1), затем по переднему вертикальному сердцевинному бель-меридиану (3) возвращается в нижнюю бель-чакру.*

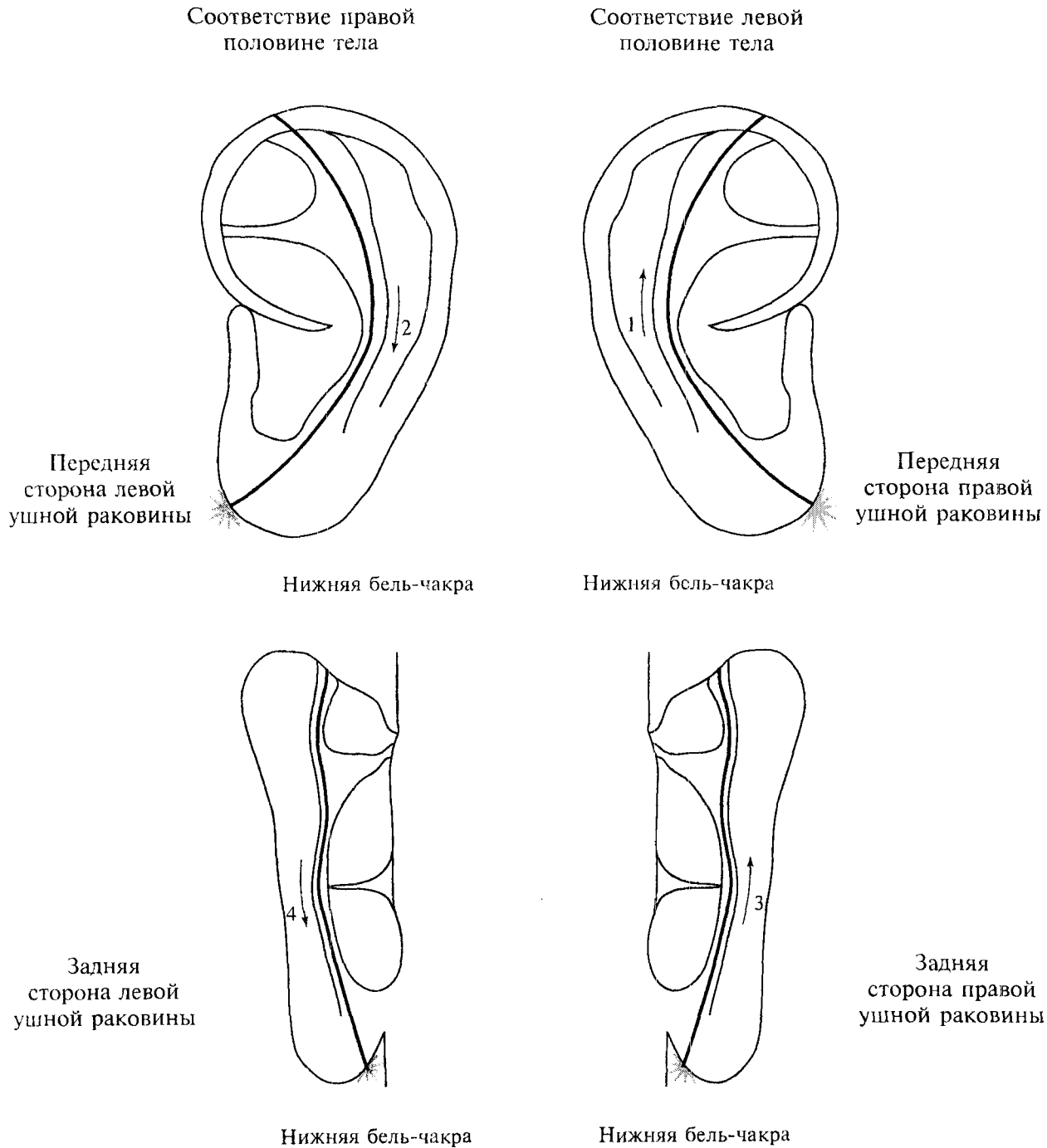


рис. 381. Циркуляция единой энергии в вертикальном сердцевинном и боковом пограничном бэль-меридианах. Тип I «голова вверх».

От нижней внешней бэль-чакры единая энергия по левому вертикальному сердцевинному бэль-меридиану (1) направляется к верхней внешней бэль-чакре, затем по правому вертикальному сердцевинному бэль-меридиану (2) возвращается в нижнюю бэль-чакру.

От нижней внешней бэль-чакры единая энергия поднимается по левому боковому пограничному бэль-меридиану (3) до верхней внешней бэль-чакры, пересекает ее и спускается вниз по правому боковому пограничному бэль-меридиану (4), возвращаясь в нижнюю бэль-чакру.

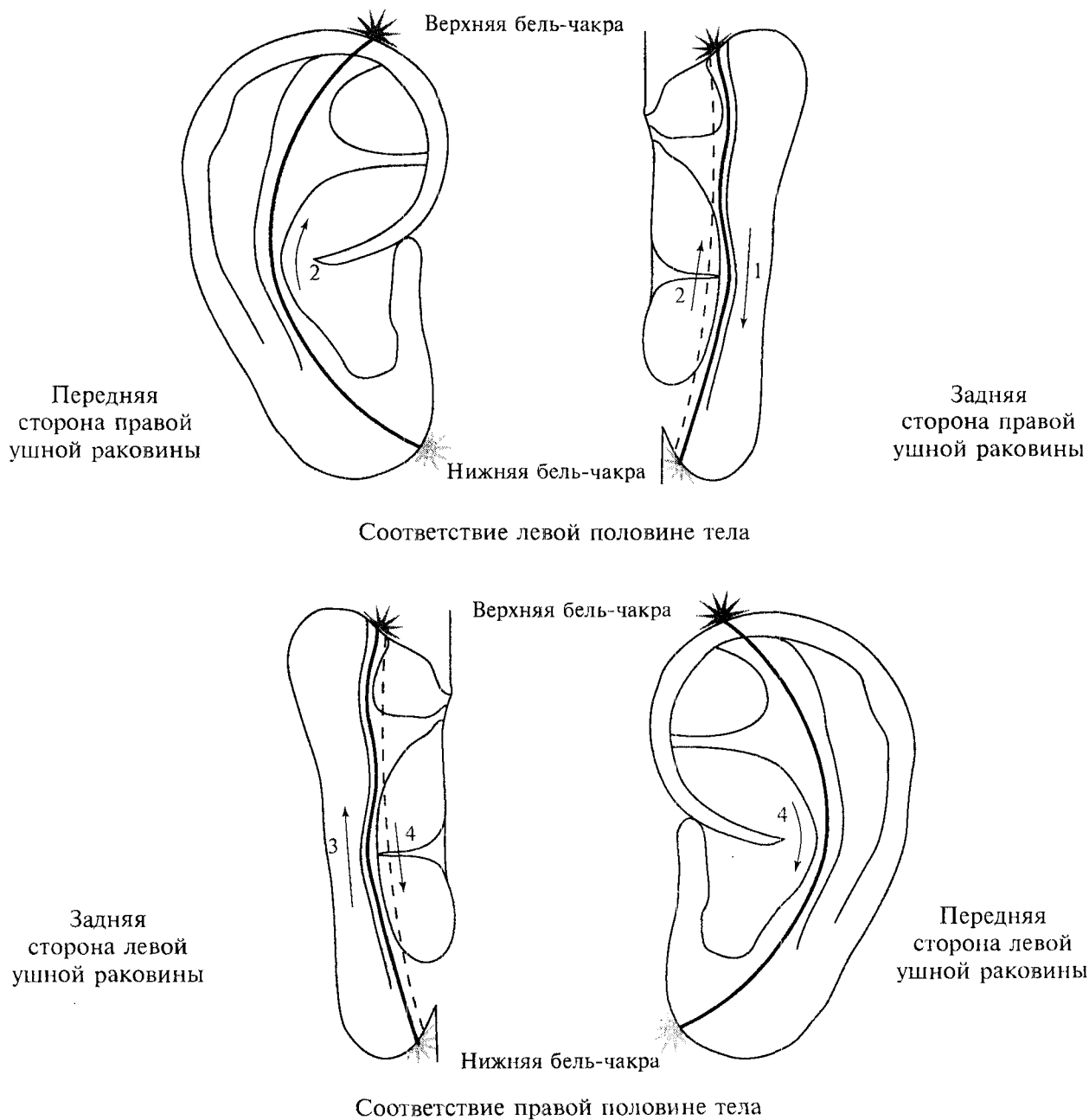
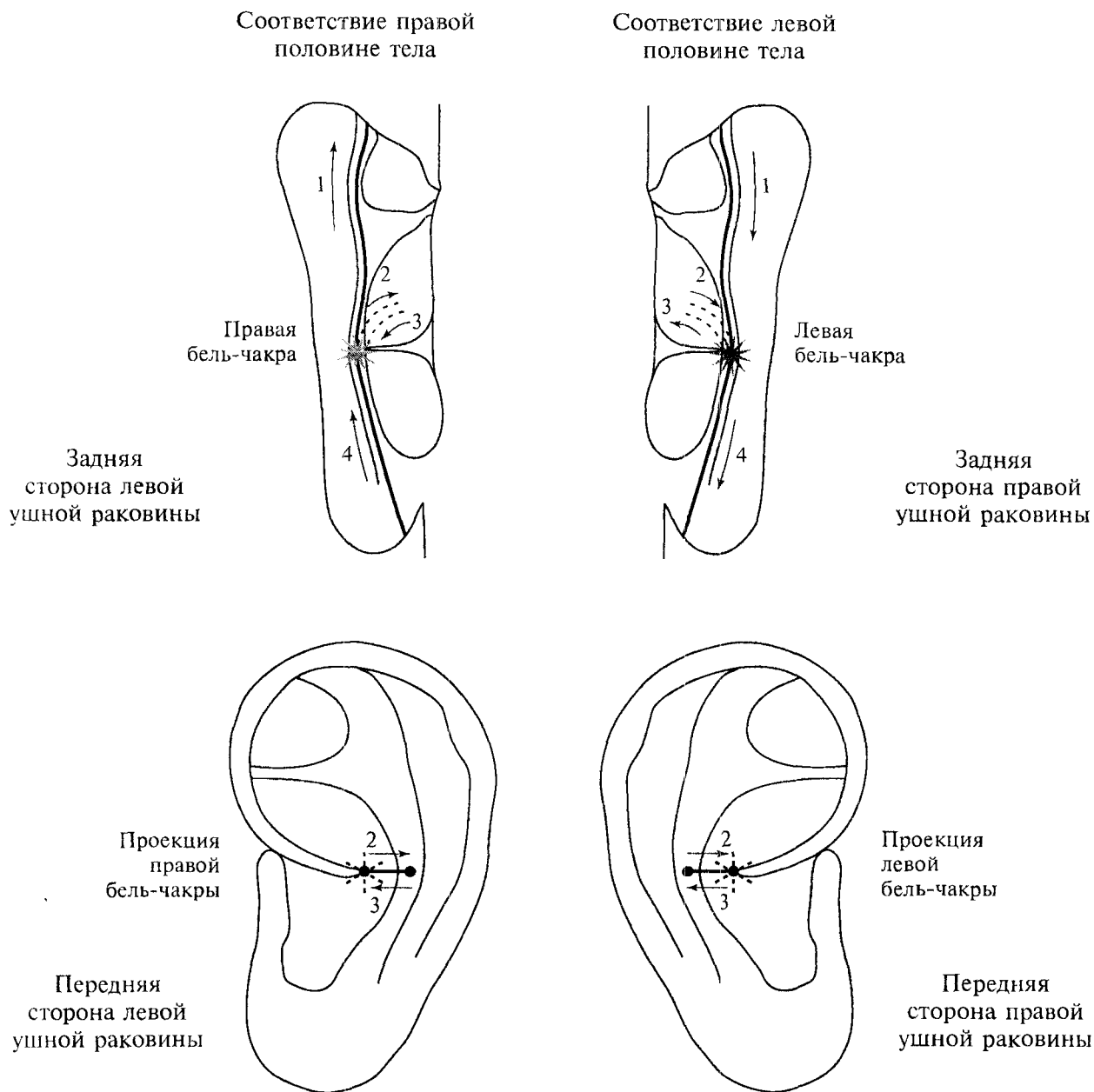


Рис. 382. Циркуляция индивидуальных энергий в вертикальных сердцевинных и боковых пограничных бэль-меридианах. Тип I «голова вверх».

*A*-энергия опускается от верхней внешней бэль-чакры к нижней по левому боковому пограничному бэль-меридиану (1), затем по левому вертикальному сердцевинному бэль-меридиану (2) возвращается в верхнюю бэль-чакру.

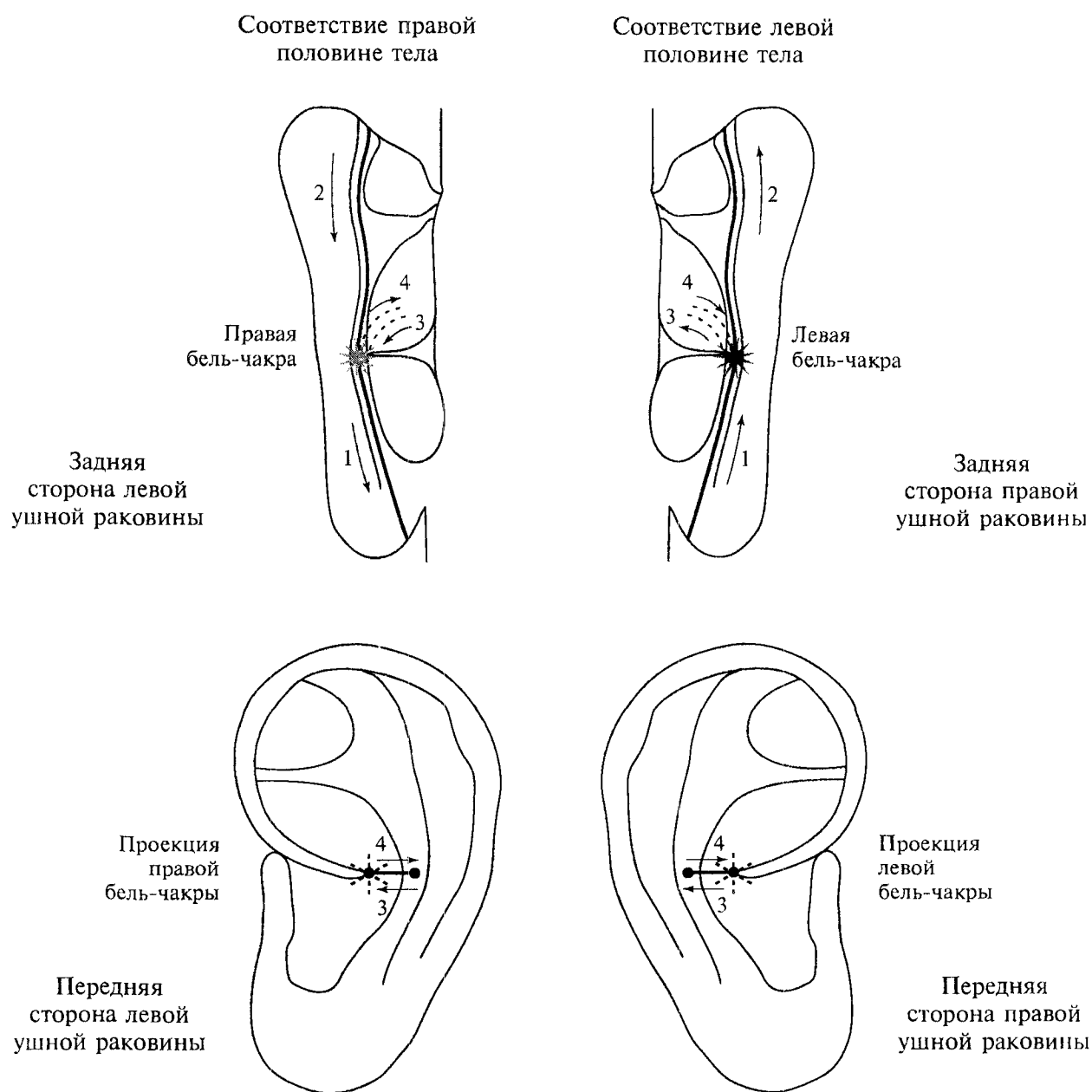
*УМ*-энергия поднимается от нижней внешней бэль-чакры к верхней по правому боковому пограничному бэль-меридиану (3), затем по правому вертикальному сердцевинному бэль-меридиану (4) возвращается в нижнюю внешнюю бэль-чакру.



ис. 383. Циркуляция единой энергии во фронтальном сердцевинном и боковом пограничном бэль-меридианах. Тип I «голова вверх».

От правой внешней бэль-чакры единая энергия направляется по верхнему фронтальному сердцевинному (2) и верхнему боковому пограничному бэль-меридианам (1) к левой внешней бэль-чакре, затем возвращается в правую бэль-чакру по нижнему фронтальному сердцевинному (3) и нижнему боковому пограничному (4) бэль-меридианам.





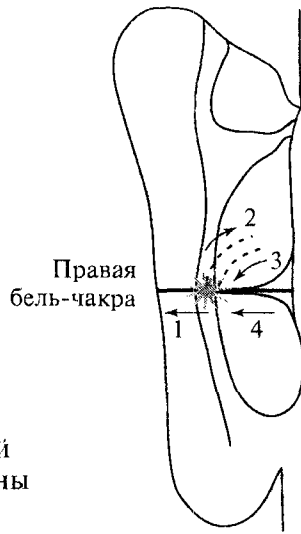
**Рис. 384.** Циркуляция индивидуальных энергий во фронтальных сердцевинных и боковых пограничных бель-меридианах. Тип I «голова вверх».

*А-энергия направляется из левой внешней бель-чакры к правой по верхнему боковому пограничному бель-меридиану (2), затем по верхнему фронтальному сердцевинному бель-меридиану (4) возвращается в левую бель-чакру.*

*УМ-энергия направляется из правой внешней бель-чакры к левой по нижнему боковому пограничному бель-меридиану (1), затем по нижнему фронтальному сердцевинному бель-меридиану (3) возвращается в правую бель-чакру.*

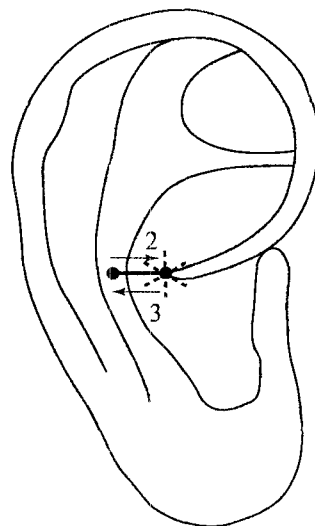
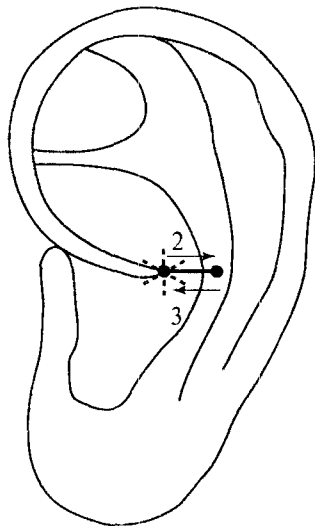
Соответствие правой  
половине тела

Соответствие левой  
половине тела



Задняя  
сторона левой  
ушной раковины

Задняя  
сторона правой  
ушной раковины



Проекция  
правой  
бэль-чакры

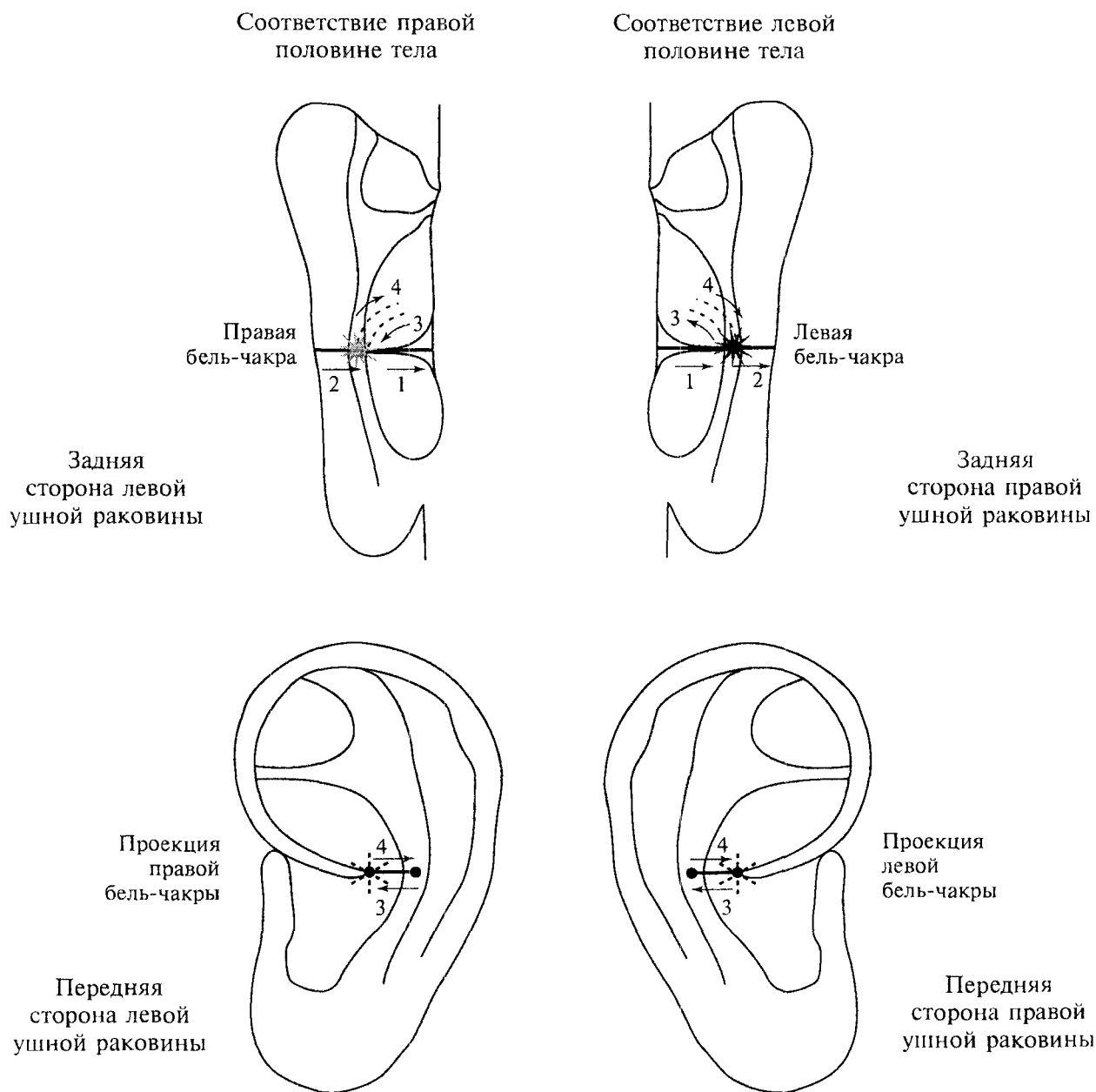
Проекция  
левой  
бэль-чакры

Передняя  
сторона левой  
ушной раковины

Передняя  
сторона правой  
ушной раковины

с. 385. Циркуляция единой энергии во фронтальном сердцевинном и диафрагмальном пограничном бэль-меридианах. Тип I «голова вверху».

От правой внешней бэль-чакры единая энергия направляется по заднему фронтальному сердцевинному (2) и заднему диафрагальному пограничному (1) бэль-меридианам к левой внешней бэль-чакре, затем возвращается в правую бэль-чакру по переднему фронтальному сердцевинному (3) и переднему диафрагальному пограничному (4) бэль-меридианам.



**Рис. 386.** Циркуляция индивидуальных энергий во фронтальных сердцевинных и диафрагмальных пограничных бель-меридианах. Тип I «голова вверху».

*А-энергия направляется из левой внешней бель-чакры к правой по заднему диафрагмальному пограничному бель-меридиану (2), затем по заднему фронтальному сердцевинному бель-меридиану (4) возвращается в левую бель-чакру.*

*УМ-энергия направляется из правой внешней бель-чакры к левой по переднему диафрагмальному пограничному бель-меридиану (1), затем по переднему фронтальному сердцевинному бель-меридиану (3) возвращается в правую бель-чакру.*

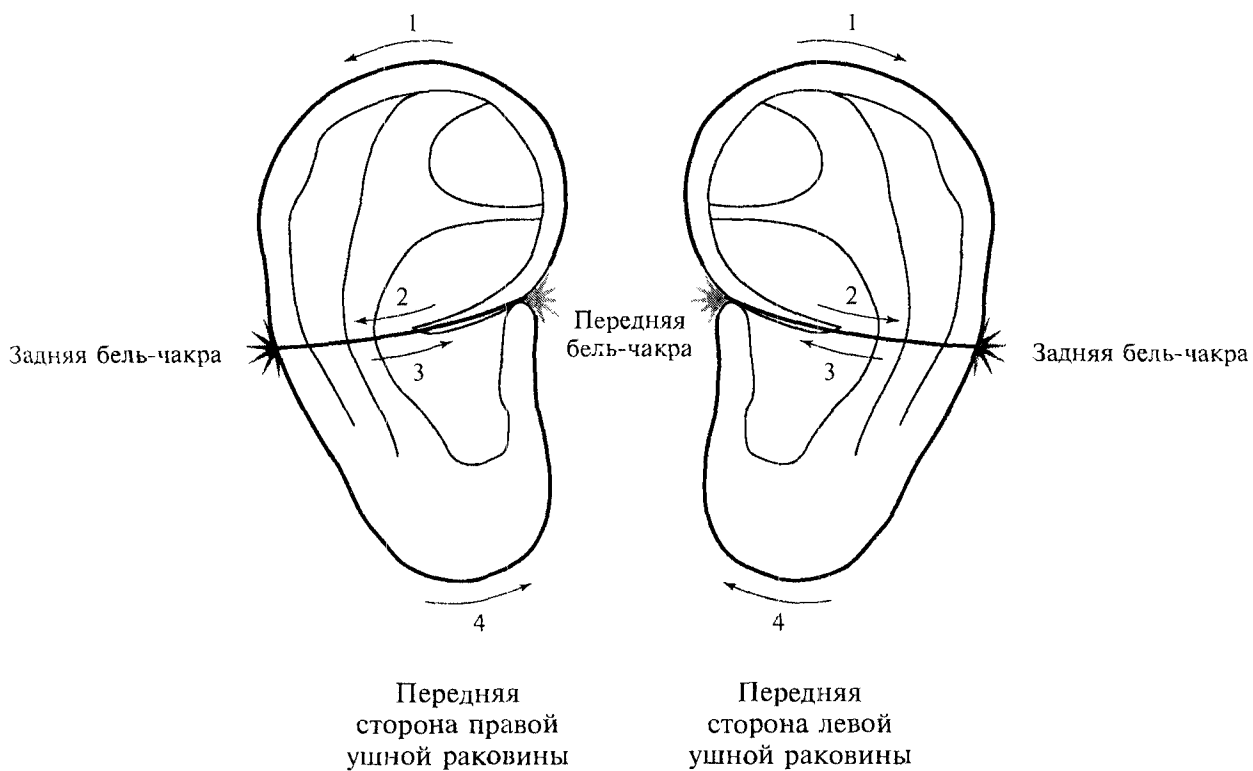
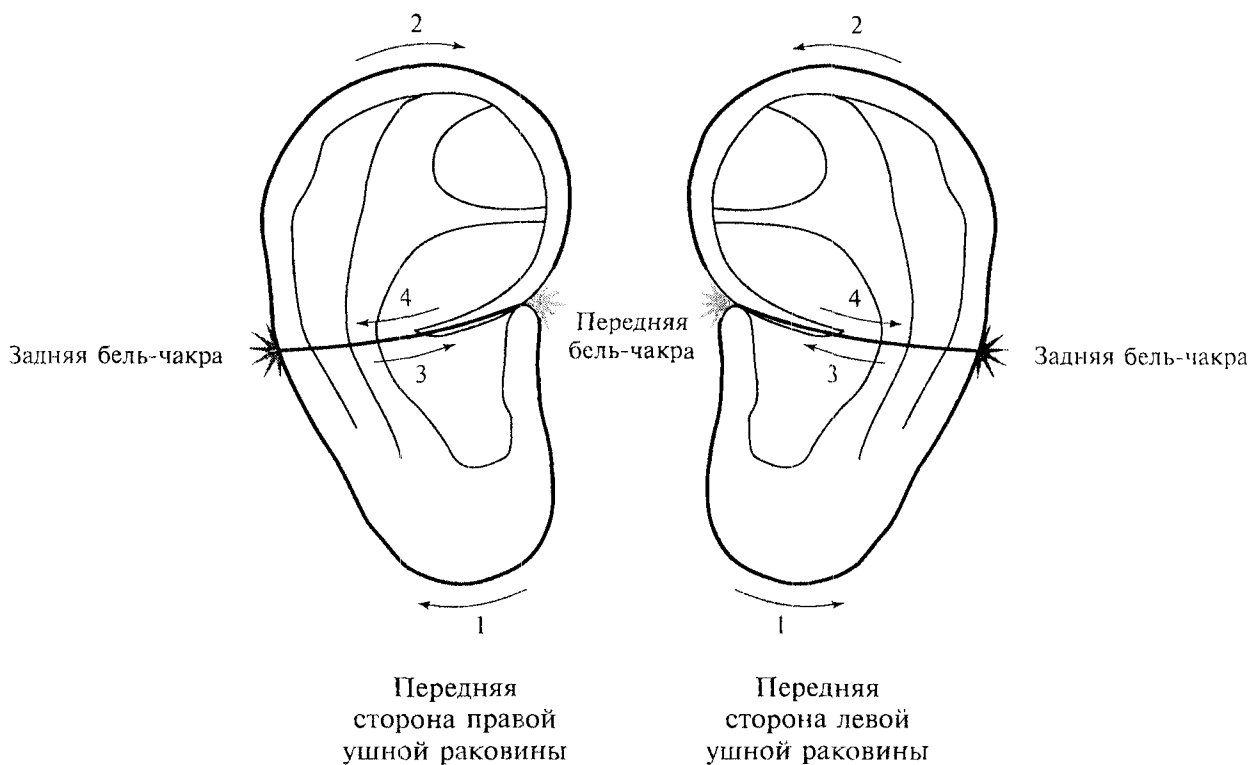


Рис. 387. Циркуляция единой энергии в сагиттальном сердцевином и центральном пограничном бѣль-меридианах. Тип I «голова вверху».

От передней внешней бѣль-чакры единая энергия направляется по верхнему сагиттальному сердцевиному (2) и верхнему центральному пограничному (1) бѣль-меридианам к задней внешней бѣль-чакре, затем возвращается в переднюю бѣль-чакру по нижнему сагиттальному сердцевиному (3) и нижнему центральному пограничному (4) бѣль-меридианам.



**Рис. 388.** Циркуляция индивидуальных энергий в сагиттальном сердцевинном и центральном пограничном бель-меридианах. Тип I «голова вверх».

*А-энергия направляется из задней внешней бель-чакры к передней бель-чакре по верхнему центральному пограничному бель-меридиану (2), затем по верхнему сагиттальному сердцевинному бель-меридиану (4) возвращается в заднюю бель-чакру.*

*УМ-энергия направляется из передней внешней бель-чакры к задней бель-чакре по нижнему центральному пограничному бель-меридиану (1), затем по нижнему сагиттальному сердцевинному бель-меридиану (3) возвращается в переднюю бель-чакру.*

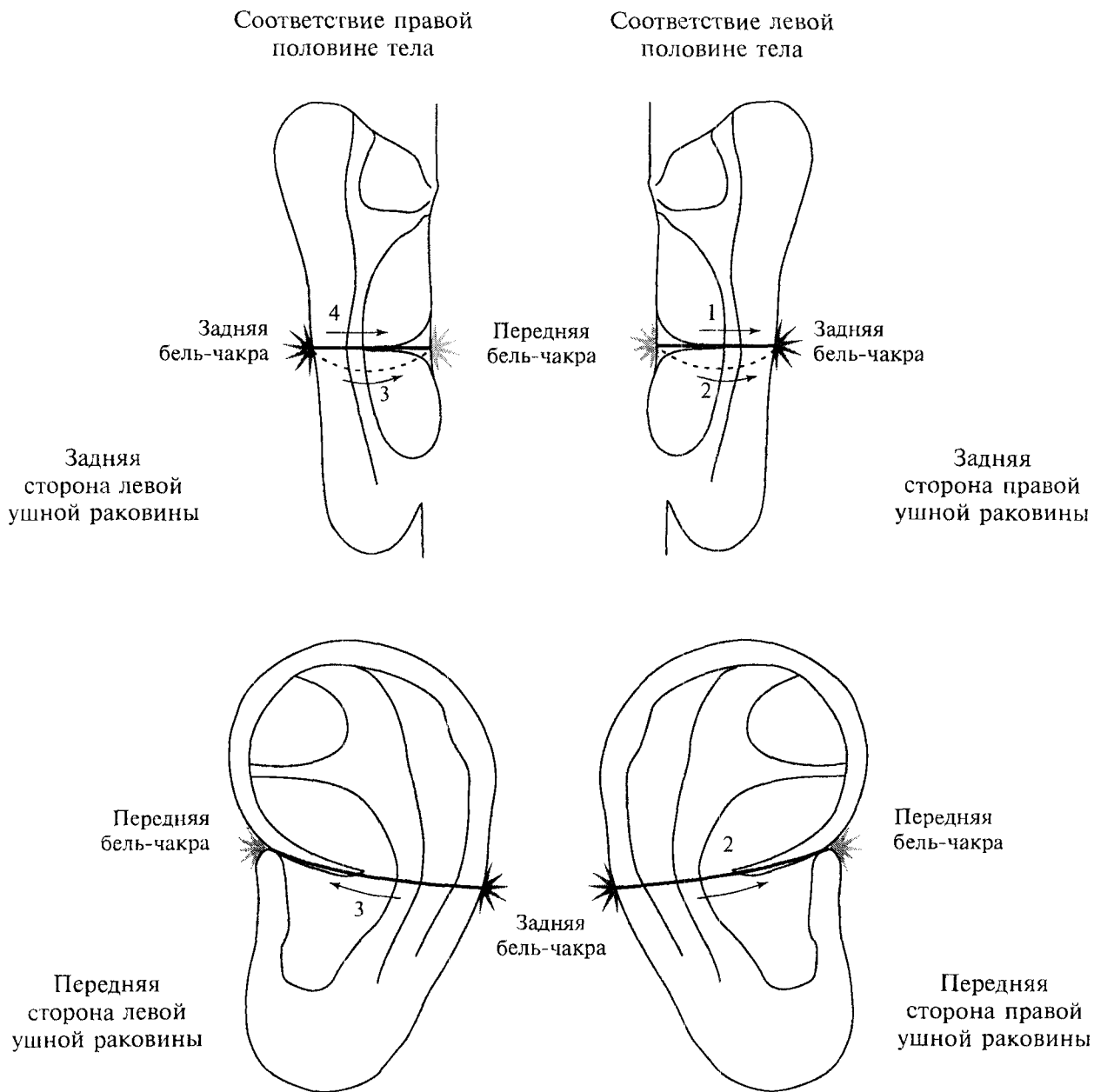
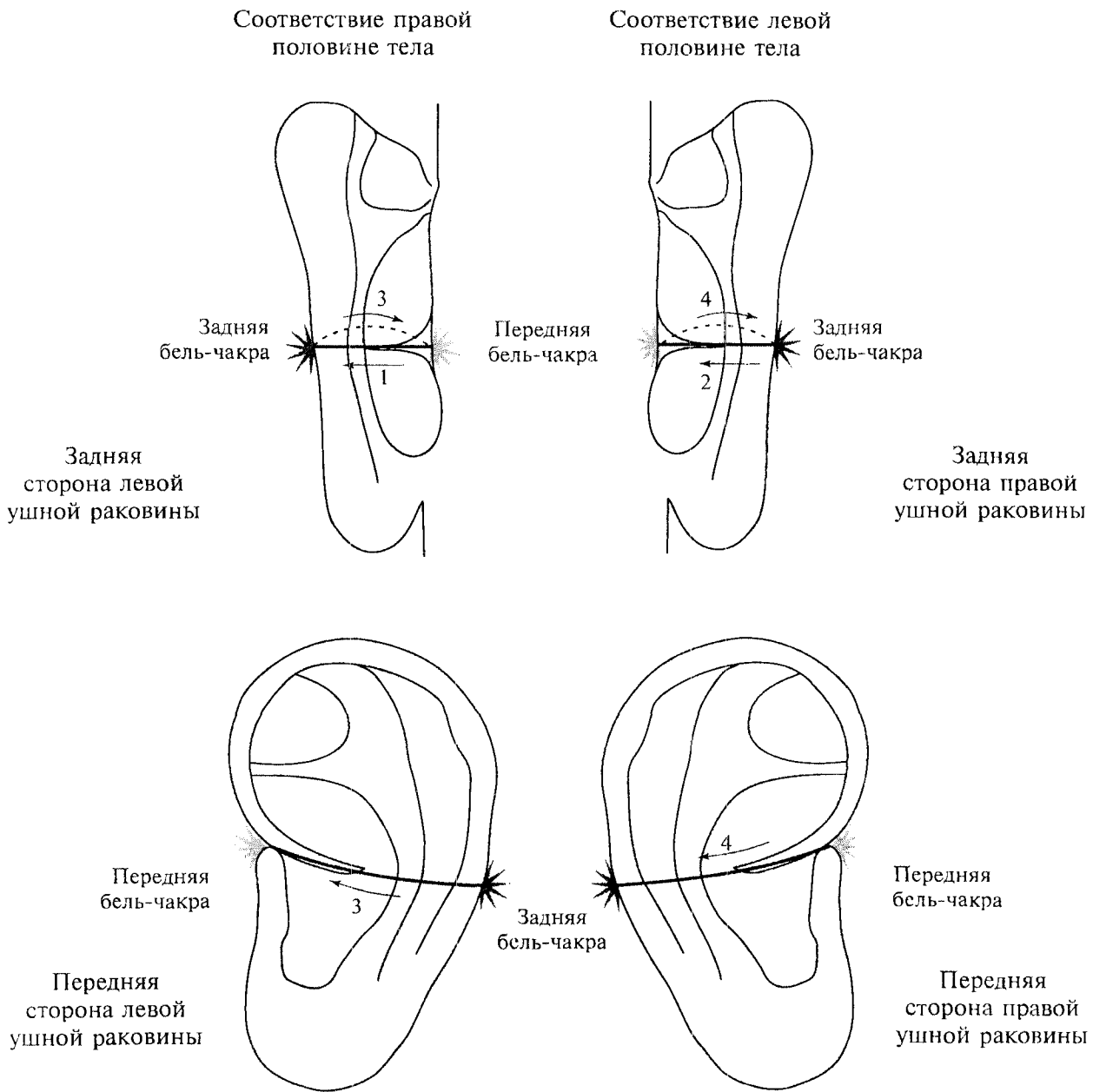


рис. 389. Циркуляция единой энергии в сагиттальном сердцевинном и диафрагмальном пограничном бэль-меридианах. Тип I «голова вверх».

От передней внешней бэль-чакры единая энергия направляется по левому сагиттальному сердцевинному (2) и левому диафрагмальному пограничному (1) бэль-меридианам к задней внешней бэль-чакре, затем возвращается в переднюю бэль-чакру по правому сагиттальному сердцевинному (3) и правому диафрагмальному пограничному (4) бэль-меридианам.



**Рис. 390.** Циркуляция индивидуальных энергий в сагиттальных сердцевинных и диафрагмальных пограничных бель-меридианах. Тип I «голова вверх».  
*А-энергия направляется из задней внешней бель-чакры к передней по левому диафрагмальному пограничному бель-меридиану (2), затем по левому сагиттальному сердцевинному бель-меридиану (4) возвращается в заднюю бель-чакру.*  
*УМ-энергия направляется из передней внешней бель-чакры к задней по правому диафрагмальному пограничному бель-меридиану (1), затем по правому сагиттальному сердцевинному бель-меридиану (3) возвращается в переднюю бель-чакру.*

## 5.2. Второй тип энергетической системы ушных раковин

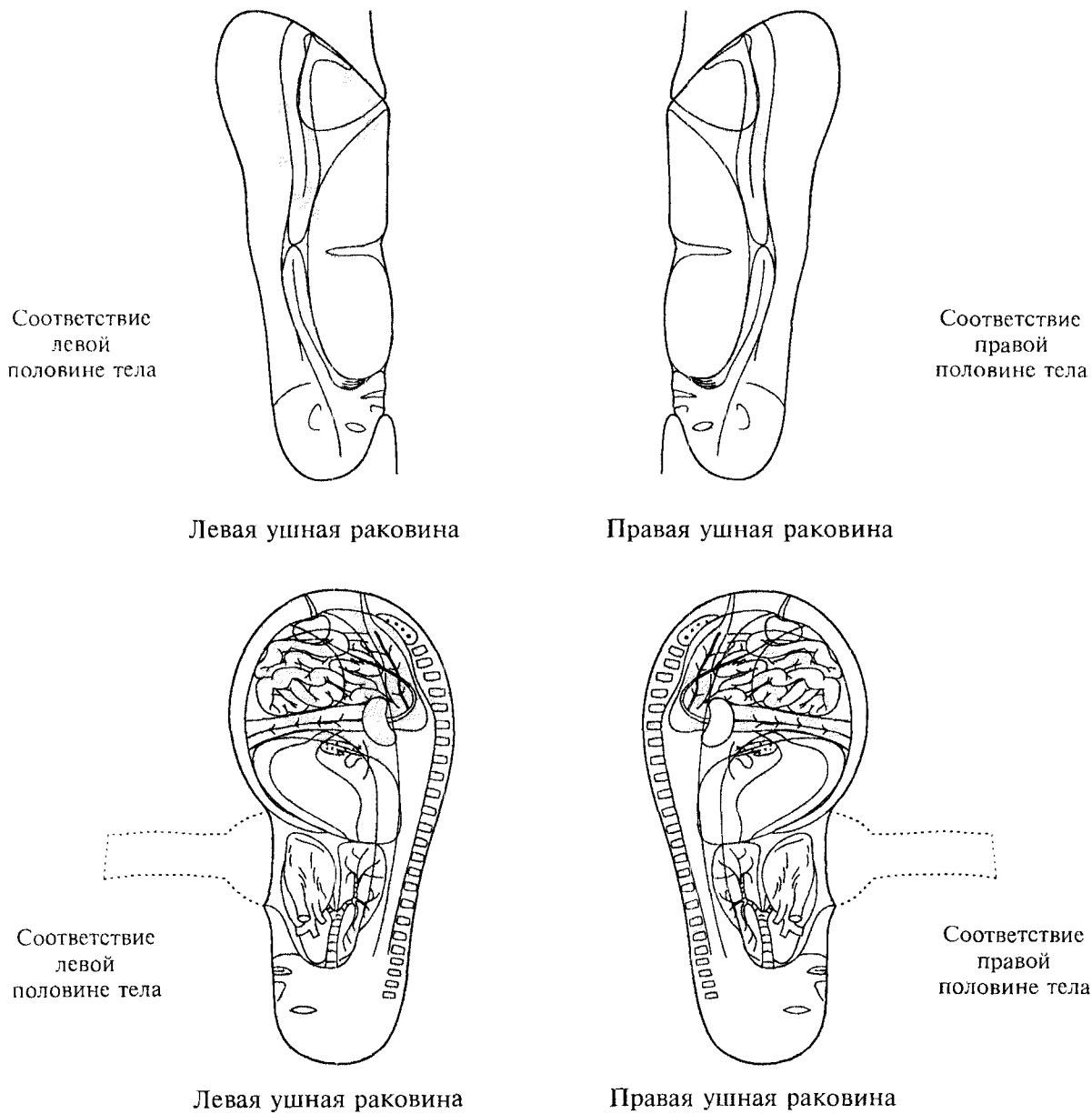
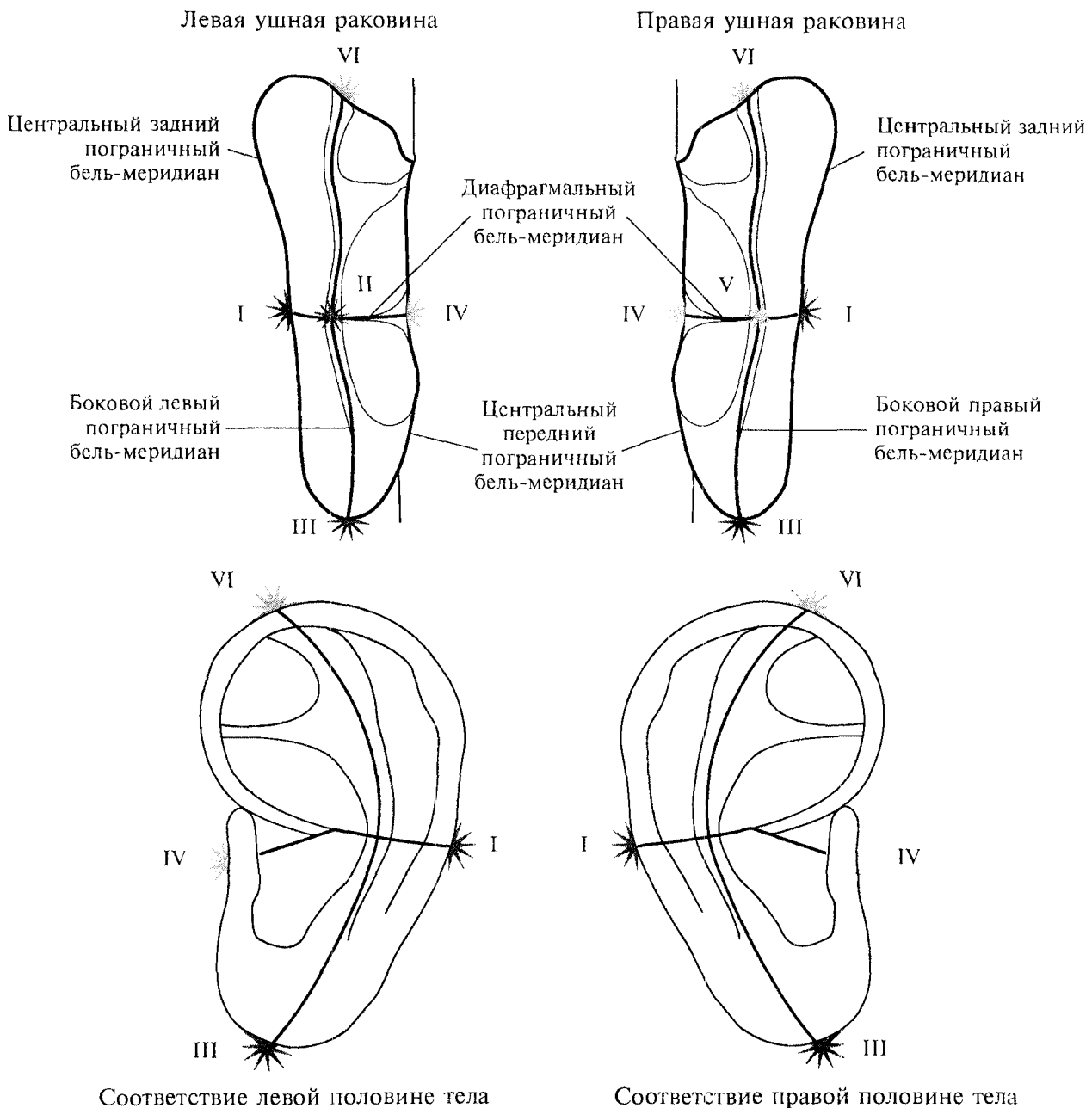


Рис. 391. Объединенная аурикулярная система соответствия плоду стадии жара. Тип II «голова вниз». В системе второго типа на ушных раковинах проекция тела расположена головой вниз и соответствие левой половине тела находится на левой ушной раковине, а соответствие правой половине тела — на правой ушной раковине.





**Рис. 392.** Пограничные бель-меридианы и внешние бель-чакры в объединенной аурикулярной системе соответствия плоду стадии жара. Тип II «голова вниз».  
 Пограничные меридианы имеют поверхностное расположение в теле, поэтому их проекции находятся на задних сторонах ушных раковин.  
 Внешние бель-чакры ушных раковин располагаются в местах пересечения пограничных бель-меридианов.

**I — задняя бель-чакра ветра**

Расположение: на наружном крае завитка, на уровне ножки завитка.

**II — левая бель-чакра тепла**

Расположение: на задней стороне левой ушной раковины, в бороздке противозавитка на уровне ножки завитка.

**III — верхняя бель-чакра жара**

Расположение: на крае середины мочки уха.

**IV — передняя бель-чакра влажности**

Расположение: в области козелка.

**V — правая бель-чакра сухости**

Расположение: на задней стороне правой ушной раковины, в бороздке противозавитка на уровне ножки завитка.

**VI — нижняя бель-чакра холода**

Расположение: на наружном крае завитка, на уровне верхней ножки противозавитка.

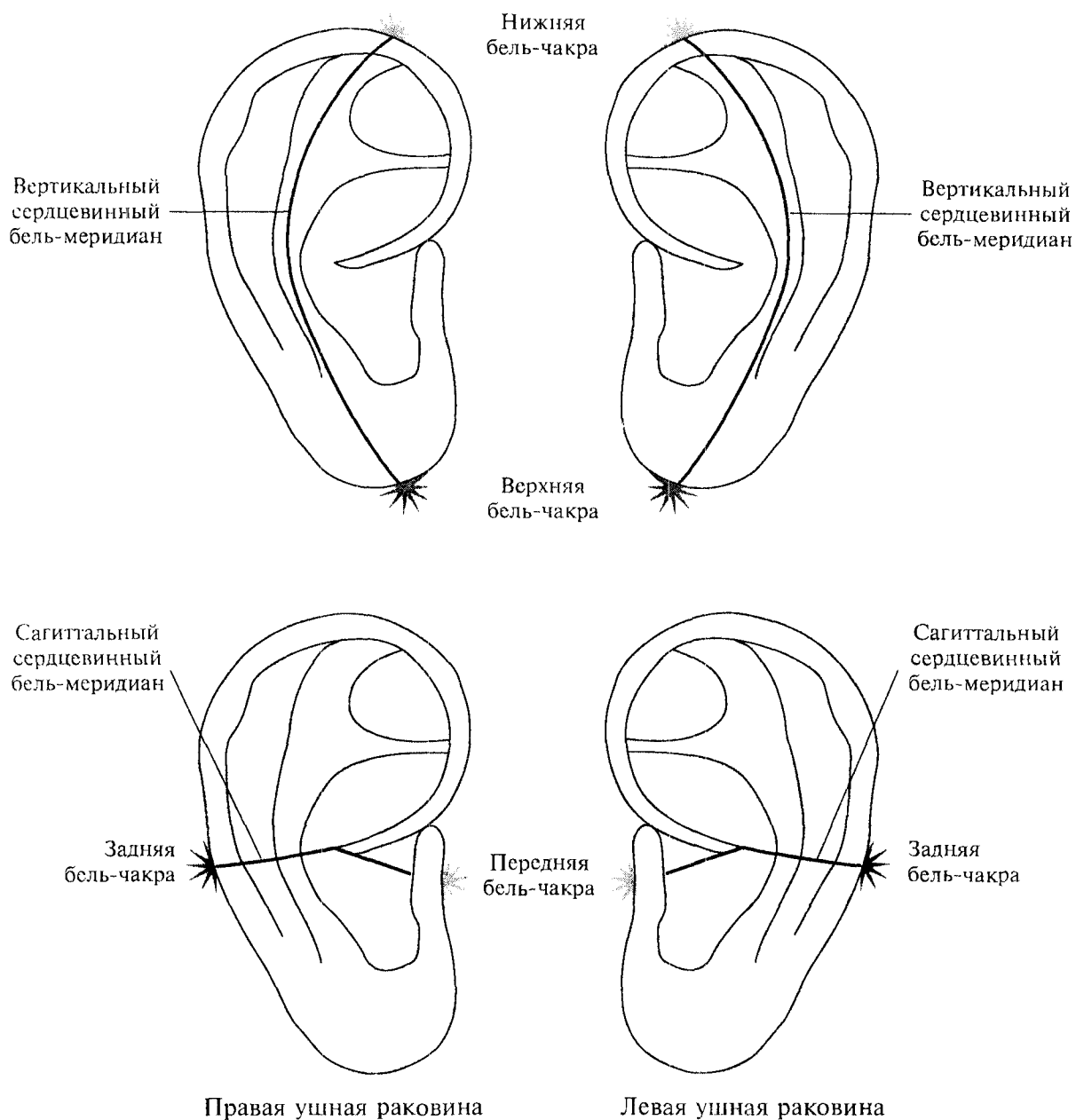
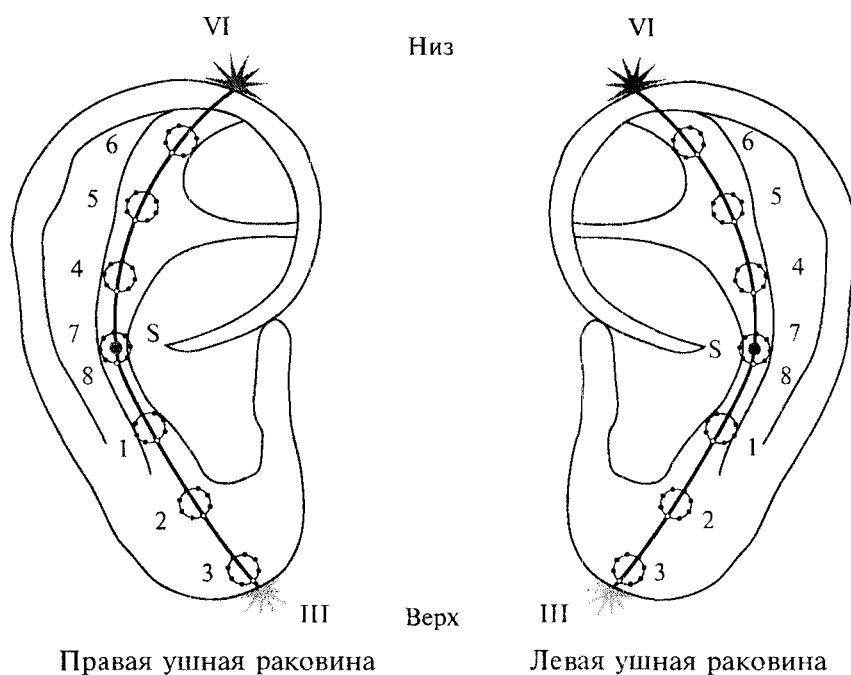


рис. 393. Сагиттальный и вертикальный сердцевинные бель-меридианы в объединенной аурикулярной системе соответствия плоду стадии жара. Тип II «голова вниз».

Во втором типе соответствие передней чакре располагается в области козелка.

Сагиттальный сердцевинный бель-меридиан ушной раковины проходит через наружный слуховой проход.



Правая ушная раковина

Левая ушная раковина

**Рис. 394.** Вертикальный сердцевинный бель-меридиан и внутренние бель-чакры в объединенных аурикулярных системах соответствия плоду стадии жара. Тип II «голова внизу». Вертикальный сердцевинный бель-меридиан и внутренние бель-чакры ушных раковин, как и вертикальный сердцевинный меридиан и внутренние чакры в теле, располагаются вдоль вертикальной оси.

1 — бель-чакра ветра

2 — бель-чакра тепла

3 — бель-чакра жара

4 — бель-чакра влажности

5 — бель-чакра сухости

6 — бель-чакра холода

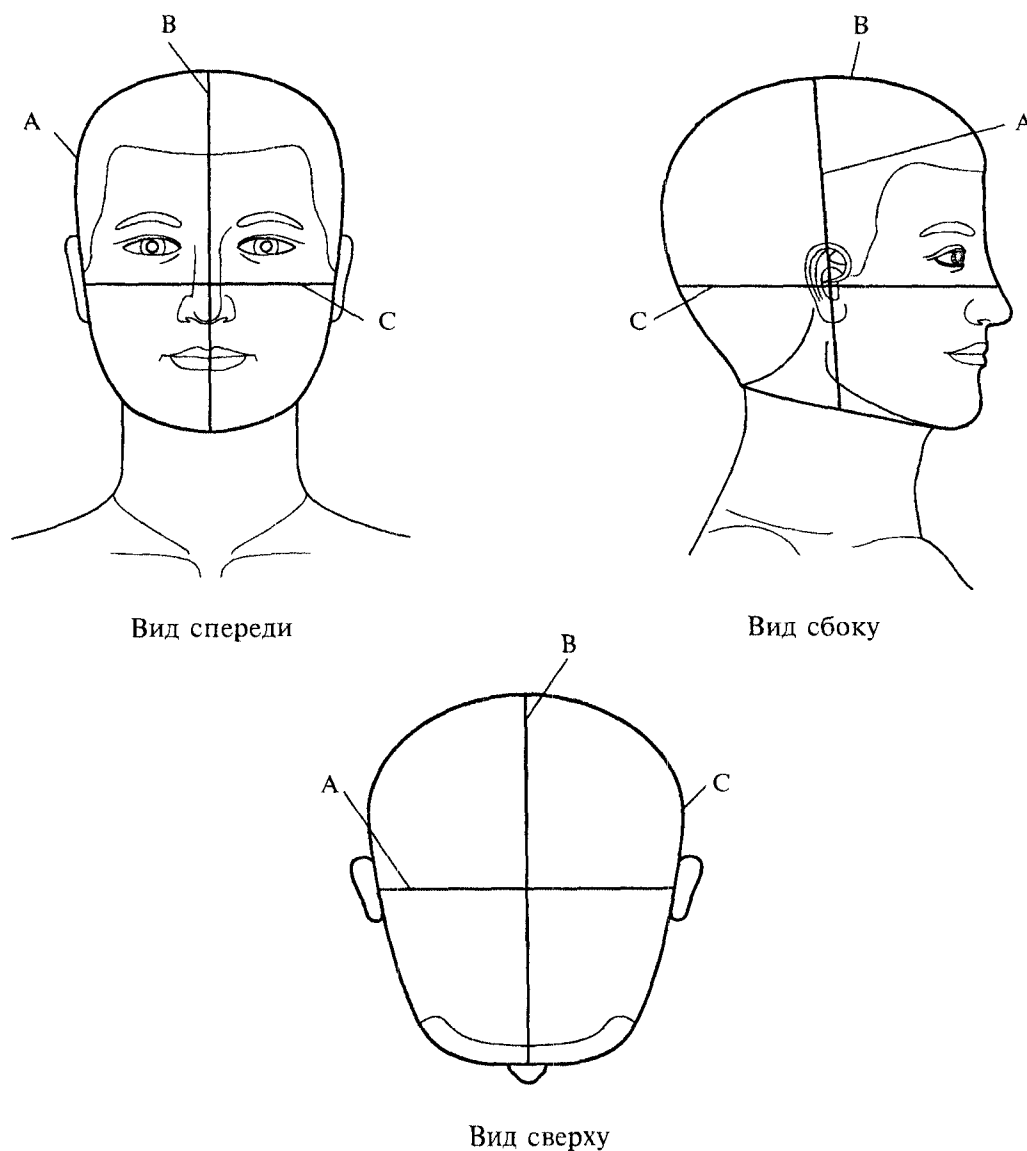
7 — бель-чакра света

8 — бель-чакра тьмы

S — солнечная бель-чакра

## Глава 6. Энергетическая система головы

Подобно Алмазной энергетической системе тела, существует отдельная Алмазная энергетическая система головы, представляющая собой совокупность пограничных и сердцевинных бѐль-меридианов, внутренних и внешних бѐль-чакр. Являясь энергетической системой высокого уровня, Алмазная система головы может успешно использоваться для лечения.

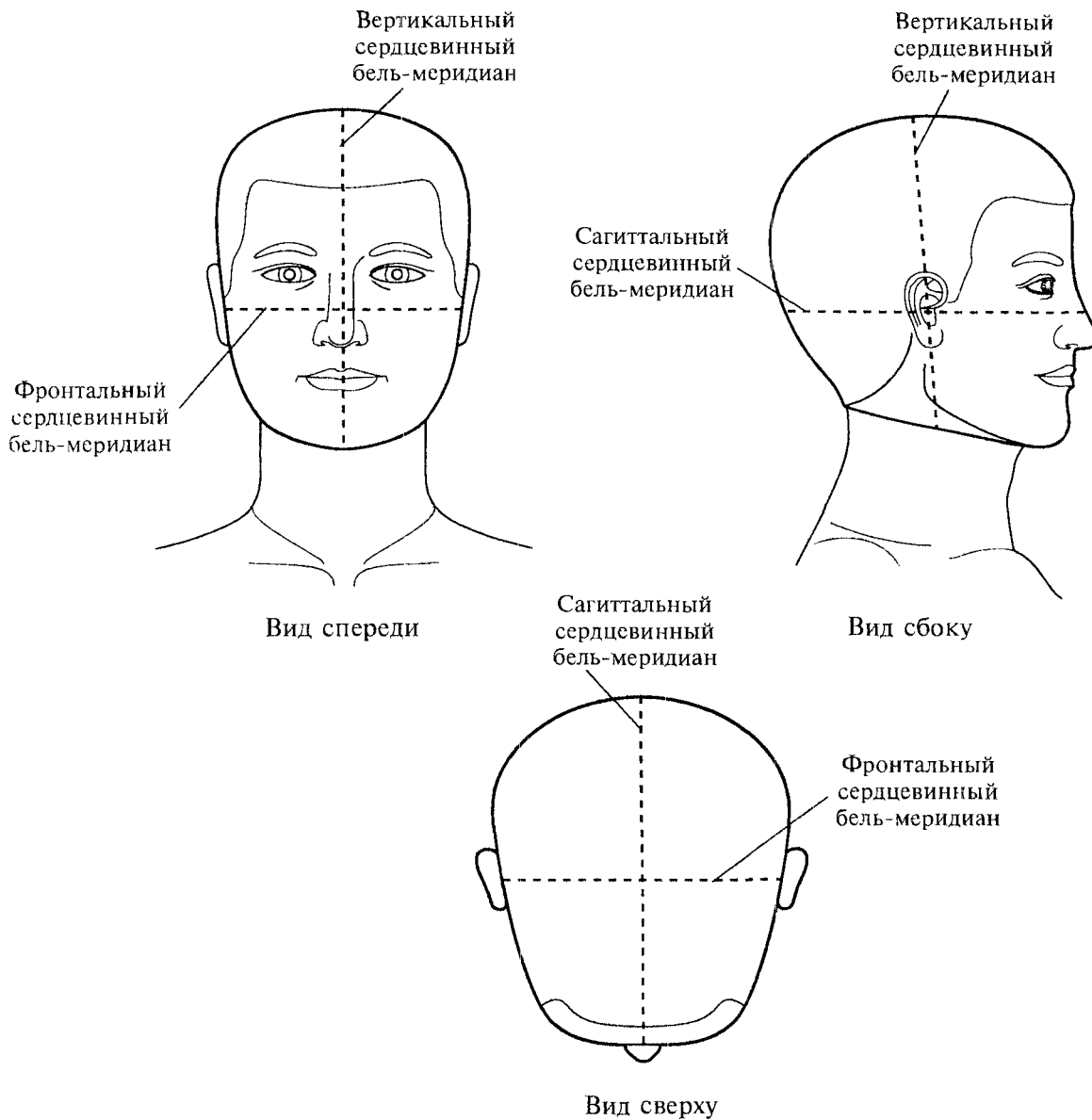


**Рис. 395.** Система пограничных бѐль-меридианов головы.

Боковой пограничный бѐль-меридиан (А) локализуется на границе Инь-Ян головы.

Центральный пограничный бѐль-меридиан (В) расположен по линии симметрии, проходящей между правой и левой половинами головы.

Горизонтальный пограничный бѐль-меридиан (С) представляет собой линию, соединяющую наружный затылочный выступ, наружные слуховые отверстия и точку на уровне носовых пазух черепа.



**Рис. 396.** Система сердцевинных бель-меридианов головы.  
Вертикальный сердцевинный бель-меридиан соединяет точку Y20 бай-хуэй, расположенную на макушке головы, и точку в области основания черепа, находящуюся спереди от I шейного позвонка.  
Фронтальный сердцевинный бель-меридиан соединяет точки в области левого и правого наружных слуховых проходов.  
Сагиттальный сердцевинный бель-меридиан представляет собой линию, соединяющую наружный затылочный выступ и область носовых пазух.

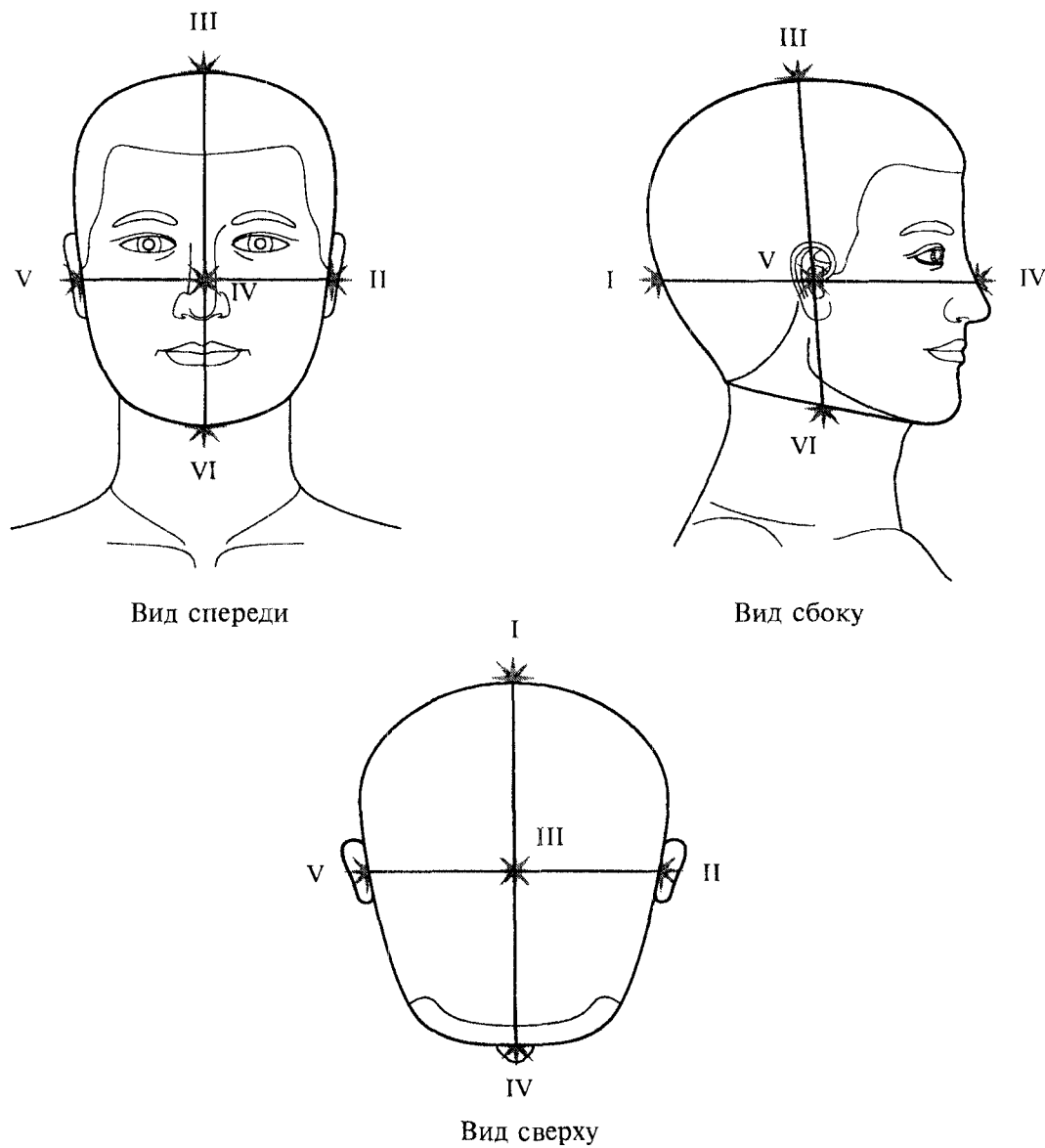


Рис. 397. Топография внешних бель-чакр головы.

**II** — задняя внешняя бель-чакра  
тепла

Расположение: ее центр расположен на уровне наружного затылочного выступа.

**I** — левая внешняя бель-чакра  
тепла

Расположение: ее центр расположен в области левого слухового прохода.

**III** — верхняя внешняя бель-чакра  
жара (Сахасрара)

Расположение: ее центр — точка Y20 бай-хуэй.

**IV** — передняя внешняя бель-чакра  
влажности

Расположение: ее центр расположен на спинке носа, на уровне носовых пазух черепа.

**V** — правая внешняя бель-чакра  
сухости

Расположение: ее центр расположен в области правого слухового прохода.

**VI** — нижняя внешняя бель-чакра  
холода

Расположение: ее центр расположен в основании черепа, спереди от I шейного позвонка.

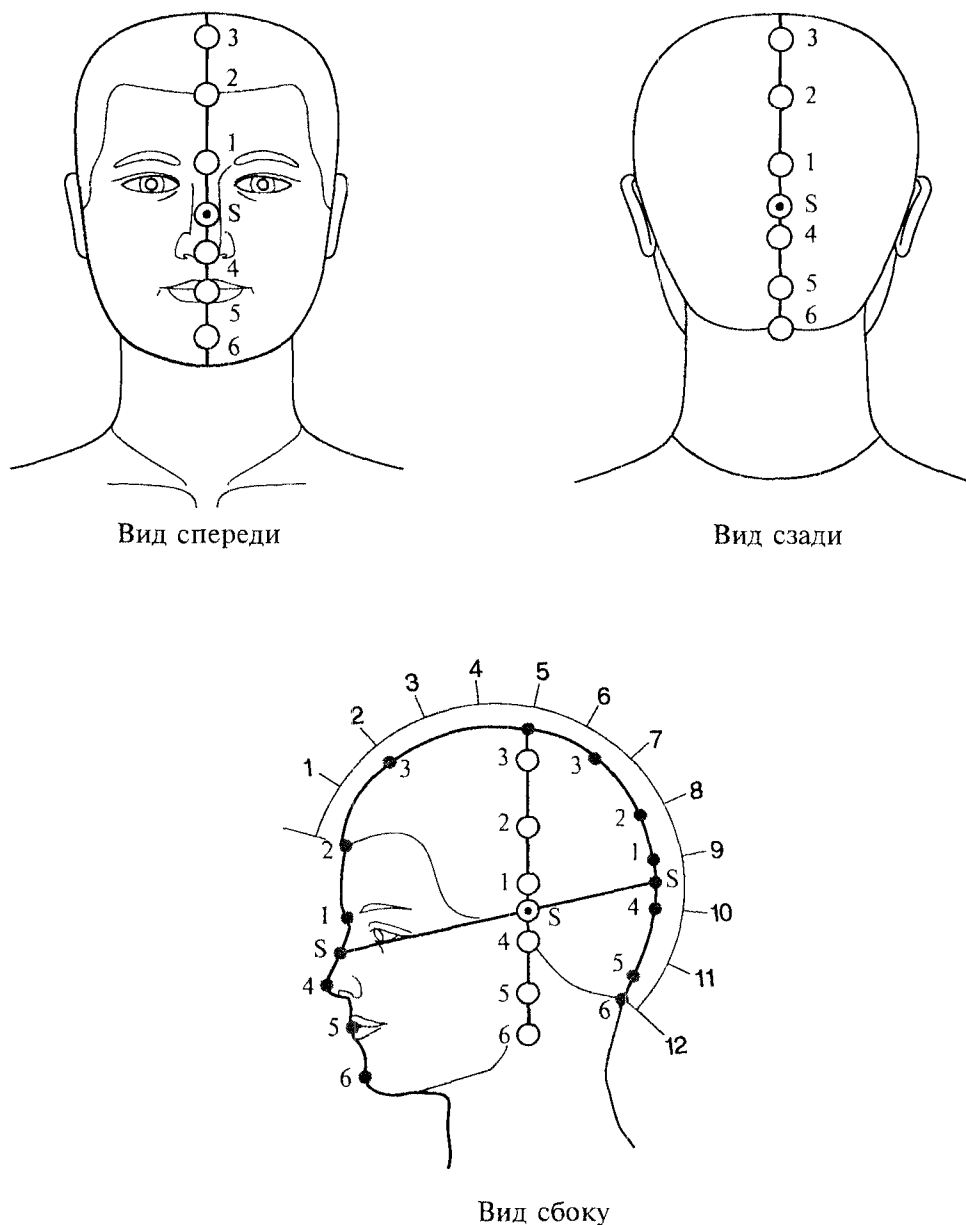


Рис. 398. Топография внутренних бель-чакр головы.

**S — солнечная бель-чакра**

Расположение: передняя проекция ее центра располагается на середине спинки носа, задняя проекция совпадает с точкой Y17 нао-ху.

**1 — бель-чакра ветра**

Расположение: передняя проекция ее центра располагается на уровне бровей и совпадает с точкой инь-тан, задняя проекция располагается на 3 цуня выше задней границы роста волос.

**2 — бель-чакра тепла**

Расположение: передняя проекция ее центра располагается на уровне пе-

редней границы роста волос. Задняя проекция совпадает с точкой Y18 цян-цзянь.

**3 — бель-чакра жара**

Расположение: передняя ее проекция совпадает с точкой Y22 синь-хуэй. Задняя проекция совпадает с точкой Y19 хоу-дин.

**4 — бель-чакра влажности**

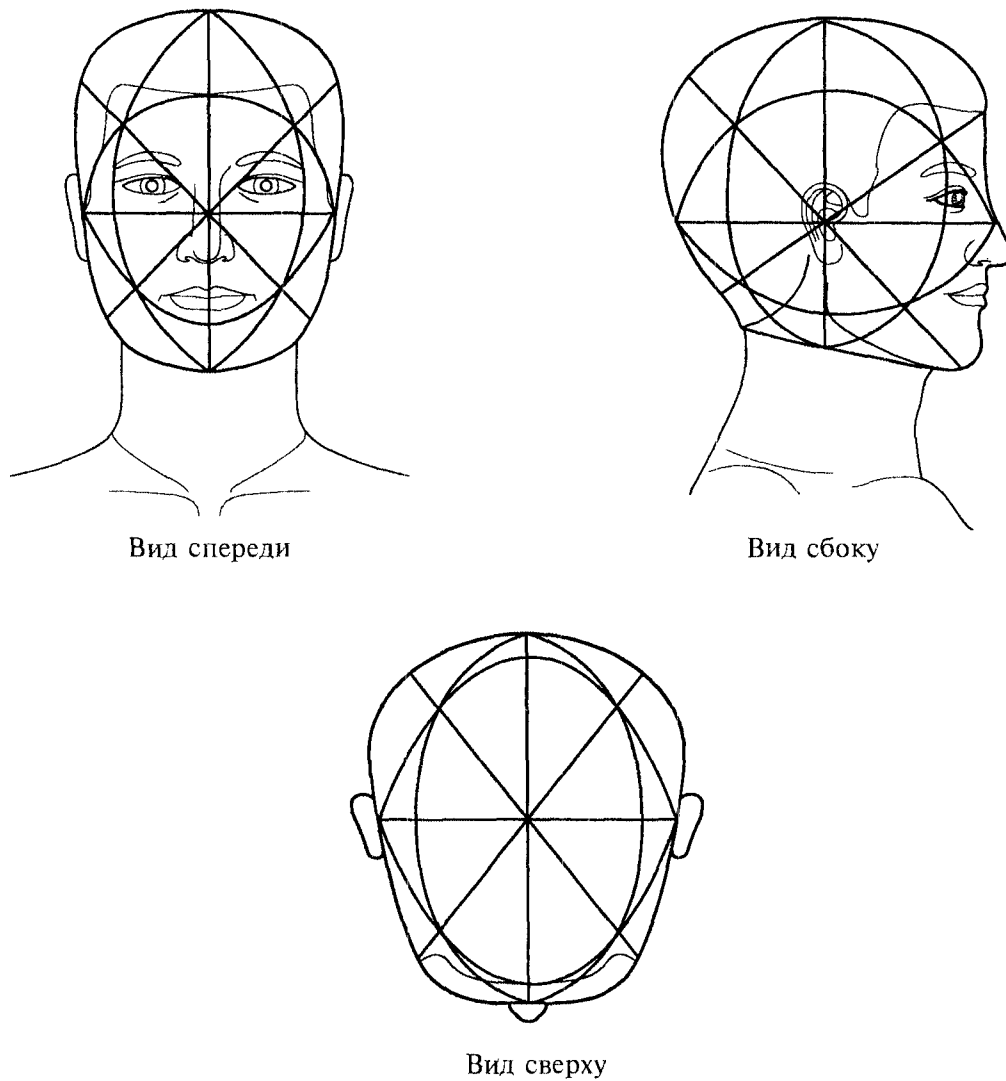
Расположение: передняя проекция ее центра совпадает с точкой Y25 су-ляо. Задняя проекция располагается на 2 цуня выше задней границы роста волос.

**5 — бель-чакра сухости**

Расположение: передняя проекция ее центра расположена на кончике языка. Задняя проекция совпадает с точкой Y15 я-мэнь.

**6 — бель-чакра холода**

Расположение: передняя проекция ее центра располагается в центре подбородка, задняя — на задней границе роста волос.



**Рис. 399.** Система двойных алмазов головы.

*Из первичного энергетического алмаза на втором этапе развития формируются вторичные алмазы с поворотом на 45° относительно каждой из его осей. В месте пересечения пограничных и сердцевинных бель-меридианов головы образуются дополнительные внешние чакры (энергетические ворота), определяющие особенности ее формы.*



## Глава 7. Энергетическая система суставов тела

В теле человека границы частей тела и их сегментов (суставы), а также границы внутренних органов характеризуются наличием энергетических потоков значительной силы. Сочленения тела связаны с периферическими А- и УМ-меридианами, границы внутренних органов — с периферическими АУ-меридианами (чудесными).

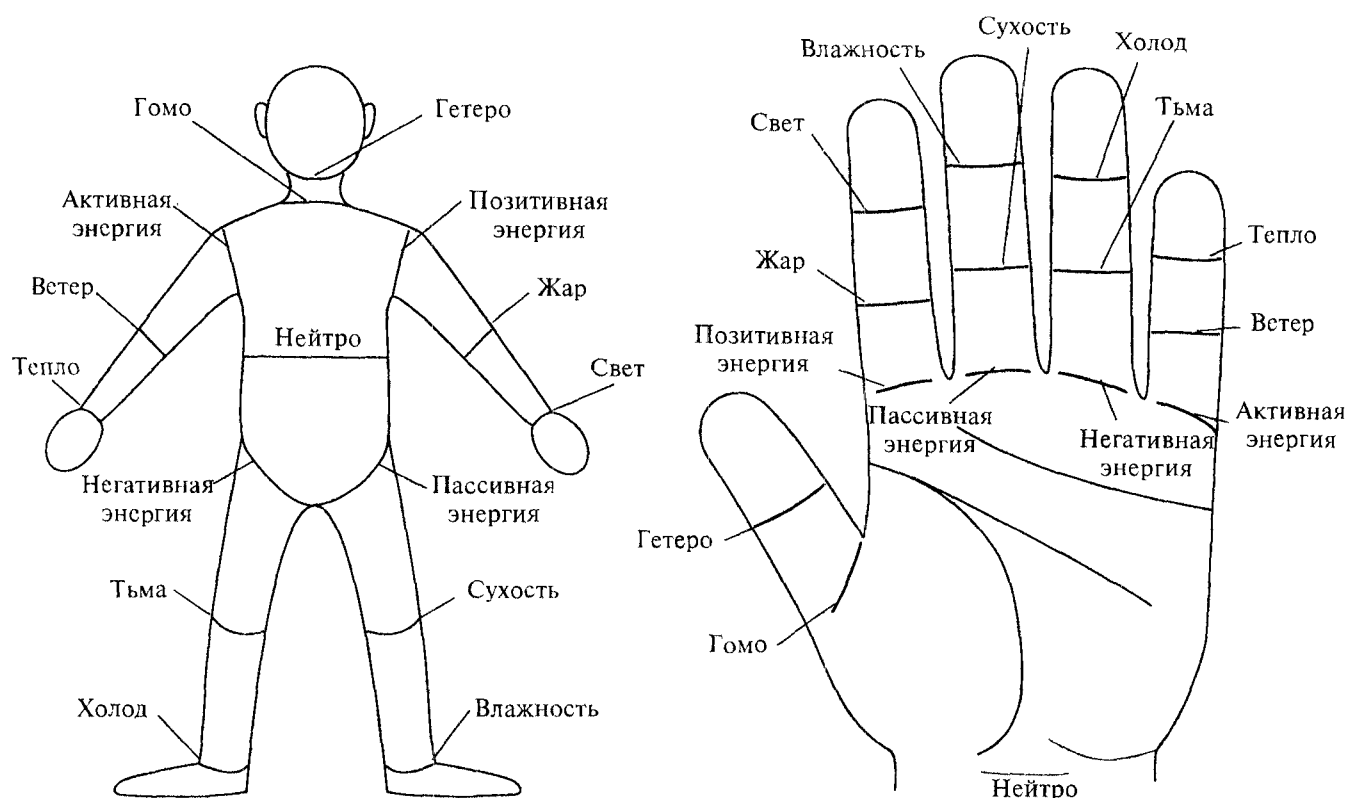


Рис. 400. Энергетическая система суставов тела и кисти в соответствии с Восьминальной последовательностью.

Восьминальная последовательность 1:2:4:8 ясно прослеживается в системе сочленений тела. **Нейтро**-сочленением является диафрагма, расположенная в центре тела. Атлanto-окципитальное сочленение (**Гетеро**) и сочленение между VII шейным и I грудным позвонками (**Гомо**) соответствуют уровню **Двух Полярностей**. Наиболее крупные суставы конечностей — два плечевых и два тазобедренных — являются **Четырьмя Соединениями**. Левый плечевой сустав связан с **позитивной** энергией,

правый плечевой — с **активной** энергией. В области левого тазобедренного сустава циркулирует **пассивная** энергия, а в области правого — **негативная** энергия.

Восемь Энергий последовательно проявляют себя на уровне более мелких суставов конечностей. Гетеро-энергии протекают в суставных меридианах рук, Гомо-энергии — в суставных меридианах ног. Правый локтевой сустав связан с энергией **ветра**, правый лучезапястный — с энергией **тепла**, левый локтевой —

с энергией **жара**, левый лучезапястный — с энергией **света**. В области левого голеностопного сустава циркулирует энергия **влажности**, в области левого коленного — энергия **сухости**. Правый голеностопный сустав снабжается энергией **холода**, правый коленный — энергией **тьмы**. В суставных меридианах кистей также протекает энергия разного качества в соответствии с проекцией суставов тела в стандартной системе соответствия. Данный тип распределения энергий является стандартным.

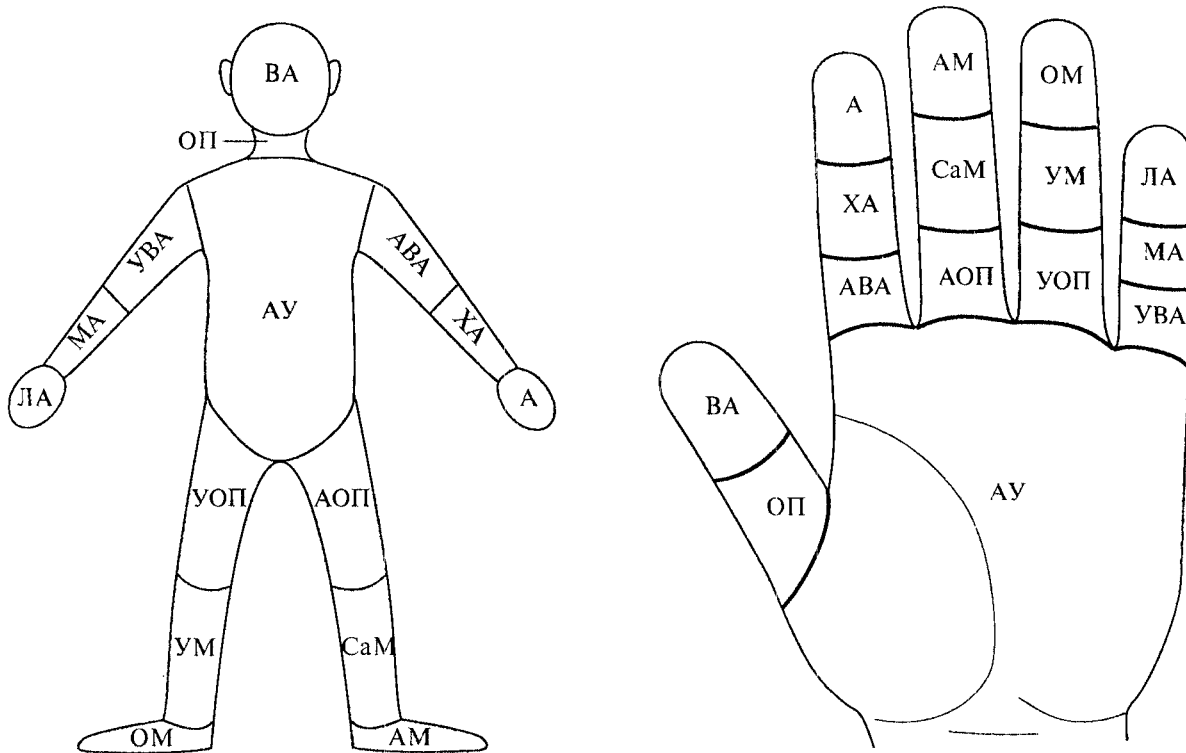
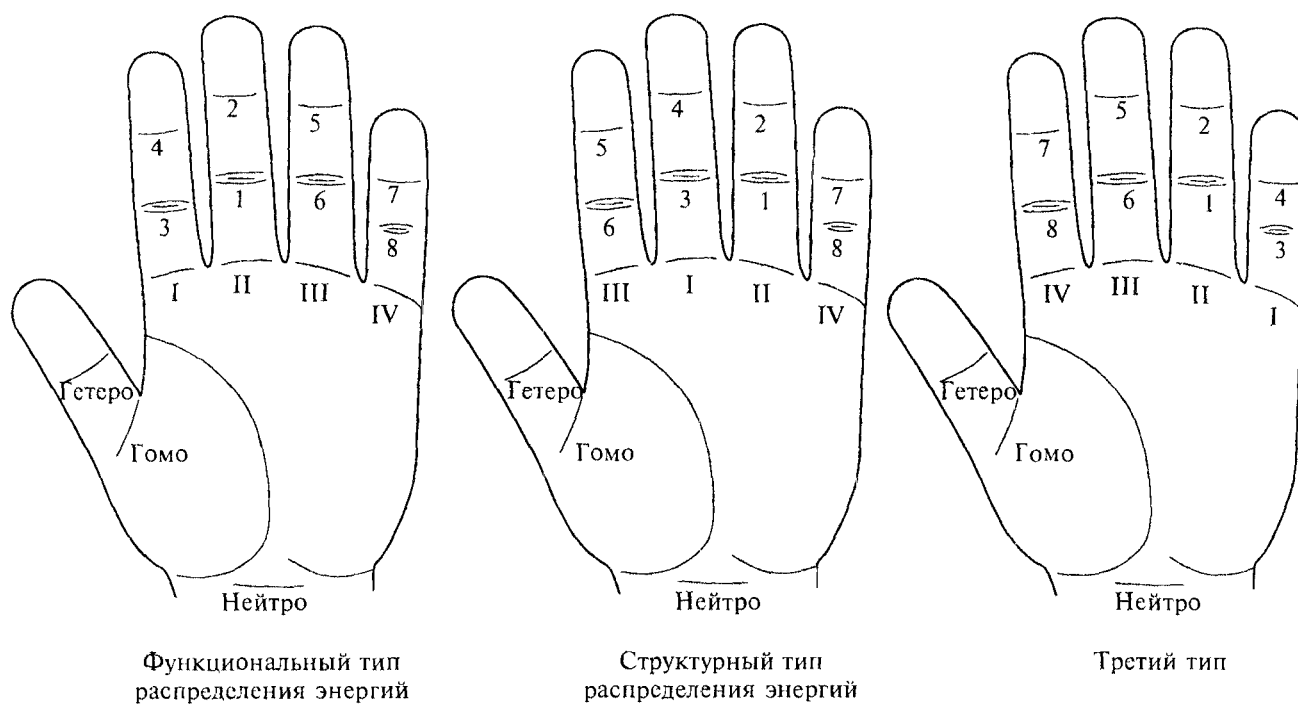


Рис. 401. Распределение Восьминачальной последовательности на суставах тела и кисти.



**Рис 402.** Дополнительные типы распределения энергий в суставных меридианах кисти (стопы). Функциональный тип распределения энергий определяется степенью активности II—V пальцев. Структурный тип распределения энергий объясняет разную величину пальцев. Средний палец имеет наибольшую длину, что связано с действием позитивной структурной энергии, обеспечивающей выраженное развитие. Маленькие размеры мизинца, напротив, обусловлены действием негативной структурной энергии. Третий тип распределения энергии связан с расположением II—V пальцев по отношению к большому пальцу. Чем дальше от источника (большой палец), тем больше влияние Гетеро-силы.

- I — позитивная энергия
- II — активная энергия
- III — пассивная энергия
- IV — негативная энергия

- |           |               |
|-----------|---------------|
| 1 — ветер | 5 — влажность |
| 2 — тепло | 6 — сухость   |
| 3 — жар   | 7 — холод     |
| 4 — свет  | 8 — тьма      |

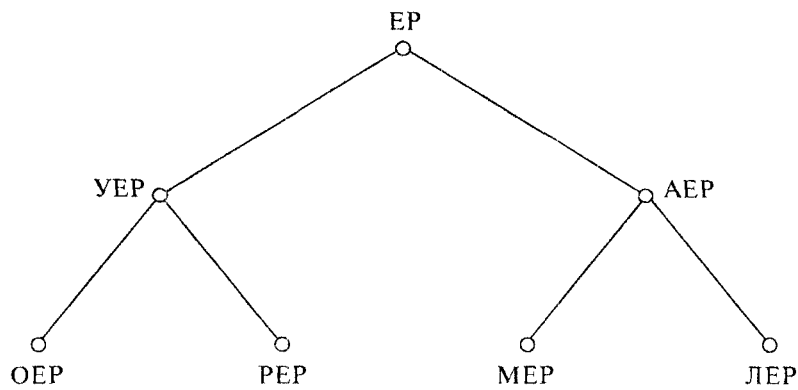
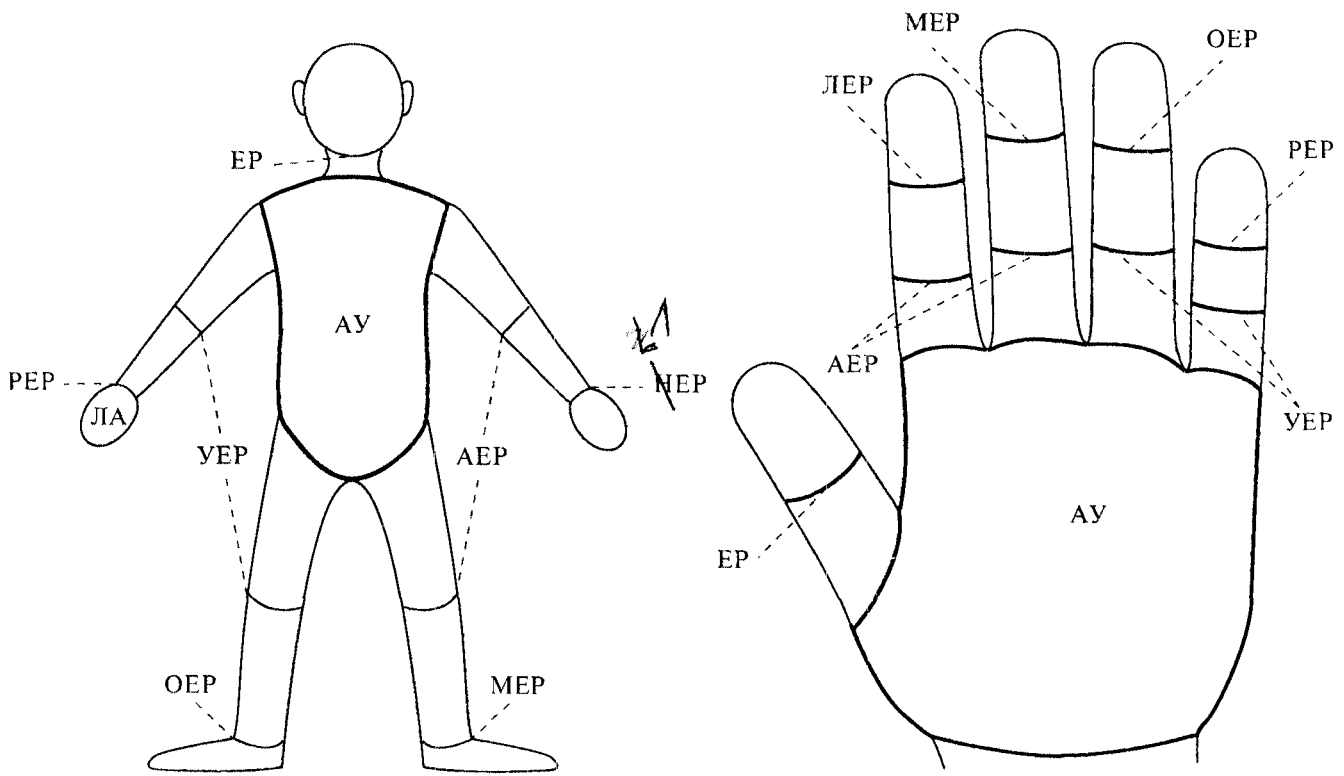


Рис. 403. Нейтро-последовательность Восьми Начал на суставах тела и кисти

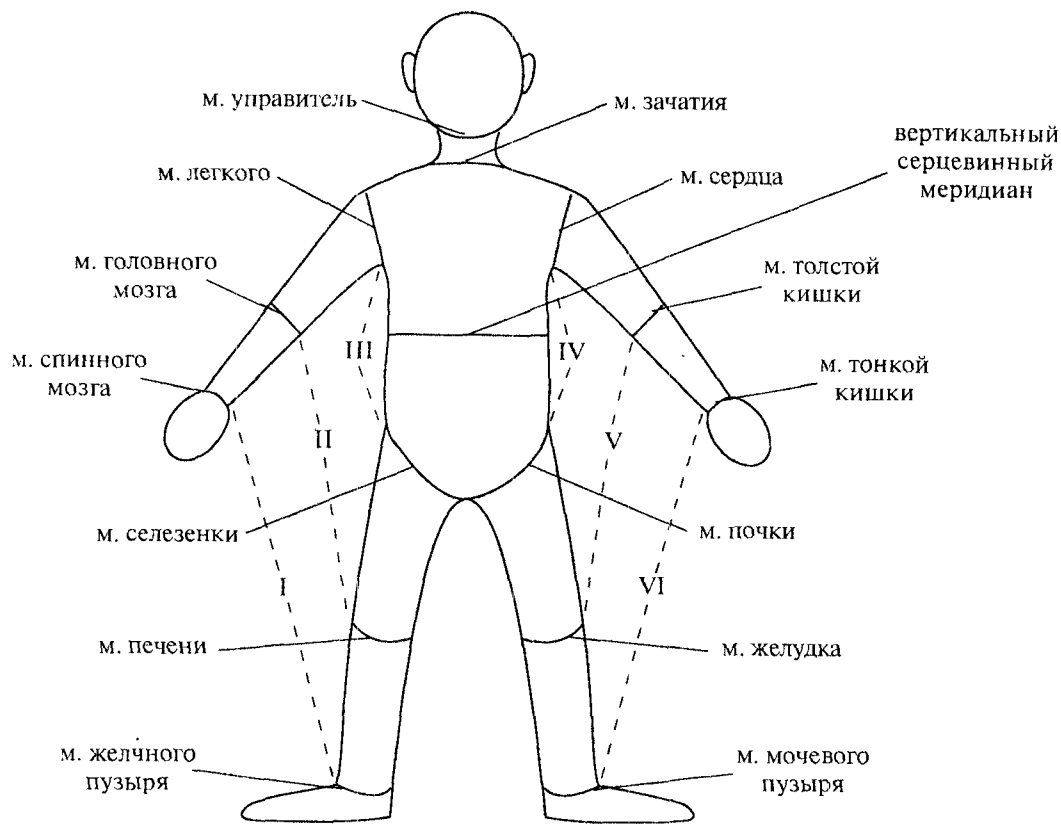


Рис. 404. Связь суставных меридианов с периферическими меридианами тела.

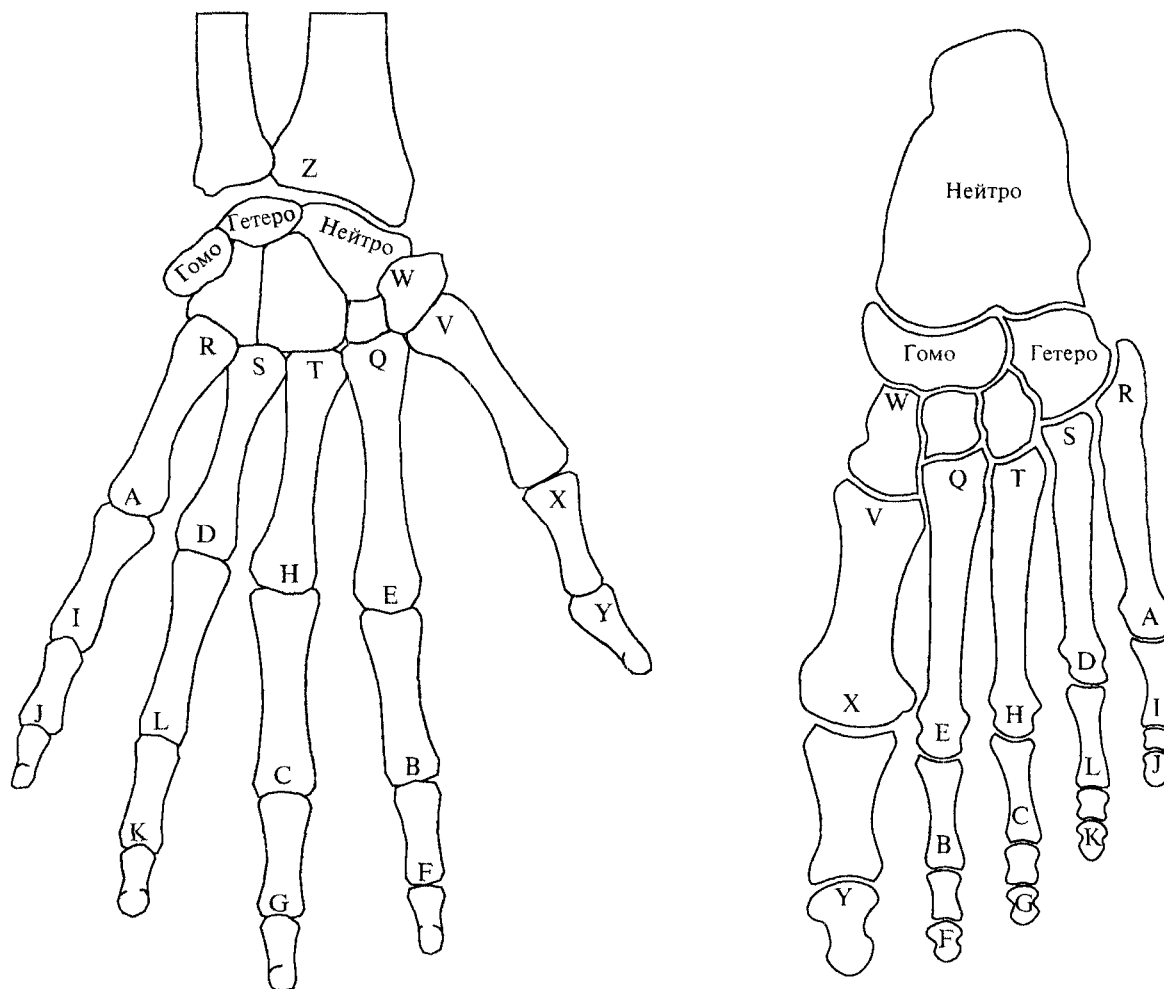
- I — Шао-ян
- II — Цзюе-инь
- III — Тай-инь
- IV — Шао-инь
- V — Ян-мин
- VI — Тай-ян

Суставные меридианы рук связаны с периферическими ручными меридианами, а суставные меридианы ног связаны с периферическими ножными меридианами.

Ножные и ручные меридианы составляют пары — длинные меридианы. Среди длинных меридианов наиболее выраженными Гетеро-свойствами обладают меридианы **Шао-ян** (меридиан спинного мозга и меридиан желчного пузыря) и **Тай-ян** (меридиан тонкой кишки и мериди-

ан мочевого пузыря). Соответствующие им суставные меридианы располагаются на дистальных (лучезапястных и голеностопных) суставах. Меридианы **Тай-инь** (меридиан селезенки и меридиан легкого) и **Шао-инь** (меридиан почки и меридиан сердца) обладают наиболее выраженными Гомо-свойствами. С ними связаны суставные меридианы плечевых и тазобедренных суставов. Меридианы **Цзюе-инь** (меридиан печени и меридиан головного мозга) и

**Ян-мин** (меридиан толстой кишки и меридиан желудка) — это длинные Нейтро-меридианы. Они имеют связь с суставными меридианами в области локтевых и коленных суставов. Меридиан управитель связан с атланта-окципитальным сочленением, меридиан зачатия — с сочленением между VII шейным и I грудным позвонками, вертикальный сердцевинный меридиан — с диафрагмой.



**Рис. 405.** Связь суставных меридианов кистей и стоп с периферическими меридианами тела. Периферические А- и УМ-меридианы соотносятся с пястно-фаланговыми и межфаланговыми суставами кистей и стоп. Периферические АУ-меридианы представлены суставными меридианами, расположенными в области, прилегающей к лучезапястному и голеностопному суставам.

У — м. управитель

Х — м. зачатия

А — м. легкого

В — м. толстой кишки

С — м. желудка

Д — м. селезенки

Е — м. сердца

Ф — м. тонкой кишки

Г — м. мочевого пузыря

Н — м. почки

И — м. головного мозга

Ж — м. спинного мозга

К — м. желчного пузыря

Л — м. печени

Q — наружный поддерживающий меридиан (Ян-вэй-май)

R — наружный пяточный меридиан (Ян-цзяо-май)

S — внутренний пяточный меридиан (Инь-цзяо-май)

T — внутренний поддерживающий меридиан (Инь-вэй-май)

V — опоясывающий меридиан (Дай-май)

W — поднимающийся меридиан (Чун-май)

Z — вертикальный сердцевинный меридиан

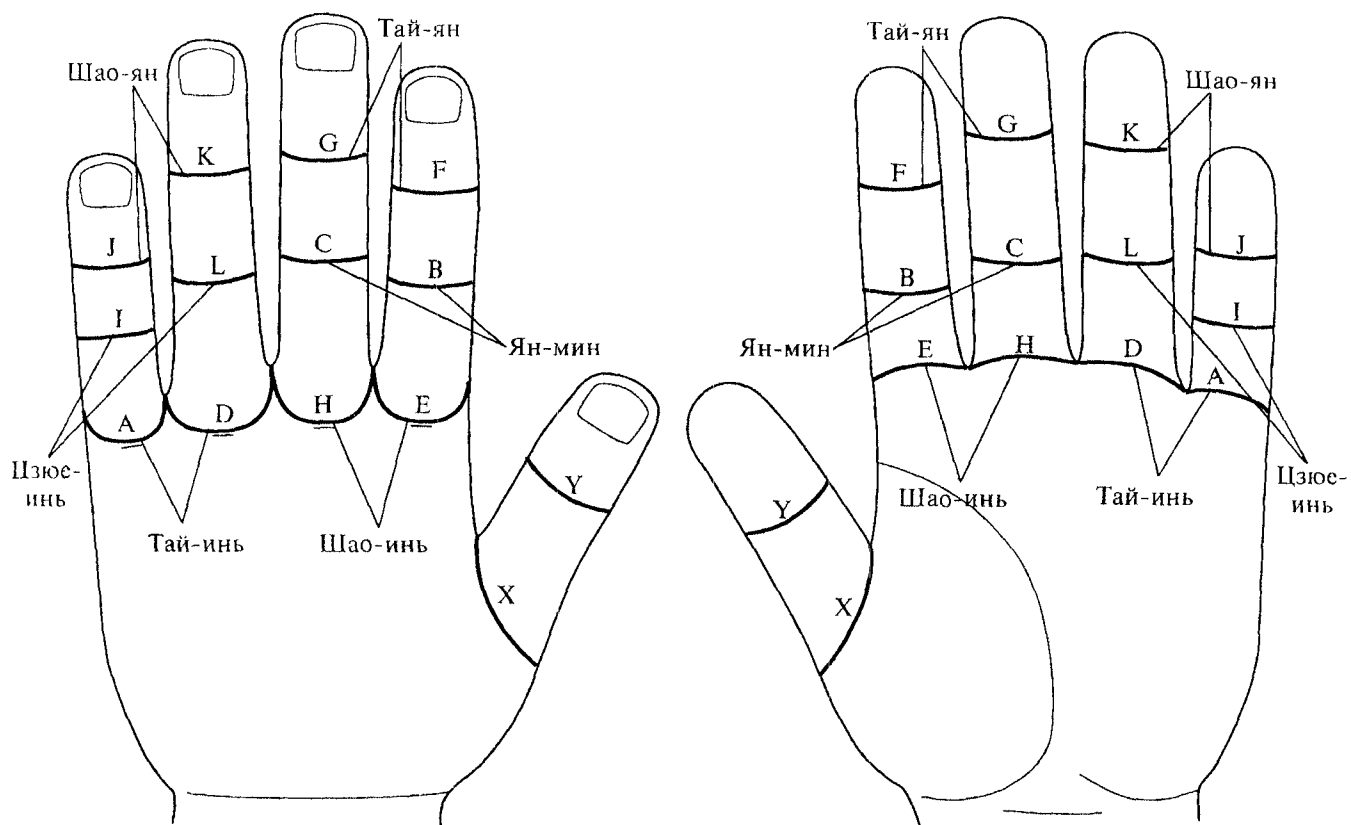


Рис. 406. Топография суставных меридианов кисти и их связь с периферическими А- и УМ-меридианами тела.

Y — м. управитель  
X — м. зачатия

A — м. легкого  
B — м. толстой кишки  
C — м. желудка  
D — м. селезенки  
E — м. сердца  
F — м. тонкой кишки

G — м. мочевого пузыря  
H — м. почки  
I — м. головного мозга  
J — м. спинного мозга  
K — м. желчного пузыря  
L — м. печени

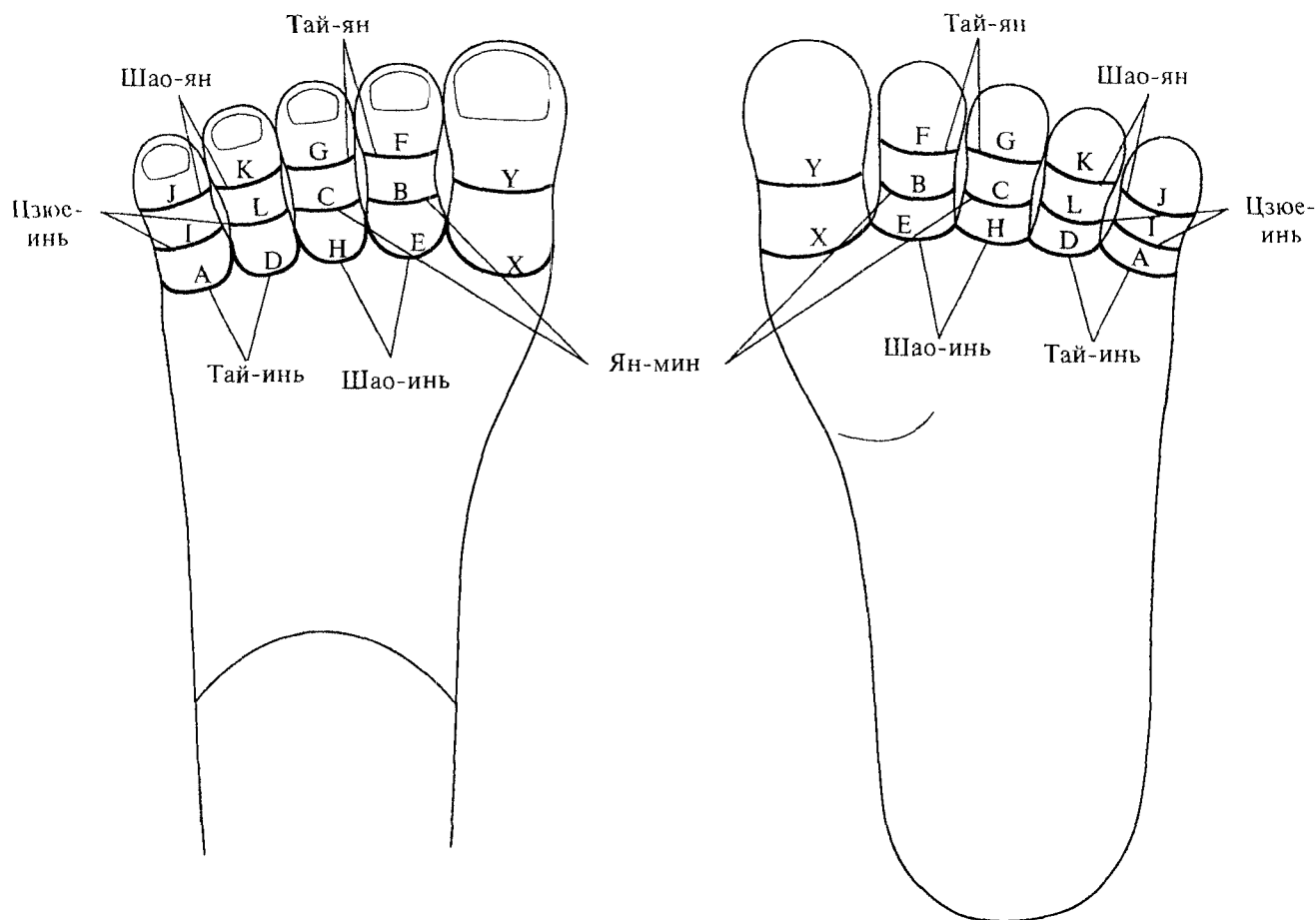


Рис. 407. Топография суставных меридианов стопы и их связь с периферическими А- и УМ-меридианами тела.

Y — м. управитель  
X — м. зачатия

A — м. легкого  
B — м. толстой кишки  
C — м. желудка  
D — м. селезенки  
E — м. сердца  
F — м. тонкой кишки

G — м. мочевого пузыря  
H — м. почки  
I — м. головного мозга  
J — м. спинного мозга  
K — м. желчного пузыря  
L — м. печени



## Глава 8. Энергетическая система линий ладонных поверхностей кистей

Подобно тому как энергия, несущая воду реки, оставляет на поверхности земли след в виде русла, энергетические потоки, присутствующие в теле человека, проявляют себя в форме углублений на коже. Линии характеризуются разной глубиной, шириной и протяженностью, по которым можно судить об интенсивности энергетических потоков.

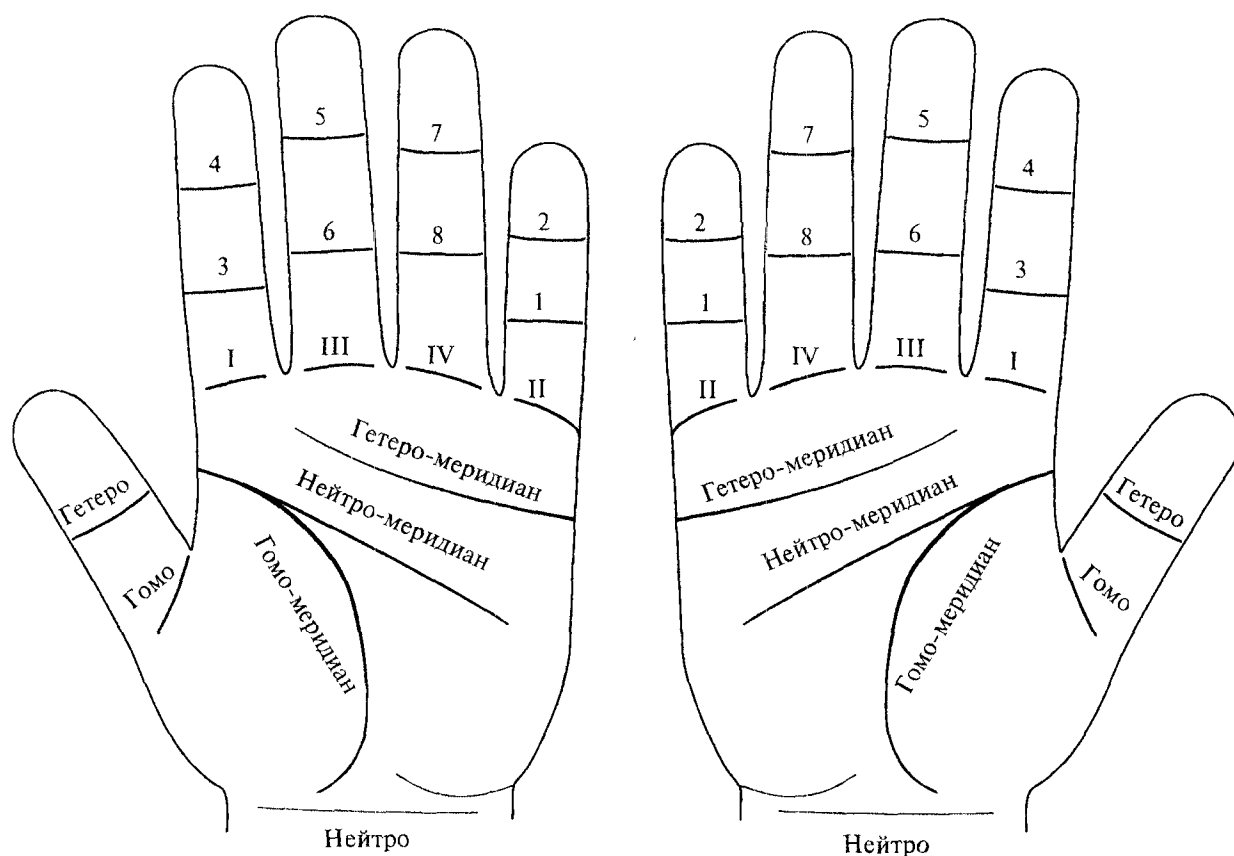


Рис. 408. Энергетическая система линий ладонных поверхностей кистей согласно Триначалию и Восьминачальной последовательности.

I — позитивная энергия	1 — ветер	5 — влажность
II — активная энергия	2 — тепло	6 — сухость
III — пассивная энергия	3 — жар	7 — холод
IV — негативная энергия	4 — свет	8 — тьма

Фундаментальные силы Триначалия Гомо, Гетеро и Нейтро проявляют себя через основные линии кисти. Меридиан, несущий фундаментальную энергию начального Нейтро, расположен на дистальной лучезапястной складке.

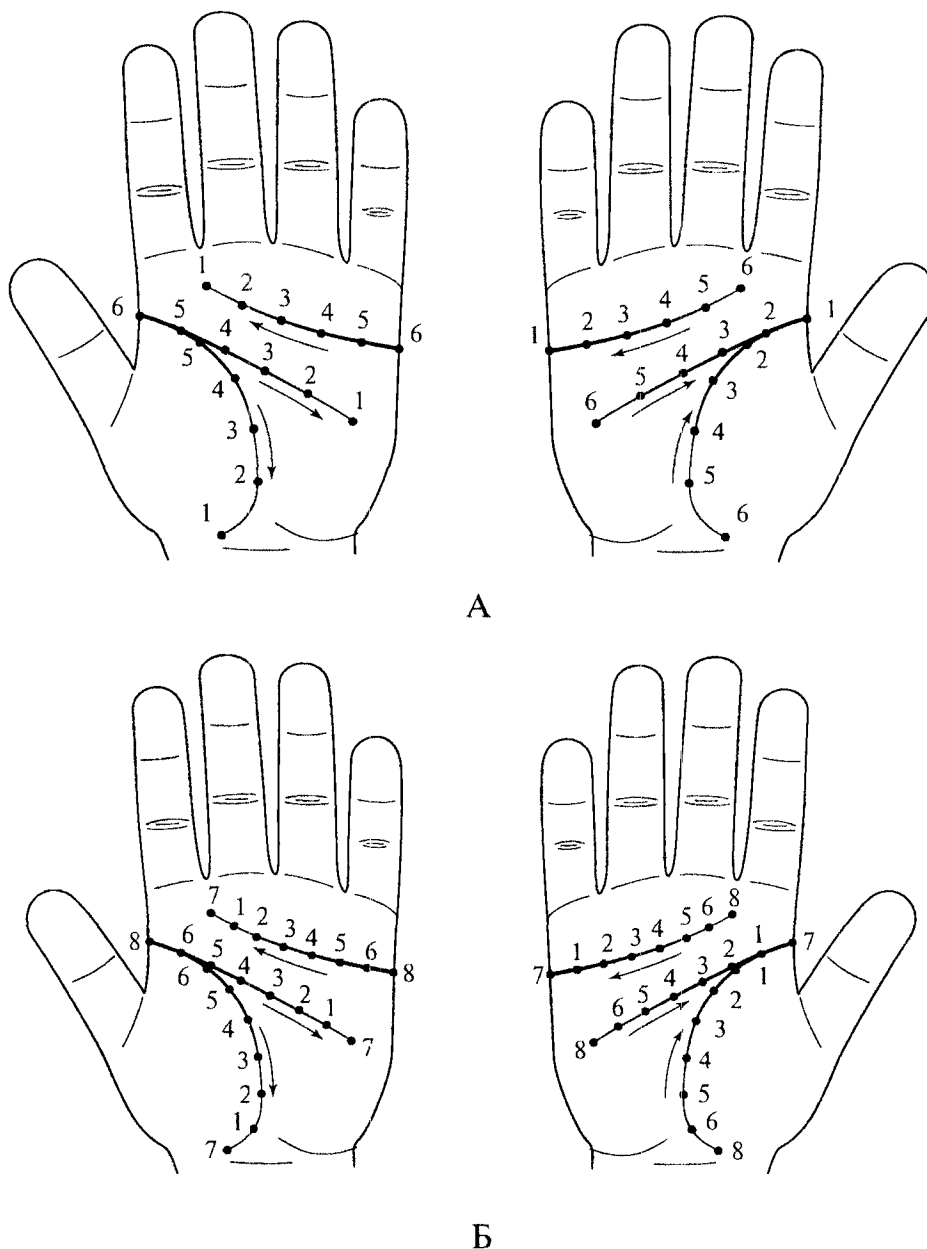
Энергия Двух Полярностей протекает по линиям, расположенным на Инь-поверхности пястно-фалангового и межфалангового суставов большого пальца.

Проксимальные линии пальцев (со II по V), ограничивающие их от ладон-

ной поверхности пальцев, связаны с энергиями Четырех Соединений.

Меридианы средних и дистальных линий этих пальцев несут энергии Восьми Начал.

Уровень Трех Начал проявляет себя через основные линии ладони.



ис. 409. Энергетические точки главных ладонных линий.

Единые энергии в линиях левой ладони (Гетеро) движутся в направлении от широкой части каждой линии к узкой, подобно тому как в артериальной части кровеносной системы (Гетеро) движение крови осуществляется в направлении от крупных сосудов к более мелким. Единые энергии в линиях правой руки (Гомо) движутся в противоположном направлении по аналогии с венозной частью кровеносной системы.

А — точки Шести Энергий

Б — точки Восьми Энергий

1 — жар

2 — тепло

3 — ветер

4 — влажность

5 — сухость

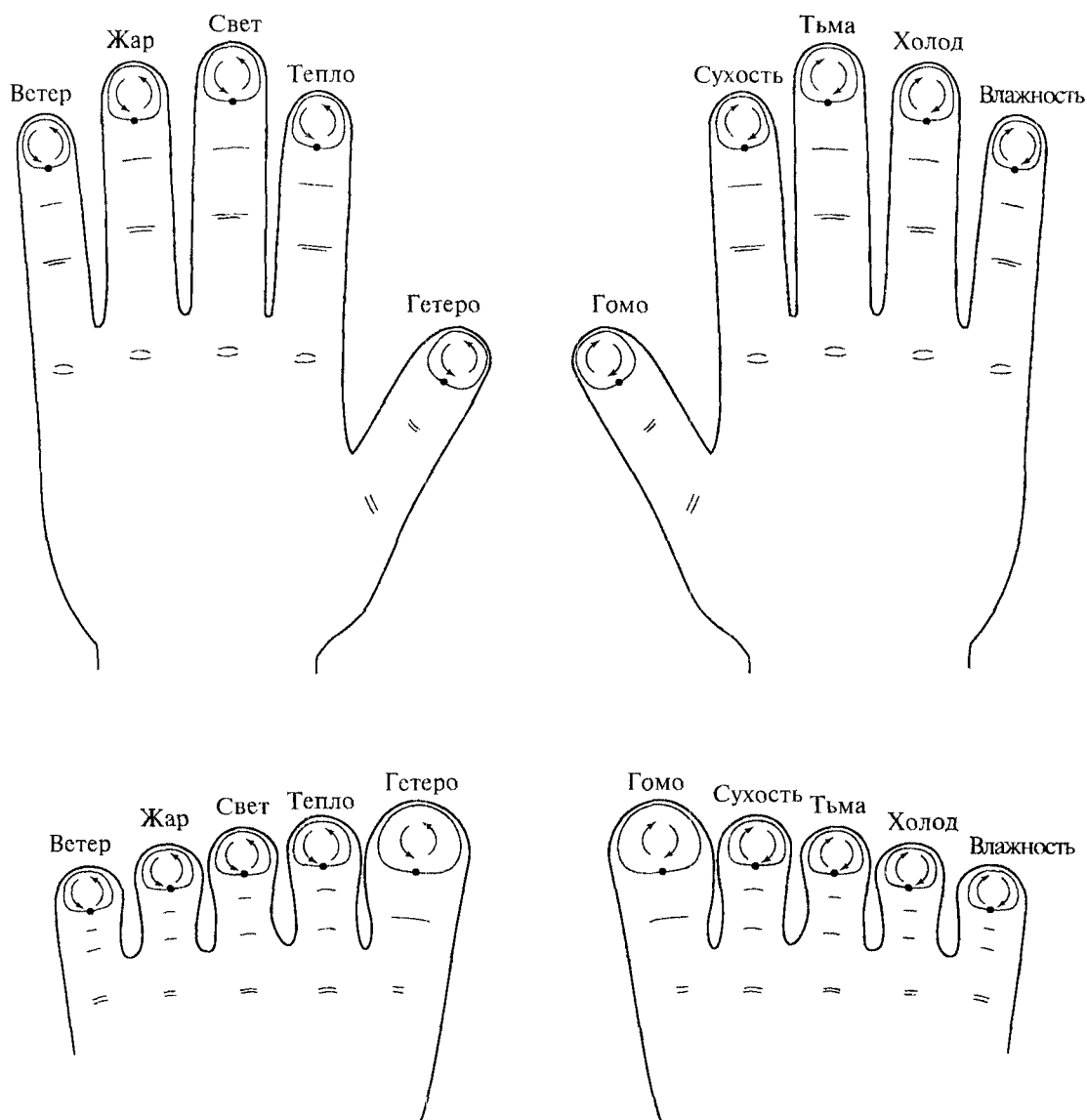
6 — холод

7 — свет

8 — тьма

## Глава 9. Энергетическая система ногтевых меридианов

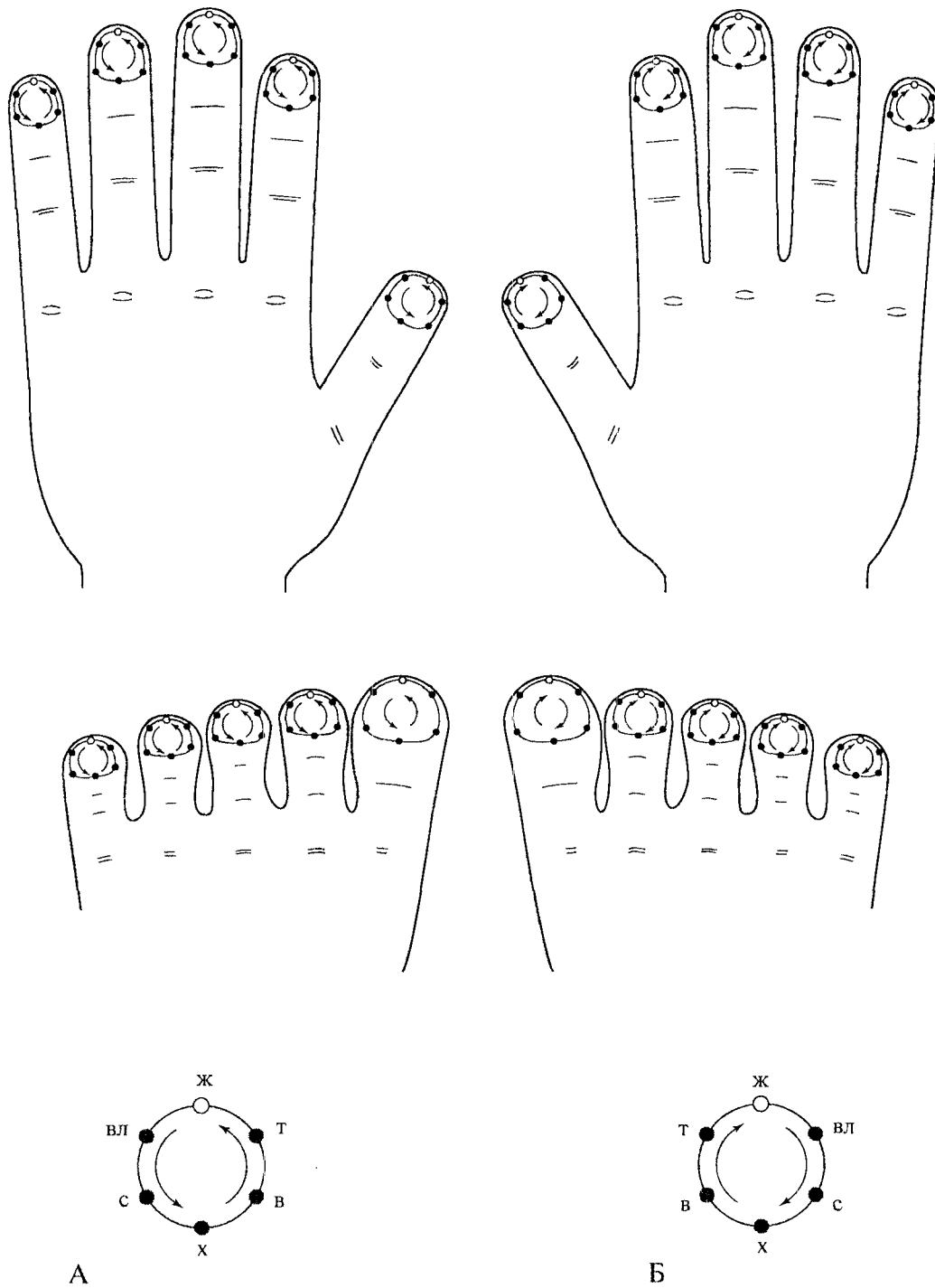
Обладая выраженными Гетеро-свойствами в силу своей периферической локализации, ногти характеризуются наличием интенсивных энергетических потоков, циркулирующих в околоногтевом пространстве. Благодаря четкой форме ногтевой пластины, поиск точек в данной области не вызывает затруднений, что делает использование ногтевых меридианов простым и общедоступным методом лечения.



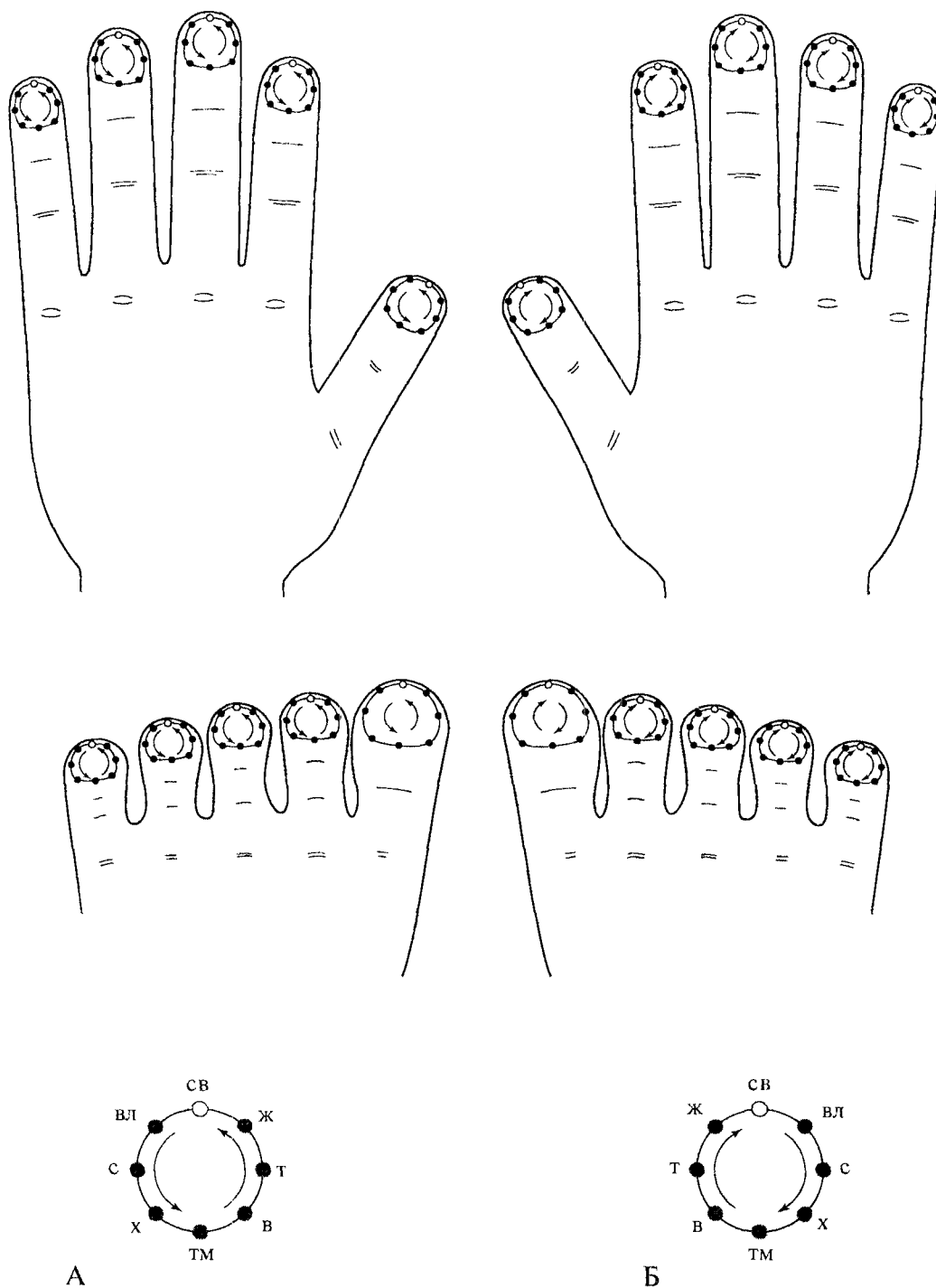
**Рис. 410.** Ногтевые меридианы кистей и стоп.

По ногтевым меридианам левых кисти и стопы протекают энергии с Гетеро-свойствами.

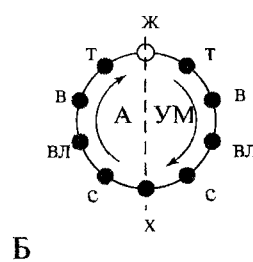
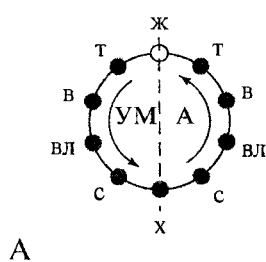
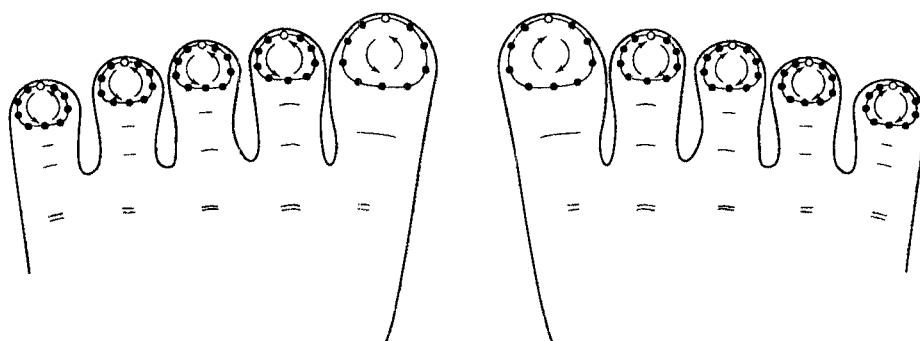
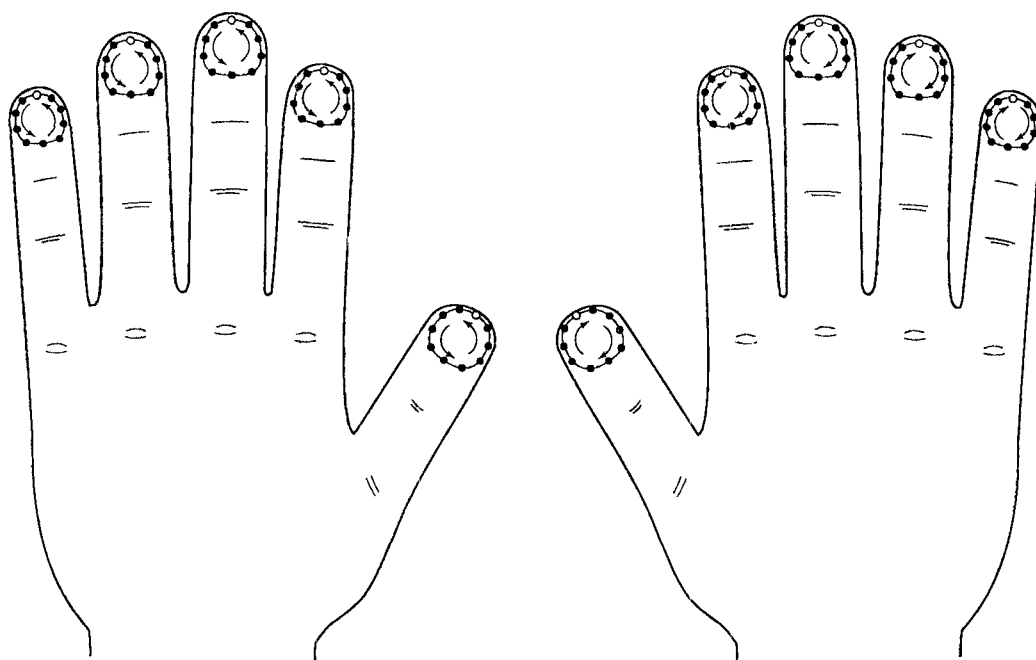
По ногтевым меридианам правых кисти и стопы протекают энергии с Гомо-свойствами.



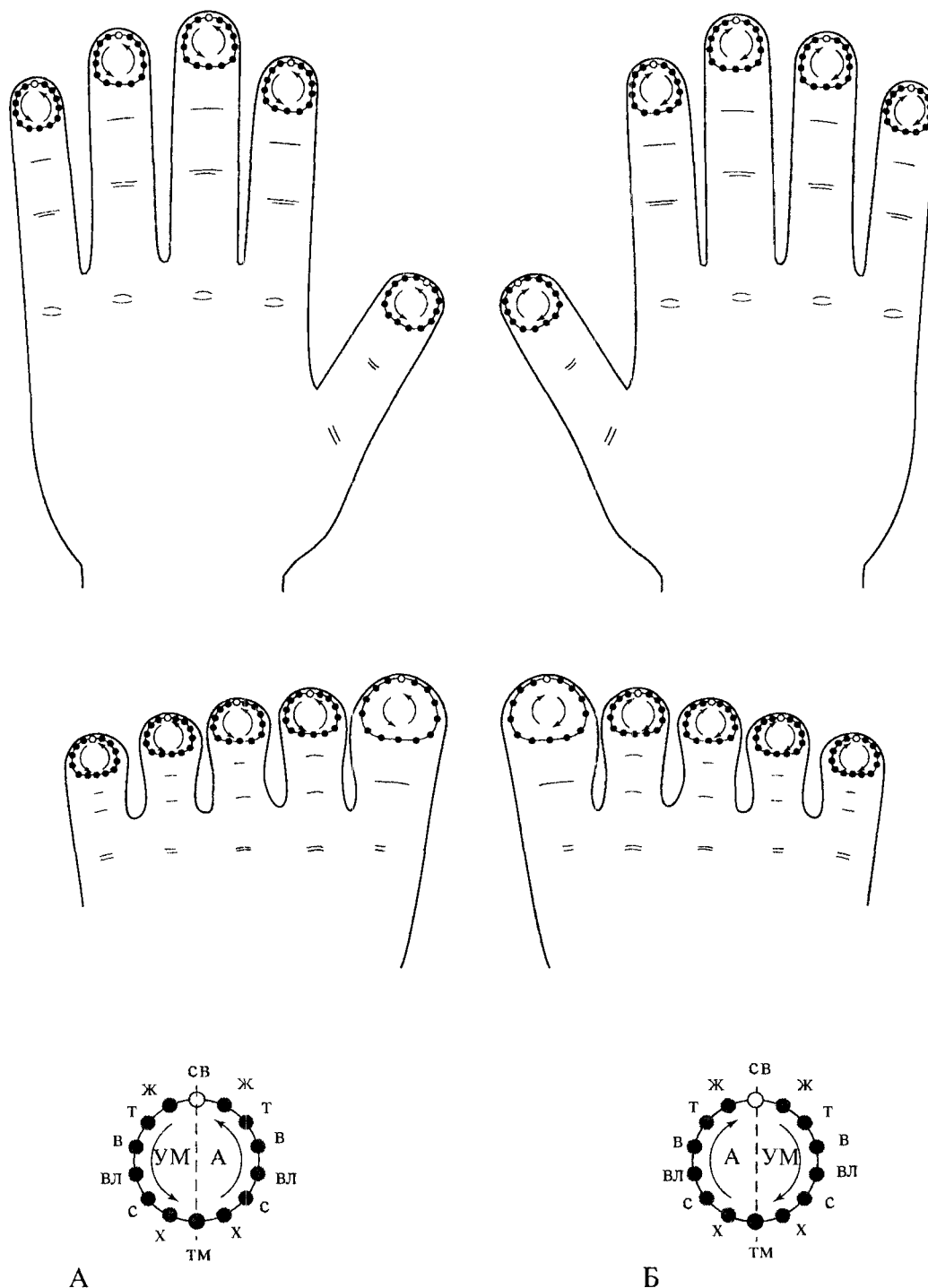
**Рис. 411.** Точки единых Шести Энергий ногтевых меридианов кистей и стоп.  
 Точки единых Шести Энергий располагаются на окружности ногтя. Точка жара всегда находится у свободного края ногтя, точка холода — у корня ногтя.  
 А — Гетеро-тип циркуляции, характерный для ногтевых меридианов левых кисти и стопы  
 Б — Гомо-тип циркуляции, характерный для ногтевых меридианов правых кисти и стопы



**Рис. 412.** Точки единых Восьми Энергий ногтевых меридианов кистей и стоп.  
 Точки единых Восьми Энергий располагаются на окружности ногтя. Точка света всегда находится у свободного края ногтя, точка тьмы — у корня ногтя.  
 А — Гетеро-тип циркуляции, характерный для ногтевых меридианов левой кисти и стопы  
 Б — Гомо-тип циркуляции, характерный для ногтевых меридианов правой кисти и стопы



ис. 413. Точки индивидуальных Шести Энергий ногтевых меридианов кистей и стоп.  
 Точки индивидуальных Шести Энергий располагаются на окружности ногтя. Точка жара всегда находится у свободного края ногтя, точка холода — у корня ногтя. Используется вертикальный тип деления ногтя с последовательной циркуляцией сначала А-энергий, а затем УМ-энергий.  
 А — Гетеро-тип циркуляции, характерный для ногтевых меридианов левых кисти и стопы  
 Б — Гомо-тип циркуляции, характерный для ногтевых меридианов правых кисти и стопы



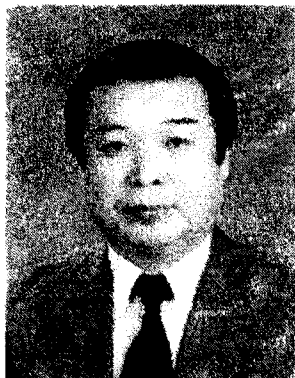
**Рис. 414.** Точки индивидуальных Восьми Энергий ногтевых меридианов кистей и стоп.  
 Точки индивидуальных Восьми Энергий располагаются на окружности ногтя. Точка света всегда находится у свободного края ногтя, точка тьмы — у корня ногтя. Используется вертикальный тип деления ногтя с последовательной циркуляцией сначала А-энергий, а затем УМ-энергий.  
 А — Гетеро-тип циркуляции, характерный для ногтевых меридианов левых кисти и стопы  
 Б — Гомо-тип циркуляции, характерный для ногтевых меридианов правых кисти и стопы

# СОДЕРЖАНИЕ

Предисловие .....	3
<b>Часть I. ЭНЕРГЕТИЧЕСКАЯ СИСТЕМА ТЕЛА ЧЕЛОВЕКА</b> .....	<b>5</b>
Глава 1. Центральная энергетическая система тела .....	18
1.1. Эволюция Алмазной энергетической системы тела .....	18
1.2. Система контролирующих меридианов тела человека .....	23
1.3. Система основных чакр тела человека .....	38
1.4. Дополнительные чакры тела и их энергетические пути.....	50
1.5. Топография центральных энергетических структур и их точек .....	57
Глава 2. Периферическая энергетическая система тела .....	83
2.1. Периферические А-меридианы .....	90
2.2. Периферические УМ-меридианы .....	108
2.3. АУ-меридианы (чудесные) .....	122
2.4. Топография точек Шести Энергий периферических меридианов .....	135
2.5. Топография точек Восьми Энергий периферических меридианов .....	140
Глава 3. Циркуляция в энергетической системе тела .....	145
3.1. Циркуляция энергии в Алмазной энергетической системе .....	146
3.1.1. Циркуляция энергии в контролирующих меридианах тела .....	146
3.1.2. Циркуляция энергий в системе внутренних чакр и связанных с ними периферических А- и УМ-меридианах тела .....	162
3.2. Циркуляция энергии в периферической энергетической системе .....	170
3.2.1. Циркуляция индивидуальных энергий .....	171
3.2.2. Циркуляция единых энергий по А-УМ парам периферических меридианов .....	190
3.2.3. Другие виды циркуляции энергии в теле человека .....	208
<b>Часть II. ЭНЕРГЕТИЧЕСКИЕ СИСТЕМЫ ОТДЕЛЬНЫХ ЧАСТЕЙ ТЕЛА</b> .....	<b>221</b>
Глава 1. Энергетическая система кистей .....	222
1.1. Внешние и внутренние бэль-чакры кистей .....	224
1.2. Пограничные бэль-меридианы кистей .....	236
1.3. Сердцевинные бэль-меридианы кистей .....	246
1.4. Периферические бэль-меридианы кистей .....	254
1.5. Циркуляция в энергетической системе кистей .....	262



Глава 2. Энергетическая система стоп.....	271
2.1. Внешние и внутренние бель-чакры стоп.....	272
2.2. Пограничные бель-меридианы стоп.....	283
2.3. Сердцевинные бель-меридианы стоп .....	293
2.4. Периферические меридианы стоп .....	300
2.5. Циркуляция в энергетической системе стоп.....	304
Глава 3. Энергетическая система пальцев .....	313
3.1. Внешние и внутренние бель-чакры пальцев .....	315
3.2. Пограничные бель-меридианы пальцев .....	325
3.3. Сердцевинные бель-меридианы пальцев.....	335
3.4. Циркуляция в энергетической системе пальцев .....	338
Глава 4. Энергетические системы конечностей человека .....	347
4.1. Внешние и внутренние бель-чакры конечностей .....	348
4.2. Пограничные бель-меридианы конечностей .....	364
4.3. Сердцевинные бель-меридианы конечностей.....	374
4.4. Циркуляция в энергетической системе конечностей .....	379
Глава 5. Энергетическая система ушных раковин .....	387
5.1. Первый тип энергетической системы ушных раковин.....	387
5.1.1. Пограничные бель-меридианы ушных раковин.....	388
5.1.2. Сердцевинные бель-меридианы ушных раковин .....	398
5.1.3. Внешние и внутренние бель-чакры ушных раковин .....	403
5.1.4. Циркуляция в энергетической системе ушных раковин.....	405
5.2. Второй тип энергетической системы ушных раковин.....	417
Глава 6. Энергетическая система головы.....	421
Глава 7. Энергетическая система суставов тела.....	427
Глава 8. Энергетическая система линий ладонных поверхностей кистей .....	435
Глава 9. Энергетическая система ногтевых меридианов.....	437



Автор  
Пак Чжэ Ву

Автор этой книги — профессор Пак Чжэ Ву, выпускник Сеульского Национального университета (1968, Корея). В настоящее время он возглавляет Корейский институт Су Джок акупунктуры, Международную ассоциацию Су Джок акупунктуры, Международный общественный фонд «ОННУРИ» и Су Джок Академию в Москве. Он является также почетным президентом Су Джок Академии Индии (с 1992 г.), Белорусского института Су Джок акупунктуры (с 1995 г.), почетным профессором Педагогического университета Грузии, почетным доктором Университета физической культуры в Санкт-Петербурге, визитирующим профессором Института усовершенствования врачей Казахстанского государственного медицинского университета и академиком Международной Академии Наук (с 1994 г.). Он является основателем ОННУРИ Колледжа.

Профессором Пак Чжэ Ву разработан ряд научных направлений. Среди них теория Шести Энергий, теория Гомо-системы, теория Гомо-Гетеро, теория Восьми Начал (таблица Восьми Начал), теория Триначалия, теория Алмазной энергетической системы и теория М-частиц.

Профессор Пак Чжэ Ву — автор большого числа книг в области акупунктуры и альтернативной медицины.

## Книги по Оннури медицине:

Пак Чжэ Ву. «Су Джок для всех»

Пак Чжэ Ву. «Су Джок терапия»

Пак Чжэ Ву. «Большой палец — голова»

Пак Чжэ Ву. «Су Джок акупунктура», том 1, 2

Пак Чжэ Ву. «Руководство по Су Джок акупунктуре»

Пак Чжэ Ву. «Лекции по Су Джок терапии», том 1, 2

Пак Чжэ Ву. «Оннури Су Джок терапия», том 1, 2

Пак Чжэ Ву. «Оннури аурикулярная терапия», том 1, 2, 3

Пак Чжэ Ву. «Оннури системы соответствия головы»

Пак Чжэ Ву. «Оннури системы соответствия туловища и конечностей»

Пак Чжэ Ву. «Основы Су Джок терапии»

Пак Чжэ Ву. «Су Джок семянотерапия»

Park Jae Woo. «Su Jok for Everybody»

Park Jae Woo. «Su Jok Therapy»

Park Jae Woo. «Su Jok Acupuncture», vol. 1, 2

Park Jae Woo. «Thumb is Head»

Park Jae Woo. «Six Ki Theory»

Park Jae Woo. «Six Ki Herb Medicine»

Park Jae Woo. «Onnuri Head Correspondence systems»

Park Jae Woo. «Onnuri Trunk and Limbs Correspondence systems»

Park Jae Woo. «Onnuri Auricular Therapy», vol. 1, 2, 3